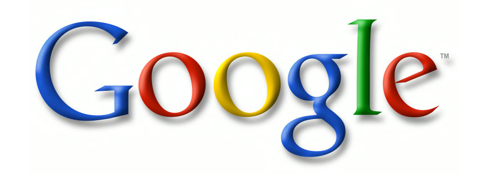
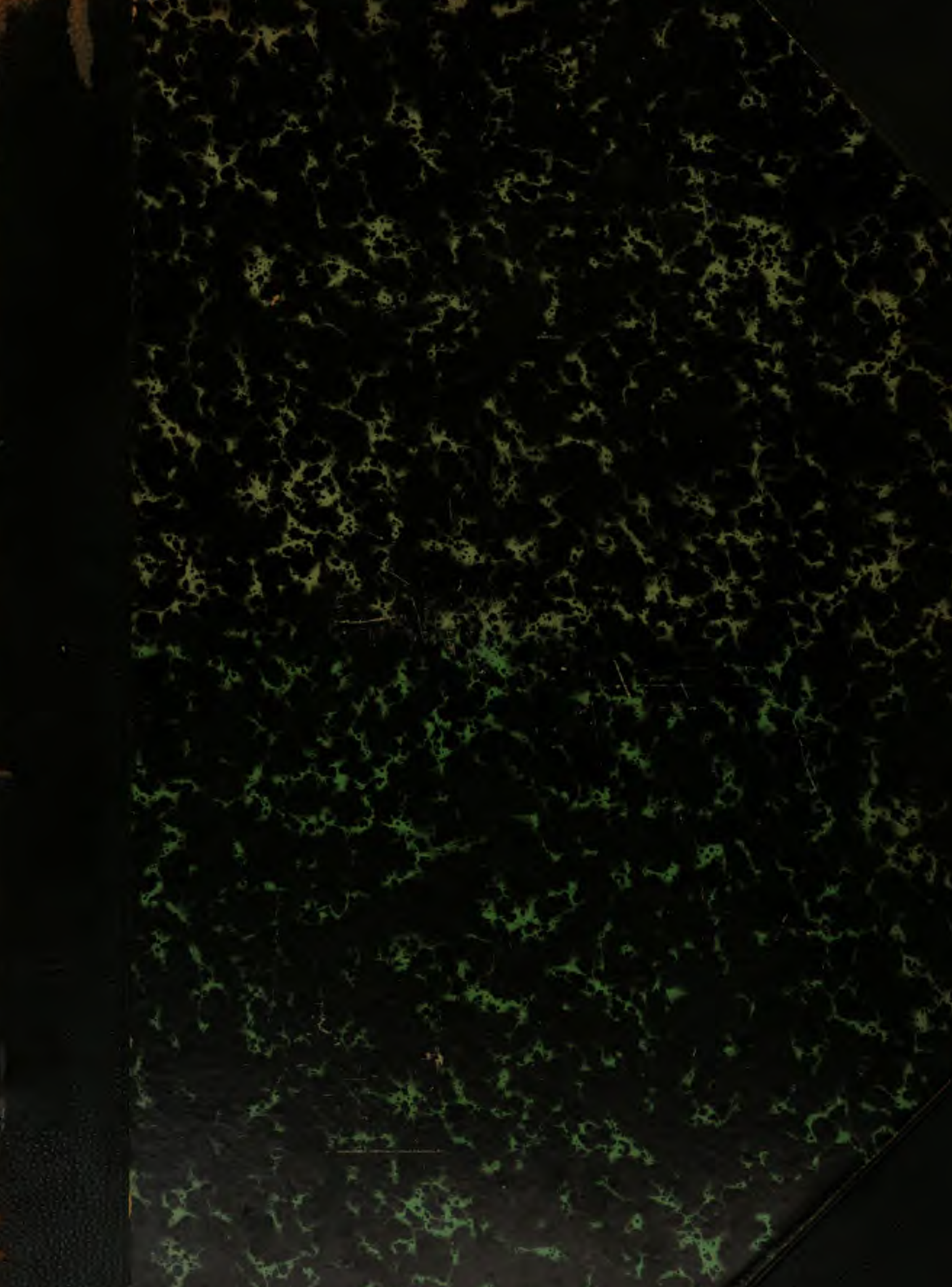





CATALOG DER ASTRONOMISCHEN GESELLSCHAFT.

ZONE +10° BIS +15°.

CATALOG

DER

ASTRONOMISCHEN GESELLSCHAFT.



ERSTE ABTHEILUNG.

CATALOG DER STERNE BIS ZUR NEUNTEN GRÖSSE

ZWISCHEN 80° NÖRDLICHER UND 2° SÜDLICHER DECLINATION

FÜR DAS AEQUINOCTIUM 1875.

ZWÖLFTES STÜCK.

ZONE +10° BIS +15°

BEOBACHTET AUF DER STERNWARTE

LEIPZIG.

LEIPZIG 1900.

IN COMMISSION BEI WILHELM ENGELMANN.

CATALOG VON 9547 STERNEN

ZWISCHEN 10° 0′ UND 15° 15′ NÖRDLICHER DECLINATION 1855

FÜR DAS AEQUINOCTIUM

1875

NACH ZONEN-BEOBACHTUNGEN AM PISTOR & MARTINS'SCHEN MERIDIANKREISE

DER

UNIVERSITÄTS-STERNWARTE ZU LEIPZIG

IN DEN JAHREN 1868 BIS 1872 UND 1883 BIS 1893

BEARBEITET VON

H. BRUNS UND B. PETER.

HERAUSGEGEBEN VON DER ASTRONOMISCHEN GESELLSCHAFT.

LEIPZIG 1900.

IN COMMISSION BEI WILHELM ENGELMANN.

Geschichtliches.

Die beiden Bände mit den Resultaten der Leipziger Zonen enthalten die Sternörter, die aus den Beobachtungen für die Doppelzone zwischen den Declinations-Grenzen $+5^\circ$ und $+15^\circ$ abgeleitet worden sind. Die Positionen für die südliche und die nördliche Hälfte der Doppelzone sind in zwei getrennten Catalogen zusammengestellt, weil beide Theile, soweit die Hauptmasse der Beobachtungen in Betracht kommt, wegen ihrer Entstehungsweise systematische Unterschiede aufweisen. Als Trennungslinie wurde hierbei der Parallel $+10^\circ$ der B.D. gewählt, so dass ein Stern, der sich in dem einen Bande findet, nicht weiter in dem andern Bande nachzusehen ist. Die in dem allgemeinen Zonenprogramm vorgeschriebenen übergreifenden Grenzstreifen kommen also hier nicht besonders zum Ausdruck, vielmehr sind die betreffenden Sternörter nach der festgesetzten Trennungslinie theils dem einen, theils dem andern Bande zugewiesen worden.

Die nördliche Fünfgrad-Zone war gleich bei Beginn des ganzen Zonenunternehmens von der Leipziger Sternwarte übernommen worden. Die Beobachtungen begannen im Januar 1868 und erstreckten sich zunächst, mit mehrfachen Unterbrechungen, bis Januar 1873. Am Fernrohr beobachtete R. Engelmann, am Kreise C. Bruhns, während der Assistent Leppig seinen Platz an dem im Beobachtungsraume aufgestellten Ausfeldschen Registrirapparat innehatte und die Kreisablesungen und Sterngrössen nebst den sonst noch vorkommenden Angaben niederschrieb. Abgelesen wurde bei den Zonensternen der Regel nach nur ein einziges Mikroskop, das jedoch für die beiden Klemmenlagen verschieden ausgewählt war. Die Beobachtungen der Anhaltsterne wurden dagegen von Engelmann allein ausgeführt, und zwar unter Benutzung aller vier vorhandenen Mikroskope. Solche Ablesungen an vier Mikroskopen wurden, wo es gieng, an passender Stelle auch bei Zonensternen eingelegt, jedoch war die Gelegenheit dazu wegen der raschen Aufeinanderfolge der Sterne im allgemeinen nur spärlich, weil jedes Mal durchweg zwei benachbarte Theilstriche eingestellt wurden. Die Dauer einer Zone (in der Breite von $0^\circ\!.5$ bis $1^\circ\!.5$) war durchgängig 1 Stunde. Wurden an einem Abend mehrere Zonen beobachtet, so lagen zwischen ihnen längere Pausen, gewöhnlich von einer Stunde.

Die dargelegte Anordnung beruhte darauf, dass die Zonen nur einen Theil in dem laufenden Arbeitsprogramm des Meridiankreises bildeten; sie erscheinen in den Tagebüchern gewissermassen nur als ein Einschiebsel. Dadurch ist es gekommen, dass die Anhaltsterne und namentlich die Polsterne manchmal einen unerwünscht grossen Abstand von der eigentlichen Zone besitzen, und dieser Umstand hat sich nachher deutlich in den mittleren Fehlern der Zonenörter geltend gemacht.

Die Reduction war anfangs von Engelmann neben den Beobachtungen gut gefördert worden. Dann trat nach dem Ausscheiden Engelmann's eine Stockung ein, und zwar hauptsächlich durch die Betheiligung der Leipziger Sternwarte sowohl an den Vorbereitungen für die Beobachtung des Venusdurchganges 1874, als auch an der Bearbeitung des damals gesammelten photographischen Materials. Als es sich nun darum handelte, nach dem Tode von C. Bruhns einen bestimmten Entschluss über die Weiterführung der Arbeit zu fassen, erschien es nach reiflicher Erwägung aller Umstände als das Zweckmässigste, eine völlige Neureduction vorzunehmen, und zwar nach einem einheitlichen, in allen Einzelheiten im voraus festgelegten und auf das ganze überhaupt zu leistende Pensum eingerichteten Schema, das einerseits die Heranziehung auch weniger geschulter Hülfskräfte gestattete, andererseits eine möglichst rasche Revision jeder einzelnen eingetragenen Ziffer zuliess. Denn die Erfahrung lehrt, dass bei solchen Arbeiten noch nach Jahrzehnten Zweifel und Widersprüche auftauchen, die ein Zurückgreifen auf das handschriftliche Material nothwendig machen.

Die zweite (südliche) Zone war im Jahre 1878 von C. Bruhns für die Leipziger Sternwarte übernommen worden. Die Anfänge der Beobachtung (von Hrn. Weinek am Fernrohr und C. Bruhns am Kreise) fallen bereits in das Jahr 1879. Das derart bis zum Jahre 1881 gesammelte Material ist jedoch nicht benutzt worden, da die Sparsamkeit, mit der die Anhalt- und Polsterne behandelt waren, einiges Bedenken erregen

musste. Daher wurde, als der mit der Sorge für den Meridiankreis betraute Erste Observator (Dr. Peter) von der Venus-Expedition nach Bahia Blanca zurückgekehrt war, die Beobachtung der zweiten Zone völlig neu und nach einem abgeänderten Programm begonnen. Den Posten am Fernrohr übernahm Dr. Peter, den am Kreise Hr. Dr. Harzer (bis 1884 Sept. 8) und nachher Hr. Schnauder. Der wenig zuverlässige Ausfeld'sche Registrir-Apparat wurde durch einen Hipp'schen Farbschreiber ersetzt und dieser im östlichen Flügel der Sternwarte in einem heizbaren Raume aufgestellt. Da anfangs die, einem vorhandenen Restbestand entnommenen und ziemlich unsauber geschnittenen, Papierstreifen Störungen verursachten, so wurde zur ständigen Controle des Chronographen eine telephonische Verbindung mit dem Meridiankreise hergestellt. Damit fiel die Nothwendigkeit fort, einen dritten Astronomen bei den Beobachtungen heranzuziehen, und es wurden demgemäss alle in das Tagebuch einzutragenden Angaben von dem Beobachter am Kreise niedergeschrieben. Wesentlicher als diese Aeusserlichkeiten war aber, dass jetzt jede einzelne Zone erheblich reicher als bisher mit Anhalt- und Polsternen ausgestattet wurde. Als Norm für sicheres Wetter galt das Folgende: Einschliessen der eigentlichen Zone in je eine regelrechte Zeitbestimmung, womöglich mit zwei Polsternen in entgegengesetzten Culminationen, und weiter die Vertheilung einer ausreichenden Zahl von Anhaltsternen für beide Coordinaten über die ganze Zone hin, wobei sich die Auswahl den zu beobachtenden Zonensternen anzupassen hatte. Die Ausdehnung der einzelnen Zonen wurde ebenfalls den Umständen angepasst und gieng bis zu zwei Stunden. Häufig wurden an demselben Abend zwei Zonen beobachtet, mit einer angemessenen Pause dazwischen.

Eine andere Abweichung von der früheren Anordnung bestand darin, dass jetzt die Anhaltsterne in der gleichen Weise, wie die Zonensterne, beobachtet wurden, nämlich nur mit einem Mikroskop. Jedoch erhielten die Anhaltsterne nicht nur eine grössere Anzahl von registrirten Fäden, sondern auch eine wiederholte Einstellung in Declination.

In dieser Weise war die Hauptmasse der erforderlichen Beobachtungen bis zum Mai 1888 erledigt worden, wobei die Ablesung der Registrirstreifen, die Eintragung aller Angaben in das vorbereitete Reductionsschema und die Reduction auf den Mittelfaden mit der Beobachtung nahezu gleichen Schritt gehalten hatte. Mittlerweile war die Bearbeitung der Engelmann-Bruhns'schen Beobachtungen bis zur Ausschreibung des Zettelcatalogs gediehen, so dass man an die Aufstellung der Arbeitsliste für die Ergänzungs- und Revisions-Beobachtungen der nördlichen Zone gehen konnte. Die hiernach erforderlichen Beobachtungen zusammen mit einem geringfügigen von der südlichen Zone verbliebenen Rest wurden zunächst von den Herren Dr. Schumann (am Fernrohr) und Dr. Hänig (am Kreise) ausgeführt. Als der Erstgenannte im August 1891 Leipzig verliess, trat Hr. Dr. Hayn an seine Stelle.

Die Nachtragsliste war unerwartet gross, denn sie umfasste rund 5000 Positionsbestimmungen, d. h. fast ein Viertel des ganzen auf die nördliche Zone entfallenden Pensums. Einen starken Beitrag hierzu lieferten solche Zonen, bei denen wegen der Zufälligkeiten der Witterung die Anzahl der Anhaltsterne ungenügend ausgefallen war, und die deshalb sogleich hätten gestrichen werden müssen, trotzdem aber als vollgültig mitgezählt worden waren. Ferner ist, soweit man erkennen kann, bei der nördlichen Zone unterlassen worden, sofort eine Identificirung der beobachteten Objecte mit der B. D. auszuführen. In Folge dessen blieben vorläufig die zahlreichen Fälle unentdeckt, in denen statt des im Programm vorgeschriebenen Sterns ein benachbarter, programmfremder eingestellt und beobachtet worden war.

Die Beobachtungen, die nach Erledigung der Nachtragsliste noch anzustellen waren, wurden dem Refractor überwiesen. Dieses Verfahren war zweifellos zeitraubender als die directe Beobachtung am Meridiankreise, bot aber den erheblichen Vortheil, dass alle die zahlreichen Fragezeichen, die, manchmal sogar bis in die Drucklegung des Catalogs hinein, auftauchten, bis auf einen geringfügigen Rest mit voller Sicherheit erledigt werden konnten. Diese Beobachtungen, bei denen namentlich die vielen am Meridiankreise gemachten summarischen Bemerkungen über Begleiter und Duplicität geprüft und nöthigenfalls durch eine normale Mikrometermessung ersetzt wurden, sind von Hrn. Dr. Hayn und während einer längeren Beurlaubung des Genannten von Hrn. Dr. Hartmann ausgeführt worden.

An der Reduction sind ausser den Herausgebern, den oben genannten Beobachtern und Hrn. Leppig auch alle die Herren betheiligt gewesen, die nach Ausweis der in der »Vierteljahrsschrift« veröffentlichten Jahresberichte seit 1882 an der laufenden Arbeit im Rechenzimmer der Sternwarte als Hülfsrechner Theil genommen haben.

Die Arbeitsliste.

Bei der Beobachtung der nördlichen Zone hatte ursprünglich die Absicht vorgelegen, alle in der B.D. angegebenen Objecte mitzunehmen. Jedoch wurde dieser Plan später, dem Programm der A.G. gemäss, beschränkt. Ferner enthielt die ursprünglich zwischen den Grenzen +4°45' und +10°15' angelegte Liste für die südliche Zone von den Sternen der B.D. unterhalb $9^{m}_{.}0$ alle mit einem Buchstaben bezeichneten Objecte. Dagegen enthielt die später vor Beginn der Revisionsbeobachtungen neu hergestellte Liste, die wesentlich dazu diente, eine deutliche Uebersicht der bereits erledigten und der noch zu beobachtenden Nummern zu geben,

als programmmässige Objecte nur Sterne zwischen den Grenzen +4°50' und +15°10', ferner von den Sternen unterhalb 9ᵐ.0 nur die mit einem Buchstaben (B ausgenommen) bezeichneten. Danach sind auch die Rümker'schen Sterne mitbeobachtet worden, soweit sie die B.D. als solche kenntlich macht.

Die ausserhalb der so gezogenen Grenzen erhaltenen Positionen haben, soweit sie als gesichert anzusehen waren, in den beiden Catalogen mit Aufnahme gefunden, darunter 5 Sterne, deren Declination für 1855 15°10' noch um einige Minuten überschreitet. Alles übrige ist in die Anhänge verwiesen worden.

Die vorgeschriebene Zweizahl der Beobachtungen ist, wie ein Blick in den Catalog lehrt, sehr oft überschritten worden. Diese Ueberschreitung beruht nur zum geringen Theile auf Irrthümern oder Versehen. Vielmehr liegt die Hauptursache in dem Umstande, dass bei der Frage, ob für eine Position noch weitere Beobachtungen nachzuholen seien, sehr streng verfahren worden ist: es wurde, wo auch nur der geringste Zweifel vorlag, das betreffende Object ohne weiteres in die Revisionsliste eingestellt. Hierbei musste der ausgesprochene systematische Unterschied zwischen den beiden Klemmenlagen, der sich schon bei dem blossen Ordnen der Catalogzettel für die Engelmann-Bruhns'schen Beobachtungen erkennen liess, nothwendig die Anzahl derjenigen Fälle vermehren, in denen die, meistens in entgegengesetzten Klemmenlagen erhaltenen, Positionen desselben Sterns einen zunächst unzulässig grossen Widerspruch aufwiesen, der dann weiter die Aufnahme des Sterns in die Revisionsliste zur Folge hatte. Ausserdem haben die Beobachter häufig, als das jedesmalige Abendprogramm anfieng grössere Pausen aufzuweisen, zur Ausfüllung Sterne, die bereits erledigt waren, eingelegt. Andere Wiederholungen sind dadurch zu Stande gekommen, dass bei Sternen, bei denen bezüglich ihrer Identificirung mit der B.D. Zweifel bestanden, die benachbarten Objecte nach Möglichkeit an demselben Abend mit beobachtet wurden.

Soweit sich bis jetzt hat übersehen lassen, ist es mit einer Ausnahme gelungen, sämmtliche am Himmel vorhandenen Nummern des Programms auch thatsächlich zu beobachten. Der eine ausgelassene Stern ist 10°4285.

Innerhalb der Grenzen der Leipziger Zonen finden sich in der B.D. Positionen einiger Sterne angegeben, die bei der Einstellung am Meridiankreis nicht aufzufinden waren. In allen solchen Fällen ist die betreffende Gegend des Himmels später noch mit dem Refractor revidirt worden. Auch mit dem Refractor nicht zu sehen und daher entweder variabel oder in der B.D. überhaupt zu löschen sind die folgenden drei Nummern:

7°4790	am Refr. nachgesehen	1897 Aug. 17
12 5031	» » »	1895 Nov. 14 u. 16
14 2543	» » »	1894 Mai 16

Bei Gelegenheit der Revision anderer Sterne wurde ferner das Nichtvorhandensein am Himmel für folgende drei Objecte der B.D. constatirt, deren Beobachtung nicht programmmässig gewesen wäre:

5°4542	1895 Sept. 5
9 143	1893 Jan. 23
11 673	1893 Jan. 28

Bezüglich der Position 12°2354 findet sich das Nähere in den im Anhang gegebenen Anmerkungen zu den Sternen Nr. 4343 u. 4344 Leipzig I.

Instrument und Anordnung der Beobachtungen. Reductionselemente.

Das benutzte Instrument war der sechszöllige Meridiankreis der Leipziger Sternwarte von Pistor und Martins. Eine genauere Beschreibung kann hier unterlassen werden, da sich eine solche in der Arbeit von Engelmann: »Resultate aus Beobachtungen auf der Leipziger Sternwarte. I. Beobachtungen am Meridiankreis. Leipzig 1870.« vorfindet. Die daselbst gemachten Angaben gelten ohne weiteres auch für die bis 1882 ausgeführten Zonen, da diese, wie oben bemerkt worden ist, einfach zwischen die anderen laufenden Arbeiten eingeschoben wurden. Im besondern gelten die a.a.O. Seite 5 für die Periode III angegebenen Fadendistanzen auch für die älteren Zonen.

Im Jahre 1882 wurde zunächst eine gründliche Revision vorgenommen, die sich auch auf das Fundament und die Pfeiler für Instrument und Collimatoren erstreckte, was sich als keineswegs überflüssig erwies. Das Instrument selber wurde ziemlich weit auseinandergenommen, gereinigt und nach Ausführung der sogleich zu erwähnenden Abänderungen in allen Theilen neu berichtigt. An die Stelle des alten, für Zonenbeobachtungen wenig zweckmässigen Fadennetzes trat ein neues, dessen Abstände vom Mittelfaden nachstehend (für Klemme Ost und O.C. im Aequator geltend) angeführt sind:

+50ˢ.094	+30ˢ.369	+8ˢ.030	−19ˢ.904	−39ˢ.978
+46.690	+26.016	+4.004	−23.074	−42.922
+43.266	+22.962	−4.171	−26.853	−46.018
+39.706	+20.053	−8.237	−29.993	−50.131

Zeichnet man das Netz auf, so erkennt man, dass eine symmetrische Mittelgruppe und vier Seitengruppen mit symmetrisch vertheilten Aussenfäden vorhanden sind. Dagegen sind innerhalb der Seitengruppen die Abstände

in bestimmter Weise ungleichmässig vertheilt. Diese Anordnung bietet den Vortheil, dass sich die benutzten Fäden unzweideutig feststellen lassen, sobald auch nur vier Fäden hinter einander ohne groben Fehler registrirt sind. Die Bestimmung der Abstände beruht auf einer grossen Reihe von Durchgängen, die in der Zeit 1883 März 18 bis April 25 an Sternen zwischen 68° und 83° Declination beobachtet wurden. Während des Zeitraumes 1883 März 18 bis 1889 Mai 7 ist die feste Fadenplatte nicht weiter angetastet worden; auch hat sich kein Anlass gefunden, für diesen Zeitraum an den oben aufgeführten Werthen der Fadendistanzen etwas zu ändern. Dagegen wurde für die Zeit nach 1889 Mai 7 eine Neubestimmung vorgenommen, weil um jenen Zeitpunkt das Ocularstück des Fernrohrs gereinigt worden war. Die von Hrn. Dr. Schumann angesetzten Werthe (mit Fortlassung des gerissenen und nicht wieder eingezogenen vorletzten Fadens) lauten:

+50ˢ.09	+30ˢ.33	+8ˢ.04	−19ˢ.89	−39ˢ.96
+46.70	+26.02	+4.01	−23.06	−42.92
+43.27	+22.95	−4.16	−26.88	—
+39.75	+20.05	−8.23	−29.99	−50.12

Ausser den festen Stundenfäden war, parallel zu ihnen, noch ein beweglicher Doppelfaden vorhanden, der hauptsächlich zur Bestimmung des Collimationsfehlers vermittelst der Collimatoren diente. Ein anfangs unternommener Versuch, das bewegliche Fadenpaar bei polnahen Sternen zur Einschaltung von Fadenantritten in den Zwischenräumen zwischen den fünf Fadengruppen zu benutzen, wurde ziemlich bald wieder aufgegeben, weil sich wegen der excentrischen Feldbeleuchtung die Parallaxe der beweglichen Fäden störend geltend machte.

An Horizontalfäden enthielt das Netz ursprünglich einen beweglichen Faden, ferner einen festen einfachen Faden und ein festes Fadenpaar mit etwa 16" Distanz. Wegen des ziemlich grossen Betrages dieser Distanz hat Engelmann die Einstellung durch Bisection mit einem einfachen Faden bewirkt. Bei der 1882 vorgenommenen Aenderung wurde der bewegliche Faden nicht wieder eingezogen, weil keine Verwendung desselben abzusehen war, dagegen wurde der feste einfache Faden beibehalten und in etwa 35" Abstand davon ein enges Paar eingezogen, dessen Distanz in Folge einer kleinen Abweichung vom Parallelismus an dem einen Blendenrande etwa 6", an dem andern etwa 8" betrug. Bei der Beobachtung wurden dann die Sterne stets zwischen den Fäden des engen Paares gehalten.

Da in dem neuen Netz der Winkel zwischen den beiden Fadensystemen etwas von 90° abwich, und da ferner bei der Berichtigung der mittlere Stundenfaden parallel zum Meridian gemacht worden war, so besass das bei den Beobachtungen benutzte horizontale Paar eine merkliche Neigung, die fortlaufend unter Controle gehalten wurde. Die deswegen erforderliche Reduction, die sich als merklich constant erwies, betrug 3".77 für einen Sternweg von 100ˢ im Aequator. Wegen Durchbiegung der Horizontalfäden war keine Reduction anzubringen, weil eine besondere, nach dieser Richtung hin angestellte Untersuchung zu einem negativen Ergebniss führte. Später, bei den Schumann'schen Beobachtungen, wurde übrigens die Fadenneigung in derselben Weise, wie das bei Engelmann der Fall gewesen war, auf Null gebracht.

Bei den 1882 vorgenommenen Aenderungen wurde ferner der Objectivkopf um 90° in seiner Ebene versetzt, so dass die in der Objectivfassung angebrachte Spannfeder ihren Druck nicht mehr in der Richtung Ost-West, sondern in der Richtung Nord-Süd ausübte. Diese Umsetzung hatte, wie schon hier bemerkt werden mag, zur Folge, dass sich nunmehr der Collimationsfehler sehr befriedigend als Function der Angaben eines am Objectivende des Fernrohrs angebrachten Thermometers darstellen liess.

Das von Engelmann benutzte Ocular mit 190-facher Vergrösserung wurde zunächst beibehalten. Später wurden zwei Braun'sche Oculare angeschafft; das schwächere, ebenfalls etwa 190-fach, wurde von Dr. Peter benutzt, während die Herren Dr. Schumann und Dr. Hayn das stärkere (etwa 240-fach) vorzogen.

Um einigen Schutz gegen die Wärmeausstrahlung des einen Beobachters bei den durchweg am Westpfeiler vorgenommenen Kreisablesungen zu erlangen, erhielten die Pfeiler des Meridiankreises eine fingerstarke Filzumhüllung unter Zinkverkleidung, ferner wurden die Mikroskope und ihre Tragarme, soweit diess angieng, mit dicken Friesstreifen umwickelt, endlich wurde in der ganzen Ausdehnung des Kreises zwischen Kreis und Pfeiler eine Gardine aus doppeltem Wollstoff eingehängt, die zwar die Wärmestrahlung des Beobachters nicht abschneiden, wohl aber zerstreuen konnte.

Die Mikrometer der Mikroskope hatten ursprünglich nur einen Doppelfaden enthalten, so dass, da der Kreis eine Zweiminutentheilung besitzt und ein Schraubengang rund gleich einer Bogenminute ist, die Schraube bei den Bruhns'schen Ablesungen zweier benachbarter Striche stets einen Weg von zwei Umgängen auszuführen hatte. Um hier eine Erleichterung einzuführen, erhielten die Mikrometer zwei Doppelfäden, deren Mitten etwa 1'.5 von einander abstanden. Bei der Ablesung waren dann die beiden benutzten Striche mit verschiedenen Doppelfäden zu fassen, so dass dabei zugleich das Hauptglied in den keineswegs ganz unmerklichen periodischen Schraubenfehlern eliminirt wurde. Besondere Sorgfalt wurde bei der Berichtigung der Mikroskope nicht bloss auf den Run, sondern auch auf ihre richtige Lage zur Theilungsebene verwendet, da sich in letzterer Beziehung vor dem Abnehmen des Instruments im Jahre 1882 ziemlich merkwürdige Justirungsfehler herausgestellt hatten.

Die Gasbeleuchtung für Fernrohr und Theilung wurde beibehalten, jedoch wurden die Abgase der ziemlich grossen Argandbrenner mit besonderen Abzügen durch und über das Dach des Beobachtungsraumes

geführt, während sie früher ihren Weg durch den Beobachtungsspalt genommen hatten. Versuchsweise wurde im Frühjahr 1884 die Gasbeleuchtung auf kurze Zeit durch elektrische Glühlampen ersetzt. Der Versuch musste jedoch trotz der augenfälligen Vorzüge der neuen Lichtquelle wieder eingestellt werden, weil sich mit den damals verfügbaren provisorischen Einrichtungen kein sicherer Betrieb erreichen liess.

Bei Beginn der Revisionszonen (1889) erhielten beide Kreise an jedem zehnten Minutenstrich eine voll ausgeschriebene Bezifferung, die von dem Mechaniker der Sternwarte mit Hülfe eines am Ostpfeiler befestigten Pantographen aufgetragen wurde und sich als eine ganz erhebliche Erleichterung für den Beobachter erwies. Ferner wurde zu jener Zeit an dem Klemmarm und der zugehörigen Feinbewegung eine Aenderung vorgenommen, deren Zweckmässigkeit uns durch eine zufällige Wahrnehmung klar gemacht worden war. Der Klemmarm trägt nämlich am untern Ende einen Ansatz mit zwei glasharten Stahlflächen, auf die an der einen Seite die Feinschraube, an der anderen dagegen ein Gleitstift mit sehr starker Gegenfeder wirkt. Die Reibung an den beiden Berührungsstellen war so stark, dass, selbst bei hoher Politur der harten Flächen, der Zapfen an der Klemmseite, wenn er etwas aus dem Lager gehoben wurde, sich nicht sofort wieder richtig in das Lager legte. Es ist sehr wahrscheinlich, dass dieses Verhalten der Klemmeinrichtung einen erheblichen Antheil an den systematischen Unterschieden zwischen »Klemme Ost« und »Klemme West« hat. Der Uebelstand liess sich in einfacher Weise dadurch beseitigen, dass der Druck der Feder durch den Zug eines Gegengewichts ersetzt wurde; der Druck an der Stützfläche der Feinschraube konnte dabei unter den fünften Theil des ursprünglichen Betrages vermindert werden, ohne das sichere Anliegen von Instrument und Klemmarm zu gefährden.

Endlich mag noch erwähnt werden, dass zur Erleichterung für den zweiten Beobachter dicht neben den beiden benutzten Mikroskopen je ein kleines Schreibpult mit feststehender eigener Beleuchtung angebracht wurde, das seine Stütze an den Deckenbalken des Beobachtungsraumes fand.

Als Registriruhr diente bei den älteren Zonen ein Werk unbekannter Herkunft, das im Inventar als Tiede II bezeichnet ist und eine von Tiede angefertigte Contacteinrichtung Hansen'scher Construction besitzt. Später liess C. Bruhns das bei Einrichtung der Sternwarte als Hauptuhr angeschaffte Werk Tiede 336 mit einer in Glashütte angefertigten Contacteinrichtung ebenfalls Hansen'scher Construction versehen. Diese Uhr hat dann für die ganze Folgezeit zum Registriren gedient, und erhielt bei Beginn der südlichen Zonen noch einen kleinen Nebenapparat, der selbstthätig auf dem Registrirstreifen nicht nur den Minutenanfang, sondern auch jede zehnte Secunde kenntlich machte. Als Hauptuhr wurde bis 1882 ein Fraunhofer'sches im Meridiansaal aufgestelltes Werk benutzt, über das nähere Angaben in der oben erwähnten Arbeit von Engelmann zu finden sind. An seine Stelle trat nachher die Uhr Dencker 12, die ihren Platz in einer besonderen Uhrkammer im Ostflügel der Sternwarte erhielt.

Die benutzten Chronographen, erst ein Ausfeld'scher Stiftschreiber, dann ein Hipp'scher Farbschreiber, sind bereits eingangs kurz erwähnt worden. Der letztere besitzt ein sehr zuverlässiges Laufwerk mit Sirenenregulirung für mehr als sechs Stunden Gangdauer und konnte mit einer kleinen, bald nach der Aufstellung vorgenommenen, Abänderung einen Streifen für mehr als 30 Stunden ununterbrochenen Ganges aufnehmen. Der Apparat wurde deshalb selbst bei längeren Pausen nicht abgestellt, so dass für die Controle der Secundenzählung eine mässige Zahl von Controlsignalen nach der Hauptuhr genügte. Es war das eine grosse Annehmlichkeit, zumal auch die Polsterne auf diesem Apparat registrirt wurden. Der Ausfeld'sche Chronograph besass dagegen nur eine ziemlich kurze Gangdauer, darum wurde er selbst in kurzen Pausen abgestellt. Da überdiess Engelmann die Polsterne mit der Fraunhofer'schen Uhr nach Auge und Ohr beobachtete, so mussten sowohl zur Verbindung der getrennten Signalreihen, als auch zur Reduction von Fraunhofer auf Streifenzeit die Controlsignale nach der Hauptuhr in sehr grosser Anzahl gegeben und notirt werden.

Ueber die Anordnung der Beobachtungen im einzelnen ist Folgendes, zunächst für die nördliche Zone, zu sagen.

Auf Grund des Arbeitscataloges wurden Arbeitslisten für die einzelnen Abende aufgestellt. Für die nördliche Zone ist jede volle Zonenstunde in 4 bis 10 schmalere Subzonen — 0°5 bis 1°5 breit — getheilt worden. Die Abendlisten enthielten hierbei nur die genäherten Oerter der Zonensterne nebst der B. D. - Grösse und die grobe Kreiseinstellung; ferner noch etwaige Bemerkungen über Dringlichkeit der Einstellung. Anfang und Schluss der Abendlisten fielen immer mit den Endpunkten einer vollen Rectascensionsstunde zusammen. Betreffs der Auswahl der Anhaltsterne wurde vorher keine Bestimmung getroffen, sondern diese ganz in das Ermessen des Beobachters am Fernrohr gestellt.

Die Beobachtung erfolgte dann in der Weise, dass der Beobachter am Mikroskop den Stern nach der Abendliste einstellte, angab bei welcher Fadengruppe er sich befand, und eine ungefähre Angabe über seine Grösse machte (hell oder schwach); die Absolvirung des Sterns wurde in der Arbeitsliste durch einen blossen Strich markirt. Der Beobachter am Fernrohr beobachtete etwa 5 bis 6 Fadenantritte und stellte beim letzten beobachteten Faden den Stern auf den obern Horizontalfaden ein, da die Distanz beider Horizontalfäden von 16″ für die Vergrösserung 190 zu weit war, um den Stern zwischen die Fäden zu stellen. Mit Ausnahme einiger ganz vereinzelter und im Zonennachweis besonders kenntlich gemachter Fälle hat Engelmann, ebenso wie die späteren Beobachter, nur Feldbeleuchtung benutzt. Der Gehülfe am Chronographen notirte sämmt-

liche Angaben der Beobachter (Fadengruppe, Fadenzahl, Grösse, Kreisablesung, Uhrsignale etc.). Abgelesen wurde bei den Zonensternen immer nur ein Mikroskop (an der Westseite Süd oben bei Kl. West und Süd unten bei Kl. Ost), aber unter Einstellung zweier benachbarter Theilstriche. Gelegentlich wurden zur Ermittelung der Reduction auf das Mittel der vier Mikroskope alle vier Mikrometer eingestellt. Die Anhaltsterne lagen in Zeit fast durchweg ausserhalb der Zone und wurden vom Beobachter am Fernrohr stets allein beobachtet und zwar unter Ablesung aller vier Mikroskope; hierbei wurde jedoch an jedem Mikroskop nur ein Strich eingestellt.

Für die Beobachtung der südlichen Zone sind die Abendlisten so angelegt worden, dass sie zugleich auch zur Eintragung der Kreisablesungen, Bemerkungen etc. dienten. Die linke Seite enthielt die Arbeitsliste, während die rechte die beobachteten Angaben aufnahm; der für zwei Abende vorgesehene Raum war dabei reichlich bemessen. In der Arbeitsliste standen zugleich auch die mit zu beobachtenden Zeit- und Polsterne und zwar so, dass Anhaltsterne und Zonensterne nicht von einander getrennt waren. Entweder — in den selteneren Fällen — wurde ein Polstern in der Mitte der Zone beobachtet, oder je ein Polstern bezw. eine Polsterncombination (zwei Polsterne gleicher Declination in entgegengesetzten Culminationen) in unmittelbarem Anschluss an die Zone zu Anfang und Ende derselben. Für Beobachtung der nöthigen Anhaltsterne zur Bestimmung von Azimuth, Uhrstand und Uhrgang und zur Ermittelung der Indexcorrection nebst deren zeitlicher Aenderung ist stets in ausgiebigster Weise Sorge getragen worden. Ausser durchschnittlich etwa je vier Anhaltsternen unmittelbar vor und nach der Zone sind auch innerhalb der Zone noch an geeigneten Stellen Anhaltsterne beobachtet worden. Wenn es auch als wünschenswerth angesehen wurde, die Breite einer Abendzone möglichst klein zu halten, so war doch bei Aufstellung der Abendlisten der hauptsächlich massgebende Gesichtspunkt die thunlichste Ausnutzung der Zeit. Von diesem Gesichtspunkte aus war es namentlich gegen Schluss der Arbeit häufig nicht zu umgehen, dass innerhalb der nämlichen Abendzone die Declinationen der Sterne durch alle 5 Grade liefen, beziehentlich durch alle 10° bei den Revisionsbeobachtungen. Die Dauer einer Zone, von denen sehr häufig zwei am gleichen Abende beobachtet wurden, war im allgemeinen 1^h bis 2^h. Für die Dauer der Zone war in erster Linie massgebend, welche Zeit- und Polsterne in den betreffenden Rectascensionen zur Verfügung standen. Die Kreisablesungen bei den Anhaltsternen besorgte der nämliche Beobachter, welcher auch bei den Zonensternen den Kreis ablas. Abgelesen wurde eines der beiden Mikroskope der Westseite, Süd oben bei Kl. West und Nord oben bei Kl. Ost; immer wurden zwei benachbarte Theilstriche eingestellt. In der Arbeitsliste waren die Positionen der Zonen- und Anhaltsterne für 1855.0 eingetragen und dahinter mit Berücksichtigung der Praecession bis zum Beobachtungsjahr und der Indexcorrection die genäherten Ablesungen im jeweiligen Ablesemikroskop.

Die Beobachtung des einzelnen Sterns gestaltete sich bei der südlichen Zone folgendermaassen. Beobachter B am Mikroskop hatte auf einem von oben her beleuchteten Pulte neben dem Mikroskop das Tagebuch vor sich und eine nach Sternzeit (für 1855.0) gehende Taschenuhr. B stellte den Stern ein und gab dem Beobachter A am Fernrohr an, wann er ins Sehfeld oder in eine bestimmte Fadengruppe eintreten musste. Darauf brachte A den Stern zwischen die horizontalen Doppelfäden, so dass die definitive Einstellung den Ort des Kreises im Mikroskop höchstens noch um 3" ändern konnte, und gab B durch den Zuruf »Minute« das Zeichen, dass er die Minute der Kreisablesung und die einzustellenden Striche aufsuchen konnte. Währenddessen wurden von A Fadenantritte registrirt und die definitive Einstellung in Declination (in der Regel zwischen zwei Gruppen von Fäden) ausgeführt; sobald letztere geschehen war, gab der Zuruf »Top« für B das Zeichen zum Ablesen des Mikroskops. War diese beendet, so wurde A von Seiten B's durch den Zuruf »Grösse« verständigt, dass er — vorausgesetzt dass er seinerseits mit den Registrirungen fertig war — die Declinationsklemme lösen konnte. Die Angabe der geschätzten Grösse des Zonensternes durch A war für B das Zeichen, dass der Stern erledigt, die Instrumentaxe frei und alles für das Einstellen des nächsten Sterns bereit sei. Der Zuruf »Klemmen« war für A das Zeichen, dass der nächste Zonenstern von B eingestellt war.

Der vorstehend beschriebene und anscheinend nicht sehr einfache Beobachtungsmodus wickelte sich in Wirklichkeit nach kurzer Einübung vollkommen glatt und, trotz der raschen Aufeinanderfolge der Sterne, ohne Ueberstürzung ab, obwohl jetzt, im Gegensatz zu dem frühern Verfahren, dem Beobachter B sämmtliche handschriftlichen Eintragungen zufielen. Der bei der neuen Anordnung thatsächlich erreichte Zeitgewinn hieng mit einem an sich ziemlich unscheinbaren Umstande zusammen. Der Schlüssel für die Declinationsklemme lag nämlich für den Beobachter am Fernrohr unbequem hoch, so dass bei den älteren Zonen die Klemmung von dem Beobachter am Kreise übernommen wurde. Letzterer musste deshalb, da stets am Westpfeiler beobachtet wurde, bei Klemme Ost jedesmal nach dem Ostpfeiler hinübertreten und war dadurch, um Zeitverlust zu vermeiden, an die Benutzung des Mikroskops »Süd unten« gebunden, obgleich die Ablesung der unteren Mikroskope dem Beobachter eine recht unbequeme Körperhaltung aufnöthigte, wenn er anders eine Berührung des Pfeilers vermeiden wollte. Die ganze Schwierigkeit wurde dadurch beseitigt, dass der Klemmschlüssel mit einem nach unten gerichteten Arm versehen wurde, der dem Beobachter A auch im Dunkeln ohne weiteres erreichbar war. Damit war auch für Klemme Ost die Möglichkeit gegeben, eines der bequemeren oberen Mikroskope zu benutzen.

Die stetig fortlaufende Schrift des Farbschreibers wurde benutzt, um ausser den Fadenantritten noch andere Angaben unmittelbar auf dem Papierstreifen aufzuzeichnen. Die Gruppennummer des letzten be-

obachteten Fadens wurde durch eine entsprechende Anzahl von unmittelbar darauf folgenden längeren Signalen angegeben. Ferner wurde der Antritt an dem Mittelfaden, falls er vorkam, auf dem Streifen an beiden Seiten mit je drei kurzen Signalen eingefasst. Endlich diente ein kurzes Doppelsignal dazu, um den Augenblick der Einstellung in Declination anzugeben. Bei der Ablesung wurde dann angenommen, dass die Epoche der Einstellung $0^s.5$ vor dem Doppelsignal liege. Der Regel nach fiel das Declinationssignal in die absichtlich etwas gross bemessenen Lücken zwischen den einzelnen Fadengruppen. Declinationssignale innerhalb einer Gruppe kamen nur ausnahmsweise, wenn die Zeit drängte, vor.

Die Anhaltsterne wurden gewöhnlich an allen 21 Fäden beobachtet und in Declination dreimal eingestellt. Bei den Zonensternen schwankt die Anzahl der Fäden je nach den Umständen; in der Regel lag sie zwischen 6 und 12.

Die meistens nur bei Beginn und Schluss einer Reihe nach der Hauptuhr Dencker 12 gegebenen Signale dienten lediglich dazu, die richtige Durchzählung der Secundensignale zu controliren, und wurden im übrigen nicht weiter benutzt, da die Registriruhr Tiede 336 einen hinreichend stetigen Gang besass. Der etwas grosse Compensationsfehler dieser Uhr wurde dadurch bedeutungslos, dass sie in einem Raume mit sehr langsam veränderlicher Temperatur aufgestellt war. —

Die meteorologischen Angaben beruhen innerhalb der ganzen Doppelzone erstens auf dem Barometer der in der Sternwarte untergebrachten Station des sächsischen Beobachtungsnetzes, zweitens auf einem mit der Marke »J. G. Greiner jun., Berlin, 1864« versehenen Thermometer, das dauernd vor einem der Nordfenster des Bibliothekscorridors angebracht war. Das Barometer besass im Jahre 1889 nach einer vom Königl. Sächs. Meteorologischen Institut ausgeführten Vergleichung die Correction +0.2 mm, die bei der Reduction der Beobachtungen nicht weiter berücksichtigt worden ist. Für das Thermometer liegen Vergleichungen mit einem guten Normalinstrument aus den Jahren 1884 und 1887 vor. Danach konnten die Angaben auch des Thermometers uncorrigirt benutzt werden. Bei den Beobachtungen von 1883 an wurden die Ablesungen von Barometer und Thermometer so dicht gelegt, dass man zwischen ihnen unbedenklich geradlinig interpoliren konnte. Bei den früheren Beobachtungen sind dagegen die Ablesungen manchmal unerwünscht spärlich, so dass es gelegentlich nöthig war, die zu jener Zeit auf 10 Uhr Abends fallenden Terminablesungen der Station mit heranzuziehen. —

Zum Schluss der vorstehenden Angaben über die Anordnung der Beobachtungen sollen noch die erforderlichen Notizen über die Grössenschätzungen folgen. Vorweg ist zu bemerken, dass — wenigstens bei den Beobachtungen nach 1882 — diese Schätzungen lediglich als ein Hülfsmittel für die Identificirung der Sterne angesehen und deshalb auch nicht besonders peinlich behandelt wurden. In Folge dessen sind in dem Catalog die bei jedem Stern vorliegenden Grössenangaben ohne weitere Reduction einfach gemittelt worden. Im allgemeinen haben sich die Beobachter bestrebt, ihre Schätzungen möglichst der Argelander'schen Scala anzupassen. Zu dem Ende wurde dem Beobachter am Fernrohr im Laufe einer Zone nach Notirung der geschätzten Grösse öfters die entsprechende Zahl der B. D. mitgetheilt, so dass er im Stande war, bei den folgenden Sternen das Urtheil über den Grössenwerth seiner thatsächlichen Helligkeitsempfindung auf die Scala der B. D. einzustellen. Das nachstehende Täfelchen gibt eine Vorstellung, wie weit der Anschluss bei Engelmann, Peter und Schumann erreicht wurde; für die Hayn'schen Beobachtungen ist eine derartige Untersuchung nicht ausgeführt worden, weil sie an sich nur einen geringen Umfang besitzen und fast ausschliesslich ganz schwache Sterne umfassen.

B. D.	B. D. — Engelmann		B. D. — Peter		B. D. — Schumann	
m m	m		m		m	
7.0 bis 7.9	−0.37	270 Beob.	−0.33	161 Beob.	+0.07	79 Beob.
8.0 » 8.9	−0.04	1237 »	−0.01	954 »	+0.04	433 »
9.0 » 9.5	+0.14	736 »	+0.16	1141 »	+0.13	485 »

Alle drei Beobachter zeigen für die Sterne zwischen $8^m.0$ und $8^m.9$ einen vollkommenen Anschluss an die B. D., während die schwächeren Sterne durchgängig — im Mittel um $0^m.14$ — zu hell geschätzt sind. Engelmann und Peter stimmen ferner sehr nahe in ihren Schätzungen der helleren Sterne überein, indem von ihnen die Sterne zwischen $7^m.0$ und $7^m.9$ im Mittel um $0^m.35$ schwächer als in der B. D. geschätzt sind. Bei Schumann findet auch für diese Grössenclassen ein ziemlich enger Anschluss an die B. D. statt. —

Von den Reductionselementen, die, unabhängig von der Beobachtung der Sterne, aus besonderen Messungen am Instrument zu ermitteln sind, mögen zunächst kurz Biegung und Theilungsfehler erledigt werden.

Die Biegung war nach den vorliegenden Erfahrungen nicht bedeutend und musste bei der ganzen Anlage der Arbeit in den Resultaten im wesentlichen herausfallen. Sie ist deshalb unberücksichtigt geblieben.

Für die Theilungsfehler war im Jahre 1882 eine eingehendere Untersuchung vorbereitet worden. Zunächst wurde eine grössere Strichrosette mit einer ansehnlichen Anzahl von überschüssigen Beobachtungsgleichungen wirklich ausgemessen. Bei der Ausgleichung ergab sich aber, dass der mittlere Fehler einer ausgeglichenen Strichcorrection — solche konnten wegen der Benutzung immer nur eines Mikroskops bei den Zonen allein in Frage kommen — beträchtlich grösser war, als man nach der anderweitig bekannten Unsicherheit der einzelnen Ablesung zu erwarten hatte. Die Ursache davon war in erster Linie darin zu suchen, dass das Centrum, auf welches sich die Strichcorrectionen bezogen, gegen den Limbus Verschiebungen unregelmässiger Art erfuhr — eine Auffassung, die später durch die oben erwähnten Erfahrungen über die Einlagerung

der Instrumentenzapfen bestätigt wurde. Da unter solchen Umständen der Gewinn, den die beabsichtigte eingehende Untersuchung der benutzten Kreisbögen gewähren konnte, gegenüber dem erforderlichen Arbeitsaufwande äusserst fraglich erschien, so sind die Theilungsfehler unberücksichtigt geblieben. —

Die Nivellements, die von Zeit zu Zeit angestellt worden sind, können hier ausser Betracht bleiben, da sie bei der Reduction der Durchgänge nicht gebraucht werden, sobald man, wie es bei den Zonen der Fall war, die bekannte Bessel'sche Formel zu Grunde legt. Hiernach bleiben zur Besprechung übrig: für die Durchgänge der Collimationsfehler, und für die Declinationen die Constanten der Kreisablesung und der Einstellung.

Die Collimation wurde für die nördliche Zone wie für die südliche mit Hülfe der Collimatoren ermittelt. Einzelne Bestimmungen mit Hülfe der Libelle und des Quecksilberhorizonts liegen zwar noch bei der nördlichen Zone vor, doch wurde von dieser Bestimmungsart wegen der im Laufe der Zeit immer mehr zunehmenden Unruhe der reflectirten Bilder immer seltener Gebrauch gemacht. Ueber das Verhalten der Collimation für die Zeiten der nördlichen Zone wird man ausreichend orientirt durch die schon angeführte Publication von Engelmann, wenn dieselbe sich auch nur auf Beobachtungen bezieht, die zeitlich vor den Beobachtungen der Zonensterne liegen. Wie schon erwähnt, wurde 1883 der Objectivkopf um 90° gedreht. Für die südliche Zone ist daher ein anderes Verhalten der Collimation anzunehmen als für die nördliche.

Eine Neubestimmung der periodischen Fehler der den verticalen Doppelfaden bewegenden Mikrometerschraube ergab im März 1883 als Correction $\phi(u)$, welche wegen dieser Fehler an die in Umgängen r ausgedrückten Ablesungen anzubringen ist, die Reihe

$$\phi(u) = +0^r.00506 \cos u + 0^r.00157 \sin u + 0^r.00039 \cos 2u - 0^r.00030 \sin 2u$$

Gegenüber dem von Engelmann gegebenen Ausdrucke zeigt sich eine vollkommene Aenderung des periodischen Ganges, die aber bei der Construction des Mikrometers nach einem völligen Auseinandernehmen desselben nicht auffallen darf.

Zur Untersuchung des fortschreitenden Ganges der Schraube wurde der Winkelwerth einer Umdrehung direct an verschiedenen Stellen der Schraube bestimmt. Es ergab sich für einen Umgang bei +2°.0 R.:

bei 26ʳ	1ˢ.5486
» 30	1.5490
» 40	1.5506
» 44	1.5499
» 57	1.5510
» 62	1.5512
» 69	1.5518
» 75	1.5520

Diese Zahlen lassen deutlich einen fortschreitenden Gang erkennen. Bei der Geringfügigkeit desselben und bei der Kleinheit der Schraubenbewegung, die für die Collimationsbestimmung in Frage kommt, erschien eine eingehendere Untersuchung ohne Zweck. Für den Winkelwerth von 1ʳ ergibt sich in der Nähe des Mittelfadens (etwa bei 51ʳ) der Betrag 1ˢ.5505. In den Fällen, wo der bewegliche Verticalfaden zu Polsternbeobachtungen benutzt worden ist, wurde der Schraubenwerth für jede in Frage kommende Stelle besonders abgeleitet, und zwar aus den bekannten Winkelwerthen der Fadendistanzen und den bei solchen Gelegenheiten gemessenen Coincidenzen mit den beiden einschliessenden Fäden.

Im September 1891 ist gelegentlich der Reinigung des Meridianraumes die Collimationsschraube durch einen Stoss verbogen worden. An ihrer Stelle wurde die früher zur Bewegung des Horizontalfadens benutzte Schraube eingesetzt, die das gleiche Gewinde besass. Diese erwies sich als frei von periodischen Fehlern. Ihr Winkelwerth ergab sich für das zu benutzende Stück ebenfalls gleich 1ˢ.5505.

Die Temperatur des Rohres wurde bestimmt durch ein am Objectivende längs des Rohres befestigtes Thermometer nach Réaumur. Die Discussion der langen Reihe vorliegender Collimationsfehlerbestimmungen zeigt, dass man berechtigt ist, einen der Temperatur proportionalen Verlauf der Collimation anzunehmen, wenn auch kleine sprungweise auftretende Aenderungen vorhanden zu sein scheinen, die jedoch belanglos sind. Stärkere Aenderungen der Collimation sind immer auf äussere Eingriffe zurückzuführen gewesen. Für den Temperaturcoefficienten des Collimationsfehlers sind zwei Perioden zu unterscheiden, die durch 1889 Mai 7 getrennt sind. An diesem Tage ist das Ocularstück des Meridiankreises auseinandergenommen und gereinigt worden.

Für den Temperaturcoefficienten wurde gefunden

1883 Mai 30	bis	1884 April 9	−0ˢ.0041
1889 Mai 20	»	1890 Mai 23	−0.0020
1890 Mai 30	»	1891 April 16	−0.0022
1891 Mai 1	»	1892 Januar 27	−0.0016

Bezeichnet man diesen Coefficienten mit b, die der Temperatur t entsprechende Collimation mit c_t und den der Temperatur von 10° entsprechenden Werth mit c_{10}, so besteht die Relation

$$c_t = c_{10} + b(t - 10^\circ)$$

Für c_{10} ergaben sich folgende auf Klemme West bezogene Beträge, und zwar aus Bestimmungen, die gelegentlich des Umlegens des Instruments regelmässig in jeder Woche ausgeführt worden sind.

1883 April 16 — 1883 April 22	−0ˢ.117	1886 Jan. 9 — 1886 Nov. 25	−0ˢ.022
1883 April 25 — 1883 Mai 26	+0.008	1886 Dec. 2 — 1887 Juni 9	−0.047
1883 Mai 30 — 1883 Oct. 10	−0.018	1887 Juni 28 — 1888 Juni 5	−0.052
1883 Oct. 17 — 1884 April 9	−0.017	1888 Juni 21 — 1889 März 27	−0.059
1884 April 23 — 1884 Dec. 30	−0.017	1889 Mai 20 — 1890 Mai 23	+0.007
1885 Jan. 16 — 1885 April 1	−0.025	1890 Mai 30 — 1891 April 16	0.000
1885 April 8 — 1885 Dec. 22	−0.023	1891 Mai 1 — 1892 Jan. 27	−0.027

Diese Werthe sind der Reduction der Zonenbeobachtungen zu Grunde gelegt worden. Mit Hülfe der bekannten Rohrtemperatur t wurden aus ihnen für die einzelnen Beobachtungsabende von Stunde zu Stunde Sternzeit die c_t ermittelt und zwischen diesen dann linear interpolirt. Die tägliche Aberration wurde hierbei gleich mit c_t vereinigt. Für jeden Stern ist die Correction wegen Collimation gesondert angebracht worden.

Die Mikroskope der Westseite sind 1883 auf periodische Fehler untersucht worden. Die Fehler waren merklich, aber gering und sind unberücksichtigt geblieben, weil sie durch die Art der Ablesung in der Hauptsache eliminirt wurden.

Abgelesen worden sind bei allen Zonen stets die beiden den Nullpunkt des Mikroskops einschliessenden Striche. Bei der nördlichen Zone wurde hierbei der nachfolgende wie der vorangehende Strich mit einem und demselben Doppelfaden eingestellt, bei der südlichen Zone — wo zwei um 1ʳ.5 = 1ʳ.5 von einander entfernte Doppelfäden vorhanden waren — der nachfolgende Strich mit dem nachfolgenden und der vorangehende Strich mit dem vorangehenden Doppelfaden.

Mustert man die Bruhns'schen Ablesungen in den Tagebüchern, so fällt sofort die ausserordentlich nahe Uebereinstimmung zwischen den Einstellungen der beiden Striche auf; Abweichungen von 0ʺ.3 kommen schon äusserst selten vor. Abgesehen von dem Einfluss, den die sicher vorhandenen zufälligen Fehler der 2'-Intervalle auf die Ablesungen haben müssen, ist durchweg die Uebereinstimmung zwischen den beiden Ablesungen eine weit engere, als man nach der sonstigen Unsicherheit der Einstellung eines einzelnen Strichs zu erwarten hat. Man wird unabweisbar auf den Gedanken geführt, dass die Ablesung des zweiten Strichs durch die des ersten beeinflusst ist. Die Anbringung einer Runcorrection war unter solchen Umständen ausgeschlossen.

Für die Untersuchung des Run bei den südlichen Zonen war es zunächst erforderlich, die Distanzen der Doppelfäden zu ermitteln. In Betracht kommen nur die beiden oberen Mikroskope an der Westseite. Für die Herleitung der Distanz der Doppelfäden wurden die ursprünglich für die Controle des Run und die gleichzeitige Ableitung der Intervallfehler angestellten Messungen benutzt. Bei dem für Kl. West benutzten Mikroskope ergab sich dieser Abstand zu 91ʺ.75 und hielt sich ausserordentlich constant für die ganze Dauer der Messungen. Auch die Auffassung der Fäden war für die verschiedenen Beobachter die nämliche. Mit Benutzung dieses Fadenabstandes ergaben sich für eine Reihe von 30 Abenden, die sich über die Jahre 1883 bis 1885 ziemlich gleichmässig vertheilen, als Differenzen der Einstellungen auf zwei auf einander folgende Striche Werthe, die nie 0ʺ.3 erreichen, meist aber noch unter 0ʺ.1 liegen. Jeder solche Werth beruht immer auf dem Material eines ganzen Zonenabends, etwa auf 80—100 Ausmessungen von 2'-Intervallen. Bei dieser Kleinheit des Run brauchte auf denselben nicht näher eingegangen zu werden; es genügte, das Mittel aus der Einstellung zweier benachbarter Striche direct als Kreisablesung anzusehen.

Etwas anders war das Verhalten des bei Kl. Ost zur Kreisablesung verwendeten Mikroskops. Der Run ergab sich auch bei diesem schliesslich so klein, dass er völlig zu vernachlässigen war, es zeigte sich aber, dass der Abstand der beiden Doppelfäden kein constanter war. Die eintretenden Aenderungen fanden sprungweise statt, so dass mehrere Perioden zu unterscheiden sind, innerhalb deren die Distanz jeweilig wieder als constant angesehen werden kann. Es liegt die Vermuthung nahe, dass ein einzelner Faden zeitweilig locker geworden ist und dann Verschiebungen erlitten hat, welche diese sprungweisen Aenderungen der Distanz bewirkten.

Die Excentricität der beiden Kreise wurde im Frühjahr 1883 von Harzer bestimmt. Es fand sich für die Ablesung des Kreises an den Mikroskopen der Westseite als Excentricitäts-Correction

Kl. West: $\epsilon = +3''.59 \sin(\text{Mikr.-Abl.} - 4^\circ.79)$, (Mikr. Süd oben)

Kl. Ost: $\epsilon = +3.33 \sin(\text{Mikr.-Abl.} - 87.43)$, (» » unten)

Indem bei Kl. West −3ʺ.59, bei Kl. Ost −3ʺ.33 als constante Correction zu ϵ zugelegt wurde, war es nur bei den Anhaltsternen nothwendig die Excentricität zu berücksichtigen, während sie bei den Zonensternen vernachlässigt werden konnte.

Eine Reduction auf das Mittel aus 4 Mikroskopen war nur bei den älteren Zonen anzubringen. Hier wurden bei den Anhaltsternen alle vier Mikroskope, bei den Zonensternen aber nur ein Mikroskop abgelesen. Zur Erlangung der nöthigen Reduction auf das Mittel aus vier Mikroskopen wurden während der Zone bei mehreren Zonensternen — im Durchschnitt in einer Zone bei etwa vier, selten weniger — die vier Mikroskope abgelesen. Die aus den Anhaltsternen gewonnenen Reductionen wurden lediglich dazu benutzt, um über die Constanz der aus den Zonensternen folgenden Werthe zu entscheiden. Zu diesem Zweck wurden sie gruppenweise zu Mittelwerthen zusammengezogen. Im allgemeinen wurden die Sterne vor der Zone zu einer Gruppe vereinigt und ebenso die Sterne nach der Zone. Zwischen zwei Zonen beobachtete Anhaltsterne konnten

gewöhnlich auch zu einer Gruppe zusammengezogen werden. Ferner wurden die aus den Zonensternen abgeleiteten Reductionen innerhalb jeder Zone zum Mittel vereinigt. Dieser Mittelwerth wurde bei den Sternen der Zone als constante Reduction angebracht, wenn die Mittelwerthe aus den die Zonen einschliessenden Anhaltsternen um nicht mehr als 0".5 differirten. War diese Differenz grösser als 0".5, so wurde aus ihr die stündliche Veränderung der Reduction abgeleitet und diese mit in Rechnung gestellt. In der weitaus überwiegenden Mehrzahl der Fälle konnte die Reduction als constant angesehen werden. Für die Zonensterne, bei welchen alle vier Mikroskope abgelesen wurden, ist die gewonnene Reduction ebenso wie bei den Anhaltsternen direct benutzt worden.

Die Reduction auf den Meridian ist nach der Formel $\frac{1}{2} \sin 2\delta \cdot 2 \sin^2\frac{t}{2}$ bewirkt worden, die innerhalb der nöthigen Grenzen tabulirt wurde. Bei der südlichen Zone ist die Zeit der Declinationseinstellung durch ein Zeichen auf dem Registrirstreifen markirt. Engelmann hat nach seiner Angabe überall da, wo nichts anderes bemerkt ist, am letzten Faden eingestellt.

Die Neigung des zur Einstellung benutzten Horizontalfadens war von Engelmann aus Beobachtungen von α und δ Ursae min. bestimmt worden. Sie ergab sich als verschwindend klein und wurde daher bei der Reduction seiner Zonenbeobachtungen nicht berücksichtigt. Bei der südlichen Zone hatte die Fadenschiefe einen erheblichern Betrag. Bestimmt wurde sie durch Einstellung von Aequatorsternen am ersten und letzten Faden. Gewöhnlich sind diese Bestimmungen im Anschluss an Zonenbeobachtungen ausgeführt worden. Eine Discussion des Beobachtungsmaterials für den Zeitraum von 1883 April 30 bis 1885 März 31 ergibt, dass in den einzelnen Bestimmungen stellenweise zwar erhebliche Sprünge auftreten, dass diese aber lediglich von der Unsicherheit in den Beobachtungen herrühren und dass die Fadenschiefe selbst ein sehr constantes Verhalten zeigt. Diese Constanz tritt schon bei der Bildung der Abendmittel deutlich hervor; ganz evident zeigt sie sich aber für die aus diesen Abendmitteln gebildeten Jahresmittel. Es findet sich, bezogen auf 100^s im Aequator:

Mittel	ohne Gewichte	mit Gewichten
1883	3".778	3".771
1884	3.757	3.761
1885	3.796	3.782

Die Gewichte sind entsprechend der Anzahl der in einem Abendmittel vereinigten Werthe angenommen.

Es erscheint hiernach gerechtfertigt, wenn man für den ganzen angegebenen Zeitraum die Fadenschiefe als constant ansieht und sie dementsprechend zu 3".77 annimmt. Mit diesem Werthe sind die Kreisablesungen reducirt worden. Bestimmungen, welche gegen Schluss der südlichen Zonen noch ausgeführt wurden, bestätigen jene Constanz ebenfalls.

Bei Beginn der Revisionszonen wurde die Neigung des Horizontalfadens corrigirt und die Fadenschiefe auf Null gebracht. Einige Bestimmungen, die während der Revisionszonen ausgeführt worden sind, ergeben, bezogen auf 100^s im Aequator,

−0".11 ±0".06 aus Sternen
+0.10 ±0.04 mit Benutzung der Collimatoren.

Man ist danach berechtigt, für die Revisionszonen die Fadenschiefe zu vernachlässigen.

Eine besondere Beobachtungsreihe wurde 1886 von Mai 5 bis Juni 5 durchgeführt zur Untersuchung der Durchbiegung der Horizontalfäden. Zu diesem Zwecke wurden die benutzten Sterne möglichst häufig eingestellt und der Moment der Einstellung registrirt. Für jeden Stern wurden die nach Berücksichtigung der Reduction auf dem Meridian erlangten Zahlen ausgeglichen, und die Kreisablesungen als Functionen der Zeit der Einstellung dargestellt. Es ergab sich auf diese Weise für die Fadenschiefe der Werth 3".733, der genügend mit dem früher angeführten stimmt. Die für die Correction wegen Fadenschiefe bei den einzelnen Sternen sich ergebenden Werthe wurden nach den zugehörigen Stundenwinkeln geordnet und gruppenweise zusammengezogen. Die graphische Darstellung dieser Werthe ergab ohne weiteres, dass kein Grund vorliegt eine für beide Kreislagen verschiedene Fadenschiefe anzunehmen, und dass man die von der Fadenschiefe herrührende Correction als proportional dem Abstande vom Mittelfaden setzen darf.

Reduction der Rectascensionen.

Die Ablesung der Registrirstreifen ist stets von dem Beobachter der Fadenantritte bewirkt worden, der die abgelesenen Zahlen einem Gehülfen — fast durchweg Hrn. Leppig — dictirte. Das mit Vordruck versehene Schema, das auch für die Neureduction der Engelmann-Bruhns'schen Zonen benutzt wurde, enthielt für jeden Stern eine eigene Spalte. Der obere Raum nahm die beobachteten Fadenantritte nebst den auf den Mittelfaden reducirten Werthen auf, darunter folgten das Mittel der Antritte nebst den verschiedenen dazu gehörigen Reductionsgrössen. Der weitere Raum der Spalte nahm in ähnlicher Weise die Kreisablesung nebst den zugehörigen Reductionsgrössen auf. Den Schluss jeder Spalte bildeten endlich die Zeilen mit den Coordinaten für 1875.0. Bei den älteren Zonen wurde übrigens ausser den unmittelbar abgelesenen Zahlen auch

noch das bereits von Engelmann gebildete Mittel der reducirten Fadenantritte eingetragen und demgemäss die Wiederholung der Reduction auf den Mittelfaden unterlassen.

Engelmann las die Streifen im allgemeinen ohne Benutzung einer Scala nach dem Augenmass auf Zehntelsecunden ab, ermittelte jedoch von Zeit zu Zeit die Reduction seiner Schätzungen auf die schärfere Scalenablesung und verbesserte demgemäss die Epoche des Durchgangs. Die späteren Beobachter haben dagegen stets bis auf Hundertelsecunden mit einer, zwei Secunden fassenden, Scala abgelesen und dabei den Anfangsstrich der Scala jedesmal an eine gerade Secunde gelegt, um die etwa vorhandene Differenz zwischen geraden und ungeraden Secunden unschädlich zu machen. Der mittlere Fehler der Ablesung stieg bei dem Hipp'schen Apparat, wenn die Schrift wegen Abnutzung der Federn anfieng unsauber zu werden, auf $0^s.020$, war dagegen bei frischen Federn kleiner.

Die Grundlage der Reduction bildeten, wie vorgeschrieben, die Oerter des für die Zonen construirten Fundamental-Catalogs. Dabei sind in Folge eines Versehens auch 13 Sterne der südlichen Fortsetzung des F.-C. als Anhaltsterne mit benutzt worden. Dieser Umstand dürfte jedoch bei dem starken Ueberwiegen des nördlichen Catalogs und bei der Art, wie später die Widersprüche zwischen den einzelnen Sternen ausgeglichen wurden, nur einen sehr geringen Einfluss auf die Oerter der Zonensterne ausgeübt haben.

Um die Durchgänge durch den Mittelfaden in scheinbare Rectascensionen zu verwandeln, diente der bekannte Ausdruck

$$(\text{Uhrcorrection } \Delta U + m) + (n \operatorname{tg}\delta + c \sec\delta).$$

Die Grösse c war bereits bekannt, die anderen Grössen mussten aus den Beobachtungen der hierfür ausgewählten Anhaltsterne abgeleitet werden, da bei dem Fehlen einer Mire die directe anderweite Bestimmung von Azimut und Neigung nicht in Betracht kam. Bei den Beobachtungen nach 1882 war durch die ganze Anordnung der Abendlisten von vorn herein dafür Sorge getragen worden, dass die nothwendigen Daten in ausreichender Weise und in unmittelbarer Verbindung mit der Zone thatsächlich vorhanden und über ihre Verwendungsweise alle Zweifel ausgeschlossen waren. Bei den älteren Zonen waren dagegen die Polsterne spärlicher, als erwünscht, beobachtet worden, so dass bei einer nicht unerheblichen Anzahl von Zonen die Polstern-Beobachtungen vorangehender oder nachfolgender Tage herangezogen werden mussten. Wenn auch die Wirkungen dieses Umstandes in den meisten Fällen durch die Lage der eigentlichen Anhaltsterne genügend abgeschwächt wurden, so haben sie doch dazu genöthigt, nachträglich noch eine ansehnliche Zahl der älteren Zonen zu streichen.

Die Verbindung der Zeit- und Polsterne liefert mit den Rectascensionen des F.-C. aus jedem Polstern einen vorläufigen Werth von n, der jedoch einer Verbesserung bedarf, wenn die Differenz zwischen den Rectascensionen des Beobachters und des F.-C. einen von der Declination abhängenden Bestandtheil besitzt. Es wurde der Versuch gemacht, diesen Bestandtheil für Engelmann und Peter zu bestimmen, während bei Schumann und Hayn kein genügendes Material vorlag, so dass bei Diesen die vorläufigen n zugleich auch als die endgültigen anzusehen waren.

Bedeutet (x, O) den aus der oberen Culmination eines Polsterns x gefundenen vorläufigen Werth von n, ferner (x) die wegen der persönlichen Gleichung anzubringende Correction, so ist $(x, O)+(x)$ der Sollwerth von n. In gleicher Weise wird, wenn (x, U) das aus einer unteren Culmination gefundene n bedeutet, $(x, U)-(x)$ den Sollwerth angeben. Ist an demselben Abend noch ein anderer Polstern y beobachtet worden, sind ferner t_x und t_y die in Stunden ausgedrückten Epochen der Beobachtung und N die stündliche Aenderung von n, so führt die Combination der beiden Sterne, falls zwei obere Culminationen vorliegen, zu der Beobachtungsgleichung

$$(x, O)+(x)-[(y, O)+(y)] = N(t_x - t_y).$$

Hierin sind, wenn untere Culminationen auftreten, (x, O) oder (y, O) durch (x, U) oder (y, U) zu ersetzen und gleichzeitig die Vorzeichen von (x) oder (y) umzukehren.

Bei Engelmann ist das Material für die Bestimmung der Grössen N und (x) nicht sehr reichlich, namentlich fehlen die für den vorliegenden Zweck besonders vortheilhaften Combinationen solcher Polsterne, die nahezu gleichzeitig in entgegengesetzten Culminationen durch den Meridian gehen. Am häufigsten sind α und δ Ursae min. beobachtet worden, deren Durchgänge im Mittel sechs Stunden aus einander liegen; von den anderen Polsternen konnten für die vorliegende Aufgabe nur noch ϵ und λ Ursae min. herangezogen werden.

Setzt man nun mit dem vorhandenen Material die (hier unterdrückten) Beobachtungsgleichungen an, wobei (α), (δ), (ϵ), (λ), die zu den genannten vier Sternen gehörigen (x) bedeuten, so führt die Ausgleichung, wenn N vorläufig als unbestimmter Parameter behandelt wird, und wenn ferner jede Combination das Gewicht Eins erhält, zu folgenden Finalgleichungen:

Gleichung	Gew.	
$0 = -0^s.0214 + (\alpha) + 2.563\,N$	Gew. 16.9	Kl. West
$0 = +0.0063 + (\delta) - 1.928\,N$	» 13.7	
$0 = +0.0154 + (\epsilon) - 1.319\,N$	» 5.9	
$0 = +0.0057 + (\lambda) + 2.842\,N$	» 6 5	
$0 = -0.0190 + (\alpha) + 1.168\,N$	Gew. 14.5	Kl. Ost
$0 = +0.0349 + (\delta) - 1.627\,N$	» 14.5	
$0 = +0.0241 + (\epsilon) - 2.072\,N$	» 5.0	
$0 = +0.0034 + (\lambda) + 0.036\,N$	» 7.5	

Setzt man obige Werthe für (α) etc. in die Beobachtungsgleichuugen ein, so entsteht in den übrig bleibenden Widersprüchen ein Ueberwiegen des einen Vorzeichens, woraus hervorgeht, dass die Tendenz zur Aenderung der n in einem bestimmten Sinne vorhanden ist. Löst man endlich noch nach N auf, so wird

$$0 = -0^s\!.0055 + N \text{ (Kl. W.)} \qquad 0 = -0^s\!.0070 + N \text{ (Kl. O.)}$$

Die Einsetzung dieser N erzeugt eine erkennbare Verbesserung der Darstellung; andererseits zeigen jedoch die ansehnlichen übrigbleibenden Sprünge, dass auch unregelmässige Einwirkungen vorhanden sind, die bei dem vorhandenen Material nicht hinreichend eliminirt werden können, um die gefundenen $(\alpha)\ldots$ als verbürgt erscheinen zu lassen.

Substituirt man übrigens die Werthe von N in die obigen Finalgleichungen, so wird

	Kl. W.	Kl. O.
(α)	$+0^s\!.007$	$+0^s\!.011$
(δ)	$+0.004$	-0.023
(ϵ)	-0.008	-0.010
(λ)	-0.021	-0.004

Diese Beträge sind, da der m. F. der Gewichtseinheit etwa $0^s\!.040$ beträgt, theils von derselben Ordnung wie ihre m. F., theils erheblich kleiner. Es erscheint daher angemessen, die persönliche Gleichung von Engelmann unberücksichtigt zu lassen. Demgemäss sind die vorläufigen n als die, für ihre Epochen gültigen, definitiven angesehen worden. Beim Vorhandensein zweier, die Zone einschliessenden Polsterne wurde n für die Zwischenzeit interpolirt, oder aber bei nur kleinen Aenderungen das einfache Mittel angesetzt. Lag die Zone ausserhalb des Intervalls zwischen den Polsternen, so wurde nicht extrapolirt, sondern das nächstliegende n benutzt. Die übrigen, vereinzelt vorkommenden Polsterne sind, wo es angieng, fortgelassen, d. h. nur da benutzt worden, wo keine in der Nähe liegenden n aus den vier Sternen α, δ, ϵ und λ Ursae min. vorhanden waren.

Für die südliche Zone liegt ein umfangreiches Material vor, namentlich sind auch entgegengesetzte und nahezu gleichzeitige Culminationen in grösserer Anzahl vorhanden. Zur Untersuchung der Correctionen sind die Polsterne in drei Gruppen getheilt worden, wobei auf ein Uebergreifen der Gruppen am Rande Rücksicht genommen wurde.

Gruppe I, $\delta > 85°$:	43 Hev. Ceph.	α Urs. min.	Gr. 750	
	δ Urs. min.	λ Urs. min.	51 Hev. Ceph.	
Gruppe II, $86° > \delta > 80°$:	43 Hev. Ceph.	Gr. 750	ϵ Urs. min.	76 Drac.
	1 Hev. Drac.	30 Hev. Cam.		
Gruppe III, $\delta < 83°$:	4 Hev. Drac.	44 Hev. Ceph.	4 Urs. min.	47 Hev. Ceph.
	48 Hev. Ceph.	ϵ Urs. min.	19 Hev. Cam.	4 Cephei
	Br. 1508	γ Cephei	Gr. 1852	

Setzt man die Beobachtungsgleichungen in der nämlichen Weise, wie oben, an und leitet aus ihnen die Normalgleichungen her, so zeigt sich, dass die Unbekannten nicht sämmtlich von einander zu trennen sind. Auf eine directe Auflösung der Gleichungen von Gruppe III musste überhaupt verzichtet werden, da die Beobachtungen hier zu vereinzelt vorliegen. Es konnte sich hier nur um die Ermittelung einer der ganzen Gruppe gemeinsamen Correction handeln.

Neben N wurde in Gruppe I die Correction (51), in Gruppe II die Correction (76) als vorläufig unbestimmter Parameter angesehen. Es findet sich dann

Gruppe I

$$\left.\begin{array}{l} -(43)\ \ -4.769N + 0^s\!.0315 + 0.169(51) = 0 \\ -(\alpha)\ \ -4.427N - 0.0149 + 0.513(51) = 0 \\ +(750)\ +2.309N - 0.0280 - 0.666(51) = 0 \\ -(\delta)\ \ +0.395N + 0.0193 - 0.814(51) = 0 \\ -(\lambda)\ \ +0.439N + 0.0070 - 0.765(51) = 0 \end{array}\right\} \text{Kl. O.}$$

$$\left.\begin{array}{l} -(43)\ \ -5.134N + 0^s\!.0461 - 0.144(51) = 0 \\ +(\alpha)\ \ +3.449N - 0.0149 - 0.403(51) = 0 \\ +(750)\ +2.258N - 0.0386 - 0.676(51) = 0 \\ +(\delta)\ \ -0.081N - 0.0312 + 0.889(51) = 0 \\ +(\lambda)\ \ -0.674N - 0.0115 + 0.893(51) = 0 \end{array}\right\} \text{Kl. W.}$$

Gruppe II

$$\left.\begin{array}{l} +(43)\ \ +2.439N + 0^s\!.0127 - 0.508(76) = 0 \\ +(750)\ +0.430N - 0.0348 - 0.058(76) = 0 \\ +(\epsilon)\ \ -0.181N - 0.0263 + 0.058(76) = 0 \\ -(1)\ \ +0.298N + 0.0984 - 0.877(76) = 0 \\ +(30)\ \ -0.973N - 0.0857 + 0.704(76) = 0 \end{array}\right\} \text{Kl. O.}$$

$$\left.\begin{array}{l} -(43)\ \ -3.489N + 0^s\!.0208 + 0.426(76) = 0 \\ -(750)\ -1.533N + 0.0264 - 0.087(76) = 0 \\ +(\epsilon)\ \ -2.264N - 0.0275 - 0.145(76) = 0 \\ +(1)\ \ -1.130N - 0.0849 + 0.733(76) = 0 \\ -(30)\ \ +2.883N + 0.0558 - 0.432(76) = 0 \end{array}\right\} \text{Kl. W.}$$

Die plausibelste Annahme betreffs der Correctionen (51) und (76) ist

$$(51) = (\delta) \qquad (76) = (1)$$

Hiermit ergeben sich die nachstehenden Correctionen:

Gruppe I

Kl. O.	Kl. W.
$(43) = +0^{s}.0333 - 4.8N$	$(43) = +0^{s}.0437 - 5.1N$
$(\alpha) = -0.0095 - 4.3N$	$(\alpha) = +0.0215 - 3.4N$
$(750) = +0.0350 - 2.2N$	$(750) = +0.0498 - 2.3N$
$(\delta) = +0.0106 + 0.2N$	$(\delta) = +0.0165$
$(\lambda) = -0.0011 + 0.2N$	$(\lambda) = -0.0032 + 0.7N$
$(51) = +0.0106 + 0.2N$	$(51) = +0.0165$

Gruppe II

Kl. O.	Kl. W.
$(43) = +0^{s}.0139 - 2.3N$	$(43) = +0^{s}.0416 - 3.2N$
$(750) = +0.0378 - 0.4N$	$(750) = +0.0221 - 1.5N$
$(\epsilon) = +0.0233 + 0.2N$	$(\epsilon) = +0.0346 + 2.1N$
$(1) = +0.0524 + 0.2N$	$(1) = +0.0490 + 0.7N$
$(76) = +0.0524 + 0.2N$	$(76) = +0.0490 + 0.7N$
$(30) = +0.0488 + 0.9N$	$(30) = +0.0347 + 2.6N$

Schliesslich findet sich noch als mittlerer, der ganzen Gruppe gemeinsamer Werth

Gruppe III

$(x) = +0^{s}.030 - 0.3N$ $(x) = +0^{s}.032 - 0.1N$

Nimmt man innerhalb jeder der drei Gruppen die Correction als constant an und löst die bereits gefundenen Normalgleichungen nur nach (x) und N auf, so erhält man

	Kl. O.		Kl. W.	
I:	$(x_1) = +0^{s}.016$	$N = -0^{s}.0024$	$(x_1) = +0^{s}.012$	$N = +0^{s}.0204$
II:	$(x_2) = +0.041$	$N = -0.0125$	$(x_2) = +0.038$	$N = -0.0067$
III:	$(x_3) = +0.035$	$N = +0.0068$	$(x_3) = +0.030$	$N = -0.0175$

Innerhalb jeder Gruppe stimmen die unabhängig von einander für die beiden Kreislagen gefundenen Werthe von (x) sehr gut mit einander überein, während die Werthe von N, die — wenigstens annähernd — sogar für alle drei Gruppen Uebereinstimmung zeigen müssten, nicht die geringsten Beziehungen zu einander aufweisen, sondern hin- und herspringen. Unter diesen Verhältnissen kann man die Annahme einer constanten der Zeit proportionalen Aenderung von n nicht mehr aufrecht erhalten und ist berechtigt $N = 0$ anzunehmen. Ordnet man die sich nun für die einzelnen Polsterne ergebenden (x) nach den Declinationen der Sterne, so erkennt man sofort, dass dieselben zwischen 80° und 86° ein Maximum erreichen und in der Nähe des Poles sich Null nähern. Es ist jedoch schliesslich vorgezogen worden, nur für die Sterne der ersten Gruppe individuelle Correctionen, für die der beiden anderen Gruppen aber mittlere Werthe anzusetzen.

Die derart festgesetzten, an die vorläufigen n angebrachten Correctionen sind, bezogen auf obere Culmination, die folgenden:

δ Ursae min.	$+0^{s}.013$
51 Hev. Cephei	$+0.013$
α Ursae min.	$+0.006$
λ Ursae min.	-0.002
43 Hev. Cephei	$+0.033$
Gr. 750	$+0.036$
Polsterne zwischen 80° und 86°	$+0.039$
Polsterne unter 80°	$+0.032$

Bei der Reduction der südlichen Zonen ist im allgemeinen n für den Lauf des ganzen Abends als constant betrachtet und daher mit dem Mittelwerthe aus sämmtlichen, für den Abend vorliegenden, Bestimmungen von n gerechnet worden. Nur an einigen wenigen Abenden wurde auf den Gang in den n Rücksicht genommen.

Die Grössen $\Delta U + m$, welche auf Grund dieser n ermittelt worden sind, wurden bei Engelmann an den einzelnen Abenden gruppenweise zusammengefasst; zwischen den Epochen der auf einander folgenden Gruppen wurde dann linear interpolirt. Bei der Bildung dieser Gruppen war eine Willkür im allgemeinen ausgeschlossen, da die Anhaltsterne hier stets nur vor oder nach der Zone beobachtet sind, die einzelnen Gruppen also immer durch Zonenbeobachtungen von einander getrennt waren. Nur an einigen Stellen ist in Folge der eigenthümlichen Vertheilung der Anhaltsterne der stündliche Gang durch Ausgleichung abgeleitet worden.

In der südlichen Zone wurden die Bestimmungen von $\Delta U + m$ innerhalb des einzelnen Abends als ein fortlaufendes Ganzes betrachtet und in Gestalt einer linearen Function der Zeit ausgeglichen, wobei der Kürze halber das in solchen Fällen unbedenklich zulässige Verfahren von Cauchy Anwendung fand.* Verbunden wurde damit eine Untersuchung über die etwa vorhandenen individuellen Correctionen der einzelnen Sterne.

Zu diesem Zweck wurden die für die einzelnen Zeitsterne gefundenen Werthe $\Delta U + m$ mit Hülfe einer vorläufigen stündlichen Variation auf eine gemeinsame mittlere Epoche reducirt und darauf die Abweichungen

* Nur bei einer sehr kleinen Anzahl von Abenden, fast durchweg mit ganz kurzen Beobachtungsreihen, wurde $\Delta U + m$ als constant angenommen.

der reducirten Einzelwerthe von ihrem Mittel gebildet. Unter der Voraussetzung, dass das Mittel der auf einer grossen Anzahl von Zeitsternen beruhenden Beobachtungsreihe von systematischen Correctionen frei sei, stellen die Abweichungen der Einzelwerthe vom Mittel diese systematischen Correctionen selbst dar, jedoch behaftet mit den zufälligen Beobachtungsfehlern. Diese Abweichungen wurden nun nach den einzelnen Sternen geordnet und für jeden Stern zu einem Mittel vereinigt, wobei zunächst die beiden Kreislagen noch getrennt blieben. Bei Benutzung aller Sterne, die mindestens an 10 Abenden in jeder Kreislage beobachtet waren, ergab sich indessen für die Differenz »Ost—West« der gefundenen individuellen Correctionen nur der geringe Betrag von $-0^{s}.003$, so dass weiterhin kein Grund mehr vorlag die beiden Kreislagen getrennt zu halten.

Als m.F. einer solchen Correction, wie sich dieselbe aus der Beobachtung eines einzelnen Abends ergibt, findet sich etwa $\pm 0^{s}.035$. Dieser Werth beruht nicht auf dem ganzen Material, genügt jedoch für eine ungefähre Abschätzung.

Ordnet man die Correctionen nach den Grössen der Anhaltsterne und fasst, unter Fortlassung der an weniger als 10 Abenden beobachteten Sterne, gruppenweise zusammen, von halber zu halber Grössenclasse fortschreitend, so ergibt sich das nachstehende Resultat:

Grösse	Correction	Sterne	Einzel-Beob.
1.0 bis 1.5	$-0^{s}.021$	8	98
1.6 » 2.0	−0.009	10	115
2.1 » 2.5	−0.018	5	70
2.6 » 3.0	−0.003	24	444
3.1 » 3.5	+0.006	26	523
3.6 » 4.0	−0.002	62	1208
4.1 » 4.5	−0.005	20	264
4.6 » 5.0	+0.002	19	282
5.1 » 5.5	−0.010	7	71
5.6 » 6.1	−0.004	15	264

Das Vorwiegen des negativen Zeichens springt sofort in die Augen, ebenso aber auch, dass grössere absolute Beträge der Correction nur an den Stellen auftreten, wo die Correction unsicher bestimmt ist. Ein merkbarer Zusammenhang zwischen der Sterngrösse und dem Betrage der Correction ist nicht zu erkennen.

Es war nun noch übrig, die Abhängigkeit der Correctionen von der Declination der Sterne zu untersuchen. Das Resultat ist aus der nachfolgenden Zusammenstellung ersichtlich, in der solche Sterne, welche nicht an mindestens 3 Abenden benutzt wurden, fortgelassen sind.

Decl.	Correction	Sterne	I	II
−14°	$-0^{s}.010$	2		
−13				
−12	+0.012	6	$+0^{s}.009$	$+0^{s}.018$
−11	+0.010	8		
−10	+0.031	12		
− 9	+0.007	7		
− 8	−0.010	2		
− 7	+0.042	4	+0.019	+0.019
− 6	+0.035	6		
− 5	+0.022	8		
− 4	+0.028	10		
− 3	+0.030	4		
− 2	+0.033	6	+0.027	+0.025
− 1	+0.018	16		
0	+0.028	4		
+ 1				
+ 2	+0.018	22		
+ 3			+0.002	+0.006
+ 4	+0.002	16		
+ 5	−0.012	12		
+ 6	−0.006	16		
+ 7	−0.005	8		
+ 8	−0.017	10	−0.009	−0.008
+ 9	−0.006	21		
+10	−0.009	8		

Decl.	Correction	Sterne	I	II
+11°	$-0^{s}.008$	8		
+12	−0.012	16		
+13	+0.002	4	$-0^{s}.008$	$-0^{s}.010$
+14	−0.013	22		
+15	−0.008	10		
+16	−0.017	12		
+17	−0.008	4		
+18	−0.020	16	−0.017	−0.018
+19	−0.014	9		
+20	−0.028	6		
+21	−0.032	4		
+22	−0.012	12		
+23	−0.015	10	−0.018	−0.025
+24	−0.011	8		
+25	−0.020	2		
+26	+0.005	2		
+27	−0.020	2		
+28	−0.042	10	−0.022	−0.031
+29	−0.020	2		
+30	−0.035	2		

Ein Gang der Correctionen mit der Declination ist sofort ersichtlich. Um den Werthen eine grössere Sicherheit zu geben, sind sie gruppenweise von 5° zu 5° zu Mittelwerthen zusammen gezogen worden. Unter I finden sich die Gruppenmittel ohne Rücksichtnahme auf die Zahl der Sterne, auf denen jeder Einzelwerth beruht, unter II mit Ertheilung von Gewichten nach der Zahl der Sterne. In diesen Mittelwerthen spricht sich der Gang nach den Declinationen noch deutlicher aus. Da die Beträge der Correctionen $0^{s}.03$ nicht übersteigen, ist von einer weiteren Verwendung derselben abgesehen worden, zumal die Anhaltsterne für jede Zone thunlichst so ausgewählt waren, dass das Mittel ihrer Declinationen nahe auf die Declination der Zone

fällt. Nur bei 6 Sternen sind die individuellen Correctionen bei den zugehörigen $\Delta U+m$ berücksichtigt worden, da diese Verbesserungen starke Beträge erreichen und gut gesichert erscheinen. Es sind diess alle die Fälle, in welchen die Correction grösser als 0ˢ.05 ist und auf mindestens 10 Abenden beruht. Die in Frage kommenden Sterne sind die folgenden:

ν Eridani	Corr.	+0ˢ.08	13	Abende
25 Monocerotis	»	+0.10	40	»
η Leonis	»	−0.07	16	»
33 Sextantis	»	+0.12	17	»
20 Comae	»	−0.09	13	»
67 Ophiuchi	»	−0.06	48	»

Reduction der Declinationen.

Das Mittel der beiden zu jedem Zonenstern abgelesenen Striche bedurfte ausser der Verbesserung wegen Excentricität bei den älteren Zonen noch der Reduction auf das Mittel der vier Mikroskope, die von Engelmann bei den Anhaltsternen abgelesen worden waren. Allerdings wäre es bequemer gewesen, die Ablesungen der drei bei den Zonensternen nicht benutzten Mikroskope einfach bei Seite zu lassen; dem stand jedoch das Bedenken entgegen, dass Engelmann an den vier Mikroskopen immer nur je einen Strich abgelesen hatte. Die genannten Reductionen wurden deshalb aus dem vorhandenen Material wirklich gebildet und so wie oben näher erörtert angebracht.

Ueber Biegung, Theilungsfehler, Run und Verbesserung wegen Abstandes des Einstellungsorts vom Meridian ist ebenfalls oben bereits gesprochen worden. Bei der Berechnung der Refraction wurde unter Benutzung der Albrecht'schen Tafeln der Logarithmus der mittleren Refraction mit dem Argument »scheinbare Declination« und der Polhöhe +51°20ʹ.1 tabulirt. Die jedesmal gebrauchte scheinbare Declination ergab sich ohne Schwierigkeit bis auf 0ʹ.1 aus den Kreisablesungen unter Anbringung einer vorläufigen Indexcorrection. Die Verbesserungen wegen Barometer und Thermometer wurden, ebenfalls nach den Albrecht'schen Tafeln, für die Epochen der meteorologischen Ablesungen direct berechnet und dann geradlinig interpolirt.

Die dergestalt verbesserten Kreisablesungen lieferten, verglichen mit den aus dem F.-C. folgenden Werthen der Declination, aus jedem Anhaltstern einen Werth der Indexcorrection. Die erhaltenen Einzelwerthe wurden bei der Engelmann-Bruhns'schen Reihe zunächst innerhalb der beiden, vor und nach der Zone liegenden, Gruppen gemittelt. Betrug der Unterschied zwischen den beiden Gruppenmitteln mehr als 0ʺ.5, so wurde für die Zonensterne zwischen beiden Mitteln geradlinig interpolirt. War der Unterschied geringer, so wurde das Mittel der beiden Gruppenwerthe als constante Indexcorrection der ganzen Zone angesetzt. Ein Versuch, aus den Widersprüchen zwischen den Indexcorrectionen einer Gruppe weitergehende Verbesserungen herzuleiten, ist unterblieben: ein Blick in den später gegebenen Zonennachweis lehrt, dass für diesen Zweck nur eine recht geringe Anzahl von Abenden brauchbar gewesen wäre.

Bei den nach 1882 beobachteten Zonen wurden, ähnlich wie es bei den Uhrcorrectionen geschehen war, die Indexcorrectionen eines Abends in eine einzige Reihe zusammengefasst und als lineare Function der Zeit ausgeglichen. Eine Ausnahme hiervon wurde nur in den wenigen Fällen gemacht, wo wegen der Kürze des zwischen den beiden äussersten Sternen liegenden Zeitintervalls der Coefficient des der Zeit proportionalen Gliedes nothwendig unsicher ausfallen musste: es wurde dann vorgezogen, diesen Coefficienten von vorn herein gleich Null zu setzen. Weiter wurden dann die Indexcorrectionen des Abends mit der zugehörigen stündlichen Aenderung auf ihre Mittelepoche reducirt und die Abweichungen der reducirten Werthe von ihrem Mittel gebildet. Die Differenzen »Abendmittel minus Einzelwerth« konnten, wenn man die zufälligen Beobachtungsfehler für den Augenblick bei Seite liess, als die Verbesserungen gelten, die bei den einzelnen Sternen an die zugehörigen Indexcorrectionen (oder Declinationen) wegen der unberücksichtigt gebliebenen Theilungsfehler und der im Laufe der Zeit allmählich anwachsenden Ungenauigkeiten des F.-C. anzubringen waren.

Die genannten Differenzen wurden nun nach Sternen und Klemmenlagen geordnet, jedoch mit Fortlassung der kleinen Anzahl von Abenden, an denen weniger als fünf Anhaltsterne beobachtet worden waren. Die derart erhaltenen Zahlengruppen wurden dann gemittelt und aus den übrig bleibenden Widersprüchen für jede Gruppe der mittlere Fehler eines Einzelwerths und des zugehörigen Mittels berechnet. Diese für jeden einzelnen Stern unter Trennung nach Klemmenlagen berechneten mittleren Fehler eines Abendwerths zeigen natürlich starke Schwankungen zufälligen Ursprungs, die jedoch zusammenschrumpfen, wenn man die gefundenen Zahlen in Durchschnittswerthe zusammenzieht. Trennt man dabei nach der Zahl der Abende, die bei dem einzelnen Stern vorkommen, so erhält man die nachstehenden durchschnittlichen Beträge des m. F. der auf einem Abend beruhenden Verbesserung einer Declination:

aus Beobachtungen	an	5—9	Tagen:	±0ʺ.40	134	Sterne
»	»	10—14	» :	±0.38	74	»
»	»	15—20	» :	±0.37	27	»
»	»	21—31	» :	±0.38	8	»

Die Gesammtheit der Beobachtung von 243 Sternen, von denen jeder im Durchschnitt an 9.4 Tagen beobachtet ist, ergibt ±0"39. Aus diesen Zahlen ist jedenfalls ersichtlich, dass das Beobachtungsmaterial ein in sich ziemlich gleichartiges ist.

Die aus der ersten Ausgleichung folgenden Verbesserungen von Declination und Indexcorrection wurden nun angebracht, jedoch mit der Einschränkung, dass alle Beträge unter 0"30 unberücksichtigt blieben, und ebenso auch alle Verbesserungen, deren Betrag kleiner war als der doppelte Werth des für den betreffenden Stern berechneten mittlern Fehlers der Verbesserung. Daran schloss sich eine nochmalige Ausgleichung nach der Zeit, wobei aber von vorn herein alle Abende mit weniger als fünf Sternen fortblieben.

Obgleich die angebrachten Verbesserungen theilweise erhebliche Beträge besassen, so stimmten doch die aus den beiden Rechnungen folgenden stündlichen Aenderungen der Indexcorrection im allgemeinen sehr nahe überein: unter 108 Fällen kommen nur 34 vor, in denen der Unterschied zwischen der ersten und zweiten Rechnung 0"05 überschreitet. Ferner machte sich jetzt ein Unterschied zwischen den Klemmenlagen geltend, der noch deutlicher hervortrat, wenn man die gefundenen stündlichen Aenderungen nach Monaten geordnet zu Durchschnitten zusammenzog. Das nachstehende Täfelchen enthält neben dem Epochenmittel der auf den einzelnen Monat fallenden Beobachtungsabende unter st. Ä. den durchschnittlichen Betrag der errechneten stündlichen Aenderungen, unter ** die abgerundete durchschnittliche Anzahl der auf einen Abend fallenden Sterne, unter $\mathcal{J}$ das durchschnittliche Zeitintervall zwischen den beiden äussersten Sternen eines Abends, endlich unter T die Anzahl der benutzten Tage.

Kl. Ost						Kl. West					
Epoche		st. Ä.	**	$\mathcal{J}$	T	Epoche		st. Ä.	**	$\mathcal{J}$	T
Januar	19	−0"26	10	2^h4	6	Januar	25	+0"20	11	2^h4	3
Februar	15	+0.03	12	3.6	5	Februar	13	+0.18	13	4.1	8
März	15	−0.24	10	2.5	4	März	15	+0.13	10	4.0	9
April	9	−0.13	10	3.1	4	April	20	−0.01	10	2.6	7
Mai	11	−0.12	12	2.8	6	Mai	23	+0.06	9	2.5	5
Juni	15	−0.05	9	2.4	5	Juni	14	+0.16	14	3.1	4
Juli	8	−0.21	11	2.2	2	Juli	21	+0.52	9	2.1	1
August	17	−0.21	10	2.7	5	August	15	+0.15	11	2.8	5
September	15	−0.34	9	1.9	3	September	18	−0.04	13	3.2	4
October	21	−0.23	12	3.2	5	October	21	−0.03	10	2.4	6
November	11	−0.09	11	2.6	5	November	23	+0.08	13	3.3	2
December	10	+0.06	10	2.2	1	December	7	−0.03	10	1.9	1

Die vorstehenden, übrigens nicht weiter benutzten, Zahlen dürften von der nur theilweise beseitigten thermischen Einwirkung des Beobachters am Kreise herrühren, da von den beiden oberen Mikroskopen des Westpfeilers abwechselnd — je nach der Klemmenlage — das südliche und das nördliche abgelesen wurde. Die thermischen Einwirkungen machten sich auch noch in anderer Weise geltend: bei langen Reihen, im besondern also an Abenden mit zwei oder drei, durch Pausen getrennten, Zonen, zeigt der Verlauf der auf ihre Mittelepoche reducirten Indexcorrectionen Einbiegungen, deren Darstellung ein nach der Zeit quadratisches Glied erfordern würde. Von der Einführung eines solchen Gliedes wurde indessen abgesehen, und statt dessen vorgezogen, von Fall zu Fall zu entscheiden, ob — unter gebührender Beachtung aller Nebenumstände, im besondern auch der Ergebnisse der ersten Ausgleichung — eine errechnete stündliche Aenderung der Indexcorrection als verbürgt zu berücksichtigen sei oder nicht.

Die Abweichungen der, nöthigenfalls wegen stündlicher Aenderung verbesserten, Indexcorrectionen eines Abends von ihrem Mittel wurden nun wiederum, wie früher, nach Sternen und Klemmenlagen geordnet und gemittelt. Aus diesem zweiten System von Correctionen wurden zunächst die Fälle gestrichen, in denen die Correction auf weniger als fünf Abenden beruhte oder kleiner war als das Doppelte ihres mittlern Fehlers. Im übrigen wurde auch hier bei den Streichungen nach einem gewissen Taktgefühl verfahren. Nachstehend sind die Verbesserungen zusammengestellt, die schliesslich an die Declinationen des F.-C. oder, was damit gleichbedeutend war, an die Indexcorrectionen angebracht wurden.

Stern	Kl. O.	Kl. W.	Stern	Kl. O.	Kl. W.	Stern	Kl. O.	Kl. W.	Stern	Kl. O.	Kl. W.
γ Pegasi	−0"72	—	δ Tauri	—	+0"40	ζ Gemin.	—	+0"45	β Virg.	+0"42	—
δ Piscium	+0.49	−0"25	ε Tauri	−0"30	+0.73	β Can. min.	+0"27	−0.67	o Virginis	+0.32	—
ε Piscium	—	−0.56	ν Eridani	—	−0.56	25 Monoc.	+0.44	+0.34	η Virg.	+0.80	+0"49
θ Ceti	−0.38	—	π⁵ Orionis	+0.33	—	β Cancri	+0.63	—	20 Comae	−1.00	+0.23
η Piscium	−0.38	—	γ Orionis	+0.38	+0.18	η Cancri	—	+0.46	24 Comae	−0.72	—
ν Piscium	—	+0.89	δ Orionis	+0.26	—	ε Hydrae	—	−0.65	θ Virg.	+0.44	—
o Piscium	+0.68	—	ε Orionis	+0.24	−0.32	ζ Hydrae	−0.13	−0.55	α Virg.	−0.43	—
o Ceti	+0.27	+0.37	α Orionis	−0.43	−0.53	α Cancri	−0.54	+0.30	η Boot.	—	−0.52
δ Ceti	+0.47	+0.58	66 Orionis	—	+0.63	θ Hydrae	+0.34	—	τ Virg.	+0.96	—
δ Arietis	−0.86	—	ν Orionis	−0.51	−0.23	π Leonis	—	−0.30	ι Virg.	—	+0.47
o Tauri	+0.15	−0.58	η Gemin.	−1.09	—	η Leonis	—	+0.76	π Boot. pr.	+0.89	—
ξ Tauri	+0.94	—	μ Gemin.	−0.80	+0.36	ρ Leonis	+0.36	—	P. XIV. 221	−0.20	−0.27
f Tauri	−0.30	—	8 Monoc.	+0.24	—	33 Sext.	—	−0.35	3 Serp.	+0.24	—
λ Tauri	−0.28	—	10 Monoc.	+0.60	—	l Leonis	+0.64	—	τ¹ Serp.	−0.97	−0.62
ν Tauri	+0.89	—	18 Monoc.	+1.02	+0.52	β Leonis	−0.66	—	α Serp.	+0.62	—

Stern	Kl. O.	Kl. W.	Stern	Kl. O.	Kl. W.	Stern	Kl. O.	Kl. W.	Stern	Kl. O.	Kl. W.
ε Serp.	+0ʺ.49	+0ʺ.20	γ Ophiuchi	+0ʺ.37	+0ʺ.51	γ Aquilae	—	−0ʺ.29	1 Pegasi	−0ʺ.84	—
γ Serp.	−0.70	−0.59	ν Ophiuchi	−0.93	−0.22	δ Sagittae	−1ʺ.08	—	ε Pegasi	—	−0ʺ.54
δ Ophiuchi	−0.57	+0.28	67 Ophiuchi	+0.36	+0.23	α Aquilae	+0.19	—	20 Pegasi	−0.37	—
ε Ophiuchi	+0.54	+0.65	72 Ophiuchi	+0.56	−0.32	η Aquilae	+0.79	+0.44	α Aquarii	+0.20	—
γ Herc.	—	−0.22	η Serp.	−0.25	−0.25	β Aquilae	+0.25	—	ι Pegasi	−0.48	+1.01
49 Herc.	—	+0.62	109 Herc.	−0.31	+0.61	β Delphini	−0.66	—	θ Pegasi	—	−0.23
κ Ophiuchi	+0.38	−0.27	110 Herc.	—	+0.29	κ Delphini	+0.79	—	ζ Pegasi	+0.60	—
60 Herc.	−0.48	—	ε Aquilae	—	+0.86	δ Delphini	−0.19	−0.54	κ Piscium	—	−0.30
α Herc.	+0.76	+0.48	ζ Aquilae	—	−0.38	ε Aquarii	—	+0.55	ι Piscium	+0.13	—
δ Herc.	−0.77	—	ω Aquilae	−0.39	−0.19	ν Aquarii	−0.44	+0.29	φ Pegasi	—	+0.68
β Ophiuchi	—	−0.44	δ Aquilae	+0.28	+0.43	α Equulei	+0.23	—	ω Piscium	+0.51	−0.70

Nach Anbringung der vorstehenden Correctionen waren schliesslich die endgültigen Indexcorrectionen abzuleiten. Hierbei wurden die langen Reihen, welche die oben erwähnten Einbiegungen gezeigt hatten, zerschnitten und die Theile für sich behandelt. Ferner wurde die Ausgleichung nach der Zeit überall da unterlassen, wo schon der unmittelbare Augenschein oder das Ergebniss der beiden früheren Ausgleichungen lehrte, dass kein merklicher und verbürgter Werth der stündlichen Aenderung abzuleiten sei. In den übrigen Fällen wurde die Ansetzung einer stündlichen Aenderung davon abhängig gemacht, ob der mittlere Fehler einer Beobachtungsgleichung durch die Einführung des Zeitgliedes eine merkliche Verminderung erfuhr oder nicht. Auf diese Weise sind schliesslich von 392 Beobachtungsreihen nur 71 (43 bei Klemme Ost, 28 bei Klemme West) unter Berücksichtigung einer stündlichen Aenderung reducirt worden. Der Durchschnitt dieser Aenderungen betrug

$$-0\overset{''}{.}633 \text{ bei Kl. Ost und } +0\overset{''}{.}426 \text{ bei Kl. West.}$$

Hierbei trat noch deutlicher als früher die Abhängigkeit des Vorzeichens von der Klemmenlage hervor: bei Kl. O. besitzen nur zwei Werthe das positive Zeichen, bei Kl. W. nur vier das negative.

Bei den Revisionszonen ist in ähnlicher Weise wie bei den vorstehend behandelten Peter'schen Beobachtungen verfahren worden, jedoch unterblieb die Ableitung besonderer Correctionen für die einzelnen Sterne, weil für diesen Zweck der Umfang des Materials nicht ausreichte. Bestünde die Gewissheit, dass die oben mitgetheilten Correctionen allein von den Theilungsfehlern herrühren, so hätte man die gefundenen Zahlen ohne weiteres auch auf die Revisionszonen anwenden können. Eine solche Gewissheit ist aber nicht vorhanden.

Reduction auf 1875.0.

Die Reduction von dem beobachteten Ort auf den Jahresanfang erfolgte nach den bekannten Vierproduct-Formeln von Bessel. Zu dem Ende wurden die Sternconstanten a, b, c, d und a', b', c', d' von 20^m zu 20^m in AR. und von Gradmitte zu Gradmitte in Decl. tabulirt. Durch Verbindung dieser Grössen mit den A, B, C, D der Pulkowaer Tafeln erhielt man für jede Zone eine Skelettafel, deren Felder den Raum der Zone deckten. Zur Controle diente die Berechnung der Ecken der Skelettafel nach den trigonometrischen Formeln, unter Berücksichtigung der Mondglieder. Durch Interpolation mit zweiten Differenzen wurde dann das Intervall auf 10^m und 10' gebracht. Das war ausreichend eng, um die verlangten Reductionen rasch durch geradlinige Interpolation zu finden.

Bei den Anhaltsternen hatte sich in die Reduction der unmittelbar aus dem F.-C. entnommenen mittleren Oerter auf die Beobachtungsepoche insofern eine Inconsequenz eingeschlichen, als die Mondglieder nicht allgemein berücksichtigt worden waren. Die nachträgliche Ausmerzung dieser Ungleichförmigkeit ist unterblieben, weil ihre Wirkung in den Positionen des Catalogs von derselben Grössenordnung sein musste, wie die der Abrundungsfehler der Rechnung.

Für den Uebergang von dem Beobachtungsjahr auf die Epoche des Catalogs dienten Tafeln, deren Intervall 1^m in AR. und 1° in Decl. betrug; die Constanten m, n, m', n' wurden dabei den Pulkowaer Tafeln entnommen.

Die Engelmann-Bruhns'schen Beobachtungen reichen von 1868 bis 1873. Vernachlässigt man nun bei dem Uebergange von 1868 auf 1875 die Variatio saecularis, so geht der Fehler im ungünstigsten Falle bis $0\overset{s}{.}005$ und $0\overset{''}{.}12$. Aus diesem Grunde wurde die Aenderung der Praecession nur bei den Declinationen berücksichtigt. Hierbei genügte es, die V. s. mit den Constanten für 1870 und mit der Mitteldeclination $9^\circ 30'$ der Zone zu rechnen.

Bei den Beobachtungen nach 1882 ist die V. s. in beiden Coordinaten berücksichtigt worden. Hierbei erwies es sich als zulässig, die V. s. nur mit den Constanten für 1885 zu rechnen.

Bildung der Catalogörter.

Nachdem die Bearbeitung der älteren Zonen bis zu den Positionen für 1875.0 gediehen war, konnte mit dem Ausschreiben der Catalogzettel begonnen werden. Hierbei erhielt jede einzelne Beobachtung ihr eigenes Blatt. Obgleich dadurch die Anzahl der erforderlichen Zettel mehr als verdoppelt wurde, so bot

diese Anordnung doch in anderer Hinsicht grosse Annehmlichkeiten. Die mit Vordruck versehenen Zettel, aus einem besonders festen hellblauen Papier, waren 110^{mm} hoch bei 180^{mm} Breite und enthielten in einer Kopfleiste zunächst den Raum für folgende Angaben: Epoche der Beobachtung (mit zwei Decimalen des Jahres angesetzt), laufende Nummer der Zone, laufende Nummer des Sterns in der Zone, Datum des Beobachtungstages, Klemmenlage, Namen der beiden Beobachter, endlich Bezeichnung der B.D., falls der Stern in der B.D. vorkam. Die für eine Zone gemeinsamen Angaben wurden nicht handschriftlich eingetragen, sondern mit einer kleinen Fallpresse aufgedruckt, die der Mechaniker der Sternwarte ausgeführt hatte und die auch sonst noch häufig Verwendung fand. Die Arbeit damit gieng glatt von statten: die erforderlichen Typen waren rasch eingesetzt, und das eigentliche Aufdrucken war für eine Zone von der durchschnittlichen Ausdehnung in zwei bis drei Minuten erledigt.

Der Raum unter dem Kopf enthielt links ein kleines Feld, um die Zahl der Fadenantritte und der Einstellungen einzuschreiben. Letztere Zahl wurde jedoch nur eingetragen, wenn mehr als eine Einstellung erfolgt war. Der übrige Raum unter dem Kopf enthielt zunächst vier Zeilen, die folgende Angaben aufzunehmen hatten: 1) Grösse und Ort der B.D., 2) Ort für 1855.0, abgeleitet aus der Zone, 3) Reduction von 1875 auf 1855, 4) Grösse und genauen Ort für 1875.0 aus der Zone. Selbstverständlich hatte das Ausfüllen der vier Zeilen in der Reihenfolge von der vierten zur ersten vorsichzugehen. Beim Ansetzen der ersten Zeile wurde zugleich in der Kopfleiste die Bezeichnung der B.D. eingetragen. Bis dahin blieben die Zettel zonenweise beisammen, so dass die Vergleichung mit der B.D. mindestens zweimal unabhängig von einander erfolgte.

Unter dem Zonenort war der Platz für das Eintragen der weiterhin zu besprechenden systematischen Correctionen ausgespart. Dann folgten zwei freie Zeilen für Bemerkungen und in der unteren Hälfte des Blattes der Vordruck für die Berechnung von Praecession und Variatio saecularis nach den Gould'schen Tafeln.

Bei der ersten Durchsicht der nach Sternen geordneten Zettel aus den älteren Zonen wurden als zulässige Grenzen für die Abweichungen zwischen den Positionen eines Sterns die Beträge 0^s.30 und 3''.5 angesetzt. Das Ergebniss dieser Durchsicht war zunächst sehr deprimirend: die Zahl der Zettel, deren Reduction nachgesehen werden musste, war ausserordentlich gross. Die überwiegende Mehrheit der revisionsbedürftigen Fälle rührte von Fehlern her, die trotz ausreichender Controlsignale bei der Auszählung der Secunden auf dem Registrirstreifen begangen worden waren. Die Richtigstellung dieser Secundenfehler hat weitaus die meiste Zeit gekostet: das Zurückgehen auf die Registrirstreifen mit ihren kaum noch erkennbaren Signalpunkten ist der mühsamste und unangenehmste Theil der Arbeit gewesen. Die späteren Zonen haben nicht entfernt solche Mühe gemacht.

Nach Ausmerzung der gröberen Fehler wurde eine zweite Durchsicht vorgenommen. Bei dieser galten als nicht zu überschreitende Abweichungsgrenzen die Beträge 0^s.24 und 2''.4 für den Fall von nur zwei Beobachtungen. Bei drei oder mehr Beobachtungen wurden die Grenzen auf 0^s.29 und 2''.9 erweitert. Diese Festsetzungen haben selbstverständlich auch für die späteren Zonen Geltung gehabt. Alles, was hiernach nicht zweifelsfrei erledigt war, wurde den Revisionslisten für Meridiankreis oder Refractor überwiesen.

Mehrfach zeigte sich schon bei der blossen Durchsicht der älteren Zonen, dass stärkere Abweichungen regelmässiger Art zwischen zwei, die gleichen Sterne enthaltenden, Zonen vorhanden waren. Beim Nachsuchen ergab sich dann, dass die Fixpunkte der einen Zone wegen der geringen Anzahl der Anhaltsterne unsicher waren. Das hat dazu geführt, noch nachträglich eine Anzahl von Zonen ganz zu unterdrücken oder aber, wenn die Abweichungen geringer waren, mit halbem Gewicht anzusetzen. Aus dem gleichen Grunde ist bei einigen Zonen nur die eine Coordinate beibehalten worden. Bei den Beobachtungen nach 1882 ist nur eine einzige Zone nicht mit dem vollen Gewicht angesetzt worden: sie hatte wegen plötzlich eintretender Bewölkung vorzeitig abgebrochen werden müssen.

Bei der Vergleichung mit der B.D. wurde es als ausreichend angesehen, wenn innerhalb 2^s und 2'.5 Uebereinstimmung bestand. Stärkere Abweichungen sind in der Regel notirt und an geeigneter Stelle in den Catalog aufgenommen worden. Ebenso sind auch die Fälle angemerkt worden, in denen Hr. Prof. Deichmüller die Gefälligkeit hatte, zur Aufklärung von Zweifeln die Bonner Originale nachzusehen. —

Bereits 1870 war Engelmann auf eine systematische Differenz zwischen den beiden Klemmenlagen aufmerksam geworden. Man glaubte jedoch damals die Erscheinung auf Fehler in den benutzten provisorischen Oertern der Anhaltsterne zurückführen zu dürfen, weil gewöhnlich für beide Lagen verschiedene Anhaltsterne zur Verwendung kamen. Die Differenz ist jedoch auch nach Anwendung des definitiven F.-C. bestehen geblieben.

Um zu bestimmten Zahlenwerthen zu gelangen, wurden, soweit es angieng, innerhalb jeder halben AR.-Stunde für die ersten 50 in beiden Lagen beobachteten Sterne die Differenzen W.—O. gebildet und daraus das Mittel nebst seinem mittlern Fehler berechnet. Bei Engelmann und Peter konnte die Zahl 50 durchweg innegehalten werden, bei Schumann dagegen nicht immer, und an einzelnen Stellen fehlte das Material gänzlich. Die Hayn'schen Beobachtungen mussten, weil nur fünf Zonen mit Kl. O. vorliegen, bei dieser Untersuchung ausscheiden. Wenn für eine Klemmenlage mehrere Beobachtungen vorlagen, so wurden diese gemittelt und das Mittel wie eine einzelne Beobachtung behandelt. Nachstehend sind für beide Coordinaten die Halbstundenmittel der Differenzen nebst ihrem m. F. zusammengestellt. Bei Schumann ist ausserdem in der letzten Spalte die Anzahl der benutzten Sterne angesetzt, die bei den beiden anderen Beobachtern, wie bemerkt, immer gleich 50 ist.

AR.	$a_w - a_o$ Engelmann		Peter		Schumann			$\delta_w - \delta_o$ Engelmann		Peter		Schumann			AR.
$0^h\ 0^m$	$-0^s.066$	$\pm 0^s.012$	$-0^s.030$	$\pm 0^s.009$	$-0^s.017$	$\pm 0^s.009$	50	$-0''.33$	$\pm 0''.19$	$-1''.00$	$\pm 0''.15$	$-0''.80$	$\pm 0''.11$	50	$0^h\ 0^m$
30	−0.082	0.012	−0.038	0.011	−0.005	0.006	50	−0.07	0.16	−0.64	0.13	−1.54	0.11	50	30
1 0	−0.127	0.014	−0.041	0.011	+0.003	0.010	50	+0.17	0.17	−0.47	0.15	−0.10	0.18	50	1 0
30	−0.118	0.012	−0.025	0.010	−0.023	0.011	29	+0.60	0.15	−0.47	0.15	+0.12	0.21	29	30
2 0	−0.012	0.016	−0.039	0.011	−0.080	0.014	34	+0.43	0.15	−0.55	0.15	+0.13	0.17	34	2 0
30	−0.059	0.012	−0.053	0.010	−0.010	0.019	17	−0.32	0.14	−0.44	0.15	−0.41	0.33	17	30
3 0	−0.039	0.013	−0.013	0.012	+0.007	0.013	9	+0.12	0.17	−0.27	0.16	−0.20	0.44	9	3 0
30	−0.100	0.012	−0.001	0.013			0	+0.49	0.14	−0.47	0.15			0	30
4 0	−0.054	0.012	−0.001	0.012	+0.037	0.029	4	+0.01	0.11	−0.40	0.17	−0.75	0.47	4	4 0
30	−0.027	0.015	−0.030	0.011	+0.001	0.016	20	+0.85	0.15	−0.65	0.18	−0.43	0.18	20	30
5 0	−0.078	0.012	−0.036	0.019	−0.027	0.022	17	−0.04	0.17	−0.21	0.14	−0.33	0.26	19	5 0
30	−0.084	0.011	−0.057	0.013	−0.027	0.013	25	−0.01	0.14	−0.42	0.11	−0.42	0.19	28	30
6 0	−0.099	0.013	−0.011	0.010	−0.005	0.008	32	−0.48	0.12	−0.63	0.16	+0.06	0.14	32	6 0
30	−0.090	0.013	−0.016	0.014	−0.050	0.013	27	−0.25	0.12	−0.86	0.15	−0.48	0.20	27	30
7 0	−0.050	0.015	−0.003	0.010	+0.001	0.014	28	+0.31	0.15	−1.16	0.14	−0.78	0.12	29	7 0
30	−0.030	0.013	+0.004	0.010	−0.072	0.014	20	+1.07	0.14	−0.86	0.12	−0.90	0.20	21	30
8 0	−0.071	0.013	−0.012	0.014	−0.017	0.012	17	−0.20	0.14	−0.67	0.16	−0.55	0.37	17	8 0
30	−0.061	0.017	−0.021	0.010	−0.047	0.012	12	+0.12	0.13	−0.56	0.14	+0.35	0.21	12	30
9 0	−0.066	0.010	−0.049	0.014	−0.007	0.022	15	−0.34	0.13	−0.48	0.13	−1.00	0.24	15	9 0
30	−0.092	0.014	−0.063	0.011	−0.061	0.022	16	+0.11	0.14	−0.53	0.17	−0.96	0.20	16	30
10 0	−0.063	0.012	−0.031	0.010	+0.009	0.012	22	+0.63	0.13	−0.54	0.12	+0.02	0.21	22	10 0
30	−0.103	0.010	−0.005	0.011	+0.021	0.013	15	+0.40	0.16	−1.09	0.14	−0.50	0.25	15	30
11 0	−0.022	0.013	−0.045	0.014			0	+0.53	0.12	−0.90	0.16			0	11 0
30	−0.064	0.012	−0.015	0.010			0	+0.89	0.11	−0.30	0.13			0	30
12 0	−0.033	0.012	−0.042	0.009	−0.092	0.024	18	+0.79	0.16	−0.60	0.12	−0.44	0.22	18	12 0
30	−0.095	0.012	−0.073	0.010	−0.119	0.017	20	+0.36	0.16	−0.65	0.12	−0.66	0.24	20	30
13 0	−0.101	0.012	−0.044	0.009	−0.003	0.013	7	+0.42	0.10	−0.78	0.13	0.00	0.24	7	13 0
30	−0.165	0.008	−0.024	0.011	−0.078	0.008	27	+0.38	0.18	−0.91	0.11	−0.73	0.14	27	30
14 0	−0.109	0.014	−0.032	0.008	−0.049	0.019	14	+0.12	0.14	−0.85	0.10	−1.11	0.21	14	14 0
30	−0.109	0.013	−0.022	0.010	+0.026	0.016	27	+0.24	0.16	−1.12	0.11	−1.18	0.15	27	30
15 0	−0.106	0.009	−0.055	0.010	−0.022	0.026	8	−0.15	0.14	−0.93	0.13	−1.81	0.36	8	15 0
30	−0.117	0.010	−0.054	0.010	−0.052	0.015	14	+0.30	0.16	−0.45	0.11	−1.28	0.29	14	30
16 0	−0.088	0.010	−0.011	0.013	+0.075	0.015	4	+0.04	0.11	−0.87	0.16	−0.46	0.20	17	16 0
30	−0.089	0.010	+0.009	0.013	−0.040	0.008	29	−0.22	0.12	−0.97	0.15	−0.90	0.14	29	30
17 0	−0.072	0.012	−0.046	0.012	−0.039	0.008	50	−0.10	0.12	−0.95	0.14	−0.50	0.12	50	17 0
30	−0.088	0.013	−0.044	0.011	−0.010	0.010	50	+0.13	0.13	−1.03	0.10	−0.25	0.10	50	30
18 0	−0.091	0.011	−0.060	0.010	−0.016	0.008	50	−0.02	0.19	−0.65	0.13	−0.54	0.12	50	18 0
30	−0.081	0.012	−0.036	0.011	+0.001	0.011	50	+0.67	0.13	−0.75	0.12	−0.36	0.12	50	30
19 0	−0.100	0.011	−0.015	0.009	+0.027	0.008	41	−0.03	0.14	−0.71	0.13	−0.37	0.14	41	19 0
30	−0.082	0.013	−0.018	0.012	+0.029	0.008	50	+0.27	0.13	−0.39	0.15	−0.30	0.12	50	30
20 0	−0.086	0.011	−0.035	0.010	−0.020	0.019	5	+0.01	0.15	−0.84	0.11	−0.14	0.43	5	20 0
30	−0.110	0.013	−0.022	0.011			0	+0.25	0.16	−0.94	0.11			0	30
21 0	−0.115	0.010	−0.028	0.011			0	−0.06	0.13	−0.83	0.12			0	21 0
30	−0.084	0.012	−0.020	0.010			0	−0.34	0.12	−0.81	0.12			0	30
22 0	−0.077	0.011	−0.020	0.012	−0.075	0.040	4	−0.31	0.14	−0.90	0.16	−0.85	0.20	4	22 0
30	−0.079	0.012	−0.059	0.013	−0.051	0.014	10	−0.16	0.14	−0.53	0.12	−0.34	0.50	10	30
23 0	−0.103	0.010	−0.029	0.012	−0.046	0.011	23	−0.30	0.14	−1.01	0.12	−1.04	0.17	23	23 0
30	−0.114	0.011	−0.022	0.008	−0.027	0.009	50	−0.28	0.12	−1.13	0.15	−1.01	0.13	50	30

Der Unterschied zwischen den Kreislagen tritt bei allen drei Beobachtern deutlich hervor. Zugleich ist aber auch ersichtlich, dass erhebliche und — nach den zugehörigen m. F. zu schliessen — auch reelle Schwankungen um einen mittlern Werth vorhanden sind. Zum Theil mögen diese Schwankungen daher rühren, dass einzelne Zonen mit constanten Abendfehlern behaftet sind. Um zu untersuchen, ob eine Abhängigkeit des Unterschiedes W.—O. von der Rectascension vorhanden sei, ist der Verlauf der Correctionen für die verschiedenen Beobachter graphisch dargestellt worden. Stellenweise scheinen die durch graphische Ausgleichung von den Sprüngen befreiten Curvenzüge allerdings einen periodischen Verlauf anzudeuten, in der Hauptsache lässt jedoch die graphische Darstellung auf ein constantes Verhalten durch alle 24 AR.-Stunden hindurch schliessen. Deshalb sind die folgenden Gesammtmittel als definitive Werthe angesetzt worden:

Beobachter	$a_w - a_o$	$\delta_w - \delta_o$	Resultante
Engelmann	$-0^s.082 \pm 0^s.004$	$+0''.14 \pm 0''.06$	$1''.24$
Peter	-0.030 ± 0.003	-0.71 ± 0.04	0.84
Schumann	-0.023 ± 0.006	-0.57 ± 0.07	0.64

Vor Beginn der Revisionsbeobachtungen wurden von Schumann die Oppositionen der Planeten Iris, Victoria und Sappho nebst den damals benutzten heliometrischen Vergleichsternen beobachtet. Die Declinationsklemme war während dieser Beobachtungen noch nicht abgeändert worden; der Beobachtungsmodus war der nämliche wie bei den Zonen, nur wurden zwei um 180° von einander abstehende Mikroskope abgelesen. Wenn das vorhandene Material auch nur ein geringes ist, so hat es doch Interesse, aus ihm ebenfalls Werthe für den Unterschied W.—O. herzuleiten. Man erhält

AR.	$a_w - a_o$	$\delta_w - \delta_o$	Beob.	Reihe
$2^h 15^m$	$-0^s.025 \pm 0^s.007$	$+0''.23 \pm 0''.08$	30	Iris
19 45	-0.017 ± 0.006	$+0.08 \pm 0.09$	42	Victoria
1 0	-0.021 ± 0.006	$+0.05 \pm 0.10$	43	Sappho

oder im Mittel

$$-0^s.021 \qquad +0''.12$$

Zunächst fällt auf, dass die rein differentiell angelegten Zonen von Peter und Schumann so ausgesprochene Werthe für $a_w - a_o$ und $\delta_w - \delta_o$ besitzen. Diess könnte dazu führen, die Ursache nur in der Beleuchtung zu suchen. Dagegen spricht aber der Unterschied, den $\delta_w - \delta_o$ bei Schumann für die Zonen und die kleinen Planeten zeigt, nämlich $-0''.57$ gegen $+0''.12$. Dieser Unterschied deutet vielmehr auf eine bei den Zonen vorhandene, für Haupt- und Zonensterne verschiedene Excentricität, die bei den kleinen Planeten wegen der Benutzung von zwei Mikroskopen herausfiel. Gegen diese Erklärung spricht indessen wieder das Vorzeichen. Es laufen nämlich die Zahlen auf dem Kreise mit dem Uhrzeiger und es wurden zur Ablesung benutzt

von Engelmann bei Kl. W. Mikr. Süd oben, bei Kl. O. Mikr. Süd unten
von Peter bei Kl. W. Mikr. Süd oben, bei Kl. O. Mikr. Nord oben
von Schumann bei Kl. W. Mikr. Süd oben, bei Kl. O. Mikr. Nord oben.

Wenn nun die Hauptsterne zunächst einmal als frei von der Klemmarmreibung und der dadurch verursachten Excentricitätsänderung angenommen werden, so würde für die Zonensterne bei

Engelmann δ_w zu gross, δ_o nahe richtig oder zu gross
Peter » » » » » » » klein
Schumann » » » » » » » klein

ausfallen. Dazu passt zwar der kleine Werth Engelmann $(\delta_w - \delta_o) = +0''.14$, aber nicht der grosse Betrag bei Peter ($-0''.71$ statt $+0''.71$) und Schumann ($-0''.57$ statt $+0''.57$), zumal da bei Schumann die Klemmenreibung gegen früher erheblich vermindert war. Wenn auch die Beträge klein sind (ein Mikron $= 0''.2$ in der Neigung der Instrumentaxe und $= 0''.4$ in der Kreisablesung), so erscheinen sie doch als sicher verbürgt.

Nimmt man dagegen an, dass gerade die Hauptsterne von der Klemmenreibung afficirt wurden, weil bei ihnen das Instrument stärkere Bewegungen erfuhr, so kommt man zwar für $\delta_w - \delta_o$ bei Peter und Schumann auf die wirklichen Vorzeichen, dann stimmen aber wieder die Vorzeichen nicht bei $a_w - a_o$.

Die weitere Untersuchung der systematischen Unterschiede ist durchgeführt worden, ohne dass für die einzelnen Beobachter eine bestimmte Festsetzung über die für sie anzuwendenden Werthe von $a_w - a_o$ und $\delta_w - \delta_o$ gemacht worden ist. Die Untersuchung erstreckte sich daher nicht auf die Ermittelung der Grössen $P-E$, $S-E$, $S-P$, $H-P$ (wo die Bedeutung der Buchstaben direct verständlich ist), sondern auf sämmtliche in den Zonen vorhandene Combinationen der verschiedenen Beobachter in den verschiedenen Kreislagen. Es sind diess — sowohl für Rectascension wie für Declination — die folgenden:

$P_w - E_w$ $\quad P_w - E_o$ $\quad P_o - E_o$ $\quad P_o - E_w$
$S_w - E_w$ $\quad S_w - E_o$ $\quad S_o - E_o$ $\quad S_o - E_w$
$S_w - P_w$ $\quad S_w - P_o$ $\quad S_o - P_o$ $\quad S_o - P_w$
$H_w - P_w$ $\quad H_w - P_o$ $\quad H_o - P_o$ $\quad H_o - P_w$

Zur Ableitung der vorstehenden sechzehn Grössen ist das ganze Material herangezogen worden, jedoch unter Ausschluss derjenigen Sterne, bei denen eine merkliche Eigenbewegung bereits bekannt oder nach den vorliegenden Bestimmungen wahrscheinlich war. Die nachstehende Uebersicht enthält die Mittel der Coordinatenunterschiede; die Zahl der jedesmal benutzten Sterne ist in Klammern hinzugefügt.

$P_w - E_w$	$+0^s.050$ (657)	$-0''.68$ (637)	$S_w - P_w$	$-0^s.053$ (237)	$-0''.10$ (234)
$P_w - E_o$	-0.047 (634)	-0.70 (653)	$S_w - P_o$	-0.056 (212)	-0.91 (211)
$P_o - E_o$	-0.012 (630)	-0.02 (672)	$S_o - P_o$	-0.046 (163)	-0.12 (162)
$P_o - E_w$	$+0.079$ (673)	-0.06 (674)	$S_o - P_w$	-0.043 (187)	$+0.74$ (185)
$S_w - E_w$	$+0.034$ (1243)	-0.89 (1282)	$H_w - P_w$	-0.078 (587)	$+0.77$ (588)
$S_w - E_o$	-0.135 (1248)	-0.62 (1352)	$H_w - P_o$	-0.119 (598)	-1.04 (598)
$S_o - E_o$	-0.099 (910)	-0.15 (877)	$H_o - P_o$	-0.081 (169)	$+0.09$ (171)
$S_o - E_w$	$+0.052$ (790)	-0.33 (813)	$H_o - P_w$	-0.042 (167)	$+1.83$ (169)

Waren bei einem Stern mehrere Bestimmungen desselben Beobachters vorhanden, so wurden sie gemittelt und das Mittel wie eine Einzelbeobachtung behandelt. Auf die Verschiedenheit der Gewichte ist in solchen Fällen nicht weiter Rücksicht genommen. — Zu den obigen Zahlen sind nun noch die früher gefundenen Differenzen hinzuzufügen, nämlich die Werthe

$E_w - E_o$	$-0^s.082$	$+0''.14$
$P_w - P_o$	-0.030	-0.71
$S_w - S_o$	-0.023	-0.57

Zieht man zunächst nur die Rectascensionen in Betracht, so erhält man aus der Gesammtheit der vorstehenden Werthe 19 Beobachtungsgleichungen, aus denen die 8 Grössen

$$E_w \quad E_o \quad P_w \quad P_o \quad S_w \quad S_o \quad H_w \quad H_o$$

abzuleiten sind. Da die Gleichungen nur die Differenzen der Unbekannten enthalten, so sind letztere auch nur bis auf eine willkürliche additive Constante bestimmbar, und man darf eine willkürliche Bedingungsgleichung hinzufügen, z. B. die Bedingung, dass die Summe der Unbekannten null sein solle. Würde man danach die Normalgleichungen ansetzen, so erhielte man ein nach den Unbekannten unsymmetrisches System, weil von den sechs möglichen Combinationen zwischen den vier Beobachtern E., P., S., H. nur vier auftreten, indem sich die Verbindungen von H. mit E. und S. aus dem vorhandenen Material nicht bilden liessen. Wir wollen deshalb die vier den Beobachter H. enthaltenden Beobachtungsgleichungen vorläufig bei Seite lassen, so dass dann 15 Gleichungen mit 6 Unbekannten übrig bleiben, denen wir noch die Bedingung hinzufügen, dass die Summe der 6 Unbekannten null sein solle.

Bedeutet $\Delta\alpha(E_w)$ die Verbesserung, die an die von E. bei Klemme W. beobachteten Rectascensionen anzubringen ist, und bezeichnet man in entsprechender Weise die Verbesserungen für die anderen Fälle, so ist für die Rectascensionen

$$E_w + \Delta\alpha(E_w) = P_w + \Delta\alpha(P_w), \text{ u. s. w.}$$

denn die linken, wie die rechten Seiten dieser Gleichungen bedeuten jedesmal fehlerfrei beobachtete Rectascensionen. Damit erhält man nun die Beobachtungsgleichungen in der nachstehenden Gestalt, wobei in der Spalte rechts die nach der Ausgleichung übrig bleibenden Widersprüche »Beob.—Rechn.« mit angesetzt sind.

	B.—R.		B.—R.
$\Delta\alpha(E_w)-\Delta\alpha(P_w) = +0\overset{s}{.}050$	$-0\overset{s}{.}010$	$\Delta\alpha(P_w)-\Delta\alpha(S_w) = -0\overset{s}{.}053$	$-0\overset{s}{.}003$
$\Delta\alpha(E_o)-\Delta\alpha(P_w) = -0.047$	$+0.004$	$\Delta\alpha(P_o)-\Delta\alpha(S_w) = -0.056$	$+0.016$
$\Delta\alpha(E_o)-\Delta\alpha(P_o) = -0.012$	$+0.017$	$\Delta\alpha(P_o)-\Delta\alpha(S_o) = -0.046$	$+0.006$
$\Delta\alpha(E_w)-\Delta\alpha(P_o) = +0.079$	-0.003	$\Delta\alpha(P_w)-\Delta\alpha(S_o) = -0.043$	-0.013
$\Delta\alpha(E_w)-\Delta\alpha(S_w) = +0.034$	$+0.024$	$\Delta\alpha(E_o)-\Delta\alpha(E_w) = -0.082$	$+0.029$
$\Delta\alpha(E_o)-\Delta\alpha(S_w) = -0.135$	-0.034	$\Delta\alpha(P_o)-\Delta\alpha(P_w) = -0.030$	-0.008
$\Delta\alpha(E_o)-\Delta\alpha(S_o) = -0.099$	-0.018	$\Delta\alpha(S_o)-\Delta\alpha(S_w) = -0.023$	-0.003
$\Delta\alpha(E_w)-\Delta\alpha(S_o) = +0.052$	$+0.022$		

Gleicht man nach der Methode der kleinsten Quadrate ohne Rücksicht auf Gewichtsunterschiede aus, so wird

$$\Delta\alpha(E_w) = +0\overset{s}{.}049 \qquad \Delta\alpha(P_w) = -0\overset{s}{.}011 \qquad \Delta\alpha(S_w) = +0\overset{s}{.}039$$
$$\Delta\alpha(E_o) = -0.062 \qquad \Delta\alpha(P_o) = -0.033 \qquad \Delta\alpha(S_o) = +0.019$$

Die Grössen B.—R. verlaufen in der Hauptsache befriedigend, nur in $\Delta\alpha(S_w)$ und $\Delta\alpha(S_o)$ scheinen noch merkliche Fehlerreste enthalten zu sein. Ferner erscheint bei der grossen Zahl von Beobachtungen, auf denen $E_w - E_o$ beruht, der bei $\Delta\alpha(E_o)-\Delta\alpha(E_w)$ übrig bleibende Widerspruch $+0\overset{s}{.}029$ etwas gross.

Für die Ermittelung von $\Delta\alpha(H_w)$ und $\Delta\alpha(H_o)$ folgt aus den vier Gleichungen

$$\Delta\alpha(P_w)-\Delta\alpha(H_w) = -0\overset{s}{.}078$$
$$\Delta\alpha(P_o)-\Delta\alpha(H_w) = -0.119$$
$$\Delta\alpha(P_o)-\Delta\alpha(H_o) = -0.081$$
$$\Delta\alpha(P_w)-\Delta\alpha(H_o) = -0.042$$

$$\Delta\alpha(H_w): \left.\begin{matrix}+0\overset{s}{.}067\\+0.086\end{matrix}\right\} +0\overset{s}{.}076 \qquad \Delta\alpha(H_o): \left.\begin{matrix}+0\overset{s}{.}048\\+0.031\end{matrix}\right\} +0\overset{s}{.}039$$

Die Mittelwerthe sind als Endresultat anzusehen.

In gleicher Weise finden sich aus den oben angesetzten Zahlen für die Declinationen die Correctionen

$$\Delta\delta(E_w) = -0\overset{''}{.}35 \qquad \Delta\delta(P_w) = +0\overset{''}{.}45 \qquad \Delta\delta(S_w) = +0\overset{''}{.}51$$
$$\Delta\delta(E_o) = -0.22 \qquad \Delta\delta(P_o) = -0.28 \qquad \Delta\delta(S_o) = -0.12$$

die nachstehende Widersprüche B.—R. übrig lassen:

$P_w - E_w$	$+0\overset{''}{.}12$	$S_w - E_o$	$+0\overset{''}{.}11$	$S_o - P_o$	$+0\overset{''}{.}04$
$P_w - E_o$	-0.03	$S_o - E_o$	-0.05	$S_o - P_w$	$+0.17$
$P_o - E_o$	-0.08	$S_o - E_w$	-0.10	$E_w - E_o$	$+0.01$
$P_o - E_w$	$+0.01$	$S_w - P_w$	-0.04	$P_w - P_o$	$+0.02$
$S_w - E_w$	-0.03	$S_w - P_o$	-0.12	$S_w - S_o$	$+0.06$

Mit den für $\Delta\delta(P_w)$ und $\Delta\delta(P_o)$ gefundenen Resultaten ergibt sich dann

$$\Delta\delta(H_w): \left.\begin{matrix}-0\overset{''}{.}32\\+0.76\end{matrix}\right\} +0\overset{''}{.}22 \qquad \Delta\delta(H_o): \left.\begin{matrix}-0\overset{''}{.}37\\-1.38\end{matrix}\right\} -0\overset{''}{.}87$$

Die beiden Einzelwerthe, auf denen $\Delta\delta(H_w)$ und $\Delta\delta(H_o)$ beruhen, weichen unter einander stark ab. Es erklärt sich diess daraus, dass, abgesehen von wenigen unbeabsichtigten Ausnahmen, von Hayn nur solche Sterne bestimmt sind, bei denen zwei Bestimmungen von Peter vorliegen, die um mehr als $0\overset{s}{.}25$ oder $2\overset{''}{.}5$ von einander abwichen, und dass diese Revisionsbeobachtungen meist durch stärkere Abweichungen in Declination veranlasst sind. In solchen Fällen entspricht also der zur Ableitung von $\Delta\delta(H)$ zu Grunde liegende Mittelwerth $\Delta\delta(P_w)-\Delta\delta(P_o) = +0\overset{''}{.}71$ nicht vollständig den thatsächlichen Verhältnissen, weil eine der beiden Peterschen Bestimmungen durch einen grössern Beobachtungsfehler entstellt ist. Die erhaltenen Zahlenwerthe sind indessen die einzigen, welche sich nach Lage der Dinge ableiten lassen. Wenn sie auch nur als summarische Correctionen aufzufassen sind, so ist doch anzunehmen, dass durch ihre Anwendung eine Verbesserung der

Positionen, oder richtiger eine grössere Annäherung an das durch die Gleichung

$$\Delta(E_w)+\Delta(E_o)+\Delta(P_w)+\Delta(P_o)+\Delta(S_w)+\Delta(S_o)=0$$

definirte System hervorgebracht wird.

Bei der Benutzung der gefundenen Zahlen kam in Betracht, dass die vorhandenen Einzelbeobachtungen zwei Hauptmassen enthalten, nämlich die Beobachtungen von Engelmann und von Peter, die sich, wenn man von schmalen übergreifenden Streifen absieht, am Himmel räumlich nach dem Parallel +10° (1855.0) sondern. Die Beobachtungen von Schumann und Hayn treten an Zahl zurück und sondern sich in der Hauptsache ebenfalls nach jenem Parallel. Unter diesen Umständen erschien es als das Natürliche, an jenen Hauptmassen möglichst wenig zu corrigiren, d. h. nördlich von der genannten Trennungslinie alles auf E. zu reduciren, südlich dagegen auf P. Da ferner nicht zu ermitteln ist, ob die Differenzen W.—O. mehr der einen oder der anderen Klemmenlage zur Last zu legen sind, so blieb nur übrig diese Widersprüche gleichmässig auf beide Lagen zu vertheilen, also alle Einzelbeobachtungen, je nach der Lage des Sterns, auf eines der beiden Systeme $\frac{1}{2}(E_w+E_o)$ und $\frac{1}{2}(P_w+P_o)$ zu reduciren. Demgemäss waren die oben gefundenen Correctionen durch Hinzufügung passender Constanten derartig abzuändern, dass bei den Sternen in der Nordhälfte $\Delta(E_w)+\Delta(E_o)$, in der Südhälfte $\Delta(P_w)+\Delta(P_o)$ verschwindet. Danach sind in den Catalogzetteln an die daselbst eingetragenen Einzelpositionen nachstehende Correctionen angebracht worden:

Beobachtung	Nördliche Hälfte (Leipzig I)		Südliche Hälfte (Leipzig II)	
E_w	$+0^{s}.055$	$-0''.06$	$+0^{s}.071$	$-0''.43$
E_o	−0.055	+0.06	−0.040	−0.30
P_w	−0.005	+0.73	+0.011	+0.36
P_o	−0.027	0.00	−0.011	−0.36
S_w	+0.045	+0.79	+0.061	+0.43
S_o	+0.025	+0.16	+0.041	−0.20
H_w	+0.082	+0.50	+0.098	+0.14
H_o	+0.045	−0.59	+0.061	−0.95

Bei der Anwendung wurden diese Zahlen um eine Decimale gekürzt.

Die verbesserten Zettel wurden mit den vorhandenen Refractoranschlüssen verbunden, für die das gleiche Zettelschema Anwendung fand. Ausserdem wurden zwei andersfarbige Blätter hinzugefügt: das eine enthielt alle am Refractor erlangten Notizen, die über den blossen Anschluss hinausgiengen, im besondern also die Bemerkungen über Begleiter und die an der betreffenden Stelle des Himmels sichtbaren Sterne, auf dem andern Blatt wurden alle für den Druck bestimmten Angaben zusammengestellt. Was zu einem Stern gehörte, wurde dann zusammengeheftet, und endlich auf den entstandenen dünnen Päckchen die laufende Catalognummer aufgedruckt. —

Es ist nun noch übrig, die Sicherheit der Catalogörter zu besprechen. Ein ungefähres Urtheil erlangt man bereits aus den mittleren Fehlern, die den oben mitgetheilten Halbstundenmitteln der Unterschiede W.—O. beigefügt worden sind. Eine vollständigere Einsicht erhält man jedoch, wenn man auf die W.—O. der einzelnen Sterne zurückgeht und diese Zahlenreihen im Sinne Fechner's als Collectiv-Gegenstände* behandelt, d. h. die Vertheilung der W.—O. nach ihrer Grösse untersucht. Zu dem Ende wurden zunächst die Halbstunden-Reihen paarweise für die vollen Stunden zusammengezogen, und die Argumentdurchschnitte nebst den zugehörigen Streuungen berechnet. Da sich hierbei, wie nach dem Frühern zu erwarten war, kein von der Rectascension abhängiger Gang zeigte, so wurden weiter die verschiedenen Stundenreihen in je eine Reihe zusammengezogen, deren Verlauf aus den nachstehenden beiden Tabellen ersichtlich ist. Unter den Ueberschriften a_w-a_o und $\delta_w-\delta_o$ sind die Beträge angegeben, die bei diesen Differenzen in Betracht kamen, daneben stehen, für die drei Beobachter E., P. und S. getrennt, die Zahlen, die angeben, wie oft die betreffende Differenz vorgekommen ist.

Vertheilung der a_w-a_o.

a_w-a_o	E.	P.	S.	a_w-a_o	E.	P.	S.	a_w-a_o	E.	P.	S.	a_w-a_o	E.	P.	S.
$-0^{s}.45$	—	1	—	$-0^{s}.20$	53	9	5	$-0^{s}.04$	83	134	67	$+0^{s}.12$	10	25	8
0.37	1	—	—	0.19	56	11	2	0.03	86	125	63	0.13	7	12	2
0.36	—	1	—	0.18	70	11	5	0.02	94	112	78	0.14	13	10	8
0.32	—	2	—	0.17	84	36	4	−0.01	60	138	62	0.15	4	6	2
0.31	—	1	—	0.16	101	21	6	0.00	67	129	53	0.16	6	5	3
0.30	—	2	1	0.15	86	35	11	+0.01	47	114	57	0.17	2	2	2
0.29	1	4	—	0.14	97	47	15	0.02	52	87	52	0.18	10	—	—
0.28	4	3	1	0.13	100	54	12	0.03	53	107	49	0.19	3	5	1
0.27	4	2	—	0.12	93	58	19	0.04	42	92	45	0.20	2	7	—
0.26	3	6	1	0.11	115	51	24	0.05	31	76	34	0.21	2	5	—
0.25	5	3	1	0.10	103	68	26	0.06	21	62	31	0.22	1	1	1
0.24	33	7	2	0.09	103	75	38	0.07	16	43	18	0.23	—	1	—
0.23	37	9	4	0.08	112	100	41	0.08	18	39	21	0.24	1	4	—
0.22	36	8	—	0.07	101	100	38	0.09	18	33	20	0.32	—	1	—
−0.21	53	10	4	0.06	94	109	49	0.10	16	22	13	+0.36	—	1	—
				−0.05	79	134	47	+0.11	11	24	13				

* Näheres hierüber findet man in dem Aufsatz »Bruns, Zur Collectiv-Masslehre«, erschienen in »Wundt, Philosophische Studien, Band XIV, 1898«.

Vertheilung der $\delta_w - \delta_o$

$\delta_w-\delta_o$	E.	P.	S.	$\delta_w-\delta_o$	E.	P.	S.	$\delta_w-\delta_o$	E.	P.	S.	$\delta_w-\delta_o$	E.	P.	S.
−6″7	—	1	—	−2″7	—	8	4	−0″6	75	79	38	+1″5	39	8	7
5.4	—	1	—	2.6	—	19	4	0.5	82	84	39	1.6	42	7	4
5.1	—	1	—	2.5	3	20	9	0.4	84	106	40	1.7	39	7	1
4.9	—	1	—	2.4	4	21	6	0.3	72	98	44	1.8	26	4	2
4.5	—	1	—	2.3	12	22	12	0.2	75	76	44	1.9	29	3	—
4.3	—	1	—	2.2	7	29	11	−0.1	99	83	32	2.0	29	2	1
4.1	—	1	—	2.1	11	23	11	0.0	79	78	42	2.1	24	3	1
4.0	—	1	—	2.0	17	47	27	+0.1	78	67	41	2.2	14	1	2
3.9	—	1	1	1.9	16	42	19	0.2	90	61	29	2.3	16	1	—
3.8	—	1	—	1.8	9	40	16	0.3	91	47	34	2.4	8	3	1
3.7	—	3	1	1.7	20	61	19	0.4	97	54	22	2.5	2	1	—
3.6	—	2	—	1.6	18	63	31	0.5	82	47	29	2.6	3	1	—
3.5	—	2	1	1.5	40	86	26	0.6	74	44	15	2.7	3	1	1
3.4	—	4	1	1.4	44	89	27	0.7	64	29	26	2.8	2	2	—
3.3	—	5	1	1.3	35	82	35	0.8	60	24	19	2.9	—	—	1
3.2	—	6	—	1.2	40	95	29	0.9	72	30	20	3.0	—	1	1
3.1	—	5	1	1.1	44	76	38	1.0	70	21	11	3.1	—	—	1
3.0	—	3	4	1.0	49	124	46	1.1	66	10	5	3.5	—	2	—
2.9	—	6	1	0.9	57	99	44	1.2	49	14	12	3.6	—	1	—
−2.8	2	4	—	0.8	63	101	34	1.3	54	9	6	+4.0	1	—	—
				−0.7	65	83	41	+1.4	54	11	8				

Zeichnet man nach den vorstehenden Zahlen die Vertheilungscurven auf, so besitzen diese im allgemeinen den normalen, durch das bekannte Gauss'sche Exponentialgesetz vorgeschriebenen Verlauf. Kleine Abweichungen von der Symmetrie sind allerdings angedeutet, treten jedoch nicht so stark auf, dass man sie nicht als Reste von unausgeglichenen Zufälligkeiten ansehen könnte. Ausgesprochen ist dagegen die übernormale Häufigkeit der stärker vom Durchschnitt abweichenden Werthe, wie das allgemein stattfindet, wenn Beobachtungsmassen von verschiedenem Genauigkeitsgrade gemischt werden. Im vorliegenden Fall war die Ursache für solche Genauigkeitsschwankungen durch mancherlei Umstände gegeben, so z. B. durch die Zahl der benutzten Anhaltsterne, durch die Sternfülle, durch die wechselnde Durchsichtigkeit der Luft und durch das verschiedenartige Ablaufen thermischer Einwirkungen. Das spricht sich zum Theil auch in den mittleren Fehlern der auf einem Stern beruhenden W.—O. aus. Man findet nämlich für diese m. F. die Werthe

Engelmann: 0ˢ089 1″07   Peter: 0ˢ079 1″00   Schumann: 0ˢ069 1″01

Die grösseren Werthe bei Engelmann, die in den Curven noch viel auffallender zum Ausdruck kommen, dürften wesentlich von der Spärlichkeit der Anhaltsterne herrühren, andererseits steht der kleine Werth bei den Rectascensionen von Schumann damit im Einklang, dass bei den Revisionszonen der Beobachter im allgemeinen mehr Fäden als sonst registriren konnte.

Aus den vorstehenden Zahlen folgen als mittlere Fehler einer einmal beobachteten Coordinate die Beträge

Engelmann: 0ˢ063 0″76   Peter: 0ˢ056 0″71   Schumann: 0ˢ049 0″71

Denkt man sich den Fehler der einzelnen Beobachtung aus einem constanten Fehler der betreffenden Zone und aus einem hinzutretenden zufälligen Bestandtheil zusammengesetzt, so bringen die angegebenen m. F. die durchschnittliche Wirkung der zufälligen Fehler und der Schwankungen der Zonenfehler zum Ausdruck.

Bei den Hayn'schen Beobachtungen war das Material für eine ähnliche Untersuchung nicht ausreichend; man wird jedoch die Genauigkeit dieser Reihe sicher nicht überschätzen, wenn man für sie die unter Engelmann gegebenen Werthe ansetzt.

Einrichtung des Catalogs.

Die Einrichtung des Catalogs unterscheidet sich nur in einigen untergeordneten Punkten von den übrigen Stücken des A. G. C. In den Catalog selbst aufgenommen sind nur die durch mindestens zwei unabhängige Beobachtungen vollständig gesicherten Positionen, alle übrigen nur auf einer Beobachtung beruhenden Oerter nicht programmmässiger Sterne sind in besondere Anhänge verwiesen worden. Ebendaselbst finden sich auch noch die Oerter von einigen mehrfach beobachteten nicht programmmässigen Sternen, die nicht als völlig gesichert anzusehen sind.

Alle umfangreicheren Bemerkungen zu einzelnen Sternen, ferner alle Refractormessungen von Begleitern oder schwachen Nachbarn der Catalogsterne sind in besonderen Anhängen zusammengestellt, auf die durch ein Sternchen vor der laufenden Nummer verwiesen wird.

Wo die Abweichung der Cataloggrössen von der B.D. den Betrag von 0ᵐ4 überschreitet, ist diess in Fussnoten angeführt. Ebenso ist diess der Fall bei stärkeren Abweichungen der Schätzungen unter einander. Da die einzelnen Grössenschätzungen sich aber als verhältnissmässig unsicher erwiesen haben, sind hier nur Abweichungen von 0ᵐ8 aufwärts berücksichtigt. Findet sich bei Doppelsternen ohne weitern Zusatz der Vermerk »dpl. med.«, so besagt diess nur, dass der Stern nachgewiesenermassen doppelt ist, und dass man mangels anderer Anhaltspunkte die Position als angenähert für die Mitte geltend anzusehen hat.

In besonderen Anhängen sind alle die Fälle aufgeführt, wo die Abweichungen zwischen dem grössten und dem kleinsten Werth den Betrag von 0ˢ24 und 2″4 überschreiten. Hierbei handelt es sich, wenn nur zwei Beobachtungen vorliegen, stets um nicht programmmässige Sterne. Der Hinweis auf diese Anhänge wird durch ein der Rectascension oder Declination angefügtes Sternchen gegeben. Auch bei bekannter oder doch wenigstens deutlich ausgesprochener Eigenbewegung sind die abweichenden Beobachtungen, sobald die Differenzen die festgesetzten Grenzen überschreiten, in den Anhang aufgenommen worden. Das gleiche geschah in den Fällen, wo in ausführlicheren Noten in den anderen Anhängen auf die Eigenbewegung näher eingegangen ist.

Sind bei einem Stern zwei verschiedene Epochen angegeben, so steht die der Rectascension angehörige links, die der Declination angehörige rechts.

Ist ein Stern in mehr als vier Zonen beobachtet, so findet sich in der betreffenden Spalte nur die Zahl der Zonen angegeben. Der Nachweis der einzelnen Zonen selbst ist für alle derartigen Sterne in den Anhängen I gegeben. Ein der Zonennummer angefügtes α oder δ bedeutet, dass der Stern in dieser Zone nur in Rectascension oder nur in Declination beobachtet ist. Das Zeichen R in der Zonenspalte gibt einen Refractoranschluss an. Eine in Klammern hinter R beigefügte Zahl bezeichnet die Anzahl der selbständigen Anschlüsse, wobei nicht unterschieden wurde, ob der Stern an mehreren Abenden oder aber innerhalb eines Abends an mehrere Vergleichsterne angeschlossen worden ist. Das Nähere hierzu ist aus dem auf die Uebersicht der Zonen folgenden Verzeichniss der Refractoranschlüsse zu ersehen.

Uebersicht der 1868—1872 und 1883—1893 beobachteten Zonen.

Der Inhalt des nachfolgenden Zonennachweises ist aus den Columnenköpfen direct ersichtlich und bedarf nur weniger erläuternder Bemerkungen. Bei Angabe der Ausdehnung der einzelnen Zonen sind die Rectascensionen der äussersten die Zone einschliessenden Zeitsterne angeführt. Bei Engelmann liegen Beobachtungen von Polsternen häufig noch ausserhalb dieser Grenzen. Für die Beobachtungen der südlichen Zone und die Revisionsbeobachtungen sind meist zu Anfang und Ende der einzelnen Zonen einige Anhaltsterne nur in Rectascension beobachtet. Im Zonennachweis ist keine Rücksicht darauf genommen, ob ein Anhaltstern in beiden oder nur in einer Coordinate beobachtet ist. Ebenso ist bei der Anzahl der in den einzelnen Zonen beobachteten Zonensterne nicht vermerkt, ob nur eine Coordinate beobachtet ist oder als brauchbar angesehen werden kann.

Schumann und Hayn haben Ruhe und Schärfe der Bilder fast durchweg in Zahlen gegeben, wo 1 die grösste, 4 die geringste Ruhe und Schärfe bezeichnet. Die entsprechenden Bemerkungen bei Engelmann bedürfen keiner näheren Erklärung, hingegen ist zu erwähnen, dass bei Peter die Bemerkungen betreffs der »Luft« sich im wesentlichen auf die Ruhe, betreffs der »Bilder« auf die Schärfe der Sternbilder beziehen.

Zone	Kl.	1868	Ep.	Ausdehnung der Zone einschl. F. u. P. St. Anf.	Ende	Anzahl der Sterne F.	P.	Zon.	Zonensterne von	bis	Temp. R.	Bemerkungen
												Zonen von Engelmann (10° bis 15°; Beobachter am Kreis: Bruhns).
1	W.	Jan. 17	68.05	$2^h\ 0^m$	$3^h\ 7^m$	3	1	49	$2^h\ 1^m$	$3^h\ 1^m$	5°	Sterne alle gut.
2	»	» 21	.06	5 18	7 37	4	1	56	6 1	7 1	0	Sterne unruhig.
3	»	» »	.06	7 32	9 12	4	1	54	8 3	9 0	0	Sterne sehr unruhig.
4	»	Feb. 18	.13	5 48	9 38	5	1	73	6 3	9 18	1	Sterne sehr unruhig; Grössen unsicher wegen Nebels; mehrmals Wolken notirt; am Schluss trübe.
5	»	» 23	.15	7 55	9 12	3	1	59	8 1	9 0	1	
6	»	» »	.15	9 53	11 14	3	–	54	10 3	11 1	0	
7	»	März 13	.20	7 32	9 12	3	1	56	8 2	8 58	4	
8	»	» 14	.20	7 37	9 12	3	1	31	8 1	9 0	5	Sterne unruhig.
9	»	» »	.20	9 53	11 7	3	–	58	10 1	11 0	3	Sterne sehr unruhig.
10	»	» »	.20	11 59	12 35	2	1	28	12 5	12 31	3	Sterne unruhig.
11	O.	» 15	.20	7 32	9 12	3	1	58	8 3	9 0	2	Sterne unruhig.
12	»	» 16	.21	7 55	9 12	3	1	61	8 1	9 0	2	Sterne sehr unruhig.
13	»	» »	.21	9 8	11 7	3	–	57	10 3	11 1	1	
14	»	» »	.21	11 59	13 28	2	1	55	12 5	12 59	1	
15	»	» 25	.23	7 32	10 58	5	1	13	10 1	10 13	1	Sterne höchst unruhig.
16	»	» »	.23	10 58	13 48	3	1	53	12 6	13 1	—1	
17	»	» 26	.24	7 32	9 12	3	2	60	8 1	9 1	1	Sterne herrlich; zuletzt dunstig.
18	»	April 2	.26	7 32	9 12	2	1	53	8 7	8 58	5	Sterne sehr schön.
19	»	» »	.26	9 53	11 7	3	–	59	10 1	11 0	3	Sterne gut.
20	»	» »	.26	11 7	13 48	3	1	52	12 1	13 1	2	
21	»	» 3	.26	7 32	9 12	3	1	48	8 11	9 0	5	Sterne schön.
22	»	» »	.26	9 8	13 48	4	1	52	12 1	13 0	2	
23	»	» 4	.26	8 25	10 26	3	1	58	9 2	10 0	9	Sterne schön.
24	»	» »	.26	10 26	12 35	3	1	52	11 0	12 0	7	Sterne schön.
25	»	» 23	.31	11 59	13 48	3	1	44	12 5	13 0	8	
26	»	» »	.31	13 55	15 40	3	–	57	14 3	15 2	7	
27	W.	Mai 6	.35	10 58	13 28	3	1	57	12 6	13 1	6	Sterne unruhig.
28	»	» »	.35	13 48	15 40	3	–	61	14 3	15 2	4	Sterne sehr unruhig.
29	»	» 8	.36	—	13 28	1	1	59	12 1	13 1	10	Am Schluss Sterne sehr unruhig.
30	»	» »	.36	13 48	15 40	4	–	59	14 2	15 2	8	
31	»	» 9	.36	11 59	13 28	2	1	53	12 1	13 0	12	Sterne sehr schön.
32	»	» »	.36	13 48	16 7	5	–	59	14 1	15 2	10	
33	»	» 14	.37	11 59	13 28	2	1	43	12 5	13 0	14	
34	»	» »	.37	13 48	16 21	6	–	58	14 1	15 2	12	
35	»	» 15	.37	11 59	13 28	2	1	53	12 1	12 59	14	Sterne schön, nur gegen Ende der Zone schlecht.
36	»	» »	.37	13 48	15 40	4	–	57	14 3	15 2	14	
37	»	» 16	.38	14 44	16 19	4	–	62	15 1	16 2	12	Sterne unruhig.
38	»	» 18	.38	12 49	14 40	3	–	63	13 1	14 2	13	

Zone	Kl.	1868 / 1869	Ep.	Ausdehnung der Zone einschl. F. u. P. St. Anf.	Ende	Anzahl der Sterne F.	P.	Zon.	Zonensterne von	bis	Temp. R.	Bemerkungen
39	W.	Mai 18	68.38	14h59m	16h19m	3	1	62	15h 1m	16h 2m	11°	
40	»	» 19	.38	12 56	14 40	2	–	60	13 0	14 2	14	Sterne sehr schön; stellenweise aber wahrscheinlich Cirri.
41	»	» »	.38	14 59	16 19	3	1	59	15 1	16 2	11	Sterne unruhig von Mitte ab.
42	O.	» 28	.41	13 48	15 40	3	2	58	14 2	15 2	15	Sterne schwach und unruhig.
43	»	» 29	.41	13 55	15 22	2	–	59	14 1	15 3	14	Sterne unruhig.
44	»	» »	.41	15 40	17 29	3	1	58	16 1	17 2	13	
45	»	Juni 13	.45	15 50	17 37	3	2	59	16 1	16 59	10	Sterne sehr unruhig.
46	»	» 16	.46	15 30	17 37	3	1	59	16 3	17 1	14	Luft gut.
47	»	» 18	.47	15 40	17 29	3	1	59	16 2	17 1	11	Sterne unruhig.
48	»	» »	.47	17 37	19 19	3	–	62	18 3	19 2	9	Sterne sehr unruhig.
49	»	» 20	.47	17 29	19 19	4	–	62	18 2	19 1	11	Sterne unruhig, am Schluss sehr unruhig.
50	W.	» 21	.47	15 40	17 29	3	1	59	16 1	17 2	15	
51	»	» »	.47	17 37	19 19	3	–	64	18 3	19 2	13	Sterne sehr verwaschen.
52	»	» 26	.49	15 50	17 37	3	2	60	16 0	16 59	14	Im Anfang Cirri.
53	»	Dec. 12	.95	0 6	2 21	3	2	61	1 2	2 1	–1	Sterne sehr unruhig; von Nr. 24 an helle Fäden.
54	»	» »	.95	2 55	4 28	3	–	53	3 1	4 2	–1	Am Schluss Sterne sehr unruhig.
55	»	» 14	.95	23 20	3 24	4	1	56	0 2	1 1	2	
56	»	» »	.95					66	2 0	3 1	1	
57	»	» »	.95	4 55	6 17	2	1	69	5 0	6 0	1	Am Schluss Sterne unruhig.
58	»	» 17	.96	5 40	7 32	4	–	69	6 1	7 1	1	Sterne unruhig bis höchst unruhig; gegen Schluss leichte Wolken.
59	»	» 23	.98	3 56	5 18	3	1	42	4 2	4 48	3	Sterne sehr unruhig, am Schluss Wolken.
60	»	» 31	69.00	23 53	2 11	3	1	41	1 1	2 0	2	Sterne sehr unruhig, dunstig.
61	»	Jan. 4	.01	23 33	5 18	4	1	59	3 1	4 1	2	Sterne sehr unruhig, Wolken im Anfange.
62	O.	» 6	.02	0 42	2 21	4	1	54	1 0	1 59	3	
63	»	» 8	.02	0 56	2 21	3	–	48	1 1	2 2	1	Sterne unruhig.
64	»	» 11	.03	0 6	2 21	3	1	63	1 0	2 1	0	Sterne unruhig.
65	»	» »	.03	2 21	4 15	3	–	65	3 1	4 1	0	Sterne sehr unruhig.
66	»	» »	.03	5 48	6 56	2	1	20	7 2	7 43	–1	Sterne sehr unruhig.
67	»	» 12	.03	0 56	2 21	2	1	56	1 1	2 1	–1	Sterne sehr unruhig.
68	»	» »	.03	2 55	4 15	3	–	55	3 1	4 2	–1	Sterne sehr unruhig.
69	»	» »	.03	5 58	7 32	2	–	58	6 0	7 1	–3	Sterne sehr unruhig.
70	»	» 14	.04	4 28	6 17	2	1	63	5 1	6 0	–2	Sterne schön, Luft sehr durchsichtig.
71	»	» »	.04	6 56	8 9	2	–	62	7 1	8 1	–2	Am Schluss Cirri.
72	»	» 15	.04	1 4	3 4	4	1	66	1 14	3 1	–1	Sterne sehr schön, in der Dämmerung begonnen.
73	»	» »	.04	3 56	6 56	3	–	63	4 1	5 33	–1	Sterne unruhig im Anfang, später gut.
74	»	» »	.04	6 56	8 9	2	–	68	7 1	8 0	–2	Sterne gut.
75	»	» 18	.05	8 9	8 40	4	–	54	7 3	8 0	–7	Sterne sehr schlecht.
76	»	» 19	.05	1 35	3 4	3	1	55	2 2	3 1	–4	Sterne anfangs schön, von Mitte ab unruhig.
77	»	» »	.05	3 4	6 17	4	–	44	5 6	5 50	–5	Häufig Cirri.
78	»	» 25	.07	2 11	4 28	4	1	65	3 1	4 1	–5	Sterne schlecht und sehr unruhig.
79	»	» 31	.09	3 53	7 12	4	1	44	6 14	6 59	5	Einzelne Wolken.
80	»	Febr. 2	.09	2 42	4 15	4	–	65	3 0	4 0	5	Sterne schön.
81	»	» 5	.10	3 4	7 12	3	–	69	6 1	7 1	5	
82	»	» »	.10	7 11	10 9	4	–	55	9 3	9 57	3	Sterne schlecht.
83	»	» 6	.10	3 56	5 58	2	1	55	4 2	5 1	6	Sterne sehr schön.
84	»	» »	.10	5 58	7 12	3	–	63	6 2	7 1	5	
85	»	» »	.10	8 25	10 9	3	–	54	9 1	9 57	3	
86	»	» 7	.10	3 53	7 55	3	–	52	4 2	4 59	7	Am Schluss Cirri.
87	»	» »	.10	7 55	10 9	3	–	56	9 1	10 1	6	
88	»	» 13	.12	3 53	7 32	4	–	74	4 3	6 1	2	Sterne sehr schlecht, zerfliessen oft ganz.
89	»	» 15	.13	3 53	5 48	4	1	61	4 0	5 1	3	Sterne schlecht.
90	»	» 16	.13	8 37	10 9	4	–	60	9 0	10 0	1	Sterne anfangs gut, verschlechtern sich aber bald, von Mitte ab sehr schlecht.
91	»	März 11	.19	9 53	11 7	3	–	57	10 1	11 0	0	Sterne ziemlich unruhig.
92	»	» »	.19	11 13	12 13	3	–	24	11 33	12 1	–2	Sterne sehr unruhig.
93	W.	» 21	.22	6 56	8 9	2	1	67	7 3	8 0	3	

Zone	Kl.	1869 / 1870	Ep.	Ausdehnung der Zone einschl. F. u. P. St. Anf.	Ende	Anzahl der Sterne F.	P.	Zon.	Zonensterne von	bis	Temp. R.	Bemerkungen
94	W.	März 21	69.22	8h 37m	10h 1m	3	–	55	9h 0m	10h 1m	2°	Nach der Mitte Wolken, am Schluss Sterne verwaschen.
95	»	» 28	.24	8 37	10 26	4	1	59	9 2	10 0	3	
96	»	» »	.24	10 42	12 29	4	1	53	10 44	12 1	2	
97	»	» 29	.24	7 55	10 1	4	1	55	8 59	9 57	5	Sterne sehr schön.
98	»	» »	.24	10 42	12 50	4	1	55	11 1	12 1	3	
99	»	April 12	.28	9 45	11 59	5	–	60	10 1	11 0	11	Sterne sehr schön.
100	»	» »	.28	12 35	14 10	2	1	60	13 1	14 2	10	Sterne unruhig und verwaschen, in der Mitte Wolken.
101	»	» 13	.28	9 34	11 7	3	–	61	10 2	11 0	8	Dunstige Luft, Sterne unruhig.
102	»	» »	.28	11 42	14 10	3	1	57	13 4	14 0	6	Sterne unruhig.
103	O.	» 14	.29	9 53	11 42	3	–	61	10 2	11 0	12	
104	»	» »	.29	12 13	14 10	3	1	63	13 1	14 2	9	
105	»	» 22	.31	10 26	12 13	3	1	53	11 4	12 1	7	
106	»	» »	.31	12 56	14 35	3	1	58	13 4	14 0	7	
107	»	» 27	.32	10 1	12 13	4	–	42	11 21	12 1	11	Sterne schön.
108	»	» »	.32	12 56	14 10	2	1	58	13 0	14 2	9	
109	»	» 28	.33	10 1	12 13	3	–	54	11 2	12 1	14	Sterne sehr schön.
110	»	» »	.33	12 56	14 59	4	1	64	13 1	14 2	12	
111	»	» 29	.33	10 1	13 28	3	1	55	11 1	12 5	6	Sterne sehr unruhig und verwaschen.
112	»	» »	.33	13 48	15 29	3	–	59	14 1	15 2	4	Sterne sehr unruhig.
113	»	Mai 11	.36	15 22	15 44	4	1	54	14 4	15 2	10	Sterne schlecht.
114	»	» 12	.36	13 48	14 10	3	–	4	14 3	14 4	12	
115	»	» 14	.37	14 10	16 8	4	1	66	14 42	16 2	6	Sterne schlecht.
116	»	» 27	.40	14 59	16 19	5	–	42	15 1	16 2	11	Im Anfang Cirri, Sterne schlecht.
117	»	Juni 30	.50	19 12	19 44	4	1	60	18 7	19 1	11	Sterne sehr schön.
118	W.	Juli 4	.51	18 18	18 59	5	2	65	17 1	18 6	13	
119	»	» 5	.51	16 8	18 18	3	2	50	17 11	18 0	14	
120	»	» »	.51	18 40	20 27	10	–	63	19 2	20 1	13	Sterne schön.
121	»	» 11	.53	16 51	18 6	2	2	60	17 5	18 2	12	Sterne sehr unruhig.
122	»	» »	.53	18 40	20 27	7	–	65	19 3	20 1	10	Sterne unruhig und schlecht.
123	»	» 12	.53	17 29	18 6	2	2	56	17 8	18 1	12	
124	»	» »	.53	18 40	20 27	8	–	61	19 2	20 2	11	Sterne sehr schlecht.
125	»	» 13	.53	16 51	18 59	5	3	65	17 1	18 2	15	
126	»	» 19	.55	17 29	19 19	4	1	65	18 2	19 1	14	Sterne schön, Luft durchsichtig.
127	»	» 20	.55	19 40	21 9	5	2	61	20 1	21 2	11	Sterne verwaschen.
128	»	» 22	.56	16 51	20 31	7	1	59	19 1	20 0	12	Sterne sehr unruhig.
129	»	» 23	.56	17 29	19 19	4	3	62	18 3	19 1	14	
130	»	» »	.56	19 40	21 9	4	1	64	20 1	21 0	12	Im Anfang wohl einige Cirri.
131	»	» 28										Nachträglich unterdrückt.
132	»	» 30	.58	17 54	19 19	3	–	59	18 4	19 2	18	Im letzten Drittel Wolken.
133	»	» »	.58	19 40	21 7	3	1	59	20 1	21 0	15	
134	»	Aug. 3	.59	19 12	19 19	2	–	60	18 10	19 1	11	Sterne unruhig und verwaschen.
135	»	» »	.59	19 40	21 16	4	1	53	20 1	21 0	10	
136	O.	Nov. 23	.90	22 35	0 13	4	1	60	23 1	0 1	0	
137	»	» »	.90	0 56	2 37	4	2	54	1 5	2 1	0	Sterne unruhig.
138	»	» 24	.90	21 55	23 14	5	1	60	22 1	23 1	1	
139	»	» »	.90	23 46	1 25	4	1	57	0 8	1 1	0	
140	»	» 29	.91	3 53	4 44	4	1	26	4 1	4 33	–1	Sterne sehr unruhig, am Schluss Wolken.
141	»	Dec. 7	.93	22 40	0 13	5	1	66	23 1	23 59	–2	Sterne schlecht.
142	»	» »	.93	4 28	6 34	4	2	93	4 36	6 1	–3	Sterne ausserordentlich schlecht.
143	»	» 8	.94	22 40	0 13	4	2	66	23 2	0 4	–4	Sterne schlecht.
144	W.	Febr. 3	70.09	2 55	4 15	4	1	61	3 3	4 0	–2	Sterne schlecht.
145	»	» »	.09	6 56	8 25	4	1	67	7 1	8 1	–4	Sterne schlecht.
146	»	» 4	.10	2 55	4 28	5	1	62	3 2	4 1	–5	Sterne unruhig.
147	»	» »	.10	4 12	8 25	6	1	55	7 4	8 0	–8	Sterne sehr unruhig.
148	»	» 5	.10	6 44	8 40	5	2	52	7 3	8 0	–10	Sterne schlecht, Beleuchtung wegen Kälte sehr matt und schwankend.
149	»	» 6	.10	3 53	5 18	4	1	57	4 2	5 0	–10	

Zone	Kl.	1870	Ep.	Ausdehnung der Zone einschl. F. u. P. St. Anf.	Ende	Anzahl der Sterne F.	P.	Zon.	Zonensterne von	bis	Temp. R.	Bemerkungen
150	W.	Febr. 6	70.10	6^h56^m	8^h25^m	4	–	63	$7^h\ 3^m$	$8^h\ 0^m$	−12°	Sterne schlecht.
151	»	» 7	.10	3 53	5 18	4	1	60	4 3	5 1	−9	Sterne schön.
152	»	» »	.10	6 56	8 25	4	–	64	7 2	7 58	−12	Sterne schlecht.
153	»	» 10	.11	3 53	5 18	4	–	54	4 1	5 1	−8	Sterne schön.
154	»	» 15	.13	3 53	5 58	6	–	62	4 0	5 1	−8	
155	»	» 25	.15	4 47	6 17	4	1	65	5 2	6 1	0	Sterne sehr schön, Luft sehr durchsichtig.
156	»	» »	.15	7 56	9 12	3	–	64	8 1	9 1	−1	
157	»	März 1	.16	4 47	6 30	4	1	66	5 1	6 1	3	Sterne schön.
158	»	» 3	.17	7 56	9 34	4	1	67	8 1	9 1	1	Luft sehr durchsichtig, gegen Schluss Sterne unruhig.
159	»	» 6	.18	5 48	7 20	4	1	62	6 3	6 59	0	Klare Luft, gegen Schluss Sterne unruhig.
160	»	» »	.18	8 51	10 26	4	–	55	9 3	9 57	−1	Sterne sehr unruhig und verwaschen.
161	»	» 7	.18	6 30	10 26	6	2	60	9 1	10 0	−3	Sterne unruhig und verwaschen.
162	»	» 13	.20	5 48	10 58	8	1	61	7 4	8 1	−2	Sterne unruhig.
163	O.	» 15	.20	5 48	8 25	5	1	62	7 3	8 1	−1	Sterne sehr schön, Luft sehr durchsichtig.
164	»	» 19	.21	5 48	8 25	3	1	55	7 1	8 0	0	Sterne sehr schön.
165	»	» »	.21	10 26	11 44	4	–	19	11 0	11 21	−1	
166	»	April 18	.30	10 26	12 28	7	1	57	11 7	12 1	7	
167	W.	» 19	.30	10 26	12 28	7	2	57	11 1	12 1	8	
168	»	» 20	.30	10 26	12 28	7	1	54	11 1	12 1	8	
169	»	Mai 17	.38	14 35	16 24	6	2	58	15 2	16 2	9	
170	»	» 18	.38	14 35	16 24	6	3	57	15 3	16 3	11	Sterne gegen Schluss unruhig.
171	»	» 19	.38	14 40	16 24	6	–	41	15 2	15 46	14	Stark dunstig, später dicke Cirri; abgebrochen wegen Wolken.
172	»	» 21	.39	15 29	17 9	6	–	61	15 43	16 45	14	Sehr dunstig, fast alle Beobachtungen unsicher wegen Schwäche, Schluss wegen Wolken.
173	O.	» 26	.40	14 40	16 24	6	–	60	15 1	16 2	5	Sterne sehr unruhig.
174	»	» »	.40	16 46	18 18	4	2	60	17 2	18 0	4	
175	»	» 27	.40	14 50	16 24	5	–	61	15 2	16 2	6	
176	»	» »	.40	16 46	18 18	4	2	62	17 4	18 1	6	
177	»	» 28	.41	15 44	17 37	5	1	62	16 1	17 2	5	
178	»	» 29	.41	14 40	16 24	5	–	58	15 3	16 3	9	
179	»	» »	.41	16 46	18 18	3	2	71	17 1	18 6	7	
180	»	» 30	.41	15 40	17 37	5	1	65	16 1	16 59	9	
181	»	Juni 4	.43	14 50	16 52	7	1	57	15 9	16 2	10	
182	»	» 6	.43	14 59	16 52	5	2	7	15 1	15 8	11	
183	W.	» 14	.45	15 40	17 9	3	1	61	16 3	17 1	13	
184	»	» »	.45	17 29	19 19	4	–	70	18 1	19 6	12	Sterne unruhig und etwas verwaschen.
185	»	» 15	.46	15 40	17 9	3	2	62	16 2	17 2	15	
186	»	» »	.46	17 29	19 19	4	–	68	18 2	19 0	14	
187	»	» 16	.46	15 38	17 9	4	3	57	16 1	16 59	16	Sterne sehr schön.
188	»	» »	.46	17 29	19 19	4	–	66	18 1	19 1	14	
189	»	» 21	.47	16 30	17 9	2	–	22	16 33	17 2	11	Sterne unruhig.
190	»	» »	.47	17 29	19 19	6	–	64	18 2	19 1	10	Sterne unruhig.
191	»	» 22	.48	16 24	18 18	5	2	67	16 4	18 1	14	
192	»	» »	.48	18 50	20 11	4	–	70	19 1	20 3	11	Sterne etwas verwaschen.
193	»	» 30	.50	16 46	18 18	3	1	53	17 3	18 2	9	Sterne unruhig.
194	»	» »	.50	18 50	20 27	5	–	70	19 1	20 2	8	Sterne unruhig und verwaschen.
195	O.	Juli 7	.52	16 52	18 18	3	1	59	17 5	18 1	12	Sterne unruhig.
196	»	» »	.52	18 50	20 27	6	–	64	19 2	20 1	10	
197	»	» 8	.52	16 46	18 18	3	3	66	17 2	18 2	14	Sterne sehr schön.
198	»	» »	.52	18 50	20 27	5	1	65	19 3	20 1	12	Sterne schön.
199	»	» 10	.52	17 29	19 19	5	–	63	18 3	19 1	15	Stern sehr schön.
200	»	» »	.52	19 40	21 9	3	1	63	20 1	20 56	14	Sterne sehr schön.
201	»	» 14	.54	16 46	18 18	3	–	57	17 2	18 2	14	Dunstig, Sterne unruhig.
202	»	» »	.54	18 54	20 27	4	–	65	19 1	20 0	12	
203	»	» 15	.54	16 52	18 18	2	2	60	17 2	18 1	15	
204	»	» »	.54	18 50	20 27	5	1	72	19 1	20 2	13	
205	»	» 16	.54	19 19	20 31	5	1	27	20 1	20 18	14	

Zone	Kl.	1870	Ep.	Ausdehnung der Zone einschl. F. u. P. St. Anf.	Ende	Anzahl der Sterne F.	P.	Zon.	Zonensterne von	bis	Temp. R.	Bemerkungen
206	O.	Juli 23	70.56	17^h54^m	19^h44^m	5	1	78	$18^h\ 1^m$	$19^h\ 7^m$	11°	Sterne unruhig.
207	»	» »	.56	20 37	22 15	3	–	62	21 2	22 1	10	Sterne verwaschen und unruhig.
208	»	» 24	.56	17 29	19 19	5	–	68	18 2	19 1	13	Sterne schön, gegen Schluss aber unruhig.
209	»	» »	.56	20 27	21 16	3	1	66	20 1	21 0	11	Sterne sehr unruhig.
210	»	» 25	.57	17 29	19 19	6	–	70	18 2	19 1	13	Sterne unruhig, gegen Schluss sehr unruhig und verwaschen.
211	»	» »	.57	19 40	21 16	4	1	65	20 1	21 0	11	
212	»	» 26	.57	17 29	19 19	5	–	72	18 1	19 1	15	
213	»	» »	.57	19 40	21 16	4	1	62	20 0	21 0	13	Sterne unruhig und verwaschen.
214	»	» 27	.57	17 54	19 19	3	–	72	18 2	19 0	17	Sterne gut.
215	»	» »	.57	19 40	21 16	4	1	69	20 1	21 0	15	
216	»	Sept. 19	.72	18 50	20 31	4	1	72	19 2	20 1	8	Sterne unruhig und verwaschen.
217	»	» »	.72	20 34	22 15	4	–	64	21 2	22 1	6	Sterne sehr unruhig und verwaschen.
218	»	» 20	.72	21 38	23 10	3	–	66	22 1	23 1	8	Sterne gegen Schluss sehr verwaschen.
219	»	» »	.72	23 19	1 47	5	1	44	0 5	1 2	8	Sterne sehr unruhig und verwaschen.
220	»	» 22	.73	19 40	21 9	3	1	63	20 1	21 0	8	Sehr klar.
221	»	» »	.73	21 55	23 23	4	–	69	22 1	23 2	7	
222	»	» 23	.73	18 40	20 27	6	1	71	19 1	20 3	7	Sterne schön.
223	»	» 24	.73	18 50	20 5	3	2	73	19 1	20 2	8	Sehr durchsichtig.
224	»	» »	.73	20 11	22 35	4	–	59	21 6	22 0	7	Sterne unruhig.
225	»	» 25	.73	18 40	20 31	7	2	65	19 0	19 59	10	Sterne sehr schön, im Anfang Dämmerung.
226	»	» 26	.74	18 50	20 11	4	2	70	19 2	20 0	11	Im Anfang Dämmerung, Sterne schön.
227	»	» »	.74	20 27	22 15	4	–	60	21 1	22 0	10	Luft durchsichtig, Sterne schön.
228	»	» 27	.74	18 18	20 11	5	2	57	18 57	20 1	11	Im Anfang Dämmerung, Sterne schön, Luft sehr durchsichtig.
229	»	» »	.74	20 27	22 15	4	–	77	20 55	22 2	9	Sterne etwas verwaschen.
230	»	» 28	.74	18 40	21 38	6	2	70	18 54	21 0	7	Im Anfang Dämmerung, Sterne unruhig und verwaschen.
231	»	» »	.74	21 38	23 23	5	–	54	22 2	23 1	5	Sterne sehr verwaschen und unruhig.
232	»	» 30										(Nachträglich unterdrückt.)
233	»	Oct. 1	.75	19 19	23 23	6	1	64	20 3	21 1	8	Sterne sehr schön.
234	»	» »	.75					56	22 2	22 59	6	Relais klebt oft, gegen Schluss Sterne unruhig.
235	»	» »	.75	0 7	1 25	2	1	34	0 29	1 1	6	Gegen Schluss Sterne schlecht.
236	»	» 2	.75	19 19	21 16	6	1	64	20 2	21 13	8	
237	»	» »	.75	21 16	23 23	5	–	62	22 4	22 59	7	
238	»	» 3	.76	19 19	21 16	5	1	56	20 3	21 1	8	Sterne sehr schön.
239	»	» »	.76	22 58	0 23	3	1	65	23 1	0 1	5	Sterne unruhig und verwaschen.
240	»	» 5	.76	19 40	22 58	7	1	28	20 6	21 13	6	Sterne sehr schön.
241	»	» »	.76					58	21 15	22 5	6	
242	W.	» 6	.76	19 19	22 4	5	–	50	21 4	21 46	5	Am Schluss trübe.
243	»	» 15	.79	20 41	1 25	5	–	17	1 1	1 19	1	Sterne ganz nebelig und verwaschen, wegen dicken Nebels abgebrochen.
244	»	» 16	.79	19 19	21 16	4	1	70	20 3	21 0	4	Sterne unruhig.
245	»	» »	.79	21 16	0 7	7	1	60	22 2	23 1	3	
246	»	» 18	.80	19 19	21 16	5	1	67	20 1	21 0	6	
247	»	» »	.80	21 38	23 23	4	–	68	22 1	23 1	3	Sterne unruhig.
248	»	» »	.80	0 7	2 56	4	1	60	1 1	2 0	2	Sterne unruhig und verwaschen.
249	»	» 25										(Nachträglich unterdrückt.)
250	»	» 27	.82	20 27	22 4	4	–	51	21 9	21 53	5	Gegen Mitte Sterne sehr unruhig.
251	»	» »	.82	22 35	0 7	2	1	56	23 4	0 1	4	
252	»	» »	.82	1 25	3 24	4	–	59	2 1	2 59	3	Sterne verwaschen, am Schluss Wolken.
253	»	Nov. 7	.85	19 40	22 15	6	1	65	21 2	22 1	0	Sterne sehr unruhig, dunstig.
254	»	» 14	.87	20 27	22 15	5	1	67	21 2	22 0	2	Sterne etwas verwaschen.
255	»	» »	.87	22 58	2 0	4	-	69	23 1	0 4	2	
256	»	» 16	.88	21 55	0 7	4	–	78	23 1	23 59	2	Sterne verwaschen.
257	»	» 17	.88	20 27	22 15	5	–	73	21 1	22 0	2	Sterne schön, Luft sehr durchsichtig.
258	»	» »	.88	22 35	2 11	6	1	69	23 1	0 1	1	Sterne verwaschen.
259	»	» 18	.88	22 58	2 21	8	–	66	1 1	2 1	1	Sterne sehr verwaschen und unruhig.
260	»	» 19	.88	20 31	22 15	3	–	80	21 1	22 5	5	

Zone	Kl.	1870 1871 1872	Ep.	Ausdehnung der Zone einschl. F. u. P. St. Anf.	Ende	Anzahl der Sterne F.	P.	Zon.	Zonensterne von	bis	Temp. R.	Bemerkungen
261	W.	Nov. 19	70.88	22h 35m	1h 25m	5	1	48	23h 1m	23h 42m	4°	Luft sehr durchsichtig, späterhin Sterne etwas verwaschen.
262	»	» 24	.90	21 38	23 10	3	–	61	22 4	22 59	6	Sterne sehr schön, gegen Schluss Cirri.
263	»	» »	.90	23 19	1 25	6	1	56	23 42	0 50	5	Wolken, abgebrochen wegen Wolken.
264	»	Jan. 13	71.04	1 25	6 38	9	2	58	5 2	6 0	–10	Sterne sehr verwaschen.
265	»	» 14	.04	1 25	3 18	5	1	55	2 1	3 1	–10	Gelbes Feld, Sterne sehr verwaschen und unruhig.
266	»	» »	.04	4 29	6 38	4	1	64	5 2	6 2	–12	Das Gas brennt sehr schwach, Kreis schwer abzulesen.
267	»	» 15	.04	1 25	3 4	4	1	54	2 3	3 1	–12	Sterne ganz verwaschen.
268	»	» »	.04	3 18	6 38	5	1	64	5 1	6 1	–11	Von 5h 43m ab gelbes Feld.
269	»	» 16	.04	1 25	4 29	7	1	65	2 1	3 2	–5	Sterne schön.
270	O.	» 23	.06	1 25	3 24	5	1	64	2 9	3 2	–3	Sterne schön.
271	»	» »	.06	4 29	7 37	5	–	61	6 4	7 1	–6	Sterne sehr unruhig; von 6h 46m ab gelbes Feld.
272	»	» 31	.08	1 25	3 24	6	–	43	2 4	3 4	–7	In heller Dämmerung angefangen.
273	»	» »	.08	4 29	7 33	4	–	108	5 2	6 30	–8	Gelbes Feld, Sterne gut.
274	»	Febr. 1	.09	3 20	6 7	5	–	60	5 2	6 0	–10	Gelbes Feld, Sterne unruhig.
275	»	» »	.09	6 17	7 33	4	1	35	6 32	7 7	–10	Sterne schön.
276	»	» 22	.14	5 28	7 11	6	–	23	6 5	6 26	0	Sterne sehr schön, durchsichtige Luft, aber bald Wolken.
277	»	» 26	.16	4 12	6 38	6	1	62	5 5	6 1	5	Sterne schön.
278	»	März 1	.16	4 12	6 17	4	1	67	5 1	6 1	–1	Sterne sehr unruhig.
279	»	» »	.16	6 38	8 51	5	–	68	7 1	7 58	–2	Sterne unruhig.
280	»	» 2	.17	4 12	6 17	5	1	58	5 1	6 1	1	Sterne sehr schön, Luft äusserst durchsichtig.
281	»	» »	.17	6 38	8 40	4	–	73	7 3	8 6	0	Sterne ausgezeichnet.
282	»	» 5	.17	4 29	7 11	7	–	71	6 1	7 1	6	Sterne ausgezeichnet schön!!
283	»	» 7	.18	5 18	7 20	6	–	64	6 1	7 0	7	Sterne sehr schön!!
284	»	» 9	.19	5 18	8 40	9	1	77	6 2	8 10	3	
285	»	» 13	.20	5 48	7 11	3	–	68	6 1	7 4	10	Sterne schön.
286	»	» »	.20	7 20	8 51	5	1	37	8 1	8 31	8	Sterne sehr schön.
287	W.	Juli 4	.51	18 40	20 34	8	1	65	19 0	19 59	11	Sterne unruhig.
288	»	» 8	.52	18 40	19 49	6	1	38	19 2	19 30	13	Sterne verwaschen und unruhig, gegen Schluss wahrscheinlich Cirri.
289	»	» 10	.52	16 36	20 34	10	1	55	19 2	20 1	13	Gegen Mitte Sterne etwas verwaschen.
290	»	» 14	.53	19 0	21 38	6	–	39	19 26	20 0	13	Luft sehr durchsichtig, Sterne unruhig.
291	»	» »	.53					67	20 1	21 1	12	Zuletzt Cirri.
292	»	» 16	.54	17 37	21 16	9	2	70	20 3	21 2	13	Sterne unruhig und verwaschen.
293	»	» 17	.54	17 29	21 38	10	1	65	20 2	21 1	13	Luft sehr durchsichtig, Sterne schön.
294	»	» 27	.57	19 45	21 38	7	–	68	19 57	21 0	10	Sterne verwaschen.
295	»	» 31	.58	20 27	22 11	7	1	47	21 3	21 49	9	Sterne verwaschen und unruhig, zeitweilig Wolken.
296	»	Aug. 2	.59	20 27	22 15	6	1	81	20 55	22 2	10	Viel Cirri im Anfange.
297	»	» 7	.60	20 27	21 59	7	1	44	21 1	21 37	10	Sterne unruhig, zeitweilig Wolken.
298	»	» 8	.60	20 27	22 15	6	1	69	21 2	22 0	12	Sterne gut.
299	»	Jan. 31	72.08	4 29	7 33	6	1	69	6 2	7 1	0	Sterne schlecht.
300	»	Febr. 1	.09	2 32	6 38	8	2	72	5 0	6 1	0	
301	»	» 2	.09	2 56	7 33	9	2	65	6 2	7 1	0	Sterne gut.
302	»	» 3	.09	2 56	7 33	9	2	74	6 5	7 7	–1	Dunstig.
303	»	» 10	.11	3 24	5 25	5	–	61	4 2	5 1	3	Sterne schön.
304	»	» »	.11	5 58	7 33	6	1	76	6 1	7 1	1	Sterne gut.
305	»	» 22	.14	4 29	7 33	8	1	65	6 2	7 0	2	
306	»	» 28	.16	4 16	6 17	4	1	72	5 1	6 5	–2	Sterne unruhig und verwaschen.
307	»	» »	.16	6 34	9 34	5	–	67	8 2	9 1	–3	Sterne scheusslich.
308	»	März 3	.17	5 48	7 33	6	1	67	6 1	7 0	3	Sterne unruhig.
309	»	» 4	.17	5 18	7 20	7	–	73	6 1	7 5	5	
310	»	» 5	.18	5 48	7 20	6	1	21	6 23	6 43	5	
311	O.	» 6	.18	7 11	9 53	8	1	61	8 3	9 0	4	Sterne schön, Luft sehr durchsichtig.
312	»	» 8	.18	7 11	9 34	8	1	66	8 1	9 1	5	Sterne sehr schön.
313	»	» 15	.20	7 20	9 34	6	1	70	8 0	9 1	3	Sterne schön.
314	»	» 26	.24	7 20	11 44	9	1	61	8 2	9 0	1	Von 8h 55m ab mit dem linken Auge beobachtet.
315	»	Juni 6	.43	14 50	17 42	8	1	55	16 0	17 0	12	Sterne gut, gegen Schluss Wolken.
316	»	» 8	.44	15 38	17 9	7	1	25	16 0	16 47	10	

Zone	Kl.	1872 / 1873	Ep.	Ausdehnung der Zone einschl. F. u. P. St. Anf.	Ende	Anzahl der Sterne F.	P.	Zon.	Zonensterne von	bis	Temp. R.	Bemerkungen
317	O.	Juni 11	72.45	15^h20^m	17^h37^m	7	2	49	$16^h\ 3^m$	16^h50^m	10°	Sterne ziemlich unruhig, zuletzt Wolken.
318	»	» 14	.45	16 46	17 42	5	1	18	16 50	17 1	11	Sterne sehr unruhig.
319	W.	» 20	.47	15 38	17 42	7	2	62	16 0	17 0	13	Sterne unruhig und verwaschen.
320	O.	» 24	.56	20 27	22 35	7	1	75	21 1	22 5	15	Sterne unruhig und verwaschen.
321	»	Juli 27	.57	20 27	22 15	8	1	37	21 2	21 47	16	Sterne ziemlich unruhig.
322	»	Oct. 8	.77	22 4	1 35	7	2	52	23 1	0 1	5	
323	»	» 16	.79	23 11	0 7	4	1	51	23 42	0 44	2	Sterne sehr schlecht, unruhig.
324	W.	Nov. 4	.85	21 16	23 53	3	–	14	22 2	22 12	5	Wegen Wolken abgebrochen.
325	»	» »	.85	23 53	1 25	2	1	63	0 1	1 4	4	Sterne sehr verwaschen.
326	»	» »	.85	1 35	3 24	4	–	64	2 1	3 2	3	Sterne unruhig und verwaschen, am Schluss Wolken.
327	»	» 23	.90	21 10	23 46	8	1	79	21 55	23 2	7	Sterne gut.
328	»	» 24	.90	21 16	23 23	5	–	64	22 1	22 59	5	
329	»	» »	.90	23 33	0 42	3	–	15	0 2	0 14	4	Abgebrochen wegen Wolken.
330	»	» »	.90	0 42	1 25	2	1	12	0 50	1 1	4	
331	»	» 25	.90	21 38	23 46	7	–	59	22 2	23 1	5	
332	»	» »	.90	1 25	2 21	3	1	37	1 31	2 31	4	Im Anfang Wolken.
333	»	Dec. 3	.92	23 11	1 35	6	1	55	0 2	1 2	5	Sterne etwas verwaschen.
334	»	» »	.92	3 54	5 30	5	–	61	4 2	5 1	5	Sterne schön, sehr durchsichtig.
335	»	» 8	.94	23 23	1 39	6	1	61	0 2	1 1	2	
336	O.	» 9	.94	22 58	23 53	5	–	12	23 34	23 42	4	Wolken.
337	»	» »	.94	0 7	1 35	3	1	29	0 34	1 1	4	Sterne sehr schön.
338	»	» 27	.99	23 11	1 25	6	1	53	23 31	0 30	2	
339	»	» 28	.99	23 11	1 35	7	–	59	0 3	1 32	1	Sterne schön.
340	»	» 31	73.00	23 33	3 4	10	1	61	23 40	2 33	2	Sterne sehr schön.
341	»	Jan. 7	.02	1 25	2 32	5	1	12	2 1	2 15	3	Trotz Wolken Sterne schön und sicher.
342	»	» 8	.03	1 35	3 18	11	1	29	2 4	2 58	1	Sterne schön, am Schluss sehr schön.

Die folgenden Nummern bis 350 sind dadurch ausgefallen, dass mehrere, nicht reducirte und vorstehend auch nicht aufgeführte Zonen erst zu einer Zeit unterdrückt wurden, wo die Nummern für die südlichen Zonen (von 351 an) bereits festgesetzt waren und ohne grössern Zeitaufwand auch nicht mehr abgeändert werden konnten.

Zonen von Peter (5° bis 10°; Beobachter am Kreis: Z. 351–527 Harzer, Z. 528–743 Schnauder.)

Zone	Kl.	1883	Ep.	Anf.	Ende	F.	P.	Zon.	von	bis	Temp. R.	Bemerkungen
351	W.	April 26	83.32	10^h35^m	12^h14^m	4	2	65	10^h38^m	$12^h\ 6^m$	6°	Zu Anfang der Zone zog zuweilen leichtes Gewölk vorüber.
352	»	» »	.32	12 50	13 56	5	2	26	12 58	13 36	4	Zone wegen Wolken abgebrochen.
353	»	» 27	.32	11 59	13 29	7	2	53	12 1	13 25	6	
354	»	» »	.32	13 49	15 20	6	2	67	13 58	15 18	5	
355	»	» 28	.32	11 59	13 29	7	2	58	12 1	13 26	8	
356	»	» »	.32	13 49	15 20	6	2	71	13 52	15 17	7	
357	»	» 30	.33	11 59	13 29	7	2	58	12 1	13 26	6	
358	O.	Mai 4	.34	11 59	13 29	7	2	53	12 1	13 26	6	Sterne sehr unruhig.
359	»	» »	.34	13 49	15 20	6	2	64	13 51	15 18	5	Bilder veränderlich, zum Theil wahrscheinlich Wolken; kurz nach Schluss der Zone ganz trübe.
360	»	» 5	.34	11 59	13 29	7	2	60	12 1	13 26	9	
361	»	» »	.34	13 49	15 20	6	2	74	13 52	15 17	8	
362	»	» 6	.35	10 35	12 14	5	2	67	10 45	12 6	10	Die ersten Sterne in ganz heller Dämmerung beobachtet.
363	»	» 7	.35	11 59	13 29	7	2	51	12 1	13 26	8	Sterne im Anfang unruhig und aufgeblasen.
364	»	» »	.35	13 49	15 20	6	2	64	13 51	15 18	6	
365	»	» 8	.35	12 50	14 40	7	2	75	12 58	14 39	10	Von 13^h50^m ab öfter durch leichtes Gewölk unterbrochen.
366	W.	» 17	.38	11 43	15 9	9	2	94	11 53	15 6	11	Der Anfang der Zone fällt in die Dämmerung.
367	»	» 21	.39	11 43	15 9	9	2	75	11 55	15 3	6	Die ersten Sterne in heller Dämmerung beobachtet; gegen 13^h mehrfach durch Wolken unterbrochen.
368	»	» 22	.39	11 59	13 29	6	2	42	12 22	13 27	9	Im Anfang helle Dämmerung, 12^h50^m bis 13^h Wolken.
369	O.	» 24	.40	12 50	14 40	7	2	70	13 7	14 39	14	Sterne sehr unruhig, selbst hellere Sterne waren oft nur mit Mühe zu beobachten; am Schluss der Zone der ganze Himmel leicht überzogen.
370	»	» 25	.40	13 4	14 22	5	2	36	13 5	14 8	13	Sterne ausserordentlich unruhig.
371	»	» »	.40	14 35	16 17	8	2	56	14 45	16 15	12	Sterne sehr unruhig.
372	»	» 28	.41	13 4	14 35	6	2	46	13 26	14 31	10	Bilder sehr schlecht.

Zone	Kl.	1883	Ep.	Ausdehnung der Zone einschl. F. u. P. St. Anf.	Ende	Anzahl der Sterne F.	P.	Zon.	Zonensterne von	bis	Temp. R.	Bemerkungen
373	O.	Mai 29	83.41	$13^h\ 4^m$	$13^h 29^m$	3	1	17	$13^h\ 5^m$	$14^h\ 4^m$	14°	Sterne nur zeitweilig durch Wolken sichtbar.
374	W.	» 31	.41	16 47	18 50	10	2	54	17 1	18 12	12	Von 18^h ab Wolken.
375	»	Juni 1	.42	12 14	15 20	13	3	56	13 50	15 18	15	
376	»	» »	.42	15 39	17 9	9	3	47	15 40	16 50	13	
377	»	» 2	.42	12 14	15 20	13	3	66	13 51	15 18	16	
378	»	» 4	.43	12 14	15 20	13	3	61	13 50	15 18	16	
379	»	» »	.43	15 39	17 9	9	3	45	15 40	16 50	15	Sehr unruhige Bilder, einzelne Wolken.
380	O.	» 6	.43	14 40	16 17	9	2	49	14 50	16 14	13	Sterne äusserst unruhig.
381	»	» 7	.43	14 40	16 17	8	2	50	14 49	16 15	14	
382	»	» »	.43	16 47	17 42	5	1	19	17 2	17 24	13	Wegen Wolken abgebrochen.
383	»	» 9	.44	14 40	16 17	8	2	60	14 45	16 15	14	
384	W.	» 25	.48	15 39	17 10	8	2	34	15 49	16 59	12	
385	»	» »	.48	17 38	19 41	9	2	71	17 45	19 19	11	
386	O.	» 28	.49	15 39	17 10	7	2	48	16 4	16 59	15	
387	»	» »	.49	17 38	19 41	9	2	76	17 38	19 19	13	
388	»	» 29	.49	16 47	18 50	10	2	65	17 1	18 13	15	
389	»	» 30	.50	15 39	17 10	7	2	52	16 3	16 59	17	
390	W.	Juli 20	.55	17 38	19 41	9	2	66	17 39	19 19	12	Von $18^h 43^m$ ab einzelne Wolken.
391	»	» 21	.55	17 38	19 41	9	2	75	17 38	19 19	12	
392	O.	» 30	.58	17 38	20 12	7	2	46	17 41	18 53	10	Einzelne Wolken während der Zone; Schluss der Zone wegen Störung im Registrirapparat verloren.
393	W.	Aug. 1	.58	17 38	19 41	9	2	73	17 38	19 18	12	Namentlich im Anfang Bilder sehr schlecht, Himmelsgrund milchig.
394	»	» 3	.59	17 38	19 41	9	2	75	17 41	19 19	11	Einzelne leichte Wölkchen.
395	»	» 6	.60	19 0	20 51	7	2	47	19 44	20 47	12	Die Sterne in der Mitte der Zone durch Hängenbleiben des Registrirstreifens verloren; die Anhaltsterne am Schluss durch Wolken verloren.
396	O.	» 12	.61	20 5	22 36	9	2	94	20 29	22 27	10	Sterne meist verwaschen und unruhig; von 30 Hev. Camelop. ab Wolken, zuletzt ganz trübe.
397	»	» 14	.62	17 38	19 41	8	2	72	17 39	19 19	16	Mondschein, Sterne anfangs sehr unruhig.
398	»	» »	.62	20 5	21 17	6	1	36	20 35	21 12	15	Wurde plötzlich total trübe.
399	W.	» 20	.64	17 38	19 41	9	2	74	17 46	19 18	14	Anfangs noch helle Dämmerung, später Mondschein.
400	»	» »	.64	20 5	22 36	9	2	105	20 29	22 35	12	Mondschein.
401	»	» 21	.64	17 38	19 41	9	2	75	17 47	19 18	16	Anfangs helle Dämmerung; kurz nach Schluss der Zone wurde es trübe.
402	O.	» 24	.65	20 5	22 36	9	2	100	20 36	22 34	11	Sterne sehr unruhig, Bilder meist stark verzerrt und verwaschen, mitten in der Zone Wolken.
403	»	» 25	.65	17 38	19 41	9	2	76	17 47	19 18	13	Anfangs helle Dämmerung, Sterne unruhig und öfters verwaschen.
404	W.	» 31	.67	18 2	22 36	14	4	87	20 37	22 35	13	Anfangs einzelne leichte Wolken. Sterne fast durchgängig auffallend verwaschen und daher schlecht zu beobachten.
405	»	Sept. 3	.67	19 0	21 3	8	2	80	19 42	20 47	11	Sterne verwaschen und unruhig, namentlich im Anfange der Zone.
406	O.	» 10	.69	19 0	21 3	8	2	74	19 44	20 47	9	Mondschein.
407	W.	» 12	.70	20 5	22 36	8	2	107	20 34	22 33	12	Sterne sehr unruhig, anfangs einzelne Wolken, Mondschein.
408	»	» 14	.70	18 2	21 3	11	4	81	19 42	20 48	13	Mondschein.
409	»	Oct. 13	.78	20 34	23 47	11	4	69	22 6	23 45	8	Einzelne Wolken, Mond während der Zone im Meridian.
410	»	» 15	.79	18 2	21 38	12	5	75	19 42	20 47	8	Zuletzt Wolken.
411	»	» 16	.79	22 0	22 59	5	1	15	22 37	23 8	8	Beobachtungen fast alle durch Wolken.
412	O.	» 23	.81	18 19	22 36	13	4	100	20 37	22 35	4	Sterne etwas unruhig.
413	W.	» 26	.82	19 50	22 36	9	2	96	20 33	22 35	7	Im ersten Theil der Zone ganz schwache Feldbeleuchtung, so dass die Fäden nur mit Anstrengung zu erkennen waren.
414	»	» 30	.83	19 20	22 29	9	2	69	20 37	21 50	6	Zone wegen rasch auftretenden dicken Nebels geschlossen.
415	O.	Nov. 3	.84	18 54	22 4	8	2	100	20 34	21 55	3	Sterne sehr unruhig; wurde während der Zone plötzlich trübe.
416	»	» 5	.85	19 26	22 36	10	2	108	20 33	22 35	4	War erst unmittelbar vor der Zone plötzlich klar geworden; einzelne Wolkenstreifen.
417	»	» 5	.85	21 55	23 47	8	2	43	22 37	23 44	4	Einzelne Wolkenstreifen.

Zone	Kl.	1883 / 1884	Ep.	Ausdehnung der Zone einschl. F. u. P. St. Anf.	Ende	Anzahl der Sterne F.	P.	Zon.	Zonensterne von	bis	Temp. R.	Bemerkungen
418	W.	Nov. 11	83.86	22h 29m	23h 47m	6	2	52	22h 31m	23h 44m	3°	Mondschein; sehr wechselnde Bewölkung, einzelne Sterne durch Wolken; Sterne sehr unruhig, namentlich im Anfang der Zone.
419	O.	» 16	.88	20 34	1 25	16	4	91	23 22	0 59	0	Sterne sehr unruhig und verwaschen.
420	»	» 29	.91	22 0	23 47	7	2	71	22 6	23 45	2	
421	»	» 30	.92	3 41	6 57	12	3	97	4 3	5 47	1	Zeitweilig einzelne Wolkenstreifen.
422	W.	Dec. 7	.93	0 57	3 21	11	1	80	1 36	3 15	—4	Mondschein; Bilder verwaschen und unruhig; öfters Wolken, zum Schluss ganz trübe.
423	»	Jan. 3	84.01	1 39	5 9	12	4	110	2 58	5 6	0	Am Ende der Zone dunstig und dann ganz trübe.
424	O.	» 10	.03	1 39	5 9	12	3	101	3 2	4 47	3	Mondschein. Dünne Cirri bedecken einen grossen Theil des Himmels, verlieren sich aber später.
425	W.	» 21	.06	5 49	8 38	9	2	93	6 19	7 59	2	Anfangs dunstig, war erst spät klar geworden.
426	O.	» 27	.07	6 1	9 54	11	4	120	6 42	8 40	2	Bilder meist unruhig und verwaschen. Während der Zone zeitweilig locale Trübungen.
427	W.	Febr. 3	.09	7 32	10 27	9	2	113	8 3	9 59	0	Sterne meist etwas unruhig.
428	O.	» 7	.10	3 41	6 57	11	3	85	4 24	5 48	1	Sterne sehr unruhig; im Anfang Wolken, zeitweilig auch während der Zone; Mondschein.
429	»	» »	.10	6 1	9 8	10	3	96	7 23	9 5	0	Mondschein, Sterne meist unruhig, einzelne Wolken, am Schlusse trübe.
430	»	» 9	.11	10 1	13 4	12	2	78	11 2	12 28	3	War erst spät klar geworden. Mondschein; Bilder gut, gegen Schluss aber sehr unruhig wegen Wolken.
431	»	» 12	.12	7 32	10 27	9	2	116	8 3	9 59	1	Mondschein, Sterne sehr unruhig.
432	W.	» 13	.12	3 38	6 57	13	3	119	4 3	5 47	3	Bilder gut, verschlechtern sich aber nach dem Ende der Zone zu.
433	»	» »	.12	8 10	9 54	6	1	56	8 11	9 7	0	Zuletzt sehr schlechte Bilder.
434	»	» 16	.13	3 38	6 57	13	3	112	4 2	5 48	—1	Luft gut.
435	»	» »	.13	6 1	9 54	11	3	109	7 22	9 6	—2	
436	»	» 17	.13	7 32	10 27	9	2	113	8 3	9 58	—3	Sterne sehr unruhig, aufgeblasen und ganz verzerrt; Luft scheint recht undurchsichtig zu sein.
437	»	» 18	.13	3 41	6 57	12	3	108	4 2	5 48	0	Bilder leidlich gut.
438	»	» »	.13	6 1	10 27	12	4	125	8 2	9 59	—1	Während der ganzen Zone erscheinen die Sterne wie grosse aufgeblasene und verwaschene Klumpen.
439	»	» 19	.14	3 38	6 57	13	3	115	4 15	5 59	1	Sterne meist unruhig; im Anfang Mikroskopbeleuchtung sehr schlecht.
440	»	» »	.14	6 22	10 27	11	4	125	8 2	10 0	—1	Bilder gut.
441	O.	» 20	.14	3 38	6 57	11	3	99	4 15	5 58	4	Bilder leidlich gut.
442	»	» »	.14	6 22	9 39	8	3	70	8 2	9 8	1	Bilder sehr schlecht; die Sterne erscheinen wie grosse aufgeblasene Klumpen.
443	W.	März 4	.17	5 9	8 10	12	2	118	5 31	7 31	3	Mondschein.
444	»	» »	.17	7 32	10 59	11	2	118	8 37	10 45	2	Mondschein.
445	O.	» 8	.18	8 41	11 15	11	2	100	9 8	11 14	—4	Mondschein; Sterne sehr aufgeblasen und unruhig; nebelig, einzelne Wölkchen, am Schluss ganz trübe.
446	W.	» 13	.20	7 32	10 27	9	2	109	8 3	9 58	4	Gute Bilder, wenn auch etwas dunstig.
447	»	» 14	.20	4 48	8 10	9	2	142	6 2	8 0	7	Gute Bilder.
448	»	» »	.20	8 52	10 43	7	2	111	8 53	10 41	5	Gute Bilder.
449	»	» 15	.20	6 1	9 8	10	3	119	7 3	9 5	7	Luft gut.
450	»	» »	.20	10 1	12 50	12	2	80	11 2	12 28	4	Mondschein, Luft gut.
451	»	» 17	.21	6 1	9 8	9	4	133	6 42	8 40	8	Bilder leidlich gut.
452	»	» »	.21	9 54	13 4	11	2	126	10 1	11 58	4	Sterne meist sehr verwaschen.
453	»	» 18	.21	6 1	8 10	7	2	60	6 58	8 8	11	
454	O.	» 22	.23	8 52	10 36	6	2	88	8 53	10 31	2	Bilder sehr schlecht, am Schluss wurde es trübe.
455	W.	» 30	.25	11 59	13 56	7	3	70	12 4	13 27	3	Bilder sehr mittelmässig.
456	»	» 31	.25	7 32	10 27	9	2	146	8 2	10 0	6	Bilder leidlich gut, etwas unruhig.
457	»	» »	.25	12 50	14 35	8	2	58	13 5	14 8	3	Sterne ganz aufgeblasen und recht unruhig.
458	»	April 1	.25	8 20	12 50	14	6	118	9 8	11 14	7	Mondschein; gute Bilder, aber unruhig; wurde später trübe.
459	O.	» 2	.26	7 32	10 59	11	2	124	8 37	10 45	8	Mondschein, gute Bilder.
460	»	» »	.26	12 29	14 35	7	3	49	13 26	14 31	5	Gute Bilder, zuletzt etwas unruhig.
461	»	» 3	.26	8 41	13 4	14	3	131	10 1	11 58	4	Mondschein, Bilder unruhig.
462	»	» 4	.26	7 21	13 4	17	2	126	9 58	11 58	4	Mondschein, Bilder namentlich am Schluss sehr unruhig.

Zone	Kl.	1884	Ep.	Ausdehnung der Zone einschl. F. u. P. St. Anf.	Ende	Anzahl der Sterne F.	P.	Zon.	Zonensterne von	bis	Temp. R.	Bemerkungen
463	O.	April 7	84.27	8^h41^m	10^h27^m	6	3	42	9^h10^m	9^h59^m	7°	Mondschein, Bilder verwaschen und sehr unruhig.
464	W.	» 18	.30	10 1	13 4	11	2	87	10 37	12 36	0	Sehr auseinander gezerrte und unruhige Bilder.
465	O.	» 25	.32	10 1	13 4	12	2	94	10 37	12 36	2	Luft sehr dunstig. Sterne verzerrt und zuletzt sehr schwach; wurde nach der Zone ganz trübe.
466	»	» 28	.33	11 15	15 9	9	4	107	11 53	15 6	5	Sterne sehr unruhig und verzerrt.
467	»	» 29	.33	11 15	15 9	9	4	103	11 48	15 3	5	Bilder unruhig und zerfahren.
468	W.	» 30	.33	14 7	16 17	10	3	48	14 50	16 15	5	Sterne unruhig und verzerrt.
469	»	Mai 1	.33	14 7	16 17	8	3	52	14 49	16 15	3	Bilder leidlich.
470	»	» 5	.35	14 7	16 17	8	3	53	14 55	16 16	5	Bilder mässig gut, zuweilen etwas unruhig.
471	»	» 6	.35	14 7	16 12	7	3	33	14 55	15 50	4	Mondschein, sehr dunstig, abgebrochen wegen Wolken.
472	O.	» 8	.35	14 7	16 17	8	3	48	14 55	16 16	7	Mondschein. Himmel ganz mit Dunst und leichten Wolken überzogen während der ganzen Zone. Sterne meist schwach, sehr unruhig und schwer zu beobachten.
473	»	» 10	.36	14 7	16 17	9	3	52	14 55	16 14	9	Mondschein. Dunstig, namentlich im Anfang. Bilder anfangs schlecht, später besser, aber immer sehr unruhig.
474	W.	» 21	.39	15 39	17 10	7	2	53	16 4	16 59	6	Bilder ausserordentlich schlecht.
475	»	» 22	.39	15 39	17 10	7	2	54	16 4	16 59	8	Zum ersten Mal mit elektrischem Lichte beobachtet. Bilder leidlich gut, aber unruhig.
476	»	» 23	.40	15 39	17 10	7	2	52	16 5	16 57	9	Bilder verwaschen und unruhig; am Schluss Mikroskopbeleuchtung mangelhaft.
477	»	» 24	.40	15 39	17 10	8	2	62	15 40	16 57	11	Bilder verwaschen und unruhig.
478	»	» 25	.40	15 39	17 10	7	2	63	15 40	16 58	7	Bilder sehr verwaschen und ausserordentlich unruhig.
479	»	» 26	.40	15 39	17 10	8	2	59	16 6	16 59	6	Sterne verzerrt und sehr unruhig.
480	O.	» 29	.41	15 39	17 10	7	2	57	16 5	16 57	6	Bilder sehr unruhig und zuletzt recht verzerrt, *α* Hercul. kaum zu trennen.
481	»	» 30	.41	15 39	17 10	8	2	62	15 40	16 56	6	Sterne sehr unruhig, sehr schlechte Bilder.
482	»	Juni 10	.44	16 47	18 51	9	2	79	17 3	18 13	8	Mondschein, Sterne im Anfang der Zone sehr unruhig.
483	W.	» 11	.45	16 47	18 51	8	2	67	17 2	18 14	10	Mondschein, spät klar geworden, Sterne sehr unruhig.
484	»	» 12	.45	16 47	18 51	9	2	81	17 3	18 13	10	Mondschein, Dunst, gute, aber etwas unruhige Bilder.
485	»	» 13	.45	16 47	18 51	9	2	70	17 3	18 14	13	Luft gut, Beleuchtung sehr variirend.
486	O.	» 18	.47	16 47	18 51	8	2	83	17 5	18 14	7	Bilder mässig gut, verwaschen.
487	»	» 19	.47	16 47	18 51	9	2	76	17 3	18 14	8	Luft gut.
488	»	» 24	.48	17 38	19 41	8	2	79	17 45	19 19	9	Luft gut.
489	W.	» 26	.49	16 47	18 51	8	2	85	17 5	18 14	11	Scharfe, aber sehr unruhige Bilder.
490	»	» 28	.49	16 47	18 51	9	2	74	17 3	18 14	10	Bilder unruhig, Beleuchtung sehr variabel.
491	»	» 30	.50	16 47	18 51	8	2	86	17 2	18 14	13	Luft gut, anfangs Wolken im Norden.
492	»	Juli 1	.50	16 47	18 51	8	2	77	17 2	18 14	15	Mondschein, Bilder gut, Beleuchtung schlecht.
493	O.	» 3	.51	16 47	18 51	9	2	77	17 3	18 14	16	Mondschein, Bilder gut, am Schluss einige leichte Wolken.
494	»	» 4	.51	16 47	18 19	7	1	75	17 2	18 14	15	Mondschein, Luft schlecht, theilweise Wolken.
495	»	» 8	.52	16 47	18 51	8	2	79	17 2	18 14	13	Mondschein, Bilder leidlich gut.
496	W.	» 9	.52	19 20	21 39	7	3	71	19 43	20 49	12	Mondschein, sehr schlechte und unruhige Bilder.
497	»	» 11	.53	16 47	18 51	8	2	72	17 2	18 12	14	Bilder sehr mittelmässig und äusserst unruhig, zuletzt Mondschein, zeitweilig Himmel ganz von Wolken bedeckt.
498	»	» 12	.53	16 47	18 51	8	2	61	17 3	18 11	16	Sehr schlechte und unruhige Bilder.
499	»	» 14	.54	17 38	19 41	8	2	72	17 46	19 18	14	Bilder leidlich, anfangs einige Wolken.
500	»	» 15	.54	17 38	19 41	8	2	57	18 15	19 18	15	Oefters Dunst und Wolken, am Schluss ganz trübe.
501	O.	» 18	.55	16 47	18 51	8	2	83	17 2	18 12	14	Bilder gut, am Anfang und am Ende der Zone aber einige Wolken.
502	»	» 22	.56	17 38	18 10	4	1	56	17 39	18 45	11	Sterne erscheinen schlecht definirt. Wurde ganz plötzlich so trübe, dass selbst helle Anhaltsterne nicht mehr gesehen werden konnten. Die Zone hat Gew. ½ erhalten, da Anhaltsterne am Schluss fehlen.
503	»	» 23	.56	17 38	19 41	8	2	89	17 41	19 18	14	Sterne sehr verwaschen.
504	»	» 25	.57	19 0	20 38	6	1	59	19 42	20 37	11	Sehr verwaschene, schwache und äusserst unruhige Bilder, am Schluss ganz trübe, auch während der Zone sehr dunstig und locale Trübungen.
505	»	» 26	.57	16 47	18 19	7	2	65	17 3	18 11	11	Gute, aber sehr unruhige Bilder.
506	»	» 31	.59	17 38	19 41	8	2	89	17 43	19 18	11	Mondschein, Bilder mittelmässig.

Zone	Kl.	1884 / 1885	Ep.	Ausdehnung der Zone einschl. F. u. P. St. Anf.	Ende	Anzahl der Sterne F.	P.	Zon.	Zonensterne von	bis	Temp. R.	Bemerkungen
507	O.	Aug. 1	84.59	19h 0m	21h 3m	8	2	82	19h 43m	20h 48m	11°	Mondschein, Sterne sehr unruhig.
508	»	» 2	.59	17 38	19 41	8	2	78	18 15	19 18	13	Mondschein, gute Bilder, anfangs aber unruhig.
509	»	» 5	.60	19 0	21 39	9	3	82	19 42	20 48	12	Mondschein, Sterne sehr unruhig, schwach und verwaschen, im Anfang einige Wolken.
510	W.	» 6	.60	19 0	21 39	9	3	80	19 42	20 48	12	Mondschein, Bilder sehr verwaschen und unruhig.
511	»	» 7	.60	17 38	19 41	8	2	79	18 14	19 18	14	Mondschein, Sterne sehr unruhig und zeitweilig auch ganz aufgeblasen.
512	»	» 8	.61	19 0	21 3	8	2	72	19 44	20 48	13	Mondschein, theilweise bewölkt, Bilder unruhig.
513	»	» 9	.61	19 0	21 3	8	2	86	19 43	20 48	14	Mondschein, Sterne zeitweilig etwas unruhig, aber scharf.
514	»	» 11	.61	19 0	21 39	9	3	76	19 44	20 48	16	Mondschein, Sterne unruhig und manchmal recht schwach, einzelne Wölkchen.
515	»	» 12	.62	19 0	21 3	8	2	81	19 42	20 48	14	Sterne mittelmässig, unruhig.
516	O.	» 13	.62	19 12	21 39	8	3	73	19 43	20 49	14	Schlechte, unruhige Bilder, war erst kurz vor Beginn der Zone klar geworden.
517	»	» 16	.63	19 0	21 39	9	3	85	19 42	20 48	12	Luft sehr durchsichtig, die Sterne aber sehr unruhig und auseinandergezogen.
518	»	» 18	.63	19 0	21 39	9	3	85	19 44	20 48	13	Bilder sehr unruhig, aber leidlich scharf.
519	»	» 20	.64	19 0	21 39	9	3	86	19 43	20 48	13	Sterne unruhig, im Anfang manchmal ganz zerfahren und nur mit grösster Mühe zu beobachten; stark dunstig.
520	»	» 21	.64	19 0	21 39	9	3	81	19 44	20 48	14	Luft und Bilder gut.
521	»	» 22	.64	19 0	21 39	9	3	85	19 42	20 48	12	Sterne unruhig und oft ganz zerfahren.
522	»	» 23	.65	19 50	22 36	9	2	99	20 34	22 34	11	Dunstig, öfters locale Wolken; Augen sehr angegriffen.
523	»	» 25	.65	19 50	22 36	9	2	116	20 35	22 34	11	Sterne sehr unruhig und aufgeblasen.
524	W.	» 28	.66	19 50	22 36	9	2	110	20 34	22 34	8	Sterne sehr unruhig.
525	»	Sept. 1	.67	19 50	22 36	10	2	111	20 18	22 34	12	Bilder sehr gut und ruhig.
526	O.	» 6	.68	19 50	22 36	10	2	103	20 26	22 34	8	Mondschein; immer durch Wolken beobachtet, Sterne zuweilen sehr schwach, aber gute Bilder.
527	»	» 8	.69	19 50	22 36	10	2	117	20 18	22 34	8	Mondschein; zeitweilig bewölkt; Bilder am Anfang und Ende der Zone schlecht, in der Mitte gut.
528	»	Oct. 10	.78	20 34	0 14	11	2	67	21 52	23 52	6	Während des grössten Theiles der Zone Himmel mit Gewölk überzogen.
529	W.	» 15	.79	20 34	0 14	14	3	52	21 53	23 52	5	Bilder unruhig, in der Mitte der Zone ganz trübe.
530	»	» 16	.79	21 55	23 34	8	1	49	21 57	23 15	6	Wurde plötzlich völlig trübe.
531	»	» 18	.80	21 39	1 18	13	2	109	22 34	0 23	6	Bilder gut; theilweise bewölkt.
532	»	» 20	.80	0 43	3 5	9	2	78	1 5	2 37	5	War plötzlich klar geworden; Bilder schlecht und unruhig, am Schlusse einzelne Wölkchen.
533	O.	» 23	.81	20 34	1 25	16	4	66	23 35	1 0	3	Schlechte und unruhige Bilder; bei gelber Feldbeleuchtung beobachtet.
534	»	» 26	.82	0 43	2 39	6	1	62	1 5	2 13	5	War plötzlich klar geworden; Bilder leidlich gut, aber sehr unruhig. Schon vor Abbruch der Zone wechselnde Bedeckung. Am Schluss trübe und Regen.
535	»	» 29	.83	22 0	1 18	13	2	112	22 34	0 23	3	Mondschein, Bilder gut, aber etwas unruhig.
536	»	» 30	.83	22 0	1 35	13	3	85	23 25	1 24	1	Mondschein, Bilder unruhig und verwaschen.
537	»	» 31	.83	0 43	3 19	10	2	96	1 7	2 46	1	Mondschein, gute Bilder.
538	»	Nov. 6	.85	0 57	4 22	14	3	72	1 27	2 46	6	Spät klar geworden; Mondschein, dunstig; gute Bilder.
539	»	» 8	.86	0 43	3 19	10	2	76	1 2	2 38	2	Mondschein, nebelig; sehr schlechte und unruhige Bilder.
540	»	» 11	.86	0 57	4 22	16	2	102	1 37	3 24	1	Unruhige und auseinander gezerrte Bilder.
541	W.	» 12	.87	0 57	2 34	6	1	54	1 27	2 29	0	Plötzlich klar und auch plötzlich wieder trübe geworden; schlechte und unruhige Bilder.
542	»	» 19	.89	0 43	4 22	15	3	63	1 7	2 30	−3	Schlechte, unruhige Bilder; am Schluss starker Dunst und zeitweilig trübe; das Objectiv beschlägt.
543	»	Dec. 2	.92	0 43	3 5	9	2	82	1 2	2 38	−8	Mondschein; Bilder leidlich gut; infolge der Kälte beschlägt und gefriert aber das Ocular fortwährend.
544	»	» 16	.96	0 43	4 16	11	4	90	2 23	3 52	1	Dunstig; Luft leidlich gut.
545	O.	» 18	.97	0 43	2 37	6	3	5	2 26	2 30	1	Wurde plötzlich trübe.
546	»	» 30	85.00	0 43	4 16	11	4	83	2 23	3 52	−4	Mondschein, sehr dunstig; schlechte und unruhige Bilder. Am Schluss dicker Nebel.
547	»	Jan. 7	.02	3 5	6 57	13	3	99	4 2	5 48	−2	Luft anfangs schlecht, dann leidlich.
548	»	» 8	.02	3 5	6 22	13	2	97	4 2	5 48	−6	Bilder schlecht und unruhig, erst am Schluss leidlich.
549	»	» 9	.03	0 43	4 16	11	4	88	2 23	3 53	−7	Luft gut, namentlich am Schluss.

Zone	Kl.	1885	Ep.	Ausdehnung der Zone einschl. F. u. P. St. Anf.	Ende	Anzahl der Sterne F.	P.	Zon.	Zonensterne von	bis	Temp. R.	Bemerkungen
550	W.	Jan. 19	85.05	$3^h 5^m$	$6^h 22^m$	12	2	61	$4^h 2^m$	$5^h 48^m$	−7°	Bilder mässig, am Schluss der Zone schlecht.
551	»	» 23	.06	1 39	5 9	11	3	94	3 2	4 47	−6	Mondschein, Bilder mittelmässig.
552	»	Febr. 1	.09	4 58	6 39	6	1	68	5 3	6 21	4	War plötzlich klar geworden; Mondschein, sehr schlechte Bilder. Abgebrochen wegen Wolken.
553	»	» 2	.09	3 5	6 18	15	2	70	4 28	5 47	3	Mondschein. Bilder leidlich, zuweilen aber auch sehr schlecht. Am Schluss der ganze Himmel mit einem Schleier überzogen.
554	O.	» 6	.10	3 5	6 57	16	3	96	4 26	6 0	2	Gute Bilder.
555	»	» 12	.12	3 5	6 57	16	3	78	4 42	6 0	−3	Scharfe, aber unruhige Bilder.
556	W.	» 13	.12	3 5	6 57	16	3	92	4 42	6 0	0	Bilder ausgezeichnet.
557	»	» 19	.14	3 5	7 12	15	3	100	5 2	6 38	1	Mondschein, im Anfang dicker Dunst und wolkig, später Bilder recht gut.
558	»	März 3	.17	6 1	9 8	9	3	95	6 42	8 39	0	Sehr dunstig; anfangs die Sterne nur schwer zu sehen, später Luft besser. Mondaufgang während der Zone.
559	»	» 7	.18	4 48	8 49	12	2	35	5 52	7 30	0	Luft gut, die meisten Sterne der Zone aber durch Wolken verloren.
560	»	» 10	.19	4 48	8 49	14	2	116	5 50	7 31	0	Gute Bilder.
561	O.	» 11	.19	4 48	8 49	14	2	121	5 50	7 31	0	Sterne sehr unruhig.
562	»	» 17	.21	5 9	8 49	11	3	87	6 19	8 0	4	Bedeckung wechselnd, Bilder sehr variabel, im Anfang Dämmerung.
563	»	» 19	.21	6 1	9 35	10	4	107	6 21	8 1	2	Im Anfang Dämmerung; Sterne ziemlich unruhig, Bilder aber sonst gut.
564	W.	April 3	.26	7 32	10 27	8	2	77	8 11	9 58	6	Bilder gut.
565	»	» 20	.30	8 41	13 4	14	3	102	10 1	11 58	9	Bilder mittelmässig, am Schluss schlecht.
566	O.	Juni 22	.48	15 39	17 0	6	1	31	15 40	16 30	9	Mondschein. Bilder sehr schlecht und sehr unruhig. Wegen Wolken abgebrochen.
567	»	» 23	.48	15 39	17 10	8	2	59	16 6	16 59	10	Mondschein, zerfahrene und unruhige Bilder.
568	»	Juli 8	.52	16 47	18 51	8	2	79	17 2	18 14	16	Sterne sehr unruhig, Bilder oft verwaschen.
569	»	» 9	.52	16 47	18 41	9	2	62	17 3	18 12	16	Sterne unruhig und schwach. Während der Zone öfters Wolken, am Schluss ganz trübe.
570	»	» 13	.53	17 38	19 12	5	1	55	18 14	19 15	16	Bilder sehr schlecht und unruhig. Himmel dunstig und zeitweise bewölkt.
571	W.	» 21	.56	17 53	19 59	8	2	65	17 46	19 18	11	Mondschein. Luft sehr durchsichtig, Bilder aber zeitweise schlecht und stets ausserordentlich unruhig.
572	O.	» 25	.57	17 38	18 41	6	1	25	17 39	18 29	13	Mondschein. Bilder sehr unruhig. Zeitweilig Dunst, abgebrochen wegen dicken Wolken.
573	»	» 30	.58	17 53	19 54	10	2	60	18 23	19 18	12	Bilder gut.
574	»	Aug. 4	.59	18 41	21 3	9	2	77	19 4	20 27	14	Bilder gut.
575	»	» 10	.61	16 47	20 41	15	2	68	18 42	19 55	14	Sterne unruhig und verwaschen.
576	»	» 12	.62	19 45	22 36	13	3	72	20 2	22 0	14	Zeitweilig trübe, Bilder sehr unruhig.
577	»	» 15	.62	17 53	20 32	10	2	68	18 53	19 56	10	Sehr unruhige und schlechte Bilder. Am Schluss wurde es plötzlich ganz trübe.
578	»	» 21	.64	17 30	19 41	8	1	39	18 56	19 33	9	Mondschein. Bilder unruhig und schlecht definirt; wurde bald trübe.
579	»	» 26	.65	17 42	20 5	10	2	45	18 56	19 42	9	Mondschein. Sehr dunstig, Sterne zeitweilig unruhig.
580	W.	» 27	.66	18 41	20 38	7	1	74	19 2	20 27	11	Sterne erscheinen sehr schwach und unruhig. Am Schluss trübe.
581	»	Sept. 10	.69	19 41	20 38	4	1	28	20 2	20 30	7	War nach Regen schnell klar geworden. Sterne matt und unruhig. Wegen Wolken abgebrochen.
582	»	» 12	.70	21 56	22 36	5	1	13	21 57	22 44	8	Bilder schwach, wurde plötzlich trübe.
583	»	» 15	.71	18 41	20 5	6	1	70	18 42	19 55	15	Mondschein. Bilder gut, zeitweilige Unterbrechung durch Wolken.
584	»	» »	.71	19 50	22 36	11	3	87	20 24	22 33	13	Bilder gut, zeitweilig Wolken.
585	»	» 17	.71	18 19	20 5	7	2	71	18 53	19 56	18	Mondschein. Luft sehr durchsichtig, Bilder sehr gut.
586	»	» »	.71	20 5	22 36	10	2	124	20 26	22 34	16	Mondschein. Luft sehr durchsichtig, Bilder sehr gut.
587	»	» 18	.72	18 54	20 5	6	1	59	18 56	19 42	13	Mondschein, Bilder leidlich.
588	»	» 22	.73	17 53	20 5	9	2	50	18 56	19 42	9	Mondschein; dunstig, einzelne Wolken; schlechte, verwaschene und sehr unruhige Bilder.
589	»	» »	.73	21 10	22 36	7	2	55	21 27	22 21	7	Wie in Z. 588.
590	O.	Oct. 2	.75	21 10	22 36	7	2	53	21 27	22 21	7	Sterne verwaschen. Sehr nebelig, am Schluss ganz trübe.

Zone	Kl.	1885 / 1886	Ep.	Ausdehnung der Zone einschl. F. u. P. St. Anf.	Ende	Anzahl der Sterne F.	P.	Zon.	Zonensterne von	bis	Temp. R.	Bemerkungen
591	O.	Oct. 10	85.78	20ʰ28ᵐ	22ʰ36ᵐ	8	2	88	20ʰ26ᵐ	22ʰ33ᵐ	6°	Bilder ruhig, aber schwach. Sehr dunstig und wahrscheinlich auch local bewölkt.
592	W.	» 13	.78	18 2	21 26	11	4	60	20 1	21 15	6	Bilder leidlich; zeitweilig bewölkt.
593	»	» »	.78	21 56	22 36	5	–	14	22 5	22 17	5	Dunstig, schlechte Bilder, wurde trübe.
594	»	» 14	.79	20 34	0 24	13	3	106	21 53	23 52	5	Luft und Bilder recht gut.
595	O.	» 20	.80	19 50	0 14	15	4	112	21 53	23 52	3	Mondschein. Bilder gut, nur gegen Ende der Zone unruhig.
596	»	Nov. 2	.84	21 56	2 22	8	3	53	1 0	2 6	1	Nebelig, leidlich gute Bilder.
597	»	» 3	.84	21 56	23 47	8	2	77	21 57	23 45	2	Sterne unruhig und sehr zerfahren.
598	W.	» 10	.86	20 34	1 25	16	4	102	23 22	0 59	1	Bilder verwaschen und nur selten ruhig.
599	»	» 11	.86	23 11	2 1	10	3	86	0 11	1 31	0	Nebelig; Bilder sehr zerfahren und unruhig; wurde kurz nach Schluss der Zone ganz trübe.
600	»	» 16	.88	22 0	1 25	12	2	76	23 35	1 0	–2	Mondschein. Bilder schlecht, sehr unruhig und zerfahren.
601	»	» 17	.88	22 0	1 25	12	3	99	23 24	1 24	–2	Mondschein. Sterne sehr unruhig und sehr verzerrt.
602	»	» 18	.88	0 43	2 22	5	2	57	1 0	2 6	–2	Bilder sehr schlecht. Mond im Anfang der Zone sehr nahe.
603	»	» 19	.89	23 21	2 14	9	3	81	0 8	1 38	–3	Mondschein, stark nebelig. Am Schluss der Mond innerhalb der Zone.
604	»	» 20	.89	23 47	1 25	7	2	74	23 48	1 23	–2	Mondschein, Bilder leidlich gut.
605	O.	Dec. 2	.92	23 47	4 6	10	3	74	23 48	1 23	2	Etwas dunstig. Bilder meist gut, zeitweilig aber verwaschen.
606	»	» 5	.93	23 21	2 14	10	3	91	0 10	1 38	2	Luft unruhig, Bilder meist verwaschen.
607	»	» 7	.93	23 11	2 14	11	3	90	0 11	1 31	–1	Bilder leidlich gut.
608	»	» 19	.97	3 38	7 12	11	3	104	5 2	6 38	–1	Mondschein, Bilder gut.
609	»	Jan. 13	86.04	4 48	7 12	9	2	107	5 3	6 37	–5	Bilder anfangs schlecht, später gut.
610	»	» 18	.05	4 48	8 10	13	2	125	5 32	7 31	–3	Mondschein, Bilder leidlich gut.
611	»	» 21	.06	3 38	6 42	11	2	37	5 52	6 34	–4	Mondschein, Mondhof, starker Nebel, Sterne sehr schwach. Wegen Nebels aufgehört.
612	»	» 22	.06	4 48	8 10	12	2	121	5 50	7 30	–6	Anfangs Bilder sehr gut, gegen Schluss der Zone schlecht wegen eintretender Bewölkung. Beleuchtung sehr schwach wegen Kälte.
613	W.	» 30	.08	4 48	6 42	8	1	53	5 50	6 40	0	Bilder sehr schlecht und schwach wegen Dunst und Nebel.
614	»	Febr. 8	.11	4 48	8 10	10	2	120	6 4	8 1	–7	Bilder leidlich, etwas zerfahren.
615	»	» 9	.11	5 49	7 21	6	2	90	6 2	7 18	–3	Luft sehr durchsichtig, Bilder gut, am Schluss aber sehr unruhig.
616	O.	» 25	.15	4 48	8 38	11	2	122	6 4	8 1	–2	Bilder gut.
617	»	» 26	.16	5 49	8 10	8	2	102	6 2	7 55	0	Sehr dunstig zu Anfang und zu Ende der Zone, Bilder schlecht. Wegen zu starken Dunstes abgebrochen.
618	»	» 28	.16	5 49	7 21	7	2	87	6 2	7 18	–9	Luft ausserordentlich durchsichtig, Sterne aber sehr zerfahren und unruhig.
619	»	März 1	.16	4 48	7 21	9	3	91	6 3	7 20	–9	Luft sehr durchsichtig, Sterne scharf, aber unruhig.
620	W.	» 7	.18	5 49	6 42	7	1	28	6 2	6 31	–2	Wurde rasch trübe. Bilder unruhig.
621	»	» 8	.18	5 49	8 38	9	2	134	6 2	8 1	–5	Bilder unruhig und verwaschen.
622	»	» 10	.19	4 48	6 42	9	2	47	6 2	6 41	–4	Bilder gut. Abgebrochen, da das Gas eingefroren war und nur ganz schwach brannte.
623	O.	» 14	.20	5 49	6 22	5	1	22	6 3	6 21	–2	Wurde bald trübe.
624	»	» 19	.21	5 49	6 35	5	1	21	6 24	6 49	–1	Abgebrochen wegen Gasmangel.
625	»	» 24	.23	5 49	9 8	9	3	104	6 43	8 39	3	Bilder leidlich gut. Im Anfang helle Dämmerung.
626	»	» 25	.23	5 49	8 38	10	2	69	6 49	8 0	5	Anfangs helle Dämmerung.
627	»	» 26	.24	6 16	7 33	5	1	32	7 3	7 42	9	Anfangs helle Dämmerung; abgebrochen wegen Wolken.
628	»	» 29	.24	6 8	9 54	12	2	103	7 22	9 8	10	Anfangs Dämmerung. Bilder gut.
629	»	» 30	.25	7 33	9 46	8	2	79	7 41	9 4	5	Einzelne Wolken. Bilder unruhig.
630	»	» 31	.25	7 21	8 49	4	1	14	8 11	8 23	11	Wurde rasch trübe.
631	»	April 7	.27	7 57	10 27	9	2	74	8 24	9 58	5	Bilder äusserst unruhig und zerfahren; einzelne Wolken.
632	»	» 17	.30	8 38	11 8	9	1	58	9 5	11 1	8	Mondschein, sehr dunstig, öfters Wolken. Bilder gut.
633	W.	» 22	.31	9 21	11 8	7	1	57	9 48	10 59	9	Bilder schlecht.
634	»	» 27	.32	9 54	13 19	15	2	75	10 43	12 29	11	Luft wenig durchsichtig, Bilder ruhig.
635	O.	Mai 3	.34	9 54	13 19	15	2	77	10 43	12 29	4	Luft gut.
636	»	» 5	.34	11 15	13 42	11	2	61	12 9	13 28	4	Luft und Bilder gut.

Zone	Kl.	1886	Ep.	Ausdehnung der Zone einschl. F. u. P. St. Anf.	Ende	Anzahl der Sterne F.	P.	Zon.	Zonensterne von	bis	Temp. R.	Bemerkungen
637	W.	Mai 6	86.35	11^h15^m	13^h56^m	11	2	62	$12^h\ 9^m$	13^h28^m	6°	Luft sehr undurchsichtig. Bilder schwach und unruhig.
638	»	» 18	.38	12 14	15 10	11	2	58	12 25	14 11	12	Mondschein. Sterne zuweilen sehr unruhig.
639	O.	» 19	.38	12 50	15 10	8	2	59	12 49	14 11	14	Sterne sehr verwaschen, schwach und unruhig; am Schluss Mondschein.
640	»	» 20	.39	13 19	16 12	12	2	45	13 51	15 19	15	Schlechte Bilder, am Schluss Mondschein.
641	W.	» 21	.39	13 19	16 12	12	2	48	13 51	15 19	15	Bilder sehr unruhig, am Schluss Mondschein.
642	»	» 25	.40	14 37	17 38	13	2	80	15 20	17 1	9	Luft gut, Bilder sehr unruhig.
643	O.	» 27	.40	15 39	17 10	8	2	44	15 49	17 1	11	Luft ausserordentlich durchsichtig, aber sehr unruhige Bilder. Am Schluss wolkig.
644	»	» 31	.42	14 37	15 21	5	1	4	15 20	15 31	12	Bilder leidlich; wurde rasch trübe.
645	»	Juni 5	.43	14 37	17 10	12	2	82	15 20	17 2	10	Bilder sehr unruhig.
646	»	» 24	.48	16 17	18 2	9	2	77	16 18	18 1	9	Bilder gut.
647	»	» 26	.49	16 47	18 51	5	2	118	17 1	18 38	12	
648	»	Juli 7	.52	16 47	18 54	11	1	67	17 29	18 49	14	Bilder gut, einzelne Wolken.
649	»	» »	.52	19 13	19 47	4	1	27	19 20	19 41	13	Wie in Z. 648.
650	»	» 8	.52	17 53	17 55	2	–	8	18 2	18 10	15	Bilder gut, war aber nur kurze Zeit klar.
651	»	» 10	.52	17 53	19 45	9	1	64	18 4	19 41	8	Mondschein, einzelne Wolken. Bilder leidlich gut, aber unruhig.
652	W.	Sept. 14	.70	17 53	20 5	12	2	45	18 56	19 41	18	Mondschein, Bilder leidlich gut.
653	»	» 15	.71	18 54	20 5	8	2	48	18 56	19 41	11	
654	»	» 16	.71	18 54	20 5	7	2	51	18 55	19 42	9	Bilder unruhig und zerfahren.
655	»	» 17	.71	18 19	20 5	7	2	51	18 57	19 52	9	Bilder leidlich.
656	»	» 18	.72	18 15	19 50	9	2	43	18 56	19 41	10	Bilder leidlich.
657	O.	» 19	.72	18 15	19 50	9	1	47	18 56	19 41	11	Bilder gut.
658	»	» 20	.72	18 2	19 50	10	2	49	18 56	19 41	11	Bilder gut.
659	»	» 22	.73	18 54	20 5	6	2	48	18 57	19 52	8	Bilder sehr schwach und äusserst unruhig. War plötzlich klar geworden; während der ganzen Zone leichte Wolken.
660	»	» 23	.73	18 2	20 5	10	3	50	18 55	19 42	7	Bilder öfters zerfahren und äusserst unruhig.
661	»	» 24	.73	19 12	19 20	2	1	4	19 20	19 23	8	Vorher und nachher trübe.
662	»	» 27	.74	18 41	20 12	7	1	41	19 7	20 7	10	Abgebrochen wegen Wolken. Wahrscheinlich auch während der Zone Himmel zeitweilig leicht überzogen.
663	»	» 30	.75	18 41	21 10	12	2	77	19 5	20 43	14	Bilder meist gut, zeitweilig nebelig.
664	»	Oct. 1	.75	18 41	20 5	9	2	33	19 1	19 41	14	Bilder gut.
665	»	» »	.75	19 42	22 59	13	2	41	21 9	22 22	12	Bilder gut.
666	W.	» 2	.75	19 0	20 5	8	2	32	19 1	19 41	15	Alles durch leichten Dunst beobachtet, Sterne sehr schwach.
667	»	» 3	.76	18 41	19 50	8	1	33	19 18	19 41	13	Bilder gut.
668	»	» 4	.76	20 5	22 30	10	2	91	20 32	22 11	12	Luft gut und durchsichtig, Bilder aber sehr unruhig.
669	»	» 5	.76	19 12	21 10	8	2	73	19 32	20 43	13	Mondschein, Luft sehr durchsichtig, aber Bilder unruhig.
670	O.	» 9	.77	19 41	22 36	13	2	98	20 31	22 11	10	Mondschein, Bilder sehr unruhig. Namentlich im Anfang der Zone durch leichtes Gewölk beobachtet.
671	»	» 19	.80	21 3	23 11	9	1	68	21 57	23 12	7	Anfangs äusserst durchsichtig, wurde dann aber sehr nebelig, so dass schliesslich abgebrochen werden musste.
672	»	» 20	.80	21 3	0 7	13	2	118	21 57	23 54	7	Bilder gut.
673	»	» 23	.81	21 3	22 4	7	1	4	22 5	22 10	4	War nur ganz kurze Zeit klar.
674	»	» 27	.82	21 3	23 54	13	2	66	22 5	23 28	2	Luft gut durchsichtig. Sterne klumpig und verwaschen, ziemlich unruhig.
675	W.	» 28	.83	21 3	23 54	13	2	71	22 5	23 28	3	Bilder, namentlich im Anfang, ausserordentlich schlecht: gross, verschwommen, aufgeblasen.
676	»	» 29	.83	21 3	0 3	14	2	100	22 5	23 54	4	Schärfe und Ruhe der Bilder mässig.
677	»	» 30	.83	22 0	1 48	16	2	81	23 9	1 8	2	Bilder meist zerfahren und sehr unruhig.
678	O.	Nov. 1	.84	22 0	1 48	16	2	87	23 9	1 8	2	Bilder leidlich gut, zuweilen unruhig. Mit Schluss der Zone plötzlich ganz trübe. Luft auch während der Zone nicht ganz durchsichtig.
679	»	» 9	.86	23 54	2 34	11	2	93	0 6	2 23	3	Mondschein, Mond innerhalb der Zone. Zuweilen leichte Wolken.
680	W.	» 16	.88	23 54	2 34	11	2	97	0 6	2 23	4	Bilder leidlich gut.
681	»	» 17	.88	0 43	1 13	4	1	8	0 56	1 8	5	Sehr dunstig, wurde ganz trübe.
682	»	» 23	.90	0 43	2 22	7	1	40	0 56	2 3	0	Meist nebelig, zuletzt plötzlich dicker Nebel.

Zone	Kl.	1886 / 1887	Ep.	Ausdehnung der Zone einschl. F. u. P. St. Anf.	Ende	Anzahl der Sterne F.	P.	Zon.	Zonensterne von	bis	Temp. R.	Bemerkungen
683	W.	Nov. 27	86.91	$0^h 43^m$	$4^h 22^m$	16	2	102	$0^h 56^m$	$2^h 58^m$	0°	Bilder unruhig und zerfahren, namentlich im Anfang der Zone.
684	»	» 29	.91	0 57	3 57	10	2	108	1 40	3 36	1	Bilder recht gut, die Beobachtungen wurden aber häufig durch Wolken unterbrochen.
685	»	Dec. 1	.92	1 25	4 22	10	2	93	2 17	3 56	1	Bilder scharf und ruhig.
686	O.	» 3	.92	0 57	3 57	10	2	116	1 37	3 40	−2	Mondschein, Bilder unruhig und zerfahren.
687	»	» 9	.94	1 25	3 57	8	2	95	2 17	3 56	3	Heller Mondschein. Himmel stets bewölkt, Sterne ruhig und scharf. Am Schluss ganz trübe.
688	»	» 10	.94	1 25	4 22	12	2	87	2 23	3 58	1	Bilder gut und leidlich ruhig.
689	»	Jan. 16	87.04	0 57	4 6	12	2	85	2 23	3 53	−9	Anfangs Bilder gut, späterhin der Kälte wegen öfters sehr schlecht; an einer Stelle Dunst.
690	»	» 17	.05	1 25	3 21	7	1	48	2 23	3 16	−9	Bilder leidlich gut. Abgebrochen wegen Kälte.
691	»	» 18	.05	3 19	4 22	6	1	39	3 21	3 58	−10	Bilder sehr schlecht und schwach.
692	»	» 21	.06	3 38	5 33	9	1	109	3 54	5 27	0	Bilder gut und ruhig; nach σ Orionis plötzlich total trübe.
693	»	» 24	.07	1 18	5 9	13	3	138	2 58	5 0	−1	Bilder gut.
694	»	» 26	.07	3 38	5 33	11	1	76	3 44	5 25	0	Bilder gut.
695	W.	» 27	.07	3 38	5 33	11	1	85	3 44	5 26	−1	Bilder gut.
696	»	» 28	.08	3 54	6 35	13	2	114	4 18	6 21	0	Bilder recht gut.
697	O.	» 30	.08	3 54	6 57	14	2	114	4 18	6 21	0	Anfang und Ende der Zone Bilder gut, in der Mitte derselben schlecht, aufgeblasen, verwaschen.
698	»	» 31	.08	4 48	8 10	12	2	148	5 20	7 30	−3	Bilder leidlich gut.
699	»	Febr. 3	.09	4 48	6 22	7	1	28	5 32	6 18	2	Mondschein, Bilder gut, wurde trübe.
700	W.	» 5	.10	4 48	7 33	11	2	150	5 20	7 27	1	Mondschein, Bilder gut.
701	»	» 6	.10	5 49	8 10	6	2	122	6 8	8 1	1	Mondschein, Bilder sehr gut.
702	»	» 10	.11	5 49	8 26	8	2	131	6 1	8 1	−3	Bilder im allgemeinen gut; zeitweilig Wolken.
703	»	» 13	.12	5 41	8 26	10	2	121	6 15	8 0	−1	Luft und Bilder sehr gut.
704	»	» 14	.12	5 49	6 57	5	1	47	6 16	6 49	0	Bilder gut, wurde plötzlich ganz trübe.
705	»	» 15	.13	5 42	8 26	11	2	105	6 16	8 2	−5	Bilder leidlich, zeitweise zerfahren.
706	»	» 16	.13	5 49	8 26	9	2	89	6 16	8 1	−6	Bilder nicht besonders gut.
707	»	» 24	.15	6 31	9 9	10	2	106	6 32	8 24	1	Bilder mässig, zeitweilig schwach und unruhig.
708	»	» 27	.16	6 35	8 10	7	1	67	6 43	7 36	−1	Bilder zerfahren.
709	O.	» 28	.16	6 16	9 9	12	2	113	6 18	8 24	0	Bilder gut.
710	»	März 1	.16	6 39	9 35	11	2	85	7 11	9 11	2	Bilder gut.
711	W.	» 8	.18	6 39	9 35	10	2	43	7 11	9 11	0	Mondschein, Dunst; Bilder schlecht.
712	»	» 9	.19	6 42	8 38	6	2	24	6 49	8 30	5	Mondschein, Dunst. Bilder leidlich. Wegen Wolken abgebrochen.
713	»	» 11	.19	6 42	9 13	8	3	54	6 49	8 51	0	Bilder gut.
714	»	» 14	.20	8 38	10 36	11	2	38	8 40	10 35	−2	Bilder schlecht und sehr unruhig.
715	O.	» 15	.20	8 38	10 36	11	2	45	8 40	10 35	−3	Bilder gut.
716	»	» 21	.22	8 38	9 13	4	1	6	8 40	8 42	0	Luft sehr schlecht und undurchsichtig.
717	W.	» 31	.25	8 10	8 49	4	1	6	8 40	8 42	1	Mondschein.
718	O.	April 6	.26	10 5	12 47	8	3	26	10 36	12 14	7	Mondschein, Bilder gut; am Schluss plötzlich trübe.
719	W.	» 12	.28	10 5	12 29	10	3	30	10 36	12 15	6	Luft schlecht, Bilder verwaschen und unruhig.
720	O.	» 27	.32	12 50	13 42	4	1	7	12 56	13 30	5	Luft äusserst durchsichtig, Bilder aber etwas zerfahren.
721	W.	Mai 19	.38	13 17	13 49	2	1	4	13 29	13 29	8	Luft schlecht, nur kurze Zeit klar.
722	O.	» 31	.41	14 35	15 21	4	1	7	14 51	15 21	7	Mondschein.
723	W.	Juni 2	.42	14 35	15 21	5	1	4	14 51	14 51	11	Mondschein, Wolkenschleier.
724	O.	» 18	.46	16 1	16 17	3	1	10	15 51	16 3	12	Die Anhaltsterne vor der Zone durch Stehenbleiben des Registrirapparates verloren.
725	W.	» 24	.48	15 39	16 17	6	1	11	15 51	16 3	12	
726	»	» 25	.48	16 17	18 15	10	3	80	16 18	18 1	15	Sterne sehr scharf und ruhig.
727	»	» 26	.49	16 47	18 51	5	2	128	17 1	18 38	10	Sterne sehr unruhig und zerfahren.
728	»	» 27	.49	16 47	18 55	11	2	74	17 1	18 49	9	Luft und Bilder mittelmässig.
729	»	» 30	.50	16 52	18 41	8	2	42	16 56	18 33	10	Mondschein, Bilder mittelmässig.
730	»	Juli 2	.50	17 30	18 41	5	1	14	17 32	18 32	13	Mondschein, Luft und Bilder leidlich.
731	»	Sept. 13	.70	20 6	20 32	4	1	8	20 2	20 53	8	Bilder schlecht und unruhig; wurde trübe.
732	»	» 15	.71	21 10	23 54	10	2	113	21 59	23 55	6	Luft anfangs schlecht, später leidlich.
733	»	» 16	.71	21 10	23 54	11	2	67	22 5	23 28	10	

Zone	Kl.	1887 - 1888	Ep.	Ausdehnung der Zone einschl. F. u. P. St. Anf.	Ende	Anzahl der Sterne F.	P.	Zon.	Zonensterne von	bis	Temp. R.	Bemerkungen
734	W.	Oct. 27	87.82	21^h21^m	22^h59^m	8	2	24	21^h10^m	$23^h\ 1^m$	0°	Mondschein, Luft mittelmässig.
735	O.	Nov. 7	.85	23 11	0 14	6	1	16	23 24	0 8	4	Bilder leidlich, wurde trübe am Schlusse.
736	W.	» 16	.88	23 11	0 14	6	1	20	23 24	0 8	−4	Bilder sehr schlecht und schwach.
737	O.	Jan. 16	88.04	0 41	1 48	5	1	18	0 57	1 48	−3	Im Anfang Dämmerung, Luft gut.
738	»	März 1	.17	4 48	5 42	6	1	11	5 19	5 31	−5	Luft leidlich gut.
739	W.	» 5	.18	4 48	5 59	7	1	14	5 19	5 55	−4	
740	»	» 23	.23	6 37	8 26	9	2	99	6 53	8 10	0	Mondschein, im Anfang Dämmerung, Bilder gut.
741	»	» 26	.24	6 37	8 10	10	2	50	7 1	7 57	4	Anfangs noch Tageslicht und hellste Dämmerung. Gegen Schluss dunstig und Mondring. Abgebrochen wegen Wolken.
742	O.	Mai 15	.37	13 42	15 10	7	2	70	14 1	15 4	7	Mondschein. Bilder sehr mittelmässig, Sterne aufgeblasen.
743	»	» 17	.38	13 42	15 10	8	2	72	14 1	15 3	14	Mondschein, Bilder mittelmässig.

Revisions- und Ergänzungs-Zonen (5° bis 15°).

Zonen von Schumann (Beobachter am Kreis: Hänig).

Zone	Kl.	Datum	Ep.	Anf.	Ende	F.	P.	Zon.	von	bis	Temp. R.	Bemerkungen
		1889										
744	W.	Nov. 23	89.90	21^h28^m	23^h24^m	9	1	66	$22^h\ 5^m$	23^h17^m	1°	Ruhe 2-3, Schärfe 2-3.
745	»	» 24	.90	21 56	23 24	8	1	65	22 5	23 20	2	Ruhe 2, Schärfe 2-1.
746	»	» 27	.91	1 47	3 25	6	1	84	1 57	3 15	−2	Ruhe 2-3, Schärfe 2-3.
747	O.	Dec. 13	.95	0 43	5 29	14	2	111	1 2	5 14	−1	Ruhe 2-3, Schärfe 2-1, am Schluss Cirri und Mondschein.
748	»	» 18	.97	22 36	3 25	12	1	91	22 52	3 15	0	Im Anfang Dämmerung, Ruhe 2-1, Schärfe 1. Von $23\frac{1}{2}^h - 2^h$ wegen Wolken unterbrochen, dann Ruhe 2-3, Schärfe 2, später Ruhe 2, Schärfe 1.
		1890										
749	W.	Jan. 5	90.01	0 43	2 57	5	1	58	1 2	2 7	0	Im Anfang Ruhe und Schärfe 2-3, später 2.
750	O.	» 8	.02	0 41	5 31	13	2	51	1 3	5 2	2	Anfangs Ruhe 2-3, Schärfe 2, später Ruhe und Schärfe 2-3, am Schluss 2. Das Mikroskop auch von Schumann abgelesen.
751	W.	» 14	.04	2 43	7 19	11	1	136	3 3	7 2	0	Anfangs Ruhe 2-3, Schärfe 2, später Ruhe und Schärfe 2.
752	O.	» 17	.05	6 58	10 11	9	2	103	7 4	10 1	1	Im ersten Theil anfangs Ruhe 2, Schärfe 2-1, am Schluss Ruhe und Schärfe 2. Im zweiten Theil anfangs Ruhe und Schärfe 2-1, am Schluss 2-3.
753	»	» 18	.05	1 48	3 25	5	1	20	2 9	3 3	2	Anfangs Ruhe 2, Schärfe 2-3, am Schluss Ruhe und Schärfe 2-3. Im Anfang Sterne ziemlich schwach.
754	»	» 21	.06	4 40	6 58	8	1	81	4 49	7 5	1	Anfangs Ruhe 2, Schärfe 2-3, zuletzt Ruhe 2, Schärfe 4. Abgebrochen wegen plötzlicher Bewölkung; auch während der Zone zeitweise Wolken.
755	W.	Febr. 1	.09	3 55	5 19	8	1	38	4 5	5 16	−6	Anfangs Ruhe 3, Schärfe 4, am Schluss Ruhe und Schärfe 2-3. Mond in der Nähe.
756	»	» 4	.10	4 30	8 26	10	1	138	4 32	8 9	−4	4^h—6^h wechselnde Bilder, Ruhe 2, Schärfe anfangs 3-4, später 3. 7^h—8^h Ruhe 2-3, Schärfe 3-4.
757	O.	» 7	.10	5 19	8 20	7	1	91	5 25	8 1	−4	5^h—6^h Sterne schwach, Ruhe 2, Schärfe anfangs 3, später 2. 7^h—8^h Ruhe 2, Schärfe 2-1.
758	»	» 9	.11	5 49	9 13	11	1	134	5 52	8 59	−3	$5^h.8$—7^h Ruhe 2-1, Schärfe 1. $7^h.5$—9^h Ruhe 2-3, Schärfe 2.
759	W.	» 12	.12	5 49	8 26	8	1	92	6 1	8 1	−4	Ruhe 2, Schärfe anfangs 3, später 2. Im letzten Drittel der Zone brennt das Gas nur sehr schwach.
760	»	» 13	.12	5 49	10 11	13	1	147	6 2	10 1	−4	Sterne matt. 6^h—8^h anfangs Ruhe und Schärfe 2, am Schluss 2-3. 9^h—10^h Ruhe und Schärfe 3.
761	»	» 14	.12	5 49	9 9	9	1	121	6 4	8 59	−2	Ruhe und Schärfe 2-1.
762	»	» 20	.14	6 39	11 15	11	1	110	7 3	11 2	−3	7^h—8^h Ruhe und Schärfe anfangs 2, später 2-1. 10^h—11^h anfangs Schärfe 2, Ruhe 2-3, am Schluss Ruhe 2-3, Schärfe 2-1.
763	O.	» 22	.15	6 39	7 57	4	1	17	7 12	7 44	−1	Ruhe und Schärfe 1. Wechselnde Bewölkung. Abgebrochen wegen völliger Bewölkung.
764	»	» 25	.15	6 39	11 8	11	1	70	7 11	10 59	−1	7^h—8^h Ruhe 2-3, Schärfe 3, verwaschene Bilder. 10^h—11^h Ruhe 2, Schärfe 2-3, zeitweise Wolken.
765	W.	März 4	.17	6 39	8 20	6	1	23	7 12	8 2	−7	Mondschein und etwas Nebel. Anfangs Ruhe 3-2, Schärfe 2-1, am Schluss Ruhe 2-3, Schärfe 2.
766	»	» 15	.20	10 27	12 30	9	1	50	10 43	12 1	3	Ruhe 2, Schärfe 2-3.
767	W.	» 28	.21	10 27	12 30	7	1	41	10 44	12 1	9	Heller Mondschein, einzelne Cirri. Im Anfang Ruhe 2-3, Schärfe 2, am Schluss Ruhe 2, Schärfe 2-3.

Zone	Kl.	1890	Ep.	Ausdehnung der Zone einschl. F. u. P. St. Anf.	Ende	Anzahl der Sterne F.	P.	Zon.	Zonensterne von	bis	Temp. R.	Bemerkungen
768	O.	April 9	90.27	11^h43^m	$13^h\ 7^m$	8	1	42	$12^h\ 2^m$	12^h58^m	3°	Im Anfang Ruhe und Schärfe 3, wahrscheinlich schwache Wolken, am Schluss Ruhe und Schärfe 2-3. Bald nach Schluss trübe.
769	W.	» 11	.28	11 43	15 21	12	1	85	12 2	14 37	1	Ruhe 2-3, Schärfe 2, namentlich im Anfang zeitweilig sehr unruhig.
770	»	» 15	.29	12 0	16 13	14	1	128	12 2	16 0	5	12^h—13^h Ruhe 2, Schärfe 2-3. 13^h—14^h Ruhe 2-3, Schärfe 2-1. 15^h—16^h anfangs Ruhe 2-3, Schärfe 2-1, am Schluss Ruhe und Schärfe 2.
771	»	Mai 6	.35	13 49	15 23	5	1	58	14 3	15 2	8	Mondschein, schwacher Nebel. Ruhe 2-3, Schärfe 3.
772	O.	» 7	.35	12 14	12 50	3	1	2	12 14	12 45	11	Es bewölkte sich rasch.
773	»	» 12	.36	13 29	17 11	12	2	120	13 35	17 0	13	$13^h.5$—15^h windig, anfangs Ruhe und Schärfe 2-3, am Schluss 2. 16^h—17^h Ruhe und Schärfe 3.
774	»	» 13	.37	12 50	13 29	4	1	7	13 3	13 10	12	Ruhe und Schärfe 2; es bewölkt sich rasch.
775	»	» 15	.37	15 21	16 17	9	1	25	15 21	16 11	7	Im Anfang Ruhe 3-2, Schärfe 4, am Schluss Ruhe 2, Schärfe 3. Zeitweise Wolken, am Schluss ganz trübe.
776	W.	» 16	.37	13 42	17 11	13	2	96	13 43	17 0	9	$13^h.7$—15^h Ruhe 2, Schärfe 2-1. 16^h—17^h Ruhe und Schärfe 2-3.
777	»	» 17	.38	12 50	18 16	17	2	141	13 2	18 1	10	13^h—14^h bisweilen windig, anfangs Ruhe 2-1, Schärfe 1, am Schluss Ruhe und Schärfe 2. 15^h—17^h Ruhe und Schärfe 2-3. 17^h—18^h am Schluss Ruhe 2, Schärfe 3.
778	»	» 18	.38	12 50	17 0	11	1	85	13 2	16 38	11	13^h—14^h am Schluss Ruhe 2-1, Schärfe 1. $16^h.3$ Ruhe und Schärfe 2.
779	»	» 19	.38	12 50	14 5	7	1	41	13 5	13 58	12	
780	O.	» 23	.39	16 52	18 3	4	1	53	17 4	18 1	11	
781	W.	Juni 4	.43	16 47	18 3	6	1	59	17 4	18 2	10	Anfangs Ruhe 3, Schärfe 2, am Schluss Ruhe 2, Schärfe 2-1.
782	O.	» 16	.46	16 47	20 12	10	1	122	17 4	20 1	7	17^h—18^h Ruhe und Schärfe 3. 19^h—20^h Ruhe 2-3, Schärfe 2. Die letzten 10^m der Zone durch Morgendämmerung gestört.
783	W.	» 25	.48	16 47	20 12	10	1	123	17 4	20 1	9	17^h—18^h im Anfang Ruhe 2-1, Schärfe 2-3, am Schluss Ruhe und Schärfe 2. 19^h—20^h Ruhe und Schärfe 3.
784	O.	Juli 1	.50	17 54	19 20	7	1	47	18 2	19 1	10	Ruhe und Schärfe 2-3, bisweilen verwaschene Bilder.
785	»	» 2	.50	16 47	20 12	12	1	110	17 4	20 2	11	Mondschein. 17^h—18^h Ruhe und Schärfe 2. 19^h—20^h im Anfang Ruhe und Schärfe 3, am Schluss Ruhe 3-4, Schärfe 2-3.
786	W.	» 10	.52	17 42	21 17	11	1	147	18 2	21 1	9	18^h—19^h Ruhe 3-4, Schärfe 2-3. Viel Unruhe langer Periode. 20^h—21^h Ruhe und Schärfe 3-4.
787	»	» 13	.53	16 47	21 17	12	1	179	17 4	21 1	9	17^h—18^h Ruhe 2, Schärfe 2-1. 18^h—19° Ruhe und Schärfe 2. 20^h—21^h Ruhe 2, Schärfe 2-1.
788	»	» 14	.54	16 52	21 17	14	1	104	17 9	20 57	12	$17^h.1$—$17^h.3$ Ruhe und Schärfe 2-1. 18^h—19^h Ruhe und Schärfe 2-3. 20^h—21^h Ruhe 2-3, Schärfe 2.
789	»	» 15	.54	17 54	19 20	7	1	69	18 2	19 0	15	Ruhe und Schärfe 2-3.
790	O.	» 26	.57	17 42	19 13	6	1	63	18 4	19 0	9	Ruhe 2-3, Schärfe 3.
791	»	» 27	.57	17 42	19 13	6	1	26	18 2	18 57	12	Ruhe 2, Schärfe 2-3.
792	W.	» 28	.57	18 51	22 5	11	1	126	19 5	22 1	13	19^h—20^h Ruhe 2, Schärfe 1. 21^h—22^h Ruhe 2-3, Schärfe 2, am Schluss Ruhe und Schärfe 1.
793	»	» 30	.58	18 41	20 28	8	1	70	18 44	20 1	12	Mondschein, dunstig. Im Anfange Ruhe und Schärfe 1, am Schluss 2-3.
794	»	» 31	.58	18 41	20 6	7	1	56	18 44	20 2	16	Ruhe 2-3, Schärfe 2.
795	»	Aug. 1	.58	18 51	22 5	12	1	104	19 5	22 1	16	Ruhe und Schärfe 2.
796	O.	» 13	.62	19 41	20 6	3	1	18	19 48	20 1	13	Ruhe und Schärfe 2.
797	W.	Sept. 17	.71	22 5	23 34	7	1	32	22 18	23 24	9	Windig, Ruhe und Schärfe 3-4.
798	»	Oct. 13	.78	22 16	1 26	12	1	100	22 18	1 1	6	Ruhe und Schärfe 2, in der Mitte der Zone 3. Beleuchtung während der ganzen Zone mässig und flackernd.
799	O.	» 14	.79	22 16	1 26	10	1	83	22 18	1 1	6	Ruhe und Schärfe 2-3.
800	»	» 21	.81	22 59	23 24	5	1	4	23 9	23 14	0	Ruhe 3, Schärfe 4, Wolken.
801	W.	» 28	.82	22 58	1 26	7	1	80	23 9	1 9	0	Heller Mondschein, Nebel, namentlich im Anfang. Ruhe und Schärfe sehr variabel, Sterne aber immer verwaschen.
802	»	» 29	.83	23 20	0 43	6	1	69	23 25	0 41	0	Ruhe und Schärfe 2.
803	O.	Nov. 4	.84	0 8	2 14	8	1	56	0 8	2 1	4	Ruhe 2-3, Schärfe 2.
804	»	» 10	.84	23 20	0 33	6	1	16	23 32	0 3	3	Ruhe 4, Schärfe 2-3, Nebel und Wolken.

Zone	Kl.	1890 / 1891	Ep.	Ausdehnung der Zone einschl. F. u. P. St. Anf.	Ende	Anzahl der Sterne F.	P.	Zon.	Zonensterne von	bis	Temp. R.	Bemerkungen
805	O.	Nov. 22	90.89	$23^h 11^m$	$0^h 24^m$	6	1	39	$23^h 25^m$	$0^h 2^m$	4°	Mondschein und Nebel, mehrfach Wolken, Ruhe und Schärfe 2-3.
806	»	Dec. 1	.92	23 15	1 26	6	1	77	23 29	1 8	−2	Im Anfang Ruhe 3, Schärfe 3-2, am Schluss Ruhe und Schärfe 2-3.
807	»	» 7	.93	23 20	1 40	6	1	18	23 35	1 5	−5	Ruhe und Schärfe 3-4. Zone wegen Nebels abgebrochen.
808	W.	» 11	.95	0 42	1 36	5	1	16	1 2	1 19	−3	Ruhe und Schärfe 2. Zone abgebrochen wegen Nebels.
809	»	» 14	.95	23 47	2 14	9	1	37	0 8	1 57	−7	Das Gas brennt schlecht wegen Kälte; Wind; Ruhe 3, Schärfe 2.
810	»	» 15	.96	23 54	1 26	5	1	4	0 8	1 18	−8	Schlechte Beleuchtung, Wind; Ruhe 2-3, verwaschene Bilder.
811	O.	Jan. 20	91.05	0 57	3 5	8	1	55	1 8	2 50	−7	Im Anfang Dämmerung, Mondschein, zeitweilig Wolken. Im Anfang Ruhe und Schärfe 2-3, am Schluss Ruhe 3-4, Schärfe 4.
812	»	» 22	.06	0 57	2 12	8	1	8	1 14	2 10	−5	Himmelsgrund sehr hell wegen Mondschein und Nebel. Im Anfang Dämmerung. Ruhe und Schärfe 2.
813	W.	» 29	.08	2 12	4 17	9	1	73	2 35	4 1	1	Anfang bei Dämmerung. Ruhe 2-3, Schärfe 2.
814	»	Febr. 4	.10	2 34	5 29	16	1	59	2 41	5 1	1	Im Anfang Dämmerung. Zeitweilig windig. Anfangs Ruhe und Schärfe 2, am Schluss Ruhe 2-1, Schärfe 1.
815	»	» 7	.10	3 19	5 29	8	1	12	3 41	4 57	−1	Ruhe 2, Schärfe anfangs 1, später 2. Mikroskop von Hahn abgelesen.
816	»	» 8	.11	3 19	4 57	7	1	9	3 41	4 56	−1	Im Anfang Dämmerung. Ruhe 2-3, Schärfe 2-1. Mikroskop von Hahn abgelesen.
817	»	» 9	.11	3 21	5 29	7	1	20	3 41	4 57	−3	Anfangs sehr schwache Feldbeleuchtung. Im Anfang Ruhe und Schärfe 3, am Schluss Ruhe 2, Schärfe 1.
818	»	» 10	.11	3 21	4 2	4	1	5	3 43	3 54	-2	Schwacher Nebel, zeitweilig Wind. Im Anfang Ruhe 2-1, Schärfe 1, am Schluss Ruhe 2, Schärfe 2-1.
												Zonen von Hayn (Beobachter am Kreis: Hänig).
		1891										
819	O.	Aug. 27	91.65	$18^h 41^m$	$21^h 17^m$	9	1	78	$18^h 30^m$	$20^h 59^m$	16°	Windig, Ruhe und Schärfe 2-3.
820	»	Sept. 8	.69	18 41	20 12	7	1	25	19 2	19 56	12	Ruhe 3, Schärfe 2; vielfach Wolkenschleier.
821	»	» 9	.69	19 13	20 28	6	2	21	19 27	20 29	11	Ruhe und Schärfe 3, Refraction sehr schwankend.
822	W.	» 30	.75	20 35	22 30	7	1	37	20 47	21 47	11	Anfangs Ruhe und Schärfe 2, am Ende wegen Wolken Ruhe 3.
823	»	Oct. 1	.75	21 39	22 59	5	–	25	21 46	22 14	11	Ruhe und Schärfe 2-3.
824	»	» 6	.76	22 16	0 8	8	1	52	22 19	23 58	8	Ruhe und Schärfe 3, Sterne vielfach sehr verwaschen.
825	»	Nov. 10	.86	23 54	2 14	11	1	51	0 3	1 55	2	Ruhe 3, Schärfe 2-3, zuletzt Schärfe 4.
		1892										
826	»	Jan. 11	92.03	1 48	3 5	8	1	26	2 3	3 3	−4	Ruhe und Schärfe 3, später 3-2.
827	»	» 19	.05	2 57	4 49	11	1	63	3 14	4 44	−6	Ruhe und Schärfe 3.
828	»	» 20	.05	4 45	6 18	8	1	52	4 50	6 0	−8	Ruhe und Schärfe 3-2, später Ruhe 3.
829	O.	Febr. 16	.13	5 49	7 57	10	1	83	5 48	7 51	−5	Kurze Zeit Ruhe 2-3, Schärfe 2, dann Ruhe und Schärfe 3. Zum Schluss zunehmender Dunst, der ferneres Beobachten unmöglich macht.
830	W.	» 24	.15	6 7	8 39	10	1	60	6 31	8 32	2	Ruhe und Schärfe 3-2.
831	»	März 15	.21	8 20	10 3	10	1	39	8 41	10 2	−1	Ruhe und Schärfe 3-2, zuletzt 2.
832	»	» 17	.21	10 3	12 0	10	1	45	10 15	11 59	1	Ruhe 2-3, Schärfe 2.
833	»	» 30	.25	12 14	15 10	12	1	40	12 19	15 16	0	Ruhe und Schärfe 3.
834	»	Mai 12	.36	15 30	17 30	7	1	64	15 37	17 7	6	Anfangs Ruhe und Schärfe 3, am Schluss 3-4.
835	»	» 24	.40	16 9	19 0	13	1	80	16 24	19 0	10	Ruhe und Schärfe 2-3, am Schluss Ruhe 2, Schärfe 3.
		1893										
836	O.	Jan. 7	93.02	1 26	1 40	2	1	1		1 48	−7	

Für einige Zonen liegen die Zeitangaben der siebenten Columne der vorstehenden Uebersicht nicht wie es den Columnenüberschriften zufolge der Fall sein sollte innerhalb der in der fünften Columne angegebenen Grenzen. Die Ueberschrift der fünften Columne trifft nämlich zwar für die grosse Mehrzahl der Zonen zu, die Columne gibt aber thatsächlich überall die Rectascensionen des ersten und des letzten der für die Reduction der betr. Zone benutzten Zeit- und Polsterne.

Verzeichniss der Refractoranschlüsse,

welche zur Bildung von Catalogörtern benutzt worden sind.

Die erste Columne gibt die Catalognummer des zu bestimmenden Sterns,
die zweite und dritte die Beobachtungsepoche,
die vierte die Catalognummer des Vergleichsterns, wobei ein * Anschluss durch Messung von Positionswinkel und Distanz bezeichnet, und der Zusatz α oder δ angibt, dass nur α oder nur δ beobachtet worden ist.
In den Fussnoten sind die bei der Reduction in Rechnung gezogenen Eigenbewegungen der Vergleichsterne angegeben.

Cat. Nr. Leipzig I	Tag	Ep.	Vgl.-St. (Leipz. I)
1	93 Dec. 10	93.94	6
12	92 Oct. 24	92.82	24
35	92 Oct. 24	92.82	26
»	»	»	40
48	92 Oct. 24	92.82	26
»	»	»	40
129	95 Jan. 17	95.05	*128
193	92 Oct. 24	92.82	207
239	92 Oct. 24	92.82	240
252	92 Oct. 26	92.82	254
268	92 Oct. 24	92.82	272
276	92 Oct. 24	92.82	279
295	92 Oct. 24	92.82	301
300	92 Nov. 15	92.88	309
316	92 Nov. 15	92.88	326
»	92 Nov. 17	92.88	326a
322	92 Nov. 13	92.88	325
324	95 Jan. 18	95.05	287
»	»	95.05	291
337	92 Nov. 15	92.88	330
354	92 Nov. 15	92.88	370
368	92 Nov. 19	92.89	*369
»	95 Jan. 22	95.06	*369
406	95 Febr. 8	95.10	407
427	92 Nov. 15	92.88	411
446	92 Nov. 15	92.88	422
468	92 Nov. 17	92.88	455
»	95 Febr. 15	95.12	455
489	92 Nov. 17	92.88	483
505	95 Febr. 13	95.12	498
533	92 Nov. 15	92.88	527
542	92 Nov. 15	92.88	537
547	92 Nov. 15	92.88	553
578	95 Febr. 15	95.13	*579
591	92 Nov. 17	92.88	594
724	95 März 3	95.17	732
738	92 Nov. 26	92.90	736
769	95 März 8	95.18	*768
779	95 März 3	95.17	780
780	95 März 3	95.17	789
781	95 März 8	95.18	*782
795	92 Nov. 26	92.90	798
809	95 Febr. 15	95.12	808
825	92 Nov. 26	92.90	812

Cat. Nr. Leipzig I	Tag	Ep.	Vgl.-St. (Leipz. I)
853	95 März 9	95.18	*854
882	93 Dec. 22	93.97	*881
888	92 Nov. 26	92.90	889
906	92 Nov. 26	92.90	913
918	92 Nov. 26	92.90	936
930	92 Nov. 26	92.90	938
940	92 Dec. 9	92.94	933
949	95 März 12	95.19	944
970	92 Dec. 9	92.94	966
980	92 Dec. 9	92.94	981
984	92 Dec. 9	92.94	991
998	92 Dec. 9	92.94	1000
1007	95 März 20	95.21	1009
»	95 März 30	95.24	1009
1096	92 Dec. 9	92.94	1118
1124	92 Dec. 9	92.94	1128
»	96 Nov. 26	96.91	1120
»	»	96.91	1128
1129	92 Dec. 9	92.94	1132
1142	93 Jan. 7	93.02	1137
1193	93 Jan. 7	93.02	1194
1224	93 Jan. 7	93.02	1239
1238	93 Jan. 7	93.02	1241
1381	93 Jan. 23	93.06	1385
1401	93 Jan. 7	93.02	1382
1407	93 Jan. 23	93.06	1410
1432	93 Jan. 23	93.06	1425
1438	93 Jan. 23	93.06	1415
1441	93 Jan. 29	93.08	*1439
1459	93 Jan. 23	93.06	1468
1487	93 Jan. 23	93.06	1505
1513	93 Jan. 23	93.06	1501
1516	93 Jan. 7	93.02	1488
1542	95 April 10	95.27	1543
1597	95 April 10	95.27	1592
1602	95 April 10	95.27	1592
1623	93 Febr. 4	93.09	1627
1635	93 Febr. 4	93.09	1637
1636	93 Febr. 4	93.09	1640
1694	93 Febr. 4	93.09	1689
1696	93 Febr. 4	93.09	1699
1745	93 Febr. 4	93.09	1743
1785	93 Febr. 4	93.09	1766

Cat. Nr. Leipzig I	Tag	Ep.	Vgl.-St. (Leipz. I)
1807	93 Febr. 27	93.16	1817
1855	95 März 30	95.24	1850
»	»	95.24	1864
1858	93 Febr. 4	93.09	1847
1880	93 Febr. 4	93.09	1887
1886	93 Dec. 30	93.99	*1885[1]
»	95 April 16	95.29	*1885[1]
»	95 April 19	95.30	*1885[1]
1892	93 Febr. 4	93.09	1885[1]
1900	93 Febr. 4	93.09	1908
1934	93 Febr. 4	93.09	1937
1947	93 März 4	93.17	1962
1949	93 Febr. 6	93.10	1962
1950	95 März 30	95.24	1945
1955	93 Febr. 6	93.10	1945
»	95 März 30	95.24	1959
1971	95 März 30	95.24	1986
1974	93 Febr. 6	93.10	1945
2006	95 April 10	95.27	*2007
2012	93 Febr. 6	93.10	2022
2018	95 März 30	95.24	2020[2]
2060	94 Jan. 21	94.05	2048
2065	93 Febr. 16	93.12	2044
2082	93 Febr. 6	93.10	2092
2087	94 Jan. 11	94.03	2089
2090	93 Febr. 6	93.10	2095[3]
2106	93 Febr. 16	93.12	2127
2107	93 Febr. 6	93.10	2095[3]
2120	93 Febr. 16	93.12	2125
2124	93 März 4	93.17	2132
2192	93 Febr. 6	93.10	2218
2198	94 Jan. 21	94.05	2219
2208	93 Febr. 6	93.10	2216
2225	94 Jan. 11	94.03	2214
2237	93 März 12	93.19	2239
2247	94 Jan. 21	94.05	2252
2251	94 Jan. 21	94.05	2252
2273	93 März 12	93.19	2281
2300	94 Jan. 11	94.03	2285
2309	93 März 12	93.19	2301
2310	93 März 4	93.17	2324
2312	94 Jan. 11	94.03	2321
2314	93 Febr. 6	93.10	2332

[1] E.B. $+0^{s}.032$ $-0''.50$ [2] F.C. [3] E.B. $+0^{s}.005$ $-0''.32$

Cat. Nr. Leipzig I	Tag	Ep.	Vgl.-St. (Leipz. I)
2326	94 Jan. 21	94.05	2323
2343	94 Jan. 21	94.05	2323
2346	93 März 4	93.17	2352
2359	94 Jan. 11	94.03	2370
2373	93 Febr. 6	93.10	2395
2385	93 Febr. 16	93.12	2392
2394	94 Jan. 11	94.03	2401
2396	93 März 12	93.19	2393
2462	93 März 4	93.17	2463
2479	93 Febr. 27	93.16	2484
2492	93 März 12	93.19	2498
2497	93 März 12	93.19	2498
2551	93 März 12	93.19	2561
2553	93 März 12	93.19	2581
2554	94 Jan. 21	94.05	2561
2560	94 Jan. 11	94.03	2575
2562	94 Jan. 11	94.03	2575
2574	94 Jan. 11	94.03	2585
2586	93 März 4	93.17	2599
2591	93 März 4	93.17	2573
2594	93 März 4	93.17	2580
2603	94 Jan. 11	94.03	2616
2605	93 Febr. 6	93.10	2620
2606	93 Febr. 6	93.10	2620
2630	93 März 4	93.17	2611
2652	94 Jan. 11	94.03	2659
2673	94 Jan. 11	94.03	2659
2701	94 Jan. 11	94.03	2723
2704	93 März 12	93.19	2697
2705	94 Jan. 11	94.03	2715
2731	93 März 25	93.23	2737
2732	93 März 24	93.22	2738
2733	95 April 25	95.31	2721
»	»	95.31	2735
2736	93 März 29	93.24	2737
2744	93 März 24	93.22	2760
2751	93 März 25	93.23	2737
2771	93 März 24	93.22	2760
2784	93 März 24	93.22	2772
2793	95 April 25	95.31	2806
2800	93 März 25	93.23	2789
2817	93 März 25	93.23	2834
2821	95 April 25	95.31	2829
2824	93 März 25	93.23	2834
2832	95 April 25	95.31	2831
2846	93 März 25	93.23	2834
2867	93 März 25	93.23	2873
2884	93 März 25	93.23	2889
2885	93 März 27	93.23	*2886
2897	93 März 29	93.24	2918
2901	95 Mai 1	95.33	2898
2908	95 April 25	95.31	2902
2928	93 März 25	93.23	2941
2943	95 April 25	95.31	2952
2958	93 März 25	93.23	2952
2973	95 April 25	95.31	2986

Cat. Nr. Leipzig I	Tag	Ep.	Vgl.-St. (Leipz. I)
2983	93 März 24	93.22	2993
3010	93 März 25	93.23	3005
3013	93 März 25	93.23	3021
3022	95 April 25	95.31	3030
3040	93 März 24	93.22	3038
3074	93 März 24	93.22	3080
3078	93 März 25	93.23	3072
3122	93 März 25	93.23	3127
3157	93 März 24	93.22	3163
3219	95 April 25	95.31	3217
3256	93 März 25	93.23	3260
3263	93 März 25	93.23	3247
3282	95 Mai 12	95.36	3303
3289	93 März 29	93.24	3297
3294	95 Mai 12	95.36	3298
3296	93 März 24	93.22	3312
3305	93 März 24	93.22	3312
3334	93 März 29	93.24	3336
3343	93 März 24	93.22	3354
3345	93 März 24	93.22	3353
3368	93 März 24	93.22	3371
3381	93 März 24	93.22	3379
3382	93 März 29	93.24	3388
3409	93 März 24	93.22	3411
3410	93 März 24	93.22	3413
3445	93 März 29	93.24	3448
3449	93 März 29	93.24	3452
3489	93 März 24	93.22	3492
3497	93 März 29	93.24	3500
3528	95 Mai 12	95.36	3523
3537	93 März 28	93.24	*3538
»	95 Mai 6	95.34	*3538
3580	95 Mai 12	95.36	3578
»	»	95.36	3572
3583	95 Mai 12	95.36	3585
3589	93 März 24	93.22	3593
3622	93 März 29	93.24	3627
3628	93 März 29	93.24	3641
3629	93 März 29	93.24	3641
3657	93 März 29	93.24	3661
3772	93 April 5	93.26	*3771
»	95 Mai 13	95.36	*3771
3857	93 April 6	93.26	3855
3895	95 Mai 13	95.36	3901
3908	93 April 6	93.26	3912
3944	95 Mai 13	95.36	3943
4096	95 Mai 21	95.38	4063
»	»	95.38	4118
4109	95 Mai 21	95.38	4063
»	»	95.38	4118
4127	95 Mai 28	95.40	*4126
4190	93 April 7	93.26	4205
4197	93 April 7	93.26	4204
4224	93 April 7	93.26	4228
4230	93 April 7	93.26	4219
4240	93 April 7	93.26	4246

Cat. Nr. Leipzig I	Tag	Ep.	Vgl.-St. (Leipz. I)
4260	95 Mai 26	95.40	4244
»	»	95.40	4269
4268	93 April 7	93.26	4274
4270	95 Mai 26	95.40	4269
»	»	95.40	4276
4363	95 Mai 26	95.40	4359
»	»	95.40	4369
4454	93 April 7	93.26	4457
4523	93 April 14	93.28	*4521
»	95 Mai 28	95.40	*4521
4533	93 April 12	93.28	4542
4554	93 April 12	93.28	4560
4572	95 Mai 28	95.40	4562
»	»	95.40	4560
4573	93 April 12	93.28	4574
4577	95 Mai 28	95.40	4560
»	»	95.40	4562
4600	95 Mai 28	95.40	4601
»	»	95.40	4605
4644	94 Mai 16	94.37	4647
4694	93 April 12	93.28	4687
4698	93 April 12	93.28	4687.
4733	94 Mai 16	94.37	4726
»	»	94.37	4730
4735	93 April 12	93.28	4744
4741	93 April 12	93.28	4747[1]
»	96 Juni 1	96.41	4743
»	»	96.41	4747[1]
4752	93 April 12	93.28	4754
4775	93 April 12	93.28	4778
4798	94 Mai 16	94.37	4799
4899	94 Mai 16	94.37	4903
4972	93 April 20	93.30	4979
4985	93 April 20	93.30	4989
5014	94 Mai 16	94.37	5035
5018	93 April 20	93.30	5021
5085	93 April 20	93.30	5088
5115	93 April 20	93.30	5118
5142	93 April 20	93.30	5145
5162	94 Mai 16	94.37	5168
5211	94 Mai 16	94.37	5205
5346	93 Mai 12	93.36	5336
5366	94 Juni 22	94.47	5378
5369	93 Mai 12	93.36	5373
5413	93 Mai 12	93.36	5414
5434	94 Juni 22	94.47	5438
5440	93 Mai 12	93.36	5450
5487	93 Mai 12	93.36	5493
5538	93 Juni 3	93.42	*5537
5550	94 Juni 22	94.47	5548
5552	94 Juni 22	94.47	5548
5606	93 Juni 7	93.43	5598
5674	93 Juni 7	93.43	5659
»	96 Aug. 4	96.59	5659
5697	93 Juni 7	93.43	5708
5700	93 Juni 7	93.43	5708
5741	94 Juni 28	94.49	5727
»	»	94.49	5746

[1] F.C.

Cat. Nr. Leipzig I	Tag	Ep.	Vgl.-St. (Leipz. I)
5751	94 Juni 28	94.49	5750
5768	93 Juni 7	93.43	5775
5774	94 Juni 23	94.47	*5773
5780	93 Juni 7	93.43	5787
5805	93 Juni 7	93.43	5806
5821	94 Juni 28	94.49	5823[1]
5882	93 Juni 7	93.43	5871
5887	93 Juni 7	93.43	5896
5956	94 Juni 28	94.49	5957
5965	93 Juni 7	93.43	5953
6001	93 Juni 8	93.43	6007
6017	93 Juni 8	93.43	6022
6036	93 Juni 8	93.43	6032
6096	93 Juni 8	93.43	6101
6099	93 Juni 8	93.43	6101
6103	93 Juni 8	93.43	6102
6136	93 Juni 8	93.43	6167
6144	93 Juni 8	93.43	6167
6151	93 Juni 8	93.43	6155
6187	93 Juni 8	93.43	6170
6265	93 Juni 8	93.43	6270
6299	94 Juni 28	94.49	6305
6321	93 Juni 8	93.43	6319[2]
6338	93 Juni 8	93.43	6335
6340	93 Juni 8	93.43	6345
6378	93 Juni 8	93.43	6386
6426	93 Juni 15	93.45	6424δ
»	93 Juni 16	93.45	6424a
6432	93 Juni 16	93.45	6430
6436	93 Juni 15	93.45	6455
6441	93 Juni 16	93.45	6437
6469	93 Juni 15	93.45	6468
6475	94 Sept. 2	94.67	6489
6478	93 Juni 16	93.45	6486
6501	94 Sept. 2	94.67	6508
6522	93 Juni 15	93.45	6543
6527	93 Juni 16	93.45	6516
6537	93 Juni 15	93.45	6543
6541	93 Juni 16	93.45	6548
6572	93 Juni 21	93.47	6584
6585	93 Juni 21	93.47	6600
6588	94 Sept. 2	94.67	6594
6599	94 Sept. 2	94.67	6601
6620	93 Juni 21	93.47	6600
6627	93 Juni 15	93.45	6625
6630	93 Juni 15	93.45	6638
6647	93 Juni 15	93.45	6662
6649	93 Juni 21	93.47	6684
6651	93 Juni 15	93.45	6645
6653	93 Juni 15	93.45	6638
6659	93 Juni 21	93.47	6684
6685	93 Juni 16	93.45	6671
6714	93 Juni 15	93.45	6724
6721	93 Juni 22	93.47	6720
6753	93 Juni 22	93.47	6763
6759	93 Juni 22	93.47	6763

Cat. Nr. Leipzig I	Tag	Ep.	Vgl.-St. (Leipz. I)
6769	95 Aug. 18	95.63	*6768
6790	93 Juni 16	93.45	6800
6794	93 Juni 16	93.45	6800
6797	93 Juni 16	93.45	6803
6811	93 Juni 15	93.45	6818
6840	94 Sept. 2	94.67	6829
6843	94 Sept. 2	94.67	6829
6872	93 Juni 22	93.47	6881
6878	93 Juni 22	93.47	6863
6882	93 Juli 3	93.50	*6881
6885	94 Sept. 2	94.67	6881
6886	94 Sept. 11	94.69	*6887
6895	93 Juni 22	93.47	6921
»	»	93.47	6925
»	»	93.47	6939
6915	93 Juni 22	93.47	6921
»	»	93.47	6925
»	»	93.47	6939
6928	93 Juni 16	93.45	6936
6933	93 Juni 22	93.47	6921
»	»	93.47	6925
»	»	93.47	6939
6934	93 Juni 22	93.47	6921
»	»	93.47	6925
»	»	93.47	6939
»	93 Oct. 5	93.76	6939
6970	93 Juni 16	93.45	6973
6978	93 Juni 15	93.45	6971
6999	93 Juni 22	93.47	7014
7017	93 Juni 16	93.45	7029
7018	93 Juni 16	93.45	7028
7024	93 Juni 22	93.47	7029
7025	93 Juni 16	93.45	7029
7038	93 Juni 22	93.47	7049
7055	93 Oct. 19	93.80	7045
7064	93 Oct. 9	93.77	7072
7091	93 Oct. 9	93.77	7082
7103	93 Oct. 19	93.80	7092
7105	93 Oct. 19	93.80	7092
7111	93 Oct. 5	93.76	7115
7214	93 Oct. 9	93.77	7223
7270	93 Oct. 9	93.77	7293
7304	93 Oct. 9	93.77	7306
7308	93 Oct. 19	93.80	7320
7327	93 Oct. 11	93.77	7322
7330	93 Oct. 9	93.77	7321
7339	93 Oct. 9	93.77	7321
7365	93 Oct. 5	93.76	7372
7378	93 Oct. 19	93.80	7393
»	»	93.80	7421
7395	93 Oct. 19	93.80	7393
7412	93 Oct. 19	93.80	7393
»	»	93.80	7421
7424	93 Oct. 5	93.76	7409
7425	93 Oct. 11	93.77	7411
7427	93 Oct. 5	93.76	7435
7432	93 Oct. 11	93.77	7423
7439	93 Oct. 9	93.77	7441

Cat. Nr. Leipzig I	Tag	Ep.	Vgl.-St. (Leipz. I)
7450	93 Oct. 19	93.80	7468
7451	93 Oct. 19	93.80	7468
7489	93 Oct. 5	93.76	7496, 97
7511	93 Oct. 11	93.77	7507
7513	93 Oct. 19	93.80	7531
7541	93 Oct. 19	93.80	7538
7547	93 Oct. 11	93.77	7553
7557	93 Oct. 9	93.77	7551
7569	93 Oct. 11	93.77	7572
7571	93 Oct. 11	93.77	7574
7588	96 Aug. 27	96.65	7590
»	»	96.65	7592
7601	94 Oct. 27	94.82	*7600
7602	93 Oct. 11	93.77	7632
7637	93 Oct. 5	93.76	7647
7639	93 Oct. 11	93.77	7632
7649	93 Oct. 5	93.76	7674
7653	96 Aug. 27	96.65	7651
»	96 Oct 5	96.76	7671
»	»	96.76	7672
7664	93 Oct. 11	93.77	7682
7701	93 Oct. 11	93.77	7710
7703	93 Oct. 11	93.77	7710
7714	94 Nov. 15	94.87	7710
»	»	94.87	7738
7722	93 Oct. 20	93.80	7726
7765	94 Nov. 15	94.87	7766δ
»	94 Dec. 1	94.91	7766
7787	93 Nov. 1	93.83	7792
7791	93 Oct. 25	93.81	7779
7793	93 Oct. 20	93.80	7772
7794	93 Nov. 1	93.83	7805
7807	93 Oct. 20	93.80	7801
7880	93 Nov. 1	93.83	7882
7954	93 Oct. 20	93.80	7962
7955	93 Oct. 25	93.81	7971
7986	93 Nov. 1	93.83	7976
7993	94 Dec. 1	94.91	7997
7998	93 Oct. 20	93.80	8003
8018	93 Nov. 1	93.83	8022
8088	94 Dec. 1	94.91	8100
8089	94 Dec. 1	94.91	8086
8101	93 Nov. 1	93.83	8102
8126	93 Nov. 1	93.83	8135
8199	93 Oct. 20	93.80	8208
8210	93 Nov. 7	93.85	*8209
8235	95 Sept. 21	95.72	8233
8248	93 Oct. 20	93.80	8261
8253	93 Oct. 25	93.81	8229
8266	93 Oct. 20	93.80	8267
8273	93 Oct. 25	93.81	8272
8302	93 Nov. 1	93.83	8318
8309	93 Nov. 1	93.83	8318
8319	93 Oct. 25	93.81	8312
8325	93 Nov. 1	93.83	8321
8336	93 Nov. 1	93.83	8321

[1] E.B. $0\overset{s}{.}000 \; -0\overset{s}{.}29$ [2] E.B. $0\overset{s}{.}000 \; +0\overset{s}{.}40$

Cat. Nr. Leipzig I	Tag	Ep.	Vgl.-St. (Leipz. I)	Cat. Nr. Leipzig I	Tag	Ep.	Vgl.-St. (Leipz. I)	Cat. Nr. Leipzig I	Tag	Ep.	Vgl.-St. (Leipz. I)
8366	95 Sept. 21	95.72	8371	8616	95 Sept. 23	95.72	*8617	9127	93 Dec. 3	93.92	9136
8367	95 Sept. 21	95.72	8371	8621	93 Nov. 10	93.86	8623	9130	93 Dec. 3	93.92	9131
8388	93 Nov. 21	93.89	8380	8640	93 Nov. 9	93.85	8632	9134	93 Dec. 3	93.92	9133
8397	93 Nov. 9	93.85	8407	8641	95 Sept. 23	95.72	8642	9211	93 Dec. 3	93.92	9212
8399	93 Nov. 21	93.89	8417	8659	95 Sept. 24	95.73	8664	9243	93 Dec. 7	93.93	9242
8408	93 Nov. 21	93.89	8401	8690	93 Nov. 21	93.89	8700	9252	95 Sept. 28	95.74	9255
8437	93 Nov. 10	93.86	8436	8695	93 Nov. 21	93.89	8700	9280	93 Dec. 7	93.93	9282
8441	93 Nov. 9	93.85	8453	8705	93 Nov. 10	93.86	8686	9300	93 Dec. 7	93.93	9305
8442	93 Nov. 10	93.86	8436	8712	93 Nov. 21	93.89	8700	9333	93 Dec. 7	93.93	9327
8463	93 Nov. 21	93.89	8461	8744	95 Sept. 24	95.73	8746	9336	93 Dec. 7	93.93	9338
8478	93 Nov. 9	93.85	8480	8758	93 Nov. 21	93.89	8747	9353	95 Oct. 21	95.80	9366
8486	93 Nov. 9	93.85	8472	8768	96 Oct. 5	96.76	8771	9393	93 Dec. 7	93.93	9386
8488	93 Nov. 9	93.85	8484	8774	93 Nov. 10	93.86	8787	9418	93 Dec. 7	93.93	9419
8498	95 Sept. 23	95.72	8472	8776	93 Nov. 10	93.86	8770	9434	93 Dec. 7	93.93	9442
»	»	95.72	8503	8793	93 Nov. 10	93.86	8795	9459	93 Dec. 10	93.94	9466
8500	93 Nov. 9	93.85	8503	8808	93 Nov. 21	93.89	8824	9460	93 Dec. 10	93.94	9465
8515	93 Nov. 21	93.89	8526	8810	93 Nov. 10	93.86	8816	9462	95 Dec. 13	95.95	9440
8523	95 Sept. 23	95.72	8516	8843	93 Dec. 3	93.92	8851	»	»	95.95	9456
»	»	95.72	8532	8891	93 Dec. 3	93.92	8897	»	»	95.95	9461δ
8542	93 Nov. 9	93.85	8538	8937	93 Dec. 3	93.92	8933	»	»	95.95	9469
»	»	93.85	8541	8939	93 Dec. 3	93.92	8941	»	»	95.95	9473
8549	93 Nov. 13	93.87	*8547	8970	93 Dec. 3	93.92	8976	»	96 Aug. 28	96.66	9469
8579	93 Nov. 10	93.86	8580	8986	93 Dec. 3	93.92	8997	9463	93 Dec. 10	93.94	9461
8586	93 Nov. 9	93.85	8605	9003	93 Dec. 3	93.92	8997	9484	93 Dec. 10	93.94	9479
8589	93 Nov. 9	93.85	8611	9004	93 Dec. 3	93.92	9009	9486	93 Dec. 10	93.94	9479
8595	93 Nov. 21	93.89	8593	9085	93 Dec. 3	93.92	9087	9492	93 Dec. 10	93.94	9494
8596	93 Nov. 9	93.85	8611	9126	93 Dec. 7	93.93	9109	»	»	93.94	9495
8610	93 Nov. 21	93.89	8619					9547	93 Dec. 10	93.94	9546

Cat. Nr. Leipzig II	Tag	Ep.	Vgl.-St. (Leipz. II)	Cat. Nr. Leipzig II	Tag	Ep.	Vgl.-St. (Leipz. II)	Cat. Nr. Leipzig II	Tag	Ep.	Vgl.-St. (Leipz. II)
18	95 Jan. 14	95.04	14	687	95 Febr. 15	95.12	703	1471	95 März 11	95.19	1493
»	»	95.04	26	»	»	95.12	685	1478	95 März 11	95.19	1479
75	95 Jan. 14	95.04	*76	830	95 März 3	95.17	837	1487	95 März 11	95.19	1482
110	95 Jan. 14	95.04	111	880	95 März 3	95.17	900	1516	95 März 9	95.18	1518
121	95 Jan. 14	95.04	142	905	95 März 3	95.17	902	»	»	95.18	1541
123	95 Jan. 14	95.04	127	919	95 März 3	95.17	922	1519	96 Nov. 26	96.90	1520
167	95 Jan. 14	95.04	165	973	95 März 3	95.17	953	»	»	96.90	1529
338	95 Jan. 14	95.04	341	977	95 März 3	95.17	953	1520	96 Nov. 26	96.90	1529
»	»	95.04	343	987	95 Febr. 15	95.12	981	1546	95 März 11	95.19	1539
361	95 Jan. 14	95.04	333	1021	95 März 9	95.18	1019	1644	95 März 30	95.24	1637
»	»	95.04	384	1031	95 März 11	95.19	1037	»	97 Jan. 5	97.01	1637
408	95 Jan. 18	95.05	391	1032	95 März 11	95.19	*1031	»	»	97.01	1639
»	»	95.05	396	1065	95 März 11	95.19	1087	1655	95 März 20	95.21	*1656
416	95 Jan. 18	95.05	403	1070	95 März 11	95.19	1057	1675	95 März 11	95.19	1676
»	»	95.05	429	»	»	95.19	1088	1694	95 März 20	95.21	*1693
435	95 Jan. 18	95.05	339(I)	1094	95 März 9	95.18	1060	1716	95 März 11	95.19	1715
464	95 Jan. 18	95.05	460	1132	95 März 12	95.19	1130	1769	95 März 20	95.21	*1768
»	»	95.05	479	1158	95 Febr. 15	95.12	1160	1793	95 März 18	95.21	1785
517	95 Jan. 18	95.05	540	1183	95 März 20	95.21	1187	1796	95 März 18	95.21	1802
534	95 Febr. 10	95.11	533	1213	95 März 20	95.21	1211	1816	95 April 8	95.27	1818
588	95 Febr. 8	95.10	597	1249	95 März 20	95.21	1237	1843	95 März 18	95.21	1823
623	95 Febr. 10	95.11	592	1263	95 März 20	95.21	1266	»	»	95.21	1849
628	95 Febr. 13	95.12	641	1357	95 März 3	95.17	1364	1855	95 April 8	95.27	1856
639	95 Febr. 13	95.12	626	1360	95 März 3	95.17	1350	»	95 April 10	95.27	1852
654	95 Febr. 15	95.12	*655	1391	95 März 11	95.19	1393	1880	95 März 18	95.21	1867
								1898	95 März 18	95.21	1892

Cat. Nr. Leipzig II	Tag	Ep.	Vgl.-St. (Leipz. II)
1911	95 März 30	95.24	1903
1926	95 März 30	95.24	1925
1931	95 März 11	95.19	1936
1945	95 April 15	95.28	1944
1950	95 März 11	95.19	1957
1959	95 April 8	95.27	1981
1964	95 April 1	95.25	1988
1980	95 März 30	95.24	1979
1992	95 April 1	95.25	2014
2080	95 April 1	95.25	2065
»	»	95.25	2092
2160	95 April 1	95.25	2168
2174	95 April 1	95.25	2165
»	»	95.25	2177
2186	95 April 1	95.25	2184
2204	95 April 1	95.25	2200
»	»	95.25	2221
2214	95 April 15	95.28	2221
»	»	95.28	2231
2223	95 April 10	95.27	2208
2229	95 April 10	95.27	2215
2230	95 April 10	95.27	2220
2232	95 April 10	95.27	2219
2238	95 April 10	95.27	2225
2240	95 April 15	95.28	2235
2243	95 April 10	95.27	2220
»	»	95.27	2215
2246	95 April 15	95.28	2245
2247	95 April 15	95.28	2245
2249	95 April 15	95.28	2235
2260	95 März 25	95.23	2264
»	»	95.23	2275
»	95 April 15	95.28	2275
2261	95 April 15	95.28	2262
»	»	95.28	2255[1]
2283	95 April 15	95.28	2284
»	97 Jan. 5	97.01	2255[1]
»	»	97.01	2262
2284	95 April 15	95.28	2255[1]
»	97 Jan. 5	97.01	2262
»	»	97.01	2255[1]
2289	95 April 15	95.28	2298
2320	95 April 15	95.28	2314
2334	95 April 16	95.29	2331
2342	95 April 16	95.29	2313
2486	95 April 16	95.29	2473
»	»	95.29	2477
2505	95 April 16	95.29	2487
2554	95 April 16	95.29	2558
2590	95 April 10	95.27	2591
2602	95 April 10	95.27	2578
2603	95 April 10	95.27	2578
2628	94 Jan. 29	94.08	2622
2649	94 Febr. 22	94.14	*2650
2669	94 Jan. 29	94.08	2705
2682	94 Jan. 29	94.08	2686
»	»	94.08	2710
2698	94 Jan. 29	94.08	2705
2732	97 April 6	97.26	2730

Cat. Nr. Leipzig II	Tag	Ep.	Vgl.-St. (Leipz. II)
2766	94 Jan. 29	94.08	2750
2789	94 Jan. 29	94.08	2783
2792	94 Jan. 29	94.08	2786
2810	94 Jan. 29	94.08	2820
2817	94 Jan. 29	94.08	2815
2824	97 Febr. 3	97.09	2778
»	»	97.09	2790
2827	94 Jan. 29	94.08	2815
2831	94 Jan. 29	94.08	2825
2834	94 Jan. 29	94.08	2825
2845	97 Febr. 3	97.09	2778
»	»	97.09	2790
2849	97 Febr. 3	97.09	2821
»	»	97.09	2840
2853	94 Jan. 29	94.08	2872
2893	94 Febr. 8	94.10	2891
»	»	94.10	2899
2916	94 Febr. 8	94.10	2913
2930	94 Febr. 8	94.10	2927
2933	94 Febr. 22	94.14	*2932
2935	94 Febr. 22	94.14	*2934
2943	94 Febr. 8	94.10	2934
2945	94 Febr. 8	94.10	2962
2966	94 Febr. 8	94.10	2962
2982	94 Febr. 8	94.10	2983
2986	94 Febr. 8	94.10	2988
3003	94 Febr. 8	94.10	2988
3020	94 Febr. 8	94.10	3019
3024	94 Febr. 8	94.10	3013
3041	94 Febr. 20	94.14	3045
3048	94 Febr. 20	94.14	3054
3086	94 Febr. 20	94.14	3071
3204	94 Febr. 20	94.14	3202
3234	94 Febr. 20	94.14	3217
3235	94 Febr. 20	94.14	3211
3243	94 Febr. 20	94.14	3242
3261	97 Jan. 5	97.01	3262
3263	94 Febr. 20	94.14	3286
3351	94 Febr. 20	94.14	3350
3376	94 Febr. 20	94.14	3370
3380	94 Febr. 20	94.14	3360
»	»	94.14	3399
3435	94 Febr. 20	94.14	3448
3471	94 Febr. 20	94.14	3452
»	»	94.14	3466
3485	94 Febr. 20	94.14	3484
3491	94 Febr. 20	94.14	3490
3503	94 Febr. 20	94.14	3481
»	»	94.14	3498
3507	94 Febr. 20	94.14	3504
3575	95 April 19	95.30	3550
3592	95 April 19	95.30	3604
3598	95 April 19	95.30	3615
3601	95 April 19	95.30	*3601
3625	95 April 19	95.30	3643
3637	95 April 19	95.30	3640
»	»	95.30	3645

Cat. Nr. Leipzig II	Tag	Ep.	Vgl.-St. (Leipz. II)
3664	95 April 19	95.30	3650
3666	95 April 24	95.31	3662
3671	95 April 19	95.30	3614
»	»	95.30	3639
3714	95 April 24	95.31	3732
3727	95 April 19	95.30	3744
3751	95 April 24	95.31	3762
3763	95 April 24	95.31	3798
3767	95 Agril 24	95.31	3764
3770	95 April 24	95.31	3768
3771	95 April 24	95.31	3764
3773	95 April 24	95.31	3758
3774	95 April 24	95.31	3758
»	»	95.31	3783
3800	95 April 24	95.31	3801
3810	95 April 24	95.31	3805
3811	95 April 24	95.31	3830
3816	95 April 24	95.31	3802
»	»	95.31	3851
3818	95 April 24	95.31	3830
3823	95 April 24	95.31	3802
»	»	95.31	3851
»	97 Febr. 3	97.09	3788
»	»	97.09	3802
3874	95 Mai 1	95.33	3895
3882	95 Mai 1	95.33	3895
3917	95 Mai 1	95.33	3901
3933	95 Mai 1	95.33	3913
3986	95 Mai 1	95.33	4017
»	»	95.33	4042
4028	95 Mai 5	95.34	4051
4061	95 Mai 5	95.34	4051
4066	95 Mai 5	95.34	4065
4077	95 Mai 5	95.34	4086
4131	95 Mai 6	95.34	*4130
4142	97 Febr. 3	97.09	4122
»	»	97.09	4148
4148	95 April 19	95.30	4156
4149	97 Febr. 3	97.09	4148
4218	95 April 24	95.31	4254
4233	95 April 24	95.31	4252
4245	95 April 24	95.31	4224
4247	95 April 24	95.31	4254
4260	95 April 24	95.31	4252
4268	95 April 24	95.31	4246
4341	95 Mai 5	95.34	*4340
4346	95 Mai 5	95.34	4325
4355	95 Mai 5	95.34	4334
4357	95 Mai 5	95.34	4350
4409	95 Mai 10	95.35	4422
4524	95 Mai 10	95.35	4519
4545	95 Mai 6	95.34	*4544
4601	95 Mai 10	95.35	4607
»	»	95.35	4613
4664	97 April 21	97.30	4646
»	»	97.30	6° 1989[2]
4679	95 Mai 10	95.35	4686
4683	95 Mai 10	95.35	4684

[1] F.C. [2] S. Anhang II (Leipz. II, S. 248)

Cat. Nr. Leipzig II	Tag	Ep.	Vgl.-St. (Leipz. II)
4687	95 Mai 10	95.35	4686
4708	95 Mai 10	95.35	4700
»	»	95.35	4709
4778	95 Mai 10	95.35	4756
4802	95 Mai 10	95.35	4781
4831	95 Mai 12	95.36	4825
4883	95 Mai 12	95.36	4876
4914	95 Mai 12	95.36	4902
4929	95 Mai 12	95.36	4916
5004	95 Mai 2	95.33	5007
5017	95 Mai 2	95.33	5009
»	»	95.33	5010
5031	95 Mai 13	95.36	*5032
5045	95 Mai 2	95.33	5048
»	»	95.33	5053
5091	95 Mai 2	95.33	5093
5114	95 Mai 2	95.33	5120
5244	95 Mai 2	95.33	5245
5267	95 Mai 12	95.36	5263
5280	95 Mai 12	95.36	5276
5326	95 Mai 13	95.36	*5325
5360	95 Mai 12	95.36	5362
5377	95 Mai 21	95.38	5372
5468	95 Mai 26	95.40	5486
5472	95 Mai 21	95.38	5506
5474	95 Mai 21	95.38	5506
5476	95 Mai 21	95.38	5468
»	95 Mai 26	95.40	5486
5542	95 Mai 21	95.38	5541
5562	95 Mai 28	95.40	*5563
5626	93 April 7	93.26	5615
5698	95 Mai 21	95.38	5700
5702	95 Mai 21	95.38	5695
5704	95 Mai 21	95.38	5695
5729	95 Mai 21	95.38	5715
5752	95 Mai 21	95.38	5747
»	»	95.38	5748
5768	95 Mai 26	95.40	5784
5776	95 Mai 26	95.40	5765
6016	95 Mai 28	95.40	6004
»	»	95.40	6019
6078	94 Mai 19	94.38	6079
6096	94 Mai 19	94.38	6098
6102	94 Mai 19	94.38	6115
6106	94 Mai 19	94.38	6079
6124	94 Mai 19	94.38	6134
6220	94 Mai 19	94.38	6205
»	»	94.38	6208
6236	94 Mai 19	94.38	6227
6247	94 Mai 19	94.38	6251
6271	94 Mai 15	94.37	*6272
6282	94 Mai 19	94.38	6283
6300	94 Mai 19	94.38	6301
6405	94 Mai 19	94.38	6413
6406	94 Mai 19	94.38	6413
6425	94 Mai 19	94.38	6424
6430	94 Mai 19	94.38	6423

Cat. Nr. Leipzig II	Tag	Ep.	Vgl.-St. (Leipz. II)
6452	94 Mai 19	94.38	6460
6519	94 Mai 19	94.38	6507
»	96 Juli 21	96.55	6507
»	»	96.55	6548
6584	94 Mai 19	94.38	6590
6601	94 Mai 19	94.38	6587
6618	95 Mai 29	95.41	6629
6621	95 Mai 29	95.41	6631
6725	95 Mai 29	95.41	6719
»	»	95.41	6728
6757	95 Mai 29	95.41	6773
6829	95 Mai 29	95.41	6834
»	»	95.41	6849[1]
6845	95 Mai 29	95.41	6840
6884	95 Mai 29	95.41	6864
6946	94 Juni 22	94.47	6947
7033	94 Juni 22	94.47	7035
7043	94 Juni 22	94.47	7036
»	»	94.47	7055
7069	94 Juni 22	94.47	7067
7157	94 Juni 22	94.47	7169
»	»	94.47	7175
7159	94 Juni 22	94.47	7142
»	96 Aug. 4	96.59	7142
»	»	96.59	7156
7189	94 Juni 22	94.47	7181
»	»	94.47	7196
»	»	94.47	7197
7203	94 Juni 29	94.49	7222
7206	94 Juni 29	94.49	7212
»	»	94.49	7213
7369	94 Juli 2	94.50	*7370
7448	94 Juni 29	94.49	7458
»	»	94.49	7468
7494	94 Juni 29	94.49	7493
7495	94 Juni 29	94.49	7472
»	»	94.49	7481
7531	94 Juni 29	94.49	7523
»	»	94.49	7524
7536	94 Juni 29	94.49	7535
7622	94 Juni 29	94.49	7639
7627	94 Juni 29	94.49	7651
7634	94 Juni 29	94.49	7633
7752	94 Juli 21	94.55	7750
7773	94 Juli 21	94.55	7767
»	»	94.55	7770
7832	94 Juli 21	94.55	7828
»	»	94.55	7858
7851	94 Juli 21	94.55	7860
7861	94 Juli 21	94.55	7847
7871	94 Juli 21	94.55	7870
7913	94 Juli 23	94.56	7907[2]
»	»	94.56	7910
7952	94 Juli 23	94.56	7961
7986	94 Juli 23	94.56	7981
8019	94 Juli 24	94.56	8000
8025	94 Juli 24	94.56	8026
»	»	94.56	8027
8068	94 Juli 24	94.56	8040

Cat. Nr. Leipzig II	Tag	Ep.	Vgl.-St. (Leipz. II)
8074	94 Juli 25	94.56	8070
»	»	94.56	8073
8083	94 Juli 25	94.56	8082
8219	94 Juli 25	94.56	8226
8227	94 Juli 25	94.56	8228
8257	94 Juli 25	94.56	8258
8261	94 Juli 25	94.56	8272
8288	94 Juli 25	94.56	8297
»	96 Aug. 4	96.59	8297δ
8289	94 Juli 25	94.56	8282
8301	94 Sept. 15	94.70	8299[3]
8305	94 Sept. 15	94.70	8314
8333	94 Sept. 15	94.70	8351
8373	94 Sept. 15	94.70	8388
»	»	94.70	8401
8390	94 Sept. 15	94.70	8364
»	»	94.70	8394
8455	94 Sept. 15	94.70	8443
8456	94 Sept. 15	94.70	8443
8488	94 Sept. 15	94.70	8490
8506	94 Sept. 15	94.70	8491[4]
»	»	94.70	8542
8508	94 Sept. 17	94.71	8509
8523	94 Sept. 17	94.71	8525
8544	94 Sept. 17	94.71	8520
»	»	94.71	8562
8546	94 Sept. 17	94.71	8562
8556	94 Sept. 17	94.71	8535
8618	94 Sept. 17	94.71	8631
8684	94 Sept. 18	94.71	8644
»	»	94.71	8671
8689	94 Sept. 18	94.71	8692
8703	94 Sept. 18	94.71	8683
8709	94 Sept. 18	94.71	8701
8866	94 Sept. 19	94.71	8867
8879	94 Sept. 19	94.71	8885
8960	94 Sept. 19	94.71	8969
»	»	94.71	8977
9023	94 Sept. 19	94.71	9005
9024	94 Sept. 19	94.71	9040
9031	94 Sept. 19	94.71	9038
9037	94 Sept. 19	94.71	9038
9210	94 Nov. 1	94.83	9212
9274	94 Nov. 1	94.83	9241
»	»	94.83	9249
9276	94 Nov. 6	94.84	9290
»	94 Nov. 15	94.87	9290
9493	94 Nov. 6	94.84	9476
»	94 Nov. 15	94.87	9476
9494	94 Nov. 6	94.84	9476
»	94 Nov. 15	94.87	9476
9526	94 Nov. 6	94.84	9549δ
»	94 Nov. 7	94.85	9549
9540	94 Nov. 6	94.84	9524
»	94 Nov. 15	94.87	9524
9556	94 Nov. 6	94.84	9561
9564	94 Nov. 6	94.84	9545
»	94 Nov. 15	94.87	9545

[1] E.B. $-0^{s}.019$ $+0''.18$ [2] E.B. $-0^{s}.030$ $+0''.36$ [3] F.C. [4] E.B. $-0^{s}.016$ $-0''.49$

Cat. Nr. Leipzig II	Tag	Ep.	Vgl.-St. (Leipz. II)
9628	94 Nov. 7	94.85	9607
9632	94 Nov. 7	94.85	9638
»	»	94.85	9643
9639	94 Nov. 7	94.85	9611
»	»	94.85	9627
9680	94 Nov. 7	94.85	*9679
9732	94 Nov. 7	94.85	9737
9750	94 Nov. 7	94.85	9756
9773	94 Nov. 7	94.85	9760
»	»	94.85	9786
9830	94 Dec. 11	94.94	*9831
9831	94 Dec. 11	94.94	9819
9850	94 Dec. 11	94.94	9849
9862	94 Dec. 11	94.94	9868
9914	95 Sept. 21	95.72	9917
»	»	95.72	9935
10067	94 Dec. 11	94.94	10059
10071	95 Sept. 5	95.67	10068
10075	95 Sept. 5	95.67	10068
10103	95 Sept. 5	95.67	*10104
10121	95 Sept. 5	95.67	10119
10161	95 Sept. 5	95.67	10146δ
»	95 Sept. 6	95.68	10146
10163	95 Sept. 5	95.67	10136
10203	95 Sept. 5	95.67	10185δ
»	»	95.67	10208δ
»	95 Sept. 6	95.68	10185
»	»	95.68	10208
10207	95 Sept. 6	95.68	*10206
10249	95 Sept. 6	95.68	10208
»	»	95.68	10242
10251	95 Sept. 6	95.68	10264

Cat. Nr. Leipzig II	Tag	Ep.	Vgl.-St. (Leipz. II)
10301	95 Sept. 6	95.68	10299
»	»	95.68	10352
10306	95 Sept. 6	95.68	10291
10406 10407	95 Aug. 28	95.65	.... [1]
10449	95 Sept. 6	95.68	10443
10534	95 Sept. 6	95.68	*10533
10551	95 Sept. 6	95.68	10550
10647	95 Sept. 21	95.72	10651
10709	95 Sept. 21	95.72	10714
10721	95 Sept. 21	95.72	10700
10762	95 Sept. 23	95.72	10756
»	»	95.72	10771
10829	95 Sept. 23	95.72	10828
10837	95 Sept. 23	95.72	10835
»	»	95.72	10855
10846	95 Sept. 23	95.72	10854
10929	95 Sept. 24	95.73	10927
10932	95 Sept. 24	95.73	10928
10951	95 Sept. 24	95.73	10975
11007	95 Sept. 24	95.73	11001
11025	95 Sept. 24	95.73	11026
11049	95 Sept. 25	95.73	*11048
11098	95 Sept. 24	95.73	11085
»	»	95.73	11087
11110	95 Sept. 25	95.73	*11109
11111	95 Sept. 24	95.73	11106
11130	95 Sept. 28	95.74	11125
11285	95 Sept. 26	95.73	11283
11331	95 Sept. 26	95.73	11347
11336	95 Sept. 26	95.73	11343

Cat. Nr. Leipzig II	Tag	Ep.	Vgl.-St. (Leipz. II)
11346	95 Sept. 26	95.73	11361
11348	95 Sept. 26	95.73	*11347
11355	95 Sept. 26	95.73	11347
11356	95 Sept. 26	95.73	11368
11427	95 Sept. 28	95.74	11426
»	»	95.74	11448
11528	95 Sept. 28	95.74	11521
»	»	95.74	11537
11586	95 Sept. 28	95.74	11618
11601	95 Sept. 28	95.74	11618
11610	95 Sept. 28	95.74	11615
11613	95 Sept. 28	95.74	11623
»	»	95.74	11612
11638	95 Oct. 21	95.80	11641
»	»	95.80	11643
11647	95 Oct. 21	95.80	11628
»	»	95.80	11629
11651	95 Oct. 21	95.80	11630
»	»	95.80	11666
11673	95 Oct. 21	95.80	11665
11723	95 Nov. 11	95.86	11709
»	»	95.86	11742
11726	95 Nov. 11	95.86	11739
»	»	95.86	11743
11728	95 Nov. 11	95.86	11725
»	»	95.86	11729
11738	95 Nov. 14	95.87	11756
11747	95 Nov. 14	95.87	11722[2]
»	»	95.87	11762
11790	95 Nov. 14	95.87	11794
11808	95 Nov. 14	95.87	11809
11846	95 Nov. 14	95.87	11848

[1] S. Anhang II (Leipzig II S. 250) [2] F.C.

Weitere Berichtigungen zu den Leipziger Catalogen.

(Vgl. I S. 216, II S. 268.)

Catalog Leipzig I.

Nr. 958 Decl. st. 10° 2' 29".7 l. 10° 29' 29".7

Catalog Leipzig II.

Nr. 7757 Praec. st. $2^{s}.9517$ l. $2^{s}.8517$
» 7856 Die laufende Nr. ist mit * zu versehen.
» 8132 Desgl.

Zusatz zu Einl. S. (7).

Die Angabe, dass sämmtliche am Himmel vorhandene Nummern des Programms mit einer Ausnahme beobachtet worden seien, bedarf einer von Hrn. Dr. Ristenpart ausgeführten Vergleichung zufolge der Berichtigung.

Von den nach Angabe der B.D. bei Lalande oder Bessel vorkommenden, aber schwächer als $9^{m}.0$ gefundenen Sternen fehlen drei, ausser 10° 4285 ($9^{m}.1$ L) noch 12° 3098 ($9^{m}.3$ K) und 6° 3818 ($9^{m}.1$ K).

Ferner fehlen zu vollständiger Erfüllung von § 3 des Programms für die Zone 4° 50' bis 15° 10' in Leipzig I 33 und in Leipzig II 7 Sterne, nämlich

in Leipzig I die 15 Sterne: **10°** 3334, 3752; **11°** 2346; **12°** 550, 1330, 1854, 2168, 2983, 3213, 4281; **13°** 783, 3070, 3223, 4785; **14°** 4508 — welche in den Königsberger Zonen vorkommen, aber in Bonn neu bestimmt wurden und deshalb die Bezeichnung B haben; ferner die 17 Königsberger Sterne: **10°** 347; **11°** 594, 4763, 4797, 4834;

12° 3381 (im Catalog und auf den Karten 10' zu nördlich, δ l. 12° 41'.9 st. 51'.9), 4628, 4857; 13° 1122, 2792, 4965, 4967, 5032; 14° 2762, 3835, 5026; 15° 269 — bei denen in B.D. der Zusatz K fehlt; endlich der Struve'sche Stern 11° 2435, bei dem in B.D. der Vermerk S fehlt;

in Leipzig II 6 Sterne, bei denen in B.D. der Vermerk K fehlt: 5° 2837, 3679; 8° 3489, 4872, 5161; 9° 2089, und der Stern 5° 3009, bei dem S fehlt.

Drei weitere Sterne der Bessel'schen Zonen fehlen ebenfalls in den Hauptcatalogen, kommen aber in den Anhängen vor:

10° 2652 (in B.D. für B zu lesen K) = I. Anh. III Nr. 62
7 4668 = II. Anh. III Nr. 812 } (in B.D. fehlt K)
6 2838 = » » 446 }

Ausserdem fehlen noch zwei Objecte der Bessel'schen Zonen:

von 8° 2654 ist nur die vorangehende Componente beobachtet (Leipz. I Nr. 6253), die folgende = W. 12^h 767 nicht;

W. 19^h 358, 8^m, fehlt in B.D. (erst die neue Ausgabe der Karten hat ihn als 12° 3890^a nachgetragen) und ist deshalb auch in Leipzig nicht beobachtet.

CATALOG.

Ein * bei Rectascension oder Declination verweist auf Anhang I; ebenda sind auch die Zonennummern angegeben, wenn mehr als vier Beobachtungen vorliegen.

Ein * vor der laufenden Nummer des Catalogs verweist auf Anhang II.

Nr.	Gr.	A.R. 1875	Praec.	Var. saec.	Decl. 1875	Praec.	Var. saec.	Ep.	Zonen	B. D.
1	9.1	0^h 0^m $4^s.40$	$+3^s.0723$	$+0^s.0094$	+14° 9' 45".8	+20".054	−0".009	83.3	322 R	— —
2	8.2	0 7.03	3.0724	0.0083	12 8 8.0	20.054	0.009	70.4	143 255	12° 5066
3	9.2	0 17.84	3.0726	0.0084	12 19 25.8	20.054	0.009	90.9	802 805	12 5068
4	8.7[1]	0 22.21	3.0727	0.0090	13 21 49.8	20.054	0.009	70.8	239 258	13 5207
5	8.7	0 27.42	3.0728	0.0083	12 8 21.0	20.054	0.009	70.4	143 255	12 5070
6	8.7	0 0 43.37	+3.0733	+0.0095	+14 7 40.8	+20.054	−0.010	72.4	263 322 323 338	14 5099
7	8.5	1 0.82	3.0737	0.0094	13 58 28.1	20.054	0.010	84.2	263 802 805	13 5209
8	8.9	1 16.84	3.0739	0.0085	. 12 23 15.4	20.054	0.011	70.4	143 255	12 2
9	8.7	1 20.71	3.0741	0.0092	13 33 37.3	20.054	0.011	71.5	239 258 325	13 1
10	8.5	2 6.64	3.0745	0.0075	10 28 31.2	20.053	0.013	72.9	329 333 335	10 3
11	8.6[2]	0 2 20.64	+3.0755	+0.0092	+13 26 48.7	+20.053	−0.013	70.9	55 325	13 3
12	9.0	2 30.82	3.0756	0.0089	12 50 24.6	20.053	0.013	82.9	338 R	— —
13	8.1	2 31.19	3.0754	0.0085	12 6 33.5	20.053	0.013	71.7	143 255 329 335	11 2
14	8.3	2 44.07	3.0757	0.0085	12 6 53.7	20.053	0.014	71.7	143 255 329 335	11 4
15	8.8	2 46.49	3.0765	0.0099	14 42 28.3*	20.053	0.014	76.9	263 323 339 798	14 4
16	9.0	0 2 50.66	+3.0760	+0.0089	+12 54 58.3	+20.053	−0.014	72.5	5 Beob.	12 5[3]
17	8.8	2 58.51	3.0765	0.0094	13 43 19.6	20.053	0.014	72.2	263 323 339	13 6
18	8.8	3 4.08	3.0759	0.0083	11 41 5.2	20.052	0.015	71.2	143 255 335	11 5
19	8.4	3 26.43	3.0760	0.0077	10 43 16.8	20.052	0.015	84.8	333 798 799	10 7
20	8.4	3 27.31	3.0765	0.0085	12 0 53.1	20.052	0.015	71.9	139 329 335	11 7
21	6.4[4]	0 3 36.89	+3.0761	+0.0076	+10 26 59.3	+20.052	−0.016	84.8	333 798 799	10 8
22	9.2	3 59.46	3.0783	0.0099	14 36 59.4	20.051	0.016	90.8	798 799	14 6
23	8.8	3 59.52	3.0783	0.0100	14 42 50.1	20.051	0.016	72.4	263 323 338 339	14 7
24	8.8	4 3.23	3.0777	0.0090	12 53 57.9	20.051	0.016	70.9	55 325	12 6
25	8.5	4 4.63	3.0784	0.0099	14 32 18.3*	20.051	0.016	76.9	263 323 339 798	14 8
26	9.1	0 4 6.21	+3.0772	+0.0083	+11 41 17.4	+20.051	−0.017	71.2	143 255 335	11 8
27	8.9	4 12.80	3.0780	0.0092	13 17 19.6	20.051	0.017	71.9	263 338	13 10[5]
28	8.3	4 13.55	3.0775	0.0086	12 7 29.2	20.051	0.017	71.4	139 329	11 10
29	8.9	4 14.47	3.0777	0.0088	12 31 36.6	20.051	0.017	70.9	55 325	12 8
30	8.8	4 32.46	3.0779	0.0086	12 5 45.8	20.050	0.017	71.9	139 329 335	11 12
31	9.0	0 4 38.13	+3.0785	+0.0091	+13 3 23.2	+20.050	−0.018	70.9	55 325	12 10
32	8.9	4 46.56	3.0795	0.0100	14 35 12.9	20.050	0.018	84.8	338 798 799	14 9
33	9.2	4 50.09	3.0783	0.0086	12 4 16.7	20.050	0.018	90.8	799 802	11 13
34	8.9	4 54.02	3.0785	0.0087	12 21 42.1	20.050	0.018	90.9	802 806	12 11
35	9.1	5 14.61*	3.0785	0.0083	11 36 11.9	20.049	0.019	85.2	139 R(2)	[11 14]
36	9.3	0 5 17.06	+3.0779	+0.0077	+10 21 2.8	+20.049	−0.019	85.3	533 600	[10 11]
37	8.5	6 1.99*	3.0809	0.0096	13 52 12.6	20.047	0.020	84.8	325 798 799	13 13
38	8.7	6 22.32	3.0821	0.0102	14 51 51.2	20.047	0.021	72.4	263 323 338 339	14 11
39	9.1	6 30.01	3.0815	0.0096	13 47 14.2	20.046	0.021	90.8	798 802	13 15
40	8.2	6 33.98	3.0801	0.0084	11 38 7.5	20.046	0.021	71.9	139 329 335	11 17
41	8.6[6]	0 6 35.98	+3.0828	+0.0105	+15 17 8.4	+20.046	−0.021	90.8	799 802	15 11
42	9.0	6 45.09	3.0814	0.0093	13 8 22.0	20.046	0.022	90.8	799 806	13 17
43	**2.6**	**6 48.04**	**3.0825**	**0.0100**	**14 29 18.5**	**20.045**	**0.022**		**Fund. Cat.**	**14 14**
44	8.9	7 30.09	3.0811	0.0084	11 27 29.4	20.043	0.023	71.4	139 335	11 18
45	9.3	7 40.93	3.0813	0.0084	11 25 36.8	20.043	0.024	90.8	798 802	11 19
46	8.7	0 7 45.38	+3.0826	+0.0092	+12 51 25.8	+20.043	−0.024	70.9	55 325	12 13
47	8.8	8 0.53	3.0819	0.0086	11 41 44.9	20.042	0.025	71.4	139 335	11 20
48	9.1	8 6.49	3.0820	0.0086	11 41 19.4*	20.042	0.024	85.2	139 R(2)	[11 21]
49	8.7	8 13.07	3.0820	0.0085	11 32 29.5	20.041	0.025	71.9	139 329 335	11 22
50	8.7	8 27.41	3.0856	0.0105	15 8 44.0	20.041	0.025	90.8	798 802	15 19

[1] BD 9.2 [2] BD 7.8 [3] BD $+6^s$ [4] 7.0 5.8 6.5; BD 5.8 [5] BD $+4^s$ [6] BD 9.1

Nr.	Gr.	A.R. 1875	Praec.	Var. saec.	Decl. 1875	Praec.	Var. saec.	Ep.	Zonen	B.D.
51	9.1	0h 8m 33s.00	+3s.0858	+0s.0106	+15° 13' 44".2	+20".040	−0".025	90.8	799 803	15° 21
52	9.4	8 35.57	3.0859	0.0106	15 13 43.7	20.040	0.025	90.8	799 803	— —
53	8.4	9 5.98	3.0842	0.0092	12 43 27.7	20.038	0.026	70.9	55 325	12 14
54	8.8	9 16.43	3.0827	0.0082	10 54 52.9	20.038	0.027	71.8	219 333	10 21
55	8.6	9 34.96	3.0862	0.0099	14 0 45.9	20.037	0.027	72.1	263 323(½) 338	13 26
56	9.2	0 9 40.92	+3.0835	+0.0084	+11 14 38.5	+20.036	−0.028	71.4	139 335	[11 25]
57	8.2	10 7.58	3.0882	0.0106	15 8 31.4	20.035	0.028	90.8	798 799	15 30
58	8.4[1]	10 13.63	3.0841	0.0084	11 14 41.1	20.034	0.029	71.9	139 329 335	11 27
59	8.1[2]	10 18.96	3.0864	0.0095	13 13 18.2	20.034	0.029	70.9	55 325	13 27
60	9.4	10 19.65	3.0865	0.0096	13 18 48.5	20.034	0.029	90.8	798 799	13 28
61	8.8	0 10 38.85	+3.0838	+0.0081	+10 31 27.8	+20.033	−0.029	71.8	219 333	10 23
62	9.2	11 10.29	3.0864	0.0091	12 18 19.6	20.030	0.030	84.8 90.8	325a 798 802	12 16pr.
63	9.3	11 11.04	3.0886	0.0101	14 6 27.0	20.030	0.030	90.8	799 802	13 29
64	9.2	11 11.21	3.0865	0.0091	12 18 21.1	20.030	0.031	84.8 90.8	325a 798 802	12 16seq.
65	8.3[1]	11 13.06	3.0854	0.0086	11 20 51.6	20.030	0.031	71.9	139 329 335	11 33
66	7.3[3]	0 11 29.93	+3.0866	+0.0090	+12 4 37.8	+20.029	−0.031	71.9	139 329 335	11 34
67	9.3	11 33.42	3.0889	0.0100	13 54 48.1	20.029	0.031	90.8	799 802	13 30
68	8.8	11 41.51	3.0845	0.0080	10 13 10.2	20.028	0.031	78.6	219 333 533 600	10 24
69	7.3[4]	11 51.33	3.0851	0.0081	10 30 45.6	20.027	0.032	71.8	219 333	10 25
70	9.1	11 55.11	3.0911	0.0108	15 9 48.6	20.027	0.032	90.8	799 802	15 42
71	9.1	0 11 59.12	+3.0899	+0.0102	+14 12 53.4	+20.027	−0.032	90.8	798 803	14 25
72	9.2	12 10.52	3.0867	0.0087	11 31 22.7	20.026	0.032	90.8	798 803	11 35
73	8.7	12 14.48	3.0874	0.0090	12 0 2.7	20.026	0.033	71.4	139 329	11 36
74	8.7	12 24.41	3.0858	0.0082	10 35 43.0	20.025	0.033	71.8	219 333	10 26
75	8.9	12 35.17	3.0910	0.0103	14 20 26.9	20.024	0.033	72.1	263 323(½) 338	14 27
76	8.6[5]	0 12 45.89	+3.0893	+0.0095	+12 53 11.7	+20.023	−0.034	70.9	55 325	12 18
77	8.6	12 49.41	3.0900	0.0098	13 21 39.1	20.023	0.034	72.1	263 323(½) 338	13 34
78	9.1	12 59.16	3.0900	0.0097	13 10 15.2	20.022	0.034	70.9	55 325	13 35
79	9.3	13 11.48	3.0931	0.0108	15 11 33.5	20.021	0.034	90.8	798 802	15 46
80	8.9	13 25.84	3.0899	0.0094	12 41 55.3	20.020	0.035	70.9	55 325	12 20
81	8.6	0 13 44.75	+3.0869	+0.0082	+10 21 23.5	+20.018	−0.035	71.8	219 333	10 28
82	8.8	13 44.90	3.0867	0.0081	10 14 57.0	20.018	0.035	78.6	219 333 533 600	10 29
83	8.8	14 0.85	3.0887	0.0088	11 24 20.6	20.017	0.036	71.9	139 329 335	11 40
84	7.6[6]	14 3.84	3.0870	0.0081	10 13 27.3	20.016	0.036	81.2	5 Beob.	10 31
85	9.0	14 6.59	3.0937	0.0106	14 37 47.6	20.016	0.036	90.8	798 802	14 32
86	8.2	0 14 11.56	+3.0892	+0.0089	+11 36 59.2	+20.016	−0.036	71.9	139 329 335	11 41
87	7.3[7]	14 28.38	3.0875	0.0082	10 17 1.0	20.014	0.037	79.1	329 333 533 600	10 32
88	7.7[8]	14 32.30	3.0904	0.0092	12 4 38.4	20.014	0.037	71.4	139 335	11 44
89	9.8	14 44.02	3.0952	0.0108	14 57 46.1	20.013	0.038	90.8	798 802	14 35
90	8.9	14 44.39	3.0905	0.0091	12 1 10.4	20.013	0.038	90.8	798 802	11 45
91	9.2	0 15 11.95	+3.0889	+0.0084	+10 40 49.2	+20.010	−0.038	90.8	799 802	10 35
92	8.9	15 21.17	3.0926	0.0096	12 47 45.3	20.009	0.039	70.9	55 325	[12 22]
93	9.0	15 36.85	3.0903	0.0088	11 13 35.0	20.008	0.039	90.8	799 803	11 46
94	7.0[9]	15 57.51	3.0933	0.0096	12 47 16.3	20.006	0.040	70.9	55 325	12 25
95	9.1	15 58.16	3.0967	0.0107	14 42 40.8	20.006	0.040	90.8	799 802	14 38
96	8.9	0 16 10.30	+3.0904	+0.0086	+10 53 3.4	+20.004	−0.040	71.8	219 333	10 37
97	9.1	16 26.45	3.0916	0.0089	11 24 17.2	20.003	0.041	90.8	798 799	11 49
98	8.2	17 0.24	3.0918	0.0088	11 8 32.3	19.999	0.042	71.4	139 335	11 51
99	9.2	17 24.39	3.0947	0.0096	12 30 37.4	19.996	0.043	90.8	798 799	12 26
100	7.6[10]	18 10.06	3.0979	0.0102	13 37 19.9	19.991	0.044	70.9	55 325	13 46

[1] Nur Z. 139 [2] BD 7.5; Schätz. 8.0 8.2 [3] Nur Z. 139; BD 6.5 [4] BD 6.8 [5] BD 8.0
[6] 7.8 8.0 6.9 7.6 7.5 [7] [7.3] 7.8 6.4 7.6 [8] BD 7.2; Schätz. 7.7 7.8 [9] BD 6.2 [10] BD 7.0

Nr.	Gr.	A.R. 1875	Praec.	Var. saec.	Decl. 1875	Praec.	Var. saec.	Ep.	Zonen	B. D.
101	9.4	$0^h\ 18^m\ 22^s.32$	$+3^s.0974$	$+0^s.0100$	+13° 14' 55".6	+19".990	−0".045	90.8	798 799	13° 48
102	9.2	19 3.08	3.0940	0.0089	11 5 43.0	19.985	0.046	90.8	798 799	10 43
103	8.5	19 4.00	3.1017	0.0110	14 52 10.4	19.985	0.046	72.9	323(½) 325 338	14 42
104	8.8	20 5.95	3.0941	0.0087	10 35 24.7	19.977	0.048	71.8	219 333	10 46
105	9.3	20 13.55	3.0940	0.0086	10 28 12.7	19.976	0.048	71.4	139 335	— —
106	9.0	0 20 19.10	+3.0952	+0.0089	+10 58 58.7	+19.975	−0.048	90.8	798 799	10 48
107	9.1	20 43.66	3.1011	0.0103	13 26 33.9	19.972	0.049	90.8	798 799	13 51
108	9.1	20 52.93	3.1000	0.0100	12 51 30.5	19.971	0.050	90.8	798 799	12 35
109	8.7	21 2.94	3.1022	0.0105	13 44 1.7	19.970	0.050	72.1	263 323(½) 338	13 52
110	8.9	21 9.72	3.1059	0.0114	15 15 50.9	19.969	0.050	90.8	798 799	15 60
111	8.8	0 21 17.27	+3.1009	+0.0101	+13 0 48.9	+19.968	−0.050	70.9	55 325	12 36
112	9.5[1]	21 44.96	3.0957	0.0087	10 29 1.0	19.964	0.051	84.8	333 798 799	10 52
113	8.9	22 16.19	3.0966	0.0088	10 39 10.5	19.960	0.052	71.6	139 219 333 335	10 53
114	9.0	22 38.24	3.1023	0.0101	12 51 38.5	19.956	0.053	90.8	798 799	12 39
115	8.4	22 40.76	3.0970	0.0088	10 37 42.2	19.956	0.053	71.6	139 219 333 335	10 54
116	9.0	0 22 58.70	+3.1064	+0.0109	+14 19 7.1	+19.953	−0.054	77.4	263 323(½) 338 798	14 52
117	9.1	22 58.80	3.1036	0.0103	13 11 12.6	19.953	0.054	90.8	798 799	13 57
118	9.0	23 2.76	3.1027	0.0100	12 47 26.1	19.953	0.054	70.9	55 325	12 40
119	8.1	23 48.46*	3.1097	0.0114	15 6 11.9	19.946	0.056	72.1	263 323(½) 338	14 53
120	9.0	24 4.92	3.1097	0.0114	14 57 37.4	19.944	0.056	72.1	263 323(½) 338	14 56
121	9.0	0 24 13.81	+3.1047	+0.0102	+12 57 51.1	+19.942	−0.056	90.8	798 799	12 45
122	8.8	24 21.08	3.1100	0.0113	14 54 38.9	19.941	0.057	72.1	263 323(½) 338	14 57
123	8.0[2]	25 2.39	3.1002	0.0091	10 50 34.4	19.935	0.058	71.8	219 333	10 57
124	8.0[3]	25 13.40	3.1041	0.0099	12 13 41.4	19.933	0.058	70.9	55 325	12 47
125	var.[4]	25 31.65	3.1090	0.0108	13 54 38.4	19.930	0.059	80.1	323(½) 338 802	13 63
126	8.5	0 25 45.41	+3.1125	+0.0115	+15 2 8.4	+19.928	−0.059	72.1	263 323(½) 338	14 60
127	9.6	25 45.42	3.1105	0.0111	14 19 58.1	19.928	0.059	90.8	798 799	14 58
*128	9.2	25 51.52	3.1125	0.0115	14 57 55.9	19.927	0.060	90.8	799 806	} 14 61
*129	9.2	25 51.88	3.1125	0.0115	14 57 58.4	19.927	0.060	92.9	799 R	}
130	9.1	25 54.30	3.1066	0.0102	12 50 47.6	19.926	0.060	70.8	55 325	12 49
131	8.9	0 26 24.87	+3.1024	+0.0093	+11 4 58.1	+19.921	−0.060	71.8	219 333	10 59
132	9.2	26 38.30	3.1073	0.0102	12 45 16.4	19.919	0.061	90.8	798 799	12 52
133	8.7	26 39.62	3.1033	0.0094	11 19 44.3	19.919	0.061	71.4	139 335	11 67
134	8.6[5]	26 48.22	3.1087	0.0105	13 8 56.8	19.917	0.061	70.9	55 325	13 69
135	9.0	27 5.74	3.1073	0.0101	12 31 48.2	19.914	0.062	70.9	55 325	12 54
136	8.8	0 27 23.04	+3.1014	+0.0089	+10 22 48.3*	+19.911	−0.062	81.3	219 333 798 799	10 60
137	9.0	27 40.15	3.1139	0.0113	14 30 24.1	19.908	0.063	72.1	263 323(½) 338	14 65
138	8.3[6]	27 42.20	3.1119	0.0109	13 49 31.9	19.908	0.063	72.1	263 323(½) 338	13 73
139	8.5	28 12.56	3.1025	0.0090	10 26 46.1	19.903	0.064	71.8	219 333	10 61
140	9.1	28 18.75	3.1085	0.0101	12 24 35.9	19.901	0.064	71.6	5 Beob.	12 56
141	7.4[7]	0 28 26.56	+3.1095	+0.0103	+12 41 0.2	+19.900	−0.065	71.6	5 Beob.	12 57
142	9.0	28 40.97	3.1144	0.0112	14 10 55.2	19.897	0.065	90.8	798 799	14 68
143	9.2	28 45.25	3.1029	0.0090	10 22 39.0	19.897	0.065	90.8	798 799	10 62
144	9.5	28 51.39	3.1143	0.0111	14 4 19.7	19.895	0.065	90.8	798 802	13 76
*145	8.2	29 0.45	3.1055	0.0095	11 9 20.2	19.894	0.066	71.4	139 335	11 72
146	9.2	0 29 19.99	+3.1153	+0.0112	+14 10 33.5	+19.890	−0.066	90.8	798 799	14 71
147	7.6[8]	29 26.43	3.1103	0.0103	12 31 27.8	19.889	0.067	70.9	55 235(½) 325	12 59
148	9.1	29 40.26	3.1056	0.0094	10 56 34.6	19.886	0.067	71.8	219 333	10 63
149	8.7	29 56.48	3.1078	0.0097	11 31 43.5	19.883	0.068	71.4	139 335	11 73
150	8.8[9]	30 3.00	3.1113	0.0103	12 35 0.2	19.882	0.068	70.9	55 235(½) 325	12 64

[1] BD 9.0 [2] BD 7.5 [3] BD 7.2; Schätz. 8.0 8.0 [4] T Piscium; 10.3? 9.3? 9.8; Ref. 1895 Jan. 17 9.6
[5] BD 7.4; Schätz. 8.6 8.7 [6] 8.9 8.0 8.1; BD 7.5 [7] BD 6.0; Schätz. 7.3 [8.4] 7.5 7.8 7.0 [8] 7.7 7.2 8.0; BD 6.5
[9] BD 8.3

Nr.	Gr.	A.R. 1875	Praec.	Var. saec.	Decl. 1875	Praec.	Var. saec.	Ep.	Zonen	B. D.
151	6.5[1]	0h 30m 16s.70	+3s.1179	+0s.0115	+14° 32′ 36″.2	+19″.879	−0″.068	84.8	338 798 799	14° 76
152	9.1	30 23.45	3.1123	0.0105	12 45 49.8	19.878	0.069	70.9	55 235(½) 325	12 66
153	8.8	30 33.76	3.1079	0.0097	11 20 36.0	19.876	0.069	71.4	139 335	11 74
154	8.3	30 37.24	3.1181	0.0114	14 27 16.1	19.876	0.069	84.8	338 798 799	14 78
155	7.9[2]	30 48.54	3.1062	0.0093	10 44 53.7	19.873	0.069	71.8	219 333	10 65
156	8.7	0 32 4.58	+3.1098	+0.0098	+11 22 28.2	+19.858	−0.072	71.4	139 335	11 75
157	9.1	32 56.22	3.1218	0.0116	14 31 0.9	19.847	0.074	90.8	798 799	14 84
158	8.7[3]	32 59.33	3.1072	0.0092	10 20 42.7	19.847	0.074	85.3	533 600	[10 69]
159	9.0	33 3.57	3.1176	0.0109	13 17 17.6	19.846	0.074	90.8	798 799	13 85
160	8.1[4]	33 10.01	3.1092	0.0095	10 50 43.2	19.845	0.074	71.8	219 333	10 70
161	9.2	0 33 15.44	+3.1187	+0.0110	+13 30 47.4	+19.843	−0.074	70.9	55 235(½) 325	13 86
162	8.9	33 18.70	3.1181	0.0109	13 19 10.8*	19.843	0.074	70.9	55 235(½) 325	13 87
163	8.9	33 40.67	3.1218	0.0115	14 12 4.6	19.838	0.075	72.1	263 323(½) 337	14 88
164	8.7	33 43.50	3.1115	0.0098	11 19 34.3	19.837	0.075	71.4	139 335	11 78
165	7.7[5]	33 45.06	3.1253	0.0120	15 8 15.4	19.837	0.075	90.8	798 799	15 100
166	8.6	0 34 2.89	+3.1237	+0.0117	+14 35 4.7	+19.833	−0.076	72.1	263 323(½) 337	14 89
167	9.2	34 3.03	3.1230	0.0116	14 22 55.9	19.833	0.076	90.8	798 799	14 90
168	8.8	34 22.29	3.1132	0.0100	11 34 58.7	19.829	0.076	71.4	139 335	11 80
169	9.0	34 29.28	3.1179	0.0107	12 49 50.9*	19.828	0.077	70.9	55 235(½) 325	12 73
170	8.8	34 32.26	3.1227	0.0115	14 7 26.8	19.827	0.077	72.1	263 323(½) 337	14 91
171	8.6	0 34 38.05	+3.1123	+0.0098	+11 16 3.5	+19.826	−0.077	71.4	139 335	11 83
172	8.9	34 42.12	3.1159	0.0104	12 12 12.9	19.825	0.077	90.9	803 806	12 74
173	8.7[6]	34 43.78	3.1235	0.0116	14 15 56.6	19.824	0.077	90.8	798 802	14 92
174	8.3	35 1.74	3.1165	0.0104	12 16 32.8	19.820	0.078	70.9	55 235(½) 325	12 75
175	8.5	35 25.59	3.1177	0.0106	12 27 8.0	19.815	0.078	70.9	55 235(½) 325	12 78
176	8.8	0 35 35.13	+3.1098	+0.0094	+10 18 25.6	+19.813	−0.079	78.6	219 333 533 600	10 73
177	8.4	35 38.78	3.1135	0.0099	11 15 34.3	19.812	0.079	71.4	139 335	11 86
178	8.8	35 42.10	3.1093	0.0093	10 8 0.4	19.811	0.079	78.6	219 333 533 600	10 74
179	9.0	35 45.12	3.1111	0.0095	10 36 3.2	19.811	0.079	71.6	139 219 333 335	10 75
180	8.8	35 48.04	3.1256	0.0117	14 23 1.2	19.810	0.079	72.1	263 323(½) 337	14 95
181	8.7	0 35 49.78	+3.1215	+0.0111	+13 18 32.9	+19.810	−0.079	71.8	5 Beob.	13 94
182	8.9	35 54.49	3.1109	0.0095	10 29 20.1	19.809	0.079	71.4	139 335	10 77
183	9.0	36 2.16	3.1215	0.0111	13 14 29.9	19.807	0.080	90.8	798 799	13 95
184	8.8	36 8.02	3.1109	0.0095	10 25 30.9	19.805	0.080	71.8	219 333	10 78
185	9.0	36 8.72	3.1206	0.0109	12 57 28.6	19.805	0.080	70.9	55 235(½) 325	12 80
186	8.6	0 36 46.60	+3.1139	+0.0098	+11 1 29.3	+19.797	−0.081	71.8	219 333	10 80
187	8.5	36 53.22	3.1273	0.0118	14 24 43.3	19.795	0.082	72.1	263 323(½) 337	14 97
188	9.1	36 53.67	3.1227	0.0111	13 14 43.5	19.795	0.081	90.8	798 799	13 97
189	8.8	36 54.65	3.1136	0.0098	10 54 37.5	19.795	0.081	71.6	139 219 333 335	10 81
190	9.2	37 20.88	3.1282	0.0118	14 28 12.3	19.789	0.082	90.8	798 799	14 99
191	8.7	0 37 21.01	+3.1165	+0.0101	+11 32 32.3	+19.788	−0.082	71.4	139 335	11 88
192	8.7[7]	37 42.08	3.1213	0.0108	12 37 20.9	19.784	0.083	70.9	55 235(½) 325	12 83
*193	9.1	37 52.71	3.1186	0.0104	11 54 21.4	19.781	0.083	82.9	335 R	[11 89]
194	9.1	38 14.37	3.1207	0.0106	12 18 16.5	19.776	0.084	70.9	55 235(½) 325	12 84
195	8.8	38 25.37	3.1287	0.0117	14 12 21.5	19.773	0.085	72.1	263 323(½) 337	14 103
196	8.6	0 38 46.16	+3.1304	+0.0119	+14 28 54.1	+19.768	−0.085	72.1	263 323(½) 337	14 105
197	8.9	39 5.51	3.1201	0.0105	11 54 18.9	19.763	0.086	81.1	139 335 798 799	11 91
198	9.0	39 9.31	3.1214	0.0106	12 12 21.7	19.762	0.086	70.9	55 235(½) 325	12 85
199	8.2	39 32.89	3.1186	0.0102	11 25 21.8	19.756	0.086	71.4	139 335	11 92
200	9.2	39 41.90	3.1294	0.0117	13 56 36.5	19.754	0.087	90.8	798 799	13 101

[1] BD 6.1 [2] BD 7.3 [3] BD 9.2; Schätz. 8.8 8.7 [4] BD 7.3; Schätz. 8.1 8.1 [5] Z. 798 röthlich
[6] BD 9.2 [7] BD 8.2

Nr.	Gr.	A.R. 1875	Praec.	Var. saec.	Decl. 1875	Praec.	Var. saec.	Ep.	Zonen	B.D.
201	9.0	0h 39m 54s.94	+3s.1284	+0s.0115	+13° 37′ 55″.8	+19″.751	−0″.087	90.8	798 799	13° 103
202	8.3[1]	39 58.33	3.1235	0.0108	12 28 6.1	19.750	0.087	70.9	55 235(½) 325	12 87
203	9.1	40 0.59	3.1286	0.0115	13 38 36.8	19.749	0.088	90.8	798 799	13 104
204	6.6[2]	40 0.64	3.1336	0.0122	14 47 35.7	19.749	0.088	72.1	263 323(½) 337	14 111
205	8.9	40 4.75	3.1293	0.0116	13 46 47.5	19.748	0.088	90.8	798 802	13 105
206	8.6	0 40 6.58	+3.1273	+0.0113	+13 19 12.1	+19.748	−0.088	72.1	263 323(½) 337	13 107
207	8.5	40 24.35	3.1214	0.0105	11 50 45.8	19.743	0.088	71.4	139 335	11 95
208	6.1[3]	40 30.33	3.1192	0.0102	11 17 28.5	19.742	0.088	71.4	139 335	11 96
209	8.0[4]	40 58.87	3.1183	0.0100	10 57 32.3	19.734	0.089	71.2	139 219 333	10 89
210	9.1	41 3.90	3.1339	0.0121	14 30 24.9	19.733	0.090	72.1	263 323(½) 337	14 114
211	8.8	0 41 9.18	+3.1238	+0.0107	+12 11 50.3	+19.732	−0.090	70.9	55 235(½) 325	12 89
212	8.9	41 11.72	3.1239	0.0107	12 11 24.3	19.731	0.090	70.9	55 235(½) 325	12 90
213	8.9	41 16.16	3.1184	0.0100	10 54 5.8	19.730	0.090	71.6	139 219 333 335	10 91
214	9.2	41 16.53	3.1181	0.0100	10 50 4.4	19.730	0.090	90.8	798 799	10 90
215	8.6	42 5.44	3.1218	0.0104	11 28 40.8	19.717	0.091	71.4	139 335	11 98
216	8.6	0 42 25.41	+3.1254	+0.0108	+12 11 49.3	+19.712	−0.092	70.9	55 235(½) 325	12 95
217	8.1[5]	42 32.02	3.1343	0.0119	14 7 36.4	19.710	0.093	72.1	263 323(½) 337	14 117
218	9.0	42 35.70	3.1231	0.0105	11 37 50.4	19.709	0.093	71.4	139 335	11 99
219	9.0	42 51.52	3.1311	0.0115	13 18 59.9	19.705	0.093	72.1	263 323(½) 337	13 111
220	8.9	43 9.17	3.1336	0.0117	13 46 57.8*	19.700	0.094	72.1	263 323(½) 337	13 112
221	8.8	0 43 12.01	+3.1293	+0.0112	+12 49 23.7	+19.699	−0.094	70.9	55 235(½) 325	12 96
222	8.7[6]	43 40.62	3.1222	0.0102	11 8 59.8	19.691	0.095	71.4	139 335	11 102
223	9.1	43 42.34	3.1384	0.0123	14 37 25.3	19.691	0.095	90.8	798 799	14 120
224	8.6	43 54.18	3.1395	0.0124	14 48 11.5	19.687	0.096	72.1	263 323(½) 337	14 121
225	9.0[7]	44 26.87	3.1355	0.0118	13 47 13.3	19.678	0.096	90.8	798 799	13 114
226	8.9	0 44 29.50	+3.1231	+0.0103	+11 10 0.9	+19.678	−0.096	90.8	798 799	11 104
227	8.6	44 40.49	3.1339	0.0116	13 24 16.5	19.674	0.097	70.9	55 235(½) 325	13 115
228	9.1	44 41.92	3.1411	0.0125	14 52 44.4	19.674	0.097	90.8	799 803	14 123
229	8.8	44 44.52	3.1195	0.0099	10 20 15.6	19.673	0.097	78.6	219 333 533 600	10 100
230	8.8	44 49.55	3.1349	0.0117	13 33 52.1	19.672	0.097	71.9	263 337	13 116
231	7.1[8]	0 45 2.35	+3.1282	+0.0109	+12 6 16.3	+19.668	−0.097	71.4	139 335	11 106
232	9.0	45 7.65	3.1262	0.0106	11 39 10.5	19.667	0.098	90.8	798 799	11 108
233	8.9	45 48.63	3.1308	0.0111	12 26 35.4	19.655	0.099	70.9	55 235(½) 325	12 103
234	7.9[9]	45 56.15	3.1335	0.0114	12 58 7.7	19.653	0.099	70.9	55 235(½) 325	12 104
235	8.9	46 11.21	3.1206	0.0099	10 14 3.7	19.648	0.100	89.5	6 Beob.	10 102
236	9.1	0 46 19.12	+3.1365	+0.0117	+13 28 14.7	+19.646	−0.100	70.9	55 235(½) 325	13 120
237	9.0	46 19.86	3.1360	0.0117	13 21 48.7	19.646	0.100	90.8	798 803	13 121
238	8.8	46 36.35	3.1385	0.0119	13 47 35.0	19.641	0.101	71.9	263 337	13 122
239	9.1	46 54.37	3.1224	0.0100	10 28 2.1	19.636	0.101	82.9	333 R	[10 104]
240	8.7	47 19.29	3.1228	0.0101	10 26 38.2	19.628	0.102	71.8	219 333	10 105
241	8.6	0 48 28.17	+3.1328	+0.0111	+12 10 10.2	+19.607	−0.104	70.9	55 235(½) 325	12 108
242	8.8	48 29.85	3.1227	0.0100	10 11 48.3	19.607	0.104	78.6	219 333 533 600	10 106
243	9.0	48 34.17	3.1365	0.0115	12 52 24.5	19.606	0.105	70.9	55 235(½) 325	12 109
244	8.9	49 29.49	3.1379	0.0116	12 55 10.2	19.588	0.106	70.9	55 235(½) 325	12 112
245	7.7[10]	49 35.80	3.1400	0.0118	13 16 27.3	19.587	0.107	71.9	263 337	13 127
246	8.6	0 49 38.45	+3.1491	+0.0128	+14 58 47.4	+19.586	−0.107	72.3	263 337 339	14 139
247	8.6	49 51.71	3.1460	0.0124	14 19 58.5	19.581	0.107	72.3	263 337 339	14 141
248	8.6	49 53.12	3.1468	0.0125	14 29 15.6	19.581	0.108	72.3	263 330 339	14 142
249	8.6	49 56.55	3.1339	0.0111	12 2 8.9	19.580	0.107	71.4	139 335	11 118
250	7.9[11]	50 8.31	3.1451	0.0123	14 5 56.2	19.576	0.108	90.8	798 799	13 130

[1] BD 7.5; Schätz. 8.4 8.0 8.5 [2] Röthlich; BD 5.0 [3] BD 5.2 [4] 7.5 8.4 8.0 [5] BD 6.8; Schätz. [8.0] 8.2 8.1
[6] 9m.5 14″ 235° [7] 9m.6 seq. 2s.4 0′.4 B. [8] 6.5 7.7 [9] BD 7.3; Schätz. 8.0 7.5 8.2 [10] BD 6.5; Schätz. [7.7] 7.7
[11] BD 8.7; Schätz. 8.1 7.8

Nr.	Gr.	A.R. 1875	Praec.	Var. saec.	Decl. 1875	Praec.	Var. saec.	Ep.	Zonen	B.D.
251	8.5[1]	0h 50m 11s.73	+3s.1289	+0s.0105	+11° 1' 44".3	+19".575	−0".108	90.8	798 799	10° 110
252	8.9	50 32.57	3.1333	0.0110	11 48 0.8	19.569	0.108	81.3	139 R	— —
253	8.8	50 39.88	3.1280	0.0104	10 46 44.5	19.566	0.108	72.9	333 335	10 112
254	8.5	50 49.09	3.1334	0.0110	11 45 11.8	19.563	0.109	71.4	139 335	11 120
255	8.3	51 20.57	3.1319	0.0108	11 21 50.3	19.553	0.110	71.4	139 335	11 122
256	6.9[2]	0 51 21.08	+3.1409	+0.0117	+13 1 9.8	+19.553	−0.110	70.9	55 235(½) 325	12 119
257	8.5	51 55.63	3.1331	0.0108	11 27 4.3	19.542	0.111	71.4	139 335	11 124
258	8.7	52 29.50	3.1482	0.0124	14 3 32.9	19.530	0.113	72.9	330 339	13 141
259	8.7	53 9.70	3.1485	0.0123	13 56 5.0	19.517	0.114	81.9	330 339 798 799	13 143
260	8.2	53 40.34	3.1340	0.0108	11 15 35.8	19.507	0.114	71.4	139 335	11 130
261	9.0	0 54 4.86*	+3.1511	+0.0125	+14 10 2.3*	+19.498	−0.116	77.4	330 337 339 798	14 152
262	9.2[3]	54 5.57	3.1514	0.0126	14 12 39.2*	19.498	0.116	77.4	330 337 339 798	14 151
*263	8.7	54 28.80	3.1376	0.0111	11 43 51.5	19.490	0.116	71.4	139 335	11 132
264	9.0	54 41.56	3.1472	0.0121	13 20 10.9	19.486	0.117	90.8	798 799	13 145
265	8.4	54 41.84	3.1309	0.0104	10 30 25.1	19.486	0.116	72.9	333 335	10 115
266	8.7	0 54 47.84	+3.1354	+0.0109	+11 16 52.2	+19.484	−0.117	71.4	139 335	11 134
267	8.0	54 49.06	3.1352	0.0109	11 14 17.5	19.483	0.117	71.4	139 335	11 135
268	8.8[4]	55 45.91	3.1340	0.0107	10 51 6.1	19.464	0.118	82.9	333 R	[10 116]
269	9.0	55 46.57	3.1496	0.0122	13 29 42.2	19.463	0.119	90.8	798 799	13 149
270	8.6	55 59.43	3.1503	0.0123	13 34 45.4	19.459	0.119	80.1	5 Beob.	13 150
271	8.8	0 56 11.50	+3.1369	+0.0109	+11 16 5.0	+19.455	−0.119	71.4	139 335	11 139
272	9.0	56 12.16	3.1342	0.0107	10 48 28.5*	19.454	0.119	81.3	219 333 798 799	10 117
273	9.0	56 12.30	3.1484	0.0121	13 12 45.5	19.454	0.120	70.9	55 235(½) 325	13 152
274	8.9	56 21.18	3.1532	0.0125	13 58 36.1	19.451	0.120	90.9	803 806	13 153
275	8.3[5]	56 32.42	3.1439	0.0116	12 22 38.0	19.447	0.120	70.9	55 235(½) 325	12 126
276	9.5[6]	0 57 7.10	+3.1577	+0.0129	+14 31 58.5	+19.435	−0.122	82.8	330 R	[14 160]
277	8.7	57 16.49	3.1502	0.0121	13 15 54.2	19.431	0.122	70.9	55 235(½) 325	13 155
278	9.3[7]	57 27.83	3.1507	0.0122	13 18 49.2	19.427	0.122	70.9	55 235(½) 325	13 156
279	8.6	57 30.88	3.1584	0.0129	14 33 19.9	19.426	0.123	72.9	330 337 339	14 161
280	5.9	58 29.53	3.1581	0.0128	14 16 22.3	19.405	0.125	72.9	330 337	14 163
281	8.8	0 58 34.60	+3.1607	+0.0130	+14 40 19.7	+19.403	−0.125	72.9	330 337	14 164
282	8.7[8]	58 36.13	3.1380	0.0109	11 0 28.1	19.402	0.124	71.8	219 333	10 122
283	8.5[9]	58 36.86	3.1358	0.0107	10 38 46.5	19.402	0.124	71.8	219 333	10 123
*284	9.2	58 37.89	3.1451	0.0116	12 9 42.5	19.402	0.124	70.9	55 235(½) 325	12 131
285	8.9	58 39.89	3.1374	0.0109	10 54 3.6	19.401	0.124	71.8	219 333	10 124
286	8.7	0 58 48.25	+3.1533	+0.0123	+13 26 13.3*	+19.398	−0.125	71.5	55 235(½) 325 339	13 162
*287	8.7	58 53.61	3.1615	0.0131	14 43 34.2	19.396	0.125	72.9	330 337	14 167
288	8.1	59 0.15	3.1433	0.0114	11 47 52.8	19.393	0.125	81.1	139 335 798 799	11 142
289	8.6	59 12.81	3.1594	0.0129	14 18 44.3	19.389	0.126	84.8	339 798 799	14 168
290	8.9	59 17.36	3.1392	0.0110	11 4 52.5	19.387	0.125	90.8	798 799	10 125
291	7.8	0 59 20.08	+3.1621	+0.0131	+14 42 52.8	+19.386	−0.126	72.9	333 337 339	14 169
292	8.5	59 36.67	3.1490	0.0119	12 34 58.5	19.380	0.126	70.9	55 235(½) 335	12 134
293	7.1[10]	59 59.27	3.1476	0.0117	12 17 5.8	19.371	0.127	70.9	55 235(½) 325	12 135
294	7.1[11]	1 0 0.98	3.1535	0.0122	13 12 58.0	19.371	0.127	84.8	339 798 799	13 165
295	9.0[12]	0 25.13	3.1671	0.0135	15 13 40.4	19.361	0.129	80.9	64 R	[15 162]
296	8.1[13]	1 0 30.19	+3.1393	+0.0109	+10 52 57.4	+19.359	−0.128	71.8	219 333	10 128
297	8.7	0 39.21	3.1428	0.0112	11 24 39.6	19.356	0.128	70.6	62 139 335	11 144
298	8.9	1 7.36	3.1386	0.0108	10 39 54.3	19.345	0.129	70.9	67 219 333	10 129
299	9.2	1 11.40	3.1537	0.0122	13 0 27.4	19.344	0.130	70.6	5 Beob.	[12 139]
300	9.0	1 12.32	3.1477	0.0116	12 3 59.1	19.343	0.129	81.8	243 R	[11 145]

[1] BD 9.0 [2] BD 6.0 [3] 8.8 9.2 9.2 9.7 [4] Nur Z. 333; BD 9.3 [5] BD 7.8 [6] 9.1 10.0
[7] 9.8 9.0 9.0 [8] BD 8.2 [9] BD 8.0 [10] 7.5 6.5 7.2; BD 6.2 [11] 8.0 6.6 6.6 [12] Nur Z. 64; BD 9.5
[13] BD 7.6; Schätz. 8.3 8.0

Nr.	Gr.	A.R. 1875	Praec.	Var. saec.	Decl. 1875	Praec.	Var. saec.	Ep.	Zonen	B.D.
301	8.4[1]	1h 1m 15s.27	+3s.1681	+0s.0135	+15° 11' 44".7	+19".342	−0".130	80.0	64 259 747 749	15° 164
302	8.9	1 20.23	3.1547	0.0123	13 8 0.3*	19.340	0.130	86.9	235(½) 807 808	13 168
303	8.7	1 26.91	3.1436	0.0113	11 23 58.7	19.338	0.130	71.2	139 248 335	11 146
304	8.7	1 34.85	3.1637	0.0131	14 27 27.3	19.335	0.131	71.4	64 259 330 337	14 172
305	8.9	1 35.88	3.1544	0.0122	13 1 24.0	19.334	0.130	71.0	60 63 325 339	12 140
306	8.6	1 1 50.82	+3.1363	+0.0106	+10 11 25.6	+19.328	−0.130	81.1	10 Beob.	10 130
307	8.6	1 56.66	3.1687	0.0135	15 7 22.4	19.326	0.132	80.0	64 259 749 750	15 167
308	8.8	1 58.17	3.1367	0.0106	10 13 29.4	19.326	0.130	86.1	8 Beob.	10 131
309	8.9	2 22.68	3.1492	0.0117	12 5 12.3	19.316	0.132	83.6	60 807 808	11 149
310	8.9	2 32.59	3.1457	0.0114	11 31 18.2	19.312	0.132	69.9	62 248	11 150
311	8.6	1 2 36.55	+3.1491	+0.0117	+12 1 28.5	+19.311	−0.132	70.3	6 Beob.	11 151
312	8.5	2 36.57	3.1534	0.0120	12 40 27.6	19.311	0.132	71.0	64 259 339	12 141
313	8.3	2 41.18	3.1448	0.0113	11 21 43.7*	19.309	0.132	76.6	63 248 747	11 152
314	8.4[2]	2 43.05	3.1370	0.0106	10 9 38.4	19.308	0.132	88.6	679 680 749 803	10 133
315	8.9	2 54.78*	3.1465	0.0114	11 34 48.5*	19.303	0.133	79.0	5 Beob.	11 153
316	9.2	1 2 59.59	+3.1474	+0.0115	+11 42 16.3	+19.301	−0.133	83.9 80.9	60 R	— —
317	8.7	3 26.22	3.1504	0.0117	12 0 24.3	19.291	0.134	69.9	62 248	11 155
318	7.0[3]	3 33.88	3.1704	0.0135	15 0 27.4	19.288	0.135	69.9	64 259	14 175
319	9.1	3 52.45	3.1708	0.0135	15 0 5.9	19.280	0.136	90.0	747 749	14 176
320	9.1	3 54.32	3.1390	0.0107	10 16 54.1	19.280	0.134	89.3	5 Beob.	10 134
321	8.6	1 4 2.02	+3.1404	+0.0109	+10 28 53.7	+19.277	−0.135	79.7	53 67 750 803	10 135
322	9.7[4]	4 8.34*	3.1624	0.0127	13 43 3.9	19.274	0.136	78.2	64 325 R	— —
323	8.8	4 9.64	3.1396	0.0108	10 19 56.1	19.273	0.135	77.9	53 67 679 680	10 136
324	9.0[5]	4 11.72	3.1695	0.0133	14 44 51.7*	19.273	0.136	95.0	R(2)	14 178
325	8.5	4 39.78	3.1652	0.0129	14 1 35.8	19.261	0.137	71.0	63 339	13 175
326	8.7	1 5 0.94	+3.1496	+0.0116	+11 40 55.5	+19.253	−0.137	70.2	62 243 248	11 157
327	8.6	5 9.78	3.1603	0.0125	13 12 41.3	19.249	0.137	70.6	63 137 339	13 176
328	8.8	5 15.40	3.1439	0.0111	10 48 9.4	19.247	0.137	69.0	53 67	10 138
329	9.1	5 26.79	3.1422	0.0109	10 31 21.1	19.242	0.137	69.0	53 67	10 139
330	7.8[6]	5 45.28	3.1500	0.0116	11 37 8.7	19.234	0.138	70.2	62 243 248	11 158
331	8.8	1 5 49.84	+3.1582	+0.0123	+12 47 10.2	+19.233	−0.139	81.5	339 747	12 145
332	8.8	5 51.82	3.1554	0.0120	12 22 26.4*	19.232	0.139	69.9	64 259	12 146
333	8.6	6 11.59	3.1485	0.0114	11 19 38.9	19.224	0.139	70.9	5 Beob.	11 159
334	8.5[7]	6 31.84	3.1472	0.0113	11 5 6.4	19.215	0.140	69.0	53 67	10 143
335	8.2	6 34.29	3.1468	0.0113	11 1 6.4	19.214	0.140	69.0	53 67	10 144
336	8.4	1 6 53.43	+3.1623	+0.0125	+13 10 59.8*	+19.206	−0.141	78.6	5 Beob.	13 183
337	9.1	6 53.80	3.1503	0.0115	11 28 12.2	19.206	0.140	80.9	60 R	— —
338	9.1	7 2.24	3.1631	0.0126	13 16 4.4	19.203	0.141	85.2	63 749 803 808	13 185
339[8]	8.6	7 13.35	3.1414	0.0108	10 9 0.6	19.198	0.141	83.0	8 Beob.	10 147
340	8.7	7 15.78	3.1428	0.0109	10 20 13.3	19.197	0.141	83.5	7 Beob.	10 148
341	9.8	1 7 16.89	+3.1415	+0.0108	+10 8 50.9	+19.196	−0.141	85.9	596 602	— —
342	8.7	7 37.56*	3.1469	0.0112	10 52 3.6	19.188	0.142	85.3	67 749 808 811	10 149
343	8.8	8 13.93	3.1699	0.0131	13 58 49.4	19.172	0.144	71.0	63 339	13 188
344	9.0	8 28.50	3.1588	0.0121	12 24 12.1	19.166	0.144	90.4	747 803	12 152
345	8.7	8 29.86	3.1704	0.0131	13 59 54.6	19.165	0.144	71.0	63 339	13 189
346	8.8	1 8 49.69	+3.1428	+0.0109	+10 7 12.7	+19.157	−0.144	88.6	679 680 749 803	10 152
347	8.7	9 9.49	3.1668	0.0128	13 23 27.7	19.148	0.145	90.0	747 750	13 190
348	8.6	9 34.14	3.1651	0.0126	13 4 29.0	19.137	0.146	69.9	60 62 243 248	12 155
349	8.9	9 34.39	3.1485	0.0113	10 48 22.9	19.137	0.145	69.0	53 67	10 153
350	9.4	9 52.11	3.1453	0.0110	10 19 23.1	19.129	0.146	86.9	679 680	[10 154]

[1] 8.2 8.7 8.9 8.0 [2] BD 9.1 [3] Orange; BD 6.4 [4] 9.3 9.4 10.5 [5] Gr. nach BD
[6] BD 6.8; Schätz. 8.2 7.7 7.5 [7] BD 9.0 [8] 9m.5 seq. 3s.5 0'.1 A.

Nr.	Gr.	A.R. 1875	Praec.	Var. saec.	Decl. 1875	Praec.	Var. saec.	Ep.	Zonen	B.D.
351	8.7	1^h 10^m $45^s.20$	+3^s.1679	+0^s.0127	+13° 15' 19".7	+19".106	−0".148	71.0	63 339	13° 191
352	7.4	10 55.62	3.1706	0.0129	13 35 0.2	19.102	0.149	70.0	64 137 259	13 192
353	8.9	11 1.07	3.1562	0.0118	11 38 12.5	19.099	0.148	70.2	62 243 248	11 164
354	8.9	11 3.10	3.1534	0.0116	11 15 23.8	19.098	0.148	80.9	60 R	[11 163]
355	8.6	11 5.77	3.1657	0.0125	12 53 51.5	19.097	0.149	71.0	63 339	12 159
356	8.9	1 11 14.55	+3.1817	+0.0138	+14 59 15.0*	+19.093	−0.150	69.9	64 137 259	14 196
357	8.8	11 30.54	3.1725	0.0130	13 43 24.6	19.086	0.150	69.9	64 137 259	13 195
358	8.8	11 32.85	3.1707	0.0129	13 28 59.6	19.085	0.150	71.0	63 339	13 196
359	8.7	12 13.86	3.1820	0.0137	14 50 20.2	19.066	0.152	77.9	5 Beob.	14 200
360	8.7	12 36.09	3.1702	0.0128	13 14 2.8	19.056	0.152	71.0	63 339	13 198
361	8.6	1 12 46.27	+3.1774	+0.0133	+14 8 5.6	+19.052	−0.153	69.9	64 137 259	14 202
362	8.5	13 5.09	3.1484	0.0111	10 18 1.4	19.043	0.152	77.9	53 67 679 680	10 161
363	8.1	13 7.02	3.1575	0.0118	11 29 17.7	19.042	0.153	70.2	62 243 248	11 167
364	9.7	13 17.78	3.1865	0.0140	15 12 26.9	19.037	0.154	90.0	747 749	15 192
365	9.0	13 18.75	3.1496	0.0112	10 25 30.6	19.037	0.153	90.4	747 803	10 162
366	9.1	1 13 19.92	+3.1580	+0.0118	+11 31 45.0	+19.036	−0.153	70.2	62 243 248	11 168
367	9.1	13 36.70	3.1513	0.0113	10 36 15.6	19.029	0.153	90.7	749 808 811	10 163
*368	9.5	13 37.54	3.1705	0.0128	13 6 2.5	19.028	0.154	92.5	808 R	— —
*369 [1]	8.6	13 37.90	3.1705	0.0128	13 6 33.5*	19.028	0.154	78.4	5 Beob.	13 199
370	8.6	13 38.30	3.1553	0.0116	11 7 28.5	19.028	0.153	70.2	62 243 248	11 169
371	9.0	1 13 50.67	+3.1644	+0.0123	+12 16 51.7	+19.022	−0.154	90.9	803 809 811	12 163
372	9.2	13 54.77	3.1523	0.0114	10 41 57.1	19.020	0.154	90.5	749 809	10 164
373	9.6	13 55.73	3.1482	0.0111	10 9 28.5	19.020	0.154	86.9	679 680	[10 165]
374	7.2 [2]	14 1.38	3.1863	0.0139	15 2 21.9*	19.017	0.156	80.4	6 Beob.	14 204
375	8.9	14 1.64	3.1687	0.0126	12 48 41.3	19.017	0.155	71.0	63 339	12 164
*376	8.5	1 14 13.10	+3.1534	+0.0115	+10 48 13.1	+19.012	−0.154	69.0	53 67	10 166
377	9.1	14 13.45	3.1643	0.0123	12 12 19.1	19.012	0.155	71.0	63 339	12 165
378	9.0	14 28.60	3.1562	0.0117	11 7 38.2	19.005	0.155	71.0	63 339	11 170
379	8.6	14 40.68	3.1575	0.0117	11 16 15.9	18.999	0.155	70.2	62 243 248	11 171
380	7.4 [3]	14 43.57	3.1545	0.0115	10 52 49.5	18.998	0.155	69.0	53 67 72	10 168
381	8.7	1 14 47.21	+3.1733	+0.0129	+13 16 2.4	+18.996	−0.156	80.0	6 Beob.	13 202
382	8.9	15 6.80	3.1529	0.0114	10 36 54.5	18.987	0.156	69.0	53 67 72	10 169
383	8.4	15 18.28	3.1840	0.0137	14 31 15.4	18.981	0.158	69.9	64 137 259	14 210
384	7.9 [4]	15 21.56	3.1636	0.0122	11 56 54.9	18.980	0.157	71.0	63 339	11 172
385	8.0	15 22.25	3.1890	0.0140	15 8 5.6	18.979	0.158	69.9	64 259	15 198
386	8.6	1 15 34.93	+3.1777	+0.0132	+13 41 7.5	+18.973	−0.158	71.0	63 339	13 204
387	8.8	15 37.22	3.1644	0.0122	12 0 18.2	18.972	0.158	70.2	62 243 248	11 173
388	9.1	15 56.98	3.1655	0.0123	12 5 44.1	18.963	0.158	90.0	747 749	12 168
389	8.9	15 58.48	3.1683	0.0125	12 26 54.1	18.962	0.159	70.2	62 243 248	12 169
390	9.0	16 5.24	3.1570	0.0116	11 0 12.5	18.959	0.158	91.0	803 808 811	10 170
391	7.5 [5]	1 16 18.02	+3.1549	+0.0115	+10 42 49.8	+18.953	−0.158	69.0	53 72	10 171
392	8.8	16 36.23	3.1654	0.0122	11 59 46.0	18.944	0.160	90.4	749 803	11 174
393	8.1 [6]	16 44.70	3.1512	0.0112	10 11 25.5	18.940	0.159	77.9	53 72 679 680	10 172
394	8.8	17 14.56	3.1606	0.0119	11 18 5.3	18.926	0.160	70.2	62 243 248	11 175
395	9.2	17 16.43	3.1558	0.0115	10 42 2.3	18.925	0.160	90.9	808 809 810	10 173
396	8.8	1 17 21.52	+3.1880	+0.0138	+14 39 7.5*	+18.923	−0.162	69.9	64 137 259	14 213
397	8.9	17 23.07	3.1644	0.0121	11 45 26.3	18.922	0.161	69.9	62 243 248	11 176
398	8.7	17 41.69	3.1769	0.0130	13 14 57.1	18.913	0.162	71.0	63 339	13 207
399	8.9	18 14.35	3.1561	0.0115	10 36 28.6	18.897	0.162	69.0	53 72	10 176
400	8.9	18 16.53	3.1665	0.0122	11 53 12.4	18.896	0.163	70.2	62 243 248	11 177

[1] $9^m.3$ praec. 18^s 4".6 B.; $9^m.0$ seq. 23^s 4".7 A. [2] 7.3 7.3 8.0 6.4 6.8 7.5 [3] 7.7 6.7 7.8; BD 6.5
[4] BD 7.0; Schätz. 8.0 7.8 [5] 8.0 7.0; BD 7.0 [6] 8.8 7.7 8.0 8.0; BD 7.3

Nr.	Gr.	A.R. 1875	Praec.	Var. saec.	Decl. 1875	Praec.	Var. saec.	Ep.	Zonen	B.D.
401	9.0	1h 18m 25s.99	+3s.1569	+0s.0116	+10° 41′ 21″.6	+18″.891	−0″.163	69.0	53 72	10° 177
402	8.9	18 47.67	3.1542	0.0114	10 18 45.7	18.881	0.163	77.9	53 72 679 680	10 178
403	9.0	18 53.06	3.1742	0.0128	12 44 21.6	18.878	0.164	71.0	63 339	12 174
404	9.0	18 54.73	3.1698	0.0125	12 12 13.1	18.877	0.164	70.2	62 243 248	12 175
405	9.0	19 12.07	3.1950	0.0142	15 9 52.9*	18.869	0.166	74.9	64 137 259 747	15 209
406	10.0[1]	1 19 19.54	+3.1736	+0.0127	+12 35 54.5	+18.865	−0.165	92.5	749 R	[12 176]
407	8.8	19 22.42	3.1734	0.0127	12 33 41.4	18.863	0.165	83.6 82.3	6 Beob.	12 177
408	9.2	19 44.55*	3.1546	0.0114	10 14 20.5*	18.852	0.165	88.7	5 Beob.	10 181
409	8.6	19 53.46	3.1803	0.0131	13 18 28.9	18.848	0.166	70.7	64 137 259 339	13 212
410	8.5	20 4.01	3.1550	0.0114	10 14 52.7	18.843	0.165	79.7	5 Beob.	10 184
411	8.5	1 20 25.43	+3.1592	+0.0117	+10 43 6.3	+18.832	−0.166	69.0	53 72	10 185
412	9.3	20 34.54	3.1668	0.0122	11 36 13.6	18.827	0.167	90.3	747 749 803	11 181
413	9.6	20 42.41	3.1672	0.0122	11 37 51.1	18.824	0.167	90.9	803 809 811	11 183
414	8.8	21 1.95	3.1806	0.0131	13 10 35.1	18.814	0.169	71.0	63 339	13 215
415	8.9	21 26.00	3.1722	0.0125	12 7 57.8	18.801	0.169	69.9	62 248	12 181
416	8.9[2]	1 21 35.42	+3.1562	+0.0114	+10 13 3.5	+18.797	−0.168	85.9	596 602	[10 187]
*417	8.6	21 39.37	3.1870	0.0135	13 49 39.7	18.795	0.170	71.0	63 339	13 216
418	8.7	22 11.09	3.1822	0.0131	13 11 20.5	18.779	0.171	71.0	63 339	13 219
419	8.5[3]	22 18.01	3.1706	0.0124	11 49 21.5	18.775	0.170	82.0	5 Beob.	11 184
420	9.2	22 25.23	3.1616	0.0118	10 45 15.5	18.771	0.170	69.0	53 72	[10 189]
421[4]	8.7	1 22 39.77	+3.1568	+0.0114	+10 9 31.2	+18.764	−0.170	88.5	5 Beob.	10 191
422	8.3	22 48.06	3.1705	0.0123	11 44 30.2	18.760	0.171	71.0	64 259 339	11 187
423	8.7	23 10.61	3.1742	0.0126	12 7 10.6	18.748	0.172	90.0	747 749 750	12 183
*424	8.8	23 14.13	3.1868	0.0134	13 33 45.7	18.746	0.173	69.9	64 137 259	13 222
425	9.0	23 17.77	3.1584	0.0115	10 16 37.0	18.744	0.172	88.5	5 Beob.	10 192
*426	...[5]	1 23 38.65	+3.1737	+0.0125	+12 0 12.1	+18.733	−0.173	69.9	62 248	11 190
427	9.8	23 41.04	3.1626	0.0118	10 43 23.9	18.732	0.173	80.9	53 R	— —
428	8.4	23 42.79	3.1603	0.0116	10 26 40.3	18.731	0.173	90.9	803 809	10 195
429	7.5[6]	24 6.61	3.1952	0.0139	14 22 35.5	18.719	0.175	90.0	747 749	14 226
430	8.6	24 8.38	3.2005	0.0143	14 57 33.9	18.718	0.175	84.3	259 803 812	14 228
431	8.9	1 24 8.72	+3.1932	+0.0138	+14 8 45.9	+18.718	−0.175	70.4	137 259	[14 227]
432	9.4	24 22.26	3.1738	0.0125	11 55 16.2	18.711	0.174	91.0	809 811 812	11 192
433	8.7	24 23.65	3.1816	0.0130	12 47 53.2	18.710	0.175	71.0	63 339	12 184
434	8.8	24 36.23	3.1854	0.0132	13 11 46.8	18.703	0.175	71.0	63 339	13 225
435	8.9	24 46.51	3.1963	0.0139	14 23 26.3	18.698	0.176	83.6	259 747 749	14 230
436	**3.6**	**1 24 47.80**	**+3.1991**	**+0.0141**	**+14 42 2.2**	**+18.697**	**−0.177**		**Fund. Cat.**	**14 231**
437	8.3[7]	25 4.17	3.1972	0.0140	14 26 57.3	18.689	0.177	90.7	750 809 811	14 232
438	7.8[8]	25 6.41	3.1599	0.0116	10 14 38.1	18.687	0.175	79.5	5 Beob.	10 197
439	8.2	25 7.76	3.2021	0.0143	14 58 48.0*	18.686	0.177	69.9	64 137 259	14 233
440	8.9	25 15.69	3.1850	0.0132	13 3 28.9	18.682	0.177	90.9	803 812	12 185
441	8.7	1 25 16.22	+3.1593	+0.0115	+10 9 3.2	+18.682	−0.175	77.9	53 67 682 683	10 198
442	8.8	25 18.21	3.1794	0.0128	12 25 48.0	18.681	0.177	71.0	63 339	12 186
443	8.8	25 24.86	3.1686	0.0121	11 11 42.5	18.677	0.176	71.0	62 339	11 194
*444	8.7[9]	25 27.21	3.1726	0.0124	11 38 54.4	18.676	0.176	91.0	809 812	11 195
445	8.7	25 35.78	3.1675	0.0120	11 3 6.1	18.672	0.176	69.0	53 67	10 199
446	9.3	1 25 42.85	+3.1726	+0.0124	+11 36 59.4*	+18.668	−0.177	80.9	63 R	[11 196]
447	8.0	25 55.78	3.1695	0.0122	11 14 20.2*	18.661	0.177	79.9	62 248 747 749	11 198
448	7.9[10]	26 7.52	3.1812	0.0129	12 31 4.6	18.655	0.178	85.9	259 803 809 812	12 189
449	8.9	26 21.57	3.2046	0.0144	15 3 12.8*	18.647	0.180	69.9	64 137 259	14 236
450	8.8	26 22.54	3.1933	0.0137	13 49 24.2	18.647	0.179	71.0	63 339	13 230

[1] Nur Z. 749; BD 9.5 [2] BD 9.4 [3] 8.8 8.8 8.8 7.8 8.2 [4] 9m.3 seq. 4s.5 1′.6 B. [5] Dpl. 9.0 9.1; med.
[6] 8.0 7.0; BD 8.0 [7] BD 8.8 [8] 7.8 7.0 8.3 8.2 7.8 [9] Dpl. 9.0 9.0; med. [10] 8.3 7.1 8.0 8.2

Nr.	Gr.	A.R. 1875	Praec.	Var. saec.	Decl. 1875	Praec.	Var. saec.	Ep.	Zonen	B.D.
451	8.7	$1^h\ 26^m\ 45^s.12$	$+3^s.1906$	$+0^s.0135$	+13° 28′ 29″.3	+18″.635	−0″.180	82.4	5 Beob.	13° 231
452	8.6	26 48.58	3.1624	0.0117	10 20 27.7	18.633	0.179	77.9	53 67 679 680	10 202
453	8.5	27 7.51	3.1621	0.0116	10 15 55.4	18.623	0.179	77.4	53 67 596 602	10 203
454	8.8	27 9.53*	3.2049	0.0144	14 57 39.5[1]	18.621	0.181	78.2	5 Beob.	14 237
455	8.7	27 18.60	3.2066	0.0145	15 7 40.4	18.616	0.182	91.0	809 811	15 233
*456	9.0	1 27 43.86	+3.1806	+0.0128	+12 14 35.9	+18.603	−0.181	69.9	62 248	12 190
457	8.5	27 45.32	3.1628	0.0117	10 16 36.4	18.602	0.180	77.9	53 67 679 680	10 206
*458	8.1	28 13.23	3.1782	0.0126	11 55 3.1	18.587	0.182	69.9	62 248	11 201
459	8.4[2]	28 14.58	3.1951	0.0137	13 44 38.1	18.586	0.183	71.7	63 339 340	13 238
460	8.6	28 21.71	3.2035	0.0142	14 37 50.2*	18.582	0.184	74.9	64 137 259 747	14 238
461	9.2	1 28 23.72	+3.1934	+0.0136	+13 32 42.7	+18.581	−0.183	69.9	64 259	13 239
462	8.7[3]	28 38.16	3.1636	0.0117	10 15 57.1	18.573	0.182	86.9	679 680	[10 207]
463	8.8	28 46.97	3.2011	0.0140	14 18 33.0	18.568	0.184	69.4	60 137	14 239
464	7.3[4]	29 5.49	3.1988	0.0139	14 1 16.7	18.558	0.185	71.7	63 339 340	13 240
465	8.9[5]	29 20.44	3.1644	0.0117	10 17 12.2	18.550	0.183	88.4	679 680 747 749	10 208
466	8.7	1 29 26.21	+3.1777	+0.0125	+11 42 47.6	+18.546	−0.184	90.7	750 803 809 811	11 203
467	9.0	29 36.11	3.2028	0.0141	14 22 26.8	18.541	0.186	69.4	60 137	14 241
*468	neb.	29 59.57*	3.2107	0.0146	15 8 36.5*	18.528	0.187	94.0	R(2)	15 238
469	8.8	30 3.85	3.2057	0.0142	14 36 34.2	18.526	0.187	69.4	60 137	14 243
470	8.7	30 19.59	3.1823	0.0128	12 5 54.9	18.517	0.186	69.9	62 248	11 204
471	6.7[6]	1 30 28.47	+3.1769	+0.0125	+11 30 4.3	+18.512	−0.186	71.7	63 339 340	11 205
472	8.8[7]	30 56.28	3.1759	0.0124	11 20 38.0	18.496	0.187	90.0	747 750	11 206
473	8.8	30 57.63	3.1965	0.0136	13 31 19.1	18.495	0.188	71.7	63 339 340	13 245
474	7.5[8]	31 1.71	3.1769	0.0124	11 26 24.6	18.493	0.187	69.9	62 248	11 207
475	9.3	31 12.83	3.1876	0.0131	12 33 14.6	18.487	0.188	71.7	63 339 340	[12 199]
476	8.9	1 31 22.15	+3.1919	+0.0133	+12 58 54.1	+18.482	−0.189	90.7	749 803 809 811	12 200
477	8.8	31 31.11	3.1847	0.0129	12 12 32.3	18.476	0.188	71.7	63 339 340	12 201
478	7.1[9]	31 47.19	3.1954	0.0135	13 17 29.9	18.467	0.189	90.9	803 811	13 250
479	8.7	31 52.31	3.1928	0.0134	13 0 36.2	18.464	0.190	90.5	749 811	12 202
480	8.5[10]	31 56.26	3.1668	0.0118	10 16 1.1	18.462	0.188	86.9	679 680	[10 215]
481	8.9	1 32 14.20	+3.2039	+0.0140	+14 6 32.6*	+18.452	−0.191	79.7	60 137 747 750	14 248
482	8.3	32 32.36	3.1820	0.0127	11 48 12.7	18.441	0.190	69.9	62 248	11 210
483	7.8[11]	32 33.61	3.1998	0.0138	13 39 0.7	18.441	0.191	71.7	63 339 340	13 255
484	9.0	32 42.36	3.1947	0.0134	13 5 51.0	18.436	0.191	90.6	749 803 811	12 205
485	8.6	33 1.32	3.2116	0.0145	14 47 21.9	18.425	0.193	69.4	60 137	14 250
486	8.7	1 33 11.80	+3.2102	+0.0144	+14 37 34.6	+18.419	−0.193	69.4	60 137	14 251
487	8.6	33 12.59	3.2102	0.0144	14 37 18.7	18.418	0.193	69.4	60 137	14 253
488	8.4[12]	33 30.98	3.2029	0.0139	13 50 15.3	18.408	0.193	69.9	64 259	13 257
489	8.7[13]	33 39.80*	3.2035	0.0139	13 52 22.6	18.403	0.193	80.9	64 R	[13 258]
490	8.9	33 41.86	3.1779	0.0124	11 14 43.5	18.401	0.192	69.9	62 248	11 213
491	8.9	1 33 59.48	+3.2002	+0.0137	+13 29 41.6	+18.391	−0.194	69.9	64 259	13 259
492	8.7	33 59.65	3.2149	0.0146	14 59 10.5	18.391	0.195	69.4	60 137	14 257
493	8.6	34 17.43	3.1728	0.0121	10 39 24.5	18.381	0.193	70.3	53 67 332	10 221
494	8.1	34 23.44	3.1972	0.0135	13 8 30.5	18.377	0.194	69.9	64 259	13 261
495	8.7	34 26.55	3.1920	0.0132	12 36 14.8	18.375	0.194	69.9	62 248	12 211
496	9.1	1 34 29.53	+3.1911	+0.0132	+12 30 21.8	+18.374	−0.194	90.0	747 749 750	12 212
497	8.8	34 34.97	3.1723	0.0121	10 34 21.6	18.371	0.193	70.3	53 67 332	10 222
498	9.0	34 51.81	3.2074	0.0141	14 6 38.6	18.361	0.196	70.6	60 137 340	14 258
499	9.3	35 6.48	3.2042	0.0139	13 45 29.1*	18.352	0.196	80.4	64 259 803 809	13 262
500	8.4	35 22.12	3.1804	0.0125	11 19 6.6	18.343	0.195	90.9	803 811	11 218

[1] Z. 137 Mikr. 52″.0 51″.8 corr. in 32″.0 31″.8 [2] BD 7.8 [3] BD 9.2 [4] 6.5 7.5 7.8; BD 6.6
[5] BD 9.5; Schätz. 9.0 8.9 9.2 9.0 [6] 6.0 6.5 7.5; BD 6.0 [7] BD 9.3 [8] 8.0 7.0 [9] BD 8.1; Schätz. 7.3 7.0
[10] BD 9.1 [11] 7.3 7.7 8.3 [12] BD 9.0 [13] Nur Z. 64; BD 9.5

Nr.	Gr.	A.R. 1875	Praec.	Var. saec.	Decl. 1875	Praec.	Var. saec.	Ep.	Zonen	B. D.
501	8.8	1ʰ 35ᵐ 35ˢ.37	+3ˢ.1748	+0ˢ.0122	+10° 43′ 7″.5	+18″.335	−0″.195	90.9	803 809	10° 224
502	8.8	35 35.85	3.1875	0.0129	12 0 57.4	18.334	0.196	69.9	62 248	11 219
503	7.4[1]	35 43.14	3.2190	0.0148	15 8 47.0	18.330	0.198	80.2	64 259 749 809	15 251
504	8.1[2]	35 46.87	3.1985	0.0135	13 6 12.1	18.328	0.197	91.0	809 811	12 215
505	9.4	36 10.07*	3.2092	0.0141	14 6 42.7	18.315	0.198	83.0	259 R	[14 260]
506	8.3	1 36 12.37	+3.1728	+0.0121	+10 27 17.9	+18.313	−0.196	70.3	53 67 332	10 225
507	8.9	36 14.20	3.2110	0.0142	14 16 50.5	18.312	0.199	69.4	60 137	14 261
508	8.6	36 22.98	3.1876	0.0129	11 56 10.3	18.307	0.198	69.9	62 248	11 221
509	8.8	36 30.03	3.1911	0.0131	12 16 28.6	18.303	0.198	90.4	747 803	12 216
510	8.6[3]	36 33.09	3.1898	0.0130	12 7 55.5	18.301	0.198	90.5	750 809	12 217
511	8.2	1 36 34.35	+3.1917	+0.0131	+12 19 30.2	+18.300	−0.198	83.6	259 747 749	12 218
512	9.2	36 37.53	3.1920	0.0131	12 20 53.9	18.298	0.198	90.5	747 811	12 219
*513	8.9	36 58.43	3.1914	0.0131	12 15 5.5	18.286	0.199	70.9	62 248 340	12 220
514	8.9	36 58.85	3.2133	0.0143	14 24 46.8	18.285	0.200	69.4	60 137	14 263
515	8.7	37 0.26	3.2099	0.0141	14 4 19.3	18.285	0.200	69.6	63 64 259	13 266
516	9.0	1 37 7.77	+3.2073	+0.0140	+13 48 12.9	+18.280	−0.200	83.7	64 809 811	13 267
517	8.6	37 21.78	3.1802	0.0124	11 5 18.3	18.272	0.199	70.3	53 67 332	10 230
518	8.9	37 40.38	3.1764	0.0122	10 40 27.1*	18.260	0.199	75.4	53 67 332 803	10 232
519[4]	8.4	37 42.11	3.1918	0.0131	12 12 10.6	18.259	0.200	81.5	340 749	12 223
520	8.6	37 43.86	3.2043	0.0138	13 25 41.0	18.258	0.201	69.9	64 259	13 270
521	8.7	1 37 55.62	+3.1727	+0.0120	+10 16 46.2	+18.251	−0.199	76.9	5 Beob.	10 234
522	8.9	38 2.51	3.1887	0.0129	11 51 24.9*	18.247	0.201	70.2	64 248 259	11 228
523	8.9	38 17.77	3.2131	0.0142	14 12 5.2	18.238	0.203	69.4	60 137	14 267
524	8.8	38 20.54	3.1739	0.0121	10 21 27.3	18.236	0.200	70.3	53 67 332	10 235
525	9.3	38 36.37	3.1762	0.0122	10 33 52.8	18.227	0.201	70.3	53 67 332	[10 236]
526	8.6[5]	1 38 47.84	+3.1720	+0.0119	+10 7 28.8	+18.219	−0.201	86.9	682 683	[10 237]
527	8.7	38 48.42	3.1938	0.0131	12 16 47.3	18.219	0.202	71.0	63 340	12 226
528	8.8	39 1.63	3.2232	0.0148	15 5 25.5	18.211	0.204	76.3	60 137 750	14 268
*529	9.2	39 9.34	3.2159	0.0144	14 22 35.2	18.206	0.204	69.4	60 137	14 270
530	9.1	39 39.14	3.1851	0.0126	11 20 6.5	18.188	0.203	70.2	64 248 259	[11 230]
531	8.7	1 39 41.26	+3.2241	+0.0148	+15 5 10.7	+18.187	−0.206	76.3	60 137 747	14 272
532	8.5[6]	39 58.72	3.1901	0.0129	11 47 15.5	18.176	0.204	81.5	340 749	11 231
533	9.1	40 3.70	3.1947	0.0132	12 13 20.0	18.173	0.205	80.9	63 R	[12 228]
534	8.7[7]	40 19.10	3.1753	0.0121	10 18 41.0	18.164	0.204	86.9	684 686	[10 240]
535	6.9[8]	40 31.33	3.1746	0.0120	10 13 7.1	18.156	0.204	76.9	5 Beob.	10 241
536	8.6	1 40 43.66	+3.1759	+0.0121	+10 19 41.6	+18.148	−0.205	78.6	6 Beob.	10 242
537	8.2[9]	40 49.08	3.1969	0.0132	12 20 58.9	18.145	0.206	81.5	340 749	12 231
538[10]	8.3	40 55.48	3.1993	0.0134	12 33 55.9[11]	18.141	0.207	84.3	340 749 750	12 232
539	8.8	40 56.35	3.1862	0.0127	11 18 20.3	18.140	0.206	70.8	248 259	11 232
540	8.8	41 9.34	3.2144	0.0142	13 58 29.2	18.132	0.208	85.6	259 747 803 809	13 275
541	8.5	1 41 55.38	+3.2097	+0.0139	+13 26 21.9	+18.103	−0.209	69.9	64 259	13 278
542	8.9[12]	42 3.45	3.1979	0.0133	12 18 35.0	18.098	0.209	80.9	63 R	[12 236]
543	8.6	42 30.57	3.1927	0.0130	11 46 2.0	18.081	0.209	69.9	62 248	11 236
544	9.1	42 30.84	3.2106	0.0139	13 27 25.3	18.081	0.210	69.9	64 259	[13 281]
545	8.5	42 37.29	3.1950	0.0131	11 58 18.4	18.077	0.209	84.3	340 749 750	11 237
546	8.9	1 42 40.11	+3.1905	+0.0128	+11 32 48.5	+18.075	−0.209	69.9	62 248	11 238
547	9.2	42 43.35	3.1890	0.0128	11 23 53.8	18.073	0.209	81.8	248 R	[11 239]
548	8.8	43 16.22	3.2165	0.0143	13 54 50.7	18.052	0.212	69.9	64 259	13 284
549	8.6	43 18.34	3.2132	0.0140	13 36 17.5	18.051	0.212	81.5	340 749	13 285
550	10.6	43 21.84	3.2145	0.0141	13 43 15.4*	18.049	0.212	90.6	747 803 809	— —

[1] 7.7 8.3 6.5 7.2 [2] BD 8.8; Schätz. 8.3 8.0 [3] BD 9.5; Schätz. 8.3 9.0 [4] 9ᵐ.5 praec. 8ˢ 2′.5 A.; 9ᵐ.5 seq. 8ˢ 2′.0 A.
[5] BD 9.1 [6] BD 9.2 [7] BD 9.3; Schätz. 8.8 8.7 [8] 7.0 6.5 [8.2] 7.5 6.8 [9] 8.7 7.7; BD 8.7
[10] 9ᵐ.3 praec. 10ˢ.0 in par. [11] Z. 750 Mikr. 20″.2 48″.3 corr. in 20″.2 43″.3 [12] Nur Z. 63; BD 9.4

Nr.	Gr.	A.R. 1875	Praec.	Var. saec.	Decl. 1875	Praec.	Var. saec.	Ep.	Zonen	B.D.
551	8.2	1h 43m 22s.53	+3s.2146	+0s.0141	+13° 43' 37".2[1]	+18".048	−0".212	82.7 86.2	5 Beob.	13° 286
552	8.8	43 45.98	3.2244	0.0146	14 34 52.9	18.034	0.213	69.4	60 137	14 283
553	8.7	43 50.53	3.1902	0.0128	11 23 43.4	18.031	0.211	69.9	62 248	11 241
554	6.1[2]	44 14.14	3.1803	0.0123	10 25 23.9	18.016	0.211	70.3	53 67 332	10 252
555	8.6	44 32.54	3.2205	0.0144	14 8 5.5	18.004	0.215	69.4	60 137	14 285
556	9.0	1 44 43.52	+3.2270	+0.0147	+14 42 19.3	+17.997	−0.215	69.4	60 137	14 286
557	8.6	45 15.59	3.2070	0.0136	12 48 27.3	17.976	0.215	71.0	63 340	12 246
*558	8.4	45 24.21	3.1789	0.0122	10 11 29.4	17.970	0.213	86.9	679 680	} 10 255
*559	8.4	45 24.25	3.1790	0.0122	10 11 32.9	17.970	0.213	86.9	679 680	
560	8.2	45 56.10	3.1971	0.0131	11 49 27.9	17.950	0.216	69.9	62 248	11 245
561	8.3	1 46 7.73	+3.2163	+0.0141	+13 33 31.5*	+17.942	−0.217	80.0	64 259 747 749	13 292
562	8.8	46 11.99	3.2321	0.0149	14 58 42.9	17.940	0.218	69.9	60 137	14 295
563	8.2	46 19.94	3.2243	0.0145	14 15 41.5	17.934	0.218	69.4	60 137	14 296
564	8.2	46 29.42	3.2307	0.0148	14 48 53.7	17.928	0.219	69.4	60 137	14 298
565	7.8[3]	46 49.02	3.2007	0.0132	12 3 58.7	17.915	0.217	69.9	62 248	11 248
566	8.2[4]	1 47 11.23	+3.2132	+0.0139	+13 9 40.9	+17.901	−0.219	69.9	64 259	13 294
567	8.4	47 13.27	3.2137	0.0139	13 12 33.1	17.899	0.219	69.9	64 259	13 295
568	9.1	47 17.70	3.2008	0.0132	12 2 1.2	17.896	0.218	69.9	62 248	11 249
569	7.9[5]	47 45.03	3.1876	0.0125	10 47 9.6	17.878	0.218	70.3	53 67 332	10 257
570	7.6	48 4.41	3.2140	0.0139	13 8 28.1	17.865	0.221	69.9	64 259	13 296
571	8.7	1 48 11.07	+3.2187	+0.0141	+13 32 50.2	+17.861	−0.221	69.9	64 259	13 297
572	7.8	48 28.84	3.2324	0.0148	14 43 38.6	17.849	0.222	69.4	60 137	14 302
573	8.6	48 46.98	3.1981	0.0130	11 38 10.9	17.837	0.221	69.9	62 248	11 250
574	9.1	48 55.08	3.1916	0.0127	11 2 25.7	17.832	0.221	70.3	53 67 332	10 260
575	7.8	48 57.62	3.2019	0.0132	11 57 32.7	17.830	0.221	71.0	63 340	11 251
576	8.7	1 48 58.46	+3.2303	+0.0147	+14 28 53.2	+17.830	−0.223	69.4	60 137	14 306
*577	8.7	48 59.42	3.1933	0.0128	11 11 22.0	17.829	0.221	69.9	62 248	11 252
*578	11.0	49 19.18	3.2310	0.0147	14 29 44.5*	17.816	0.224	92.5	747 R	— —
579	8.7	49 20.70	3.2309	0.0147	14 29 24.7	17.815	0.224	76.3	60 137 747	14 308
580	8.6	49 22.19	3.1991	0.0131	11 40 34.7	17.814	0.222	69.9	62 248	11 255
581	8.9	1 49 45.85	+3.2322	+0.0147	+14 33 8.3	+17.798	−0.225	69.4	60 137	14 310
582	8.7	49 58.62	3.2257	0.0144	13 57 33.9	17.789	0.225	69.9	64 259	13 302
583	8.6	50 0.61	3.2294	0.0146	14 16 56.5	17.788	0.225	69.4	60 137	14 312
*584	9.2	50 5.39	3.2317	0.0147	14 28 14.1	17.785	0.225	85.4	137 749 803 809	14 313
585	8.6	50 5.95	3.2148	0.0138	12 59 39.4	17.784	0.224	71.0	63 340	12 254
586	8.8	1 50 54.44	+3.2198	+0.0141	+13 20 36.4	+17.752	−0.226	90.0	749 750	13 305
587	8.1	51 0.44*	3.2249	0.0143	13 46 30.4*	17.748	0.227	82.3	5 Beob.	13 306
588	8.8	51 6.26	3.2084	0.0135	12 19 54.9	17.743	0.226	71.0	63 340	12 260
589	8.4	51 49.82	3.1848	0.0123	10 11 0.6	17.714	0.225	80.6	7 Beob.	10 264
590	8.7	52 3.47	3.2257	0.0143	13 43 52.3	17.704	0.228	69.9	64 259	13 310
591	9.0	1 52 7.73	+3.2372	+0.0149	+14 42 31.9	+17.702	−0.229	81.4	137 R	[14 318]
592	8.5	52 35.60	3.2297	0.0145	14 1 6.4	17.682	0.230	69.9	64 259	13 314
593	6.3	52 44.49	3.2029	0.0132	11 41 15.2	17.676	0.228	69.9	62 248	11 261
594	8.6	52 46.73	3.2375	0.0149	14 39 53.7	17.675	0.231	69.4	60 137	14 320
595	8.9	52 52.73	3.2412	0.0150	14 57 51.0	17.671	0.231	69.4	60 137	14 321
596	8.3	1 53 35.77	+3.2047	+0.0132	+11 45 58.8	+17.641	−0.230	69.9	62 248	11 262
597	9.1	53 44.96	3.2275	0.0143	13 42 9.2	17.634	0.232	69.9	64 259	[13 316]
598	8.3	54 5.87	3.2170	0.0138	12 46 40.5	17.620	0.232	71.0	63 340	12 264
599	8.8	54 10.56	3.2283	0.0143	13 43 37.0	17.617	0.232	69.9	64 259	[13 317]
600	8.3	54 25.09	3.2106	0.0135	12 12 7.3	17.606	0.232	69.9	62 248	12 266

[1] Z. 63 [42".8]   [2] 6.5 5.0 6.7; BD 5.5   [3] BD 7.2; Schätz. 8.0 7.7   [4] BD 8.7   [5] 7.8 7.2 8.7

Nr.	Gr.	A.R. 1875	Praec.	Var. saec.	Decl. 1875	Praec.	Var. saec.	Ep.	Zonen	B. D.
601	8.7	1h 54m 30s.62	+3s.1879	+0s.0124	+10° 14′ 2″.1	+17″.603	−0″.230	78.8	248 332 596 602	10° 270
602	8.6	54 30.64	3.2282	0.0143	13 41 4.3	17.603	0.233	80.0	64 259 747 749	13 319
603	6.1[1]	55 4.55	3.2382	0.0148	14 27 42.0	17.579	0.235	69.4	60 137	14 326
604	8.3	55 24.40	3.2044	0.0131	11 34 36.2	17.565	0.233	79.9	62 248 747 749	11 264
605	7.5	55 41.83	3.2106	0.0134	12 4 54.6	17.553	0.234	69.9	62 248	11 265
606	8.0	1 55 42.43	+3.2442	+0.0151	+14 53 27.4	+17.552	−0.236	69.4	60 137	14 328
607	6.9	55 51.46	3.2202	0.0139	12 52 21.7	17.546	0.235	71.0	63 340	12 271
608	9.0	56 8.54	3.2011	0.0130	11 14 5.1*	17.534	0.234	82.1	5 Beob.	11 267
*609	8.6	56 10.92	3.1957	0.0127	10 46 7.4	17.532	0.234	70.3	53 67 332	10 274
610	7.4[2]	56 17.56*	3.1916	0.0125	10 24 54.2	17.528	0.234	70.3	53 67 332	10 275
611	9.1	1 56 19.46	+3.2208	+0.0139	+12 52 28.0	+17.526	−0.236	90.6	750 803 809	12 272
612	8.9	56 23.94	3.2074	0.0133	11 44 38.4	17.523	0.235	82.3	5 Beob.	11 270
613	8.9	56 36.27	3.1994	0.0129	11 3 2.6	17.514	0.235	89.9	746 747	10 277
614	8.8	57 8.80	3.2067	0.0132	11 37 11.9	17.491	0.236	69.9	62 248	11 272
615	8.7	57 11.49	3.2303	0.0143	13 34 57.8	17.489	0.238	71.0	63 340	13 325
616	8.7	1 57 33.00	+3.2354	+0.0145	+13 58 6.8	+17.474	−0.239	69.9	64 259	13 326
617	8.8	58 11.05	3.1909	0.0125	10 12 15.9	17.446	0.237	76.5	5 Beob.	10 285
618	8.7	58 12.28	3.1980	0.0128	10 48 8.5	17.446	0.237	70.3	53 67 332	10 284
619	8.7	58 12.82	3.2452	0.0150	14 41 41.6	17.445	0.241	79.7	60 137 746 747	14 336
620	8.8	58 36.53*	3.2487	0.0151	14 56 15.7*	17.428	0.242	81.7	5 Beob.	14 337
621	8.8	1 58 55.65	+3.2372	+0.0146	+13 58 3.1	+17.414	−0.241	80.0	64 259 746 749	13 329
622	8.7	58 58.89	3.2192	0.0137	12 29 26.2	17.412	0.240	69.9	62 248	12 280
*623	8.1	59 2.47	3.2223	0.0139	12 44 35.3	17.409	0.241	69.9	62 248	12 281
624	8.9	59 36.97	3.2323	0.0143	13 30 9.8	17.384	0.242	90.0	747 750	13 331
625	7.9[3]	59 45.15	3.2246	0.0140	12 51 51.1	17.378	0.242	69.9	62 248	12 282
626	7.9	1 59 55.82	+3.2386	+0.0146	+13 59 9.5	+17.371	−0.243	69.9	64 259	13 333
*627	8.8	2 0 8.90	3.2398	0.0146	14 3 36.5	17.361	0.244	90.4	746 749 803 809	13 335
628	8.7	0 9.39	3.2394	0.0146	14 1 24.8	17.361	0.244	83.0	64 746 749	13 336
*629	8.4	0 46.62	3.2523	0.0152	14 59 36.8	17.333	0.246	70.2	56 60 137 341	14 342
630	7.4	1 15.51	3.2557	0.0153	15 12 34.3	17.312	0.247	69.9	64 259	15 305
631	8.2	2 1 26.42	+3.1986	+0.0127	+10 35 40.1	+17.304	−0.243	70.4	6 Beob.	10 292
632	8.9	1 37.99	3.1966	0.0126	10 24 47.2[4]	17.296	0.243	70.7 70.9	8 Beob.	10 293
633	8.9	1 59.46*	3.2377	0.0145	13 42 24.2	17.280	0.247	70.6	5 Beob.	13 337
634	8.9	2 14.18	3.2533	0.0152	14 55 5.9	17.269	0.248	71.0	56 341	14 346
635	8.6	2 52.04	3.2402	0.0145	13 48 50.9	17.241	0.249	71.0	76 267 340	13 338
636	7.9	2 3 2.55	+3.2249	+0.0138	+12 34 57.9	+17.233	−0.248	70.0	72 265	12 292
637	8.8	3 10.48	3.2462	0.0148	14 15 41.6	17.227	0.250	71.0	56 341	14 348
638	8.7	3 10.75	3.2357	0.0143	13 25 54.3	17.227	0.249	71.0	76 267 340	13 339
639	8.8	3 12.85	3.2354	0.0143	13 24 2.8	17.225	0.249	71.0	76 267 340	13 340
640	8.7	3 16.58	3.2545	0.0152	14 54 3.8	17.222	0.250	71.0	56 341	14 349
641	8.5	2 3 25.44	+3.2120	+0.0133	+11 31 20.3	+17.216	−0.248	85.2	252 746 747 749	11 288
642	8.5	3 28.39	3.2487	0.0149	14 25 48.4	17.214	0.250	71.0	56 341	14 350
643	8.6	3 41.85	3.2507	0.0150	14 33 35.5	17.203	0.251	71.0	56 342	14 352
*644	...[5]	4 5.75	3.2325	0.0141	13 5 39.5	17.186	0.250	71.0	76 267 272 340	13 343
645	8.9	4 22.25	3.2443	0.0147	13 59 35.1	17.173	0.252	90.0	746 747 749	13 345
*646	10.1[6]	2 4 23.06	+3.2158	+0.0134	+11 44 35.5	+17.173	−0.249	90.0	747 749	— —
*647[7]	8.7	4 24.78	3.2157	0.0134	11 44 5.6	17.171	0.250	85.2	252 746 747 749	11 290
648	8.9	4 47.69*	3.2106	0.0132	11 17 42.1	17.154	0.250	83.9	252 746 811	11 291
649	8.8	5 3.69*	3.2093	0.0131	11 10 22.6	17.142	0.250	83.6	252 746 748	11 293
650	9.3	5 26.12	3.2470	0.0147	14 5 46.9	17.125	0.254	71.0	56 341	14 355

[1] BD 6.9; Schätz. 6.3 6.0 [2] 7.7 6.5 8.0 [3] BD 7.3; Schätz. 8.0 7.8 [4] Z. 72 [53″.7]
[5] Dpl. 8.4 8.6; med. [6] 9m.8 praec. 2s 2′ B. [7] 9m.3 praec. 2s 2′.8 B.; 9m.8 seq. 5s 2′.5 B.

Nr.	Gr.	A.R. 1875	Praec.	Var. saec.	Decl. 1875	Praec.	Var. saec.	Ep.	Zonen	B.D.
651	9.0	$2^h\ 5^m\ 49^s.77$	$+3^s.2116$	$+0^s.0132$	+11° 17' 37".4*	+17".107	−0".252	85.2	252 746 747 749	11° 294
652	7.9	5 56.73*	3.2377	0.0143	13 19 49.4	17.102	0.254	71.0	76 267 340	13 351
653	8.5	6 7.88	3.2116	0.0132	11 16 16.9	17.093	0.252	85.2	252 746 747 749	11 295
654	7.0[1]	6 14.30	3.2557	0.0151	14 41 33.9	17.088	0.256	71.0	56 341	14 357
655	8.7	6 15.50	3.2422	0.0145	13 39 16.4	17.087	0.255	71.0	76 267 272 340	13 352
656	8.6	2 6 19.57	+3.2270	+0.0138	+12 27 56.8	+17.084	−0.254	70.0	72 265	12 301
657	8.8	6 40.60	3.2465	0.0147	13 56 48.4	17.068	0.256	71.0	76 267 340	13 354
658[2]	9.1	7 12.10	3.1990	0.0126	10 12 2.1	17.044	0.253	69.5	1 269	10 299
659	8.0	7 29.44	3.2184	0.0134	11 41 54.7	17.031	0.255	83.6	252 746 748	11 300
660	8.8	8 13.54	3.2121	0.0131	11 8 53.1	16.997	0.256	89.9	746 748	11 304
661	8.8	2 8 16.32	+3.2186	+0.0134	+11 39 14.3*	+16.994	−0.256	83.6	252 748 753	11 305
662	8.8	8 18.68	3.2248	0.0137	12 7 35.4	16.993	0.257	70.0	72 265	12 308
663	9.1	8 29.11	3.2530	0.0149	14 15 49.1	16.984	0.259	71.0	56 341	14 362
664	8.6	8 41.75	3.2212	0.0135	11 49 10.1	16.975	0.257	84.3	252 811 812	11 307
665	8.9	8 59.98	3.2004	0.0126	10 11 15.8*	16.960	0.256	81.6	270 679 680	} 10 303
666	8.8	2 9 0.89	+3.2005	+0.0126	+10 11 24.0	+16.960	−0.256	76.1	6 Beob.	}
667	8.0	9 6.42*	3.2667	0.0154	15 14 15.9	16.956	0.262	89.9	746 748	15 322
668	8.6	9 10.93	3.2082	0.0129	10 46 38.2	16.952	0.257	70.7	1 269 270 326	10 306
669	8.1	9 42.15*	3.2221	0.0135	11 48 18.2	16.927	0.259	83.6	252 746 753	11 309
670	8.5	10 29.68	3.2504	0.0147	13 53 8.2	16.890	0.263	71.0	76 267 340	13 364
671	8.9	2 10 59.69	+3.2481	+0.0145	+13 40 3.8	+16.866	−0.263	71.0	76 267 340	13 365
*672	8.0	11 16.36	3.2514	0.0147	13 53 17.4	16.853	0.264	71.0	76 267 340	13 366
673	7.5[3]	11 20.26	3.2376	0.0141	12 51 4.5	16.850	0.263	70.0	72 265	12 315
674	8.7	11 47.29	3.2451	0.0144	13 22 20.2	16.829	0.264	78.6	5 Beob.	13 368
675	9.3[4]	12 3.62	3.2660	0.0152	14 53 55.2	16.816	0.267	71.0	56 341	14 375
676	7.2[5]	2 12 5.23	+3.2326	+0.0138	+12 24 45.5	+16.815	−0.264	70.0	72 265	12 317
677	8.7	12 14.23	3.2222	0.0134	11 37 0.1	16.808	0.263	83.6	252 746 753	11 315
678	9.0	12 33.35	3.2590	0.0149	14 19 55.5	16.792	0.267	71.0	56 341	14 378
679	9.0	12 36.77	3.2196	0.0133	11 23 47.8	16.790	0.264	83.6	252 746 748	11 318
680	8.4	13 25.93	3.2518	0.0146	13 43 21.6	16.750	0.268	71.0	76 267 340	13 371
681[6]	8.8	2 13 50.50	+3.2437	+0.0143	+13 5 47.1	+16.731	−0.268	71.0	76 267 340	13 374
682	8.9	14 32.44	3.2182	0.0132	11 9 9.1	16.697	0.267	83.6	252 746 748	11 323
683	9.0	14 41.84	3.2483	0.0144	13 21 43.8	16.689	0.270	71.0	76 267 340	13 378
684	8.0	14 57.06	3.2705	0.0153	14 56 46.2	16.677	0.272	71.0	56 341	14 383
685	8.7	15 8.24	3.2260	0.0135	11 41 12.7	16.668	0.269	83.6	252 746 748	11 326
686	8.6	2 15 25.65	+3.2389	+0.0140	+12 36 35.2	+16.654	−0.270	70.0	72 265	12 321
687	8.8	16 4.95	3.2177	0.0131	11 0 8.1	16.622	0.270	70.7	1 269 270 326	10 316
688	8.8	16 26.09	3.2700	0.0152	14 46 37.4	16.604	0.274	71.0	56 342	14 388
689	8.8	16 26.19	3.2709	0.0152	14 50 26.5*	16.604	0.275	80.5	56 342 746 748	14 387
*690	8.6	16 28.57	3.2710	0.0152	14 50 31.8*	16.602	0.275	80.5	56 342 746 748	14 389
691	8.0[7]	2 16 32.19	+3.2081	+0.0127	+10 15 57.1	+16.599	−0.270	76.1	6 Beob.	10 318
692	9.1	16 36.05	3.2632	0.0149	14 16 44.5	16.596	0.274	71.0	56 342	14 390
693	8.6	17 17.17	3.2235	0.0133	11 20 35.4	16.563	0.272	83.6	252 746 748	11 332
694	8.3[8]	17 36.91	3.2740	0.0153	14 57 25.3	16.546	0.277	71.0	56 342	14 392
*695	8.6[9]	17 39.30	3.2182	0.0131	10 55 59.3	16.544	0.272	70.7	1 269 270 326	10 321
696	8.7	2 17 43.70	+3.2764	+0.0154	+15 7 0.1	+16.541	−0.277	90.3	746 753 811	15 335
697	8.5	17 46.40	3.2392	0.0139	12 27 4.2	16.538	0.274	70.0	72 265	12 325
698	8.8	17 57.26	3.2563	0.0146	13 39 44.6	16.529	0.276	71.0	76 267 340	13 386
699	8.5	17 58.90	3.2163	0.0130	10 46 15.3	16.528	0.273	70.7	1 269 270 326	10 322
700[10]	8.8	18 1.33	3.2625	0.0148	14 6 7.1	16.526	0.276	80.5	56 342 746 748	14 393

[1] BD 6.0; Schätz. 7.0 [7.3]   [2] Sehr schwacher Stern seq. 5^s 1'B.   [3] 6.8 8.2; BD 6.8   [4] BD 8.8; Schätz. 9.3 [8.8]
[5] 6.7 7.8; BD 6.5   [6] 10^m praec. $1^s.5$ 1'.0 A.   [7] 7.0 8.2 8.4 8.4 8.1 8.0   [8] BD 7.3; Schätz. 8.5 8.2
[9] Dpl. med.   [10] $10^m.5$ seq. 3^s 25"B.

Nr.	Gr.	A.R. 1875	Praec.	Var. saec.	Decl. 1875	Praec.	Var. saec.	Ep.	Zonen	B.D.
701[1]	9.1	2h 18m 4s.38	+3s.2516	+0s.0144	+13° 19' 17".8	+16".523	−0".276	71.0	76 267 340	13° 387
702	8.7	18 8.82	3.2482	0.0142	13 4 13.1	16.520	0.275	70.0	72 265	12 326
703	8.3	18 22.09	3.2452	0.0141	12 50 3.0	16.509	0.276	70.0	72 265	12 327
704	8.8	18 30.20	3.2445	0.0141	12 46 44.5	16.502	0.276	70.0	72 265	12 328
705	8.6	18 31.17	3.2605	0.0147	13 55 16.0	16.501	0.277	71.5	76 267 340 342	13 388
*706	8.7	2 18 38.77	+3.2615	+0.0148	+13 58 42.1	+16.495	−0.277	71.5	76 267 340 342	13 389
707	7.3	18 50.66	3.2259	0.0134	11 24 50.3*	16.485	0.275	83.9	252 746 811	11 335
708	8.8	19 5.01	3.2337	0.0137	11 57 24.1	16.473	0.276	83.9	252 748 811	11 336
709	8.8	19 15.04	3.2257	0.0133	11 21 53.9	16.465	0.275	84.0	252 753 811	11 337
710	9.0	19 27.32	3.2155	0.0129	10 36 50.0	16.455	0.275	70.7	1 269 270 326	10 324
711	8.8	2 19 29.52	+3.2481	+0.0142	+12 57 10.0	+16.453	−0.278	70.0	72 265	12 331
712	7.8[2]	19 40.88	3.2396	0.0138	12 20 3.4	16.443	0.277	70.0	72 265	12 332
713	9.1	20 21.44	3.2286	0.0134	11 29 49.6	16.410	0.278	83.6	252 746 748	11 339
714	8.9	20 31.06	3.2556	0.0144	13 24 17.5	16.402	0.280	71.0	76 267 340	13 390
715	8.1	21 4.26	3.2419	0.0139	12 23 45.7	16.373	0.280	70.0	72 265	12 335
716	8.7	2 21 4.28	+3.2348	+0.0136	+11 53 33.4	+16.373	−0.279	83.6	252 746 748	11 340
717	9.1	21 13.20	3.2436	0.0139	12 30 28.2	16.366	0.280	80.3	72 265 753 811	12 337
718	8.7	21 19.55	3.2146	0.0129	10 25 59.8	16.361	0.278	70.7	1 269 270 326	10 326
719	8.9	21 29.70	3.2197	0.0131	10 47 19.8	16.352	0.279	70.7	1 269 270 326	10 327
720	8.5	21 45.20	3.2557	0.0144	13 19 0.9	16.339	0.282	71.0	76 267 340	13 395
721	8.3[3]	2 21 46.75*	+3.2398	+0.0138	+12 11 32.7*	+16.338	−0.281	80.3	72 265 748 811	12 338
722	8.6	22 3.79	3.2809	0.0154	15 2 25.4	16.323	0.285	71.0	56 342	14 408
723	8.3	22 11.70	3.2296	0.0134	11 26 35.8	16.317	0.281	83.9	252 746 811	11 345
724	9.0	22 35.32	3.2336	0.0135	11 42 7.9	16.297	0.282	92.5	746 R	11 346
725	9.0	23 1.54	3.2789	0.0152	14 49 14.3	16.274	0.286	71.0	56 342	14 410
726	9.1	2 23 32.16	+3.2789	+0.0152	+14 46 15.0	+16.248	−0.287	71.0	56 342	14 411
727	8.9	23 45.23	3.2636	0.0146	13 42 15.9	16.237	0.286	71.0	76 267 340	13 400
728	8.6	23 45.31	3.2177	0.0129	10 30 18.4	16.237	0.282	70.7	1 269 270 326	10 330
729	8.8	23 46.19	3.2756	0.0151	14 31 31.4	16.236	0.287	71.0	56 342	14 412
730	8.4	23 59.14	3.2518	0.0142	12 52 30.1	16.225	0.286	70.0	72 265	12 342
731[4]	8.5	2 24 7.26	+3.2596	+0.0144	+13 24 11.6	+16.218	−0.287	71.0	76 267 340	13 402
732	9.0	24 44.06	3.2353	0.0135	11 40 31.7	16.186	0.285	90.0	746 748 753	11 352
733	8.9	25 11.94	3.2197	0.0129	10 33 19.7	16.162	0.285	70.7	1 269 270 326	10 333
734	8.0[5]	25 24.96	3.2426	0.0138	12 7 56.6	16.151	0.287	70.0	72 265	12 346
735	8.9	25 36.46	3.2540	0.0142	12 54 14.5	16.141	0.288	70.0	72 265	12 347
736	8.7	2 25 37.19	+3.2197	+0.0129	+10 31 48.4	+16.141	−0.286	70.7	1 269 270 326	10 334
737	8.6	25 47.77	3.2793	0.0151	14 36 33.2	16.131	0.291	71.0	56 342	14 418
738	9.0	25 55.73	3.2201	0.0129	10 32 19.3	16.124	0.286	82.0	270 R	[10 335]
739	6.7	26 3.46	3.2777	0.0150	14 28 46.7	16.118	0.291	71.0	56 342	14 419
740	8.8	26 27.68*	3.2570	0.0143	13 2 34.2	16.097	0.290	82.0	5 Beob.	12 350
741	9.2	2 26 33.76	+3.2461	+0.0139	+12 17 44.8	+16.091	−0.289	89.9	746 748	12 351
742	8.9	26 40.34	3.2867	0.0154	15 1 58.4	16.086	0.293	71.0	56 342	14 421
743	8.9	26 50.75	3.2735	0.0149	14 7 53.3	16.076	0.292	77.3	56 342 748	14 423
744	8.3	27 16.46	3.2371	0.0135	11 37 50.9	16.054	0.290	71.7	5 Beob.	11 354
745	8.9	27 38.54	3.2320	0.0133	11 15 19.0	16.035	0.290	72.0	269 270 326 332	11 355
746	7.5[6]	2 27 41.02	+3.2291	+0.0132	+11 3 18.7	+16.033	−0.290	70.7	1 269 270 326	10 340
747	9.1	28 4.71	3.2855	0.0152	14 50 21.9	16.012	0.295	89.9	746 748	14 424
748	8.7	28 14.51	3.2731	0.0148	14 0 3.4	16.003	0.295	71.0	76 267 340	13 408
749	7.9[7]	28 33.35	3.2526	0.0140	12 35 42.5	15.987	0.293	70.0	72 265	12 354
750	8.8	28 39.99	3.2264	0.0131	10 48 27.6	15.981	0.291	70.7	1 269 270 326	10 345

[1] 9m.3 praec. 4s 13" B. [2] 7.3 8.4 [3] 8.1 8.7 7.8 8.5 [4] 9m.5 seq. 6s.5 10" B. [5] 7.5 8.6
[6] 6.0 7.7 8.0 8.2; BD 6.9 [7] 7.5 8.4

Nr.	Gr.	A.R. 1875	Praec.	Var. saec.	Decl. 1875	Praec.	Var. saec.	Ep.	Zonen	B.D.
751	8.3	2h 28m 53s.30	+3s.2629	+0s.0144	+13° 16′ 7″.1	+15″.969	−0″.295	71.0	76 267 340	13° 410
752	7.6	29 12.30	3.2624	0.0143	13 12 28.6	15.952	0.295	71.0	76 267 340	13 411
753	8.9	29 19.83	3.2380	0.0135	11 33 19.9	15.946	0.293	81.4	326 332 746 753	11 358
754	8.5	29 20.45	3.2835	0.0151	14 36 11.1	15.945	0.297	78.6	5 Beob.	14 428
755	8.8	29 24.98	3.2505	0.0139	12 23 46.8	15.941	0.294	70.0	72 265	12 357
756	8.4	2 29 30.97*	+3.2615	+0.0143	+13 7 21.9*	+15.936	−0.296	71.0	76 267 340	13 413
757	9.1	29 42.90	3.2388	0.0135	11 34 56.1	15.925	0.294	72.3	270 326 332	} 11 359
758	8.8	29 44.92	3.2390	0.0135	11 35 41.5	15.923	0.294	71.7	269 270 332	
759	6.5[1]	29 49.00	3.2436	0.0137	11 54 14.8	15.918	0.294	71.9	252 332	11 360
760	9.0	29 53.08*	3.2846	0.0151	14 38 2.4	15.916	0.298	78.6	5 Beob.	14 430
761	8.8	2 29 56.14	+3.2730	+0.0147	+13 51 52.6	+15.914	−0.297	73.0	76 267 340	13 416
762	8.3	30 18.28	3.2509	0.0139	12 21 34.5	15.894	0.296	70.0	72 265	12 359
763	8.6	30 18.40	3.2236	0.0129	10 30 51.6	15.894	0.293	70.7	1 269 270 326	10 350
764	8.6[2]	30 59.40	3.2421	0.0136	11 43 29.4	15.857	0.296	71.9	252 332	11 365
765	8.2	30 59.87	3.2704	0.0146	13 36 28.6	15.857	0.299	71.0	76 267 340	13 420
766	9.0	2 31 34.35	+3.2351	+0.0133	+11 12 57.0	+15.826	−0.296	83.6	252 746 748	11 366
*767	8.9[3]	32 3.13	3.2913	0.0153	14 53 47.6	15.800	0.302	80.0	56 272 746 748	14 438
*768	7.7[4]	32 8.18	3.2825	0.0150	14 19 8.0	15.796	0.302	80.0	56 272 746 748	} 14 439
*769	9.6	32 8.53	3.2825	0.0149	14 19 9.9	15.795	0.302	92.6	748 R	
770	8.1	32 15.70	3.2772	0.0147	13 57 49.5	15.789	0.300	71.0	76 267 340	13 422
771	7.6[5]	2 32 19.71	+3.2191	+0.0127	+10 5 51.7	+15.785	−0.296	76.2	6 Beob.	10 352
772	8.9	32 20.18	3.2775	0.0147	13 58 31.9	15.785	0.302	72.0	267 340	[13 423]
*773	9.0[6]	32 27.34*	3.2197	0.0127	10 7 50.3	15.778	0.297	84.2	270 684 686 826	[10 353]
774	9.0	32 45.12	3.2523	0.0139	12 17 25.1	15.762	0.300	90.0	746 753	12 366
775	8.8	33 1.55	3.2730	0.0146	13 37 51.2	15.747	0.302	71.0	76 267 340	13 424
776	8.6	2 33 28.03	+3.2541	+0.0139	+12 21 33.6	+15.724	−0.301	70.0	72 265	12 368
777	7.5[7]	33 38.01	3.2638	0.0142	12 59 19.4	15.715	0.302	70.0	72 265	12 370
778	8.3[8]	33 46.59	3.2973	0.0154	15 8 55.2	15.707	0.306	89.9	746 748	15 367
*779	9.7	33 49.70	3.2523	0.0138	12 13 8.6	15.704	0.302	93.1	811 R	[12 372]
780	9.3	33 51.52	3.2528	0.0138	12 14 58.2	15.702	0.302	93.1	813 R	12 373
*781	9.5	2 33 54.73	+3.2869	+0.0150	+14 28 1.7	+15.699	−0.305	93.1	811 R	} 14 444
*782	9.2	33 55.90	3.2868	0.0150	14 27 46.7	15.698	0.305	77.0	56 272 811	
783	8.7	34 22.30	3.2484	0.0136	11 55 33.2	15.674	0.302	83.6	252 746 753	11 371
*784	9.0[9]	34 28.43	3.2320	0.0131	10 50 31.2	15.669	0.301	71.4	252 269 270 326	10 357
785	8.6	34 35.39	3.2976	0.0154	15 6 19.7	15.662	0.307	90.4	748 811	15 374
786	9.0	2 35 9.95	+3.2786	+0.0147	+13 50 20.5	+15.631	−0.306	89.9	746 748	13 433
787	8.7	35 19.86	3.2823	0.0148	14 4 0.5	15.622	0.307	80.3	76 267 748 811	13 434
788	9.0	35 22.97	3.2575	0.0139	12 27 19.4	15.619	0.305	70.0	72 265	12 376
789	8.1[10]	35 29.20	3.2553	0.0138	12 18 41.6	15.613	0.305	70.0	72 265	12 377
790	8.2	35 36.30	3.2922	0.0151	14 40 56.5	15.607	0.308	77.0	56 272 811	14 448
791	7.3[11]	2 35 45.25	+3.2235	+0.0128	+10 12 26.7	+15.598	−0.302	76.1	6 Beob.	10 360
792	8.7	35 48.78	3.2540	0.0138	12 12 5.6	15.595	0.305	70.0	72 265	12 378
793	9.2	36 3.15	3.2624	0.0141	12 43 58.6	15.582	0.306	90.5	746 813	12 379
794	8.7	36 22.63	3.2233	0.0128	10 9 28.3	15.564	0.303	86.9	684 686	[10 361]
795	9.2	36 27.96	3.2444	0.0134	11 32 2.7	15.559	0.305	81.9	252 R	— —
796	8.8	2 36 52.23	+3.2951	+0.0152	+14 46 18.0	+15.537	−0.310	76.6	56 272 746	14 452
797	8.1[12]	36 55.92	3.2637	0.0141	12 45 26.4	15.534	0.308	70.0	72 265	12 381
798	8.2	37 1.25	3.2443	0.0134	11 29 49.9	15.529	0.306	83.6	252 748 753	11 375
799	8.6	37 6.97	3.2998	0.0153	15 2 52.1	15.523	0.311	77.0	37 272 811	14 454
800	8.4	37 17.21	3.2920	0.0150	14 32 23.2	15.514	0.311	77.0	56 272 813	14 456

[1] BD 5.1; Schätz. [5.0] 6.5 [2] BD 7.3; Schätz. [7.8] 8.6 [3] Dpl. med. [4] 7.7 8.3 7.2 7.5
[5] 6.7 7.3 7.8 7.7 8.2 8.2; BD 7.1 [6] 8.9 9.0 8.6 9.7 [7] 6.7 8.3 [8] BD 8.8 [9] Dpl. med. [10] 7.7 8.6
[11] 6.7 7.2 7.3 7.8 7.0 7.6 [12] BD 7.5; Schätz. 7.7 8.5

Nr.	Gr.	A.R. 1875	Praec.	Var. saec.	Decl. 1875	Praec.	Var. saec.	Ep.	Zonen	B.D.
801	6.0[1]	2h 37m 39s.78	+3s.2962	+0s.0152	+14° 46′ 52″.5	+15″.493	−0″.312	77.0	56 272 811	14° 457
802	8.9	38 8.79	3.2875	0.0148	14 11 37.8	15.466	0.312	80.0	56 272 746 748	14 459
803	5.1	38 9.08*	3.2519	0.0136	11 55 5.4	15.466	0.308	83.6	252 746 753	11 377
804	7.6	38 11.56	3.2799	0.0146	13 42 31.3	15.464	0.311	70.0	76 267	13 442
805	8.1[2]	38 18.81	3.2632	0.0140	12 38 7.3	15.457	0.310	70.0	72 265	12 386
806	8.3	2 38 35.38	+3.2755	+0.0144	+13 24 9.2	+15.442	−0.311	70.0	76 267	13 446
807	8.7	38 48.20	3.2271	0.0128	10 16 48.8	15.429	0.307	76.2	6 Beob.	10 367
808	9.1	39 17.29	3.2460	0.0134	11 28 28.2	15.402	0.310	83.9	252 748 811	11 382
809	9.5	39 18.14	3.2464	0.0134	11 29 42.8	15.402	0.310	92.5	748 R	— —
810	8.1	39 23.51	3.2935	0.0150	14 28 51.0	15.397	0.314	76.6	56 272 746	14 462
811	8.7	2 39 28.86*	+3.2428	+0.0133	+11 15 15.3*	+15.392	−0.310	84.3	252 811 813	11 383
812	7.7[3]	40 5.37	3.2508	0.0135	11 44 5.6	15.357	0.311	83.9	252 746 811	11 385
813	8.6	40 12.37	3.2539	0.0136	11 55 25.7	15.351	0.312	84.3	252 813 814	11 386
814	8.3	40 13.32	3.2536	0.0136	11 54 3.9	15.350	0.312	84.3	252 813 814	11 387
815	8.3	40 16.90	3.2993	0.0151	14 40 46.3	15.347	0.316	70.0	56 272	14 466
816	8.2	2 40 44.52	+3.2987	+0.0151	+14 42 25.6	+15.321	−0.317	70.0	56 272	14 467
817	8.7	40 53.59	3.2921	0.0148	14 17 10.4	15.312	0.316	70.0	56 272	14 468
818	7.4[4]	41 5.26	3.3036	0.0152	14 59 4.4	15.301	0.318	71.0	56 342	14 469
819	8.9	41 33.63	3.2631	0.0139	12 25 38.1	15.274	0.315	90.0	746 748 753	12 388
820	9.0	41 42.40	3.3028	0.0152	14 53 21.5*	15.266	0.319	80.2	56 272 746 811	14 470
821	8.3[5]	2 41 53.95	+3.2901	+0.0147	+14 5 29.0*	+15.255	−0.318	80.3	56 272 748 811	14 471
822	8.5	41 56.56	3.2649	0.0139	12 30 47.8	15.253	0.315	70.0	72 265	12 389
823	9.1	42 1.47*	3.2550	0.0136	11 53 11.3	15.248	0.315	84.3	252 811 813	11 395
824	8.9	42 6.74	3.2794	0.0144	13 24 38.9	15.243	0.317	91.1	813 814	13 454
825	9.2	42 40.58	3.2513	0.0134	11 36 59.0*	15.211	0.315	81.9	252 R	[11 396]
826	9.1	2 42 41.75	+3.2847	+0.0145	+13 42 4.4	+15.210	−0.319	90.0	746 753	13 455
*827	9.0	42 56.94	3.2517	0.0135	11 37 30.2	15.195	0.316	84.3	252 811 813	} 11 397
*828	9.0	42 56.95	3.2519	0.0135	11 38 0.5	15.195	0.316	91.1	811 813	
829	8.0	43 5.01	3.2600	0.0137	12 8 10.6	15.188	0.317	70.0	72 265	12 392
830	8.0	43 21.71	3.2772	0.0142	13 11 27.7	15.172	0.319	70.0	76 267	13 456
831	8.6	2 43 31.87	+3.2438	+0.0132	+11 5 44.6	+15.162	−0.316	84.3	252 813 814	11 398
832	8.4	43 36.42	3.2732	0.0141	12 55 46.8	15.158	0.319	70.0	72 265	12 395
833	8.6	43 39.40	3.3102	0.0153	15 12 10.8	15.155	0.322	89.9	746 748	15 395
834	8.8	43 40.40*	3.2284	0.0127	10 6 38.2	15.154	0.315	76.2	6 Beob.	10 374
835	8.5	43 43.26	3.2481	0.0133	11 21 16.6	15.151	0.317	86.0	252 811 813 814	11 399
836	8.9	2 43 49.21	+3.2408	+0.0131	+10 53 16.8	+15.145	−0.316	70.7	1 269 270 326	10 375
837	8.6	43 55.35	3.2910	0.0147	14 0 35.6	15.140	0.321	70.0	76 267	13 458
838	9.0	44 30.26	3.2687	0.0139	12 35 42.1	15.106	0.320	70.0	72 265	12 396
839	6.0[6]	44 35.67	3.3008	0.0150	14 33 56.8	15.101	0.323	70.0	56 272	14 480
840	8.6	44 38.60	3.2750	0.0141	12 58 33.4	15.098	0.321	70.0	72 265	12 397
841	8.7	2 44 53.84	+3.2873	+0.0145	+13 43 4.6	+15.083	−0.322	70.0	76 267	13 460
842	8.9	45 7.97	3.2775	0.0142	13 6 1.4	15.070	0.322	70.0	76 267	13 463
843	8.5	45 11.66	3.2404	0.0130	10 47 28.7	15.066	0.318	70.7	1 269 270 326	10 379
844	8.6	45 11.89	3.2417	0.0131	10 52 10.1	15.066	0.318	70.7	1 269 270 326	10 380
845	8.7	45 20.44	3.2324	0.0128	10 16 51.3	15.058	0.318	87.0	688 690	[10 382]
846	8.5	2 45 30.82	+3.2954	+0.0147	+14 10 16.3	+15.048	−0.324	70.0	56 272	14 482
847	9.0	45 49.61	3.2354	0.0128	10 26 49.6	15.030	0.319	70.7	1 269 270 326	10 384
848	8.9	45 51.86	3.2861	0.0144	13 34 52.3	15.028	0.324	70.0	76 267	13 464
849	8.9	46 7.29	3.2680	0.0138	12 27 23.6	15.013	0.322	80.0	72 265 746 748	12 402
*850	8.8	46 7.34	3.2310	0.0127	10 9 20.6	15.013	0.319	87.0	688 690	10 385 pr.

[1] 5.0 7.3 5.8; Ref. 1892 Dec. 21 5.0, weiss [2] 7.5 8.7 [3] 8.0 8.0 7.0 [4] 6.8 8.0 [5] 8.6 8.6 7.7 8.2
[6] Gr. nach BD; Schätz. 4.5 8.0; Ref. 1892 Dec. 21 5.5, gelb

Nr.	Gr.	A.R. 1875	Praec.	Var. saec.	Decl. 1875	Praec.	Var. saec.	Ep.	Zonen	B.D.
*851	8.7	2h 46m 7s.85	+3s.2310	+0s.0127	+10° 9′ 17″.3	+15″.012	−0″.319	87.0	688 690	10° 385 s.
852	8.9	46 31.30	3.2528	0.0133	11 29 27.9	14.990	0.321	83.6	252 746 748	11 406
*853	10.3	46 39.02	3.2580	0.0135	11 48 24.3	14.982	0.322	92.6	748 R	} 11 407
*854	9.0	46 39.14	3.2580	0.0135	11 48 14.2	14.982	0.322	83.6	252 746 748	}
855	8.4[1]	46 45.44	3.2966	0.0147	14 9 27.3	14.976	0.326	70.0	56 272	14 484
856	8.7	2 47 0.47	+3.3094	+0.0151	+14 54 55.1	+14.961	−0.328	70.0	56 272	14 485
857	7.8	47 4.79	3.2895	0.0145	13 42 25.8	14.957	0.326	70.0	76 267	13 466
858	8.9	47 8.52	3.2907	0.0145	13 46 48.9	14.953	0.326	90.0	746 753	13 467
859	8.4[2]	47 22.34	3.3110	0.0151	14 59 5.8	14.940	0.328	80.8	56 272 811 813	14 487
860	8.4	47 25.04	3.2753	0.0140	12 49 26.5	14.937	0.325	70.0	72 265	12 404
861	9.0	2 47 27.06	+3.2720	+0.0139	+12 37 7.7	+14.935	−0.325	70.0	72 265	12 405
862	8.5[3]	47 34.50	3.2425	0.0130	10 47 54.4	14.928	0.322	70.7	1 269 270 326	10 388
863	8.2	47 48.03	3.2692	0.0138	12 25 45.6	14.915	0.325	90.0	746 753	12 406
864	8.8	47 52.34	3.2808	0.0141	13 7 42.7	14.911	0.326	70.0	76 267	13 470
865	8.9	48 1.48	3.3016	0.0148	14 22 50.7	14.902	0.329	70.0	56 272	14 489
866	9.1	2 48 5.59	+3.2664	+0.0137	+12 14 26.0	+14.898	−0.325	89.9	746 748	12 407
867	8.3	48 8.15	3.2792	0.0141	13 1 11.0	14.895	0.327	70.0	72 265	12 408
868	8.9	48 14.63	3.2999	0.0147	14 15 39.9	14.889	0.329	70.0	56 272	14 490
869	8.8	48 14.74	3.2461	0.0131	10 58 58.1	14.889	0.323	70.7	1 269 270 326	10 390
870	8.1[4]	48 46.94	3.2994	0.0147	14 11 55.5	14.857	0.329	70.0	56 272	14 492
871	8.4	2 48 47.14	+3.2741	+0.0139	+12 40 11.5	+14.857	−0.327	80.3	72 265 748 811	12 410
872	8.4	49 18.28	3.2829	0.0142	13 10 11.6	14.827	0.329	70.0	76 267	13 475
873	8.5	49 19.68	3.2713	0.0138	12 27 57.1	14.825	0.328	70.0	72 265	12 411
874	8.7	49 20.82	3.2869	0.0143	13 24 30.0	14.824	0.329	70.0	76 267	13 476
875	9.0	49 24.21	3.2698	0.0137	12 22 18.3	14.821	0.328	70.0	72 265	12 412
876	8.8	2 49 58.42	+3.2991	+0.0146	+14 6 13.0	+14.787	−0.331	70.0	56 272	14 495
877	8.7	50 11.62	3.2339	0.0126	10 8 21.3	14.774	0.325	76.1	6 Beob.	10 393
878	8.9	50 17.11	3.3083	0.0149	14 37 43.6	14.769	0.333	70.0	56 272	14 496
879	8.7	50 22.17	3.2366	0.0127	10 17 53.1	14.764	0.326	86.9	685 687	[10 394]
880	9.0	50 27.75	3.3012	0.0147	14 11 30.1	14.758	0.332	70.0	56 272	14 497
*881	8.9	2 50 40.21	+3.2953	+0.0145	+13 49 43.6	+14.746	−0.332	70.0	76 267	} 13 480
*882	9.2	50 41.86	3.2953	0.0145	13 49 43.7	14.744	0.332	81.5	76 R	}
883	8.7	50 55.49	3.2911	0.0143	13 33 56.8	14.731	0.332	70.0	76 267	13 482
884	8.7	51 44.25	3.3103	0.0149	14 39 7.8	14.682	0.335	70.0	56 272	14 499
885	7.2	51 53.78	3.2844	0.0141	13 6 18.1	14.673	0.333	70.0	76 267	13 484
886	8.8	2 52 10.59	+3.2750	+0.0138	+12 31 28.0	+14.656	−0.332	70.0	72 265	12 419
887	9.0	52 21.03	3.3117	0.0149	14 41 40.4	14.646	0.336	70.0	56 272	14 501
888	9.1	52 32.43	3.2582	0.0133	11 30 3.8	14.634	0.331	81.9	252 R	[11 417]
889	8.9	53 2.10	3.2583	0.0132	11 28 44.8	14.605	0.332	83.6	252 746 748	11 419
890	8.0	53 18.49*	3.2366	0.0126	10 9 33.8	14.588	0.330	75.7	7 Beob.	10 399
*891	9.0	2 53 27.04	+3.3017	+0.0145	+14 1 57.8	+14.580	−0.337	89.9	746 748	} 13 490
*892	9.5	53 27.22	3.3016	0.0145	14 1 51.3	14.580	0.337	89.9	746 748	}
893	8.9	53 49.28*	3.2394	0.0127	10 18 5.6*	14.557	0.331	75.1	8 Beob.	10 400
894	8.3	53 55.27	3.2760	0.0137	12 29 14.2	14.552	0.335	70.0	72 265	12 422
895	6.8[5]	53 57.45	3.2407	0.0127	10 22 24.9	14.549	0.331	71.1	6 Beob.	10 401
896	8.1[6]	2 53 59.26	+3.3108	+0.0148	+14 32 9.0	+14.548	−0.338	70.0	56 272	14 502
897	9.0	54 11.41	3.2546	0.0131	11 12 0.6	14.535	0.333	71.9	252 269 326 342	11 421
898	8.5	54 22.16	3.3104	0.0147	14 29 12.9	14.525	0.339	70.0	56 272	14 503
899	9.0	54 34.91	3.2764	0.0137	12 28 32.9	14.512	0.336	70.0	72 265	12 423
900	9.1	54 46.48	3.2615	0.0133	11 34 43.6	14.500	0.335	71.8	5 Beob.	11 422

[1] BD 7.6; Schätz. 8.3 8.5 [2] BD 8.9; 9m.8 seq. 7s 20″A. [3] BD 8.0 [4] BD 7.0
[5] 6.5 6.3 6.7 7.3 7.3 7.0; orangeroth [6] BD 7.5; Schätz. 7.8 8.4

Nr.	Gr.	A.R. 1875	Praec.	Var. saec.	Decl. 1875	Praec.	Var. saec.	Ep.	Zonen	B.D.
901	8.8	2h 55m 1s.70	+3s.2779	+0s.0137	+12° 32' 31".2	+14".485	−0".337	70.0	72 265	12° 425
*902	8.8	55 2.24	3.2412	0.0127	10 21 25.7	14.484	0.333	71.9	269 326	10 402
903	8.7	55 4.43	3.2814	0.0138	12 44 42.3	14.482	0.337	70.0	72 265	12 426
904	9.1	55 35.33	3.2856	0.0139	12 57 37.5	14.451	0.338	89.9	746 748	12 427
905	8.5	55 58.10	3.2447	0.0128	10 31 9.2	14.428	0.335	71.1	6 Beob.	10 404
906	9.1	2 56 17.44	+3.2561	+0.0131	+11 11 0.8	+14.408	−0.336	82.0	265 R	[11 425]
907	8.7	56 30.20*	3.2436	0.0127	10 25 55.6	14.395	0.335	70.8	5 Beob.	10 405
908	8.9	56 33.91	3.2526	0.0129	10 57 46.1	14.391	0.336	70.5	6 Beob.	10 406
909	8.0	56 39.39	3.3041	0.0144	13 58 47.5	14.386	0.342	80.0	76 267 746 748	13 494
910	8.2	56 42.16	3.2400	0.0126	10 12 20.6	14.383	0.335	77.4	5 Beob.	10 408
911	8.7	2 57 33.28	+3.2481	+0.0128	+10 38 50.2	+14.331	−0.337	71.1	6 Beob.	10 411
912	7.5	57 56.68	3.2938	0.0141	13 18 30.2	14.307	0.343	70.0	76 267	13 496
913	9.1	58 6.09	3.2582	0.0130	11 13 8.2	14.297	0.339	71.4	252 269 270 326	11 429
914[1]	8.5	58 7.27	3.2745	0.0135	12 10 18.1	14.296	0.341	80.0	72 265 746 748	12 434
915	8.8	58 13.27	3.3078	0.0145	14 5 57.3	14.290	0.344	70.0	56 272	14 509
916	8.1[2]	2 58 17.11*	+3.2428	+0.0126	+10 18 5.1	+14.286	−0.338	74.6	8 Beob.	10 412
917	8.7	58 20.60	3.2664	0.0133	11 41 18.9	14.283	0.340	83.6	252 746 748	11 430
918	9.1	58 24.44	3.2904	0.0139	13 5 3.8	14.279	0.343	82.0	272 R	[12 435]
919	8.5[3]	58 31.42	3.3027	0.0143	13 47 15.2	14.272	0.344	70.0	76 267	13 499
920	8.5	58 53.86	3.3030	0.0143	13 46 53.2	14.249	0.345	70.0	76 267	13 501
921	8.5	2 58 57.45	+3.2933	+0.0140	+13 13 11.2	+14.245	−0.344	70.0	76 267	13 503
922	9.0	59 4.54	3.2911	0.0139	13 5 17.3*	14.237	0.344	77.8	5 Beob.	13 504
923	9.0	59 25.55	3.2631	0.0131	11 26 44.6*	14.216	0.342	80.8 79.0	6 Beob.	11 433
924	7.9	59 28.69	3.2586	0.0130	11 10 45.8	14.213	0.341	71.0	6 Beob.	11 434
925	6.0[4]	59 32.13	3.2849	0.0137	12 42 12.1	14.209	0.344	70.0	72 265	12 436
926	8.7[5]	2 59 39.87	+3.2585	+0.0130	+11 9 42.8	+14.201	−0.342	71.6	269 270 326	11 436
927	8.7	59 43.90	3.3127	0.0145	14 17 21.2	14.197	0.347	70.0	56 272	14 511
928	9.3	3 0 18.28	3.2934	0.0139	13 8 58.5	14.162	0.346	89.9	746 748	13 506
929	8.5[6]	0 20.58	3.3210	0.0147	14 43 11.3	14.159	0.349	70.0	56 272	14 513
930	8.9[7]	0 44.39	3.3236	0.0148	14 50 39.4	14.135	0.350	81.0	80 R	[14 515]
931	8.8	3 0 49.58	+3.3115	+0.0144	+14 9 5.2	+14.129	−0.349	70.0	56 272	14 516
932	8.9	0 52.24	3.2887	0.0138	12 50 51.0*	14.127	0.346	69.5	61 72 78 265	12 439
933	8.6	1 13.88	3.3056	0.0142	13 47 51.1*	14.104	0.349	79.8	6 Beob.	13 507
934	8.3	1 20.71	3.2863	0.0137	12 41 15.0	14.097	0.347	69.5	61 72 78 265	12 441
935	8.9	1 28.93	3.2887	0.0137	12 49 3.1*	14.089	0.347	83.0	65 746 748	12 444
936	8.8	3 1 29.36	+3.2931	+0.0139	+13 4 3.0	+14.088	−0.348	69.0	61 78	12 443
937	7.9[8]	1 39.07*	3.2455	0.0126	10 18 56.4	14.078	0.343	74.3	8 Beob.	10 418
938	8.3[9]	1 47.01	3.3250	0.0148	14 51 39.7	14.070	0.351	70.0	56 272	14 518
939	8.8	1 48.48	3.2730	0.0133	11 53 53.1	14.068	0.346	71.0	65 269 270 326	11 439
940	9.0	1 58.48*	3.3064	0.0142	13 47 46.2	14.058	0.350	81.5	146 R	[13 510]
941	7.6[10]	3 2 9.70	+3.2817	+0.0135	+12 22 45.5	+14.046	−0.347	69.0	61 78	12 445
942	8.7	2 12.84	3.3048	0.0142	13 41 34.8	14.043	0.350	69.6	65 146	13 513
943	8.8	2 22.10	3.2748	0.0133	11 58 23.6	14.033	0.347	90.0	748 751 753	11 442
944	8.3	2 54.80	3.3323	0.0149	15 12 1.2	13.999	0.354	90.5	746 813	15 438
945	8.4	2 57.42	3.2984	0.0139	13 17 22.7	13.996	0.350	70.1	80 144 272	13 514
946	8.5	3 3 2.00	+3.2972	+0.0139	+13 12 57.2	+13.992	−0.350	69.6	65 146	13 515
947	8.6[11]	3 3.32*	3.3272	0.0147	14 54 13.6	13.990	0.354	90.6	751 813	14 524
948	8.9	3 23.59*	3.2688	0.0131	11 34 41.8*	13.969	0.348	79.8	65 146 748 751	11 444
949	9.3	3 24.12	3.3322	0.0149	15 9 38.3*	13.968	0.355	78.4	80 272 R	[15 440]
950	6.8[12]	3 49.28	3.2660	0.0130	11 23 50.2	13.942	0.348	69.0	54 68	11 445

[1] 10m.0 praec. 0s.5 1'B. [2] Z. 72 7.0 [3] BD 9.0 [4] 5.0 7.0, gelb; BD 5.2 [5] Ref. 1892 Dec. 21 7.5, gelb
[6] BD 8.0 [7] Nur Z. 80; BD 9.5 [8] BD 7.3; Schätz. 7.5 8.1 7.5 8.0 8.2 [8.8] 7.8 8.0 [9] BD 7.8; Schätz. 8.3 8.4
[10] BD 6.8; Schätz. 7.3 8.0 [11] BD 9.0 [12] 7.3 6.3

Nr.	Gr.	A.R. 1875	Praec.	Var. saec	Decl. 1875	Praec.	Var. saec.	Ep.	Zonen	B.D.
951	8.6	3h 3m 51s.25	+3s.3095	+0s.0142	+13° 52′ 5″.3	+13″.940	−0″.353	80.1	65 146 751 813	13° 519
952	8.5	3 51.26	3.3279	0.0147	14 53 54.0	13.940	0.355	70.1	80 272	14 526
953	8.4	4 5.35	3.2950	0.0138	13 2 11.8	13.925	0.352	69.0	61 78	12 450
954	9.1	4 7.71	3.2792	0.0134	12 8 20.8	13.923	0.350	69.0	61 78	12 451
955	8.9	4 21.47	3.3346	0.0149	15 14 6.9*	13.908	0.356	90.0	748 751	15 443
956	6.9[1]	3 4 30.15	+3.2872	+0.0136	+12 34 20.7	+13.899	−0.351	69.0	61 78	12 452
957	8.8	4 54.99	3.2542	0.0127	10 40 20.9	13.873	0.349	69.0	54 68	10 421
958	8.8	5 8.72*	3.2512	0.0126	10 2 29.7	13.858	0.349	69.0	54 68	10 422
959	8.8	5 11.54	3.2639	0.0129	11 13 2.3	13.856	0.350	83.3	146 746 751	11 448
960	8.8	5 20.86	3.3056	0.0140	13 34 0.7	13.846	0.355	69.0	61 78	13 521
961	8.1[2]	3 6 6.79	+3.2549	+0.0126	+10 39 44.4	+13.797	−0.350	69.0	54 68	10 425
962	7.9[3]	6 15.07	3.2574	0.0127	10 47 51.9	13.788	0.351	81.6	5 Beob.	10 427
963	8.9	6 16.06	3.2508	0.0125	10 25 8.5	13.787	0.350	69.0	54 68	10 426
964	8.8	6 28.84	3.3124	0.0141	13 53 2.1	13.774	0.357	69.0	61 78	13 524
965	8.8	6 29.87	3.2626	0.0128	11 5 1.7	13.773	0.352	90.6	751 813	11 451
966	7.3	3 7 10.23	+3.3356	+0.0147	+15 7 19.6	+13.730	−0.360	83.0	80 746 748	15 450
967	8.2[4]	7 11.98	3.3049	0.0139	13 25 34.1	13.728	0.357	69.6	65 146	13 526
968	8.6	7 35.18	3.2905	0.0135	12 36 22.9	13.703	0.356	69.0	61 78	12 453
969	8.9	7 40.13	3.2832	0.0133	12 11 26.1	13.698	0.355	69.0	61 78	12 455
970	8.7[5]	7 53.78	3.3352	0.0147	15 3 42.4	13.684	0.361	81.5	144 R	[14 537]
971	8.9	3 8 2.54	+3.2922	+0.0135	+12 40 32.3	+13.674	−0.357	69.0	61 78	12 457
972	9.0	8 4.77*	3.2795	0.0132	11 57 57.8*	13.672	0.356	81.6	5 Beob.	11 454
973	9.2	8 20.52	3.2838	0.0133	12 11 33.0	13.655	0.356	69.0	61 78	12 458
974	8.4	8 23.52	3.3135	0.0141	13 50 16.5	13.652	0.360	69.6	65 146	13 529
975	8.4	9 12.26	3.2662	0.0128	11 9 51.5	13.600	0.356	69.0	54 68	11 456
976	8.6	3 9 31.11	+3.3064	+0.0138	+13 23 16.6	+13.580	−0.360	69.6	65 146	13 530
977	9.0	9 34.95*	3.3392	0.0147	15 10 34.3	13.575	0.364	76.4	80 144 746	[15 458]
978[6]	8.4	9 43.14*	3.3398	0.0147	15 12 3.4*	13.567	0.364	81.8	5 Beob.	15 459
979	8.6	10 13.68	3.3356	0.0146	14 56 44.1	13.534	0.365	69.6	80 144	14 545
980	9.0[7]	10 24.33	3.3077	0.0138	13 24 47.7	13.522	0.362	81.0	65 R	[13 534]
981	7.1	3 10 58.08	+3.3077	+0.0138	+13 23 13.2	+13.486	−0.363	69.6	65 146	13 535
982	7.8[8]	11 22.96	3.2895	0.0133	12 21 53.0	13.459	0.361	69.0	61 78	12 460
983	7.7	11 29.34	3.3329	0.0144	14 43 43.0	13.452	0.366	69.6	65 146	14 550
984	9.3	12 12.44*	3.3412	0.0146	15 8 0.7	13.405	0.368	81.0	80 R	— —
985	8.3	12 22.08	3.2836	0.0131	11 59 42.1	13.395	0.362	69.6	65 146	11 459
986	9.0	3 12 23.62	+3.2909	+0.0133	+12 23 28.6	+13.393	−0.363	69.0	61 78	12 464
987	8.7	12 36.88	3.2868	0.0131	12 9 34.8	13.379	0.363	69.0	61 78	12 466
988	9.2	12 47.99	3.2759	0.0129	11 32 59.5	13.367	0.362	69.0	54 68	11 460
989	7.7	12 58.43	3.3011	0.0135	12 55 18.3	13.355	0.365	69.0	61 78	12 467
990[9]	9.0	13 0.15	3.3094	0.0137	13 22 26.0	13.354	0.366	90.0	746 748 751	13 537
991	8.5[10]	3 13 3.58	+3.3433	+0.0146	+15 12 8.4	+13.350	−0.370	69.6	80 144	15 468
992	8.7	13 30.34	3.3163	0.0139	13 43 15.8	13.321	0.367	69.0	61 78	13 538
993	7.6	13 41.15	3.2828	0.0130	11 53 30.8	13.309	0.364	69.6	65 146	11 462
994	8.2	14 30.97	3.2524	0.0122	10 10 41.4	13.254	0.362	88.7	5 Beob.	10 432
995	8.8	14 52.35	3.2794	0.0129	11 39 4.6	13.231	0.365	69.6	65 146	11 463
996	8.9	3 14 53.76	+3.2563	+0.0123	+10 22 45.9	+13.229	−0.363	69.0	54 68	10 433
997	8.5	16 57.01	3.3133	0.0136	13 23 28.4	13.094	0.371	69.0	61 78	13 541
998	8.8	17 2.58	3.2764	0.0127	11 23 42.6	13.088	0.368	81.0	68 R	[11 466]
999	6.1	17 17.54	3.2912	0.0130	12 11 5.6	13.071	0.370	69.0	61 78	12 473
1000	8.7	17 24.98	3.2771	0.0127	11 24 59.9	13.063	0.368	69.0	54 68	11 467

[1] BD 6.3; Schätz. 6.8 7.0 [2] 8.6 7.7 [3] 8.7 8.0 8.1 7.5 7.4 [4] BD 8.8; 8.0 8.4 [5] Nur Z. 144; BD 9.2
[6] 9m.2 praec. 8s 1′.7 A. [7] Nur Z. 65; BD 9.5 [8] [7.7] 7.8; BD 7.0 [9] 9m.5 praec. 2s 2′.4 B. [10] BD 9.0; Schätz. 8.6 8.5

Nr.	Gr.	A.R. 1875	Praec.	Var. saec.	Decl. 1875	Praec.	Var. saec.	Ep.	Zonen	B.D.
1001	8.2	$3^h\ 17^m\ 46^s.62$	$+3^s.3355$	$+0^s.0141$	$+14°\ 31'\ 46''.6$	$+13^s.039$	$-0^s.375$	69.6	80 144	14° 559
1002	7.5[1]	18 15.86	3.2615	0.0123	10 32 1.3	13.007	0.367	69.0	54 68	10 438
1003	7.5	18 18.21	3.2894	0.0129	12 2 34.2	13.004	0.371	69.6	65 146	11 469
1004	7.9	18 28.16	3.3195	0.0137	13 38 42.3	12.993	0.374	90.6	751 813	13 545
1005	8.7	18 47.02	3.3110	0.0134	13 10 44.7	12.972	0.374	69.0	61 78	13 548
1006	9.0	3 18 54.92	+3.2723	+0.0125	+11 5 47.8	+12.963	−0.370	69.0	54 68	11 472
1007	9.0	19 12.49*	3.3240	0.0137	13 50 58.2	12.943	0.376	86.8	144 R(2)	— —
1008	8.5	19 17.33	3.2901	0.0129	12 2 29.5	12.938	0.372	69.6	65 146	11 474
1009	8.7	19 31.58	3.3247	0.0137	13 52 9.5	12.922	0.376	69.6	80 144	13 550
1010	8.8	19 33.75	3.2808	0.0127	11 31 51.4	12.920	0.371	69.6	65 146	11 475
1011[2]	8.9	3 20 9.26	+3.3470	+0.0142	+15 0 29.0	+12.880	−0.380	69.6	80 144	14 562
1012	8.7	20 16.74	3.3084	0.0133	12 58 15.0	12.871	0.375	69.0	61 78	12 475
1013	6.1[3]	20 25.65	3.2958	0.0130	12 17 49.3	12.862	0.374	69.0	61 78	12 477
1014	9.0	21 27.93	3.2963	0.0129	12 16 41.5	12.792	0.376	69.0	61 78	12 478
1015	8.7	21 37.75	3.3230	0.0136	13 40 48.8	12.781	0.379	69.6	65 146	13 554
1016	7.1	3 21 46.52	+3.2718	+0.0124	+10 57 24.1	+12.771	−0.373	69.0	54 68	10 444
1017	7.0	21 59.84	3.3402	0.0140	14 33 46.6	12.756	0.381	69.6	80 144	14 565
1018	9.1	22 9.34	3.3283	0.0137	13 55 54.1	12.746	0.380	90.6	751 813	13 556
1019	8.8	22 10.41	3.2786	0.0125	11 18 15.1	12.744	0.375	69.6	65 146	11 479
1020	8.8	22 23.22	3.3452	0.0141	14 47 58.2	12.730	0.382	80.3	80 144 813 814	14 566
1021	9.2	3 23 4.00	+3.3261	+0.0136	+13 46 31.2	+12.684	−0.381	80.1	80 144 751 813	13 558
1022	8.9	23 11.19	3.2897	0.0127	11 51 15.7	12.676	0.377	69.6	65 146	11 481
1023	9.9[4]	23 12.31	3.3271	0.0136	13 49 18.6	12.675	0.381	90.6	751 813	[13 560]
1024	8.5	23 14.70	3.3272	0.0136	13 49 17.7	12.672	0.381	80.1	80 144 751 813	13 561
1025	8.8	23 15.98	3.2729	0.0123	10 57 23.9	12.670	0.375	69.0	54 68	10 451
1026	8.4	3 23 22.16	+3.3015	+0.0129	+12 28 19.7	+12.663	−0.379	69.0	61 78	12 485
1027	4.7[5]	23 34.69	3.2721	0.0123	10 54 22.6	12.649	0.376	69.0	54 68	10 452
1028	8.7	23 40.63	3.2757	0.0124	11 5 30.1	12.642	0.376	69.6	65 146	11 483
1029	9.0	23 45.45	3.2823	0.0125	11 26 15.0	12.637	0.377	80.3	65 146 813 814	11 484
1030	8.4	23 48.10	3.3285	0.0136	13 51 54.2	12.634	0.382	80.1	80 144 751 814	13 563
1031	**4.0**	**3 23 58.42**	**+3.3027**	**+0.0129**	**+12 30 24.0**	**+12.622**	**−0.380**		**Fund. Cat.**	**12 486**
1032	8.6	24 13.93	3.3152	0.0132	13 9 2.0	12.605	0.381	69.0	61 78	13 565
1033	8.9	24 25.68	3.3366	0.0137	14 15 24.7	12.592	0.384	91.1	813 814	14 569
1034	9.6	25 20.05	3.2773	0.0123	11 6 55.2	12.530	0.378	90.6	751 813	— —
1035	6.8[6]	25 21.13	3.2774	0.0123	11 7 2.3	12.528	0.378	80.1	65 146 751 813	11 487
1036	8.4	3 25 33.02	+3.2931	+0.0126	+11 56 14.3	+12.515	−0.381	69.6	65 146	11 488
1037	8.6	25 37.98	3.2623	0.0120	10 18 35.3	12.509	0.377	77.9	54 68 684 686	10 454
1038	8.3	25 53.10	3.3549	0.0141	15 7 21.1	12.492	0.388	69.6	80 144	15 499
1039	8.7	26 19.27	3.3551	0.0140	15 6 49.1	12.462	0.389	80.1	80 144 751 813	15 500
1040	7.9[7]	26 25.27	3.3211	0.0132	13 21 32.7	12.455	0.385	69.6	65 146	13 568
1041	8.8	3 26 29.21	+3.3003	+0.0128	+12 16 36.2	+12.451	−0.383	69.0	61 78	12 491
1042	8.1	26 37.62	3.3386	0.0136	14 15 18.4	12.441	0.387	69.6	80 144	14 575
1043	9.0	26 55.49	3.3575	0.0141	15 12 15.0	12.421	0.390	90.6	751 813	15 502
1044	8.6	27 36.70	3.3298	0.0134	13 45 15.7	12.373	0.387	69.0	61 78	13 569
1045	8.2	28 14.02	3.2700	0.0120	10 37 34.8	12.330	0.381	69.0	54 68	10 460
1046	8.5	3 28 27.22	+3.2769	+0.0121	+10 58 40.6	+12.315	−0.382	69.0	54 68	10 461
1047	9.3	28 31.13	3.3306	0.0133	13 45 29.8	12.311	0.389	90.6	751 813	13 571
1048	8.9	29 30.55	3.3370	0.0134	14 2 25.3	12.242	0.391	90.6	751 813	13 572
1049	8.8	29 34.40	3.3206	0.0130	13 11 47.9	12.238	0.389	69.6	80 144	13 573
1050	8.3	29 35.34	3.2895	0.0124	11 35 32.8	12.237	0.385	69.6	65 146	11 496

[1] 8.0 7.0; BD 8.0 [2] $9^m.5$ praec. 4^s [3] BD 7.0; Schätz. 6.3 6.0 [4] Nur Z. 813; BD 9.4 [5] BD 5.3
[6] 6.7 7.2 7.3 5.9; BD 7.3 [7] 7.0 8.8

Nr.	Gr.	A.R. 1875	Praec.	Var. saec.	Decl. 1875	Praec.	Var. saec.	Ep.	Zonen	B.D.
1051	8.2[1]	$3^h\ 29^m\ 49^s.60$	$+3^s.3146$	$+0^s.0129$	+12° 52′ 35″.2	+12″.220	−0″.388	69.0	61 78	12° 493
1052	8.6	29 49.81	3.2987	0.0125	12 3 32.8	12.220	0.387	69.6	65 146	11 497[2]
1053	8.8	30 0.87	3.2983	0.0125	12 1 51.7	12.207	0.387	69.6	65 146	[11 498]
1054	8.7	30 13.83	3.3361	0.0134	13 57 36.2	12.192	0.392	69.6	65 146	13 575
1055	8.1	30 21.10	3.3505	0.0137	14 40 59.5	12.184	0.393	69.6	80 144	14 585
1056	6.7	3 30 46.94	+3.3576	+0.0138	+15 1 5.4	+12.154	−0.395	69.6	80 144	14 586
1057	8.6	31 15.45	3.3529	0.0137	14 45 42.1	12.121	0.395	69.6	80 144	14 587
1058	8.2	31 26.26	3.3526	0.0136	14 44 23.7	12.108	0.395	69.6	80 144	14 588
1059	8.5	31 36.59	3.3223	0.0130	13 11 52.2	12.096	0.392	69.0	61 78	13 576
1060	8.6	32 7.62	3.3242	0.0130	13 16 21.6	12.060	0.392	69.6	65 146	13 577
1061	8.3[3]	3 32 17.98	+3.3252	+0.0130	+13 18 56.8	+12.048	−0.393	69.6	65 146	13 578
1062	7.4	32 19.94	3.3286	0.0130	13 29 7.1	12.046	0.393	69.6	65 146	13 579
1063	8.8	32 22.43	3.3168	0.0128	12 53 13.8	12.043	0.392	79.8	61 78 751 813	12 497
1064	8.9	32 33.97	3.3076	0.0126	12 24 22.9	12.029	0.391	69.0	61 78	12 498
1065	8.8	33 13.68	3.3551	0.0136	14 47 0.2	11.983	0.397	80.1	80 144 751 813	} 14 592
1066	9.3	3 33 16.01	+3.3554	+0.0136	+14 47 37.9	+11.980	−0.397	90.6	751 813	
1067	8.8	33 17.04	3.3352	0.0131	13 46 47.4	11.979	0.395	69.6	80 144	13 580
1068	8.8	33 29.73	3.2871	0.0121	11 19 25.6	11.964	0.390	90.6	751 813	11 504
1069	8.8	33 35.21	3.3138	0.0127	12 41 6.4	11.957	0.393	69.0	61 78	12 501
1070	8.1	33 37.52	3.3229	0.0128	13 8 45.4	11.955	0.394	69.6	65 146	13 581
1071	8.8	3 33 59.25	+3.3273	+0.0129	+13 21 6.3	+11.929	−0.395	69.6	65 146	13 583
1072	8.7	34 33.19	3.3232	0.0128	13 7 21.3	11.890	0.395	69.6	65 146	13 584
1073	8.2	34 33.91	3.3052	0.0124	12 12 24.6	11.889	0.393	69.0	61 78	12 503
1074	8.6	35 12.63	3.3490	0.0133	14 23 22.3	11.843	0.399	69.6	80 144	14 598
1075	9.0	35 16.63	3.3437	0.0132	14 7 9.5	11.839	0.399	69.6	65 146	[14 599]
1076	8.8	3 35 39.91*	+3.3541	+0.0134	+14 37 17.8	+11.811	−0.400	80.1	80 144 751 813	14 600
1077	8.0[4]	35 59.77	3.2935	0.0121	11 33 35.4	11.788	0.394	90.6	751 813	11 510
1078	8.7	36 8.39	3.3152	0.0125	12 39 14.0	11.778	0.396	69.0	61 78	12 504
1079	9.0	36 23.46	3.3102	0.0124	12 23 41.6	11.760	0.396	69.0	61 78	12 505
1080	8.3	37 0.66	3.3473	0.0132	14 13 23.6	11.716	0.401	80.1	65 146 751 813	14 604
1081	8.8	3 37 8.65	+3.2919	+0.0120	+11 26 17.3	+11.707	−0.395	69.0	54 68	11 513
1082	8.9	37 40.37	3.3403	0.0130	13 51 4.7	11.669	0.401	69.0	61 78	13 590
1083	8.6	37 45.01	3.2786	0.0117	10 44 28.9	11.663	0.394	69.0	54 68	10 474
1084	8.9	37 45.99	3.3352	0.0128	13 35 37.6	11.662	0.401	69.6	65 146	[13 591]
1085	8.8	37 56.17	3.2940	0.0120	11 31 13.5	11.650	0.396	90.6	751 813	11 514
1086	9.0	3 38 26.46	+3.3547	+0.0132	+14 31 42.6	+11.614	−0.404	80.1	80 144 751 813	14 607
1087	8.7	38 29.04	3.3031	0.0121	11 57 33.0	11.611	0.398	90.6	751 813	11 515
1088	9.0	38 35.69	3.2700	0.0115	10 16 52.2*	11.603	0.394	79.7	5 Beob.	10 477
1089	8.9	38 40.06	3.3266	0.0126	13 7 37.8	11.598	0.401	69.6	78 146	[13 593]
1090	8.1	39 17.03	3.2680	0.0114	10 9 21.8	11.554	0.394	79.7	5 Beob.	10 479
1091	6.8[5]	3 39 29.24	+3.3270	+0.0126	+13 7 4.8	+11.539	−0.402	69.3	61 65 78 146	13 594
1092	8.7	39 44.18	3.2878	0.0118	11 8 42.0	11.522	0.397	90.6	751 814	11 516
1093	8.3	39 57.66	3.2907	0.0118	11 17 0.6	11.505	0.398	83.7	146 751 814	11 517
1094	8.5	39 57.99	3.2810	0.0116	10 47 43.5	11.505	0.397	69.0	54 68	10 481
1095	9.1	40 16.63	3.3458	0.0129	14 0 50.2	11.483	0.405	91.1	813 817	13 595
1096	9.0[6]	3 40 17.70	+3.3323	+0.0126	+13 20 51.1	+11.481	−0.403	81.0	65 R	[13 596]
1097	9.3	40 17.73	3.2760	0.0115	10 31 52.5	11.481	0.397	69.0	54 68	10 482
1098	8.7	40 23.21	3.3487	0.0130	14 9 8.8	11.475	0.405	69.6	80 144	14 609
1099	8.9[7]	40 29.22	3.3066	0.0121	12 3 39.8*	11.468	0.401	85.6	65 813 815 816	11 519
1100	8.3	40 30.40	3.3078	0.0121	12 7 10.6	11.466	0.401	69.0	61 78	12 508

[1] BD 8.7 [2] BD $+3^s.5$ [3] BD 8.8 [4] BD 8.6; Schätz. 8.0 8.1 [5] 7.0 6.7 6.3 7.2 [6] Nur Z. 65; BD 9.5
[7] Z. 815 Mikr. 31″.7 33″.6 corr. in 38″.3 6″.4

Nr.	Gr.	A.R. 1875	Praec.	Var. saec.	Decl. 1875	Praec.	Var. saec.	Ep.	Zonen	B.D.
1101	8.6	3^h 40^m $39^s.76$	$+3^s.3397$	$+0^s.0128$	+13° 41′ 52″.9	+11″.455	−0″.405	80.3	80 144 813 817	13° 598
1102	8.7	40 45.19	3.3453	0.0128	13 58 17.4	11.449	0.405	76.8	80 144 814	13 599
1103	8.9	40 53.35	3.2681	0.0113	10 6 49.5*	11.439	0.396	82.2	6 Beob.	10 484
1104	5.0[1]	41 25.05	3.2812	0.0115	10 45 25.0*	11.401	0.399	80.0	54 68 813 817	10 486
1105	7.6	41 31.99	3.2744	0.0114	10 24 35.6	11.393	0.398	91.1	813 816	10 487
1106	8.2	3 41 36.83	+3.3696	+0.0133	+15 7 9.5	+11.386	−0.409	82.5	5 Beob.	15 534
1107	8.5	41 50.32	3.3714	0.0133	15 12 0.3	11.371	0.410	90.6	751 814	15 535
1108	8.6	41 57.18	3.3590	0.0131	14 35 28.8	11.362	0.409	69.6	80 144	14 613
1109	8.1	41 59.27	3.2929	0.0117	11 19 24.0	11.359	0.401	83.7	65 814 817	11 526
1110	9.0	42 15.40	3.2919	0.0117	11 16 25.7	11.340	0.401	91.1	813 814	11 527
1111	8.9	3 42 22.19	+3.3614	+0.0131	+14 41 26.6	+11.332	−0.409	69.6	80 144	14 614
*1112	8.7	42 32.64	3.3174	0.0122	12 31 35.3	11.320	0.404	69.0	61 78	12 511
1113	8.2	42 36.16	3.2820	0.0115	10 45 41.3	11.315	0.400	69.0	54 68	10 489
1114	8.7	42 49.89	3.3115	0.0120	12 13 12.3	11.299	0.404	69.0	61 78	12 513
1115	9.2	42 50.52	3.2840	0.0115	10 51 14.8*	11.298	0.400	83.7	68 814 818	10 490
1116	8.2	3 42 52.31	+3.2882	+0.0116	+11 6 47.1	+11.296	−0.401	91.1	815 818	10 491
1117	8.2	42 53.37	3.2705	0.0113	10 10 33.4	11.295	0.399	89.5	5 Beob.	10 492
1118	9.2[2]	43 30.37	3.3369	0.0125	13 26 51.9*	11.250	0.408	80.1	65 146 751 817	13 607
1119	8.6	43 36.86	3.3394	0.0126	13 34 8.3	11.242	0.408	69.6	65 146	13 608
1120	9.0	43 43.11	3.3506	0.0128	14 6 29.0	11.234	0.410	80.1	80 144 751 816	14 616
1121	9.0	3 43 57.42	+3.2964	+0.0117	+11 26 1.0	+11.217	−0.403	91.1	813 814	11 529
1122	8.9	44 3.69	3.3505	0.0127	14 5 33.2	11.210	0.410	82.5	5 Beob.	14 618
1123	5.8[3]	44 19.60	3.3216	0.0122	12 40 1.9	11.190	0.407	83.4	78 751 814	12 516
1124	9.5[4]	44 26.41	3.3470	0.0127	13 54 22.7	11.182	0.410	95.6	R(3)	[13 610]
1125	8.5	44 33.08	3.3020	0.0118	11 41 32.7	11.174	0.405	69.6	65 146	11 530
1126	8.4	3 44 48.06	+3.2774	+0.0113	+10 27 54.0	+11.156	−0.402	69.0	54 68	10 497
1127	8.8	45 48.67	3.3412	0.0124	13 34 14.8	11.082	0.411	69.4	78 80 144	13 612
1128	7.9	45 55.88	3.3503	0.0126	14 0 24.0	11.074	0.412	69.6	65 146	13 613
1129	9.2	46 8.06	3.3673	0.0129	14 49 7.0	11.059	0.414	81.0	80 R	[14 621]
1130	8.8	46 11.29	3.3755	0.0131	15 12 38.9	11.055	0.415	69.6	80 144	15 543
1131	9.1	3 46 43.28	+3.3169	+0.0119	+12 21 12.8	+11.016	−0.409	83.4	78 751 813	12 522
1132	8.6	46 46.72	3.3677	0.0129	14 48 40.7	11.012	0.415	69.6	80 144	14 624
1133	8.2	46 47.26	3.3329	0.0122	13 7 54.3	11.011	0.411	69.6	65 146	13 614
1134	8.9	46 59.21	3.2719	0.0111	10 7 39.0	10.997	0.404	88.8	688 691 751 813	10 501
1135	8.7	47 1.60	3.3671	0.0129	14 46 12.8	10.993	0.415	80.3	80 144 813 814	14 625
1136	7.6	3 47 35.13	+3.3391	+0.0123	+13 24 5.8	+10.953	−0.413	69.6	65 146	13 616
1137	8.8	48 1.70	3.3216	0.0119	12 32 10.4	10.920	0.411	69.4	65 78 146	12 523
1138	8.6	48 20.24	3.2891	0.0113	10 56 5.2	10.898	0.407	69.0	54 68	10 502
1139	9.1	48 21.80	3.3292	0.0120	12 53 46.1	10.896	0.412	69.6	78 144	12 526
1140	8.9	48 27.56	3.2784	0.0111	10 24 11.0	10.889	0.406	69.0	54 68	10 503
1141	8.9	3 48 38.16	+3.3272	+0.0120	+12 47 18.4	+10.876	−0.412	69.4	78 80 144	12 527
1142	9.3	49 25.95	3.3216	0.0118	12 29 15.5	10.817	0.412	81.0	61 R	— —
1143	8.5	49 49.75	3.3778	0.0129	15 10 19.0	10.788	0.420	69.6	80 144	15 555
1144	9.0	49 52.47	3.3325	0.0120	13 0 3.8	10.784	0.414	69.0	61 78	12 529
1145	9.2	50 17.50	3.2818	0.0111	10 31 13.6	10.754	0.409	69.0	54 68	10 511
1146	8.7	3 50 21.99	+3.3305	+0.0119	+12 53 11.3	+10.748	−0.415	69.0	61 78	12 531
1147[5]	8.9	50 28.70	3.3246	0.0118	12 35 53.0	10.740	0.414	83.4	78 751 813	12 532
1148	8.9	50 30.98	3.3406	0.0121	13 22 2.9	10.737	0.416	69.6	80 144	13 617
1149	8.7	50 40.94	3.3645	0.0126	14 30 19.9	10.725	0.419	90.6	751 813	14 630
1150	8.4	50 43.14	3.2946	0.0113	11 8 3.9*	10.722	0.411	80.3	65 146 813 814	11 543

[1] 4.5 5.0 4.7 6.0 [2] 8.8 9.0 9.1 9.8 [3] BD 7.0; Schätz. 6.0 5.7 5.8 [4] Grösse nach BD [5] $10^m.0$ praec. 4^s $0^s.6$ B.

Nr.	Gr.	A.R. 1875	Praec.	Var. saec.	Decl. 1875	Praec.	Var. saec.	Ep.	Zonen	B.D.
1151	8.3	3h 51m 10s.22	+3s.3211	+0s.0117	+12° 24' 27".0	+10".689	−0".414	69.0	61 78	12° 535
1152	9.0	51 13.38	3.3507	0.0123	13 49 31.1	10.685	0.418	82.3	5 Beob.	13 618
1153	8.5	51 32.98	3.3080	0.0115	11 45 39.8	10.660	0.413	69.6	65 146	11 548
1154	8.4	51 33.03	3.3699	0.0126	14 43 35.1	10.660	0.421	69.6	80 144	14 633
1155	8.7	51 38.24	3.3284	0.0118	12 44 39.1	10.654	0.416	69.0	61 78	12 536
1156	8.8	3 51 43.82	+3.3109	+0.0115	+11 53 51.7	+10.647	−0.414	69.6	65 146	11 549
1157	8.2[1]	51 45.81	3.2857	0.0111	10 40 4.0	10.645	0.411	69.0	54 68	10 513
1158	9.1	52 10.94	3.3569	0.0123	14 5 13.4*	10.613	0.420	80.3	80 144 813 816	14 635
1159	6.8	52 20.58	3.3472	0.0121	13 37 5.6	10.602	0.419	69.6	80 144	13 621
1160	8.2	52 25.29	3.3421	0.0120	13 22 28.3	10.596	0.418	80.1	80 144 751 817	13 622
1161	8.9	3 52 28.29	+3.3437	+0.0121	+13 26 48.5	+10.592	−0.419	91.1	813 817	13 623
1162	9.0	52 29.00	3.3421	0.0120	13 22 20.9	10.591	0.418	90.6	751 817	13 624
1163	8.6	52 33.64	3.3015	0.0113	11 24 58.4	10.585	0.413	69.6	65 146	11 551
1164	8.9	52 47.07	3.2955	0.0112	11 6 58.4*	10.569	0.413	80.3	65 146 813 815	11 552
1165	9.3	52 52.26	3.3286	0.0117	12 42 35.2	10.562	0.417	69.0	61 78	12 537
1166	8.6[2]	3 52 54.95	+3.2970	+0.0112	+11 11 14.4*	+10.559	−0.413	80.3	65 146 814 817	11 554
1167	9.5[2]	52 55.51	3.2970	0.0112	11 11 6.9	10.558	0.413	91.1	814 817	— —
1168	8.3[3]	53 15.96	3.3548	0.0122	13 56 59.9	10.533	0.421	69.6	80 144	13 625
1169	8.9	53 31.52	3.2820	0.0109	10 26 16.0	10.514	0.412	69.0	54 68	10 519
1170	7.8[4]	53 37.69	3.3464	0.0120	13 32 12.9	10.506	0.420	69.6	65 146	13 627
1171	8.1	3 53 41.50	+3.3800	+0.0126	+15 7 17.4	+10.501	−0.424	69.6	80 144	15 565
1172	**var.**[5]	**53 45.39**	**3.3172**	**0.0115**	**12 8 7.1**	**10.497**	**0.417**		**Fund. Cat.**	**12 539**
1173	8.7	53 58.79	3.2773	0.0108	10 11 53.7	10.480	0.412	88.8	694 695 751 814	10 521
1174	8.6	53 59.33	3.2823	0.0109	10 26 31.3	10.479	0.413	69.0	54 68	10 520
1175	8.8	54 20.43	3.2782	0.0108	10 13 50.1	10.453	0.412	78.0	54 68 694 695	10 525
1176	9.1	3 54 26.26	+3.3531	+0.0121	+13 49 32.6	+10.446	−0.422	91.1	813 815	13 629
1177	8.2	54 47.29	3.3462	0.0119	13 29 16.7	10.420	0.421	69.0	61 78	13 630
1178	9.0	55 6.08	3.3826	0.0126	15 11 19.2	10.396	0.426	80.3	80 144 813 817	15 571
1179	8.9	55 11.07	3.2935	0.0110	10 56 58.7	10.390	0.415	91.1	813 814	10 529
1180	9.0	55 23.53	3.3742	0.0124	14 46 55.1	10.374	0.426	80.1	80 144 751 815	14 641
1181	8.8	3 55 28.00	+3.3293	+0.0116	+12 39 44.2	+10.369	−0.420	69.0	61 78	12 542
1182	8.7[6]	55 36.01	3.3729	0.0124	14 42 49.4	10.359	0.426	69.6	80 144	14 642
1183	8.5[7]	56 5.36	3.3609	0.0121	14 8 4.6	10.322	0.425	69.6	80 144	14 643
1184	8.7	56 5.67	3.3345	0.0116	12 53 15.1	10.322	0.421	69.0	61 78	12 543
1185	9.1	56 6.19	3.2954	0.0110	11 1 1.1	10.321	0.416	91.1	813 816	10 530
1186	8.8	3 56 26.20	+3.3497	+0.0119	+13 35 41.5	+10.296	−0.424	69.6	65 146	13 636
1187	8.7	56 35.18	3.3278	0.0115	12 33 4.0	10.285	0.421	69.0	61 78	12 546
1188	8.7	56 35.49	3.2984	0.0110	11 8 57.8	10.284	0.417	69.0	54 68	11 565
1189	8.2	57 10.49*	3.3734	0.0123	14 40 53.4	10.240	0.427	80.3	80 144 813 815	14 646
1190	7.5[8]	57 22.42	3.3201	0.0113	12 9 42.9	10.225	0.421	69.0	61 78	12 547
1191	8.0	3 58 13.19	+3.3373	+0.0115	+12 57 12.4	+10.162	−0.424	69.0	61 78	12 548
1192	7.4	58 30.29	3.3586	0.0119	13 56 41.0	10.140	0.427	69.6	65 146	13 640
1193	9.2	58 30.67	3.3848	0.0123	15 9 39.7	10.140	0.430	81.0	80 R	[15 578]
1194	8.2	58 51.07	3.3850	0.0123	15 9 31.0	10.114	0.431	69.6	80 144	15 580
1195	8.3	59 0.97	3.2891	0.0107	10 38 3.5	10.102	0.419	69.0	54 68	10 537
1196	7.9[9]	3 59 21.33	+3.3617	+0.0119	+14 3 33.7	+10.076	−0.428	69.4	65 80 144	14 650
1197	8.6	59 31.91	3.3613	0.0119	14 1 53.6*	10.063	0.428	83.7	146 751 814	13 642
1198	8.8	59 34.69	3.3612	0.0119	14 1 37.8	10.059	0.428	90.6	751 814	13 643
1199	8.8	59 42.91	3.3355	0.0114	12 49 5.9	10.049	0.425	69.0	61 78	12 553
1200	8.7	59 52.54	3.3479	0.0116	13 23 45.2*	10.036	0.427	80.3	65 146 813 814	13 644

[1] BD 7.7; Schätz. 8.3 8.1 [2] Dupl. 8" 150° [3] BD 7.8 [4] BD 7.0; Schätz. 7.7 8.0 [5] 3.4..4.2 (λ Tauri)
[6] BD 8.1; Schätz. 8.6 8.8 [7] BD 8.0 [8] Gelbroth [9] 7.0 7.8 8.0

Nr.	Gr.	A.R. 1875	Praec.	Var. saec.	Decl. 1875	Praec.	Var. saec.	Ep.	Zonen	B.D.
1201	8.5	4h 0m 11s.06	+3s.3498	+0s.0116	+13° 28′ 28″.7	+10″.013	−0″.428	80.3	65 146 813 814	13° 645
1202	7.8	0 15.47*	3.3170	0.0111	11 55 50.8	10.008	0.423	69.6	65 146	11 571
1203	8.0[1]	0 16.96	3.2862	0.0106	10 27 50.6	10.006	0.420	80.0	54 68 813 814	10 538
1204	9.2	0 18.81	3.3698	0.0120	14 24 8.4	10.003	0.430	69.6	80 144	14 655
1205	8.2	0 20.16	3.3440	0.0115	13 12 1.5	10.001	0.427	69.3	61 78 89 154	13 646
1206	8.6	4 0 31.21	+3.3753	+0.0120	+14 39 0.4	+ 9.988	−0.431	80.1	80 144 751 813	14 656
*1207	6.5	0 37.56	3.3792	0.0121	14 49 34.7	9.980	0.432	69.6	80 144	14 657
1208	8.8	1 18.86	3.3445	0.0114	13 11 19.2	9.927	0.428	69.4	5 Beob.	13 647
1209	8.4[2]	1 33.83	3.3196	0.0110	12 0 54.2	9.908	0.425	69.6	65 73 146 153	11 576
1210	9.0	1 51.32	3.3341	0.0112	12 41 20.8	9.886	0.427	69.6	83 153	12 555
1211	8.7	4 1 58.90	+3.2801	+0.0104	+10 7 49.5	+ 9.877	−0.420	73.9	8 Beob.	10 539
1212	7.0[3]	2 2.79	3.3423	0.0114	13 3 54.6	9.872	0.428	69.7	89 140 154	13 648
1213	8.8	2 8.51	3.2899	0.0105	10 35 38.3	9.864	0.422	70.8	59 86 303 334	10 540
1214	8.4	2 16.02	3.2866	0.0104	10 25 55.3	9.855	0.422	70.8	59 86 303 334	10 541
1215	8.9	2 27.46	3.3427	0.0113	13 4 10.6	9.840	0.429	69.6	83 153	13 649
1216	8.5[4]	4 2 44.78	+3.3017	+0.0107	+11 8 14.8	+ 9.818	−0.424	69.6	73 149	11 579
1217	8.5	2 58.66	3.2878	0.0104	10 28 12.7	9.800	0.423	70.8	59 86 303 334	10 542
1218	8.3	3 10.39	3.2889	0.0104	10 30 57.9	9.786	0.423	70.8	59 86 303 334	10 544
1219	9.0	3 19.65	3.2911	0.0105	10 37 3.6	9.774	0.423	90.0	747 750	10 545
1220	8.3	3 23.87	3.3025	0.0106	11 9 25.4	9.769	0.425	69.6	73 149	11 580
1221	8.0[5]	4 3 25.13	+3.3150	+0.0108	+11 44 40.0	+ 9.767	−0.426	69.6	73 153	11 581
1222	8.9	3 31.88	3.2892	0.0104	10 31 30.1	9.758	0.423	70.8	59 86 303 334	10 546
1223	8.8	3 37.39*	3.3833	0.0119	14 54 28.6	9.751	0.435	69.6	88 151	14 661
1224	9.1	3 57.90	3.3311	0.0110	12 29 6.6	9.725	0.429	81.1	83 R	[12 557]
1225	8.9	3 58.14	3.3627	0.0116	13 57 1.5	9.725	0.433	69.7	89 140 154	13 651
1226	9.3	4 4 3.67	+3.3275	+0.0110	+12 18 50.3	+ 9.718	−0.429	83.4	149 747 750	12 558
1227	8.8	4 33.86	3.3274	0.0109	12 17 35.8	9.679	0.429	69.6	73 149	12 559
1228	8.8[6]	4 39.36	3.3266	0.0109	12 15 15.4	9.672	0.429	69.6	73 149	12 560
1229	9.4	5 7.31	3.3309	0.0110	12 26 24.7	9.637	0.430	85.0	153 747 751 755	12 562
1230	8.6	5 9.38	3.3779	0.0117	14 36 36.1	9.634	0.436	70.0	140 154	14 663
1231	9.0	4 5 20.80	+3.3001	+0.0105	+10 59 24.7	+ 9.619	−0.426	71.3	59 303 334	10 547
1232	9.0	5 37.97	3.3717	0.0116	14 18 42.2	9.597	0.436	70.0	140 154	14 664
1233	8.7	5 41.31	3.3246	0.0108	12 7 56.1	9.593	0.430	69.6	83 153	12 563
1234	8.5	5 53.99	3.2974	0.0104	10 50 57.1	9.577	0.427	70.8	59 86 303 334	10 548
1235	8.9	5 55.89	3.2854	0.0102	10 17 7.7	9.574	0.425	75.5	6 Beob.	10 549
1236	9.0	4 6 4.52	+3.3703	+0.0115	+14 13 51.2	+ 9.563	−0.436	69.6	88 151	[14 666]
1237	8.7	6 29.57	3.3707	0.0115	14 14 17.1	9.531	0.437	69.7	5 Beob.	14 667
1238	9.3	6 32.38	3.3719	0.0115	14 17 17.8	9.527	0.437	91.5	140 R	[14 668]
1239	7.4[7]	6 52.47	3.3318	0.0109	12 26 1.0	9.502	0.432	69.6	83 153	12 564
1240[8]	8.2	7 8.20	3.2950	0.0103	10 42 26.3	9.482	0.427	70.8	59 86 303 334	10 550
1241	8.5[9]	4 7 17.30	+3.3711	+0.0115	+14 13 47.7	+ 9.470	−0.437	69.6	89 154	14 672
1242	6.8	7 19.32*	3.3234	0.0107	12 1 50.9	9.468	0.431	79.8	73 149 747 750	11 583
1243	8.7	7 22.27	3.3728	0.0115	14 18 22.8	9.463	0.438	69.6	89 154	14 673
1244	8.6	7 29.86	3.3254	0.0107	12 7 0.1	9.454	0.432	69.6	83 153	12 566
1245	8.1	7 41.55	3.2884	0.0101	10 22 58.6	9.438	0.427	70.8	59 86 303 334	10 551
1246	8.4	4 8 9.12	+3.2896	+0.0101	+10 25 52.5	+ 9.403	−0.428	70.8	59 86 303 334	10 552
1247	6.6	8 40.45	3.3909	0.0117	15 5 9.4	9.363	0.441	69.6	88 151	15 603
1248	9.0	9 47.49	3.3382	0.0108	12 38 44.2	9.276	0.436	69.6	83 153	12 568
1249	8.7	10 0.86	3.3065	0.0103	11 10 19.6	9.259	0.432	69.6	73 149	11 589
1250	7.5[10]	10 41.87	3.3579	0.0110	13 31 29.2	9.206	0.439	69.7	89 140 154	13 659

[1] 8.7 8.0 7.1 8.2 [2] 8.2 7.8 8.6 8.9 [3] BD 6.3; Schätz. 7.0 7.0 7.0 [4] BD 9.0 [5] BD 8.5
[6] BD 9.3 [7] BD 6.0; Schätz. 7.3 7.5; Z. 83 Com. 9m.0 2s 250°? [8] 9m.2 praec. 4s 0.3 A. [9] BD 7.5; Schätz. 8.5 8.5
[10] BD 6.5; Schätz. 7.3 7.5 7.7

Nr.	Gr.	A.R. 1875	Praec.	Var. saec.	Decl. 1875	Praec.	Var. saec.	Ep.	Zonen	B. D.
1251	8.6	4h 10m 45s.16	+3s.2973	+0s.0101	+10° 43' 49".9	+9".202	−0".431	70.8	59 86 303 334	10° 555
1252	8.9	11 21.19	3.3742	0.0112	14 14 46.6	9.155	0.442	69.6	88 151	14 678
1253	8.8	11 25.93	3.3310	0.0105	12 16 11.1	9.149	0.436	77.9	5 Beob.	12 572
1254	8.4	11 34.73	3.3308	0.0105	12 15 33.0*	9.137	0.436	69.6	73 83 149 153	12 573
*1255	8.8	11 53.83	3.3667	0.0110	13 53 23.4	9.112	0.441	90.0	747 750	13 660
1256	8.6	4 11 54.02	+3.3389	+0.0106	+12 37 7.5	+9.112	−0.438	69.6	83 153	12 575
1257	8.5	12 5.17	3.3247	0.0104	11 57 48.4	9.098	0.436	69.6	73 149	11 591
1258	8.3[1]	12 8.66	3.3564	0.0109	13 24 52.5	9.093	0.440	69.7	89 140 154	13 661
1259	8.7[2]	12 31.00	3.3782	0.0112	14 23 13.6	9.064	0.443	69.6	88 151	14 679
1260	7.9	12 33.09	3.3184	0.0103	11 39 39.5	9.061	0.436	69.6	73 149	11 592
*1261	8.2	4 12 41.95	+3.3692	+0.0110	+13 58 35.6	+9.050	−0.442	69.7	89 140 154	13 662
1262	8.1	12 48.92	3.3430	0.0106	12 46 54.1	9.041	0.439	69.6	83 153	12 577
1263	8.8	12 52.32	3.3825	0.0112	14 34 20.9	9.036	0.444	69.6	88 151	14 680
1264	6.1[3]	12 55.32	3.3639	0.0109	13 43 53.9	9.033	0.442	69.7	89 140 154	13 663
1265	9.0	13 28.09	3.3283	0.0103	12 5 40.2	8.990	0.438	69.6	83 153	12 578
1266	6.0	4 13 31.05	+3.3879	+0.0112	+14 47 37.5	+8.986	−0.445	69.6	88 151	14 682
1267	8.6	13 49.36	3.3033	0.0100	10 56 4.7	8.962	0.435	70.8	59 86 303 334	10 560
1268	7.1[4]	13 50.92	3.3608	0.0108	13 33 48.5	8.960	0.442	69.7	89 140 154	13 665
1269	8.3[5]	14 17.33	3.2884	0.0097	10 14 15.2	8.926	0.433	77.3	73 149 548 550	10 563
1270	8.8	14 25.34	3.2911	0.0097	10 21 27.1	8.915	0.434	70.8	59 86 303 334	10 564
1271	8.0[6]	4 14 31.38	+3.3733	+0.0109	+14 6 38.4	+8.907	−0.444	69.6	88 151	14 687
1272	8.0[7]	14 45.18	3.3552	0.0106	13 17 8.9	8.889	0.442	69.7	89 140 154	13 667
1273	8.7	14 49.48	3.2938	0.0098	10 28 22.8	8.884	0.434	70.8	59 86 303 334	10 565
1274	6.5[8]	15 1.00*	3.3663	0.0108	13 46 46.0*	8.869	0.444	77.8	5 Beob.	13 668
1275	8.8	15 3.50	3.3317	0.0103	12 12 29.9	8.865	0.440	69.6	83 153	12 582
1276	9.2	4 15 31.00	+3.3058	+0.0099	+11 0 32.4	+8.829	−0.437	90.0	747 755	10 568
1277	8.6	15 34.11	3.3852	0.0110	14 36 47.8	8.825	0.447	69.6	88 151	14 689
1278	8.1	15 38.85	3.3886	0.0111	14 45 37.7	8.819	0.448	69.6	88 151	14 690
1279	6.2[9]	16 22.45	3.3078	0.0099	11 5 4.8	8.762	0.438	69.6	73 149	11 601
1280	8.7	16 28.11	3.3806	0.0109	14 22 37.0	8.754	0.447	69.6	88 151	14 691
1281	8.2	4 16 40.56	+3.3619	+0.0106	+13 32 8.4	+8.738	−0.445	69.6	83 153	13 674
1282	8.2	16 48.74	3.3111	0.0099	11 13 26.8	8.727	0.438	69.6	73 149	11 602
1283	8.9	16 53.56	3.3751	0.0108	14 7 14.3	8.721	0.447	69.7	89 140 154	14 692
1284	8.5[10]	17 5.38	3.3432	0.0103	12 40 51.2	8.705	0.443	69.6	83 153	12 584
1285	8.0	17 7.85	3.3830	0.0109	14 27 59.9	8.702	0.448	69.6	88 151	14 693
1286	6.8	4 17 17.97*	+3.3254	+0.0100	+11 52 0.1	+8.689	−0.441	69.6	73 149	11 604
1287	8.3	17 42.07	3.3421	0.0104	12 36 46.2	8.657	0.443	69.6	83 153	12 585
1288	9.6	17 58.60	3.3277	0.0100	11 57 20.2	8.635	0.442	90.0	747 750	11 605
1289	8.3	18 4.00	3.3219	0.0099	11 41 19.1	8.628	0.441	69.6	73 149	11 606
1290	9.1	18 14.10	3.3803	0.0107	14 18 48.8	8.615	0.449	69.7	89 140 154	14 696
1291	8.9	4 19 7.34	+3.3692	+0.0105	+13 47 32.4	+8.545	−0.448	69.6	83 153	13 679
1292	9.1	19 8.23	3.3350	0.0100	12 15 19.4	8.544	0.444	90.0	747 750	12 591
1293	9.1	19 13.57	3.3664	0.0105	13 40 5.9	8.537	0.448	69.7	89 140 154	13 680
1294	10.0	19 30.66	3.2895	0.0094	10 10 37.4*	8.514	0.438	85.6	439 692	[10 575]
1295	5.0[11]	19 32.65	3.3837	0.0107	14 25 45.0	8.511	0.450	69.6	88 151	14 697
1296	8.7	4 19 37.01	+3.3726	+0.0105	+13 55 59.9	+8.505	−0.449	69.7	89 140 154	13 682
1297	8.8	20 15.21	3.3309	0.0099	12 2 40.6	8.455	0.444	69.6	73 149	11 612
1298	6.5	20 34.77	3.3065	0.0095	10 55 46.4	8.429	0.441	70.8	59 86 303 334	10 577
1299	7.5[12]	20 49.64	3.3182	0.0097	11 27 15.6	8.410	0.443	69.6	73 149	11 614
1300	8.9	21 2.91*	3.3256	0.0098	11 47 12.7	8.392	0.444	69.6	73 149	11 615

[1] BD 7.0; Schätz. 8.3 8.2 8.3 [2] BD 8.0; Schätz. 8.8 8.6 [3] 5.6 6.7 6.0 [4] 6.7 7.7 7.0; BD 6.5
[5] 7.7 8.2 8.6 8.7 [6] BD 7.4; Schätz. 8.0 8.0 [7] BD 7.5; Schätz. 8.0 8.0 8.1 [8] 6.7 7.0 6.5 6.6 5.5; BD 5.7
[9] BD 6.8 [10] BD 7.4; Schätz. 8.4 8.6 [11] Gelbroth [12] 7.0 8.0

Nr.	Gr.	A.R. 1875	Praec.	Var. saec.	Decl. 1875	Praec.	Var. saec.	Ep.	Zonen	B.D.
1301	7.0[1]	4h 21m 18s.48	+3s.3855	+0s.0106	+14° 27′ 39″.4	+8″.371	−0″.452	69.6	88 151	14° 702
1302	7.6	21 28.41	3.3170	0.0096	11 23 8.6	8.358	0.443	69.6	73 149	11 616
1303	8.7	21 28.61	3.3328	0.0098	12 6 6.0	8.358	0.445	69.6	83 153	12 597
1304	8.8	21 39.23	3.3021	0.0094	10 42 26.9	8.344	0.441	70.8	59 86 303 334	10 579
1305	8.3	21 43.02	3.3876	0.0105	14 32 23.7	8.339	0.453	69.6	88 151	14 704
1306	5.7[2]	4 21 50.12*	+3.3478	+0.0100	+12 46 6.1	+8.330	−0.448	79.8	83 153 747 755	12 598
1307	8.5[3]	22 29.51	3.3672	0.0102	13 37 2.6	8.277	0.451	69.6	83 153	13 688
1308	8.1	22 43.87	3.3290	0.0097	11 54 0.2	8.258	0.446	69.6	73 149	11 618
1309	7.6	22 50.65	3.2925	0.0092	10 14 41.4*	8.249	0.441	75.7	6 Beob.	10 583
1310	8.5	23 5.11	3.3769	0.0103	14 1 55.5	8.230	0.453	69.7	89 140 154	13 689
1311	9.0	4 23 17.37	+3.3840	+0.0104	+14 20 14.8	+8.214	−0.454	69.6	88 151	14 707
1312	8.9	23 29.20	3.3879	0.0104	14 30 24.3	8.198	0.454	69.6	88 151	14 708
1313	6.2[4]	23 35.12	3.3641	0.0101	13 27 1.2	8.190	0.451	69.6	83 153	13 690
1314	8.8	23 47.28	3.2948	0.0092	10 19 46.1	8.174	0.442	70.8	59 86 303 334	10 586
1315	7.2[5]	24 1.54	3.3957	0.0105	14 50 0.2	8.155	0.456	69.6	88 151	14 711
1316	8.1[6]	4 24 3.33	+3.2982	+0.0092	+10 28 43.0	+8.152	−0.443	70.8	59 86 303 334	10 588
1317	8.5	24 6.61	3.3863	0.0104	14 25 1.3	8.148	0.455	69.6	88 151	14 712
1318	8.8	24 16.45	3.3091	0.0093	10 58 17.0	8.135	0.445	70.8	59 86 303 334	10 590
1319	8.4	24 26.72	3.3687	0.0101	13 37 54.1	8.121	0.453	69.7	89 140 154	13 691
1320	9.1	24 27.86	3.3869	0.0103	14 26 4.3	8.120	0.455	69.6	88 151	14 713
1321	8.8[7]	4 24 31.21	+3.3562	+0.0099	+13 4 40.9	+8.115	−0.451	69.6	83 153	13 692
1322	8.8	24 32.79	3.3477	0.0098	12 41 56.2	8.113	0.450	69.6	73 149	12 604
1323	9.0	24 40.74	3.3864	0.0103	14 24 21.4	8.102	0.455	69.6	88 151	14 715
1324	8.1[8]	25 17.22	3.2990	0.0091	10 29 33.4	8.054	0.444	70.8	59 86 303 334	10 592
1325	8.8	25 31.35	3.2964	0.0091	10 22 14.6	8.035	0.444	90.0	747 750	10 593
1326	8.3[9]	4 25 57.82	+3.3399	+0.0096	+12 18 58.6	+8.000	−0.450	69.6	73 149	12 606
1327	5.0	26 45.30	3.3916	0.0102	14 34 46.7	7.936	0.458	70.0	140 154	14 720
1328	6.5[10]	26 45.57	3.3554	0.0097	12 59 12.4	7.936	0.453	69.6	73 149	12 608
1329	8.4	26 51.98	3.3990	0.0103	14 53 58.0	7.927	0.459	69.6	88 151	14 721
1330	8.4	26 54.03	3.2944	0.0090	10 15 8.8	7.924	0.445	75.5	6 Beob.	10 595
1331	8.7	4 27 1.81	+3.2907	+0.0089	+10 5 9.2	+7.914	−0.444	87.8	439 692 747 755	10 596
1332	8.7	27 13.06	3.3949	0.0102	14 42 40.2	7.899	0.458	69.7	89 140 154	14 722
1333	9.6	27 16.00	3.2951	0.0089	10 16 47.0	7.895	0.445	85.0	548 550	— —
1334	9.1	27 21.42	3.3409	0.0095	12 19 46.6	7.888	0.451	69.6	83 153	12 609
1335	9.0	27 27.10	3.3444	0.0095	12 28 56.6	7.880	0.452	69.6	83 153	12 610
1336	8.2	4 27 48.15	+3.3166	+0.0092	+11 14 12.2	+7.852	−0.448	69.6	73 149	11 627
1337	8.5	28 36.61	3.3305	0.0093	11 50 26.4	7.787	0.451	69.6	73 149	11 629
1338	6.8[11]	29 24.47	3.3155	0.0090	11 9 16.2	7.722	0.449	79.8	73 149 747 750	11 632
1339	7.6	29 48.56	3.4032	0.0101	15 0 19.2	7.690	0.462	69.6	88 151	14 726
1340	8.3	30 14.72	3.3032	0.0088	10 35 9.5	7.655	0.449	70.8	59 86 303 334	10 598
1341	8.9	4 30 22.54	+3.3728	+0.0097	+13 39 57.5	+7.644	−0.458	69.7	89 140 154	13 699
1342	7.9	30 25.33	3.4010	0.0100	14 53 31.9	7.640	0.462	69.6	88 151	14 728
1343	8.9	30 28.41	3.3816	0.0097	14 2 51.3	7.636	0.459	69.6	88 151	14 729
1344	8.9	30 35.23	3.4057	0.0101	15 5 33.3	7.627	0.463	69.6	88 151	15 659
1345	4.0	31 10.20	3.3411	0.0092	12 15 27.8	7.580	0.454	69.6	83 153	12 618
1346	8.1	4 31 53.58	+3.3779	+0.0096	+13 51 17.8	+7.521	−0.460	69.7	89 140 154	13 702
1347	8.4	31 59.22	3.3300	0.0090	11 44 48.7	7.514	0.453	69.6	73 149	11 636
1348	8.8	32 8.02	3.3420	0.0092	12 16 30.6*	7.502	0.455	79.8	83 153 747 750	12 619
1349	7.2	32 9.32	3.3529	0.0093	12 45 18.2	7.500	0.457	69.6	73 149	12 620
1350	8.8	32 34.47*	3.3559	0.0093	12 52 43.0*	7.466	0.457	79.8	83 153 747 755	12 622

[1] BD 6.5 [2] 5.0 6.0 5.8 6.2; BD 5.0 [3] BD 7.5; Schätz. 8.5 8.6 [4] BD 5.7 [5] 6.7 7.7; gelbroth
[6] 7.8 8.0 8.8 7.8 [7] BD 8.3; Schätz. 8.7 8.9 [8] Röthlich [9] BD 8.8 [10] BD 7.0 [11] 6.0 7.0 7.3 6.8

Nr.	Gr.	A.R. 1875	Praec.	Var. saec.	Decl. 1875	Praec.	Var. saec.	Ep.	Zonen	B. D.
1351	9.1	4h 32m 37s.06	+3s.3684	+0s.0094	+13° 25' 28".8	+7".462	−0".459	69.7	89 140 154	13° 704
1352	8.8	32 58.40*	3.3644	0.0093	13 14 23.5*	7.433	0.459	74.8	89 140 154 755	13 705
1353	5.7[1]	33 5.85	3.3351	0.0090	11 57 0.4	7.423	0.455	80.1	73 149 756 814	11 639
1354	9.2	33 57.89	3.3445	0.0090	12 20 41.9	7.353	0.457	69.6	83 153	[12 627]
1355	8.9	34 9.81	3.3445	0.0090	12 20 33.4	7.337	0.457	69.6	83 153	12 628
1356[2]	8.6	4 34 21.68	+3.3960	+0.0096	+14 34 46.0	+7.320	−0.464	69.6	88 151	14 735
1357	8.6	35 0.83	3.3849	0.0094	14 5 5.3	7.267	0.463	69.6	89 154	14 736
1358	8.2[3]	35 39.42	3.3390	0.0088	12 4 13.6	7.215	0.457	83.0	83 747 750	12 631
1359	7.4	35 50.45	3.3370	0.0088	11 58 40.6	7.200	0.457	69.6	73 149	11 643
1360	7.1	35 54.28	3.3967	0.0095	14 34 28,1	7.195	0.465	69.6	88 151	14 738
1361	9.0	4 36 0.01	+3.3657	+0.0091	+13 13 47.6	+7.187	−0.461	69.7	89 142 154	13 708
1362	9.0	36 23.25*	3.3424	0.0088	12 12 28.0*	7.155	0.458	74.8	89 142 154 747	12 633
1363	8.8	36 28.01*	3.3560	0.0090	12 47 55.7	7.148	0.460	74.8	89 142 154 747	12 635
1364	9.0	36 32.57*	3.3400	0.0088	12 5 50.1	7.142	0.458	74.8	89 153 154 750	12 636
1365	8.0	37 3.77	3.3552	0.0089	12 45 11.5	7.100	0.461	69.6	83 153	12 638
1366	8.8	4 37 23.50	+3.3592	+0.0089	+12 55 10.0	+7.073	−0.461	83.0	83 747 756	12 641
1367	6.5[4]	37 30.17	3.3134	0.0084	10 54 39.8	7.064	0.455	70.8	59 86 303 334	10 621
1368	8.5[5]	37 39.83	3.3934	0.0093	14 23 34.2	7.051	0.466	69.6	88 151	14 745
1369	8.8	38 23.47*	3.3809	0.0091	13 50 9.2	6.991	0.465	69.5	89 142	[13 712]
1370	9.0	38 23.56	3.3040	0.0083	10 28 43.5	6.991	0.455	70.8	59 86 303 334	10 624
1371	8.9	4 38 30.64	+3.3805	+0.0091	+13 49 1.5	+6.981	−0.465	69.7	89 142 154	13 714
1372	8.8[6]	38 53.43	3.3300	0.0085	11 36 43.3	6.950	0.458	69.6	73 149	11 645
1373	6.0	39 4.63	3.3269	0.0085	11 28 30.1	6.935	0.458	69.6	73 149	11 646
1374	8.2	39 29.09	3.3922	0.0091	14 18 6.1	6.901	0.467	69.6	88 151	14 751
1375	8.8	40 0.80	3.3175	0.0083	11 2 54.8	6.858	0.457	69.6	73 149	11 649
*1376	9.1	4 40 34.34	+3.3946	+0.0091	+14 22 46.8	+6.812	−0.468	69.6	88 151	14 756
1377	8.7	40 36.46	3.4083	0.0092	14 57 50.3	6.809	0.470	69.6	88 151	14 757
1378	8.6	40 39.29	3.3600	0.0087	12 53 18.9	6.805	0.464	79.8	83 153 747 755	12 649
1379[7]	8.6	40 40.45	3.3295	0.0084	11 33 37.3	6.803	0.460	69.6	73 149	11 651
1380	9.0	40 54.29	3.2965	0.0080	10 6 31.6	6.785	0.455	87.1	439 441 747 750	10 631
1381	9.0[8]	4 41 30.65	+3.3101	+0.0081	+10 41 43.2	+6.735	−0.458	82.6	303 R	[10 637]
1382	8.1	41 33.31	3.3561	0.0086	12 42 8.2	6.731	0.464	69.6	83 153	12 653
1383	8.5	41 35.22	3.3104	0.0081	10 42 22.4	6.728	0.458	70.8	59 86 303 334	10 639
1384	8.7	41 37.71	3.3112	0.0081	10 44 33.6	6.725	0.458	71.3	59 303 334	10 640
1385	8.7	41 40.12	3.3107	0.0081	10 43 19.1	6.722	0.458	70.8	59 86 303 334	[10 641]
1386	8.8	4 41 50.53	+3.2983	+0.0080	+10 10 19.9	+6.707	−0.456	75.2	6 Beob.	10 644
*1387	9.0	42 0.78	3.2981	0.0079	10 9 44.4*	6.693	0.456	80.4	334 439 441	[10 645]
1388	8.3	42 12.10	3.3317	0.0083	11 37 48.3	6.678	0.461	69.6	73 149	11 655
1389	9.0	42 29.63	3.3236	0.0081	11 16 22.9	6.653	0.460	69.6	73 149	11 657
1390	8.7	42 32.18	3.3121	0.0080	10 46 3.4	6.650	0.458	90.0	747 755	10 649
1391	7.7	4 42 52.67	+3.3745	+0.0086	+13 28 12.2	+6.622	−0.467	69.7	89 142 154	13 720
1392	8.5	43 15.80	3.3037	0.0079	10 23 17.7*	6.590	0.458	70.8	59 86 303 334	10 651
1393	8.1	43 26.46	3.4075	0.0089	14 51 58.0	6.575	0.472	69.6	88 151	14 770
1394	8.7	43 40.95	3.3873	0.0087	14 0 2.1	6.555	0.470	69.7	89 142 154	13 725
1395	7.3	44 16.88	3.3147	0.0079	10 51 8.5	6.506	0.460	70.8	59 86 303 334	10 654
1396	9.0	4 44 36.29	+3.3546	+0.0083	+12 34 50.8	+6.479	−0.466	79.8	73 149 747 750	12 665
1397	6.6[9]	44 46.78	3.3747	0.0085	13 26 29.4	6.464	0.469	69.7	89 142 154	13 728
1398	8.9	44 47.77	3.3100	0.0078	10 38 23.3	6.463	0.460	90.0	747 755	10 658
1399	8.9	44 51.54	3.3167	0.0079	10 55 53.1	6.458	0.461	90.1	755 756	10 659
1400	8.9	45 3.68	3.3090	0.0078	10 35 27.2	6.441	0.460	70.8	59 86 303 334	10 661

[1] 5.5 5.0 7.0 5.5 [2] 11m seq. 3s.5 0'.5 A. [3] 8.4 8.7 7.6 [4] 6.0 7.0 6.7 6.5; BD 5.6 [5] BD 8.0
[6] BD 9.4 [7] 10m.5 seq. 0s.5 1'.5 B. [8] Nur Z. 303; BD 9.5 [9] 6.0 6.7 7.0

Nr.	Gr.	A.R. 1875	Praec.	Var. saec.	Decl. 1875	Praec.	Var. saec.	Ep.	Zonen	B.D.
1401	9.5	4^h 45^m 21ˢ.63	+3ˢ.3595	+0ˢ.0083	+12° 46′ 38″.5	+6″.416	−0″.467	86.6	149 R	[12° 666]
1402	5.8[1]	45 27.72*	3.3890	0.0086	14 2 25.0	6.408	0.471	69.7	89 142 154	14 777
1403	9.2	45 31.99	3.3096	0.0078	10 36 40.4	6.402	0.460	90.0	747 755	10 664
1404	7.8	45 37.95*	3.3979	0.0086	14 24 46.3	6.394	0.472	69.6	88 151	14 778
1405	9.2	45 38.26	3.3104	0.0078	10 38 47.9	6.394	0.460	90.0	747 750 755	10 665
1406	7.4[2]	4 45 42.36	+3.3456	+0.0081	+12 10 24.7	+6.388	−0.465	83.8	153 756 814	12 667
1407	9.6	45 56.56	3.2997	0.0077	10 10 15.3	6.368	0.459	83.0	334 R	[10 666]
1408	8.8[3]	46 3.73	3.3200	0.0078	11 3 25.9	6.358	0.462	69.6	73 149	11 669
1409	8.8	46 53.70*	3.4072	0.0086	14 46 48.6	6.289	0.474	69.6	88 151	14 780
1410	8.7	46 57.77	3.2990	0.0076	10 7 31.4	6.284	0.460	76.2	6 Beob.	10 668
1411	8.6	4 47 29.04*	+3.3480	+0.0080	+12 14 45.5	+6.240	−0.467	69.8	89 142 153 154	12 672
1412	8.1	47 42.22*	3.3361	0.0079	11 43 49.9	6.222	0.465	69.6	73 149	11 671
1413	7.7	47 43.42	3.3382	0.0079	11 49 14.2	6.220	0.465	69.6	73 149	11 672
1414	7.7[4]	47 44.06	3.3458	0.0080	12 8 52.5	6.219	0.466	69.8	89 142 153 154	12 673
1415	8.2	47 47.96*	3.3360	0.0079	11 43 24.1	6.214	0.465	79.8	73 149 755 756	11 674
1416	6.3[5]	4 47 51.00	+3.3244	+0.0078	+11 13 11.8	+6.210	−0.464	70.1	149 153	11 675
1417	7.7	47 54.79	3.3984	0.0084	14 23 19.5	6.204	0.474	69.6	88 151	14 782
1418	9.7	47 55.77	3.3532	0.0080	12 27 45.7	6.203	0.468	90.6	756 814	12 674
1419	9.1[6]	48 7.04	3.4044	0.0085	14 38 18.8	6.187	0.475	69.6	88 151	14 784
1420	8.8	48 14.49	3.4130	0.0086	14 59 45.1	6.177	0.476	69.6	88 151	14 785
1421	8.5	4 48 17.06	+3.3322	+0.0078	+11 33 2.6	+6.173	−0.465	69.6	73 149	11 677
1422	6.2	48 43.31	3.4094	0.0085	14 50 16.8	6.137	0.476	69.6	88 151	14 787
1423	8.1	48 49.57	3.3762	0.0082	13 25 41.9	6.128	0.471	69.7	89 142 154	13 737
1424	8.8	49 6.61*	3.3845	0.0082	13 46 34.4*	6.105	0.473	77.8	5 Beob.	13 738
1425	8.6	49 7.55	3.3207	0.0076	11 2 28.4	6.103	0.464	69.6	73 149	11 680
1426	4.5[7]	4 49 20.68	+3.3737	+0.0081	+13 18 53.3	+6.085	−0.471	69.7	89 142 154	13 740
1427	8.7	50 6.62	3.3141	0.0075	10 44 27.3	6.021	0.464	71.4	86 303 334	10 675
1428	9.0	50 17.63	3.3449	0.0078	12 3 55.7	6.006	0.468	83.1	83 754 755	12 682
1429	8.5	50 18.85	3.3112	0.0074	10 36 40.5	6.004	0.463	71.4	86 303 334	10 676
1430	8.9	50 37.94	3.3842	0.0081	13 44 10.5	5.978	0.474	69.7	89 142 154	13 748
1431	8.7	4 50 45.12	+3.3859	+0.0081	+13 48 20.7*	+5.968	−0.474	79.9	6 Beob.	13 749
1432	9.4	51 1.69	3.3225	0.0075	11 5 23.3	5.945	0.465	81.6	153 R	[11 688]
1433	9.9	51 12.97	3.3805	0.0080	13 34 5.1	5.929	0.474	90.6	756 814	13 751
*1434	8.6	51 15.26	3.3850	0.0080	13 45 37.4	5.926	0.474	69.6	89 154	13 752
1435	8.7	51 24.63	3.3575	0.0078	12 35 11.1	5.913	0.470	83.0	83 747 755	12 685
1436	8.0	4 51 51.67	+3.3994	+0.0081	+14 21 22.6	+5.875	−0.476	69.6	88 151	14 795
1437	8.7	51 52.23	3.3384	0.0076	11 45 48.0	5.874	0.468	69.7	73 149 153	11 690
1438	9.2	51 53.52	3.3375	0.0075	11 43 28.5	5.872	0.468	81.6	153 R	[11 691]
*1439	6.5	51 53.91	3.3992	0.0081	14 20 58.9	5.872	0.476	69.6	88 151	14 796
1440	9.0	51 54.46	3.3628	0.0078	12 48 15.1	5.871	0.472	83.0	83 747 754	12 686
*1441	9.0	4 51 57.72	+3.3993	+0.0081	+14 21 1.6	+5.866	−0.477	81.6	151 R	— —
1442	8.5	51 58.16	3.3492	0.0076	12 13 19.9	5.866	0.470	79.8	83 154 754 755	12 688
1443	8.9	51 59.16	3.3619	0.0078	12 46 0.3	5.864	0.471	69.6	83 149	12 687
1444	9.0	52 7.79	3.3613	0.0077	12 44 11.5	5.853	0.471	83.4	73 756 814	12 689
1445	8.5	52 31.35	3.3590	0.0077	12 38 3.1	5.820	0.471	69.6	73 149	12 695
1446	8.8	4 52 43.71	+3.3011	+0.0072	+10 8 17.0	+5.802	−0.463	77.6	5 Beob.	10 682
*1447[8]	8.3	53 8.18	3.3026	0.0071	10 12 2.7	5.768	0.464	77.6	5 Beob.	10 685
1448	8.9	53 13.86	3.3498	0.0076	12 13 49.0	5.760	0.470	84.8	83 747 750 754	12 696
1449	9.0	53 26.74	3.3001	0.0071	10 5 11.1	5.742	0.463	84.1	439 441	[10 686]
1450	7.3	53 28.36	3.3962	0.0079	14 11 34.7	5.740	0.477	69.6	88 151	14 804

[1] BD 5.0; röthlich [2] 8.0 6.9 7.2 [3] 8ᵐ.8 seq. 2ˢ 0′.2 B. [4] 7.0 7.5 8.2 8.0 [5] Grösse nach BD
[6] 9ᵐ.4 14″ 230° [7] 5.0 4.0 [4-5]; BD 5.0 [8] 11ᵐ seq. 10ˢ 0′.6 A.

Nr.	Gr.	A.R. 1875	Praec.	Var. saec.	Decl. 1875	Praec.	Var. saec.	Ep.	Zonen	B. D.
1451	8.4	$4^h\ 53^m\ 29^s.23$	$+3^s.3536$	$+0^s.0076$	+12° 23' 11".7	$+5^s.739$	$-0^s.471$	79.8	83 149 755 756	12° 697
1452	9.0	53 35.50	3.3831	0.0078	13 38 13.7	5.730	0.475	69.7	89 142 154	13 761
1453	8.3	53 41.91	3.3543	0.0076	12 24 57.6	5.721	0.471	79.6	73 83 755 756	12 699
1454[1]	9.0	53 45.86	3.3641	0.0076	12 49 50.0	5.716	0.473	83.4	83 756 814	12 701
1455	7.9	53 47.75	3.3150	0.0072	10 43 31.6	5.713	0.466	71.4	86 303 334	10 688
1456	8.3[2]	4 53 52.52	+3.3994	+0.0079	+14 19 2.7	+5.706	−0.478	69.6	88 151	14 808
1457	8.8	53 52.66	3.4164	0.0081	15 1 45.6	5.706	0.480	90.6	754 814	14 809
1458	9.0	54 0.01	3.3706	0.0077	13 6 17.2	5.696	0.474	69.7	89 142 154	13 765
1459	8.9	54 8.11	3.3269	0.0073	11 13 59.2	5.684	0.468	81.6	153 R	[11 699]
1460[3]	8.9	54 10.72	3.3436	0.0074	11 56 59.3	5.681	0.470	69.6	73 149	11 700
1461	8.7	4 54 14.82	+3.3924	+0.0078	+14 1 4.0	+5.675	−0.477	78.0	5 Beob.	14 811
1462	8.2	54 15.06	3.3903	0.0078	13 55 54.7*	5.674	0.477	75.1	89 142 154 815	13 769
1463	8.5	54 16.57	3.4160	0.0081	15 0 16.6	5.673	0.480	69.6	88 151	14 812
1464	8.8	54 17.31	3.3662	0.0076	12 54 43.1	5.671	0.473	83.4	83 755 814	12 703
1465	8.4	54 18.03	3.4173	0.0081	15 3 32.7	5.670	0.480	69.6	88 151	15 721
1466	8.8	4 54 20.97	+3.4136	+0.0080	+14 54 20.3	+5.666	−0.480	69.6	88 151	14 813
1467	7.9[4]	54 37.30	3.3486	0.0074	12 9 31.7	5.644	0.471	83.4	83 756 814	12 704
1468	7.6[5]	54 51.47	3.3261	0.0072	11 11 27.0	5.624	0.468	69.7	73 149 153	11 702
1469	8.4	55 2.23	3.4058	0.0079	14 34 0.2	5.609	0.479	69.6	88 151	14 815
1470	8.5	55 4.92	3.3901	0.0078	13 54 34.4	5.605	0.477	90.6	747 754 816 817	13 778
1471	9.1	4 55 7.26	+3.3001	+0.0070	+10 3 58.0	+5.602	−0.465	87.4	439 441 756 817	[10 694]
1472	9.2	55 11.43	3.3671	0.0075	12 56 12.4	5.596	0.474	83.1	83 750 756	12 707
1473	7.8	55 16.77	3.3859	0.0077	13 43 48.6	5.588	0.477	69.5	89 142	13 779
1474	8.9	55 35.58	3.3660	0.0075	12 52 52.6	5.562	0.474	84.8	83 747 750 755	12 709
*1475	8.9[6]	55 48.16	3.3729	0.0075	13 10 8.1	5.544	0.475	69.5	89 142	13 781
1476	8.9	4 55 56.97	+3.4066	+0.0078	+14 35 4.1	+5.532	−0.480	69.6	88 151	14 817
1477	8.8	55 57.44	3.3166	0.0070	10 46 4.7	5.531	0.467	71.4	86 303 334	10 697
1478	7.7	56 3.37	3.3425	0.0072	11 52 34.7	5.523	0.471	69.7	73 149 153	11 704
1479	8.4	56 24.77	3.3572	0.0074	12 29 38.3	5.493	0.473	82.5	5 Beob.	12 714
1480	9.1	56 55.51	3.3136	0.0070	10 37 34.4	5.450	0.467	71.4	86 303 334	10 702
1481	8.8	4 57 19.39	+3.3882	+0.0075	+13 47 35.0	+5.416	−0.478	69.7	89 142 154	[13 787]
1482	8.7	57 31.75	3.3881	0.0075	13 46 59.6	5.399	0.478	83.7	142 755 814	13 789
1483	7.0	57 35.10	3.4097	0.0077	14 41 0.7	5.394	0.481	69.6	88 151	14 825
1484	8.5	57 37.94	3.3582	0.0073	12 31 19.3*	5.390	0.474	80.1	83 153 756 814	12 719
1485	7.8[7]	57 46.96	3.3727	0.0074	13 7 57.5	5.378	0.476	69.7	89 142 154	13 790
1486	9.0	4 58 3.06	+3.3386	+0.0071	+11 40 54.7	+5.355	−0.471	69.6	73 149	11 712
1487	9.2	58 5.37	3.3100	0.0068	10 27 17.1	5.352	0.467	82.6	303 R	[10 706]
1488	7.8	58 8.58	3.4191	0.0077	15 3 54.7	5.347	0.483	69.6	88 151	15 735
1489	9.0	58 13.18	3.3628	0.0072	12 42 21.2	5.341	0.475	79.8	83 153 747 754	12 720
1490	8.5	58 14.60	3.3606	0.0072	12 36 49.1	5.339	0.475	69.6	73 83 149 153	12 721
1491	8.7	4 58 19.06	+3.3657	+0.0073	+12 49 35.6	+5.332	−0.475	90.1	755 756	12 723
1492	8.9	58 19.68	3.4170	0.0077	14 58 26.6	5.332	0.483	69.6	88 151	14 828
1493	9.0	58 19.71	3.3858	0.0074	13 40 26.7	5.332	0.478	69.6	89 154	13 792
1494	8.9	58 23.02	3.3848	0.0074	13 37 45.9	5.327	0.478	69.6	89 154	13 793
1495	8.1	58 46.91*	3.3727	0.0073	13 6 57.9	5.293	0.477	77.8	5 Beob.	13 797
1496	8.8	4 58 48.58	+3.3104	+0.0068	+10 27 44.2	+5.291	−0.468	71.4	86 303 334	10 707
1497	8.9	58 49.50	3.3593	0.0072	12 33 3.1	5.289	0.475	69.6	83 153	12 724
1498	8.8	59 5.60	3.3037	0.0067	10 10 14.1	5.267	0.467	84.2	5 Beob.	10 708
1499	8.9	59 16.83	3.3859	0.0073	13 39 54.5	5.251	0.479	69.6	89 154	13 799
1500	9.0	59 24.97	3.3733	0.0072	13 7 47.7*	5.240	0.477	77.8	5 Beob.	13 801

[1] $9^m.5$ seq. 9^s 3'A.; $9^m.5$ praec. 16^s 2'.5 B. [2] BD 8.8; Schätz. 8.3 8.4 [3] $10^m.5$ seq. 4^s 0'.4 A.; 12^m seq. 7^s 1'A.
[4] BD 8.4 [5] $9^m.5$ seq. 1^s 0'.5 B. [6] Dpl. med. [7] 7.5 7.5 8.4

Nr.	Gr.	A.R. 1875	Praec.	Var. saec.	Decl. 1875	Praec.	Var. saec.	Ep.	Zonen	B.D.
1501	8.6	$4^h\ 59^m\ 26^s.43$	$+3^s.3025$	$+0^s.0067$	+10° 6′ 58″.4	+5″.238	−0″.467	78.3	303 334 439 441	10° 711
1502	8.8	59 27.42	3.3425	0.0070	11 49 46.3*	5.236	0.473	80.1	73 149 755 814	11 714
1503	8.6	59 33.98	3.3594	0.0071	12 32 39.6	5.227	0.475	69.6	83 153	12 727
1504	7.9	59 34.02	3.4009	0.0074	14 17 2.8	5.227	0.481	69.6	88 151	14 831
1505	8.6	59 37.74	3.3108	0.0067	10 28 21.4	5.222	0.468	71.4	86 303 334	10 712
1506	8.1[1]	4 59 38.77	+3.3921	+0.0074	+13 55 6.6	+5.220	−0.480	70.0	142 154	13 803
1507	8.6[2]	59 45.22	3.3121	0.0067	10 31 32.0	5.211	0.469	72.5	303 334	10 713
1508	8.6	59 46.35	3.3815	0.0073	13 28 20.2	5.210	0.478	90.1	755 756	13 804
1509	8.3	59 50.80	3.4022	0.0074	14 20 2.0	5.203	0.481	70.4	88 151 300	14 832
1510	8.6	59 59.42	3.3387	0.0069	11 39 39.2	5.191	0.472	69.6	73 149	11 716
1511	8.8	5 0 0.70	+3.3868	+0.0073	+13 41 21.5	+5.189	−0.479	83.4	89 747 814	13 806
1512	8.8	0 34.25	3.3957	0.0073	14 3 8.5*	5.142	0.481	69.8	89 142 151 154	14 833
1513	9.3	0 35.08	3.3034	0.0066	10 8 35.9	5.141	0.468	81.0	57 R	[10 716]
1514	8.2	0 38.61	3.3991	0.0073	14 11 34.4	5.136	0.481	69.6	88 151	14 834
1515	8.2[3]	0 39.49	3.3557	0.0070	12 22 22.8	5.135	0.475	69.6	83 153	12 732
1516	9.2	5 0 47.46	+3.4200	+0.0075	+15 3 23.0	+5.123	−0.484	82.6	306 R	[15 747]
1517	7.6[4]	0 51.08	3.3171	0.0067	10 43 38.2	5.118	0.470	71.4	70 303 334	10 718
1518	8.9	0 53.43	3.3966	0.0073	14 5 2.0	5.115	0.481	69.6	88 151	[14 835]
1519	8.3	1 0.41	3.4034	0.0073	14 21 58.4	5.105	0.482	70.6	88 151 278 300	14 836
1520	8.6	1 26.98	3.3903	0.0072	13 48 46.6	5.068	0.480	81.8	5 Beob.	13 812
1521	8.3[5]	5 1 34.53	+3.4174	+0.0074	+14 56 21.1*	+5.057	−0.484	70.6	89 154 278 300	14 839
1522	8.4[6]	1 34.91	3.3901	0.0072	13 48 8.1	5.056	0.480	70.3	142 153 157 268	13 813
1523	8.7	1 38.19	3.4206	0.0074	15 4 10.7	5.052	0.485	70.6	88 151 280 306	15 750
1524	7.7[7]	1 48.51	3.3376	0.0068	11 35 16.4	5.038	0.473	83.4	155 754 755	11 724
*1525	8.8	2 1.20	3.3663	0.0069	12 48 4.1	5.020	0.477	71.1 77.4	266 273 747δ	12 736
1526	8.8	5 2 1.35	+3.3660	+0.0069	+12 47 6.2*	+5.019	−0.477	80.5	266 273 747 754	12 737
1527	8.5[8]	2 5.86	3.3064	0.0065	10 15 6.7	5.013	0.469	87.1	696 697	[10 721]
1528	8.7	2 12.71	3.3892	0.0071	13 45 20.3	5.003	0.481	70.0	142 157	13 817
1529	8.5[9]	2 15.64	3.3317	0.0067	11 19 57.3	4.999	0.473	71.1	264 274	11 727
1530	8.7[10]	2 17.70	3.3317	0.0067	11 19 50.3	4.996	0.473	71.1	264 274	11 728
1531	8.8	5 2 19.75	+3.3550	+0.0068	+12 19 0.8	+4.993	−0.476	77.4	266 273 756	12 738
1532	8.7[11]	2 24.39	3.3998	0.0072	14 11 36.5	4.987	0.482	71.6	278 300	14 840
1533	8.7	2 50.98	3.3394	0.0067	11 38 59.2	4.949	0.474	90.1	754 755	11 731
1534	8.9	2 53.36	3.3726	0.0069	13 3 6.7	4.946	0.479	80.6	268 756	13 819
1535	8.3[12]	3 4.06*	3.3178	0.0065	10 43 54.0	4.930	0.471	78.3	5 Beob.	10 725
1536	7.5[13]	5 3 7.91	+3.3807	+0.0070	+13 23 20.0	+4.925	−0.480	70.0	142 157	13 821
1537	8.7	3 10.08	3.3914	0.0070	13 50 5.8	4.922	0.481	71.6	278 300	} 13 822
1538	8.9	3 10.54	3.3912	0.0070	13 49 40.1	4.922	0.481	71.6	278 300	
1539	8.3	3 31.60	3.4226	0.0072	15 7 18.0	4.892	0.486	80.9	280 306 754 756	15 755
1540	9.0	3 44.42	3.4004	0.0070	14 11 56.7	4.874	0.483	71.6	278 300	14 842
1541	8.4[14]	5 3 51.94	+3.4141	+0.0071	+14 45 49.0	+4.863	−0.485	71.7	280 306	14 843
1542	10.1	4 4.10	3.3530	0.0067	12 12 33.5	4.846	0.476	92.6	747 R	— —
1543	8.7	4 6.50	3.3533	0.0067	12 13 18.5*	4.842	0.477	82.4	5 Beob.[15]	12 740
1544	8.8	4 49.69	3.3387	0.0065	11 35 44.2	4.781	0.475	71.1	264 274	11 740
1545	8.7	4 52.83	3.4010	0.0070	14 12 29.7	4.777	0.484	71.6	278 300	14 850
1546	8.9	5 4 58.02	+3.3491	+0.0066	+12 2 4.8	+4.769	−0.476	71.1	266 273	12 745
1547	8.6	4 59.84	3.3079	0.0063	10 17 14.2	4.767	0.471	78.3	5 Beob.	10 728
1548	8.9	5 9.00	3.3332	0.0064	11 21 45.3	4.754	0.474	70.8	155 264 274	11 741
1549	8.9	5 9.21	3.4214	0.0071	15 2 42.8	4.753	0.487	71.7	280 306	15 761
1550	8.7	5 16.71	3.3906	0.0068	13 46 16.2	4.743	0.482	70.0	142 157	13 828

[1] BD 7.5; Schätz. 8.0 8.2 [2] BD 8.1 [3] BD 7.5; Schätz. 8.0 8.4 [4] BD 7.1 [5] 7.7 8.3 8.7 8.4
[6] 7.0 8.9 8.9 9.0 [7] Röthlich; 8.5 7.5 7.0; BD 7.1 [8] BD 9.1; Schätz. 8.6 8.5 [9] BD 8.0; Schätz. 8.5 8.5
[10] BD 8.0; Schätz. 8.7 8.7 [11] BD 8.2 [12] 7.8 8.7 8.4 8.2 8.5 [13] 7.0 8.0; BD 7.0 [14] BD 7.9
[15] Z. 747 Mikr. 23″.8 51″.8 corr. in 23″.8 48″.2

Nr.	Gr.	A.R. 1875	Praec.	Var. saec.	Decl. 1875	Praec.	Var. saec.	Ep.	Zonen	B. D.
1551	8.6	5h 5m 23s.64	+3s.3297	+0s.0064	+11° 12' 32".3	+4".733	−0".474	90.1	754 755	11° 742
1552	8.8	5 40.63	3.3776	0.0067	13 13 18.1	4.709	0.481	71.1	268 277	13 829
1553	8.4	5 40.79*	3.3074	0.0062	10 15 19.2	4.709	0.471	81.1	6 Beob.	10 731
1554	9.0	5 42.92	3.3922	0.0068	13 49 44.2	4.706	0.483	71.6	278 300	13 830
1555	8.8	5 49.07	3.3907	0.0068	13 46 6.9	4.697	0.483	70.0	142 157	13 831
1556	8.8	5 5 54.86	+3.3918	+0.0068	+13 48 44.7	+4.689	−0.483	70.8	142 157 278 300	13 832
1557	8.7[1]	6 8.45	3.3332	0.0064	11 21 2.9	4.670	0.475	69.6	77 155	[11 743]
1558	8.9	6 28.60	3.3156	0.0062	10 35 54.1	4.641	0.472	71.1	264 274	10 733
1559	8.8	6 50.53	3.3502	0.0064	12 3 37.5	4.610	0.477	71.1	266 273	12 750
1560	8.7	7 2.14*	3.3331	0.0063	11 20 10.4	4.593	0.475	83.4	155 747 754	11 746
1561	9.0	5 7 5.51	+3.3215	+0.0062	+10 50 36.6	+4.589	−0.473	71.1	264 274	10 736
1562	8.7	7 11.96	3.3200	0.0062	10 46 40.8	4.579	0.473	69.0	57 70	10 737
1563	8.1	7 13.25	3.3471	0.0064	11 55 20.5	4.578	0.477	69.6	77 155	11 747
1564	8.6	7 22.29	3.3333	0.0063	11 20 25.5	4.565	0.475	69.6	77 155	11 748
1565	8.8	7 31.05	3.4226	0.0069	15 3 40.8	4.552	0.488	71.7	280 306	15 766
1566	8.4[2]	5 7 44.94	+3.3581	+0.0064	+12 22 42.6	+4.533	−0.479	71.1	268 277	12 752
1567	8.8	7 45.51	3.3555	0.0064	12 16 18.4	4.532	0.479	71.1	266 273	12 751
1568	9.1	7 47.57	3.3315	0.0062	11 15 25.8	4.529	0.475	71.1	264 274	11 751
1569	8.9	7 52.45	3.3196	0.0061	10 45 13.3	4.522	0.473	69.0	57 70	10 741
1570	8.7	7 57.78	3.3698	0.0065	12 52 4.9	4.514	0.481	71.1	268 277	12 754
1571	7.9	5 8 1.17	+3.4193	+0.0068	+14 55 0.0	+4.510	−0.488	71.7	280 306	14 857
1572	8.9	8 40.66	3.3669	0.0064	12 44 21.5	4.453	0.481	71.1	268 277	12 755
1573	8.6	8 54.04	3.3250	0.0061	10 58 21.6	4.434	0.475	69.0	57 70	10 744
1574	7.2[3]	9 7.52	3.3304	0.0061	11 11 56.4	4.415	0.476	71.1	264 274	11 756
1575	8.5	9 15.64	3.3509	0.0062	12 3 37.5	4.404	0.479	69.6	77 155	12 756
1576	8.9	5 9 17.27	+3.3034	+0.0059	+10 2 54.8	+4.401	−0.472	76.6	57 70 439 441	10 746
1577	8.8	9 25.13	3.3976	0.0065	14 0 18.8	4.390	0.485	70.0	142 157	13 843
1578	8.9	9 41.23	3.4101	0.0066	14 31 2.7	4.367	0.487	71.6	278 300	14 862
1579	9.0	9 50.77	3.3334	0.0061	11 18 54.9	4.354	0.476	71.1	264 274	11 759
1580	8.4	9 52.19*	3.3561	0.0062	12 16 10.4*	4.352	0.480	80.5	266 273 747 754	12 758
1581	8.4	5 9 59.33	+3.4250	+0.0066	+15 7 27.0	+4.341	−0.489	71.7	280 306	15 779
1582	8.1[4]	10 4.96	3.3598	0.0062	12 25 31.7	4.334	0.480	71.1	268 277	12 760
1583	8.9	10 11.15	3.3719	0.0063	12 55 34.8	4.325	0.482	71.1	268 277	12 761
1584	7.7[5]	10 11.73	3.3839	0.0063	13 25 42.8	4.324	0.484	70.0	142 157	13 848
1585	8.6	10 24.33	3.4070	0.0065	14 22 39.3	4.306	0.487	71.6	278 300	14 866
1586	8.2	5 10 28.38	+3.3399	+0.0060	+11 35 8.0	+4.300	−0.478	69.6	77 155	11 761
1587	8.4	10 42.22	3.3858	0.0063	13 30 5.9	4.280	0.484	70.0	142 157	13 850
1588	8.4	11 1.24	3.3806	0.0062	13 16 51.1	4.253	0.484	70.0	142 157	13 852
1589	8.7	11 26.55	3.3649	0.0061	12 37 18.5	4.217	0.482	71.1	266 273	12 767
1590	8.2	11 38.36*	3.3490	0.0060	11 57 20.0	4.200	0.479	69.6	77 155	11 763
1591	7.9	5 11 49.51*	+3.3845	+0.0062	+13 25 57.0	+4.184	−0.485	80.0	142 157 747 754	13 856
1592	8.6	12 1.38	3.4070	0.0063	14 21 31.7	4.167	0.488	71.6	278 300	14 873
1593	7.9[6]	12 11.92	3.3123	0.0057	10 24 2.0	4.152	0.474	69.0	57 70	10 752
1594	8.9	12 24.41	3.3170	0.0057	10 35 51.6	4.135	0.475	79.5	57 70 747 754	10 755
1595	9.1	12 51.49	3.3766	0.0061	13 5 31.2	4.096	0.484	71.1	268 277	[13 863]
1596	8.0	5 13 0.43	+3.3845	+0.0061	+13 25 0.0	+4.083	−0.485	70.0	142 157	13 864
1597	9.5	13 3.51	3.4058	0.0062	14 17 48.6	4.079	0.488	92.6	747 R	[14 879]
1598	9.0	13 7.92	3.4007	0.0062	14 5 1.4	4.073	0.487	71.6	278 300	14 880
1599	8.7	13 27.34	3.3382	0.0058	11 28 49.3	4.045	0.479	71.1	264 274	11 772
1600	8.2	13 27.68	3.4214	0.0063	14 55 47.0	4.044	0.490	71.7	280 306	14 881

[1] BD 9.2 [2] BD 7.8; Schätz. 8.5 8.3 [3] BD 6.0; Schätz. 7.0 7.5 [4] BD 7.1; Schätz. 8.1 8.2
[5] 8.4 7.0; BD 8.3 [6] BD 8.5

Nr.	Gr.	A.R. 1875	Praec.	Var. saec.	Decl. 1875	Praec.	Var. saec.	Ep.	Zonen	B.D.
1601	7.4[1]	$5^h\ 13^m\ 29^s.04$	$+3^s.3211$	$+0^s.0057$	+10° 45′ 40″.0*	+4″.043	−0″.476	79.5	57 70 754 755	10° 758
1602	9.5	13 32.66	3.4061	0.0062	14 18 8.8	4.037	0.488	91.8	747 754 R	[14 882]
1603	8.9	13 58.33	3.3898	0.0060	13 37 30.4	4.000	0.486	70.0	142 157	13 868
1604	8.3	13 58.78	3.3404	0.0057	11 34 4.7	4.000	0.479	69.6	77 155	11 774
1605	8.4	14 6.36	3.3580	0.0058	12 18 11.9	3.989	0.482	71.1	266 273	12 779
1606	8.7	5 14 10.59	+3.4078	+0.0061	+14 21 46.8	+3.983	−0.489	71.6	278 300	14 886
1607	8.9	14 13.76	3.4188	0.0062	14 48 58.7	3.979	0.490	71.7	280 306	14 888
1608	7.7[2]	14 15.95	3.3266	0.0056	10 59 0.9	3.975	0.477	70.0	57 70 264 274	10 760
1609	9.0	14 26.75	3.3803	0.0060	13 13 39.4	3.960	0.485	70.0	142 157	13 870
1610	8.2	14 39.68	3.3639	0.0058	12 32 34.3	3.941	0.483	80.6	266 273 754 755	12 780
1611	9.0	5 14 44.93	+3.3081	+0.0055	+10 12 3.9	+3.934	−0.475	77.6	264 274 439 441	10 762
1612	9.0	15 1.83	3.4212	0.0061	14 54 16.4	3.910	0.491	71.6	278 300	14 889
1613	8.8	15 3.71	3.3065	0.0055	10 7 46.1	3.907	0.475	76.6	57 70 439 441	10 763
1614	8.4	15 6.09*	3.3517	0.0057	12 1 45.8	3.904	0.481	69.6	77 155	12 783
1615	8.7	15 29.98	3.3142	0.0055	10 26 56.8	3.870	0.476	69.0	57 70	10 766
1616	8.8	5 15 40.07	+3.3777	+0.0058	+13 6 27.0	+3.855	−0.485	71.1	268 277	13 875
1617	8.0	15 50.87	3.4052	0.0060	14 14 19.4	3.839	0.489	71.6	278 300	14 890
1618	8.8	16 2.61*	3.3344	0.0055	11 17 43.7	3.823	0.479	70.3	77 155 264 274	11 782
1619	8.9	16 16.17	3.3350	0.0055	11 19 7.4	3.803	0.479	71.1	264 274	11 786
1620	9.0	16 21.44	3.3346	0.0055	11 18 11.3	3.796	0.479	70.6	155 274	11 787
1621	8.4	5 16 42.67	+3.3671	+0.0057	+12 39 21.6	+3.766	−0.484	71.1	266 273	12 788
1622	7.4	16 57.92	3.3267	0.0054	10 57 50.1	3.744	0.478	69.0	57 70	10 770
1623	8.9	17 10.98	3.4163	0.0059	14 40 35.8	3.725	0.491	82.6	306 R	[14 897]
1624	8.9	17 14.18	3.4064	0.0058	14 16 11.4	3.720	0.490	71.6	278 300	14 898
1625	8.1[3]	17 44.38	3.3376	0.0054	11 24 58.1	3.677	0.480	71.1	264 274	11 793
1626	8.3	5 17 50.67	+3.3418	+0.0054	+11 35 26.4	+3.668	−0.481	69.6	77 155	11 795
1627	8.7	17 52.57	3.4168	0.0058	14 41 12.6	3.665	0.491	71.7	280 306	14 902
1628	8.2	18 3.58	3.3281	0.0054	11 0 43.6	3.649	0.479	69.0	57 70	10 773
1629	9.0	18 48.21	3.3911	0.0056	13 37 28.5	3.585	0.488	70.0	142 157	13 889
1630	8.8	19 2.42	3.3910	0.0056	13 37 15.3	3.565	0.488	80.1	142 157 754 756	13 891
1631	8.9	5 19 2.95	+3.3430	+0.0053	+11 37 52.1	+3.564	−0.481	71.1	264 274	11 801
1632	8.8	19 20.46	3.3388	0.0053	11 27 8.8	3.539	0.481	71.1	264 274	11 802
1633	7.9[4]	19 44.49	3.3876	0.0055	13 28 15.8	3.505	0.488	70.0	142 157	13 893
1634	8.8	19 44.52	3.3699	0.0054	12 44 35.6	3.505	0.485	71.1	268 277	12 793
1635	8.8	19 48.18	3.4283	0.0057	15 8 4.7	3.499	0.494	82.6	306 R	— —
1636	9.2	5 19 51.97	+3.3984	+0.0055	+13 54 51.6*	+3.494	−0.489	81.5	142 R	[13 894]
1637	6.3	20 4.98	3.4287	0.0057	15 8 52.6	3.475	0.494	71.7	280 306	15 822
1638	8.4	20 13.17	3.3381	0.0052	11 24 58.4	3.464	0.481	70.3	77 155 264 274	11 807
1639	9.0	20 15.40	3.3772	0.0054	13 2 22.2	3.460	0.487	71.1	268 277	13 895
1640	8.5	20 16.66	3.3986	0.0055	13 55 11.0	3.458	0.490	70.0	142 157	13 896
1641	8.7	5 20 19.20	+3.3697	+0.0054	+12 43 43.6	+3.455	−0.485	71.1	268 277	12 794
1642	8.6	20 34.53	3.4013	0.0055	14 1 37.4	3.433	0.490	71.6	278 300	14 914
1643	8.5	20 39.44	3.4242	0.0056	14 57 28.9	3.426	0.493	71.6	278 300	14 915
1644	8.5	20 44.21	3.4229	0.0056	14 54 24.8	3.419	0.493	71.7	280 306	14 917
1645	8.7[5]	20 44.60	3.3370	0.0052	11 21 50.9	3.418	0.481	90.1	754 756	11 810
1646	8.9	5 20 44.61	+3.3189	+0.0051	+10 36 22.3	+3.418	−0.478	69.0	57 70	10 781
1647	8.7	20 51.60	3.4244	0.0056	14 57 47.9	3.408	0.494	71.6	278 300	14 920
1648	8.7	20 53.81	3.3431	0.0052	11 37 6.4	3.405	0.482	69.6	77 155	11 812
1649	8.6	20 55.96	3.3405	0.0052	11 30 34.4	3.402	0.482	69.6	77 155	11 813
1650	8.3	20 57.21	3.3717	0.0053	12 48 16.7	3.400	0.486	80.6	268 277 754 756	12 797

[1] 8.0 6.8 7.5 7.3 [2] 7.5 7.0 8.0 8.3; BD 7.0 [3] BD 7.0; Schätz. 8.0 8.2; $9^m.0$ seq. 4^s [4] 7.5 8.4
[5] BD 8.2; Schätz. 8.8 8.7

Nr.	Gr.	A.R. 1875	Praec.	Var. saec.	Decl. 1875	Praec.	Var. saec.	Ep.	Zonen	B.D.
1651	8.7	5h 21m 16s.33*	+3s.3559	+0s.0052	+12° 8' 45".0	+3".372	−0".484	80.6	266 273 754 756	12° 799
1652	7.5[1]	21 30.50	3.3905	0.0054	13 34 24.8	3.352	0.489	71.6	278 300	13 903
1653	8.9	21 34.75	3.3506	0.0051	11 55 27.2	3.346	0.483	69.6	77 155	11 816
1654	7.8[2]	21 50.08	3.3634	0.0052	12 27 12.3	3.324	0.485	71.1	268 277	12 801
1655	8.5	21 57.35	3.3777	0.0052	13 2 43.3	3.314	0.487	70.0	142 157	13 907
1656	8.1[3]	5 22 5.03	+3.3055	+0.0049	+10 1 55.4	+3.303	−0.477	76.6	57 70 439 441	10 790
1657	8.8	22 23.77	3.3056	0.0049	10 1 59.9	3.276	0.477	76.6	57 70 439 441	10 795
1658	8.4	22 24.03	3.3846	0.0052	13 19 28.9	3.275	0.488	70.0	142 157	13 908
1659	8.8	22 44.24	3.3885	0.0052	13 28 50.9	3.246	0.489	70.0	142 157	13 910
1660	7.6[4]	22 47.69	3.3567	0.0051	12 10 8.1	3.241	0.484	71.1	266 273	12 803
*1661	8.8	5 23 21.50	+3.3269	+0.0048	+10 55 16.3	+3.193	−0.480	69.0	57 70	10 796
1662	8.9[5]	23 39.41	3.3068	0.0048	10 4 37.5	3.167	0.478	85.0	548 550	[10 798]
1663	8.9	23 42.10	3.3945	0.0052	13 43 0.0	3.163	0.490	70.0	142 157	13 914
1664	8.7	23 44.65	3.3480	0.0050	11 47 50.5	3.159	0.483	71.1	264 274	11 833
1665	8.7	23 50.47*	3.3591	0.0050	12 15 33.9*	3.151	0.485	80.6	266 273 754 756	12 808
1666	7.6[6]	5 23 57.87	+3.3088	+0.0048	+10 9 21.3	+3.140	−0.478	76.6	57 70 439 441	10 800
1667	7.8[7]	24 0.21	3.3066	0.0048	10 3 52.0	3.137	0.478	83.9	7 Beob.	10 801
1668	7.4	24 2.23	3.3529	0.0050	11 59 54.3	3.134	0.484	69.6	77 155	11 834
1669	8.9	24 6.23	3.3546	0.0050	12 4 10.8	3.128	0.485	80.6	266 273 754 756	12 809
1670	8.6	24 21.30*	3.3642	0.0050	12 27 47.8	3.107	0.486	80.6	268 277 756 757	12 810
1671	8.2	5 24 23.26	+3.4150	+0.0052	+14 32 50.0	+3.104	−0.493	71.6	278 300	14 933
1672	7.2	24 27.68	3.4220	0.0052	14 49 55.4	3.097	0.494	71.7	280 306	14 934
1673	8.9	24 30.68	3.3272	0.0048	10 55 33.3	3.093	0.481	71.1	264 274	10 803
1674	8.9	24 31.42	3.3520	0.0049	11 57 24.8	3.092	0.484	69.6	77 155	11 836
1675	8.8	24 50.48	3.4056	0.0051	14 9 48.0	3.064	0.492	71.6	278 300	14 935
1676	8.9	5 24 53.98	+3.3764	+0.0050	+12 57 48.5	+3.059	−0.488	71.1	266 268 273 277	12 813
1677	8.6	24 55.83	3.3317	0.0048	11 6 31.9	3.057	0.482	77.4	264 274 754	11 837
1678	8.8	25 0.25	3.3339	0.0048	11 11 58.4	3.050	0.482	69.6	77 155	11 838
1679	8.5	25 6.73	3.3327	0.0048	11 8 56.5	3.041	0.482	77.4	264 274 754	11 839
1680	8.6	25 11.29	3.3327	0.0048	11 8 52.7	3.034	0.482	75.3	77 264 274 756	11 840
1681	8.7	5 25 15.39	+3.3488	+0.0048	+11 49 12.8	+3.029	−0.484	69.6	77 155	11 841
1682	8.9	25 16.12	3.3473	0.0048	11 45 30.0	3.027	0.484	76.4	77 155 757	11 842
1683	8.9	25 21.31	3.3967	0.0050	13 47 32.6	3.020	0.491	70.0	142 157	13 916
1684	8.7	25 29.44	3.3092	0.0046	10 9 48.0	3.008	0.478	78.6	57 73 738 739	10 806
1685	8.7	25 38.82	3.4050	0.0050	14 7 42.5	2.995	0.492	71.6	278 300	14 939
1686	8.8	5 25 52.29*	+3.3765	+0.0049	+12 57 35.7	+2.976	−0.488	77.4	266 273 757	12 815
1687	8.8	26 0.13	3.3432	0.0047	11 34 51.5	2.964	0.483	69.6	77 155	11 846
1688	9.1	26 13.01	3.4248	0.0051	14 55 34.2	2.945	0.495	71.7	280 306	[14 942]
1689	8.6	26 14.27	3.3320	0.0047	11 6 38.2	2.944	0.482	71.1	264 274	11 848
1690	6.3[8]	26 48.16	3.4074	0.0049	14 12 57.2	2.895	0.493	71.6	278 300	14 947
1691	8.6	5 26 54.28	+3.4120	+0.0049	+14 24 3.9	+2.886	−0.494	71.6	278 300	14 948
1692	9.0	27 4.86	3.3355	0.0046	11 15 12.1*	2.871	0.483	83.4	155 754 757	11 853
1693	8.5	27 5.79	3.4246	0.0050	14 54 46.7	2.869	0.496	71.7	280 306	14 950
1694	9.1	27 14.51	3.3345	0.0046	11 12 30.7	2.857	0.482	81.1	77 R	[11 854]
1695	8.8	27 18.68	3.3511	0.0047	11 54 0.6	2.850	0.485	76.4 79.8	77 155 756δ 757	11 856
1696	9.2	5 27 23.29	+3.3865	+0.0048	+13 21 22.3	+2.844	−0.490	81.6	157 R	[13 921]
1697	8.4	27 25.54	3.4001	0.0048	13 54 56.1	2.841	0.492	71.6	278 300	13 922
1698	8.8	27 56.66	3.3315	0.0045	11 4 52.0	2.796	0.482	71.1	264 274	11 861
1699	8.1	28 2.52	3.3859	0.0047	13 19 37.5	2.787	0.490	70.0	142 157	13 927
1700	8.4	28 16.85	3.3828	0.0047	13 12 3.6	2.767	0.490	70.0	142 157	13 930

[1] BD 6.5 [2] BD 6.9; Schätz. 8.0 7.7 [3] 7.8 7.3 8.7 8.5 [4] BD 7.0 [5] BD 9.4 [6] 7.7 6.5 8.4 8.0
[7] 7.5 8.2 8.0 8.2 8.4 7.3 6.7 [8] BD 5.7

Nr.	Gr.	A.R. 1875	Praec.	Var. saec.	Decl. 1875	Praec.	Var. saec.	Ep.	Zonen	B.D.
1701	5.9[1]	5h 28m 19s.25	+3s.3094	+0s.0044	+10° 9' 17".5	+2".763	−0".479	78.0	57 73 696 697	10° 818
1702	8.5	28 26.45	3.4108	0.0048	14 20 34.4	2.753	0.494	71.6	278 300	14 956
1703	8.2[2]	28 30.59	3.3161	0.0044	10 25 58.7	2.747	0.480	69.0	57 73	10 819
1704	8.7	28 34.54	3.3724	0.0046	12 46 7.3	2.741	0.488	71.1	266 273	12 824
1705	8.8	28 36.68	3.3504	0.0045	11 51 35.3	2.738	0.485	69.6	77 155	11 865
1706	9.0	5 28 42.18	+3.3462	+0.0045	+11 41 17.9	+2.730	−0.485	69.6	77 155	11 867
1707	8.7	28 46.63	3.3509	0.0045	11 52 49.2	2.724	0.485	69.6	77 155	11 868
1708	9.0	28 47.37	3.3337	0.0045	11 10 7.0	2.722	0.483	71.1	264 274	11 869
1709	8.0	29 7.94	3.3624	0.0045	12 21 14.0	2.693	0.487	71.1	268 277	12 829
1710	8.4	29 20.80	3.4168	0.0047	14 34 35.1	2.674	0.495	71.7	280 306	14 958
1711	9.2	5 29 22.28	+3.3521	+0.0045	+11 55 40.0	+2.672	−0.486	69.6	77 155	11 876
1712	8.7	29 33.84	3.3358	0.0044	11 14 52.5	2.655	0.483	71.1	264 274	11 878
1713	8.1	29 33.98	3.3544	0.0045	12 1 9.3	2.655	0.486	71.1	266 273	12 830
1714	8.7	29 35.48	3.4062	0.0047	14 8 46.1	2.653	0.494	71.6	278 300	14 959
1715	8.4	29 46.38	3.3480	0.0044	11 45 17.8	2.637	0.485	69.6	77 155	11 880
1716	8.5	5 29 59.61	+3.3635	+0.0045	+12 23 42.2	+2.618	−0.487	80.6 82.5	5 Beob.	12 833
1717	6.8[3]	30 7.58	3.3288	0.0043	10 57 19.3*	2.607	0.482	74.0 70.0	5 Beob.	10 828
1718	8.7	30 10.72	3.3709	0.0045	12 41 48.6	2.602	0.489	71.1	268 277	12 834
1719	9.0	30 14.33	3.3906	0.0045	13 30 10.4	2.597	0.491	70.0	142 157	13 938
1720	8.7	30 22.93	3.3469	0.0044	11 42 14.1	2.584	0.485	83.4 85.1	155 754 756δ 757	11 884
1721	9.3	5 30 25.64	+3.3288	+0.0043	+10 57 4.0	+2.581	−0.483	90.1	754 757	10 830
1722	7.8	30 28.44	3.4316	0.0047	15 9 58.6	2.576	0.497	71.7	280 306	15 871
1723	8.9	30 50.62	3.4298	0.0046	15 5 21.0	2.544	0.497	71.7	280 306	15 873
1724	8.6	30 59.81	3.4106	0.0045	14 18 48.6	2.531	0.495	71.6	278 300	14 965
*1725	8.9	31 13.05	3.3728	0.0044	12 45 56.4	2.512	0.489	71.1 77.4	268 277 756δ	12 841
1726	8.6	5 31 30.35	+3.3686	+0.0043	+12 35 35.2	+2.487	−0.489	80.6 82.5	5 Beob.	12 843
1727	8.7	31 48.69	3.4223	0.0045	14 46 40.6	2.460	0.496	71.7	280 306	14 970
1728	8.6	31 51.20	3.3758	0.0044	12 53 15.9	2.457	0.490	71.1	268 277	12 848
1729	8.0[4]	32 0.44	3.4150	0.0045	14 28 57.2	2.443	0.495	71.6	278 300	14 973
1730	8.9	32 0.59	3.3599	0.0043	12 13 56.8	2.443	0.487	71.0	266 273	12 850
1731	8.6	5 32 22.84	+3.3108	+0.0041	+10 11 20.4	+2.411	−0.480	87.1	696 697	} 10 838
1732	8.5	32 23.13	3.3107	0.0041	10 11 15.5	2.410	0.480	78.0	57 73 696 697	}
1733	8.6	32 25.22	3.3486	0.0042	11 45 43.9	2.407	0.486	69.6	77 155	11 896
1734	8.4	32 29.58	3.3406	0.0042	11 25 49.3	2.401	0.485	71.1	264 274	11 898
1735	8.2	32 33.10	3.3527	0.0042	11 55 58.1	2.396	0.486	69.6	77 155	11 899
1736	8.5	5 32 40.01	+3.4212	+0.0044	+14 43 37.1	+2.386	−0.496	71.6	278 280 300 306	14 978
1737	7.7	32 52.22	3.3775	0.0043	12 57 4.4	2.368	0.490	71.1	268 277	12 852
1738	8.6	32 52.92	3.3128	0.0040	10 16 6.5	2.367	0.481	69.0	57 73	10 840
1739	8.7	33 7.82	3.3329	0.0041	11 6 18.3	2.346	0.484	79.8 81.9	5 Beob.	11 901
1740	8.8	33 13.59	3.3394	0.0041	11 22 33.6	2.337	0.485	76.4	77 155 754	11 902
1741	8.1	5 33 17.73	+3.3108	+0.0040	+10 10 59.9	+2.331	−0.480	78.0	57 73 696 697	10 841
1742	8.8	33 24.74	3.4219	0.0044	14 45 3.1	2.321	0.497	71.6	278 300	14 981
1743	8.2	33 25.18	3.4290	0.0044	15 2 7.5	2.321	0.498	71.7	280 306	15 888
1744	8.8	33 30.94	3.3496	0.0041	11 47 43.5	2.312	0.486	69.6	77 155	11 903
1745	8.9[5]	33 38.69	3.4289	0.0044	15 1 58.3	2.301	0.498	82.6	306 R	[15 891]
1746	8.9	5 34 3.27	+3.3413	+0.0040	+11 27 7.0	+2.265	−0.485	70.3	77 155 264 274	11 906
1747	8.8	34 7.22	3.3688	0.0041	12 35 1.0	2.260	0.489	71.1	268 277	12 857
1748	9.0	34 21.25	3.3639	0.0041	12 23 0.6	2.239	0.488	71.1	266 273	12 858
1749	7.9	34 24.48	3.4321	0.0043	15 9 13.4	2.235	0.498	71.7	280 306	15 896
*1750	8.8	34 26.16	3.3810	0.0041	13 4 53.9	2.232	0.491	70.0	142 157	13 954

[1] BD 6.5 [2] BD 8.7 [3] 6.3 6.7 6.7 7.5 —; röthlich [4] BD 7.2 [5] Nur Z. 306; BD 9.4

Nr.	Gr.	A.R. 1875	Praec.	Var. saec.	Decl. 1875	Praec.	Var. saec.	Ep.	Zonen	B.D.
1751[1]	8.9	5h 34m 34s.09*	+3s.3650	+0s.0041	+12° 25' 30".3	+2".221	−0".489	71.1	266 268 273 277	12° 862
1752	8.8	34 34.70	3.3999	0.0042	13 51 14.7	2.220	0.494	71.6	278 300	13 955
1753	8.8	34 42.51	3.3358	0.0040	11 13 1.4	2.209	0.484	71.1	264 274	11 910
1754	9.0	34 46.35	3.3655	0.0040	12 26 45.3	2.203	0.489	71.1	266 273 277	12 863
1755	8.7	34 47.13	3.4226	0.0042	14 46 6.7	2.202	0.497	71.6	278 300	14 985
1756	8.7	5 34 49.05	+3.4251	+0.0042	+14 52 20.4	+2.199	−0.497	71.7	280 306	14 986
1757	9.1	34 50.22	3.3082	0.0039	10 4 10.0	2.198	0.481	84.1	439 441	[10 851]
1758	8.8	34 55.54	3.3074	0.0039	10 1 59.2	2.190	0.480	76.6	57 70 439 441	10 852
1759	8.6	35 6.39	3.3920	0.0041	13 31 38.4	2.174	0.493	70.0	142 157	13 957
1760	8.6	35 20.26	3.3770	0.0040	12 54 51.0	2.154	0.491	71.1	268 277	12 869
1761	8.4	5 35 31.83	+3.4275	+0.0042	+14 57 46.2	+2.137	−0.498	71.7	280 306	14 988
1762	7.1	35 35.12	3.3180	0.0038	10 28 31.8	2.132	0.482	69.0	57 70	10 855
1763	8.7	35 39.84	3.4321	0.0042	15 8 45.6	2.125	0.499	71.7	280 306	15 904
1764	7.6	35 52.41	3.4066	0.0041	14 6 58.1	2.107	0.495	71.6	278 300	14 991
1765	8.7	35 58.99	3.3812	0.0040	13 4 58.1	2.098	0.491	70.0	142 157	13 964
1766	7.6[2]	5 36 24.74*	+3.3173	+0.0038	+10 26 25.9	+2.060	−0.482	79.5	57 70 754 756	10 859
1767	8.7	36 24.79	3.4125	0.0040	14 21 0.4	2.060	0.496	71.6	278 300	14 998
1768	8.6	36 26.11	3.4099	0.0040	14 14 43.2	2.058	0.495	71.6	278 300	14 999
1769	8.2	36 33.63	3.3777	0.0039	12 56 6.5	2.048	0.491	71.1	268 277	12 875
1770	8.7	36 45.21	3.4195	0.0040	14 38 3.7	2.031	0.497	90.1	754 756	14 1003
1771	8.1	5 36 53.37	+3.3391	+0.0038	+11 20 43.8	+2.019	−0.485	70.3	77 155 264 274	11 920
1772	8.7	37 3.95	3.3710	0.0039	12 39 32.9	2.004	0.490	71.1	268 277	12 880
1773	8.9	37 7.54	3.3856	0.0039	13 15 22.4	1.998	0.492	70.0	142 157	13 967
1774	7.6	37 22.52	3.4289	0.0040	15 0 22.0	1.977	0.498	71.7	280 306	14 1008
1775	9.0[3]	37 33.01	3.3202	0.0037	10 33 30.0	1.961	0.483	71.1	264 274	[10 864]
1776	8.3	5 37 37.30	+3.4168	+0.0039	+14 31 9.8	+1.955	−0.497	71.6	278 300	14 1010
1777	7.7	37 40.66	3.3638	0.0038	12 21 32.7	1.950	0.489	71.1	266 273	12 882
1778	8.5[4]	37 42.67	3.3394	0.0037	11 21 3.6	1.947	0.486	90.1	754 756	11 929
1779	8.6	37 45.70	3.4172	0.0039	14 31 57.5	1.943	0.497	71.6	278 300	14 1012
1780	8.7	37 51.68	3.3490	0.0037	11 44 51.4	1.934	0.487	69.6	77 155	11 930
1781	8.5	5 37 59.01	+3.3922	+0.0038	+13 31 12.4	+1.923	−0.493	70.0	142 157	13 971
1782	7.2	37 59.34	3.3754	0.0038	12 49 56.4	1.923	0.491	71.1	268 277	12 884
1783	8.7	38 5.99	3.3179	0.0036	10 27 27.9	1.913	0.482	69.0	57 70	10 870
1784	8.5[4]	38 8.00	3.3580	0.0037	12 7 4.2	1.911	0.488	80.6	266 273 754 757	12 885
1785	8.8	38 9.65	3.3205	0.0036	10 33 56.7	1.908	0.483	82.1	274 R	[10 871]
1786	8.5	5 38 12.45	+3.3955	+0.0038	+13 39 10.4	+1.904	−0.494	70.0	142 157	13 974
1787	8.1	38 20.73	3.3730	0.0037	12 44 3.8	1.892	0.491	71.1	268 277	12 889
1788	8.7	38 32.11	3.4200	0.0039	14 38 27.7	1.876	0.497	71.7	280 306	14 1018
1789	8.9	39 0.78	3.3567	0.0036	12 3 35.3	1.834	0.488	70.6	155 273	12 892
1790	8.4	39 4.42	3.3249	0.0036	10 44 46.2	1.829	0.484	69.0	57 70	10 876
1791	8.9	5 39 9.00	+3.3572	+0.0036	+12 4 53.0	+1.822	−0.488	70.3	77 155 266 273	12 893
1792	8.7	39 12.57	3.3082	0.0035	10 2 58.4	1.817	0.481	76.6	57 70 439 441	10 878
1793	8.5	39 23.16	3.3667	0.0036	12 28 8.0	1.801	0.490	71.1	268 277	12 894
1794	7.4	39 44.27	3.3283	0.0035	10 52 55.3	1.771	0.484	69.0	57 70	10 885
*1795	7.7	39 47.52	3.3311	0.0035	11 0 4.0	1.766	0.485	79.5	57 70 754 756	10 886
1796	8.9	5 39 57.89	+3.3353	+0.0035	+11 10 21.7	+1.751	−0.485	71.1	264 274	11 940
1797	5.8	40 5.94	3.4152	0.0037	14 26 23.7	1.739	0.497	71.6	278 300	14 1025
1798	7.9	40 11.24	3.3624	0.0036	12 17 26.7	1.731	0.489	71.1	266 273	12 896
1799	8.5[5]	40 23.82	3.3700	0.0036	12 35 57.4	1.713	0.490	80.6	268 277 754 756	12 897
*1800	8.6	40 27.98	3.3605	0.0035	12 12 34.6	1.707	0.489	71.1	266 273	12 899

[1] 10m seq. 2s 30"A.; 9m.5 praec. 14s 2'.5 A. [2] 8.1 7.5 7.2 7.7; BD 8.2 [3] BD 9.5; Schätz. 9.1 9.0
[4] BD 9.0 [5] 11m 35s 345°; 9m.6 praec. 0s.1 1'.1 B.

Nr.	Gr.	A.R. 1875	Praec.	Var. saec.	Decl. 1875	Praec.	Var. saec.	Ep.	Zonen	B. D.
1801	8.0	5h 40m 31s.15	+3s.4288	+0s.0037	+14° 58' 58".6	+1".702	−0".499	71.7	280 306	14° 1027
1802	6.1[1]	40 37.57	3.4007	0.0036	13 51 5.9	1.693	0.495	70.0	142 157	13 979
1803	8.8	40 47.79*	3.3896	0.0035	13 23 52.8	1.679	0.493	70.0	142 157	13 981
1804	8.6	40 58.63	3.3559	0.0035	12 1 8.6	1.663	0.488	71.1	266 273	12 901
1805	7.5	41 1.37	3.3645	0.0035	12 22 16.8	1.659	0.490	71.1	268 277	12 902
1806	8.4	5 41 5.62	+3.3323	+0.0034	+11 2 35.6	+1.653	−0.485	71.1	264 274	11 943
1807	8.7[2]	41 12.60	3.3696	0.0035	12 34 48.4	1.642	0.490	82.1	268 R	[12 904]
1808	8.6	41 30.50	3.3690	0.0034	12 33 13.6	1.616	0.490	71.1	268 277	12 907
1809	7.3	41 47.91	3.3544	0.0034	11 57 10.4	1.591	0.488	69.6	77 155	11 945
1810	8.2	41 59.00	3.4057	0.0035	14 2 48.5	1.575	0.496	71.6	278 300	14 1034
1811[3]	8.7	5 42 0.63	+3.4252	+0.0035	+14 49 59.4	+1.572	−0.499	80.9	280 306 754 756	14 1033
1812	8.5	42 1.51	3.3666	0.0034	12 27 13.5	1.571	0.490	71.1	266 273	12 909
1813	8.6	42 12.63	3.3582	0.0034	12 6 27.8	1.556	0.489	71.1	266 273	12 910
1814	8.5	42 20.33	3.4016	0.0034	13 52 45.4	1.544	0.495	70.0	142 157	13 988
1815	8.4[4]	42 23.43	3.4140	0.0035	14 22 47.5	1.539	0.497	71.6	278 300	14 1036
1816	8.4	5 42 24.40	+3.3768	+0.0034	+12 52 18.8	+1.538	−0.492	71.1	268 277	12 911
1817	5.6[5]	42 31.61	3.3704	0.0034	12 36 33.7	1.528	0.491	71.1	268 277	12 912
1818	9.0	42 32.99	3.3595	0.0033	12 9 33.5	1.526	0.489	71.1	266 273	12 913
1819	8.8	42 34.72	3.3560	0.0033	12 1 6.6	1.523	0.489	80.6	266 273 754 756	12 914
1820	8.3	42 39.58	3.3237	0.0033	10 40 53.5	1.516	0.484	69.0	57 70	10 897
1821	8.2	5 42 49.82	+3.4255	+0.0034	+14 50 20.0	+1.501	−0.499	71.7	280 306	14 1037
1822	8.4	42 58.98	3.3615	0.0033	12 14 26.5	1.488	0.490	71.1	268 277	12 916
1823	8.7	42 59.29	3.3478	0.0033	11 40 40.5	1.487	0.488	69.6	77 155	11 949
1824	8.9	43 14.18	3.3862	0.0033	13 15 6.2	1.466	0.493	70.0	142 157	13 994
1825	8.7	43 18.89	3.4129	0.0034	14 19 52.4	1.459	0.497	71.6	278 300	14 1040
1826	5.8	5 43 22.22	+3.4113	+0.0034	+14 16 1.3	+1.454	−0.497	71.7	280 306	14 1041
1827	8.6	43 26.12	3.3885	0.0033	13 20 38.1	1.448	0.493	70.0	142 157	13 996
1828	8.5	43 29.12	3.4008	0.0033	13 50 37.3	1.444	0.495	70.0	142 157	13 997
1829	8.9	43 36.78	3.3675	0.0033	12 29 0.5	1.433	0.490	71.1	268 277	12 918
1830	9.0	43 39.03	3.3424	0.0032	11 27 4.2	1.430	0.487	70.8	155 264 274	11 952
1831	8.4	5 43 40.65	+3.3195	+0.0032	+10 30 11.8	+1.427	−0.484	69.0	57 70	10 903
1832	7.3	43 41.67	3.4148	0.0033	14 24 18.0	1.426	0.497	71.7	280 306	14 1047
1833	7.1	43 45.48	3.4050	0.0033	14 0 31.9	1.420	0.496	71.6	278 300	14 1048
1834	8.8	43 48.38	3.3575	0.0032	12 4 23.9	1.416	0.489	71.1	266 273	12 919
1835	8.8	43 52.43	3.3173	0.0031	10 24 41.9[6]	1.410	0.483	80.6 83.7	264 274a 754 756	10 904
1836	8.6	5 43 52.63	+3.4051	+0.0033	+14 0 50.6	+1.410	−0.496	71.6	278 300	14 1050
1837	8.6	43 56.40	3.4201	0.0033	14 37 6.5	1.404	0.498	71.7	280 306	14 1051
1838	8.6	44 0.04	3.3212	0.0031	10 34 18.8	1.399	0.484	71.1	264 274	10 905
1839	7.7[7]	44 5.37	3.3426	0.0032	11 27 38.4	1.391	0.487	70.6	6 Beob.	11 953
1840	8.5	44 10.58	3.3322	0.0031	11 1 44.4	1.384	0.485	90.1	754 756	11 954
*1841	8.8	5 44 32.94	+3.3126	+0.0031	+10 12 58.7	+1.351	−0.483	76.6	57 70 439 441	10 908
1842	8.8	44 36.96	3.3885	0.0032	13 20 12.3	1.345	0.494	70.0	142 157	[13 1003]
1843	8.7	44 47.56	3.4065	0.0032	14 4 6.8	1.330	0.496	71.6	278 300	14 1055
1844	8.5[8]	44 48.14	3.4243	0.0032	14 46 58.9	1.329	0.499	71.7	280 306	14 1054
*1845	8.9	44 53.42	3.3171	0.0031	10 24 4.7	1.321	0.483	69.0	57 70	10 910
1846	8.5	5 44 55.99	+3.3231	+0.0031	+10 38 58.9	+1.317	−0.484	69.0	57 70	10 911
1847	8.2[9]	44 56.67	3.4140	0.0032	14 22 10.3	1.316	0.497	71.7	280 306	14 1058
1848	8.8	45 9.12	3.3890	0.0032	13 21 22.9	1.298	0.494	83.4	157 754 756	13 1007
1849	8.6	45 13.23	3.3764	0.0031	12 50 38.8	1.292	0.492	71.1	268 277	12 925
1850	9.3	45 14.70	3.4333	0.0032	15 8 28.8	1.290	0.500	90.1	754 756	[15 962]

[1] BD 5.3 [2] Nur Z.268; BD 9.2 [3] 9m.6 praec. 12s 0s.6 A. [4] 9m.2 8" 260° [5] 5.0 6.3; BD 5.1
[6] Z.274 [47".4] [7] 7.8 7.0 7.8 7.7 8.0 7.8; BD 7.0 [8] BD 9.0; Schätz. 8.5 8.6 [9] BD 8.7

Nr.	Gr.	A.R. 1875	Praec.	Var. saec.	Decl. 1875	Praec.	Var. saec.	Ep.	Zonen	B.D.
1851	5.6	5h 45m 16s.23	+3s.4083	+0s.0032	+14° 8' 15".5	+1".288	−0".497	71.6	278 300	14° 1060
1852	8.9	45 20.66	3.3691	0.0031	12 32 36.9	1.282	0.491	71.1	268 277	12 926
1853	8.7	45 26.09	3.3631	0.0031	12 17 54.0	1.274	0.490	71.1	266 273	12 927
1854	8.7	45 31.85	3.3101	0.0030	10 6 30.4	1.265	0.482	76.6	57 70 439 441	10 913
1855	9.2	45 32.05*	3.4331	0.0032	15 8 0.4*	1.265	0.500	95.2	R(2)	15 966
1856	8.9	5 45 34.06	+3.3683	+0.0031	+12 30 38.9	+1.262	−0.491	71.1	268 277	12 928
1857	8.7	46 1.40	3.4260	0.0031	14 50 50.4	1.222	0.499	71.7	280 306	14 1064
1858	9.2	46 7.62	3.4140	0.0031	14 21 49.2	1.213	0.497	82.6	300 R	[14 1065]
1859	8.1[1]	46 13.46	3.3507	0.0030	11 47 12.2	1.205	0.488	71.1	264 274	11 960
1860	8.7	46 14.64	3.4298	0.0031	15 0 3.9	1.203	0.500	71.7	280 306	14 1066
1861	8.7	5 46 18.36	+3.3774	+0.0030	+12 52 49.7	+1.198	−0.492	71.1	268 277	12 932
1862	8.7	46 29.58	3.4150	0.0031	14 24 9.8	1.181	0.498	71.6	278 300	14 1067
1863	8.4	46 35.07	3.4016	0.0030	13 51 39.4	1.173	0.496	70.0	142 157	13 1018
1864	8.5	46 52.68	3.4319	0.0031	15 4 51.2	1.148	0.500	71.7	280 306	15 975
1865	8.4[2]	46 58.10	3.3657	0.0029	12 23 59.2	1.140	0.491	71.1	266 273	12 937
1866	9.0	5 47 2.88	+3.3678	+0.0029	+12 29 5.9*	+1.132	−0.491	80.6	268 277 754 756	12 939
1867	8.4	47 3.74*	3.3132	0.0029	10 13 55.2	1.131	0.483	79.7	5 Beob.	10 922
1868	8.8	47 5.20	3.3568	0.0029	12 2 8.3	1.129	0.489	71.1	266 273	12 941
1869	8.4	47 7.87	3.3688	0.0029	12 31 28.3	1.126	0.491	80.6	268 277 754 757	12 942
*1870	7.5[3]	47 15.23	3.3128	0.0029	10 12 58.9	1.115	0.483	76.6	57 70 439 441	10 926
1871	6.1	5 47 18.10	+3.3211	+0.0029	+10 33 29.9	+1.111	−0.484	69.0	57 70	10 927
1872	7.2[4]	47 33.28	3.3496	0.0029	11 44 15.6	1.089	0.488	69.6	77 155	11 964
1873	8.0	47 38.30	3.3429	0.0029	11 27 34.3	1.081	0.487	70.4	77 264 274	11 965
1874	7.8[5]	47 39.59	3.4008	0.0029	13 49 40.2	1.079	0.496	71.1	142 278 300	13 1026
1875	8.3	47 41.98	3.4006	0.0029	13 49 10.3	1.076	0.496	71.1	142 278 300	13 1027
1876	7.5	5 47 48.95	+3.4099	+0.0029	+14 11 39.1	+1.066	−0.497	71.6	278 300	14 1074
1877	8.6	48 13.54	3.3773	0.0029	12 52 13.0	1.030	0.492	71.1	268 277	12 946
1878	9.4	48 16.17	3.3421	0.0028	11 25 34.7*	1.026	0.487	83.4	155 754 756	11 968
1879	8.3	48 23.79	3.3186	0.0028	10 27 6.5	1.015	0.484	69.0	57 70	10 932
1880	9.0[6]	48 28.81	3.3793	0.0028	12 57 4.7	1.008	0.493	82.1	273 R	[12 949]
1881	8.5	5 48 32.69	+3.4095	+0.0029	+14 10 35.8	+1.002	−0.497	71.6	278 300	14 1079
1882	8.4	48 36.20	3.3800	0.0028	12 58 40.8	0.997	0.493	71.1	268 273 277	12 950
1883	9.0[7]	48 39.11	3.3508	0.0028	11 47 9.3	0.993	0.489	69.6	77 155	11 970
1884	8.6	48 48.25	3.4046	0.0028	13 58 36.5	0.979	0.496	71.1	157 278 300	13 1035
*1885	7.7[8]	48 54.83*	3.4032	0.0028	13 55 5.2*	0.970	0.496	78.7	5 Beob.	13 1036
*1886	8.7	5 48 55.18	+3.4031	+0.0028	+13 55 3.4	+0.969	−0.496	94.9	R(3)	13 1037
1887	8.4	48 58.11	3.3791	0.0028	12 56 26.1	0.965	0.493	71.1	266 273	12 951
1888	8.1	49 3.97	3.3439	0.0027	11 29 58.0	0.956	0.488	70.8	155 264 274	11 971
1889	9.1	49 6.48	3.3790	0.0028	12 56 12.1	0.953	0.493	80.6	266 757	12 953
1890	8.8	49 15.56	3.3372	0.0027	11 13 24.4	0.940	0.487	71.1	264 274	11 972
1891	8.7	5 49 17.08	+3.4183	+0.0028	+14 31 38.7	+0.937	−0.498	71.7	280 306	14 1081
1892	9.0[9]	49 25.92	3.4022	0.0028	13 52 37.8	0.924	0.496	81.6	157 R	[13 1042]
1893	8.6	49 35.39	3.3324	0.0027	11 1 19.8	0.911	0.486	71.1	264 274	11 974
1894	8.8	49 38.84	3.3828	0.0027	13 5 24.7	0.906	0.493	70.7	142 268 277	13 1043
1895	8.1	49 39.67	3.4316	0.0028	15 3 36.4	0.904	0.500	71.7	280 306	15 991
*1896	8.9	5 49 42.09	+3.3205	+0.0027	+10 31 50.9	+0.901	−0.484	69.0	57 70	10 936
1897	9.1	49 44.67*	3.3832	0.0027	13 6 24.0	0.897	0.493	77.4	268 277 756	13 1044
1898	6.0[10]	49 50.41	3.3440	0.0027	11 30 9.3	0.889	0.488	69.6	77 155	11 975
*1899	8.7	49 53.55	3.3647	0.0027	12 21 9.5	0.884	0.491	77.4	266 273 757	12 956
1900	8.9[11]	49 57.89	3.3974	0.0027	13 40 51.8	0.878	0.495	82.2	278 R	[13 1047]

[1] BD 7.5; Schätz. 8.0 8.3 [2] BD 7.5; Schätz. 8.5 8.4 [3] 7.3 6.8 7.8 8.2 [4] 7.7 6.7 [5] 7.3 7.8 8.3
[6] Nur Z. 273; BD 9.5 [7] BD 8.5 [8] BD 7.0; 8.2 7.5 8.2 7.0 7.5; 9m.6 praec. 5s 0'.2 B. [9] Nur Z. 157; BD 9.5
[10] Nur Z. 155; BD 6.5 [11] Nur Z. 278; BD 9.4

Nr.	Gr.	A.R. 1875	Praec.	Var. saec.	Decl. 1875	Praec.	Var. saec.	Ep.	Zonen	B.D.
1901	8.4	5h 50m 14s.37	+3s.3128	+0s.0026	+10° 12' 36".3	+0".854	−0".483	77.5	57 70 612 613	10° 939
1902	9.0	50 16.18	3.3602	0.0026	12 9 55.5	0.851	0.490	71.1	266 273	12 957
1903	8.7	50 16.58	3.3129	0.0026	10 12 49.6	0.851	0.483	86.1	612 613	— —
1904	8.4	50 19.35	3.3422	0.0026	11 25 35.0	0.847	0.487	69.6	88 155	11 977
1905	8.8	50 21.08	3.3686	0.0026	12 30 34.6	0.844	0.491	71.1	268 277	12 958
1906	7.5[1]	5 50 24.10	+3.4063	+0.0027	+14 2 30.6	+0.840	−0.497	81.1	300 757	14 1088
1907	8.9	50 26.59	3.3820	0.0027	13 3 15.0	0.836	0.493	70.0	142 157	13 1051
1908	8.3	50 29.03	3.3976	0.0027	13 41 23.1	0.832	0.495	81.1	300 754	13 1052
1909	8.6	50 30.68	3.4281	0.0027	14 55 2.2	0.830	0.500	71.7	280 306	14 1089
1910	8.7	50 33.31	3.4278	0.0027	14 54 13.7	0.826	0.500	71.7	280 306	14 1090
1911	8.7	5 50 33.53	+3.3778	+0.0026	+12 53 4.2	+0.826	−0.493	71.1	268 277	12 959
1912	9.1	50 39.72	3.3814	0.0026	13 1 51.7	0.817	0.493	70.0	142 157	13 1054
1913	8.2	50 41.12	3.4218	0.0027	14 39 57.4	0.815	0.499	71.6	278 300	14 1091
1914	8.6	50 44.01	3.4289	0.0027	14 56 53.5	0.810	0.500	77.8	280 306 758	14 1093
1915[2]	8.9	50 51.38	3.3721	0.0026	12 39 12.0	0.800	0.492	77.4	266 273 756	12 961
1916	8.3	5 51 3.05	+3.3773	+0.0026	+12 51 55.1	+0.783	−0.493	71.1	268 277	12 963
1917	8.6	51 19.65	3.3800	0.0026	12 58 21.9	0.759	0.493	71.1	268 277	12 965
1918	8.7	51 28.35	3.3109	0.0025	10 7 36.7	0.746	0.483	79.1	264 274 696 697	10 948
1919	8.9	51 35.82	3.3125	0.0025	10 11 38.0	0.735	0.483	75.4	6 Beob.	10 949
1920	8.6[3]	51 36.63	3.3099	0.0025	10 5 6.2	0.734	0.483	88.1	696 697 754	10 950
1921	8.7	5 51 46.80	+3.4302	+0.0026	+14 59 48.1	+0.719	−0.500	71.7	280 306	14 1100
1922	8.8	51 50.92	3.4138	0.0025	14 20 16.2	0.713	0.498	71.6	278 300	14 1102
1923	6.7	51 51.33	3.3756	0.0025	12 47 38.6	0.713	0.492	71.1	266 273	12 968
1924	9.0	51 51.90	3.3128	0.0025	10 12 25.3	0.712	0.483	84.3	5 Beob.	10 954
1925	8.8	52 12.30	3.3781	0.0025	12 53 31.8	0.682	0.493	71.1	268 277	12 971
1926	8.2	5 52 17.61	+3.3985	+0.0025	+13 43 22.5	+0.674	−0.496	70.0	142 157	13 1065
1927	8.6	52 21.62	3.3502	0.0025	11 44 59.7	0.668	0.489	71.1	264 274	11 986
1928	8.1	52 26.72	3.3675	0.0024	12 27 33.1	0.661	0.491	71.1	266 273	12 975
1929	8.8	52 31.24	3.3561	0.0024	11 59 40.2*	0.654	0.489	79.9	88 155 754 756	11 990
1930	8.6	52 58.66	3.3817	0.0024	13 2 23.0	0.614	0.493	70.0	142 157	13 1072
1931	7.8	5 53 5.80	+3.4333	+0.0024	+15 7 14.8	+0.604	−0.501	71.7	280 306	15 1018
1932	8.8	53 13.19	3.3597	0.0024	12 8 27.4	0.593	0.490	71.1	266 273	12 979
1933	7.8	53 15.75	3.3710	0.0024	12 36 5.8	0.590	0.492	71.1	268 277	12 980
1934	9.0	53 24.65	3.3546	0.0024	11 55 43.2*	0.576	0.489	81.1	88 R	[11 993]
1935	8.2	53 32.52	3.4290	0.0024	14 56 54.7	0.565	0.500	71.7	280 306	14 1109
1936	8.6	5 53 34.21	+3.3129	+0.0023	+10 12 32.0	+0.563	−0.483	77.5	57 70 612 613	10 967
1937	8.6	53 35.17	3.3558	0.0023	11 58 50.3*	0.561	0.489	79.9	88 155 754 756	11 995
1938	8.6	53 54.39	3.3786	0.0023	12 54 47.0	0.533	0.493	71.1	268 277	12 984
1939	8.6	53 55.29	3.4229	0.0023	14 42 7.3	0.532	0.499	71.8	280 300 306	14 1112
1940	8.6	53 55.61	3.3496	0.0023	11 43 26.8	0.531	0.488	69.6	88 155	11 996
1941	8.7	5 54 0.93	+3.4245	+0.0023	+14 45 49.6	+0.523	−0.499	71.8	278 300 306	14 1114
1942	8.7	54 3.86	3.3605	0.0023	12 10 10.1	0.519	0.490	71.1	266 273	12 985
1943	8.3	54 6.52	3.3174	0.0023	10 23 37.6	0.515	0.484	69.0	57 70	10 973
1944	8.8	54 7.67	3.3731	0.0023	12 41 8.6	0.514	0.492	71.1	268 277	12 986
1945	7.8	54 26.07	3.3839	0.0023	13 7 32.8	0.487	0.493	70.0	142 157	13 1076
1946[4]	8.7	5 54 26.40	+3.3914	+0.0023	+13 25 47.3	+0.486	−0.495	90.1	754 756	13 1077
1947	8.9	54 30.73	3.3317	0.0022	10 59 11.1	0.480	0.486	82.1	274 R	[10 975]
1948	8.8	54 37.16	3.3939	0.0023	13 31 51.5	0.471	0.495	70.0	142 157	13 1078
1949	9.5	54 38.92	3.3327	0.0022	11 1 42.2	0.468	0.486	93.1	R	— —
1950	9.1	54 50.21	3.3829	0.0022	13 5 9.2*	0.452	0.493	91.8	754 757 R	[13 1080]

[1] 8.1 6.9 [2] 9m.2 praec. 2s.2 0'.7 A. [3] BD 9.1 [4] 9m.3 praec. 5s 0'.2 B.; 9m.1 seq. 1s 1'.6 B.

Nr.	Gr.	A.R. 1875	Praec.	Var. saec.	Decl. 1875	Praec.	Var. saec.	Ep.	Zonen	B.D.
1951	8.8	$5^{h}\ 54^{m}\ 50^{s}.47$	$+3^{s}.3825$	$+0^{s}.0022$	+13° 4' 2".3	+0".452	−0".493	76.7	142 157 757	13° 1079
1952	8.6	55 5.40	3.4274	0.0022	14 52 44.6	0.430	0.500	71.7	280 306	14 1115
1953	8.2[1]	55 6.14	3.3479	0.0022	11 39 11.1	0.429	0.488	69.6	88 155	11 1002
1954	8.9	55 13.20	3.3602	0.0022	12 9 25.7	0.418	0.490	71.1	266 273	12 992
1955	9.5[2]	55 14.54	3.3828	0.0022	13 4 54.4	0.416	0.493	94.2	R(2)	[13 1083]
1956	8.3	5 55 19.83	+3.3796	+0.0022	+12 56 58.5	+0.409	−0.493	71.1	268 277	12 993
1957	8.9	55 20.74	3.3471	0.0022	11 37 11.7*	0.407	0.488	69.6	88 155	11 1003
1958	7.9[3]	55 26.80	3.3879	0.0022	13 17 17.8	0.399	0.494	84.1	300 756 757	13 1084
1959	7.8	55 30.66	3.3814	0.0022	13 1 24.5	0.393	0.493	70.0	142 157	13 1085
1960	8.9	55 33.84	3.3324	0.0022	11 0 45.7	0.388	0.486	71.1	264 274	11 1004
1961	8.5	5 55 37.12	+3.3727	+0.0022	+12 40 6.2	+0.384	−0.492	71.1	268 277	12 994
1962	8.5	55 46.06	3.3342	0.0021	11 5 24.2	0.370	0.486	71.1	264 274	11 1005
1963	8.4	56 1.66	3.4146	0.0021	14 21 57.3	0.348	0.498	75.3	5 Beob.	14 1124
1964	9.0	56 3.03	3.3345	0.0021	11 5 58.6	0.346	0.486	71.1	264 274	11 1006
1965	8.5	56 3.47	3.3710	0.0021	12 35 48.8	0.345	0.492	71.1	266 273	12 999
1966	8.0	5 56 13.80	+3.3715	+0.0021	+12 37 0.8	+0.330	−0.492	71.1	266 268 273 277	12 1000
1967	7.9	56 20.74	3.3354	0.0021	11 8 8.2	0.320	0.486	70.1	88 155 264	11 1007
1968	8.3	56 24.04	3.3342	0.0021	11 5 22.0	0.315	0.486	71.1	264 274	11 1008
1969	6.2	56 26.14	3.3486	0.0021	11 40 52.8*	0.312	0.488	69.6	88 155	11 1009
*1970	8.4	56 33.85	3.4144	0.0021	14 21 20.1	0.301	0.498	85.1	300 754 756 758	14 1128
1971	8.5[4]	5 56 34.06	+3.3232	+0.0021	+10 37 49.6*	+0.300	−0.485	77.7	57 70 R	10 987
1972	8.2	56 44.17	3.4296	0.0021	14 57 54.5	0.286	0.500	71.7	280 306	14 1129
1973	8.4	56 45.32	3.3836	0.0021	13 6 40.6	0.284	0.493	70.0	142 157	13 1092
1974	8.9	56 46.04	3.3844	0.0021	13 8 32.1	0.283	0.494	81.6	157 R	[13 1093]
1975	8.8	56 46.13	3.3439	0.0021	11 29 19.1	0.283	0.488	69.6	88 155	11 1011
1976	8.8	5 56 46.20	+3.3111	+0.0021	+10 7 51.4	+0.283	−0.483	86.1	612 613	[10 989]
1977	8.9	56 48.44	3.3228	0.0021	10 36 57.3	0.279	0.485	69.0	57 70	[10 988]
1978	8.7	57 0.45	3.4212	0.0020	14 37 40.7	0.262	0.499	77.8	280 306 754	14 1131
1979	8.6	57 2.76	3.3948	0.0020	13 34 4.2	0.258	0.495	70.0	142 157	13 1094
1980	8.4	57 4.98	3.4074	0.0020	14 4 34.7	0.255	0.497	71.6	278 300	14 1133
1981	8.8	5 57 6.45	+3.3693	+0.0020	+12 31 47.2	+0.253	−0.491	78.1	266 273 828	12 1005
1982	8.5	57 11.67	3.3325	0.0020	11 1 8.3	0.245	0.486	71.1	264 274	11 1012
1983	9.0	57 13.07	3.3751	0.0020	12 45 59.0	0.243	0.492	71.1	268 277	12 1006
1984	8.5	57 16.71	3.4022	0.0020	13 51 54.9	0.238	0.496	71.6	278 300	13 1095
1985	8.5[4]	57 30.28	3.3983	0.0020	13 42 25.1	0.218	0.496	70.0	142 157	13 1099
1986	8.2[5]	5 57 45.11	+3.3203	+0.0020	+10 30 49.3	+0.197	−0.484	70.0	57 70 264 274	10 991
1987	8.8	57 47.03	3.3815	0.0020	13 1 27.2	0.194	0.493	83.4	157 756 757	13 1100
1988	7.1	57 50.52	3.4155	0.0020	14 23 57.1	0.189	0.498	71.7	280 306	14 1136
1989	8.7	58 0.51	3.3297	0.0020	10 54 8.0	0.174	0.486	69.0	57 70	10 995
1990[6]	8.7	58 8.86	3.4231	0.0019	14 42 19.8	0.162	0.499	77.8	280 306 758	14 1137
1991	8.6	5 58 12.82	+3.3888	+0.0019	+13 19 22.3	+0.156	−0.494	70.0	142 157	13 1102
1992	8.8	58 18.26	3.3725	0.0019	12 39 28.6	0.149	0.492	71.1	266 273	12 1008
*1993	8.1	58 19.72	3.4201	0.0019	14 34 58.7	0.146	0.499	71.7	280 306	14 1139
1994	8.8	58 22.20	3.3672	0.0019	12 26 25.6	0.143	0.491	71.1	266 273	12 1009
1995	8.8	58 25.17	3.3496	0.0019	11 43 19.3	0.137	0.488	69.6	88 155	11 1019
1996	8.9	5 58 32.82	+3.3202	+0.0019	+10 30 28.7	+0.127	−0.484	71.1	264 274	10 997
1997	8.5	58 37.00	3.3739	0.0019	12 42 59.5	0.121	0.492	77.4	268 277 757	12 1012
1998	9.6	58 38.15	3.3926	0.0019	13 28 30.0	0.119	0.495	90.1	754 756	13 1103
1999	8.1	58 43.89	3.3376	0.0019	11 13 35.3	0.111	0.487	69.6	88 155	11 1022
2000	8.8	58 55.85	3.3478	0.0019	11 38 49.2	0.093	0.488	69.6	88 155	11 1023

[1] $9^{m}.7$ 25^{s} 106° [2] Grösse nach BD [3] 8.4 7.5 7.7 [4] BD 9.0 [5] 8.1 7.5 8.6 8.6
[6] $9^{m}.5$ seq. 11^{s} 0'.4 A.; $9^{m}.4$ seq. 15^{s} 0'.8 B.

Nr.	Gr.	A.R. 1875	Praec.	Var. saec.	Decl. 1875	Praec.	Var. saec.	Ep.	Zonen	B.D.
2001	8.0	$5^h\ 58^m\ 59^s.88$	$+3^s.3683$	$+0^s.0019$	+12° 29′ 14″.4	+0″.088	−0″.491	71.1	266 273	12° 1013
2002	8.3[1]	59 2.09	3.3943	0.0018	13 32 42.4	0.084	0.495	70.0	142 157	13 1105
2003	8.8	59 4.35	3.3787	0.0019	12 54 39.8	0.081	0.493	71.1	268 277	12 1014
2004	8.9	59 23.10	3.3646	0.0018	12 20 8.8	0.054	0.491	71.1	266 273	12 1018
2005	8.7	59 25.40	3.3871	0.0018	13 15 4.7	0.050	0.494	70.0	142 157	13 1108
*2006	9.0	5 59 30.77	+3.3262	+0.0018	+10 45 27.9	+0.043	−0.485	92.7	756 R	— —
*2007	7.3	59 32.14*	3.3263	0.0018	10 45 36.4	0.041	0.485	79.5	57 70 756 757	10 1004
2008	8.7	59 41.99	3.3281	0.0018	10 50 6.0	0.026	0.485	71.1	264 274	10 1006
2009	7.9	59 43.56	3.4111	0.0018	14 13 20.3	0.024	0.497	71.6	278 300	14 1147
2010	8.7	59 43.92	3.3221	0.0018	10 35 9.0	0.023	0.484	69.0	57 70	10 1007
2011	8.6	5 59 48.80	+3.3569	+0.0018	+12 1 20.8	+0.016	−0.489	71.1	266 273	12 1022
2012	8.8[2]	59 52.04	3.3184	0.0018	10 26 4.3	0.012	0.484	81.1	70 R	[10 1009]
2013	8.4	59 55.35	3.4207	0.0018	14 36 31.9	+0.007	0.499	80.9	280 306 754 759	14 1149
2014	7.6	6 0 1.75	3.4170	0.0017	14 27 35.9	−0.003	0.498	71.7	280 306	14 1150
2015[3]	8.7	0 8.00	3.3667	0.0018	12 25 14.7*	0.011	0.491	77.4	266 273 759	12 1023
2016	8.6	6 0 8.73	+3.4033	+0.0017	+13 54 36.3	−0.013	−0.496	70.0	142 157	13 1115
2017	9.1	0 9.16	3.3848	0.0017	13 9 30.6	0.013	0.494	71.1	268 277	[13 1114]
2018	9.4[4]	0 18.65	3.4258	0.0017	14 48 43.0	0.027	0.500	95.2	R	14 1151
2019	8.7	0 24.99*	3.3679	0.0017	12 28 11.3	0.036	0.491	77.4	266 273 757	12 1025
2020	**4.6**	**0 26.11**	**3.4250**	**0.0017**	**14 46 52.7**	**0.038**	**0.500**		**Fund. Cat.**	**14 1152**
2021	8.3[5]	6 0 40.25	+3.3326	+0.0017	+11 1 12.3	−0.059	−0.486	71.1	264 274	11 1032
*2022	6.9	0 40.92	3.3193	0.0017	10 28 8.0	0.059	0.484	69.0	57 70	10 1015
2023	9.1	0 46.18	3.3607	0.0017	12 10 26.3	0.067	0.490	71.1	266 273	12 1026
2024	8.5	0 48.95	3.4144	0.0017	14 21 21.0	0.071	0.498	71.7	280 306	14 1157
2025	8.4	0 52.94	3.3726	0.0017	12 39 37.2	0.077	0.492	90.1	754 756	12 1028
2026	8.9	6 0 54.59	+3.3848	+0.0017	+13 9 39.9	−0.080	−0.494	71.1	268 277	13 1119
2027	8.8	1 11.67	3.3384	0.0017	11 15 34.4*	0.105	0.487	69.3	58 81 88 155	11 1036
2028	8.4	1 12.51	3.4052	0.0016	13 59 9.2	0.106	0.497	75.9	8 Beob.	13 1120
2029	8.7	1 12.68	3.4059	0.0016	14 0 42.9	0.106	0.497	78.9	5 Beob.	14 1160
2030	9.1	1 12.82	3.4060	0.0016	14 1 6.1	0.106	0.497	90.1	751 760	[14 1161]
2031	8.8	6 1 21.78*	+3.3988	+0.0016	+13 43 31.6	−0.119	−0.496	70.8	142 157 282 304	13 1121
2032	8.7	1 21.90	3.4042	0.0016	13 56 43.9	0.120	0.496	71.6	278 283 300 308	13 1123
2033	9.1	1 21.99	3.3439	0.0017	11 29 3.0	0.120	0.488	68.7	2 69 88	11 1037
2034	8.6	1 24.34	3.3421	0.0017	11 24 43.4	0.123	0.487	69.3	58 81 88 155	11 1038
*2035	7.7[6]	1 24.82	3.4052	0.0016	13 59 9.4*	0.123	0.496	71.3	7 Beob.	13 1124
2036	8.9	6 1 34.43	+3.3826	+0.0016	+13 4 14.0	−0.138	−0.493	71.6	282 304	13 1125
2037	8.9	1 43.15*	3.3636	0.0016	12 17 47.3	0.151	0.490	76.1	266 273 306 758	12 1032
2038	8.7	1 54.68	3.3682	0.0016	12 29 1.4	0.167	0.491	71.4	266 273 306	12 1035
2039	8.8	1 59.33	3.3442	0.0016	11 29 55.9	0.174	0.488	68.5	2 58	[11 1042]
*2040	8.5	2 11.54	3.3485	0.0016	11 40 30.9	0.192	0.488	70.6	84 299	11 1044
2041	8.6	6 2 12.06	+3.3806	+0.0016	+12 59 21.7	−0.193	−0.493	71.8	282 304 306	12 1036
2042	8.9	2 13.31	3.3433	0.0016	11 27 46.4	0.194	0.487	83.1	81 759 760	11 1045
2043	8.7	2 38.73	3.4092	0.0015	14 8 50.5	0.232	0.497	71.7	284 305	14 1168
2044	9.0	2 39.45	3.3594	0.0015	12 7 25.2	0.233	0.490	76.4	273 301 306 759	12 1038
2045	8.3	2 45.00	3.4006	0.0015	13 48 4.4	0.241	0.496	71.6	282 304	13 1135
2046	8.3	6 2 45.20	+3.4272	+0.0015	+14 52 18.4	−0.241	−0.500	71.7	285 309	14 1170
2047	8.7	2 49.07	3.4019	0.0015	13 51 10.5	0.247	0.496	80.9	283 308 751 758	13 1136
2048	8.5	2 54.75	3.3415	0.0015	11 23 12.3	0.255	0.487	69.0	58 81	11 1047
2049	8.9	2 55.71	3.4079	0.0015	14 5 40.9	0.256	0.497	71.7	284 305	14 1171
2050	8.7	3 8.55	3.3663	0.0015	12 24 16.3	0.275	0.491	71.8	273 301 306	12 1043

[1] BD 8.9 [2] Nur Z. 70; BD 9.4 [3] $9^m.3$ praec. 4^s 0′.4 A. [4] Grösse nach BD [5] BD 7.8; Schätz. 8.3 8.4
[6] 7.0 7.0 7.0 8.0 7.5 8.0 7.7; dpl. med.

Nr.	Gr.	A.R. 1875	Praec.	Var. saec.	Decl. 1875	Praec.	Var. saec.	Ep.	Zonen	B.D.
2051	8.4	6h 3m 12s.39	+3s.3200	+0s.0015	+10° 30' 2".2	−0".281	−0".484	69.1	4 159	10° 1027
2052	7.9	3 14.53*	3.4015	0.0015	13 50 7.7	0.284	0.496	80.9	283 308 751 758	13 1139
2053	8.8	3 15.81	3.4330	0.0014	15 6 12.9	0.286	0.500	71.7	285 309	15 1090
2054	8.2	3 24.10*	3.3485	0.0015	11 40 33.2	0.298	0.488	75.6	84 273 299 759	11 1049
2055	8.6[1]	3 24.70	3.3933	0.0015	13 30 14.0	0.299	0.495	71.6	282 304	13 1144
2056	8.6	6 3 24.82	+3.3157	+0.0015	+10 19 24.7	−0.299	−0.483	68.5	2 69	10 1028
2057	8.9	3 30.33	3.3477	0.0015	11 38 39.2	0.307	0.488	80.9	273 306 759 760	11 1050
2058	8.9	3 34.13	3.3394	0.0015	11 18 8.3	0.312	0.487	69.8	58 81 84 299	11 1051
2059	8.9	3 37.65	3.3590	0.0014	12 6 29.0	0.317	0.490	80.6	282 761	12 1046
2060	9.5[2]	3 38.17	3.3409	0.0014	11 21 51.7	0.318	0.487	92.1	761 R	11 1052
2061	8.9	6 3 41.76	+3.3081	+0.0015	+10 0 30.0	−0.323	−0.482	88.1	612 613 829	[10 1030]
2062	7.9[3]	3 42.61	3.3977	0.0014	13 40 53.0	0.325	0.495	71.7	283 308	13 1147
2063	8.8	3 49.63	3.4175	0.0014	14 29 1.2	0.335	0.498	71.7	284 305	[14 1178]
2064[4]	8.1	3 59.62	3.3568	0.0014	12 1 3.0	0.350	0.489	80.8	273 306 751 758	12 1049
2065	9.1	4 7.05	3.3606	0.0014	12 10 21.6	0.360	0.490	82.1	271 R	[12 1050]
2066	8.8	6 4 7.29	+3.3657	+0.0014	+12 22 57.0	−0.361	−0.491	71.6	282 304	12 1051
2067	8.2	4 14.28	3.4179	0.0013	14 29 55.5	0.371	0.498	71.7	284 305	14 1180
2068	9.1	4 20.28*	3.3086	0.0014	10 1 39.7*	0.380	0.482	88.1	612 613 829	[10 1033]
2069	7.2[5]	4 23.24	3.3972	0.0013	13 39 47.7	0.384	0.495	71.7	283 308	13 1151
*2070	8.7	4 41.87	3.3502	0.0014	11 44 54.2	0.411	0.488	70.6	84 299	11 1055
2071	6.0[6]	6 4 49.90	+3.4113	+0.0013	+14 14 4.7	−0.423	−0.497	71.7	284 305	14 1187
2072	8.7	4 50.71	3.3685	0.0013	12 29 45.7	0.424	0.491	71.6	273 306	12 1055
2073	8.9	4 59.02	3.3333	0.0013	11 3 5.9	0.436	0.486	69.0	58 81	11 1058
2074	8.4	4 59.67	3.4051	0.0013	13 59 6.9	0.437	0.496	71.5	276 282 304	13 1157
2075	8.8[7]	5 1.43	3.3116	0.0014	10 9 11.9	0.440	0.483	87.1	696 697	[10 1039]
2076	8.0	6 5 3.80	+3.3451	+0.0013	+11 32 17.3	−0.443	−0.487	69.0	58 81	11 1059
2077	8.4	5 8.27	3.3502	0.0013	11 44 49.6	0.450	0.488	80.3	84 299 751 758	11 1060
2078	7.8	5 9.08	3.3984	0.0013	13 42 47.1	0.451	0.495	71.7	283 308	13 1158
2079	9.0	5 10.63	3.3977	0.0013	13 41 11.2	0.453	0.495	90.1	759 760	13 1159
2080	8.7	5 15.68	3.3566	0.0013	12 0 36.6	0.461	0.489	77.8	273 306 761	12 1060
2081	7.2	6 5 21.53	+3.3166	+0.0013	+10 21 37.7	−0.469	−0.483	68.5	2 69	10 1044
2082	8.9[8]	5 26.60	3.3159	0.0013	10 19 48.4	0.476	0.483	81.1	69 R	[10 1045]
2083	8.7	5 37.37	3.3978	0.0012	13 41 23.4	0.492	0.495	71.5	276 283 308	13 1161
2084	8.4	5 41.73	3.3970	0.0012	13 39 25.2	0.499	0.495	76.1	276 282 304 760	13 1162
2085	8.9	5 44.61	3.3531	0.0013	11 52 8.3	0.503	0.489	77.1	84 299 759	11 1063
2086	8.7	6 5 47.16	+3.3440	+0.0013	+11 29 42.5	−0.506	−0.487	69.0	58 81	11 1064
2087	9.0	5 49.21	3.4146	0.0012	14 22 8.0	0.509	0.497	82.6	284 R	[14 1193]
2088	9.2	5 51.41	3.4296	0.0012	14 58 11.9	0.512	0.500	90.1	760 761	14 1194
*2089	8.6	5 54.55	3.4140	0.0012	14 20 34.4	0.517	0.497	77.8	284 305 758	14 1195
2090	9.0	6 1.46	3.3271	0.0013	10 47 43.4	0.527	0.485	80.6	4 R	— —
2091	8.8	6 6 4.77	+3.3938	+0.0013	+13 31 41.4	−0.532	−0.494	71.7	283 308	13 1165
2092	6.6	6 4.99	3.3155	0.0013	10 18 58.5	0.532	0.483	68.5	2 69	10 1048
2093	8.8	6 8.78	3.3307	0.0012	10 56 36.0	0.537	0.485	83.4	159 751 761	10 1049
2094	8.6	6 14.77	3.3597	0.0012	12 8 26.7	0.547	0.489	71.6	273 302	12 1062
*2095	6.7	6 16.34	3.3240	0.0012	10 40 2.2	0.549	0.484	69.1	4 159	10 1050
2096	8.4	6 6 26.23	+3.4067	+0.0011	+14 3 5.0	−0.563	−0.496	71.7	284 305	14 1202
2097	9.2	6 28.37	3.4281	0.0011	14 54 39.9	0.566	0.499	71.7	285 309	14 1203
2098	9.0	6 29.70	3.4301	0.0011	14 59 27.8	0.568	0.500	90.1	759 761	15 1116
2099	7.6[9]	6 33.24	3.3146	0.0012	10 16 44.9	0.573	0.483	68.5	2 69	10 1054
2100	8.6	6 38.64	3.4331	0.0011	15 6 43.7	0.581	0.500	71.7	285 309	15 1118

[1] 8m.9 seq. 1s 2'A. [2] 10m.0 seq. 2s 30"A. [3] BD 7.2; Schätz. 7.8 8.0 [4] 10m.0 praec. 4s.0 50"A.
[5] BD 6.5; Schätz. 7.2 7.2 [6] BD 4.8 [7] BD 9.3 [8] Nur Z.69; BD 9.5 [9] BD 8.1

Nr.	Gr.	A.R. 1875	Praec.	Var. saec.	Decl. 1875	Praec.	Var. saec.	Ep.	Zonen	B. D.
2101	8.8	6h 6m 41s.26	+3s.4093	+0s.0011	+14° 9' 18".9*	−0".585	−0".497	71.7	284 305	14° 1206
2102	8.8	7 0.51	3.3637	0.0011	12 18 21.1	0.613	0.490	71.7	273 301 302	12 1069
2103	8.6	7 7.55	3.4174	0.0010	14 28 53.2	0.624	0.498	71.8	284 305 308	14 1210
2104	8.0	7 11.13	3.4185	0.0010	14 31 35.2	0.629	0.498	71.7	283 308	14 1211
2105	8.7	7 12.11	3.3638	0.0011	12 18 36.8	0.630	0.490	71.6	271 273 301 302	[12 1072]
2106	8.9[1]	6 7 19.30	+3.3689	+0.0011	+12 31 1.1	−0.641	−0.491	82.6	304 R	[12 1073]
2107	9.3	7 25.38	3.3227	0.0012	10 36 54.0	0.649	0.484	81.6	159 R	[10 1058]
2108	8.5	7 25.59*	3.3120	0.0012	10 10 18.0	0.649	0.482	81.9	6 Beob.	10 1057
2109	8.1	7 27.56	3.3525	0.0011	11 50 49.2	0.653	0.488	71.1	84 273 299 302	11 1075
2110	7.9	7 32.23	3.3521	0.0011	11 49 51.1	0.659	0.488	71.1	84 299 302	11 1076
2111	8.5[2]	6 7 33.72	+3.3160	+0.0012	+10 20 17.1	−0.661	−0.483	68.5	2 69	10 1060
*2112	...[3]	7 34.85	3.4208	0.0010	14 37 13.7	0.663	0.498	71.7	284 285 305 309	14 1213
2113	8.4	7 35.71	3.3687	0.0011	12 30 40.6	0.664	0.491	71.5	276 282 304	12 1074
2114	8.8	7 38.94	3.3347	0.0011	11 6 44.4	0.669	0.486	69.0	58 81	11 1078
2115[4]	9.0	7 39.60	3.4294	0.0010	14 57 54.1	0.670	0.499	90.1	759 760	14 1215
2116	8.7	6 7 42.27	+3.3868	+0.0010	+13 14 44.1	−0.674	−0.493	71.7	283 308	13 1172
2117	8.6	7 47.80	3.3645	0.0011	12 20 14.7	0.682	0.490	80.8	271 301 751 758	12 1075
2118	8.8	7 49.21	3.4235	0.0010	14 43 44.4	0.684	0.499	71.7	285 309	14 1216
2119	8.3	7 57.16	3.3486	0.0011	11 41 13.9	0.696	0.488	70.6	84 299	11 1080
2120	9.0	7 58.48	3.3597	0.0010	12 8 37.4	0.698	0.489	82.1	273 R	[12 1076]
2121	7.0[5]	6 8 2.96	+3.4025	+0.0010	+13 53 8.6	−0.704	−0.495	71.7	283 308	13 1173
2122	8.8	8 27.87	3.3648	0.0010	12 21 13.0	0.741	0.490	71.6	271 301	12 1077
2123	8.8	8 28.01	3.4097	0.0009	14 10 30.5	0.741	0.496	71.7	284 305	14 1220
2124	9.0[6]	8 30.68	3.3559	0.0010	11 59 21.2	0.745	0.489	82.1	273 R	[11 1082]
2125	8.4	8 31.13	3.3593	0.0010	12 7 37.5	0.745	0.489	84.1	302 751 758	12 1078
*2126	...[7]	6 8 33.96	+3.3226	+0.0011	+10 36 55.7	−0.749	−0.484	69.1	4 159	10 1067
2127	6.8[8]	8 43.67	3.3706	0.0010	12 35 17.6	0.764	0.491	71.6	271 301	12 1081
2128	9.1	8 54.64	3.3377	0.0010	11 14 19.7	0.780	0.486	69.0	58 81	[11 1087]
2129	8.5	8 58.99	3.4085	0.0009	14 7 40.6	0.786	0.496	71.7	284 305	14 1223
2130	6.9	9 2.23	3.3155	0.0010	10 19 15.0*	0.791	0.483	79.3	2 69 759 760	10 1071
2131	8.8	6 9 5.73	+3.4041	+0.0009	+13 57 6.6	−0.796	−0.496	71.7	283 308	13 1179
2132	8.6	9 7.14	3.3558	0.0010	11 59 10.4	0.798	0.489	84.1	302 751 758	11 1090
2133	8.7	9 12.86	3.3462	0.0010	11 35 28.5	0.806	0.487	70.6	84 299	11 1092
2134	8.3	9 14.63*	3.3381	0.0010	11 15 14.7	0.809	0.486	69.0	58 81	11 1094
2135	8.7	9 23.87	3.3440	0.0010	11 30 4.8	0.822	0.487	70.6	84 299	11 1096
2136	6.5[9]	6 9 25.52	+3.3636	+0.0009	+12 18 17.3	−0.825	−0.490	71.6	273 302	12 1084
2137	8.8	9 44.03	3.3783	0.0009	12 54 28.0	0.852	0.492	71.6	271 301	12 1087
2138	8.7	9 47.87	3.3590	0.0009	12 7 0.0	0.857	0.489	71.6	273 302	12 1088
2139	8.6	9 48.52	3.4105	0.0008	14 12 45.4	0.858	0.496	71.7	284 305	14 1228
2140	8.5	10 3.76	3.3992	0.0008	13 45 21.7	0.880	0.495	71.7	283 308	13 1183
2141	8.4[10]	6 10 7.06	+3.3566	+0.0009	+12 1 12.0	−0.885	−0.489	71.6	273 302	12 1089
2142	8.7	10 22.04	3.3789	0.0008	12 55 49.8	0.907	0.492	71.6	271 301	12 1091
2143	8.7	10 23.57	3.3905	0.0008	13 24 11.7	0.909	0.493	71.6	276 282 304 308	13 1184
2144	8.7	10 23.73	3.3309	0.0009	10 57 42.2	0.909	0.485	69.1	4 159	10 1079
2145	8.8	10 24.25	3.4198	0.0007	14 35 14.0	0.910	0.498	80.9	285 309 751 758	14 1232
2146	7.4	6 10 27.45	+3.4077	+0.0007	+14 6 4.2	−0.915	−0.497	71.7	284 305	14 1233
2147	8.5	10 47.40	3.3338	0.0008	11 4 59.2	0.944	0.485	69.0	58 81	11 1104
2148	8.4[11]	10 52.19	3.3824	0.0007	13 4 30.7	0.951	0.492	71.5	276 282 304	13 1187
2149[12]	8.6	10 52.89	3.3895	0.0007	13 21 49.1	0.952	0.493	83.8	283 758 759	13 1188
2150	7.0[13]	10 58.75	3.4158	0.0007	14 25 36.4	0.961	0.497	71.7	284 305	14 1235

[1] Nur Z. 304; BD 9.4 [2] BD 9.0 [3] Dpl. 8.2 8.5 med. [4] 9m.5 praec. 8s.0 40"A. [5] BD 6.3; Schätz. 7.0 7.0
[6] 10m 6" 190° [7] Dpl. 8.0 8.1 med. [8] BD 6.0 [9] 6.0 7.0 [10] BD 9.2; Schätz. 8.3 8.5 [11] BD 8.9
[12] 10m.0 praec. 3s.0 3"A. [13] BD 6.0

Nr.	Gr.	A.R. 1875	Praec.	Var. saec.	Decl. 1875	Praec.	Var. saec.	Ep.	Zonen	B.D.
2151	8.6	$6^h\ 11^m\ 17^s.51$	$+3^s.4149$	$+0^s.0007$	$+14°\ 23'\ 38''.1$	$-0''.988$	$-0''.497$	80.9	284 305 751 759	14° 1237
2152	8.9	11 35.27	3.3602	0.0007	12 10 10.9	1.014	0.489	71.6	273 302	12 1097
2153	8.9	11 37.83	3.3609	0.0007	12 12 2.5	1.017	0.489	77.8	271 301 759	12 1099
2154	9.0	11 39.78	3.4073	0.0006	14 5 11.8	1.020	0.496	71.7	284 305	14 1239
2155	8.3	11 40.60	3.3482	0.0007	11 40 39.7	1.021	0.487	70.6	84 299	11 1108
2156	8.4	6 11 49.39	+3.4008	+0.0006	+13 49 28.2	−1.034	−0.495	80.9	283 308 758 760	13 1194
2157	7.1[1]	11 52.38	3.3369	0.0008	11 12 44.3	1.038	0.485	69.0	58 81	11 1110
2158	8.5	11 52.63	3.3345	0.0008	11 6 44.9	1.039	0.485	79.3	2 69 759 760	11 1111
2159	8.4	11 56.89	3.4086	0.0006	14 8 29.4	1.045	0.496	71.7	284 305	14 1241
2160	8.4	11 57.92	3.3743	0.0007	12 44 54.5	1.047	0.491	71.6	271 301	12 1103
2161	8.7	6 12 0.50	+3.4223	+0.0006	+14 41 24.6	−1.051	−0.498	71.7	285 309	14 1242
2162	8.9	12 4.40	3.3166	0.0008	10 22 25.4	1.056	0.483	83.1	69 751 760	10 1085
2163	7.5[2]	12 4.41	3.3754	0.0007	12 47 38.6	1.056	0.491	71.6	276 282 301 304	12 1105
2164	8.7	12 8.90	3.3195	0.0008	10 29 33.3	1.062	0.483	69.1	4 159	10 1087
2165	8.7[3]	12 11.38	3.3237	0.0007	10 39 59.6	1.066	0.483	69.1	4 159	10 1088
2166	8.6	6 12 12.21	+3.3788	+0.0006	+12 56 3.0	−1.067	−0.492	71.6	271 301	12 1106
2167	8.7	12 19.26	3.4008	0.0006	13 49 31.6	1.078	0.495	80.9	283 308 751 758	13 1195
2168	8.2	12 19.33	3.3814	0.0006	13 2 16.9	1.078	0.492	71.5	276 282 304	13 1196
2169	7.7	12 21.22	3.3923	0.0006	13 28 55.5	1.080	0.493	71.6	276 282 304 308	13 1199
2170	8.3	12 24.83	3.3927	0.0006	13 29 48.5	1.086	0.494	71.7	282 283 304 308	13 1200
2171	8.6	6 12 25.45	+3.3261	+0.0007	+10 46 0.8	−1.087	−0.484	69.1	4 159	10 1089
2172	8.8	12 33.42	3.3683	0.0006	12 30 14.4*	1.098	0.490	71.6	271 301	12 1108
2173	8.3	12 40.67	3.3643	0.0006	12 20 31.5	1.109	0.489	71.6	273 302	12 1110
2174	8.5	12 45.54	3.3331	0.0007	11 3 26.4	1.116	0.485	69.0	58 81	11 1118
2175	6.6[4]	12 56.60	3.4225	0.0005	14 42 5.3	1.132	0.498	71.7	284 305	14 1247
2176	9.0	6 13 2.86	+3.3773	+0.0006	+12 52 22.1	−1.141	−0.491	71.6	271 301	12 1113
2177	8.7	13 3.19	3.4262	0.0005	14 51 14.7	1.142	0.498	71.7	285 309	14 1248
*2178	8.9	13 4.93	3.3505	0.0006	11 46 28.6	1.144	0.487	70.6	84 299	[11 1123]
2179	8.7	13 8.68	3.4234	0.0004	14 44 20.8	1.150	0.498	71.8	283 305 308	14 1249
2180	9.0	13 17.18	3.3344	0.0006	11 6 50.4	1.162	0.485	69.0	58 81	11 1124
2181	8.8	6 13 19.65	+3.3566	+0.0006	+12 1 42.9	−1.166	−0.488	71.6	273 302	12 1115
2182	8.9	13 24.13	3.3842	0.0005	13 9 22.6	1.172	0.492	71.1	276 282	13 1205
2183[5]	8.8	13 32.73	3.4180	0.0004	14 31 30.3	1.185	0.497	90.1	751 758	14 1251
2184	8.8	13 48.86	3.4325	0.0004	15 6 21.6	1.208	0.499	90.1	751 758	15 1160
2185	7.7	13 52.91	3.4238	0.0004	14 45 29.3	1.214	0.498	71.7	285 309	14 1254
2186	7.1	6 13 53.22	+3.3512	+0.0005	+11 48 32.2	−1.215	−0.487	70.6	84 299	11 1128
2187	8.4[6]	13 55.68	3.3308	0.0006	10 58 2.7	1.218	0.484	69.1	4 79 159	10 1099
2188	8.4	13 56.45	3.3472	0.0005	11 38 27.9	1.219	0.487	69.0	58 81	11 1129
2189	8.8	14 13.44	3.3333	0.0006	11 4 11.7	1.244	0.485	69.0	58 81	11 1134
2190	9.0[7]	14 14.62	3.3840	0.0004	13 9 9.9	1.246	0.492	71.6	282 304	[13 1214]
2191	8.8	6 14 19.72	+3.3666	+0.0005	+12 26 18.2	−1.253	−0.489	71.6	273 302	12 1117
2192	10.0	14 29.96	3.3273	0.0005	10 49 14.4*	1.268	0.484	81.1	79 R	— —
2193	8.1	14 42.79	3.3782	0.0004	12 55 2.8	1.287	0.491	71.6	271 301	12 1119
2194	8.7	14 42.99	3.3301	0.0005	10 56 19.5	1.287	0.484	69.1	4 159	10 1101
2195	8.9	14 46.75	3.3561	0.0004	12 0 42.8	1.293	0.488	80.8	273 302 751 758	12 1120
2196	8.8	6 14 52.14	+3.4139	+0.0003	+14 21 53.7	−1.300	−0.496	71.7	284 305	14 1258
*2197	8.8	15 0.91	3.3322	0.0005	11 1 39.1	1.313	0.484	83.1	81 759 760	} 11 1138
*2198	9.4	15 1.33	3.3322	0.0005	11 1 35.7	1.313	0.484	92.1	760 R	}
2199	8.3	15 5.47	3.4231	0.0002	14 44 5.3	1.320	0.497	84.1	309 751 759	14 1259
2200	8.8	15 5.66	3.4045	0.0003	13 59 6.9	1.320	0.495	71.7	283 308	13 1217

[1] BD 7.8; Schätz. 7.0 7.3 [2] 7.5 7.5 8.1 7.0 [3] BD 9.2; Schätz. 8.7 8.7 [4] Röthlich

[5] $10^m.0$ praec. $4^s.0$ $1'.0$ A.; $10^m.5$ seq. $4^s.0$ $1'.0$ B. [6] BD 8.9 [7] BD 9.5

Nr.	Gr.	A.R. 1875	Praec.	Var. saec.	Decl. 1875	Praec.	Var. saec.	Ep.	Zonen	B.D.
2201	8.4	6h 15m 10s.73	+3s.4278	+0s.0002	+14° 55′ 25″.1	−1″.327	−0″.498	71.7	285 309	14° 1260
2202	8.8	15 11.09	3.3094	0.0005	10 4 50.7	1.328	0.481	79.7	5 Beob.	10 1106
2203	8.6	15 12.34	3.3581	0.0004	12 5 44.9	1.330	0.488	71.6	273 302	12 1122
2204	8.8	15 21.77	3.3848	0.0003	13 11 21.8	1.343	0.492	71.5	276 282 304	13 1219
2205	8.7	15 24.20	3.3271	0.0005	10 49 5.3	1.347	0.483	69.1	4 159	10 1107
2206	7.7[1]	6 15 35.50	+3.3711	+0.0003	+12 37 45.6	−1.363	−0.490	71.6	271 301	12 1123
2207	8.4[2]	15 43.82	3.3112	0.0005	10 9 28.1	1.375	0.481	74.7	2 69 703	10 1111
2208	9.3	15 49.37	3.3215	0.0004	10 35 14.2	1.384	0.483	81.1	79 R	[10 1112]
2209	8.6	15 51.49	3.3660	0.0003	12 25 11.4	1.387	0.489	71.6	273 302	12 1124
2210	8.9	16 7.54	3.3632	0.0003	12 18 26.0	1.410	0.489	71.6	271 301	12 1126
2211	8.4	6 16 11.35	+3.3129	+0.0004	+10 13 39.8	−1.415	−0.481	77.3	2 69 612 613	10 1113
2212	8.7	16 17.68	3.4194	0.0002	14 35 27.3	1.425	0.497	71.7	285 309	14 1267
2213	8.8	16 21.30	3.3449	0.0003	11 33 16.4	1.430	0.486	80.3	84 299 751 758	11 1148
2214	8.4	16 27.02	3.4072	0.0002	14 6 7.2	1.438	0.495	71.7	284 305	14 1270
2215	8.8	16 27.11	3.3382	0.0003	11 16 43.2	1.438	0.485	69.0	58 81	11 1149
2216	8.7	6 16 35.77	+3.3215	+0.0004	+10 35 21.4	−1.451	−0.482	69.1	4 79 159	10 1115
2217	8.7	16 36.32	3.4305	0.0001	15 2 13.4	1.452	0.498	71.7	285 309	15 1179
2218	8.5	16 37.62	3.3292	0.0004	10 54 26.7	1.454	0.484	69.1	4 79 159	10 1117
2219	8.2	16 40.45	3.3313	0.0004	10 59 41.0	1.458	0.484	69.0	58 81	11 1151
2220	8.3[3]	16 48.08	3.4090	0.0001	14 10 31.4	1.469	0.495	71.7	284 305	14 1276
2221	9.0	6 17 13.46	+3.3758	+0.0002	+12 49 43.5	−1.506	−0.490	71.6	271 301	12 1133
2222	8.8	17 15.62	3.3271	0.0003	10 49 23.3	1.509	0.483	69.1	4 79 159	10 1120
2223	7.9	17 25.44	3.3819	0.0001	13 4 42.3	1.523	0.491	71.5	276 282 304	13 1229
2224	8.7	17 27.96	3.3641	0.0002	12 21 2.2	1.527	0.489	71.6	273 302	12 1137
2225	9.0	17 31.14	3.4031	0.0001	13 56 26.8	1.531	0.494	83.1	308 R	[13 1231]
2226	8.6	6 17 34.49	+3.3782	+0.0001	+12 55 31.7	−1.536	−0.491	71.6	271 301	12 1139
2227	8.3	17 35.21	3.3447	0.0002	11 33 5.8	1.537	0.486	70.6	84 299	11 1157
2228	7.0[4]	17 36.45	3.3391	0.0002	11 19 14.1	1.539	0.485	68.5	2 69	11 1159
2229	8.5	17 40.51	3.3340	0.0003	11 6 33.5	1.545	0.484	69.0	58 81	11 1160
2230	8.6	17 43.65	3.4314	0.0000	15 4 51.5	1.550	0.498	71.7	285 309	15 1184
2231	8.8	6 17 47.70	+3.3819	+0.0001	+13 4 50.1	−1.556	−0.491	71.5	276 282 304	13 1235
2232	8.8	17 49.14	3.4162	0.0000	14 28 19.2	1.558	0.496	71.7	284 305	14 1280
2233	8.9	17 55.66	3.3580	0.0002	12 6 3.7	1.567	0.487	80.8	273 302 751 758	12 1140
2234	8.8	18 2.78	3.4278	0.0000	14 56 19.7	1.577	0.498	90.1	751 758	14 1281
*2235	8.2[5]	18 6.04	3.3213	0.0002	10 34 58.2	1.582	0.482	70.1	5 Beob.	10 1128
2236	8.1	6 18 14.58	+3.3494	+0.0002	+11 44 58.5	−1.595	−0.486	70.6	84 299	11 1162
2237	9.0[6]	18 14.71	3.4242	0.0000	14 47 41.7	1.595	0.497	82.7	309 R	[14 1282]
2238	8.9	18 16.40	3.3254	+0.0002	10 45 14.4	1.597	0.483	70.1	4 79 273 302	10 1129
2239	7.1[7]	18 20.36	3.4241	−0.0001	14 47 18.0	1.603	0.497	71.7	285 309	14 1283
2240	7.6	18 24.12	3.3386	+0.0002	11 18 5.8	1.608	0.485	70.0	58 81 299	11 1163
2241	8.8	6 18 24.55*	+3.3296	+0.0002	+10 55 51.4	−1.609	−0.483	78.3	5 Beob.	10 1130
2242	7.9	18 25.59	3.3283	+0.0002	10 52 31.2	1.611	0.483	68.7	2 69 79	10 1131
2243	8.7	18 27.52	3.4069	0.0000	14 5 50.3	1.614	0.495	71.7	284 305	14 1285
2244	8.9	18 28.80	3.3630	+0.0001	12 18 32.0	1.616	0.488	71.5	276 282 304	12 1143
2245	8.6	18 36.28	3.3882	0.0000	13 20 16.2	1.626	0.492	71.5	276 282 304	13 1240
2246	8.5[8]	6 18 36.34	+3.4084	0.0000	+14 .9 35.2	−1.626	−0.495	71.7	284 305	14 1286
2247	8.2	18 39.48	3.3376	+0.0002	11 15 52.6	1.631	0.484	92.1	759 R	11 1164
2248	8.5	18 39.65	3.4022	0.0000	13 54 26.4	1.631	0.494	71.7	283 308	13 1242
2249	8.7	18 40.32	3.4226	−0.0001	14 43 56.9	1.632	0.497	80.9	285 309 751 760	14 1287
2250	9.0	18 41.29	3.3663	+0.0001	12 26 45.3	1.633	0.489	71.6	271 301	12 1144

[1] BD 6.8 [2] BD 8.9 [3] BD 7.6; Schätz. 8.1 8.5 [4] BD 7.5; 10m.5 seq. 1s 1′.0 B.; 11m.0 praec. 2s 25″ B.
[5] 7.5 8.5 8.0 8.2 8.6 [6] Nur Z. 309; BD 9.5 [7] BD 6.5; sehr roth [8] BD 7.7

Nr.	Gr.	A.R. 1875	Praec.	Var. saec.	Decl. 1875	Praec.	Var. saec.	Ep.	Zonen	B. D.
2251	8.8	6h 18m 41s.58	+3s.3367	+0s.0002	+11° 13′ 39″.8	−1″.634	−0″.484	92.0	751 R	[11° 1165]
*2252	7.5[1]	18 44.12	3.3382	+0.0002	11 17 18.4	1.638	0.485	69.0	58 81 84	11 1166
2253	7.2	18 55.57	3.3359	+0.0001	11 11 38.7*	1.654	0.484	79.6	58 81 758 759	11 1169
2254	8.7	18 57.72	3.4110	−0.0001	14 15 55.1	1.657	0.495	71.7	284 305	14 1289
2255	8.8	18 58.04	3.3877	0.0000	13 19 19.5	1.658	0.492	71.5	276 282 304	13 1243
2256	8.6	6 19 1.28	+3.3968	0.0000	+13 41 27.7	−1.663	−0.493	71.7	283 308	13 1244
2257	8.6	19 7.39	3.3616	0.0000	12 15 20.8	1.672	0.488	71.6	273 302	12 1148
2258	8.8	19 19.83	3.3667	0.0000	12 27 55.5	1.689	0.488	71.6	271 301	12 1151
2259	8.7	19 22.02	3.3324	+0.0001	11 3 6.5	1.693	0.483	69.0	58 81	11 1171
2260	7.5[2]	19 36.12	3.3840	−0.0001	13 10 29.4	1.713	0.491	71.5	276 282 304	13 1250
2261	8.8	6 19 39.17	+3.3482	0.0000	+11 42 9.4	−1.718	−0.486	80.3	84 299 758 759	11 1175
2262	9.0	19 47.15	3.3551	0.0000	11 59 29.4	1.729	0.487	71.6	273 302	12 1152
2263	8.7	19 52.53	3.4254	−0.0002	14 51 2.3	1.737	0.497	71.7	285 309	14 1295
2264	8.6	19 53.02	3.3487	0.0000	11 43 38.2	1.738	0.486	70.6	84 299	11 1178
2265	8.9	19 53.83	3.3312	+0.0001	11 0 10.7	1.739	0.483	69.0	58 81	11 1179
2266	8.9	6 20 1.38	+3.3745	−0.0001	+12 47 11.4*	−1.750	−0.489	71.6	271 301	12 1154
2267	7.2[3]	20 7.37	3.4281	−0.0002	14 57 40.1	1.759	0.497	71.7	285 309	14 1296
2268	8.7	20 8.53	3.3291	+0.0001	10 54 54.2	1.760	0.483	69.8	4 79 299	10 1138
2269	8.5[4]	20 23.43	3.3165	+0.0001	10 23 41.0	1.782	0.481	68.5	2 69	10 1140
2270	8.5[5]	20 44.06	3.3511	0.0000	11 49 45.5	1.812	0.486	90.1	751 758	11 1185
2271	8.7	6 20 57.05	+3.4084	−0.0003	+14 10 18.4	−1.831	−0.494	71.7	284 305	14 1302
2272	9.1	21 0.18	3.4267	0.0003	14 54 33.3	1.835	0.497	71.7	285 309	14 1303
2273	8.9[6]	21 2.46	3.4100	0.0003	14 14 2.8	1.839	0.494	82.2	284 R	[14 1304]
2274	8.5[7]	21 5.78	3.3089	0.0000	10 4 46.4	1.843	0.480	87.1	700 705	[10 1145]
2275	8.2[8]	21 15.59	3.3117	0.0000	10 11 57.8	1.857	0.480	77.8	2 69 700 705	10 1147
2276	8.7	6 21 23.14	+3.3171	−0.0000	+10 25 23.3	−1.869	−0.481	70.1	4 79 273 302	10 1148
*2277	8.6	21 24.03	3.4035	0.0003	13 58 24.6	1.870	0.493	71.7	283 308	13 1266
2278	6.2	21 24.17	3.3161	0.0000	10 22 50.1	1.870	0.481	68.5	2 69	10 1149
2279	8.8	21 24.43	3.3503	0.0001	11 47 55.2	1.871	0.486	70.6	84 299	11 1188
2280	8.8	21 30.12	3.3316	0.0001	11 1 40.9	1.879	0.483	69.0	58 81	11 1190
2281	8.7	6 21 31.98	+3.4096	−0.0003	+14 13 16.6	−1.882	−0.494	71.7	284 305	14 1305
2282	9.0	21 33.29	3.4274	0.0004	14 56 24.3	1.883	0.497	71.7	285 309	14 1306
2283	8.7	21 41.99	3.3399	0.0001	11 22 23.8	1.896	0.484	70.6	84 299	11 1191
2284	8.7	21 54.83	3.3145	0.0000	10 18 57.6	1.914	0.480	79.3	2 69 751 758	10 1150
2285	8.9	21 57.95	3.3813	0.0003	13 4 21.2	1.919	0.490	71.5	276 282 304	13 1269
2286	7.0	6 22 3.73	+3.3333	−0.0001	+11 5 50.4	−1.928	−0.483	69.0	58 81	11 1193
2287	8.5	22 4.73	3.3414	0.0001	11 26 1.7	1.929	0.484	70.6	84 299	11 1194
2288	8.8	22 11.85	3.3884	0.0003	13 22 3.9	1.939	0.491	71.6	282 304	13 1273
2289	8.6	22 15.14	3.3312	0.0001	11 0 50.3	1.944	0.483	69.0	58 81	11 1197
2290	8.6	22 17.16	3.3703	0.0003	12 37 35.8	1.947	0.488	71.6	271 301	12 1173
2291	8.2	6 22 20.74	+3.3970	−0.0004	+13 43 1.5	−1.952	−0.492	71.7	283 308	13 1275
2292	8.8	22 26.02	3.3303	0.0001	10 58 31.2	1.960	0.482	70.1	4 79 273 302	10 1152
2293	8.8[9]	22 33.20	3.3888	0.0003	13 22 58.2	1.970	0.491	71.6	282 304	[13 1277]
2294	8.6	22 41.37	3.3497	0.0002	11 46 43.3	1.982	0.485	70.6	84 299	11 1200
2295	8.1	22 46.36	3.3247	0.0001	10 44 39.9	1.990	0.481	69.8	4 79 299	10 1153
2296	8.6[10]	6 22 53.99	+3.3964	−0.0004	+13 41 42.7	−2.001	−0.492	71.7	283 308	13 1279
2297	8.9	22 57.07	3.3837	0.0004	13 10 36.1	2.005	0.490	71.6	276 304	13 1280
2298	8.4	22 57.81*	3.4183	0.0005	14 34 54.7	2.006	0.495	80.9	284 305 751 758	14 1315
2299	8.7	23 5.13	3.4243	0.0005	14 49 25.4	2.017	0.496	71.7	285 309	14 1317
2300	8.9	23 9.66	3.3831	0.0004	13 9 12.2	2.023	0.490	82.6	282 R	[13 1282]

[1] 8.0 7.0 7.5; BD 7.9 [2] 8.1 7.2 7.3; BD 7.0 [3] 7.7 6.7 [4] BD 9.0; Schätz. 8.6 8.5 [5] BD 9.1
[6] Nur Z. 284; BD 9.5 [7] BD 9.1 [8] BD 8.8; Schätz. 8.3 8.3 8.0 8.4 [9] BD 9.3; Schätz. 8.7 8.9
[10] BD 8.0; Schätz. 8.6 8.7

Nr.	Gr.	A.R. 1875	Praec.	Var. saec.	Decl. 1875	Praec.	Var. saec.	Ep.	Zonen	B.D.
2301	8.3	6h 23m 12s.91	+3s.4280	−0s.0006	+14° 58' 34".4	−2".028	−0".496	71.8	285 309 310	14° 1319
2302	8.6	23 23.67	3.3901	0.0004	13 26 27.4	2.044	0.491	71.5	276 282 304	13 1283
2303	8.8	23 23.82*	3.3192	0.0002	10 31 9.1	2.044	0.481	69.9	4 79 159 299	10 1155
2304	8.2	23 28.39	3.3118	0.0002	10 12 41.2	2.050	0.479	77.3	2 69 612 613	10 1156
2305	6.7	24 12.35	3.3387	0.0003	11 20 6.6	2.114	0.483	69.8	58 81 84 299	11 1204
2306	9.0	6 24 12.41	+3.3389	−0.0003	+11 20 22.9	−2.114	−0.483	84.1	301 751 758	11 1205
2307	8.2	24 16.14	3.3072	0.0002	10 1 26.1	2.120	0.479	75.4	6 Beob.	10 1159
2308	8.6	24 18.79	3.3115	0.0002	10 12 8.1	2.123	0.479	77.3	2 69 612 613	10 1160
2309	8.9[1]	24 29.32	3.4266	0.0007	14 55 39.1	2.139	0.496	82.7	309 R	[14 1324]
2310	8.8	24 30.22	3.4316	0.0007	15 7 42.8	2.140	0.497	82.7	309 R	[15 1225]
2311	7.7[2]	6 24 40.62	+3.3518	−0.0004	+11 52 39.7	−2.155	−0.485	70.6	84 299	11 1207
2312	9.1	24 44.08	3.3862	0.0005	13 17 31.7	2.160	0.490	83.1	304 R	[13 1290]
2313	8.8	24 44.28	3.3351	0.0003	11 11 16.3	2.160	0.483	69.0	58 81	11 1208
2314	8.9[3]	24 48.96	3.3168	0.0003	10 25 29.9	2.167	0.480	81.6	159 R	[10 1163]
2315	6.4[4]	24 50.08	3.3458	0.0004	11 37 45.2	2.169	0.484	80.8	273 302 751 758	11 1209
2316	8.7	6 25 3.09	+3.3866	−0.0006	+13 18 25.0	−2.188	−0.490	71.5	276 282 304	13 1293
2317	8.8	25 10.25	3.4031	0.0006	13 58 55.9	2.198	0.492	71.7	283 308	13 1294
2318	8.8	25 10.35	3.4270	0.0007	14 56 46.9	2.198	0.496	83.8	285 751 758	14 1331
2319	8.8	25 11.40	3.4060	0.0007	14 5 48.4	2.200	0.493	71.8	284 305 310	14 1332
2320	8.9	25 17.66*	3.3614	0.0005	12 16 40.2	2.209	0.486	80.8	273 302 759 760	12 1184
*2321	8.4	6 25 19.33	+3.3860	−0.0006	+13 17 2.3	−2.211	−0.490	71.5	276 282 304	13 1296
2322	7.2[5]	25 24.81	3.3489	0.0005	11 45 43.6	2.219	0.484	70.6	84 299	11 1213
2323	8.7	25 29.30	3.3078	0.0003	10 3 20.6	2.226	0.478	77.3	2 69 612 613	10 1166
2324	7.8[6]	25 30.99	3.4310	0.0008	15 6 33.9	2.228	0.496	71.8	285 309 310	15 1233
2325	8.9	25 32.35	3.3748	0.0006	12 49 49.8	2.230	0.488	71.6	271 301	12 1185
2326	9.2	6 25 34.00	+3.3080	−0.0003	+10 3 50.1	−2.233	−0.478	90.0	612 R	— —
2327	8.6	25 44.61*	3.3188	0.0004	10 30 43.2	2.248	0.480	70.1	4 79 273 302	10 1170
2328	8.7	25 45.76	3.3466	0.0005	11 40 6.4	2.250	0.484	70.6	84 299	11 1214
2329	8.0[7]	25 54.60	3.3126	0.0004	10 15 19.0	2.262	0.479	79.3	2 69 751 758	10 1171
2330	8.7	25 55.35	3.3819	0.0006	13 7 14.5	2.264	0.489	71.5	276 282 304	13 1300
2331	8.9	6 26 4.17	+3.3656	−0.0006	+12 27 12.2	−2.276	−0.487	71.6	273 302	12 1190
2332	8.8	26 10.93	3.3163	0.0004	10 24 43.9	2.286	0.479	69.1	4 79 159	10 1172
2333	8.9	26 13.17	3.3452	0.0005	11 36 48.5	2.289	0.484	70.6	84 299	11 1216
2334	8.6	26 17.08	3.3978	0.0008	13 46 18.1	2.295	0.491	71.7	283 309	13 1303
2335	8.2	26 24.69	3.4202	0.0008	14 40 51.4	2.306	0.494	71.8	285 309 310	14 1338
2336	6.2	6 26 30.32	+3.4095	−0.0008	+14 14 55.6	−2.314	−0.493	80.9	284 305 758 759	14 1339
2337	8.9	26 32.43	3.4118	0.0008	14 20 36.2	2.317	0.493	71.7	284 305	14 1340
2338	8.7	26 32.51	3.3819	0.0007	13 7 33.2	2.317	0.489	71.8	283 304 310	13 1304
2339	8.8	26 35.05	3.3795	0.0007	13 1 37.8	2.321	0.488	71.6	282 304	13 1305
2340	9.0	26 39.15	3.3447	0.0006	11 35 45.7	2.327	0.483	90.1	751 759	11 1218
2341	8.9	6 26 42.25	+3.3213	−0.0005	+10 37 20.7	−2.331	−0.480	69.1	4 79 159	10 1178
2342	9.1	26 43.77	3.4317	0.0009	15 8 55.9*	2.334	0.496	80.9	285 309 759 760	15 1239
2343	8.6	26 44.66	3.3091	0.0004	10 6 47.2	2.335	0.478	88.7	612 613 R	[10 1179]
2344	8.7	26 44.77	3.4216	0.0009	14 44 27.7	2.335	0.495	71.7	285 310	14 1342
2345	8.5	26 46.31	3.4128	0.0008	14 23 10.9	2.337	0.493	71.7	284 305	14 1343
2346	9.0	6 26 55.23	+3.3742	−0.0007	+12 48 52.8	−2.350	−0.488	78.8	271 301 R	[12 1194]
2347	8.6	26 55.51	3.3128	0.0005	10 16 17.9	2.350	0.479	68.5	2 69	10 1180
2348	8.7	27 0.29	3.4026	0.0008	13 58 28.3	2.358	0.492	71.7	283 308	13 1308
2349	8.8	27 0.79	3.3421	0.0006	11 29 16.8	2.358	0.483	70.6	84 299	11 1223
*2350	8.3	27 13.56	3.4241	0.0009	14 50 44.0	2.377	0.495	71.2	285	14 1344

[1] Nur Z. 309; BD 9.4 [2] 7.2 8.2; BD 7.1 [3] Nur Z. 159; BD 9.4 [4] BD 5.5 [5] 6.8 7.7; $9^{m}.1$ 35" 140°
[6] BD 7.0 [7] 7.5 8.0 8.5 8.1

Nr.	Gr.	A.R. 1875	Praec.	Var. saec.	Decl. 1875	Praec.	Var. saec.	Ep.	Zonen	B. D.
2351	8.6	6h 27m 18s.25	+3s.3849	−0s.0008	+13° 15′ 19″.5	−2″.384	−0″.489	80.9	283 310 759 760	13° 1312
2352	8.8	27 23.03*	3.3745	0.0007	12 49 44.0	2.391	0.488	80.8	271 301 751 760	12 1197
2353	8.1	27 29.01	3.3772	0.0007	12 56 22.5	2.399	0.488	71.6	282 304	12 1198
2354	8.6	27 32.83	3.3780	0.0008	12 58 26.1	2.405	0.488	71.6	282 304	12 1199
2355	8.7	27 44.09	3.3571	0.0007	12 6 42.6	2.421	0.485	80.8	273 302 751 758	12 1201
2356	8.6	6 27 57.26	+3.3697	−0.0008	+12 38 2.7	−2.440	−0.487	71.6	271 301	12 1204
2357	8.3	28 3.61	3.3355	0.0006	11 13 12.1	2.449	0.482	69.0	58 81	11 1232
2358	7.3[1]	28 5.78	3.3729	0.0008	12 45 55.1	2.452	0.487	71.6	271 304	12 1205
2359	8.8	28 13.93	3.3974	0.0009	13 46 11.3	2.464	0.491	83.1	308 R	[13 1319]
2360	8.8[2]	28 14.68	3.3711	0.0008	12 41 39.2	2.465	0.487	71.6	271 301	[12 1207]
2361	6.2[3]	6 28 24.24	+3.3082	−0.0005	+10 5 6.1	−2.479	−0.478	77.3	2 69 614 616	10 1186
2362	8.5	28 24.41	3.3438	0.0007	11 34 5.9	2.479	0.483	70.6	84 299	11 1237
2363	8.1	28 28.24	3.3863	0.0009	13 19 14.1	2.485	0.489	71.6	282 304	13 1321
2364	8.6	28 29.65	3.4297	0.0011	15 4 55.6	2.487	0.495	71.7	285 309	15 1251
2365	8.7	28 31.73	3.3287	0.0006	10 56 24.5	2.490	0.480	68.6	4 79	10 1188
2366	8.6	6 28 41.14	+3.3498	−0.0007	+11 49 8.6	−2.504	−0.484	69.8	58 81 84 299	11 1238
2367	8.7	28 42.30	3.3606	0.0008	12 15 55.4	2.505	0.485	71.6	273 302	12 1208
2368	8.0	28 49.79	3.3852	0.0009	13 16 29.6	2.516	0.489	71.6	282 304	13 1327
2369	8.8	28 49.95	3.3499	0.0008	11 49 22.0	2.516	0.484	90.1	751 758	11 1239
2370	7.6	28 59.99	3.3978	0.0010	13 47 33.2	2.531	0.490	71.7	283 308	13 1329
2371	8.8	6 29 4.55	+3.3403	−0.0007	+11 25 44.0	−2.537	−0.482	69.0	58 81	11 1240
2372	7.9	29 15.53	3.3152	0.0006	10 23 2.0	2.553	0.478	68.5	2 69	10 1193
2373	9.5[4]	29 28.97	3.3211	0.0007	10 37 52.5	2.573	0.479	81.6	159 R	[10 1194]
2374	8.4	29 38.10	3.3531	0.0008	11 57 43.9	2.586	0.484	70.6	84 299	11 1243
2375	8.8	29 46.34	3.4025	0.0011	13 59 21.6	2.598	0.491	71.6	284 305	14 1356
2376	8.5	6 29 56.46	+3.4029	−0.0011	+14 0 20.9	−2.612	−0.491	71.7	284 305	14 1359
2377	8.3	30 26.37	3.3353	0.0008	11 13 36.1	2.656	0.481	69.0	58 81	11 1249
2378	8.6	30 31.07	3.4221	0.0012	14 47 17.8	2.663	0.493	71.7	285 310	14 1365
2379	7.4[5]	30 34.68	3.3610	0.0010	12 17 37.1	2.668	0.484	71.6	271 273 301 302	12 1219
2380	9.1	30 36.76*	3.3605	0.0010	12 16 22.9	2.671	0.484	80.8	273 302 751 758	12 1221
2381	8.3	6 30 36.85	+3.3599	−0.0010	+12 14 44.3	−2.671	−0.484	71.4	271 273 301	12 1222
2382	8.3	30 38.06	3.4308	0.0013	15 8 37.3	2.673	0.495	71.7	285 310	15 1262
2383	7.2[6]	30 41.33	3.3288	0.0008	10 57 27.9	2.677	0.480	69.1	4 79 159	10 1201
2384	8.7	30 45.01	3.3750	0.0010	12 52 18.4	2.683	0.486	71.4	271 282 304	12 1223
2385	9.1	30 51.33	3.3751	0.0010	12 52 30.3	2.692	0.486	82.6	304 R	[12 1224]
2386	9.0	6 30 54.67	+3.3742	−0.0010	+12 50 29.4	−2.697	−0.486	71.6	271 304	12 1225
2387	8.6	30 54.86*	3.3487	0.0009	11 47 20.6	2.697	0.483	80.3	84 299 751 758	11 1251
2388	8.0[7]	31 3.81	3.3488	0.0009	11 47 27.9	2.710	0.483	80.3	84 299 751 758	11 1252
*2389	8.6	31 12.79	3.4242	0.0013	14 52 48.4	2.723	0.493	71.7	285 310	14 1375
2390	8.7	31 16.05	3.3296	0.0009	10 59 41.1	2.727	0.480	69.0	58 81	11 1253
2391	9.0	6 31 17.05	+3.4308	−0.0013	+15 8 50.9	−2.729	−0.494	90.1	759 760	15 1266
2392	8.4	31 31.38	3.3742	0.0011	12 50 39.8	2.750	0.486	71.6	271 301	12 1230
2393	8.5	31 31.92	3.4201	0.0013	14 43 2.9*	2.751	0.493	80.9	285 309 759 760	14 1377
2394	9.1	31 37.42	3.3978	0.0012	13 48 47.6	2.758	0.489	83.1	308 R	[13 1342]
2395	8.9	31 38.28*	3.3226	0.0009	10 42 22.9	2.759	0.479	75.2 74.4	4(a½) 79 159 751	10 1205
2396	9.3	6 31 54.64	+3.4219	−0.0013	+14 47 41.4	−2.783	−0.493	82.7	309 R	— —
2397	9.1[8]	31 56.75	3.3238	0.0009	10 45 31.4	2.786	0.479	69.6	79 159	10 1208
2398	8.9	31 56.78	3.4109	0.0013	14 20 55.1	2.786	0.491	71.7	284 305	14 1379
2399	8.6	31 58.84	3.3803	0.0012	13 5 49.2	2.789	0.487	71.6	282 304	13 1344
2400	8.9	32 2.34	3.3681	0.0011	12 35 43.8	2.794	0.485	71.6	271 301	12 1231

[1] BD 7.9 [2] BD 9.4; Schätz. 8.8 8.9 [3] 6.3 6.7 5.5 6.3; BD 7.0 [4] Grösse nach BD
[5] 7.0 7.0 8.0 7.8; BD 7.9 [6] 7.0 7.8 6.7 [7] 7.7 8.8 7.7 8.0 [8] 9m.5 praec. 3s 10"A.

Nr.	Gr.	A.R. 1875	Praec.	Var. saec.	Decl. 1875	Praec.	Var. saec.	Ep.	Zonen	B.D.
2401	8.0	6h 32m 12s.56	+3s.3973	−0s.0013	+13° 47′ 42″.4	−2″.809	−0″.489	71.7	283 308	13° 1347
2402	9.0	32 27.51	3.3697	0.0012	12 39 54.6	2.831	0.485	71.6	275 302	12 1234
2403	8.2	32 28.72	3.3781	0.0012	13 0 47.8	2.832	0.486	71.6	282 304	13 1351
2404	8.6	32 36.84	3.3772	0.0012	12 58 28.3	2.844	0.486	71.7	271 301 304	12 1235
*2405	8.5	32 41.03	3.3139	0.0009	10 21 0.1	2.850	0.477	69.1	4 79 159	10 1211
2406	8.6	6 32 41.05	+3.4136	−0.0014	+14 27 54.7	−2.850	−0.491	71.7	284 305	14 1381
2407	8.5	32 42.37	3.3781	0.0012	13 0 44.3	2.852	0.486	71.6	282 304	13 1355
2408	6.7	32 45.58	3.3800	0.0013	13 5 34.1	2.857	0.487	71.5	282 283 308	13 1356
2409	8.8	32 46.25	3.3442	0.0011	11 36 54.9	2.858	0.481	80.3	84 299 751 758	11 1259
2410	8.8	32 48.48	3.4196	0.0015	14 42 35.0	2.861	0.492	71.8	285 309 310	14 1382
2411	9.1	6 32 49.71	+3.3363	−0.0011	+11 17 12.6	−2.863	−0.480	69.0	58 81	11 1260
2412	8.2[1]	32 58.66	3.3484	0.0011	11 47 28.7	2.876	0.482	80.3	84 299 751 758	11 1263
2413	8.4	33 3.12	3.3652	0.0012	12 29 9.3	2.882	0.484	71.6	271 301	12 1237
2414	8.7	33 9.04	3.3815	0.0013	13 9 30.3	2.891	0.487	71.7	283 308	13 1363
2415	8.6	33 15.97	3.3574	0.0012	12 9 45.7	2.901	0.483	71.6	275 302	12 1239
2416	8.7	6 33 18.83	+3.3187	−0.0010	+10 33 10.0	−2.905	−0.478	69.1	4 159	10 1214
2417	8.9	33 24.89	3.3733	0.0013	12 49 23.3	2.914	0.485	71.6	282 304	12 1240
2418	8.3	33 26.60*	3.3367	0.0011	11 18 25.2	2.916	0.480	69.0	58 81	11 1267
2419	8.9	33 42.07	3.3175	0.0010	10 30 15.5	2.938	0.477	69.1	4 159	10 1215
2420	8.5[2]	33 45.31	3.3072	0.0010	10 4 31.8	2.943	0.476	87.1	703 706	[10 1216]
2421	8.6	6 33 57.81	+3.3088	−0.0010	+10 8 31.6	−2.961	−0.476	78.0	6 Beob.	10 1219
2422	**var.[3]**	**34 5.64**	**3.3056**	**0.0010**	**10 0 33.5**	**2.972**	**0.475**		**Fund. Cat.**	**10 1220**
2423	8.7	34 6.88	3.3194	0.0011	10 35 16.4	2.974	0.477	83.4	159 751 758	10 1221
2424	8.8	34 13.68	3.3954	0.0015	13 44 6.5	2.984	0.488	71.7	283 308	13 1370
2425	9.0	34 17.77	3.3369	0.0012	11 19 5.7	2.990	0.480	70.6	84 299	11 1271
2426	8.6	6 34 20.58	+3.3493	−0.0012	+11 50 21.1	−2.994	−0.482	71.6	275 302	11 1272
2427	6.7[4]	34 20.92	3.3320	0.0012	11 7 2.0	2.994	0.479	69.0	58 81	11 1273
2428	8.8	34 31.21	3.3418	0.0012	11 31 30.6	3.009	0.480	80.3	84 299 759 760	11 1274
2429	7.6	34 40.87	3.4148	0.0016	14 31 45.9	3.023	0.491	71.8	285 309 310	14 1394
2430	8.5	34 44.00	3.3294	0.0012	11 0 32.8	3.028	0.479	69.0	58 81	11 1275
2431	7.3[5]	6 34 44.54	+3.4099	−0.0016	+14 19 59.1	−3.028	−0.490	71.7	284 305	14 1395
2432	8.6[6]	34 50.00	3.3088	0.0011	10 9 2.6	3.036	0.476	80.7	5 Beob.	10 1228
2433	8.8	34 56.89	3.3779	0.0014	13 1 21.1	3.046	0.485	71.6	282 304	13 1375
2434	8.8	34 57.94	3.3696	0.0014	12 41 2.1	3.048	0.484	71.6	271 301	12 1247
2435	9.0	35 8.66	3.3438	0.0013	11 36 47.5	3.063	0.480	70.6	84 299	11 1277
2436	8.6	6 35 16.27	+3.3561	−0.0013	+12 7 28.5	−3.074	−0.482	71.6	275 302	12 1248
2437	8.5	35 21.32	3.3436	0.0013	11 36 24.9	3.081	0.480	69.8	58 81 84 299	11 1278
2438	8.7	35 22.27	3.4177	0.0017	14 39 22.9	3.083	0.491	71.8	285 309 310	14 1399
2439	8.8	35 23.50	3.4135	0.0017	14 28 59.9	3.085	0.490	71.7	284 305	14 1400
2440	8.4	35 45.10	3.3503	0.0014	11 53 24.2	3.116	0.481	70.6	84 299	11 1280
2441	8.7	6 35 45.22*	+3.3105	−0.0012	+10 13 33.0	−3.116	−0.475	87.1	6 Beob.	10 1235
2442	8.6	35 46.51	3.3870	0.0016	13 24 13.2	3.118	0.486	71.6	282 304	13 1380
2443	8.3	35 47.47	3.3159	0.0012	10 27 5.1	3.119	0.476	69.1	4 159	10 1236
2444	8.6	35 58.62	3.3893	0.0016	13 30 3.7	3.135	0.487	71.7	283 308	13 1382
2445	8.6	36 3.62	3.3803	0.0015	13 8 3.1	3.142	0.486	71.6	282 304	13 1384
2446	8.5	6 36 5.04	+3.3320	−0.0013	+11 7 47.5	−3.144	−0.479	76.1	58 81 758	11 1281
2447[7]	8.7	36 24.23	3.3119	0.0012	10 17 24.6	3.172	0.476	81.2	6 Beob.	10 1240
2448	8.7	36 29.59	3.3655	0.0015	12 31 40.0	3.180	0.483	71.6	271 301	12 1253
2449	8.8	36 29.96	3.3251	0.0013	10 50 45.3	3.180	0.477	69.1	4 159	10 1241
2450	9.0	36 35.26	3.3205	0.0013	10 39 9.9	3.188	0.477	90.1	759 760	10 1242

[1] 7.8 8.7 8.0 8.5 [2] BD 9.1 [3] 5.0..5.5 (S Monocerotis) [4] Z. 81 roth [5] BD 6.7 [6] Z. 759 röthlich
[7] 10m.0 praec. 7s 15″B.

Nr.	Gr.	A.R. 1875	Praec.	Var. saec.	Decl. 1875	Praec.	Var saec.	Ep.	Zonen	B.D.
2451	8.7	6h 36m 37s.21	+3s.3353	−0s.0014	+11° 16′ 21″.1	−3″.191	−0″.479	69.0	58 81	11° 1284
2452	8.2	36 38.73	3.3214	0.0013	10 41 30.0	3.193	0.477	68.5	2 69	10 1243
2453	8.4	36 44.72	3.3566	0.0015	12 9 31.7*	3.202	0.482	71.6	275 302	12 1257
2454	8.6[1]	36 47.68	3.3818	0.0016	13 12 1.8	3.206	0.485	71.6	282 304	13 1389
2455	8.6	36 51.08	3.3359	0.0014	11 17 53.0	3.211	0.479	69.0	58 81	11 1287
2456	5.3[2]	6 36 56.37	+3.3854	−0.0017	+13 21 6.8	−3.218	−0.486	71.7	283 308	13 1390
2457	8.7	36 59.76	3.3502	0.0015	11 53 38.5	3.223	0.481	80.3	84 299 751 758	11 1289
2458	8.6	37 29.49	3.3522	0.0015	11 59 3.7	3.266	0.481	71.6	275 302	12 1261
2459	8.9	37 46.95	3.3246	0.0014	10 50 0.4	3.291	0.477	69.1	4 159	10 1249
2460	8.7	37 50.22	3.4249	0.0020	14 58 12.7	3.296	0.491	71.8	285 309 310	14 1412
2461	8.9	6 37 51.77	+3.3574	−0.0016	+12 12 10.8	−3.298	−0.481	71.6	275 302	12 1264
*2462	9.4	37 52.70	3.3983	0.0018	13 53 10.1	3.299	0.487	91.6	751 R	13 1392
2463	8.5	38 2.39	3.3980	0.0018	13 52 42.6	3.313	0.487	77.8	283 308 758	13 1393
2464	8.7	38 2.83	3.3661	0.0017	12 33 56.8	3.314	0.483	71.6	282 304	12 1266
2465	8.7	38 2.88	3.3615	0.0016	12 22 19.5	3.314	0.482	71.6	275 302	12 1267
2466	8.4	6 38 3.69	+3.3256	−0.0014	+10 52 43.6	−3.315	−0.477	69.1	4 159	10 1253
2467	8.7	38 7.82	3.3624	0.0016	12 24 43.3	3.321	0.482	71.6	271 301	12 1268
2468	8.0[3]	38 11.31	3.3878	0.0018	13 27 42.5	3.326	0.486	71.7	283 308	13 1395
2469	**3.6**	**38 16.40**	**3.3773**	**0.0017**	**13 1 41.9**	**3.333**	**0.484**		**Fund. Cat.**	**13 1396**
2470	8.5	38 26.49	3.3453	0.0016	11 42 15.6	3.348	0.480	70.6	84 299	11 1294
2471	8.8	6 38 31.10	+3.3276	−0.0015	+10 57 46.6	−3.354	−0.477	69.1	4 159	10 1256
2472	8.8	38 35.05	3.3404	0.0016	11 29 56.5	3.360	0.479	69.0	58 81	11 1295
2473	8.7	38 38.72	3.3163	0.0014	10 29 32.9	3.365	0.475	68.5	2 69	10 1257
2474	8.7	38 51.32	3.3254	0.0015	10 52 32.7	3.384	0.477	69.1	4 159	10 1260
2475	7.4[4]	38 52.91	3.3721	0.0018	12 49 17.0	3.386	0.483	71.6	271 301	12 1275
2476	8.3	6 38 58.53	+3.4049	−0.0020	+14 10 14.9	−3.394	−0.488	71.7	284 305	14 1424
2477	8.4	39 11.78	3.4242	0.0021	14 57 26.3	3.413	0.491	76.4	285 309 310 751	14 1427
2478	9.0	39 26.46	3.3728	0.0018	12 51 13.8	3.434	0.483	71.6	271 301	12 1277
2479	9.3	39 40.92	3.3574	0.0018	12 13 10.7	3.455	0.481	82.6	302 R	[12 1280]
2480	8.8[5]	39 42.60	3.4238	0.0021	14 56 46.6	3.457	0.490	71.8	285 309 310	[14 1430]
2481	8.8	6 39 47.52	+3.4244	−0.0022	+14 58 17.9*	−3.465	−0.490	76.4	285 309 310 751	14 1431
2482	7.7	39 51.98	3.3250	0.0016	10 51 56.4	3.471	0.476	69.1	4 159	10 1262
2483	8.1	40 6.26	3.3325	0.0016	11 10 51.3	3.491	0.477	69.0	58 81	11 1302
2484	8.7	40 6.52	3.3578	0.0018	12 14 16.6	3.492	0.481	71.6	275 302	12 1285
2485	8.6	40 7.52	3.3634	0.0018	12 28 22.2	3.493	0.481	71.6	282 304	12 1286
2486	8.8	6 40 10.03	+3.3078	−0.0015	+10 8 43.5	−3.497	−0.473	77.3	2 69 614 616	10 1263
2487	9.2	40 11.69	3.3534	0.0018	12 3 19.7	3.499	0.480	71.6	271 301	[12 1287]
*2488	8.5	40 19.75	3.3293	0.0016	11 3 1.1	3.511	0.476	69.8	58 81 84 299	11 1303
2489	8.9	40 22.72	3.3294	0.0016	11 3 18.0	3.515	0.476	90.1	758 759	11 1304
2490	8.3	40 38.05	3.4229	0.0022	14 55 16.5	3.537	0.490	71.8	285 309 310	14 1436
2491	9.0[6]	6 40 43.55	+3.3260	−0.0017	+10 54 53.0	−3.545	−0.476	69.1	4 159	[10 1265]
2492	8.8	40 45.98	3.4157	0.0022	14 37 46.2	3.548	0.489	82.2	284 R	[14 1437]
2493	8.6[7]	40 52.40	3.4162	0.0022	14 38 58.7	3.557	0.489	71.6	284 305	14 1440
2494	8.5	40 53.83	3.4103	0.0022	14 24 37.6	3.560	0.488	80.9	283 308 751 758	14 1441
2495	8.9	40 58.67	3.4220	0.0023	14 53 19.0	3.567	0.490	71.8	285 309 310	14 1442
2496	8.3	6 41 2.42	+3.3427	−0.0018	+11 37 1.7	−3.572	−0.478	70.6	84 299	11 1307
2497	9.1	41 5.58	3.4166	0.0022	14 40 12.6	3.576	0.489	82.7	305 R	[14 1443]
2498	7.7	41 9.52	3.4180	0.0023	14 43 38.2	3.582	0.489	71.7	285 309	14 1445
2499	8.7	41 13.45	3.3996	0.0021	13 58 29.1*	3.588	0.486	71.7	283 308	13 1416
2500	8.9	41 15.22	3.3255	0.0017	10 54 3.4	3.590	0.476	69.6	79 159	10 1269

[1] BD 9.1 [2] Z. 308 röthlich [3] BD 8.5; Schätz. 8.0 8.1 [4] BD 8.0 [5] BD 9.3 [6] BD 9.5 [7] BD 9.2

Nr.	Gr.	A.R. 1875	Praec.	Var. saec.	Decl. 1875	Praec.	Var. saec.	Ep.	Zonen	B. D.
2501	8.8	$6^h\ 41^m\ 17^s.07$	$+3^s.3119$	$-0^s.0016$	$+10°\ 19'\ 28''.7$	$-3''.593$	$-0''.474$	90.1	751 758	10° 1270
2502	8.5	41 30.10	3.3184	0.0017	10 36 8.6	3.612	0.474	69.1	4 79 159	10 1274
2503	8.8	41 40.03	3.4133	0.0023	14 32 29.7	3.626	0.488	71.7	284 305	14 1449
2504	8.6	41 43.67	3.3686	0.0020	12 42 2.7	3.631	0.482	71.6	271 301	12 1300
2505	8.6	41 49.74	3.3699	0.0020	12 45 22.9	3.640	0.482	71.6	282 304	12 1301
2506	8.4	6 42 1.57	+3.4193	−0.0023	+14 47 20.2	−3.657	−0.489	71.7	285 309	14 1452
2507	8.7	42 3.08	3.4101	0.0023	14 24 57.7	3.659	0.487	71.7	284 305	14 1453
2508	8.6	42 3.80	3.4115	0.0023	14 28 14.1	3.660	0.488	71.8	284 309 310	14 1454
2509	8.6	42 5.04	3.3880	0.0021	13 30 24.7	3.662	0.484	71.7	283 308	13 1421
2510	8.2	42 20.90	3.3969	0.0022	13 52 32.1	3.685	0.485	71.7	283 308	13 1423
2511	8.4	6 42 25.82	+3.3807	−0.0021	+13 12 39.0	−3.692	−0.483	71.6	282 304	13 1424
2512	8.4	42 29.03	3.3569	0.0020	12 13 26.0	3.696	0.480	71.6	275 302	12 1306
2513	8.7	42 30.55	3.4248	0.0024	15 1 13.0	3.698	0.489	71.7	285 309	15 1332
2514	7.9[1]	42 33.60	3.3836	0.0022	13 19 46.2	3.703	0.483	71.6	282 304	13 1427
2515	8.8	42 35.58	3.3729	0.0021	12 53 18.4	3.706	0.482	71.6	271 301	12 1308
2516	8.9	6 42 37.76	+3.4179	−0.0024	+14 44 15.5*	−3.709	−0.488	80.9	285 309 751 758	14 1455
2517	9.0	42 40.66	3.4265	0.0024	15 5 27.8	3.713	0.489	90.1	759 760	15 1334
2518	8.5[2]	42 50.87	3.4202	0.0024	14 50 3.1	3.728	0.489	71.7	285 310	14 1456
2519	8.3	42 51.18	3.3981	0.0023	13 55 49.4	3.728	0.485	71.7	283 308	13 1430
2520	8.3	42 56.83	3.3527	0.0020	12 3 13.3	3.736	0.479	80.8	275 302 751 758	12 1309
2521	8.6	6 42 58.63	+3.3261	−0.0018	+10 56 22.6	−3.739	−0.475	69.1	4 79 159	10 1288
2522	8.0	43 2.99	3.3562	0.0020	12 11 54.9	3.745	0.479	71.6	271 301	12 1310
2523	8.6	43 14.56*	3.3079	0.0017	10 10 17.8	3.761	0.472	79.3	5 Beob.	10 1289
2524	8.8	43 16.16	3.3374	0.0019	11 24 57.5	3.764	0.476	69.0	58 81	11 1321
2525	6.5	43 22.17	3.3888	0.0023	13 33 17.2	3.772	0.484	71.7	283 308	13 1434
2526	8.8	6 43 24.67	+3.3242	−0.0019	+10 51 39.6	−3.776	−0.474	69.1	4 79 159	10 1291
2527	8.6	43 42.52	3.3978	0.0024	13 55 47.6	3.801	0.485	71.7	283 308	13 1435
2528	8.5	43 44.81	3.4268	0.0026	15 6 58.8	3.805	0.489	71.7	285 309	15 1342
2529	8.2	43 51.59	3.3998	0.0024	14 0 48.2	3.815	0.485	71.7	284 305	14 1460
2530	8.0[3]	43 56.56	3.3466	0.0021	11 48 26.6	3.822	0.477	70.6	84 299	11 1327
2531	8.4	6 44 10.98	+3.3656	−0.0022	+12 36 5.7	−3.842	−0.480	71.6	271 301	12 1319
2532	8.7[4]	44 30.10	3.3935	0.0024	13 45 43.6	3.870	0.484	90.1	751 758	13 1440
2533	8.6[5]	44 32.56	3.3717	0.0023	12 51 34.7	3.873	0.481	71.6	282 304	[12 1320]
2534	9.0	44 37.19	3.3447	0.0021	11 44 6.5	3.880	0.477	90.1	751 759	11 1328
2535	8.9	44 37.51	3.3633	0.0022	12 30 37.7	3.880	0.479	71.6	271 301	12 1321
2536	8.9	6 44 38.58	+3.3259	−0.0020	+10 56 42.3	−3.882	−0.474	69.1	4 79 159	10 1298
2537	8.4	44 42.98	3.3403	0.0021	11 33 5.0	3.888	0.476	69.8	58 81 84 299	11 1329
2538	8.3[6]	44 48.35	3.3710	0.0023	12 50 3.0	3.896	0.480	71.6	282 304	12 1322
2539	8.9[7]	44 51.69	3.3076	0.0019	10 10 23.1	3.901	0.471	87.1	707 709	[10 1300]
2540	9.0	44 59.56	3.3829	0.0024	13 19 44.8	3.912	0.482	80.9	283 308 758 759	13 1443
2541	8.8	6 45 0.50	+3.3830	−0.0024	+13 19 59.2	−3.913	−0.482	71.7	283 308	13 1444
2542	8.0	45 1.10	3.3258	0.0020	10 56 43.7	3.914	0.474	74.4	4 79 159 751	10 1301
2543	8.6	45 1.76	3.3602	0.0022	12 23 14.7	3.915	0.479	71.6	275 302	12 1325
2544	9.0	45 3.72	3.3432	0.0021	11 40 40.5	3.918	0.476	70.6	84 299	11 1332
2545	8.9	45 11.64	3.3588	0.0022	12 19 41.8	3.929	0.479	71.6	275 302	12 1327
2546	8.4	6 45 14.48	+3.3847	−0.0024	+13 24 16.8	−3.933	−0.482	71.6	282 304	13 1445
2547	8.3	45 22.18	3.3381	0.0021	11 27 57.5	3.944	0.476	69.0	58 81	11 1333
2548	8.6	45 33.54	3.3521	0.0022	12 3 10.8	3.961	0.477	80.8	275 302 759 760	12 1329
2549	8.4	45 39.84	3.3447	0.0022	11 44 45.1	3.970	0.476	80.3	84 299 751 759	11 1335
2550	8.9	45 42.07	3.3379	0.0021	11 27 43.1	3.973	0.475	69.0	58 81	11 1336

[1] BD 8.4 [2] Com. $9^m.0$ [3] 7.5 8.6 [4] BD 9.2 [5] BD 9.1 [6] BD 8.8 [7] BD 9.5; Schätz. 8.9 9.0

Nr.	Gr.	A.R. 1875	Praec.	Var. saec.	Decl. 1875	Praec.	Var. saec.	Ep.	Zonen	B.D.
2551	8.9	6h 45m 50s.28	+3s.4215	−0s.0027	+14° 55′ 29″.3	−3″.984	−0″.487	82.7	309 R	[14° 1473]
2552	8.8[1]	45 54.24	3.3072	0.0020	10 10 6.7	3.990	0.471	87.1	707 709	[10 1304]
2553	8.9	45 57.12	3.4062	0.0026	14 18 1.4	3.994	0.485	82.2	284 R	[14 1474]
2554	8.7[2]	46 1.76	3.4213	0.0027	14 55 10.5*	4.001	0.487	79.1	285 309 R	[14 1475]
2555	9.0	46 11.67	3.3541	0.0023	12 8 39.6	4.015	0.477	71.6	275 302	12 1333
2556	8.5	6 46 12.75	+3.3181	−0.0021	+10 37 45.6	−4.016	−0.472	69.1	4 79 159	10 1308
2557	7.7	46 19.47	3.3207	0.0021	10 44 27.0	4.026	0.473	79.3	2 69 758 760	10 1310
2558	6.6	46 26.42	3.3304	0.0022	11 9 6.3	4.036	0.474	69.0	58 81	11 1344
2559	10.0	46 30.37	3.4025	0.0027	14 9 13.9	4.041	0.484	90.1	760 761	— —[3]
2560	8.9	46 38.06	3.3868	0.0026	13 30 28.6	4.052	0.482	83.1	308 R	[13 1453]
2561	8.2	6 46 44.22	+3.4207	−0.0028	+14 54 14.0	−4.061	−0.487	77.8	285 309 761	14 1477
2562	9.9[4]	46 47.70	3.3866	0.0026	13 30 9.1	4.066	0.482	92.1	760 R	— —
2563	8.5[5]	46 52.86	3.3876	0.0026	13 32 42.3	4.074	0.482	80.6	283 751	13 1458
2564	8.8	46 53.68	3.3619	0.0024	12 28 30.5	4.075	0.478	77.8	271 301 761	12 1335
2565	8.6	46 58.13	3.3462	0.0023	11 49 12.1	4.081	0.476	77.1	84 299 758	11 1349
2566	8.4	6 46 58.26	+3.3309	−0.0022	+11 10 35.0	−4.081	−0.474	69.0	58 81	11 1350
2567	8.7[6]	47 4.69	3.4057	0.0027	14 17 43.0	4.091	0.484	71.7	284 305	14 1479
2568	8.9	47 6.94	3.3442	0.0023	11 44 18.7	4.094	0.476	71.6	275 302	11 1353
2569	8.1	47 11.67	3.3190	0.0021	10 40 38.9	4.101	0.472	69.1	4 79 159	10 1315
2570	7.9	47 20.37	3.4175	0.0028	14 46 43.2	4.113	0.486	71.7	285 309	14 1481
2571	8.6	6 47 28.28	+3.3077	−0.0021	+10 12 1.2	−4.124	−0.470	77.8	2 69 707 709	10 1316
2572	8.2	47 32.58	3.3315	0.0023	11 12 31.6	4.130	0.474	69.0	58 81	11 1355
2573	8.7	47 32.74	3.3671	0.0025	12 42 1.6	4.131	0.479	71.6	271 301	12 1337
2574	8.9	47 35.54	3.3978	0.0027	13 58 32.7	4.135	0.483	83.1	308 R	[13 1461]
*2575	5.6	47 35.57	3.3823	0.0026	13 20 4.1	4.135	0.481	71.6	282 304	13 1462
2576	8.8	6 47 39.45	+3.3649	−0.0025	+12 36 41.9	−4.140	−0.478	71.6	275 302	12 1339
2577	8.6	47 40.42	3.3229	0.0022	10 50 57.2	4.142	0.472	69.1	4 79 159	10 1321
2578	8.3	47 50.75	3.3405	0.0023	11 35 21.1	4.156	0.475	70.6	84 299	11 1356
2579	8.5	47 54.21	3.3194	0.0022	10 42 8.5	4.161	0.472	68.5	2 69	10 1325
2580	8.5[7]	47 58.03	3.3531	0.0024	12 7 20.8	4.167	0.476	71.6	275 302	12 1344
2581	8.3	6 48 4.83	+3.4076	−0.0028	+14 23 0.8	−4.176	−0.484	71.7	284 305	14 1486
2582	8.6	48 5.46	3.3796	0.0026	13 13 33.5	4.177	0.480	71.6	282 304	13 1469
2583	9.0	48 12.35	3.3968	0.0028	13 56 33.4	4.187	0.483	71.7	283 308	13 1470
2584	8.7[8]	48 18.26	3.3679	0.0026	12 44 36.9	4.196	0.478	71.6	271 301	[12 1348]
2585	8.5	48 45.60	3.3990	0.0028	14 2 21.9	4.235	0.483	71.7	284 305	14 1491
2586	9.2	6 48 48.00	+3.3485	−0.0025	+11 56 22.9	−4.238	−0.475	82.6	302 R	[11 1362]
2587	9.0	48 56.24	3.3334	0.0024	11 18 10.4	4.250	0.473	69.0	58 81	11 1363
2588	8.8	48 59.05	3.4003	0.0029	14 5 50.5	4.254	0.483	71.7	283 308	14 1493
2589	8.8	48 59.97	3.3159	0.0023	10 33 50.7	4.255	0.471	69.6	79 159	10 1329
2590	8.4	49 4.38	3.4140	0.0030	14 39 37.7	4.261	0.485	90.1	751 758	14 1494
2591	8.7[9]	6 49 6.93	+3.3685	−0.0027	+12 46 49.0*	−4.265	−0.478	82.6	301 R	[12 1353]
2592	8.6	49 9.15	3.3284	0.0024	11 5 38.4	4.268	0.472	69.0	58 81	11 1365
2593	8.1	49 11.56	3.3675	0.0027	12 44 20.7	4.272	0.478	71.6	271 301	12 1354
2594	9.1	49 20.74	3.3521	0.0026	12 5 43.6*	4.285	0.476	82.6	302 R	[12 1355]
2595	8.4	49 24.22	3.3305	0.0024	11 11 13.5	4.290	0.473	69.0	58 81	11 1368
2596	5.9	6 49 33.09	+3.3052	−0.0022	+10 7 0.1	−4.302	−0.469	77.6	2 69 612 708	10 1335
2597	8.7	49 33.71	3.3626	0.0026	12 32 18.1	4.303	0.477	71.6	271 301	12 1357
2598	8.5	49 34.47	3.4024	0.0029	14 11 21.5	4.304	0.483	71.7	284 305	14 1496
2599	8.5	49 41.06	3.3475	0.0025	11 54 16.4	4.314	0.475	83.7	275 751 758	11 1369
2600	8.4	49 46.88	3.3937	0.0029	13 49 56.3	4.322	0.481	71.7	283 308	13 1482

[1] BD 9.5; Schätz. 8.8 8.8 [2] BD 9.4; Schätz. 8.7 8.8 — [3] Statt 14°1476 beobachtet, welcher B.B. III S. 280 falsch angesetzt ist 14° 9m.0 st. 14° 0m.9 [4] 9.3 10.5 [5] BD 9.0; Schätz. 8.5 8.6 [6] BD 9.2 [7] BD 8.0; Schätz. 8.5 8.5 [8] BD 9.2; Schätz. 8.7 8.8 [9] Nur Z. 301; BD 9.3

Nr.	Gr.	A.R. 1875	Praec.	Var. saec.	Decl. 1875	Praec.	Var. saec.	Ep.	Zonen	B.D.
2601	8.9	$6^h\ 49^m\ 50^s.58$	$+3^s.3095$	$-0^s.0023$	$+10°\ 18'\ 8''.5$	$-4''.327$	$-0''.469$	68.5	2 69	10° 1338
2602	7.8[1]	49 53.10	3.3391	0.0025	11 33 8.8	4.331	0.474	70.6	84 299	11 1370
2603	8.8[2]	49 53.83	3.4078	0.0030	14 25 1.7	4.332	0.483	83.1	305 R	[14 1497]
2604	8.5[3]	49 59.67	3.4192	0.0031	14 53 12.0	4.340	0.485	71.7	285 309	14 1499
2605	8.8	50 1.37	3.3190	0.0024	10 42 16.8	4.342	0.471	81.6	159 R	[10 1341]
2606	9.0	6 50 12.03	+3.3191	−0.0024	+10 42 46.9	−4.358	−0.470	81.6	159 R	[10 1342]
2607	8.8	50 19.02	3.3332	0.0025	11 18 33.6	4.368	0.472	83.0	58 751 758	11 1375
2608	8.3	50 19.63	3.3328	0.0025	11 17 36.0	4.369	0.472	83.1	81 751 758	[11 1376]
2609	9.1	50 21.86	3.4176	0.0031	14 49 27.8*	4.372	0.484	77.8	285 309 759	[14 1502]
2610	9.0	50 25.14	3.4176	0.0031	14 49 35.7*	4.376	0.484	77.8	285 309 759	14 1503
2611	7.2	6 50 26.96	+3.3512	−0.0026	+12 4 11.4	−4.379	−0.475	71.6	275 302	12 1361
2612	7.6[4]	50 32.30	3.3291	0.0025	11 8 13.7	4.387	0.472	71.6	84 299	11 1377
2613	8.7	50 39.47	3.3041	0.0023	10 4 43.9	4.397	0.468	86.6	612 708	[10 1343]
2614	8.9	50 51.87	3.3193	0.0024	10 43 38.1	4.414	0.470	69.1	4 79 159	10 1345
2615[5]	8.6	50 56.87	3.3352	0.0026	11 23 56.4	4.421	0.472	69.0	58 81	11 1379
2616	7.4[6]	6 51 1.11	+3.4069	−0.0031	+14 23 35.4	−4.428	−0.483	71.7	284 305	14 1509
2617	8.9	51 4.56	3.4179	0.0032	14 50 47.7	4.432	0.484	71.7	285 309	14 1511
2618	8.4	51 6.38	3.4066	0.0031	14 23 5.0	4.435	0.483	71.7	284 305	14 1512
2619	7.6	51 8.09	3.4073	0.0031	14 24 49.4	4.437	0.483	71.7	284 305	14 1513
2620	8.6	51 8.73	3.3175	0.0025	10 39 7.9[7]	4.438	0.470	68.9 69.1	5 Beob.	10 1348
2621	8.2[8]	6 51 11.81	+3.3790	−0.0029	+13 14 18.6	−4.443	−0.479	77.8	282 304 751	13 1494
2622	8.8[9]	51 13.73	3.3174	0.0025	10 39 6.9*	4.445	0.470	83.5	159 758 759	10 1350
2623	8.0[10]	51 16.27	3.3832	0.0029	13 24 56.6	4.449	0.479	71.7	283 308	13 1495
2624	9.1	51 21.89	3.3844	0.0030	13 28 5.3	4.457	0.479	71.7	283 308	[13 1496]
2625	8.8	51 27.76	3.3520	0.0027	12 6 51.3	4.465	0.475	83.7	275 751 759	12 1367
2626	8.5	6 51 30.42	+3.3022	−0.0024	+10 0 27.4	−4.469	−0.467	77.6	2 69 612 708	10 1353
2627	8.6	52 3.82	3.3939	0.0031	13 52 12.1	4.517	0.480	71.7	283 308	13 1502
2628	8.6	52 17.00	3.3766	0.0030	13 9 16.9	4.535	0.478	71.6	282 304	13 1503
2629	8.5	52 22.43	3.4089	0.0032	14 29 40.1	4.543	0.482	71.7	284 305	14 1519
2630	9.2	52 31.79	3.3516	0.0028	12 6 39.7	4.556	0.474	82.6	302 R	— —
2631	8.7	6 52 32.98	+3.3195	−0.0026	+10 45 5.7	−4.558	−0.469	69.1	4 79 159	10 1360
2632	9.0[11]	52 38.76	3.3703	0.0030	12 53 46.9	4.566	0.477	71.6	271 301	[12 1373]
2633	8.5	52 43.96	3.3268	0.0026	11 3 57.0	4.574	0.470	75.4	58 81 740	11 1396
2634	7.8	52 54.01	3.3482	0.0028	11 58 17.4	4.588	0.473	76.5	84 299 740	11 1398
2635	8.8	53 7.71	3.3227	0.0027	10 53 43.2	4.607	0.469	69.1	4 79 159	10 1365
2636	8.7	6 53 13.44	+3.3038	−0.0025	+10 5 35.1	−4.615	−0.467	77.6	2 69 612 708	10 1367
2637	8.7	53 23.04	3.3509	0.0029	12 5 24.2	4.629	0.473	71.6	275 302	12 1379
2638	7.7	53 36.41	3.3700	0.0030	12 53 40.9	4.648	0.476	71.7	271 301 304	12 1381
2639	8.0	53 38.50*	3.3704	0.0031	12 54 42.1	4.651	0.476	71.6	271 282 301 304	12 1382
2640	8.8	53 40.56	3.3489	0.0029	12 0 43.3	4.654	0.473	71.6	275 302	12 1383
2641	8.6	6 53 49.74	+3.3937	−0.0033	+13 53 19.4	−4.667	−0.479	71.7	283 308	13 1514
2642	8.2	53 56.66	3.3622	0.0030	12 34 22.0	4.677	0.475	71.6	271 301	12 1384
2643	7.5	54 3.92	3.3202	0.0027	10 47 55.4	4.687	0.469	69.1	4 79 159	10 1370
2644	7.3[12]	54 11.81	3.3473	0.0029	11 56 53.8	4.698	0.472	76.5	84 299 740	11 1408
2645	8.7	54 16.97	3.3107	0.0026	10 23 49.7	4.705	0.467	68.5	2 69	10 1372
2646[13]	8.9	6 54 27.81	+3.3472	−0.0029	+11 56 50.6	−4.721	−0.472	85.1	299 740 751 758	11 1409
2647	8.9	54 31.59	3.3798	0.0032	13 19 9.7	4.726	0.477	71.6	282 304	13 1518
2648	7.9[14]	54 40.58	3.4209	0.0036	15 1 17.6	4.739	0.483	71.7	285 309	15 1427
2649	8.7	54 41.56	3.3804	0.0032	13 20 48.2	4.741	0.477	71.6	282 304	13 1520
2650	8.6	55 6.47	3.3966	0.0034	14 1 36.9	4.776	0.479	71.7	284 305	14 1534

[1] 7.3 8.4 [2] Nur Z. 305; BD 9.4; $10^m.0$ praec. $4^s\ 40^s$ A. [3] BD 9.1; Schätz. 8.6 8.5 [4] 7.0 8.3
[5] $10^m.0$ pr. $3^s\ 1^s.5$ B.; 11^m seq. $7^s\ 30^s$ A. [6] BD 7.9 [7] Z. 4 [$4^s.5$] [8] BD 9.0; Schätz. 8.2 8.2 8.2 [9] Z. 759 gelblich
[10] BD 8.5 [11] BD 9.5 [12] 6.8 7.7 7.5 [13] $9^m.5$ seq. $6^s\ 20^s$ B.; $9^m.5$ seq. $13^s\ 40^s$ B. [14] BD 8.5

Nr.	Gr.	A.R. 1875	Praec.	Var. saec.	Decl. 1875	Praec.	Var. saec.	Ep.	Zonen	B.D.
2651	8.2	6h 55m 11s.84	+3s.3305	−0s.0029	+11° 14′ 59″.2	−4″.783	−0″.470	75.4	58 81 740	11° 1414
2652	9.0	55 13.12*	3.3466	0.0030	11 55 55.7	4.785	0.472	81.6	84 R	[11 1415]
2653	8.0[1]	55 15.44	3.4162	0.0036	14 50 17.2	4.788	0.482	71.7	285 309	14 1535
2654	8.6[2]	55 15.65	3.3661	0.0032	12 45 15.0	4.789	0.475	71.6	271 275 301 302	12 1394
2655	7.8	55 18.24	3.3662	0.0032	12 45 28.3	4.792	0.475	71.6	271 275 301 302	12 1395
2656	8.2[3]	6 55 34.26	+3.3949	−0.0034	+13 57 37.7	−4.815	−0.479	71.7	283 308	13 1527
2657	8.7	55 46.76	3.3071	0.0027	10 15 39.0	4.833	0.466	68.5	2 69	10 1384
2658	7.7	55 48.55	3.3782	0.0033	13 16 5.2	4.835	0.476	71.6	282 304	13 1531
2659	8.6	56 1.54	3.3457	0.0031	11 54 19.0	4.854	0.471	76.5	84 299 740	11 1421
2660	8.3	56 3.32	3.3327	0.0030	11 21 17.2	4.856	0.470	69.0	58 81	11 1422
2661	9.0	6 56 3.45	+3.3656	−0.0032	+12 44 37.2	−4.856	−0.474	84.1	301 751 758	12 1400
2662	8.6	56 8.19	3.3752	0.0033	13 8 51.7	4.863	0.475	71.6	282 304	13 1534
2663	7.5	56 8.48	3.4081	0.0036	14 30 56.6	4.864	0.480	71.7	284 305	14 1539
2664	8.7	56 20.84	3.3488	0.0031	12 2 22.0	4.881	0.472	71.6	275 302	12 1403
2665	8.7[4]	56 22.63	3.4158	0.0037	14 50 17.0	4.884	0.481	77.8	285 309 751	14 1541
2666	5.0	6 56 42.57	+3.3273	−0.0030	+11 7 58.5	−4.912	−0.468	69.0	58 81	11 1428
2667	7.7[5]	56 44.62	3.3230	0.0029	10 57 3.4	4.915	0.468	69.1	4 79 159	10 1392
2668	7.9[6]	56 49.26	3.4162	0.0037	14 51 40.7	4.921	0.481	77.8	285 309 758	14 1545
2669	8.8	56 51.05	3.4020	0.0036	14 16 37.6	4.924	0.479	71.7	284 305	14 1546
2670	6.7[7]	56 51.23	3.3661	0.0032	12 46 31.9	4.924	0.474	71.6	271 301	12 1406
2671	8.6	6 56 55.24	+3.3751	−0.0034	+13 9 12.8	−4.930	−0.475	71.6	282 304	13 1536
2672	8.0[6]	56 59.14	3.3999	0.0036	14 11 26.0	4.935	0.478	71.7	283 308	14 1549
2673	9.3	57 0.01	3.3437	0.0031	11 49 59.1	4.936	0.471	83.0	299 R	[11 1430]
2674	8.6[8]	57 9.17	3.4209	0.0038	15 3 47.3*	4.950	0.481	82.7	5 Beob.	15 1443
2675	8.0[9]	57 13.44	3.4208	0.0038	15 3 31.2	4.955	0.481	82.7	5 Beob.	15 1445
2676[10]	9.1	6 57 20.52	+3.3327	−0.0030	+11 22 5.4	−4.965	−0.469	75.4	58 81 740	11 1432
2677	8.9	57 28.64	3.3427	0.0031	11 47 53.0	4.977	0.470	70.6	84 299	11 1433
2678	8.8	57 32.01	3.3562	0.0033	12 22 1.3	4.982	0.472	71.6	275 302	12 1408
2679	8.8	57 39.86	3.3206	0.0030	10 51 28.8	4.993	0.467	73.9	4 79 159 740	10 1396
2680	8.7	57 46.00	3.3812	0.0035	13 25 21.3	5.001	0.475	71.6	282 304	13 1540
2681	8.7	6 57 52.55	+3.4079	−0.0037	+14 32 6.5	−5.011	−0.479	71.7	284 305	14 1554
2682	8.3[11]	57 56.70	3.4049	0.0037	14 24 46.1	5.017	0.479	71.7	284 305	14 1555
2683	8.9[12]	57 58.86	3.4176	0.0038	14 56 23.0*	5.020	0.480	71.7	285 309	[14 1556]
2684	8.9	57 59.38	3.3540	0.0033	12 16 44.7	5.020	0.471	71.6	275 302	12 1410
2685	8.8	58 15.16	3.3328	0.0031	11 23 6.6	5.043	0.468	69.0	58 81	11 1436
2686	8.2	6 58 24.71	+3.3900	−0.0036	+13 47 57.1	−5.056	−0.476	71.7	283 308	13 1544
2687	8.7	58 26.23	3.3351	0.0032	11 29 13.6	5.058	0.468	70.6	84 299	11 1438
2688	8.9	58 28.48	3.3175	0.0030	10 44 7.1	5.061	0.466	69.1	4 79 159	10 1404
2689	7.2[13]	58 28.82	3.4106	0.0038	14 39 33.4*	5.062	0.479	82.7	5 Beob.	14 1558
2690	7.9	58 31.60	3.3923	0.0037	13 53 46.5	5.066	0.476	71.7	283 308	13 1547
2691	8.4	6 58 32.06	+3.3829	−0.0036	+13 30 17.7	−5.066	−0.475	71.6	282 304	13 1546
2692	8.9	58 42.31	3.3221	0.0031	10 56 10.5	5.081	0.466	83.0	69 751 754	10 1408
2693	8.5	58 46.12	3.4217	0.0039	15 7 9.5*	5.086	0.480	80.9	285 309 751 760	15 1459
2694	8.2	58 47.25	3.3135	0.0030	10 34 7.6	5.088	0.465	69.1	4 79 159	10 1409
2695	7.8	58 52.05	3.3332	0.0032	11 24 40.2	5.095	0.468	75.4	58 81 740	11 1439
2696	8.8[14]	6 58 55.59	+3.3805	−0.0036	+13 24 32.9	−5.100	−0.475	71.6	282 304	[13 1549]
2697	7.8	59 0.67	3.3988	0.0038	14 10 24.6	5.107	0.477	71.7	284 305	14 1560
2698	9.1	59 7.25	3.3367	0.0032	11 33 39.5	5.116	0.468	81.9	5 Beob.	11 1442
2699	8.5	59 12.88	3.3660	0.0035	12 48 11.1	5.124	0.472	71.6	271 301	12 1419
2700	9.1	59 18.66	3.3466	0.0033	11 59 1.1	5.132	0.470	71.6	275 302	12 1420

[1] BD 8.5; Schätz. 8.0 8.1 [2] BD 9.2 [3] 9m.2 seq. 0s.2 40″B. [4] BD 9.2 [5] 8.2 7.0 8.0; BD 8.6
[6] BD 8.5 [7] Röthlich [8] 8.6 8.5 9.0 8.0 8.9 [9] 8.0 7.7 7.7 8.8 7.9 [10] 10m praec. 3s 20″B.
[11] BD 8.8 [12] BD 9.4 [13] 7.0 6.7 7.2 7.0 8.2 [14] BD 9.4

Nr.	Gr.	A.R. 1875	Praec.	Var. saec.	Decl. 1875	Praec.	Var. saec.	Ep.	Zonen	B. D.
2701	8.9	6^h 59^m $22^s.65$	$+3^s.3660$	$-0^s.0035$	$+12°48'$ $21''.3$	$-5''.138$	$-0''.472$	83.1	301 R	[12° 1421]
2702	8.6	59 23.56	3.3107	0.0030	10 27 19.8	5.139	0.464	69.1	4 79 159	10 1413
2703	8.7	59 42.98	3.3096	0.0031	10 24 40.1	5.166	0.464	69.1	4 79 159	10 1414
2704	9.5[1]	59 49.38	3.3981	0.0038	14 9 36.8	5.175	0.477	82.7	305 R	[14 1563]
2705	9.0[2]	59 54.80	3.4078	0.0039	14 33 57.5	5.183	0.478	83.1	309 R	[14 1565]
2706	7.3[3]	6 59 54.87	+3.3845	−0.0037	+13 35 35.2	−5.183	−0.475	71.7	283 308	13 1556
2707	8.6	59 55.80	3.3264	0.0032	11 8 1.8	5.184	0.466	69.0	58 81	11 1447
2708	8.8	59 55.96	3.3798	0.0037	13 23 50.4	5.185	0.474	71.6	282 304	13 1555
2709	8.8	59 58.24	3.3484	0.0034	12 4 17.4	5.188	0.469	77.1	275 302 740	12 1425
2710	8.8	7 0 2.18	3.3589	0.0035	12 30 55.9	5.194	0.471	77.1	271 301 741	12 1427
2711	8.2	7 0 13.07	+3.3015	−0.0030	+10 4 15.8	−5.209	−0.463	77.6	2 69 612 708	10 1416
2712	8.6	0 24.24	3.3978	0.0039	14 9 19.8	5.225	0.476	71.7	283 284 305 308	14 1566
2713	8.5	0 27.98	3.3984	0.0039	14 10 56.2	5.230	0.476	71.7	283 284 305 308	14 1567
2714	8.8	0 30.20	3.3302	0.0033	11 18 13.5	5.233	0.467	69.0	58 81	11 1453
2715	8.2	0 30.25	3.4068	0.0040	14 32 1.0	5.233	0.477	71.7	285 309	14 1568
2716	8.8	7 0 43.55	+3.3450	−0.0034	+11 56 16.5	−5.252	−0.469	76.5	84 299 740	11 1455
2717	8.7	0 46.28	3.3597	0.0036	12 33 42.6	5.256	0.471	82.7	5 Beob.	12 1429
2718	9.0	0 46.57	3.4075	0.0040	14 33 52.1*	5.256	0.477	71.7	285 309	14 1570
2719	8.7	0 47.32	3.3432	0.0034	11 51 36.4	5.257	0.468	89.6	740 751 754 758	11 1456
*2720	8.8	0 51.39	3.3246	0.0033	11 4 1.9	5.263	0.466	70.5	58 299	11 1457
2721	8.9	7 0 55.40	+3.3040	−0.0031	+10 11 13.2	−5.268	−0.463	77.6	2 69 612 708	10 1422
2722	9.1	0 55.51	3.3405	0.0034	11 44 55.4	5.269	0.468	71.6	275 302	11 1459
2723	8.2	0 56.57	3.3645	0.0036	12 45 54.7	5.270	0.471	75.4	164 282 304 741	12 1430
2724	8.7	0 58.98	3.3247	0.0033	11 4 26.7	5.274	0.465	70.1	81 84 299	11 1461
2725	8.8	1 13.48	3.3277	0.0033	11 12 27.3	5.294	0.466	90.1	760 761	11 1464
2726	8.8	7 1 29.43	+3.3286	−0.0034	+11 14 47.4	−5.316	−0.466	89.5	740 760 761	11 1466
2727	8.8	1 33.76	3.3196	0.0033	10 51 45.8	5.322	0.464	83.1	74 754 756	10 1425
2728	8.8	1 34.80	3.2988	0.0031	9 58 10.7*	5.324	0.462	74.9	6 Beob.	10 1426
2729	7.8[4]	1 34.84	3.3256	0.0034	11 7 12.6	5.324	0.465	89.5	740 760 761	11 1467
2730	8.8	1 38.27	3.3111	0.0032	10 29 52.7	5.329	0.463	83.1	74 756 759	10 1427
2731	9.4	7 1 40.20	+3.3543	−0.0036	+12 20 38.1	−5.331	−0.469	82.7	302 R	[12 1436]
2732	9.1	1 42.97	3.4029	0.0041	14 23 22.2*	5.335	0.476	82.2	279 R	— —
2733	var.[5]	1 50.04	3.3045	0.0032	10 13 10.7	5.345	0.462	95.3	R(2)	10 1428
2734	8.9	1 52.72	3.3345	0.0035	11 30 12.0	5.349	0.466	90.1	760 761	11 1468
2735	8.5	2 4.00	3.3050	0.0032	10 14 33.0	5.365	0.462	79.8	71 145 756 759	10 1429
2736	9.0[6]	7 2 5.80	+3.3566	−0.0037	+12 26 58.9	−5.367	−0.469	81.1	66 R	[12 1438]
2737	8.8	2 6.72	3.3546	0.0036	12 21 47.3	5.369	0.469	71.6	275 302	12 1439
2738	8.8[7]	2 13.33	3.4018	0.0041	14 21 12.7	5.378	0.476	70.6	152 279	14 1577
2739	8.7	2 14.03	3.3083	0.0033	10 23 5.7	5.379	0.463	83.1	74 756 762	10 1432
2740	8.4	2 28.46	3.3897	0.0040	13 51 5.4	5.399	0.474	70.6	152 279	13 1570
2741	8.6	7 2 48.28	+3.3734	−0.0039	+13 10 7.9	−5.427	−0.471	70.8	152 279 281	13 1571
2742	7.8	2 52.22	3.3776	0.0039	13 20 46.3	5.433	0.472	70.4	150 152 279	13 1572
2743[8]	8.7	3 4.28	3.3633	0.0038	12 44 52.2	5.449	0.470	83.4 90.1	148a 752 757	12 1444
2744	8.5[9]	3 7.77	3.4190	0.0043	15 4 58.7	5.454	0.477	81.7	163 R	[15 1486]
2745	8.7	3 27.04	3.3209	0.0035	10 56 41.3	5.481	0.463	75.5	74 93 740	10 1438
2746	8.4	7 3 27.30	+3.3826	−0.0040	+13 34 4.4	−5.482	−0.472	70.6	150 281	13 1574
2747	8.6	3 28.14	3.3059	0.0033	10 17 53.0	5.483	0.461	69.6	71 145	10 1439
2748	8.9	3 34.71	3.3311	0.0036	11 23 4.8	5.492	0.465	89.5	740 760 761	11 1480
2749	9.1	3 37.50	3.3112	0.0034	10 31 50.1	5.496	0.462	90.1	754 756	10 1440
2750	9.4[10]	3 54.10	3.4167	0.0044	15 0 13.3	5.519	0.477	75.9	162 285 309 754	[15 1492]

[1] 9.1 10.0; $10^m.5$ seq. 1^s $0'.5$ B. [2] Nur Z. 309; BD 9.5 [3] BD 8.2; Schätz. 7.2 7.5 [4] 8.4 7.3 7.8
[5] R Can. min.; 8.2 8.2 [6] Nur Z. 66; BD 9.5 [7] BD 9.3 [8] $9^m.4$ praec. 1^s 4' B.; $9^m.6$ seq. 4^s 2' B.
[9] Nur Z. 163; BD 9.4 [10] 9.3 9.2 9.1 10.0

Nr.	Gr.	A.R. 1875	Praec.	Var. saec.	Decl. 1875	Praec.	Var. saec.	Ep.	Zonen	B. D.
2751	9.0	7h 4m 12s.85	+3s.3530	−0s.0038	+12° 19′ 34″.0*	−5″.545	−0″.467	81.7	147 R	[12° 1453]
2752	8.5	4 16.44	3.3823	0.0041	13 34 0.6	5.551	0.471	70.6	150 281	13 1577
2753	8.5	4 17.44	3.3068	0.0034	10 20 48.2	5.552	0.461	69.6	71 145	10 1443
2754	8.4[1]	4 21.15	3.3177	0.0035	10 49 4.3	5.557	0.462	69.1	74 93	10 1444
2755	8.7	4 30.40	3.3420	0.0037	11 51 46.0	5.570	0.466	90.1	760 761	11 1492
2756	8.6	7 4 33.35	+3.3606	−0.0039	+12 39 21.3	−5.574	−0.468	81.7 84.6	5 Beob.	12 1456
2757	8.3	4 42.38	3.4109	0.0044	14 46 37.4	5.587	0.475	70.2	162 163	14 1589
2758	8.8	4 44.66	3.3249	0.0036	11 8 5.3	5.590	0.463	89.5	740 760 761	11 1493
2759	8.2	4 56.78	3.3152	0.0035	10 43 6.9	5.607	0.462	69.1	74 93	10 1448
2760	8.6	4 58.03	3.4161	0.0045	14 59 45.6	5.609	0.476	70.9	162 163 309	15 1498
2761	8.7	7 5 0.24	+3.4129	−0.0044	+14 51 51.1	−5.612	−0.475	70.6	152 279	14 1593
2762	9.1	5 12.31	3.4140	0.0045	14 54 47.6	5.629	0.475	90.1	756 759	14 1594
2763	8.8	5 14.18	3.4135	0.0045	14 53 30.9	5.631	0.475	70.2	152 162 163	[14 1596]
2764	8.4	5 27.73*	3.3622	0.0040	12 44 21.5	5.651	0.468	81.7 84.6	5 Beob.	12 1463
2765	8.1	5 36.75	3.3077	0.0035	10 24 17.1	5.663	0.460	69.1	74 93	10 1453
2766	8.8	7 5 41.13	+3.3698	−0.0041	+13 3 49.0	−5.669	−0.469	70.6	150 281	13 1588
2767	8.5	5 42.47	3.3029	0.0035	10 11 40.9	5.671	0.460	78.1	71 145 612 708	10 1454
2768	8.5	5 52.63	3.3478	0.0039	12 7 44.9	5.685	0.466	71.6 71.1	75δ(½) 275 302	12 1464
2769	8.8	5 54.38	3.3277	0.0037	11 16 13.0	5.688	0.463	89.5	740 760 761	11 1503
2770	8.6	6 12.22	3.3409	0.0039	11 50 29.2	5.713	0.465	84.6	145 740 760 761	11 1506
2771	9.4	7 6 13.70	+3.4159	−0.0046	+15 0 40.3	−5.715	−0.475	81.7	162 R	[15 1508]
2772	7.2[2]	6 20.53	3.3910	0.0044	13 58 19.5	5.724	0.471	70.6	152 279	14 1600
2773	9.1	6 24.18	3.3487	0.0039	12 10 39.2*	5.730	0.465	69.6	66 147	— —
2774	8.7	6 30.61	3.3800	0.0043	13 30 38.6	5.739	0.470	70.6	150 281	13 1596
2775	8.8	6 31.71	3.3376	0.0039	11 42 7.3	5.740	0.464	89.5	740 760 761	11 1508
2776	9.1	7 6 36.99	+3.3839	−0.0043	+13 40 26.7	−5.747	−0.470	80.4	152 279 756 759	13 1597
2777	8.9	6 42.07	3.3411	0.0039	11 51 16.3	5.754	0.464	89.5	740 760 761	11 1509
2778	8.8	6 52.12	3.3322	0.0038	11 28 36.7	5.769	0.463	89.5	741 760 761	11 1510
2779	7.8[3]	6 55.27	3.3188	0.0037	10 54 5.1	5.773	0.461	75.5	74 93 741	10 1458
2780	8.0	6 55.48	3.3959	0.0045	14 11 7.5	5.773	0.472	90.1	756 759	14 1603
2781	8.7	7 7 3.24	+3.3462	−0.0040	+12 4 43.8	−5.784	−0.465	77.1 76.0	75δ(½) 275 302 740	12 1467
2782	8.8[4]	7 5.55	3.3492	0.0040	12 12 23.1	5.787	0.465	69.6	66 147	[12 1468]
2783	8.6	7 8.94	3.3162	0.0037	10 47 30.1	5.792	0.460	69.1	74 93	10 1460
2784	9.2	7 9.39	3.3926	0.0044	14 3 20.7	5.793	0.471	82.2	279 R	[14 1604]
2785	9.0	7 10.79	3.4152	0.0047	15 0 7.7	5.795	0.474	70.2	162 163	15 1514
2786	8.7	7 7 27.63	+3.3930	−0.0045	+14 4 21.2	−5.818	−0.471	70.6	152 279	14 1605
2787	8.9	7 30.58	3.3303	0.0039	11 24 15.5	5.822	0.462	90.1	760 761	11 1513
*2788	8.9	7 32.76	3.4096	0.0046	14 46 27.9	5.825	0.473	70.2	162 163	14 1606
2789	6.9[5]	7 34.46	3.3518	0.0041	12 19 43.4	5.828	0.465	77.1 76.0	75δ(½) 275 302 741	12 1469
2790	8.9[6]	7 35.50	3.3479	0.0040	12 9 42.4	5.829	0.465	69.6	66 147	[12 1470]
2791	8.5[7]	7 7 52.52	+3.3025	−0.0036	+10 12 21.2	−5.853	−0.458	78.1	71 145 612 708	10 1464
2792	8.6	7 52.62	3.3962	0.0045	14 12 59.9	5.853	0.471	70.6	152 279	14 1608
2793	8.7[8]	8 0.32	3.3031	0.0037	10 14 4.7	5.864	0.458	78.1	71 145 R	[10 1466]
2794	8.3	8 6.33	3.3260	0.0039	11 13 37.0	5.872	0.461	89.5	740 760 762	11 1514
2795	8.4	8 8.23	3.3669	0.0043	12 58 46.2	5.875	0.467	70.6	150 281	13 1606
2796	9.1	7 8 12.47	+3.3661	−0.0043	+12 56 45.7	−5.881	−0.467	80.1 83.4	148a 164 752 757	} 12 1471
2797	9.1	8 13.40	3.3661	0.0043	12 56 46.8	5.882	0.467	83.4 90.1	164a 752 757	} 12 1471
2798	8.6	8 14.42	3.3276	0.0039	11 17 55.2	5.883	0.461	89.5	740 761 762	11 1517
2799	8.9[9]	8 25.62	3.3673	0.0043	13 0 13.2	5.899	0.467	70.6	150 281	13 1607
2800	9.1	8 32.00	3.3531	0.0042	12 23 58.2	5.908	0.465	81.1	66 R	[12 1475]

[1] BD 8.9 [2] BD 6.5; Schätz. 7.3 7.2 [3] 7.2 7.8 8.3 [4] BD 9.5; Schätz. 8.7 9.0 [5] 6.3 6.7 6.5 8.0
[6] BD 9.4 [7] BD 9.0 [8] BD 9.2 [9] 9m.7 seq. 2s.3 20″ A.

Nr.	Gr.	A.R. 1875	Praec.	Var. saec.	Decl. 1875	Praec.	Var. saec.	Ep.	Zonen	B. D.
2801	8.4	7^h 8^m $38^s.31$	+$3^s.3926$	−$0^s.0046$	+14° 4′ 46″.4	−5″.917	−0″.470	70.6	152 279	14° 1615
2802	9.1	8 40.90*	3.3171	0.0038	10 51 2.7	5.920	0.460	69.1	74 93	10 1468
2803	8.5	8 45.84	3.4151	0.0048	15 1 32.9	5.927	0.473	70.2	162 163	15 1520
2804	8.8	9 10.75	3.3077	0.0038	10 27 7.2	5.962	0.458	69.1	74 93	10 1469
2805	9.0	9 12.67	3.4049	0.0047	14 36 30.6	5.965	0.471	70.2	162 163	14 1617
2806	8.4	7 9 17.89	+3.3022	−0.0037	+10 12 50.4	−5.972	−0.457	78.3	71 145 705 706	10 1470
2807	8.7	9 24.21	3.3591	0.0043	12 40 10.5	5.981	0.465	80.1 83.4	148a 164 752 757	12 1477
2808	8.9	9 46.95	3.3336	0.0041	11 34 57.7	6.012	0.461	89.5	740 760 761	11 1524
2809	8.6[1]	9 51.09	3.2974	0.0037	10 0 52.3	6.018	0.456	87.1	707 709	[10 1473]
2810	8.7	9 55.48	3.3509	0.0043	12 19 42.1	6.024	0.463	83.4 81.4	75δ(½) 147 752 757	12 1481
2811	8.9	7 9 58.52	+3.3159	−0.0039	+10 49 12.5	−6.028	−0.459	69.1	74 93	10 1474
2812	8.0	10 7.90*	3.3921	0.0047	14 5 12.1	6.041	0.469	70.6	152 279	14 1619
2813	8.7	10 12.75	3.3423	0.0042	11 57 42.8	6.048	0.462	89.5	740 760 761	11 1526
2814	8.8	10 16.65	3.3852	0.0046	13 47 40.8	6.054	0.468	70.6	150 281	13 1618
2815	7.9	10 16.88	3.3280	0.0041	11 20 49.0	6.054	0.460	90.1	761 762	11 1527
2816	8.7	7 10 27.10	+3.3832	−0.0046	+13 42 49.3	−6.068	−0.468	70.6	150 281	13 1620
2817	8.9	10 27.13	3.3567	0.0044	12 34 56.2	6.068	0.464	77.8 81.7	148a 164 R	[12 1485]
2818[2]	8.7	10 29.93	3.3809	0.0046	13 36 57.8*	6.072	0.467	80.4	152 279 756 759	13 1623
2819	8.7	10 33.09	3.3382	0.0042	11 47 32.1	6.076	0.461	89.5	740 762 764	11 1530
2820	8.5	10 34.47	3.3085	0.0039	10 30 15.1	6.078	0.457	69.1	74 93	10 1477
2821	9.3	7 10 38.96	+3.3183	−0.0040	+10 55 52.9	−6.084	−0.458	92.7	756 R	— —
2822	8.8	10 49.55	3.3900	0.0047	14 0 27.1	6.099	0.468	70.6	152 279	14 1622
2823	8.9	10 52.81	3.3272	0.0041	11 19 19.1	6.104	0.460	90.1	760 761	11 1535
2824	8.9[3]	10 59.18	3.3522	0.0044	12 23 56.9	6.113	0.463	81.1	66 R	12 1489
2825	8.5	11 19.11	3.3346	0.0042	11 38 53.6	6.140	0.460	90.1	762 763 764	11 1538
2826	9.0	7 11 27.47	+3.3304	−0.0042	+11 28 5.5	−6.152	−0.460	90.1	760 764	11 1541
2827	8.8	11 29.57	3.3367	0.0042	11 44 34.5	6.155	0.460	90.1	761 762	11 1543
2828	7.9	11 35.49	3.4033	0.0049	14 35 15.1	6.163	0.470	70.2	162 163	14 1628
*2829[4]	8.4	11 39.47	3.3177	0.0041	10 55 10.3*	6.169	0.458	79.6 76.1	74 93 759 765a	10 1486
2830	8.3[5]	11 42.82	3.3263	0.0042	11 17 45.5	6.173	0.459	89.5	740 761 762	11 1544
2831	8.0	7 11 44.53	+3.3836	−0.0047	+13 45 12.2	−6.176	−0.467	70.6	152 279	13 1626
2832	9.6	11 49.03	3.3840	0.0048	13 46 17.2	6.182	0.467	92.7	756 R	— —
2833	8.9	11 54.17	3.3860	0.0048	13 51 47.3	6.189	0.467	70.6	152 279	13 1627
2834	8.8	11 59.26	3.3551	0.0045	12 32 36.8	6.196	0.463	80.1 83.4	148a 164 752 757	12 1494
2835	8.2[6]	12 0.13	3.3441	0.0044	12 4 2.7	6.197	0.461	84.6 82.9	5 Beob.	12 1495
2836	7.6[7]	7 12 12.53	+3.3088	−0.0040	+10 32 26.7	−6.215	−0.456	69.1	74 93	10 1490
2837	9.0	12 20.81	3.3838	0.0048	13 46 32.8	6.226	0.466	80.4	152 279 759 765	13 1631
2838	8.2[8]	12 33.45	3.3930	0.0049	14 10 14.7	6.243	0.467	70.6	152 279	14 1636
2839	8.4[9]	12 33.69	3.3116	0.0041	10 40 14.3	6.244	0.456	69.4	74 93 145	10 1494
2840	8.6	12 37.16	3.3878	0.0049	13 57 2.4	6.249	0.467	70.6	150 281	13 1632
2841	8.2[10]	7 12 41.41	+3.3106	−0.0041	+10 37 35.9	−6.254	−0.456	69.4	71 93 145	10 1495
*2842	8.6[11]	12 47.14	3.3795	0.0048	13 36 0.6	6.262	0.465	70.6	152 279	13 1634
2843	8.9	12 51.11	3.3739	0.0047	13 21 47.0	6.268	0.465	70.6	150 281	13 1635
2844	8.8	13 5.96	3.3132	0.0041	10 44 49.0	6.289	0.456	69.1	74 93	10 1497
2845	8.6	13 12.17	3.3994	0.0050	14 27 4.2	6.297	0.468	70.2	162 163	14 1640
2846	9.2	7 13 27.08	+3.3510	−0.0046	+12 23 28.2	−6.318	−0.461	81.7	147 R	[12 1501]
2847	8.4	13 31.50	3.4153	0.0052	15 7 45.2	6.324	0.470	70.2	162 163	15 1544
2848	9.0	13 45.47	3.3373	0.0044	11 48 21.4	6.343	0.459	90.1	760 761	11 1551
2849	8.8	13 47.52	3.3508	0.0046	12 23 12.8	6.346	0.461	83.4 81.4	75δ(½) 147 752 757	12 1504
2850	8.5	14 0.03*	3.3945	0.0051	14 15 33.1	6.363	0.467	70.6	152 279	14 1642

[1] BD 9.1 [2] $9^m.7$ seq. 5^s 1′A.; $9^m.7$ praec. 7^s 1′.5 A. [3] Nur Z. 66; BD 9.5 [4] 2 Sterne $10^m.5$ praec. 9^s 2′B.
[5] BD 7.8; Schätz. 8.5 8.1 8.3 [6] 8.3 7.7 8.6 8.3 8.3 [7] BD 7.0 [8] BD 8.9; Schätz. 8.3 8.2
[9] BD 7.7; Schätz. 8.0 8.6 8.5 [10] BD 7.7; Schätz. 7.3 8.5 8.7 [11] Dpl. med.

Nr.	Gr.	A.R. 1875	Praec.	Var. saec.	Decl. 1875	Praec.	Var. saec.	Ep.	Zonen	B.D.
2851	7.9	7h 14m 0s.64	+3s.3722	−0s.0048	+13° 18′ 40″.1	−6″.364	−0″.464	70.6	150 281	13° 1637
2852	8.8	14 7.69	3.3570	0.0047	12 39 38.9	6.374	0.461	80.1 83.4	148a 164 752 757	12 1506
2853	8.3[1]	14 7.90	3.3055	0.0041	10 25 37.8	6.374	0.454	69.1	74 93	10 1505
2854	8.8	14 9.38	3.3225	0.0043	11 10 5.8	6.376	0.457	89.5	740 760 761	11 1557
2855	8.5	14 18.69	3.3667	0.0048	13 4 57.9	6.389	0.463	70.6	150 281	13 1640
2856	7.9	7 14 19.77*	+3.3741	−0.0049	+13 23 47.7	−6.391	−0.464	70.6	152 279	13 1641
2857	8.6	14 23.46	3.3124	0.0042	10 44 2.7	6.396	0.455	69.1	74 93	10 1507
2858	8.1	14 32.62	3.3241	0.0043	11 14 39.7	6.408	0.457	89.5	740 761 762	11 1558
2859	8.9	14 35.73	3.3134	0.0042	10 46 37.8	6.413	0.455	69.3	71 74 93 145	10 1508
2860	9.2	14 38.94	3.2952	0.0041	9 58 58.7	6.417	0.452	86.6	612 708	— —
2861	8.9	7 14 40.24	+3.3228	−0.0044	+11 11 28.0	−6.419	−0.456	89.5	740 761 762	11 1559
2862	8.8	14 47.03	3.3449	0.0046	12 9 3.3	6.428	0.459	69.6 69.5	66 75δ(½) 147	12 1509
2863	9.0	14 47.87	3.2950	0.0041	9 58 41.0	6.430	0.452	86.6	612 708	[10 1509]
2864	8.4	14 49.74	3.3176	0.0043	10 58 3.7	6.432	0.455	89.5	740 761 762	11 1560
2865	8.5	14 55.38	3.4085	0.0053	14 52 31.0	6.440	0.468	70.2	162 163	14 1644
2866	8.8	7 14 56.90	+3.3500	−0.0047	+12 22 29.3	−6.442	−0.460	70.1 69.9	75δ(½) 147 148a 164	12 1512
2867	9.0	14 59.54	3.3429	0.0046	12 4 1.4	6.446	0.459	93.2 85.2	75δ(½) R	[12 1514]
2868	9.0	15 6.91	3.3132	0.0043	10 46 43.4	6.456	0.455	83.1	74 756 759	10 1510
2869[2]	8.9	15 7.91	3.3005	0.0042	10 13 27.4	6.457	0.453	69.6	71 145	10 1511
2870	8.2	15 11.51	3.3930	0.0052	14 13 17.0	6.462	0.466	70.6	152 279	14 1646
2871	9.0	7 15 17.54	+3.3509	−0.0047	+12 25 12.6	−6.470	−0.460	83.4 81.4	75δ(½) 147 752 757	12 1516
2872	8.3	15 32.03	3.3917	0.0052	14 10 30.6	6.490	0.465	70.6	152 279	14 1648
2873	8.7	15 35.82	3.3428	0.0046	12 4 24.2	6.496	0.458	81.7 84.6	5 Beob.	12 1519
2874	8.6	15 38.29	3.3062	0.0043	10 28 42.0	6.499	0.453	69.6	71 145	10 1513
2875	8.8	15 39.10	3.3102	0.0043	10 39 26.4	6.500	0.454	69.1	74 93	10 1514
2876	8.4	7 15 40.55	+3.3999	−0.0053	+14 31 25.3	−6.502	−0.466	70.2	162 163	14 1649
2877	8.7	15 50.71	3.3777	0.0050	13 34 55.4	6.516	0.463	80.4	150 281 756 759	13 1652
2878	8.6	15 54.55*	3.3442	0.0047	12 8 28.5	6.521	0.458	81.7 82.9	6 Beob.	12 1521
2879	8.2	15 56.78	3.2970	0.0042	10 4 56.5	6.525	0.452	78.1	71 145 612 708	10 1516
2880	8.7	15 57.72	3.3083	0.0043	10 34 31.5	6.526	0.453	69.1	74 93	10 1517
2881	8.4	7 16 18.33	+3.3909	−0.0052	+14 9 18.0	−6.554	−0.465	70.6	152 279	14 1650
2882	8.2	16 45.78	3.3688	0.0050	13 13 7.4	6.592	0.461	70.6	150 281	13 1655
2883	8.9	16 46.56*	3.3480	0.0048	12 19 9.6	6.593	0.458	83.4 81.4	75δ(½) 147 752 757	12 1523
2884	8.9	16 48.67	3.3509	0.0048	12 26 49.0	6.596	0.459	.81.1	66 R	[12 1524]
*2885	8.9	16 53.57	3.3164	0.0044	10 56 43.4	6.603	0.454	90.7	741 R	— —
*2886	8.4	7 16 54.33	+3.3163	−0.0045	+10 56 27.2	−6.604	−0.454	75.5	74 93 741	10 1521
2887	8.6	16 58.20	3.3887	0.0053	14 4 25.5	6.609	0.464	80.4	152 279 756 759	14 1653
2888	9.0	16 59.92*	3.3311	0.0046	11 35 19.5	6.612	0.456	89.5	740 760 761	11 1573
2889	8.5	17 3.45*	3.3477	0.0048	12 18 51.3	6.617	0.458	83.4 81.4	75δ(½) 147 752 757	12 1526
2890	7.8	17 5.51	3.3209	0.0045	11 8 47.1	6.619	0.454	89.5	740 760 761	11 1574
2891	8.9	7 17 26.15	+3.3429	−0.0048	+12 6 43.4	−6.648	−0.457	81.8 84.7	5 Beob.	12 1531
2892	7.4	17 31.88	3.3057	0.0044	10 29 12.8	6.656	0.452	69.1	74 93	10 1525
2893	9.0	17 44.73	3.4074	0.0055	14 53 13.8	6.673	0.466	70.2	162 163	14 1657
2894	5.4	18 1.53	3.3381	0.0048	11 54 44.9	6.696	0.456	89.5	740 760 761	11 1578
2895	9.1	18 3.23	3.4088	0.0056	14 57 14.0	6.699	0.466	70.2	162 163	14 1658
2896	8.6	7 18 13.09	+3.3031	−0.0044	+10 23 4.2	−6.712	−0.451	69.1	74 93	10 1526
2897	9.9[3]	18 15.22*	3.3449	0.0049	12 12 50.1	6.715	0.457	81.1	66 R	— —
2898	8.6	18 20.07	3.3205	0.0046	11 8 53.1	6.722	0.453	90.1	760 761	11 1580 pr.
2899	8.9	18 21.61	3.3791	0.0053	13 41 25.4*	6.724	0.461	80.4	150 281 756 759	13 1660
2900	8.5	18 21.70	3.3944	0.0054	14 20 42.3	6.724	0.464	80.4	152 279 759 764	14 1661

[1] 10m 10″ 60°   [2] 10m.0 praec. 3s.5 20″ A.   [3] 9.4 10.5

Nr.	Gr.	A.R. 1875	Praec.	Var. saec.	Decl. 1875	Praec.	Var. saec.	Ep.	Zonen	B. D.
2901	9.0	7h 18m 21s.74	+3s.3209	−0s.0046	+11° 10′ 11″.6	−6″.724	−0″.453	92.7	761 R	11° 1580 s.
2902	8.9[1]	18 22.47	3.4061	0.0056	14 50 42.0	6.725	0.465	70.2	162 163	14 1662
2903	8.8	18 24.71*	3.3495	0.0049	12 25 0.7	6.728	0.457	81.7 84.6	5 Beob.	12 1537
2904	8.6	18 25.35	3.3382	0.0048	11 55 29.9	6.729	0.456	89.5	740 762 763 765	11 1582
2905	8.7	18 28.42	3.3499	0.0049	12 25 54.8	6.733	0.457	73.5 73.8	6 Beob.	12 1538
2906	8.9	7 18 32.76	+3.3004	−0.0044	+10 16 8.2	−6.739	−0.450	79.8	71 145 756 764	10 1528
2907	7.8	18 33.73	3.3703	0.0052	13 19 1.3	6.741	0.460	70.6	150 281	13 1663
2908	9.5[2]	18 48.34	3.4043	0.0056	14 46 45.2	6.760	0.464	92.7	765 R	[14 1663][3]
2909	8.8	18 48.86	3.3339	0.0048	11 44 39.8	6.761	0.455	89.5	740 760 761	11 1585
2910	8.6	18 52.17	3.3938	0.0055	14 19 54.5	6.766	0.463	83.8	279 759 763	14 1664
*2911	7.3	7 18 58.70	+3.3941	−0.0055	+14 20 54.1	−6.775	−0.463	70.4	152 162 163 279	14 1665
*2912	8.6	19 6.15	3.4114	0.0057	15 5 17.2	6.785	0.465	90.1	756δ 763 764	} 15 1571
*2913	8.7	19 6.18	3.4114	0.0057	15 5 9.9	6.785	0.465	83.5	163 756 764	}
2914	6.7	19 34.36	3.3133	0.0046	10 51 16.9	6.824	0.451	69.1	74 93	10 1532
2915	6.1[4]	19 46.48	3.3224	0.0047	11 15 23.0	6.840	0.453	90.1	760 761	11 1588
2916	8.7	7 19 47.48	+3.3533	−0.0051	+12 36 26.5	−6.842	−0.457	81.7 84.6	5 Beob.	12 1546
2917	8.7	20 10.51	3.3125	0.0047	10 49 46.7	6.873	0.451	69.1	74 93	10 1534
2918	6.6[5]	20 11.66	3.3439	0.0050	12 12 12.7	6.875	0.455	83.4 81.4	75δ(½) 147 752 757	12 1548
2919	8.7	20 16.37	3.3039	0.0046	10 27 6.5	6.881	0.450	69.6	71 145	10 1535
2920	8.4	20 30.82	3.3598	0.0052	12 54 8.3	6.901	0.457	80.1 83.5	148a 164 757 762	12 1551
2921	8.9	7 20 32.92	+3.3214	−0.0048	+11 13 34.0	−6.904	−0.452	90.1	760 761	11 1589
2922	8.2	20 34.69	3.4068	0.0058	14 55 34.1	6.906	0.463	70.2	162 163	14 1671
2923	8.5	21 1.73	3.3485	0.0051	12 25 13.8	6.944	0.455	84.6 82.9	5 Beob.	12 1556
2924	8.7	21 7.47	3.3059	0.0046	10 33 21.0	6.951	0.449	69.1	74 93	10 1539
2925	8.6	21 15.58	3.3815	0.0055	13 51 21.1*	6.962	0.459	75.6	150 279 281 756	13 1678
2926	8.6	7 21 23.66*	+3.3486	−0.0052	+12 25 53.8	−6.974	−0.455	84.6 82.9	5 Beob.	12 1559
2927	8.5	21 36.17	3.3065	0.0047	10 35 17.0	6.991	0.449	69.1	74 93	10 1541
2928	9.3[6]	21 41.28	3.3454	0.0051	12 18 1.3	6.998	0.454	81.1	66 R	— —
2929	8.5	21 42.00	3.3819	0.0056	13 52 56.8	6.998	0.459	70.1	150 152	13 1680
2930[7]	8.7	21 49.57	3.3475	0.0052	12 23 39.4	7.009	0.454	84.6 82.9	5 Beob.	12 1562
2931	8.3[8]	7 22 8.53	+3.3990	−0.0058	+14 37 40.8	−7.035	−0.461	70.2	162 163	14 1676
2932	7.3	22 9.24	3.3986	0.0058	14 36 45.6	7.036	0.461	70.2	162 163	14 1677
2933	8.1[9]	22 9.57	3.3644	0.0054	13 8 6.5	7.036	0.456	70.6	150 281	13 1682
2934	7.2	22 11.71	3.3616	0.0054	13 0 52.5	7.039	0.456	90.1	756 759	13 1683
2935	7.3	22 16.76	3.3345	0.0051	11 50 7.5	7.046	0.452	90.1	760 761	11 1592
2936	8.3	7 22 18.33	+3.3793	−0.0056	+13 46 58.9	−7.048	−0.458	70.6	152 279	13 1684
2937	8.1	22 19.76	3.3544	0.0053	12 42 14.9	7.050	0.455	81.7 84.7	5 Beob.	12 1564
2938	8.2[10]	22 23.39	3.3218	0.0049	11 16 44.3	7.055	0.450	89.5	740 760 761	11 1593
*2939	8.7	22 29.76	3.3333	0.0051	11 47 3.1	7.064	0.452	90.1	760 761	11 1594
2940	8.6	22 43.40	3.3596	0.0054	12 56 27.2	7.082	0.455	80.1 83.5	148a 164 757 763	12 1566
2941	5.4	7 22 50.23	+3.3441	−0.0052	+12 15 47.1	−7.092	−0.453	83.5 81.4	75δ(½) 147 762 763	12 1567
2942	8.8	22 55.66	3.3507	0.0053	12 33 14.8	7.099	0.454	81.8 84.7	5 Beob.	12 1568
2943	9.4[2]	23 0.51	3.3513	0.0053	12 35 0.4	7.106	0.454	92.7	765 R	[12 1569]
2944	8.7	23 8.64	3.3407	0.0052	12 7 14.1	7.117	0.452	83.1 85.8	6 Beob.	12 1570
2945	7.7[11]	23 14.20	3.2995	0.0047	10 18 20.4	7.124	0.447	79.8	71 145 756 759	10 1547
2946	8.6	7 23 16.86	+3.3038	−0.0048	+10 29 49.2	−7.128	−0.447	69.1	74 93	10 1548
*2947	7.6	23 23.93	3.3866	0.0058	14 7 24.2	7.138	0.458	70.4	152 162 163 279	14 1681
2948	8.7	23 29.73	3.3861	0.0058	14 6 11.5	7.146	0.458	70.2	162 163	14 1683
2949	8.4	23 30.05	3.2961	0.0047	10 9 33.3	7.146	0.446	78.1	71 145 612 708	10 1549
2950	8.5	23 47.21	3.3058	0.0048	10 35 47.0	7.169	0.447	69.1	74 93	10 1550

[1] 9m.7 seq. 6s 2′B.; 9m.6 praec. 8s 2′B. [2] Grösse nach BD [3] L = BD +4s.8 −0″.9 [4] BD 6.8
[5] 6.8 6.7 7.1 5.8; BD 7.5 [6] 8.7 10.0 [7] 9m.2 seq. 2s.5 0′.7 A. [8] BD 8.9; Schätz. 8.3 8.4
[9] BD 8.7; Schätz. 8.2 8.0 [10] 8.5 7.5 8.5; Z. 761 röthlich [11] 7.0 8.3 7.8 7.7

Nr.	Gr.	A.R. 1875	Praec.	Var. saec.	Decl. 1875	Praec.	Var. saec.	Ep.	Zonen	B.D.
2951	8.7	$7^h\ 23^m\ 56^s.41$	$+3^s.3098$	$-0^s.0049$	+10° 46′ 34″.1	−7″.182	−0″.448	69.1	74 93	10° 1551
2952	8.2[1]	24 6.07	3.3492	0.0054	12 30 50.6	7.195	0.453	79.6 81.5	6 Beob.	12 1574
2953	8.6	24 6.09	3.2937	0.0047	10 3 45.9	7.195	0.445	77.9	74 93 612 708	10 1553
2954	6.7[2]	24 13.75	3.3252	0.0051	11 27 48.4	7.205	0.449	90.1	760 761	11 1598
2955	8.8	24 16.61	3.3449	0.0053	12 19 37.3	7.209	0.452	84.7 82.9	5 Beob.	12 1575
2956	8.7	7 24 21.06	+3.3003	−0.0048	+10 21 42.7	−7.215	−0.446	76.4	71 145 756	10 1554
2957	8.2[3]	24 24.05	3.3610	0.0055	13 2 7.8	7.220	0.454	70.6	150 281	13 1695
2958	8.8[4]	24 25.93	3.3499	0.0054	12 33 0.1	7.222	0.453	81.1	66 R	[12 1577]
2959	8.9	24 46.83	3.3143	0.0050	10 59 28.5	7.251	0.448	89.5	740 760 761	11 1600
2960	8.8[5]	24 47.47	3.3892	0.0059	14 15 55.2	7.251	0.458	70.6	152 279	14 1689
2961	8.4	7 24 49.42	+3.2995	−0.0048	+10 20 7.1*	−7.254	−0.446	79.8	71 145 756 759	10 1556
2962	8.8	24 53.34	3.3228	0.0051	11 22 4.4	7.259	0.449	90.1	760 761	11 1601
2963	8.0[6]	24 56.41	3.2941	0.0048	10 5 43.2	7.263	0.445	77.9	74 93 612 708	10 1557
2964	7.3[7]	25 0.00	3.3582	0.0056	12 55 28.6	7.269	0.453	81.7 84.6	5 Beob.	12 1582
2965	8.9	25 15.12	3.3914	0.0060	14 22 18.2	7.289	0.458	70.2	162 163	14 1691
2966	8.8	7 25 26.19	+3.3456	−0.0054	+12 23 2.2	−7.304	−0.451	79.9 78.7	5 Beob.	12 1586
2967	8.9	25 46.78	3.3071	0.0050	10 41 12.1	7.332	0.446	69.6	71 145	10 1559
2968	8.5	25 57.93	3.3104	0.0050	10 50 15.8	7.347	0.446	69.1	74 93	10 1561
2969	8.7	26 2.30	3.3697	0.0058	13 27 4.1	7.353	0.454	80.4	150 281 756 759	13 1699
2970	8.7	26 10.42	3.4072	0.0063	15 4 36.0	7.364	0.459	70.2	162 163	[15 1596]
2971	9.0	7 26 10.74	+3.3553	−0.0056	+12 49 19.8	−7.365	−0.452	89.5	741 752 757	12 1588
2972	7.5[8]	26 33.15	3.3204	0.0052	11 17 42.6	7.395	0.447	90.1	760 761	11 1607
2973[9]	8.6	26 37.37	3.3301	0.0053	11 43 32.7	7.401	0.448	91.8	740 R	11 1608
2974	8.7	26 42.71	3.4076	0.0063	15 6 18.7	7.408	0.459	83.5	163 756 759	15 1601
2975	7.8	26 46.06	3.3745	0.0059	13 40 36.9	7.412	0.454	77.1	150 281 756	13 1702
2976	6.1[10]	7 27 11.91	+3.3099	−0.0051	+10 50 12.4	−7.447	−0.445	69.1	74 93	10 1563
2977	8.9	27 13.49	3.3194	0.0053	11 15 37.9	7.449	0.446	90.1	760 762	11 1612
2978	8.5	27 14.64	3.4054	0.0064	15 1 20.3	7.451	0.458	76.8	162 163 756	15 1602
2979	8.7	27 19.35	3.4068	0.0064	15 5 9.8	7.457	0.458	76.8	162 163 759	15 1603
2980	8.2	27 19.74	3.3156	0.0052	11 5 35.3	7.458	0.446	90.1	760 763	11 1613
2981	8.7	7 27 21.21	+3.3706	−0.0059	+13 31 5.0	−7.460	−0.453	70.6	150 281	13 1705
2982	8.0	27 22.29	3.3902	0.0062	14 22 12.3	7.461	0.456	70.6	152 279	14 1699
2983	9.3	27 29.62	3.2962	0.0050	10 14 3.0	7.471	0.443	81.6	145 R	[10 1565]
*2984	7.7[11]	27 34.05	3.3489	0.0056	12 34 27.0	7.478	0.450	81.7 84.6	5 Beob.	12 1596
2985	8.7	27 38.37	3.3406	0.0056	12 12 32.6	7.483	0.449	79.8 80.6	7 Beob.	12 1597
2986	8.5	7 27 38.56	+3.3309	−0.0054	+11 46 41.8	−7.483	−0.448	89.5	740 761 764	11 1615
2987	8.6	27 46.27*	3.3366	0.0055	12 1 55.2	7.494	0.448	83.5 81.4	75δ(½) 147 762 763	12 1599
2988	8.5	27 48.55	3.3323	0.0055	11 50 35.4	7.497	0.448	89.5	740 761 764	11 1617
2989	8.9	27 50.54	3.3338	0.0055	11 54 36.7	7.500	0.448	89.5	740 761 763	11 1618
2990	8.4	27 55.09	3.3649	0.0059	13 16 54.9	7.506	0.452	70.6	150 281	13 1707
2991	8.0[12]	7 28 1.12	+3.3196	−0.0053	+11 17 14.3	−7.514	−0.446	89.5	740 762 764	11 1619
2992	8.9	28 1.33	3.3397	0.0056	12 10 36.8	7.515	0.448	82.8	164 741 757	12 1601
2993	8.2[13]	28 7.07	3.2961	0.0050	10 14 27.0	7.522	0.442	69.6	71 145	10 1567
2994	8.9	28 11.23	3.3242	0.0054	11 29 30.9	7.528	0.446	90.1	760 765	11 1622
2995	8.7	28 11.39	3.3433	0.0056	12 20 24.4	7.528	0.449	70.6 70.3	75δ(½) 147 281	12 1602
2996	8.9	7 28 11.97*	+3.3457	−0.0057	+12 26 38.6*	−7.529	−0.449	80.4 83.8	148a 281 762 765	12 1603
2997	8.0[14]	28 19.78	3.2994	0.0051	10 23 24.4	7.539	0.443	69.1	74 93	10 1569
2998	8.3	28 22.84	3.3385	0.0056	12 7 43.1	7.543	0.448	79.6 78.5	5 Beob.	12 1605
2999	8.8	28 40.77	3.3400	0.0056	12 12 17.5	7.568	0.448	82.1 85.2	5 Beob.	12 1608
3000	8.8	28 43.02	3.3182	0.0054	11 14 5.5	7.571	0.445	89.5	740 761 764	11 1626

[1] BD 8.7; 11^m praec. 5^s 1′A. [2] BD 7.5; Schätz. 6.7 6.7 [3] BD 8.7; Schätz. 8.3 8.2 [4] $9^m.0$ praec. 2^s 3′A.
[5] BD 9.3 [6] BD 8.5 [7] 7.5 7.3 8.2 7.0 6.7 [8] BD 8.1; Schätz. 7.5 7.6 [9] $9^m.2$ praec. 6^s 0′.8 B. [10] BD 7.0
[11] Dpl. med. [12] BD 8.7; Z. 764 röthlich [13] 7.7 8.7 [14] 7.5 8.5; BD 8.5

Nr.	Gr.	A.R. 1875	Praec.	Var. saec.	Decl. 1875	Praec.	Var. saec.	Ep.	Zonen	B.D.
3001	8.7	7h 28m 44s.76	+3s.3614	−0s.0059	+13° 8′ 49″.2	−7″.573	−0″.451	70.6	150 281	13° 1710
3002	8.6	28 50.89	3.3169	0.0054	11 10 53.5	7.581	0.444	89.5	740 760 763	11 1627
3003	8.5[1]	29 26.25	3.3621	0.0060	13 11 33.6	7.629	0.450	70.1	66 150 281	13 1712
3004	8.7	29 42.95	3.3137	0.0054	11 3 28.1	7.651	0.443	90.1	760 761	11 1629
3005	8.2	29 46.71	3.3607	0.0060	13 8 29.8	7.657	0.450	70.6	150 281	13 1714
3006	8.8	7 29 47.15	+3.3228	−0.0055	+11 27 49.0	−7.657	−0.445	89.5	741 761 762	11 1630
3007	8.6	29 53.08	3.3270	0.0056	11 39 3.5	7.665	0.445	89.5	741 760 763	11 1631
3008[2]	8.2	29 54.72	3.3428	0.0058	12 21 16.8	7.667	0.447	83.4 81.4	75δ(½) 147 752 757	12 1615
3009	8.1[3]	30 24.34	3.3859	0.0064	14 15 38.4	7.707	0.452	70.6	152 279	14 1711
3010	8.5[4]	30 24.68	3.3629	0.0061	13 15 13.7	7.708	0.449	81.1	66 R	[13 1716]
3011	8.3	7 30 26.63	+3.3028	−0.0053	+10 34 50.0	−7.710	−0.441	69.1	74 93	10 1579
3012	8.8	30 42.72	3.2967	0.0052	10 18 51.6	7.732	0.440	69.1	74 93	10 1580
*3013	9.1	30 44.12	3.3669	0.0061	13 26 14.5	7.734	0.450	81.1	66 R	[13 1717][5]
3014	7.0[6]	30 46.94	3.3940	0.0065	14 37 9.6	7.738	0.453	70.2	162 163	14 1712
3015	7.1[7]	30 47.93	3.3872	0.0064	14 19 25.1	7.739	0.452	70.6	152 279	14 1713
3016	8.6	7 30 49.06	+3.3091	−0.0054	+10 52 19.8	−7.740	−0.442	69.1	74 93	10 1581
3017	8.8	30 58.48	3.3100	0.0054	10 54 48.3	7.753	0.442	69.1	74 93	10 1582
3018	9.0	31 7.10	3.3925	0.0065	14 33 54.5	7.765	0.453	70.2	162 163	14 1714
3019	8.5	31 21.12	3.3206	0.0056	11 23 51.3	7.784	0.443	90.1	760 761	11 1634
3020	8.9	31 31.04	3.3211	0.0056	11 25 25.7	7.797	0.443	90.1	760 761	11 1635
3021	8.6	7 31 40.65	+3.3636	−0.0062	+13 18 40.6	−7.810	−0.448	70.6	150 281	13 1722
3022	9.3	31 48.34	3.3631	0.0060	12 42 53.6	7.820	0.446	92.7	752 R	[12 1624]
3023	9.2	31 56.53	3.3985	0.0067	14 50 42.4	7.831	0.453	76.8	162 163 756	14 1717
3024	7.7[8]	32 7.92	3.3372	0.0058	12 9 11.5	7.846	0.444	84.6 82.9	5 Beob.	12 1626
3025	8.5	32 13.64	3.3125	0.0055	11 3 2.0	7.854	0.441	89.5	740 760 761	11 1638
3026	8.7	7 32 16.60	+3.3960	−0.0067	+14 44 45.1	−7.858	−0.452	70.2	162 163	14 1719
3027	8.7	32 36.75	3.3040	0.0054	10 40 40.4	7.885	0.440	69.1	74 93	10 1589
3028	8.6	32 37.32	3.3601	0.0062	13 10 42.4	7.886	0.447	70.6	150 281	13 1725
3029	8.9	32 52.87	3.3975	0.0067	14 49 41.3*	7.907	0.452	80.2	162 163 759 765	14 1720
3030	8.7	33 0.03	3.3490	0.0061	12 41 46.7	7.916	0.445	81.8 84.7	5 Beob.	12 1628
3031	7.9[9]	7 33 8.05	+3.3193	−0.0057	+11 22 25.7	−7.927	−0.441	89.5	740 760 761	11 1641
3032	8.7	33 21.58*	3.3356	0.0059	12 6 27.2	7.945	0.443	83.4 81.4	75δ(½) 147 752 757	12 1629
3033	8.5	33 21.93	3.3391	0.0060	12 16 55.4	7.946	0.444	81.7 84.6	5 Beob.	12 1630
3034	8.7	33 42.79	3.3638	0.0063	13 22 16.8	7.973	0.447	70.6	150 281	13 1732
3035	6.7	33 45.30	3.3794	0.0066	14 3 28.6	7.977	0.449	70.6	152 279	14 1721
3036	8.7	7 33 54.53	+3.2899	−0.0054	+10 4 2.7*	−7.989	−0.437	79.5	5 Beob.	10 1592
3037	9.3	34 0.01	3.3964	0.0068	14 48 37.4	7.997	0.451	70.2	162 163	14 1722
3038	8.8	34 11.00	3.3934	0.0068	14 41 4.0	8.011	0.450	70.2	162 163	14 1724
3039	8.3	34 13.44	3.2975	0.0055	10 24 56.0	8.015	0.437	69.1	74 93	10 1593
3040	9.3	34 18.48	3.3964	0.0068	14 49 6.0	8.021	0.450	81.7	163 R	[14 1725][10]
3041	8.8	7 34 20.53	+3.2900	−0.0054	+10 4 37.5*	−8.024	−0.436	81.3	6 Beob.	10 1594
3042	8.8	34 36.00	3.3279	0.0059	11 47 34.2	8.045	0.441	89.5	740 760 761	11 1645
3043[11]	8.7	34 48.14	3.3754	0.0066	13 54 30.8	8.061	0.447	80.4	152 279 756 759	13 1735
3044	6.3	34 51.21	3.3722	0.0065	13 46 15.2	8.065	0.447	70.6	150 281	13 1737
3045	8.8	34 51.49	3.3140	0.0057	11 10 29.0	8.065	0.439	90.1	760 761	11 1648
*3046	8.3[12]	7 34 51.89	+3.2880	−0.0054	+ 9 59 43.8*	−8.066	−0.435	76.9	71 145 429 453	10 1599
3047	5.5[13]	35 0.25	3.3887	0.0068	14 29 56.5	8.077	0.449	80.1	162 163 756 759	14 1729
3048	8.6	35 1.63	3.3334	0.0060	12 2 55.3	8.079	0.441	84.6 84.2	6 Beob.	12 1643
3049	9.0	35 3.24	3.3026	0.0056	10 39 50.7	8.081	0.437	69.1	74 93	10 1600
3050	8.9	35 7.90	3.3097	0.0057	10 58 59.0	8.087	0.438	90.1	760 761	11 1649

[1] BD 9.1 [2] 9m.0 praec. 8s 1′.3 B. [3] BD 8.7; Schätz. 8.2 8.0 [4] Nur Z. 66; BD 9.3 [5] L = BD +4s.3
[6] BD 6.5 [7] BD 6.5; bläulich [8] 8.1 8.0 8.3 7.3 7.0 [9] 8.4 7.5 7.8 [10] L = BD +4s.8 −0′.9
[11] 9m.4 praec. 2s.3 0′.1 A.; 9m.6 praec. 6s 0′.2 B. [12] Dpl. med. [13] BD 6.0

Nr.	Gr.	A.R. 1875	Praec.	Var. saec.	Decl. 1875	Praec.	Var. saec.	Ep.	Zonen	B.D.
3051	8.7	$7^h\ 35^m\ 10^s.17$	$+3^s.3689$	$-0^s.0065$	+13° 37' 49".5	$-8''.090$	$-0''.446$	70.6	150 281	13° 1740
3052	9.0	35 16.59	3.3395	0.0061	12 19 32.5	8.099	0.442	81.8 85.8	6 Beob.	12 1645
3053	8.4[1]	35 28.16	3.3666	0.0065	13 32 12.2	8.114	0.446	70.6	150 281	13 1741
3054	8.8	35 40.34*	3.3848	0.0068	14 20 42.4*	8.131	0.448	80.4	152 279 756 759	14 1730
3055	8.9	35 53.19	3.4016	0.0070	15 5 25.1	8.148	0.450	80.1	162 163 756 759	15 1636
3056	8.7	7 35 55.22	+3.3235	-0.0059	+11 37 17.9	-8.151	-0.439	89.5	740 760 761	11 1651
3057	8.6	35 57.98	3.3065	0.0057	10 51 27.6	8.154	0.437	75.5	74 93 741	10 1605
3058	8.5[2]	35 59.55	3.3708	0.0066	13 44 9.9	8.156	0.446	70.6	152 279	13 1745
3059	8.9	36 10.49	3.3319	0.0061	12 0 19.9	8.171	0.440	84.6 84.2	6 Beob.	12 1651
3060	9.0	36 16.60	3.3216	0.0059	11 32 44.3	8.179	0.439	90.1	760 761	11 1652
3061	8.9	7 36 26.57	+3.3207	-0.0059	+11 30 25.9	-8.192	-0.438	90.1	761 762	11 1653
3062	8.7	36 30.71	3.3356	0.0061	12 10 48.7	8.198	0.440	85.7 84.2	6 Beob.	12 1653
3063	8.7	36 41.23	3.3755	0.0067	13 57 50.4	8.212	0.445	70.6	152 279	14 1736
3064	8.8	36 43.20	3.3601	0.0065	13 16 38.9*	8.214	0.443	80.4	150 281 756 759	13 1748
3065	9.0	37 3.15	3.3458	0.0063	12 39 2.7	8.241	0.441	80.1 85.1	5 Beob.	12 1656
3066	8.1	7 37 7.19	+3.3867	-0.0069	+14 28 10.0	-8.246	-0.447	70.2	162 163	14 1738
3067	8.4[3]	37 12.48	3.3829	0.0069	14 18 13.4	8.253	0.446	80.4	152 279 756 759	14 1739
3068	7.0	37 15.17	3.3570	0.0065	13 9 25.2	8.257	0.442	70.6	150 281	13 1750
3069	8.6	37 22.87	3.3563	0.0065	13 7 32.8	8.267	0.442	70.7	150 281	13 1751
3070	8.7	37 28.05	3.3522	0.0065	12 56 50.2	8.274	0.442	80.1 83.5	148*a* 164 752 758	12 1657
3071	8.9	7 37 33.41	+3.3123	-0.0059	+11 9 9.4	-8.281	-0.436	89.5	740 760 761	11 1662
3072	8.8	37 39.07	3.3360	0.0062	12 13 29.2	8.288	0.439	83.5 83.3	5 Beob.	12 1658
3073	8.6	38 20.94	3.3957	0.0072	14 53 57.7	8.344	0.447	70.2	162 163	14 1744
3074	9.1	38 21.78	3.3016	0.0058	10 41 10.7	8.345	0.434	81.2	93 R	— —
3075	8.6	38 26.01	3.3781	0.0069	14 7 31.0	8.351	0.444	80.4	152 279 756 759	14 1745
3076	8.3	7 38 38.47	+3.3314	-0.0062	+12 2 37.3	-8.367	-0.438	84.6 84.2	6 Beob.	12 1664
3077	8.9	38 43.44	3.3888	0.0071	14 36 27.8	8.374	0.445	70.2	162 163	14 1747
3078	8.9[4]	38 45.66	3.3338	0.0063	12 9 1.7	8.377	0.438	81.1	66 R	[12 1665]
3079	8.5[5]	38 47.78	3.2899	0.0057	10 9 37.7	8.380	0.432	76.9	71 145 429 453	10 1619
3080	7.7[6]	38 54.17	3.3016	0.0058	10 41 52.5	8.388	0.434	69.1	74 93	10 1620
3081	8.1	7 39 14.48*	+3.3755	-0.0069	+14 1 51.5	-8.415	-0.443	70.6	152 279	14 1748
3082	5.6[7]	39 23.27	3.3096	0.0060	11 4 15.2	8.427	0.434	89.5	740 760 761	11 1670
3083	8.8	39 39.26	3.3020	0.0059	10 43 42.3*	8.448	0.433	77.3	5 Beob.	10 1623
3084	8.4	39 42.54	3.3014	0.0059	10 42 18.1	8.452	0.433	69.3	71 74 93 145	10 1624
3085	8.7	39 49.17	3.3825	0.0071	14 21 20.9	8.461	0.443	70.2	162 163	14 1752
3086	8.1[8]	7 39 55.55	+3.3787	-0.0070	+14 11 29.2	-8.469	-0.443	70.6	152 279	14 1753
3087	8.6	40 7.60	3.3009	0.0059	10 41 29.8	8.485	0.432	83.1	74 756 759	10 1625
3088	8.8	40 14.77	3.3151	0.0061	11 20 16.7	8.495	0.434	89.5	741 760 761	11 1673
3089	8.6	40 19.01	3.3546	0.0067	13 7 25.3	8.500	0.439	70.6	152 279	13 1761
3090	9.1	40 19.91	3.3638	0.0068	13 32 12.3	8.502	0.441	70.6	150 281	13 1760
3091	8.8	7 40 21.09	+3.3310	-0.0064	+12 3 50.0	-8.503	-0.436	84.6 84.2	6 Beob.	12 1673
3092	8.7	40 34.14	3.3842	0.0072	14 27 20.1	8.520	0.443	70.2	162 163	14 1756
3093	8.9	40 40.46	3.3258	0.0063	11 50 1.6	8.529	0.435	89.7	740 760 761 765	11 1675
3094	8.9	40 40.73	3.3215	0.0062	11 38 24.9	8.529	0.435	89.5	741 760 761	11 1676
3095	8.9	40 47.02	3.3608	0.0068	13 24 53.6	8.537	0.440	70.6	152 279	13 1763
3096	8.8	7 40 49.26	+3.3510	-0.0067	+12 58 39.1	-8.540	-0.438	70.6	150 281	13 1764
3097	8.5	40 49.65	3.2931	0.0059	10 20 51.9	8.541	0.431	69.1	74 93	10 1627
3098	8.6	41 0.09	3.3391	0.0065	12 26 45.9	8.554	0.437	83.4 83.3	5 Beob.	12 1675
3099	8.7	41 5.90	3.3164	0.0062	11 24 57.7	8.562	0.434	89.5	741 760 761	11 1677
3100	8.9	41 21.43	3.2858	0.0058	10 1 30.1	8.583	0.429	76.9	71 145 429 453	10 1628

[1] BD 8.9 [2] 9.0 8.1; BD 9.0 [3] 8.6 7.8 8.8 8.6 [4] Nur Z.66; BD 9.5 [5] BD 9.0 [6] BD 8.5
[7] BD 5.0 [8] 8.6 7.7

Nr.	Gr.	A.R. 1875	Praec.	Var. saec.	Decl. 1875	Praec.	Var. saec.	Ep.	Zonen	B.D.
3101	8.3[1]	7h 41m 22s.71	+3s.3674	−0s.0070	+13° 43′ 33″.6	−8″.584	−0″.440	70.6	152 279	13° 1770
3102[2]	8.6	41 28.89	3.3421	0.0066	12 35 26.2	8.593	0.437	80.1 85.1	5 Beob.	12 1677
3103	8.7	41 48.07	3.3168	0.0063	11 27 5.9	8.618	0.433	89.5	741 760 761	11 1679
3104	8.6	41 49.69*	3.3401	0.0066	12 30 45.1	8.620	0.436	69.8 69.6	66 148a 164	12 1678
3105	8.7	41 50.40	3.3294	0.0064	12 1 31.3	8.621	0.434	84.6 84.2	6 Beob.	12 1679
3106	8.9	7 41 55.32	+3.3351	−0.0065	+12 17 14.3	−8.627	−0.435	80.1 83.5	148a 164 752 764	12 1680
3107	8.7	41 56.72	3.3288	0.0064	12 0 6.9	8.629	0.434	84.6 84.2	6 Beob.	12 1681
3108	8.9	41 59.07	3.3230	0.0064	11 44 23.4	8.632	0.434	89.5	740 761 764	11 1681
3109	6.6	42 1.44	3.3660	0.0070	13 40 53.7*	8.636	0.439	70.6	150 281	13 1772
3110	8.2	42 13.86	3.3092	0.0062	11 6 56.6	8.652	0.432	89.5	741 761 763	11 1684
3111	8.9	7 42 25.06	+3.3053	−0.0061	+10 56 26.9	−8.666	−0.431	75.5	74 93 741	10 1635
3112	8.9	42 32.17	3.3432	0.0067	12 40 12.6	8.676	0.436	90.1	762 764	12 1683
3113	7.2	42 33.90	3.3533	0.0068	13 7 32.2	8.678	0.437	70.6	150 281	13 1775
3114	8.0[3]	42 34.73	3.3826	0.0073	14 26 33.0	8.679	0.441	70.2	162 163	14 1762
3115	8.1[4]	42 39.07	3.3765	0.0072	14 10 15.7	8.685	0.440	70.6	152 279	14 1763
3116	9.1	7 42 39.13	+3.3464	−0.0068	+12 48 59.7	−8.685	−0.436	83.5 81.4	75δ(½) 147 762 765	12 1684
3117	8.8	42 42.94	3.3617	0.0070	13 30 26.1	8.690	0.438	70.6	150 281	13 1777
3118	7.3[5]	42 43.68	3.3385	0.0066	12 27 39.4	8.691	0.435	82.1 85.1	5 Beob	12 1685
3119	8.7	42 54.89	3.3951	0.0075	15 0 21.3	8.706	0.442	70.2	162 163	15 1673
3120	8.9	43 9.66	3.3958	0.0076	15 2 36.7	8.725	0.442	70.2	162 163	15 1674
3121	8.6[6]	7 43 12.98	+3.3249	−0.0065	+11 51 13.8	−8.729	−0.433	90.1	760 761	11 1689
3122	9.0[7]	43 21.58	3.3317	0.0066	12 10 4.6	8.741	0.433	81.1	66 R	[12 1688]
3123	8.6	43 25.50	3.3261	0.0065	11 55 1.6	8.746	0.433	89.5	740 760 762	11 1690
3124	8.2[8]	43 29.55	3.3021	0.0062	10 49 8.9	8.751	0.429	81.3	5 Beob.	10 1640
3125	8.2	43 38.62	3.2860	0.0059	10 4 48.7	8.763	0.427	78.4	71 145 710 711	10 1641
3126	8.6[9]	7 43 42.12	+3.3724	−0.0072	+14 1 0.0	−8.768	−0.438	70.6	152 279	14 1766
3127	8.8	44 8.17	3.3323	0.0066	12 13 0.6	8.802	0.433	83.4 83.3	5 Beob.	12 1691
3128	8.4[10]	44 10.50	3.3730	0.0073	14 3 24.9	8.805	0.438	70.6	152 279	14 1767
3129	8.2	44 22.10	3.3825	0.0074	14 29 10.4	8.820	0.439	70.2	162 163	14 1769
3130	8.5	44 31.24	3.3160	0.0064	11 28 53.6	8.832	0.430	89.5	740 760 761	11 1693
3131	8.8	7 44 49.79	+3.3674	−0.0072	+13 49 25.6*	−8.856	−0.437	80.4	150 281 756 759	13 1781
3132	8.6	45 8.64	3.3473	0.0070	12 55 19.5	8.881	0.434	81.7 85.7	6 Beob.	12 1696
3133	8.4	45 9.62	3.2958	0.0062	10 34 1.4	8.882	0.427	69.1	74 93	10 1649
3134	8.5	45 12.04	3.3156	0.0065	11 28 40.3	8.885	0.430	89.5	740 760 761	11 1699
3135	9.1	45 37.36	3.3342	0.0068	12 20 18.0	8.918	0.432	80.1 85.1	5 Beob.	12 1698
3136	9.2	7 45 37.37	+3.3343	−0.0068	+12 20 37.8	−8.919	−0.432	83.5 85.1	164 757δ 758 762	12 1699
3137	8.5	45 49.87	3.3344	0.0068	12 21 18.0	8.935	0.431	78.1 80.9	7 Beob.	12 1701
3138	8.7	46 17.08	3.3890	0.0077	14 50 7.6	8.970	0.438	70.2	162 163	14 1773
3139	8.5	46 20.80	3.3488	0.0071	13 1 28.1	8.975	0.433	70.6	150 152 279 281	13 1785
3140	8.4	46 30.17	3.3483	0.0071	13 0 20.4*	8.987	0.433	70.6	150 152 279 281	13 1787
3141	8.8	7 46 41.70	+3.3495	−0.0071	+13 3 54.4	−9.002	−0.433	70.6	150 281	13 1788
3142	8.6[11]	46 44.86	3.3047	0.0064	11 0 38.1	9.007	0.427	89.5	741 760 761	11 1708
3143	8.7	46 47.14	3.3332	0.0069	12 19 20.4	9.010	0.430	83.4 83.3	5 Beob.	12 1706
3144	8.8	46 58.28	3.3718	0.0075	14 5 3.0	9.024	0.435	70.6	152 279	14 1778
3145	9.1	46 58.41	3.2866	0.0062	10 10 34.0	9.024	0.424	69.6	71 145	[10 1654]
3146	8.3	7 47 11.19	+3.3677	−0.0074	+13 54 22.3	−9.041	−0.434	80.4	152 279 756 759	13 1790
3147	7.8	47 12.13	3.3642	0.0074	13 44 46.1	9.042	0.434	70.6	150 281	13 1791
3148	8.9	47 17.06	3.3827	0.0077	14 35 1.7	9.049	0.436	70.2	162 163	14 1783
3149	8.5	47 51.71	3.2864	0.0062	10 11 14.2	9.094	0.423	78.4	71 145 707 709	10 1656
3150	9.0	47 54.09	3.3407	0.0071	12 41 51.3	9.097	0.430	80.1 85.1	5 Beob.	12 1710

[1] BD 8.9; 10m.7 praec. 2s.0 10″ A. [2] 9m.5 praec. 2s.5 0′.5 B. [3] BD 7.5; Schätz. 8.1 8.0 [4] BD 7.5; Schätz. 8.3 8.0 [5] 7.7 7.0 7.6 7.8 6.5 [6] BD 9.2 [7] Nur Z. 66; BD 9.5 [8] 7.5 8.1 8.6 8.7 8.3 [9] BD 9.2 [10] BD 8.9 [11] BD 8.0; Schätz. 8.7 8.6 8.5

Nr.	Gr.	A.R. 1875	Praec.	Var. saec.	Decl. 1875	Praec.	Var. saec.	Ep.	Zonen	B. D.
3151	8.8	7h 47m 55s.76	+3s.3173	−0s.0067	+11° 37′ 20″.8	−9″.099	−0″.427	89.5	740 760 761	11° 1715
3152	7.7[1]	48 4.64	3.3449	0.0071	12 53 42.2	9.110	0.431	81.7 85.7	6 Beob.	12 1712
3153	9.0	48 8.93*	3.2974	0.0064	10 42 21.7	9.116	0.424	83.1 90.1	93a 756 759	[10 1657]
3154	8.5	48 12.19	3.2975	0.0064	10 42 38.9	9.120	0.424	79.6	74 93 756 759	10 1658
3155	8.6	48 18.90	3.3608	0.0074	13 37 39.3*	9.129	0.432	80.4	150 281 756 759	13 1793
3156	8.2	7 48 46.05	+3.3613	−0.0074	+13 39 39.7	−9.164	−0.432	80.4	150 281 756 759	13 1797
3157	9.0[2]	48 48.73	3.3690	0.0076	14 0 43.7	9.168	0.433	82.2	279 R	[14 1785]
3158	8.8	48 49.06	3.2943	0.0064	10 34 40.0	9.168	0.423	69.6	71 145	10 1660
3159	8.6[3]	48 50.92	3.2985	0.0065	10 46 22.0	9.170	0.424	69.1	71 93	10 1661
3160	...[4]	48 56.05	3.2984	0.0065	10 46 16.9	9.177	0.424	69.4	74 93 145	10 1662
3161	8.9	7 48 59.35	+3.3833	−0.0078	+14 39 57.2	−9.181	−0.435	70.2	162 163	14 1786
3162	8.8	49 6.26	3.3276	0.0069	12 7 44.4	9.190	0.427	84.6 84.2	6 Beob.	12 1715
3163	8.6	49 6.68	3.3683	0.0076	13 59 19.9	9.191	0.433	70.6	152 279	14 1787
3164	8.5	49 12.06	3.3461	0.0072	12 58 55.9	9.198	0.430	70.6	150 281	13 1800
3165	8.2[5]	49 27.31	3.3072	0.0066	11 11 39.3	9.218	0.424	89.7	741 760 761 765	11 1717
3166	7.9	7 49 32.65	+3.3263	−0.0069	+12 4 43.4	−9.225	−0.427	84.6 84.2	6 Beob.	12 1717
3167	9.2[6]	49 37.10	3.3036	0.0066	11 1 45.5	9.230	0.424	89.5	741 760 761	11 1718
3168	8.5[7]	49 39.62	3.3830	0.0079	14 40 20.2*	9.234	0.434	80.1	162 163 756 759	14 1790
3169	8.3	49 40.16	3.3110	0.0067	11 22 33.3	9.234	0.425	90.1	760 761	11 1719
3170	8.6	49 54.73	3.3127	0.0068	11 27 46.1	9.253	0.425	89.5	740 760 762	11 1720
3171	7.9[8]	7 50 1.99	+3.3247	−0.0070	+12 1 9.9	−9.262	−0.426	84.6 82.9	5 Beob.	12 1721
3172	8.4	50 12.36	3.3621	0.0076	13 44 37.6	9.276	0.431	70.6	152 279	13 1801
3173	9.0	50 13.89	3.3094	0.0067	11 18 57.8	9.278	0.424	90.1	761 764	11 1722
3174	8.7	50 15.68	3.3218	0.0069	11 53 20.6	9.280	0.425	89.5	740 761 764	11 1723
3175	8.9	50 19.00	3.3189	0.0069	11 45 29.4	9.284	0.425	90.1	762 764	11 1724
3176	7.9	7 50 19.55	+3.3589	−0.0075	+13 36 4.8	−9.285	−0.430	70.6	150 281	13 1802
*3177	8.1	50 23.77	3.3575	0.0075	13 32 20.9	9.291	0.430	70.6	152 279	13 1804
3178	8.5	51 8.53	3.3315	0.0071	12 21 49.0	9.348	0.426	70.5	150 164 281	12 1728
3179	8.1	51 11.86	3.3598	0.0076	13 39 53.4	9.353	0.429	70.6	150 281	13 1807
3180	8.8	51 15.48	3.3232	0.0070	11 58 54.5	9.358	0.425	84.6 84.2	6 Beob.	12 1729
3181	8.9	7 51 27.01	+3.3219	−0.0070	+11 55 47.5	−9.372	−0.424	90.1	760 761	11 1726
3182	8.6	51 47.73	3.3402	0.0073	12 47 4.8	9.399	0.426	83.4 83.3	5 Beob.	12 1732
3183	8.2	51 50.01	3.3331	0.0072	12 2 24.7	9.402	0.425	83.5 80.1	148a 164 762 764	12 1733
3184	7.6[9]	51 55.74	3.2903	0.0065	10 27 52.4	9.409	0.420	69.1	74 93	10 1677
3185	8.4	52 2.61	3.3238	0.0071	12 1 56.3	9.418	0.424	84.6 82.9	5 Beob.	12 1734
3186	8.1	7 52 23.59	+3.3699	−0.0079	+14 9 56.7*	−9.445	−0.429	80.4	152 279 756 759	14 1797
3187	6.5	52 36.25	3.3570	0.0077	13 34 48.3	9.462	0.428	70.6	152 279	13 1811
3188	8.4	52 36.36	3.2859	0.0065	10 16 24.4	9.462	0.418	69.6	71 145	10 1682
3189	8.3	52 39.43*	3.3513	0.0076	13 19 19.9*	9.466	0.427	80.5	150 281 756 759	13 1810
3190	8.4	52 45.45	3.3666	0.0078	14 1 37.3	9.473	0.429	70.6	152 279	14 1801
3191	8.7	7 52 53.40	+3.3625	−0.0078	+13 50 33.6	−9.484	−0.428	70.6	150 281	13 1812
3192	8.3[10]	53 2.38	3.2850	0.0065	10 14 35.0	9.495	0.418	69.4	71 74 145	10 1684
3193	8.6	53 6.89	3.3397	0.0074	12 47 49.9	9.501	0.425	80.1 85.1	5 Beob.	12 1736
3194	9.2	53 20.13	3.2875	0.0066	10 21 52.6*	9.518	0.418	79.8	71 145 756 759	10 1688
3195	8.3[11]	53 20.77	3.2839	0.0065	10 11 56.3	9.519	0.417	69.1	74 93	10 1689
3196	8.8	7 53 25.13	+3.3188	−0.0071	+11 50 3.1	−9.524	−0.422	89.5	740 760 761	11 1732
3197	8.2	53 25.50	3.3342	0.0073	12 33 11.9	9.525	0.424	81.7	5 Beob.	12 1738
3198	8.6	53 26.27	3.3087	0.0069	11 21 45.8	9.526	0.420	90.1	760 761	11 1733
3199	8.7	53 34.50	3.2898	0.0066	10 28 56.5	9.536	0.418	69.1	74 93	10 1692
3200	8.7	53 37.49	3.2875	0.0066	10 22 24.4	9.540	0.418	69.1	74 93	10 1693

[1] Z. 741 8.5 [2] Nur Z. 279; BD 9.5 [3] BD 9.2; Schätz. 8.6 8.6 [4] 6.3 6.5 8.8; BD 7.8; blau
[5] BD 7.3; Schätz. 8.6 8.0 8.0 — [6] 10.0 8.7 8.9; BD 8.8 [7] BD 9.0 [8] 7.5 8.0 7.8 7.8 8.5
[9] 7.0 8.3; BD 8.3 [10] 8.3 7.7 8.8 [11] BD 8.8

Nr.	Gr.	A.R. 1875	Praec.	Var. saec.	Decl. 1875	Praec.	Var. saec.	Ep.	Zonen	B.D.
3201	8.3	7h 53m 37s.87	+3s.2850	−0s.0066	+10° 15′ 18″.4	−9″.541	−0″.417	69.6	71 145	10° 1694
3202	7.6[1]	53 39.18	3.3433	0.0075	12 58 57.0	9.542	0.425	70.6	150 281	13 1816
3203	8.8	53 45.09	3.3870	0.0083	14 59 14.4	9.550	0.430	70.2	162 163	15 1726
3204	7.3	53 51.94	3.3440	0.0075	13 1 10.8	9.559	0.424	70.6	150 281	13 1817
3205	8.7	53 55.47	3.3016	0.0068	11 2 42.6	9.563	0.419	90.1	760 761	11 1734
3206	8.5	7 54 2.40	+3.3388	−0.0075	+12 47 9.4	−9.572	−0.424	80.1 85.1	5 Beob.	12 1743
3207	8.7	54 17.26	3.2955	0.0068	10 46 0.5	9.591	0.418	69.1	74 93	10 1699
3208	8.9	54 20.41	3.3079	0.0070	11 21 59.9	9.595	0.419	89.5	740 760 761	11 1735
3209	8.2[2]	54 34.69	3.3732	0.0081	14 23 2.3	9.614	0.428	70.2	162 163	14 1808
3210	8.7	54 43.89	3.3456	0.0076	13 7 10.6	9.625	0.424	70.6	150 281	13 1820
3211	8.5	7 54 52.31	+3.2784	−0.0065	+ 9 58 16.1	−9.636	−0.415	76.9	71 145 429 453	10 1701
3212	9.0	55 20.19	3.3268	0.0073	12 15 44.7	9.672	0.421	83.4 83.3	5 Beob.	12 1747
3213	8.8	55 33.78	3.3461	0.0077	13 10 0.5	9.689	0.423	70.6	150 281	13 1823
3214	7.9[3]	55 36.35	3.3381	0.0076	12 47 51.6	9.692	0.422	81.7 85.7	6 Beob.	12 1748
3215	8.3	55 36.81	3.3335	0.0075	12 34 49.4*	9.693	0.421	83.5 81.4	75δ(½) 147 762 765	12 1749
3216	8.9	7 55 43.63	+3.3255	−0.0074	+12 12 38.6	−9.702	−0.420	80.1 83.5	148a 164 762 765	12 1750
3217	9.0	55 46.10	3.3294	0.0074	12 23 54.3	9.705	0.421	78.1 80.9	7 Beob.	12 1751
3218	9.3[4]	55 51.02	3.3291	0.0074	12 23 6.5	9.711	0.421	90.1	762 764	[12 1752]
3219	9.4[4]	55 51.03	3.3293	0.0074	12 23 34.7	9.711	0.421	92.7	764 R	
3220	8.8	55 51.29	3.3025	0.0070	11 8 3.8	9.711	0.417	89.5	740 760 761	11 1738
3221	7.7	7 55 59.31	+3.3485	−0.0078	+13 17 27.9*	−9.721	−0.423	80.4	150 281 756 759	13 1824
3222	8.8	56 3.19	3.2830	0.0067	10 13 7.7*	9.727	0.415	79.8	71 145 756 759	10 1708
3223	8.1[5]	56 24.63	3.2843	0.0067	10 17 26.5	9.754	0.414	79.8	71 145 756 759	10 1710
3224	8.3	56 24.84	3.3639	0.0081	14 1 2.9	9.754	0.424	70.6	152 279	14 1811
3225	8.6[6]	56 26.88	3.3141	0.0072	11 41 48.2	9.757	0.418	89.5	740 760 761	11 1740
3226	9.0	7 56 32.30	+3.3797	−0.0084	+14 45 9.6	−9.764	−0.426	70.2	162 163	14 1812
3227	8.0	56 33.10	3.3729	0.0082	14 26 21.7	9.765	0.425	70.6	152 279	14 1813
3228	6.8[7]	56 34.01	3.3318	0.0075	12 31 51.8	9.766	0.420	81.7 84.6	5 Beob.	12 1754
*3229	9.1	56 39.34	3.3168	0.0073	11 49 59.4	9.773	0.418	89.5	740 760 761	11 1741
3230	8.7	56 43.75	3.2880	0.0068	10 28 21.1[8]	9.778	0.414	77.7 79.6	5 Beob.	10 1711
3231	9.1	7 56 51.06	+3.2954	−0.0069	+10 49 42.8	−9.788	−0.415	69.6	71 145	10 1712
3232	8.9	56 55.66	3.3830	0.0084	14 54 59.5	9.793	0.426	70.2	162 163	14 1815
3233	8.5	56 58.06	3.2937	0.0069	10 44 50.9	9.796	0.415	69.1	74 93	10 1713
3234	8.8	57 5.22	3.3368	0.0076	12 47 1.2	9.806	0.420	80.1 85.1	5 Beob.	12 1757
3235	7.2[9]	57 7.20	3.3637	0.0081	14 2 6.2	9.808	0.424	70.6	152 279	14 1817
3236	8.7	7 57 16.82	+3.2781	−0.0067	+10 0 59.0	−9.820	−0.413	84.1	429 453	[10 1715]
3237	9.2	57 19.81	3.3820	0.0085	14 53 4.7	9.824	0.426	70.2	162 163	14 1818
3238	8.3	57 24.44	3.3031	0.0071	11 12 25.6	9.830	0.416	89.5	740 760 761	11 1743
3239	8.0	57 26.34	3.3337	0.0076	12 38 39.4*	9.832	0.419	80.1 85.1	5 Beob.	12 1759
3240	9.1	57 27.23	3.3299	0.0075	12 28 9.2	9.834	0.419	70.1 69.7	75δ(½) 147	— —
3241	8.4	7 57 29.95	+3.3577	−0.0080	+13 46 0.5	−9.837	−0.422	70.6	150 281	13 1828
3242	8.0	57 30.08	3.3654	0.0082	14 7 29.0	9.837	0.423	70.6	152 279	14 1819
3243	7.6	57 30.56	3.2903	0.0069	10 35 58.4	9.838	0.414	69.1	74 93	10 1716
3244	9.0	57 36.58	3.2867	0.0068	10 26 0.8	9.846	0.413	69.1	74 93	10 1717
3245	9.0	57 48.85	3.3286	0.0075	12 25 10.0	9.861	0.418	83.5	147 762 765	12 1760
3246	9.2	7 57 49.38	+3.3287	−0.0075	+12 25 28.3	−9.862	−0.418	90.1	762 765	
3247	8.2[10]	57 58.48	3.3309	0.0076	12 31 49.9	9.873	0.419	80.1 83.5	148a 164 752 758	12 1762
3248	4.5[11]	58 6.69	3.3509	0.0080	13 28 21.3	9.884	0.421	70.6	150 281	13 1831
3249	7.2[12]	58 9.73	3.2952	0.0070	10 51 8.5	9.888	0.414	69.1	74 93	10 1721
3250	8.7	58 11.97	3.3862	0.0086	15 6 29.5	9.890	0.425	70.2	162 163	15 1744

[1] Röthlich [2] BD 8.9; Schätz. 8.4 8.1 [3] 8.2 7.7 8.8 7.8 7.9 7.2; BD 7.3 [4] Dpl. 25″ 0° [5] 8.3 8.7 7.5 8.0
[6] 9m.4 praec. 0s.5 0′.6 B. [7] 7.0 6.0 [8.6] 7.1 7.0 [8] Z. 145 [26″.0] [9] BD 7.7 [10] BD 8.7 [11] BD 5.8
[12] 6.8 7.7; BD 8.0; 11m seq. 2s.5 30″ A.

Nr.	Gr.	A.R. 1875	Praec.	Var. saec.	Decl. 1875	Praec.	Var. saec.	Ep.	Zonen	B. D.
3251	8.5	7h 58m 19s.27	+3s.3111	−0s.0073	+11° 36′ 29″.2	− 9″.900	−0″.416	89.5	740 760 761	11° 1747
3252	8.9	58 22.74	3.3024	0.0071	11 11 52.4	9.904	0.414	90.1	760 761	11 1748
3253	9.1	58 29.85	3.2768	0.0067	9 58 51.3*	9.913	0.411	77.8	6 Beob.	10 1722
3254	7.7	58 34.06	3.3589	0.0081	13 51 27.7	9.918	0.421	70.6	152 279	13 1832
3255	8.8	58 43.90	3.2818	0.0068	10 13 30.0	9.931	0.412	69.6	71 145	10 1723
3256	9.0	7 58 57.34	+3.3256	−0.0076	+12 18 48.9	− 9.948	−0.417	93.2 85.2	75δ(½) R	[12 1768]
3257	8.4[1]	59 6.72	3.3746	0.0085	14 36 20.9	9.960	0.423	70.2	162 163	14 1822
3258	9.0	59 54.49	3.3699	0.0084	14 24 49.3	10.020	0.421	70.2	162 163	14 1824
3259	8.5	59 59.14	3.2790	0.0068	10 7 29.5	10.026	0.410	76.9	71 145 429 453	10 1725
3260	8.4	8 0 4.28	3.3248	0.0076	12 18 31.1	10.032	0.415	71.1 70.7	75δ(½) 147 313	12 1770
3261	9.0	8 0 5.92	+3.3756	−0.0085	+14 41 12.1	−10.035	−0.422	90.1	756 759	14 1825
3262	9.0	0 8.19	3.3068	0.0073	11 27 30.0	10.038	0.413	89.5	740 760 761	11 1753
3263	9.2	0 15.36	3.3324	0.0078	12 40 14.6	10.047	0.416	77.8 81.7	148*a* 164 R	[12 1771]
3264	8.3[2]	0 16.82	3.2833	0.0069	10 20 16.5	10.048	0.410	69.6	71 145	10 1727
3265	8.2	0 21.86	3.2867	0.0070	10 30 19.4	10.055	0.410	79.6	74 93 756 759	10 1728
3266	8.9	8 0 24.14	+3.3301	−0.0077	+12 34 4.8	−10.058	−0.416	90.1	752 757δ 758	12 1772
3267	8.7	0 27.26	3.3029	0.0073	11 16 47.6	10.062	0.412	89.5	740 760 761	11 1754
3268	9.1	0 34.27	3.3763	0.0086	14 44 3.5*	10.070	0.421	80.1	162 163 756 759	14 1827
3269	8.9	0 39.31	3.2795	0.0069	10 10 4.3	10.077	0.409	76.9	71 145 429 453	10 1730
3270	8.8	0 43.35	3.3759	0.0086	14 43 15.3	10.082	0.421	70.2	162 163	14 1828
3271	8.9	8 0 44.35*	+3.3386	−0.0079	+12 58 48.5*	−10.083	−0.417	80.4	150 281 756 765	13 1840
3272	8.0	1 2.79	3.3754	0.0086	14 42 42.7	10.106	0.421	70.2	162 163	14 1829
3273	7.8	1 25.22*	3.3495	0.0082	13 30 49.2	10.135	0.417	70.5	8 286 312	13 1842
3274	8.6	1 28.83	3.3410	0.0080	13 7 4.0	10.139	0.416	70.7	156 281	13 1843
3275	8.9	1 33.51	3.2775	0.0069	10 5 36.0	10.145	0.408	84.1	429 453	[10 1735]
3276	8.9	8 1 34.71	+3.3237	−0.0077	+12 17 57.7	−10.147	−0.414	70.2	17 313	[12 1778]
3277	8.8	1 40.28	3.2940	0.0072	10 53 21.1[3]	10.153	0.410	69.5 68.2	5 12 314*a*	10 1736
3278	8.9	1 43.05	3.3285	0.0078	12 32 4.8	10.157	0.414	70.5	8 286 312	12 1779
3279	6.8	1 43.22	3.3597	0.0084	14 0 10.2	10.157	0.418	70.7	158 284	14 1831
3280	8.5	1 51.51	3.3450	0.0081	13 18 53.7	10.168	0.416	70.7	156 281	13 1844
3281	8.9	8 1 54.96	+3.2956	−0.0072	+10 58 10.5	−10.172	−0.410	69.5	5 12 314	11 1761
3282	9.0	1 56.89	3.3824	0.0088	15 3 57.0	10.174	0.421	92.7	756 R	15 1764
3283	8.6	2 2.24	3.3687	0.0086	14 26 3.9	10.181	0.419	83.5	158 756 758	14 1832
3284	8.7	2 2.47	3.3604	0.0084	14 2 49.5	10.181	0.418	83.5 90.1	158*a* 758 761	14 1833
3285	8.5	2 5.08	3.3604	0.0084	14 2 43.6	10.185	0.418	70.7	156 158 281 284	14 1834
3286	8.8	8 2 8.18	+3.3233	−0.0077	+12 17 59.2	−10.189	−0.413	84.7	17 761 762 764	12 1782
3287	8.3	2 13.78	3.2934	0.0072	10 52 22.1	10.196	0.409	69.5	5 12 314	10 1738
3288	8.7	2 17.38*	3.3242	0.0078	12 20 46.8*	10.200	0.413	70.4	5 Beob.	12 1783
3289	8.7[4]	2 29.22	3.3116	0.0076	11 45 12.1	10.215	0.411	82.7	313 R	[11 1763]
3290	8.9	2 42.68	3.2961	0.0073	11 0 53.4	10.232	0.409	90.1	758 761	11 1765
3291	8.7	8 2 45.84	+3.3715	−0.0087	+14 35 29.3	−10.236	−0.418	70.7	158 284	14 1838
3292	8.2	2 54.73	3.3387	0.0081	13 3 12.1	10.247	0.414	70.5	8 286 312	13 1849
3293	7.8[5]	2 59.90	3.3453	0.0082	13 22 14.1	10.254	0.415	83.8	281 758 761	13 1851
3294	8.0[6]	3 3.72	3.3418	0.0081	13 12 25.4	10.258	0.414	92.7	762 R	13 1852
3295	7.9	3 5.78	3.3774	0.0088	14 52 33.9	10.261	0.419	90.1	756 762 764	14 1839
3296	9.2	8 3 10.54	+3.3505	−0.0083	+13 37 5.7	−10.267	−0.415	81.7	156 R	[13 1853]
3297	8.5	3 10.71	3.3118	0.0076	11 46 49.4	10.267	0.410	74.2	7 17 307 740	11 1769
3298	8.7[7]	3 26.39	3.3407	0.0081	13 9 49.7	10.287	0.414	71.7	286 312	13 1855
3299	9.2	3 28.38	3.3634	0.0086	14 14 11.7	10.289	0.417	70.7	158 284	— —
3300	9.2	3 31.37	3.3772	0.0088	14 53 6.9*	10.293	0.418	85.1	158 756 758 762	14 1841

[1] 9m.0 12″ 35° [2] BD 7.7; Schätz. 8.2 8.4 [3] Z. 314 [18″.5:] [4] Nur Z. 313; BD 9.2
[5] BD 8.5; Schätz. 8.0 7.7 7.7 [6] Nur Z. 762; BD 8.5 [7] BD 9.2; Schätz. 8.8 8.7

Nr.	Gr.	A.R. 1875	Praec.	Var. saec.	Decl. 1875	Praec.	Var. saec.	Ep.	Zonen	B. D.
3301	8.8	8^h $3^m 45^s.60$	$+3^s.3669$	$-0^s.0087$	+14° 24′ 35″.9	−10″.311	−0″.417	70.7	156 281	14° 1843
3302	8.3	3 56.04	3.2870	0.0072	10 36 45.9	10.324	0.406	69.5	3 11 311	10 1742
3303	6.8[1]	3 57.45	3.3793	0.0089	14 59 50.8	10.325	0.418	70.7	158 284	15 1775
3304	8.2	4 14.48	3.2730	0.0070	9 56 41.1	10.347	0.404	75.3	5 Beob.	10 1744
3305	9.2	4 21.53	3.3543	0.0085	13 50 21.1	10.356	0.414	81.7	156 R	[13 1858]
3306	6.9[2]	8 4 27.54	+3.2780	−0.0071	+10 11 25.9	−10.363	−0.405	69.5	5 12 314	10 1746
*3307	9.0	4 38.10	3.2958	0.0074	11 3 15.5	10.376	0.407	69.5	5 12 314	11 1776
3308	8.6	4 43.51	3.3109	0.0077	11 47 13.2*	10.383	0.409	73.8	5 Beob.	11 1777
3309	8.6	4 47.32	3.2749	0.0070	10 2 49.9	10.388	0.404	77.1	3 311 429 453	10 1747
3310	8.6	4 48.03	3.3195	0.0078	12 12 5.4	10.389	0.409	71.7	286 312	12 1788
3311	8.6	8 4 51.58*	+3.3072	−0.0076	+11 36 37.4	−10.393	−0.408	70.2	7 17 307 313	11 1778
3312	7.8	4 52.14	3.3535	0.0085	13 49 5.1	10.394	0.414	70.7	156 281	13 1859
3313	8.2	4 52.30	3.3060	0.0076	11 33 11.9	10.394	0.408	69.8	5 Beob.	11 1779
3314	8.7	4 58.72	3.3521	0.0085	13 45 32.7	10.402	0.413	70.7	156 281	13 1860
3315	7.2[3]	5 22.55	3.3649	0.0087	14 22 31.3	10.432	0.415	70.7	158 284	14 1850
3316	9.1	8 5 30.09	+3.2729	−0.0071	+ 9 58 14.1	−10.441	−0.403	84.1	429 453	[10 1749]
3317	8.6	5 35.64	3.3772	0.0090	14 57 36.1	10.448	0.416	70.7	158 284	15 1780
3318	8.1[4]	5 46.05	3.3056	0.0077	11 33 47.9	10.461	0.407	72.8	7 Beob.	11 1784
3319	7.7[5]	5 55.71	3.3054	0.0077	11 33 25.8	10.473	0.407	72.8	7 Beob.	11 1785
3320	8.4	5 57.08	3.3771	0.0090	14 58 13.2	10.475	0.415	70.7	158 284	15 1783
3321	8.5	8 6 1.69	+3.3629	−0.0087	+14 18 19.3	−10.480	−0.414	70.7	156 281	14 1854
*3322	8.4	6 4.54	3.2722	0.0071	9 57 4.1	10.484	0.402	75.3	5 Beob.	10 1752
3323	8.8	6 16.64	3.2900	0.0074	10 49 25.6	10.499	0.404	69.5	5 12 314	10 1753
3324	8.9	6 38.97	3.3610	0.0088	14 14 28.4	10.527	0.413	70.7	156 281	14 1857
3325	7.7	6 42.56	3.2980	0.0076	11 13 26.9*	10.531	0.405	69.5	5 12 314	11 1787
3326	7.6	8 6 45.65	+3.2883	−0.0074	+10 45 19.5	−10.535	−0.403	69.5	3 11 311	10 1755
3327	8.8	7 10.09	3.3272	0.0081	12 38 41.3	10.565	0.408	71.7	286 312	12 1796
3328	8.8	7 12.67	3.3010	0.0077	11 22 55.0	10.568	0.405	74.2	5 12 314 740	11 1789
3329	7.2	7 24.00*	3.3433	0.0085	13 25 30.1*	10.583	0.410	69.9	18 156 286	13 1868
3330	7.9	7 42.26	3.2839	0.0074	10 33 54.4*	10.605	0.402	72.4	7 Beob.	10 1756
3331	8.6	8 7 42.63	+3.3425	−0.0085	+13 23 46.5	−10.606	−0.409	71.7	286 312	13 1870
3332[6]	8.8	7 52.04	3.2842	0.0074	10 35 4.0	10.617	0.402	84.1	311 756 758	10 1758
3333	8.1[7]	8 42.09	3.3090	0.0079	11 49 8.6*	10.679	0.404	70.2	7 17 307 313	11 1796
3334	9.0	8 51.56	3.2943	0.0076	11 6 16.2	10.691	0.402	80.7	12 R	[11 1797]
3335	8.7	9 0.12	3.3382	0.0085	13 14 16.9	10.701	0.407	69.2	18 156	13 1875
3336	8.7	8 9 10.92	+3.2954	−0.0077	+11 10 10.0	−10.715	−0.402	69.5	5 12 314	11 1798
3337	8.7	9 21.28	3.3445	0.0086	13 33 6.3	10.727	0.407	69.2	18 156	13 1876
3338	8.6	9 23.27	3.2964	0.0077	11 13 23.7	10.730	0.401	70.2	5 314	11 1799
3339	8.9	9 29.34	3.3704	0.0091	14 47 36.3	10.737	0.410	70.7	158 284	14 1864
3340	var.[8]	9 40.30	3.3144	0.0081	12 6 30.0	10.751	0.403	77.2	286 312 740	12 1803
3341	7.9[9]	8 9 41.04	+3.3003	−0.0078	+11 25 36.6	−10.752	−0.402	70.2	7 17 307 313	11 1800
3342	8.7	9 43.94	3.3226	0.0082	12 30 34.2	10.755	0.404	71.7	286 312	12 1804
3343	9.7	9 45.61	3.3146	0.0081	12 7 28.5	10.757	0.403	82.2	286 R	— —
3344	8.8	9 56.54	3.3600	0.0090	14 18 58.4	10.771	0.409	70.7	158 284	14 1866
3345	9.1	9 58.87	3.3519	0.0088	13 55 40.7*	10.774	0.408	82.2	284 R	[13 1878]
3346[10]	8.8	8 10 1.34	+3.2884	−0.0076	+10 51 12.8	−10.777	−0.400	69.5	5 12 314	10 1763
3347	8.4	10 2.75	3.2898	0.0076	10 55 27.0	10.778	0.400	90.1	762 764	10 1764
3348	8.9	10 7.66	3.3349	0.0085	13 7 12.3	10.785	0.405	69.2	18 156	13 1879
3349	8.4	10 14.77	3.3063	0.0079	11 44 7.6	10.793	0.402	70.9	17 307 313	11 1806
3350	8.7	10 23.73	3.2945	0.0077	11 9 50.8	10.803	0.400	74.7	5 12 314 762	11 1807

[1] 7.3 6.3; BD 6.3 [2] 6.5 6.3 7.8 [3] 7.7 6.7 [4] BD 7.6 [5] 7.5 7.5 8.3 7.7 7.0 8.0 8.1 [6] $9^m.2$ praec. 5^s 2′B.
[7] $9^m.5$ praec. $2^s.0$ 20″A. [8] R Cancri; 9.1 9.2 10.0 [9] 7.3 8.2 8.1 8.2 [10] $9^m.5$ praec. $3^s.5$ 12″A.

Nr.	Gr.	A.R. 1875	Praec.	Var. saec.	Decl. 1875	Praec.	Var. saec.	Ep.	Zonen	B. D.
3351	8.6	8h 10m 24s.05	+3s.3520	−0s.0088	+13° 56′ 49″.8	−10″.805	−0″.407	70.7	158 284	14° 1867
3352	8.9	10 45.55	3.2955	0.0078	11 13 15.3	10.831	0.400	69.5	5 12 314	11 1808
3353	8.7	11 0.91	3.3531	0.0089	14 1 32.2	10.850	0.406	69.5	18 156 158	14 1869
3354	8.2	11 15.07	3.3120	0.0081	12 2 38.2	10.867	0.401	71.7	286 312	12 1812
3355	8.8	11 18.64	3.2874	0.0076	10 50 33.0	10.872	0.398	69.5	5 12 314	10 1768
3356	8.7	8 11 22.17	+3.3002	−0.0079	+11 28 24.4	−10.876	−0.400	70.2	7 17 307 313	11 1811
3357	9.0	11 35.50	3.3540	0.0090	14 5 20.8	10.892	0.406	69.2	18 156	14 1870
3358	8.7	11 42.67	3.3659	0.0092	14 39 58.8*	10.901	0.407	76.2	21 158 758	14 1871
3359	8.2	12 13.43	3.3639	0.0092	14 35 17.7	10.939	0.406	69.2	18 156	14 1872
3360	9.0	12 15.88	3.3713	0.0094	14 56 47.6	10.942	0.407	69.2	21 158	14 1873
3361	8.8	8 12 53.29	+3.2718	−0.0074	+10 6 53.8	−10.987	−0.394	75.4	5 Beob.	10 1771
3362	9.1	12 56.79	3.2716	0.0074	10 6 40.1	10.992	0.394	75.4	5 Beob.	10 1772
3363	8.7	13 9.44	3.3439	0.0089	13 39 41.5	11.007	0.403	70.4	18 156 286 312	13 1891
3364	8.7	13 19.38	3.3435	0.0089	13 39 5.2	11.019	0.403	70.4	18 156 286 312	13 1892
3365	8.8[1]	13 23.06	3.2746	0.0075	10 16 9.8	11.024	0.394	69.5	3 11 311	10 1773
3366	8.8	8 13 39.91	+3.2871	−0.0078	+10 53 49.4	−11.044	−0.395	69.5	5 12 314	10 1776
3367	8.7	14 9.23	3.3729	0.0095	15 6 5.3	11.080	0.405	90.1	758 761	15 1800
3368	8.7[2]	14 10.93	3.3330	0.0087	13 10 11.6	11.082	0.400	82.7	312 R	[13 1897]
3369	8.9	14 25.08	3.3507	0.0091	14 2 23.7	11.099	0.402	69.2	18 21 156 158	14 1877
3370	9.1	14 32.69	3.2830	0.0077	10 43 20.8	11.108	0.394	69.5	5 12 314	10 1778
3371	8.0	8 14 33.86	+3.3335	−0.0087	+13 12 28.7	−11.110	−0.400	71.7	286 312	13 1899
3372	9.1	14 41.47	3.3703	0.0095	14 59 50.9	11.119	0.404	79.7	21 158 758 761	15 1803
3373	8.0[3]	14 49.18	3.3643	0.0094	14 42 48.6	11.128	0.403	83.5	158 758 761	14 1878
3374	9.1	14 52.51	3.3703	0.0095	15 0 23.7	11.133	0.404	69.2	21 158	15 1804
3375	7.9[4]	14 55.67	3.3499	0.0091	14 1 12.5	11.136	0.402	69.2	18 156	14 1879
3376	8.9	8 14 58.54	+3.2971	−0.0080	+11 26 16.4	−11.140	−0.395	70.2	7 17 307 313	11 1821
3377	8.0	15 5.62	3.2775	0.0077	10 27 47.8	11.148	0.393	69.5	3 11 311	10 1781
3378	8.7	15 7.38	3.2987	0.0081	11 31 8.0	11.151	0.395	70.2	7 17 307 313	11 1822
3379	8.7	15 9.81	3.3395	0.0089	13 31 33.6	11.154	0.400	82.8	18 758 761	13 1903
3380	9.0	15 30.28	3.3517	0.0092	14 7 55.7	11.178	0.401	69.2	21 158	14 1881
3381	9.1	8 15 30.34	+3.3397	−0.0089	+13 32 52.4	−11.178	−0.400	81.7	156 R	[13 1905]
3382	9.2	15 30.93	3.3013	0.0082	11 39 35.3	11.179	0.395	82.7	307 R	[11 1823]
3383	8.0	15 33.12	3.2891	0.0079	11 3 30.4	11.182	0.393	69.5	5 12 314	11 1824
3384	9.0	15 35.90	3.2916	0.0080	11 10 49.0	11.185	0.394	70.2	7 17 307 313	11 1825
3385	9.0	16 12.86	3.3637	0.0095	14 44 39.9	11.230	0.402	69.2	18 156	14 1883
3386	8.7	8 16 15.60	+3.3195	−0.0086	+12 35 7.6	−11.233	−0.396	71.7	286 312	12 1826
3387	8.7[5]	16 28.76	3.3079	0.0084	12 1 7.3	11.249	0.394	71.7	286 312	12 1827
3388	8.7	16 46.45	3.3007	0.0082	11 40 16.9	11.270	0.393	70.2	7 17 307 313	11 1828
3389	6.7[6]	17 5.03	3.2877	0.0080	11 2 1.2	11.293	0.391	69.5	5 12 314	11 1830
3390	8.7	17 22.47	3.3456	0.0092	13 54 28.3	11.314	0.398	69.2	18 156	13 1909
3391	8.9	8 17 29.80	+3.3042	−0.0083	+11 52 25.5	−11.322	−0.393	70.2	7 17 307 313	11 1831
3392	9.0	17 46.84	3.2851	0.0080	10 55 32.9	11.343	0.390	69.5	5 12 314	11 1833
3393	8.4	17 58.16	3.2694	0.0077	10 8 45.9	11.357	0.388	76.0	5 Beob.	10 1789
3394	8.5[7]	17 58.88	3.3094	0.0085	12 8 46.7	11.358	0.393	71.7	286 312	12 1831
3395	8.0	18 1.70	3.3193	0.0087	12 38 22.1	11.361	0.394	71.7	286 312	12 1832
3396	8.6	8 18 11.61	+3.2735	−0.0078	+10 21 33.6	−11.373	−0.388	69.5	3 11 311	10 1792
3397	8.7	18 21.12*	3.2692	0.0077	10 8 38.8*	11.384	0.388	79.3	7 Beob.	10 1793
3398	9.0	19 3.21	3.2708	0.0077	10 14 44.5	11.435	0.387	69.5	3 11 311	10 1796
3399	8.9	19 11.74	3.3451	0.0093	13 57 28.7*	11.445	0.396	69.2	21 158	14 1890
3400	8.7	19 16.04	3.2927	0.0082	11 21 18.9	11.450	0.389	70.2	7 17 307 313	11 1837

[1] 9m.2 seq. 2s.0 25″B. [2] Nur Z. 312; BD 9.3 [3] 8.5 7.5 7.9 [4] BD 7.3; Schätz. 7.8 8.0
[5] BD 9.3; Schätz. 8.7 8.8 [6] 6.3 6.5 7.2; röthlich [7] BD 9.0; Schätz. 8.5 8.6

Nr.	Gr.	A.R. 1875	Praec.	Var. saec.	Decl. 1875	Praec.	Var. saec.	Ep.	Zonen	B. D.
3401	8.3	8^h 19^m 28^s.68	+3^s.2646	−0^s.0077	+ 9° 56′ 57″.6	−11″.465	−0″.386	75.3	5 Beob.	10° 1798
3402	8.6	19 39.72	3.2752	0.0079	10 29 15.1	11.478	0.387	69.5	5 12 314	10 1799
3403	6.0	19 49.10	3.3265	0.0089	13 3 56.5	11.490	0.393	69.2	18 156	13 1912
3404	8.7[1]	19 51.76	3.2866	0.0081	11 4 6.0	11.493	0.388	69.5	5 12 314	11 1838
3405	8.6	19 58.92	3.2937	0.0083	11 25 57.8	11.501	0.389	70.2	7 17 307 313	11 1840
3406	8.6	8 20 37.42	+3.3527	−0.0096	+14 23 22.4*	−11.547	−0.395	69.2	21 158	14 1893
3407	8.5	20 38.10	3.3283	0.0090	13 11 10.2	11.548	0.392	69.2	18 156	13 1918
3408	8.7	20 40.07	3.2978	0.0084	11 39 48.4	11.551	0.388	70.2	7 17 307 313	11 1842
3409	8.9	20 42.91	3.3061	0.0086	12 4 38.7	11.554	0.389	82.7	312 R	[12 1842]
3410	...[2]	21 2.73	3.3573	0.0097	14 38 9.6	11.577	0.395	81.7	158 R	[14 1894]
3411	7.6	8 21 10.13	+3.3065	−0.0086	+12 7 1.4	−11.586	−0.389	71.7	286 312	12 1844
3412	9.0	21 29.43	3.3132	0.0088	12 27 43.8	11.609	0.389	71.7	286 312	12 1845
3413	6.5	21 38.74	3.3565	0.0097	14 37 22.9	11.620	0.394	69.2	21 158	14 1899
3414	8.6	21 52.68	3.2888	0.0083	11 14 54.8	11.637	0.385	70.2	7 17 307 313	11 1849
3415	8.9	22 12.62	3.2777	0.0081	10 41 48.6	11.661	0.384	69.5	5 12 314	10 1807
3416	8.0	8 22 14.71	+3.3226	−0.0090	+12 57 56.2	−11.663	−0.389	69.2	18 156	13 1925
3417	8.4	22 27.94	3.3342	0.0093	13 33 2.9	11.679	0.390	69.2	18 156	13 1927
3418	8.6	22 29.01	3.2975	0.0085	11 42 34.6	11.680	0.386	70.2	7 17 307 313	11 1850
3419	8.7	22 30.89	3.3031	0.0086	11 59 43.2	11.682	0.386	71.7	286 312	12 1851
3420	8.7[3]	22 33.14	3.3191	0.0090	12 47 59.7	11.685	0.388	71.7	286 312	12 1852
3421	8.4	8 22 43.13	+3.3204	−0.0090	+12 52 13.2	−11.697	−0.388	71.7	286 312	12 1853
3422	8.8	22 58.33	3.2889	0.0083	11 17 31.3	11.715	0.384	70.2	7 17 307 313	11 1852
3423	9.1	23 3.84	3.2757	0.0081	10 37 22.2	11.721	0.383	69.5	3 11 311	10 1810
3424	8.1	23 7.38	3.2808	0.0082	10 53 2.1	11.725	0.383	69.5	5 12 314	10 1811
3425	9.0	23 16.20	3.2836	0.0082	11 1 58.8	11.736	0.383	69.5	5 12 314	11 1853
3426	8.8	8 23 49.61	+3.3366	−0.0094	+13 43 45.0	−11.775	−0.389	71.7	286 312	13 1930
3427	8.6	23 49.92	3.3591	0.0099	14 50 54.5	11.776	0.391	69.2	21 158	14 1910
3428	8.8[4]	23 51.38	3.3580	0.0099	14 47 30.1	11.778	0.391	79.7	21 158 758 761	14 1911
3429	8.9	23 59.16	3.3304	0.0093	13 25 35.7	11.787	0.388	69.2	18 156	13 1931
3430	8.7	24 15.17	3.2711	0.0080	10 25 41.7	11.805	0.380	69.5	3 11 311	10 1814
3431	8.7	8 24 15.72	+3.2942	−0.0085	+11 36 14.2	−11.806	−0.383	70.2	7 17 307 313	11 1857
3432	8.2	24 22.65	3.3073	0.0088	12 16 27.3	11.814	0.385	90.1	758 761	12 1858
3433	7.7	24 24.05	3.3030	0.0087	12 3 29.7	11.816	0.384	71.7	286 312	12 1859
3434	8.8	24 35.45	3.3249	0.0092	13 10 15.9	11.830	0.386	69.2	18 156	13 1935
3435	7.0[5]	25 6.92	3.2668	0.0080	10 14 5.4	11.866	0.379	69.5	3 11 311	10 1816
3436	7.7	8 25 16.42	+3.3254	−0.0093	+13 13 24.1	−11.878	−0.386	71.7	286 312	13 1936
3437	8.8	25 17.36	3.3611	0.0101	15 0 34.0*	11.879	0.390	69.2	21 158	15 1841
3438	8.8	25 26.27	3.3509	0.0098	14 30 36.4	11.889	0.388	69.2	21 158	14 1914
3439	8.6	25 28.08	3.3341	0.0095	13 40 21.7	11.891	0.386	69.2	18 156	13 1937
3440	8.7	25 38.67	3.2979	0.0087	11 50 50.3	11.904	0.382	70.2	7 17 307 313	11 1864
3441	8.9[6]	8 25 38.83	+3.2746	−0.0082	+10 39 10.5	−11.904	−0.379	90.1	758 761	10 1817
3442	6.8	25 51.62	3.2713	0.0081	10 29 17.4	11.919	0.378	69.5	3 11 311	10 1818
3443	8.8	26 14.30	3.2691	0.0081	10 23 15.3	11.945	0.378	69.5	3 11 311	10 1820
3444	8.0	26 14.50	3.2945	0.0086	11 41 32.2	11.946	0.381	70.2	7 17 307 313	11 1865
3445	8.9[7]	26 35.77	3.2807	0.0084	11 0 2.6	11.971	0.379	82.7	314 R	[11 1867]
3446	8.3[8]	8 26 39.94	+3.3391	−0.0096	+13 58 31.5	−11.976	−0.385	69.2	21 158	14 1917
3447	7.0	26 49.51	3.3332	0.0095	13 41 0.3	11.987	0.384	69.2	18 156	13 1940
3448	7.7	27 9.19*	3.2806	0.0084	11 0 43.6	12.010	0.378	69.5	5 12 314	11 1870
3449	9.3	27 11.30	3.2859	0.0085	11 17 20.2	12.012	0.379	82.7	313 R	[11 1869]
3450	9.2	27 21.82	3.3412	0.0097	14 6 40.2	12.024	0.385	69.2	18 156	14 1920

[1] BD 9.2; Schätz. 8.7 8.7 8.8 [2] Dpl. 9.5 10.0 med.; PW. 170° $\Delta\delta$ 3″.1 [3] BD 9.2; Schätz. 8.7 8.7
[4] BD 9.3 [5] BD 7.5 [6] BD 9.4; Schätz. 9.0 8.8 [7] Nur Z. 314; BD 9.5 [8] BD 7.8; Schätz. 8.2 8.4

Nr.	Gr.	A.R. 1875	Praec.	Var. saec.	Decl. 1875	Praec.	Var. saec.	Ep.	Zonen	B.D.
3451	8.7[1]	8h 27m 35s.58	+3s.2747	−0s.0083	+10° 43' 17".4	−12".041	−0".377	74.7	5 12 314 758	10° 1823
3452	8.0	27 49.73	3.2850	0.0085	11 15 54.8	12.057	0.378	70.2	7 17 307 313	11 1871
3453	8.9	28 2.48	3.2888	0.0086	11 28 1.9	12.072	0.378	69.5	5 12 314	11 1872
3454	7.6[2]	28 13.75	3.2935	0.0087	11 42 48.3	12.085	0.378	70.2	7 17 307 313	11 1874
3455	8.5	28 24.89	3.2689	0.0082	10 27 4.3	12.098	0.375	69.5	3 11 311	10 1825
3456	8.5[3]	8 28 26.17	+3.3050	−0.0090	+12 18 50.6	−12.099	−0.379	71.7	286 312	12 1867
3457	8.8	28 32.68	3.3074	0.0090	12 26 33.4	12.107	0.379	71.7	286 312	12 1868
3458	9.0	28 36.07	3.3591	0.0102	15 3 55.8	12.111	0.385	69.2	21 158	15 1850
3459	9.0	28 36.75	3.3386	0.0098	14 1 57.3	12.112	0.383	69.2	18 156	14 1924
3460	8.6	28 37.20	3.3084	0.0091	12 29 54.1	12.112	0.379	71.7	286 312	12 1869
3461	8.7	8 28 39.37	+3.3095	−0.0091	+12 33 11.8	−12.115	−0.379	71.7	286 312	12 1870
3462	8.5	28 48.52	3.3487	0.0100	14 33 5.3	12.125	0.384	69.2	21 158	14 1926
3463	8.3	28 50.24	3.3368	0.0097	13 57 20.0	12.127	0.382	69.2	18 156	14 1927
*3464	8.6	29 7.13	3.2663	0.0082	10 20 21.1	12.147	0.374	69.5	3 11 311	10 1831
3465	9.2	29 10.18	3.3317	0.0096	13 42 31.9	12.151	0.381	69.2	18 156	13 1947
3466	7.7	8 29 14.10	+3.3415	−0.0099	+14 12 28.2	−12.155	−0.382	69.2	21 158	14 1929
3467	8.4[4]	29 16.37	3.3413	0.0099	14 11 58.7	12.158	0.382	69.2	21 158	14 1930
3468	8.8	29 35.33	3.2791	0.0085	11 1 18.5	12.180	0.375	69.5	5 12 314	11 1879
3469	8.7	29 35.69	3.3036	0.0090	12 17 11.8	12.180	0.377	71.7	285 312	12 1871
3470	8.4	29 37.38	3.2730	0.0083	10 42 13.7	12.182	0.374	69.5	3 11 311	10 1834
3471	8.3	8 29 39.61	+3.3005	−0.0089	+12 8 4.6	−12.185	−0.377	77.8	286 312 758	12 1872
3472	8.8	29 43.90	3.3454	0.0100	14 25 38.2	12.190	0.382	69.2	21 158	14 1932
3473	8.6	29 44.89	3.2963	0.0089	11 55 9.2	12.191	0.376	70.2	7 17 307 313	11 1880
3474	8.7[5]	30 1.59	3.3001	0.0090	12 7 28.3	12.210	0.377	84.1	312 758 761	12 1874
3475	8.9	30 12.66	3.2592	0.0081	10 0 3.9	12.223	0.372	75.3	5 Beob.	10 1836
3476	6.3	8 30 19.12	+3.2608	−0.0081	+10 5 18.3	−12.230	−0.372	75.4	5 Beob.	10 1837
3477	9.0	30 23.38	3.2855	0.0086	11 23 6.4	12.235	0.374	70.2	7 17 307 313	11 1883
3478	8.7	30 48.61	3.3082	0.0092	12 34 30.8	12.264	0.376	71.7	286 312	12 1876
3479	8.1	30 51.37	3.3538	0.0103	14 54 26.9	12.268	0.382	69.2	21 158	14 1935
3480	8.0	31 8.25	3.2946	0.0089	11 53 4.8	12.287	0.374	70.2	7 17 307 313	11 1885
3481	8.9	8 31 10.38	+3.2677	−0.0083	+10 29 0.1	−12.290	−0.371	69.5	5 12 314	10 1839
3482	8.5	31 18.19	3.2833	0.0086	11 18 8.7	12.298	0.373	70.2	7 17 307 313	11 1886
3483	7.1[6]	31 18.89	3.2586	0.0081	10 0 36.5	12.299	0.370	75.3	5 Beob	10 1840
3484	8.9	31 19.12	3.3044	0.0091	12 24 6.8	12.300	0.375	71.7	286 312	12 1878
3485	8.9	31 20.25	3.3505	0.0102	14 45 53.7	12.301	0.381	69.2	21 158	14 1937
3486	8.6	8 31 28.49	+3.3231	−0.0096	+13 22 9.9	−12.310	−0.377	69.2	18 156	13 1953
3487	8.7	31 31.18*	3.3144	0.0094	12 55 26.2	12.314	0.376	70.5	8 286 312	12 1881
3488	8.6	31 44.21	3.2595	0.0081	10 4 12.7	12.328	0.369	77.8	6 Beob.	10 1842
3489	9.3	31 48.75	3.3234	0.0096	13 24 9.1	12.333	0.377	81.7	156 R	[13 1954]
3490	8.7	32 2.97	3.3056	0.0092	12 29 38.3	12.350	0.374	70.2	7 17 307 313	12 1883
3491	8.4	8 32 9.49	+3.2690	−0.0084	+10 35 0.1	−12.358	−0.370	69.5	3 11 311	10 1843
3492	8.6	32 22.28	3.3229	0.0096	13 24 5.3	12.372	0.376	69.2	18 156	13 1956
3493	8.7	32 53.89	3.3038	0.0092	12 25 55.5	12.409	0.373	70.2	7 17 307 313	12 1886
3494	7.8	33 0.65	3.2950	0.0090	11 58 42.0*	12.416	0.372	80.1	8 312 758 761	12 1888
3495	9.0	33 7.14	3.2630	0.0083	10 18 13.0	12.424	0.368	70.2	11 311	[10 1846]
3496	8.5	8 33 14.88	+3.2855	−0.0088	+11 29 35.5	−12.432	−0.371	69.5	5 12 314	11 1890
3497	9.0[7]	33 24.66	3.2827	0.0087	11 20 55.1	12.444	0.370	82.7	313 R	[11 1891]
3498	8.9	33 29.14	3.3501	0.0103	14 50 48.3	12.449	0.378	69.2	21 158	14 1945
3499	8.3	33 38.80	3.3494	0.0103	14 49 11.2	12.460	0.377	69.2	21 158	14 1946
3500	7.0[8]	33 43.02	3.2828	0.0088	11 21 53.8	12.465	0.370	70.2	7 17 307 313	11 1892

[1] BD 9.2 [2] 7.0 7.7 7.8 8.0 [3] BD 9.0 [4] BD 8.9 [5] BD 9.3 [6] 6.3 7.0 7.0 7.0 8.2
[7] Nur Z. 313; BD 9.5 [8] 6.5 7.7 7.0 7.0

Nr.	Gr.	A.R. 1875	Praec.	Var. saec.	Decl. 1875	Praec.	Var. saec.	Ep.	Zonen	B.D.
3501	8.7	8h 33m 59s.09	+3s.3249	−0s.0098	+13° 34′ 34″.6	−12″.483	−0″.374	70.2	8 312	13° 1963
3502	8.1	34 5.45	3.2617	0.0083	10 15 59.2	12.490	0.367	74.8	3 311 433	10 1848
3503	8.8	34 8.10	3.2648	0.0084	10 25 56.0	12.493	0.367	69.5	5 12 314	10 1850
3504	8.8[1]	34 12.58	3.2857	0.0088	11 32 16.0	12.498	0.369	90.1	758 761	11 1893
3505	8.7	34 21.84	3.3259	0.0098	13 38 34.7	12.509	0.374	69.2	18 156	13 1966
3506	7.7	8 34 27.31	+3.2846	−0.0088	+11 29 28.9	−12.515	−0.369	70.2	7 17 307 313	11 1894
*3507	9.0	34 48.95	3.3058	0.0094	12 37 8.2	12.540	0.371	70.2	8 312	12 1891
3508	9.0	34 53.16	3.3360	0.0101	14 11 24.0	12.545	0.374	69.2	21 158	14 1956
3509	9.0	34 56.84	3.3226	0.0098	13 29 59.3	12.549	0.373	69.2	18 156	13 1967
3510	8.6	35 22.20	3.2725	0.0086	10 53 1.4	12.578	0.366	69.5	5 12 314	10 1854
3511	9.0	8 35 23.96	+3.3284	−0.0099	+13 49 18.3	−12.580	−0.373	69.2	18 156	13 1969
3512	9.0	35 30.86	3.2714	0.0086	10 50 0.4	12.587	0.366	69.5	5 12 314	10 1855
3513	8.9	35 39.01	3.3400	0.0102	14 26 8.3	12.597	0.374	69.2	21 158	14 1959
3514	8.5[2]	36 16.48	3.3418	0.0103	14 33 33.0	12.639	0.373	69.2	21 158	14 1962
3515	6.0	36 18.90	3.3143	0.0096	13 7 39.7	12.642	0.370	69.2	8 312	13 1972
3516	8.4	8 36 53.81	+3.2869	−0.0090	+11 42 37.8	−12.681	−0.366	70.2	7 17 307 313	11 1899
3517	8.5	36 54.11*	3.2574	0.0083	10 8 9.3	12.682	0.362	75.4	5 Beob.	10 1859
*3518	8.7	36 57.37	3.3318	0.0101	14 4 21.5	12.686	0.371	69.2	18 21 156 158	14 1963
3519	8.7	37 3.00	3.2537	0.0082	9 56 28.3	12.692	0.362	75.3	5 Beob.	10 1860
3520	8.4[3]	37 6.84	3.2683	0.0086	10 43 50.0	12.696	0.363	69.5	3 11 311	10 1861
3521	8.7	8 37 9.81	+3.3340	−0.0102	+14 11 50.8	−12.699	−0.371	90.1	758 761	14 1964
3522	8.7	37 16.56	3.2707	0.0087	10 51 39.0	12.707	0.364	74.7	5 12 314 758	10 1863
3523	8.8	37 29.48	3.3469	0.0105	14 52 50.7	12.722	0.372	69.2	21 158	14 1967
3524	6.2	37 57.83	3.2641	0.0085	10 31 57.9	12.754	0.362	69.5	3 11 311	10 1864
3525	8.9	38 22.62*	3.3077	0.0096	12 52 25.5	12.782	0.366	70.2	8 312	12 1900
3526	9.2[4]	8 38 24.35	+3.3236	−0.0100	+13 42 48.6	−12.784	−0.368	69.2	18 156	13 1979
3527	8.7	39 5.14	3.3231	0.0100	13 43 16.4	12.829	0.367	69.2	18 156	13 1981
3528	9.1	39 6.28	3.3440	0.0106	14 48 50.3	12.830	0.369	92.7	758 R	14 1970
3529	8.6[5]	39 8.45	3.2882	0.0092	11 52 21.0	12.833	0.363	72.2	307 313	[11 1906]
3530	8.4[6]	39 15.54	3.3381	0.0104	14 30 58.8	12.841	0.368	69.2	21 158	14 1971
3531	8.3	8 39 16.13	+3.2608	−0.0085	+10 24 20.0	−12.842	−0.360	69.5	3 11 311	10 1867
3532	7.6	39 36.52	3.2725	0.0088	11 2 51.0*	12.864	0.360	74.7	5 12 314 758	11 1908
3533	9.6	39 44.57	3.2539	0.0084	10 2 53.4*	12.874	0.358	86.8	429 433 831	[10 1869]
3534	8.8	39 55.52	3.2789	0.0090	11 24 23.2	12.885	0.361	69.5	5 12 314	11 1910
3535	6.4	40 4.83	3.3005	0.0095	12 34 1.5	12.896	0.363	70.2	8 312	12 1904
3536	8.1	8 40 17.59	+3.2874	−0.0092	+11 52 34.4	−12.910	−0.361	70.2	7 17 307 313	11 1912
*3537	8.3	40 21.55	3.2826	0.0091	11 37 9.8	12.915	0.361	81.2 78.2	7 313δ R	— —
*3538	8.2	40 21.66	3.2825	0.0091	11 36 57.5	12.915	0.361	72.2 70.9	17δ 307 313	11 1913
3539	8.6	40 24.58	3.2537	0.0084	10 3 39.2*	12.918	0.357	75.3	5 Beob.	10 1871
3540	8.8	40 37.03	3.3388	0.0105	14 37 6.0	12.932	0.367	69.2	21 158	14 1974
3541	8.6	8 40 41.10	+3.2729	−0.0089	+11 6 55.9	−12.936	−0.359	69.5	5 12 314	11 1914
3542	8.6	40 43.79	3.3011	0.0096	12 37 40.2*	12.939	0.362	80.1	8 312 758 761	12 1906
3543	8.9	40 52.30	3.3144	0.0099	13 20 47.2	12.949	0.364	79.7	18 156 758 761	13 1991
3544	8.9	41 20.99	3.2541	0.0084	10 7 3.3	12.981	0.356	75.3	5 Beob.	10 1874
3545	8.8	41 23.13	3.2854	0.0092	11 49 6.3	12.983	0.360	70.2	7 17 307 313	11 1916
3546	8.5	8 41 27.85	+3.2896	−0.0093	+12 2 35.6	−12.989	−0.360	70.2	8 312	12 1911
3547	9.2	41 45.26	3.3095	0.0098	13 7 28.1	13.008	0.362	69.2	18 156	13 1993
3548	7.1	41 47.09	3.3072	0.0098	13 0 22.9	13.010	0.361	70.2	8 312	13 1994
3549	7.4	41 49.28	3.2680	0.0088	10 53 31.8	13.012	0.357	69.5	5 12 314	10 1876
3550	8.3	41 52.66	3.3081	0.0098	13 3 21.1	13.016	0.361	70.2	18 156 312	13 1995

[1] BD 9.3; Schätz. 8.8 8.9 [2] BD 7.9; Schätz. 8.5 8.5 [3] 8.0 8.9 8.4 [4] Z. 18 9m.5 20″ 260°
[5] BD 9.2; Schätz. 8.6 8.6 [6] BD 7.8; Schätz. 8.5 8.3

Nr.	Gr.	A.R. 1875	Praec.	Var. saec.	Decl. 1875	Praec.	Var. saec.	Ep.	Zonen	B. D.
3551	8.0[1]	$8^h\ 42^m\ 42^s.57$	$+3^s.2995$	$-0^s.0096$	+12° 37′ 53″.0	−13″.071	−0″.359	70.2	8 312	12° 1914
3552	8.8	42 50.39	3.3328	0.0105	14 24 59.5	13.080	0.363	69.2	21 158	14 1980
3553	8.4	43 5.84*	3.2822	0.0092	11 42 58.0	13.097	0.357	70.2	7 17 307 313	11 1922
3554	8.7[2]	43 11.49	3.2945	0.0095	12 23 11.8	13.103	0.358	90.1	758 761	12 1918
3555	8.9	43 21.62	3.2931	0.0095	12 19 11.4	13.114	0.358	90.1	758 761	12 1919
3556	8.7	8 43 28.89	+3.2847	−0.0093	+11 52 17.3	−13.123	−0.357	70.2	7 17 307 313	11 1923
3557	8.8	43 30.53	3.2838	0.0093	11 49 19.1	13.124	0.356	70.2	7 17 307 313	11 1924
3558	8.9	43 57.79	3.3136	0.0101	13 26 58.5	13.154	0.359	69.2	18 158	13 1999
3559	9.2	44 5.34	3.3067	0.0099	13 5 15.0	13.163	0.358	70.2	8 312	13 2000
3560	9.8[3]	44 8.32	3.2523	0.0085	10 7 22.9	13.166	0.352	84.1	429 433	[10 1885]
3561	8.4	8 44 36.34	+3.2972	−0.0097	+12 35 41.0	−13.197	−0.356	70.2	8 312	12 1925
*3562	8.9	44 39.50	3.2908	0.0095	12 15 14.9	13.200	0.356	70.8	7 307 313	12 1926
3563	8.0	44 58.78	3.2925	0.0096	12 21 37.8	13.221	0.355	70.2	8 312	12 1927
3564	8.9	44 59.76	3.2648	0.0089	10 50 44.2	13.222	0.352	69.5	5 12 314	10 1889
3565	9.2	45 4.48	3.3160	0.0102	13 38 5.4	13.228	0.358	69.2	18 156	13 2003
3566	7.7	8 45 7.24	+3.2785	−0.0092	+11 36 12.1	−13.231	−0.354	70.2	7 17 307 313	11 1931
3567	8.8	45 7.92	3.3201	0.0103	13 51 31.1	13.231	0.358	69.2	18 156	13 2004
3568	8.8	45 13.04	3.2801	0.0093	11 41 45.1*	13.237	0.354	72.2	307 313	11 1932
3569	8.6	45 25.95	3.2554	0.0086	10 20 38.0	13.251	0.351	69.5	3 11 311	10 1893
3570	8.3[4]	45 31.30	3.3169	0.0102	13 42 16.7	13.257	0.357	69.2	18 156	[13 2007]
3571	8.7	8 45 41.35	+3.2803	−0.0093	+11 43 37.8	−13.268	−0.353	70.2	7 17 307 313	11 1934
3572	8.9	46 3.92	3.3302	0.0106	14 27 7.1	13.293	0.358	69.2	18 156	14 1987
3573	8.7	46 7.72	3.2526	0.0086	10 13 3.0	13.297	0.349	69.5	3 11 311	10 1896
3574	8.4	46 22.10	3.2597	0.0088	10 37 3.6	13.312	0.350	69.5	5 12 314	10 1897
3575	8.4	46 35.89*	3.2503	0.0086	10 6 18.5	13.328	0.348	75.3	5 Beob.	10 1899
3576	8.5	8 46 41.31	+3.2776	−0.0093	+11 37 15.5	−13.333	−0.351	70.2	7 17 307 313	11 1936
3577	8.2[5]	46 47.66	3.3375	0.0109	14 52 49.1	13.340	0.358	69.2	21 158	14 1988
3578	7.6[6]	46 51.00	3.3267	0.0106	14 18 15.2	13.344	0.356	69.2	18 156	14 1989
3579	9.1	47 2.07	3.3398	0.0109	15 0 57.3	13.356	0.358	69.2	21 158	15 1931
3580	9.0[7]	47 25.87	3.3259	0.0106	14 17 30.5	13.382	0.356	95.4	R(2)	14 1991
3581	8.8	8 47 25.94	+3.3372	−0.0109	+14 54 12.1	−13.382	−0.357	69.2	21 158	14 1990
3582	8.7	47 29.80	3.2528	0.0087	10 16 48.7	13.386	0.347	69.5	3 11 311	10 1900
3583	9.3	47 30.58	3.3331	0.0108	14 41 11.1	13.387	0.356	92.7	761 R	— —
3584	9.0	47 31.09	3.2617	0.0089	10 46 26.4	13.387	0.348	69.5	5 12 314	10 1901
3585	8.2	47 31.74	3.3337	0.0108	14 42 58.5*	13.388	0.356	76.2	6 Beob.	14 1992
3586	8.9	8 47 45.62	+3.2706	−0.0091	+11 16 44.7	−13.403	−0.349	70.2	7 17 307 313	11 1938
3587	9.0	47 52.27	3.3207	0.0105	14 2 7.0	13.411	0.354	69.2	18 156	14 1994
3588	9.0	47 55.27	3.3380	0.0109	14 58 9.7	13.414	0.356	69.2	21 158	15 1935
3589	9.1	48 3.25	3.2866	0.0096	12 10 47.3	13.422	0.350	82.7	312 R	— —
3590	8.8	48 39.62	3.2672	0.0091	11 7 52.6	13.462	0.347	70.2	7 17 307 313	11 1943
3591	8.2	8 48 43.64	+3.3314	−0.0108	+14 39 26.1	−13.466	−0.354	69.2	21 158	14 1996
3592	8.6	48 50.91	3.2650	0.0090	11 1 1.3	13.474	0.347	69.5	5 12 314	11 1944
3593	5.8	49 5.99*	3.2844	0.0096	12 6 8.3	13.490	0.349	70.2	8 312	12 1941
3594	8.9	49 38.59	3.2683	0.0092	11 14 10.8	13.525	0.346	70.8	7 307 313	[11 1946]
3595	8.4	49 41.90	3.2984	0.0100	12 54 34.7	13.529	0.349	80.1	8 312 758 761	12 1942
3596	9.0	8 49 55.60	+3.3338	−0.0109	+14 51 17.2	−13.544	−0.353	69.2	21 158	14 2000
3597	8.5[8]	50 12.97	3.2942	0.0099	12 42 5.5	13.562	0.348	70.2	8 312	12 1943
3598	8.4	50 18.84	3.2678	0.0092	11 14 14.8	13.569	0.345	70.2	7 17 307 313	11 1947
3599	9.1	50 40.82	3.3300	0.0109	14 41 43.3	13.592	0.351	69.2	21 158	14 2003
3600	8.8	50 49.68	3.2979	0.0100	12 56 11.9	13.602	0.348	70.2	8 312	13 2015

[1] BD 8.5; Schätz. 8.0 8.0 [2] BD 9.3; Schätz. 8.7 8.7 [3] BD 9.3 [4] BD 9.2; Schätz. 8.4 8.3
[5] BD 7.7; Schätz. 8.3 8.2 [6] BD 6.8 [7] Grösse nach BD [8] BD 9.0

Nr.	Gr.	A.R. 1875	Praec.	Var. saec.	Decl. 1875	Praec.	Var. saec.	Ep.	Zonen	B.D.
3601	8.6	8h 50m 51s.99	+3s.2632	−0s.0091	+11° 0' 5".8	−13".604	−0".344	69.5	5 12 314	11° 1949
3602	8.2	51 3.57	3.2683	0.0092	11 17 40.0	13.617	0.344	75.7	17 307 313 758	11 1950
3603	8.5[1]	51 11.40	3.2724	0.0093	11 31 49.6	13.625	0.344	70.2	7 17 307 313	11 1952
3604	8.2[2]	51 28.37	3.2685	0.0092	11 19 38.1	13.643	0.343	70.9	17 307 313	11 1954
3605	**4.0**	**51 38.95**	**3.2865**	**0.0097**	**12 20 24.7**	**13.655**	**0.345**		**Fund. Cat.**	**12 1948**
3606	8.5	8 51 51.16	+3.3291	−0.0109	+14 42 43.0	−13.668	−0.349	69.2	21 158	14 2007
3607	8.5	51 52.38*	3.2437	0.0086	9 56 20.6	13.669	0.340	78.0	11 311 564 631	10 1911
3608	8.7	51 59.55*	3.2522	0.0089	10 25 36.6	13.677	0.341	70.2	6 Beob.	10 1913
3609	9.0	52 4.78	3.3061	0.0103	13 27 9.5	13.682	0.347	69.2	18 156	13 2019
3610	9.0	52 14.40	3.3011	0.0102	13 11 12.8	13.692	0.346	69.2	18 156	13 2020
3611	7.1	8 52 34.41	+3.3075	−0.0104	+13 33 29.5	−13.714	−0.346	69.2	18 156	13 2021
3612	8.5	52 48.63	3.2868	0.0098	12 24 59.0	13.729	0.343	70.2	8 312	12 1951
3613	8.6	53 18.29	3.2634	0.0092	11 7 14.9	13.760	0.340	69.5	5 12 314	11 1956
3614	8.9	53 18.40	3.3207	0.0108	14 19 47.4	13.760	0.346	69.2	21 158	14 2012
*3615	9.3	53 24.99	3.3091	0.0105	13 41 31.1	13.767	0.345	69.2	18 156	13 2023
3616	8.9	8 53 50.54	+3.3041	−0.0103	+13 26 6.1	−13.794	−0.344	70.2	8 312	13 2027
3617	8.4	53 59.19	3.2972	0.0102	13 3 37.8	13.804	0.343	69.2	18 156	13 2028
3618	8.7	54 12.65	3.2965	0.0101	13 1 54.4	13.818	0.342	70.2	8 312	13 2030
3619	8.6	54 35.65	3.2642	0.0093	11 13 13.9	13.842	0.339	70.2	7 17 307 313	11 1961
3620	8.8	54 39.26	3.2509	0.0089	10 28 3.7	13.846	0.337	69.5	3 11 311	10 1923
3621	8.7	8 55 7.00	+3.3325	−0.0112	+15 5 18.6	−13.875	−0.345	69.2	21 158	15 1962
3622	8.9[3]	55 28.89	3.2696	0.0095	11 34 14.7	13.898	0.338	82.7	313 R	[11 1964]
3623	8.5	55 29.79	3.2525	0.0090	10 35 48.9	13.899	0.336	69.5	3 11 311	10 1928
3624	8.7	55 36.76	3.2573	0.0091	10 52 37.6	13.906	0.336	69.5	5 12 314	10 1929
3625	8.7	55 43.69*	3.2559	0.0091	10 48 6.1	13.914	0.336	69.5	6 Beob.	10 1930
3626	8.7	8 55 47.83	+3.2530	−0.0090	+10 38 8.8	−13.918	−0.336	69.5	5 12 314	10 1931
3627	8.8	56 0.31	3.2695	0.0095	11 35 29.7	13.931	0.337	70.9	17 307 313	11 1966
3628	8.8	56 20.59*	3.2646	0.0094	11 19 33.6	13.952	0.336	80.7	7 R	[11 1968]
3629	9.0	56 21.59	3.2674	0.0094	11 29 12.1	13.953	0.336	82.7	307 R	[11 1969]
3630	8.5[4]	56 24.17	3.3237	0.0110	14 40 34.5	13.956	0.342	69.2	18 156	14 2018
3631	8.5	8 56 36.83	+3.2552	−0.0091	+10 47 43.8	−13.969	−0.334	69.5	5 12 314	10 1933
3632	9.4	56 37.31	3.3270	0.0111	14 52 24.0	13.970	0.342	69.2	21 158	14 2020
3633	9.2	56 39.79	3.2676	0.0095	11 31 1.0	13.973	0.336	70.2	17 313	[11 1971]
3634	8.9	56 52.53	3.2609	0.0093	11 8 24.4*	13.986	0.335	70.2	7 17 307 313	11 1972
3635	8.3	56 56.86*	3.2478	0.0089	10 23 10.0	13.990	0.333	69.5	3 11 311	10 1934
3636	8.8	8 57 0.22	+3.2720	−0.0096	+11 47 1.1	−13.994	−0.336	72.2	307 313	11 1973
3637	8.4	57 9.71	3.2695	0.0095	11 38 54.0	14.004	0.335	84.1	307 758 761	11 1974
3638	9.0	57 14.45	3.3278	0.0112	14 57 19.7	14.009	0.341	69.2	21 158	15 1969
3639	9.1[5]	57 22.15	3.3248	0.0111	14 47 46.3	14.017	0.341	69.2	21 158	14 2022
3640	8.6	57 39.78	3.2877	0.0101	12 42 48.4	14.035	0.336	70.2	8 312	12 1960
3641	7.8	8 57 49.06	+3.2637	−0.0094	+11 20 43.9	−14.045	−0.334	69.5	5 12 314	11 1976
3642	8.7	58 0.18	3.2758	0.0097	12 3 6.2	14.056	0.335	70.6	5 Beob.	12 1961
3643	8.8	58 4.97	3.3145	0.0109	14 15 24.3	14.061	0.339	69.2	21 158	14 2024
3644	7.8	58 5.73	3.3071	0.0106	13 50 24.0	14.062	0.338	69.2	18 156	13 2036
3645	8.5	58 8.77	3.2760	0.0098	12 4 8.8	14.065	0.334	71.2	17 307 312 313	12 1963
3646	8.8	8 58 18.65	+3.2571	−0.0092	+10 59 11.0	−14.076	−0.332	69.5	5 12 314	11 1978
3647	8.9	58 21.72	3.3228	0.0111	14 44 30.2	14.079	0.339	79.7	18 156 758 761	14 2025
3648	8.6	58 23.37	3.2441	0.0089	10 13 55.4	14.080	0.331	69.5	3 11 311	10 1935
3649	8.9	58 39.16	3.2701	0.0096	11 45 18.4	14.097	0.333	70.2	7 17 307 313	11 1980
3650	8.9	59 16.07	3.2425	0.0089	10 10 37.8	14.135	0.329	69.5	5 12 314	10 1936

[1] BD 9.0 [2] 8.6 8.3 7.7 [3] Nur Z. 313; BD 9.5 [4] BD 8.0; Schätz. 8.6 8.5 [5] 11m 27s 129°

Nr.	Gr.	A.R. 1875	Praec.	Var. saec.	Decl. 1875	Praec.	Var. saec.	Ep.	Zonen	B.D.
3651	8.8	8^h 59^m $17^s.40$	$+3^s.2814$	$-0^s.0100$	+12° 26′ 26″.8	$-14^s.136$	$-0^s.333$	69.9	8 97 312	12° 1965
3652	9.0	59 19.62	3.3263	0.0113	14 59 55.8	14.139	0.338	69.2	21 158	15 1976
3653	8.8	59 52.98	3.3036	0.0106	13 44 46.2	14.173	0.335	70.2	8 312	13 2040
3654	9.4	9 0 6.70	3.2416	0.0089	10 9 51.1	14.187	0.328	84.1	429 433	— —
3655	8.8	0 10.93	3.2451	0.0090	10 22 23.2	14.192	0.328	69.5	3 11 311	10 1937
3656	8.7	9 0 20.02*	+3.2414	−0.0089	+10 9 37.3	−14.201	−0.328	73.9	7 Beob.	10 1938
3657	9.2	0 24.80	3.2578	0.0093	11 7 30.7	14.206	0.329	82.7	313 R	— —
3658	7.5[1]	0 26.49*	3.2415	0.0089	10 10 18.0*	14.208	0.327	73.9	7 Beob.	10 1940
3659	8.9	0 40.81	3.3166	0.0111	14 32 2.1	14.223	0.335	69.2	21 90 158	14 2030
3660	8.9	0 48.81	3.2937	0.0104	13 13 40.3	14.231	0.332	69.9	8 94 312	13 2044
3661	5.4	9 0 58.51	+3.2581	−0.0094	+11 10 11.9	−14.241	−0.328	70.9	17 307 313	11 1984
3662	8.0	1 12.88	3.3162	0.0111	14 32 41.3	14.255	0.334	69.8	90 158 161	14 2033
3663	7.7	1 24.31	3.2797	0.0100	12 27 13.2	14.267	0.330	69.2	85 97	12 1973
3664	8.8	1 35.08	3.3015	0.0107	13 43 31.8	14.278	0.332	69.6	87 156	13 2045
3665	8.6	2 22.17	3.2597	0.0095	11 19 55.4	14.326	0.326	68.7	23 95	11 1988
3666	8.1	9 2 39.11	+3.3028	−0.0108	+13 51 45.7	−14.344	−0.330	69.2	87 94	13 2048
3667	7.1	2 58.73	3.2718	0.0098	12 4 21.2	14.364	0.327	69.2	85 97	12 1979
3668	8.6	3 0.11	3.2413	0.0090	10 16 11.2	14.365	0.324	69.6	82 160	10 1944
3669	8.5	3 1.31	3.3215	0.0113	14 57 42.9	14.366	0.332	69.6	90 161	15 1990
3670	8.6	3 1.37	3.2486	0.0092	10 42 21.1*	14.366	0.324	74.4	4 82 160 752	10 1945
3671	9.0	9 3 2.17	+3.2645	−0.0096	+11 38 51.6	−14.367	−0.326	68.7	23 95	11 1989
3672	8.6	3 3.89	3.2534	0.0093	10 59 52.4	14.369	0.325	68.7	23 95	11 1990
3673	9.0	3 28.71	3.3085	0.0110	14 14 26.0	14.394	0.330	69.6	90 161	14 2039
3674	8.7	3 29.17	3.2777	0.0100	12 26 58.7	14.395	0.327	69.2	85 97	12 1981
3675	8.6	3 29.77	3.3071	0.0109	14 9 35.6	14.395	0.329	69.2	87 94	14 2040
3676	9.0	9 3 38.32	+3.2428	−0.0090	+10 23 18.7	−14.404	−0.323	69.1	4 82 160	10 1949
3677	8.8	3 49.08	3.3172	0.0113	14 45 59.3	14.415	0.330	69.6	90 161	14 2041
3678	8.7	3 58.22	3.2878	0.0104	13 3 47.6	14.424	0.327	69.2	87 94	13 2050
3679	9.0	4 22.79	3.2846	0.0103	12 54 0.6	14.449	0.326	69.2	85 97	12 1985
3680	8.4	4 35.11	3.2929	0.0106	13 24 0.9	14.461	0.326	69.2	87 94	13 2051
3681	9.2	9 4 45.89	+3.3180	−0.0113	+14 52 7.1	−14.472	−0.329	79.9	90 161 752 760	14 2043
3682	8.8	4 52.07	3.3199	0.0114	14 59 13.5	14.479	0.329	69.6	90 161	15 1999
3683	8.6	5 53.32	3.2409	0.0091	10 22 54.3*	14.540	0.319	74.4	4 82 160 752	10 1954
3684	8.9	5 56.38	3.2782	0.0102	12 36 32.0	14.543	0.323	69.2	85 97	12 1990
3685	8.7	6 5.14	3.2806	0.0103	12 45 41.3	14.552	0.323	69.2	85 97	12 1991
3686	8.2	9 6 10.60	+3.2540	−0.0095	+11 10 53.4	−14.558	−0.320	68.7	23 95	11 1996
3687	8.9	6 14.78	3.2725	0.0100	12 17 16.0	14.562	0.322	69.2	85 97	12 1992
3688	7.9	6 38.65	3.2476	0.0093	10 49 14.1	14.585	0.319	69.1	4 82 160	10 1956
*3689	9.1	6 52.45	3.2614	0.0097	11 39 35.6	14.599	0.320	68.7	23 95	11 1998
3690	8.6	6 57.04	3.3130	0.0113	14 43 29.8	14.604	0.325	69.6	90 161	14 2048
3691	8.9	9 7 22.36	+3.2695	−0.0100	+12 10 17.1	−14.629	−0.320	69.2	85 97	12 1994
3692	8.5	7 38.22	3.2683	0.0100	12 7 0.9	14.645	0.319	69.2	85 97	12 1995
3693	8.3	7 53.65	3.2664	0.0099	12 0 45.9	14.660	0.319	69.2	85 97	12 1997
3694	9.0	8 11.83	3.2775	0.0103	12 41 47.5	14.679	0.319	69.2	85 97	12 2000
3695	8.7	8 28.62	3.2612	0.0098	11 43 57.2	14.695	0.317	68.7	23 95	11 2003
3696	8.7	9 8 29.54	+3.2372	−0.0091	+10 16 37.1	−14.696	−0.315	69.1	4 82 160	10 1961
3697	8.1	9 4.87	3.2468	0.0094	10 53 32.9	14.731	0.315	69.1	4 82 160	10 1965
*3698	8.4	9 14.80	3.3093	0.0113	14 39 9.7*	14.741	0.321	83.1	90 752 760	14 2057
3699	8.3	10 31.46	3.2903	0.0108	13 36 12.6	14.816	0.317	69.2	87 94	13 2066
3700	8.6	10 57.62	3.2994	0.0111	14 10 53.5	14.842	0.317	69.6	90 161	14 2062

[1] 7.0 8.0 7.0 7.7 7.7 8.4 7.0; BD 8.0

Nr.	Gr.	A.R. 1875	Praec.	Var. saec.	Decl. 1875	Praec.	Var. saec.	Ep.	Zonen	B.D.
3701	6.7	$9^h\ 11^m\ 4^s.46$	$+3^s.2636$	$-0^s.0099$	+12° 1′ 24″.8	$-14^s.849$	$-0^s.313$	69.2	85 97	12° 2009
3702	8.8[1]	11 49.28	3.2896	0.0108	13 38 34.4	14.893	0.315	69.2	87 94	13 2069
3703	8.9	11 57.34	3.2983	0.0111	14 10 37.2	14.901	0.315	69.6	90 161	14 2068
3704	8.5	12 7.29	3.2761	0.0104	12 50 33.2	14.910	0.313	69.2	85 97	12 2014
3705	8.3	12 7.63	3.2499	0.0096	11 14 32.7	14.911	0.310	68.7	23 95	11 2008
3706	7.9	9 12 13.41	+3.2536	−0.0097	+11 28 28.1	−14.916	−0.311	68.7	23 95	11 2009
3707	8.9	12 29.19	3.2577	0.0098	11 44 20.1	14.932	0.311	69.2	85 97	11 2010
3708	8.9	12 38.74	3.2523	0.0097	11 24 45.8	14.941	0.310	68.7	23 95	11 2011
3709	7.3[2]	12 47.24	3.2344	0.0091	10 18 56.6	14.949	0.308	69.1	4 82 160	10 1972
3710	8.9	12 47.84	3.2953	0.0110	14 3 9.8	14.950	0.314	69.6	90 161	14 2070
3711	9.1	9 12 52.52	+3.2512	−0.0096	+11 21 26.8	−14.954	−0.309	68.7	23 95	11 2012
3712	8.9	12 57.67	3.2819	0.0106	13 15 5.2	14.959	0.312	69.2	85 97	13 2072
3713	8.5[3]	12 59.20	3.2851	0.0107	13 26 56.6	14.961	0.313	69.2	87 94	13 2071
3714	9.2	13 11.47	3.3038	0.0113	14 35 27.5	14.973	0.314	90.1	752 760	14 2073
3715	8.7	13 41.83	3.2617	0.0100	12 3 28.2	15.002	0.309	69.2	85 97	12 2020
3716	8.5	9 13 44.30	+3.2527	−0.0097	+11 29 52.8	−15.005	−0.308	68.7	23 95	11 2014
3717	8.1	14 9.48	3.2683	0.0102	12 29 14.4	15.029	0.309	69.2	85 97	12 2021
3718	8.7	14 15.62	3.2676	0.0102	12 27 12.9	15.035	0.309	69.2	85 97	12 2022
3719	6.7	14 28.97	3.2868	0.0108	13 38 37.7	15.048	0.310	69.2	87 94	13 2074
3720	8.3	14 29.40	3.2726	0.0104	12 46 20.5	15.048	0.309	69.2	87 94 97	12 2023
3721	8.2	9 14 36.82	+3.2743	−0.0104	+12 53 9.7	−15.055	−0.309	68.7	23 95	12 2024
3722	8.5	14 40.34	3.2293	0.0090	10 5 6.7	15.059	0.304	75.2	5 Beob.	10 1980
3723	8.7[4]	15 24.87	3.2722	0.0104	12 48 30.0	15.102	0.307	69.2	85 97	12 2026
3724	8.3	15 25.43	3.2767	0.0106	13 5 15.1	15.102	0.308	69.2	87 94	13 2079
3725	9.1	16 2.83	3.2379	0.0093	10 41 56.2	15.138	0.303	69.6	82 160	10 1986
3726	8.9	9 16 13.30	+3.3021	−0.0114	+14 42 10.0	−15.148	−0.309	69.6	90 161	14 2083
3727	9.0	16 29.28*	3.2369	0.0093	10 39 35.2	15.163	0.302	74.4	4 82 160 752	10 1987
3728	8.9	16 35.22	3.2507	0.0098	11 32 4.6	15.169	0.304	68.7	23 95	11 2025
3729	8.7	16 36.72	3.2965	0.0113	14 23 10.4	15.170	0.308	69.6	90 161	14 2085
3730	8.9	16 55.68	3.2514	0.0098	11 35 49.1	15.188	0.303	68.7	23 95	11 2027
3731	8.9	9 17 7.86	+3.3059	−0.0116	+14 59 51.0	−15.200	−0.308	69.6	90 161	15 2038
3732	8.9	17 8.96*	3.3016	0.0115	14 44 2.7	15.201	0.308	69.6	90 161	14 2086
3733	8.6	17 9.93	3.2884	0.0110	13 55 24.6	15.202	0.306	69.2	87 94	14 2087
3734	8.8	17 16.25	3.2396	0.0094	10 52 18.7	15.208	0.301	69.6	82 160	10 1989
3735	8.1	17 24.60	3.2428	0.0095	11 4 55.8	15.216	0.302	68.7	23 95	11 2029
3736	8.8	9 17 31.59	+3.2741	−0.0105	+13 3 20.4	−15.222	−0.304	69.2	87 94	13 2083
3737	9.0	17 34.83	3.3010	0.0115	14 43 44.7*	15.226	0.307	79.9	90 161 752 760	14 2088
3738	9.1	17 42.62	3.2269	0.0090	10 5 16.1	15.233	0.300	86.9	445 458 831	[10 1990]
3739	9.0	17 48.20	3.2408	0.0095	10 58 31.6	15.238	0.301	69.2	85 97	11 2031
3740	8.6	17 59.17	3.2485	0.0097	11 28 38.3	15.249	0.301	68.7	23 95	11 2033
3741	8.6	9 18 6.91	+3.2262	−0.0090	+10 3 41.1	−15.256	−0.299	76.9	82 160 445 458	10 1991
3742	9.0	18 9.11	3.3025	0.0115	14 51 47.3	15.258	0.306	69.2	87 94	14 2090
3743	8.5	18 18.53	3.2400	0.0095	10 57 7.9	15.267	0.300	69.0	23 85 95 97	11 2035
3744	8.5	18 27.33	3.2253	0.0090	10 1 3.9*	15.275	0.298	76.9	82 160 445 458	10 1992
3745	8.6	18 30.31*	3.2999	0.0115	14 43 40.9	15.278	0.305	79.9	90 161 752 760	14 2092
3746	8.8	9 18 51.29	+3.2361	−0.0094	+10 43 56.9	−15.298	−0.298	69.6	82 160	10 1993
3747	8.7	18 56.00	3.2419	0.0095	11 6 37.4	15.302	0.299	68.7	23 95	11 2036
3748	7.9[5]	19 56.63*	3.3031	0.0117	15 2 6.1	15.359	0.303	79.9	90 161 752 760	15 2049
3749	7.0	20 5.36	3.2999	0.0116	14 50 41.4	15.368	0.303	69.2	87 94	14 2095
3750	9.1	20 20.20	3.3031	0.0117	15 3 34.6	15.381	0.302	90.1	752 760	15 2051

[1] BD 9.3; Schätz. 8.8 8.8 [2] 7.0 7.0 8.0 [3] BD 9.0; Schätz. 8.6 8.5 [4] BD 9.2; Schätz. 8.7 8.8
[5] 7.3 8.0 7.9 8.5

Nr.	Gr.	A.R. 1875	Praec.	Var. saec.	Decl. 1875	Praec.	Var. saec.	Ep.	Zonen	B.D.
3751	8.8	9^h 20^m $34^s.77$	$+3^s.2439$	$-0^s.0097$	+11° 19′ 35″.9	−15″.395	−0″.296	68.7	23 95	11° 2038
3752	8.8	20 44.99	3.2290	0.0092	10 22 34.2	15.405	0.295	69.6	82 160	10 1999
3753	8.3	20 48.19	3.2454	0.0097	11 26 23.1	15.408	0.296	68.7	23 95	11 2039
3754	7.9	20 48.30	3.2689	0.0105	12 56 39.2	15.408	0.299	69.2	87 94	13 2091
3755	9.4	20 50.35	3.3002	0.0116	14 55 13.2	15.410	0.301	69.6	90 161	[15 2052]
3756[1]	8.5	9 20 55.76	+3.2534	−0.0100	+11 57 37.9	−15.415	−0.297	69.2	85 97	12 2039
3757	8.2	21 5.69	3.2899	0.0113	14 17 30.9	15.424	0.300	69.6	90 161	14 2097
3758	8.3	21 23.95	3.2344	0.0094	10 45 39.1	15.441	0.294	69.6	82 160	10 2002
3759	7.9	21 39.75	3.2724	0.0107	13 13 21.5	15.456	0.297	69.2	87 94	13 2094
3760	8.6	21 43.53	3.2648	0.0104	12 44 36.1	15.459	0.297	69.2	85 97	12 2041
3761	8.5	9 21 45.27	+3.2560	−0.0101	+12 10 38.5	−15.461	−0.296	69.2	85 97	12 2043
3762	7.5	21 46.68	3.2677	0.0105	12 55 45.4	15.462	0.297	69.2	87 94	13 2096
3763[2]	8.1	22 4.41	3.2705	0.0106	13 7 46.7	15.478	0.297	69.2	87 94	13 2097
3764	8.8	23 0.46	3.2286	0.0092	10 28 23.6	15.530	0.291	69.6	82 160	10 2006
3765	8.2	23 3.89	3.2817	0.0111	13 54 37.8	15.534	0.296	79.6	87 94 752 760	13 2098
3766	8.9	9 23 7.03	+3.2271	−0.0092	+10 22 38.2*	−15.537	−0.291	79.9	82 160 752 760	10 2007
3767	8.9	23 28.43	3.2730	0.0108	13 23 3.4	15.556	0.295	69.2	87 94	13 2099
3768	8.3	23 36.09*	3.2745	0.0108	13 29 17.1	15.563	0.294	79.6	87 94 752 760	13 2100
3769	8.7	23 46.31	3.2477	0.0099	11 45 54.2	15.572	0.292	68.7	23 95	11 2051
3770	7.8	23 52.46*	3.2828	0.0111	14 2 40.3	15.578	0.295	69.6	90 161	14 2101
*3771	8.4	9 23 52.84	+3.2381	−0.0096	+11 8 51.3	−15.578	−0.291	69.2	85 97	} 11 2052
*3772	8.3	23 53.74	3.2382	0.0096	11 8 57.6	15.579	0.291	77.5 81.7	85 97a R	
3773	8.8	23 59.86	3.2827	0.0112	14 2 40.4	15.585	0.295	69.6	90 161	[14 2102]
3774	8.6	24 12.00	3.2823	0.0111	14 1 59.7	15.596	0.294	69.6	90 161	14 2103
3775	7.9	24 18.61	3.2310	0.0094	10 42 12.7	15.602	0.289	69.6	82 160	10 2011
3776	8.6	9 24 18.72	+3.2570	−0.0103	+12 24 23.8	−15.602	−0.292	79.6	85 97 752 760	12 2049
3777	8.5	24 31.62	3.2327	0.0094	10 49 39.5	15.614	0.289	69.6	82 160	10 2012
3778	7.6[3]	24 31.99	3.2722	0.0108	13 24 29.7	15.614	0.293	69.2	87 94	13 2104
3779	9.1	25 1.90*	3.2334	0.0095	10 54 21.9	15.642	0.288	79.9	82 160 752 760	10 2013
3780	5.5[4]	25 12.47	3.2477	0.0100	11 51 9.1	15.651	0.289	68.7	23 95	11 2053
3781	5.3[5]	9 25 15.57	+3.2236	−0.0091	+10 15 57.3	−15.654	−0.287	69.6	82 160	10 2014
3782	8.6[6]	25 21.48	3.2433	0.0098	11 34 32.7	15.660	0.289	68.7	23 95	11 2054
3783	8.0	25 36.32	3.2393	0.0097	11 19 34.3	15.673	0.288	68.7	23 95	11 2055
3784	8.8	25 39.02	3.2863	0.0114	14 23 49.4	15.676	0.292	69.6	90 161	14 2106
3785	9.0	25 52.72	3.2536	0.0102	12 17 9.9	15.688	0.289	69.2	85 97	12 2053
3786	8.5	9 25 55.94	+3.2481	−0.0100	+11 55 48.9	−15.691	−0.288	69.2	85 97	12 2054
3787	8.8	26 6.67	3.2945	0.0117	14 57 38.4	15.701	0.292	69.6	90 161	15 2068
3788	8.9	26 10.39	3.2254	0.0092	10 26 21.4[7]	15.704	0.286	79.9	82 160a 752 760	10 2016
3789	9.1	26 13.92	3.2529	0.0102	12 15 37.4	15.707	0.288	69.2	85 97	12 2055
3790	8.7	26 55.01	3.2580	0.0104	12 38 27.1	15.744	0.287	69.2	85 97	12 2056
3791	8.7	9 26 58.00	+3.2334	−0.0095	+11 0 53.2	−15.747	−0.285	68.7	23 95	11 2058
3792	8.9	27 37.28	3.2488	0.0101	12 5 6.4	15.783	0.286	69.2	85 97	12 2058
3793	8.9[8]	27 56.76	3.2924	0.0117	14 58 23.9	15.800	0.289	69.6	90 161	15 2074
3794	8.6	27 57.55	3.2752	0.0111	13 50 56.5	15.801	0.288	69.2	87 94	13 2115
3795	8.2	28 12.21	3.2207	0.0091	10 14 3.3	15.814	0.282	69.6	82 160	10 2021
3796	6.9	9 28 12.52	+3.2652	−0.0107	+13 12 38.9	−15.814	−0.286	69.2	87 94	13 2117
3797	8.6	28 19.76	3.2425	0.0099	11 42 38.9	15.821	0.284	68.7	23 95	11 2060
3798	7.6[9]	28 19.91	3.2867	0.0115	14 37 52.9	15.821	0.288	69.6	90 161	14 2113
3799	8.7	28 22.14	3.2868	0.0115	14 38 30.4	15.823	0.288	69.6	90 161	[14 2114]
3800	8.6	28 30.89	3.2635	0.0107	13 7 11.5	15.831	0.285	69.2	87 94	13 2118

[1] $9^m.5$ $2'.5$ A.; ein zweiter $9^m.5$ gegen diesen praec. $1^s.5$ 55″ A. [2] $8^m.8$ praec. $3^s.3$ 5″ A. [3] BD 7.0 [4] 5.0 6.0
[5] BD 6.0; roth; $8^m.7$ seq. 3^s 10″ B., blau [6] BD 8.0; Schätz. 8.6 8.6 [7] Z. 160 [23″.8] [8] BD 9.5; Schätz. 8.9 8.9
[9] BD 8.3; Schätz. 7.8 7.5

Nr.	Gr.	A.R. 1875	Praec.	Var. saec.	Decl. 1875	Praec.	Var. saec.	Ep.	Zonen	B. D.
3801	8.4[1]	9^h 28^m $40^s.48$	$+3^s.2872$	$-0^s.0115$	+14° 41′ 32″.0	−15″.839	−0″.287	69.6	90 161	14° 2115
3802	8.8	28 52.11	3.2287	0.0094	10 48 50.1	15.850	0.282	79.9	82 160 752 760	10 2025
3803[2]	6.6	29 2.93	3.2905	0.0117	14 56 10.7	15.859	0.287	76.4	90 161 752	15 2077
3804	9.0	29 5.74	3.2905	0.0117	14 56 19.4	15.862	0.287	83.1 90.1	90a 752 760	15 2078
3805	8.7	29 6.64	3.2228	0.0092	10 25 36.6*	15.862	0.281	76.5	82 160 760	10 2026
3806	8.7	9 29 23.93	+3.2645	−0.0107	+13 14 47.9	−15.878	−0.284	69.2	87 94	13 2119
3807	8.1	29 37.13	3.2455	0.0100	11 59 26.1	15.890	0.282	69.2	85 97	12 2067
3808	8.5	29 38.43	3.2326	0.0096	11 7 28.6	15.891	0.281	68.7	23 95	11 2063
3809	7.7	29 45.59	3.2366	0.0097	11 24 17.3	15.897	0.281	68.7	23 95	11 2064
3810	8.6	29 51.84	3.2193	0.0091	10 13 57.8	15.903	0.279	69.6	82 160	10 2030
3811	8.7	9 30 55.88	+3.2342	−0.0097	+11 18 59.4	−15.960	−0.279	68.7	23 95	11 2067
3812	8.6	30 57.16	3.2508	0.0103	12 26 34.0	15.961	0.280	69.2	85 97	12 2070
3813	6.8	31 11.94	3.2875	0.0117	14 54 39.0	15.974	0.283	69.6	90 161	15 2087
3814	8.7	31 13.26	3.2424	0.0100	11 53 24.6	15.975	0.279	68.7	23 95	11 2068
3815	9.3	31 23.89	3.2298	0.0095	11 2 43.8	15.984	0.278	68.7	23 95	11 2069
3816	6.8	9 31 29.29	+3.2630	−0.0108	+13 17 51.1	−15.989	−0.280	69.2	87 94	13 2128
3817	9.0	31 44.71	3.2177	0.0091	10 13 50.7	16.003	0.276	69.6	82 160	10 2036
3818	8.8	31 51.31	3.2751	0.0112	14 8 28.9	16.008	0.281	69.2	87 94	14 2123
3819	8.8	31 54.65	3.2169	0.0091	10 11 19.6	16.011	0.276	69.6	82 160	10 2037
3820	7.0[3]	32 2.92	3.2336	0.0097	11 20 31.5	16.019	0.277	68.7	23 95	11 2071
3821	8.6	9 32 13.99	+3.2873	−0.0117	+14 59 4.9	−16.028	−0.281	69.6	90 161	15 2091
3822	8.9	32 19.70	3.2249	0.0094	10 45 42.5	16.033	0.276	69.6	82 160	10 2039
3823	7.2[4]	32 29.94	3.2704	0.0111	13 52 30.4	16.042	0.279	90.1	752 760	13 2131
3824	8.7	32 30.81	3.2347	0.0098	11 26 56.1	16.043	0.276	68.7	23 95	11 2074
3825	8.7	32 33.50	3.2573	0.0106	12 59 29.3	16.045	0.278	69.2	87 94	13 2132
3826	9.0	9 32 37.39	+3.2371	−0.0099	+11 37 19.7	−16.049	−0.276	69.2	85 95 97	11 2076
3827	8.0	32 49.14	3.2531	0.0104	12 43 49.7	16.059	0.277	69.2	85 97	12 2075
3828	8.7	33 16.16	3.2286	0.0096	11 4 29.6	16.083	0.274	68.7	23 95	11 2079
3829	8.5	33 16.73	3.2142	0.0090	10 4 34.7	16.083	0.273	80.0	5 Beob.	10 2041
3830	8.7	33 35.49	3.2793	0.0115	14 33 27.7	16.099	0.278	69.6	90 161	14 2127
3831	6.7	9 33 47.84	+3.2652	−0.0109	+13 37 23.5	−16.110	−0.277	69.2	87 94	13 2136
3832	8.4	33 50.67	3.2125	0.0090	9 59 31.5	16.113	0.272	80.0	5 Beob.	10 2043
3833	9.2	34 9.54	3.2821	0.0116	14 47 44.5	16.129	0.278	69.6	90 161	14 2129
3834	8.8	34 16.57	3.2804	0.0115	14 41 30.5	16.135	0.277	69.6	90 161	14 2130
3835	8.5	34 25.98	3.2427	0.0101	12 7 52.3	16.143	0.274	69.2	85 97	12 2076
3836	**3.6**	**9 34 28.68**	**+3.2186**	**−0.0092**	**+10 27 35.5**	**−16.146**	**−0.271**		**Fund. Cat.**	**10 2044**
3837	8.7	34 49.32	3.2122	0.0090	10 1 57.1	16.164	0.270	81.1	5 Beob.	10 2046
3838	8.1	34 51.76	3.2617	0.0108	13 27 59.5	16.166	0.274	69.2	87 94	13 2139
3839	8.6	35 3.56	3.2366	0.0099	11 44 49.1	16.176	0.272	68.7	23 95	11 2083
3840	8.6	35 24.63	3.2703	0.0112	14 5 55.6	16.194	0.274	69.2	87 94	14 2131
3841	8.7	9 36 16.91	+3.2779	−0.0116	+14 41 16.5	−16.239	−0.274	69.6	90 161	14 2133
3842	8.1	36 27.36	3.2256	0.0095	11 4 12.3	16.248	0.269	69.0	23 85 95 97	11 2085
3843	8.8	36 36.73	3.2555	0.0107	13 10 17.7	16.256	0.271	69.2	87 94	13 2145
3844	7.6	36 48.48	3.2674	0.0112	14 0 51.9	16.266	0.272	69.6	90 161	14 2134
3845	7.2[5]	36 52.64	3.2255	0.0096	11 5 37.5	16.269	0.268	68.9	23 95 97	11 2087
3846	8.9	9 36 53.89	+3.2715	−0.0113	+14 18 2.4	−16.270	−0.272	69.4	87 90 94 161	14 2135
3847	5.3[6]	36 55.42	3.2757	0.0115	14 35 33.6	16.272	0.272	90.1	752 760	14 2136
3848	7.9	36 58.17	3.2487	0.0104	12 43 49.6	16.274	0.270	69.2	85 97	12 2082
3849	8.8	36 58.26	3.2725	0.0114	14 22 26.2	16.274	0.272	69.6	90 161	14 2137
3850	8.8	37 18.15	3.2538	0.0107	13 6 26.9	16.291	0.270	90.1	752 760	13 2147

[1] BD 9.0; Schätz. 8.3 8.5 [2] 6.0 6.7 7.0; 10^m praec. 18^s 3′A. [3] BD 7.7; Schätz. 7.0 7.0 [4] 7.7 6.7
[5] BD 8.0; Schätz. 7.3 7.3 7.0 [6] BD 6.0

Nr.	Gr.	A.R. 1875	Praec.	Var. saec.	Decl. 1875	Praec.	Var. saec.	Ep.	Zonen	B.D.
3851	8.6	9h 37m 20s.48	+3s.2282	−0s.0097	+11° 18′ 54″.3	−16″.293	−0″.268	68.7	23 95	11° 2088
3852	9.4	37 37.40	3.2516	0.0106	12 58 51.0	16.307	0.269	69.2	87 97	[13 2148]
3853	8.6	38 17.70	3.2281	0.0097	11 22 31.6	16.341	0.266	68.7	23 95	11 2094
3854	8.9[1]	38 34.05	3.2629	0.0111	13 50 49.2	16.355	0.268	69.2	87 94	13 2150
3855	7.3	38 46.94	3.2196	0.0094	10 47 45.9	16.366	0.264	69.6	82 160	10 2049
3856	8.8	9 39 15.92	+3.2647	−0.0112	+14 1 29.5	−16.390	−0.267	69.6	90 161	14 2139
3857	9.2	39 24.73*	3.2168	0.0093	10 38 21.4	16.398	0.263	81.7	160 R	[10 2050]
3858	6.2[2]	39 39.16	3.2410	0.0102	12 23 5.2	16.410	0.265	69.2	85 97	12 2090
3859	8.9	39 39.62	3.2672	0.0113	14 13 58.5	16.411	0.267	69.6	90 161	14 2141
3860	8.7	39 48.60	3.2489	0.0106	12 57 22.9	16.418	0.265	69.2	87 94	13 2153
3861	8.9	9 39 55.10	+3.2209	−0.0095	+10 57 52.8	−16.423	−0.262	68.7	23 95	11 2099
3862	8.8	40 3.00	3.2407	0.0102	12 23 41.5	16.430	0.264	69.2	85 97	12 2091
3863	8.7	40 12.55	3.2733	0.0116	14 42 42.0	16.438	0.266	69.6	90 161	14 2143
3864	8.4[3]	40 39.49	3.2564	0.0109	13 33 37.4	16.460	0.264	69.2	87 94	13 2156
3865	6.8	40 42.68	3.2365	0.0101	12 8 43.3	16.463	0.262	69.2	85 97	12 2095
3866	8.0	9 40 46.74	+3.2264	−0.0097	+11 25 15.7	−16.466	−0.261	68.7	23 95	11 2102
3867	8.9	40 47.94	3.2752	0.0117	14 53 34.9	16.468	0.265	69.6	90 161	14 2146
3868[4]	var.[5]	40 50.08	3.2345	0.0100	12 0 27.8	16.469	0.262	79.6	85 97 752 760	12 2096
3869	8.1	40 59.92	3.2198	0.0095	10 57 44.4	16.477	0.261	68.7	23 95	11 2104
3870	7.8	41 3.41	3.2630	0.0112	14 3 22.4	16.480	0.264	69.6	90 161	14 2147
3871	7.8	9 41 5.18	+3.2155	−0.0093	+10 39 11.2	−16.482	−0.260	69.6	82 160	10 2054
3872	8.6	41 46.16	3.2051	0.0089	9 56 8.0	16.516	0.258	76.9	82 160 445 458	10 2058
3873	8.4	42 5.57	3.2659	0.0113	14 21 7.3	16.532	0.262	69.6	90 161	14 2151
3874	8.6	42 6.67	3.2484	0.0106	13 6 7.7	16.533	0.261	69.2	87 94	13 2160
3875	8.8	42 8.66	3.2212	0.0095	11 8 16.7	16.534	0.259	68.7	23 95	11 2107
3876	8.3	9 42 16.73	+3.2422	−0.0104	+12 40 31.1	−16.541	−0.260	69.2	85 97	12 2099
3877	8.7	42 52.03	3.2417	0.0104	12 40 42.3	16.570	0.259	69.2	85 97	12 2101
3878	7.7	43 8.72	3.2278	0.0098	11 41 23.5	16.584	0.258	68.7	23 95	11 2108
3879	8.7	43 23.06	3.2617	0.0112	14 10 4.1	16.596	0.260	69.6	90 161	14 2154
3880	8.3	43 29.49	3.2081	0.0091	10 15 48.5	16.601	0.255	69.6	82 160	10 2061
3881	8.2	9 44 3.22*	+3.2683	−0.0115	+14 42 9.9	−16.628	−0.259	69.6	90 161	14 2157
3882	7.0	44 5.70	3.2369	0.0102	12 25 30.3	16.630	0.257	69.2	85 97	12 2105
3883	8.3	44 14.85	3.2236	0.0097	11 27 55.5	16.638	0.255	68.7	23 95	11 2112
3884	6.5	44 16.08	3.2535	0.0109	13 38 59.4	16.639	0.258	79.6	87 94 752 760	13 2164
3885	8.7	44 48.58	3.2472	0.0107	13 14 18.1	16.665	0.256	69.2	87 94	13 2166
3886	8.7	9 45 6.29*	+3.2085	−0.0091	+10 24 2.5	−16.680	−0.252	79.9	82 160 752 760	10 2062
3887	8.8	45 23.47	3.2717	0.0117	15 4 7.0	16.694	0.257	69.6	90 161	15 2123
3888	8.5	46 31.15	3.2045	0.0090	10 11 48.2*	16.748	0.250	69.6	82 160	10 2065
3889	8.5	46 38.73*	3.2252	0.0098	11 45 30.6	16.754	0.251	69.0	23 85 95 97	11 2117
3890	9.2	46 42.37	3.2249	0.0098	11 44 17.6	16.757	0.251	83.1	97 752 760	11 2119
3891	8.2	9 47 17.92	+3.2124	−0.0093	+10 50 47.4	−16.786	−0.249	69.6	82 160	10 2067
3892	8.7	48 16.45	3.2070	0.0091	10 30 4.9	16.832	0.247	69.6	82 160	10 2069
3893	9.4	48 42.38	3.2092	0.0093	10 41 56.5	16.852	0.246	90.1	752 760	— —
3894	8.1	48 43.36*	3.2092	0.0093	10 42 9.7	16.853	0.246	79.9	82 160 752 760	10 2072
3895	9.1	49 2.45	3.2374	0.0104	12 52 15.2*	16.868	0.248	92.7	752 R	12 2115
3896	8.6	9 49 37.72	+3.2103	−0.0093	+10 51 7.7	−16.896	−0.245	69.6	82 160	10 2075
3897	8.4	49 41.14	3.2155	0.0095	11 15 27.9	16.899	0.245	68.7	23 95	11 2128
3898	8.6	49 51.08	3.2572	0.0113	14 25 41.9	16.906	0.248	78.4	90 161 714 715	14 2166
3899	9.0	50 0.37	3.2165	0.0096	11 21 30.8	16.914	0.245	68.7	23 95	11 2129
3900	8.9	50 50.57	3.2531	0.0112	14 12 44.4	16.953	0.246	69.6	90 161	14 2168

[1] BD 9.4   [2] Roth   [3] BD 9.0; Schätz. 8.4 8.5   [4] 9m.3 praec. 13s 3′.4 A.; 9m.0 praec. 17s.5 0′.2 A.
[5] R Leonis; 9.2 8.9 6.0 5.9; sehr roth

Nr.	Gr.	A.R. 1875	Praec.	Var. saec.	Decl. 1875	Praec.	Var. saec.	Ep.	Zonen	B. D.
3901	8.6	9h 51m 1s.24	+3s.2370	−0s.0105	+13° 0' 22".9	−16".961	−0".245	69.2	87 94	13° 2182
3902	9.0	51 3.38	3.2054	0.0091	10 34 47.3	16.963	0.242	69.6	82 160	10 2079
3903	8.3	51 7.53	3.2526	0.0112	14 12 3.4*	16.966	0.246	69.6	90 161	14 2170
3904	8.5	51 21.18	3.2014	0.0090	10 17 25.6	16.977	0.241	69.6	82 160	10 2081
3905	8.8	51 25.37	3.2584	0.0115	14 40 7.0	16.980	0.246	86.7	632 633 714 715	[14 2172]
3906	5.0[1]	9 51 29.90	+3.2369	−0.0105	+13 2 24.9	−16.984	−0.244	69.2	87 94	13 2183
3907	8.8	51 38.05	3.2416	0.0107	13 24 32.8	16.990	0.244	69.2	87 94	13 2184
3908	9.2	51 44.82	3.2236	0.0099	12 2 23.9	16.995	0.242	81.2	85 R	[12 2124]
3909	8.9	51 48.32	3.2104	0.0094	11 1 8.2	16.998	0.241	68.7	23 95	11 2133
3910	8.0[2]	51 57.90	3.2171	0.0097	11 33 17.9	17.005	0.241	68.7	23 95	11 2134
3911	7.7[3]	9 52 5.24	+3.2105	−0.0094	+11 3 11.2	−17.011	−0.241	68.7	23 95	11 2136
3912	8.6	52 18.23	3.2229	0.0099	12 1 54.4	17.021	0.241	79.9	85 161 752 760	12 2126
3913	9.0	52 37.03	3.2064	0.0092	10 45 54.2	17.036	0.239	69.6	82 160	10 2084
3914	8.4	52 58.08	3.1952	0.0088	9 54 50.6	17.052	0.238	76.9	82 160 445 458	10 2086
3915	8.7	52 58.78	3.2244	0.0100	12 12 17.1	17.052	0.240	69.6	85 161	12 2128
3916	8.8	9 53 13.69	+3.2586	−0.0115	+14 51 39.1	−17.064	−0.242	69.6	90 161	14 2182
*3917	9.0	53 30.70	3.2304	0.0103	12 42 51.9	17.077	0.240	83.1	85 752 760	12 2130
3918	8.8	53 48.34	3.2258	0.0101	12 22 48.2	17.090	0.239	79.6	85 760	12 2131
3919	8.8	54 24.53	3.2123	0.0105	11 22 3.7	17.118	0.237	68.7	23 95	11 2141
3920	8.6	54 36.78	3.2525	0.0113	14 31 39.0	17.127	0.239	69.2	87 94	14 2186
3921	8.8	9 54 50.48	+3.2509	−0.0113	+14 25 36.2	−17.137	−0.239	69.2	87 94	14 2187
3922	8.6	55 6.64	3.2047	0.0092	10 49 4.2	17.150	0.235	79.9	82 160 752 760	10 2092
3923	8.2	55 13.30	3.2302	0.0103	12 50 47.7	17.155	0.237	69.2	87 94 97	12 2132
3924	8.8	55 23.14	3.2383	0.0107	13 30 7.2	17.162	0.237	69.2	87 94	13 2194
3925	9.1	55 26.76	3.2560	0.0115	14 53 13.1	17.165	0.238	69.6	90 161	14 2190
3926	8.9	9 55 41.58*	+3.2027	−0.0091	+10 42 13.4*	−17.176	−0.234	79.9	82 160 752 760	10 2095
3927	8.6	55 47.76	3.2005	0.0091	10 32 25.1	17.181	0.233	83.1	82 752 760	10 2096
3928	8.5	55 49.89	3.2562	0.0116	14 56 31.4	17.182	0.237	69.6	90 161	15 2157
3929	8.6	56 8.25	3.2531	0.0114	14 43 59.8	17.196	0.237	69.6	90 161	14 2192
3930	9.0	56 28.94	3.2363	0.0107	13 27 4.0	17.212	0.235	90.1	752 760	13 2196
3931	8.9	9 56 43.99	+3.2098	−0.0095	+11 21 26.2	−17.223	−0.232	68.7	23 95	11 2153
3932	8.0	56 52.59	3.2437	0.0110	14 4 18.0	17.229	0.235	69.6	90 161	14 2193
3933	7.3[4]	56 54.42	3.1990	0.0090	10 30 9.5	17.231	0.231	69.6	82 160	10 2100
3934	8.7	56 55.00	3.2362	0.0107	13 29 0.3	17.231	0.234	69.2	87 94	13 2197
3935	8.2	57 4.26	3.2265	0.0103	12 43 31.1	17.238	0.233	69.2	85 97	12 2137
3936	7.3	9 57 26.69	+3.2199	−0.0100	+12 13 54.8	−17.255	−0.232	69.2	85 97	12 2138
3937	8.1	57 41.78	3.2443	0.0111	14 11 59.8	17.266	0.233	69.6	90 161	14 2196
3938	8.9	58 3.87	3.2120	0.0096	11 38 29.4	17.282	0.230	68.7	23 95	11 2161
3939	8.7	58 11.21	3.2343	0.0107	13 27 11.3	17.288	0.232	69.2	87 94	13 2199
3940	8.7	58 13.47	3.2067	0.0094	11 13 36.1	17.289	0.229	68.7	23 95	11 2162
3941	9.0	9 58 46.16	+3.2298	−0.0105	+13 8 45.5	−17.313	−0.230	69.2	87 94	13 2202
3942	8.9	58 55.56	3.2349	0.0107	13 34 6.0	17.320	0.230	79.6	87 94 752 760	13 2203
3943	8.6	58 56.82	3.2094	0.0095	11 30 19.4	17.321	0.228	78.0	23 95 714 715	11 2163
3944	9.2	58 57.70	3.2097	0.0095	11 31 47.7	17.322	0.230	91.3	715 R	— —
3945	7.2	59 54.17	3.2315	0.0106	13 23 25.9	17.363	0.228	69.2	87 94	13 2206
3946	8.4	10 0 3.57	+3.2117	−0.0097	+11 47 8.9	−17.370	−0.227	78.0	23 95 714 715	11 2166
3947	8.8	0 17.43	3.2481	0.0114	14 45 59.8*	17.380	0.229	79.9	90 161 752 760	14 2202
3948	8.9	0 38.87	3.2447	0.0112	14 32 11.2	17.396	0.228	79.6	87 94 752 760	14 2203
3949	8.9	0 48.29	3.2083	0.0095	11 34 25.6	17.403	0.225	68.7	23 95	11 2170
3950	8.5[5]	0 53.35	3.2333	0.0107	13 38 1.9	17.406	0.227	69.2	87 94	13 2208

[1] 5.5 4.5; BD 5.5 [2] BD 7.3; Schätz. 8.0 8.0 [3] BD 7.2 [4] 6.8 7.8 [5] BD 8.0

Nr.	Gr.	A.R. 1875	Praec.	Var. saec.	Decl. 1875	Praec.	Var. saec.	Ep.	Zonen	B. D.
3951	9.2	10h 1m 10s.23*	+3s.2064	−0s.0095	+11°26′41″.6	−17″.418	−0″.224	78.0 77.0	5 Beob.	11°2173
3952	6.0[1]	1 16.09	3.1962	0.0090	10 36 33.3	17.423	0.223	90.1	762 764	10 2112
3953	8.4	1 33.34	3.2200	0.0101	12 36 23.1	17.435	0.225	69.2	91 99	12 2147
3954	**1.3**	**1 42.80**	**3.2194**	**0.0101**	**12 34 38.1**	**17.442**	**0.224**		**Fund. Cat.**	**12 2149**
3955	8.8	1 53.12	3.2333	0.0108	13 44 13.9	17.449	0.225	69.3	101 103	13 2212
3956	9.1	10 2 38.91	+3.2031	−0.0093	+11 17 43.0	−17.482	−0.221	75.8	5 Beob.	11 2179
3957	7.4	2 53.78	3.1899	0.0087	10 12 17.7	17.493	0.220	68.2	6 13	10 2116
3958	8.9	3 46.78	3.2139	0.0099	12 18 39.2	17.530	0.220	68.2	9 15 19	12 2159
3959	8.3	3 48.08	3.2125	0.0098	12 11 38.8	17.531	0.220	69.2	91 99	12 2160
3960	8.5	4 0.16	3.2152	0.0100	12 26 21.6	17.540	0.220	68.2	9 15 19	12 2161
3961	8.2	10 4 54.10	+3.2167	−0.0101	+12 39 5.5	−17.578	−0.218	68.2	9 15 19	12 2162
3962	7.1	4 54.87	3.2323	0.0108	13 58 17.1	17.579	0.219	69.3	101 103	14 2217
3963	9.0	5 4.70	3.2327	0.0109	14 0 57.1	17.585	0.219	69.3	101 103	14 2218
3964	9.0	5 9.22	3.2407	0.0113	14 41 53.9	17.589	0.220	69.3	101 103	14 2219
3965	8.9	5 55.42	3.1953	0.0091	10 54 51.2	17.620	0.215	79.2	6 13 762 764	11 2186
3966	9.2	10 6 31.52	+3.2120	−0.0099	+12 24 25.0*	−17.646	−0.215	90.1	762 764	12 2166
3967	8.7[2]	6 42.95	3.2159	0.0101	12 45 48.4	17.654	0.215	69.2	91 99	12 2167
3968	9.0	6 55.69	3.1854	0.0086	10 8 11.3	17.663	0.212	80.8	6 Beob.	10 2124
3969	8.4	7 11.09	3.2003	0.0093	11 27 36.2	17.673	0.213	68.2	9 15 19	11 2190
3970	8.8	7 13.46	3.2355	0.0111	14 29 25.7	17.675	0.215	69.3	101 103	14 2221
3971	8.4	10 7 18.39	+3.2099	−0.0098	+12 18 25.6	−17.678	−0.213	69.2	91 99	12 2171
3972	8.9	7 30.30	3.2102	0.0098	12 20 53.7	17.686	0.213	69.2	91 99	12 2172
3973	8.8	7 33.60	3.1961	0.0091	11 7 34.2	17.689	0.212	68.2	9 15 19	11 2192
3974	8.8	8 29.63	3.2108	0.0099	12 30 3.7	17.727	0.211	68.2	9 15 19	12 2176
3975	8.0	8 29.81	3.2085	0.0098	12 17 39.0	17.727	0.211	69.2	91 99	12 2177
3976	8.5[3]	10 9 7.10	+3.2283	−0.0108	+14 5 20.4	−17.753	−0.211	69.3	101 103	14 2225
3977	9.0	9 7.52	3.2140	0.0101	12 50 44.7	17.753	0.210	69.2	91 99	12 2179
3978	9.2	9 30.27	3.2073	0.0098	12 17 24.0	17.768	0.209	68.2	9 15 19	12 2181
3979	6.4[4]	9 58.07	3.2302	0.0110	14 21 2.9	17.787	0.210	69.3	101 103	14 2228
3980	8.3	10 15.08	3.2205	0.0105	13 32 10.6	17.798	0.209	69.2	91 99	13 2230
*3981	8.4	10 10 25.07	+3.1889	−0.0089	+10 44 13.7	−17.805	−0.206	68.2	6 13	10 2132
3982	8.8	10 46.23	3.2129	0.0101	12 54 53.2	17.819	0.207	69.2	91 99	13 2232
3983	8.4	11 3.65	3.2218	0.0106	13 44 1.3	17.831	0.207	69.3	101 103	13 2233
3984	8.8	11 4.97	3.2193	0.0104	13 31 13.3	17.832	0.207	69.2	91 99	13 2234
3985	8.4	11 6.83	3.2012	0.0095	11 54 30.2	17.833	0.206	68.2	9 15 19	12 2185
3986	7.6	10 11 42.66	+3.2155	−0.0103	+13 14 47.6	−17.857	−0.206	69.2	91 99	13 2237
3987	8.9	11 42.95	3.2171	0.0104	13 23 15.8	17.857	0.206	90.1	762 764	13 2236
3988	8.4	11 43.32	3.2302	0.0111	14 33 28.4	17.858	0.207	79.7	101 103 762 764	14 2230
3989	8.6	11 44.11	3.1956	0.0092	11 27 42.8	17.858	0.204	68.2	9 15 19	11 2203
3990	8.7	11 55.11	3.2171	0.0104	13 25 7.2	17.865	0.206	69.3	101 103	13 2238
3991	9.0	10 12 3.39	+3.1875	−0.0088	+10 45 18.6	−17.871	−0.203	90.1	762 764	10 2135
3992	8.8	12 17.70	3.2111	0.0101	12 55 9.4	17.880	0.204	69.2	91 99	13 2239
3993	8.7	12 38.76	3.2073	0.0099	12 36 34.4	17.894	0.203	68.2	9 15 19	12 2190
3994	8.0	12 50.50	3.1844	0.0087	10 32 47.6	17.902	0.202	68.2	6 13	10 2139
3995	8.4[5]	12 57.62	3.1775	0.0084	9 54 53.6	17.906	0.201	77.2	6 13 632 633	10 2140
3996[6]	8.9	10 13 9.88	+3.2311	−0.0112	+14 48 45.6	−17.915	−0.204	69.3	101 103	14 2232
3997	8.9	13 11.39	3.2229	0.0107	14 4 41.8	17.915	0.204	69.3	101 103	14 2233
3998	8.6	13 19.93	3.1972	0.0094	11 45 42.9	17.921	0.202	68.2	9 15 19	11 2206
3999	8.6	13 39.88	3.1939	0.0092	11 29 44.5	17.934	0.201	68.2	9 19	11 2207
4000	8.2	13 47.39	3.1990	0.0095	11 58 47.1	17.939	0.201	69.2	91 99	12 2193

[1] BD 5.0 [2] BD 9.2 [3] BD 9.0; Schätz. 8.6 8.5 [4] Röthlich; BD 5.7 [5] 8.4 7.8 8.9 8.5
[6] 9m.5 praec. 0s.2 50″A.; 9m.5 praec. 7s.5 15″B.

Nr.	Gr.	A.R. 1875	Praec.	Var. saec.	Decl. 1875	Praec.	Var. saec.	Ep.	Zonen	B. D.
4001	8.8	10h 14m 50s.74	+3s.1949	−0s.0093	+11° 42′ 24″.5	−17″.980	−0″.199	68.2	9 19	11° 2210
4002	9.0	14 56.14	3.2024	0.0097	12 24 20.4	17.984	0.199	69.2	91 99	12 2195
4003	8.1	15 15.58	3.1904	0.0091	11 19 47.0	17.996	0.198	68.2	9 19	11 2212
4004	8.9	15 23.32	3.2089	0.0101	13 3 30.0	18.001	0.199	69.2	·91 99	13 2244
4005	8.1	15 30.50	3.1968	0.0094	11 57 4.2	18.006	0.198	68.2	9 19	12 2200
4006	8.7	10 15 49.34	+3.1802	−0.0086	+10 25 22.6	−18.018	−0.196	68.2	6 13	10 2144
4007	9.0	15 58.73	3.1981	0.0095	12 6 55.2	18.024	0.197	68.2	9 19	12 2203
4008	8.8	16 33.07	3.2272	0.0111	14 52 37.0	18.046	0.198	79.7	101 103 762 764	14 2236
4009	8.5	16 43.67	3.2232	0.0109	14 32 11.7	18.052	0.197	69.3	101 103	14 2237
4010	7.0	17 42.32	3.1867	0.0089	11 13 11.7	18.090	0.193	68.2	6 13	11 2217
4011	8.9	10 18 5.09	+3.1944	−0.0094	+11 59 20.7	−18.104	−0.193	68.2	9 19	12 2208
4012	8.6	18 5.75	3.2180	0.0107	14 13 22.9	18.104	0.194	69.3	101 103	14 2240
4013	8.0	18 18.90	3.2086	0.0102	13 21 47.2	18.113	0.193	69.2	91 99	13 2252
4014	8.3	18 19.80	3.1920	0.0093	11 47 26.4	18.113	0.192	68.2	9 19	11 2219
4015	8.6	18 20.27	3.1890	0.0091	11 30 14.1	18.113	0.192	68.2	9 19	11 2220
4016	8.4	10 18 25.45	+3.1797	−0.0086	+10 36 58.1	−18.117	−0.191	68.2	6 13	10 2147
4017	8.7	18 40.86	3.1832	0.0088	10 58 45.6	18.126	0.191	68.2	6 13	11 2221
4018	8.0	18 48.48	3.1915	0.0092	11 47 23.1	18.131	0.191	68.2	9 19	11 2222
4019	9.1	18 56.53	3.2104	0.0103	13 36 50.4	18.136	0.192	90.1	762 764	13 2253
4020	8.4	19 25.08	3.2116	0.0104	13 47 18.7	18.154	0.191	69.2	91 99	13 2254
4021	7.6	10 19 48.93	+3.1837	−0.0088	+11 8 21.3	−18.168	−0.189	68.2	6 13	11 2225
4022	8.6	19 50.56*	3.2226	0.0110	14 53 6.7	18.170	0.191	79.7	101 103 762 764	14 2243
4023	8.1	20 0.09	3.2040	0.0100	13 7 23.9	18.175	0.190	69.2	91 99	13 2256
4024	7.9	20 4.47	3.2158	0.0107	14 15 42.9	18.178	0.190	69.3	101 103	14 2244
4025	8.6	20 28.90	3.1824	0.0088	11 4 54.6	18.193	0.187	68.2	6 13	11 2228
4026	6.9	10 20 34.43	+3.1912	−0.0093	+11 57 7.5	−18.196	−0.188	69.2	91 99	12 2211
4027	8.1	20 37.25	3.2028	0.0099	13 4 51.6	18.198	0.188	90.1	762 764	13 2258
4028	6.4[1]	21 2.82	3.1749	0.0084	10 23 56.0	18.214	0.186	68.2	6 13	10 2152
4029	8.8	21 6.31	3.1760	0.0085	10 30 55.6	18.216	0.186	90.1	762 764	10 2153
4030	8.9	21 9.73	3.2210	0.0110	14 54 25.7	18.218	0.189	79.7	101 103 762 764	15 2203
4031	8.9	10 21 17.37	+3.1982	−0.0097	+12 43 7.0	−18.223	−0.187	76.2	91 99 762	12 2213
4032	9.0[2]	21 41.90	3.1699	0.0081	9 57 30.4	18.238	0.184	86.3	632 633	[10 2154]
4033	8.8	21 50.23	3.2086	0.0103	13 47 35.5	18.243	0.187	69.2	91 99	13 2261
4034	8.0	21 50.62	3.1915	0.0093	12 7 38.3	18.243	0.185	68.2	9 19	12 2215
4035	7.6	22 2.62	3.2097	0.0104	13 55 35.3	18.250	0.186	69.3	101 103	14 2251
4036	7.7[3]	10 22 7.56	+3.2204	−0.0110	+14 58 53.4	−18.253	−0.187	69.3	101 103	15 2206
4037	8.5	22 20.12	3.1717	0.0083	10 12 14.6	18.261	0.183	76.2	6 13 445 458	10 2157
*4038	8.9	22 34.22	3.2076	0.0103	13 47 21.3	18.269	0.185	69.3	101 103	13 2265
4039	7.6	22 35.04	3.1774	0.0086	10 47 40.7	18.270	0.183	68.2	6 13	10 2160
4040	8.9	22 43.37	3.1809	0.0088	11 9 54.4	18.275	0.183	68.2	9 19	11 2235
4041	7.7	10 22 47.39	+3.1975	−0.0097	+12 49 32.5	−18.277	−0.184	69.3	99 101 103	12 2217
4042	8.8	23 6.88	3.2170	0.0109	14 47 1.4	18.289	0.185	83.2	101 762 764	14 2252
4043[4]	8.6	23 47.87	3.1907	0.0094	12 16 13.2	18.313	0.182	69.2	91 99	12 2219
4044	9.1	24 14.32	3.1865	0.0091	11 53 53.2*	18.329	0.181	79.2	9 19 762 764	11 2238
4045	8.3	24 45.97	3.1741	0.0084	10 41 30.0	18.348	0.179	68.2	6 13	10 2162
4046	8.4	10 24 55.39	+3.1849	−0.0091	+11 48 34.8	−18.353	−0.179	68.2	9 19	11 2239
4047	6.3[5]	25 31.35	3.2135	0.0108	14 46 40.3	18.374	0.180	69.3	101 103	14 2255
4048	8.3[6]	25 33.53*	3.1673	0.0081	10 3 52.6	18.376	0.177	80.8	6 Beob.	10 2165
4049	7.9	25 38.44	3.2013	0.0101	13 33 39.6	18.378	0.179	69.2	91 99	13 2271
4050	8.7	25 55.01	3.1991	0.0100	13 22 22.1	18.388	0.178	69.2	91 99	13 2272

[1] BD 7.0 [2] BD 9.5; Schätz. 9.0 9.0 [3] BD 7.2 [4] 9m.2 praec. 1s.5 50″A. [5] Röthlich
[6] 8.2 8.3 7.8 8.5 8.2 8.8

Nr.	Gr.	A.R. 1875	Praec.	Var. saec.	Decl. 1875	Praec.	Var. saec.	Ep.	Zonen	B. D.
4051	4.0	10h 26m 13s.70	+3s.1655	−0s.0080	+ 9° 56′ 56″.9	−18″.399	−0″.176		Fund. Cat.	10° 2166
4052	8.8	26 13.79	3.1750	0.0085	10 56 2.9	18.399	0.176	68.2	9 19	11 2243
4053	8.7	26 37.08	3.2092	0.0106	14 29 45.4	18.412	0.178	69.3	101 103	14 2257
4054	8.7	26 46.48	3.1718	0.0084	10 39 20.4	18.418	0.175	68.2	6 13	10 2167
*4055	7.7	27 29.05	3.1937	0.0097	13 1 6.5	18.442	0.175	69.2	91 99	13 2274
4056	8.9	10 27 44.69	+3.1915	−0.0096	+12 49 29.8	−18.451	−0.175	68.2	9 19	12 2227
4057	8.6	28 14.99	3.1902	0.0095	12 45 28.3	18.468	0.173	68.2	9 19	12 2229
4058	8.7	28 17.25	3.2046	0.0104	14 15 33.9	18.470	0.174	69.3	101 103	14 2261
4059	9.3	29 8.38	3.2037	0.0104	14 17 24.9	18.499	0.173	90.1	762 764	14 2265
4060	9.2	29 10.83	3.1820	0.0091	12 0 41.1	18.500	0.171	68.2	9 19	12 2231
4061	9.2	10 29 21.72	+3.1810	−0.0090	+11 55 28.7	−18.506	−0.171	79.2	9 19 762 764	12 2232
4062	9.1	29 28.28	3.1842	0.0092	12 16 30.4	18.510	0.171	79.7	91 99 762 764	12 2234
4063	7.6	29 29.65	3.1840	0.0092	12 15 36.8	18.511	0.171	69.2	91 99	12 2235
4064	7.7	29 34.25	3.2048	0.0105	14 27 33.0	18.513	0.172	69.3	101 103	14 2266
4065	8.4	29 36.52	3.1652	0.0080	10 15 17.3	18.515	0.169	68.2	6 13	10 2173
4066	8.6	10 30 5.29	+3.1778	−0.0088	+11 40 19.8	−18.531	−0.169	68.2	9 19	11 2252
4067	8.1	30 6.03	3.2063	0.0106	14 41 38.4	18.531	0.171	69.3	101 103	14 2269
4068	7.8[1]	30 23.32	3.1947	0.0099	13 30 50.8	18.541	0.170	69.2	91 99	13 2280
4069	8.5	30 38.03	3.1621	0.0079	10 1 23.3	18.549	0.167	76.2	6 13 445 458	10 2176
4070	9.3	30 46.61	3.1750	0.0087	11 27 9.5	18.554	0.168	82.8	19 762 764	11 2254
4071	8.7	10 30 56.44	+3.1892	−0.0096	+13 0 7.5	−18.559	−0.168	69.2	91 99	13 2281
4072	8.9	31 26.38	3.2051	0.0106	14 46 14.3	18.575	0.168	69.3	101 103	14 2273
4073	8.8	31 40.98	3.2061	0.0107	14 54 57.1	18.584	0.168	76.2	101 103 762	15 2230
4074	8.3	31 46.62	3.2030	0.0105	14 36 0.1	18.587	0.167	69.3	101 103	14 2275
4075	8.3	32 3.99	3.2033	0.0105	14 40 8.5	18.596	0.167	69.3	101 103	14 2277
4076	9.0	10 32 7.39	+3.1917	−0.0098	+13 26 8.6	−18.598	−0.166	76.2	91 99 762	13 2283
4077	8.3	32 10.28	3.1914	0.0098	13 24 44.0	18.600	0.166	69.2	91 99	13 2284
4078	8.8	32 20.36	3.1666	0.0082	10 42 46.9	18.605	0.164	68.2	6 13	10 2179
4079	8.9	32 48.96	3.1865	0.0095	12 57 37.6	18.621	0.165	69.2	91 99	13 2287
4080	9.0	33 17.05*	3.1681	0.0083	10 59 10.9*	18.636	0.163	75.5	6 13 764	11 2260
4081	8.7	10 33 36.60*	+3.1632	−0.0080	+10 28 27.9	−18.646	−0.162	79.2	6 13 762 764	10 2181
4082	9.3	33 54.66	3.1965	0.0102	14 13 6.6	18.656	0.163	90.1	762 764	14 2280
4083	8.3	34 0.41	3.1829	0.0093	12 43 46.1	18.659	0.162	69.2	91 99	12 2242
4084	8.0	34 58.26	3.1988	0.0104	14 37 50.4	18.690	0.161	69.3	101 103	14 2281
4085	8.7	35 4.20	3.1888	0.0097	13 32 13.2	18.693	0.161	79.7	91 99 762 764	13 2290
4086	8.0	10 35 5.91	+3.1698	−0.0085	+11 23 31.0	−18.694	−0.159	68.2	9 19	11 2268
4087	8.9	35 12.33	3.1981	0.0104	14 35 33.3	18.697	0.161	69.3	101 103	14 2283
4088	8.7	35 18.49	3.1963	0.0103	14 24 31.6	18.700	0.160	69.3	101 103	14 2284
4089	8.7	35 27.11	3.1936	0.0101	14 7 28.4	18.705	0.160	79.7	101 103 762 764	14 2285
4090	8.5	35 38.58	3.1839	0.0094	13 4 18.0	18.711	0.159	69.2	91 99	13 2292
4091	7.6	10 35 42.04	+3.1658	−0.0082	+11 0 33.0	−18.713	−0.158	68.3	6 13	11 2269
4092	8.6	35 58.26	3.1626	0.0081	10 40 43.6	18.721	0.157	68.2	6 13	10 2188
4093	9.7	36 14.74*	3.1558	0.0076	9 55 2.3	18.730	0.157	85.6	458 632 633	[10 2189]
4094	8.8	36 30.22	3.1835	0.0095	13 8 51.5	18.738	0.157	69.2	91 99	13 2294
4095	9.0	36 45.31	3.1625	0.0081	10 45 57.5	18.746	0.156	79.2	6 13 762 764	10 2190
*4096	neb.	10 37 21.47	+3.1756	−0.0090	+12 21 29.2	−18.764	−0.155	95.4	R (2)	12 2249
4097	9.1	37 29.56	3.1711	0.0087	11 51 23.0	18.769	0.155	68.2	9 19	11 2272
4098	8.8	37 41.32	3.1864	0.0097	13 39 11.8	18.775	0.155	69.3	101 103	13 2295
4099	9.1	37 46.03	3.1719	0.0087	11 59 26.2	18.777	0.154	68.2	9 19	12 2250
4100	7.7	37 51.01	3.1637	0.0082	11 1 52.8	18.780	0.154	68.2	6 13	11 2273

[1] BD 7.3; Schätz. 7.8 7.8

Nr.	Gr.	A.R. 1875	Praec.	Var. saec.	Decl. 1875	Praec.	Var. saec.	Ep.	Zonen	B.D.
4101	9.0	10h 38m 28s.21	+3s.1559	−0s.0077	+10° 11′ 6″.2	−18″.799	−0″.152	79.2	6 13 762 764	10° 2197
4102	8.9	39 0.09	3.1859	0.0098	13 48 8.7	18.815	0.153	69.2	91 99	13 2298
4103	8.6	39 8.96	3.1593	0.0079	10 40 45.6	18.819	0.151	68.2	6 13	10 2199
4104	6.5	39 42.30	3.1816	0.0095	13 24 21.0	18.836	0.151	69.2	91 99	13 2302
4105	8.8	39 42.61	3.1546	0.0076	10 10 32.1	18.836	0.150	68.2	6 13	10 2200
4106	6.1	10 39 48.06	+3.1938	−0.0104	+14 51 15.0	−18.839	−0.152	69.3	101 103	14 2294
4107[1]	8.9	39 57.21	3.1884	0.0100	14 14 36.1	18.843	0.151	69.3	101 103	14 2295
4108	8.4	40 1.68	3.1681	0.0086	11 50 46.9	18.846	0.150	68.2	9 19	11 2277
*4109	neb.	40 9.79	3.1732	0.0089	12 28 39.6	18.850	0.150	95.4	R(2)	12 2253
*4110	8.4	40 23.25	3.1831	0.0096	13 41 23.1	18.856	0.150	69.2	91 99	13 2304
4111	9.2	10 40 30.79	+3.1931	−0.0104	+14 53 28.6	−18.860	−0.150	69.3	101 103	15 2246
4112	8.7	40 31.22	3.1882	0.0100	14 19 19.7	18.860	0.150	79.7	101 103 762 764	14 2297
4113	8.7	40 41.04	3.1515	0.0074	9 54 30.5	18.865	0.148	76.2	6 13 464 465	10 2204
4114	8.6	40 47.45	3.1855	0.0098	14 2 14.1	18.868	0.149	83.2	103 762 764	14 2298
4115	8.0	41 12.45	3.1607	0.0081	11 6 5.5	18.881	0.147	68.2	9 19	11 2280
4116	8.5	10 41 25.78	+3.1916	−0.0103	+14 52 14.3	−18.887	−0.148	69.3	101 103	14 2299
*4117	9.0	41 30.57	3.1831	0.0097	13 52 4.3	18.890	0.148	79.7	91 99 762 764	13 2306
4118	9.0	41 36.13	3.1721	0.0089	12 33 3.6	18.892	0.147	69.2	91 99	12 2257
4119	9.5	41 57.75	3.1556	0.0078	10 34 51.0	18.903	0.146	90.2	762 766	10 2205
4120	9.1	42 29.18	3.1592	0.0080	11 5 5.9	18.918	0.145	79.2	9 19 762 766	11 2282
4121	7.9	10 42 29.70	+3.1570	−0.0079	+10 49 4.6	−18.918	−0.145	68.2	6 13	10 2208
4122	8.5[2]	42 30.89	3.1539	0.0077	10 25 50.1	18.919	0.144	68.2	6 13	10 2207
4123	**5.1**	**42 41.16**	**3.1599**	**0.0081**	**11 12 21.7**	**18.924**	**0.144**		**Fund. Cat.**	**11 2283**
4124	8.7	42 44.55	3.1784	0.0094	13 30 11.5	18.926	0.145	69.2	91 99	13 2310
4125	9.1	42 57.54	3.1893	0.0102	14 51 42.5	18.932	0.145	69.3	101 103	14 2301
*4126	8.7	10 42 59.86	+3.1788	−0.0095	+13 35 29.3	−18.933	−0.145	79.7 83.2	91 99a 762 764	13 2311
*4127	8.8	43 1.01	3.1788	0.0095	13 35 27.3	18.933	0.145	84.9 92.8	99a 764 R	
4128	8.4	43 18.92	3.1894	0.0103	14 56 34.8	18.942	0.145	79.7	101 103 766 767	15 2251
4129	8.6	43 24.43	3.1534	0.0077	10 29 5.3*	18.945	0.143	79.2	6 13 762 766	10 2210
4130	8.7	43 32.74*	3.1771	0.0094	13 28 13.2	18.949	0.144	74.5	99 101 103 764	13 2312
4131	8.6	10 43 56.87	+3.1568	−0.0079	+10 59 30.8	−18.960	−0.142	68.2	9 19	11 2288
4132	8.8	43 59.05	3.1704	0.0089	12 42 11.7	18.961	0.142	83.2	99 766 767	12 2264
4133	8.7	44 9.02	3.1650	0.0085	12 3 27.8	18.966	0.142	68.2	9 19	12 2265
4134	8.2	44 9.70	3.1720	0.0090	12 55 46.5	18.966	0.142	69.2	91 101 103	13 2315
4135	7.1	44 34.24	3.1660	0.0086	12 14 29.9	18.978	0.141	68.2	9 19	12 2266
4136	8.2	10 44 41.29	+3.1475	−0.0073	+ 9 53 36.6*	−18.981	−0.140	79.6	5 Beob.	10 2212
4137	8.4	44 55.00	3.1821	0.0098	14 19 44.6	18.987	0.141	79.7	101 103 762 764	14 2305
4138	9.1	45 0.32	3.1570	0.0080	11 9 35.5	18.990	0.140	90.2	766 767	11 2290
4139	8.2	45 8.37	3.1810	0.0098	14 13 43.4	18.994	0.141	69.3	101 103	14 2307
4140	9.0	45 12.20	3.1643	0.0085	12 7 38.8	18.996	0.140	68.2	9 19	12 2268
4141	8.5	10 45 24.69	+3.1633	−0.0085	+12 1 13.7	−19.001	−0.139	68.2	9 19	12 2269
4142	9.0	45 31.02	3.1827	0.0099	14 30 21.1	19.004	0.140	69.3	101 103	14 2308
4143	8.5	45 37.80	3.1766	0.0095	13 45 42.5	19.008	0.140	69.2	91 99	13 2318
4144	8.5	46 16.53	3.1617	0.0084	11 57 4.9	19.025	0.138	68.2	9 19	12 2270
4145	7.9	46 46.84	3.1752	0.0094	13 47 0.2	19.039	0.137	69.2	91 99	13 2320
4146	8.5	10 46 46.98	+3.1723	−0.0092	+13 24 37.9	−19.040	−0.137	69.2	91 99	13 2319
4147	8.8	46 52.91	3.1631	0.0085	12 13 17.6	19.042	0.137	68.2	9 19	12 2271
4148	8.9	47 6.74*	3.1609	0.0084	11 58 33.7*	19.049	0.136	79.2	9 19 762 764	12 2272
4149	7.7	47 42.48	3.1683	0.0090	13 2 10.5	19.065	0.135	69.2	91 99	13 2322
4150	9.0	49 3.73	3.1680	0.0090	13 13 33.0	19.101	0.133	90.1	762 764	13 2326

[1] 9m.3 praec. 3s.0 2″A. [2] BD 9.0

Nr.	Gr.	A.R. 1875	Praec.	Var. saec.	Decl. 1875	Praec.	Var. saec.	Ep.	Zonen	B.D.
4151	8.6	$10^h 49^m 17^s.79$	$+3^s.1496$	$-0^s.0076$	+10° 47′ 22″.3	−19″.107	−0″.131	68.2	6 13	10° 2223
4152	8.1	50 9.20	3.1739	0.0096	14 13 30.0	19.130	0.131	69.3	101 103	14 2319
4153	8.8	50 19.00	3.1618	0.0086	12 37 1.6	19.134	0.130	68.2	9 19	12 2275
4154	9.0	50 36.09	3.1768	0.0098	14 41 58.5	19.142	0.130	90.2	762 767	14 2321
4155	9.4	50 42.39	3.1748	0.0097	14 26 37.5	19.145	0.130	69.3	101 103	[14 2322]
4156	9.4	10 51 1.00	+3.1453	−0.0073	+10 26 26.1	−19.153	−0.128	90.2	766 767	10 2224
4157	9.0	51 2.15*	3.1450	0.0073	10 24 43.8	19.153	0.128	81.4	5 Beob.	10 2225
4158	8.6	51 9.14	3.1664	0.0090	13 22 59.0	19.156	0.128	69.2	91 99	13 2328
4159	9.0	51 12.76	3.1514	0.0078	11 19 19.8	19.158	0.128	68.2	9 19	11 2297
4160	9.0	51 19.13	3.1707	0.0094	14 0 5.6	19.160	0.128	69.3	101 103	14 2323
4161	8.5[1]	10 51 23.57	+3.1442	−0.0072	+10 20 22.1	−19.162	−0.127	68.2	6 13	10 2226
4162	7.4	51 40.07	3.1441	0.0072	10 22 8.1	19.169	0.127	68.2	6 13	10 2227
*4163	8.5	51 43.54	3.1697	0.0093	13 56 48.0	19.171	0.128	69.3	101 103	14 2324
4164	9.7	52 13.45*	3.1404	0.0070	9 55 4.1*	19.184	0.125	86.9	445 458 832	[10 2228]
4165	8.6	52 52.20	3.1583	0.0085	12 33 55.1	19.200	0.125	69.2	91 99	12 2281
4166	8.5[1]	10 52 54.16	+3.1564	−0.0083	+12 18 11.0	−19.201	−0.125	68.2	9 19	12 2282
4167	7.4	53 1.12	3.1443	0.0073	10 36 0.8	19.204	0.124	68.2	6 13	10 2230
4168	6.8	53 9.40	3.1566	0.0083	12 22 24.2	19.207	0.124	68.2	9 19	12 2284
4169	9.1	53 39.70	3.1608	0.0087	13 3 30.6	19.220	0.123	90.2	762 766	13 2337
4170	8.2	54 14.38	3.1571	0.0084	12 38 31.1	19.234	0.122	68.2	9 19	12 2288
4171	8.9	10 54 29.82	+3.1712	−0.0097	+14 42 22.7	−19.241	−0.122	69.3	101 103	14 2330
4172	8.3[2]	54 30.53	3.1573	0.0085	12 43 13.6	19.241	0.122	68.2	9 19	12 2289
4173	9.0	54 51.71	3.1534	0.0082	12 12 38.4	19.256	0.121	68.2	9 19	12 2290
4174	8.7	55 19.47	3.1603	0.0088	13 18 52.1	19.261	0.120	69.2	91 99	13 2340
4175	9.0	55 31.67	3.1673	0.0094	14 21 50.0	19.266	0.120	69.3	101 103	14 2331
4176	8.8	10 55 35.63	+3.1665	−0.0094	+14 15 55.5	−19.268	−0.120	69.3	101 103	14 2332
*4177	9.0	55 39.29	3.1413	0.0072	10 34 5.4	19.269	0.119	68.2	6 13	10 2234
4178	8.9	55 45.53	3.1429	0.0073	10 48 53.8	19.271	0.119	82.8	13 762 766	10 2236
4179	8.5	56 44.96	3.1620	0.0090	13 50 16.2	19.295	0.117	69.2	91 99	13 2345
4180	8.8	57 7.76	3.1503	0.0080	12 9 28.5	19.304	0.116	68.2	9 19	12 2294
4181	8.2	10 57 25.41	+3.1399	−0.0071	+10 37 21.4	−19.311	−0.115	68.2	6 13	10 2240
4182	8.8	57 35.24	3.1646	0.0093	14 24 21.0	19.315	0.116	69.3	101 103	14 2338
4183	8.6[3]	57 39.17	3.1680	0.0097	14 55 19.8	19.317	0.116	69.3	101 103	15 2282
4184	7.1[4]	57 59.44	3.1570	0.0087	13 20 25.3	19.325	0.115	90.2	762 764 766	13 2348
4185	8.8	58 42.63	3.1360	0.0069	10 14 16.9	19.341	0.113	68.2	6 13	10 2243
4186	8.5	10 59 7.79	+3.1517	−0.0083	+12 45 50.3	−19.351	−0.112	68.2	9 19	12 2300
4187	7.2[5]	59 16.64	3.1546	0.0086	13 14 32.0	19.354	0.112	69.2	91 99	13 2350
4188	8.6	59 21.39	3.1535	0.0085	13 4 53.9	19.356	0.112	90.2	762 766	13 2351
4189	8.7	59 34.72	3.1557	0.0087	13 28 42.8	19.361	0.112	69.2	91 99	13 2352
4190	9.3	59 41.72	3.1595	0.0091	14 5 39.8	19.364	0.112	81.3	103 R	[14 2340]
4191[6]	8.7	10 59 42.34	+3.1397	−0.0072	+10 58 56.1	−19.364	−0.111	68.2	9 19	11 2308
4192	8.8	59 48.33	3.1338	0.0067	10 3 46.5	19.367	0.110	76.2	6 13 445 458	10 2244
*4193[7]	8.8	59 55.08*	3.1648	0.0095	14 56 52.2*	19.369	0.111	79.7	101 103 762 766	15 2288
4194	8.0	59 58.56	3.1546	0.0086	13 22 42.8	19.370	0.111	69.3	101 103	13 2354
4195	8.4	11 0 6.29	3.1371	0.0070	10 38 4.7	19.373	0.110	68.2	6 13	10 2245
4196	8.7	11 0 17.04	+3.1619	−0.0093	+14 35 58.6	−19.377	−0.111	90.2	762 766	14 2341
4197	9.4	0 31.10	3.1619	0.0093	14 38 19.8	19.383	0.110	81.3	101 R	[14 2342]
4198	9.0	0 34.12	3.1566	0.0088	13 49 56.5	19.384	0.110	69.2	91 99	13 2356
4199	8.5	0 35.07	3.1345	0.0068	10 17 52.5	19.384	0.109	68.2	6 13	10 2248
*4200	...[8]	0 38.73	3.1424	0.0075	11 35 14.5	19.385	0.109	68.2	9 19	11 2311

[1] BD 9.0 [2] BD 7.8; Schätz. 8.5 8.2 [3] BD 8.1; Schätz. 8.7 8.5 [4] 7.5 [8.0] 6.7; BD 6.5
[5] BD 7.8 [6] $9^m.5$ praec. 7^s 3′ B. [7] $10^m.0$ seq. 4^s 2′.2 A. [8] Dpl. 8.8 8.9; med.

Nr.	Gr.	A.R. 1875	Praec.	Var. saec.	Decl. 1875	Praec.	Var. saec.	Ep.	Zonen	B.D.
4201	7.8[1]	11h 0m 41s.55	+3s.1380	−0s.0071	+10° 53′ 16″.8	−19″.387	−0″.109	68.7	13 24 165	10° 2250
4202	9.0	0 51.92*	3.1378	0.0071	10 52 16.2	19.390	0.108	79.2	13 24 762 766	10 2251
4203	7.4	0 52.70	3.1553	0.0088	13 41 21.4	19.391	0.109	69.2	91 99	13 2358
4204	7.9[2]	1 4.71	3.1604	0.0092	14 31 52.8	19.395	0.109	90.2	766 767	14 2345
4205	8.2[3]	1 5.17	3.1581	0.0090	14 10 37.0	19.395	0.109	69.8	111 168	14 2344
4206	8.8	11 1 17.23*	+3.1375	−0.0071	+10 53 44.0	−19.400	−0.108	74.5	6 98 167 767	11 2313
4207	8.9	1 27.59	3.1371	0.0071	10 52 25.6	19.404	0.107	82.8	6 766 767	10 2252
4208	9.0	2 33.31	3.1536	0.0087	13 46 53.1	19.428	0.106	83.2	109 766 767	[13 2362]
4209	8.7	2 38.93	3.1534	0.0087	13 46 21.0	19.430	0.106	80.0	109 167 766 767	13 2363
4210	8.8	2 51.05	3.1521	0.0086	13 36 41.7	19.434	0.105	69.8	109 167	13 2364
4211	8.7	11 3 8.22	+3.1538	−0.0088	+13 57 2.3	−19.440	−0.105	69.8	111 168	14 2351
4212	8.4	3 17.73	3.1349	0.0070	10 50 7.0	19.443	0.104	68.7	24 96	10 2255
4213	9.0	3 50.58*	3.1397	0.0075	11 44 44.1	19.455	0.103	69.3	98 105	11 2321
4214	8.1	3 53.47	3.1402	0.0075	11 50 39.1	19.456	0.103	69.3	98 105	11 2322
4215	8.4	4 1.69	3.1428	0.0078	12 18 24.5	19.459	0.103	70.2	165 167	12 2306
4216	7.0[4]	11 4 4.98	+3.1408	−0.0076	+11 58 47.3	−19.460	−0.102	90.2	766 767	12 2307
4217	8.7	4 7.85	3.1515	0.0087	13 47 44.5	19.461	0.103	69.8	109 167	13 2365
4218	8.9	4 13.53	3.1351	0.0071	11 2 45.9	19.463	0.102	69.3	98 105	11 2323
4219	9.0	4 16.13	3.1462	0.0081	12 56 6.6	19.464	0.102	70.2	165 167	13 2367
4220	8.8	4 16.17	3.1401	0.0075	11 53 45.9	19.464	0.102	69.7	98 165	11 2324
4221	9.0	11 4 23.70	+3.1540	−0.0089	+14 16 42.1	−19.467	−0.102	69.8	111 168	14 2355
4222	8.8	4 24.64	3.1319	0.0068	10 31 47.1	19.467	0.101	68.7	24 96	10 2257
4223	8.5	5 31.32*	3.1565	0.0093	14 59 14.5	19.490	0.100	69.8	111 168	15 2302
4224	9.0	5 33.59	3.1309	0.0067	10 33 30.3*	19.491	0.099	81.2	96 R	[10 2258]
4225	8.2	5 38.30	3.1377	0.0074	11 46 44.9	19.493	0.099	69.3	98 105	11 2328
4226	9.0	11 5 42.70	+3.1336	−0.0070	+11 4 1.8	−19.494	−0.099	69.3	98 105	11 2330
4227	8.5	5 45.01	3.1498	0.0086	13 53 58.0	19.495	0.099	69.8	109 167	13 2369
4228	8.1	6 12.36	3.1301	0.0067	10 32 41.9	19.504	0.098	82.9	24 766 767	10 2260
4229	8.9	6 34.40	3.1488	0.0086	13 55 38.4	19.512	0.098	69.8	111 168	14 2359
4230	8.7	6 45.74	3.1429	0.0080	12 55 27.5*	19.516	0.097	81.8	166 R	[13 2370]
4231	7.9	11 6 46.93	+3.1328	−0.0070	+11 7 39.8	−19.516	−0.097	69.3	98 105	11 2333
4232	9.0	6 55.19	3.1444	0.0082	13 13 42.2	19.519	0.097	69.8	109 167	13 2371
4233	9.1	7 1.43	3.1347	0.0072	11 31 41.4	19.521	0.096	69.3	98 105	11 2334
4234	8.7	7 16.68	3.1478	0.0086	13 54 43.0	19.526	0.096	83.6	168 766 767	14 2361
4235	8.8	7 41.64	3.1395	0.0077	12 32 17.8	19.534	0.095	70.2	165 166	12 2309
4236	8.6	11 8 10.16	+3.1431	−0.0082	+13 18 9.2	−19.544	−0.094	69.8	109 167	13 2373
4237	8.7	8 11.91	3.1337	0.0072	11 35 9.1	19.544	0.094	69.3	98 105	11 2337
4238	8.3	8 49.50	3.1408	0.0080	13 1 49.5	19.556	0.093	70.2	165 166	13 2376
4239	8.7	8 50.32	3.1331	0.0072	11 37 37.6	19.557	0.093	69.3	98 105	11 2339
4240	9.0	8 57.40	3.1242	0.0062	9 59 2.3	19.559	0.092	80.8	24 R	[10 2266]
4241	9.1	11 8 59.16	+3.1422	−0.0081	+13 20 20.7	−19.559	−0.093	69.8	109 167	13 2377
4242	5.4[5]	9 19.51	3.1453	0.0085	13 59 20.2	19.566	0.092	69.8	111 168	14 2367
4243	7.6[6]	9 24.48	3.1414	0.0081	13 17 42.9	19.568	0.091	70.2	165 166	13 2378
4244	7.2[7]	9 25.99	3.1426	0.0082	13 31 40.8	19.568	0.092	69.8	109 167	13 2379
4245	9.0	9 34.68	3.1233	0.0062	9 55 53.6	19.571	0.091	85.6	458 634 635	[10 2267]
4246	9.0	11 9 47.32	+3.1231	−0.0062	+ 9 56 2.9	−19.575	−0.091	76.5	24 96 445 458	10 2268
4247	8.5	10 4.84	3.1397	0.0080	13 8 26.7	19.580	0.091	69.8	109 167	13 2380
4248	8.7	10 11.11	3.1483	0.0089	14 47 21.3	19.582	0.091	69.8	111 168	14 2368
4249	8.8	10 16.14	3.1362	0.0076	12 31 29.6	19.584	0.090	70.2	165 166	12 2315
4250	8.9	10 40.67	3.1261	0.0065	10 41 18.5	19.592	0.089	68.7	24 96	10 2271

[1] BD 7.3 [2] BD 7.0; Schätz. 7.8 8.0 [3] BD 7.5; Schätz. 8.3 8.2 [4] Röthlich
[5] Grösse nach BD; Schätz. 5-6 4-5 [6] BD 7.0 [7] BD 6.7

Nr.	Gr.	A.R. 1875	Praec.	Var. saec.	Decl. 1875	Praec.	Var. saec.	Ep.	Zonen	B.D.
4251	8.8	11^h 11^m $5^s.56$	$+3^s.1380$	$-0^s.0079$	+13° 5' 6".2	−19".599	−0".088	69.8	109 167	13° 2383
4252	9.2	11 7.11	3.1345	0.0075	12 24 21.4	19.600	0.088	70.2	165 166	12 2316
4253	8.1	11 11.31	3.1379	0.0079	13 4 57.9	19.601	0.088	69.8	109 167	13 2384
4254	9.0	11 36.02	3.1334	0.0074	12 18 17.1	19.609	0.087	70.2	165 166	12 2317
4255	7.2	11 49.78	3.1349	0.0076	12 40 7.5	19.613	0.087	70.2	165 166	12 2319
4256	9.1	11 11 56.03	+3.1255	−0.0066	+10 50 26.7	−19.615	−0.086	68.7	24 96	10 2272
4257	8.3	12 5.70	3.1276	0.0068	11 16 56.9	19.618	0.086	83.2	105 766 767	11 2342
4258	8.1	12 20.97	3.1273	0.0068	11 16 48.2	19.622	0.086	69.8	98 105 165 166	11 2343
4259	9.0	12 24.09	3.1337	0.0075	12 33 51.5	19.623	0.086	90.2	766 767	12 2321
*4260	neb.	12 24.21	3.1398	0.0082	13 46 31.3	19.623	0.086	95.4	R(2)	13 2386
4261	8.7	11 12 25.28	+3.1252	−0.0066	+10 53 16.5	−19.624	−0.086	68.7	24 96	10 2273
4262	7.3[1]	12 27.01	3.1458	0.0089	14 57 26.4	19.624	0.086	69.8	111 168	15 2321
4263	7.9[2]	12 35.99	3.1411	0.0084	14 4 25.9	19.627	0.086	69.8	111 168	14 2374
4264	8.4	12 37.25	3.1228	0.0063	10 26 3.8	19.627	0.085	68.7	24 96	10 2274
4265	9.1	13 5.11	3.1239	0.0065	10 45 33.6	19.636	0.084	68.7	24 96	10 2275
*4266	8.7	11 13 5.82	+3.1232	−0.0064	+10 36 56.6	−19.636	−0.084	69.3	96 98 105	10 2276
4267	8.6	13 33.37	3.1331	0.0076	12 44 29.2	19.644	0.084	70.2	165 166	12 2325
4268	9.2	13 35.48	3.1413	0.0085	14 23 55.2	19.644	0.084	81.8	168 R	14 2377
4269	9.1	13 35.84	3.1378	0.0081	13 42 20.9	19.645	0.084	69.8	109 167	13 2389
*4270	neb.	13 43.24	3.1375	0.0081	13 40 33.9	19.647	0.083	95.4	R(2)	13 2390
4271	8.8	11 14 27.70	+3.1279	−0.0070	+11 54 11.9	−19.660	−0.082	70.2	165 166	12 2328
4272	8.7	14 34.42	3.1342	0.0078	13 14 37.6	19.662	0.082	69.8	109 167	13 2391
4273	8.9	14 42.16	3.1277	0.0070	11 55 45.6	19.664	0.081	70.2	165 166	12 2329
4274	9.1	14 44.02	3.1395	0.0085	14 22 49.6	19.664	0.081	69.8	111 168	14 2379
4275	8.9	15 49.04	3.1391	0.0086	14 37 47.2	19.683	0.079	69.8	111 168	14 2381
4276	9.1	11 16 7.38	+3.1332	−0.0079	+13 28 58.1	−19.688	−0.079	69.8	109 167	13 2396
4277	9.1	16 15.29	3.1274	0.0072	12 16 8.3	19.690	0.078	70.2	165 166	12 2333
4278	8.5	16 23.02	3.1400	0.0088	15 0 32.2	19.692	0.078	69.8	111 168	15 2326
4279	8.9	16 58.66	3.1322	0.0078	13 31 18.8	19.702	0.077	69.8	109 167	13 2399
4280	**4.0**	**17 24.41**	**3.1212**	**0.0065**	**11 13 3.1**	**19.709**	**0.075**		**Fund. Cat.**	**11 2348**
4281	8.6	11 17 39.75	+3.1296	−0.0076	+13 8 54.4	−19.713	−0.075	69.8	109 167	13 2401
4282	8.5	17 45.34	3.1360	0.0084	14 35 20.4	19.715	0.075	69.8	111 168	14 2382
4283	8.7	17 47.38	3.1372	0.0086	14 51 14.1	19.715	0.075	69.8	111 168	14 2383
4284	8.7	17 53.37	3.1360	0.0085	14 38 19.5	19.717	0.075	69.8	111 168	14 2384
4285	8.8	18 1.23	3.1305	0.0077	13 27 17.6	19.719	0.075	69.8	109 167	13 2402
4286	9.0	11 18 18.64	+3.1281	−0.0075	+13 0 42.4	−19.723	−0.074	69.8	109 167	13 2403
4287	6.6[3]	18 29.98	3.1239	0.0069	12 7 0.1	19.726	0.074	70.2	165 166	12 2335
4288	8.5	18 32.23	3.1308	0.0078	13 41 39.0	19.727	0.074	69.8	109 167	13 2404
4289	8.8	19 29.08	3.1261	0.0074	12 54 41.1	19.742	0.072	69.8	109 167	13 2405
4290	8.9	19 44.37	3.1175	0.0062	10 57 56.0	19.746	0.071	69.3	98 105	11 2352
*4291	8.7	11 19 53.24	+3.1135	−0.0057	+10 3 21.5	−19.748	−0.071	76.5	24 96 464 465	10 2285
4292	8.5	19 59.18	3.1178	0.0063	11 6 37.7	19.749	0.071	69.3	98 105	11 2353
4293	8.7	20 10.31	3.1226	0.0070	12 16 50.9	19.752	0.070	70.2	165 166	12 2336
4294	9.0	20 13.04	3.1272	0.0076	13 23 50.8	19.753	0.070	69.8	109 167	13 2407
4295	8.7	21 18.00	3.1125	0.0057	10 9 57.4	19.769	0.068	68.7	24 96	10 2288
4296	8.7	11 21 26.91	+3.1186	−0.0065	+11 41 56.4	−19.771	−0.068	69.3	98 105	11 2356
4297	7.6[4]	21 32.60	3.1224	0.0071	12 39 40.8	19.773	0.068	69.9	107 165 166	12 2338
4298	8.7	21 34.96	3.1273	0.0078	13 52 27.2	19.773	0.068	69.8	109 167	13 2411
4299	8.3	21 35.75	3.1170	0.0063	11 21 39.9	19.773	0.067	69.3	98 105	11 2357
4300	8.6	21 40.08	3.1171	0.0064	11 23 52.8	19.774	0.067	69.3	98 105	11 2358

[1] $8^m.6$ 3^r 15° [2] BD 7.0; Schätz. 8.0 7.8 [3] BD 6.1 [4] BD 7.0

Nr.	Gr.	A.R. 1875	Praec.	Var. saec.	Decl. 1875	Praec.	Var. saec.	Ep.	Zonen	B.D.
4301	9.7	$11^h\ 21^m\ 48^s.93$	$+3^s.1109$	$-0^s.0055$	+ 9° 54′ 7″.3	$-19''.777$	$-0''.067$	84.3	464 465	[10° 2289]
4302	8.8	22 7.46	3.1254	0.0076	13 35 48.0	19.781	0.067	69.8	109 167	13 2415
4303	7.7[1]	22 32.03	3.1134	0.0059	10 43 29.7	19.787	0.065	68.7	24 96	10 2291
4304	8.8[2]	22 58.22	3.1225	0.0073	13 8 54.4	19.793	0.065	90.2	766 767	13 2416
4305	9.0	22 58.87	3.1245	0.0076	13 40 16.0	19.793	0.065	69.8	109 167	13 2417
4306	8.8	11 23 11.11	+3.1224	−0.0073	+13 11 43.4	−19.796	−0.064	69.8	109 167	13 2419
4307	8.9	23 12.93	3.1142	0.0061	11 6 27.2	19.796	0.064	79.7	98 105 766 767	11 2360
4308	8.7	23 38.55*	3.1280	0.0082	14 47 59.2	19.802	0.064	69.8	111 168	14 2393
4309	9.0	23 43.67	3.1273	0.0081	14 39 20.3	19.804	0.063	69.8	111 168	14 2394
4310	8.8	24 4.72	3.1094	0.0055	10 5 32.6	19.808	0.062	76.5	24 96 464 465	10 2294
4311	8.8	11 24 25.12	+3.1106	−0.0057	+10 30 20.9	−19.813	−0.062	68.7	24 96	10 2295
4312	8.5	24 29.84	3.1169	0.0067	12 12 49.5	19.814	0.062	69.8	107 166	12 2341
4313	8.5	24 33.03	3.1097	0.0056	10 18 43.4	19.815	0.061	68.7	24 96	10 2297
4314	9.0	24 36.36	3.1143	0.0063	11 34 21.4	19.816	0.061	69.3	98 105	[11 2363]
4315	8.8	24 39.02	3.1243	0.0078	14 12 41.7	19.816	0.062	69.8	111 168	14 2397
4316	8.9	11 24 59.36	+3.1139	−0.0063	+11 34 5.8	−19.821	−0.061	69.3	98 105	11 2364
4317	8.5	25 5.30	3.1147	0.0064	11 48 41.6	19.822	0.060	69.3	98 105	11 2365
4318	8.7	25 22.62	3.1140	0.0064	11 43 47.8	19.826	0.060	69.3	98 105	11 2367
4319	8.8	25 35.06	3.1160	0.0067	12 20 35.7	19.829	0.060	69.8	107 166	12 2342
4320	8.3	25 55.58	3.1176	0.0070	12 53 38.2	19.833	0.059	69.8	109 167	13 2423
4321	9.0[3]	11 25 58.67	+3.1215	−0.0076	+13 59 14.7	−19.834	−0.059	69.8	111 168	14 2400
4322	8.7	25 59.58	3.1073	0.0054	10 4 19.6	19.834	0.059	76.5	24 96 464 465	10 2300
4323	8.8	26 6.69	3.1229	0.0079	14 24 52.8	19.835	0.059	69.8	111 168	14 2401
4324	9.1	26 21.42	3.1169	0.0069	12 51 48.0	19.839	0.058	69.8	107 166	12 2343
4325	8.6	26 30.42	3.1068	0.0053	10 4 22.1	19.840	0.057	76.5	24 96 464 465	10 2302
4326	8.9	11 26 34.87	+3.1076	−0.0055	+10 19 6.0	−19.841	−0.057	68.7	24 96	10 2303
4327	8.9	26 35.62	3.1206	0.0076	13 59 57.6	19.842	0.058	69.8	111 168	14 2402
4328	8.8	26 49.79	3.1094	0.0058	10 54 12.5	19.845	0.057	69.3	98 105	11 2370
4329	8.1	27 27.49	3.1203	0.0077	14 14 35.4	19.852	0.056	69.8	111 168	14 2404
4330	6.8	27 41.28	3.1112	0.0062	11 42 54.2	19.855	0.055	69.3	98 105	11 2372
4331	8.7	11 28 1.06	+3.1186	−0.0075	+14 0 9.5	−19.859	−0.055	69.8	111 168	14 2406
4332	8.7	28 5.59	3.1123	0.0065	12 10 23.6	19.860	0.054	69.8	107 166	12 2346
4333	8.6	28 21.32	3.1131	0.0066	12 30 58.2	19.863	0.054	69.8	107 166	12 2347
4334	8.6	28 40.60	3.1171	0.0074	13 50 35.5	19.867	0.053	69.8	109 167	13 2429
4335	8.5	28 46.23	3.1154	0.0071	13 21 30.3	19.868	0.053	69.8	109 167	13 2430
4336	8.7[4]	11 28 48.52	+3.1150	−0.0070	+13 15 40.3*	−19.869	−0.053	80.0	107 166 766 767	13 2431
4337	7.4[5]	29 3.22	3.1101	0.0062	11 52 49.7	19.872	0.053	69.3	98 105	11 2376
4338	8.3	29 9.70	3.1047	0.0053	10 16 17.0	19.873	0.052	68.7	24 96	10 2310
4339	7.1	29 15.07	3.1090	0.0061	11 36 9.9	19.874	0.052	69.3	98 105	11 2377
4340	9.0	29 30.25	3.1138	0.0070	13 11 30.3	19.877	0.052	69.8	107 166	13 2432
4341	8.5	11 29 38.87	+3.1148	−0.0071	+13 32 45.3	−19.879	−0.051	69.8	109 167	13 2433
4342	9.1	29 45.49	3.1138	0.0070	13 17 39.6	19.880	0.051	69.8	107 166	13 2434
*4343[6]	7.9[7]	30 10.66	3.1119	0.0067	12 52 8.4	19.885	0.050	76.6	107 166 766	12 2352
*4344	9.1	30 12.50	3.1123	0.0068	13 0 8.7	19.885	0.050	90.2	766 767	13 2435
4345	8.7	30 14.42	3.1102	0.0064	12 21 41.7	19.885	0.050	69.8	107 166	12 2353
4346	8.6	11 30 28.27	+3.1173	−0.0078	+14 42 21.3	−19.888	−0.050	69.8	111 168	14 2410
4347	8.5	30 29.26	3.1062	0.0058	11 12 7.0	19.888	0.050	69.3	98 105	11 2379
4348	9.0	30 39.16	3.1072	0.0060	11 34 57.5	19.890	0.049	69.3	98 105	11 2381
4349	9.3	30 42.32	3.1096	0.0064	12 22 35.5	19.891	0.049	69.8	107 166	12 2355
4350	9.0	30 50.95	3.1089	0.0063	12 12 12.9	19.892	0.049	69.8	107 166	12 2356

[1] BD 8.3; Schätz. 7.5 8.0 [2] BD 9.3 [3] $9^m.3$ pr. $0^s.3$ 65″ B.; $10^m.3$ pr. $10^s.0$ 60″ B. [4] $9^m.6$ pr. $11^s.0$ in par.
[5] BD 6.7; Schätz. 7.5 7.3 [6] $9^m.5$ seq. 10^s 7′ A.; $9^m.5$ seq. 14^s 6′.5 A.; dpl. ($9^m.5$ $9^m.5$ 8″ 230°) praec. 21^s 3′ A.
[7] 8.1 8.5 7.0

Nr.	Gr.	A.R. 1875	Praec.	Var. saec.	Decl. 1875	Praec.	Var. saec.	Ep.	Zonen	B.D.
4351	7.7[1]	$11^h\ 31^m\ 32^s.54$	+3^s.1125	−0^s.0071	+13° 39′ 4″.7	−19″.900	−0″.048	69.8	109 167	13° 2436
4352	8.7	32 0.87	3.1147	0.0076	14 37 12.8	19.905	0.047	69.8	111 168	14 2416
4353	8.9	32 1.50	3.1145	0.0076	14 33 24.5	19.905	0.047	69.8	111 168	14 2415
4354	9.1	33 2.04	3.1143	0.0078	14 59 27.1	19.916	0.045	90.2	766 767	15 2362
4355	8.6	33 8.58	3.1027	0.0055	11 1 13.6	19.917	0.044	69.2	92 98 105	11 2384
4356	9.2	11 33 27.93	+3.1015	−0.0053	+10 43 41.4	−19.920	−0.044	68.7	24 96	[10 2319]
4357	9.0	33 49.73	3.1010	0.0053	10 41 50.5	19.924	0.043	90.2	766 767	10 2320
4358	9.0	33 56.80	3.1011	0.0053	10 47 25.2	19.925	0.043	90.2	766 767	10 2322
4359	8.9	34 1.15	3.1041	0.0059	11 53 16.7	19.925	0.043	69.8	107 166	12 2362
4360	8.7	34 2.88	3.0994	0.0050	10 10 37.3	19.926	0.043	68.7	24 96	10 2323
4361	8.6	11 34 7.95	+3.1084	−0.0069	+13 29 54.6	−19.927	−0.043	69.8	109 167	13 2439
4362	8.7	34 20.51	3.1088	0.0070	13 46 13.5	19.929	0.042	69.8	109 167	13 2440
4363	neb.	34 31.17	3.1042	0.0060	12 9 20.0	19.930	0.042	95.4	R(2)	12 2364
4364	9.0	34 33.98	3.0983	0.0049	9 58 48.4	19.931	0.042	76.5	24 96 464 465	10 2324
4365	8.7	34 39.58	3.1023	0.0057	11 30 4.1	19.932	0.041	69.2	92 98 105	11 2387
4366	8.6	11 34 44.85	+3.1102	−0.0074	+14 28 49.1	−19.933	−0.041	69.8	111 168	14 2422
4367	8.9	35 21.63	3.1044	0.0063	12 39 21.1	19.938	0.040	69.8	107 166	12 2366
4368	8.9	35 29.33	3.0987	0.0051	10 31 17.6	19.940	0.040	68.7	24 96	10 2328
4369	8.7	35 35.26	3.1028	0.0060	12 9 14.2	19.941	0.040	69.8	107 166	12 2367
4370	7.0	35 36.31	3.1050	0.0065	12 58 56.8	19.941	0.040	69.8	109 167	13 2443
4371	9.1	11 36 0.36	+3.1079	−0.0072	+14 19 52.0*	−19.944	−0.039	69.8	111 168	[14 2424]
4372	8.5	36 13.45	3.1031	0.0062	12 33 23.0	19.946	0.038	69.8	107 166	12 2368
4373	8.8	36 34.71	3.1013	0.0059	12 1 22.1	19.950	0.038	69.8	107 166	12 2369
4374	8.7	36 46.74	3.1067	0.0072	14 18 5.0	19.951	0.037	69.8	111 168	14 2425
4375	9.0	36 50.93	3.1028	0.0063	12 46 34.7	19.952	0.037	69.8	107 166	12 2370
4376	8.7	11 36 53.82	+3.0987	−0.0054	+11 7 1.3	−19.952	−0.037	69.2	92 98 105	11 2391
4377	8.7	36 57.61	3.1000	0.0057	11 40 45.0	19.953	0.037	69.2	92 98 105	11 2392
4378	8.4	37 8.50	3.0991	0.0055	11 23 19.8	19.955	0.037	69.2	92 98 105	11 2393
4379	9.0	37 14.44	3.1058	0.0071	14 12 36.9	19.955	0.036	69.8	111 168	14 2426
4380	9.1	37 16.14	3.1058	0.0071	14 12 53.2	19.956	0.036	69.8	111 168	14 2427
4381	8.5	11 37 33.07	+3.0986	−0.0055	+11 22 45.6	−19.958	−0.036	69.2	92 98 105	11 2394
4382	8.6	37 36.68	3.0977	0.0053	11 1 52.4	19.959	0.036	69.6	98 107 166	11 2395
4383	8.9	37 52.60	3.0968	0.0051	10 47 21.0	19.961	0.035	68.7	24 96	10 2331
4384	8.7	38 23.60	3.0992	0.0058	12 5 4.7	19.965	0.034	69.8	107 166	12 2372
4385	8.6	38 30.82	3.1010	0.0063	12 57 19.3	19.966	0.034	69.8	109 167	13 2447
4386	9.0	11 38 33.86	+3.0993	−0.0059	+12 14 9.1	−19.967	−0.034	80.0	107 166 766 767	12 2373
4387	8.9	38 39.45	3.1048	0.0073	14 41 53.6	19.967	0.034	90.2	766 767	14 2429
4388	7.0	38 44.43	3.1053	0.0074	14 57 25.8	19.968	0.033	69.8	111 168	15 2374
4389	9.1	38 45.51	3.1049	0.0073	14 45 55.9	19.968	0.033	90.2	766 767	14 2430
4390	8.5	38 54.01	3.1029	0.0069	14 0 20.2	19.969	0.033	69.8	111 168	14 2431
4391	8.3	11 39 23.12	+3.1029	−0.0070	+14 18 47.8	−19.973	−0.032	80.0	111 168 766 767	14 2433
4392	8.9	39 28.80	3.0978	0.0057	12 3 55.5	19.974	0.032	69.8	107 166	12 2376
4393	8.8	39 31.79	3.1005	0.0065	13 20 15.9	19.974	0.032	69.8	109 167	13 2450
4394	8.5	39 56.36	3.1032	0.0073	14 49 5.5[2]	19.977	0.031	80.0 83.6	111a 168 766 767	14 2434
4395	8.4	40 4.15	3.1020	0.0070	14 23 2.9	19.978	0.031	83.6	168 766 767	14 2435
4396	8.8	11 40 44.62	+3.0924	−0.0046	+10 9 52.3	−19.984	−0.029	68.7	24 96	10 2334
4397	8.0	40 48.86	3.0988	0.0064	13 21 34.6	19.984	0.029	69.8	109 167	13 2454
4398	8.6	40 53.94	3.0942	0.0051	11 9 9.2	19.985	0.029	69.2	92 98 105	11 2399
4399	9.0	40 54.77	3.0944	0.0052	11 14 57.7	19.985	0.029	69.2	92 98 105	11 2400
4400	8.9	40 59.98	3.1000	0.0068	14 4 50.5	19.985	0.029	80.0	111 168 766 767	14 2437

[1] BD 7.0; Schätz. 7.7 7.7 [2] Z. 111 [0″.5]

Nr.	Gr.	A.R. 1875	Praec.	Var. saec.	Decl. 1875	Praec.	Var. saec.	Ep.	Zonen	B.D.
4401	8.3	11h 41m 11s.93	+3s.0963	−0s.0058	+12° 24′ 13″.9	−19″.987	−0″.028	69.8	107 166	12° 2378
4402	8.4	41 21.58	3.0986	0.0065	13 38 23.1	19.988	0.028	69.8	109 167	13 2455
4403	8.7	41 24.94	3.0995	0.0068	14 9 1.2	19.988	0.028	69.8	111 168	14 2438
4404	9.7	41 44.11	3.0911	0.0045	10 2 57.3	19.990	0.027	84.3	464 465	[10 2337]
4405	6.2[1]	42 12.75	3.1000	0.0072	14 58 43.0	19.994	0.027	69.8	111 168	15 2381
4406	9.5	11 42 17.43	+3.0979	−0.0066	+13 58 6.9	−19.994	−0.026	90.2	766 767	14 2439
4407	8.6	42 26.07	3.0928	0.0052	11 22 43.2	19.995	0.026	69.2	92 98 105	11 2401
4408	8.7	42 37.34	3.0954	0.0060	12 53 52.5	19.997	0.026	69.8	109 167	13 2458
4409	8.6	42 41.63	3.0947	0.0058	12 34 15.8	19.997	0.025	69.8	107 166	12 2381
4410	9.1	42 46.38	3.0939	0.0056	12 9 16.0*	19.998	0.025	80.0	107 166 766 767	12 2382
4411	8.9	11 43 8.09	+3.0958	−0.0063	+13 27 48.1	−20.000	−0.025	69.8	109 167	13 2460
4412	8.9	43 41.28	3.0920	0.0053	11 43 43.4	20.003	0.024	69.2	92 98 105	11 2403
4413	8.4	43 48.02	3.0953	0.0064	13 42 31.3	20.004	0.023	69.8	109 167	13 2463
4414	8.6	43 55.92	3.0900	0.0047	10 45 46.8	20.005	0.023	68.7	24 96	10 2341
4415	8.4	44 3.54	3.0894	0.0046	10 28 19.6	20.006	0.023	68.7	24 96	10 2342
4416	8.5	11 44 15.41	+3.0888	−0.0044	+10 12 37.1	−20.007	−0.022	68.7	24 96	10 2343
4417	8.6	44 27.51	3.0953	0.0067	14 16 54.5*	20.008	0.022	69.8	111 168	14 2441
4418	6.5	44 30.45	3.0930	0.0059	12 58 23.0	20.008	0.022	69.8	109 167	13 2465
4419	7.3	45 0.79	3.0916	0.0056	12 30 0.1	20.011	0.021	69.8	107 166	12 2388
4420	8.9	45 8.74	3.0900	0.0051	11 33 58.5	20.012	0.021	74.5	92 98 105 766	11 2405
4421	8.6	11 45 26.06	+3.0882	−0.0046	+10 40 22.3	−20.014	−0.020	68.7	24 96	10 2344
4422	8.9	45 36.63	3.0869	0.0042	9 54 9.1	20.015	0.020	79.5	24 96 766 767	10 2345
4423	8.4	45 52.07	3.0893	0.0051	11 40 56.9	20.016	0.019	69.2	92 98 105	11 2406
4424	8.7	45 52.53	3.0930	0.0065	14 10 56.2	20.016	0.019	69.8	111 168	14 2443
4425	8.2	45 58.35	3.0876	0.0046	10 38 21.5	20.017	0.019	68.6	24 96	10 2347
4426	8.7	11 46 12.72	+3.0936	−0.0069	+14 54 34.0	−20.018	−0.019	69.8	111 168	15 2388
4427	8.6	46 27.68	3.0926	0.0067	14 26 25.0	20.019	0.018	69.8	111 168	14 2444
4428	7.8	46 30.46	3.0920	0.0065	14 7 0.9	20.019	0.018	69.8	109 167	14 2445
4429	8.7	47 1.57	3.0856	0.0042	10 0 54.8	20.022	0.017	76.5	24 96 464 465	10 2350
4430	9.0	47 11.65	3.0877	0.0051	11 41 0.8	20.023	0.016	69.2	92 98 105	11 2408
4431	8.0[2]	11 47 26.01	+3.0915	−0.0068	+14 43 30.8	−20.024	−0.016	80.0	111 168 766 767	14 2447
4432[3]	8.3	47 28.14	3.0875	0.0051	11 48 52.4	20.024	0.016	69.2	92 98 105	11 2409
4433	8.2	47 40.98	3.0885	0.0056	12 45 21.3	20.025	0.015	69.8	107 166	12 2392
4434	8.3	47 43.04	3.0856	0.0044	10 35 25.6*	20.025	0.015	68.7	24 96	10 2352
4435	8.2[4]	47 57.75	3.0856	0.0045	10 44 39.1	20.027	0.015	68.7	24 96	10 2353
4436	8.2	11 48 8.45	+3.0906	−0.0068	+14 50 52.4	−20.027	−0.015	69.8	111 168	14 2448
4437	8.6	48 31.47	3.0869	0.0054	12 23 21.8	20.029	0.014	69.8	107 166	12 2395
4438	8.6	49 1.57	3.0886	0.0064	14 18 47.1	20.031	0.013	69.8	111 168	14 2451
4439	9.2	49 14.27*	3.0864	0.0055	12 40 54.7	20.032	0.012	80.0	107 166 766 767	12 2397
4440	8.8	49 16.77	3.0844	0.0046	11 3 1.2	20.032	0.012	69.2	92 98 105	11 2411
4441	9.8	11 49 19.28	+3.0832	−0.0040	+ 9 59 45.8	−20.032	−0.012	84.3	464 465	[10 2356]
*4442	8.8	49 23.85	3.0853	0.0051	11 56 53.4	20.033	0.012	69.8	107 166	12 2398
4443	8.7	49 31.72	3.0836	0.0043	10 32 29.6	20.033	0.012	68.7	24 96	10 2357
4444	8.5	49 51.39	3.0833	0.0043	10 36 27.0	20.035	0.011	68.7	24 96	10 2358
*4445	7.7	50 1.60	3.0877	0.0067	14 52 56.9	20.035	0.011	69.8	111 168	14 2452
4446	8.7	11 50 8.14	+3.0856	−0.0056	+13 2 41.8	−20.036	−0.011	69.8	109 167	13 2473
4447	8.6	50 20.77	3.0835	0.0047	11 18 31.6	20.037	0.010	69.2	92 98 105	11 2412
4448	8.0	50 28.69	3.0833	0.0046	11 13 23.3	20.037	0.010	69.2	92 98 105	11 2413
4449	9.1	50 46.40	3.0841	0.0053	12 27 8.4	20.038	0.009	69.8	107 166	12 2400
4450	9.1	50 48.75	3.0852	0.0059	13 38 37.8	20.038	0.009	69.8	109 167	13 2476

[1] BD 7.0 [2] 8.0 8.0 7.5 8.5 [3] 9m.8 seq. 14s 0′.5 A. [4] BD 7.7

Nr.	Gr.	A.R. 1875	Praec.	Var. saec.	Decl. 1875	Praec.	Var. saec.	Ep.	Zonen	B.D.
4451	8.6	11h 51m 20s.17	+3s.0819	−0s.0043	+10° 49′ 13″.7	−20″.040	−0″.008	68.7	24 96	10° 2362
4452	8.5	51 36.56	3.0851	0.0065	14 43 52.3	20.041	0.008	69.8	111 168	14 2457
4453	8.5	51 59.21	3.0807	0.0040	10 15 1.1	20.042	0.007	68.7	24 96	10 2363
4454	9.2	52 15.28	3.0831	0.0058	13 33 3.7	20.043	0.007	81.8	167 R	[13 2478]
4455	8.8	52 16.24	3.0802	0.0039	10 2 45.0	20.043	0.006	84.3	464 465	[10 2365]
4456	8.7	11 52 38.40	+3.0820	−0.0053	+12 46 3.7	−20.044	−0.006	69.8	107 166	12 2405
4457	8.9	52 58.05	3.0822	0.0058	13 35 30.2	20.045	0.005	69.8	109 167	13 2479
4458	8.8	53 4.05	3.0812	0.0052	12 32 48.1	20.045	0.005	69.8	107 166	12 2406
4459	8.9	53 8.14	3.0803	0.0045	11 22 36.9	20.045	0.005	69.2	92 98 105	11 2418
4460	8.7	54 24.63	3.0796	0.0052	12 43 24.2	20.048	0.002	69.8	107 166	12 2411
4461	8.8	11 54 26.51	+3.0795	−0.0052	+12 40 46.2	−20.048	−0.002	69.8	107 166	12 2412
4462	8.9	54 31.65*	3.0804	0.0061	14 20 23.2	20.049	0.002	69.8	111 168	14 2463
4463	8.7	54 39.12	3.0798	0.0057	13 42 18.4	20.049	0.002	69.8	109 167	13 2481
4464	8.9	54 42.54	3.0783	0.0043	11 12 29.4	20.049	0.002	69.2	92 98 105	11 2419
4465	7.1	54 49.69	3.0792	0.0054	13 4 25.6	20.049	0.002	69.8	109 167	13 2482
4466	9.0	11 54 57.57	+3.0785	−0.0048	+12 1 14.2	−20.049	−0.001	69.8	107 166	12 2413
4467	8.7	55 8.03	3.0778	0.0042	11 2 53.8	20.050	0.001	69.2	92 98 105	11 2420
4468	8.7	55 14.40	3.0780	0.0046	11 45 54.7	20.050	−0.001	69.2	92 98 105	11 2421
4469	8.8	55 20.54	3.0791	0.0059	14 6 23.9	20.050	0.000	69.8	111 168	14 2467
4470	9.0	55 56.06	3.0768	0.0041	10 51 25.6	20.051	+0.001	68.7	24 96	[10 2369]
4471[1]	9.1	11 56 5.82	+3.0772	−0.0048	+12 12 12.4*	−20.051	+0.001	80.0	107 166 766 767	12 2415
4472	8.7	56 14.87	3.0771	0.0050	12 34 25.0	20.052	0.001	69.8	107 166	12 2416
4473	7.8	56 29.88	3.0771	0.0055	13 30 14.0	20.052	0.002	69.8	109 167	13 2485
4474	9.0	56 53.78	3.0767	0.0056	13 43 0.1	20.052	0.002	69.8	109 167	13 2486
4475	8.5	57 0.27	3.0753	0.0035	9 56 56.4	20.053	0.003	76.5	24 96 464 465	10 2372
4476	8.6	11 57 42.80	+3.0747	−0.0037	+10 23 43.0	−20.053	+0.004	68.7	24 96	10 2373
4477	9.1	57 55.33	3.0743	0.0034	9 53 16.7	20.053	0.004	90.2	766 767	10 2374
4478	9.2	58 27.64	3.0742	0.0047	12 20 21.4*	20.054	0.006	80.0	107 166 766 767	12 2420
4479	8.6	58 36.12	3.0740	0.0046	12 2 6.5	20.054	0.006	69.8	107 166	12 2421
4480	8.2[2]	58 40.34	3.0736	0.0034	9 56 13.4*	20.054	0.006	81.1	6 Beob.	10 2375
4481	8.1	11 58 45.99	+3.0741	−0.0057	+14 10 8.6	−20.054	+0.006	69.8	111 168	14 2471
4482	7.9	59 3.52	3.0734	0.0043	11 39 23.4	20.054	0.007	69.2	92 98 105	11 2424
4483	8.5	59 42.41	3.0726	0.0040	11 10 41.7	20.054	0.008	69.2	92 98 105	11 2426
4484	8.6	59 59.76	3.0722	0.0051	13 12 38.8	20.054	0.009	80.0	109 167 766 767	13 2488
4485	8.8	12 0 8.61	3.0720	0.0051	13 7 29.7	20.054	0.009	69.8	109 167	13 2490
4486	7.3	12 0 47.26	+3.0711	−0.0053	+13 40 58.1	−20.054	+0.010	69.8	109 167	13 2491
4487[3]	7.5	0 47.71	3.0714	0.0035	10 21 32.8	20.054	0.010	75.9	24 96 768	10 2381
4488	8.4	0 52.73	3.0712	0.0040	11 13 47.5	20.054	0.010	69.2	92 98 105	11 2429
4489	9.0	1 4.76	3.0707	0.0051	13 21 47.4	20.054	0.011	90.3	769 770	13 2492
4490	8.7	1 8.24	3.0707	0.0047	12 38 8.2	20.054	0.011	69.1	20 29 107 166	12 2424
4491	9.1	12 1 8.57	+3.0706	−0.0053	+13 44 2.1	−20.054	+0.011	69.8	109 167	[13 2493]
4492	8.1	1 12.85	3.0704	0.0056	14 12 45.9	20.054	0.011	69.3	35 111 168	14 2474
4493	8.7	1 12.88	3.0706	0.0051	13 20 40.9	20.054	0.011	68.3	22 31	13 2494
4494	8.8	2 16.23	3.0691	0.0051	13 29 15.9	20.053	0.013	68.3	22 31	13 2497
4495	8.7	2 35.20	3.0686	0.0050	13 22 58.8*	20.053	0.014	79.3	22 31 768 769	13 2498
4496	8.4	12 2 54.20	+3.0686	−0.0043	+11 59 18.8	−20.053	+0.014	68.3	20 29	12 2428
4497	8.5	3 14.44	3.0682	0.0042	11 54 27.2	20.052	0.015	68.3	20 29	12 2429
4498	9.0	3 19.23	3.0688	0.0032	9 59 11.4	20.052	0.015	84.1	430 450	— —
4499	8.9	3 23.31*	3.0678	0.0046	12 43 15.3	20.052	0.015	68.3	20 29	12 2431
4500	9.1	3 30.67	3.0686	0.0032	10 6 21.2	20.052	0.015	85.6	455 634 635	[10 2383]

[1] 9m.5 seq. 4s 50″ A. [2] 8.3 8.6 8.7 8.5 7.3 8.0 [3] 9m.3 seq. 0s.5 1′.5 A.

Nr.	Gr.	A.R. 1875	Praec.	Var. saec.	Decl. 1875	Praec.	Var. saec.	Ep.	Zonen	B.D.
4501	8.6	12^h 4^m $45^s.51$	$+3^s.0657$	$-0^s.0048$	+13° 10′ 1″.2	−20″.050	+0″.018	68.3	22 31	13° 2502
4502	8.9	4 52.47	3.0650	0.0054	14 14 56.1	20.050	0.018	68.7	25 35 111	14 2477
4503	8.7	5 34.05	3.0637	0.0056	14 42 45.4	20.048	0.019	68.8	25 111	14 2479
4504	8.5	5 35.12	3.0643	0.0050	13 41 42.3	20.048	0.019	68.3	22 31 33	13 2503
4505	8.5	5 36.14	3.0653	0.0041	11 59 15.1	20.048	0.019	68.3	20 29	12 2433
4506	8.4	12 5 36.55*	+3.0665	−0.0030	+10 0 12.7	−20.048	+0.019	76.2	10 14 430 450	10 2388
4507	8.5[1]	5 36.93	3.0636	0.0056	14 45 57.9	20.048	0.020	68.7	25 35 111	14 2480
4508	9.1	5 40.69	3.0640	0.0052	13 58 21.1	20.048	0.020	68.8	25 111	14 2481
4509	8.9	5 44.04	3.0662	0.0032	10 15 12.2	20.048	0.020	68.2	10 14	10 2389
4510	8.5	6 23.96	3.0644	0.0039	11 48 25.4	20.046	0.021	79.3	16 27 768 769	11 2436
4511	8.9	12 6 28.40	+3.0631	−0.0049	+13 36 7.0	−20.046	+0.021	68.3	22 31	13 2505
4512	8.1	6 32.96*	3.0650	0.0034	10 44 42.4*	20.046	0.021	79.3	16 27 768 769	10 2391
4513	8.8	6 43.78	3.0626	0.0050	13 45 22.3	20.046	0.022	68.3	22 31 33	13 2507
4514	9.1	6 43.84	3.0634	0.0044	·12 38 12.1	20.046	0.022	68.3	20 29	12 2434
4515	8.0	6 50.34*	3.0641	0.0038	11 32 19.0	20.045	0.022	68.3	16 27	11 2439
4516	8.3	12 6 51.55	+3.0636	−0.0041	+12 12 42.0	−20.045	+0.022	68.3	20 29	12 2435
4517	6.8	7 3.97	3.0643	0.0035	10 57 28.1	20.045	0.022	68.3	16 20 27	11 2440
4518	8.0	7 6.61	3.0644	0.0033	10 44 46.0*	20.045	0.023	83.0	29 768 769	10 2392
4519	8.5[2]	7 41.96	3.0620	0.0044	12 50 32.0	20.043	0.024	68.3	20 29	12 2436
4520	9.1	7 58.37	3.0619	0.0042	12 31 4.2	20.042	0.024	83.0	29 768 769	12 2437
*4521	8.8	12 8 39.55	+3.0627	−0.0032	+10 40 59.5	−20.040	+0.025	68.2	10 14	10 2394 pr.
4522	8.9	8 39.85	3.0587	0.0055	14 57 34.7	20.040	0.025	68.3	25 33	15 2432
*4523	8.8	8 41.16	3.0627	0.0032	10 41 10.7	20.040	0.026	85.6 94.3	14a R(2)	10 2394 s.
4524	8.6	9 20.08	3.0611	0.0036	11 33 44.7	20.038	0.027	68.3	16 27	11 2442
4525	8.6	9 26.32	3.0625	0.0028	10 2 5.9	20.037	0.027	77.3	10 14 636 637	10 2396
4526	9.0	12 10 9.45	+3.0583	−0.0045	+13 12 17.5	−20.035	+0.028	68.3	22 31	13 2514
4527	9.3	10 12.06	3.0565	0.0054	14 51 12.5	20.034	0.028	90.3	768 769	14 2483
4528	9.4	10 12.20	3.0593	0.0040	12 15 19.5	20.034	0.028	68.3	20 29	12 2440
4529	8.7	10 19.03	3.0572	0.0049	13 59 32.1	20.034	0.029	68.3	25 33	14 2484
4530	8.7	10 27.15	3.0579	0.0044	13 14 1.7	20.033	0.029	68.3	22 31	13 2515
4531	9.4	12 10 27.34	+3.0591	−0.0039	+12 11 39.0	−20.034	+0.029	68.3	20 29	12 2441
4532	8.9	10 40.54	3.0585	0.0040	12 28 24.6	20.032	0.029	68.3	20 29	12 2442
4533	9.3	11 3.29*	3.0599	0.0031	10 49 49.3	20.031	0.030	80.8	27 R	[10 2400]
4534	8.8	11 16.40	3.0584	0.0037	11 54 34.9	20.030	0.030	68.3	20 29	12 2443
4535	9.0	11 27.97	3.0595	0.0031	10 48 52.6	20.029	0.031	68.3	16 27	10 2402
4536	8.8	12 11 35.81	+3.0572	−0.0040	+12 29 55.9	−20.029	+0.031	68.3	20 29	12 2445
4537	9.3	11 36.07	3.0563	0.0044	13 13 3.5	20.029	0.031	68.3	22 31	[13 2517]
4538	8.7	11 51.20	3.0593	0.0029	10 33 48.7	20.027	0.032	68.3	27 29	10 2404
4539	9.3	12 0.86	3.0559	0.0043	13 9 47.7	20.027	0.032	90.3	768 769	13 2519
4540	9.0	12 20.59	3.0563	0.0039	12 29 23.8	20.025	0.033	90.3 83.0	29δ 768 770	— —
4541	8.8	12 12 21.17	+3.0563	−0.0039	+12 29 29.1	−20.025	+0.033	82.9	20 768 770	12 2446
4542	8.7	12 25.68	3.0584	0.0030	10 47 55.2	20.025	0.033	79.3	16 27 769 770	10 2405
4543	9.0	12 39.24	3.0538	0.0048	14 3 42.8	20.024	0.033	68.3	25 33	14 2486
4544	8.5	12 45.02	3.0574	0.0033	11 17 12.5	20.023	0.033	90.3	768 769	11 2448
4545	8.6	13 1.79	3.0586	0.0027	10 9 31.3	20.022	0.034	68.3	10 14 35	10 2406
4546	8.8	12 13 4.30	+3.0580	−0.0029	+10 34 15.5	−20.022	+0.034	68.3	14 35	10 2407
4547	8.6	13 18.68	3.0575	0.0029	10 43 12.5	20.020	0.034	68.3	16 27	10 2408
4548	8.6[3]	13 30.47	3.0551	0.0038	12 17 34.1	20.019	0.035	68.3	20 29	12 2448
4549	8.6	13 32.73	3.0566	0.0032	11 10 45.0	20.019	0.035	68.3	16 27	11 2450
4550	7.7[4]	13 44.42	3.0514	0.0050	14 32 57.2	20.018	0.035	68.3	25 33	14 2489

[1] BD 9.1 [2] BD 8.0; Schätz. 8.5 8.6 [3] BD 8.1; Schätz. 8.6 8.7 [4] BD 7.2

Nr.	Gr.	A.R. 1875	Praec.	Var. saec.	Decl. 1875	Praec.	Var. saec.	Ep.	Zonen	B.D.
4551	7.9	12h 13m 46s.87	+3s.0572	−0s.0028	+10° 35′ 9″.1	−20″.018	+0″.035	68.3	10 14 35	10° 2410
4552	9.4	14 6.42	3.0566	0.0029	10 45 59.9	20.016	0.036	68.3	16 27	10 2413
4553	8.9	14 44.61	3.0570	0.0025	10 3 54.7	20.013	0.037	74.6	5 Beob.	10 2414
4554	8.9	15 5.28	3.0513	0.0042	13 22 20.5	20.011	0.038	80.8	31 R	[13 2523]
4555	9.1	15 13.36	3.0515	0.0041	13 10 0.0	20.010	0.038	90.3	768 769	13 2524
4556	8.9	12 15 24.04	+3.0534	−0.0034	+11 52 35.5	−20.009	+0.038	68.3	16 27	11 2451
4557	8.5	15 53.35	3.0550	0.0027	10 32 22.3	20.006	0.039	68.3	10 14 35	10 2416
4558	8.6	16 0.59	3.0547	0.0027	10 38 12.3	20.005	0.040	68.3	10 14 35	10 2417
4559	9.0	16 41.27	3.0514	0.0034	12 5 51.2	20.001	0.041	68.3	20 29	12 2459
4560	8.7	16 44.87	3.0490	0.0041	13 22 43.0	20.001	0.041	68.3	22 31	13 2526
4561	8.7	12 16 55.39	+3.0471	−0.0046	+14 18 55.4	−20.000	+0.041	68.3	25 33	14 2495
4562	9.0	17 1.26	3.0487	0.0041	13 21 41.3	19.999	0.041	68.3	22 31	13 2528
4563	8.7	17 13.32	3.0461	0.0048	14 36 56.3	19.998	0.042	68.3	25 33	14 2497
4564	8.7	17 21.92	3.0496	0.0037	12 36 49.8	19.997	0.042	68.3	20 29	12 2462
4565	9.2	17 34.47*	3.0451	0.0048	14 49 49.7	19.995	0.043	79.3	25 33 768 769	14 2499
4566	8.9	12 17 35.79	+3.0452	−0.0048	+14 44 56.3	−19.995	+0.043	68.3	25 33	14 2500
4567	8.9	17 55.23	3.0534	0.0024	10 12 4.4	19.993	0.043	68.3	10 14 35	10 2418
4568	9.2	17 55.68	3.0538	0.0023	9 59 54.3	19.993	0.043	85.6	455 634 635	[10 2419]
4569	8.9	17 56.85	3.0519	0.0028	10 59 6.0	19.993	0.043	68.3	16 27	11 2453
4570	8.8	18 8.45	3.0500	0.0032	11 51 39.6	19.991	0.044	68.3	16 27	11 2454
4571	8.6	12 18 26.80	+3.0505	−0.0030	+11 24 45.5	−19.989	+0.044	68.3	16 27	11 2455
*4572	neb.	18 43.20*	3.0459	0.0041	13 34 44.8*	19.987	0.045	93.7	768 R (2)	13 2531
4573	9.0	18 44.59	3.0478	0.0036	12 37 50.7	19.987	0.045	80.8	29 R	[12 2463]
4574	8.6[1]	19 0.33	3.0475	0.0036	12 36 11.9	19.985	0.045	68.3	20 29	12 2465
4575	8.3	19 10.25	3.0516	0.0024	10 26 42.9	19.984	0.046	68.3	10 14 35	10 2421
4576	9.3	12 19 33.63	+3.0428	−0.0045	+14 27 43.0	−19.981	+0.046	68.3	25 33	[14 2501]
*4577	neb.	19 51.60*	3.0442	0.0041	13 38 21.0[2]	19.979	0.047	93.7 95.4	768a R (2)	13 2533
4578	8.4	20 33.60	3.0407	0.0046	14 44 13.3	19.974	0.048	79.3	25 33 768 769	14 2502
4579	8.6	21 9.78	3.0464	0.0030	11 49 44.4	19.969	0.049	68.3	16 27	11 2464
4580	8.9	21 11.29	3.0466	0.0030	11 43 5.3	19.969	0.050	68.3	16 27	11 2465
4581	8.2	12 21 15.09	+3.0441	−0.0035	+12 47 30.4	−19.968	+0.050	68.3	20 29	12 2471
4582	8.6	21 18.64	3.0438	0.0036	12 54 43.5	19.968	0.050	68.3	22 31	13 2536
4583	9.0	21 24.03	3.0390	0.0046	14 56 45.6	19.967	0.050	68.3	25 33	15 2467
4584	8.7	21 29.95	3.0456	0.0031	12 0 48.6	19.966	0.050	68.3	20 29	12 2472
4585	8.9	21 38.71	3.0499	0.0021	10 2 41.1	19.965	0.050	68.3	10 14 35	10 2427
4586	9.0	12 21 44.41	+3.0499	−0.0020	+10 1 25.8	−19.964	+0.051	68.3	10 14 35	10 2428
4587	9.4	21 48.93	3.0443	0.0033	12 23 12.4	19.963	0.051	68.3	20 29	12 2473
4588	8.2[3]	21 55.30	3.0439	0.0033	12 31 4.7	19.963	0.051	68.3	20 29	12 2474
4589	8.9	21 57.65*	3.0426	0.0036	13 2 17.1	19.962	0.051	79.3	22 31 768 769	13 2539
4590	8.8	22 5.79	3.0432	0.0034	12 43 55.1	19.961	0.051	90.3	768 769 770	12 2475
4591	8.0[4]	12 22 14.28	+3.0428	−0.0035	+12 48 35.9	−19.960	+0.052	83.0	29 769 770	12 2477
4592	8.8	22 28.21	3.0401	0.0040	13 46 48.6	19.958	0.052	68.3	22 31	13 2540
4593	8.1[5]	22 46.47	3.0376	0.0044	14 38 30.4	19.955	0.052	90.3	768 769	14 2507
4594	8.9	23 8.30	3.0440	0.0029	11 49 48.1	19.952	0.053	68.3	16 27	11 2467
4595	8.3	23 12.46	3.0431	0.0031	12 10 57.9	19.952	0.053	68.3	20 29	12 2478
4596	9.0	12 23 29.30	+3.0421	−0.0032	+12 25 5.9	−19.949	+0.054	68.3	20 29	12 2479
4597	8.7	23 36.16	3.0414	0.0033	12 38 46.0	19.948	0.054	68.3	22 31	12 2481
4598	9.2	23 37.21	3.0417	0.0032	12 31 7.4	19.948	0.054	68.3	20 29	12 2480
4599	7.7	24 12.70	3.0463	0.0021	10 24 30.2	19.942	0.055	68.3	10 14 35	10 2432
4600	neb.	24 29.64*	3.0391	0.0035	13 4 53.3	19.940	0.056	93.7	768 R (2)	13 2546

[1] BD 7.8; Schätz. 8.5 8.7 [2] Z. 768 [6″.1] [3] BD 7.3; Schätz. 8.0 8.5 [4] BD 7.5
[5] BD 8.6; Schätz. 8.1 8.2

Nr.	Gr.	A.R. 1875	Praec.	Var. saec.	Decl. 1875	Praec.	Var. saec.	Ep.	Zonen	B.D.
4601	8.5	12h 24m 29s.67	+3s.0388	−0s.0035	+13° 10′ 41″.1	−19″.940	+0″.056	68.3	22 31	13° 2545
4602	8.9	24 44.31	3.0466	0.0019	10 4 43.1	19.937	0.056	76.9	6 Beob.	10 2435
4603	9.0	24 55.98	3.0440	0.0024	11 1 7.2	19.936	0.057	68.3	16 27	11 2469
4604	8.5	25 18.45	3.0437	0.0023	10 57 41.3	19.932	0.057	68.3	16 27	11 2470
4605	8.2[1]	25 20.37	3.0387	0.0033	12 49 6.0	19.932	0.057	68.3	22 31	12 2484
4606	9.3	12 25 36.18	+3.0342	−0.0040	+14 18 47.7	−19.929	+0.058	68.3	25 33	14 2511
4607	6.5	26 43.31	3.0420	0.0022	10 59 8.3	19.918	0.060	68.3	16 27	11 2473
4608	9.0	26 54.78	3.0312	0.0041	14 41 22.9	19.916	0.060	68.3	25 33	14 2514
*4609	9.2	27 7.05	3.0419	0.0022	10 53 6.3	19.914	0.061	68.3	16 27	10 2438
4610	9.0	27 59.17	3.0425	0.0018	10 21 43.2	19.905	0.063	68.3	10 14 35	10 2441
4611	8.2[2]	12 28 1.29	+3.0387	−0.0025	+11 36 45.9	−19.904	+0.062	68.3	16 27	11 2474
4612	8.3[3]	28 18.42	3.0373	0.0027	11 59 26.0	19.901	0.063	68.3	20 29	12 2488
4613	8.4	28 32.51	3.0384	0.0024	11 31 35.6	19.899	0.063	68.3	16 27	11 2475
4614	8.5	28 33.80	3.0334	0.0032	13 9 5.5	19.899	0.063	68.3	22 31	13 2550
4615	8.7	28 48.58	3.0316	0.0035	13 37 40.4	19.896	0.064	68.3	22 31	13 2551
4616	8.0[4]	12 28 51.70	+3.0358	−0.0027	+12 14 12.8	−19.895	+0.064	68.3	20 29	12 2489
4617	9.2	29 12.14	3.0412	0.0017	10 20 49.1	19.892	0.065	68.3	10 14 35	10 2444
*4618	. . .[5]	29 41.04*	3.0352	0.0026	12 5 46.9*	19.886	0.066	79.3	20 29 768 770	12 2492
4619	9.1	29 42.18*	3.0312	0.0033	13 22 28.9	19.886	0.066	79.3	22 31 768 769	13 2553
4620	8.8	29 44.38	3.0420	0.0015	9 55 17.6	19.886	0.066	77.1	6 Beob.	10 2446
4621	9.4	12 29 53.45	+3.0407	−0.0017	+10 16 29.1	−19.884	+0.066	68.3	10 14 35	10 2447
4622	8.6	30 8.81	3.0368	0.0022	11 25 10.0	19.881	0.067	68.3	16 27	11 2477
4623	9.0	30 14.56*	3.0302	0.0033	13 27 0.3	19.880	0.067	79.3	22 31 769 770	13 2557
4624	9.3	30 18.26	3.0296	0.0033	13 35 51.4	19.879	0.067	79.3	31 770	13 2558
4625	8.9	30 35.28	3.0399	0.0016	10 17 29.8	19.876	0.067	68.3	10 14 35	10 2450
4626	8.6	12 30 44.64	+3.0245	−0.0040	+14 56 25.3	−19.874	+0.067	68.3	25 33	15 2483
4627	8.8[6]	30 49.97	3.0313	0.0029	12 52 15.9	19.873	0.068	68.3	20 29	12 2494
4628	8.3[7]	30 53.61	3.0324	0.0028	12 30 20.5	19.872	0.068	68.3	20 29	12 2495
4629	8.2	31 4.17	3.0283	0.0033	13 40 17.3	19.870	0.068	68.3	22 31	13 2561
4630	8.3	31 18.74	3.0359	0.0021	11 16 19.6	19.867	0.069	68.3	16 27	11 2478
4631	8.7	12 31 19.96	+3.0290	−0.0032	+13 21 26.8	−19.867	+0.069	68.3	22 31	13 2562
4632	9.2	31 33.78	3.0376	0.0018	10 41 28.0	19.864	0.069	68.2	10 14 16 35	10 2453
4633	8.8	31 44.41	3.0380	0.0017	10 30 6.4	19.862	0.070	68.3	10 14 35	10 2454
4634	8.6	31 49.21	3.0387	0.0015	10 16 24.8	19.861	0.070	68.3	10 14 35	10 2455
4635	7.6[8]	32 17.65	3.0237	0.0037	14 29 38.2	19.855	0.070	68.3	25 33	14 2523
*4636	9.2	12 32 30.98*	+3.0267	−0.0032	+13 32 44.6	−19.853	+0.071	79.3	22 31 768 769	13 2563
4637	8.6	32 34.08	3.0233	0.0037	14 29 26.9	19.852	0.071	68.3	25 33	14 2525
4638	8.9	32 43.06	3.0228	0.0037	14 33 18.2	19.850	0.071	68.3	25 33	14 2527
4639	8.9	32 43.47	3.0231	0.0036	14 28 30.2	19.850	0.071	68.3	25 33	14 2528
*4640	8.1	32 52.87	3.0210	0.0039	15 0 54.0	19.848	0.071	90.3	768 769 770	15 2491
4641	9.0	12 33 41.50	+3.0258	−0.0030	+13 20 27.3	−19.838	+0.073	68.3	22 31	13 2567
4642	9.3	33 58.33	3.0226	0.0034	14 7 1.6	19.834	0.074	68.3	25 33	14 2530
4643	8.7	34 20.85	3.0312	0.0021	11 37 2.2	19.829	0.074	68.3	16 27	11 2483
4644	9.5	34 26.23*	3.0280	0.0025	12 27 9.7	19.828	0.074	81.3	29 R	— —
4645	8.1[9]	34 26.30	3.0246	0.0030	13 24 8.8	19.828	0.074	79.3	22 31 768 769	13 2569
4646	6.0[10]	12 35 16.42	+3.0320	−0.0018	+11 6 44.7	−19.817	+0.076	68.3	16 27	11 2484
4647	9.0	35 23.07	3.0269	0.0024	12 26 54.1	19.816	0.076	68.3	20 29	12 2501
4648	7.1[11]	35 29.86	3.0337	0.0015	10 34 16.8	19.814	0.077	68.3	14 35	10 2459
4649	5.2	35 33.41	3.0324	0.0016	10 55 29.1	19.813	0.077	68.3	16 27	11 2485
4650	8.7	35 45.76	3.0172	0.0036	14 50 41.8	19.811	0.077	79.3	25 33 768 769	14 2533

[1] BD 7.3; Schätz. 8.1 8.3 [2] BD 7.5; Schätz. 8.2 8.2 [3] BD 7.8 [4] BD 7.3; Schätz. 8.0 8.0
[5] Dpl. 8.8 9.0; med. [6] BD 8.3; Schätz. 8.7 8.9 [7] BD 7.8 [8] BD 6.5; Schätz. 7.5 7.7 [9] Röthlich
[10] 6.5 5.5; BD 7.0 [11] BD 7.7; Schätz. 7.0 7.3

Nr.	Gr.	A.R. 1875	Praec.	Var. saec.	Decl. 1875	Praec.	Var. saec.	Ep.	Zonen	B. D.
4651	8.8	12h 35m 51s.96	+3s.0296	−0s.0019	+11° 34′ 8″.8	−19″.809	+0″.077	68.3	16 27	11° 2486
4652	8.7	36 44.88	3.0250	0.0023	12 28 20.1	19.797	0.079	90.3	768 769	12 2505
4653	8.8	36 47.08	3.0223	0.0027	13 9 31.5	19.796	0.079	68.3	22 31	13 2571
4654	9.3	36 50.11	3.0243	0.0024	12 37 1.9	19.796	0.079	68.3	20 29	12 2506
4655	8.8	36 50.80	3.0211	0.0028	13 25 45.9	19.796	0.079	68.3	22 31	13 2572
4656	8.2	12 36 57.25	+3.0313	−0.0015	+10 47 15.2	−19.794	+0.079	68.3	16 27	10 2461
4657	9.1	37 15.66	3.0228	0.0025	12 52 38.5	19.790	0.080	68.3	20 29	12 2507
4658	neb.	37 21.71*	3.0252	0.0022	12 14 18.7	19.788	0.080	90.3	768 770	12 2508
4659	8.6	37 43.42	3.0272	0.0018	11 36 22.8	19.783	0.081	68.3	16 27	11 2487
4660	9.1	38 16.34	3.0187	0.0028	13 33 5.5	19.775	0.082	68.3	22 31	13 2574
4661	8.5	12 38 16.91	+3.0167	−0.0030	+14 2 2.0	−19.775	+0.082	68.3	25 33	14 2536
4662	8.7	38 38.58	3.0156	0.0031	14 10 30.5	19.770	0.082	68.3	25 33	14 2537
4663	8.1	39 9.72	3.0111	0.0035	15 2 56.4	19.762	0.083	68.3	25 33	15 2503
4664	8.2	39 10.07	3.0151	0.0030	14 5 54.5	19.762	0.083	68.3	25 33	14 2538
4665	7.5[1]	39 10.65	3.0110	0.0035	15 3 25.4	19.762	0.083	68.3	25 33	15 2504
4666[2]	8.7	12 39 12.80	+3.0214	−0.0023	+12 35 15.6	−19.761	+0.083	79.3	20 29 768 769	12 2509
4667	8.9	39 14.25	3.0269	0.0016	11 15 41.4	19.761	0.084	68.3	16 27	11 2489
4668[3]	9.2	39 35.66	3.0283	0.0013	10 49 54.5	19.756	0.084	68.3	16 27	10 2466
4669	8.6	39 39.17	3.0137	0.0031	14 15 57.9	19.755	0.084	68.3	25 33	14 2539
4670	8.7	39 43.27	3.0264	0.0015	11 14 58.0	19.754	0.085	79.3	16 27 768 769	11 2490
4671	9.1	12 39 48.50	+3.0129	−0.0031	+14 24 23.2	−19.752	+0.084	90.3	768 769	14 2540
4672	8.8	39 53.64	3.0176	0.0026	13 16 11.5	19.751	0.085	79.3	22 31 769 770	13 2578
4673	8.5	40 0.29	3.0305	0.0010	10 11 17.9	19.749	0.085	68.3	14 35	10 2467
4674	6.4	40 1.35	3.0303	0.0010	10 14 22.6	19.749	0.085	68.3	14 35	10 2468
4675	8.0	40 8.19	3.0313	0.0009	9 58 11.4	19.747	0.085	76.0	14 35 368 455	10 2469
4676	8.5	12 40 17.66	+3.0223	−0.0019	+12 3 42.9	−19.745	+0.085	68.3	20 29	12 2511
4677	8.6	40 19.93	3.0154	0.0027	13 38 51.0	19.745	0.085	68.3	22 31	13 2580
4678	8.8	40 46.05	3.0296	0.0010	10 13 37.5	19.738	0.086	68.3	14 35	10 2471
4679	8.9	40 46.19	3.0288	0.0011	10 24 11.9	19.738	0.086	68.3	14 35	10 2472
4680	8.2[4]	40 48.16	3.0119	0.0030	14 17 58.1	19.737	0.086	68.3	25 33	14 2544
4681	6.5	12 40 56.02	+3.0190	−0.0022	+12 38 30.4	−19.735	+0.087	68.3	20 29	12 2512
4682	8.9	41 19.57	3.0158	0.0024	13 14 5.0	19.729	0.087	68.3	22 31	13 2582
4683	8.4	41 34.85	3.0116	0.0029	14 6 24.2	19.725	0.088	68.3	25 33	14 2545
4684	8.8	41 36.75	3.0261	0.0012	10 48 31.5	19.725	0.088	68.3	16 27	10 2473
4685	9.0	41 41.43	3.0165	0.0023	12 58 5.1	19.723	0.088	68.3	22 31	13 2583
4686	8.7	12 41 43.37	+3.0150	−0.0025	+13 18 41.4	−19.723	+0.088	68.3	22 31	13 2584
4687	6.7	41 58.67	3.0104	0.0029	14 14 10.3	19.719	0.088	68.3	25 33	14 2546
4688	8.8	42 22.84	3.0138	0.0024	13 21 53.5	19.712	0.089	68.3	22 31	13 2588
4689	8.3	42 32.10	3.0107	0.0027	14 0 19.8	19.709	0.089	68.3	25 33	14 2547
4690	7.5	42 33.52	3.0162	0.0021	12 47 0.7	19.709	0.090	68.3	20 29	12 2518
4691	8.3	12 42 34.01	+3.0074	−0.0031	+14 43 4.3	−19.709	+0.089	90.3	768 769	14 2548
4692	8.9	42 36.06	3.0073	0.0031	14 43 55.0	19.709	0.089	90.3	768 769	— —
4693	4.9[5]	42 38.45	3.0069	0.0031	14 48 19.7	19.708	0.089	90.3	768 769	14 2549
4694	9.1	43 3.83	3.0079	0.0029	14 27 18.9	19.701	0.090	80.8	33 R	[14 2550]
4695	9.3	43 6.40	3.0206	0.0015	11 40 18.3	19.701	0.091	68.3	16 27	[11 2500]
4696	8.0	12 43 16.43	+3.0277	−0.0007	+10 3 16.4	−19.698	+0.091	77.3	14 35 636 637	10 2474
4697	8.7	43 35.28	3.0200	0.0015	11 40 40.1	19.693	0.092	83.0	27 769 770	11 2501
4698	9.3	43 38.91	3.0070	0.0029	14 26 59.9	19.692	0.091	80.8	25 R	[14 2551]
4699	8.9	43 41.92*	3.0241	0.0011	10 45 48.4	19.691	0.092	79.3	16 27 768 769	10 2475
4700	8.7	44 5.43	3.0248	0.0009	10 30 50.7	19.684	0.093	68.3	14 35	10 2477

[1] BD 8.0; Schätz. 7.5 7.5 [2] 9m.7 praec. 6s.0 7′A. [3] 9m.2 seq. 1s.7 30″B.; 10m.5 seq. 3s.0 3′A.
[4] BD 7.5; Schätz. 8.1 8.4 [5] BD 5.9

Nr.	Gr.	A.R. 1875	Praec.	Var. saec.	Decl. 1875	Praec.	Var. saec.	Ep.	Zonen	B.D.
4701	9.0	12h 44m 6s.51	+3s.0126	−0s.0022	+13° 7′ 4″.3	−19″.684	+0″.092	68.3	22 31	13° 2592
4702	8.4	44 17.23	3.0118	0.0023	13 14 30.7	19.681	0.093	82.9	22 768 769	13 2594
4703	8.9[1]	44 25.89*	3.0110	0.0023	13 22 1.2	19.678	0.093	79.3	22 31 770 772	13 2595
4704	9.0	44 42.23	3.0230	0.0010	10 46 0.0	19.674	0.094	68.3	16 27	10 2479
4705	8.5	45 7.17	3.0116	0.0021	13 3 10.0	19.667	0.094	68.3	22 31	13 2596
4706	8.9	12 45 47.40	+3.0073	−0.0024	+13 44 59.1	−19.655	+0.095	68.3	22 31	13 2597
4707	9.0	46 24.37	3.0156	0.0014	11 53 19.1	19.645	0.097	68.3	16 27	11 2505
4708	7.9	46 54.80	3.0088	0.0020	13 8 43.5	19.636	0.098	68.3	22 31	13 2599
4709	8.7	47 3.36	3.0051	0.0024	13 50 43.9	19.633	0.098	68.3	22 31	13 2600
4710	8.4	47 6.94	3.0041	0.0025	14 1 21.0	19.632	0.098	68.3	25 33	14 2558
4711	6.1	12 47 33.40*	+3.0082	−0.0020	+13 5 53.4	−19.624	+0.099	79.3	22 31 768 769	13 2602
4712	8.6	47 52.10	3.0082	0.0019	13 0 37.1	19.618	0.099	68.3	22 31	13 2603
4713	8.8	47 56.81	3.0133	0.0014	11 59 26.8	19.617	0.100	68.3	20 29	12 2525
4714	8.6	48 17.35	3.0098	0.0017	12 35 9.2	19.611	0.100	68.3	20 29	12 2527
4715	8.8	48 33.26	3.0227	0.0004	10 0 6.1	19.606	0.101	77.3	14 35 636 637	10 2484
4716	8.6	12 48 37.43	+3.0116	−0.0014	+12 9 31.9	−19.605	+0.101	68.3	20 29	12 2528
4717	9.0	48 40.25	3.0194	0.0007	10 37 43.4	19.604	0.101	68.3	14 35	10 2485
4718	8.8	48 57.90	3.0029	0.0022	13 44 18.2	19.598	0.101	68.3	22 31	13 2606
4719	8.7	49 12.67	3.0148	0.0010	11 23 37.7	19.594	0.102	68.3	16 27	11 2513
4720	8.4	49 14.31	3.0044	0.0020	13 22 46.1	19.593	0.102	68.3	22 31	13 2607
*4721	7.2	12 49 14.32	+3.0107	−0.0014	+12 10 27.1	−19.593	+0.102	68.3	20 29	12 2529
4722	8.8[2]	49 50.34	2.9963	0.0026	14 44 29.8	19.582	0.103	68.3	25 33	[14 2562]
4723	7.8	50 18.11	3.0209	0.0003	9 59 35.2	19.573	0.104	77.3	14 35 636 637	10 2487
4724	8.4	50 29.07	3.0145	0.0008	11 11 10.4	19.570	0.104	68.3	16 27	11 2515
4725	8.7	50 53.54	3.0091	0.0013	12 5 53.5	19.562	0.105	68.3	20 29	12 2531
*4726	9.2	12 51 4.91	+3.0168	−0.0005	+10 37 25.7	−19.558	+0.106	68.3	14 35	10 2489
4727	8.9	51 14.08	2.9943	0.0025	14 44 5.0	19.555	0.105	83.0	33 768 769	14 2565
4728	8.9	51 24.38	3.0034	0.0017	13 1 57.5	19.552	0.106	68.3	22 31	13 2609
4729	8.0	51 34.55	3.0195	0.0002	10 0 56.8	19.549	0.107	76.0	14 35 368 455	10 2490
4730	8.9	51 40.95	3.0157	0.0005	10 42 59.6	19.546	0.107	68.3	16 27	10 2491
4731	8.7	12 52 1.43	+3.0168	−0.0004	+10 25 59.0	−19.540	+0.107	68.3	14 35	10 2492
4732	8.9	52 17.00	3.0020	0.0017	13 4 15.1	19.535	0.107	68.3	22 31	13 2610
4733	9.0[3]	52 56.44	3.0145	0.0004	10 40 42.2	19.522	0.109	94.3	R(2)	10 2494
4734	8.4	53 7.02	3.0106	0.0008	11 20 30.4	19.518	0.109	68.3	27 29	11 2520
4735	8.9	53 12.68	3.0124	0.0006	11 0 27.3	19.516	0.109	80.8	29 R	[11 2522]
4736	6.7[4]	12 53 29.21	+3.0166	−0.0002	+10 12 3.1	−19.511	+0.110	83.0	35 768 769	10 2496
4737	8.8	53 44.18	2.9892	0.0025	14 57 36.7	19.505	0.110	68.3	25 33	15 2530
4738	8.0	54 8.10	2.9912	0.0022	14 31 14.0	19.497	0.110	68.3	25 33	14 2567
*4739	9.5	54 9.17	3.0124	0.0005	10 49 51.2*	19.497	0.111	68.2	16 20	[10 2499]
*4740	8.7	54 33.31	2.9874	0.0025	15 3 13.9	19.489	0.111	68.3	25 33	15 2531
4741	9.2	12 54 43.42*	+3.0061	−0.0009	+11 48 56.1	−19.485	+0.112	88.6	27 R(3)	[11 2525]
4742	8.9	54 59.62	3.0063	0.0008	11 43 22.2	19.480	0.113	90.3	768 769	11 2526
4743	8.6	55 6.94	3.0057	0.0009	11 47 41.5	19.477	0.113	68.3	16 27	11 2527
4744	8.7	55 10.27	3.0114	0.0004	10 48 32.6	19.476	0.113	68.3	27 29	10 2501
4745	8.0	55 10.63	2.9937	0.0018	13 50 30.2	19.476	0.113	68.3	22 31	13 2619
4746	9.0	12 55 28.22	+2.9932	−0.0018	+13 50 49.8	−19.470	+0.113	68.3	22 31	13 2620
4747	**2.6**	**55 57.27**	**3.0057**	**0.0007**	**11 37 53.0**	**19.460**	**0.114**		**Fund. Cat.**	**11 2529**
4748	8.8	56 4.16	3.0024	0.0010	12 10 38.4	19.457	0.114	68.3	20 29	12 2540
4749	9.2	56 26.04	2.9901	0.0019	14 8 37.2	19.449	0.115	68.3	25 33	[14 2569]
4750	8.4	56 37.97	2.9898	0.0019	14 8 41.3	19.445	0.115	68.3	25 33	14 2572

[1] 8.3 9.1 9.3 9.0 [2] BD 9.3 [3] Grösse nach BD [4] 7.3 6.4 6.4; BD 7.3

Nr.	Gr.	A.R. 1875	Praec.	Var. saec.	Decl. 1875	Praec.	Var. saec.	Ep.	Zonen	B.D.
*4751	8.8[1]	$12^h\,56^m\,41^s.95$	$+3^s.0079$	$-0^s.0004$	+11° 6′ 46″.5	−19″.444	+0″.116	68.3	16 27	11° 2530
4752	9.5	56 43.53	3.0113	−0.0002	10 32 0.2	19.443	0.116	80.8	35 R	[10 2503]
4753	8.7	56 44.83	2.9993	−0.0011	12 33 9.3	19.443	0.115	68.3	20 29	12 2541
4754	8.9	57 2.79	3.0107	−0.0002	10 34 27.7	19.436	0.116	68.3	14 35	10 2505
4755	8.4	57 12.00	2.9981	−0.0011	12 39 8.3	19.433	0.116	68.3	20 29	12 2544
*4756	9.2	12 57 15.90*	+3.0131	+0.0001	+10 8 35.6	−19.431	+0.117	87.5	5 Beob.	— —
*4757	9.2	57 16.21	3.0131	+0.0001	10 8 28.0*	19.431	0.117	83.3	8 Beob.	10 2506
4758	8.1	57 44.63	3.0020	−0.0007	11 54 8.6	19.421	0.117	68.3	20 29	12 2545
4759	8.8	57 50.96	3.0014	−0.0008	11 58 38.7	19.419	0.118	68.3	20 29	12 2546
4760	8.2	58 28.22	3.0120	+0.0001	10 7 15.4	19.405	0.119	77.3	14 35 636 637	10 2509
4761	8.8	12 58 43.89	+3.0063	−0.0003	+11 1 5.4	−19.399	+0.119	68.3	16 27	11 2532
4762	8.9	59 11.90	3.0055	−0.0003	11 3 29.7	19.389	0.120	68.3	16 27	11 2534
4763	8.8	59 12.58	3.0063	−0.0002	10 55 38.1	19.389	0.120	68.3	16 27	11 2535
4764	7.5	59 21.88	2.9875	−0.0016	13 53 45.4	19.385	0.120	68.3	25 33	14 2578
4765	8.8	13 0 0.17	2.9852	−0.0016	14 6 39.2	19.371	0.121	68.3	25 33	14 2579
4766	8.9	13 0 0.98	+2.9977	−0.0007	+12 9 8.1	−19.370	+0.121	68.3	20 29	12 2550
4767	8.8	0 10.11	2.9962	−0.0008	12 21 32.0	19.367	0.122	68.3	20 29	12 2551
4768	9.1	0 11.31	2.9947	−0.0009	12 35 47.5	19.367	0.122	68.3	22 31	12 2552
4769	8.5	0 13.81	3.0023	−0.0004	11 22 49.4	19.366	0.122	68.6	16 27 40 108	11 2537
4770	8.6	0 22.98	3.0000	−0.0005	11 42 57.8	19.362	0.122	68.6	16 27 40 108	11 2538
4771	8.8	13 0 59.87	+2.9978	−0.0006	+11 56 50.4	−19.348	+0.123	68.6	20 29 40 108	12 2555
4772	8.6	1 9.78	2.9985	−0.0005	11 48 32.5	19.344	0.124	68.6	16 27 40 108	11 2540
4773	8.5	1 15.26	2.9908	−0.0010	12 59 41.3	19.342	0.123	69.3	100 110	13 2633
4774	8.8[2]	1 20.86	2.9910	−0.0010	12 56 33.0	19.340	0.124	69.3	100 110	13 2634
4775	9.1	1 27.09	2.9921	−0.0009	12 45 10.4	19.338	0.124	80.8	40 R	[12 2557]
4776	8.9	13 1 34.14	+3.0072	+0.0002	+10 22 43.0	−19.335	+0.125	81.1	38 104(½) 777 778	10 2512
4777	8.8	1 51.09	2.9908	−0.0009	12 51 47.9	19.328	0.124	69.3	100 110	12 2558
4778	8.9	2 3.41	2.9914	−0.0009	12 44 8.5	19.324	0.125	83.3	108 770 774	12 2559
4779	8.7	2 9.97	3.0071	+0.0003	10 17 57.5	19.321	0.126	81.1	38 104(½) 777 778	10 2513
4780	6.8[3]	2 56.83	3.0038	+0.0001	10 41 22.8	19.303	0.127	81.1	38 104(½) 777 778	10 2516
4781	8.9	13 3 51.49	+2.9874	−0.0009	+12 59 14.8	−19.281	+0.128	69.3	100 110	13 2638
4782	9.0	3 59.85*	3.0059	+0.0004	10 12 27.7*	19.278	0.129	81.1	38 104(½) 777 778	10 2518
4783	7.5[4]	4 35.32	2.9797	−0.0013	13 58 20.8	19.263	0.129	77.7	102(½) 106 779	14 2584
4784	8.7	4 41.55	2.9828	−0.0011	13 29 53.0	19.261	0.129	69.3	100 110	13 2641
4785	8.2[5]	4 55.75	2.9751	−0.0016	14 34 35.2	19.255	0.130	81.3	102(½) 106 777 778	14 2585
4786	9.0	13 4 58.01	+2.9904	−0.0005	+12 21 6.9	−19.254	+0.130	68.8	40 108	12 2561
4787	8.8	5 3.18	2.9866	−0.0008	12 52 43.4	19.252	0.130	79.8	100 110 770 774	12 2562
4788	8.6	5 10.12*	3.0042	+0.0005	10 16 57.1*	19.249	0.131	81.1	38 104(½) 777 778	10 2519
4789	8.8	5 10.55	2.9718	−0.0017	14 59 41.0	19.249	0.130	81.2	102(½) 106 770 774	15 2551
4790	8.6	5 24.21	2.9853	−0.0008	13 0 23.0	19.243	0.131	69.3	100 110	13 2642
4791	8.4	13 5 36.09	+2.9823	−0.0010	+13 23 44.0	−19.238	+0.131	69.3	100 110	13 2643
4792	9.0	5 39.02	3.0044	+0.0005	10 10 44.2	19.237	0.132	81.1	38 104(½) 777 778	10 2520
4793	8.1	5 51.09	2.9925	−0.0003	11 53 6.9	19.232	0.132	68.8	40 108	11 2543
4794	6.5[6]	6 19.76	2.9896	−0.0004	12 13 16.7	19.220	0.133	68.8	40 108	12 2565
4795	9.2	6 44.45	2.9874	−0.0005	12 27 26.6	19.210	0.133	90.3	770 774	12 2566
4796	7.3[7]	13 7 6.59	+2.9756	−0.0012	+14 3 21.7	−19.201	+0.133	81.3	102(½) 106 770 774	14 2586
4797	8.8	7 18.51	2.9922	−0.0001	11 41 24.8	19.196	0.134	68.8	40 108	11 2546
4798	9.7	7 31.12	3.0008	+0.0005	10 25 27.7	19.190	0.135	92.3	777 R	— —
4799	8.5	7 48.39	3.0004	+0.0005	10 26 10.1	19.183	0.136	77.4	38 104(½) 778	10 2523
4800	9.1	7 58.33	3.0018	+0.0006	10 13 15.7	19.179	0.136	90.8	777 778	10 2525

[1] Dpl. med. [2] $9^m.0$ seq. $0^s.2$ 55″ B. [3] 7.3 7.0 6.2 6.9 [4] BD 7.0 [5] BD 7.5; Schätz. 8.3 8.1 8.0 8.3
[6] BD 6.0 [7] 8.0 7.8 6.4 7.0; Z. 774 röthlich

Nr.	Gr.	A.R. 1875	Praec.	Var. saec.	Decl. 1875	Praec.	Var. saec.	Ep.	Zonen	B. D.
4801	6.7	13h 8m 17s.11	+2s.9888	−0s.0002	+11° 59′ 45″.8	−19″.171	+0″.136	68.8	40 108	12° 2572
4802	9.2	8 42.74	2.9909	0.0000	11 38 36.8	19.160	0.137	68.8	40 108	11 2547
4803	8.8[1]	9 0.43	2.9926	+0.0002	11 21 4.2	19.152	0.138	90.3	770 774	11 2548
4804	8.7	9 17.19	2.9928	+0.0002	11 16 46.4	19.145	0.138	68.8	40 108	11 2549
4805	8.6	9 28.13	2.9769	−0.0007	13 26 18.6	19.140	0.138	83.3	5 Beob.	13 2647
4806	8.7	13 9 30.10	+2.9953	+0.0004	+10 54 41.5	−19.139	+0.139	68.8	40 108	11 2550
*4807	8.8	9 31.72	2.9833	−0.0003	12 33 9.2	19.138	0.138	69.3	100 110	12 2576
4808	8.8	9 46.16	2.9992	+0.0007	10 19 38.5	19.132	0.139	81.1	38 104(½) 777 778	10 2530
4809	5.8	10 34.11*	3.0002	+0.0009	10 4 41.8*	19.111	0.141	82.1	6 Beob.	10 2531
4810	8.5	10 35.49	2.9780	−0.0005	13 4 59.5	19.110	0.140	69.3	100 110	13 2648
4811	9.0	13 10 45.82	+2.9906	+0.0003	+11 21 29.7	−19.106	+0.141	68.8	40 108	11 2552
4812	8.8	10 48.32	2.9646	−0.0013	14 49 56.3	19.105	0.140	81.3	102(½) 106 770 779	14 2590
4813	5.7[2]	11 4.71	2.9680	−0.0011	14 20 3.1	19.097	0.140	81.3	102(½) 106 770 779	14 2591
4814	9.0	11 26.92	2.9740	−0.0006	13 28 19.7	19.088	0.141	69.3	100 110	13 2650
4815	7.9	11 27.94	2.9667	−0.0011	14 25 22.0	19.087	0.141	81.3	102(½) 106 770 779	14 2593
4816	8.7	13 11 46.67	+2.9779	−0.0004	+12 54 13.3	−19.079	+0.142	69.3	100 110	13 2652
4817	8.5	11 51.30	2.9720	−0.0007	13 39 32.8	19.077	0.142	81.3	102(½) 106 770 779	13 2653
4818	8.4	12 25.46	2.9719	−0.0006	13 34 14.8	19.061	0.143	69.3	100 110	13 2655
4819	8.7	12 33.41	2.9814	0.0000	12 18 35.0	19.058	0.143	68.8	40 108	12 2581
4820	8.3	12 35.17	2.9800	−0.0001	12 29 30.7	19.057	0.144	69.3	100 110	12 2582
4821	8.9	13 12 35.25	+2.9951	+0.0008	+10 29 40.5*	−19.057	+0.144	81.1	38 104(½) 777 778	10 2534
4822	8.5	12 45.20	2.9756	−0.0004	13 1 55.0	19.052	0.144	69.3	102(½) 106 110	13 2656
4823	8.6[3]	12 58.80	2.9976	+0.0010	10 6 34.9	19.046	0.145	82.1	6 Beob.	10 2535
4824	8.0	13 24.29	2.9953	+0.0009	10 21 10.5	19.034	0.146	81.1	38 104(½) 777 778	10 2536
4825	9.4	13 40.61	2.9613	−0.0011	14 42 40.0	19.027	0.145	81.3	102(½) 106 770 779	14 2597
4826	8.7	13 13 51.78	+2.9925	+0.0008	+10 39 28.8	−19.022	+0.146	81.1	38 104(½) 777 778	10 2537
4827	8.8	14 20.96	2.9746	−0.0003	12 54 18.7	19.008	0.146	69.3	100 110	13 2657
4828	8.9	14 27.38	2.9722	−0.0003	13 11 43.2	19.005	0.146	79.8	100 110 770 779	13 2658
4829	9.1	14 30.59	2.9916	+0.0008	10 41 44.1	19.004	0.147	81.1	38 104(½) 777 778	10 2539
4830	8.4	14 37.92*	2.9620	−0.0009	14 27 23.0	19.000	0.146	81.3	102(½) 106 770 779	14 2599
4831	8.9	13 14 42.75	+2.9652	−0.0007	+14 1 47.0	−18.998	+0.147	81.3	102(½) 106 770 779	14 2600
4832	8.9	14 43.47	2.9970	+0.0011	9 57 53.6	18.998	0.148	82.1	6 Beob.	10 2541
4833	9.0	15 1.15	2.9868	+0.0006	11 14 45.2	18.989	0.148	68.8	40 108	11 2555
4834	7.7[3]	15 12.68	2.9583	−0.0010	14 48 20.0	18.984	0.147	81.3	102(½) 106 770 779	14 2602
4835	8.9	15 20.86	2.9766	0.0000	12 29 29.6	18.980	0.148	68.8	40 108	12 2591
4836	8.9	13 15 57.37	+2.9653	−0.0005	+13 48 44.5	−18.963	+0.149	79.8	100 110 770 779	13 2660
4837	9.0	16 36.80	2.9586	−0.0008	14 31 15.8	18.944	0.150	81.3	102(½) 106 770 779	14 2604
4838	8.7	17 32.16	2.9649	−0.0003	13 36 2.4	18.917	0.152	69.3	100 110	13 2661
4839	8.8	18 2.93	2.9848	+0.0008	11 5 3.9	18.903	0.153	68.8	40 108	11 2560
4840	6.7	18 19.63	2.9681	−0.0001	13 4 59.0	18.894	0.153	69.3	100 110	13 2663
4841	8.4	13 18 29.03	+2.9764	+0.0004	+12 2 58.1	−18.890	+0.154	68.8	40 108	12 2593
4842	8.8[4]	19 5.71	2.9827	+0.0008	11 11 55.3	18.872	0.155	68.8	40 108	11 2562
4843	8.6	19 10.59	2.9809	+0.0007	11 24 27.1	18.869	0.155	68.8	40 108	11 2563
4844	8.0	19 58.48	2.9498	−0.0008	14 59 51.5	18.846	0.155	81.3	102(½) 106 770 779	15 2576
4845	9.6	20 33.22*	2.9900	+0.0014	10 7 58.8	18.828	0.158	83.8	368 455	[10 2545]
4846	8.2	13 20 44.42	+2.9484	−0.0007	+15 1 41.4*	−18.823	+0.156	81.3	102(½) 106 770 779	15 2578
4847	8.3[5]	20 47.77	2.9694	+0.0003	12 33 30.6	18.821	0.157	68.8	40 108	12 2594
4848	8.9	21 11.06	2.9677	+0.0003	12 42 26.9	18.809	0.158	69.3	100 110	12 2595
4849	8.2	21 21.39	2.9515	−0.0005	14 33 48.9	18.804	0.158	81.3	102(½) 106 770 779	14 2617
4850	8.1	21 35.37	2.9616	0.0000	13 21 8.6	18.797	0.159	69.3	100 110	13 2669

[1] BD 8.3 [2] 6.7 5.5 5.2 5.6 [3] Röthlich [4] 9m.2 praec. 2s.0 30″B. [5] BD 7.7; Schätz. 8.4 8.3

Nr.	Gr.	A.R. 1875	Praec.	Var. saec.	Decl. 1875	Praec.	Var. saec.	Ep.	Zonen	B. D.
*4851	7.9	13h 21m 56s.42*	+2s.9888	+0s.0015	+10° 6' 36".2	−18".786	+0".160	82.1	6 Beob.	10° 2548
4852	8.4	22 7.50	2.9801	+0.0010	11 7 7.4	18.780	0.160	68.8	40 108	11 2573
4853	5.5[1]	22 18.92*	2.9512	−0.0004	14 26 46.0*	18.774	0.159	81.3	102(½) 106 770 779	14 2621
4854	8.8	22 30.24	2.9778	+0.0010	11 20 17.5	18.769	0.161	68.8	40 108	11 2574
4855	8.6	22 31.78	2.9514	−0.0004	14 22 56.6	18.768	0.160	81.3	102(½) 106 770 779	14 2622
4856	8.4	13 22 49.29	+2.9686	+0.0005	+12 21 55.2	−18.759	+0.161	69.3	100 110	12 2596
4857	8.7	22 56.46	2.9705	+0.0006	12 7 29.0	18.755	0.161	68.8	40 108	12 2597
4858	8.1	22 56.95*	2.9691	+0.0006	12 17 7.3	18.755	0.161	79.8	100 110 770 779	12 2598
4859	6.0	23 1.50	2.9761	+0.0009	11 28 0.5	18.753	0.162	68.8	40 108	11 2575
4860[2]	8.7	23 5.61*	2.9891	+0.0016	9 56 51.4	18.750	0.163	82.1	6 Beob.	10 2550
4861	8.9	13 23 15.36	+2.9546	−0.0001	+13 54 36.0*	−18.745	+0.161	81.3	102(½) 106 770 779	14 2625
4862[3]	9.0	23 32.62	2.9822	+0.0013	10 41 54.8	18.737	0.163	81.1	38 104(½) 777 778	10 2551
4863	8.9	24 7.33*	2.9875	+0.0016	10 0 45.4	18.718	0.164	83.2	7 Beob.	10 2552
4864	7.5	24 25.69	2.9877	+0.0017	9 57 47.5	18.709	0.165	82.1	6 Beob.	10 2553
4865	8.8	24 45.73	2.9794	+0.0013	10 52 15.5	18.698	0.165	81.1	38 104(½) 777 778	10 2554
4866	9.7	13 25 38.88	+2.9849	+0.0017	+10 8 21.9	−18.670	+0.167	85.6	455 636 637	[10 2555]
4867	8.3	25 58.81	2.9789	+0.0014	10 47 31.4	18.660	0.167	81.1	38 104(½) 777 778	10 2556
4868	9.1	26 4.92*	2.9846	+0.0017	10 7 44.3	18.656	0.168	86.5	5 Beob.	[10 2557]
4869	7.2	26 29.60	2.9399	−0.0004	15 2 13.9	18.643	0.166	81.3	102(½) 106 770 779	15 2591
4870	8.8	26 35.89	2.9628	+0.0007	12 30 46.8	18.639	0.167	68.8	40 108	12 2601
4871	9.2	13 26 38.38	+2.9448	−0.0002	+14 28 44.4	−18.638	+0.166	81.3	102(½) 106 770 779	14 2630
4872	8.8	27 4.80	2.9596	+0.0006	12 47 34.5	18.624	0.168	69.3	100 110	12 2602
4873	8.8	27 12.91	2.9850	+0.0018	9 57 56.7	18.620	0.170	82.1	6 Beob.	10 2561
4874	8.7	27 50.34	2.9577	+0.0006	12 54 13.8	18.599	0.169	69.3	100 110	13 2680
4875	8.7	28 2.41	2.9820	+0.0017	10 12 12.7	18.593	0.171	81.1	38 104(½) 777 778	10 2562
4876	9.2	13 28 4.51	+2.9812	+0.0017	+10 17 25.5	−18.592	+0.171	90.4	777 778	10 2563
4877	7.9[4]	28 10.61	2.9390	−0.0002	14 52 29.9*	18.588	0.169	81.3	102(½) 106 770 779	14 2635
4878	7.6	28 13.17*	2.9400	−0.0002	14 45 10.9*	18.587	0.169	81.3	102(½) 106 770 779	14 2636
4879	9.2	28 26.35	2.9802	+0.0017	10 21 54.4	18.580	0.171	90.4	777 778	10 2564
4880	9.0	28 34.86	2.9521	+0.0004	13 24 38.7	18.575	0.170	79.8	100 110 770 779	13 2682
4881	7.0	13 28 52.66	+2.9541	+0.0005	+13 9 16.4	−18.565	+0.171	69.3	100 110	13 2683
4882	8.6	29 0.33	2.9590	+0.0008	12 36 31.0	18.561	0.171	68.8	40 108	12 2605
4883	7.1	29 20.82	2.9749	+0.0015	10 50 48.2	18.549	0.173	81.1	38 104(½) 777 778	10 2565
4884	8.7	29 22.07	2.9747	+0.0015	10 51 55.8*	18.549	0.173	81.1	38 104(½) 777 778	10 2566
4885	8.7	30 2.05	2.9777	+0.0017	10 27 59.0	18.526	0.174	81.1	38 104(½) 777 778	10 2567
4886	8.8	13 30 8.01*	+2.9419	+0.0001	+14 16 19.9	−18.523	+0.172	81.3	102(½) 106 770 779	14 2637
4887	8.9	30 19.59	2.9400	+0.0001	14 26 20.9	18.517	0.172	81.3	102(½) 106 770 779	14 2638
4888	9.0	30 38.21	2.9541	+0.0007	12 55 4.9	18.506	0.174	69.3	100 110	13 2687
4889	8.7	30 51.24	2.9779	+0.0018	10 21 10.6	18.499	0.176	81.1	38 104(½) 777 778	10 2570
4890	8.9	31 3.56	2.9456	+0.0004	13 45 6.8	18.492	0.174	90.3	770 779	13 2690
4891[5]	9.0	13 31 13.04	+2.9431	+0.0003	+13 59 42.5*	−18.487	+0.174	81.3	102(½) 106 777 778	14 2642
4892	8.8	31 19.85	2.9469	+0.0005	13 35 9.9	18.483	0.175	69.3	100 110	13 2692
4893	8.7	31 36.81	2.9607	+0.0011	12 6 0.6	18.473	0.176	83.0	40 770 779	12 2609
4894	8.2	31 45.59	2.9415	+0.0003	14 5 7.8	18.468	0.175	81.3	102(½) 106 777 778	14 2643
4895	9.0	31 54.48	2.9620	+0.0012	11 55 38.3	18.463	0.176	74.3	40 108 110 770	12 2610
4896	6.7	13 32 1.01*	+2.9328	0.0000	+14 56 21.4	−18.459	+0.175	77.7	102(½) 106 779	15 2602
4897	9.1	32 23.89	2.9726	+0.0017	10 45 27.8	18.446	0.178	81.1	38 104(½) 777 778	10 2572
4898	8.2	32 31.49	2.9738	+0.0018	10 37 0.9	18.442	0.178	77.4	38 104(½) 778	10 2573
4899	9.4	32 35.81	2.9693	+0.0016	11 5 6.6	18.440	0.178	92.3	779 R	11 2585
4900	8.6	32 45.91	2.9614	+0.0013	11 53 11.4	18.434	0.178	68.8	40 110	11 2586

[1] 6.0 5.5 4.7 5.7 [2] 9m.5 praec. 7s 30" A. [3] 12m seq. 6s 1'.5 A. [4] 8.3 7.8 7.4 8.0 [5] 9m.6 praec. 3s.2 40" A.

Nr.	Gr.	A.R. 1875	Praec.	Var. saec.	Decl. 1875	Praec.	Var. saec.	Ep.	Zonen	B.D.
4901	8.9	13^h 32^m $55^s.88$	$+2^s.9386$	$+0^s.0003$	+14° 12′ 52″.5	−18″.428	+0″.177	81.3	102(½) 106 770 779	14° 2645
4902	8.4	32 59.69*	2.9790	0.0021	10 1 27.5	18.426	0.179	82.1	6 Beob.	10 2575
4903	7.2	33 2.60	2.9322	0.0015	11 8 48.2	18.424	0.179	68.8	40 110	11 2588
4904	5.7	33 24.79	2.9656	0.0015	11 22 53.8	18.411	0.179	68.8	40 108	11 2589
4905	8.1	33 38.96*	2.9456	0.0007	13 24 46.0	18.403	0.179	79.8	100 110 770 779	13 2697
4906	8.9	13 33 50.14	+2.9471	+0.0008	+13 14 3.6	−18.397	+0.179	69.3	100 110	13 2698
4907	8.1	34 39.67	2.9308	0.0002	14 46 8.7*	18.368	0.179	81.3	102(½) 106 770 773	14 2647
4908	8.9	35 29.18	2.9562	0.0013	12 6 14.0	18.339	0.182	68.8	40 108	12 2613
4909	8.7	35 29.69	2.9375	0.0006	13 59 9.1	18.338	0.181	81.3	102(½) 106 770 773	14 2649
4910	9.4	35 45.18	2.9772	0.0023	9 56 11.7	18.329	0.184	83.8	370 372 457 460	[10 2580]
4911	8.6	13 35 49.37	+2.9492	+0.0011	+12 46 30.1	−18.327	+0.182	83.3	100 770 779	12 2614
4912	8.2	35 49.66*	2.9293	0.0003	14 45 2.8*	18.327	0.181	81.3	102(½) 106 777 778	14 2650
4913	8.8	35 58.78	2.9625	0.0017	11 24 35.2	18.321	0.183	68.8	40 108	11 2591
4914	8.6	36 24.32	2.9578	0.0015	11 50 34.3	18.306	0.184	68.8	40 108	11 2593
4915	9.0	36 41.18	2.9344	0.0006	14 7 56.2	18.296	0.183	81.3	102(½) 106 777 778	14 2651
4916	6.6[1]	13 37 32.58	+2.9244	+0.0003	+14 59 45.6	−18.265	+0.184	90.3	770 773	15 2614
4917	8.9	37 32.62	2.9263	0.0003	14 48 17.5	18.265	0.184	81.3	102(½) 106 770 773	14 2653
4918	8.8	37 34.25	2.9327	0.0006	14 11 6.0	18.264	0.184	81.3	102(½) 106 777 778	14 2655
4919	8.7	37 39.88*	2.9696	0.0021	10 31 12.6	18.261	0.187	81.1	38 104(½) 777 778	10 2583
4920	9.0	37 47.20	2.9321	0.0006	14 13 1.9	18.256	0.185	83.3	106 770 773	14 2656
4921	8.8	13 38 3.74	+2.9471	+0.0012	+12 42 29.8	−18.246	+0.186	69.3	100 110	12 2618
4922	8.7	38 36.79	2.9378	0.0009	13 32 58.4	18.226	0.186	69.3	100 110	13 2706
4923	8.8	38 54.46	2.9635	0.0020	11 0 5.7	18.215	0.188	81.3	38 104(½) 770 773	11 2598
4924	6.6[2]	39 3.36*	2.9638	0.0020	10 57 16.9	18.210	0.189	81.1	38 104(½) 770 779	11 2599
4925	8.8	39 9.60	2.9473	0.0013	12 33 36.5	18.206	0.188	68.8	40 108	12 2620
4926	8.3	13 39 13.56	+2.9519	+0.0015	+12 6 26.6	−18.204	+0.188	68.8	40 108	12 2621
4927	8.9	39 24.53	2.9522	0.0016	12 3 34.6	18.197	0.189	68.8	40 108	12 2623
4928	8.5	39 31.92	2.9435	0.0012	12 53 17.6	18.193	0.188	69.3	100 110	12 2624
4929	8.6	40 28.08	2.9571	0.0019	11 27 58.9	18.158	0.191	68.8	40 108	11 2600
4930	8.3	40 31.86	2.9382	0.0011	13 16 48.6	18.156	0.190	69.3	100 110	13 2707
4931	8.6	13 40 59.38	+2.9484	+0.0016	+12 15 16.3	−18.139	+0.191	68.8	40 108	12 2626
4932	8.6	41 2.99	2.9467	0.0015	12 24 24.5	18.136	0.191	69.3	100 110	12 2627
4933	8.7	41 12.26	2.9553	0.0019	11 33 45.8	18.131	0.192	68.8	40 108	11 2601
4934	8.8	41 12.86	2.9362	0.0011	13 23 44.1*	18.130	0.191	81.3	102(½) 106 770 779	13 2709
4935	9.4	41 33.99	2.9660	0.0023	10 29 54.6	18.117	0.193	68.7	38 104(½)	— —
4936	8.8	13 41 47.70	+2.9457	+0.0015	+12 25 5.8	−18.108	+0.192	68.8	40 108	12 2628
4937	7.9[3]	41 58.85	2.9292	0.0009	13 57 39.5	18.101	0.192	81.3	102(½) 106 770 776	14 2664
4938	8.7	41 59.21	2.9259	0.0008	14 15 48.5*	18.101	0.191	81.3	102(½) 106 770 773	14 2663
4939	8.7	42 22.60	2.9624	0.0023	10 46 20.6	18.087	0.194	81.1	38 104(½) 777 778	10 2593
4940	8.8	42 35.49	2.9622	0.0023	10 46 4.5	18.078	0.195	81.1	38 104(½) 777 778	10 2594
4941	8.5	13 42 36.16	+2.9300	+0.0010	+13 48 22.8	−18.078	+0.193	79.8	100 110 770 773	13 2711
4942	7.5[4]	42 40.71	2.9666	0.0024	10 20 14.0	18.075	0.195	81.1	38 104(½) 777 778	10 2595
4943	8.3	42 49.37	2.9627	0.0023	10 41 50.1	18.070	0.195	83.0	38 777 778	10 2596
4944	8.8	43 7.18	2.9325	0.0012	13 30 48.7	18.058	0.194	69.3	100 110	13 2712
4945	8.6	43 13.29	2.9569	0.0021	11 12 47.7	18.055	0.195	79.6	40 108 770 776	11 2604
4946	6.8	13 43 30.92	+2.9307	+0.0011	+13 37 52.6	−18.043	+0.194	69.3	100 110	13 2714
4947	7.2	43 46.70	2.9284	0.0011	13 48 46.2	18.033	0.195	69.3	100 110	13 2715
4948	8.4[5]	44 0.07	2.9249	0.0010	14 6 30.7	18.024	0.195	81.3	102(½) 106 770 773	14 2669
4949	8.3	44 48.20	2.9446	0.0018	12 12 0.1	17.994	0.197	68.8	40 108	12 2631
4950	6.9[6]	45 42.10	2.9592	0.0024	10 45 20.5	17.959	0.200	81.1	38 104(½) 777 778	10 2600

[1] 6.0 7.2; BD 7.1 [2] 7.5 7.2 6.4 5.5; Z. 779 röthlich [3] 8.5 8.1 7.3 7.9 [4] 8.0 8.1 6.7 7.2; röthlich; BD 8.0
[5] BD 9.0 [6] 7.7 7.5 6.5 6.0

Nr.	Gr.	A.R. 1875	Praec.	Var. saec.	Decl. 1875	Praec.	Var. saec.	Ep.	Zonen	B.D.
4951	7.2	13h 45m 44s.82	+2s.9397	+0s.0017	+12° 33′ 18″.4	−17″.957	+0″.199	68.8	40 108	12° 2634
4952	8.7	45 48.04	2.9177	0.0009	14 32 51.5	17.955	0.197	81.3	102(½) 106 770 773	14 2675
4953	8.2	45 52.52*	2.9165	0.0009	14 38 45.8	17.952	0.197	81.3	102(½) 106 770 773	14 2676
4954	6.2[1]	46 11.00	2.9367	0.0016	12 47 1.8	17.940	0.199	69.3	100 110	12 2635
4955	8.8	46 54.32	2.9261	0.0013	13 39 54.8	17.912	0.199	69.3	100 110	13 2718
4956	7.7	13 47 10.19	+2.9291	+0.0014	+13 21 34.2	−17.901	+0.200	69.3	100 110	13 2720
4957	9.0	47 22.93	2.9420	0.0019	12 10 9.8	17.893	0.201	68.8	40 108	12 2637
4958	9.5	47 25.87	2.9119	0.0009	14 52 16.7	17.891	0.199	90.3	770 773	14 2677
4959	8.6	47 37.94	2.9292	0.0015	13 17 54.9	17.883	0.201	69.3	100 110	13 2723
4960[2]	8.0	47 47.23	2.9572	0.0025	10 45 16.9	17.877	0.203	81.1	38 104(½) 777 778	10 2603
4961	8.1	13 47 47.59	+2.9561	+0.0025	+10 51 6.3	−17.877	+0.203	81.1	38 104(½) 777 778	10 2604
4962	8.7	47 47.67	2.9470	0.0021	11 40 49.4	17.877	0.202	68.8	40 108	11 2608
4963	7.9	47 57.05	2.9159	0.0011	14 27 4.3	17.870	0.201	81.3	102(½) 106 770 773	14 2678
4964	8.8	47 59.56*	2.9557	0.0025	10 52 14.2*	17.869	0.203	81.1	38 104(½) 777 778	10 2605
4965	9.0[3]	48 9.04	2.9264	0.0014	13 29 34.6	17.863	0.202	90.3	770 773	13 2725
4966	8.8	13 48 30.95	+2.9328	+0.0017	+12 53 7.8	−17.848	+0.203	69.3	100 110	12 2640
4967	8.8	48 56.32	2.9449	0.0022	11 45 34.6	17.831	0.204	68.8	40 108	11 2610
4968	8.5	49 22.24	2.9335	0.0018	12 43 51.2	17.814	0.204	69.3	100 110	12 2641
4969	8.6	49 42.96	2.9293	0.0017	13 3 49.3	17.800	0.204	69.3	100 110	13 2728
4970	6.6[4]	49 48.39*	2.9109	0.0011	14 40 10.6	17.796	0.203	83.3	5 Beob.	14 2680
4971	8.3	13 49 54.49*	+2.9143	+0.0012	+14 21 47.7	−17.792	+0.204	81.3	102(½) 106 777 778	14 2681
4972	9.6	49 59.91	2.9358	0.0019	12 27 40.3	17.788	0.205	81.3	108 R	— —
*4973	8.9	50 46.30*	2.9052	0.0010	15 2 42.3	17.757	0.204	81.3	102(½) 106 770 773	15 2646
4974	8.9	50 57.85	2.9279	0.0018	13 3 43.0	17.749	0.206	69.3	100 110	13 2731
4975	8.7	51 2.99*	2.9521	0.0026	10 55 5.1	17.746	0.208	81.0	38 104(½) 770 773	11 2613
4976	8.9	13 51 3.01	+2.9054	+0.0010	+14 59 59.8	−17.746	+0.205	81.3	102(½) 106 770 773	15 2647
4977	9.3	51 4.90	2.9346	0.0020	12 27 43.8	17.744	0.207	84.9	40 776 777 779	} 12 2643
4978	9.4	51 5.78	2.9346	0.0020	12 27 28.9	17.744	0.207	85.1	108 776 777 779	}
4979	7.9	51 39.08	2.9327	0.0020	12 34 22.4	17.721	0.208	79.8	100 110 770 773	12 2644
4980	8.8	51 43.25*	2.9248	0.0017	13 15 4.9	17.718	0.207	81.3	102(½) 106 776 779	13 2733
4981	8.1	13 52 11.48*	+2.9529	+0.0027	+10 44 43.7	−17.699	+0.210	81.1	38 104(½) 777 778	10 2610
4982	9.0	52 28.00	2.9182	0.0016	13 44 1.3	17.688	0.208	69.3	100 110	13 2734
4983	8.6	52 30.45	2.9620	0.0031	9 55 5.0	17.686	0.211	81.9	6 Beob.	10 2611
4984	9.2	52 35.67	2.9429	0.0024	11 35 16.9	17.682	0.210	83.0	40 770 773	11 2616
4985	9.4[5]	52 41.24	2.9200	0.0016	13 33 45.0	17.678	0.290	81.3	110 R	— —
4986	8.7	13 52 55.74*	+2.9592	+0.0030	+10 7 59.2	−17.669	+0.212	82.1	6 Beob.	10 2612
4987	8.7	53 3.31	2.9026	0.0011	14 59 51.2	17.663	0.208	77.7	102(½) 106 770	15 2654
4988	8.6	53 43.58	2.9238	0.0019	13 7 48.7	17.636	0.210	69.3	100 110	13 2738
4989	8.0	55 0.03	2.9153	0.0017	13 43 5.8	17.582	0.212	69.3	100 110	13 2739
4990[6]	9.1	55 10.50*	2.9412	0.0026	11 30 18.6	17.575	0.214	81.7	5 Beob.	11 2619
4991	7.5[7]	13 55 16.04*	+2.9597	+0.0032	+ 9 54 18.2	−17.571	+0.216	82.1	6 Beob.	10 2616
4992	7.2[8]	55 16.40	2.9075	0.0015	14 20 12.8	17.570	0.212	83.3	5 Beob.	14 2686
4993	8.8	55 21.81*	2.9063	0.0015	14 25 52.3	17.567	0.212	83.3	5 Beob.	14 2687
4994	8.8	55 31.83	2.9346	0.0024	12 2 9.1	17.560	0.214	79.6	40 108 778 779	12 2647
4995	8.0[9]	56 15.63	2.9468	0.0028	10 55 47.6	17.529	0.216	68.8	38 40 104(½) 108	11 2620
4996	6.6[10]	13 56 23.95*	+2.9543	+0.0031	+10 17 30.5	−17.523	+0.217	81.1	38 104(½) 777 778	10 2617
4997	8.8	56 39.79	2.9459	0.0028	10 58 36.2	17.512	0.217	79.6	40 108 770 773	11 2621
4998	8.6	56 49.26	2.8989	0.0013	14 53 0.1	17.505	0.214	81.3	102(½) 106 770 773	14 2691
4999	8.5	56 57.18	2.9274	0.0023	12 30 18.8	17.499	0.216	69.3	100 110	12 2648
5000	8.7	57 5.89*	2.9063	0.0016	14 14 24.4*	17.493	0.215	81.3	102(½) 106 770 776	14 2692

[1] BD 6.8 [2] 9m.6 seq. 4s.8 1′.3 B. [3] Z. 773 9m.1 60″ 310° [4] 6.7 6.7 5.7 6.7 7.2 [5] Z. 110 dpl.?
[6] 9m.5 praec. 11s 1′.3 A. [7] 8.1 7.8 7.5 7.2 7.2 7.0; röthlich [8] 7.8 7.2 6.9 7.2 7.0 [9] BD 7.4
[10] 7.0 6.8 6.1 6.6

Nr.	Gr.	A.R. 1875	Praec.	Var. saec.	Decl. 1875	Praec.	Var. saec.	Ep.	Zonen	B.D.
5001	8.8	13h 57m 10s.95	+2s.9551	+0s.0032	+10° 9′ 20″.4	−17″.489	+0″.218	81.1	38 104(½) 777 778	10° 2618
5002	9.4	57 15.71	2.9570	0.0033	9 59 3.7	17.487	0.219	83.4	375 378	[10 2619]
5003	6.8	57 24.02	2.9401	0.0027	11 23 54.9*	17.481	0.218	83.2	6 Beob.	11 2625
5004	7.4	57 50.54	2.9165	0.0020	13 19 41.8	17.461	0.217	69.3	100 110	13 2742
5005	6.8[1]	57 50.77*	2.9339	0.0025	11 53 4.6	17.461	0.218	81.7	5 Beob.	11 2628
5006	8.9	13 57 55.33	+2.8988	+0.0015	+14 46 1.3*	−17.458	+0.216	77.7	102(½) 106 776	14 2693
5007	9.1	58 16.65	2.8970	0.0014	14 52 37.7	17.443	0.216	77.7	102(½) 106 776	14 2694
5008	8.7	58 31.22	2.9295	0.0025	12 11 19.5	17.432	0.219	68.8	40 108	12 2651
5009	8.9	58 52.20*	2.9542	0.0033	10 5 58.7	17.416	0.221	81.9	6 Beob.	10 2624
5010	8.8	58 56.60*	2.9480	0.0031	10 36 42.4	17.413	0.221	81.1	38 104(½) 777 778	10 2625
5011	8.7	13 59 12.32	+2.9219	+0.0023	+12 44 53.7	−17.402	+0.219	69.3	100 110	12 2653
5012	9.0	59 13.98	2.9271	0.0024	12 19 24.9	17.401	0.220	85.1	108 770 773 776	12 2654
5013	8.8	59 39.57*	2.9469	0.0031	10 38 49.5	17.382	0.222	81.1	38 104(½) 777 778	10 2628
5014	8.6	14 0 0.61	2.8913	0.0014	15 8 31.0	17.367	0.218	91.3	742 R	[15 2663]
5015	8.6	0 1.27*	2.9484	0.0032	10 29 33.1	17.367	0.222	81.1	38 104(½) 777 778	10 2630
5016	8.3	14 0 5.81	+2.9371	+0.0028	+11 25 25.5	−17.363	+0.222	75.4	40 108 743	11 2635
5017	9.0	0 42.78	2.8965	0.0016	14 39 25.7*	17.336	0.220	84.2	6 Beob.	14 2701
5018	9.4	0 59.32	2.9146	0.0022	13 10 24.5	17.324	0.221	80.8	34 R	[13 2748]
5019	9.0	1 10.56	2.9163	0.0023	13 1 1.8*	17.316	0.222	68.8	32 43 100 110	13 2749
5020	8.8	1 19.72	2.9140	0.0022	13 11 32.1	17.309	0.222	69.1	34 100 110 112	13 2750
5021	8.6	14 1 37.31*	+2.9145	+0.0022	+13 7 23.4	−17.296	+0.222	69.1	34 100 110 112	13 2752
5022	8.9	2 8.00	2.9214	0.0025	12 31 9.1	17.273	0.224	90.3	769 771	12 2655
5023	8.8	2 36.41	2.9270	0.0027	12 1 52.6	17.252	0.225	68.8	32 43 100 110	12 2656
5024	9.0	2 38.79	2.9391	0.0031	11 2 44.8	17.251	0.226	76.8	5 Beob.	11 2639
5025	9.2	2 40.49*	2.9309	0.0028	11 42 43.0	17.249	0.225	68.6	32 40 43 108	11 2640
5026	8.7	14 2 42.05*	+2.9387	+0.0031	+11 4 26.7	−17.248	+0.226	86.8	104(½) 743 769 771	11 2641
5027	8.9	2 54.52	2.9128	0.0023	13 8 13.9	17.239	0.224	68.5	34 112	13 2754
5028	9.0	2 58.42	2.9486	0.0034	10 15 27.9	17.236	0.227	68.3	26 28	10 2636
5029	8.8	3 4.48	2.9164	0.0024	12 50 11.2	17.231	0.225	68.4	32 43	12 2657
5030	8.6	3 12.85	2.8922	0.0017	14 43 46.1	17.225	0.223	75.4	36 114 742	14 2704
5031	9.1[2]	14 3 15.14	+2.9326	+0.0029	+11 31 25.4	−17.223	+0.226	75.0	30 42 743	11 2643
5032	8.2	3 19.53	2.9410	0.0032	10 50 30.0	17.220	0.227	73.3	26 28 30 743	10 2637
5033	9.0	3 28.15	2.9308	0.0029	11 39 16.4	17.214	0.227	68.4	32 43	11 2644
5034	8.3	3 31.44	2.9407	0.0032	10 51 4.6	17.211	0.227	73.4	28 30 42 743	10 2638
5035	8.4	3 39.93	2.8881	0.0017	15 0 28.1	17.205	0.224	75.4	36 114 742	15 2670
5036	8.0	14 3 50.80	+2.9265	+0.0028	+11 57 58.7	−17.197	+0.227	68.4	32 43	12 2660
5037	8.9	4 3.33	2.9120	0.0024	13 5 52.0	17.187	0.226	68.8	34 112	13 2755
5038	9.3	4 10.45	2.9503	0.0035	10 1 53.8	17.182	0.229	75.9	26 28 364 377	10 2639
5039	8.6	4 27.71	2.8870	0.0017	15 0 25.6	17.169	0.225	81.3 80.3	6 Beob.	15 2673
5040	8.9	4 30.12	2.8946	0.0019	14 24 55.3	17.167	0.226	82.9	6 Beob.	14 2709
5041	8.7	14 5 12.15	+2.8971	+0.0020	+14 8 57.8	−17.135	+0.227	68.8	34 112	14 2710
5042	8.8	5 13.31	2.9348	0.0031	11 11 31.7	17.134	0.230	78.9	30 42 743 769	11 2648
5043	9.1	5 15.68	2.9435	0.0034	10 29 46.2	17.133	0.230	68.3	26 28	10 2641
5044	9.1	5 15.83	2.9405	0.0033	10 43 54.4	17.133	0.230	75.0	26 28 742	10 2642
5045	8.8	6 9.74	2.9234	0.0029	12 0 51.8	17.092	0.230	68.4	32 43	12 2665
5046	8.9	14 6 30.27	+2.8858	+0.0018	+14 53 46.0	−17.076	+0.228	84.3 82.7	5 Beob.	14 2711
5047	8.5	6 40.86	2.9275	0.0030	11 39 4.8	17.068	0.231	75.0	30 42 743	11 2650
5048	8.7	6 44.76	2.9429	0.0035	10 26 8.8	17.065	0.233	68.3	26 28	10 2649
5049	8.9	6 45.81	2.9203	0.0028	12 12 29.1	17.064	0.231	68.4	32 43	12 2666
5050	9.0	6 55.57	2.9326	0.0032	11 13 43.8	17.057	0.232	75.0	30 42 743	11 2651

[1] Z. 773 röthlich [2] 9.2 9.6 8.6

Nr.	Gr.	A.R. 1875	Praec.	Var. saec.	Decl. 1875	Praec.	Var. saec.	Ep.	Zonen	B. D.
5051	8.4	14h 7m 23s.07	+2s.9073	+0s.0025	+13° 9' 39".0	−17".035	+0".231	68.8	34 112	13° 2762
5052	7.5[1]	7 45.09	2.9143	0.0027	12 35 3.6	17.019	0.232	68.4	32 43	12 2667
5053	8.7	7 52.78	2.8926	0.0021	14 14 33.2	17.013	0.231	84.3 82.7	5 Beob.	14 2715
5054	6.3	8 4.66	2.9014	0.0024	13 32 47.7	17.003	0.231	68.8	34 112	13 2764
5055	6.5[2]	8 35.33*	2.8875	0.0020	14 33 25.6*	16.980	0.231	84.3 82.7	5 Beob.	14 2718
5056	5.9	14 8 43.57	+2.9378	+0.0035	+10 41 24.3*	−16.973	+0.235	78.4	30 42 742 743	10 2654
5057	8.4	8 59.21	2.9461	0.0037	10 1 27.9	16.961	0.236	76.1	26 28 372 460	10 2656
5058	8.9	9 4.69	2.9012	0.0024	13 28 38.5	16.957	0.233	68.8	34 112	13 2765
5059	8.9	9 7.80	2.8989	0.0024	13 38 46.0	16.954	0.233	68.8	34 112	13 2766
5060	9.0	9 16.39	2.9060	0.0026	13 5 35.3	16.948	0.234	68.8	34 112	13 2767
5061	8.8	14 9 28.36	+2.9146	+0.0028	+12 25 11.3	−16.938	+0.235	68.4	32 43	12 2672
5062	8.9	9 36.48*	2.9068	0.0026	13 0 30.5*	16.932	0.234	79.6	34 112 769 771	13 2768
5063	8.7	9 42.62	2.9343	0.0034	10 53 20.4	16.927	0.237	75.0	30 42 743	10 2657
5064	8.8	9 43.96	2.9023	0.0025	13 19 59.8	16.926	0.234	84.3 82.7	5 Beob.	13 2770
5065	8.3	9 55.79	2.9060	0.0027	13 2 13.4	16.917	0.235	68.8	34 112	13 2771
5066	9.1	14 10 47.65	+2.8999	+0.0026	+13 25 16.9	−16.876	+0.236	68.8	34 112	13 2774
5067	9.3	10 58.29	2.9192	0.0031	11 57 0.5	16.868	0.237	68.4	32 43	12 2673
5068	9.0	11 9.08	2.8919	0.0024	13 59 3.0	16.859	0.235	79.6	34 112 769 771	14 2720
5069	9.0	11 12.50	2.9293	0.0034	11 9 51.5	16.857	0.238	75.0	30 42 743	11 2660
*5070	9.3	11 15.27	2.9293	0.0034	11 9 42.2	16.854	0.239	88.3	743	— —
5071	8.1	14 11 32.21	+2.9191	+0.0031	+11 54 53.5	−16.841	+0.238	68.4	32 43	12 2677
5072	8.5[3]	11 37.85	2.8869	0.0023	14 19 1.2	16.837	0.236	84.3 82.7	5 Beob.	14 2721
5073	8.9	11 40.99	2.9077	0.0028	12 45 39.2	16.834	0.238	68.4	32 43	12 2678
5074	8.4[4]	11 49.30	2.8844	0.0022	14 28 59.6	16.827	0.236	84.3 82.7	5 Beob.	14 2722
5075	9.0	12 3.31	2.8941	0.0025	13 44 44.6	16.816	0.237	68.8	34 112	13 2776
5076	9.0	14 12 28.27	+2.9032	+0.0028	+13 1 37.8	−16.796	+0.238	68.4	32 43	13 2779
5077	7.8[5]	12 29.86	2.9291	0.0035	11 5 18.7	16.795	0.240	68.4	30 42	11 2662
5078	8.8	12 34.14	2.9033	0.0028	13 0 52.4	16.792	0.239	68.8	34 112	13 2780
5079	9.0[6]	12 42.18	2.9307	0.0035	10 57 4.4	16.785	0.241	75.0	30 42 743	11 2663
5080	9.3	12 43.00	2.9366	0.0037	10 30 9.0	16.785	0.241	68.3	26 28	10 2664
5081	9.0	14 12 44.45*	+2.9387	+0.0037	+10 20 22.4	−16.783	+0.242	79.3	26 28 769 771	10 2666
5082	9.0	13 8.19	2.8748	0.0021	15 3 32.2	16.765	0.237	84.3 82.7	5 Beob.	15 2694
5083	6.1	13 13.31	2.8949	0.0026	13 34 54.5	16.760	0.239	68.8	34 112	13 2782
5084	9.0	13 44.13	2.9139	0.0031	12 7 44.8	16.736	0.241	68.4	32 43	12 2681
5085	9.5	14 23.58	2.9405	0.0039	10 6 3.1*	16.704	0.244	80.8	28 R	[10 2669]
5086	8.6	14 14 32.37	+2.8810	+0.0023	+14 28 54.9	−16.697	+0.240	84.3 82.7	5 Beob.	14 2725
5087	8.5[7]	15 12.72	2.9221	0.0034	11 24 37.6	16.664	0.244	75.0	30 42 743	11 2667
5088	9.0	15 15.91	2.9394	0.0039	10 7 27.2	16.662	0.246	75.9	26 28 364 377	10 2670
5089	8.2	15 24.04	2.9110	0.0032	12 13 4.5	16.655	0.243	68.4	32 43	12 2684
5090	8.6	15 30.96	2.8955	0.0028	13 20 18.5	16.649	0.242	68.8	34 112	13 2784
5091	9.2	14 15 32.60	+2.9325	+0.0037	+10 37 16.7	−16.648	+0.245	68.3	26 28	10 2673
5092	8.7	15 53.30	2.8989	0.0029	13 3 48.4	16.631	0.243	68.8	34 112	13 2788
5093	8.9	15 56.60*	2.9147	0.0033	11 54 10.1	16.628	0.245	79.3	32 43 769 771	11 2669
5094	8.9	16 8.32	2.9322	0.0038	10 35 57.3	16.619	0.246	68.3	26 28	10 2675
5095	8.7[8]	16 13.24	2.8799	0.0024	14 24 20.2	16.615	0.242	84.3 82.7	5 Beob.	14 2728
5096	9.2	14 16 28.31	+2.9314	+0.0038	+10 37 58.9	−16.602	+0.247	79.3	26 28 769 773	10 2676
*5097	9.0	16 46.71	2.9358	0.0039	10 17 32.6	16.587	0.248	79.3	26 28 773 776	10 2677
5098	8.9	16 47.60	2.8781	0.0024	14 29 20.5	16.587	0.243	84.4 82.7	5 Beob.	14 2730
5099	8.9[9]	16 59.14	2.9249	0.0036	11 5 3.4*	16.577	0.247	89.7	743 769 776	11 2671
5100	8.9	17 15.01	2.9089	0.0032	12 13 37.0	16.564	0.246	68.4	32 43	— —

[1] BD 6.8 [2] 7.5 7.7 6.0 5.9 5.3; Z. 771 röthlich [3] 9.0 8.8 8.6 7.2 9.1 [4] Z. 773 röthlich [5] BD 7.0
[6] 8.9 9.5 8.6 [7] BD 7.8; Schätz. 8.3 8.6 8.5 [8] Z. 769 9.4 [9] BD 9.4

Nr.	Gr.	A.R. 1875	Praec.	Var. saec.	Decl. 1875	Praec.	Var. saec.	Ep.	Zonen	B.D.
5101	9.0	$14^h\ 17^m\ 28^s.88$	$+2^s.8723$	$+0^s.0024$	+14° 50′ 7″.6	−16″.553	+0″.243	84.3 82.7	5 Beob.	14° 2731
*5102	8.3[1]	17 39.41	2.9089	0.0033	12 12 4.0	16.544	0.247	83.0	43 773 776	12 2691
*5103	8.1	18 0.72	2.9138	0.0034	11 48 55.1	16.527	0.248	68.4	32 43	11 2673
5104	8.8	18 8.65	2.9180	0.0035	11 30 2.7	16.520	0.248	75.0	30 42 743	11 2674
5105	8.7	18 19.83	2.9220	0.0036	11 11 55.0*	16.511	0.249	75.0	30 42 743	11 2675
5106	8.8	14 18 25.72	+2.8787	+0.0026	+14 17 45.9	−16.506	+0.245	84.3 82.7	5 Beob.	14 2732
5107	9.0	18 44.73	2.8949	0.0030	13 7 5.7	16.490	0.247	79.6	34 112 769 773	13 2794
5108	8.5[2]	20 0.63	2.8810	0.0027	14 0 9.8	16.427	0.248	68.8	34 112	14 2733
5109	9.2	20 1.94	2.9068	0.0034	12 10 11.3	16.426	0.250	68.4	32 43	12 2694
5110	8.5	20 1.99	2.8717	0.0025	14 38 56.5	16.426	0.247	84.3 82.7	5 Beob.	14 2734
5111	8.6	14 20 10.39	+2.8679	+0.0023	+14 54 18.3	−16.419	+0.247	84.3 82.7	5 Beob.	15 2711
5112	8.7	20 27.36	2.8778	0.0027	14 11 10.2	16.406	0.248	84.4 82.7	5 Beob.	14 2736
5113	7.8	20 54.85	2.9287	0.0040	10 32 46.3	16.381	0.253	68.3	26 28	10 2685
5114	8.5	21 12.03	2.8946	0.0031	12 56 45.4	16.367	0.251	68.4	32 43	13 2798
5115	9.1	21 24.36	2.8642	0.0025	15 3 0.2	16.357	0.249	80.8 78.5	36 113δ(½) R	[15 2713]
5116	9.0	14 21 43.03	+2.9158	+0.0037	+11 24 47.6	−16.341	+0.253	75.0	30 42 742	11 2682
5117	9.0	21 46.13	2.8980	0.0033	12 40 8.1	16.338	0.252	68.4	32 43	12 2697
5118	8.9	22 18.75	2.8632	0.0025	15 2 21.3	16.310	0.250	89.8 87.6	5 Beob.	15 2718
5119	8.5[3]	22 27.00	2.9225	0.0039	10 53 15.9	16.303	0.255	75.0	30 42 743	10 2688
5120	8.6	22 52.49	2.9330	0.0042	10 6 41.1	16.282	0.257	75.9	26 28 375 378	10 2690
5121	8.2	14 22 58.55	+2.9119	+0.0037	+11 36 10.4	−16.277	+0.255	75.0	30 42 743	11 2684
5122	8.7	22 59.83	2.8965	0.0033	12 40 46.0	16.276	0.254	68.4	32 43	12 2700
5123	8.7	23 20.41	2.8792	0.0029	13 51 12.2	16.258	0.253	68.8	34 112	13 2800
5124	8.7	23 20.89	2.9348	0.0043	9 57 21.6	16.258	0.258	75.9	26 28 375 378	10 2692
5125	9.1	23 36.11	2.9279	0.0041	10 25 46.8	16.245	0.257	68.3	26 28	10 2693
5126	9.0	14 23 56.44	+2.8842	+0.0031	+13 27 43.4	−16.227	+0.254	68.8	34 112	13 2801
5127	8.9	23 57.93	2.8885	0.0032	13 9 50.8	16.226	0.255	81.7	5 Beob.	13 2802
5128	8.9	24 5.60	2.8841	0.0031	13 27 18.6	16.219	0.254	79.6	34 112 771 773	13 2803
5129	9.5	24 40.46	2.9270	0.0041	10 25 49.4	16.189	0.259	68.3	26 28	10 2695
*5130	8.8[4]	24 40.97	2.8740	0.0029	14 6 7.9	16.189	0.254	68.8	34 112	14 2742
5131	9.1	14 24 43.57	+2.9327	+0.0043	+10 1 38.9	−16.187	+0.259	83.2	5 Beob.	10 2696
5132	7.5[5]	25 41.13*	2.8830	0.0032	13 24 30.1*	16.137	0.256	79.6	34 112 769 771	13 2808
5133	8.9	26 43.95	2.8662	0.0029	14 27 57.5	16.082	0.257	84.3 82.7	5 Beob.	14 2745
5134	7.2[6]	26 51.14	2.8638	0.0028	14 36 51.5	16.076	0.257	85.5 84.1	6 Beob.	14 2746
5135	8.0[7]	26 56.99	2.8669	0.0029	14 24 0.6	16.071	0.257	84.3 82.7	5 Beob.	14 2747
5136	8.9	14 27 18.51	+2.9018	+0.0037	+12 0 37.3	−16.052	+0.260	68.4	32 43	12 2707
5137	8.0[8]	27 26.76*	2.9322	0.0044	9 54 11.5*	16.045	0.263	76.1	26 28 367 467	10 2703
5138	8.9	27 30.08	2.8605	0.0028	14 46 54.9	16.042	0.257	84.3 82.7	5 Beob.	14 2751
5139	8.7	27 47.70	2.8738	0.0031	13 52 4.7	16.027	0.259	68.8	34 112	13 2811
5140	8.4	28 1.64	2.9148	0.0040	11 4 21.3	16.015	0.263	75.0	30 42 743	11 2691
5141	8.8	14 28 12.75	+2.9248	+0.0043	+10 22 8.5	−16.005	+0.264	68.3	26 28	10 2704
5142	9.2	28 35.63	2.9194	0.0042	10 43 14.8	15.985	0.264	80.8	30 R	[10 2706]
5143	8.8	28 40.26	2.8688	0.0030	14 8 6.4	15.981	0.260	79.6	34 112 769 771	14 2754
5144	8.3	28 49.40	2.9234	0.0043	10 26 3.3	15.972	0.265	68.3	26 28	10 2707
5145	8.8	28 52.66	2.9196	0.0042	10 41 31.7	15.970	0.264	84.4	42 743 769 773	10 2708
5146	7.7[9]	14 29 1.57	+2.8758	+0.0032	+13 38 42.4	−15.962	+0.261	68.8	34 112	13 2814
5147	8.8	29 9.00	2.9151	0.0041	10 58 51.1	15.955	0.264	75.0	30 42 743	11 2693
5148	8.8	29 18.14	2.9022	0.0038	11 50 54.7	15.947	0.263	68.4	32 43	11 2694
5149	9.0	29 21.25	2.8732	0.0032	13 47 23.3	15.945	0.261	68.8	34 112	13 2816
5150	8.9	29 37.09	2.8989	0.0037	12 2 48.8*	15.930	0.264	79.3	32 43 769 771	12 2714

[1] BD 9.0; Schätz. 8.7 8.3 8.0 [2] BD 8.0 [3] BD 7.7; Schätz. 8.4 8.7 8.5 [4] Nur Z. 112
[5] 8.0 7.8 7.2 6.9 [6] 7.7 7.7 7.0 7.0 6.8 7.2 [7] 8.5 8.4 8.2 7.6 7.3; Z. 769 roth [8] Z. 26 6.0
[9] BD 7.0; Schätz. 7.7 7.7

Nr.	Gr.	A.R. 1875	Praec.	Var. saec.	Decl. 1875	Praec.	Var. saec.	Ep.	Zonen	B. D.
5151	8.1[1]	14h 29m 46s.19	+2s.9052	+0s.0039	+11° 36′ 57″.7	−15″.922	+0″.264	75.0	30 42 743	11° 2695
5152	7.9[2]	29 52.92	2.9244	0.0043	10 18 8.0	15.916	0.266	68.3	26 28	10 2710
5153	9.0	30 7.67	2.8659	0.0031	14 12 59.6	15.903	0.261	84.3 82.7	5 Beob.	14 2756
5154	9.0	30 38.10	2.8547	0.0029	14 54 36.8	15.876	0.261	84.3 82.7	5 Beob.	14 2757
*5155	8.9	30 41.41	2.8879	0.0036	12 42 53.2	15.873	0.264	68.4	32 43	12 2717
5156	7.1[3]	14 30 43.97*	+2.8772	+0.0033	+13 25 24.9	−15.871	+0.263	79.6	34 112 773 776	13 2820
5157	8.8	30 57.27	2.9074	0.0040	11 23 22.9*	15.859	0.266	75.0	30 42 743	11 2698
5158	8.4[4]	31 0.55	2.9019	0.0039	11 45 15.5	15.856	0.266	75.0	30 42 743	11 2699
5159	9.0	31 5.57	2.8845	0.0035	12 54 33.5	15.852	0.264	68.4	32 43	12 2718
5160	9.9	31 9.87	2.9272	0.0045	10 2 19.7*	15.848	0.268	87.1	378 640 641 833	[10 2712]
*5161	9.1	14 31 21.67*	+2.9043	+0.0040	+11 34 11.3	−15.837	+0.266	75.0	30 42 743	11 2700
5162	8.9	31 26.61	2.8505	0.0028	15 7 28.7	15.833	0.262	91.3	742 R	[15 2734]
5163	9.1	31 27.58	2.8754	0.0033	13 29 7.9	15.832	0.264	68.8	34 112	13 2822
5164	8.4	32 5.74	2.8768	0.0034	13 20 54.8	15.798	0.265	68.8	34 112	13 2826
5165	8.0[5]	32 17.12	2.8579	0.0030	14 34 33.3*	15.788	0.264	84.3 82.7	5 Beob.	14 2761
5166	8.8	14 32 18.63	+2.8937	+0.0038	+12 12 58.6	−15.786	+0.267	68.4	32 43	12 2720
5167	8.6	32 46.14	2.8531	0.0030	14 50 44.7*	15.761	0.264	84.3 82.7	5 Beob.	14 2764
5168	8.9	32 56.65	2.8505	0.0029	15 0 1.4	15.752	0.264	84.4 82.7	5 Beob.	15 2739
5169	9.1	33 21.96	2.9156	0.0043	10 41 38.6	15.729	0.270	75.0	26 28 743	10 2718
5170	9.4	33 24.77	2.8861	0.0037	12 38 44.3	15.727	0.268	83.0	32 769 773	12 2722
5171	9.3	14 33 55.11	+2.9050	+0.0041	+11 22 4.7	−15.699	+0.270	81.2	5 Beob.	11 2702
5172	8.2	34 4.85	2.9191	0.0044	10 25 12.5	15.690	0.272	68.3	26 28	10 2720
5173	8.7	34 8.04	2.9205	0.0045	10 19 27.9*	15.687	0.272	68.3	26 28	10 2721
5174	9.0	34 17.89	2.8854	0.0037	12 37 55.7	15.678	0.269	68.4	32 43	12 2723
5175	8.7	34 34.43	2.8672	0.0034	13 47 49.8	15.663	0.268	68.8	34 112	13 2828
5176	8.4	14 34 40.76	+2.8822	+0.0037	+12 48 58.2	−15.658	+0.269	68.4	32 43	12 2724
5177	6.3	34 43.83	2.8628	0.0033	14 4 21.0	15.655	0.268	68.8	34 112	14 2769
5178	8.9	34 47.37	2.9163	0.0044	10 33 58.8	15.651	0.273	68.3	26 28	10 2723
5179	8.4	35 6.51	2.8844	0.0037	12 38 49.6	15.634	0.270	68.4	32 43	12 2725
5180	**3.3**	**35 10.80**	**2.8593**	**0.0032**	**14 15 56.0**	**15.630**	**0.268**		**Fund. Cat.**	**14 2770**
5181	8.9	14 35 17.20	+2.8808	+0.0037	+12 51 51.6	−15.624	+0.270	68.4	32 43	12 2727
5182	8.3	35 34.12*	2.8607	0.0033	14 8 24.1	15.608	0.269	81.3 80.2	6 Beob.	14 2771
*5183	7.9	35 39.30	2.9232	0.0046	10 3 44.1	15.604	0.274	75.9	26 28 375 378	10 2725
5184	5.9[6]	35 43.37	2.8906	0.0039	12 12 0.7	15.600	0.272	68.4	32 43	12 2729
5185	9.0	35 48.60*	2.8609	0.0033	14 6 41.6	15.596	0.269	79.6	34 112 769 771	14 2772
5186	8.9	14 35 50.01	+2.9020	+0.0041	+11 27 1.6	−15.594	+0.273	75.0	30 42 743	11 2708
5187	9.2	36 1.75	2.8469	0.0030	14 59 18.6	15.583	0.268	84.4 82.7	5 Beob.	15 2746
5188	8.4	36 16.43	2.8991	0.0041	11 36 38.4	15.570	0.273	75.0	30 42 743	11 2709
5189	8.7	37 0.93	2.9111	0.0044	10 46 53.8	15.529	0.275	75.0	30 42 742	10 2729
5190	8.8	37 25.34	2.9058	0.0043	11 6 34.7	15.506	0.275	75.0	30 42 743	11 2711
5191	8.8	14 37 55.11	+2.9136	+0.0045	+10 34 17.0	−15.479	+0.277	68.3	26 28	10 2734
5192	8.5	37 56.79	2.8456	0.0031	14 55 47.2	15.477	0.270	89.7	742 771 773	15 2752
5193	9.2	38 4.46	2.8744	0.0037	13 5 30.9	15.470	0.273	68.8	34 112	13 2835
5194	8.7	38 24.43	2.9144	0.0045	10 29 29.3	15.452	0.277	79.3	26 28 771 773	10 2736
5195	8.4	38 31.71	2.9019	0.0043	11 17 37.4	15.445	0.276	75.0	30 42 743	11 2714
5196	7.2[7]	14 39 18.36	+2.9038	+0.0043	+11 7 39.2	−15.401	+0.278	75.0	30 42 743	11 2718
5197	8.1[8]	39 29.23*	2.8524	0.0033	14 22 55.1*	15.391	0.273	84.4 82.7	5 Beob.	14 2779
5198	8.7	39 34.94	2.9049	0.0044	11 2 36.0	15.386	0.278	75.0	30 42 743	11 2719
5199	9.1	39 37.43	2.8740	0.0038	13 0 41.7	15.384	0.275	76.0	34 112 773	13 2837
5200	8.5	39 45.04	2.8825	0.0039	12 27 59.6	15.376	0.276	68.4	32 43	12 2735

[1] BD 7.5; Schätz. 8.2 8.0 8.0 [2] BD 7.3 [3] 7.3 7.7 7.0 6.4 [4] BD 7.6; Schätz. 8.3 8.6 8.2
[5] BD 8.8; Schätz. 8.3 8.2 8.3 7.7 7.6 [6] BD 5.3 [7] 7.7 7.7 6.2; BD 6.5 [8] 8.0 8.5 8.4 7.5 8.1

Nr.	Gr.	A.R. 1875	Praec.	Var. saec.	Decl. 1875	Praec.	Var. saec.	Ep.	Zonen	B.D.
5201	7.6	14h 39m 53s.38	+2s.9118	+0s.0045	+10° 34′ 49″.1	−15″.369	+0″.279	68.3	26 28	10° 2737
5202	7.1	39 53.73	2.8639	0.0036	13 37 53.7	15.368	0.275	68.8	34 112	13 2838
5203	7.5	40 9.89	2.9177	0.0047	10 10 59.4	15.353	0.280	68.3	26 28	10 2739
5204	9.0	40 19.46	2.8938	0.0042	11 42 40.3*	15.344	0.278	81.2	5 Beob.	11 2721
5205	7.5[1]	40 22.91	2.8409	0.0032	15 2 14.6	15.341	0.273	83.0 81.1	36 113δ(½) 773 776	15 2760
5206	9.0	14 40 49.72	+2.8746	+0.0038	+12 54 0.6	−15.316	+0.277	68.4	32 43	12 2739
5207	8.6	40 56.65	2.8886	0.0041	12 0 8.5	15.309	0.279	79.4	32 43 773 776	12 2740
5208	8.8	41 8.25*	2.8892	0.0041	11 57 26.9	15.298	0.279	79.4	32 43 771 776	12 2741
5209	8.4	41 19.39	2.9066	0.0045	10 50 10.9	15.288	0.281	75.0	30 42 743	10 2742
5210	8.8	41 24.00	2.8535	0.0035	14 10 45.2	15.283	0.276	82.4 80.5	36 113δ(½) 742 776	14 2786
5211	8.9	14 41 30.15	+2.8383	+0.0032	+15 6 51.2	−15.278	+0.275	91.3	742 R	[15 2765]
5212	8.8	41 37.07	2.9003	0.0044	11 13 12.2	15.271	0.281	75.0	30 42 743	11 2723
5213	9.0	41 41.94	2.8407	0.0033	14 57 8.6	15.267	0.275	83.0 81.1	36 113δ(½) 773 776	15 2767
5214	8.9	41 58.65	2.8503	0.0034	14 20 27.1	15.251	0.276	79.4 77.4	36 113δ(½) 776	14 2787
5215	8.8	42 7.43	2.8481	0.0034	14 28 3.5	15.242	0.276	82.4 80.5	36 113δ(½) 742 771	14 2788
5216	8.8	14 42 34.61	+2.8392	+0.0033	+14 58 55.5	−15.217	+0.276	75.4	36 115 742	15 2770
5217	8.8	43 5.41	2.9016	0.0045	11 3 41.9	15.187	0.283	75.0	30 42 743	11 2727
5218	8.4	43 11.19	2.9065	0.0046	10 44 31.4*	15.182	0.283	75.0	26 28 743	10 2747
5219	7.1	43 22.65	2.9091	0.0046	10 34 3.5	15.171	0.284	68.3	26 28	10 2748
5220	7.9	43 37.57	2.9065	0.0046	10 43 16.3	15.156	0.284	75.0	26 28 743	10 2749
5221	9.1	14 43 39.69	+2.8520	+0.0036	+14 6 55.7*	−15.155	+0.279	75.4	34 112 742	14 2791
5222	8.9	43 43.90	2.9049	0.0046	10 48 52.7	15.150	0.284	68.3	26 28	10 2750
5223	7.9[2]	43 45.26	2.9017	0.0045	11 0 48.2	15.149	0.284	68.4	30 42	11 2730
5224	8.4[3]	44 1.17	2.8720	0.0039	12 51 27.8	15.134	0.281	68.4	32 43	12 2751
5225	8.7	44 22.00	2.9185	0.0048	9 55 35.3	15.114	0.286	75.9	26 28 371 383	10 2751
5226	7.8	14 44 36.76	+2.8642	+0.0038	+13 18 12.3	−15.100	+0.281	68.8	34 112	13 2852
5227	8.8	44 48.30	2.8448	0.0035	14 28 46.6*	15.089	0.280	84.4 82.7	5 Beob.	14 2794
5228	8.9	44 55.50	2.8804	0.0041	12 17 4.1	15.082	0.283	68.4	32 43	12 2752
*5229	8.0	44 59.78	2.9130	0.0048	10 14 18.2	15.078	0.286	68.3	26 28	10 2752
5230	8.3	45 3.46	2.8738	0.0040	12 40 52.5	15.074	0.283	68.4	32 43	12 2753
5231	8.8	14 45 24.31	+2.9081	+0.0047	+10 31 32.7	−15.054	+0.287	75.0	30 42 743	10 2753
5232	8.6	45 26.21	2.8486	0.0036	14 12 31.1	15.052	0.281	84.4 82.7	5 Beob.	14 2796
5233	8.1	45 36.38	2.8519	0.0037	13 59 46.9	15.043	0.281	84.4 82.7	5 Beob.	14 2797
5234	8.7	45 38.83	2.8614	0.0038	13 24 35.9	15.040	0.282	68.8	34 112	13 2857
5235	8.3	46 22.64	2.8343	0.0034	15 0 20.6	14.998	0.281	89.7	742 771 773	15 2781
5236	9.0	14 46 42.57	+2.8408	+0.0035	+14 35 37.4	−14.978	+0.282	84.4 82.7	5 Beob.	14 2799
5237	8.5	46 48.56	2.8870	0.0043	11 45 50.4	14.973	0.286	75.0	32 43 743	11 2736
5238	8.9	46 49.62	2.8426	0.0036	14 28 41.1	14.972	0.282	79.4 77.4	36 113δ(½) 776	14 2800
5239	8.9	47 10.69	2.9160	0.0049	9 56 50.8	14.951	0.290	83.4	371 383	[10 2757]
5240	9.0	47 22.65	2.8730	0.0041	12 35 26.1	14.940	0.286	68.4	32 43	12 2755
5241	9.0	14 47 50.55	+2.8943	+0.0045	+11 15 29.7	−14.912	+0.289	75.0	30 42 743	11 2739
5242	9.2	48 6.76	2.8140	0.0049	10 1 33.1	14.897	0.291	68.3	26 28	10 2758
5243	8.4	48 41.20	2.8972	0.0046	11 2 5.2	14.863	0.290	77.1	30 42 383 743	11 2742
5244	8.7	49 12.65	2.8918	0.0045	11 20 21.5	14.832	0.290	75.0	30 42 743	11 2743
5245	7.0[4]	49 30.43	2.8652	0.0041	12 56 24.6	14.815	0.288	68.4	32 43	13 2866
5246	8.7	14 49 36.14	+2.8937	+0.0046	+11 12 2.6	−14.809	+0.291	75.0	30 42 743	11 2744
5247	8.9	49 55.08	2.8442	0.0037	14 10 27.7	14.790	0.286	84.4 82.7	5 Beob.	14 2809
5248	9.0	50 4.21	2.8985	0.0047	10 52 54.8	14.781	0.292	75.0	30 42 743	10 2764
5249	8.7	50 8.94	2.9075	0.0049	10 19 49.8	14.777	0.293	68.3	26 28	10 2765
5250	9.0	50 14.86	2.8295	0.0035	15 1 22.7	14.771	0.285	89.7	742 771 773	15 2795

[1] Roth; 8.1 8.0 6.8 7.3 [2] BD 7.4 [3] BD 7.8; Schätz. 8.4 8.5 [4] 7.5 6.5; BD 6.5

Nr.	Gr.	A.R. 1875	Praec.	Var. saec.	Decl. 1875	Praec.	Var. saec.	Ep.	Zonen	B.D.
5251	**6.0**	**$14^h\ 50^m\ 19^s.29$**	**$+2^s.8306$**	**$+0^s.0035$**	**+14° 57′ 9″.5**	**−14″.766**	**+0″.286**		**Fund. Cat.**	**15° 2796**
5252	8.9	50 34.13	2.8339	0.0036	14 44 33.0	14.752	0.286	84.4 82.7	5 Beob.	14 2811
5253	8.3	50 47.31	2.8519	0.0039	13 39 29.4	14.739	0.288	68.8	34 112	13 2867
5254	8.7	51 40.21	2.8504	0.0039	13 41 44.8	14.686	0.289	68.8	34 112	13 2869
5255	9.2	52 17.21	2.9025	0.0048	10 32 1.1	14.650	0.295	68.3	26 28	10 2768
5256	6.9[1]	14 52 21.71	+2.8354	+0.0037	+14 32 21.5	−14.645	+0.289	84.4 82.7	5 Beob.	14 2812
5257	8.9	52 22.55	2.8278	0.0036	14 58 57.0	14.644	0.288	84.4 82.7	5 Beob.	15 2799
5258	8.2	52 26.46	2.9111	0.0050	10 0 2.4	14.640	0.296	75.9	26 28 375 378	10 2769
5259	8.6	52 51.49	2.8967	0.0048	10 51 22.0	14.615	0.295	75.0	30 42 743	10 2770
5260	8.5[2]	52 53.71	2.8679	0.0043	12 34 49.3	14.613	0.293	68.4	32 43	12 2767
5261	8.8	14 53 36.23	+2.8475	+0.0040	+13 44 42.3	−14.571	+0.292	68.8	34 112	13 2875
5262	8.8	53 56.56	2.8512	0.0040	13 30 24.7	14.550	0.292	68.8	34 112	13 2877
5263	8.8	54 1.04	2.8678	0.0043	12 31 19.6	14.546	0.294	68.4	32 43	12 2770
5264	9.2	54 21.54*	2.8266	0.0036	14 55 19.3	14.525	0.290	89.7	742 771 773	15 2804
5265	8.5	54 22.85	2.8455	0.0039	13 49 5.4	14.524	0.292	68.8	34 112	13 2879
5266	8.7	14 54 26.51*	+2.8598	+0.0042	+12 58 23.2	−14.520	+0.294	68.8	34 112	13 2880
5267	9.3	54 28.74	2.9074	0.0050	10 8 4.2	14.518	0.299	83.4	375 378	[10 2774]
5268	8.8	54 36.04	2.8811	0.0046	11 42 7.0	14.511	0.296	75.0	30 42 743	11 2753
5269	8.5	55 23.07	2.8946	0.0048	10 51 32.6	14.463	0.299	73.4	28 30 42 743	10 2776
5270	8.9	55 53.54	2.8449	0.0040	13 45 35.0	14.432	0.294	68.8	34 112	13 2884
5271	8.8	14 55 58.41	+2.8869	+0.0047	+11 17 24.3	−14.427	+0.299	75.0	30 42 743	11 2756
5272	8.5	56 5.58	2.8807	0.0046	11 38 54.0	14.420	0.298	75.0	30 42 743	11 2758
5273	9.3	56 8.90	2.8634	0.0043	12 39 56.5*	14.417	0.296	79.4	32 43 771 773	12 2772
5274	8.9	56 9.17	2.8314	0.0038	14 31 41.7	14.416	0.293	84.4 82.7	5 Beob.	14 2821
5275	8.9[3]	56 24.06	2.8774	0.0045	11 49 37.7	14.401	0.298	68.4	32 43	11 2759
5276	8.7	14 56 30.26	+2.8932	+0.0048	+10 53 22.4	−14.395	+0.300	75.0	26 28 743	10 2778
5277	8.6	56 46.09	2.8406	0.0040	13 57 33.9	14.379	0.295	68.8	34 112	14 2823
5278	8.3	56 50.81	2.9079	0.0051	9 59 47.0	14.374	0.302	75.9	26 28 375 378	10 2780
5279	8.7	56 52.07	2.8883	0.0048	11 9 31.5	14.373	0.300	75.0	30 42 743	11 2760
5280	8.8	56 57.47	2.8265	0.0038	14 45 39.1	14.368	0.294	84.4 82.7	5 Beob.	14 2824
5281	8.8	14 57 2.05	+2.8736	+0.0045	+12 0 57.4	−14.363	+0.298	68.4	32 43	12 2774
5282	9.2	57 29.14	2.8686	0.0044	12 17 23.2	14.335	0.299	68.4	32 43	12 2775
5283	8.8	57 46.92	2.8563	0.0043	12 59 13.4	14.317	0.298	68.8	34 112	13 2888
5284	8.9	57 52.68	2.8663	0.0044	12 24 10.6	14.311	0.299	68.4	32 43	12 2779
5285[4]	8.6	58 1.55	2.8455	0.0041	13 35 51.4	14.302	0.297	68.8	34 112	13 2889
5286	8.3	14 58 2.94	+2.8862	+0.0048	+11 13 29.7	−14.301	+0.301	75.0	30 42 743	11 2762
5287	9.1	58 8.65	2.8826	0.0047	11 26 1.2*	14.295	0.301	81.2	5 Beob.	11 2763
5288	8.4	58 25.57	2.8358	0.0040	14 8 10.5	14.278	0.296	68.8	34 112	14 2828
5289	8.7	59 13.02	2.8271	0.0039	14 34 58.1*	14.229	0.297	84.4 82.7	5 Beob.	14 2830
5290	8.2	59 15.98	2.8348	0.0040	14 8 30.2	14.226	0.297	73.6 73.1	5 Beob.	14 2831
5291	8.8	14 59 26.12	+2.8642	+0.0044	+12 26 29.3	−14.215	+0.301	68.4	32 43	12 2784
5292	8.7	59 28.22	2.8349	0.0040	14 7 33.7	14.213	0.298	75.4 74.5	36 112 113δ(½) 742	14 2832
5293	8.5[5]	59 31.34	2.8658	0.0045	12 20 38.4	14.210	0.301	68.4	32 43	12 2785
5294	8.6	59 34.10	2.8696	0.0045	12 7 14.1	14.207	0.301	68.4	32 43	12 2786
5295	8.8	59 50.00	2.9053	0.0051	10 1 23.7	14.191	0.305	75.9	26 28 375 378	10 2788
5296	9.1	15 0 8.74	+2.8758	+0.0047	+11 43 55.3	−14.172	+0.303	75.0	30 42 743	11 2770
5297	8.6	0 23.55	2.8840	0.0048	11 14 39.4	14.156	0.304	75.0	30 42 743	11 2771
5298	8.6	0 42.55	2.8784	0.0047	11 32 59.3	14.137	0.304	75.0	30 42 743	11 2772
5299	9.0	0 52.95	2.8277	0.0039	14 27 1.9	14.126	0.299	84.4 82.7	5 Beob.	14 2836
5300	8.6	1 3.07	2.8251	0.0039	14 35 5.9	14.115	0.299	75.7 74.8	36 113δ(½) 182 742	14 2837

[1] 7.5 8.1 5.8 6.5 6.5 [2] BD 7.8; Schätz. 8.6 8.5 [3] BD 8.4; Schätz. 8.9 8.9 [4] $10^m.3$ praec. $3^s.8$ 25″A.
[5] BD 7.8; Schätz. 8.5 8.5

Nr.	Gr.	A.R. 1875	Praec.	Var. saec.	Decl. 1875	Praec.	Var. saec.	Ep.	Zonen	B.D.
5301	8.5	15^{h} 1^{m} $6^{s}.56$	$+2^{s}.8384$	$+0^{s}.0041$	$+13°$ $49'$ $43''.4$	$-14''.112$	$+0''.300$	69.8	34 112	13° 2894
5302	8.5[1]	1 11.44	2.8913	0.0049	10 46 44.3*	14.107	0.306	72.6	5 Beob.	10 2789
5303	8.4[2]	1 21.49*	2.8871	0.0049	11 0 56.8	14.096	0.305	72.2	6 Beob.	11 2774
5304	9.0	1 24.94	2.8992	0.0051	10 18 39.2*	14.092	0.307	68.6	26 28 37 115	10 2791
5305	8.9	1 42.68	2.8575	0.0044	12 42 27.3	14.074	0.303	68.4	32 41 43	12 2791
5306	9.0	15 1 43.18	+2.8619	+0.0045	+12 27 8.7	−14.074	+0.303	68.9	32 41 43 175	12 2790
5307	9.1	1 46.45	2.8898	0.0049	10 50 28.5	14.070	0.306	89.7	743 770 777	10 2793
5308	8.4	2 3.23	2.8900	0.0049	10 49 6.0	14.053	0.307	70.8	10 Beob.	10 2795
5309	8.9	2 3.42	2.8192	0.0039	14 51 23.8*	14.053	0.299	74.4 73.8	5 Beob.	14 2839
5310	8.8	2 9.14	2.8799	0.0048	11 23 45.2	14.047	0.306	72.0	7 Beob.	11 2775
5311	8.0[3]	15 2 19.11	+2.8936	+0.0050	+10 35 42.7*	−14.036	+0.307	68.6	26 28 37 115	10 2797
5312	9.1	2 20.43	2.8569	0.0044	12 42 16.6	14.035	0.303	68.4	32 41 43	12 2793
5313	8.8	2 34.66	2.8411	0.0042	13 35 35.5	14.020	0.302	68.8	34 112	13 2898
5314	8.1	2 36.85	2.8937	0.0050	10 34 47.8*	14.018	0.308	68.6	26 28 37 115	10 2798
5315	8.1[4]	2 48.27	2.8519	0.0044	12 58 5.8	14.006	0.303	68.9	32 41 43 175	13 2899
5316	7.7[5]	15 2 58.80	+2.8386	+0.0042	+13 42 43.6	−13.995	+0.302	70.4	171 178	13 2901
5317	8.8	3 5.02	2.8310	0.0041	14 7 57.6	13.989	0.302	84.8	171 742 770 777	14 2840
5318	8.9	3 25.24	2.8414	0.0042	13 31 38.9	13.967	0.303	70.4	170 171 178 182	13 2904
5319	8.9	4 5.75	2.8533	0.0044	12 49 15.7	13.925	0.305	69.4	41 175	12 2795
*5320	8.0	4 33.07	2.8647	0.0046	12 8 53.6	13.896	0.307	69.4	41 175	12 2796
5321	8.7	15 4 39.39*	+2.9001	+0.0052	+10 7 10.3	−13.890	+0.311	81.2	6 Beob.	10 2801
5322	8.7	5 6.88	2.8183	0.0040	14 43 33.2	13.861	0.303	70.4	171 182	14 2843
5323	9.1	5 7.82	2.8503	0.0044	12 56 3.7	13.860	0.306	69.4	41 175	12 2799
5324	8.9	5 10.64	2.8387	0.0043	13 34 53.1	13.857	0.305	70.4	171 178 182	13 2905
5325	8.5	5 19.48	2.8400	0.0043	13 30 20.3	13.847	0.305	80.4	170 178 770 777	13 2906
5326	8.4[6]	15 5 36.90	+2.8911	+0.0051	+10 35 54.5	−13.829	+0.311	68.9	37 115	10 2803
5327	7.8[7]	5 46.55	2.8894	0.0050	10 41 20.0	13.819	0.311	68.9	37 115	10 2804
5328	8.5[8]	5 51.64	2.8672	0.0047	11 56 47.0	13.813	0.309	69.6	39 116 169 173	12 2801
5329	8.0[9]	5 52.91	2.8969	0.0052	10 15 3.3*	13.812	0.312	79.6	37 115 770 777	10 2805
5330	8.8	6 0.48	2.8534	0.0045	12 42 59.9	13.804	0.308	69.4	41 175	12 2802
5331	8.9	15 6 15.45	+2.8149	+0.0040	+14 50 54.3	−13.788	+0.304	80.4	171 182 770 777	14 2845
5332	9.0	6 40.07	2.8953	0.0052	10 18 46.0*	13.762	0.313	79.6	37 115 779 777	10 2808
5333	7.9[10]	6 47.11	2.8800	0.0049	11 10 31.4	13.755	0.311	69.6	39 116 169 173	11 2780
5334	8.5	7 0.54	2.8997	0.0052	10 2 55.3	13.740	0.314	79.0	5 Beob.	10 2810
5335	8.5	7 27.99	2.8336	0.0043	13 44 34.7	13.711	0.307	70.4	170 178	13 2908
5336	8.7	15 7 41.59	+2.8363	+0.0043	+13 35 2.5	−13.697	+0.308	70.4	170 178	13 2910
5337	9.1	7 41.91	2.8658	0.0047	11 56 11.3	13.696	0.311	69.7	39 169 173	12 2806
5338	8.9	7 44.45	2.8642	0.0047	12 1 16.1	13.694	0.311	69.4	41 175	12 2807
5339	9.2	7 48.49	2.8517	0.0045	12 43 18.3	13.689	0.310	69.4	41 175	12 2810
5340	8.8	7 48.66	2.8555	0.0046	12 30 31.9	13.689	0.310	69.4	41 175	12 2809
*5341	8.6	15 7 55.89	+2.8118	+0.0040	+14 55 2.7	−13.681	+0.305	70.4	171 182	14 2850
5342	8.9	8 6.92	2.8783	0.0049	11 12 44.9	13.670	0.313	69.7	39 169 173	11 2783
5343	8.8[11]	8 26.83	2.8769	0.0049	11 16 29.9	13.648	0.313	69.7	39 169 173	11 2784
5344	8.8	8 32.60	2.8857	0.0051	10 46 31.9	13.642	0.314	76.0	37 115 770	10 2814
5345	9.0	8 35.51	2.8351	0.0043	13 35 58.0	13.639	0.309	70.4	170 178	13 2911
5346	8.9	15 8 48.55	+2.8346	+0.0043	+13 36 58.4	−13.625	+0.309	81.9	178 R	[13 2912]
5347	8.7	9 8.14	2.8232	0.0042	14 13 32.8	13.604	0.308	80.4	171 181 770 777	14 2852
5348	7.6[12]	9 33.51	2.8882	0.0051	10 35 30.7	13.577	0.316	68.9	37 115	10 2816
5349	8.7	10 11.59*	2.8753	0.0049	11 17 18.1	13.536	0.315	69.7	39 169 173	11 2786
5350	7.9[13]	10 13.36	2.8275	0.0043	13 56 1.9	13.534	0.310	70.4	170 178	14 2853

[1] BD 8.0   [2] BD 7.5; Schätz. 8.4 8.5 8.1 8.4 8.6 8.3   [3] 8.0 7.5 8.0 8.6   [4] BD 7.0; Schätz. 8.0 8.1 8.0 8.3
[5] BD 6.2; Schätz. 7.7 7.8   [6] BD 7.8   [7] BD 7.1   [8] BD 7.8   [9] 8.1 8.5 7.7 7.6; BD 7.3
[10] BD 6.7; Schätz. 8.0 — 8.0 7.7   [11] $9^{m}.3$ praec. $0^{s}.5$ 50" B.   [12] 7.0 8.3; BD 7.1   [13] BD 6.8; Schätz. 7.8 8.0

Nr.	Gr.	A.R. 1875	Praec.	Var. saec.	Decl. 1875	Praec.	Var. saec.	Ep.	Zonen	B. D.
5351	8.8	15^h 10^m $18^s.51$	$+2^s.8089$	$+0^s.0040$	+14° 56' 15".5	−13".529	+0".308	70.4	171 181	14° 2854
5352	8.8	10 23.62	2.8912	0.0052	10 23 38.5	13.523	0.317	68.9	37 115	10 2817
5353	7.6[1]	10 33.36	2.8949	0.0052	10 10 31.2	13.513	0.318	76.1	37 115 375 378	10 2818
5354	8.3	11 3.95	2.8128	0.0041	14 41 6.9	13.480	0.309	70.4	171 181	14 2856
5355	8.8	11 51.89	2.8563	0.0047	12 16 7.2	13.428	0.315	69.4	41 175	12 2818
5356	8.8	15 11 54.58	+2.8314	+0.0044	+13 37 58.5	−13.425	+0.312	70.4	170 178	13 2919
5357	9.1	12 12.82	2.8921	0.0052	10 16 14.4	13.405	0.319	68.9	37 115	10 2820
*5358	8.1	12 42.34	2.8807	0.0051	10 53 6.3	13.373	0.319	68.9	37 115	10 2823
5359	9.0	12 52.76	2.8193	0.0042	14 14 7.6	13.362	0.312	70.4	171 181	14 2861
5360	9.0	13 55.17	2.8318	0.0044	13 30 18.6	13.294	0.315	70.4	170 178	13 2922
5361	8.1[2]	15 14 15.66	+2.8034	+0.0041	+15 0 52.7	−13.271	+0.312	70.4	171 181	15 2845
5362	9.0	14 40.65	2.8589	0.0048	11 59 47.0	13.244	0.319	69.7	39 169 173	12 2826
5363	8.9	15 7.04	2.8855	0.0052	10 31 2.6	13.215	0.322	68.9	37 115	10 2830
5364	8.3[3]	15 27.00	2.8218	0.0044	13 58 5.8	13.193	0.315	80.4	171 181 770 777	14 2863
5365	9.6[4]	15 45.92	2.8495	0.0047	12 27 25.7	13.172	0.319	90.3	770 777	12 2827
5366	var.[5]	15 15 48.47	+2.8065	+0.0042	+14 45 54.3	−13.169	+0.314	92.4	777 R	14 2864
5367	8.5	15 57.56	2.8770	0.0051	10 57 13.9	13.159	0.322	69.7	39 169 173	11 2794
5368	6.7	16 28.15	2.8386	0.0046	13 0 58.3	13.126	0.318	69.4	41 175	13 2928
5369	9.1	16 31.96*	2.8234	0.0044	13 49 44.6	13.122	0.317	81.9	170 R	[13 2929]
5370	8.4	16 46.27	2.8929	0.0053	10 2 50.0	13.106	0.325	76.1	37 115 375 378	10 2835
5371	8.8	15 16 48.79	+2.8874	+0.0053	+10 20 54.8	−13.103	+0.324	68.9	37 115	10 2836
5372	8.6	16 56.38	2.8470	0.0047	12 32 30.9	13.095	0.320	69.4	41 175	12 2829
5373	8.2	17 1.22	2.8232	0.0044	13 48 53.1	13.089	0.317	70.4	170 178	13 2930
*5374	9.0	17 2.64	2.8603	0.0049	11 48 51.3	13.088	0.322	69.7	39 169 173	11 2796
5375	8.9	17 25.35	2.8767	0.0051	10 54 38.7	13.062	0.324	79.6	37 115 770 777	10 2840
5376	8.7	15 17 27.35*	+2.8719	+0.0051	+11 10 17.8	−13.060	+0.323	69.7	39 169 173	11 2798
5377	8.7	17 27.73	2.8715	0.0051	11 11 35.7	13.060	0.323	69.7 69.4	39 169 173*a*	11 2799
5378	8.6[6]	17 29.43	2.8100	0.0043	14 29 31.0	13.058	0.317	70.4	171 181	14 2866
5379	8.4	17 42.89	2.8768	0.0051	10 53 40.7	13.043	0.324	79.6	37 115 770 777	10 2843
5380	8.7	17 56.70	2.8554	0.0048	12 2 35.2	13.028	0.322	70.4	170 175 178	12 2830
5381	8.6	15 18 5.20	+2.8223	+0.0044	+13 48 35.7	−13.019	+0.319	70.4	170 178	13 2935
5382	7.9[7]	18 14.93	2.8745	0.0051	10 59 57.3	13.008	0.324	69.7	39 169 173	11 2800
5383	8.9	18 29.72*	2.8278	0.0045	13 29 40.5	12.991	0.320	70.4 70.4	170 178*δ* 181	13 2936
5384	8.9	18 30.71	2.8082	0.0043	14 32 4.9	12.990	0.318	70.4	171 181	14 2868
5385	8.6	18 49.58	2.8515	0.0048	12 12 44.2	12.969	0.323	69.4	41 175	12 2831
5386	7.9[7]	15 18 50.24	+2.8659	+0.0050	+11 26 26.1	−12.969	+0.324	69.7	39 169 173	11 2801
*5387	9.1[8]	19 2.95	2.8097	0.0043	14 25 43.7	12.954	0.318	70.4	171 181	14 2869
5388	8.9	19 19.69	2.8430	0.0047	12 38 37.8	12.936	0.322	83.7	175 770 777	12 2833
5389	8.9	19 19.77	2.8721	0.0051	11 5 7.4	12.936	0.326	69.7	39 169 173	11 2804
5390	8.8	19 25.18*	2.8436	0.0047	12 36 33.5	12.930	0.322	79.9	41 175 770 777	12 2834
5391	8.6	15 19 27.81	+2.7978	+0.0042	+15 1 44.3	−12.927	+0.317	70.4	171 181	15 2855
5392	8.9	19 44.60	2.7999	0.0042	14 54 18.4	12.908	0.318	70.4	171 181	14 2873
5393	9.1	20 17.24	2.7970	0.0042	15 1 45.3	12.871	0.318	70.4	171 181	15 2860
5394	8.4	20 19.09	2.8283	0.0046	13 22 49.6	12.869	0.322	80.3	170 770	13 2943
5395	8.3[9]	20 29.73	2.8825	0.0053	10 28 32.8	12.857	0.328	68.9	37 115	10 2853
5396	9.1	15 20 52.67	+2.8621	+0.0050	+11 33 22.0	−12.832	+0.326	69.7	39 169 173	11 2807
5397	8.4	21 16.20	2.8882	0.0053	10 8 26.0	12.805	0.330	76.6	37 115 471 473	10 2854
5398	8.0[10]	21 18.13	2.8192	0.0045	13 49 0.8	12.803	0.322	70.4	170 181	13 2946
5399	8.7	21 18.84	2.7967	0.0042	14 59 20.3	12.802	0.319	70.4	171 181	15 2864
5400	8.9	21 34.20	2.8846	0.0053	10 19 23.4	12.785	0.330	68.9	37 115	10 2856

[1] 7.7 7.8 8.1 6.9; BD 7.0 [2] BD 7.3; Schätz. 8.2 8.0 [3] BD 7.8 [4] BD 9.0; Schätz. 9.7 9.6
[5] S Serpentis; 8.9 8.7 [6] BD 7.9; Schätz. 8.8 8.4 [7] BD 7.3 [8] 11^m seq. $3^s.5$ 5" A. [9] BD 7.0; Schätz. 8.0 8.6
[10] BD 7.2; Schätz. 8.0 8.1

Nr.	Gr.	A.R. 1875	Praec.	Var. saec.	Decl. 1875	Praec.	Var. saec.	Ep.	Zonen	B.D.
5401	9.0	15h 21m 37s.71	+2s.8704	+0s.0051	+11° 5′ 0″.3	−12″.781	+0″.328	69.7	39 169 173	11° 2810
5402	8.9	21 54.36	2.8241	0.0045	13 31 52.5	12.762	0.323	70.4	170 181	13 2947
5403	7.6[1]	22 8.41	2.8473	0.0048	12 17 45.4	12.747	0.326	69.4	41 175	12 2838
5404	8.8	22 53.37	2.8745	0.0052	10 48 59.2	12.696	0.330	69.7	39 169 173	10 2863
5405	8.9	23 10.46	2.8822	0.0053	10 23 37.5	12.677	0.331	68.9	37 115	10 2864
5406[2]	7.9	15 23 14.84	+2.8241	+0.0046	+13 27 53.3	−12.672	+0.325	70.4	170 178	13 2953
5407	9.0	24 23.47	2.8413	0.0048	12 30 56.9	12.594	0.328	69.4	41 175	12 2843
5408	8.1[3]	24 28.23	2.8429	0.0048	12 25 46.1	12.588	0.328	69.4	41 175	12 2844
5409	9.2	24 44.63	2.8225	0.0046	13 28 55.3	12.570	0.326	80.4 83.7	170 178a 770 775	13 2954
5410	9.1	24 45.31	2.8224	0.0046	13 29 9.4	12.569	0.326	80.4 83.7	170a 178 770 775	
5411	9.0	15 25 11.89	+2.7936	+0.0043	+14 57 8.7	−12.539	+0.323	70.4	171 181	15 2876
5412	8.2	25 49.52	2.7982	0.0043	14 41 13.3	12.496	0.324	70.4	171 181	14 2889
5413	9.3	25 53.25	2.8862	0.0054	10 5 2.3	12.492	0.335	88.9	473 R	10 2868
5414	8.6	25 53.97	2.8862	0.0054	10 5 14.8	12.491	0.335	76.6	37 115 471 473	
5415	8.8	25 53.81	2.8459	0.0049	12 12 35.8	12.491	0.330	79.9	41 175 770 775	12 2850
5416	8.5	15 25 54.65	+2.8015	+0.0044	+14 30 34.3*	−12.490	+0.325	70.4	171 181	14 2890
5417	8.6	26 33.44	2.8834	0.0054	10 12 42.5	12.446	0.335	68.9	37 115	10 2871
5418	7.9[4]	26 45.74	2.8610	0.0051	11 23 13.1	12.432	0.333	69.7	39 169 173	11 2816
5419	8.6	26 52.16	2.8666	0.0052	11 5 6.2	12.424	0.334	69.7	39 169 173	11 2818
5420	8.8	26 54.93	2.8768	0.0053	10 32 51.4*	12.421	0.335	79.6	37 115 770 775	10 2873
5421	9.0	15 26 58.57	+2.8048	+0.0044	+14 17 22.0	−12.417	+0.327	70.4	171 181	14 2894
5422	8.5[5]	27 24.99	2.8194	0.0046	13 31 8.1	12.387	0.329	70.4	170 178	13 2960
5423	8.7	27 25.08	2.8471	0.0049	12 5 6.5	12.387	0.332	69.4	41 175	12 2852
5424	8.7	27 31.20	2.8448	0.0049	12 11 57.4	12.380	0.332	69.4	41 175	12 2854
5425	9.0	27 32.21	2.8383	0.0048	12 32 22.2	12.379	0.331	69.4	41 175	12 2855
5426	8.7[6]	15 27 52.41	+2.8513	+0.0050	+11 51 3.6	−12.355	+0.333	69.7	39 169 173	11 2820
5427	9.0	28 42.16	2.8145	0.0046	13 42 53.3	12.298	0.329	70.4	170 178	13 2965
5428	8.8	28 43.81	2.8201	0.0046	13 25 33.9	12.296	0.330	70.4	170 178	13 2966
5429	6.0	28 49.86	2.8677	0.0052	10 57 25.5	12.289	0.336	90.3	770 775	11 2821
5430	4.9	28 49.95	2.8677	0.0052	10 57 29.5	12.289	0.336	83.0	39 770 775	
5431	9.1	15 29 8.92	+2.8253	+0.0047	+13 8 24.4	−12.267	+0.331	69.4	41 175	13 2967
5432	8.9	29 9.49	2.8741	0.0053	10 36 40.5	12.267	0.337	68.9	37 115	10 2879
5433	9.0	29 13.79	2.8594	0.0051	11 22 40.3	12.262	0.335	69.6	39 116 169 173	11 2823
5434	9.4[7]	29 37.38	2.8772	0.0053	10 25 56.9*	12.234	0.338	77.4	37 115 R	[10 2881]
5435	6.8[8]	29 56.69*	2.8530	0.0050	11 40 57.7	12.212	0.335	69.6	39 116 169 173	11 2826
5436	8.0[9]	15 29 58.63	+2.8209	+0.0047	+13 19 56.1	−12.210	+0.332	70.4	170 178	13 2969
5437	8.9	30 6.17	2.8534	0.0051	11 39 21.8	12.201	0.335	69.6	39 116 169 173	11 2828
5438	6.0	30 29.25	2.8767	0.0053	10 25 48.8	12.174	0.338	68.9	37 115	10 2884
5439	9.1	30 31.59	2.8346	0.0048	12 36 19.5	12.172	0.334	79.9	41 175 770 775	12 2859
5440	9.1	30 43.49	2.7957	0.0044	14 34 43.6	12.158	0.329	81.9	181 R	[14 2904]
5441	8.8	15 30 45.48	+2.8655	+0.0052	+10 59 57.7	−12.155	+0.337	69.6	39 116 169 173	11 2830
5442	8.4[10]	30 48.74	2.8458	0.0050	12 1 3.1	12.152	0.335	69.4	41 175	12 2861
5443	9.0	30 49.03	2.8540	0.0051	11 35 40.6	12.151	0.336	69.4	39 169	11 2831
5444	8.7	31 6.13	2.8455	0.0050	12 1 26.2	12.132	0.336	69.4	41 175	12 2862
5445	8.1[11]	31 29.91	2.8318	0.0048	12 42 47.4	12.104	0.334	69.4	41 175	12 2863
5446	8.9	15 31 33.88	+2.8065	+0.0045	+13 59 34.5	−12.099	+0.332	70.4	170 178	14 2908
5447	8.4[12]	31 37.31	2.8541	0.0051	11 33 51.7	12.096	0.337	69.6	39 116 169 173	11 2833
5448	8.7	31 50.00	2.8451	0.0050	12 1 1.9	12.081	0.336	69.4	41 175	12 2865
5449	8.0[13]	31 58.67	2.8712	0.0053	10 39 52.5	12.071	0.340	68.9	37 115	10 2886
5450	8.8	32 3.81	2.7950	0.0044	14 33 7.2	12.064	0.331	70.4	171 181	14 2910

[1] BD 7.0 [2] 9m.2 seq. 2s.5 50″B. [3] BD 7.5; Schätz. 8.2 8.0 [4] BD 7.2; Schätz. 8.4 7.5 7.8
[5] BD 8.0; Schätz. 8.5 8.6 [6] BD 8.2; Schätz. 8.8 8.6 8.7 [7] 9.2 9.0 10.0 [8] BD 6.3 [9] BD 7.5; Schätz. 8.0 8.0
[10] BD 7.7; Schätz. 8.6 8.3 [11] BD 7.0; Schätz. 8.0 8.2 [12] BD 7.5; Schätz. 8.5 8.5 8.5 8.2 [13] BD 7.3

Nr.	Gr.	A.R. 1875	Praec.	Var. saec.	Decl. 1875	Praec.	Var. saec.	Ep.	Zonen	B.D.
5451	8.8	15h 32m 13s.68	+2s.8017	+0s.0045	+14° 12' 24".0	−12".053	+0".332	70.4	171 181	14° 2911
5452	8.5[1]	32 25.05	2.7984	0.0045	14 21 58.9	12.040	0.332	70.4	170 178	14 2912
5453	7.9[2]	32 49.89	2.8317	0.0048	12 39 47.1	12.011	0.336	79.9	41 175 770 775	12 2870
5454	8.0[3]	32 51.08	2.8636	0.0052	11 1 31.1	12.009	0.339	69.6	39 116 169 173	11 2834
5455	8.8	33 9.77	2.8065	0.0046	13 55 27.9	11.988	0.333	70.4	170 178	14 2914
5456	9.0	15 33 25.68	+2.8607	+0.0052	+11 9 13.6	−11.969	+0.340	69.6	39 116 169 173	11 2837
5457	8.7	33 25.71	2.8760	0.0054	10 22 6.3	11.969	0.342	68.9	37 115	10 2887
*5458	6.8	34 15.79	2.8346	0.0049	12 27 32.5	11.910	0.338	69.4	41 175	12 2875
5459	8.9[4]	35 4.98	2.7890	0.0044	14 42 3.9	11.852	0.333	70.4	171 181	14 2915
5460	9.1	35 43.88	2.7910	0.0045	14 35 15.1	11.807	0.334	70.4	171 181	14 2917
5461	6.0[5]	15 35 54.58	+2.8176	+0.0047	+13 14 58.8	−11.794	+0.337	70.4	170 178	13 2982
5462	8.6[6]	36 1.12	2.8625	0.0052	10 58 20.0	11.786	0.343	69.6	39 116 169 173	11 2844
5463	8.7	36 7.63	2.8677	0.0053	10 42 12.3	11.779	0.343	68.9	37 115	10 2892
5464	8.7[7]	36 10.10	2.8544	0.0051	11 22 47.5	11.776	0.342	69.6	39 116 169 173	11 2846
5465	8.4	36 15.81	2.8803	0.0054	10 3 9.8	11.769	0.345	76.6	37 115 471 473	10 2893
5466	9.1	15 36 31.32	+2.8616	+0.0052	+11 0 1.3	−11.750	+0.343	69.6	39 116 169 173	11 2847
5467	8.9	36 46.66	2.8384	0.0050	12 10 2.9	11.733	0.341	69.4	41 175	[12 2881]
5468	8.9	36 55.36	2.7995	0.0046	14 6 52.8	11.722	0.336	70.4	170 178	14 2920
5469	8.9	37 5.28	2.8532	0.0051	11 24 39.1	11.710	0.343	69.6	39 116 169 173	11 2848
5470	9.2	37 10.36*	2.7822	0.0044	14 57 27.0	11.704	0.334	70.4	171 181	15 2901
5471	7.6[8]	15 37 20.37	+2.8001	+0.0046	+14 4 2.4	−11.693	+0.337	70.4	170 178	14 2922
5472	8.1[9]	37 26.99	2.8391	0.0050	12 6 33.4	11.685	0.341	69.4	41 175	12 2883
5473	8.9	37 50.49	2.8369	0.0050	12 12 16.0	11.657	0.342	69.4	41 175	12 2884
5474	8.6	38 2.56	2.8166	0.0048	13 12 52.5	11.643	0.339	70.4	170 178	13 2993
5475	9.3	38 6.36	2.8561	0.0052	11 13 41.7	11.638	0.344	69.7	39 169 173	[11 2851]
5476	8.9	15 38 20.83	+2.7811	+0.0044	+14 57 38.0	−11.621	+0.335	70.4	171 181	15 2904
5477	8.7	38 33.32	2.8560	0.0052	11 13 11.7	11.606	0.345	69.6	39 116 169 173	11 2852
5478	8.1[10]	38 36.73	2.8471	0.0051	11 39 47.3	11.602	0.344	69.6	39 116 169 173	11 2853
5479	8.5[11]	38 40.96	2.8440	0.0050	11 49 3.3	11.597	0.343	69.7	39 173 175	11 2854
5480	9.0	39 6.31	2.8428	0.0050	11 51 50.8	11.567	0.344	69.6	39 116 169 173	11 2856
5481	8.9	15 39 27.50	+2.8310	+0.0049	+12 26 35.6	−11.541	+0.342	79.9	41 175 770 775	12 2889
5482	8.9	39 53.02	2.8298	0.0049	12 29 17.2*	11.511	0.343	79.9	41 175 770 775	12 2892
5483	9.0	40 0.50	2.8349	0.0050	12 13 43.2	11.502	0.343	69.4	41 175	12 2894
5484	8.9	40 0.89	2.7904	0.0045	14 25 49.8	11.502	0.338	70.4	171 181	14 2930
5485[12]	8.5	40 1.92	2.8204	0.0048	12 57 2.1	11.500	0.342	70.4	170 178	13 3000
5486	9.1	15 40 13.33	+2.8334	+0.0049	+12 17 42.5	−11.487	+0.344	69.4	41 175	12 2895
5487	8.9	40 15.43	2.8749	0.0054	10 12 30.0	11.484	0.349	81.4	115 R	[10 2902]
5488	8.9	40 22.05	2.7771	0.0044	15 3 58.3	11.476	0.337	90.3	770 775	15 2910
5489	8.9	40 28.20	2.7957	0.0046	14 9 7.9	11.469	0.339	70.4	171 181	14 2933
5490	9.0	40 30.23	2.7956	0.0046	14 9 27.9	11.466	0.339	70.4	171 181	14 2934
5491	8.0	15 40 33.37	+2.7965	+0.0046	+14 6 39.8	−11.463	+0.340	70.4	171 181	14 2935
5492	9.0	40 43.30	2.8013	0.0046	13 52 0.6	11.451	0.340	70.4	170 178	13 3002
5493	8.0[13]	40 43.72	2.8752	0.0054	10 10 33.0	11.450	0.349	76.6	37 115 471 473	10 2904
5494	8.9	40 44.10	2.8445	0.0051	11 43 15.8	11.450	0.345	69.6	39 116 169 173	11 2863
5495	8.9	40 59.76	2.7802	0.0044	14 53 9.4	11.431	0.338	70.4	171 181	14 2936
5496	8.3[14]	15 41 9.01	+2.8403	+0.0050	+11 55 0.1	−11.420	+0.345	69.6	39 116 169 173	11 2864
5497	8.8	41 9.06	2.8238	0.0049	12 44 18.5	11.420	0.343	69.4	41 175	12 2897
5498	8.8	41 22.39	2.8609	0.0052	10 52 38.8*	11.404	0.348	79.6	37 115 770 775	10 2908
5499	6.0[15]	41 29.06	2.7877	0.0045	14 30 6.8	11.396	0.339	70.4	171 181	14 2939
5500	7.3	42 23.88	2.7935	0.0046	14 10 43.0	11.330	0.341	70.4	171 181	14 2940

[1] BD 9.0 [2] BD 7.2; Schätz. 8.0 8.1 7.9 7.8 [3] BD 7.4 [4] BD 9.4 [5] BD 5.5 [6] BD 8.0
[7] BD 8.2 [8] BD 6.8 [9] BD 7.0; Schätz. 8.0 8.3 [10] BD 7.5 [11] BD 7.6 [12] 9m.2 praec. 2s.0 45"B.
[13] 7.5 7.7 8.5 8.5; BD 7.4 [14] BD 7.5 [15] Grösse nach BD; weiss

Nr.	Gr.	A.R. 1875	Praec.	Var. saec.	Decl. 1875	Praec.	Var. saec.	Ep.	Zonen	B.D.
5501	8.2	15h 42m 27s.28	+2s.8063	+0s.0047	+13° 33′ 11″.7	−11″.326	+0″.343	70.4	170 178	13° 3009
5502	9.1	42 30.41	2.7890	0.0045	14 23 43.5	11.322	0.341	70.4	171 181	14 2941
5503	9.1	42 31.47	2.8032	0.0047	13 41 57.0	11.321	0.342	70.4	170 178	13 3010
5504	7.5[1]	42 58.45	2.8149	0.0048	13 6 29.6	11.288	0.344	70.4	170 178	13 3012
5505	8.9	43 0.04	2.7807	0.0045	14 46 44.8	11.287	0.340	70.4	171 181	14 2943
5506	9.0	15 43 13.20	+2.7823	+0.0045	+14 41 22.3	−11.271	+0.340	70.4	172 181	14 2944
5507	8.8	43 16.36	2.8665	0.0053	10 32 23.4	11.267	0.351	68.9	37 115	10 2909
5508	8.9	43 16.58	2.8773	0.0054	9 59 50.8	11.267	0.352	76.6	37 115 471 473	10 2910
5509	8.4	43 21.49	2.8679	0.0053	10 27 51.0	11.261	0.351	68.9	37 115	10 2911
5510	7.7[1]	43 41.31	2.8178	0.0048	12 56 25.3	11.237	0.345	69.4	41 175	12 2904
5511	8.8	15 43 46.53	+2.8710	+0.0054	+10 17 49.6*	−11.230	+0.352	68.9	37 115	10 2912
5512	8.9	43 50.24	2.8531	0.0052	11 11 24.0	11.226	0.350	73.8	5 Beob.	11 2869
5513	8.2[2]	44 5.31	2.7866	0.0045	14 26 49.4	11.208	0.342	70.4	172 181	14 2946
5514	9.2	44 17.15	2.8137	0.0048	13 7 0.5	11.194	0.345	69.4	41 175	13 3014
5515	9.0	44 18.73	2.8469	0.0051	11 28 58.7*	11.191	0.349	69.6	39 116 169 173	11 2870
5516	8.9	15 44 35.72	+2.8076	+0.0047	+13 24 18.2	−11.171	+0.345	70.4	170 178	13 3015
5517	8.9	44 37.04	2.8391	0.0050	11 51 33.7	11.169	0.349	69.6	39 116 169 173	11 2871
5518	8.4	44 51.00	2.8053	0.0047	13 30 22.5	11.153	0.345	70.4	170 178	13 3017
*5519	8.9	45 8.50	2.7730	0.0044	15 3 27.4	11.131	0.341	70.4	172 181	15 2919
5520	8.8	45 27.20	2.8575	0.0052	10 55 4.3	11.109	0.352	73.8	5 Beob.	10 2915
5521	8.6	15 45 27.78	+2.8689	+0.0054	+10 21 5.2	−11.108	+0.353	68.9	37 115	10 2914
5522	9.0	45 37.20	2.8143	0.0048	13 2 27.0	11.096	0.347	69.4	41 175	13 3019
5523	8.2	45 44.53	2.7886	0.0046	14 16 54.6	11.087	0.344	70.4	171 172 181	14 2951
5524	9.1	46 13.99	2.8501	0.0052	11 15 33.0	11.052	0.352	69.6	39 116 169 173	11 2874
5525	8.6	46 31.91	2.7983	0.0047	13 46 58.6	11.030	0.345	70.4	170 178	13 3020
5526	8.2[3]	15 47 21.36	+2.8195	+0.0049	+12 43 33.8	−10.970	+0.349	69.4	41 175	12 2909
5527	6.7	47 22.88	2.8017	0.0047	13 35 23.3	10.968	0.347	70.4	170 178	13 3024
5528	8.4	47 31.73	2.8603	0.0053	10 43 2.4	10.957	0.354	68.9	37 115	10 2917
5529	8.9	47 45.62	2.8381	0.0051	11 48 16.3	10.940	0.352	69.6	39 116 169 173	11 2878
5530	8.7	48 19.45	2.7975	0.0047	13 45 16.1	10.899	0.347	70.4	170 178	13 3027
5531	9.0	15 48 27.23	+2.7726	+0.0045	+14 56 29.6	−10.889	+0.344	80.4	172 181 770 775	14 2956
5532	9.1	48 28.93	2.7788	0.0045	14 38 44.2	10.887	0.345	70.4	172 181	14 2955
5533	8.1	48 54.22	2.8357	0.0050	11 52 56.9	10.856	0.352	69.6	39 116 169 173	11 2883
5534	8.7	49 2.78	2.8296	0.0050	12 10 33.6	10.845	0.352	69.4	41 175	12 2912
5535	8.8	49 23.48	2.8740	0.0054	9 59 16.6	10.820	0.358	77.1	37 115 473 643	10 2924
5536	8.7	15 49 30.96	+2.7711	+0.0045	+14 58 24.1	−10.811	+0.345	70.4	172 181	15 2929
*5537	8.7	49 31.62	2.8641	0.0053	10 28 19.9	10.810	0.357	68.9	37 115	10 2925
*5538	9.0	49 32.62	2.8641	0.0053	10 28 18.9	10.809	0.356	81.4 93.4	115a R	— —
5539	8.5	49 39.80	2.7776	0.0045	14 39 24.3	10.800	0.346	70.4	172 181	14 2960
5540	8.2	50 14.15	2.8598	0.0053	10 39 48.6	10.758	0.357	68.9	37 115	10 2927
5541	8.8	15 50 14.77	+2.8323	+0.0050	+12 0 25.1	−10.757	+0.353	69.4	41 175	12 2915
5542	8.9	50 34.95	2.8632	0.0053	10 29 11.7	10.732	0.357	68.9	37 115	10 2929
5543	8.8	50 40.41	2.7851	0.0046	14 15 41.5	10.725	0.348	70.4	172 178 181	14 2963
5544	9.5	50 42.49	2.7814	0.0046	14 26 8.5	10.723	0.347	90.3	770 775	14 2964
*5545	7.8	50 53.78	2.8146	0.0048	12 50 30.5	10.709	0.352	69.4	41 175	12 2918
5546	9.5	15 50 56.95	+2.7858	+0.0046	+14 12 58.4	−10.705	+0.348	90.3	770 775	14 2966
5547	8.6	51 13.62	2.8637	0.0053	10 26 39.5*	10.684	0.358	79.6	37 115 770 775	10 2931
5548	6.8[4]	51 28.69	2.7736	0.0045	14 46 25.7	10.666	0.347	70.4	172 181	14 2969
5549	8.8	51 47.89	2.8636	0.0053	10 25 53.6	10.642	0.358	68.9	37 115	10 2932
5550	9.6	51 53.59*	2.7715	0.0045	14 51 36.6	10.635	0.347	92.4	778 R	[14 2970]

[1] BD 7.0 [2] BD 7.7 [3] BD 7.6; Schätz. 8.3 8.2 [4] 7.7 6.0; BD 6.0

Nr.	Gr.	A.R. 1875	Praec.	Var. saec.	Decl. 1875	Praec.	Var. saec.	Ep.	Zonen	B. D.
5551	8.7	15h 51m 55s.98	+2s.8660	+0s.0053	+10° 18′ 45″.3*	−10″.632	+0″.359	68.9	37 115	10° 2933
5552	10.5[1]	52 5.21*	2.7725	0.0045	14 48 25.6*	10.621	0.347	93.1	775(½) R	— —
5553	8.5	52 11.72	2.7707	0.0045	14 53 10.7	10.613	0.347	70.4	172 181	14 2971
5554	8.9	52 16.52	2.8538	0.0052	10 53 54.0	10.607	0.358	69.9	116 173	[10 2934]
5555	9.0	52 18.46	2.8295	0.0050	12 4 34.9	10.604	0.355	79.9	41 175 770 777	12 2921
5556	8.3	15 52 33.44	+2.8060	+0.0048	+13 11 44.0	−10.586	+0.352	70.4	170 178	13 3037
5557	8.9	52 43.09	2.8313	0.0050	11 58 26.4	10.574	0.355	69.4	41 175	12 2922
5558	8.6	53 4.55	2.8175	0.0049	12 37 41.8	10.547	0.354	69.4	41 175	12 2924
5559	8.7	53 13.08	2.7991	0.0047	13 30 4.0	10.537	0.352	70.4	170 178	13 3041
5560	8.6	53 33.15	2.8542	0.0052	10 50 32.2	10.512	0.359	69.6	39 116 169 173	10 2935
5561	8.6	15 53 41.32	+2.7924	+0.0047	+13 48 13.5	−10.502	+0.351	70.4	170 178	13 3044
5562	8.9	53 46.52	2.7765	0.0045	14 32 58.6	10.495	0.350	70.4	172 181	14 2973
5563	9.0	54 13.11	2.8677	0.0053	10 10 5.5	10.462	0.361	85.7	473 642 645	[10 2938]
5564	9.1[2]	54 18.60	2.7951	0.0047	13 39 19.0	10.455	0.352	70.4	170 178	13 3045
5565	9.1	54 20.33	2.8142	0.0049	12 44 29.4*	10.453	0.355	79.9	41 175 770 775	12 2929
*5566	8.7	15 54 22.09	+2.8291	+0.0050	+12 1 36.3	−10.451	+0.357	69.4	41 175	12 2930
*5567	8.8	54 24.34	2.7762	0.0045	14 32 30.1	10.448	0.350	70.4	172 181	14 2975
5568	9.1	54 26.33	2.7745	0.0045	14 37 17.6	10.446	0.350	90.3	770 775	14 2976
5569	8.9	54 40.78	2.7669	0.0045	14 58 11.8	10.428	0.349	70.4	172 181	15 2941
*5570	9.0	54 41.63	2.7661	0.0045	15 0 25.6	10.426	0.349	70.4	172 181	15 2942
5571	8.6	15 54 59.80	+2.8119	+0.0048	+12 49 46.4	−10.404	+0.355	69.4	41 175	12 2933
5572	8.5	55 0.44	2.7891	0.0046	13 54 48.5	10.403	0.352	70.4	170 178	13 3046
5573	7.6[3]	55 4.61	2.7951	0.0047	13 37 31.8	10.398	0.353	70.4	170 178	13 3047
5574	8.9	55 10.05	2.8382	0.0051	11 34 9.1	10.391	0.358	69.6	39 116 169 173	11 2896
5575	9.0	55 18.53	2.7878	0.0046	13 57 57.2	10.380	0.352	75.4	172 178 181 770	14 2978
5576	8.8	15 55 27.22	+2.8306	+0.0050	+11 55 31.2	−10.370	+0.358	69.6	39 116 169 173	11 2897
5577	8.6[4]	55 44.26	2.8204	0.0049	12 24 8.0	10.348	0.357	69.4	41 175	12 2936
5578	8.1[5]	56 3.73	2.7902	0.0047	13 49 21.7	10.324	0.353	70.4	170 178	13 3049
5579	8.9[6]	56 6.18	2.8334	0.0050	11 46 16.9	10.321	0.359	69.6	39 116 169 173	11 2899
5580	8.9	56 22.29	2.8708	0.0054	9 57 28.5	10.301	0.364	86.4	642 645	[10 2943]
5581	9.1	15 56 25.07	+2.8709	+0.0054	+ 9 57 13.7	−10.297	+0.364	85.7	473 642 645	[10 2944]
5582	9.0	56 35.40	2.7914	0.0047	13 44 56.2	10.284	0.354	70.4	170 178	13 3050
5583	8.8	56 48.04	2.8425	0.0051	11 18 39.2	10.268	0.360	69.6	39 116 169 173	11 2901
5584	9.0	56 51.95	2.8007	0.0047	13 18 12.2	10.264	0.355	80.4	170 178 770 775	13 3051
5585	8.8	57 6.24	2.8171	0.0049	12 30 59.1	10.246	0.357	69.4	41 175	12 2937
5586	8.2[7]	15 57 14.77	+2.7783	+0.0046	+14 20 22.5	−10.235	+0.353	70.4	172 181	14 2984
5587	9.0	57 29.89	2.7718	0.0045	14 38 11.1	10.216	0.352	70.4	172 181	14 2986
5588	8.7	57 32.45	2.7810	0.0046	14 12 20.0	10.213	0.353	70.4	170 178	14 2987
5589	8.0[8]	57 45.76	2.8321	0.0050	11 46 49.5	10.196	0.360	69.6	39 116 169 173	11 2903
5590	9.0	58 0.88	2.7752	0.0046	14 27 30.1	10.177	0.353	70.4	172 181	14 2988
5591	8.6	15 58 4.10	+2.8620	+0.0053	+10 20 23.4	−10.173	+0.364	68.9	37 115	10 2949
5592	8.1	58 10.34	2.8617	0.0053	10 21 4.8	10.165	0.364	68.9	37 115	10 2950
5593	8.9	58 36.12	2.7897	0.0047	13 45 33.0	10.133	0.355	70.4	170 178	13 3058
5594	8.3[9]	58 50.39	2.8689	0.0053	9 59 17.2	10.115	0.365	82.2	7 Beob.	10 2952
5595	8.6	59 3.19	2.8416	0.0051	11 17 29.0	10.099	0.362	69.6	39 116 169 173	11 2907
5596	8.6	15 59 7.41	+2.7953	+0.0047	+13 28 45.7	−10.093	+0.356	70.4	170 178	13 3062
5597	8.8[10]	59 42.59	2.8622	0.0053	10 17 26.4	10.049	0.365	68.9	37 115	10 2954
5598	8.1[11]	59 54.35	2.8624	0.0053	10 16 34.0	10.034	0.366	68.9	37 115	10 2955
5599	8.4[12]	59 54.76	2.8219	0.0049	12 12 2.6	10.034	0.361	69.4	41 175	12 2942
5600	9.1	59 56.47	2.8177	0.0049	12 24 1.9	10.032	0.360	69.4	41 175	12 2943

[1] 10.0 11.0 [2] 9m.1 praec. 0s.2 50″ B. [3] BD 7.0 [4] BD 7.8 [5] BD 7.5 [6] Z. 169 10m.0 15s 20°
[7] 8.7 7.8 [8] BD 7.3 [9] Z. 775 7.5 [10] BD 9.4 [11] BD 7.5; Schätz. 8.0 8.2 [12] 8.9 8.0

Nr.	Gr.	A.R. 1875	Praec.	Var. saec.	Decl. 1875	Praec.	Var. saec.	Ep.	Zonen	B.D.
5601	8.6	16h 0m 1s.64	+2s.8466	+0s.0051	+11° 1' 36".1	−10".025	+0".364	70.5	8 Beob.	11° 2910
5602	8.2[1]	0 12.29	2.7905	0.0047	13 40 8.0	10.012	0.357	70.4	170 178	13 3063
5603	7.5[2]	0 13.59	2.7906	0.0047	13 39 41.5	10.010	0.357	70.4	170 178	13 3064
5604	8.8	0 15.14	2.8250	0.0050	12 2 37.4	10.008	0.361	69.1	39 41 116 175	12 2945
5605	8.8	0 28.71	2.8247	0.0050	12 3 16.6	9.991	0.361	69.8	5 Beob.	12 2946
5606	8.7[3]	16 1 19.81	+2.8618	+0.0053	+10 16 3.6	− 9.926	+0.367	81.4	115 R	[10 2956]
5607	8.7	1 21.02	2.7759	0.0046	14 18 38.5	9.925	0.356	70.4	172 177 181	14 2994
5608	8.8	1 23.73	2.8462	0.0051	11 0 32.6	9.921	0.365	70.3	9 Beob.	11 2915
5609	8.8	1 29.34	2.7853	0.0046	13 52 15.6	9.914	0.357	70.4	170 178 180 187	13 3068
5610	7.9	1 37.54	2.7895	0.0047	13 40 16.5	9.904	0.358	70.4	170 178 180 187	13 3069
5611	6.8[4]	16 1 39.55	+2.8625	+0.0053	+10 13 40.1	− 9.901	+0.367	68.7	37 44 50 115	10 2958
5612	8.1[5]	1 57.32	2.8098	0.0048	12 42 33.2	9.879	0.361	69.4	41 47 175 185	12 2950
5613	8.8	2 6.78	2.8013	0.0048	13 6 12.3	9.866	0.360	69.5	47 185	13 3071
5614	7.8[6]	2 8.34	2.8583	0.0052	10 24 57.6	9.865	0.367	68.7	37 44 50 115	10 2959
5615	8.6[7]	2 9.02	2.7656	0.0045	14 45 26.1	9.864	0.355	70.4	172 177 181	14 2999
5616	9.0	16 2 10.67	+2.8440	+0.0051	+11 5 34.4	− 9.862	+0.365	70.0 69.7	8 Beob.	11 2919
5617	8.7	2 15.43	2.7997	0.0047	13 10 24.8	9.855	0.360	69.5	47 185	13 3073
5618	8.6[8]	2 21.25*	2.8469	0.0051	10 56 54.6	9.848	0.366	70.0 69.7	8 Beob.	11 2920
5619	9.1	2 28.30	2.8606	0.0053	10 17 52.0	9.839	0.368	68.7	37 44 50 115	10 2960
5620	8.8	2 48.57	2.7763	0.0046	14 14 24.6	9.813	0.357	70.4	170 178 180 187	14 3000
5621	8.8	16 2 58.20	+2.8147	+0.0049	+12 26 53.7	− 9.801	+0.362	70.4	46 183 317	12 2952
5622	8.7	2 58.89	2.8201	0.0049	12 11 55.9	9.800	0.363	70.4	46 183 317	12 2953
5623	9.0	3 3.20	2.7715	0.0045	14 27 18.1	9.795	0.357	70.4	172 177	14 3001
5624	8.0	3 22.67	2.7971	0.0047	13 15 37.2	9.770	0.360	69.5	47 185	13 3075
5625	8.9	3 31.49	2.7970	0.0047	13 15 32.2	9.759	0.361	69.5	47 185	13 3078
5626	8.4[9]	16 3 33.86	+2.8260	+0.0049	+11 54 5.2	− 9.756	+0.364	70.4	46 183 317	11 2925
5627	7.9[10]	3 34.89	2.8223	0.0049	12 4 41.4	9.754	0.364	70.4	46 183 317	12 2954
5628	8.9	3 35.01	2.8313	0.0050	11 39 24.6*	9.754	0.365	70.9 70.5	5 Beob.	11 2924
5629	8.6	3 47.07	2.8498	0.0051	10 46 32.2	9.739	0.367	68.4	44 50	10 2966
5630	8.6	3 50.24	2.8409	0.0051	11 11 40.7	9.735	0.366	70.9	5 Beob.	11 2926
5631	9.1	16 3 56.28	+2.8325	+0.0050	+11 35 10.8*	− 9.727	+0.365	71.7	5 Beob.	11 2927
5632	8.8	4 3.09	2.8458	0.0051	10 57 25.0	9.718	0.367	70.5	47 185 191 316	11 2928
5633	8.8	4 13.98*	2.8327	0.0050	11 34 11.9*	9.704	0.366	70.5	7 Beob.	11 2929
5634	8.2[11]	4 45.08	2.8580	0.0052	10 21 53.7	9.665	0.369	68.4	44 50	10 2968
5635	8.9	4 55.75	2.8001	0.0047	13 4 29.4	9.651	0.362	79.9 82.0	5 Beob.	13 3081
5636	7.9[12]	16 5 31.13	+2.8645	+0.0053	+10 2 16.5	− 9.606	+0.371	76.7	44 50 479 567	10 2971
5637	8.8	5 41.65	2.8611	0.0052	10 11 35.9	9.592	0.371	81.2 82.5	7 Beob.	10 2973
5638	9.2	5 52.67	2.8141	0.0048	12 23 45.8	9.578	0.365	70.4	46 183 317	12 2966
5639	8.6	5 58.71	2.8626	0.0052	10 7 4.2	9.571	0.371	76.7	44 50 479 567	10 2974
5640	9.3	6 1.27	2.7662	0.0045	14 35 58.2	9.567	0.359	70.4	172 177	14 3010
5641	8.9	16 6 9.08	+2.8232	+0.0049	+11 57 39.9*	− 9.557	+0.366	70.4	46 183 317	12 2968
*5642	8.7	6 14.35	2.8173	0.0049	12 14 5.6	9.551	0.365	69.4	46 183	12 2970
5643	8.7	6 21.16	2.7600	0.0045	14 52 14.7	9.542	0.358	70.4	172 177	14 3011
5644	8.5	6 22.93	2.7599	0.0045	14 52 22.2	9.540	0.358	70.4	172 177	14 3012
5645	9.0	6 42.33	2.7925	0.0047	13 22 8.3	9.515	0.363	69.5	47 185	13 3085
5646	8.5	16 6 55.56	+2.8025	+0.0048	+12 54 11.7	− 9.498	+0.364	69.5	47 185	12 2971
5647	8.0[13]	7 7.61	2.7976	0.0047	13 7 15.8	9.482	0.364	69.5	47 185	13 3089
5648	7.6[14]	7 21.10	2.7880	0.0047	13 33 35.9	9.465	0.363	70.4	180 187	13 3090
*5649	...[15]	7 28.80	2.7813	0.0046	13 51 46.2	9.455	0.362	70.4	180 187	13 3091
5650	8.4	7 32.30	2.8272	0.0049	11 44 19.2	9.450	0.368	70.5	45 52 315 319	11 2939

[1] Bläulich [2] Gelb [3] Nur Z. 115; BD 9.3 [4] BD 6.2 [5] BD 7.5 [6] BD 7.3 [7] BD 8.0
[8] Z. 173 7.5 [9] BD 7.7 [10] BD 7.2 [11] BD 7.2; Schätz. 8.0 8.5 [12] 7.3 7.7 8.5 8.0; BD 7.0
[13] BD 7.2; Schätz. 8.0 8.0 [14] 8.3 7.0; BD 8.1 [15] Dpl. 8.1 8.2; med.

Nr.	Gr.	A.R. 1875	Praec.	Var. saec.	Decl. 1875	Praec.	Var. saec.	Ep.	Zonen	B.D.
5651	8.9	16^h 8^m $2^s.47$	$+2^s.8521$	$+0^s.0051$	+10° 33′ 39″.7	$-9^s.412$	$+0^s.371$	68.4	44 50	10° 2976
5652	8.4	8 6.75	2.8266	0.0049	11 44 59.1	9.406	0.368	70.5	45 52 315 319	11 2941
5653	8.8	8 12.01	2.7861	0.0046	13 37 15.8	9.399	0.363	70.4	180 187	13 3094
5654	8.8	8 20.72*	2.8384	0.0050	11 11 52.3	9.388	0.370	70.5	45 52 315 319	11 2943
5655	9.2	8 31.56	2.7568	0.0044	14 56 44.3	9.374	0.359	70.4	172 177	14 3019
5656	8.7	16 8 59.18	+2.8490	+0.0051	+10 41 15.5	−9.339	+0.372	83.7 85.4	191 773δ 775 778	10 2978
5657	8.2[1]	9 7.70	2.8248	0.0049	11 48 30.3	9.328	0.369	70.4	46 183 317	11 2947
5658	8.8	9 11.28	2.8129	0.0048	12 21 24.9	9.323	0.367	70.4	46 183 317	12 2977
5659	8.9	9 29.43	2.8412	0.0050	11 2 16.2	9.299	0.371	70.5	45 52 315 319	11 2948
5660	8.8	9 44.61	2.7884	0.0047	13 27 56.4	9.280	0.364	69.5	47 185	13 3099
5661	8.9	16 9 52.21	+2.7548	+0.0044	+14 59 26.2	−9.270	+0.360	70.4	172 177	15 2970
5662	9.0	9 53.47	2.8558	0.0051	10 20 51.4	9.268	0.373	68.4	44 50	10 2980
5663	9.0	9 59.54	2.8198	0.0049	12 1 1.7	9.260	0.369	70.4	46 183 317	12 2981
5664	9.0	10 4.59	2.7722	0.0045	14 11 48.0	9.254	0.363	70.4	180 187	14 3024
5665	8.6[2]	10 6.05	2.7697	0.0045	14 18 32.9	9.252	0.362	70.4	172 177	14 3025
5666	8.2[3]	16 10 6.63	+2.8258	+0.0049	+11 44 12.2	−9.251	+0.370	70.4	46 183 317	11 2951
5667	9.0	10 21.64	2.7613	0.0045	14 40 45.1	9.232	0.362	70.4	172 177	14 3027
5668	8.8	10 29.67	2.7784	0.0046	13 54 0.4	9.222	0.364	70.4	180 187	13 3102
5669	8.7	10 33.28	2.8504	0.0051	10 34 51.2	9.217	0.373	81.6 86.0	6 Beob.	10 2982
5670	9.0	10 39.89	2.7809	0.0046	13 47 4.0	9.208	0.364	82.4 83.7	6 Beob.	13 3103
5671	9.1	16 10 47.89	+2.7625	+0.0045	+14 36 47.3	−9.198	+0.362	70.4	172 177	14 3029
5672	8.4	11 0.23	2.7833	0.0046	13 39 41.3*	9.182	0.365	80.4 82.4	5 Beob.	13 3104
5673	8.7	11 2.27	2.7515	0.0044	15 6 8.4	9.180	0.361	70.4	172 177	15 2972
5674	8.8	11 29.95	2.8403	0.0050	11 1 42.3	9.143	0.373	87.5	319 R(2)	[11 2954]
5675	8.5	11 52.22	2.8495	0.0051	10 35 36.5	9.114	0.374	68.4	44 50	10 2983
5676	8.9	16 11 53.85	+2.7848	+0.0046	+13 34 5.3	−9.112	+0.366	80.4 82.4	5 Beob.	13 3108
5677	8.7	11 56.35	2.7751	0.0046	14 0 22.1	9.109	0.364	70.4	180 187	14 3032
5678	8.4	12 16.00	2.7892	0.0046	13 21 35.3	9.084	0.366	69.5	47 185	13 3110
5679	8.6	12 18.20	2.7865	0.0046	13 28 50.7	9.081	0.366	80.4 82.4	5 Beob.	13 3111
5680	9.1	12 20.77	2.7868	0.0046	13 27 50.7	9.077	0.366	90.4	776 778	13 3112
5681[4]	9.1	16 12 30.36	+2.8411	+0.0050	+10 58 8.6	−9.065	+0.373	70.5	45 52 315 319	11 2958
5682	8.9	12 45.17	2.7947	0.0047	13 5 29.6	9.046	0.368	69.5	47 185	13 3114
5683	9.8	12 50.84	2.8580	0.0051	10 10 42.9	9.038	0.376	84.9	479 567	[10 2985]
5684	8.7	12 52.76	2.7787	0.0046	13 48 58.6	9.036	0.366	70.4	180 187	13 3115
5685	8.9	12 54.35	2.7919	0.0047	13 13 0.8	9.034	0.367	70.4	172 177 187 191	13 3116
5686	9.1	16 12 54.87	+2.7992	+0.0047	+12 53 9.0	−9.033	+0.368	69.5	47 185	12 2991
5687	9.2	13 3.18	2.7898	0.0046	13 18 35.2	9.022	0.367	70.4	172 177 185	13 3117
5688	8.5	13 18.87	2.7956	0.0047	13 2 5.0	9.002	0.368	70.4	172 177 191	13 3119
5689	8.5	13 20.77	2.7994	0.0047	12 51 42.0	8.999	0.369	69.5	47 185	12 2993
5690	8.9	13 36.86	2.7815	0.0046	13 40 8.8	8.978	0.367	80.4 82.4	5 Beob.	13 3120
5691	8.7	16 13 39.69	+2.7971	+0.0047	+12 57 39.9	−8.975	+0.369	69.5	47 191	13 3121
5692	8.9	13 45.46	2.8610	0.0051	10 1 4.5	8.967	0.377	76.7	44 50 479 567	10 2989
5693	8.9	13 46.84	2.8281	0.0049	11 32 22.5[5]	8.965	0.373	70.5 69.8	45 52 315 319	11 2961
5694	8.6	13 55.04	2.8586	0.0051	10 7 35.1	8.955	0.377	78.8	5 Beob.	10 2990
5695	8.7	14 25.44	2.8305	0.0049	11 24 43.0[6]	8.915	0.373	70.5 69.8	45 52 315 319	11 2963
5696	8.4	16 14 34.48	+2.8123	+0.0048	+12 14 25.7	−8.903	+0.371	70.4	46 183 317	12 2995
5697	9.7	14 37.36	2.7513	0.0044	14 59 46.1	8.900	0.363	81.9	172 R	[15 2980]
5698	9.4	15 17.16	2.7547	0.0044	14 49 22.9	8.847	0.364	83.7 85.4	177 773δ 776 778	14 3035
5699	8.6	15 53.55	2.7909	0.0046	13 10 45.4	8.800	0.369	69.5	47 185	13 3124
5700	9.2	15 54.68	2.7532	0.0044	14 52 22.3*	8.798	0.365	81.9	177 R	[14 3038]

[1] BD 6.9; Schätz. 8.2 8.3 8.2, Refr. 1893 Juni 3 7.0 [2] BD 8.1 [3] BD 7.5 [4] $9^m.3$ praec. $1^s.7$ 30″ B.
[5] Z. 315 [30″.0] [6] Z. 315 [48″.7]

Nr.	Gr.	A.R. 1875	Praec.	Var. saec.	Decl. 1875	Praec.	Var. saec.	Ep.	Zonen	B.D.
5701	9.0	$16^h\ 15^m\ 59^s.00$	$+2^s.8197$	$+0^s.0048$	$+11^\circ 52' 5''.5$	$-8''.792$	$+0''.373$	70.4	46 183 317	11° 2968
5702	8.7	16 1.84	2.8353	0.0049	11 9 3.6[1]	8.789	0.375	70.5 69.8	45 52 315 319	11 2969
5703	8.0[2]	16 7.32	2.7780	0.0045	13 45 16.4	8.782	0.368	70.4	180 191	13 3126
5704	9.1	16 12.56*	2.8015	0.0047	12 41 32.2	8.774	0.371	78.4 80.4	6 Beob.	12 3002
5705	8.6	16 15.48	2.8054	0.0047	12 30 47.7	8.771	0.372	70.4	46 183 317	12 3003
5706	8.9	16 16 17.49	+2.8248	+0.0049	+11 37 36.9	−8.768	+0.374	70.5	45 52 315 319	11 2972
5707	8.2	16 26.70	2.8557	0.0051	10 12 15.1	8.756	0.378	87.7 88.2	5 Beob.	10 2992
*5708	8.9	16 41.45	2.7530	0.0044	14 51 33.8	8.737	0.365	70.4	172 177 191	14 3041
5709	9.1	16 48.37	2.8011	0.0047	12 41 44.2	8.728	0.371	69.5	47 185	12 3005
5710	9.1	17 7.50	2.8555	0.0051	10 12 7.4	8.703	0.379	84.9	479 567	[10 2994]
5711	8.3[3]	16 17 19.54	+2.7688	+0.0045	+14 7 57.6	−8.687	+0.368	70.4	180 191	14 3042
5712	8.6	17 24.89	2.8532	0.0050	10 17 56.5	8.680	0.379	68.4	44 50	10 2995
5713	8.8	17 32.11	2.7757	0.0045	13 49 3.5	8.670	0.369	70.4	180 191	13 3128
5714	8.7	17 34.49	2.7812	0.0046	13 34 10.5	8.667	0.369	69.5	47 185	13 3129
5715	8.8	17 51.18	2.7790	0.0045	13 39 44.4	8.645	0.369	70.4	180 187 191	13 3132
5716	8.4[4]	16 17 54.59	+2.8183	+0.0048	+11 53 1.6	−8.641	+0.375	70.4	46 183 317	11 2977
5717	8.9	17 54.69	2.8168	0.0048	11 57 12.8	8.641	0.374	70.4	46 183 317	12 3006
*5718	8.7	18 11.03	2.7901	0.0046	13 9 24.1	8.619	0.371	69.5	47 185	13 3134
5719	8.2	18 14.98	2.8218	0.0048	11 43 0.9	8.614	0.375	70.5	45 52 315 319	11 2978
5720	8.8	18 24.02	2.8308	0.0049	11 18 15.3	8.602	0.377	70.5	45 52 315 319	11 2980
5721	7.9[5]	16 18 27.82	+2.8474	+0.0050	+10 32 40.8	−8.597	+0.379	68.4	44 50	10 2996
*5722	9.2	18 33.57	2.7807	0.0046	13 34 0.4	8.589	0.370	70.5	187	— —
5723[6]	9.2	18 33.88	2.7810	0.0046	13 33 13.2	8.589	0.370	77.1 80.4	180 191 773δ 776	13 3136
5724	8.8	18 45.73	2.7684	0.0045	14 6 34.4	8.573	0.369	70.4	180 187	14 3046
5725	8.8	18 55.98	2.8042	0.0047	12 29 54.9	8.560	0.373	70.4	46 183 317	12 3007
5726	9.0	16 18 57.85	+2.8343	+0.0049	+11 7 52.0	−8.557	+0.377	70.5	45 52 315 319	11 2981
5727	8.5	18 58.37	2.7475	0.0043	15 2 2.9	8.557	0.366	70.4	172 177	15 2994
5728	8.9	19 4.87	2.7535	0.0044	14 45 57.4	8.548	0.367	70.4	172 177	14 3047
5729	8.9	19 12.20	2.8387	0.0049	10 55 31.2	8.538	0.378	70.5	45 52 315 319	10 2999
5730	**5.0**	**19 38.86**	**2.7631**	**0.0044**	**14 19 20.8**	**8.503**	**0.369**		**Fund. Cat.**	**14 3049**
5731[7]	8.6	16 19 52.82	+2.7784	+0.0045	+13 38 8.8	−8.485	+0.371	80.4 82.4	5 Beob.	13 3143
5732	8.4	19 53.70	2.8102	0.0047	12 12 18.7	8.483	0.375	70.4	46 183 317	12 3013
5733	8.9	20 0.11	2.7619	0.0044	14 21 51.8	8.475	0.369	80.4	172 177 776 778	14 3050
5734	8.8	20 4.04	2.7558	0.0044	14 38 1.8	8.470	0.368	70.4	172 177	14 3051
5735	8.7	20 7.85	2.7676	0.0045	14 6 34.7	8.465	0.369	70.4	180 187	14 3052
5736	8.8	16 20 13.83	+2.8235	+0.0048	+11 35 50.1	−8.457	+0.377	70.5	45 52 315 319	11 2983
5737	7.0[8]	20 18.75	2.8213	0.0048	11 41 31.8	8.450	0.377	70.5	45 52 315 319	11 2984
5738	8.7	20 21.96	2.8415	0.0049	10 46 23.2	8.446	0.379	68.4	44 50	10 3002
5739	8.8	20 25.35	2.7568	0.0044	14 34 49.8	8.442	0.368	70.4	172 177	14 3056
5740	7.9[9]	20 49.42	2.8303	0.0048	11 16 31.6	8.410	0.378	70.5	45 52 315 319	11 2987
5741	9.1[10]	16 20 54.19*	+2.7443	+0.0043	+15 7 0.9	−8.404	+0.367	94.5	R(2)	15 3001
5742	9.9	20 54.37	2.8143	0.0047	11 59 41.2	8.403	0.376	90.4	773δ 776 778	12 3015
5743	8.7	20 55.87	2.8067	0.0047	12 20 21.2	8.401	0.375	70.4	46 183 317	12 3016
5744	8.9	21 2.09	2.7942	0.0046	12 53 42.8	8.393	0.374	69.5	47 185	12 3017
5745	8.7	21 27.56	2.8533	0.0050	10 12 43.9	8.359	0.382	68.4	44 50	10 3004
5746	9.1	16 21 39.53	+2.7491	+0.0043	+14 53 11.3	−8.344	+0.368	70.4	172 177	14 3060
5747	8.9	22 6.47	2.7750	0.0045	13 43 30.9	8.308	0.372	70.4	180 187	13 3152
5748[11]	7.8	22 58.90	2.7708	0.0045	13 53 23.9	8.238	0.372	80.4 82.4	5 Beob.	13 3155
5749	8.8	23 5.16	2.8330	0.0048	11 6 14.3	8.230	0.380	70.5	45 52 315 319	11 2994
5750	10.0	23 6.99*	2.8551	0.0050	10 5 47.0	8.227	0.383	84.9	479 567	[10 3009]

[1] Z. 315 [$8^m.7$] [2] BD 7.3 [3] Com. $9^m.8$ 7" 310° [4] BD 7.8; Schätz. 8.3 8.5 8.4 [5] BD 7.2
[6] $11^m.0$ seq. $2^s.3$ 5" A. [7] $9^m.5$ praec. $3^s.7$ 10" A. [8] BD 6.5 [9] BD 7.2 [10] Grösse nach BD
[11] 11^m seq. $0^s.3$ 1'.2 B.; $9^m.7$ praec. $2^s.7$ 2'.5 B.

Nr.	Gr.	A.R. 1875	Praec.	Var. saec.	Decl. 1875	Praec.	Var. saec.	Ep.	Zonen	B.D.
5751	10.2	16h 23m 8s.18*	+2s.8552	+0s.0050	+10° 5' 36".9*	−8".226	+0".383	88.1	479 567 R	— —
5752	8.9	23 19.81	2.8459	0.0049	10 30 40.3	8.210	0.382	68.4	44 50	10° 3010
5753	8.9	23 21.34	2.8168	0.0047	11 49 38.0	8.208	0.378	70.4	46 183 317	11 2996
5754	8.7	23 27.01	2.7835	0.0045	13 18 54.8	8.201	0.374	69.5	47 185	13 3159
*5755	8.3	23 30.00	2.8380	0.0049	10 52 6.6	8.197	0.381	70.5	45 52 315 319	10 3012
5756	8.9	16 23 41.21	+2.8080	+0.0047	+12 12 50.5	−8.182	+0.377	70.4	46 183 317	12 3025
5757	9.0	23 46.99	2.7783	0.0045	13 32 17.9	8.174	0.374	76.4 79.9	47 185 7738 776	13 3160
5758	9.0	24 3.90	2.7555	0.0044	14 32 13.8	8.152	0.371	70.4	172 177	14 3061
5759	8.8	24 9.82	2.7553	0.0044	14 32 34.6	8.144	0.371	70.4	172 177	14 3063
5760	9.3	24 12.49	2.7524	0.0043	14 40 7.3	8.140	0.370	70.4	172 177	14 3064
5761	8.9	16 24 23.83	+2.8286	+0.0048	+11 16 23.6	−8.125	+0.381	70.5	45 52 315 319	11 2998
5762	8.8	24 40.73	2.8565	0.0050	10 0 17.5	8.102	0.385	76.7	44 50 479 567	10 3017
5763	9.2	25 3.81	2.7554	0.0044	14 30 43.6	8.072	0.371	70.4	172 177	14 3069
5764	8.9	25 46.98	2.7982	0.0046	12 36 12.8	8.014	0.378	70.4	46 183 317	12 3030
5765	8.5	25 47.96	2.7963	0.0046	12 41 22.4	8.013	0.377	69.5	47 185	12 3031
5766	8.5	16 25 52.76	+2.8290	+0.0048	+11 13 18.3	−8.006	+0.382	70.5	45 52 315 319	11 3003
5767	8.7	25 54.62	2.8185	0.0047	11 41 41.1	8.004	0.380	70.5	45 52 315 319	11 3004
5768	9.3	26 5.97	2.7630	0.0044	14 9 11.9	7.989	0.373	81.9	180 R	— —
5769	8.6	26 37.82	2.8301	0.0048	11 9 25.4	7.946	0.382	70.5	45 52 315 319	11 3007
5770	8.9	26 40.00	2.7577	0.0043	14 22 14.8	7.943	0.373	70.4	172 177	14 3073
5771	8.3	16 26 42.83	+2.7791	+0.0045	+13 25 39.5	−7.939	+0.376	69.5	47 185	13 3162
5772	5.8[1]	26 45.40	2.8167	0.0047	11 45 28.4	7.936	0.381	70.9	5 Beob.	11 3008
*5773	9.8	26 45.55	2.8545	0.0049	10 3 21.9*	7.936	0.386	87.4	479 567 834	} [10 3022]
*5774	9.4	26 46.26	2.8544	0.0049	10 3 38.5	7.935	0.386	93.4	834 R	
5775	8.8	26 47.69	2.7622	0.0044	14 10 7.3	7.933	0.373	70.4	180 187	14 3075
5776	8.7	16 26 48.44	+2.8078	+0.0046	+12 9 13.7	−7.932	+0.380	70.4	46 183 317	12 3035
5777	9.1	26 49.03	2.7456	0.0043	14 53 40.8	7.931	0.371	70.4	172 177	14 3076
5778[2]	8.7	27 4.05	2.8398	0.0048	10 42 55.2	7.911	0.384	68.4	44 50	10 3023
5779	8.8	27 21.83	2.7722	0.0044	13 43 6.1	7.887	0.375	70.4	180 187	13 3166
5780	9.2	27 37.10*	2.7922	0.0045	12 49 44.5	7.866	0.378	80.9	47 R	[12 3038]
5781	7.5[3]	16 27 38.42	+2.8413	+0.0048	+10 38 3.6	−7.865	+0.384	68.4	44 50	10 3025
5782	7.7[4]	28 3.32	2.7731	0.0044	13 39 35.8	7.831	0.376	70.4	180 187	13 3167
5783	8.5[5]	28 18.45	2.7707	0.0044	13 45 30.5	7.811	0.375	70.4	180 187	13 3169
5784	9.7	29 10.84	2.8521	0.0049	10 7 18.3	7.741	0.387	84.9	479 567	[10 3029]
5785	9.0	29 11.69	2.7546	0.0043	14 26 22.1	7.739	0.374	70.4	172 177	[14 3079]
5786	8.8	16 29 30.39	+2.8039	+0.0046	+12 15 57.9	−7.714	+0.381	70.4	46 183 317	12 3040
5787[6]	8.8	29 39.73	2.7917	0.0045	12 48 22.3	7.702	0.379	83.7	185 776 778	12 3041
5788	8.8	30 4.23	2.8361	0.0047	10 49 25.3	7.669	0.385	70.5	45 52 317 319	10 3034
5789	9.0	30 4.69	2.8316	0.0047	11 1 25.7	7.668	0.385	70.5	45 52 316 319	11 3013
5790	8.7	30 10.61	2.8058	0.0046	12 10 13.3	7.660	0.381	70.4	46 183 317	12 3044
5791	8.4	16 30 25.01	+2.7739	+0.0044	+13 34 8.6	−7.641	+0.377	70.4	180 187	13 3174
5792	8.9	30 43.52	2.7535	0.0043	14 26 57.7	7.616	0.375	70.4	172 177	14 3085
5793	8.5	30 51.31	2.8323	0.0047	10 58 34.8	7.605	0.385	70.5	45 52 316 319	11 3015
5794	8.7	30 58.91	2.7953	0.0045	12 36 59.6	7.595	0.381	70.4	46 183 317	12 3048
5795	7.6[7]	31 14.55	2.7468	0.0042	14 43 47.4	7.574	0.374	70.4	172 177	14 3086
5796	9.0	16 31 44.05	+2.8030	+0.0045	+12 15 41.5	−7.534	+0.382	70.4	46 183 317	12 3051
5797	7.1[8]	32 2.47	2.7645	0.0043	13 56 29.2	7.509	0.377	70.4	180 187	13 3177
5798	8.7[9]	32 39.39	2.7387	0.0042	15 2 40.6	7.459	0.374	70.4	172 177	15 3033
5799	7.9[10]	32 41.58	2.7877	0.0044	12 54 40.1	7.456	0.381	69.5	47 185	12 3054
5800	8.7	32 44.17	2.8482	0.0048	10 13 56.6	7.453	0.389	68.4	44 50	10 3039

[1] 5.0 5.5 6.0 6.3 6.0; röthlich; BD 5.2 [2] 9m.2 seq. 3s.8 40".B.; 11m praec. 4s.0 1'.0 A.; 10m.0 praec. 6s.0 1'.5 A. [3] BD 7.0 [4] BD 7.2 [5] BD 8.0; Schätz. 8.5 8.6 [6] 9m.7 praec. 2s.0 55".B. [7] 8.3 7.0; BD 6.8; 10m.0 praec. 1s.9 1'.0 B. [8] BD 6.0 [9] BD 7.8 [10] BD 7.2

Nr.	Gr.	A.R. 1875	Praec.	Var. saec.	Decl. 1875	Praec.	Var. saec.	Ep.	Zonen	B.D.
5801	9.2	16h 32m 58s.86	+2s.7384	+0s.0042	+15° 2' 58".1	−7".433	+0".374	70.4	172 177	15° 3035
*5802	9.0	33 1.21	2.7641	0.0043	13 56 4.0	7.430	0.378	70.5	187 189	} 13 3178
*5803	8.9	33 2.58	2.7642	0.0043	13 55 47.3	7.428	0.378	70.4	180 187	
5804	8.9	33 3.98	2.7630	0.0043	13 58 57.3	7.426	0.377	81.8	180 189(½) 773 776	14 3089
5805	9.0	33 16.08	2.7779	0.0044	13 19 35.7	7.409	0.380	81.9	185 R	[13 3180]
5806	8.4	16 33 32.44	+2.7787	+0.0044	+13 17 13.4	−7.387	+0.380	69.5	47 185	13 3183
5807	8.4	33 35.66	2.8411	0.0047	10 31 53.1	7.383	0.388	68.4	44 50	10 3043
5808	8.6	33 45.05	2.7956	0.0045	12 32 35.4	7.370	0.382	70.4	46 183 317	12 3058
5809	8.7[1]	33 53.03	2.7560	0.0042	14 15 57.9	7.359	0.377	70.4	180 187	14 3093
5810	9.0	33 53.35	2.8101	0.0045	11 54 4.2	7.359	0.384	70.4	46 183 317	11 3019
5811	8.9	16 34 29.99	+2.8141	+0.0045	+11 42 43.4	−7.309	+0.385	70.9	46 183 315 317	11 3020
5812	9.2[2]	34 35.38	2.7712	0.0043	13 35 35.0	7.302	0.379	90.4	773 776	13 3189
5813	9.0	34 39.65	2.7821	0.0044	13 6 50.7	7.296	0.381	69.5	47 185	13 3190
5814	9.1	34 46.62	2.7495	0.0042	14 31 32.9	7.287	0.377	90.4	773 776	14 3094
5815	6.5[3]	35 2.19	2.7928	0.0044	12 38 21.1	7.265	0.383	69.5	47 185	12 3063
5816	8.8	16 35 9.01	+2.8301	+0.0046	+10 59 32.1	−7.256	+0.388	70.5	45 52 316 319	11 3022
5817	8.9	35 52.00	2.8126	0.0045	11 45 15.6*	7.198	0.386	70.5	45 52 316 319	11 3023
5818	8.9	35 52.65	2.7775	0.0043	13 17 15.8	7.197	0.381	69.9	47 180 185 187	13 3194
5819	8.7	35 53.06	2.8010	0.0044	12 15 49.6	7.196	0.384	75.4	46 183 317 773	12 3064
5820	9.3	35 57.56	2.7501	0.0042	14 28 15.4	7.190	0.378	70.4	172 177	14 3098
5821	9.0	16 36 0.15	+2.7747	+0.0043	+13 24 26.4	−7.187	+0.381	92.4	778 R	— —
5822	9.1	36 1.59	2.8089	0.0045	11 54 49.1	7.184	0.386	75.4	46 183 317 773	11 3024
*5823	8.1	36 3.04	2.7749	0.0043	13 23 52.5*	7.183	0.381	79.9	47 185 776 778	13 3196
5824	9.0	36 20.65*	2.8228	0.0046	11 17 33.9	7.159	0.388	70.9	5 Beob.	11 3025
5825	9.0	36 30.56	2.7498	0.0042	14 28 27.9	7.145	0.378	70.4	172 177	14 3103
5826	8.6	16 36 35.00	+2.7773	+0.0043	+13 16 51.6	−7.139	+0.382	69.8	47 180 185	13 3198
*5827	9.0	36 58.43	2.7639	0.0042	13 51 18.0	7.107	0.380	80.4	180 776	} 13 3203
*5828	9.0	36 58.77	2.7640	0.0042	13 51 4.5	7.107	0.380	90.4	773 776	
5829	8.6[4]	37 4.32	2.8251	0.0046	11 10 46.4	7.099	0.388	70.5	45 52 316 319	11 3028
5830	7.8[5]	37 26.98	2.7807	0.0043	13 6 58.3	7.068	0.382	69.5	47 185	13 3205
5831	8.5[6]	16 37 29.38	+2.7358	+0.0041	+15 2 56.6	−7.065	+0.376	70.4	172 177	15 3042
5832	9.0[7]	37 29.80	2.8164	0.0045	11 33 26.6	7.064	0.387	90.4	776 778	11 3029
5833	9.1	37 40.52*	2.8295	0.0046	10 58 34.7	7.050	0.389	70.5	45 52 316 319	11 3030
5834	8.5	37 40.74	2.8355	0.0046	10 42 40.5	7.049	0.390	68.4	44 50	10 3055
5835	7.8[8]	37 44.18	2.7912	0.0044	12 39 15.3	7.045	0.384	70.4	5 Beob.	12 3069
5836	8.7	16 37 50.94	+2.8129	+0.0045	+11 42 12.2	−7.035	+0.387	70.9	5 Beob.	11 3031
5837	8.8	37 57.95	2.7796	0.0043	13 9 6.4	7.026	0.383	69.5	47 185	13 3206
5838	9.0	37 59.53	2.7903	0.0044	12 41 16.2	7.024	0.384	83.7	185 773 776	12 3074
5839	8.6[9]	38 47.78	2.7949	0.0044	12 28 15.9	6.958	0.385	70.4	46 183 317	12 3078
5840	8.5[10]	38 48.34	2.7632	0.0042	13 50 38.5	6.957	0.381	70.4	180 187	13 3207
5841[11]	8.4	16 38 55.54	+2.8469	+0.0046	+10 11 6.2	−6.947	+0.392	76.7	44 50 479 567	10 3058
5842	8.8	38 58.26	2.7841	0.0043	12 56 14.1	6.943	0.384	69.5	47 185	12 3079
5843	9.2	38 58.85	2.7424	0.0041	14 44 3.1	6.943	0.378	70.4	172 177	14 3107
5844	8.5	39 17.53	2.7628	0.0042	13 51 1.1	6.917	0.381	83.7	180 773 776	13 3208
5845	9.0	39 28.47	2.7598	0.0042	13 58 31.9	6.902	0.381	70.4	180 187	14 3111
5846	9.1	16 39 39.05	+2.8224	+0.0045	+11 15 4.9[12]	−6.887	+0.389	70.9 71.4	5 Beob.	11 3035
5847	9.3	39 44.23	2.7969	0.0044	12 22 1.0	6.881	0.386	79.9	46 185 773 776	12 3081
5848	8.9	40 17.94	2.8113	0.0044	11 43 39.4	6.834	0.388	70.9	5 Beob.	11 3038
5849	9.0	40 22.62	2.7801	0.0043	13 5 3.6	6.828	0.384	79.9	47 185 773 776	13 3214
5850	8.8	40 32.36	2.8087	0.0044	11 50 8.8	6.814	0.388	70.4	46 183 317	11 3039

[1] BD 9.2 [2] Z. 773 9m.8 20" 20° [3] BD 6.0 [4] BD 8.0 [5] BD 7.0 [6] BD 8.0 [7] BD 9.5
[8] BD 7.1 [9] BD 8.1 [10] BD 8.0 [11] 9m.5 seq. 2s.0 60" B.; 9m.3 seq. 3s.5 85" B. [12] Z. 52 [9".9]

Nr.	Gr.	A.R. 1875	Praec.	Var. saec.	Decl. 1875	Praec.	Var. saec.	Ep.	Zonen	B. D.
5851	9.1	16h 40m 36s.71	+2s.8215	+0s.0045	+11° 16′ 28″.0	−6″.808	+0″.390	70.9	5 Beob.	11° 3040
5852	9.0	40 43.75	2.7918	0.0043	12 34 17.1	6.799	0.386	70.4	46 183 317	12 3085
5853	8.9	40 43.77	2.8497	0.0046	10 2 2.3	6.799	0.394	76.7	44 50 479 567	10 3065
5854	8.9	40 53.21	2.7539	0.0041	14 12 3.4	6.786	0.381	70.4	180 187	14 3113
5855	8.9	41 15.74	2.7939	0.0043	12 27 59.6	6.755	0.387	70.5	5 Beob.	12 3086
5856	8.4[1]	16 41 22.64	+2.7756	+0.0042	+13 15 23.0	−6.745	+0.384	69.5	47 185	13 3218
5857	8.6	41 40.60	2.7608	0.0042	13 53 18.8	6.721	0.382	70.4	180 187	13 3220
5858	8.9[2]	41 51.28	2.7437	0.0041	14 36 54.9	6.706	0.380	70.4	172 177	14 3116
5859	8.8	42 7.07	2.7567	0.0041	14 3 21.7	6.684	0.382	70.4	180 187	14 3119
5860	8.2[3]	42 13.38	2.8191	0.0044	11 21 15.7	6.676	0.390	70.9	5 Beob.	11 3045
5861	6.3	16 42 23.22	+2.7622	+0.0041	+13 48 49.3	−6.662	+0.383	70.4	180 187	13 3225
5862	8.8	42 24.26	2.8357	0.0045	10 37 19.5	6.661	0.393	68.4	44 50	10 3073
5863	9.0	42 27.97	2.8440	0.0045	10 15 25.0	6.656	0.394	68.4	44 50	10 3074
5864	8.5	42 34.75	2.8502	0.0046	9 59 3.0	6.646	0.395	76.7	44 50 479 567	10 3075
5865	9.1	42 43.23	2.8178	0.0044	11 24 9.9	6.635	0.391	70.9	5 Beob.	11 3048
5866	8.8	16 42 51.67	+2.7635	+0.0042	+13 44 47.5	−6.623	+0.383	70.4	180 187	13 3226
5867	8.9	42 55.49	2.8452	0.0045	10 11 59.0	6.618	0.394	76.7	44 50 479 567	10 3078
5868	8.9	43 0.94	2.7502	0.0041	14 18 50.9	6.611	0.381	70.4	172 177	14 3121
5869	8.1[4]	43 13.01	2.7784	0.0042	13 6 8.6	6.594	0.385	69.5	47 185	13 3228
5870	7.1	43 22.10	2.7777	0.0042	13 7 44.0	6.581	0.385	69.5	47 185	13 3230
5871	8.6	16 43 36.85	+2.8013	+0.0043	+12 6 7.0	−6.561	+0.389	70.4	46 183 317	12 3091
5872	9.0	43 45.95	2.8292	0.0044	10 53 15.0	6.548	0.393	70.9	5 Beob.	10 3080
5873	6.9[5]	43 48.39	2.7693	0.0042	13 28 50.2	6.545	0.385	69.5	47 185	13 3233
5874	8.7	44 4.64	2.7598	0.0041	13 52 56.9	6.523	0.383	70.4	180 187	13 3235
5875	8.5	44 8.24	2.7510	0.0041	14 15 11.9	6.518	0.382	70.4	180 187	14 3124
5876	8.8	16 44 9.76	+2.8416	+0.0045	+10 20 9.9	−6.516	+0.395	68.4	44 50	10 3081
5877	8.5	44 17.50	2.8197	0.0044	11 17 32.4	6.505	0.392	70.9	5 Beob.	11 3052
5878	8.2[6]	44 17.55	2.7510	0.0041	14 15 12.4	6.505	0.382	80.4	180 187 773 776	14 3125
5879	7.9[7]	45 7.06	2.8468	0.0045	10 5 36.9	6.436	0.396	76.7	44 50 479 567	10 3083
5880	9.2[8]	45 10.39	2.7316	0.0040	15 3 20.7	6.432	0.380	70.4	172 177	15 3060
5881	8.8	16 45 19.06	+2.7864	+0.0042	+12 42 54.7	−6.420	+0.388	69.5	47 185	12 3097
5882	9.1	45 47.69	2.8035	0.0043	11 58 20.9	6.380	0.390	82.9	317 R	[11 3058]
5883	8.9	46 4.22	2.8349	0.0044	10 35 59.5	6.357	0.395	68.4	44 50	10 3085
5884	8.9	46 19.09	2.8042	0.0043	11 55 47.2	6.337	0.391	70.4	46 183 317	11 3060
5885	7.7[9]	46 28.16	2.8152	0.0043	11 27 14.1	6.324	0.392	70.9	5 Beob.	11 3061
5886	9.5	16 46 29.22	+2.7807	+0.0042	+12 56 35.3	−6.323	+0.388	90.4	773 776	12 3099
5887	9.0	46 33.81	2.7562	0.0040	13 59 11.9	6.316	0.384	81.9	180 R	[14 3134]
5888	8.8	46 40.12	2.8335	0.0044	10 39 18.2	6.308	0.395	79.4	44 50 773 776	10 3086
5889	8.9	46 49.51	2.7881	0.0042	12 36 55.7	6.295	0.389	70.4	46 183 317	12 3100
5890	8.3	47 5.37	2.8137	0.0043	11 30 35.7	6.273	0.392	70.9	5 Beob.	11 3063
5891	7.7[10]	16 47 20.17	+2.8234	+0.0043	+11 4 59.8	−6.252	+0.394	70.9	5 Beob.	11 3065
5892	8.2	47 22.48	2.7296	0.0039	15 5 36.9	6.249	0.381	81.8	177 189(½) 773 776	15 3070
5893	9.0	47 47.33	2.7635	0.0041	13 39 6.6	6.215	0.386	90.4	773 776	13 3247
5894	8.6	47 53.47	2.7978	0.0042	12 10 51.2	6.206	0.391	70.4	46 183 317	12 3102
5895	4.0	48 5.74	2.8395	0.0044	10 22 22.2	6.189	0.397	68.4	44 50	10 3092
5896	8.8	16 48 11.15	+2.7554	+0.0040	+13 59 22.7	−6.182	+0.385	70.4	180 187	14 3136
5897	8.9	48 15.62	2.7603	0.0040	13 46 42.9	6.175	0.386	70.4	180 187	13 3250
5898	8.9	48 39.75	2.7689	0.0041	13 24 17.2	6.142	0.387	69.5	47 185	13 3253
5899	8.4	48 59.05	2.8420	0.0044	10 15 5.9	6.115	0.397	68.4	44 50	10 3095
5900	8.2	49 11.03	2.7366	0.0039	14 45 54.1	6.098	0.383	81.3	177 189(½) 773 776	14 3139

[1] 9m.0 praec. 0s.6 40″B. [2] 9.4 8.5 [3] BD 7.3 [4] BD 7.3 [5] BD 5.6 [6] 8.7 8.3 8.4 7.5
[7] 7.5 7.8 8.5 7.8; BD 7.3 [8] 9.7 8.7 [9] BD 7.0 [10] BD 7.1

Nr.	Gr.	A.R. 1875	Praec.	Var. saec.	Decl. 1875	Praec.	Var. saec.	Ep.	Zonen	B. D.
5901	9.1	16^h 49^m $26^s.05$*	$+2^s.7419$	$+0^s.0039$	+14°32′ 4″.5	−6″.078	+0″.384	81.8	177 189(½) 773 776	14°3140
5902	8.7	49 27.91	2.7537	0.0040	14 2 4.3	6.075	0.385	70.4	180 187	14 3141
5903	7.0[1]	49 30.52	2.7587	0.0040	13 49 23.8	6.071	0.386	70.4	180 187	13 3258
5904	9.0	49 39.97	2.8017	0.0042	11 58 58.8	6.058	0.392	70.9	46 183 317 318	12 3107
5905	8.8	49 48.33	2.7881	0.0041	12 33 53.5	6.046	0.390	70.9	46 183 317 318	12 3108
5906	8.9	16 49 48.85	+2.7343	+0.0039	+14 50 54.5	−6.046	+0.383	81.8	177 189(½) 773 776	14 3143
5907	8.6	50 31.01	2.8053	0.0042	11 48 51.9	5.987	0.393	70.9	46 183 317 318	11 3077
5908	9.0	50 38.53	2.8371	0.0043	10 26 23.5	5.977	0.398	68.4	44 50	10 3099
5909	8.6	50 40.90	2.7670	0.0040	13 27 7.6	5.973	0.388	69.5	47 185	13 3261
5910	8.9[2]	50 45.41	2.7952	0.0041	12 14 42.8	5.967	0.392	75.4	46 183 318 773	12 3111
5911	9.8	16 50 51.47	+2.8446	+0.0043	+10 6 46.5*	−5.959	+0.399	87.4	479 567 834	[10 3100]
5912	6.8[3]	50 56.34	2.7459	0.0039	14 20 15.3	5.952	0.385	81.8	177 189(½) 773 776	14 3148
5913	8.4	51 14.50	2.7736	0.0040	13 9 39.9	5.927	0.389	69.5	47 185	13 3264
5914	8.2	51 19.61	2.8303	0.0042	10 43 26.4	5.920	0.397	68.4	44 50	10 3102
5915	7.4[4]	51 24.91	2.7330	0.0039	14 52 14.6	5.912	0.383	81.8	177 189(½) 773 776	14 3151
5916	8.8	16 51 30.97	+2.7316	+0.0039	+14 55 33.9	−5.891	+0.383	78.4	177 189(½) 776	14 3153
5917	8.8	51 43.27	2.7715	0.0040	13 14 21.3	5.886	0.389	69.5	47 185	13 3268
5918	8.1	51 47.44	2.7485	0.0039	14 12 46.0*	5.881	0.386	70.4	177 189(½)	14 3154
5919	7.3[5]	51 48.54	2.7517	0.0039	14 4 37.4	5.879	0.386	70.4	180 187	14 3155
5920	9.0	52 1.70	2.8341	0.0043	10 33 5.6	5.861	0.398	68.4	44 50	10 3105
5921	9.0	16 52 8.81	+2.7336	+0.0039	+14 49 57.0	−5.851	+0.384	81.8	177 189(½) 773 776	14 3157
5922	8.8	52 9.86	2.8213	0.0042	11 6 13.5	5.849	0.396	70.5	45 52 315 319	11 3081
5923	9.0	52 23.86	2.7327	0.0039	14 51 50.1	5.830	0.384	70.4	177 189(½)	14 3158
5924	8.5	53 14.45	2.8069	0.0041	11 42 18.4	5.759	0.394	70.5	45 52 315 319	11 3083
5925	7.4[6]	53 28.50	2.7464	0.0039	14 16 18.6	5.740	0.386	81.8	177 189(½) 773 776	14 3161
5926	8.4[7]	16 53 41.62	+2.7409	+0.0039	+14 29 59.1	−5.722	+0.385	81.8	177 189(½) 773 776	14 3163
5927	8.9	53 47.47	2.7731	0.0040	13 8 21.5	5.713	0.390	69.5	47 185	13 3275
5928	8.0[8]	53 54.81	2.8207	0.0041	11 6 15.8	5.703	0.397	70.5	45 52 315 319	11 3085
5929	9.0	53 58.72	2.8293	0.0042	10 43 57.1	5.697	0.398	68.4	44 50	10 3112
5930	8.9	54 4.31	2.7571	0.0039	13 48 40.3	5.690	0.388	70.4	180 187	13 3279
5931	8.4[9]	16 54 4.51*	+2.8465	+0.0043	+ 9 59 13.7	−5.689	+0.400	76.7	44 50 479 567	10 3114
5932	8.6	54 15.47*	2.8453	0.0042	10 2 7.9	5.674	0.400	78.8	5 Beob.	10 3115
5933	8.9	54 18.79	2.7915	0.0040	12 20 59.7	5.669	0.393	70.4	46 183 318	12 3120
5934	8.3[10]	54 22.43	2.8226	0.0041	11 0 51.8	5.664	0.397	70.5	45 52 315 319	11 3086
5935	9.1	54 39.47	2.7829	0.0040	12 42 32.5	5.640	0.392	70.4	46 183 318	12 3122
5936	9.1	16 54 42.27	+2.8195	+0.0041	+11 8 31.0	−5.636	+0.397	70.5	45 52 315 319	11 3089
5937	8.7	54 44.08	2.8155	0.0041	11 18 51.0	5.634	0.396	70.9	5 Beob.	11 3090
5938	8.8	55 0.81	2.7478	0.0039	14 11 2.1	5.610	0.387	80.4	180 187 773 776	14 3167
5939	8.8	55 4.14	2.7802	0.0040	12 49 0.9	5.606	0.392	69.5	47 185	12 3124
5940	8.4[11]	55 15.80	2.8104	0.0041	11 31 32.1	5.590	0.396	70.5	45 52 315 319	11 3091
5941	10.0	16 55 33.25	+2.8427	+0.0042	+10 8 0.6	−5.565	+0.401	84.9	479 567	[10 3121]
5942	8.1	55 34.82	2.8145	0.0041	11 20 40.0	5.563	0.397	71.2	5 Beob.	11 3092
5943	8.8	55 45.88	2.7813	0.0039	12 45 39.7	5.547	0.392	79.9	47 185 773 776	12 3125
5944	6.7[12]	55 52.18	2.7247	0.0038	15 8 1.2	5.539	0.384	81.8	177 189(½) 773 776	15 3095
5945	9.0	56 15.44	2.7965	0.0040	12 6 24.0	5.506	0.394	70.4	46 183 318	12 3129
5946	8.9	16 56 27.26	+2.7673	+0.0039	+13 20 18.9	−5.489	+0.390	69.5	47 185	13 3284
5947	8.9	56 33.00*	2.7849	0.0039	12 35 42.2	5.481	0.393	70.4	46 183 318	12 3131
5948	7.5[13]	56 36.95	2.8454	0.0042	10 0 10.5	5.476	0.401	81.3	6 Beob.	10 3126
5949	8.5	56 37.29	2.7563	0.0039	13 47 58.2	5.475	0.389	70.4	180 187	13 3285
5950	8.7[14]	56 44.29	2.8287	0.0041	10 43 13.9	5.465	0.399	68.4	44 50	10 3127

[1] BD 6.3 [2] Z.773 $9^m.6$ 30″ 220°, $9^m.6$ 40″ 310°, $9^m.6$ 60″ 130° [3] 7.5 7.0 6.3 6.4
[4] 8.0 7.8 7.0 6.9; Z.776 röthlich [5] BD 6.5 [6] BD 6.8 [7] BD 7.8 [8] BD 7.5 [9] BD 7.7 [10] BD 7.6
[11] BD 7.5 [12] Z.189 7.5; BD 6.2; Z.177 $9^m.8$ 25″ 230° [13] 7.3 7.7 7.5 7.6 6.8 8.0 [14] BD 8.2

Nr.	Gr.	A.R. 1875	Praec.	Var. saec.	Decl. 1875	Praec.	Var. saec.	Ep.	Zonen	B.D.
5951	8.9[1]	16h 56m 50s.07	+2s.7982	+0s.0040	+12° 1' 33".4	−5".458	+0".395	70.4	46 183 318	12° 3132
5952	8.6	56 56.19	2.7722	0.0039	13 7 28.1	5.449	0.391	69.5	47 185	13 3288
5953	8.1[2]	57 12.73	2.7311	0.0038	14 50 35.9	5.426	0.386	81.8	177 189(½) 773 776	14 3178
5954	4.6	57 24.36	2.7447	0.0038	14 16 23.5	5.409	0.388	81.8	177 189(½) 773 776	14 3179
5955	7.4[3]	57 29.85*	2.7345	0.0038	14 41 47.0*	5.401	0.386	78.4	177 189(½) 776	14 3180
5956	9.2	16 57 31.18	+2.8030	+0.0040	+11 48 36.7	−5.400	+0.396	82.5	183 R	— —
5957	9.0	57 34.78	2.8029	0.0040	11 48 56.0	5.395	0.396	70.4	46 183 318	11 3095
5958	8.6	57 49.98	2.7598	0.0038	13 38 6.1	5.373	0.390	69.5	47 185	13 3291
5959	6.3	57 54.83	2.7562	0.0038	13 47 2.8	5.366	0.390	70.4	180 187	13 3292
5960	8.6	57 58.40	2.7546	0.0038	13 50 55.0	5.361	0.389	70.4	180 187	13 3293
5961	6.7[4]	16 58 12.99	+2.7569	+0.0038	+13 44 54.7	−5.341	+0.390	80.4	180 187 773 776	13 3295
5962	9.0	58 21.86	2.8095	0.0040	11 31 15.7	5.329	0.397	70.5	45 52 315 319	11 3097
5963	9.1	58 24.46	2.8280	0.0041	10 43 41.4	5.325	0.400	68.4	44 50	10 3135
5964	8.5	58 34.60	2.7632	0.0038	13 28 50.9	5.310	0.391	70.4	180 187	13 3296
5965	9.0	58 51.41*	2.7278	0.0037	14 57 13.4	5.287	0.386	79.6	177 189(½) R	[14 3183]
5966	9.0	16 58 55.12	+2.8353	+0.0041	+10 24 37.7	−5.282	+0.401	68.4	44 50	10 3137
5967	8.8	59 16.30	2.7866	0.0039	12 28 49.4	5.252	0.394	70.4	46 183 318	12 3140
5968	8.8	59 17.01	2.8103	0.0040	11 28 35.0	5.251	0.398	70.5	45 52 315 319	11 3099
5969	8.8	59 20.14	2.7490	0.0038	14 3 46.5	5.246	0.389	70.4	180 187	14 3185
5970	**5.0**	**59 34.92**	**2.7763**	**0.0039**	**12 54 50.3**	**5.226**	**0.393**		**Fund. Cat.**	**12 3142**
5971	9.1	16 59 37.71	+2.7610	+0.0038	+13 33 23.7	−5.222	+0.391	80.4	180 187 773 776	13 3301
5972	8.7	59 37.91	2.7865	0.0039	12 28 56.4	5.221	0.395	70.4	46 183 318	12 3141
5973	8.5	59 38.43	2.8279	0.0040	10 43 9.2	5.221	0.400	68.4	44 50	10 3140
5974	8.5	59 40.10	2.7822	0.0039	12 39 50.8	5.218	0.394	70.4	46 183 318	12 3143
5975	8.8[5]	59 40.46*	2.8174	0.0040	11 10 1.4	5.218	0.399	70.5	45 52 315 319	11 3101
5976	8.8	16 59 42.44	+2.7253	+0.0037	+15 2 37.0	−5.215	+0.386	81.8	177 189(½) 773 776	15 3106
5977	8.4	17 0 12.13	2.7785	0.0038	12 48 35.6	5.173	0.394	69.5	47 185	12 3144
5978	7.0	0 18.75	2.8299	0.0040	10 37 25.3	5.164	0.401	68.4	44 50	10 3142
5979	8.7	0 32.11	2.7793	0.0038	12 46 19.3	5.145	0.394	69.5	47 185	12 3148
5980	9.0	0 52.12	2.7745	0.0038	12 58 18.1	5.117	0.393	69.5	47 185	13 3307
*5981	9.1	17 1 12.73	+2.7881	+0.0039	+12 23 24.7	−5.088	+0.395	70.4	46 183 318	12 3150
5982	7.8	1 21.27	2.7904	0.0038	12 17 35.8	5.076	0.396	70.4	46 183 318	12 3152
5983	9.0	1 35.85	2.7966	0.0039	12 1 38.9*	5.055	0.397	70.4 70.3	5 Beob.	12 3154
5984	8.8[6]	1 42.28	2.7801	0.0038	12 43 16.1	5.046	0.395	69.5	47 185	12 3156
5985	8.5	1 43.60	2.7724	0.0038	13 2 43.3	5.044	0.393	69.8	47 125(½) 185 197	13 3309
5986	9.1	17 1 47.57	+2.7362	+0.0037	+14 33 31.6*	−5.039	+0.388	70.5	5 Beob.	14 3195
5987	8.7	2 8.11	2.8330	0.0040	10 28 7.3	5.011	0.402	69.1	44 50 174	10 3145
5988	9.5[7]	2 34.58	2.8398	0.0040	10 10 20.6	4.972	0.403	86.0	498 727	[10 3146]
5989	8.7	2 41.63	2.8435	0.0040	10 0 48.1	4.962	0.404	85.5	505 647	[10 3147]
5990	8.7	3 8.11	2.8431	0.0040	10 1 32.5	4.925	0.404	84.0	5 Beob.	10 3150
5991	8.5[8]	17 3 8.66	+2.7772	+0.0038	+12 49 31.0	−4.924	+0.395	81.8	125(½) 197 783 785	12 3159
5992	8.0[9]	3 21.39	2.7219	0.0036	15 7 24.5	4.906	0.387	70.5	191 193 201 203	15 3118
5993	8.5	3 33.04	2.8002	0.0038	11 50 51.6	4.890	0.398	86.4 83.6	118δ(½)179(½) 781 782	11 3113
5994	8.9	3 41.39	2.8340	0.0039	10 24 41.6	4.878	0.403	85.4	174 777 780 787	10 3152
5995	8.8[10]	3 43.63	2.7726	0.0037	13 0 42.0	4.875	0.394	83.7	5 Beob.	13 3318
5996	8.8	17 3 44.37	+2.7718	+0.0037	+13 2 39.3	−4.874	+0.394	83.7	5 Beob.	13 3319
5997	7.8[11]	3 46.51	2.8388	0.0040	10 12 12.6	4.871	0.404	84.1	5 Beob.	10 3153
5998	10.0	4 9.34	2.8426	0.0040	10 2 19.5	4.838	0.404	84.5	498 505	[10 3154]
5999	8.8	4 17.60	2.7990	0.0038	11 53 25.2	4.827	0.398	86.4 83.6	118δ(½)179(½) 781 782	11 3115
6000	8.7	4 25.57	2.7693	0.0037	13 8 26.6	4.815	0.394	83.7	5 Beob.	13 3320

[1] 9.5 8.7 8.6; BD 8.4 [2] Z. 773 orange [3] BD 6.5 [4] 7.0 7.0 6.0 6.7 [5] BD 8.0; Schätz. 8.9 8.8 8.7 8.8
[6] BD 8.3 [7] 10.0 9.0 [8] Z. 783 roth [9] BD 7.3 [10] Z. 783 roth [11] 8.0 7.8 8.0 7.2 8.1

Nr.	Gr.	A.R. 1875	Praec.	Var. saec.	Decl. 1875	Praec.	Var. saec.	Ep.	Zonen	B. D.
6001	9.2	17h 4m 26s.74	+2s.8175	+0s.0039	+11° 6′ 14″.2	−4″.814	+0″.401	81.9	176 R	[11° 3117]
6002	8.7	4 57.23	2.7588	0.0037	13 34 8.5	4.770	0.393	83.7	5 Beob.	13 3321
6003	6.6	4 57.57	2.7814	0.0037	12 37 28.1	4.770	0.396	83.8	195 777 780	12 3161
6004	9.2	5 1.26	2.7341	0.0036	14 35 41.7	4.765	0.389	70.5	193 201	14 3198
6005	8.9	5 4.00	2.7452	0.0036	14 8 4.4	4.761	0.391	70.5	191 203	14 3199
6006	8.7	17 5 9.08	+2.8018	+0.0038	+11 45 46.6	−4.753	+0.399	86.4 83.6	118δ(½) 179(½) 781 782	11 3122
6007	8.8	5 15.24	2.8178	0.0038	11 4 58.0	4.745	0.401	70.0	121 176	11 3123
6008	8.4	5 16.61	2.7223	0.0036	15 4 33.3	4.743	0.388	70.5	193 201	15 3122
6009	9.0	6 12.93	2.7902	0.0037	12 14 23.7	4.663	0.398	83.8	195 777 780	12 3163
6010	8.0[1]	6 17.69	2.7325	0.0036	14 38 26.6	4.656	0.390	70.5	193 201	14 3201
6011	6.5[2]	17 6 34.38	+2.8256	+0.0038	+10 44 15.2	−4.633	+0.403	70.0	121 176	10 3165
6012	8.5	6 37.62	2.7623	0.0036	13 24 4.8	4.628	0.394	83.7	5 Beob.	13 3326
6013	8.3	6 46.23	2.8017	0.0037	11 44 52.9	4.616	0.400	70.2	125(½) 179(½) 197	11 3132
6014	8.9	6 49.27	2.7897	0.0037	12 15 0.7	4.612	0.398	85.5	195 780 785 787	12 3165
6015	8.3	7 4.85	2.7921	0.0037	12 8 47.5	4.590	0.398	83.8	195 777 780	12 3168
6016	9.0	17 7 20.74	+2.8131	+0.0038	+11 15 31.5	−4.567	+0.401	70.0	121 176	11 3135
6017	9.0[3]	7 24.77	2.7949	0.0037	12 1 38.7	4.561	0.399	85.8	179(½) R	[12 3171]
6018	9.0	7 56.17	2.7932	0.0037	12 5 35.0	4.516	0.399	83.8	195 777 780	12 3174
6019	8.9	7 58.39	2.8091	0.0037	11 23 10.5	4.513	0.401	70.0	121 176	11 3137
6020	8.6	8 6.41	2.7299	0.0035	14 43 22.7	4.502	0.390	70.5	191 203	14 3203
6021	8.9	17 8 8.93	+2.7222	+0.0035	+15 2 21.0	−4.499	+0.389	70.5	193 201	15 3130
6022	7.8[4]	8 21.80	2.7908	0.0037	12 11 14.4	4.480	0.399	70.0	123 195	12 3176
6023	8.7	8 33.47	2.7364	0.0035	14 26 47.8	4.464	0.391	70.5	193 201	14 3205
6024	8.9[5]	8 37.38	2.7944	0.0037	12 2 0.4*	4.458	0.399	88.3 86.4	6 Beob.	12 3177
6025	8.1	8 38.48	2.7303	0.0035	14 41 53.7	4.456	0.390	70.5	193 201 203	14 3206
6026	9.1	17 8 47.91	+2.8138	+0.0037	+11 12 52.4	−4.443	+0.402	70.0	121 176	11 3139
6027	8.6	8 54.87	2.8391	0.0038	10 8 22.6	4.433	0.406	84.0	5 Beob.	10 3169
6028	8.9	8 55.59	2.8218	0.0037	10 52 16.4	4.432	0.403	81.6	121 179(½) 781 782	10 3170
6029	9.7	8 56.58	2.8391	0.0038	10 8 8.2	4.431	0.406	90.4	777 780	— —
6030	**var.[6]**	**8 56.90**	**2.7342**	**0.0035**	**14 32 3.3**	**4.430**	**0.391**		**Fund. Cat.**	**14 3207**
6031	8.8	17 8 58.90	+2.8186	+0.0037	+11 0 22.2	−4.427	+0.403	70.0	121 176	11 3142
6032	8.8	9 11.51	2.7766	0.0036	12 46 11.1	4.409	0.397	85.8	7 Beob.	12 3179
6033	8.9	9 24.85	2.8417	0.0038	10 1 12.9	4.391	0.406	84.5	497 498 505	[10 3171]
6034	8.8[7]	9 37.05	2.8184	0.0037	11 0 39.0	4.373	0.403	70.0	121 176	11 3146
6035	8.6	9 38.88	2.7934	0.0036	12 3 45.0	4.370	0.399	86.4 83.6	118δ(½) 179(½) 777 780	12 3180
6036	9.1	17 9 44.54	+2.7747	+0.0036	+12 50 38.9	−4.363	+0.397	85.5	125(½) R	[12 3181]
6037	8.6[8]	9 45.30	2.7212	0.0034	15 3 16.8	4.362	0.389	70.5	193 201	15 3141
6038	8.8	9 52.01	2.7257	0.0035	14 52 20.3	4.352	0.390	70.5	193 201	14 3210
6039	8.8	10 6.78	2.8177	0.0037	11 2 4.3	4.331	0.403	70.0	121 176	11 3148
6040	8.9	10 7.26	2.7747	0.0036	12 50 16.9	4.330	0.397	81.8	125(½) 197 781 782	12 3185
6041	8.8	17 10 36.51	+2.8122	+0.0037	+11 15 34.3	−4.289	+0.402	80.2	121 176 781 782	11 3151
6042	8.8	10 39.02*	2.8289	0.0037	10 33 10.7	4.285	0.405	83.7	174 777 780	10 3174
6043	8.7	10 51.65	2.8349	0.0037	10 20 20.6	4.267	0.406	83.7	174 777 780	10 3175
6044	8.4	10 51.99	2.7267	0.0034	14 48 58.6	4.267	0.390	70.5	193 201	14 3213
6045	8.9	10 54.15	2.7609	0.0035	13 24 17.5	4.263	0.395	88.2	5 Beob.	13 3338
6046	8.9	17 11 21.82	+2.8046	+0.0036	+11 34 29.7	−4.224	+0.402	86.4 83.6	118δ(½) 179(½) 781 782	11 3152
6047	8.6	11 23.69	2.7265	0.0034	14 49 5.6	4.221	0.391	70.5	193 201	14 3215
6048	6.7[9]	11 24.43	2.7639	0.0035	13 16 28.0*	4.220	0.396	83.7 85.0	6 Beob.	13 3341
6049	8.2	11 32.27	2.7462	0.0035	14 0 23.5	4.209	0.393	70.5	191 203	14 3216
6050	8.9	11 38.09	2.8277	0.0037	10 35 38.1	4.201	0.405	86.4 87.1	6 Beob.	10 3176

[1] BD 7.3 [2] BD 5.8 [3] Nur Z. 179; BD 9.5 [4] BD 7.0 [5] 11m.5 seq. 1s.5 2″B. [6] 3.2..4.0, α Herc.
[7] BD 8.2 [8] BD 8.1 [9] 7.5 8.0 5.6 5.9 6.0 7.5; BD 7.2

Nr.	Gr.	A.R. 1875	Praec.	Var. saec.	Decl. 1875	Praec.	Var. saec.	Ep.	Zonen	B. D.
6051	8.5	$17^h\ 11^m\ 38^s.91$	$+2^s.7596$	$+0^s.0035$	$+13°\ 26'\ 52''.2$	$-4''.200$	$+0''.396$	70.2	125(½) 197	13° 3342
6052	8.5	11 40.68	2.8287	0.0037	10 33 15.7*	4.197	0.405	83.6 84.8	6 Beob.	10 3177
6053	8.9	11 41.16	2.7350	0.0034	14 27 47.5	4.196	0.392	70.5	191 203	14 3217
6054	8.9	12 5.55	2.7652	0.0035	13 12 36.5	4.162	0.396	83.7 85.0	6 Beob.	13 3343
6055	8.8	12 6.78	2.7352	0.0034	14 26 59.3	4.160	0.392	70.5	191 203	14 3219
6056	8.6	17 12 17.13	+2.8047	+0.0036	+11 33 27.6	−4.145	+0.402	86.4 83.6	118δ(½) 179(½) 781 782	11 3154
6057	6.3[1]	12 44.46	2.8178	0.0036	11 0 5.5	4.106	0.404	70.0	121 176	11 3156
6058	8.8	12 49.34	2.7869	0.0035	12 17 59.5	4.099	0.400	70.0	123 195	12 3191
6059	9.1	12 55.91*	2.8419	0.0037	9 58 47.3	4.089	0.407	88.4	5 Beob.	10 3184
6060	9.1	12 59.13	2.8200	0.0036	10 54 28.8	4.085	0.404	90.4	781 782	10 3185
6061	8.9	17 13 0.78	+2.8280	+0.0036	+10 34 6.7	−4.083	+0.405	83.7	174 777 780	10 3187
6062	8.5	13 2.13	2.7211	0.0034	15 0 55.5	4.081	0.390	70.5	193 201	15 3155
6063	9.0	13 8.47	2.7783	0.0035	12 39 24.1	4.072	0.398	70.0	123 195	12 3192
6064	8.7	13 15.75	2.7818	0.0035	12 30 25.6	4.061	0.399	70.0	123 195	12 3193
6065	8.7	13 17.76	2.8388	0.0037	10 6 40.7	4.059	0.407	77.2	119 174 498 505	10 3188
6066	8.9	17 13 20.02	+2.8367	+0.0036	+10 12 0.2	−4.055	+0.407	77.2	119 174 498 505	10 3189
6067	8.5[2]	13 25.66	2.8105	0.0036	11 18 15.5	4.047	0.403	70.0	121 176	11 3157
6068	8.8	13 41.31	2.7872	0.0035	12 16 42.4	4.025	0.400	70.0	123 195	12 3194
6069	8.5	13 45.53	2.7622	0.0035	13 19 6.2	4.019	0.396	83.7 85.0	6 Beob.	13 3349
6070	9.0	13 45.54	2.7446	0.0034	14 2 43.0	4.019	0.394	70.5	191 203	14 3227
6071	9.0	17 13 47.57	+2.7288	+0.0034	+14 41 31.1	−4.016	+0.392	70.5	193 201	14 3228
6072	9.0	13 52.27	2.7787	0.0035	12 37 52.8	4.009	0.399	70.0	123 195	12 3195
6073	8.5	15 23.33	2.7657	0.0034	13 9 12.0	3.879	0.397	83.7 85.0	6 Beob.	13 3355
6074	8.5	15 27.56	2.8131	0.0035	11 10 30.0	3.873	0.404	70.0	121 176	11 3161
6075	7.9	15 36.79	2.7511	0.0034	13 45 18.9	3.860	0.395	83.7 85.0	6 Beob.	13 3357
6076	8.9	17 15 37.33	+2.7851	+0.0035	+12 20 44.6	−3.859	+0.400	70.0	123 195	12 3199
6077	8.5	15 52.08	2.7307	0.0033	14 35 16.7	3.838	0.392	70.5	191 203	14 3232
6078	7.5[3]	16 7.10	2.7981	0.0035	11 47 46.2*	3.816	0.402	86.4 83.6	118δ(½) 179(½) 781 782	11 3166
6079	8.7	16 7.31	2.7783	0.0034	12 37 21.8	3.816	0.399	70.0	123 195	12 3202
6080	8.1	16 33.37	2.8332	0.0035	10 19 3.5	3.779	0.407	69.9	119 174	10 3199
6081	8.5	17 16 42.36	+2.7227	+0.0033	+14 54 18.7	−3.766	+0.392	70.5	193 201	14 3236
6082	8.7	16 47.40	2.7252	0.0033	14 48 14.2	3.759	0.392	70.5	193 201	14 3238
6083	9.0	16 51.34	2.7951	0.0034	11 54 52.3	3.753	0.402	86.4 83.6	118δ(½) 179(½) 781 782	11 3169
6084	8.7	17 24.83	2.7197	0.0033	15 1 5.2	3.705	0.391	70.5	193 201	15 3173
6085	8.9	17 43.13	2.7621	0.0033	13 16 38.3	3.679	0.398	83.7	5 Beob.	13 3361
6086	8.6	17 17 44.92	+2.7230	+0.0033	+14 52 59.2	−3.676	+0.392	70.5	193 201	14 3243
6087	7.6[4]	17 53.10	2.7563	0.0033	13 31 1.9	3.664	0.397	83.7	5 Beob.	13 3362
6088	8.2	18 7.58	2.7635	0.0033	13 12 52.3	3.644	0.398	81.8	125(½) 197 785 788	13 3363
6089	8.6	18 26.64	2.7312	0.0033	14 32 16.7	3.616	0.393	70.5	191 203	14 3246
6090	8.8	18 29.47	2.7829	0.0034	12 24 25.9	3.612	0.401	70.0	123 195	12 3211
6091	9.0	17 18 31.22	+2.7225	+0.0032	+14 53 33.1	−3.610	+0.392	70.5	193 201	14 3247
6092	8.7	18 47.85	2.7299	0.0032	14 35 9.4	3.586	0.393	70.5	191 203	14 3248
6093	9.0	19 8.98	2.7576	0.0033	13 26 56.7	3.556	0.397	78.3	125(½) 197 783	— —
6094	8.6	19 9.96	2.7577	0.0033	13 26 34.8	3.554	0.397	78.3	125(½) 197 783	13 3365
6095	8.9	19 40.25	2.7424	0.0032	14 3 57.0	3.511	0.395	70.5	191 203	14 3249
6096	9.0	17 19 45.01	+2.8224	+0.0034	+10 44 52.1	−3.504	+0.407	81.5	121 R	[10 3208]
6097	9.1	20 6.79	2.7644	0.0033	13 9 27.7	3.473	0.398	83.7	5 Beob.	13 3367
6098	8.8	20 24.76	2.7510	0.0032	13 42 22.8	3.447	0.397	83.7	5 Beob.	13 3369
6099	9.3	20 31.10	2.8220	0.0034	10 45 27.0	3.438	0.407	81.9	176 R	[10 3209]
6100	8.7	20 58.79	2.7844	0.0033	12 19 23.9	3.398	0.402	70.0	123 195	12 3220

[1] BD 5.0 [2] BD 7.3; Schätz. 8.5 8.5 [3] 8.0 8.1 6.9 7.0 [4] 8.3 8.1 7.9 6.8 7.0; Z. 788 röthlich?

Nr.	Gr.	A.R. 1875	Praec.	Var. saec.	Decl. 1875	Praec.	Var. saec.	Ep.	Zonen	B.D.
6101	8.4	17h 21m 35s.84	+2s.8221	+0s.0033	+10° 44' 33".4	−3".344	+0".407	83.7	176 777 780	10° 3212
6102	8.7	21 44.61	2.7154	0.0031	15 8 52.3	3.332	0.392	70.5	193 201	15 3187
6103	8.9	21 48.07	2.7150	0.0031	15 9 32.6	3.327	0.392	82.0	201 R	[15 3188]
6104	8.6[1]	21 59.92	2.8040	0.0033	11 29 52.5*	3.310	0.405	86.4 83.6	118δ(½) 179(½) 781 782	11 3183
6105	7.5[2]	22 1.72	2.8041	0.0033	11 29 46.6	3.308	0.405	86.4 83.6	118δ(½) 179(½) 781 782	11 3184
6106	8.7	17 22 13.73	+2.7848	+0.0033	+12 17 37.0	−3.290	+0.402	70.0	123 195	12 3223
6107	8.8	22 28.76	2.7459	0.0032	13 53 47.8	3.269	0.396	70.5	191 203	13 3380
6108[3]	8.4	22 35.96	2.7724	0.0032	12 48 10.5	3.258	0.400	84.9	6 Beob.	12 3224
6109	9.0	22 37.23	2.7764	0.0032	12 38 20.8	3.256	0.400	70.0	123 195	12 3225
6110	8.8	22 39.60	2.7450	0.0032	13 55 48.2	3.253	0.396	70.5	191 203	13 3382
6111	9.1	17 22 39.66	+2.7822	+0.0032	+12 23 54.9	−3.253	+0.402	70.0	123 195	12 3226
6112	8.9	22 50.17	2.8255	0.0033	10 35 30.2	3.238	0.408	69.9	119 174	10 3215
6113	8.6[4]	22 54.40	2.8244	0.0033	10 38 14.6	3.232	0.408	69.9	119 174	10 3216
6114	8.2[5]	23 21.21	2.8156	0.0033	11 0 6.5	3.193	0.407	70.0	121 176	11 3187
6115	9.3	23 26.31	2.8353	0.0033	10 10 40.2	3.186	0.410	84.5	498 505	[10 3217]
6116	8.5[6]	17 23 36.77	+2.7963	+0.0032	+11 48 19.6	−3.171	+0.404	86.4 83.6	118δ(½) 179(½) 781 782	11 3188
6117	9.0	23 36.82	2.7904	0.0032	12 3 8.8	3.171	0.403	70.0	123 195	12 3229
6118	8.7	23 47.76	2.8284	0.0033	10 27 53.2	3.155	0.409	70.1	121 174 176	10 3219
6119	8.8	23 49.70	2.7973	0.0032	11 45 51.5*	3.152	0.404	86.4 83.6	118δ(½) 179(½) 781 782	11 3189
6120	8.1[7]	24 2.47	2.7914	0.0032	12 0 23.3	3.134	0.403	86.4 83.6	118δ(½) 179(½) 777 780	12 3231
6121	9.0	17 24 5.75	+2.8338	+0.0033	+10 13 58.8	−3.129	+0.410	81.6	6 Beob.	10 3220
6122	8.7	24 5.76	2.7885	0.0032	12 7 34.9	3.129	0.403	70.0	123 195	12 3232
6123	9.0	24 7.09	2.7450	0.0031	13 54 59.8	3.127	0.397	70.5	191 203	13 3387
6124[8]	9.1	24 15.59	2.8290	0.0033	10 25 59.9	3.115	0.409	69.9	119 174	10 3221
6125	8.5	24 22.82	2.7291	0.0031	14 33 43.0	3.104	0.395	70.5	193 201	14 3261
6126	8.1[9]	17 24 29.53	+2.8186	+0.0032	+10 52 13.8	−3.095	+0.407	70.0	121 176	10 3222
6127	6.9[10]	24 33.46	2.7909	0.0032	12 1 17.4	3.089	0.404	70.1 70.0	118δ(½) 123 179(½) 195	12 3234
6128	8.6	24 50.82	2.7271	0.0031	14 38 27.4	3.064	0.394	70.5	191 203	14 3262
6129	9.3	25 13.03	2.8262	0.0032	10 32 44.9	3.032	0.409	90.4	777 780	} 10 3225
6130	9.4	25 13.26	2.8261	0.0032	10 33 1.6	3.032	0.409	90.4	777 780	}
6131	9.0	17 25 16.44	+2.7200	+0.0031	+14 55 30.0	−3.027	+0.393	70.5	193 201	14 3265
6132	9.1	25 18.89	2.8260	0.0032	10 33 13.9	3.023	0.409	80.2	119 174 777 780	[10 3227]
6133	8.4	25 26.93	2.7622	0.0031	13 12 3.2	3.012	0.400	81.8	125(½) 197 783 785	13 3388
6134	8.9	25 39.46	2.8259	0.0032	10 33 19.1	2.994	0.409	69.9	119 174	10 3228
6135	8.9	25 41.48	2.7724	0.0031	12 46 41.5	2.991	0.401	81.8	125(½) 197 777 785	12 3236
6136	9.4	17 25 48.20	+2.8038	+0.0032	+11 28 31.6	−2.981	+0.406	85.8	179(½) R	[11 3193]
*6137	8.7	25 49.70	2.8086	0.0032	11 16 37.0	2.979	0.406	90.4	781 782	11 3194
*6138	9.0	25 54.95	2.8211	0.0032	10 45 14.9	2.972	0.408	70.0	121 176	10 3229
6139	9.1	25 58.19	2.8112	0.0032	11 9 59.8	2.967	0.407	80.2	121 176 781 782	11 3195
6140	8.4	26 0.28	2.7906	0.0031	12 1 30.9	2.964	0.404	70.1	123 125(½) 195 197	12 3240
6141	9.0[11]	17 26 8.31	+2.7306	+0.0030	+14 29 3.9	−2.952	+0.395	70.5	191 203	[14 3267]
6142	8.8[12]	26 11.86	2.8275	0.0032	10 29 7.0	2.947	0.409	69.9	119 174	10 3231
6143	7.2[13]	26 25.79	2.7906	0.0031	12 1 19.3	2.927	0.404	70.1	6 Beob.	12 3241
6144	9.1	26 31.66	2.8040	0.0031	11 27 42.4	2.918	0.406	85.8 81.7	118δ(½) 179(½) R	[11 3197]
6145	9.3	26 35.82	2.8269	0.0032	10 30 29.0	2.913	0.409	69.9	119 174	10 3234
6146	7.9[14]	17 26 42.52	+2.7307	+0.0030	+14 28 38.8	−2.903	+0.395	70.5	191 203	14 3270
6147[15]	8.6	26 45.76	2.7457	0.0030	13 51 52.3*	2.898	0.397	81.8	125(½) 197 783 785	13 3392
6148	8.8	27 2.88	2.7428	0.0030	13 58 55.9	2.873	0.397	70.5	191 203	13 3393
6149	8.8	27 8.14	2.8388	0.0032	10 0 25.3	2.866	0.411	77.2	119 174 498 505	10 3238
6150	8.6	27 20.72	2.8222	0.0032	10 41 56.3	2.848	0.409	70.0	121 176	10 3239

[1] Z. 179 blau [2] [8.8] 7.2 7.5 7.8; BD 7.0 [3] 9m.2 seq. 2s.0 1'.7 A. [4] BD 7.2; Schätz. 8.2 9.0 [5] BD 7.5
[6] Z. 781 orange [7] 7.8 8.6 8.3 7.7 [8] 9m.5 praec. 1s.7 45" A. [9] BD 7.5 [10] [8.9] 6.7 7.3 6.7
[11] BD 9.5 [12] BD 8.1 [13] BD 6.7 [14] BD 7.0 [15] 10m.0 seq. 1s.5 1'.2 A.

Nr.	Gr.	A.R. 1875	Praec.	Var. saec.	Decl. 1875	Praec.	Var. saec.	Ep.	Zonen	B.D.
6151	9.2	17h 27m 27s.35	+2s.7841	+0s.0031	+12° 16' 54".9	−2".838	+0".403	81.5	123 R	[12° 3245]
6152	8.8	27 29.61	2.8155	0.0031	10 58 36.5	2.835	0.408	70.0	121 176	10 3240
6153	8.8	27 59.01	2.7421	0.0030	14 0 2.2	2.792	0.397	70.5	191 203	14 3278
6154	8.9	27 59.50	2.7355	0.0030	14 16 7.6	2.792	0.396	70.5	191 203	14 3277
6155	8.8	28 1.27	2.7833	0.0031	12 18 35.6	2.789	0.403	70.0	123 195	12 3246
6156	7.1[1]	17 28 2.50	+2.7192	+0.0030	+14 55 55.8	−2.787	+0.394	70.5	193 201	14 3279
6157	9.1[2]	28 14.13	2.7762	0.0031	12 36 4.3	2.771	0.402	70.0	123 195	12 3248
6158	9.0	28 18.19	2.7167	0.0030	15 1 41.9	2.765	0.394	70.5	193 201	15 3211
*6159	6.8[3]	28 36.72	2.7604	0.0030	13 14 53.6	2.738	0.400	81.8	125(½) 197 783 785	13 3397
6160	8.5	28 57.94	2.8304	0.0031	10 20 42.2	2.707	0.410	69.9	119 174	10 3246
6161	**2.0**	**17 29 7.95**	**+2.7748**	**+0.0030**	**+12 39 9.2**	**−2.692**	**+0.402**		**Fund. Cat.**	**12 3252**
6162	9.0	29 11.67	2.8385	0.0031	10 0 23.6	2.687	0.411	84.5	498 505	[10 3247]
6163	7.4[4]	29 16.81	2.7609	0.0030	13 13 19.1	2.680	0.400	81.8	125(½) 197 781 782	13 3400
6164[5]	8.9	29 20.41	2.7841	0.0030	12 16 3.3	2.675	0.404	70.0	123 195	12 3253
6165	9.0	29 26.17	2.7498	0.0030	13 40 30.6	2.666	0.399	81.8	125(½) 197 783 785	13 3401
6166	9.0	17 29 30.95	+2.7579	+0.0030	+13 20 38.3	−2.660	+0.400	81.8	125(½) 197 783 785	13 3402
6167	8.0[6]	29 41.95	2.8038	0.0031	11 27 4.6	2.644	0.406	86.4 83.6	118δ(½) 179(½) 781 782	11 3204
6168	8.2	29 42.18	2.7554	0.0030	13 26 43.7	2.643	0.399	81.8	125(½) 197 783 785	13 3404
*6169	8.1	30 2.24	2.7874	0.0030	12 7 41.2	2.614	0.404	70.0	123 195	12 3256
6170	8.3[7]	30 6.62	2.7330	0.0029	14 21 16.9	2.608	0.396	70.5	191 203	14 3286
6171	8.9	17 30 7.54	+2.7805	+0.0030	+12 24 39.3	−2.607	+0.403	70.0	123 195	12 3257
6172	8.3[8]	30 13.39	2.8051	0.0030	11 23 37.6	2.598	0.407	70.0	121 176	11 3205
6173	8.9	30 28.93	2.8368	0.0031	10 4 6.7	2.576	0.411	77.2	119 174 498 505	10 3249
6174	8.7	30 38.40	2.7416	0.0029	14 0 0.4	2.562	0.398	70.5	191 203	14 3287
6175	7.0[9]	30 48.38	2.7578	0.0029	13 20 25.5	2.548	0.400	81.8	125(½) 197 783 785	13 3411
6176	9.1	17 30 53.34	+2.7964	+0.0030	+11 45 4.3*	−2.540	+0.406	86.4 83.6	118δ(½) 179(½) 781 782	11 3208
6177	7.3[10]	30 53.48	2.7442	0.0029	13 53 32.4	2.540	0.398	70.5	191 203	13 3412
6178	9.0	30 54.75	2.7922	0.0030	11 55 27.3	2.539	0.405	86.4 83.6	118δ(½) 179(½) 781 782	11 3209
6179	8.3	30 58.49	2.8227	0.0030	10 39 13.7	2.533	0.409	70.0	121 176	10 3250
6180	8.5	31 0.35	2.8355	0.0030	10 7 8.5	2.530	0.411	77.2	119 174 498 505	10 3251
6181	8.8	17 31 9.28	+2.7823	+0.0030	+12 19 42.2	−2.517	+0.404	70.0	123 195	12 3261
6182	8.1[11]	31 13.39	2.7967	0.0030	11 44 1.7*	2.512	0.406	86.4 83.6	118δ(½) 179(½) 781 782	11 3210
6183	7.9	31 22.37	2.7186	0.0029	14 55 44.7	2.498	0.394	70.5	193 201	14 3289
6184	8.9	31 30.06	2.8138	0.0030	11 1 19.7	2.487	0.408	70.0	121 176	11 3211
6185	8.7	31 31.51	2.8051	0.0030	11 23 1.1	2.485	0.407	70.0	121 176	11 3212
6186	8.7	17 31 37.66	+2.7750	+0.0029	+12 37 36.2	−2.476	+0.403	70.0	123 195	12 3264
6187	9.2	31 47.91	2.7321	0.0029	14 22 48.4	2.461	0.397	82.0	203 R	[14 3293]
6188	8.9	31 52.72	2.8125	0.0030	11 4 27.9	2.455	0.408	70.0	121 176	11 3213
6189	8.5	31 59.89	2.7959	0.0030	11 45 51.7*	2.444	0.406	90.4 86.3	118δ(½) 781 782	11 3214
6190	9.0	32 3.42	2.8309	0.0030	10 18 21.1	2.439	0.411	69.9	119 174	10 3254
6191	8.9	17 32 9.32	+2.7637	+0.0029	+13 5 16.0	−2.430	+0.401	81.8	125(½) 197 783 785	13 3419
6192	8.4[12]	32 32.13	2.8007	0.0030	11 33 36.3	2.398	0.407	86.4 83.6	118δ(½) 179(½) 781 782	11 3215
6193	8.9	32 34.10	2.7316	0.0029	14 23 37.7	2.395	0.397	70.5	191 203	14 3294
6194	8.8	32 37.26	2.8323	0.0030	10 14 46.2	2.390	0.411	69.9	119 174	10 3257
6195	7.8[13]	32 38.78	2.7704	0.0029	12 48 40.0	2.388	0.402	81.8	125(½) 197 777 785	12 3267
6196	8.7	17 32 46.37	+2.8065	+0.0029	+11 19 13.8	−2.377	+0.408	70.0	121 176	11 3217
6197	9.0	32 47.39	2.8337	0.0030	10 11 10.1	2.375	0.411	84.5	498 505	[10 3259]
6198	9.0	32 53.14	2.8191	0.0030	10 47 41.9	2.367	0.409	70.0	121 176	10 3260
6199	9.0	32 59.53	2.7895	0.0029	12 1 20.3	2.358	0.405	70.0	123 195	12 3268
6200	9.2	33 2.64	2.7993	0.0029	11 36 52.6	2.353	0.406	86.4 83.6	118δ(½) 179(½) 781 782	11 3219

[1] BD 6.2 [2] BD 8.2 [3] 7.7 7.7 6.0 6.0 [4] 8.1 7.5 7.1 7.0 [5] 9m.5 seq. 0s.7 35"B.; 9m.5 seq. 3s.0 2"B.
[6] 8.5 8.4 7.6 7.5, röthlich [7] BD 7.5 [8] BD 7.7 [9] 8.0 7.5 6.3 6.3 [10] BD 6.7 [11] 8.6 8.5 7.5 7.8
[12] BD 7.7 [13] 8.2 8.0 7.2 7.9

Nr.	Gr.	A.R. 1875	Praec.	Var. saec.	Decl. 1875	Praec.	Var. saec.	Ep.	Zonen	B.D.
6201	6.5[1]	17h 33m 13s.31	+2s.7559	+0s.0029	+13° 24′ 1″.2	−2″.338	+0″.400	81.8	125(½) 197 783 785	13° 3421
6202	8.9	33 43.70	2.7922	0.0029	11 54 18.0	2.294	0.405	86.4 83.6	118δ(½) 179(½) 781 782	11 3222
6203	8.8	33 47.11	2.7810	0.0029	12 21 58.3	2.289	0.404	70.0	123 195	12 3271
6204	8.9	33 55.26	2.7508	0.0028	13 36 19.3	2.277	0.399	70.5	191 203	13 3424
6205	8.1[2]	33 55.35	2.7569	0.0029	13 21 17.9	2.277	0.400	81.8	125(½) 197 783 785	13 3423
6206	8.9	17 34 25.07	+2.8009	+0.0029	+11 32 40.3	−2.234	+0.407	86.4 83.6	118δ(½) 179(½) 781 782	11 3225
6207	9.0	35 0.64	2.8122	0.0029	11 4 12.4	2.182	0.409	70.0	121 176	11 3228
6208	8.4	35 6.88	2.7863	0.0028	12 8 29.5	2.173	0.405	70.0	123 195	12 3274
6209	8.6	35 10.50	2.7987	0.0029	11 37 53.0*	2.168	0.407	86.4 83.6	118δ(½) 179(½) 781 782	11 3230
6210	9.2	35 17.97	2.7852	0.0028	12 11 14.9	2.157	0.405	90.4	777 783 785	12 3275
6211	8.4	17 35 27.12	+2.8064	+0.0029	+11 18 28.8	−2.144	+0.408	70.0	121 176	11 3231
6212	9.0	35 46.41	2.7916	0.0028	11 55 12.1	2.116	0.406	87.6 85.3	5 Beob.	11 3234
6213	8.8	35 51.72	2.7384	0.0028	14 5 37.5	2.108	0.398	70.5	191 203	14 3313
6214	9.0	35 52.43	2.8207	0.0029	10 42 44.1	2.107	0.410	82.2	5 Beob.	10 3267
6215	9.2	35 54.74	2.8227	0.0029	10 37 42.0	2.104	0.410	69.9	119 174	10 3268
6216	8.9	17 36 0.04	+2.7910	+0.0028	+11 56 30.3	−2.096	+0.406	86.4 83.6	118δ(½) 179(½) 781 785	11 3235
6217	8.1	36 6.88	2.8211	0.0029	10 41 49.4	2.086	0.410	76.8	121 176 777	10 3269
6218	8.8	36 20.58	2.7807	0.0028	12 21 49.0*	2.067	0.404	80.2	123 195 777 785	12 3276
6219	8.3	36 28.94	2.7193	0.0027	14 51 39.4	2.054	0.395	70.5	193 201	14 3316
6220	8.0	36 42.68	2.7460	0.0028	13 46 59.6*	2.034	0.399	81.8	125(½) 197 783 785	13 3434
6221	8.8	17 36 46.20	+2.7150	+0.0027	+15 2 7.6	−2.029	+0.395	70.5	193 201	15 3254
6222	8.7	37 8.31	2.7532	0.0027	13 29 4.1	1.997	0.400	81.8	125(½) 197 783 785	13 3435
6223	8.9	37 12.70	2.7817	0.0028	12 19 7.0	1.991	0.404	70.0	123 195	12 3278
6224	8.6	37 13.45	2.8275	0.0028	10 25 21.2	1.990	0.411	69.9	119 174	10 3272
6225	9.1	37 26.45	2.8166	0.0028	10 52 37.9	1.971	0.410	70.0	121 176	10 3273
6226	8.7	17 37 37.49	+2.7548	+0.0027	+13 25 3.4	−1.955	+0.401	81.8	125(½) 197 783 787	13 3437
6227	6.6[3]	37 40.33	2.7318	0.0027	14 21 11.4	1.951	0.397	70.5	191 203	14 3321
6228	8.6	37 49.93	2.8333	0.0028	10 10 44.1	1.936	0.412	78.5	119 174 648 728	10 3277
6229	8.9	37 51.37	2.7648	0.0027	13 0 36.6	1.934	0.402	78.3	125(½) 197 783	13 3438
6230	8.6	37 51.91	2.7959	0.0028	11 43 48.4	1.934	0.407	86.4 83.6	118δ(½) 179(½) 781 782	11 3241
6231	8.8	17 37 55.26	+2.7853	+0.0028	+12 9 56.6	−1.929	+0.405	70.0	123 195	12 3279
6232	8.6[4]	37 59.68	2.7138	0.0027	15 4 22.0	1.922	0.395	70.5	193 201	15 3259
6233	8.6	38 3.25	2.7209	0.0027	14 47 14.9	1.917	0.396	70.5	193 201	14 3323
6234	8.5	38 4.79	2.7981	0.0028	11 38 26.7	1.915	0.407	86.4 83.6	118δ(½) 179(½) 781 782	11 3242
6235	8.5	38 7.06	2.7398	0.0027	14 1 35.8	1.912	0.398	70.5	191 203	14 3325
6236	9.0	17 38 10.50	+2.7664	+0.0027	+12 56 24.0	−1.907	+0.402	81.7	125(½) 197 777 780	12 3280
6237	8.7	38 11.47	2.8207	0.0028	10 42 5.0	1.906	0.410	70.0	121 176	10 3279
6238	8.9	38 14.00	2.7920	0.0028	11 53 18.9	1.902	0.406	86.4 83.6	118δ(½) 179(½) 781 782	11 3244
6239	8.7	38 16.06	2.8170	0.0028	10 51 23.8	1.899	0.410	70.0	121 176	10 3280
6240	8.8	38 35.01	2.7759	0.0027	12 33 4.2	1.871	0.404	70.0	123 195	12 3282
6241	7.5	17 38 35.15	+2.7443	+0.0027	+13 50 21.5	−1.871	+0.399	70.5	191 203	13 3444
6242	6.8[5]	38 36.00	2.7288	0.0027	14 27 56.2	1.870	0.397	70.5	191 203	14 3329
6243	8.9	39 1.58	2.7973	0.0027	11 39 59.2	1.833	0.407	86.4 83.6	118δ(½) 179(½) 781 782	11 3248
6244	7.9	39 14.91	2.7629	0.0027	13 4 41.7*	1.813	0.402	81.8	125(½) 197 783 785	13 3445
6245	7.8[6]	39 35.68	2.8086	0.0027	11 11 51.0	1.783	0.409	70.0	121 176	11 3251
6246	7.6[7]	17 39 46.38	+2.7630	+0.0027	+13 4 20.0	−1.768	+0.402	81.8	125(½) 197 783 785	13 3447
6247	8.9	39 53.27	2.7516	0.0027	13 32 15.6	1.758	0.401	81.8	125(½) 197 783 785	13 3448
6248	9.0	39 55.56	2.7166	0.0026	14 57 1.7	1.754	0.395	70.5	193 201	14 3331
6249	9.2	39 58.03	2.8142	0.0027	10 58 0.6	1.751	0.410	76.8	121 176 777	10 3287
*6250	9.1	40 20.80	2.8285	0.0027	10 22 6.2	1.718	0.412	69.9	119 174	10 3291

[1] 7.0 7.0 6.0 6.0 [2] BD 7.5 [3] BD 6.0 [4] BD 8.0 [5] BD 6.0 [6] BD 7.2 [7] 8.1 7.8 7.2 7.2

Nr.	Gr.	A.R. 1875	Praec.	Var. saec.	Decl. 1875	Praec.	Var. saec.	Ep.	Zonen	B.D.
6251	8.6	17h 40m 33s.63	+2s.7717	+0s.0027	+12° 42′ 47″.2	−1″.699	+0″.404	90.4	777 780	12° 3288
6252	8.6	40 45.88	2.7490	0.0026	13 38 16.1	1.681	0.400	81.8	125(½) 197 783 785	13 3452
6253	8.7	40 53.35	2.7944	0.0027	11 46 41.3	1.670	0.407	86.4 83.6	118δ(½) 179(½) 781 782	11 3254
6254	8.8	40 54.36*	2.8340	0.0027	10 8 19.9	1.669	0.413	77.2	119 174 498 505	10 3294
6255	8.6	40 56.70	2.8332	0.0027	10 10 24.0	1.665	0.413	77.2	119 174 498 505	10 3295
6256	8.7	17 40 57.23	+2.8171	+0.0027	+10 50 32.7	−1.665	+0.410	76.8	121 176 777	10 3296
*6257	8.6	40 59.87	2.7195	0.0026	14 49 38.2	1.661	0.396	70.5	193 201	14 3335
6258	8.5	41 5.76*	2.7386	0.0026	14 3 28.0	1.652	0.399	80.5	191 203 781 782	14 3336
6259[1]	8.9	41 18.37	2.7692	0.0026	12 48 46.4	1.634	0.403	90.4	777 780	12 3293
6260	7.9	41 29.88	2.7131	0.0026	15 5 6.1	1.617	0.395	80.4	193 201 777 780	15 3270
6261	8.8	17 41 31.81	+2.8018	+0.0027	+11 28 12.2	−1.615	+0.408	86.4 83.6	118δ(½) 179(½) 781 782	11 3259
6262	9.1	41 56.99	2.7836	0.0026	12 13 1.9	1.578	0.405	70.0	123 195	12 3295
6263	7.8	41 57.69	2.7131	0.0026	15 4 51.2	1.577	0.395	80.4	193 201 777 780	15 3272
6264	8.9	42 0.78	2.7733	0.0026	12 38 29.6	1.572	0.404	70.0	123 195	12 3296
6265	9.0	42 13.12	2.7541	0.0026	13 25 30.1*	1.554	0.401	82.0	197 R	[13 3454]
6266	8.3	17 42 13.32	+2.7187	+0.0026	+14 51 14.5	−1.554	+0.396	70.5	193 201	14 3338
6267	8.4	42 16.04*	2.7201	0.0026	14 47 57.5	1.550	0.396	75.5	191 201 203 777	14 3339
6268	8.6	42 20.31	2.7918	0.0026	11 52 52.1	1.544	0.407	86.4 83.6	118δ(½) 179(½) 781 782	11 3263
6269	8.8	42 38.53	2.7543	0.0026	13 24 50.7	1.517	0.401	81.8	125(½) 197 783 785	13 3456
6270	8.9	42 52.93	2.7523	0.0026	13 29 35.0*	1.497	0.401	81.8	125(½) 197 783 785	13 3457
6271	9.0	17 42 53.65	+2.7949	+0.0026	+11 45 4.7*	−1.495	+0.407	86.4 83.6	118δ(½) 179(½) 781 782	11 3265
6272	9.0	43 15.03	2.7510	0.0026	13 32 38.9	1.464	0.401	90.5	783 785	13 3458
6273	9.0	43 25.76	2.8030	0.0026	11 25 0.5	1.449	0.408	86.4 83.6	118δ(½) 179(½) 781 782	11 3266
6274	8.7	43 30.11	2.8279	0.0026	10 22 51.8	1.422	0.412	69.9	119 174	10 3305
6275	8.8	43 53.58	2.7407	0.0025	13 57 42.4	1.408	0.399	70.5	191 203	13 3459
6276	8.5	17 44 3.51	+2.7691	+0.0025	+12 48 13.0	−1.394	+0.403	90.4	777 780	12 3300
6277	9.3	44 40.67	2.7164	0.0025	14 56 11.7	1.340	0.396	90.4	777 780	— —
6278	8.7	44 43.46	2.7160	0.0025	14 57 12.3	1.335	0.396	83.8	201 777 780	14 3348
6279	7.0[2]	44 54.92	2.7891	0.0025	11 59 3.4	1.319	0.406	86.4 83.6	118δ(½) 179(½) 781 782	12 3305
6280	9.0	44 57.75	2.7301	0.0025	14 23 2.1	1.315	0.398	70.5	191 203	14 3349
6281	9.0	17 45 0.11	+2.7331	+0.0025	+14 15 47.4	−1.311	+0.398	70.5	191 203	14 3350
6282	9.5	45 4.40	2.8325	0.0025	10 11 16.7	1.305	0.413	84.5	498 505	[10 3308]
6283	8.7	45 13.07	2.7826	0.0025	12 14 56.6	1.293	0.406	70.0	123 195	12 3308
6284	9.0	45 19.88	2.8216	0.0025	10 38 18.5	1.283	0.411	69.9	119 174	10 3309
6285	9.0	45 22.16	2.7501	0.0025	13 34 21.8	1.279	0.401	70.2	125(½) 197	[13 3467]
6286	8.9	17 45 26.25	+2.7271	+0.0025	+14 30 14.8	−1.273	+0.397	70.5	191 203	14 3353
6287	8.7	45 43.32*	2.7830	0.0025	12 13 44.0	1.249	0.406	80.2	123 195 777 780	12 3311
6288	7.8[3]	46 3.60	2.7876	0.0025	12 2 30.3	1.219	0.406	80.2	123 195 777 780	12 3313
6289	8.1	46 8.42	2.7136	0.0025	15 2 25.8	1.212	0.396	70.5	193 201	15 3290
6290	8.2	46 9.31	2.7497	0.0025	13 35 12.8	1.211	0.401	81.8	125(½) 197 783 785	13 3472
6291	9.0	17 46 13.05	+2.7245	+0.0025	+14 36 22.7	−1.205	+0.397	70.5	193 201	14 3355
6292	9.4	46 20.24	2.7184	0.0025	14 50 59.8	1.195	0.396	90.4	780 785	— —
6293	9.5	46 23.85	2.7185	0.0025	14 50 41.8	1.190	0.396	90.4	780 785	14 3356
6294	8.8	46 29.52	2.8353	0.0025	10 3 55.4	1.181	0.413	77.2	119 174 498 505	10 3311
6295	9.1	46 35.08	2.7885	0.0025	12 0 13.3	1.173	0.407	87.6 85.3	5 Beob.	12 3315
6296	9.2	17 46 36.75	+2.7511	+0.0025	+13 31 40.6	−1.171	+0.401	83.8	197 783 785	— —
6297	8.5[4]	46 37.02	2.7880	0.0025	12 1 17.9	1.170	0.406	86.4 83.6	118δ(½) 179(½) 777 782	12 3316
6298	8.8	46 50.01	2.7508	0.0024	13 32 21.0*	1.152	0.401	70.2	125(½) 197	13 3474
6299	9.2	46 57.43	2.8140	0.0025	10 56 56.8	1.140	0.410	82.4	176 R	— —
6300	9.3	47 10.21	2.8242	0.0025	10 31 32.7	1.122	0.412	69.9	119 174	10 3312

[1] 10m.5 praec. 7s.5 20″B.; 9m.4 praec. 11s 0′.4 A. [2] 7.7 7.7 6.0 6.5; BD 6.4 [3] 8.4 8.2 7.3 7.2
[4] 8.8 8.3 8.0 9.1

Nr.	Gr.	A.R. 1875	Praec.	Var. saec.	Decl. 1875	Praec.	Var. saec.	Ep.	Zonen	B.D.
*6301	8.7[1]	17h 47m 18s.43	+2s.7900	+0s.0024	+11° 56′ 17″.5	−1″.168	+0″.407	86.4 83.6	118δ(½) 179(½) 781 782	11° 3279
6302	9.1	47 26.29	2.7384	0.0024	14 2 20.1	1.099	0.399	83.7	191 777 780	} 14 3357
6303	9.1	47 26.50	2.7382	0.0024	14 2 50.9	1.098	0.399	80.5	203 780	
6304	8.9	47 30.64	2.8137	0.0024	10 57 43.7	1.092	0.410	80.2	121 176 783 785	10 3314
6305	8.4	47 32.02	2.8130	0.0024	10 59 22.5	1.090	0.410	70.0	121 176	10 3315
6306	8.6	17 47 40.00	+2.7449	+0.0024	+13 46 40.0	−1.079	+0.400	81.8	125(½) 197 783 787	13 3477
6307	8.8	47 43.89	2.7189	0.0024	14 49 31.8	1.073	0.396	70.5	193 201	14 3360
6308	9.1	47 58.05	2.7408	0.0024	13 56 34.9	1.051	0.400	70.5	191 203	13 3478
6309	8.9	47 59.14	2.7858	0.0024	12 6 28.5	1.051	0.406	70.0	123 195	12 3319
6310	6.5[2]	48 23.50	2.8087	0.0024	11 9 45.4	1.015	0.410	76.8	121 176 785	11 3283
6311	9.0	17 48 37.96	+2.8120	+0.0024	+11 1 40.3*	−0.994	+0.410	80.2	121 176 781 782	11 3284
6312	9.0	48 42.80	2.8094	0.0024	11 8 4.5	0.987	0.410	80.2	121 176 781 787	11 3286
6313	8.7	48 44.65	2.8312	0.0024	10 13 49.4	0.984	0.413	87.0	647 727	[10 3321]
6314	9.1	48 58.60	2.8190	0.0024	10 44 21.4	0.964	0.411	83.7	176 777 780	10 3323
6315	9.4	48 59.44	2.8191	0.0024	10 43 58.8	0.963	0.411	90.4	777 780	— —
6316	8.4	17 49 4.70	+2.7712	+0.0024	+12 42 8.8	−0.955	+0.404	78.3	125(½) 197 777	12 3324
6317	8.8	49 5.34	2.8330	0.0024	10 9 31.1	0.955	0.413	84.5	498 505	[10 3324]
6318	9.1	49 6.13	2.8191	0.0024	10 43 59.3	0.953	0.411	70.0	121 176	10 3325
*6319	9.0	49 10.50	2.8221	0.0024	10 36 36.2*	0.947	0.412	85.5	174 783 785 787	10 3326
6320	8.7	49 17.15	2.8030	0.0024	11 23 47.6	0.937	0.409	86.4	179(½) 781 782	11 3288
6321	9.1	17 49 19.39	+2.8227	+0.0024	+10 34 55.4*	−0.934	+0.412	81.5	119 R	[10 3327]
6322	8.5	49 36.95	2.7963	0.0024	11 40 26.4	0.908	0.408	86.5 83.6	118δ(½) 179(½) 781 787	11 3290
6323	8.7	49 41.60	2.7422	0.0024	13 52 54.1	0.902	0.400	70.5	191 203	13 3485
6324	8.8	49 46.38	2.8202	0.0024	10 41 7.9	0.894	0.411	70.0	121 176	10 3329
6325	8.5	49 56.07	2.7926	0.0024	11 49 37.2	0.881	0.407	87.6 85.3	5 Beob.	11 3291
6326	9.9	17 50 6.79	+2.8331	+0.0024	+10 8 58.1	−0.865	+0.413	84.5	498 505	[10 3330]
6327	8.6	50 18.95	2.7465	0.0023	13 42 11.2	0.847	0.400	81.8	125(½) 197 783 787	13 3487
6328	8.7	50 25.25	2.7981	0.0023	11 35 57.8	0.838	0.408	87.6 85.3	5 Beob.	11 3292
6329	9.2	50 35.38	2.8055	0.0023	11 17 29.5	0.823	0.409	80.2	121 176 783 787	11 3293
6330	8.8	50 43.15	2.7986	0.0023	11 34 29.5	0.812	0.408	88.2 86.3	6 Beob.	11 3294
6331	8.9	17 50 47.28	+2.8269	+0.0023	+10 24 17.4	−0.806	+0.412	69.9	119 174	10 3332
6332	9.0	50 51.59	2.7607	0.0023	13 7 38.9	0.800	0.403	78.3	125(½) 197 785	13 3490
6333	8.4	50 52.81	2.7908	0.0023	11 53 43.6	0.798	0.407	83.8 80.2	118δ(½) 179(½) 787	11 3295
6334	8.8	51 21.46	2.7210	0.0023	14 43 40.3	0.756	0.397	70.5	193 201	14 3370
6335	8.0	51 22.17	2.7393	0.0023	13 59 32.2	0.755	0.400	70.5	191 203	13 3492
6336	7.9[3]	17 51 31.52	+2.7725	+0.0023	+12 38 46.9	−0.742	+0.404	70.0	123 195	12 3336
6337	7.1[4]	51 35.52	2.8110	0.0023	11 3 41.6	0.736	0.410	70.0	121 176	11 3299
6338	9.2	51 36.03	2.7398	0.0023	13 58 20.7	0.735	0.400	81.9	203 R	[13 3493]
6339	8.6[5]	51 36.85	2.8130	0.0023	10 58 46.6	0.734	0.410	70.0	121 176	10 3337
6340	9.2	51 38.62	2.8318	0.0023	10 12 3.0	0.731	0.413	81.5	119 R	[10 3338]
6341	8.9	17 51 43.43	+2.7993	+0.0023	+11 32 52.1	−0.724	+0.408	86.4 83.6	118δ(½) 179(½) 781 782	11 3300
6342	8.9	51 58.51	2.7790	0.0023	12 22 45.2	0.702	0.405	70.0	123 195	12 3339
6343	8.5	52 7.34	2.7388	0.0023	14 0 38.2	0.689	0.399	70.5	191 203	14 3373
6344	9.2	52 18.67	2.8135	0.0023	10 57 28.1	0.673	0.410	70.0	121 176	10 3340
6345	8.5[6]	52 22.43	2.8322	0.0023	10 11 6.3	0.667	0.413	77.2	119 174 498 505	10 3341
6346	7.3	17 52 28.29	+2.7104	+0.0023	+15 9 2.4	−0.659	+0.395	70.5	193 201	15 3311
6347	8.8	52 39.25	2.7644	0.0023	12 58 16.7	0.643	0.403	81.7	125(½) 197 777 780	12 3342
*6348	7.8	52 39.52	2.7260	0.0023	14 31 28.2	0.642	0.398	70.5	193 201	14 3374
*6349	8.4[7]	52 42.23	2.7235	0.0023	14 37 38.0	0.639	0.397	80.5	193 201 783 785	14 3375
6350	8.9	52 43.59	2.8139	0.0023	10 56 33.7	0.637	0.410	80.2	121 176 777 780	10 3342

[1] Z. 781 röthlich [2] 7.0 6-7 6.0 [3] BD 7.3 [4] BD 6.5 [5] BD 8.1 [6] BD 7.8 [7] BD 7.8

Nr.	Gr.	A.R. 1875	Praec.	Var. saec.	Decl. 1875	Praec.	Var. saec.	Ep.	Zonen	B.D.
6351	8.9	17^h 52^m $49^s.62$	+2^s.7303	+0^s.0023	+14° 21' 7".1	−0".628	+0".398	70.5	191 203	14° 3376
6352	8.8	52 55.19	2.7416	0.0023	13 53 47.3	0.619	0.400	70.5	191 203	13 3495
6353	7.3	53 7.39	2.7177	0.0023	14 51 33.6*	0.602	0.396	83.8	201 777 780	14 3378
6354	9.0	53 7.58	2.7157	0.0023	14 56 17.2	0.602	0.396	70.5	193 201	14 3377
6355	9.0	53 10.87	2.8262	0.0022	10 25 59.7	0.597	0.412	80.2	119 174 782 785	10 3343
6356	8.3	17 53 13.58	+2.7772	+0.0022	+12 27 0.7	−0.593	+0.405	70.0	123 195	12 3346
6357	8.7[1]	53 15.01	2.7419	0.0023	13 53 4.0	0.591	0.400	70.5	191 203	13 3497
6358	8.7	53 16.00	2.7726	0.0022	12 38 18.6	0.589	0.404	70.0	123 195	12 3347
6359	8.9	53 27.28	2.7736	0.0022	12 35 41.8	0.573	0.405	70.0	123 195	12 3350
6360	8.3[2]	53 28.51	2.7411	0.0022	13 54 58.3	0.571	0.400	70.5	191 203	13 3498
6361	8.4[3]	17 53 30.13	+2.7858	+0.0022	+12 5 45.0	−0.568	+0.406	70.0	123 195	12 3351
6362	8.5	53 31.91	2.7932	0.0022	11 47 41.2	0.566	0.407	86.4 83.6	118δ(½) 179(½) 781 782	11 3307
6363	8.9	53 46.94	2.8292	0.0022	10 18 18.7	0.544	0.413	69.9	119 174	10 3347
6364	8.5[4]	54 1.54	2.7273	0.0022	14 28 23.6	0.523	0.398	70.5	191 203	14 3381
6365	8.5[5]	54 6.99	2.7680	0.0022	12 49 28.1	0.515	0.404	81.7	125(½) 197 777 780	12 3354
6366	8.8	17 54 7.04	+2.8114	+0.0022	+11 2 37.5	−0.515	+0.410	70.0	121 176	11 3309
6367	8.7	54 14.13	2.7144	0.0022	14 59 13.0	0.505	0.396	70.5	193 201	14 3382
6368	8.7	54 19.05	2.8239	0.0022	10 31 27.5	0.497	0.412	69.4	119 174	10 3351
6369	8.8	54 47.45	2.7906	0.0022	11 53 53.1	0.456	0.407	86.4 83.6	118δ(½) 179(½) 781 782	11 3311
6370	8.9	54 48.17	2.7208	0.0022	14 43 54.3	0.455	0.397	70.5	193 201	14 3384
6371	8.7	17 54 56.90	+2.8246	+0.0022	+10 29 47.9	−0.442	+0.412	69.9	119 174	10 3355
6372	8.9	55 10.75	2.8104	0.0022	11 4 58.0	0.422	0.410	70.0	121 176	11 3313
6373	6.5	55 18.60	2.7115	0.0022	15 6 9.4	0.410	0.395	70.5	193 201	15 3327
6374	8.3	55 25.04	2.7359	0.0022	14 7 29.1	0.401	0.399	70.5	191 203	14 3387
6375	9.2	55 28.39	2.8035	0.0022	11 22 0.0	0.396	0.409	86.4 83.6	118δ(½) 179(½) 781 782	11 3314
6376	9.0	17 55 29.42	+2.7854	+0.0022	+12 6 39.6	−0.395	+0.406	80.2	123 195 777	12 3359
6377	7.9	55 42.30	2.8054	0.0022	11 17 22.7	0.376	0.409	70.0	121 176	11 3315
6378	9.1	55 47.57	2.7996	0.0021	11 31 39.4	0.368	0.408	85.8	179(½) R	[11 3316]
6379	8.9	56 8.95	2.7135	0.0022	15 1 24.3	0.337	0.396	70.5	193 201	15 3338
6380	8.7	56 10.32	2.7820	0.0021	12 15 4.4	0.335	0.406	70.0	123 195	12 3361
6381	9.0[6]	17 56 11.71	+2.8114	+0.0021	+11 2 24.3	−0.333	+0.410	70.0	121 176	11 3317
6382	7.9[7]	56 12.08	2.7695	0.0021	12 45 39.1	0.332	0.404	81.7	125(½) 197 777 780	12 3362
6383	8.7[8]	56 21.41	2.8355	0.0021	10 2 36.5	0.319	0.414	77.2	119 174 497 501	10 3364
6384	9.1	56 31.36	2.8164	0.0021	10 50 0.1	0.304	0.411	70.0	121 176	10 3365
6385	8.8	56 32.99	2.7171	0.0021	14 52 41.7	0.302	0.396	70.5	193 201	14 3390
6386	8.7	17 57 1.51*	+2.7993	+0.0021	+11 32 24.1	−0.260	+0.408	86.4 83.6	118δ(½) 179(½) 781 782	11 3320
6387	8.4	57 11.60	2.7730	0.0021	12 36 58.4	0.245	0.404	80.2	123 195 777 780	12 3366
6388	8.2	57 20.89	2.7140	0.0021	15 0 4.0	0.232	0.396	70.5	193 203	15 3341
6389	8.4	57 36.19	2.8294	0.0021	10 17 43.0	0.210	0.413	69.9	119 174	10 3373
6390	8.1[9]	57 52.73	2.7367	0.0021	14 5 26.2	0.186	0.399	70.5	191 203	14 3397
6391	9.1	17 57 52.75	+2.7809	+0.0021	+12 17 31.3	−0.186	+0.406	83.5 90.5	123a 783 785	— —
6392	8.3	57 54.82	2.7812	0.0021	12 16 49.5	0.182	0.406	80.3	123 195 783 785	12 3370
6393	8.9	57 55.54	2.7271	0.0021	14 28 34.2	0.182	0.398	70.5	191 203	14 3398
6394[10]	8.8	57 56.91	2.7852	0.0021	12 7 7.3*	0.180	0.406	80.2	123 195 777 780	12 3371
6395	9.0	58 0.39	2.8205	0.0021	10 39 46.4	0.174	0.411	69.9	119 174	10 3375
6396	8.7	17 58 3.48	+2.7252	+0.0021	+14 33 0.5	−0.170	+0.397	70.5	193 201	14 3401
6397	8.9	58 8.83	2.7862	0.0021	12 4 40.5	0.162	0.406	70.0	123 195	12 3374
6398	8.6	58 19.34	2.8090	0.0021	11 8 22.9	0.147	0.410	70.0	121 176	11 3326
6399	8.7	58 25.20	2.7820	0.0021	12 14 50.4	0.138	0.406	80.3	123 195 783 785	12 3376
6400	8.4	58 29.79	2.7196	0.0021	14 46 35.8	0.132	0.397	70.5	193 201	14 3404

[1] BD 8.2 [2] BD 7.8 [3] BD 7.7 [4] BD 7.8 [5] BD 9.0 [6] $9^m.5$ praec. $0^s.5$ 35"B. [7] 8.0 8.2 7.3 8.0
[8] BD 8.1 [9] BD 7.5 [10] $9^m.2$ praec. $2^s.0$ 45"B.

Nr.	Gr.	A.R. 1875	Praec.	Var. saec.	Decl. 1875	Praec.	Var. saec.	Ep.	Zonen	B.D.
6401	8.5	17ʰ 58ᵐ 32ˢ.90	+2ˢ.8149	+0ˢ.0021	+10° 53′ 40″.8	−0″.127	+0″.411	80.2	121 176 777 780	10° 3376
6402	8.5	58 49.26	2.8020	0.0020	11 25 33.1	0.103	0.409	86.4 83.6	118δ(½) 179(½) 781 782	11 3330
6403	9.0	58 50.08	2.7966	0.0021	11 39 1.7	0.102	0.408	86.4 83.6	118δ(½) 179(½) 781 782	11 3331
6404	9.0	58 50.92	2.7163	0.0021	14 54 32.9	0.101	0.396	70.5	193 201	14 3407
6405	9.7	58 51.37	2.7968	0.0021	11 38 32.1	0.100	0.408	90.4	781 782	— —
6406	8.8	17 59 9.70	+2.7798	+0.0020	+12 20 11.9	−0.073	+0.405	70.0	123 195	12 3379
6407	8.9	59 10.92	2.7251	0.0021	14 33 25.0	0.072	0.397	70.5	193 201	14 3410
6408	9.0	59 24.76	2.8254	0.0020	10 27 40.1	0.051	0.412	69.9	119 174	[10 3379]
6409	8.6[1]	59 28.80	2.8313	0.0020	10 13 3.0	0.045	0.413	84.5	497 501	[10 3380]
6410	9.0	59 37.41	2.8259	0.0020	10 26 21.1	0.033	0.412	69.9	119 174	10 3381
6411	9.2	17 59 47.18	+2.8328	+0.0020	+10 9 15.9	−0.019	+0.413	84.5	498 505	[10 3382]
6412	8.8	59 48.12	2.7295	0.0020	14 22 45.0	0.018	0.398	70.5	191 203	14 3413
6413	7.7[2]	59 54.22	2.7882	0.0020	11 59 41.7	0.008	0.407	86.4 86.2	118δ(½) 179a(½) 777 780	12 3382
6414	7.3[3]	59 54.67	2.7882	0.0020	11 59 43.0	0.008	0.407	86.4 83.6	118δ(½) 179(½) 777 780	12 3383
6415	9.3	59 57.48	2.8326	0.0020	10 9 46.4	0.004	0.413	84.5	498 505	[10 3383]
6416	8.3	18 0 0.64	+2.7519	+0.0020	+13 28 29.3	+0.001	+0.401	81.8	125(½) 197 783 785	13 3514
6417	9.0	0 1.78	2.8261	0.0020	10 26 1.0	0.003	0.412	69.9	119 174	10 3385
6418	8.7	0 17.41	2.7428	0.0020	13 50 32.5	0.025	0.400	70.5	191 203	13 3517
6419	8.9	0 19.79	2.7399	0.0020	13 57 35.8	0.029	0.399	70.5	191 203	13 3518
6420	9.1	0 19.95	2.8270	0.0020	10 23 35.3*	0.029	0.412	80.2	119 174 777 780	10 3386
6421	8.1	18 0 38.06	+2.7800	+0.0020	+12 20 10.6	+0.055	+0.405	70.0	123 195	12 3386
6422	8.7	0 53.83	2.7978	0.0020	11 36 7.1	0.079	0.408	78.5 77.0	118δ(½) 179(½) 206 781	11 3341
6423	8.5[4]	0 57.90	2.8317	0.0020	10 11 55.5	0.085	0.413	87.0	650 729	[10 3391]
6424	8.8	0 58.34	2.7390	0.0020	13 59 43.7	0.085	0.399	70.5	191 203 212	13 3523
6425	8.9[5]	0 58.53	2.8045	0.0020	11 19 33.1	0.085	0.409	70.2 70.1	5 Beob.	11 3342
*6426	8.8[6]	18 1 2.15	+2.7394	+0.0020	+13 58 42.5	+0.090	+0.399	78.1	188 203 R	[13 3524]
6427	8.9	1 9.99	2.7430	0.0020	13 50 4.1	0.102	0.400	70.5	191 203	13 3525
6428	8.9	1 32.69	2.7196	0.0020	14 46 41.8	0.135	0.396	70.5	188 193 201 212	14 3417
6429	8.8	1 35.64	2.7835	0.0020	12 11 13.4	0.139	0.406	78.3	5 Beob.	12 3391
6430	8.7[7]	1 44.92	2.7177	0.0020	14 51 6.9	0.153	0.396	70.5	186 193 201	14 3420
6431	9.0	18 1 45.09	+2.8019	+0.0019	+11 26 0.0	+0.153	+0.408	81.9 80.4	5 Beob.	11 3346
6432	9.1	1 45.19	2.7158	0.0020	14 55 47.1	0.153	0.396	82.0	214 R	[14 3419]
6433	8.6	1 55.33	2.7660	0.0020	12 54 2.4	0.168	0.403	70.3	125(½) 197 208	12 3394
6434	8.6	1 57.09	2.7357	0.0020	14 7 51.4	0.171	0.399	70.5	188 212	14 3422
6435	7.1[8]	2 2.87	2.7622	0.0020	13 3 20.2	0.179	0.403	70.4	125(½) 190 197 210	13 3529
6436	8.9[9]	18 2 5.79	+2.8172	+0.0019	+10 47 56.4	+0.183	+0.411	81.5	126 R	[10 3393]
6437	8.6	2 19.54	2.7238	0.0020	14 36 30.5	0.203	0.397	70.5	186 214	14 3423
6438	8.8[10]	2 21.71	2.8131	0.0019	10 58 17.5	0.207	0.410	69.2	49 121 126	10 3395
6439	8.8	2 46.85	2.7701	0.0019	12 44 9.6	0.243	0.404	83.9	208 789 790	12 3402
6440	8.6	2 47.67	2.8028	0.0019	11 23 41.5	0.245	0.409	81.9 80.4	5 Beob.	11 3352 pr.
6441	9.0	18 2 48.07	+2.7208	+0.0020	+14 43 43.9	+0.245	+0.396	82.0	214 R	[14 3425]
6442	9.5	2 49.96	2.8027	0.0019	11 24 0.1	0.248	0.409	90.5	786 787	11 3352 sq.
6443	7.5[11]	2 52.14	2.7323	0.0020	14 16 1.6	0.251	0.398	70.5	188 212	14 3427
6444	8.8	2 53.15	2.7329	0.0020	14 14 33.3	0.252	0.398	70.5	188 212	14 3428
6445[12]	8.3	3 1.47	2.7771	0.0019	12 26 50.4	0.265	0.405	70.2	129 199 208	12 3403
6446	8.6	18 3 4.84	+2.7293	+0.0020	+14 23 18.4	+0.269	+0.398	70.5	188 212 214	14 3431
6447	8.4	3 9.38	2.7219	0.0020	14 41 1.8	0.276	0.397	83.8	186 784 788	14 3432
6448	8.6	3 19.16	2.8113	0.0019	11 2 36.7*	0.291	0.410	78.5 77.0	118δ(½) 179(½) 184 786	11 3354
6449	8.7	3 21.85	2.8221	0.0019	10 35 56.5	0.294	0.411	69.0	49 126	10 3405
6450	8.1	3 28.76	2.7388	0.0019	14 0 25.4	0.304	0.399	83.8	188 784 788	14 3436

[1] BD 9.1 [2] 8.5 8.3 6.9 7.0 [3] 8.2 7.8 6.7 6.7 [4] BD 9.1 [5] 9ᵐ.7 seq. 1ˢ.7 5″A. [6] Dpl. med.
[7] BD 8.2 [8] 6.7 7.3 6.7 7.7; 9ᵐ.0 seq. 2ˢ.0 35″A. [9] Nur Z.126; BD 9.5 [10] 9.0 9.3 8.0; BD 9.3
[11] BD 6.5 [12] 10ᵐ.5 seq. 2ˢ.5 25″A.

Nr.	Gr.	A.R. 1875	Praec.	Var. saec.	Decl. 1875	Praec.	Var. saec.	Ep.	Zonen	B.D.
6451	8.4	18h 3m 30s.94	+2s.7521	+0s.0019	+13° 27' 56".9	+0s.308	+0".401	70.5	190 210	13° 3540
6452	7.7[1]	3 37.68	2.7786	0.0019	12 23 26.9	0.317	0.405	83.9	199 789 790	12 3404
6453	8.6	3 45.27	2.7820	0.0019	12 14 55.8	0.328	0.405	70.1	132 208	12 3405
6454	8.9	3 45.27	2.7372	0.0019	14 4 17.0	0.328	0.399	70.5	186 214	14 3439
6455	8.7[2]	3 45.57	2.8210	0.0019	10 38 36.1	0.329	0.411	79.8	49 126 784 788	10 3407
6456	8.5	18 3 48.15	+2.7893	+0.0019	+11 56 57.4	+0.333	+0.407	83.9	206 786 787	11 3356
6457	8.8	3 57.99	2.8184	0.0019	10 45 11.2*	0.347	0.411	69.0	49 126	10 3412
6458	8.9	4 7.98	2.7620	0.0019	13 4 2.8	0.362	0.403	70.1	129 208	13 3541
6459	8.8	4 13.10	2.8354	0.0018	10 2 54.3	0.369	0.413	77.7	48 51 647 727	10 3414
6460	8.8	4 31.03	2.7890	0.0019	11 57 51.1	0.395	0.406	70.1	132 206	11 3362
6461	8.6	18 4 37.03	+2.8230	+0.0018	+10 33 46.0	+0.404	+0.411	69.0	49 126	10 3416
6462	9.0	4 37.76	2.7752	0.0019	12 31 50.1	0.405	0.404	83.9	199 789 790	12 3412
6463	9.1	4 46.84	2.7898	0.0018	11 55 53.0	0.418	0.406	83.9	206 786 787	11 3364
6464	8.7	4 56.78	2.7719	0.0018	12 39 49.9	0.433	0.404	70.1	129 208	12 3415
6465	9.4	4 57.63	2.7863	0.0018	12 4 26.6	0.434	0.406	83.9	206 789 790	12 3414
6466	9.0	18 5 6.31	+2.8067	+0.0018	+11 14 5.5	+0.447	+0.409	78.5 77.0	118δ(½) 179(½) 184 786	11 3366
6467	8.9	5 10.53	2.7679	0.0018	12 49 39.5	0.453	0.403	70.1	129 208	12 3417
6468	8.5	5 33.82	2.8002	0.0018	11 30 11.4	0.487	0.408	78.5 77.0	118δ(½) 179(½) 184 787	11 3368
6469	8.8	5 48.49	2.7997	0.0018	11 31 28.3	0.508	0.408	85.8	179(½) R	[11 3370]
6470	7.8	5 51.14	2.7754	0.0018	12 31 26.7	0.512	0.404	83.9	199 789 790	12 3419
6471	8.7	18 6 14.18	+2.8358	+0.0018	+10 2 2.8	+0.546	+0.413	79.5	5 Beob.	10 3425
6472	8.8	6 15.55	2.7377	0.0018	14 3 10.8	0.547	0.399	70.5	188 212	14 3446
6473	8.7	6 17.30	2.7595	0.0018	13 10 8.1	0.550	0.402	70.1	129 208	13 3550
6474	8.7	6 22.69	2.8111	0.0018	11 3 21.4	0.558	0.410	79.8	49 126 786 787	11 3373
6475[3]	9.0	6 27.80	2.7492	0.0018	13 35 15.6	0.566	0.400	78.6	190 210 R	[13 3555]
6476[4]	8.6	18 6 27.86	+2.7449	+0.0018	+13 45 44.5	+0.566	+0.400	90.5	784 788	13 3554
6477	8.4	6 35.77	2.8069	0.0018	11 13 43.0	0.577	0.409	78.5 77.0	118δ(½) 179(½) 184 787	11 3374
6478	9.3	6 47.87	2.7859	0.0018	12 5 31.0	0.595	0.406	81.5	132 R	— —
6479	7.5	6 48.12	2.7793	0.0018	12 21 50.9	0.595	0.405	83.9	199 789 790	12 3422
6480	8.5[5]	6 55.44	2.8357	0.0017	10 2 17.1	0.606	0.413	81.3	6 Beob.	10 3429
6481	8.7	18 6 56.31	+2.8345	+0.0017	+10 5 22.4	+0.607	+0.413	87.0	651 729	[10 3430]
6482	9.0	6 56.52	2.7618	0.0018	13 4 36.8	0.607	0.402	81.8	129(½) 208 784 788	13 3558
6483	8.1	7 6.90	2.8023	0.0018	11 25 17.4	0.622	0.408	83.8 81.8	117δ(½) 184 786 787	11 3377
6484	8.9	7 6.91	2.8352	0.0017	10 3 30.5	0.623	0.413	84.9	5 Beob.	10 3432
6485	8.7	7 10.46	2.7308	0.0018	14 20 1.2	0.628	0.398	70.5	186 214	14 3451
6486	7.0[6]	18 7 36.18	+2.7918	+0.0017	+11 51 8.5	+0.665	+0.406	80.3	132 206 786 787	11 3379
6487	8.0[7]	7 46.09	2.8175	0.0017	10 47 36.4	0.680	0.410	69.0	49 126	10 3438
6488	8.8	7 50.35	2.7602	0.0018	13 8 41.9	0.686	0.402	75.5	190 208 210 784	13 3563
6489	8.1	7 50.82	2.7487	0.0018	13 36 34.9	0.687	0.400	70.5	190 210	13 3564
6490	9.1	7 52.42	2.7258	0.0018	14 32 13.6	0.689	0.397	70.5	186 214	[14 3452]
6491	9.5	18 8 6.57	+2.7891	+0.0017	+11 57 54.6	+0.709	+0.406	90.5	786 787	11 3380
6492	8.8	8 11.75	2.7531	0.0018	13 26 6.4	0.717	0.401	70.5	190 210	13 3568
6493	8.7	8 21.69	2.7351	0.0018	14 9 44.2	0.731	0.398	70.5	188 212	14 3456
6494	8.7	8 29.76	2.7253	0.0018	14 33 19.7	0.743	0.397	70.5	186 214	14 3457
6495	8.6	8 40.99	2.8121	0.0017	11 1 7.2	0.759	0.409	90.5	786 787	11 3383
6496	8.7	18 9 2.66	+2.7889	+0.0017	+11 58 20.1	+0.791	+0.406	70.2 70.1	117δ(½) 132 184 206	11 3387
6497	8.8	9 5.98	2.7301	0.0018	14 22 1.7	0.796	0.397	70.5	188 212	14 3460
6498	8.9	9 10.09	2.7226	0.0018	14 40 3.5	0.802	0.396	70.5	186 214	14 3461
6499	9.0	9 13.79	2.7891	0.0017	11 58 6.6	0.808	0.406	83.9 81.8	117δ(½) 206 786 787	11 3389
6500	8.6	9 26.21	2.8309	0.0017	10 14 23.0	0.826	0.412	76.5	48 51 498 505	10 3446

[1] 7.8 8.2 7.2 [2] 8.9 8.0 9.0 9.0 [3] 10m.0 praec. 10s in par. [4] 11m seq. 5s.5 30" A. [5] Z. 784 roth
[6] 7.7 6.7 6.8 7.0 [7] BD 7.5

Nr.	Gr.	A.R. 1875	Praec.	Var. saec.	Decl. 1875	Praec.	Var. saec.	Ep.	Zonen	B.D.
6501	9.2	18h 9m 26s.46	+2s.7635	+0s.0017	+13° 0' 47".0	+0".826	+0".402	92.6	788 R	13° 3574
6502	8.6	9 33.07	2.8086	0.0017	11 9 58.2*	0.836	0.409	69.0	49 126	11 3390
6503	8.5	9 44.08	2.7929	0.0017	11 48 34.6	0.852	0.406	70.1	132 206	11 3391
6504	8.7	9 45.70	2.7799	0.0017	12 20 45.4	0.854	0.405	81.8	134(½) 199 789 790	12 3435
6505	8.3	9 48.88	2.7642	0.0017	12 59 12.0	0.859	0.402	76.9	129 208 784	12 3436
6506	8.6	18 9 50.34	+2.8110	+0.0017	+11 3 53.7	+0.861	+0.409	69.0	49 126	11 3392
6507	8.5	10 10.08	2.7903	0.0017	11 55 10.4	0.889	0.406	70.1	132 206	11 3395
6508	8.6	10 26.94	2.7633	0.0017	13 1 24.0	0.914	0.402	70.1	129 208	13 3579
6509	7.9	10 29.85	2.8181	0.0016	10 46 27.9*	0.918	0.410	79.8	49 126 784 788	10 3452
6510	8.9	10 33.49	2.7895	0.0017	11 57 4.7	0.924	0.406	70.1	132 206	11 3401
6511	8.6	18 10 34.26	+2.8271	+0.0016	+10 24 6.9	+0.925	+0.411	79.5	48 51 784 788	10 3455
6512	8.5	10 35.52	2.7605	0.0017	13 8 17.9	0.926	0.402	70.1	129 208	13 3581
6513	8.8	10 36.96	2.7136	0.0017	15 1 50.8	0.929	0.395	70.5	186 214	15 3419
6514	8.9	10 45.57	2.8228	0.0016	10 34 43.2*	0.941	0.411	69.0	49 126	10 3458
6515	7.0[1]	11 10.97	2.7878	0.0016	12 1 29.4	0.978	0.406	81.8	134(½) 199 789 790	12 3446
6516	8.7	18 11 13.35	+2.7400	+0.0017	+13 58 22.9	+0.982	+0.399	80.5	210 788	13 3586
6517	8.5	11 14.16	2.8018	0.0016	11 26 56.4	0.983	0.408	83.8 81.8	117δ(½) 184 786 787	11 3405
6518	8.8	11 17.43	2.7905	0.0016	11 54 48.9	0.987	0.406	70.1	132 206	11 3407
6519	8.9	11 17.64	2.7159	0.0017	14 56 30.1	0.988	0.395	70.5	186 214	14 3468
6520	8.9	11 23.21	2.7355	0.0017	14 9 20.8	0.996	0.398	70.5	188 212	14 3469
6521	8.9	18 11 27.33	+2.7927	+0.0016	+11 49 21.2	+1.002	+0.406	90.5	786 787	11 3411
6522	9.0	11 38.57	2.7440	0.0017	13 48 46.9	1.018	0.399	82.0	190 R	[13 3587]
6523	9.0	11 41.22	2.7300	0.0017	14 22 39.4	1.022	0.397	90.5	784 788	14 3471
6524	8.9	11 42.13	2.7844	0.0016	12 9 56.6	1.024	0.405	81.8	134(½) 199 789 790	12 3449
6525	7.9[2]	12 3.03	2.7925	0.0016	11 49 57.2	1.054	0.406	70.1	132 206	11 3415
6526	8.6	18 12 4.58	+2.7260	+0.0017	+14 32 12.9	+1.056	+0.396	70.5	186 214	14 3474
6527	9.0[3]	12 5.66	2.7392	0.0016	14 0 25.2	1.058	0.398	82.0	190 R	[14 3475]
6528	8.6	12 11.60	2.7301	0.0017	14 22 18.4	1.066	0.397	70.5	186 214	14 3479
6529	7.9	12 14.14	2.7847	0.0016	12 9 8.5	1.070	0.405	81.8	134(½) 199 789 790	12 3456
6530	9.0	12 17.87	2.7920	0.0016	11 51 18.6	1.076	0.406	70.1	132 206	11 3416
6531	7.0[4]	18 12 19.66	+2.7460	+0.0016	+13 43 51.0	+1.078	+0.399	70.5	190 210	13 3593
6532	7.3[5]	12 21.53	2.8043	0.0016	11 20 58.5	1.081	0.408	83.8 81.8	117δ(½) 184 786 787	11 3417
6533	8.8	12 25.05	2.8242	0.0016	10 31 32.2	1.086	0.411	69.0	49 126	10 3467
6534	8.8	12 34.81	2.7773	0.0016	12 27 28.2	1.100	0.404	81.8	134(½) 199 789 790	12 3460
6535	6.7	12 38.75	2.7657	0.0016	12 55 59.6	1.106	0.402	70.1	129 208	12 3461
6536	8.8	18 12 41.58	+2.8226	+0.0015	+10 35 37.9	+1.110	+0.410	69.5	49 126	10 3469
6537	9.3	12 46.88	2.7427	0.0016	13 52 7.5	1.118	0.399	82.0	212 R	[13 3595]
6538	8.6	12 49.02	2.7520	0.0016	13 29 19.4	1.121	0.400	70.5	190 210	13 3597
6539	8.1	12 56.14	2.7312	0.0016	14 19 53.3	1.131	0.397	70.5	188 212	14 3482
6540	8.1	12 57.41	2.7546	0.0016	13 23 11.7	1.133	0.401	83.9	210 784 788	13 3598
6541	9.0[6]	18 12 59.43	+2.7262	+0.0016	+14 32 2.7	+1.136	+0.396	82.0	214 R	[14 3483]
6542	8.9	13 1.95	2.7798	0.0016	12 21 24.7	1.140	0.404	81.8	134(½) 199 789 790	12 3465
6543	8.8	13 2.37	2.7431	0.0016	13 51 11.5	1.140	0.399	70.5	188 212	13 3600
6544	8.9	13 4.39	2.7910	0.0016	11 53 58.4	1.143	0.406	70.1	132 206	11 3422
6545	8.9	13 10.23	2.7977	0.0016	11 37 16.5	1.152	0.407	83.8 81.8	117δ(½) 184 786 787	11 3423
6546	8.7	18 13 14.90	+2.7519	+0.0016	+13 29 52.9	+1.159	+0.400	70.5	190 210	13 3601
6547	7.0[7]	13 17.77	2.7850	0.0016	12 8 39.1	1.163	0.405	81.8	134(½) 208 789 790	12 3467
6548	8.3[8]	13 23.10	2.7264	0.0016	14 31 31.4	1.170	0.396	70.5	186 214	14 3486
6549	7.6	13 26.96	2.7767	0.0016	12 29 3.9	1.176	0.404	70.1	129 208	12 3469
6550	8.7	13 34.99	2.8098	0.0015	11 7 27.6	1.188	0.408	69.0	49 126	11 3426

[1] 7.7 7.2 6.6 6.5 [2] BD 7.1; Schätz. 7.8 8.0 [3] Nur Z.190; BD 9.5 [4] BD 6.1 [5] 8.0 8.0 6.2 6.9, röthlich
[6] Nur Z.214; BD 9.5 [7] 7.5 7.3 7.0 6.4 [8] BD 7.5

Nr.	Gr.	A.R. 1875	Praec.	Var. saec.	Decl. 1875	Praec.	Var. saec.	Ep.	Zonen	B.D.
6551	8.0[1]	18h 13m 45s.87	+2s.7929	+0s.0015	+11° 49′ 12″.2	+1″.204	+0″.406	70.2 70.1	117δ(½) 132 184 206	11° 3427
6552	8.4	13 46.96	2.8314	0.0015	10 13 39.0*	1.206	0.412	82.4	8 Beob.	10 3473
6553	8.7	13 54.87	2.7600	0.0016	13 10 11.1	1.217	0.401	70.5	190 210	13 3606
6554	8.9	13 55.49	2.7689	0.0016	12 48 29.3	1.218	0.402	81.8	134(½) 199 789 790	12 3476
6555	9.0	13 56.94	2.8341	0.0015	10 7 0.1	1.220	0.412	77.0	48 51 571 572	10 3475
6556	8.7	18 13 59.64	+2.7395	+0.0016	+14 0 0.7	+1.224	+0.398	70.5	188 212	13 3607
6557	8.8	14 25.70	2.7661	0.0015	12 55 24.0	1.262	0.402	70.1	129 208	12 3481
6558	8.8	14 29.02	2.7942	0.0015	11 46 9.2	1.266	0.406	83.8 81.8	117δ(½) 184 786 787	11 3434
6559	8.2[2]	14 41.73	2.8358	0.0015	10 2 59.6	1.285	0.412	76.8	48 51 511 570	10 3479
6560	8.9	14 43.04	2.8166	0.0015	10 50 49.4	1.287	0.409	69.0	49 126	10 3480
6561	8.6	18 14 49.69	+2.7127	+0.0016	+15 4 55.2	+1.297	+0.394	70.5	186 214	15 3431
6562	8.0	15 19.50	2.7455	0.0016	13 45 41.6	1.340	0.399	70.5	190 210	13 3612
6563	9.2	15 29.04	2.7827	0.0015	12 14 50.6	1.354	0.404	81.8	134(½) 199 789 790	12 3486
6564	8.9	15 29.95	2.7353	0.0016	14 10 33.1	1.355	0.397	70.5	188 212	[14 3495]
6565	8.5	15 42.94	2.7582	0.0015	13 15 1.7	1.374	0.401	70.5	190 210	13 3615
6566	9.1	18 15 43.11	+2.7760	+0.0015	+12 31 18.1	+1.374	+0.403	81.8	134(½) 199 789 790	12 3487
6567	9.1	15 59.61	2.7868	0.0015	12 4 47.4	1.398	0.405	90.5	789 790	12 3491
6568	8.2	16 21.59	2.7249	0.0015	14 35 58.0	1.430	0.396	70.5	186 188 212 214	14 3499
6569	8.9	16 23.81	2.8039	0.0014	11 22 33.3	1.434	0.407	83.8 81.8	117δ(½) 184 786 787	} 11 3440
6570	9.4	16 23.96	2.8040	0.0014	11 22 27.9	1.434	0.407	90.5	786 787	
*6571	8.6[3]	18 16 30.75	+2.7358	+0.0015	+14 9 38.9	+1.444	+0.397	90.5	784 788	14 3502
6572	8.9	16 37.66	2.7306	0.0015	14 22 12.0	1.454	0.396	82.0	188 R	[14 3503]
6573	6.6[4]	16 46.49	2.7896	0.0014	11 58 10.3	1.467	0.405	70.1	132 206	11 3442
6574	8.8	16 55.85	2.8068	0.0014	11 15 30.0	1.480	0.408	83.8 81.8	117δ(½) 184 786 787	11 3444
6575	8.5	16 58.02*	2.7777	0.0015	12 27 30.3	1.483	0.403	74.7	5 Beob.	12 3496
6576	7.6[5]	18 17 10.01	+2.7165	+0.0015	+14 56 29.8	+1.501	+0.394	70.5	186 214	14 3506
6577	8.8	17 10.59	2.7881	0.0014	12 1 45.6	1.502	0.405	70.1	132 206	12 3499
6578	8.7	17 15.15	2.7173	0.0015	14 54 25.7	1.508	0.395	70.5	186 214	14 3507
6579	8.8	17 19.56	2.7783	0.0014	12 26 1.6	1.515	0.403	90.5	789 790	12 3502
6580	8.2[6]	17 29.89	2.8059	0.0014	11 17 56.6	1.530	0.407	83.8 81.8	117δ(½) 184 786 787	11 3446
6581	8.8	18 17 30.46	+2.7623	+0.0015	+13 5 19.3	+1.531	+0.401	70.1	129 208	13 3623
6582	8.8	17 37.36	2.7304	0.0015	14 22 53.3	1.540	0.396	70.5	188 212	[14 3510]
6583	7.2[7]	17 38.96	2.7241	0.0015	14 38 16.6	1.543	0.395	83.9	212 784 788	14 3511
6584[8]	8.8	17 47.06	2.7311	0.0015	14 21 15.4	1.555	0.396	83.9	212 784 788	14 3514
6585	9.9[9]	18 2.68	2.7379	0.0015	14 5 3.3	1.577	0.397	82.0	188 R	— —
6586	8.8	18 18 5.35	+2.8175	+0.0014	+10 49 10.3*	+1.581	+0.409	69.0	49 126	10 3495
6587	8.2[10]	18 6.04	2.7190	0.0015	14 50 46.5	1.582	0.395	70.5	186 214	14 3518
6588	8.0	18 6.20	2.8255	0.0014	10 29 14.6	1.582	0.410	92.6	784 R	10 3496
6589	8.5	18 16.67	2.7267	0.0015	14 32 13.8	1.598	0.396	80.6	212 791	14 3520
6590	7.9[11]	18 17.13	2.8158	0.0013	10 53 36.0	1.598	0.409	69.0	49 126	10 3498
6591	8.9	18 18 19.93	+2.7133	+0.0015	+15 4 29.5	+1.602	+0.394	70.5	186 214	15 3450
6592	8.9	18 25.74	2.7312	0.0015	14 21 18.4	1.611	0.396	83.9	212 788 791	14 3521
6593	9.0	18 36.91	2.7512	0.0014	13 32 47.4	1.627	0.399	70.1	129 208	13 3631
6594	8.5	18 45.93	2.8345	0.0013	10 7 3.4	1.640	0.411	77.0	48 51 571 572	10 3504
6595	8.6	18 47.43	2.7650	0.0014	12 59 2.3	1.642	0.401	81.8	134(½) 199 789 790	12 3511
6596	8.2	18 18 47.80	+2.7489	+0.0014	+13 38 25.8	+1.643	+0.399	70.5	190 210	13 3632
6597	8.8	18 49.99	2.7621	0.0014	13 6 14.5	1.646	0.401	70.1	129 208	13 3633
6598	9.3	18 52.47	2.7894	0.0014	11 59 6.8	1.650	0.405	70.1	132 206	[11 3452]
6599	8.9	19 20.59*	2.8125	0.0013	11 1 59.4	1.691	0.408	77.6	49 126 R	[11 3455]
6600	8.0	19 20.65	2.7382	0.0014	14 4 40.2	1.691	0.397	70.5	188 212	14 3524

[1] BD 7.3 [2] BD 7.4; Schätz. 8.5 8.4 7.9 8.2 [3] Dpl. med. [4] BD 6.0 [5] BD 7.1 [6] 8.2 8.6 8.5 7.7
[7] BD 6.3 [8] 9m.3 praec. 2s.5 1″.7 B. [9] 9.3 10.5 [10] BD 7.5 [11] BD 7.3

Nr.	Gr.	A.R. 1875	Praec.	Var. saec.	Decl. 1875	Praec.	Var. saec.	Ep.	Zonen	B.D.
6601	8.6	18^h 19^m 27^s.07	+2^s.8126	+0^s.0013	+11° 1' 47".9	+1".700	+0".408	69.0	49 126	11° 3456
6602	8.8	19 27.17	2.7154	0.0015	14 59 47.6	1.700	0.394	70.5	186 214	14 3525
6603	8.8	19 31.03	2.7149	0.0015	15 0 54.8	1.706	0.394	83.9	214 784 788	15 3460
6604	8.8	19 44.66	2.7793	0.0014	12 24 12.2	1.726	0.403	81.8	134(½) 199 789 790	12 3518
6605	8.1	19 52.17	2.7233	0.0015	14 40 54.0	1.736	0.395	70.5	186 214	14 3531
6606	9.1	18 19 58.05	+2.7900	+0.0013	+11 57 57.4	+1.745	+0.405	70.1	132 206	11 3459
6607	8.6	19 58.97	2.8100	0.0013	11 8 22.8	1.747	0.407	79.8	49 126 786 787	11 3460
6608	8.7	20 1.11	2.8358	0.0013	10 3 55.6	1.750	0.411	77.7	48 51 647 727	10 3509
6609	8.7	20 5.08	2.7408	0.0014	13 58 23.5	1.755	0.397	70.5	188 212	13 3642
6610	8.7	20 9.85	2.7309	0.0014	14 22 31.0	1.762	0.396	70.5	188 212	14 3532
6611	8.7	18 20 10.54	+2.7719	+0.0014	+12 42 31.8	+1.763	+0.402	70.1	129 208	12 3521
6612	7.0	20 15.43	2.7180	0.0014	14 53 47.7	1.770	0.394	70.5	186 214	14 3533
6613	8.5	20 39.20	2.8297	0.0012	10 19 30.1	1.805	0.410	69.0	49 126	10 3512
6614	8.8	20 40.94	2.7990	0.0013	11 35 52.8	1.807	0.406	70.1	132 206	11 3462
6615	8.8	20 45.33	2.8368	0.0012	10 1 39.2	1.814	0.411	77.7	48 51 648 728	10 3513
6616	8.7	18 21 3.17	+2.8026	+0.0013	+11 26 55.8	+1.840	+0.406	83.8 81.8	117δ(½) 184 786 787	11 3465
6617	8.0	21 16.68	2.7136	0.0014	15 4 47.4	1.859	0.393	90.5	784 788	15 3467
6618	8.3	21 18.43	2.8102	0.0013	11 8 9.4	1.862	0.407	83.8 81.8	117δ(½) 184 786 787	11 3466
6619	9.2	21 26.43	2.8011	0.0013	11 30 49.8	1.873	0.406	83.8 81.8	117δ(½) 184 786 787	11 3467
6620	9.0[1]	21 34.09	2.7377	0.0014	14 6 25.2	1.884	0.397	78.2	188 214 R	[14 3539]
6621	8.9	18 22 9.51	+2.7830	+0.0013	+12 15 40.1	+1.936	+0.403	70.1	132 206	12 3533
6622	8.6	22 11.51	2.7249	0.0014	14 37 43.9	1.939	0.395	70.5	186 214	14 3542
6623	9.8	22 22.11	2.8102	0.0012	11 8 28.1	1.954	0.407	90.5	786 787	— —
6624	8.6	22 23.10	2.8103	0.0012	11 8 8.4	1.956	0.407	83.8 81.8	117δ(½) 184 786 787	11 3473
6625	8.9	22 31.68*	2.8099	0.0012	11 9 17.3	1.968	0.407	83.8 81.8	117δ(½) 184 786 787	11 3474
6626	8.9	18 22 39.12	+2.7676	+0.0013	+12 53 52.1	+1.979	+0.401	70.1	129 208	12 3538
6627	8.8[2]	22 41.86	2.8066	0.0012	11 17 25.7	1.983	0.406	81.9	184 R	[11 3476]
6628	8.7	22 42.22	2.7826	0.0013	12 16 56.2	1.983	0.403	70.1	132 206	12 3539
6629	8.8	22 44.68	2.7154	0.0014	15 0 55.4	1.987	0.393	70.5	186 214	15 3477
6630	8.9	22 48.63	2.7517	0.0013	13 32 45.4	1.993	0.398	82.0	210 R	[13 3651]
6631	8.8	18 22 54.61	+2.7463	+0.0013	+13 46 5.2	+2.001	+0.398	70.5	190 210	13 3652
6632	8.6	23 0.69	2.8346	0.0012	10 7 36.6	2.010	0.410	77.7	48 51 648 728	10 3525
6633	8.4	23 2.62	2.8160	0.0012	10 54 4.7	2.013	0.408	69.0	49 126	10 3526
6634	7.9	23 12.07	2.7999	0.0012	11 34 16.6*	2.027	0.405	83.8 81.8	117δ(½) 184 786 787	11 3478
6635	8.2[3]	23 12.87	2.7181	0.0014	14 54 36.4	2.028	0.393	70.5	186 214	14 3546
6636	8.5	18 23 21.51	+2.7988	+0.0012	+11 36 58.5	+2.040	+0.405	70.1	132 206	11 3479
6637	8.0	23 21.65	2.8182	0.0012	10 48 44.3	2.041	0.408	79.8	49 126 784 788	10 3528
6638	8.6	23 31.59	2.7520	0.0013	13 32 24.7	2.055	0.398	70.5	190 210	13 3657
6639	8.3	23 42.39	2.7936	0.0012	11 50 1.3	2.071	0.404	83.8 81.8	117δ(½) 184 786 787	11 3481
6640	7.5[4]	23 43.14	2.7806	0.0012	12 22 10.8*	2.072	0.402	81.8	134(½) 199 789 790	12 3546
6641	7.5[5]	18 23 43.54	+2.7462	+0.0013	+13 46 35.5	+2.072	+0.397	70.5	190 210	13 3658
6642	9.2	23 46.72	2.7748	0.0012	12 36 35.0	2.077	0.402	70.1	129 208	12 3547
6643	8.7	23 52.97	2.7686	0.0013	12 51 43.3	2.086	0.401	70.1	129 208	12 3548
6644	7.4[6]	24 3.53	2.8282	0.0011	10 23 57.7	2.101	0.409	68.5	48 51	10 3532
6645	8.1	24 24.76	2.8111	0.0012	11 6 49.0	2.132	0.407	69.0	49 126	11 3487
6646	8.9	18 24 42.05	+2.7480	+0.0013	+13 42 34.7	+2.157	+0.397	70.5	190 210	13 3662
6647	8.9	24 43.35	2.8221	0.0011	10 39 25.8	2.159	0.408	81.5	126 R	[10 3536]
6648	7.0[7]	24 52.04	2.7769	0.0012	12 31 36.3	2.172	0.402	81.8	134(½) 199 789 790	12 3557
6649	9.3	24 55.15	2.7351	0.0013	14 14 6.4	2.176	0.395	82.0	188 R	[14 3550]
6650	8.7	24 56.75	2.7204	0.0013	14 49 32.3	2.178	0.393	70.5	186 214	14 3552

[1] BD 9.5; 9^m.8 seq. 3^s.8 1'B. [2] Nur Z. 184; BD 9.3 [3] BD 7.6 [4] 8.0 8.1 7.2 6.9 [5] BD 6.8
[6] BD 6.8 [7] 7.5 7.5 6.7 6.5

Nr.	Gr.	A.R. 1875	Praec.	Var. saec.	Decl. 1875	Praec.	Var. saec.	Ep.	Zonen	B.D.
6651	8.9	18h 25m 6s.87	+2s.8061	+0s.0011	+11° 19′ 33″.5	+2″.193	+0″.406	81.9	184 R	[11° 3489]
6652	9.0	25 9.31	2.7761	0.0012	12 33 39.5	2.197	0.401	81.8	134(½) 199 789 790	12 3561
6653	9.1	25 10.11	2.7501	0.0012	13 37 40.0	2.198	0.398	82.0	210 R	[13 3664]
6654	8.9	25 17.76	2.8062	0.0011	11 19 12.5	2.209	0.406	83.8 81.8	117δ(½) 184 786 787	11 3493
6655	8.0	25 27.55	2.7631	0.0012	13 5 49.3	2.223	0.399	70.1	129 208	13 3667
6656	9.0[1]	18 25 27.66	+2.7632	+0.0012	+13 5 29.8	+2.223	+0.399	70.1	129 208	13 3668
6657	9.0	25 31.85	2.7244	0.0013	14 40 14.5	2.229	0.394	70.5	186 214	14 3558
6658	8.9	25 38.44	2.8303	0.0011	10 19 14.0	2.239	0.409	90.5	784 788	10 3542
6659	9.1	25 43.12	2.7360	0.0013	14 12 8.7	2.246	0.395	82.0	212 R	[14 3560]
6660	8.8	25 45.54	2.7443	0.0012	13 52 3.7	2.249	0.397	70.5	188 214	13 3671
6661	8.8	18 25 45.74	+2.7909	+0.0011	+11 57 20.0	+2.250	+0.403	70.1	132 206	11 3494
6662	8.5	25 54.57	2.8223	0.0011	10 39 12.3	2.262	0.408	69.0	49 126	10 3544
6663	8.7	25 55.95	2.7525	0.0012	13 31 58.1	2.264	0.398	70.1	129 208	13 3673
6664	8.8	26 21.52	2.7834	0.0011	12 16 13.3	2.301	0.402	81.8	134(½) 199 789 790	12 3568
6665	8.0[2]	26 25.64	2.7499	0.0012	13 38 35.7	2.307	0.397	70.5	190 210	13 3677
6666	8.6[3]	18 26 39.87	+2.7853	+0.0011	+12 11 28.8	+2.328	+0.402	81.8	134(½) 199 789 790	12 3570
6667[4]	8.8	26 56.38	2.8009	0.0011	11 32 58.1	2.352	0.405	83.8 81.8	117δ(½) 184 786 787	11 3502
6668	9.0	26 57.74	2.7853	0.0011	12 11 46.2*	2.354	0.402	81.8	134(½) 199 789 790	12 3572
6669	8.7	26 58.20	2.7973	0.0011	11 41 57.7	2.354	0.404	70.1	132 206	11 3504
*6670	8.8	27 5.90	2.7479	0.0012	13 43 35.8	2.366	0.397	70.5	190 210	13 3680
6671	8.9	18 27 7.94	+2.7754	+0.0011	+12 36 9.8	+2.369	+0.401	80.3	129 208 789 790	12 3573
6672	9.1	27 16.50	2.7594	0.0012	13 15 43.7	2.381	0.398	70.5	190 210	13 3681
6673	8.9	27 40.65	2.8210	0.0010	10 43 8.9	2.416	0.407	69.0	49 126	10 3560
6674	9.1	27 42.12	2.8032	0.0011	11 27 33.6	2.418	0.405	83.8 81.8	117δ(½) 184 786 787	11 3508
6675	8.9	27 44.50	2.7628	0.0011	13 7 28.5	2.421	0.399	70.1	129 208	13 3684
6676	9.0	18 27 46.64	+2.8297	+0.0010	+10 21 25.9	+2.425	+0.409	68.5	48 51	10 3562
6677	8.6	27 55.42	2.8299	0.0010	10 20 57.8	2.438	0.408	68.5	48 51	10 3564
6678	8.6	28 2.52	2.7439	0.0012	13 53 58.9	2.448	0.396	70.5	188 212	13 3685
6679	8.8	28 14.75	2.8319	0.0010	10 16 5.8	2.465	0.409	78.7	5 Beob.	10 3568
6680	8.8	28 17.36	2.7802	0.0011	12 24 43.5*	2.469	0.401	81.8	134(½) 199 789 790	12 3579
6681	8.5	18 28 18.07	+2.8076	+0.0010	+11 16 53.6	+2.470	+0.405	83.8 81.8	117δ(½) 184 786 787	11 3510
6682	8.8	28 28.26	2.8286	0.0010	10 24 15.5	2.485	0.408	79.5	48 51 784 788	10 3570
6683	8.8	28 28.39	2.8163	0.0010	10 55 17.3	2.485	0.406	69.0	49 126	10 3571
6684	8.1[5]	28 32.13	2.7323	0.0012	14 22 23.4	2.490	0.394	70.5	188 212	14 3574
6685	9.1	28 36.30	2.7734	0.0011	12 41 50.3	2.497	0.400	82.0	208 R	[12 3580]
6686	8.0[6]	18 28 47.96	+2.7796	+0.0011	+12 26 31.1	+2.514	+0.401	81.8	134(½) 199 789 790	12 3581
6687	6.5[7]	28 55.04	2.8193	0.0010	10 47 44.0	2.524	0.407	69.0	49 126	10 3573
6688	8.5	28 55.58	2.7136	0.0012	15 7 58.3	2.524	0.391	70.5	186 214	15 3511
6689	9.2	29 6.26	2.8062	0.0010	11 20 41.0	2.540	0.405	90.5	786 787	— —
6690	8.8	29 7.32	2.8061	0.0010	11 20 43.2	2.541	0.405	83.8 81.8	117δ(½) 184 786 787	11 3513
6691	8.3[8]	18 29 10.37	+2.7259	+0.0012	+14 38 4.0	+2.546	+0.393	70.5	188 212	14 3577
6692	8.7	29 18.67	2.7771	0.0011	12 32 57.2	2.558	0.400	81.8	134(½) 199 789 790	12 3583
6693	8.3	29 27.16	2.7168	0.0012	15 0 26.3	2.570	0.392	70.5	186 214	14 3580
6694	8.9	29 55.40	2.7738	0.0010	12 41 15.2	2.611	0.400	70.1	129 208	12 3586
6695	8.7	30 6.62	2.7880	0.0010	12 6 19.4	2.627	0.402	81.8	134(½) 199 789 790	12 3590
6696	7.7	18 30 7.08	+2.7995	+0.0010	+11 37 42.9	+2.628	+0.404	70.1	132 206	11 3518
6697	8.6	30 12.34	2.8103	0.0010	11 10 49.9	2.635	0.405	83.8 81.8	117δ(½) 184 786 787	11 3519
6698[9]	8.8	30 14.07	2.7895	0.0010	12 2 32.1	2.638	0.402	81.8	134(½) 199 789 791	12 3591
6699	8.4	30 16.93	2.7965	0.0010	11 45 13.2	2.642	0.403	70.1	132 206	11 3521
6700	7.9	30 20.14	2.8112	0.0010	11 8 35.3	2.647	0.405	69.0	49 126	11 3523

[1] Z. 129 blau [2] BD 6.8; Schätz. 8.0 8.0, Refr. 1893 Juni 14 7.0 grünlich [3] Z. 790 8.0, roth
[4] 9m.5 praec. 10s 1′.3 A. [5] BD 7.5 [6] 8.4 8.4 8.0 7.3 [7] 7.0 6.0 [8] BD 7.8 [9] 10m.5 seq. 7s.5 20″ A.

Nr.	Gr.	A.R. 1875	Praec.	Var. saec.	Decl. 1875	Praec.	Var. saec.	Ep.	Zonen	B.D.
6701	8.8	18h 30m 31s.67	+2s.8341	+0s.0009	+10° 11' 16".2	+2".663	+0".408	77.0	48 51 571 573	10° 3580
6702	9.0	30 31.67	2.7544	0.0011	13 29 22.4	2.663	0.397	70.5	190 210	13 3693
6703	8.9	30 39.13	2.8218	0.0009	10 42 11.7	2.674	0.407	69.0	49 126	10 3584
6704	8.9	30 47.69	2.8146	0.0009	11 0 11.4	2.687	0.406	79.8	49 126 784 788	10 3585
6705	8.5	30 48.14	2.7215	0.0011	14 49 45.8	2.687	0.392	70.5	186 214	14 3587
6706	7.6[1]	18 30 50.52	+2.7692	+0.0010	+12 53 6.0	+2.691	+0.399	70.1	129 208	12 3598
6707	8.9	30 53.95	2.7663	0.0010	13 0 15.0	2.695	0.398	70.1	129 208	12 3599
6708	8.9	30 54.21	2.7974	0.0010	11 43 15.1	2.696	0.403	70.1	132 206	11 3526
6709	8.8	30 56.92	2.8274	0.0009	10 28 12.9	2.700	0.407	69.0	49 126	10 3586
6710	8.8	31 6.89	2.8347	0.0009	10 9 58.6	2.714	0.408	77.0	48 51 571 573	10 3588
6711	8.7	18 31 10.31	+2.7835	+0.0010	+12 17 46.1	+2.719	+0.401	81.8	134(½) 208 789 790	12 3601
6712	8.7	31 15.18	2.8010	0.0010	11 34 21.5	2.726	0.403	70.1	132 206	11 3528
6713	6.8[2]	31 21.81	2.8071	0.0009	11 19 4.9	2.736	0.404	83.8 81.8	117δ(½) 184 786 787	11 3530
6714	8.8	31 27.39	2.8266	0.0009	10 30 30.3	2.744	0.407	81.5	126 R	[10 3593]
6715	7.3[3]	31 29.34	2.8088	0.0009	11 15 4.9	2.746	0.404	83.8 81.8	117δ(½) 184 786 787	11 3531
6716	7.7[4]	18 31 30.35	+2.7866	+0.0010	+12 10 11.4*	+2.748	+0.401	81.8	134(½) 208 789 790	12 3604
6717	8.6[5]	31 31.13	2.7303	0.0011	14 28 43.0	2.749	0.393	70.5	188 212	14 3592
6718	8.8	31 38.13	2.8013	0.0009	11 33 50.7	2.759	0.403	70.1	132 206	11 3532
6719	8.8	31 44.62	2.7586	0.0010	13 19 24.5	2.769	0.397	70.5	190 210	13 3696
6720	8.7	31 46.81	2.7293	0.0011	14 31 10.5	2.772	0.393	70.5	186 214	14 3595
6721	9.1	18 31 49.27	+2.7291	+0.0011	+14 31 48.3	+2.776	+0.393	82.0	214 R	— —
6722	8.2	31 51.68	2.7232	0.0011	14 46 7.3	2.779	0.392	70.5	186 214	14 3596
6723	8.6	31 58.91	2.8067	0.0009	11 20 29.7	2.789	0.404	83.8 81.8	117δ(½) 184 786 787	11 3534
6724	8.6	32 18.98*	2.8282	0.0008	10 26 51.7	2.819	0.407	79.5	48 51 784 788	10 3599
6725	9.2	32 19.94	2.8283	0.0008	10 26 32.0	2.820	0.407	90.5	784 788	— —
6726	8.5	18 32 21.82	+2.7210	+0.0011	+14 51 40.2	+2.823	+0.392	70.5	186 214	14 3599
6727	8.6	32 26.02	2.7399	0.0010	14 5 39.5	2.828	0.394	70.5	188 212	14 3600
6728	9.1	32 27.61	2.8071	0.0009	11 19 46.5	2.831	0.404	83.8 81.8	117δ(½) 184 786 787	11 3536
6729	8.3	32 31.45	2.7162	0.0011	15 3 23.5	2.836	0.391	70.5	186 214	15 3525
6730	8.0[6]	32 39.46	2.7356	0.0010	14 16 25.1	2.848	0.394	70.5	188 212	14 3602
6731	9.0	18 32 43.44	+2.8314	+0.0008	+10 18 52.3	+2.854	+0.407	69.0	49 126	10 3603
6732	8.7	32 52.39	2.8049	0.0009	11 25 22.8	2.867	0.403	70.1	132 206	11 3539
6733	9.1	32 52.59	2.7901	0.0009	12 2 14.2	2.867	0.401	81.8	134(½) 199 789 790	12 3610
6734	8.9	32 52.89	2.7572	0.0010	13 23 30.0	2.867	0.397	70.5	190 210	13 3700
6735	7.6[7]	32 54.40	2.7183	0.0011	14 58 29.3	2.870	0.391	70.5	186 214	14 3603
6736	8.0	18 33 14.46	+2.8171	+0.0008	+10 55 3.2	+2.898	+0.405	90.5	784 788	10 3608
6737	8.9	33 22.84	2.7586	0.0010	13 20 24.5	2.910	0.397	70.5	190 210	13 3702
6738	9.0	33 42.26	2.7235	0.0010	14 46 25.4	2.939	0.392	70.5	186 214	14 3605
6739	8.8	33 43.25	2.8087	0.0008	11 16 12.7	2.940	0.404	83.8 81.8	117δ(½) 184 786 787	11 3545
*6740	8.8	33 44.38	2.7994	0.0009	11 39 24.9	2.942	0.402	70.1	132 206	11 3546
6741	8.8	18 33 46.59	+2.8041	+0.0009	+11 27 37.2	+2.945	+0.403	83.8 81.8	117δ(½) 184 786 787	11 3547
6742	8.6[8]	33 47.95	2.7972	0.0009	11 45 0.8	2.947	0.402	70.1	132 206	11 3548
6743	9.2	33 57.88	2.7722	0.0009	12 46 59.5	2.961	0.398	81.8	134(½) 199 789 790	12 3613
6744	9.0	34 8.75	2.8151	0.0008	11 0 15.9	2.977	0.405	69.0	49 126	10 3615
6745	7.9[9]	34 9.40	2.7186	0.0011	14 58 34.3	2.978	0.391	70.5	186 214	14 3606
6746	8.1	18 34 17.28	+2.7415	+0.0010	+14 2 45.2	+2.989	+0.394	70.5	188 212	14 3607
6747	8.7	34 21.13	2.7505	0.0010	13 40 53.9	2.995	0.395	70.5	190 210	13 3703
6748	7.7[10]	34 29.72	2.7927	0.0009	11 56 29.0	3.007	0.401	70.1	132 206	11 3553
6749	8.2[11]	34 36.48	2.7608	0.0009	13 15 26.2	3.017	0.397	70.5	190 210	13 3704
6750	7.8	34 49.44	2.8189	0.0008	10 51 4.4	3.035	0.405	69.0	49 126	10 3617

[1] BD 7.0 [2] BD 6.3 [3] 7.5 7.8 7.0 6.8; BD 6.5 [4] 8.1 8.1 7.7 7.0; BD 8.2 [5] BD 9.1
[6] BD 7.5 [7] BD 6.5 [8] BD 8.0 [9] BD 6.9 [10] BD 6.7 [11] BD 7.6

Nr.	Gr.	A.R. 1875	Praec.	Var. saec.	Decl. 1875	Praec.	Var. saec.	Ep.	Zonen	B.D.
6751	8.3	18^h 35^m 0^s.81	+2^s.7887	+0^s.0009	+12° 6′ 38″.8	+3″.052	+0″.400	81.8	134(½) 199 789 790	12° 3614
6752	8.5	35 11.46	2.7695	0.0009	12 54 13.1	3.067	0.398	70.1	129 208	12 3616
6753	8.9	35 11.58	2.7334	0.0010	14 23 7.3	3.067	0.393	82.0	186 R	[14 3609]
6754	7.9[1]	35 19.17	2.7891	0.0008	12 5 40.0	3.079	0.401	81.8	134(½) 199 789 790	12 3618
6755	6.6[2]	35 39.81	2.7886	0.0008	12 7 10.6	3.108	0.400	81.8	134(½) 199 789 790	12 3619
6756	8.8	18 35 40.81	+2.7755	+0.0009	+12 39 36.0	+3.109	+0.398	70.1	129 208	12 3620
6757	8.3[3]	35 44.04	2.7708	0.0009	12 51 31.3	3.114	0.398	70.1	129 208	12 3622
6758	8.9	35 47.01	2.8275	0.0007	10 30 0.8	3.119	0.406	68.5	48 51	10 3622
6759	9.6	35 51.70	2.7347	0.0010	14 20 9.2	3.125	0.393	82.0	212 R	— —
6760	7.3[4]	36 1.00	2.7882	0.0008	12 8 16.2	3.139	0.400	81.8	134(½) 199 789 790	12 3623
6761[5]	8.1	18 36 15.37	+2.8001	+0.0008	+11 38 45.3	+3.159	+0.402	83.8 81.8	117δ(½) 184 786 787	11 3564
6762	9.1	36 15.87	2.7948	0.0008	11 52 0.3*	3.160	0.401	80.3	132 206 787 791	11 3565
6763	8.7	36 18.45	2.7344	0.0010	14 21 8.5	3.163	0.392	74.5	5 Beob.	14 3612
6764	9.0	36 33.85	2.7949	0.0008	11 51 49.0	3.186	0.401	70.1	132 206	11 3569
6765	8.5	36 34.89	2.7354	0.0009	14 18 52.2	3.188	0.392	77.2	188 212 784	14 3613
6766	8.6	18 36 40.76	+2.7447	+0.0009	+13 56 6.1	+3.195	+0.394	70.5	188 212	13 3709
*6767	9.0	36 49.98	2.7981	0.0008	11 44 6.4*	3.209	0.401	80.3	132 206 786 787	11 3571
*6768	9.4	36 50.02	2.7979	0.0008	11 44 36.9	3.209	0.401	90.5	786 787	{[11 3570]
*6769	9.9	36 50.32	2.7979	0.0008	11 44 30.7*	3.210	0.401	93.1	786 R	
6770	7.4[6]	36 57.36	2.7167	0.0010	15 4 45.2	3.220	0.390	70.5	186 214	15 3537
6771	7.9[7]	18 37 3.99	+2.7256	+0.0010	+14 43 15.0	+3.229	+0.391	70.5	186 214	14 3615
6772	7.9	37 9.49	2.7568	0.0009	13 26 45.4	3.237	0.395	70.5	190 210	13 3713
6773	9.0	37 18.25	2.7735	0.0008	12 45 27.0	3.250	0.398	81.8	134(½) 199 789 790	12 3627
6774	9.0	37 30.73	2.8172	0.0007	10 56 31.5	3.268	0.404	69.0	49 126	10 3628
6775	8.9	37 40.92	2.7812	0.0008	12 26 30.4	3.282	0.399	74.7	5 Beob.	12 3629
6776	9.0	18 37 42.56	+2.7806	+0.0008	+12 28 10.9	+3.285	+0.399	83.9	199 789 790	12 3630
6777	8.4	37 44.27	2.7948	0.0008	11 52 46.6	3.287	0.401	80.3	132 206 786 787	11 3575
6778	8.6	37 51.65	2.8316	0.0006	10 20 31.8	3.298	0.406	68.5	48 51	10 3631
6779	9.0	37 56.93	2.8114	0.0007	11 11 25.8	3.305	0.403	90.5 86.3	117δ(½) 787 791	11 3577
6780	7.0[8]	37 58.82	2.8212	0.0007	10 46 38.9	3.308	0.404	69.0	49 126	10 3633
6781	7.0[9]	18 38 7.24	+2.7909	+0.0008	+12 2 43.1	+3.320	+0.400	81.8	134(½) 199 789 790	12 3631
6782	8.4	38 7.37	2.7661	0.0008	13 4 18.4	3.320	0.396	70.5	190 210	13 3722
6783	8.9	38 15.07	2.7770	0.0008	12 37 14.9	3.332	0.398	70.1	129 208	12 3634
6784	8.8	38 15.49	2.8227	0.0007	10 43 9.2	3.332	0.404	69.0	49 126	10 3634
6785	8.5	38 17.41	2.8138	0.0007	11 5 26.7	3.335	0.403	80.3	132 206 786 787	11 3581
6786	8.9	18 38 19.21	+2.8010	+0.0007	+11 37 34.2	+3.338	+0.401	76.9	132 206 791	11 3582
6787	8.6	38 21.02	2.7989	0.0007	11 42 46.7	3.340	0.401	78.4	134(½) 206 791	11 3583
6788	8.7	38 41.51	2.8124	0.0007	11 9 10.9	3.370	0.403	90.5 86.3	117δ(½) 787 791	11 3584
6789	8.8	38 43.80	2.7611	0.0008	13 17 3.5	3.373	0.395	70.5	190 210	13 3725
6790	9.4	38 51.60	2.8082	0.0007	11 19 42.3	3.384	0.402	81.9	184 R	— —
6791	8.6	18 38 53.76	+2.8156	+0.0007	+11 1 6.7	+3.387	+0.403	69.0	49 126	10 3638
6792	8.8	39 3.87	2.7364	0.0009	14 17 59.8	3.402	0.392	70.5	188 212	[14 3620]
6793	8.8	39 18.43	2.7532	0.0008	13 36 42.5	3.423	0.394	80.5	190 210 784 788	13 3730
6794	9.2	39 20.27	2.8085	0.0007	11 19 19.0	3.425	0.402	81.9	184 R	[11 3587]
6795	8.1	39 36.52	2.8050	0.0007	11 28 12.7	3.449	0.401	90.5	786 787	11 3589
6796	8.8	18 39 40.13	+2.7500	+0.0008	+13 44 56.6	+3.454	+0.393	70.5	190 210	13 3733
6797	9.2	39 46.62	2.8147	0.0006	11 3 53.8	3.463	0.403	81.9	184 R	[11 3591]
6798	8.7	39 51.62	2.7657	0.0008	13 6 15.6	3.470	0.396	70.5	190 210	13 3736
6799	8.6	39 52.34	2.7368	0.0008	14 17 25.6	3.471	0.392	70.5	188 212	14 3626
6800	7.2[10]	39 52.84	2.8075	0.0006	11 22 4.3	3.472	0.402	90.5 86.3	117δ(½) 786 787	11 3592

[1] 8.4 8.2 7.2 7.9 [2] 7.2 7.0 6.3 5.9 [3] BD 7.7 [4] 7.7 7.2 6.6 7.6; BD 6.7 [5] 9^m.2 praec. 11^s 7″A.
[6] BD 6.3 [7] BD 6.9 [8] 7.5 6.5; Z. 126 röthlich [9] 7.7 7.5? 6.7 6.7 [10] BD 6.7

Nr.	Gr.	A.R. 1875	Praec.	Var. saec.	Decl. 1875	Praec.	Var. saec.	Ep.	Zonen	B. D.
6801	9.8	18h 39m 54s.18	+2s.8388	+0s.0006	+10° 3' 12".1*	+3".474	+0".406	85.1	511 570	[10° 3645]
6802	8.4	40 18.52	2.7601	0.0008	13 20 22.2	3.509	0.395	70.5	190 208 210	13 3739
6803	8.8	40 27.38	2.8143	0.0006	11 5 21.7	3.522	0.403	90.5 86.3	117δ(½) 786 787	11 3598
6804[1]	9.0	40 37.46	2.7783	0.0007	12 35 22.1	3.536	0.397	78.3	134(½) 199 789	12 3646
6805	8.7	40 43.58	2.8243	0.0006	10 40 7.4	3.545	0.404	69.0	49 126	10 3649
6806	8.5	18 40 47.04	+2.7929	+0.0007	+11 59 5.9	+3.550	+0.399	83.9	206 786 791	11 3599
6807	7.6[2]	41 2.12	2.7825	0.0007	12 25 18.1	3.572	0.398	81.8	134(½) 199 789 790	12 3651
6808	7.9[3]	41 11.29	2.7834	0.0007	12 23 2.1	3.585	0.398	81.8	134(½) 199 789 790	12 3653
6809	8.5	41 17.56	2.8254	0.0006	10 37 50.1*	3.594	0.404	79.8	49 126 784 788	10 3655
6810	8.9	41 17.88	2.8379	0.0005	10 6 11.4	3.594	0.406	85.2	511 570 573	[10 3656]
6811	9.1	18 41 23.80	+2.7604	+0.0007	+13 20 17.2	+3.603	+0.394	82.0	208 R	13 3748
6812	9.0	41 36.22	2.7608	0.0007	13 19 30.0	3.620	0.394	70.3	129 190 208 210	13 3751
6813	8.8	41 37.50	2.8155	0.0006	11 2 53.9	3.622	0.402	74.7 74.2	5 Beob.	11 3604
6814	8.7	41 40.67	2.7985	0.0006	11 45 38.8	3.627	0.400	70.1	132 206	11 3605
6815	8.7	41 49.71	2.7265	0.0008	14 44 6.4	3.640	0.389	70.5	186 214	14 3643
6816	8.5	18 41 52.59	+2.7855	+0.0007	+12 18 15.7	+3.644	+0.398	81.8	134(½) 199 789 790	12 3655
6817	9.0	41 52.73	2.8349	0.0005	10 13 53.8	3.644	0.405	68.5	48 51	[10 3659]
6818	7.2[4]	41 56.66	2.7613	0.0007	13 18 25.4	3.650	0.394	70.3	129 190 208 210	13 3753
6819	7.4	42 1.55	2.8160	0.0006	11 1 42.2	3.657	0.402	69.0 69.1	49 117δ(½) 126	11 3608
6820	8.3	42 4.10	2.8167	0.0006	11 0 1.6	3.660	0.402	69.0	49 126	10 3660
6821	8.6	18 42 8.15*	+2.8346	+0.0005	+10 14 58.4	+3.666	+0.405	76.8	48 51 511 570	10 3662
6822	8.5	42 20.42	2.8285	0.0005	10 30 20.3	3.684	0.404	69.0	49 126	10 3663
6823	8.9	42 28.93	2.8028	0.0006	11 35 18.4	3.696	0.400	70.1	132 206	11 3611
*6824	8.3	42 34.86	2.8258	0.0005	10 37 24.7	3.705	0.403	69.0	49 126	10 3665
6825	8.7	42 40.45	2.8397	0.0005	10 2 13.8	3.713	0.405	79.9	5 Beob.	10 3667
6826	8.7	18 43 0.70	+2.8064	+0.0006	+11 26 33.8	+3.742	+0.400	83.8 81.8	117δ(½) 184 786 787	11 3613
6827	8.7	43 3.16	2.7183	0.0008	15 4 50.3	3.745	0.388	70.5	186 214	15 3575
6828	8.5	43 12.03	2.7978	0.0006	11 48 18.0	3.758	0.399	70.1	132 206	11 3616
6829	8.5	43 17.75	2.8123	0.0005	11 11 54.9	3.766	0.401	85.5 83.7	5 Beob.	11 3617
6830	8.7	43 21.18	2.7786	0.0006	12 36 24.7	3.771	0.396	69.9	129 134(½) 199	12 3661
*6831	8.5	18 43 21.49	+2.7673	+0.0007	+13 4 32.9	+3.771	+0.395	70.3	129 190 208 210	13 3764
6832	8.8	43 22.48	2.7673	0.0007	13 4 24.8	3.773	0.395	70.1	129 210	13 3765
6833	8.2	43 25.11	2.7605	0.0007	13 21 14.4	3.776	0.394	70.5	190 210	13 3766
6834	7.3	43 29.52	2.7322	0.0008	14 31 7.2	3.783	0.390	70.5	188 212	14 3654
6835	8.6	43 33.55	2.7161	0.0008	15 10 35.2	3.789	0.387	70.5	186 214	15 3580
6836	8.8	18 43 34.43	+2.8105	+0.0005	+11 16 31.0	+3.790	+0.401	83.8 81.8	117δ(½) 184 787 791	11 3619
6837	8.8	43 36.68	2.7743	0.0006	12 47 13.2	3.793	0.396	70.1	129 208	12 3663
6838	8.7	43 40.26	2.7931	0.0006	12 0 15.1*	3.798	0.398	80.3	132 206 787 791	11 3620
6839	8.7	43 44.03	2.7793	0.0006	12 34 40.0	3.803	0.396	83.9	210 789 790	12 3668
6840	9.9[5]	43 44.68	2.8123	0.0005	11 12 5.6	3.804	0.401	92.6	794 R	— —
6841	8.2[6]	18 43 46.05	+2.8048	+0.0005	+11 30 56.6	+3.807	+0.400	83.8 81.8	117δ(½) 184 786 791	11 3621
6842	8.3[7]	43 49.80	2.8318	0.0004	10 22 46.3	3.812	0.404	68.5	48 51	10 3675
6843	9.5	43 49.95	2.8124	0.0005	11 11 52.4	3.812	0.401	92.6	787 R	[11 3623]
6844	8.0	43 50.73	2.8281	0.0005	10 32 7.5	3.813	0.403	90.5	784 788	10 3677
6845	8.9	43 51.36	2.8390	0.0004	10 4 29.3	3.814	0.405	88.0	571 573 784 788	10 3676
6846	8.6	18 43 54.14	+2.7672	+0.0007	+13 5 7.5	+3.818	+0.394	70.5	190 208 210	13 3769
6847	8.2	43 56.45	2.8165	0.0005	11 1 33.4*	3.822	0.401	69.0	49 126	11 3624
6848	8.6	43 57.07	2.8009	0.0005	11 40 48.2	3.822	0.399	70.1	132 206	11 3626
6849[8]	8.7	44 3.94	2.7476	0.0007	13 53 36.9	3.832	0.392	70.5	188 212	13 3771
6850	8.5	44 6.55	2.8297	0.0004	10 28 23.4	3.836	0.403	68.5	48 51	10 3678

[1] $9^m.4$ praec. $2^s.3$ 2"B. [2] 8.0 8.0 6.9 7.7 [3] 8.5 8.1 7.3 7.6 [4] 7.0 7.7 7.5 6.7; BD 6.7 [5] 9.4 10.5
[6] 8.6 8.7 8.0 7.5 [7] BD 7.5; Schätz. 8.4 8.2 [8] $9^m.0$ praec. $3^s.0$ 15"A.; $9^m.3$ praec. $2^s.8$ 60"B.

Nr.	Gr.	A.R. 1875	Praec.	Var. saec.	Decl. 1875	Praec.	Var. saec.	Ep.	Zonen	B.D.
6851	8.6	18h 44m 8s.71	+2s.7288	+0s.0008	+14° 40′ 4″.1	+3″.839	+0″.389	70.5	186 214	14° 3657
6852[1]	8.8	44 12.74	2.7823	0.0006	12 27 40.2	3.845	0.396	78.3	134(½) 199 789	12 3674
6853	7.8	44 21.37	2.7167	0.0008	15 9 50.6	3.857	0.387	70.5	186 214	15 3584
6854	7.4[2]	44 23.91	2.8082	0.0005	11 22 46.7	3.861	0.400	83.8 81.8	117δ(½) 184 786 787	11 3630
6855	8.7	44 27.48	2.7505	0.0007	13 46 42.8	3.866	0.392	70.5	190 210	13 3774
6856	8.6	18 44 28.88	+2.7408	+0.0007	+14 10 40.9	+3.868	+0.390	70.5	188 212	14 3658
6857	8.1[3]	44 31.55	2.7858	0.0006	12 18 57.2	3.872	0.397	81.8	134(½) 199 789 790	12 3676
6858	8.5	44 35.55	2.7454	0.0007	13 59 25.4	3.877	0.391	70.5	188 212	13 3776
6859	8.8	44 40.39	2.7834	0.0006	12 25 5.3	3.885	0.396	81.8	134(½) 199 790 791	12 3677
6860	8.9	44 47.77	2.8290	0.0004	10 30 19.6	3.895	0.403	68.5	48 51	10 3683
*6861	...[4]	18 44 52.81	+2.8213	+0.0005	+10 49 54.2	+3.902	+0.402	69.0	49 126	10 3685
6862	8.7	45 2.78	2.8233	0.0004	10 44 57.9	3.917	0.402	79.8	49 126 784 788	10 3687
6863	8.6	45 15.58	2.7931	0.0005	12 1 17.1	3.935	0.398	70.1	132 206	12 3682
6864	8.9	45 15.92	2.8374	0.0004	10 9 22.7*	3.935	0.404	68.5	48 51	[10 3694]
6865	8.8	45 20.73	2.7241	0.0007	14 52 26.8	3.942	0.388	70.5	186 214	14 3664
6866	8.7	18 45 23.61	+2.7391	+0.0007	+14 15 32.3	+3.946	+0.390	70.5	188 212	14 3665
6867	8.8	45 26.95	2.7626	0.0006	13 17 28.5*	3.951	0.393	70.5	190 210	[13 3781]
6868	8.4	45 29.71	2.7355	0.0007	14 24 24.0	3.955	0.389	70.5	186 188 212 214	14 3667
6869	8.7	45 32.38	2.7629	0.0006	13 16 46.3	3.959	0.393	70.5	190 210	13 3782
6870	9.3	45 34.68	2.7249	0.0007	14 50 29.3	3.962	0.388	90.5	784 788	14 3670
*6871	8.9	18 45 41.39	+2.8371	+0.0004	+10 10 26.6	+3.971	+0.404	88.9	570 788 791	10 3699
6872	9.2	45 51.73	2.7357	0.0007	14 24 15.2	3.986	0.389	82.0	212 R	[14 3673]
6873	8.2	45 58.57	2.7608	0.0006	13 22 15.3	3.996	0.393	70.5	190 210	13 3783
6874	8.5[5]	46 4.89	2.8263	0.0004	10 37 55.6	4.005	0.402	69.0	49 126	10 3703
6875	8.5	46 12.32	2.7816	0.0006	12 30 36.1	4.016	0.396	81.8	134(½) 199 789 790	12 3691
6876	8.5	18 46 17.43	+2.8022	+0.0005	+11 38 58.9	+4.023	+0.399	83.8 81.8	117δ(½) 184 786 787	11 3642
6877	6.8[6]	46 18.16	2.7501	0.0006	13 49 2.9	4.024	0.391	70.5	190 210	13 3787
6878	9.2	46 22.22	2.7928	0.0005	12 2 40.4	4.030	0.397	82.0	206 R	[12 3692]
6879[7]	8.8	46 22.92	2.7728	0.0006	12 52 50.4	4.031	0.394	70.1	129 208	12 3693
6880	8.0[8]	46 30.66	2.7861	0.0005	12 19 28.5	4.042	0.396	81.8	134(½) 199 789 790	12 3694
6881	6.7[9]	18 46 36.47	+2.7364	+0.0007	+14 23 14.2	+4.050	+0.389	77.2	188 212 791	14 3680
6882[10]	9.5	46 37.41	2.7364	0.0007	14 23 12.8	4.051	0.389	92.0	791 R	
6883	8.2	46 51.35	2.7494	0.0006	13 51 13.2	4.072	0.391	70.5	188 190 210 212	13 3795
6884	8.4	46 52.05	2.8391	0.0003	10 5 46.6	4.073	0.404	81.4	6 Beob.	10 3706
6885	9.1	46 52.40	2.7364	0.0007	14 23 15.9	4.073	0.389	92.6	788 R	14 3684
*6886	10.1	18 46 57.18	+2.7842	+0.0005	+12 24 39.3	+4.080	+0.396	92.6	789 R	— —
*6887	8.7	46 57.24	2.7841	0.0005	12 24 55.9	4.080	0.396	81.8	134(½) 199 789 790	12 3696
6888	9.0	47 0.96	2.7935	0.0005	12 1 17.5	4.085	0.397	70.1	132 206	11 3647
6889	9.0	47 1.12	2.7487	0.0006	13 53 2.8	4.085	0.391	90.6	791 793	13 3797
6890	8.7	47 1.80	2.8014	0.0005	11 41 29.8	4.086	0.398	70.1	132 206	11 3648
*6891	8.9	18 47 10.69	+2.8067	+0.0004	+11 28 14.1	+4.099	+0.399	83.8 81.8	117δ(½) 184 786 787	11 3651
6892	8.2	47 18.85*	2.8408	0.0003	10 1 40.8	4.111	0.404	81.5	6 Beob.	10 3709
6893	9.1	47 32.96	2.7185	0.0007	15 7 42.6	4.131	0.386	70.5	186 214	[15 3607]
6894	8.8	47 33.74	2.7389	0.0006	14 17 44.2	4.132	0.389	90.6	788 794	14 3691
6895	9.0	47 39.19	2.7408	0.0006	14 12 57.3	4.140	0.389	87.7	188 R(3)	[14 3692]
6896	8.3	18 47 48.87	+2.7732	+0.0005	+12 52 33.1	+4.154	+0.394	70.1	129 208	12 3701
6897	8.9	47 53.90	2.7190	0.0007	15 6 45.2	4.161	0.386	70.5	186 214	[15 3609]
6898	8.9	47 54.59	2.8370	0.0003	10 11 56.4	4.162	0.403	85.1	511 570	[10 3715]
6899	8.7	47 56.99	2.8046	0.0004	11 33 54.2	4.165	0.398	70.1	132 206	11 3652
6900	8.5[11]	47 57.80	2.7740	0.0005	12 50 39.8	4.166	0.394	70.1	129 208	12 3707

[1] 11m praec. 1s.5 15″B.; 12m praec. 3s.5 2″A.; 12m praec. 5s.5 5″A. [2] 8.0 7.7 7.2 6.7 [3] 8.6 7.0 8.8 8.2; 9m.6 praec. 2s.7 33″B. [4] Dpl. 7.2 7.7; med. [5] Dpl. med. [6] BD 5.9 [7] 9m.1 seq. 3s.9 27″B. [8] 8.6 8.4 7.0 8.0 [9] 6.7 7.5 6.0 [10] 10m seq. 4s.0 in par.; 10m seq. 5s.0 40″A. [11] BD 7.8

Nr.	Gr.	A.R. 1875	Praec.	Var. saec.	Decl. 1875	Praec.	Var. saec.	Ep.	Zonen	B.D.
6901	8.9	18h 48m 5s.59	+2s.8104	+0s.0004	+11° 19' 20".9	+4".177	+0".399	83.8 81.8	117δ(½) 184 786 787	11° 3653
6902	8.7	48 8.59	2.8239	0.0003	10 45 7.9	4.182	0.401	69.0	49 126	10 3718
6903	8.4	48 17.11	2.7193	0.0007	15 6 21.2	4.194	0.386	70.5	186 214	15 3612
6904	8.6[1]	48 23.83	2.7727	0.0005	12 54 24.6	4.203	0.393	70.1	129 208	12 3711
6905	8.0[2]	48 27.08	2.7256	0.0007	14 51 9.2	4.208	0.387	70.5	186 214	14 3699
6906	7.2	18 48 28.62	+2.8264	+0.0003	+10 39 9.6	+4.210	+0.401	69.0	49 126	10 3720
6907	8.2	48 35.17	2.8305	0.0003	10 28 39.8	4.220	0.402	68.5	48 51	10 3721
6908	7.6[3]	48 36.33	2.7648	0.0005	13 14 6.5	4.221	0.392	70.5	190 210	13 3807
*6909	8.7[4]	48 39.58	2.8107	0.0004	11 18 51.5	4.226	0.399	83.8 81.8	117δ(½) 184 786 787	11 3656
6910	8.3	48 41.70	2.7968	0.0004	11 54 9.6	4.229	0.397	70.1	132 206	11 3658
6911	8.7	18 48 42.56	+2.8042	+0.0004	+11 35 33.8	+4.230	+0.398	83.9	206 786 787	11 3659
6912	6.6	49 8.50	2.7177	0.0007	15 11 11.7	4.267	0.385	90.5	784 788	15 3615
6913	8.9	49 14.17	2.7685	0.0005	13 5 24.7	4.275	0.393	70.1	129 208	13 3810
6914	8.9	49 24.60	2.7711	0.0005	12 59 1.3	4.290	0.393	70.1	129 208	12 3718
6915	9.8	49 30.66	2.7409	0.0006	14 14 9.0	4.299	0.388	87.7	212 R(3)	[14 3707]
6916	8.7	18 49 34.29	+2.8281	+0.0003	+10 35 22.5	+4.304	+0.401	69.0	49 126	10 3727
6917	9.3	49 40.33	2.7622	0.0005	13 21 21.9	4.313	0.392	90.5	784 788	} 13 3812
6918	8.8	49 41.08	2.7621	0.0005	13 21 37.9	4.314	0.391	90.5	784 788	
6919	7.3[5]	49 42.20	2.7693	0.0005	13 3 49.5	4.315	0.392	70.3	129 190 208 210	13 3813
6920	9.0	49 46.43	2.7545	0.0005	13 40 49.4	4.321	0.390	70.5	190 210	13 3814
6921	6.8	18 49 47.19	+2.7412	+0.0006	+14 13 38.4	+4.322	+0.388	70.5	188 212	14 3709
*6922	8.8	49 56.55	2.7769	0.0005	12 44 57.5	4.336	0.393	70.1	129 208	12 3722
6923	8.9	50 1.25	2.7430	0.0006	14 9 32.2	4.342	0.389	70.5	188 212	14 3710
6924	8.7	50 15.62	2.7602	0.0005	13 27 1.0	4.363	0.391	70.5	190 210	13 3816
6925	8.6	50 24.65	2.7407	0.0006	14 15 23.8	4.375	0.388	70.5	188 212	14 3713
6926	8.7	18 51 19.18	+2.7578	+0.0005	+13 33 39.9	+4.453	+0.390	70.5	190 210	13 3823
6927	8.5	51 22.63	2.8316	0.0002	10 27 35.6	4.458	0.401	68.5	48 51	10 3741
6928	9.1	51 25.50	2.7992	0.0003	11 49 54.9	4.462	0.396	82.0	206 R	[11 3677]
6929	7.7[6]	51 26.61	2.7663	0.0005	13 12 31.1	4.464	0.391	70.5	190 210	13 3826
6930	8.1[7]	51 29.98	2.7311	0.0006	14 40 7.8	4.469	0.386	70.5	186 214	14 3719
6931	8.9	18 51 30.18	+2.7273	+0.0006	+14 49 28.4	+4.469	+0.386	70.5	186 214	14 3718
6932	8.7	51 34.61	2.7689	0.0004	13 6 5.8	4.475	0.392	70.1	129 208	13 3827
6933	8.9	51 41.74*	2.7415	0.0005	14 14 24.2	4.485	0.388	87.7	212 R(3)	[14 3720]
6934	9.2	52 0.32	2.7422	0.0005	14 13 6.1	4.511	0.388	88.9	212 R(4)	[14 3724]
6935	8.8	52 16.90	2.7643	0.0004	13 18 10.5	4.535	0.391	70.5	190 210	13 3832
6936	8.3[8]	18 52 18.03	+2.7987	+0.0003	+11 51 41.6	+4.537	+0.395	70.1	132 206	11 3681
6937	8.8	52 24.57	2.7220	0.0006	15 3 20.3	4.546	0.385	70.5	186 214	15 3636
6938[9]	9.1	52 42.80	2.7835	0.0004	12 30 25.1	4.572	0.393	83.9	199 789 790	12 3741
6939	8.7[10]	52 49.61	2.7430	0.0005	14 11 45.9	4.582	0.387	70.5	188 212	14 3729
*6940	8.7	52 50.30	2.7831	0.0004	12 31 26.5	4.583	0.393	70.1	129 134(½) 199 208	12 3742
*6941	8.9	18 52 52.74	+2.7201	+0.0006	+15 8 22.8	+4.586	+0.384	70.5	186 214	15 3640
6942	6.3	53 2.67	2.7540	0.0005	13 44 24.3	4.600	0.389	70.5	188 212	13 3838
6943	8.9	53 15.98	2.7584	0.0004	13 33 47.5	4.619	0.389	70.5	190 210	13 3840
*6944	5.8	53 20.42	2.7609	0.0004	13 27 27.2	4.625	0.390	70.5	188 212	13 3841
6945	8.3[11]	53 31.73	2.7247	0.0005	14 57 36.7	4.641	0.384	70.5	186 214	14 3733
6946	8.9	18 53 52.10	+2.8137	+0.0002	+11 14 47.4	+4.670	+0.397	83.8 81.8	117δ(½) 184 786 787	11 3687
6947	8.6	53 52.35	2.7984	0.0003	11 53 32.4	4.671	0.395	83.9	206 786 787	11 3688
6948	**4.0**	**53 56.98**	**2.7263**	**0.0005**	**14 53 59.9**	**4.677**	**0.385**		**Fund. Cat.**	**14 3736**
6949	7.7	53 59.29	2.8131	0.0002	11 16 23.3	4.681	0.397	83.8 81.8	117δ(½) 184 786 787	11 3689
6950	8.8	53 59.61	2.7699	0.0004	13 5 37.3	4.681	0.391	70.5	190 210	13 3850

[1] BD 8.0 [2] BD 7.1 [3] BD 6.7 [4] Röthlich [5] BD 6.5 [6] BD 6.8 [7] BD 7.3; Schätz. 8.0 8.2
[8] BD 7.7; nur Z. 206 [9] 9m.6 praec. 6s.0 55"A. [10] Z. 212 roth [11] BD 7.7

Nr.	Gr.	A.R. 1875	Praec.	Var. saec.	Decl. 1875	Praec.	Var. saec.	Ep.	Zonen	B.D.
6951	8.8	18^h 54^m $3^s.58$	+2ˢ.7250	+0ˢ.0005	+14° 57′ 25″.8	+4″.687	+0″.384	70.5	186 214	14° 3737
6952	7.4[1]	54 4.92	2.7926	0.0003	12 8 25.6	4.689	0.394	81.8	134(½) 199 789 790	12 3749
6953	8.9	54 5.99	2.8381	0.0001	10 12 42.7	4.690	0.400	85.1	511 570	[10 3754]
6954	9.1[2]	54 10.24	2.7789	0.0003	12 43 4.2	4.696	0.392	90.5	789 790	{12 3750
6955	7.1[3]	54 11.42	2.7789	0.0003	12 43 7.9	4.698	0.392	80.0	129 789	
6956	8.7[4]	18 54 15.16	+2.7303	+0.0005	+14 44 22.9	+4.703	+0.385	70.6	186 230	14 3739
6957	8.8	54 15.48	2.7593	0.0004	13 32 10.9*	4.704	0.389	77.2	6 Beob.	13 3851
6958	9.0	54 16.31	2.7595	0.0004	13 31 55.7	4.705	0.389	90.5	784 788	13 3852
6959	8.7[5]	54 21.80	2.7341	0.0005	14 35 2.0	4.712	0.386	90.5	788 791	14 3740
6960	8.6	54 25.91	2.7486	0.0004	13 59 11.0	4.718	0.387	70.5	188 212	13 3853
6961	8.9	18 54 26.17	+2.7752	+0.0003	+12 52 31.1*	+4.719	+0.391	76.1	134(½) 199 208 789	12 3751
6962	8.6	54* 33.96	2.7749	0.0003	12 53 23.3	4.730	0.391	70.1	129 134(½) 199 210	12 3752
6963	8.8	54 35.73	2.7199	0.0005	15 10 27.6	4.732	0.383	70.6	186 214 230	15 3651
6964	8.2	54 45.03	2.7949	0.0003	12 3 10.6	4.745	0.394	80.6	206 790	12 3754
6965	8.8	54 48.43	2.7708	0.0005	13 3 51.5	4.750	0.391	70.5	190 210	13 3858
6966	8.9	18 54 48.79	+2.8063	+0.0002	+11 34 14.1	+4.751	+0.396	80.5 78.3	117δ(½) 184 786	11 3691
6967	8.9	54 51.05	2.7858	0.0003	12 26 13.4	4.754	0.393	80.3	129 210 790 791	12 3756
6968	8.1	54 52.51	2.7362	0.0005	14 30 23.7	4.756	0.386	80.5	188 212 784 788	14 3744
6969	8.0	55 6.92	2.7395	0.0005	14 22 21.5	4.776	0.386	70.5	188 212	14 3745
6970	9.4	55 8.14	2.8020	0.0002	11 45 19.8	4.778	0.395	81.5	132 R	[11 3694]
6971	8.5	18 55 8.58	+2.7215	+0.0005	+15 7 5.0	+4.779	+0.383	70.6	186 214 230	15 3653
6972	8.7	55 31.60	2.8098	0.0002	11 25 51.6	4.811	0.396	83.8 81.8	117δ(½) 184 787 794	11 3697
6973	8.3	55 31.90	2.8020	0.0002	11 45 39.6	4.812	0.395	83.9	206 791 793	11 3699
6974	8.5	55 32.63	2.7858	0.0003	12 26 44.5	4.813	0.392	76.1	134(½) 199 208 793	12 3767
6975	8.5	55 39.32	2.7761	0.0003	12 51 17.2	4.822	0.391	83.6	129 789 790	12 3768
6976	8.7	18 55 42.06	+2.8103	+0.0002	+11 24 49.2	+4.826	+0.396	86.5 85.0	6 Beob.	11 3703
6977	8.8	55 50.03	2.7861	0.0003	12 26 4.6	4.837	0.392	81.8	134(½) 199 791 793	12 3769
6978	9.0	55 51.23	2.7216	0.0005	15 7 27.7	4.839	0.383	82.0	214 R	[15 3659]
6979	8.7	55 52.23	2.7546	0.0004	13 45 22.6	4.840	0.388	70.5	190 210	13 3864
6980	7.6[6]	55 56.29	2.8135	0.0002	11 16 42.3	4.846	0.396	83.9 81.8	117δ(½) 184 791 794	11 3704
*6981	7.0	18 56 0.15	+2.7879	+0.0003	+12 21 50.0	+4.852	+0.392	70.1	129 208	12 3770
6982	8.6	56 9.20	2.8300	0.0001	10 34 49.3	4.865	0.398	69.0	49 126	10 3761
6983	8.9	56 12.41	2.7903	0.0002	12 15 47.4	4.869	0.393	81.8	134(½) 199 789 790	12 3771
6984	7.8	56 19.79	2.8252	0.0001	10 47 8.2	4.880	0.398	69.0	49 126	10 3762
6985	7.7	56 22.02	2.7429	0.0004	14 15 6.6	4.883	0.386	70.5	188 212	14 3750
6986	8.7	18 56 24.43	+2.7671	+0.0003	+13 14 38.5	+4.886	+0.389	70.5	190 210	13 3870
6987	9.1	56 35.37	2.7876	0.0002	12 23 6.5	4.902	0.392	70.1	129 208	12 3774
6988	8.6	56 40.53	2.7627	0.0003	13 25 50.6	4.909	0.389	70.5	190 210	13 3871
6989	7.8	56 54.10	2.7398	0.0004	14 23 14.3	4.928	0.385	70.6	186 214 228	14 3755
6990	8.8	56 58.17	2.7586	0.0003	13 36 27.5	4.934	0.388	70.5	188 212	13 3874
6991	9.3	18 56 59.87	+2.7378	+0.0004	+14 28 22.1	+4.936	+0.385	90.5	784 788	14 3756
6992	9.0	57 1.71	2.7599	0.0003	13 33 13.8	4.939	0.388	70.5	190 210	13 3875
6993	8.5	57 3.51	2.8372	0.0000	10 17 0.0	4.941	0.399	74.2	48 51 573	10 3768
6994	8.9	57 14.01	2.7722	0.0003	13 2 19.0	4.956	0.390	70.1	129 208	13 3877
6995	8.7	57 14.13*	2.7865	0.0002	12 26 20.7	4.956	0.392	81.8	134(½) 199 789 790	12 3779
6996	8.5	18 57 20.58	+2.7952	+0.0002	+12 4 18.9	+4.965	+0.393	70.1	132 206	12 3780
6997	8.7	57 21.64	2.7854	0.0002	12 29 6.1	4.967	0.391	70.1	129 212	12 3781
6998	9.0	57 27.60	2.7616	0.0003	13 29 15.2	4.976	0.388	83.9	210 784 788	13 3880
6999	9.0	57 32.29	2.7256	0.0005	14 59 5.1	4.982	0.383	82.0	186 R	[14 3759]
7000	8.8	57 34.70	2.7521	0.0004	13 53 12.9	4.985	0.387	70.5	188 212	13 3881

[1] 8.0 7.8 6.7 7.0; röthlich [2] Bläulich [3] Röthlich [4] BD 8.2 [5] BD 9.2 [6] 8.2 8.4 6.8 7.0

Nr.	Gr.	A.R. 1875	Praec.	Var. saec.	Decl. 1875	Praec.	Var. saec.	Ep.	Zonen	B.D.
*7001	9.0	18h 57m 35s.38	+2s.7255	+0s.0005	+14° 59' 17".3	+4".986	+0".383	70.6	186 214 228	14° 3760
7002	8.6	57 38.86	2.8357	0.0000	10 21 3.1	4.991	0.399	68.5	48 51	10 3769
7003	9.2	57 44.47	2.7598	+0.0003	13 34 4.8	4.999	0.388	70.5	190 212	[13 3884]
7004	8.2	57 59.61	2.7838	+0.0002	12 33 48.9	5.020	0.391	81.8	134(½) 199 789 790	12 3784
7005	8.8	58 0.12	2.7615	+0.0003	13 29 52.8	5.021	0.388	70.5	190 210	13 3887
7006	8.4	18 58 0.39	+2.8283	0.0000	+10 40 23.9	+5.022	+0.397	69.0	49 126	10 3773
7007	7.4	58 7.90	2.8179	+0.0001	11 7 12.0	5.032	0.396	80.3	132 206 786 787	11 3713
*7008	8.8	58 15.29	2.8225	+0.0001	10 55 23.8	5.043	0.396	69.0	49 126	10 3774
7009	8.5	58 16.36	2.7454	+0.0004	14 10 28.5	5.044	0.385	80.5	188 212 784 788	14 3766
7010[1]	8.7	58 18.05	2.7379	+0.0004	14 29 15.4	5.046	0.384	80.5	188 212 784 788	14 3767
*7011	8.8	18 58 22.02	+2.7352	+0.0004	+14 36 1.0	+5.052	+0.384	70.6	186 228	14 3768
7012	8.7	58 26.69	2.7836	+0.0002	12 34 31.6	5.059	0.391	70.1	129 208	12 3787
7013	8.7	58 27.32	2.7799	+0.0002	12 43 53.2	5.060	0.391	70.1	129 208	12 3788
7014	8.1[2]	58 27.34	2.7276	+0.0004	14 55 0.8	5.060	0.383	70.6	186 214 228	14 3771
7015	7.7[3]	58 35.53	2.7781	+0.0002	12 48 45.4*	5.071	0.390	80.3	129 208 789 790	12 3790
7016	9.1	18 58 41.75	+2.8381	0.0000	+10 15 34.5	+5.080	+0.398	68.5	48 51	[10 3776]
7017	8.9	58 46.12	2.7969	+0.0001	12 1 3.6	5.086	0.392	82.0	206 R	[11 3719]
7018	8.9	58 55.85	2.8115	+0.0001	11 24 5.8	5.100	0.394	81.9 79.5	117δ(½) 184 R	[11 3721]
7019	8.8	58 56.14	2.7523	+0.0003	13 53 53.9	5.100	0.386	70.5	188 212	13 3893
7020	8.8	59 5.77	2.8298	0.0000	10 37 14.8	5.114	0.397	69.0	49 126	10 3780
7021	8.7	18 59 16.84	+2.8390	0.0000	+10 13 48.1	+5.130	+0.398	77.1	48 51 575 583	10 3782
7022	8.4	59 20.01	2.8294	0.0000	10 38 30.4	5.134	0.397	69.0	49 126	10 3783
7023	8.9	59 25.18	2.7876	+0.0002	12 25 22.5	5.141	0.391	81.8	134(½) 199 789 790	12 3796
7024	9.0	59 28.44	2.7967	+0.0001	12 2 6.0	5.146	0.392	82.0	206 R	[12 3797]
7025	9.2	59 35.71	2.7979	+0.0001	11 59 16.7	5.156	0.392	81.5	132 R	11 3725
7026	8.3[4]	18 59 37.37	+2.8192	0.0000	+11 4 56.2	+5.159	+0.395	69.0	49 126	11 3727
7027	**3.0**	**59 39.90**	**2.7578**	**+0.0003**	**13 40 44.6**	**5.162**	**0.386**		**Fund. Cat.**	**13 3899**
7028	8.6	59 43.11	2.8105	+0.0001	11 27 8.8	5.166	0.394	83.8 81.8	117δ(½) 184 786 787	11 3728
7029	7.7	59 58.44	2.7973	+0.0001	12 1 7.3	5.188	0.392	70.1	132 206	11 3732
7030	9.0	59 58.57	2.7405	+0.0003	14 24 18.7	5.188	0.384	70.5	188 212	14 3778
7031	8.7	19 0 1.08	+2.8209	0.0000	+11 0 43.1	+5.192	+0.395	69.0	49 126	10 3784
7032	8.8	0 5.59	2.7582	+0.0003	13 40 9.2	5.198	0.386	80.5	188 212 784 788	13 3902
7033	8.9	0 22.98	2.7262	+0.0004	15 0 19.4	5.223	0.382	70.6	186 214 228	14 3782
7034	8.8	0 29.28	2.8009	+0.0001	11 52 27.6	5.232	0.392	83.8 81.8	117δ(½) 184 786 787	11 3733
7035	8.8	0 30.57	2.8410	−0.0001	10 9 31.5	5.234	0.398	77.1	48 51 577 585	10 3785
7036	8.7	19 0 34.34	+2.7588	+0.0003	+13 39 4.7	+5.239	+0.386	70.8	188 212 225 287	13 3903
7037	8.4	0 42.36	2.7627	+0.0002	13 29 19.9	5.250	0.387	70.5	190 210	13 3905
7038	9.5	0 42.58	2.7883	+0.0001	12 24 30.3	5.250	0.390	82.0	199 R	[12 3806]
7039	8.9	0 43.71	2.7562	+0.0003	13 45 52.4	5.252	0.386	70.5	188 212	13 3906
7040	9.0	0 46.69	2.8130	0.0000	11 21 47.1	5.256	0.394	83.8 81.8	117δ(½) 184 786 787	11 3735
7041	8.7	19 1 1.68	+2.7660	+0.0002	+13 21 20.2	+5.277	+0.387	70.3	129 194 208 223	13 3909
7042	5.0[5]	1 5.58	2.8243	0.0000	10 52 48.8	5.283	0.395	69.0	49 126	10 3787
7043	8.7[6]	1 10.48	2.7886	+0.0001	12 24 11.8	5.290	0.390	70.4	134(½) 192 199 222	12 3809
7044	8.6	1 14.74	2.8113	0.0000	11 26 22.1	5.296	0.393	70.3 70.2	5 Beob.	11 3739
7045	9.0	1 19.50	2.8018	+0.0001	11 50 44.0*	5.302	0.392	78.3	5 Beob.	11 3740
7046	8.7	19 1 20.24	+2.7704	+0.0002	+13 10 27.2	+5.303	+0.387	70.3	129 194 208 223	13 3912
7047	8.5	1 30.49	2.8120	0.0000	11 24 45.0	5.318	0.393	70.3 70.2	5 Beob.	11 3741
7048	9.1	1 36.31	2.8107	0.0000	11 28 5.7	5.326	0.393	80.5	184 202 785 794	11 3743
7049	8.2	1 36.53	2.7881	+0.0001	12 25 50.3*	5.326	0.390	70.2	5 Beob.	12 3811
7050	8.8	1 54.61	2.7593	+0.0002	13 39 4.9	5.352	0.385	86.6	5 Beob.	13 3914

[1] 9m.3 seq. 6s.5 3"A. [2] BD 7.6 [3] 8.2 8.3 7.0 7.2 [4] BD 7.5 [5] 5.5 4.5 [6] 9.0 9.0 8.0 9.0

Nr.	Gr.	A.R. 1875	Praec.	Var. saec.	Decl. 1875	Praec.	Var. saec.	Ep.	Zonen	B. D.
7051	8.7	19h 1m 57s.26	+2s.7756	+0s.0002	+12° 57' 48".6	+5".355	+0".388	70.6	192 222	12° 3813
7052	8.6	2 7.64	2.7397	+0.0003	14 28 35.4	5.370	0.383	71.1	226 288	14 3790
7053	8.9	2 16.37	2.8395	−0.0001	10 14 41.3	5.382	0.397	85.4	511 570 577 585	[10 3793]
7054	7.9	2 24.84	2.7972	0.0000	12 3 17.0	5.394	0.391	70.3	132 206 216	12 3818
7055	9.1	2 27.01	2.8025	0.0000	11 49 57.2	5.397	0.391	81.7	124 R	[11 3746]
7056	8.5	19 2 28.84	+2.8410	−0.0001	+10 11 1.5	+5.400	+0.397	77.3	8 Beob.	10 3794
7057	8.7	2 35.71	2.7240	+0.0004	15 8 13.5	5.410	0.380	71.1	228 289	15 3701
7058	8.4	2 36.87	2.7316	+0.0003	14 49 8.5	5.411	0.381	71.1	226 288	14 3795
7059	7.9[1]	2 37.32	2.7773	+0.0001	12 54 7.4	5.412	0.388	70.6	192 222	12 3819
7060	9.0	2 45.06	2.8405	−0.0002	10 12 30.1	5.423	0.396	85.4	511 570 577 585	[10 3796]
7061	7.9[2]	19 2 52.17	+2.7457	+0.0003	+14 14 18.9	+5.433	+0.383	71.1	225 287	14 3797
7062	8.9	2 52.42	2.7753	+0.0001	12 59 31.7	5.433	0.387	70.6	192 222	12 3820
7063	7.1[3]	3 5.74	2.8199	−0.0001	11 5 46.3	5.452	0.393	70.5	184 202	11 3749
7064	9.5[4]	3 8.30	2.8242	−0.0001	10 54 49.4	5.455	0.394	81.6	122 R	[10 3799]
7065	7.8[5]	3 17.30	2.7377	+0.0003	14 34 49.6	5.468	0.382	71.1	226 288	14 3802
7066	8.6	19 3 21.46	+2.8373	−0.0002	+10 21 14.2	+5.474	+0.396	70.0	120 196	10 3800
7067	8.8	3 22.02	2.8134	0.0000	11 22 49.0	5.474	0.392	70.0	124 206	11 3750
7068	8.4	3 22.40	2.8066	0.0000	11 40 8.8	5.475	0.391	70.6	194 204 206 223	11 3751
7069	7.9[6]	3 26.44	2.8445	−0.0002	10 2 31.8*	5.481	0.397	77.5	120 196 511 570	10 3801
7070	7.7	3 26.82	2.8123	0.0000	11 25 41.9	5.481	0.392	70.3	124 184 202 204	11 3752
7071	8.7	19 3 28.47	+2.8227	−0.0001	+10 58 48.7	+5.483	+0.394	70.5	184 202	10 3802
7072	7.9[7]	3 40.79	2.8243	−0.0001	10 54 55.9	5.501	0.394	76.4	5 Beob.	10 3803
7073	8.9	3 42.99	2.7364	+0.0003	14 38 19.0	5.504	0.381	71.1	228 289	14 3805
7074	9.0[8]	3 44.50	2.8254	−0.0001	10 52 7.7	5.506	0.394	77.8	122 198 577 585	10 3804
7075	8.9	3 52.56	2.7390	+0.0003	14 32 11.0	5.517	0.382	82.8	5 Beob.	14 3807
7076	9.0	19 3 55.84	+2.7376	+0.0003	+14 35 41.2	+5.522	+0.381	71.1	226 288	14 3808
7077	8.5	3 58.25	2.7987	0.0000	12 1 3.0*	5.525	0.390	85.6	216 785 792 794	11 3756
7078	8.9	4 7.91	2.8296	−0.0001	10 41 39.0	5.539	0.394	90.5	782 783 793	10 3807
7079	8.7	4 13.07	2.7336	+0.0003	14 45 58.3	5.546	0.381	80.8	228 289 782 783	14 3811
7080	8.9	4 13.47	2.7927	0.0000	12 16 23.9	5.547	0.389	70.6	192 222	12 3832
7081	8.6	19 4 19.25	+2.8297	−0.0001	+10 41 35.1[9]	+5.555	+0.394	75.3 76.8	122 198 202 783	10 3808
7082	8.7	4 37.05	2.7964	0.0000	12 7 15.5	5.580	0.389	80.4	128 216 792 795	12 3834
7083	8.9	4 40.08	2.8001	0.0000	11 57 53.4	5.584	0.390	70.4	5 Beob.	11 3758
7084	7.7[10]	4 54.42	2.8426	−0.0002	10 8 35.4	5.604	0.396	79.4	5 Beob.	10 3813
7085	8.7	5 11.41	2.7675	+0.0001	13 21 26.5	5.628	0.385	70.6	194 223	13 3929
7086	9.0	19 5 28.75	+2.7957	0.0000	+12 10 3.9	+5.652	+0.389	84.0	216 792 795	12 3839
7087	8.8	5 33.44	2.8155	−0.0001	11 19 5.5	5.658	0.391	80.5	184 202 792 794	11 3761
7088	9.0	5 34.05	2.8055	0.0000	11 44 58.3	5.659	0.390	70.5	204 206	11 3762
7089	9.0	5 36.13	2.8412	−0.0002	10 12 45.3	5.662	0.395	77.5	120 196 511 570	10 3817
7090	8.2	5 36.20	2.8301	−0.0002	10 41 28.2	5.662	0.393	85.3	122 782 783 793	10 3818
7091	8.9	19 5 36.39	+2.7954	0.0000	+12 10 45.3	+5.663	+0.389	82.2	216 R	[12 3841]
7092	8.0	5 48.71	2.8045	−0.0001	11 47 35.5	5.680	0.390	70.5	204 206	11 3763
7093	8.4	5 53.28	2.7381	+0.0002	14 36 23.7	5.686	0.380	71.1	226 288	14 3818
7094	8.4[11]	5 59.28	2.7842	0.0000	12 39 53.7	5.695	0.387	70.6	192 222	12 3845
7095	8.9	5 59.89	2.8197	−0.0001	11 8 40.8	5.695	0.392	80.5	184 202 794 795	11 3764
7096	8.6	19 6 2.69	+2.7597	+0.0001	+13 42 12.2	+5.700	+0.383	70.1	225 287	13 3937
*7097	8.3[12]	6 6.37	2.7625	+0.0001	13 35 8.2	5.705	0.384	71.2	225 287 288	13 3939
7098	8.9	6 8.84	2.7698	+0.0001	13 16 44.6	5.708	0.385	70.6	194 223	13 3941
7099	8.4	6 10.39	2.7437	+0.0002	14 22 33.5	5.710	0.381	71.1	226 288	14 3822
7100	8.4[13]	6 12.38	2.8166	−0.0001	11 16 48.7	5.713	0.391	70.0	128 202	11 3766

[1] BD 6.8 [2] BD 6.8 [3] BD 6.6 [4] 9.0 10.0 [5] BD 7.2 [6] 8.2 8.5 7.8 7.0, Z. 570 gelb; BD 7.2
[7] 7.7 7.3 8.1 8.2 8.4 [8] 8.8 9.6 8.9 8.7 [9] 35".0 [39".3] 35".8 34".5 [10] 8.3 8.0 7.6 7.2 7.5; Z. 570 gelb
[11] 8.9 8.0; BD 9.0 [12] 8.9 7.5 8.6 [13] BD 7.8

Nr.	Gr.	A.R. 1875	Praec.	Var. saec.	Decl. 1875	Praec.	Var. saec.	Ep.	Zonen	B.D.
7101	8.6	19ʰ 6ᵐ 17ˢ.57	+2ˢ.7594	+0ˢ.0001	+13° 43′ 15″.1	+5″.720	+0″.383	71.1	225 287	13° 3942
7102	8.9	6 18.59	2.8031	−0.0001	11 51 47.9	5.722	0.389	70.6	204 206 216	11 3768
7103	9.0[1]	6 25.74	2.8064	−0.0001	11 43 26.5	5.732	0.390	81.7	124 R	[11 3769]
7104	8.7	6 28.46	2.8438	−0.0003	10 6 40.4	5.736	0.395	80.6	6 Beob.	10 3825
7105	9.0[2]	6 35.96	2.8059	−0.0001	11 44 41.2	5.746	0.389	81.7	124 R	[11 3770]
7106	8.6	19 6 41.95	+2.7881	0.0000	+12 30 37.6	+5.754	+0.387	84.0	222 792 795	12 3849
7107	8.6	6 46.79	2.8036	−0.0001	11 50 51.1	5.761	0.389	70.6	204 206 216	11 3771
7108	9.0	6 47.99	2.7842	0.0000	12 40 28.7	5.763	0.386	70.6	192 222	12 3851
7109	9.0	6 49.10	2.8272	−0.0002	10 50 6.2	5.764	0.392	82.9	6 Beob.	10 3827
7110	8.3	6 55.60	2.7725	+0.0001	13 10 29.6	5.773	0.385	70.6	194 223	13 3949
7111	9.2	19 7 4.98	+2.7359	+0.0002	+14 43 16.7	+5.786	+0.379	82.6	288 R	[14 3827]
7112	8.5[3]	7 19.00	2.8046	−0.0001	11 48 46.6	5.806	0.389	70.3	124 204 216	11 3774
7113	7.7[4]	7 31.58	2.8205	−0.0002	11 8 6.3	5.824	0.391	70.0	128 202	11 3775
7114	7.4[5]	7 33.73	2.7337	+0.0002	14 49 30.8	5.827	0.379	71.1	228 289	14 3829
7115	8.1[6]	7 35.81	2.7359	+0.0002	14 43 54.2	5.830	0.379	71.1	226 288	14 3830
7116	8.4[7]	19 7 38.99	+2.7436	+0.0002	+14 24 27.2	+5.834	+0.380	71.1	225 287	14 3831
7117	8.9	7 48.88	2.8289	−0.0003	10 46 21.8	5.848	0.392	85.7	577 585	[10 3833]
7118	8.3	8 8.08	2.8369	−0.0003	10 26 1.8	5.875	0.393	82.3	5 Beob.	10 3835
7119	8.6[8]	8 14.13	2.8411	−0.0002	10 14 55.1	5.883	0.394	77.5	120 196 511 570	10 3836
7120	8.9	8 21.56	2.7690	0.0000	13 21 1.1	5.893	0.383	70.6	194 223	13 3956
7121	7.6[9]	19 8 26.79	+2.8123	−0.0002	+11 29 58.1	+5.901	+0.389	70.0	128 202	11 3778
7122	9.0	8 30.43	2.8274	−0.0002	10 50 47.0	5.906	0.391	70.0	122 198	10 3837
7123	8.6[10]	8 37.73	2.8391	−0.0003	10 20 28.4	5.916	0.393	75.2	120 196 577	10 3838
7124	8.3	8 51.12	2.7264	+0.0002	15 9 16.8	5.935	0.377	71.1	228 289	15 3739
*7125	9.0	8 51.56	2.7368	+0.0002	14 43 2.7	5.935	0.379	71.1	226 288	[14 3841]
7126	8.0	19 9 2.81	+2.8427	−0.0003	+10 11 39.6	+5.951	+0.393	82.0	8 Beob.	10 3839
7127	8.3[11]	9 7.47	2.7374	+0.0002	14 41 55.2	5.958	0.379	82.8	5 Beob.	14 3843
7128	8.8	9 15.21	2.8389	−0.0003	10 21 32.6	5.968	0.393	87.7	577 585 820	[10 3840]
7129	8.7	9 16.13	2.7432	+0.0001	14 27 23.5	5.970	0.379	71.1	225 287	14 3844
7130	8.8	9 29.81	2.7768	0.0000	13 2 1.4	5.988	0.384	70.6	194 223	13 3960
7131	8.1[12]	19 9 32.33	+2.7336	+0.0002	+14 51 58.9	+5.992	+0.378	71.0	226 228 289	14 3845
7132	6.2[13]	9 38.51	2.7336	+0.0002	14 52 2.0	6.001	0.378	71.0	226 228 289	14 3846
7133	8.6[14]	9 41.47	2.8163	−0.0002	11 20 37.8	6.005	0.389	70.0	128 202	11 3780
7134	9.0	9 44.58	2.7283	+0.0002	15 5 31.2	6.009	0.377	71.1	228 289	15 3746
7135	8.7	9 52.69	2.8100	−0.0002	11 37 12.5	6.020	0.388	70.0	124 204	11 3782
7136	8.6	19 10 6.86	+2.7305	+0.0002	+15 0 17.0	+6.040	+0.377	71.1	228 289	14 3849
7137	7.9	10 10.39	2.7805	0.0000	12 53 25.0	6.045	0.384	70.6	192 222	12 3861
7138	8.4	10 40.03	2.7574	+0.0001	13 52 48.5	6.086	0.381	71.1	225 287	13 3969
*7139	6.8[15]	10 43.37	2.7470	+0.0001	14 19 28.8	6.091	0.379	71.1	226 288	14 3852
7140	9.0	10 43.55	2.7802	−0.0001	12 54 47.9	6.091	0.384	70.6	192 216	12 3863
7141	8.9	19 10 48.86	+2.8146	−0.0002	+11 26 12.4	+6.098	+0.388	70.0	128 202	11 3786
7142	8.8	10 51.03	2.7452	+0.0001	14 23 59.2	6.102	0.379	71.1	226 288	14 3854
7143	8.3	10 52.34	2.8102	−0.0002	11 37 29.3	6.103	0.388	70.0	124 204	11 3787
7144[16]	8.3	10 52.78	2.8303	−0.0003	10 45 32.7	6.104	0.391	90.5	782 783 793	10 3849
7145	8.5	10 55.80	2.7279	+0.0002	15 7 46.3	6.108	0.376	71.1	228 289	15 3752
7146	8.5	19 11 11.06	+2.7807	−0.0001	+12 53 53.5	+6.129	+0.383	70.5	192 216 222	12 3867
7147	8.8	11 39.96	2.7555	0.0000	13 58 50.3	6.169	0.380	71.1	225 287	13 3974
7148	8.8	11 45.72*	2.8450	−0.0004	10 7 45.7	6.177	0.392	83.8	8 Beob.	10 3853
7149	9.0	11 49.95	2.8295	−0.0003	10 48 28.0	6.183	0.390	70.0	128 202	10 3854
7150	**5.6**	**11 56.96**	**2.8165**	**−0.0003**	**11 22 17.2**	**6.193**	**0.388**		**Fund. Cat.**	**11 3790**

[1] Nur Z. 124; BD 9.5 [2] Nur Z. 124; BD 9.5 [3] BD 7.7 [4] BD 6.9 [5] BD 6.5 [6] BD 7.5
[7] BD 7.5 [8] BD 8.1 [9] BD 7.0 [10] BD 8.0 [11] 8.7 8.7 8.2 8.4 7.7 [12] Z. 289 blau
[13] Z. 289 röthlich [14] BD 8.0 [15] BD 5.9 [16] 9ᵐ.3 praec. 1ˢ.5 80″B.

Nr.	Gr.	A.R. 1875	Praec.	Var. saec.	Decl. 1875	Praec.	Var. saec.	Ep.	Zonen	B.D.
7151	8.8	19h 12m 0s.53	+2s.7535	0s.0000	+14° 4' 14".6	+6".198	+0".379	71.1	225 287	14° 3859
7152	8.8	12 11.11	2.7962	−0.0002	12 15 8.3	6.213	0.395	84.0	216 792 795	12 3869
7153	8.3	12 14.21	2.8104	−0.0002	11 38 17.0	6.217	0.387	85.5	204 785 794 795	11 3792
7154	8.9	12 19.26	2.8166	−0.0003	11 22 17.4	6.224	0.388	70.0	128 202	11 3793
7155	8.5	12 32.11	2.8036	−0.0002	11 56 11.9	6.242	0.386	84.0	216 794 795	11 3794
7156	8.2	19 12 38.96	+2.7497	0.0000	+14 14 51.2	+6.251	+0.378	71.1	226 288	14 3862
7157	8.9	12 44.31	2.7588	0.0000	13 51 37.7	6.258	0.380	82.5	5 Beob.	13 3978
7158	8.4	12 51.78	2.8158	−0.0003	11 24 51.0	6.269	0.387	83.9	204 785 794	11 3795
7159	8.8	12 57.66	2.8327	−0.0004	10 41 4.1	6.277	0.390	70.0	122 198	10 3858
7160	8.7[1]	12 58.41	2.7828	−0.0001	12 50 32.5	6.278	0.383	70.6	192 222	12 3874
7161	9.0	19 13 12.95	+2.7867	−0.0001	+12 40 41.6	+6.298	+0.383	70.6	192 222	12 3876
7162	8.1[2]	13 32.32	2.7571	0.0000	13 56 57.8	6.325	0.379	71.1	225 287	13 3981
7163	8.4	13 33.30	2.7278	+0.0001	15 11 16.3	6.326	0.375	71.1	228 289	15 3769
7164	8.9	13 45.88	2.7545	0.0000	14 3 52.9	6.344	0.378	71.1	225 287	14 3865
7165	6.3[3]	13 49.39	2.7993	−0.0002	12 8 42.9	6.349	0.384	84.0	216 792 795	12 3879
7166	9.0	19 13 49.80	+2.7997	−0.0002	+12 7 43.4	+6.349	+0.384	84.0	216 792 795	12 3880
7167	8.1	13 56.42	2.7867	−0.0002	12 41 32.1	6.358	0.383	70.6	192 222	12 3881
7168	9.2	13 59.14	2.8034	−0.0002	11 58 14.8	6.362	0.385	83.9	216 785 794	11 3800
7169	6.8[4]	14 0.34	2.8188	−0.0003	11 18 17.2	6.364	0.387	70.0	128 202	11 3802
7170	7.8	14 0.70	2.8073	−0.0003	11 48 11.9	6.364	0.385	70.0	124 204	11 3801
7171	8.4	19 14 3.07	+2.8290	−0.0004	+10 51 46.4	+6.367	+0.388	70.0	122 198	10 3863
7172	8.7	14 6.07	2.7453	0.0000	14 27 36.3	6.372	0.377	71.1	226 288	14 3872
7173	8.7	14 7.23	2.7600	0.0000	13 50 6.5	6.373	0.379	71.1	225 287	13 3982
7174	9.0	14 18.57	2.8383	−0.0004	10 27 29.2	6.389	0.390	70.0	122 198	10 3865
7175	8.8	14 19.73	2.8441	−0.0005	10 12 13.9	6.391	0.390	77.8	120 196 571 573	10 3864
7176	8.6	19 14 22.02	+2.7467	0.0000	+14 24 25.7	+6.394	+0.377	71.1	228 289	14 3875
7177	8.2[5]	14 26.89	2.7585	0.0000	13 54 31.1	6.401	0.378	71.1	225 287	13 3985
7178	8.8	14 45.01	2.7827	−0.0001	12 52 37.3	6.425	0.382	70.6	192 222	12 3889
7179	8.5[6]	14 48.17	2.8393	−0.0005	10 25 21.3	6.430	0.389	75.2	120 196 577	10 3866
7180	8.7[7]	14 51.42	2.7522	0.0000	14 11 8.9	6.434	0.377	71.1	226 288	14 3879
7181	8.8	19 14 55.63	+2.8335	−0.0004	+10 40 41.7	+6.440	+0.388	70.0	122 198	10 3867
7182	8.2[8]	14 57.00	2.7522	0.0000	14 11 13.7	6.442	0.377	71.1	226 288	14 3881
7183	8.7	15 0.98	2.8101	−0.0003	11 41 54.0	6.447	0.385	70.0	124 204	11 3805
7184	8.7	15 4.50	2.7591	0.0000	13 53 36.2	6.453	0.378	71.1	225 287	13 3989
7185	8.8	15 5.92	2.8084	−0.0003	11 46 21.6	6.454	0.385	70.0	124 204	11 3807
7186	7.5[9]	19 15 7.34	+2.7720	−0.0001	+13 20 45.0	+6.456	+0.380	70.6	194 223	13 3988
7187	8.3[10]	15 34.21	2.7474	0.0000	14 24 1.2	6.493	0.376	70.1	226 288	14 3886
7188	8.9	15 38.84	2.8356	−0.0005	10 35 50.5	6.500	0.388	70.0	122 198	10 3869
7189	8.7	15 39.64	2.7653	−0.0001	13 38 22.6	6.501	0.379	70.6	194 223	13 3990
7190	8.5	15 42.35	2.8443	−0.0005	10 12 57.3	6.505	0.390	80.6	6 Beob.	10 3870
7191	8.6	19 15 53.64	+2.8070	−0.0003	+11 50 50.3	+6.520	+0.384	70.0	124 204	11 3811
7192	8.3[11]	15 58.83	2.8337	−0.0004	10 41 0.9	6.527	0.388	70.0	122 198	10 3873
7193	9.4	16 1.36	2.7539	0.0000	14 8 1.0	6.531	0.377	90.5	782 783 793	} 14 3888
7194	9.0	16 1.59	2.7541	0.0000	14 7 43.7	6.531	0.377	90.5	782 783 793	}
7195	8.2[12]	16 4.83	2.7499	0.0000	14 18 30.3	6.536	0.376	71.1	226 288	14 3890
7196	9.5	19 16 11.92	+2.8430	−0.0005	+10 16 53.2	+6.545	+0.389	85.7	577 585	[10 3874]
7197	8.7	16 16.78	2.8460	−0.0005	10 9 10.3	6.552	0.389	77.8	120 196 571 573	10 3876
7198	9.5	16 18.78	2.8429	−0.0005	10 17 14.7	6.555	0.389	85.7	577 579 585 588	[10 3877]
7199	8.8	16 19.34	2.7647	−0.0001	13 40 47.4	6.556	0.378	71.1	225 287	13 3995
7200	8.4[13]	16 47.84	2.7382	0.0000	14 49 16.4	6.595	0.374	71.1	226 288	14 3892

[1] BD 8.0 [2] BD 7.4 [3] BD 5.5 [4] BD 6.2 [5] BD 7.5 [6] BD 8.0 [7] Z. 288 blau
[8] Z. 288 röthlich [9] BD 7.0 [10] BD 7.8 [11] BD 7.3 [12] Z. 226 röthlich [13] BD 7.7; Schätz. 8.3 8.6

Nr.	Gr.	A.R. 1875	Praec.	Var. saec.	Decl. 1875	Praec.	Var. saec.	Ep.	Zonen	B.D.
7201	8.9	$19^h\ 16^m\ 52^s.66$	$+2^s.7655$	$-0^s.0001$	+13° 39' 31".6	+6".602	+0".378	71.1	225 287	13° 4000
7202	8.2	16 58.67	2.7883	0.0002	12 40 40.4	6.610	0.381	70.6	192 222	12 3894
7203	8.7	17 1.64	2.7361	0.0000	14 54 40.9	6.614	0.374	71.1	228 289	14 3894
7204	8.6	17 3.98	2.7776	0.0002	13 8 20.5	6.617	0.380	70.6	194 223	13 4001
7205	8.7	17 7.70	2.8088	0.0003	11 47 26.5*	6.622	0.384	80.3	124 204 785 794	11 3817
7206	8.8	19 17 24.69	+2.7787	−0.0002	+13 5 58.5	+6.646	+0.379	70.6	194 223	13 4003
7207	7.6[1]	17 25.71	2.7417	0.0000	14 40 56.0	6.647	0.374	71.1	226 288	14 3896
7208	8.6	17 37.68	2.7468	0.0000	14 28 23.9	6.664	0.375	71.1	226 288	14 3897
*7209	8.9	17 42.09	2.7350	0.0000	14 58 35.5	6.670	0.373	82.8	5 Beob.	14 3898
7210	8.4	18 7.29	2.7435	0.0000	14 37 20.9	6.704	0.374	82.8	5 Beob.	14 3900
7211	8.1	19 18 10.84	+2.8228	−0.0004	+11 11 58.1	+6.709	+0.385	70.0	128 202	11 3826
7212	8.5	18 11.44	2.8432	0.0006	10 18 13.6	6.710	0.388	70.0	120 196	10 3881
7213	9.0	18 16.11	2.7446	0.0000	14 34 47.3	6.716	0.374	71.0	226 288	14 3903
7214	9.0	18 33.94	2.8326	0.0005	10 46 36.9	6.741	0.386	81.6	122 R	[10 3884]
7215	7.1[2]	18 37.03	2.8037	0.0003	12 2 24.6	6.745	0.382	84.0	216 792 795	12 3896
7216	8.8	19 18 40.13	+2.8446	−0.0006	+10 14 57.7	+6.749	+0.388	77.8	120 196 577 585	10 3886
7217[3]	8.7	18 44.56	2.8098	0.0004	11 46 36.0	6.755	0.383	70.0	124 204	11 3829
7218	9.0	18 58.77	2.8045	0.0003	12 0 40.9	6.775	0.382	83.9	216 785 794	11 3832
7219[4]	8.6	19 0.24*	2.8114	0.0004	11 42 48.9*	6.777	0.383	78.4	5 Beob.	11 3834
7220	6.0[5]	19 0.41	2.8122	0.0004	11 40 39.8	6.777	0.383	70.3	124 204 216	11 3833
7221	8.8	19 19 30.56	+2.8180	−0.0004	+11 25 51.3	+6.819	+0.383	70.0	128 202	11 3835
7222	8.6	19 41.62	2.7715	0.0002	13 27 20.7	6.834	0.377	70.6	194 223	13 4010
7223	8.6	19 42.77	2.8321	0.0005	10 49 3.6	6.835	0.385	70.0	122 198	10 3889
7224	8.4	20 1.50	2.7542	0.0001	14 12 22.9	6.861	0.374	71.1	225 287	14 3909
7225	8.6[6]	20 4.37	2.7506	0.0001	14 21 45.2	6.865	0.374	71.1	226 288	14 3911
7226	8.9	19 20 13.19	+2.7791	−0.0002	+13 8 17.7	+6.877	+0.378	70.6	194 223	13 4013
7227	8.3[7]	20 17.23	2.7973	0.0003	12 21 5.2	6.882	0.380	84.0	216 792 795	12 3904
7228	6.3	20 35.73	2.7877	0.0003	12 46 24.7	6.908	0.379	70.6	192 222	12 3907
7229	7.9	20 39.33	2.8146	0.0004	11 36 7.4	6.913	0.382	70.0	124 204	11 3840
7230	8.8	20 59.84	2.7914	0.0003	12 37 6.6	6.941	0.379	70.6	192 222	12 3910
7231	7.7[8]	19 21 5.50	+2.8099	−0.0004	+11 48 47.0	+6.949	+0.381	70.0	124 204	11 3842
7232	8.9	21 12.87	2.7397	0.0000	14 51 18.4	6.959	0.372	71.1	226 288	14 3917
7233	8.9	21 22.42	2.8199	0.0005	11 22 55.4	6.972	0.383	70.0	128 202	11 3843
7234	9.0	21 31.02	2.8430	0.0006	10 21 57.0	6.983	0.386	70.0	120 196	[10 3904]
*7235	8.9	21 36.99	2.7659	0.0002	13 44 16.7	6.992	0.375	71.1	225 287	13 4018
7236	8.7	19 21 46.55	+2.7528	−0.0001	+14 18 17.1	+7.005	+0.373	82.8	5 Beob.	14 3921
7237	6.8[9]	21 48.92	2.7592	0.0001	14 1 52.2	7.008	0.374	71.1	225 287	13 4020
7238	7.4[10]	21 51.96	2.8006	0.0004	12 14 11.9	7.012	0.380	84.0	216 792 795	12 3913
7239[11]	8.9	22 12.53	2.7781	0.0003	13 13 27.3	7.040	0.376	70.6	194 223	13 4022
7240	8.9	22 14.16	2.8169	0.0005	11 31 51.0	7.042	0.382	70.0	128 202	11 3848
7241	8.3[12]	19 22 17.30	+2.7643	−0.0002	+13 49 10.4	+7.047	+0.374	71.1	225 287	13 4023
7242	9.0	22 19.49	2.8451	0.0007	10 17 9.3	7.050	0.385	86.6	649 667	— —
7243	8.8	22 20.22	2.8099	0.0004	11 50 10.3	7.051	0.381	70.0	124 204	11 3849
7244	9.0	22 25.95	2.7998	0.0004	12 17 2.3	7.059	0.379	84.0	216 792 795	12 3917
7245	8.8	22 26.35*	2.7661	0.0002	13 44 50.4	7.059	0.374	85.8	287 782 783 793	13 4024
*7246	8.8	19 22 26.56	+2.7956	−0.0004	+12 28 2.4	+7.059	+0.378	70.6	192 222	12 3918
*7247	9.0	22 33.12	2.8105	0.0005	11 48 55.0	7.068	0.381	70.0	124 204	11 3850
7248	8.8	22 43.93	2.8228	0.0005	11 16 46.5	7.083	0.382	70.0	128 202	11 3852
7249	7.9	22 52.29	2.8343	0.0006	10 46 24.7	7.095	0.383	70.0	122 198	10 3913
7250	9.0	22 57.92	2.7692	0.0002	13 37 20.8	7.102	0.375	70.6	194 223	13 4025

[1] BD 6.5 [2] 7.7 6.6 7.0 [3] $9^m.3$ seq. $2^s.5$ 1"A. [4] $9^m.2$ praec. $2^s.7$ 15"A. [5] BD 5.5 [6] BD 8.0
[7] BD 7.8 [8] BD 7.2 [9] BD 6.0 [10] 8.3 7.3 6.7; Z. 795 roth [11] $9^m.0$ praec. $4^s.0$ 8"A. [12] BD 7.7

Nr.	Gr.	A.R. 1875	Praec.	Var. saec.	Decl. 1875	Praec.	Var. saec.	Ep.	Zonen	B.D.
*7251	8.3[1]	19h 23m 9s.49	+2s.8017	−0s.0004	+12° 12′ 54″.1	+7″.118	+0″.379	84.0	216 792 795	12° 3923
7252	8.6	23 9.66	2.8434	0.0007	10 22 30.8	7.118	0.385	85.3	120 782 783 793	10 3916
7253	7.6	23 10.98	2.7928	0.0004	12 36 10.3	7.120	0.378	70.6	192 222	12 3925
7254	8.4	23 15.53*	2.7377	0.0001	14 59 16.7	7.126	0.370	82.8	5 Beob.	14 3931
7255	8.5	23 15.86	2.7552	0.0001	14 14 8.8	7.127	0.372	71.1	225 287	14 3933
7256	8.6	19 23 18.25	+2.7535	−0.0001	+14 18 40.3	+7.130	+0.372	71.1	226 288	14 3935
7257	8.8	23 23.80	2.8212	0.0005	11 21 47.1	7.137	0.381	70.0	124 204	11 3853
7258	8.3	23 24.26	2.7854	0.0003	12 55 43.6	7.138	0.376	70.6	194 223	12 3926
7259	8.8	23 31.04	2.8299	0.0006	10 58 37.0	7.147	0.382	70.0	128 202	10 3918
7260	8.7	23 31.53	2.8343	0.0006	10 47 7.5	7.148	0.383	70.0	122 198	10 3919
7261	7.0[2]	19 23 37.65	+2.7529	−0.0001	+14 20 24.6	+7.156	+0.372	71.1	226 288	14 3936
7262	8.2	23 43.23	2.7393	0.0001	14 55 42.2	7.164	0.370	71.1	228 289	14 3937
7263	8.1[3]	23 45.55	2.8035	0.0004	12 8 51.0	7.167	0.379	84.0	216 792 795	12 3929
7264	8.7[4]	23 47.29	2.8466	0.0007	10 14 38.2	7.170	0.385	86.6	649 667	[10 3920]
7265	9.1	24 2.93	2.7468	0.0001	14 36 49.3	7.191	0.371	71.1	226 288	14 3938
7266	8.8	19 24 4.54	+2.8394	−0.0006	+10 34 7.1	+7.193	+0.383	70.0	122 198	10 3922
7267	8.0	24 5.78	2.7869	0.0003	12 52 44.7	7.195	0.376	70.6	194 223	12 3932
7268	8.7	24 17.94	2.8236	0.0006	11 16 11.1	7.211	0.381	70.0	128 202	11 3862
7269	9.0	24 22.01	2.8336	0.0006	10 49 46.1	7.216	0.382	. 82.3	5 Beob.	10 3926
7270[5]	9.0	24 31.67	2.8487	0.0007	10 9 41.2	7.230	0.384	82.1	196 R	[10 3927]
*7271	9.1	19 24 36.14	+2.8225	−0.0006	+11 19 39.4	+7.236	+0.381	82.3	5 Beob.	11 3864
*7272	8.9	24 36.60	2.8226	0.0006	11 19 17.7	7.237	0.381	80.4	6 Beob.	11 3865
7273	7.4	24 43.17	2.7945	0.0004	12 33 31.2	7.245	0.377	70.6	192 222	12 3940
7274	9.0	24 44.43	2.8221	0.0006	11 20 50.6	7.247	0.381	70.0	124 204	11 3866
7275	8.4[6]	24 51.30	2.8094	0.0005	11 54 25.3	7.257	0.379	85.6	216 785 794 795	11 3867 pr.
7276	8.8	19 24 51.41	+2.7800	−0.0003	+13 11 40.5	+7.257	+0.375	70.6	194 223	13 4030
7277	9.3	24 51.52	2.8092	0.0005	11 54 59.2	7.257	0.379	90.5	785 794	11 3867 sq.
7278	9.0	24 54.95	2.7896	0.0004	12 46 48.2	7.262	0.376	70.6	192 222	12 3942
7279	8.8	24 57.16	2.7391	0.0001	14 57 58.2	7.265	0.369	82.8	5 Beob.	14 3940
7280	9.0	25 0.30	2.8218	0.0006	11 21 51.5*	7.269	0.380	76.9	124 204 795	11 3868
7281	9.1	19 25 4.21	+2.7427	−0.0001	+14 48 54.6	+7.274	+0.370	71.1	226 288	14 3942
7282	8.3	25 28.01	2.8322	0.0006	10 54 35.4*	7.306	0.381	82.3	5 Beob.	10 3931
7283	9.0	25 31.81	2.8373	0.0007	10 41 15.2	7.311	0.382	83.9	198 792 795	10 3934
7284	8.2	25 32.79	2.8220	0.0006	11 21 56.1	7.313	0.380	70.2	128 202 204	11 3871
7285	9.1	25 34.25	2.8306	0.0006	10 59 13.4	7.315	0.381	82.5	5 Beob.	10 3935
7286	8.8	19 25 41.03	+2.7960	−0.0004	+12 30 57.4	+7.324	+0.376	84.0	216 792 795	12 3944
7287	8.8	25 43.78	2.7871	0.0004	12 54 10.3	7.328	0.375	70.6	192 222	12 3945
7288	8.3	25 43.97	2.8199	0.0006	11 27 41.9	7.328	0.380	80.3	128 202 785 794	11 3873
7289	8.8	25 49.29	2.7654	0.0002	13 51 13.3	7.335	0.372	71.1	225 287	13 4035
7290	8.9	25 49.75	2.7803	0.0003	13 12 8.0	7.336	0.374	70.6	194 223	13 4036
7291	8.6	19 25 51.01	+2.7880	−0.0004	+12 52 8.8	+7.338	+0.375	70.6	192 222	12 3948
7292	8.2	25 55.94	2.7769	0.0003	13 21 21.9	7.344	0.374	70.6	194 223	13 4039
7293	8.6	26 3.51	2.8484	0.0007	10 12 4.1	7.355	0.383	78.4	120 196 653 658	10 3938
7294	8.9[7]	26 5.82*	2.8516	0.0008	10 3 30.1	7.358	0.384	88.3 89.2	649 667 820δ 821	[10 3939]
7295[8]	8.4	26 10.45	2.7610	0.0002	14 3 9.6	7.364	0.371	71.1	225 287	14 3947
7296	8.0[9]	19 26 10.45	+2.7459	−0.0001	+14 42 19.9	+7.364	+0.369	71.1	226 288	14 3948
7297	8.9	26 13.12	2.7494	0.0001	14 33 6.4	7.368	0.370	71.0	228 230 289	14 3949
7298	9.2	26 14.31	2.7590	0.0002	14 8 14.6	7.369	0.371	71.1	226 290	14 3950
7299	8.5	26 43.71	2.8507	0.0008	10 6 30.9*	7.409	0.383	78.3	120 196 649 667	10 3944
7300	8.1	26 45.38	2.8132	0.0005	11 46 39.1*	7.411	0.378	80.3	124 204 785 794	11 3882

[1] BD 7.8 [2] BD 6.0 [3] BD 7.5 [4] BD 9.3 [5] 9m.3 praec. 3s.5 45″A. [6] 8.9 8.3 8.0 8.4
[7] 9.1 8.6 8.6 9.5 [8] 10m.5 seq. 0s.1 90″A.; 10m.0 seq. 2s.8 7″A. [9] Nur Z. 226; BD 7.1

Nr.	Gr.	A.R. 1875	Praec.	Var. saec.	Decl. 1875	Praec.	Var. saec.	Ep.	Zonen	B. D.
7301	8.7	19h 27m 2s.37	+2s.7745	−0s.0003	+13° 29′ 9″.8	+7″.435	+0″.373	71.1	225 287	13° 4042
7302	8.8	27 2.90	2.7955	0.0004	12 33 52.8	7.435	0.375	70.6	192 222	12 3957
7303	9.0	27 6.88	2.7818	0.0003	13 10 0.1	7.441	0.374	70.6	194 223	[13 4044]
7304	8.9	27 14.92	2.8413	0.0007	10 32 25.8	7.451	0.381	82.1	198 R	[10 3950]
7305	8.8	27 18.82	2.8201	0.0006	11 29 5.2	7.457	0.379	70.0	128 202	11 3885
7306	8.5	19 27 25.49	+2.8422	−0.0007	+10 30 13.2	+7.466	+0.382	70.0	122 198	10 3953
7307	9.0	27 28.09	2.8025	0.0005	12 15 47.7	7.469	0.376	84.0	216 792 795	12 3959
7308	9.0	27 28.34	2.8172	0.0006	11 36 55.5	7.470	0.378	82.2	204 R	[11 3887]
7309	8.7	27 39.48	2.7822	0.0004	13 9 36.7	7.485	0.373	70.6	194 223	13 4050
7310	8.5	28 1.80	2.7722	0.0003	13 36 16.7	7.515	0.372	71.1	225 287	13 4051
7311	8.3	19 28 11.01	+2.7532	−0.0002	+14 26 18.9	+7.527	+0.369	71.3	226 288 290	14 3958
7312[1]	8.7	28 12.74	2.8004	0.0005	12 22 28.2*	7.530	0.375	84.0	216 792 795	12 3964
7313	8.5	28 17.18	2.7378	0.0001	15 6 17.9	7.536	0.367	71.1	230 289	15 3863
7314	8.9	28 23.04	2.8502	0.0008	10 9 40.1	7.544	0.382	86.6	649 667	[10 3962]
7315	8.4	28 31.45	2.8440	0.0008	10 26 32.5	7.555	0.381	82.3	5 Beob.	10 3964
7316	8.5[2]	19 28 35.94	+2.8317	−0.0007	+10 59 27.9	+7.561	+0.379	70.0	128 202	10 3965
7317	8.7	28 38.20	2.8517	0.0008	10 5 50.6*	7.564	0.382	78.3	120 196 649 667	10 3966
7318	8.8	28 41.41	2.7960	0.0005	12 34 45.3	7.568	0.374	70.6	192 222	12 3968
7319	7.8[3]	28 43.56	2.8387	0.0007	10 40 53.8	7.571	0.380	70.0	122 198	10 3967
7320	8.4	28 45.66	2.8173	0.0006	11 38 16.7	7.574	0.377	70.0	124 204	11 3893
7321	8.6[4]	19 28 54.57	+2.7361	−0.0001	+15 11 44.2	+7.586	+0.366	71.1	230 289	15 3868
7322	8.2	28 59.80	2.8283	0.0007	11 9 7.3	7.593	0.378	70.0	128 202	11 3895
7323	8.6	29 2.97	2.8086	0.0005	12 1 41.1*	7.597	0.376	83.9	216 785 794	11 3897
7324	8.5	29 3.05	2.7910	0.0004	12 48 21.4	7.598	0.373	70.6	192 222	12 3973
7325	8.8	29 3.32	2.7662	0.0003	13 53 33.9	7.598	0.370	71.1	225 287	13 4059
7326	8.3	19 29 7.76	+2.8422	−0.0008	+10 31 55.4[5]	+7.604	+0.380	82.3 85.5	5 Beob.	10 3969
7327	9.2	29 9.71*	2.8283	0.0007	11 9 15.0	7.607	0.378	82.1	202 R	[11 3898]
7328	8.0[6]	29 28.53	2.8515	0.0008	10 7 18.2	7.632	0.381	78.3	120 196 649 667	10 3974
7329	8.5	29 28.62	2.7591	0.0003	14 12 51.4	7.632	0.369	71.3	226 288 290	14 3965
*7330	9.1	29 29.33	2.7379	0.0001	15 8 3.4	7.633	0.366	82.2	228 R	[15 3871]
*7331	8.4	19 29 30.93	+2.8170	−0.0006	+11 39 54.7	+7.635	+0.377	70.0	124 204	11 3901
7332	8.5	29 33.21	2.7790	0.0004	13 20 46.2	7.638	0.371	70.6	194 223	13 4063
7333	8.7	29 33.83	2.8282	0.0007	11 9 58.8	7.639	0.378	70.0	128 202	11 3902
7334	8.7	29 34.52	2.8520	0.0008	10 6 9.2	7.640	0.381	78.3	120 196 649 667	10 3976
7335	8.8	29 35.94	2.8393	0.0007	10 40 11.0[7]	7.642	0.379	82.3 85.5	5 Beob.	10 3977
7336	8.5	19 29 40.31	+2.7876	−0.0004	+12 58 4.0	+7.648	+0.372	70.6	192 222	12 3977
7337	8.7	29 43.62	2.7688	0.0003	13 47 36.6	7.653	0.370	71.1	225 287	13 4066
7338	8.6	29 55.40	2.7469	0.0002	14 45 10.2	7.668	0.367	71.1	226 290	14 3967
7339	9.0	30 6.44	2.7376	0.0001	15 9 46.9	7.683	0.365	82.2	228 R	[15 3874]
7340	8.9	30 11.90	2.7645	0.0003	13 59 45.3	7.691	0.369	82.7	5 Beob.	13 4070
7341	8.5[8]	19 30 12.61	+2.7743	−0.0004	+13 34 1.1	+7.691	+0.370	70.6	194 223	13 4069
7342	7.1	30 13.74	2.8350	0.0007	10 52 30.1	7.693	0.378	82.3	5 Beob.	10 3981
7343	8.7	30 14.50	2.7518	0.0002	14 32 58.2	7.694	0.367	71.1	230 289	14 3968
7344	8.1	30 18.57	2.7591	0.0003	14 13 57.8	7.699	0.368	71.3	226 288 290	14 3970
7345	6.7[9]	30 20.18	2.8124	0.0006	11 53 10.6	7.702	0.375	83.9	216 785 794	11 3906
7346	8.9	19 30 25.24	+2.7467	−0.0002	+14 46 27.7	+7.709	+0.366	71.1	230 289	14 3972
7347	7.5[10]	30 30.36	2.7619	0.0003	14 6 59.2	7.715	0.368	71.3	226 288 290	14 3974
7348	8.9	30 32.61	2.8154	0.0006	11 45 32.0	7.718	0.376	70.0	124 204	11 3908
7349	8.4	30 44.90	2.8091	0.0006	12 2 26.7	7.735	0.375	83.9	216 785 794	11 3912
7350	7.9	30 54.45	2.7856	0.0004	13 5 6.9	7.748	0.371	70.6	194 223	13 4073

[1] 9m.7 seq. 0s.3 75″B. [2] BD 8.0 [3] BD 7.1 [4] BD 7.5; Schätz. 8.6 8.6 [5] Z. 122 [59″.0]
[6] 8.0 8.1 8.5 7.6 [7] Z. 122 [14″.5] [8] BD 8.0 [9] 7.8 6.5 5.8; Z. 785 orange [10] BD 6.5

Nr.	Gr.	A.R. 1875	Praec.	Var. saec.	Decl. 1875	Praec.	Var. saec.	Ep.	Zonen	B.D.
7351	8.9	19h 30m 54s.96	+2s.7839	−0s.0004	+13° 9' 31".5	+7".748	+0".371	70.6	194 223	13° 4074
7352	8.5	30 55.99	2.8526	0.0009	10 6 1.2	7.750	0.380	77.8	120 196 575 583	10 3983
7353	6.7[1]	30 58.33	2.8327	0.0007	10 59 44.9	7.753	0.378	70.0	122 198	10 3984
7354	8.8	31 12.08	2.7600	0.0003	14 12 53.2	7.771	0.368	71.1	226 290	14 3975
7355	8.9	31 17.33	2.8475	0.0008	10 20 10.9	7.779	0.379	70.0	120 196	10 3987
7356	9.1	19 31 20.71	+2.7756	−0.0004	+13 32 4.9	+7.783	+0.370	71.1	225 287	13 4077
7357	8.8	31 27.66	2.8208	0.0007	11 32 8.0	7.792	0.376	80.3	128 202 785 794	11 3916
7358	8.2	31 29.08	2.7915	0.0005	12 50 13.4	7.794	0.372	70.6	192 222	12 3987
7359	8.2	31 35.00	2.7429	0.0002	14 58 18.3	7.802	0.365	71.0	228 230 289	14 3978
7360	8.9	31 37.37	2.7828	0.0004	13 13 33.8*	7.805	0.370	82.5	5 Beob.	13 4081
7361	8.7	19 31 39.38	+2.8528	−0.0009	+10 6 16.9	+7.808	+0.380	78.3	120 196 649 667	10 3990
7362	8.7	31 39.63	2.7833	0.0004	13 12 10.7	7.808	0.370	70.6	194 223	13 4082
7363	8.2	31 45.66	2.8013	0.0005	12 24 39.2	7.817	0.373	70.6	192 222	12 3990
7364	8.9	31 46.08*	2.8305	0.0007	11 6 35.8	7.817	0.377	80.3	128 202 785 794	11 3918
7365	9.2	31 56.01	2.7547	0.0002	14 27 57.7	7.830	0.366	82.6	290 R	— —
7366	8.2	19 31 57.77	+2.7958	−0.0005	+12 39 31.6	+7.833	+0.372	70.6	194 223	12 3995
7367	8.8	32 2.02	2.7970	0.0005	12 36 31.7	7.839	0.372	70.6	192 222	12 3996
7368	8.5	32 10.28	2.8031	0.0006	12 20 17.0	7.850	0.373	85.6	216 782 783 793	12 3997
7369	8.9	32 16.25	2.8078	0.0006	12 7 54.8	7.858	0.373	84.0	216 792 795	12 3998
7370	9.3	32 18.44	2.8078	0.0006	12 8 0.5	7.860	0.373	90.6	792 795	— —
7371	8.8	19 32 20.13	+2.7935	−0.0005	+12 46 7.1	+7.863	+0.371	70.6	192 222	12 3999
7372	8.6	32 40.74	2.7557	0.0003	14 26 26.7	7.891	0.366	71.1	226 290	14 3986
7373	7.6[2]	32 41.19	2.8093	0.0006	12 4 35.7	7.891	0.373	84.0	216 792 795	12 4001
7374	8.9	32 41.65	2.8091	0.0006	12 5 10.3	7.892	0.373	84.0	216 792 795	12 4002
7375	8.7	32 42.02	2.8379	0.0008	10 47 33.8	7.892	0.377	90.5	782 783 793	10 4002
7376	8.6	19 32 55.42	+2.8423	−0.0008	+10 35 57.9	+7.910	+0.377	70.0	122 198	10 4004
7377	8.7	33 5.10	2.8013	0.0006	12 26 23.2	7.923	0.372	70.6	192 222	12 4008
7378	9.0	33 17.73	2.8208	0.0007	11 34 22.5	7.940	0.374	86.0	204 R(2)	[11 3928]
7379	8.6	33 24.10	2.8535	0.0009	10 6 14.3	7.949	0.379	78.3	122 198 649 667	10 4006
7380[3]	9.1	33 32.38	2.8112	0.0006	12 0 32.0	7.960	0.373	90.5	785 794	11 3930
7381	8.9	19 33 33.21*	+2.8202	−0.0007	+11 36 28.2	+7.960	+0.374	80.3	124 204 785 794	11 3931
7382	8.8	33 40.78	2.8058	0.0006	12 15 19.9	7.971	0.372	84.0	216 792 795	12 4012
7383	8.4	33 49.38	2.7915	0.0005	12 53 40.8	7.982	0.370	70.6	194 223	12 4015
7384	8.7	33 53.97	2.8146	0.0007	11 51 46.6	7.989	0.373	70.0	124 204	11 3935
7385	8.9	34 10.96	2.8340	0.0008	10 59 59.8	8.011	0.375	70.0	122 198	10 4013
7386	8.8	19 34 12.49	+2.8341	−0.0008	+10 59 51.5	+8.013	+0.375	70.0 70.2	122a 128 198 202	10 4014
7387	8.7	34 14.49	2.8258	0.0007	11 22 5.9	8.016	0.374	70.0	128 202	11 3937
7388	8.6	34 15.81	2.7944	0.0005	12 46 29.3	8.018	0.370	70.6	192 222	12 4017
7389	8.8	34 22.74	2.8140	0.0007	11 54 11.4	8.027	0.373	70.0	124 204	11 3938
7390	8.6	34 34.68	2.8521	0.0009	10 11 24.3	8.043	0.377	78.3	120 196 649 667	10 4016
7391	8.9	19 34 51.79	+2.8030	−0.0006	+12 24 22.8	+8.066	+0.371	70.6	192 222	12 4020
7392	8.1	34 53.35	2.8063	0.0006	12 15 37.0	8.068	0.371	84.0	216 792 795	12 4022
7393	7.9	35 0.90	2.8202	0.0007	11 38 9.5	8.078	0.373	70.0	124 204	11 3942
7394	8.3[4]	35 11.25	2.8479	0.0009	10 23 37.5	8.092	0.377	70.0	122 198	10 4020
7395	9.2	35 14.22	2.8228	0.0007	11 31 28.2	8.096	0.373	81.7	128 R	— —
7396	6.4[5]	19 35 18.31	+2.7780	−0.0004	+13 31 36.3	+8.101	+0.367	71.1	225 287	13 4098
7397	7.9[6]	35 18.61	2.7926	0.0005	12 52 50.8	8.102	0.369	70.6	192 222	12 4027
7398	8.0	35 19.64	2.7833	0.0005	13 17 31.2	8.103	0.368	70.6	194 223	13 4099
7399	8.7[7]	35 20.37	2.7742	0.0004	13 41 53.3	8.104	0.366	82.7	5 Beob.	13 4101
7400	8.8	35 20.77	2.8174	0.0007	11 46 23.8	8.104	0.372	70.0	124 204	11 3946

[1] BD 6.1 [2] 8.1 7.5 7.2; BD 8.1 [3] 9m.5 praec. 5s 0'.8 A.; 9m.0 praec. 18s 2'.3 A. [4] BD 7.7 [5] BD 5.8
[6] BD 7.0 [7] Z. 793 röthlich

Nr.	Gr.	A.R. 1875	Praec.	Var. saec.	Decl. 1875	Praec.	Var. saec.	Ep.	Zonen	B. D.
7401	8.8[1]	19h 35m 24s.04	+2s.7720	−0s.0004	+13° 47′ 42″.0	+8″.109	+0″.366	70.7	225 226	13° 4102
7402	8.7	35 24.35	2.7739	0.0004	13 42 42.7	8.109	0.367	80.8	225 287 782 783	13 4103
7403	8.8	35 24.39	2.8199	0.0007	11 39 33.3	8.109	0.373	83.9	216 785 794	11 3947
7404	8.5	35 25.04	2.7857	0.0005	13 11 12.8	8.110	0.368	70.6	194 223	13 4100
7405	8.8[2]	35 27.23	2.7726	0.0004	13 46 9.8	8.113	0.366	71.3	226 287 289 290	13 4104
7406	8.9	19 35 29.47	+2.8226	−0.0007	+11 32 28.3	+8.116	+0.373	70.0	128 202	11 3948
7407	9.0	35 45.41	2.8225	0.0007	11 32 58.3	8.137	0.373	70.0	128 202	11 3951
7408	8.5	35 50.33	2.7777	0.0004	13 33 15.8	8.144	0.367	71.3	226 287 290	13 4107
7409	8.4	36 5.78	2.7659	0.0004	14 5 6.3	8.165	0.365	71.0	225 226 290	14 4001
*7410	8.3	36 5.99	2.7913	0.0005	12 57 18.5	8.165	0.368	70.6	192 222	12 4034
7411	8.5	19 36 6.34	+2.7992	−0.0006	+12 36 17.8	+8.165	+0.369	83.9	192 792 793	12 4035
7412	9.2	36 9.47	2.8228	0.0007	11 32 44.6	8.170	0.372	86.0	204 R(2)	[11 3953]
7413	6.1[3]	36 21.00	2.8150	0.0007	11 54 3.9	8.185	0.371	83.9	216 785 794	11 3954
7414	8.5	36 29.83	2.7726	0.0004	13 47 46.0	8.196	0.365	70.9	194 223 289	13 4109
7415	9.1	36 30.06	2.7670	0.0004	14 2 38.0	8.197	0.365	90.5	782 783	13 4110
7416	8.6	19 36 30.62	+2.8101	−0.0007	+12 7 27.3	+8.197	+0.370	84.0	216 792 793	12 4040
7417	8.8	36 31.14	2.7921	0.0005	12 55 50.5	8.198	0.368	80.6	192 222 792 793	12 4042
7418	8.8	36 31.16	2.7467	0.0002	14 56 15.5	8.198	0.362	80.8	226 290 785 794	14 4004
7419	9.0	36 36.93	2.7733	0.0004	13 46 6.3	8.206	0.365	80.8	230 289 782 783	13 4111
7420	8.3	36 40.13	2.7463	0.0002	14 57 36.6	8.210	0.362	71.3	228 289 290	14 4006
7421	6.0	19 36 41.02	+2.8233	−0.0008	+11 32 1.4	+8.211	+0.372	70.0	124 204	11 3955
7422	7.7[4]	36 42.36	2.8019	0.0006	12 29 44.6	8.213	0.369	84.0	216 792 795	12 4044
7423	8.7	36 49.63	2.7690	0.0004	13 57 47.9	8.223	0.365	83.9	225 782 783	13 4114
7424	9.3	36 53.82	2.7669	0.0004	14 3 39.4	8.228	0.364	82.6	287 R	[14 4008]
7425	8.8[5]	36 54.95	2.7999	0.0006	12 35 31.3	8.230	0.369	82.2	222 R	[12 4045]
7426	8.5	19 36 59.29	+2.7794	−0.0005	+13 30 27.4	+8.236	+0.366	77.3	194 223 795	13 4115
7427	9.5	36 59.43	2.7514	0.0003	14 44 39.7	8.236	0.362	82.2	228 R	— —
7428	8.5	37 14.99	2.7898	0.0005	13 3 2.6	8.257	0.367	70.6	194 223	13 4118
7429	8.5[6]	37 23.63	2.8195	0.0007	11 43 27.9	8.268	0.371	70.0	124 204	11 3957
7430	8.6	37 40.47	2.8516	0.0010	10 16 23.4	8.290	0.375	78.3	120 196 649 667	10 4029
7431	8.3	19 37 41.43	+2.8155	−0.0007	+11 54 39.7	+8.292	+0.370	70.0	124 204	11 3960
7432	9.4	37 45.58	2.7691	0.0004	13 59 12.8	8.297	0.364	82.6	287 R	[13 4123]
7433	8.4	37 45.83	2.7823	0.0005	13 23 51.3	8.298	0.366	70.6	194 223	13 4122
7434	9.0	37 56.07	2.7545	0.0003	14 38 2.6	8.311	0.362	71.1	226 290	[14 4017]
7435	8.7	38 4.69	2.7546	0.0003	14 37 59.4	8.323	0.362	71.1	226 290	14 4018
7436	9.4	19 38 13.78	+2.8120	−0.0007	+12 4 44.5	+8.335	+0.369	90.6	792 793	— —
7437	8.1[7]	38 14.72	2.8121	0.0007	12 4 31.2	8.336	0.369	84.0	216 792 793	12 4056
7438	8.9	38 19.46	2.7782	0.0005	13 35 40.6	8.342	0.365	71.1	225 287	13 4129
7439	9.0	38 41.23	2.8450	0.0009	10 35 33.8	8.371	0.373	81.6	122 R	[10 4031]
7440	6.2	38 45.37	2.7917	0.0006	13 0 15.9	8.377	0.366	70.6	194 223	12 4059
7441	7.3	19 38 45.98	+2.8446	−0.0009	+10 36 47.9	+8.377	+0.373	70.0	122 198	10 4032
7442	8.8	38 46.26	2.7927	0.0006	12 57 34.9	8.378	0.366	70.6	194 223	12 4061
7443	7.7	38 46.68	2.7933	0.0006	12 55 53.2	8.378	0.366	70.6	192 194 223	12 4060
7444	8.8	38 55.39	2.8438	0.0009	10 39 9.8	8.390	0.373	70.0	122 198	10 4034
7445	7.9	39 0.91	2.8477	0.0010	10 28 31.6	8.397	0.373	70.0	120 196	10 4036
7446	8.9	19 39 7.14	+2.7976	−0.0006	+12 44 48.1	+8.405	+0.367	70.6	192 222	[12 4063]
7447	8.7	39 14.71	2.7974	0.0006	12 45 38.0	8.415	0.367	90.6	792 793	12 4064
7448	8.6	39 32.99	2.7892	0.0005	13 8 9.2	8.440	0.365	70.6	194 223	13 4139
7449	8.6	40 2.04	2.8378	0.0009	10 57 10.9	8.478	0.371	70.0	128 202	10 4040
7450	8.8[8]	40 2.90	2.8219	0.0008	11 40 32.0*	8.479	0.369	81.7	124 R	[11 3972]

[1] BD 8.2 [2] BD 8.2 [3] BD 6.9 [4] 8.6 7.0 7.5 [5] Nur Z. 222; BD 9.4 [6] BD 7.8; Schätz. 8.5 8.5
[7] 8.7 7.7 7.9 [8] Nur Z. 124; BD 9.5

Nr.	Gr.	A.R. 1875	Praec.	Var. saec.	Decl. 1875	Praec.	Var. saec.	Ep.	Zonen	B.D.
7451	9.2	19^h 40^m 10^s.10	+2^s.8242	−0^s.0008	+11° 34′ 20″.5	+8″.489	+0″.369	81.7	124 R	[11° 3973]
7452	8.9	40 18.75	2.8071	0.0007	12 20 54.0	8.500	0.367	70.6	192 222	12 4066
7453	**3.0**	**40 19.02**	**2.8520**	**0.0010**	**10 18 36.1**	**8.500**	**0.373**		**Fund. Cat.**	**10 4043**
7454	8.8	40 19.20	2.7965	0.0006	12 49 43.7	8.501	0.366	70.6	194 223	12 4067
7455	8.8	40 22.96	2.8105	0.0007	12 12 2.0	8.506	0.368	84.0	216 792 793	12 4068
7456	8.4	19 40 27.05	+2.7605	−0.0004	+14 26 23.1	+8.511	+0.361	71.1	225 287	14 4031
7457	9.3	40 36.90	2.8573	0.0011	10 4 26.2	8.524	0.373	90.5	782 783	— —
7458	8.3	40 37.57	2.8554	0.0010	10 9 23.1	8.525	0.373	79.8	10 Beob.	10 4046
7459	8.7	40 37.87	2.8272	0.0008	11 26 55.4	8.525	0.369	70.0	128 202	11 3978
7460	8.9	40 38.90	2.8562	0.0011	10 7 20.5	8.527	0.373	82.1	196 575 583 667	10 4045
7461	9.3	19 40 38.96	+2.8569	−0.0011	+10 5 25.4	+8.527	+0.373	83.5	120 782 783	— —
7462	8.8	40 40.56	2.8019	0.0007	12 35 39.6	8.529	0.366	70.6	192 222	12 4073
7463	8.5	40 40.94	2.8549	0.0011	10 10 57.7	8.529	0.373	85.3	7 Beob.	10 4047
7464	8.9	40 42.96	2.8419	0.0009	10 46 37.2	8.532	0.371	83.9	198 785 794	10 4048
7465	8.7	40 45.35	2.8037	0.0007	12 30 46.3	8.535	0.366	70.6	192 222	12 4074
7466	8.5	19 40 52.70	+2.7671	−0.0004	+14 9 32.8	+8.545	+0.361	71.1	225 287	14 4033
7467	8.9	40 59.41	2.8218	0.0008	11 42 4.3	8.554	0.368	83.9	204 792 793	11 3980
7468	8.6	41 8.62	2.8237	0.0007	11 36 58.8	8.566	0.369	70.0	124 204	11 3981
7469	8.7	41 12.45	2.8182	0.0008	11 52 10.2	8.571	0.368	83.9	216 785 794	11 3982
7470	8.7	41 16.48	2.7495	0.0003	14 57 9.8	8.576	0.359	71.1	228 289	14 4035
*7471	8.9	19 41 21.38	+2.7518	−0.0003	+14 51 7.6	+8.583	+0.359	71.1	226 290	14 4036
7472	8.4	41 22.18	2.8337	0.0009	11 10 4.6	8.584	0.370	70.0	128 202	11 3984
7473	8.9	41 26.04	2.7647	0.0004	14 16 48.8	8.589	0.361	71.1	226 290	14 4038
7474	9.0	41 26.62	2.8171	0.0008	11 55 38.4	8.590	0.367	83.9	216 785 794	11 3987
7475	8.7	41 33.39	2.8140	0.0007	12 4 11.9	8.599	0.367	84.0	216 792 793	12 4078
7476	8.9	19 41 35.43	+2.7635	−0.0004	+14 20 20.9	+8.601	+0.360	75.9	226 228 290 782	14 4039
7477	8.0[1]	41 36.52	2.7447	0.0003	15 10 33.5	8.603	0.358	90.5	783 795	15 3941
7478	8.8	41 51.55	2.8527	0.0010	10 18 36.3	8.622	0.372	70.0	120 196	10 4054
7479	8.8	41 55.17	2.7828	0.0005	13 29 2.8	8.627	0.363	70.9	194 223 225 287	13 4150
7480	8.7	42 7.03	2.8088	0.0007	12 19 3.5	8.643	0.366	70.6	192 222	12 4079
7481	8.8	19 42 7.14	+2.8441	−0.0010	+10 42 34.7	+8.643	+0.370	70.0	122 198	10 4056
7482	8.9	42 15.49	2.7829	0.0005	13 29 18.6	8.654	0.362	71.0	223 225 287	13 4152
7483	8.9	42 16.05	2.7941	0.0006	12 59 4.5*	8.655	0.364	70.6	192 222	12 4080
7484	7.4[2]	42 20.42	2.7906	0.0006	13 8 54.3	8.660	0.363	70.6	194 223	13 4154
7485	7.3	42 34.22	2.8514	0.0010	10 23 5.3	8.679	0.371	70.0	120 196	10 4058
7486	7.3[3]	19 42 36.39	+2.8143	−0.0007	+12 4 43.0	+8.681	+0.366	84.0	216 792 793	12 4085
7487	9.0	42 44.38	2.7873	0.0006	13 18 14.6	8.692	0.362	70.6	194 223	[13 4156]
7488	6.4[4]	42 48.68	2.8270	0.0009	11 30 21.4	8.697	0.368	70.0	128 202	11 3994
7489	9.2	42 53.64	2.7681	0.0004	14 10 15.8	8.704	0.360	82.6	290 R	[14 4047]
7490	8.2[5]	42 54.99	2.7552	0.0003	14 44 54.8	8.706	0.358	71.1	228 289	14 4048
7491	7.4[6]	19 42 59.59	+2.8300	−0.0009	+11 22 27.1	+8.712	+0.368	70.0	128 202	11 3996
7492	8.7	43 7.89	2.8543	0.0011	10 15 45.8	8.723	0.371	78.4	120 196 655 659	10 4061
7493	8.8	43 9.70	2.8436	0.0010	10 45 16.3	8.725	0.370	70.0	122 198	10 4062
7494	8.8	43 15.36	2.7465	0.0003	15 8 40.7	8.733	0.357	90.5	782 783	15 3953
7495	8.9	43 24.55	2.7876	0.0006	13 18 34.3	8.745	0.362	70.6	194 223	13 4161
*7496	8.8	19 43 27.92	+2.7687	−0.0004	+14 9 45.9	+8.749	+0.359	90.6	792 793	} 14 4051
*7497	8.9	43 28.06	2.7687	0.0004	14 9 42.2	8.749	0.359	90.6	792 793	}
7498	8.0	43 31.53	2.7542	0.0003	14 48 43.9	8.754	0.358	71.1	226 290	14 4052
7499	8.3[7]	43 32.95	2.7524	0.0003	14 53 31.9	8.756	0.357	80.8	228 289 782 783	14 4053
7500	9.0	43 33.22	2.7525	0.0003	14 53 6.9	8.756	0.357	90.5	782 783	[14 4054]

[1] BD 8.5 [2] BD 6.8 [3] 8.2 6.8 7.0 [4] BD 5.8 [5] 7.7 8.7; BD 7.7 [6] BD 6.8 [7] Z. 783 roth; BD 7.8

Nr.	Gr.	A.R. 1875	Praec.	Var. saec.	Decl. 1875	Praec.	Var. saec.	Ep.	Zonen	B.D.
7501	8.8	19h 43m 40s.04	+2s.7786	−0s.0005	+13° 43′ 14″.4	+8″.765	+0″.361	71.1	225 287	13° 4162
7502	8.6	43 40.42	2.8046	0.0007	12 32 57.6	8.766	0.364	70.6	192 222	12 4094
7503	7.7[1]	43 52.08	2.8404	0.0010	10 55 7.2	8.781	0.369	90.6	792 793	10 4065
7504	8.8	43 53.47	2.8461	0.0010	10 39 20.3	8.783	0.369	70.0	122 198	10 4066
7505	8.6	43 56.12	2.7778	0.0005	13 45 51.2	8.786	0.360	71.1	225 287	13 4165
7506	7.9	19 44 12.11	+2.8286	−0.0009	+11 28 0.5	+8.807	+0.367	70.0	124 204	11 4003
7507	8.6	44 21.63	2.7923	0.0006	13 7 19.9	8.820	0.362	70.6	194 223	13 4168
7508	8.9	44 22.82	2.7867	0.0006	13 22 37.7	8.821	0.361	71.1	225 287	13 4170
7509	8.8	44 29.47	2.7857	0.0006	13 25 26.5	8.830	0.361	70.9	194 223 225 287	13 4171
7510	8.6	44 30.00	2.8401	0.0010	10 56 41.9	8.831	0.368	70.0	122 198	10 4070
7511	8.8	19 44 30.62	+2.7920	−0.0006	+13 8 28.7	+8.831	+0.362	82.2	223 R	[13 4172]
7512	8.3[2]	44 38.80	2.7686	0.0004	14 11 56.2	8.842	0.359	71.1	225 226 287 290	14 4062
7513	8.9[3]	44 51.61	2.8207	0.0008	11 50 31.3	8.859	0.365	82.3	216 R	[11 4010]
7514	8.8	44 59.87	2.8008	0.0007	12 45 13.2	8.870	0.362	70.6	192 222	12 4108
7515	6.1[4]	45 2.42*	2.8586	0.0011	10 6 15.3	8.873	0.370	81.0	6 Beob.	10 4073
7516	8.9	19 45 6.44	+2.7684	−0.0004	+14 13 19.7	+8.878	+0.358	80.8	225 287 782 783	14 4065
7517	8.7	45 7.21	2.8012	0.0007	12 44 29.2	8.879	0.362	70.6	192 222	12 4111
7518[5]	8.9	45 9.46	2.7655	0.0004	14 21 11.9	8.882	0.358	71.1	226 290	14 4066
7519	8.9	45 11.00	2.8374	0.0010	11 5 12.3	8.884	0.367	80.3	128 202 785 794	11 4013
7520	8.5	45 20.20	2.7545	0.0003	14 51 2.2	8.896	0.356	71.1	228 289	14 4067
7521	8.7	19 45 27.93	+2.7866	−0.0006	+13 24 40.0	+8.906	+0.360	83.9	223 782 783	13 4179
7522	8.6	46 11.27	2.8371	0.0010	11 7 19.3	8.963	0.366	70.0	128 202	11 4018
7523	6.8	46 12.48	2.8328	0.0009	11 19 14.9	8.964	0.366	70.0	128 202	11 4019
7524	8.6	46 22.68	2.8194	0.0008	11 56 28.5*	8.978	0.364	80.3	124 204 785 794	11 4023
7525	8.3[6]	46 25.40	2.7519	0.0003	15 0 10.8	8.981	0.355	71.1	228 289	14 4074
7526	8.5[7]	19 46 27.38	+2.8481	−0.0011	+10 37 13.8	+8.984	+0.367	70.0	122 198	10 4077
7527	8.9	46 44.28	2.8203	0.0008	11 54 35.6	9.006	0.364	70.0	124 204	11 4024
7528	8.7[8]	46 47.26	2.7606	0.0004	14 37 30.7	9.010	0.356	71.1	226 290	14 4076
7529	8.8	46 48.24	2.8446	0.0010	10 47 25.2	9.011	0.367	83.8	198 782 783	[10 4078]
7530[9]	8.6	46 48.98	2.8443	0.0010	10 48 9.8	9.012	0.367	90.5	782 783	10 4079
7531	8.6	19 46 50.94	+2.8216	−0.0009	+11 51 13.2	+9.015	+0.364	83.9	216 785 794	11 4025
7532	8.8	47 6.32	2.7681	0.0004	14 17 50.0	9.035	0.356	71.1	226 290	14 4079
7533	9.0	47 6.63	2.7725	0.0005	14 5 51.0	9.035	0.357	80.8	225 287 782 783	14 4078
7534	8.9	47 11.31	2.8382	0.0010	11 5 45.4	9.041	0.365	70.0	128 202	11 4027
*7535	8.6	47 23.34	2.8293	0.0009	11 30 46.7	9.057	0.364	70.0	124 204	11 4030
7536	8.9	19 47 27.83	+2.8169	−0.0008	+12 4 55.7	+9.062	+0.363	84.0 85.6	216 792δ 793 796	12 4120
7537	8.4	47 34.13	2.7986	0.0007	12 55 25.4	9.071	0.360	70.6	192 222	12 4122
7538	8.6	47 44.63	2.8371	0.0010	11 9 29.0	9.084	0.365	70.0	128 202	11 4034
7539	8.7	47 47.74	2.8344	0.0010	11 17 7.4	9.088	0.365	70.0	128 202	11 4035
7540	8.8	47 49.97	2.8095	0.0008	12 25 57.5*	9.091	0.361	84.0 85.6	216 792δ 793 796	12 4124
7541	9.0	19 47 54.04	+2.8373	−0.0010	+11 9 18.5	+9.096	+0.365	81.7	128 R	[11 4036]
7542	8.3	47 55.14	2.7751	0.0005	14 0 13.8	9.098	0.357	71.1	225 287	13 4188
7543	8.7	47 59.43	2.7827	0.0006	13 39 37.5	9.104	0.358	80.8	225 287 782 783	13 4189
7544	8.6	48 13.23	2.7985	0.0007	12 56 50.0	9.121	0.360	70.6	192 222	12 4129
*7545	7.1[10]	48 17.88	2.7540	0.0003	14 58 4.1	9.128	0.354	80.8	228 289 782 783	14 4083
7546	8.8	19 48 26.92	+2.7882	−0.0006	+13 25 25.0	+9.139	+0.358	70.6	194 223	13 4193
7547	9.2	48 30.35	2.8269	0.0009	11 39 6.2	9.144	0.363	82.1	204 R	[11 4038]
7548	8.7	48 52.76	2.8105	0.0008	12 24 52.3	9.173	0.361	84.0 85.6	216 792δ 793 796	12 4133
7549	8.7	49 1.61	2.7760	0.0005	13 59 45.0	9.185	0.356	71.1	225 287	13 4198
7550	8.8	49 11.69	2.8400	0.0010	11 3 45.4	9.197	0.364	70.0	128 202	11 4046

[1] Z. 793 orange [2] BD 7.7 [3] Nur Z. 216; BD 9.4 [4] 6.0 6.0 5.0 7.7 6.0 6.0; BD 5.5
[5] 9m.2 seq. 2s.3 20″A.; 10m.5 praec. 3s [6] BD 7.3 [7] BD 8.0 [8] 10m.0 18″ 90° [9] 9m.4 praec. 4s 0′.1 A.
[10] 7.0 7.8 7.2 6.3; BD 6.5

Nr.	Gr.	A.R. 1875	Praec.	Var. saec.	Decl. 1875	Praec.	Var. saec.	Ep.	Zonen	B.D.
7551	8.8	19h 49m 13s.32	+2s.8541	−0s.0011	+10° 24′ 15″.9*	+9″.200	+0″.366	83.5	122 782 783	10° 4091
7552	8.4	49 15.91	2.8009	0.0007	12 52 0.5	9.203	0.359	70.6	192 222	12 4139
7553	8.1	49 18.03	2.8277	0.0009	11 37 55.0	9.206	0.362	80.3	124 204 785 794	11 4048
7554	8.4	49 19.23	2.7619	0.0004	14 38 38.9	9.207	0.354	71.1	226 290	14 4090
7555	8.6[1]	49 23.73	2.7514	0.0003	15 7 10.0	9.213	0.352	71.1	228 289	15 3985
7556	8.7	19 49 26.62	+2.7547	−0.0004	+14 58 18.7	+9.217	+0.353	71.1	228 289	14 4092
7557	9.0	49 36.22	2.8542	0.0011	10 24 40.4	9.229	0.366	82.1	198 R	[10 4094]
7558	8.8[2]	49 56.87	2.7924	0.0006	13 16 35.9	9.256	0.357	70.6	194 223	13 4203
7559	8.7	50 4.14	2.8443	0.0011	10 52 52.9	9.265	0.364	70.0	122 198	10 4095
7560	8.7	50 10.23	2.8288	0.0009	11 36 10.9	9.273	0.362	70.0	124 204	11 4052
7561	8.1[3]	19 50 14.72	+2.7609	−0.0004	+14 43 1.9	+9.279	+0.353	71.1	228 289	14 4096
7562	5.5	50 19.03	2.8399	0.0010	11 5 35.3	9.285	0.363	70.0	128 202	11 4055
7563	8.7	50 31.67	2.8586	0.0012	10 13 25.0	9.301	0.365	78.4	122 198 655 659	10 4100
7564	9.0	50 42.80	2.7506	0.0003	15 11 54.6	9.315	0.351	90.5	782 783	15 3991
7565	9.1	50 45.38	2.7615	0.0004	14 42 30.2	9.319	0.353	71.1	228 289	14 4100
7566	8.5	19 50 46.55	+2.7959	−0.0007	+13 8 29.9	+9.320	+0.357	70.6	194 223	13 4210
7567	8.7	50 51.17	2.8259	0.0009	11 45 26.3	9.326	0.361	70.0	124 204	11 4057
7568	8.5	50 51.96	2.8183	0.0009	12 6 37.8	9.327	0.360	84.0 85.6	216 792δ 793 796	12 4146
7569	9.4	50 55.77	2.8080	0.0008	12 35 8.1	9.332	0.358	82.2	222 R	[12 4147]
7570	8.8	51 14.83*	2.8294	0.0009	11 36 17.8*	9.357	0.361	75.3	124 204 216 785	11 4060
7571	9.0	19 51 15.23	+2.8173	−0.0009	+12 9 59.7	+9.357	+0.359	82.2	216 R	[12 4150]
7572	8.9	51 15.48	2.8081	0.0008	12 35 23.0	9.357	0.358	70.6	192 222	12 4151
7573	8.7	51 22.64*	2.8296	0.0009	11 35 55.6*	9.366	0.361	75.3	124 204 216 785	11 4061
7574	9.0	51 40.19	2.8181	0.0009	12 8 18.3	9.390	0.359	84.0 85.6	216 792δ 793 796	12 4153
7575	8.9	51 41.47	2.8371	0.0010	11 15 23.4	9.391	0.362	70.0	128 202	11 4063
7576	8.5	19 51 42.01	+2.7822	−0.0006	+13 47 39.6	+9.392	+0.354	71.1	225 287	13 4215
7577	8.4	51 49.95*	2.7542	0.0003	15 4 18.2	9.402	0.351	80.8	228 289 782 783	15 3998
7578	8.6[4]	51 58.49	2.7729	0.0005	14 13 41.6	9.413	0.353	71.1	226 290	14 4112
7579	8.2[5]	52 1.00	2.8411	0.0010	11 4 47.8	9.416	0.362	70.0	128 202	11 4065
7580	8.0[6]	52 1.06	2.8373	0.0010	11 15 20.0	9.416	0.361	70.0	124 128 202 204	11 4066
7581	8.7	19 52 2.66	+2.8108	−0.0008	+12 29 22.3	+9.418	+0.358	70.9	192 222 290	12 4156
7582	8.5	52 13.64	2.7788	0.0005	13 58 5.5	9.433	0.354	71.1	225 287	13 4219
7583	7.9[7]	52 17.54	2.8559	0.0012	10 23 33.3*	9.437	0.363	80.2	122 198 782 783	10 4117
7584	8.8	52 17.68	2.8574	0.0012	10 19 9.0	9.437	0.364	69.8	120 122 196	10 4118
7585	8.7	52 20.08	2.7613	0.0004	14 45 57.1	9.441	0.351	77.6	228 289 782	14 4113
7586	8.8	19 52 22.96	+2.7971	−0.0007	+13 7 54.4	+9.445	+0.356	70.9	194 223 225 287	13 4220
7587	8.9	52 23.58	2.7984	0.0007	13 4 20.1	9.445	0.356	80.6	194 223 785 794	13 4221
7588	8.8	52 29.21	2.8054	0.0007	12 45 0.7	9.452	0.357	88.0	223 R(2)	[12 4159]
7589	8.7	52 31.96	2.7972	0.0007	13 7 59.2	9.456	0.356	70.9	194 223 225 287	13 4223
*7590	8.8	52 32.91	2.8057	0.0008	12 44 15.2	9.457	0.357	83.9 85.6	194 792δ 793 796	12 4160
7591	8.7	19 52 39.17	+2.7958	−0.0007	+13 11 51.6	+9.465	+0.355	84.0 85.6	225 792δ 793 796	13 4224
7592	8.5	52 41.90	2.8069	0.0008	12 41 11.2	9.469	0.357	70.6	192 222	12 4163
7593	8.4	52 49.54	2.8566	0.0012	10 22 19.1	9.479	0.363	83.5	122 782 783	10 4120
7594	9.0	52 53.67	2.8374	0.0010	11 16 30.4	9.484	0.360	70.0	124 204	11 4068
7595	7.9	52 56.53	2.8384	0.0010	11 13 37.5	9.488	0.361	70.2	128 202 204	11 4070
7596	7.1	19 53 16.52	+2.8442	−0.0011	+10 58 2.3	+9.513	+0.361	70.0	122 198	10 4126
7597	8.8	53 21.09	2.8595	0.0012	10 14 46.5	9.519	0.363	77.8	120 196 575 583	10 4127
7598	8.6	53 28.11	2.7608	0.0004	14 49 34.5	9.528	0.350	80.8	228 289 782 783	14 4120
7599	8.8	53 40.36	2.8239	0.0009	11 55 28.6	9.544	0.358	83.9	216 785 794	11 4074
*7600	8.9	53 41.27	2.8319	0.0010	11 33 0.9	9.545	0.359	90.5	785 794	11 4075

[1] BD 8.0 [2] 9m.5 praec. 1s.0 35″A. [3] BD 7.0 [4] BD 9.1 [5] BD 7.5 [6] BD 7.5 [7] 8.6 8.0 8.2 7.0

Nr.	Gr.	A.R. 1875	Praec.	Var. saec.	Decl. 1875	Praec.	Var. saec.	Ep.	Zonen	B.D.
*7601[1]	9.6	19h 53m 41s.42	+2s.8317	−0s.0010	+11° 33′ 37″.3	+9″.545	+0″.359	92.7	785 R	— —
7602	8.9	53 42.17	2.8249	0.0009	11 52 47.3	9.546	0.358	82.2	216 R	[11° 4076]
7603	8.7	54 1.83	2.8481	0.0011	10 48 5.9	9.571	0.361	70.0	122 198	10 4131
7604	8.7	54 5.63	2.7973	0.0007	13 10 23.2	9.576	0.354	70.6	194 223	13 4232
*7605	8.9	54 7.24	2.8472	0.0011	10 50 42.0	9.578	0.361	80.3	122 198 783 795	10 4132
7606	8.9	19 54 8.00	+2.8473	−0.0011	+10 50 31.0	+9.579	+0.361	80.3	122 198 783 795	10 4133
7607	9.0	54 9.24	2.8054	0.0007	12 47 53.9	9.581	0.355	70.6	192 222	[12 4179]
7608	8.7	54 11.11	2.8338	0.0010	11 28 39.0	9.583	0.359	80.3	128 202 785 794	11 4078
7609	8.6	54 23.96	2.8308	0.0010	11 37 31.3*	9.600	0.358	80.3	124 204 794 795	11 4079
7610	8.7[2]	54 27.11	2.7673	0.0004	14 33 43.3	9.604	0.350	71.1	228 289	14 4125
7611	7.2[3]	19 54 28.89	+2.8065	−0.0008	+12 45 33.7	+9.606	+0.355	84.0 85.6	223 792δ 793 796	12 4184
7612	9.5	54 32.14	2.8601	0.0012	10 14 43.4	9.610	0.362	85.7	577 585	[10 4135]
7613	8.8	54 32.65	2.8289	0.0010	11 43 2.8	9.611	0.358	70.0	124 204	11 4081
7614	8.9	54 34.59	2.8332	0.0010	11 30 51.8	9.613	0.358	70.0	124 204	11 4082
7615	8.8	54 46.72	2.8051	0.0008	12 49 48.5	9.629	0.355	70.6	192 194 222 223	12 4188
7616	8.5	19 54 46.74	+2.7696	−0.0005	+14 28 10.1	+9.629	+0.350	71.3	226 289 290	14 4127
7617	8.7	54 48.30	2.8509	0.0012	10 41 26.3	9.631	0.361	70.0	122 198	10 4137
7618	8.8	54 52.63	2.7748	0.0005	14 14 12.3	9.637	0.351	71.1	225 226 287 290	14 4129
7619	8.5	54 54.36	2.7707	0.0005	14 25 25.9	9.639	0.350	71.1	226 228 289 290	14 4128
7620	8.7	55 0.43	2.8363	0.0010	11 22 54.8	9.646	0.358	70.0	128 202	11 4086
7621	7.3	19 55 1.69	+2.8008	−0.0007	+13 2 13.4	+9.648	+0.354	70.6	192 222	12 4189
7622	8.9	55 9.40	2.8610	0.0013	10 13 16.1	9.658	0.361	84.6	5 Beob.	10 4139
7623	8.9	55 12.10	2.8644	0.0013	10 3 40.2	9.661	0.362	77.3	120 196 515 521	10 4140
7624	8.8	55 14.16	2.8306	0.0010	11 39 11.0	9.664	0.358	70.0	124 204	11 4090
7625	7.0	55 21.10	2.7763	0.0005	14 10 47.2	9.673	0.350	71.1	225 287	14 4132
7626	7.8[4]	19 55 22.65	+2.7703	−0.0005	+14 27 28.0	+9.675	+0.350	71.1	226 290	14 4133
7627	8.3[5]	55 24.69	2.7555	0.0004	15 8 13.4	9.678	0.348	71.1	228 289	15 4020
7628	8.4[6]	55 25.80	2.7614	0.0004	14 52 1.3	9.679	0.349	71.1	228 289	14 4134
*7629	8.2	55 29.03	2.8573	0.0012	10 24 17.6	9.683	0.361	90.6	792δ 793 796	} 10 4143
*7630	7.7	55 29.09	2.8573	0.0012	10 24 13.0	9.683	0.361	90.6	792δ 793 796	}
7631	9.2	19 55 31.30	+2.7673	−0.0005	+14 35 59.3	+9.686	+0.349	80.8	228 289 782 783	14 4136
7632	8.8	55 36.61	2.8263	0.0009	11 52 6.4	9.693	0.357	83.9	216 785 794	11 4093
7633	8.9	55 37.05	2.8321	0.0010	11 35 44.7	9.693	0.357	70.0	128 202	11 4094
7634	8.6	55 37.42	2.7793	0.0005	14 3 8.3	9.694	0.351	80.9 82.8	5 Beob.	14 4140
7635	8.8	55 48.35	2.7669	0.0004	14 37 42.4	9.708	0.349	71.1	226 290	14 4144
7636	8.8	19 56 1.58	+2.8279	−0.0010	+11 48 3.9*	+9.724	+0.356	80.3	124 204 785 794	11 4098
7637	9.3	56 2.49	2.7587	0.0004	15 0 39.3	9.726	0.348	82.6	289 R	[14 4145]
7638	8.7	56 2.81	2.7855	0.0006	13 46 47.8	9.726	0.351	71.1	225 287	13 4245
7639	8.8	56 12.04	2.8243	0.0009	11 58 33.9	9.738	0.356	82.2	216 R	[11 4100]
7640	7.3	56 13.21	2.8579	0.0013	10 23 36.3	9.739	0.360	70.2	120 196 198	10 4147
7641	9.0	19 56 29.50	+2.7594	−0.0004	+14 59 44.1	+9.760	+0.347	71.1	228 289	14 4146
7642	7.2[7]	56 31.31	2.7905	0.0006	13 33 49.4	9.762	0.351	70.6	194 223	13 4247
7643	8.8	56 36.25	2.8633	0.0013	10 8 37.2	9.769	0.360	77.3	120 196 515 521	10 4148
7644	8.7	56 43.20	2.7617	0.0004	14 53 45.6	9.777	0.347	84.2	294 782 783	14 4148
7645	8.4	56 45.60	2.8062	0.0008	12 50 27.4	9.781	0.353	70.6	192 222	12 4196
7646	6.8[8]	19 56 48.27	+2.8239	−0.0009	+12 0 40.5	+9.784	+0.355	83.9	216 785 794	11 4104
7647	8.0	56 53.78	2.7593	0.0004	15 0 45.9*	9.791	0.347	80.8	228 289 782 783	14 4149
7648	7.6[9]	56 54.97	2.8546	0.0012	10 33 51.3	9.793	0.359	70.0	122 198	10 4153
7649	9.5[10]	56 58.06	2.7668	0.0004	14 40 13.4	9.796	0.348	82.7	294 R	— —
*7650	8.8	56 58.18	2.8542	0.0012	10 35 8.9	9.797	0.359	70.0	122 198	10 4154

[1] 10m.5 1′.3 345° [2] BD 8.2 [3] 8.0 6.8 7.1 6.9; BD 7.8; 10m.0 0′.6 238° [4] 7.5 8.2; BD 6.7
[5] BD 7.6 [6] BD 7.5 [7] BD 6.5 [8] 7.5 6.6 6.4; Z. 785 röthlich [9] BD 6.9 [10] 9.0 10.0

Nr.	Gr.	A.R. 1875	Praec.	Var. saec.	Decl. 1875	Praec.	Var. saec.	Ep.	Zonen	B. D.
*7651	8.9	19h 56m 58s.47	+2s.7724	−0s.0005	+14° 24′ 46″.3	+ 9″.797	+0″.348	80.8	226 290 783 795	14° 4152
7652	7.1[1]	56 59.07	2.7763	0.0005	14 14 4.2	9.798	0.349	71.1	226 290	14 4150
7653	9.0[2]	56 59.12*	2.7714	0.0005	14 27 42.4	9.798	0.348	96.7	R(3)	14 4151
7654	8.6	57 1.60	2.8173	0.0009	12 19 48.9	9.801	0.354	77.3 80.6	192 222 792δ 793	12 4197
7655	8.8	57 3.58	2.8234	0.0009	12 2 40.9	9.803	0.355	83.9	216 785 794	11 4106
7656[3]	8.9	19 57 6.81	+2.8191	−0.0009	+12 14 52.0	+ 9.808	+0.354	80.7	216 796	12 4198
7657	8.7	57 12.88	2.8096	0.0008	12 41 47.8	9.815	0.353	70.6	192 222	12 4199
7658	8.9	57 13.59	2.8056	0.0008	12 53 0.8	9.816	0.353	70.6	194 223	12 4200
7659	9.0	57 14.59	2.7961	0.0007	13 19 36.6	9.818	0.351	70.6	194 223	13 4249
7660[4]	8.7	57 16.56	2.7612	0.0004	14 56 16.8	9.820	0.347	81.1	294 795	14 4153
*7661	8.5	19 57 18.26	+2.7575	−0.0004	+15 6 46.6	+ 9.822	+0.346	71.1	228 289	15 4029
7662	8.3	57 25.29	2.8285	0.0010	11 48 51.1	9.831	0.355	80.3	124 204 785 794	11 4110
7663	8.8	57 31.35	2.7663	0.0004	14 42 45.8	9.839	0.347	85.6	230 793 795 796	14 4155
7664	8.8	57 40.69	2.8098	0.0008	12 42 0.8*	9.851	0.353	82.2	222 R	[12 4203]
*7665	8.9	57 42.35	2.7576	0.0004	15 7 15.9	9.853	0.346	80.8	228 294 782 783	15 4032
7666	8.6	19 57 42.43	+2.8548	−0.0012	+10 34 35.3	+ 9.853	+0.358	70.0	122 198	10 4160
7667	8.2	57 50.81	2.8647	0.0013	10 6 37.9	9.863	0.359	77.3	120 196 515 521	10 4162
7668	9.0	57 52.38	2.8639	0.0013	10 8 52.9	9.866	0.359	84.6	515 521	[10 4163]
*7669	9.0	57 56.18	2.7951	0.0007	13 23 39.9	9.870	0.351	70.9	194 225 287	13 4250
7670	9.2	57 59.28	2.8646	0.0013	10 7 2.7	9.874	0.359	84.6	515 521	[10 4164][5]
7671	9.0	19 58 0.42	+2.7767	−0.0005	+14 14 56.7	+ 9.876	+0.348	71.1	226 290	} 14 4157
7672	9.1	58 1.29	2.7767	0.0005	14 15 11.6	9.877	0.348	71.1	226 290	
7673	8.4	58 2.85	2.8601	0.0013	10 19 52.0	9.879	0.359	70.0	122 198	10 4165
7674	8.0[6]	58 3.60	2.7685	0.0005	14 37 56.3	9.880	0.347	71.1	228 294	14 4158
7675	8.8	58 6.30	2.8248	0.0009	12 0 20.1	9.883	0.354	83.9	216 785 794	11 4111
7676	8.0	19 58 14.64	+2.8368	−0.0011	+11 26 35.8	+ 9.894	+0.356	70.0	128 202	11 4114
7677	8.8	58 16.08*	2.8154	0.0008	12 27 21.4	9.896	0.353	85.6	216 793 795 796	— —
7678	8.7	58 16.17	2.7661	0.0004	14 44 59.8	9.896	0.346	71.3	228 289 294	14 4161
7679	8.5[7]	58 22.35	2.8151	0.0009	12 28 18.2*	9.904	0.353	85.6	216 793 795 796	12 4208
7680	8.6	58 29.74	2.8576	0.0012	10 27 44.0	9.913	0.358	70.0	120 196	10 4166
7681	8.2	19 58 41.82	+2.8406	−0.0011	+11 16 43.0	+ 9.928	+0.356	70.0	128 202	11 4117
7682	8.1[8]	58 48.18	2.8115	0.0008	12 39 22.2	9.936	0.352	70.6	192 222	12 4209
7683	8.7	58 58.18	2.7888	0.0006	13 43 11.5	9.949	0.349	71.1	225 287	13 4255
7684	8.1[9]	59 5.35	2.7961	0.0007	13 23 0.0	9.958	0.350	70.6	194 223	13 4258
7685	8.2[10]	59 15.59	2.7957	0.0007	13 24 38.8	9.971	0.349	70.6	194 223	13 4259
7686	9.0	19 59 17.08	+2.8537	−0.0012	+10 40 3.7	+ 9.973	+0.357	70.0	122 198	10 4168
7687	9.0	59 20.69	2.8379	0.0011	11 25 28.5	9.977	0.355	70.0	128 202	11 4121
7688	8.9	59 20.96	2.7842	0.0006	13 57 0.8	9.978	0.348	71.1	225 287	13 4261
7689	8.6	59 38.62	2.7905	0.0006	13 39 48.9	10.000	0.348	71.1	225 287	13 4262
7690	6.7[11]	59 41.49	2.7586	0.0004	15 8 40.2	10.004	0.344	71.1	228 289	15 4040
7691	8.8	19 59 43.60	+2.8257	−0.0010	+12 0 53.3	+10.006	+0.353	83.9	216 785 794	11 4124
7692	8.4	59 43.87	2.8099	0.0008	12 45 29.3	10.007	0.351	70.6	192 222	12 4212
7693	8.3	59 45.90	2.8303	0.0010	11 47 50.0	10.009	0.353	70.0	124 204	11 4126
7694	9.0	59 47.43	2.8257	0.0009	12 0 47.3	10.011	0.353	90.5	785 794	[11 4125]
7695	8.9	59 50.20	2.7609	0.0004	15 2 41.4	10.015	0.345	71.1	228 289	[14 4169]
7696	8.8	19 59 51.95	+2.8418	−0.0011	+11 15 10.2	+10.017	+0.355	70.0	128 202	11 4127
7697[12]	8.7	59 52.46	2.8216	0.0009	12 12 34.8*	10.018	0.352	84.0 85.6	216 792δ 793 796	12 4213
7698	8.3[13]	20 0 2.48	2.7609	0.0004	15 3 11.6	10.030	0.344	90.5	782 783	14 4171
7699	8.7	0 14.75	2.7648	0.0004	14 52 45.7	10.046	0.345	71.1	226 228 289 290	14 4173
7700	9.0	0 22.66	2.7656	0.0004	14 50 57.1	10.056	0.345	71.1	228 289	14 4174

[1] BD 6.5 [2] Grösse nach BD [3] 9m.3 praec. 5s 2′B. [4] 9m.3 praec. 8s in par. [5] L = BD −4′.2
[6] BD 7.0; Schätz. 8.0 8.0 [7] BD 9.2; Schätz. 8.9 8.8 8.3 8.2 [8] BD 7.3; Schätz. 8.3 8.0 [9] 7.5 8.7; BD 8.7
[10] 8.7 7.8; BD 7.5 [11] 6.7 [7.5]; BD 6.0 [12] 9m.2 praec. 6s.8 1′.4 B. [13] BD 8.9; Z. 783 orange

Nr.	Gr.	A.R. 1875	Praec.	Var. saec.	Decl. 1875	Praec.	Var. saec.	Ep.	Zonen	B.D.
7701	9.1	20h 0m 25s.72	+2s.8135	−0s.0008	+12° 36′ 34″.8	+10″.060	+0″.351	82.2	222 R	[12° 4219][1]
7702	8.7	0 27.44	2.8330	0.0010	11 41 16.4	10.062	0.353	70.0	124 204	11 4130
7703	8.9	0 28.44	2.8144	0.0008	12 34 11.6	10.063	0.351	82.2	222 R	[12 4220][2]
*7704	8.8	0 29.38	2.7959	0.0007	13 26 28.8	10.064	0.348	80.5	194 223 782 783	13 4264
7705[3]	8.4	0 37.71	2.8506	0.0012	10 51 10.8	10.075	0.355	80.3 82.4	5 Beob.	10 4174
7706	8.4	20 0 38.19	+2.8247	−0.0009	+12 5 6.5	+10.075	+0.352	84.0 85.6	216 792δ 793 796	12 4224
7707	7.9[4]	0 41.32	2.8197	0.0009	12 19 26.4	10.079	0.351	70.6	213 216	12 4225
7708	8.6	0 44.45	2.8022	0.0007	13 9 4.0	10.083	0.349	70.6	194 223	13 4269
7709	8.4	0 46.16	2.8293	0.0010	11 52 23.6	10.085	0.352	80.3	124 204 785 794	11 4131
7710	7.6	0 51.48	2.8144	0.0009	12 34 43.8	10.092	0.350	70.6	5 Beob.	12 4226
*7711	8.5	20 0 58.84	+2.8637	−0.0013	+10 13 56.3	+10.101	+0.356	76.7	7 Beob.	10 4176
7712	8.9	1 6.80	2.8272	0.0010	11 58 47.0	10.111	0.352	70.0	124 133 204 211	11 4137
7713	7.8[5]	1 11.14	2.8065	0.0008	12 57 55.1	10.117	0.349	70.7	194 220 246	12 4229
7714	8.8[6]	1 13.67	2.8144	0.0009	12 35 35.6	10.120	0.350	94.9	R(2)	12 4228
7715	8.6	1 13.87	2.8635	0.0013	10 14 58.5	10.120	0.356	76.7	7 Beob.	10 4178
7716	8.5[7]	20 1 14.46	+2.8265	−0.0010	+12 1 2.6	+10.121	+0.351	70.1	124 135 204 213	11 4138
7717	9.2	1 19.07	2.8154	0.0009	12 32 52.1	10.127	0.350	90.5	787 788	— —
7718	9.1	1 20.71	2.8534	0.0012	10 44 19.1*	10.129	0.355	70.0	122 198	[10 4179]
7719	8.9	1 21.28	2.8128	0.0008	12 40 25.0	10.130	0.350	70.6	215 216	12 4230
7720	7.7	1 21.53	2.8543	0.0012	10 41 45.6*	10.130	0.355	70.1	5 Beob.	10 4180
7721	8.1	20 1 23.75	+2.7651	−0.0004	+14 54 27.5	+10.133	+0.344	71.1	228 230 289 294	14 4179
7722	8.9	1 31.02	2.7700	0.0005	14 41 8.5	10.142	0.344	82.7	291 R	[14 4182]
7723	8.8	1 38.43	2.8286	0.0010	11 55 53.6	10.151	0.351	83.8	192 786 787	11 4143
*7724	8.9	1 44.47	2.8005	0.0007	13 15 48.4	10.159	0.348	70.7	194 220 223 246	13 4273[8]
7725	8.7	1 53.79*	2.8275	0.0010	11 59 33.1	10.171	0.351	70.2	7 Beob.	11 4144
7726	8.7	20 2 8.70*	+2.7677	−0.0004	+14 48 58.6*	+10.189	+0.343	80.8	236 293 786 787	14 4188
7727	8.3	2 24.64	2.8414	0.0011	11 20 30.1	10.209	0.352	70.3	135 192 213 222	11 4146
7728	7.8	2 25.69	2.8440	0.0011	11 13 14.3	10.211	0.353	70.1	133 211	11 4147
7729	8.7	2 29.13	2.8542	0.0012	10 43 48.5	10.215	0.354	70.2	130 205 209	10 4186
7730	8.9	2 30.87	2.8440	0.0011	11 13 25.6	10.217	0.352	70.1	133 211	11 4148
7731	7.3[9]	20 2 40.63	+2.8619	−0.0013	+10 21 47.1	+10.229	+0.354	70.0	127 200	10 4189
7732	8.8	2 41.45	2.8301	0.0010	11 53 28.7	10.230	0.350	70.6	192 222	11 4149
7733	8.8	2 45.48	2.8275	0.0010	12 1 5.9	10.235	0.350	83.8	192 786 787	11 4150
7734	8.7	2 53.70	2.7710	0.0005	14 41 10.2	10.246	0.343	71.1	233 291	14 4195
7735	7.6[10]	2 55.92	2.8308	0.0010	11 51 55.8	10.249	0.350	70.7	6 Beob.	11 4153
7736	8.7[11]	20 2 58.69	+2.7875	−0.0006	+13 55 4.3	+10.252	+0.345	71.1	238 292	[13 4281]
7737	8.7	3 7.10	2.8275	0.0010	12 1 33.3	10.262	0.350	70.6	192 213 215 246	11 4154
7738	8.3	3 8.96	2.8144	0.0008	12 39 7.7	10.265	0.348	70.7	215 244	12 4236
7739	8.9	3 10.28	2.8581	0.0013	10 33 49.1	10.267	0.354	70.5	205 209	[10 4190]
7740	8.6	3 14.22	2.8461	0.0012	11 8 21.3	10.271	0.352	83.9	211 786 787	11 4155
7741	8.5	20 3 17.61	+2.7654	−0.0004	+14 57 50.2	+10.276	+0.342	71.1	230 294	14 4199
7742	8.6	3 22.30	2.8584	0.0013	10 33 11.0	10.282	0.353	70.2	130 205 209	10 4191
7743	7.8	3 25.17	2.8611	0.0013	10 25 18.5	10.285	0.354	70.2	130 205 209	10 4192
7744	8.9	3 25.28	2.8046	0.0007	13 7 27.4	10.285	0.347	70.8	220 246	13 4284
7745	8.8	3 48.47	2.8190	0.0009	12 27 14.6	10.314	0.348	70.7	215 244	12 4239
7746	9.1	20 3 52.88	+2.8615	−0.0013	+10 25 3.6	+10.320	+0.353	70.0	127 200	[10 4194]
7747	8.8	3 56.67	2.7785	0.0005	14 22 18.4*	10.325	0.343	71.1	233 291	14 4202
7748	8.6	4 0.11	2.7873	0.0006	13 57 39.6	10.329	0.344	71.1	238 292	13 4290
7749	8.9	4 7.35	2.8670	0.0014	10 9 24.5	10.338	0.354	87.6	5 Beob.	10 4196
7750	8.3	4 24.15	2.8215	0.0009	12 21 7.2	10.359	0.348	70.7	215 244	12 4241

[1] L = BD +2′.3 [2] L = BD −4s.7 [3] 10m seq. 5s.2 0′.5 B. [4] BD 7.0; Schätz. 7.8 8.0 [5] BD 7.2
[6] Grösse nach BD [7] BD 9.0 [8] L = BD +3′.2 [9] BD 6.0 [10] BD 7.0 [11] BD 9.2

Nr.	Gr.	A.R. 1875	Praec.	Var. saec.	Decl. 1875	Praec.	Var. saec.	Ep.	Zonen	B.D.
7751	8.7	20h 4m 26s.79	+2s.8461	−0s.0012	+11° 10′ 27″.8	+10″.362	+0″.351	70.2	130 205 209	11° 4162
7752	8.0[1]	4 43.31	2.7830	0.0006	14 11 34.4	10.383	0.343	71.1	236 293	14 4209
7753[2]	8.6	4 52.42	2.8331	0.0010	11 48 40.9	10.394	0.349	70.1	133 211	11 4165
7754	8.7	4 58.81	2.7756	0.0005	14 32 52.8	10.402	0.341	71.1	236 293	14 4210
7755	8.3	4 58.90	2.7696	0.0004	14 49 56.1	10.402	0.341	71.1	230 294	14 4211
7756	8.6	20 5 23.55	+2.8288	−0.0010	+12 2 3.4	+10.433	+0.348	70.1	135 213	11 4167
7757	8.3	5 26.87	2.7954	0.0007	13 37 57.7	10.437	0.344	71.1	238 292	13 4297
7758	8.7	5 32.80	2.7730	0.0005	14 41 24.8	10.445	0.341	82.8	5 Beob.	14 4213
7759	8.7	5 41.55	2.8432	0.0011	11 21 11.7	10.455	0.349	70.1	133 211	11 4168
7760	8.9[3]	5 42.14	2.7955	0.0007	13 38 5.9	10.456	0.343	71.1	238 292	13 4300
7761	8.8	20 5 46.54	+2.8321	−0.0010	+11 53 21.8	+10.462	+0.348	70.1	133 211	11 4170
7762	8.4	5 48.74	2.7865	0.0006	14 4 1.1	10.464	0.342	71.1	233 291	14 4214
7763	7.7[4]	5 50.17	2.7820	0.0005	14 16 42.1	10.466	0.342	71.1'	236 293	14 4215
7764	8.9	5 58.03	2.7912	0.0006	13 50 51.5*	10.476	0.343	71.1	5 Beob.	13 4302
7765	9.3	6 0.42	2.7974	0.0007	13 33 25.2	10.479	0.343	92.7 93.4	787 R(2)	— —
7766	8.8	20 6 0.70	+2.7970	−0.0007	+13 34 33.2	+10.479	+0.343	80.6	220 246 786 787	13 4303
7767	8.9	6 4.28*	2.7718	0.0005	14 46 10.1	10.483	0.340	79.0	5 Beob.	14 4217
7768	8.3[5]	6 6.00	2.8602	0.0013	10 32 41.4	10.486	0.351	70.2	130 205 209	10 4203
7769	7.9[6]	6 17.93	2.7673	0.0004	14 59 9.0	10.501	0.339	71.1	230 294	14 4219
7770	8.4	6 18.97	2.7913	0.0006	13 51 18.6	10.502	0.342	70.9	233 238 240 291	13 4305
7771	8.7	20 6 19.50	+2.8289	−0.0010	+12 3 32.8	+10.503	+0.347	70.1	135 213	12 4256
7772	8.5	6 24.63	2.7804	0.0005	14 22 23.5	10.509	0.341	80.8	233 291 786 787	14 4220
7773	9.1[7]	6 30.09	2.7666	0.0004	15 1 46.9	10.516	0.339	71.1	230 294	14 4221
7774	8.7	6 30.18	2.8533	0.0012	10 53 7.5	10.516	0.350	70.2	130 205 209	10 4205
7775	8.8	6 33.74	2.8656	0.0014	10 17 27.9	10.520	0.351	77.3	127 200 515 521	10 4206
7776	8.7	20 6 34.23	+2.7965	−0.0007	+13 36 58.0	+10.521	+0.343	71.1	238 292	13 4306
*7777	8.8	6 35.34	2.8510	0.0012	10 59 55.5	10.522	0.349	70.2	130 205 209	10 4208
7778	8.7	6 41.18	2.8559	0.0013	10 45 56.1	10.529	0.350	70.3	133 205 209 211	10 4209
7779	8.9	6 45.26	2.7968	0.0007	13 36 31.2	10.535	0.342	71.1	238 292	13 4310
7780	8.8	6 45.48	2.7911	0.0006	13 52 54.4	10.535	0.342	71.1	233 291	13 4309
7781	8.5	20 6 48.51	+2.8019	−0.0007	+13 22 13.9	+10.539	+0.343	70.8	220 246	13 4311
7782	8.8	6 52.95	2.8348	0.0010	11 47 39.6	10.544	0.347	70.2	135 211 213	11 4178
7783	8.6	7 1.13	2.7686	0.0004	14 57 22.7	10.554	0.339	71.1	230 294	14 4223
7784	7.7[8]	7 8.39	2.8415	0.0011	11 28 43.8	10.563	0.348	70.2	135 211 213	11 4180
7785	8.7	7 18.50	2.8567	0.0013	10 44 34.0	10.576	0.349	70.2	130 205 209	10 4214
7786	8.9	20 7 21.96	+2.8635	−0.0013	+10 24 45.7	+10.580	+0.350	70.0	127 200	10 4215
7787	8.9	7 29.52	2.8186	0.0009	12 35 33.3	10.589	0.344	82.3	244 R	[12 4258]
7788	8.0[9]	7 37.15	2.7885	0.0006	14 2 7.2	10.599	0.341	71.1	238 292	13 4313
7789	8.8	7 38.13	2.8071	0.0008	13 8 55.1	10.600	0.343	70.8	220 246	13 4314
7790	8.9	7 45.14	2.8247	0.0009	12 18 33.3	10.609	0.345	76.9	135 213 786	[12 4260]
7791[10]	9.0	20 7 46.74	+2.7988	−0.0007	+13 32 58.4	+10.611	+0.342	82.7	293 R	— —
7792	8.8	7 48.61	2.8176	0.0009	12 39 2.3	10.613	0.344	70.7	215 244	12 4261
7793	9.0	7 53.34	2.7790	0.0005	14 29 40.8	10.619	0.339	82.7	293 R	— —
7794	9.0	8 1.10	2.8524	0.0012	10 58 18.0	10.629	0.348	82.2	209 R	[10 4220]
7795	8.9[11]	8 4.30	2.7830	0.0005	14 18 45.6	10.633	0.339	71.1	233 291	14 4225
7796	8.7	20 8 5.11	+2.7916	−0.0006	+13 54 25.2	+10.633	+0.340	71.1	238 292	13 4317
7797	8.9	8 9.39	2.8249	0.0009	12 18 50.8	10.639	0.345	90.5	787 788	12 4262
7798	8.4	8 13.62	2.8036	0.0007	13 20 20.7	10.644	0.342	80.6	220 246 786 787	13 4318
7799	9.0	8 17.60	2.8037	0.0007	13 20 13.2	10.649	0.342	70.8	220 246	[13 4319]
7800	8.6	8 24.95	2.7948	0.0006	13 45 57.8	10.658	0.341	71.1	238 292	13 4320

[1] BD 7.5 [2] 9m.8 seq. 4s 6′A.; 9m.5 seq. 6s.0 0′.8 A.; 9m.6 seq. 16s.8 7′A. [3] 9m.1 praec. 2s 17″A.
[4] BD 7.1; Schätz. 7.8 7.7 [5] BD 7.8 [6] BD 7.3 [7] 9m.3 17″ 2°.5 [8] 7.3 8.6 7.3; BD 6.3
[9] BD 7.0; Schätz. 8.1 8.0 [10] 9m.3 seq. 6s 1′B. [11] 9m.2 18″ 7°.5

Nr.	Gr.	A.R. 1875	Praec.	Var. saec.	Decl. 1875	Praec.	Var. saec.	Ep.	Zonen	B.D.
7801	4.5[1]	20h 8m 29s.56	+2s.7727	−0s.0004	+14° 49′ 4″.0	+10″.664	+0″.338	71.1	230 294	14° 4227
7802	8.6	8 36.61	2.8012	0.0007	13 28 0.3	10.672	0.341	71.1	240 293	13 4322
7803	8.9	8 43.27	2.7878	0.0006	14 6 41.9	10.681	0.339	71.1	240 293	14 4233
7804	7.0[2]	8 52.89	2.8709	0.0014	10 5 36.3	10.692	0.350	79.4	5 Beob.	10 4224
7805	8.6	8 54.86	2.8533	0.0012	10 57 17.1	10.695	0.347	70.2	130 205 209	10 4225
7806	8.5	20 8 57.72	+2.8140	−0.0008	+12 51 51.7	+10.698	+0.342	70.7	215 244	12 4264
7807	9.1	8 59.13	2.7733	0.0004	14 48 26.6	10.700	0.337	82.7	292 R	[14 4234]
7808	7.9	9 9.44	2.8174	0.0009	12 42 25.4	10.713	0.343	70.7	215 244	12 4265
7809	8.8	9 16.63	2.7728	0.0004	14 50 34.2	10.722	0.337	71.1	238 240 292 293	14 4237
7810	8.8	9 19.06	2.8630	0.0013	10 29 34.8	10.725	0.348	70.2	130 205 209	10 4227
7811	8.0	20 9 37.39	+2.8061	−0.0007	+13 16 3.6	+10.747	+0.341	70.8	220 246	13 4332
7812	8.7	9 47.66*	2.7687	0.0004	15 3 22.5	10.760	0.336	80.8	230 294 786 787	14 4240
7813	8.8	9 52.16	2.8021	0.0007	13 28 5.2	10.765	0.340	70.8	220 246	13 4334
7814	7.7	9 58.90	2.7714	0.0004	14 56 7.9	10.774	0.336	71.1	230 294	14 4242
7815	8.6	10 1.85	2.8704	0.0014	10 9 0.7	10.777	0.348	79.4	5 Beob.	10 4229
7816	8.3	20 10 7.08	+2.8414	−0.0011	+11 34 30.8	+10.784	+0.345	70.1	133 211	11 4193
7817	8.8	10 12.99	2.8507	0.0012	11 7 11.1	10.791	0.346	70.2	130 205 209	11 4194
7818	8.6	10 20.42	2.8652	0.0014	10 24 41.5	10.800	0.347	70.0	127 200	10 4232
7819	8.7	10 21.07	2.8203	0.0009	12 36 17.8	10.801	0.342	70.1	135 213	12 4273
7820	9.2	10 31.92	2.8521	0.0012	11 3 43.4	10.814	0.346	70.0	130 205	[10 4233]
7821	8.1	20 10 38.09	+2.8422	−0.0011	+11 33 3.0	+10.822	+0.344	70.1	133 211	11 4198
7822	9.1	10 43.70	2.8440	0.0011	11 28 1.4	10.829	0.344	80.5	211 787	11 4200
7823	8.9	10 44.27	2.8518	0.0012	11 5 10.4	10.830	0.345	70.2	130 205 209	11 4201
7824	8.8	10 53.01	2.8507	0.0012	11 8 22.4	10.840	0.345	70.2	130 205 209	11 4202
7825	8.8	11 6.66	2.7669	0.0004	15 11 56.1	10.857	0.335	80.8	230 294 786 787	15 4115
7826	8.1	20 11 28.24	+2.8370	−0.0010	+11 49 58.8	+10.883	+0.343	70.1	133 211	11 4204
7827	9.0[3]	11 28.90	2.8222	0.0009	12 33 3.5	10.884	0.341	70.1	135 213	[12 4277]
7828	8.6	11 35.80	2.7832	0.0005	14 26 18.3	10.893	0.336	71.1	233 291	14 4249
7829	8.6[4]	12 5.26	2.7771	0.0004	14 44 56.8	10.929	0.335	71.1	236 293	14 4251
7830	9.0	12 17.82	2.7739	0.0004	14 54 43.1	10.944	0.334	71.1	230 294	14 4253
7831	8.6	20 12 25.01	+2.7763	−0.0004	+14 48 9.7	+10.953	+0.334	80.8	236 293 786 787	14 4255
7832	8.5	12 35.49	2.8627	0.0013	10 36 15.7	10.966	0.345	70.2	130 205 209	10 4241
7833	8.6	12 41.26	2.8223	0.0009	12 35 30.3	10.973	0.340	83.9	213 786 787	12 4282
7834	8.9	12 44.70	2.8158	0.0008	12 54 34.6	10.977	0.339	70.8	220 246	12 4283
7835	8.8	12 54.81	2.8243	0.0009	12 29 54.5	10.989	0.340	70.3	135 215 244	12 4286
7836	8.5	20 13 4.27	+2.8340	−0.0010	+12 1 46.8	+11.001	+0.341	70.1	135 213	11 4213
7837	8.8	13 7.34	2.8541	0.0012	11 2 32.7	11.004	0.343	70.2	130 205 209	10 4246
7838	7.2	13 20.00	2.7939	0.0006	13 59 39.9	11.020	0.336	71.1	238 292	13 4355
7839	8.7	13 22.59	2.7893	0.0006	14 12 47.5	11.023	0.335	71.1	236 293	14 4256
7840	7.4	13 31.89	2.7943	0.0006	13 58 47.7	11.034	0.336	71.1	238 292	13 4356
7841	8.6	20 13 32.26	+2.8401	−0.0011	+11 44 47.6	+11.035	+0.341	70.1	133 211	11 4217
7842	8.0	13 34.78	2.8040	0.0007	13 30 50.8	11.038	0.337	70.8	220 246	13 4357
7843	7.1[5]	13 37.15	2.8181	0.0008	12 49 35.8	11.041	0.338	70.7	215 244	12 4289
7844	8.4	13 44.46	2.8224	0.0009	12 37 12.1	11.050	0.339	70.7	215 244	12 4291 pr.
7845	8.4	13 45.02	2.7882	0.0005	14 17 6.6	11.050	0.335	71.3	233 291 293	14 4259
7846	7.8	20 13 45.37	+2.7701	−0.0004	+15 9 16.1	+11.051	+0.332	71.1	230 294	15 4128
7847	8.3	13 45.60	2.8226	0.0009	12 36 50.1	11.051	0.339	70.7	215 244	12 4291 sq.
7848	8.5	13 53.08	2.8344	0.0010	12 2 14.7	11.060	0.340	70.1	135 213	11 4220
7849[6]	8.9	13 53.38	2.7741	0.0004	14 58 0.7	11.061	0.333	71.1	230 294	14 4260
7850	8.6	14 7.73	2.8604	0.0013	10 45 37.0	11.078	0.343	70.2	130 205 209	10 4250

[1] BD 5.0 [2] 7.2 7.7 7.0 5.5 7.7 [3] BD 9.5 [4] BD 9.1 [5] BD 5.6; Schätz. 7.3 7.0; Z. 244 röthlich; Refr. 1893 Oct. 23 5.8 gelb [6] 9m.0 praec. 12s 5″ B.

Nr.	Gr.	A.R. 1875	Praec.	Var. saec.	Decl. 1875	Praec.	Var. saec.	Ep.	Zonen	B.D.
7851	6.7[1]	$20^h\ 14^m\ 8^s.71$	$+2^s.8118$	$-0^s.0008$	+13° 9' 22".5	+11".079	+0".337	70.8	220 246	13° 4360
7852	7.4[2]	14 13.29	2.8541	0.0012	11 4 39.0	11.085	0.342	70.2	5 Beob.	11 4225
7853	8.8	14 21.40	2.8296	0.0010	12 17 30.8	11.095	0.339	90.5	786 787	12 4294
7854	8.7	14 25.04	2.7762	0.0004	14 53 10.3	11.099	0.332	71.1	230 294	14 4262
7855	9.0	14 27.42	2.8214	0.0009	12 41 41.9	11.102	0.338	70.7	215 244	12 4295
7856	8.4	20 14 27.83	+2.8675	−0.0014	+10 25 6.6	+11.103	+0.343	70.0	127 200	10 4252
7857	7.1[3]	14 28.51*	2.7708	0.0004	15 8 56.5	11.103	0.332	80.8	230 294 786 787	15 4137
7858	6.8	14 31.80	2.7911	0.0006	14 10 33.8*	11.107	0.334	71.1	233 291	14 4263
7859	8.9	14 38.75	2.8630	0.0013	10 38 59.1	11.116	0.343	70.2	130 205 209	10 4254
7860	8.7[4]	14 40.28	2.8688	0.0014	10 21 37.9	11.118	0.343	70.0	127 200	10 4255
7861	8.8	20 14 46.64	+2.8272	−0.0009	+12 25 28.1	+11.125	+0.338	80.3	135 213 786 787	12 4297
7862	8.8	14 56.04	2.7838	0.0005	14 32 35.4	11.137	0.333	71.1	236 293	14 4264
7863	8.9	14 58.06	2.8144	0.0008	13 3 34.5	11.139	0.336	70.8	220 246	[12 4298]
7864	8.8	15 10.76	2.7908	0.0005	14 12 56.4	11.155	0.333	71.1	233 291	14 4266
7865	8.1	15 16.98	2.8270	0.0009	12 26 54.2	11.162	0.338	70.1	135 213	12 4299
7866	8.9	20 15 20.98	+2.7967	−0.0006	+13 56 7.9	+11.167	+0.334	71.1	233 291	13 4367
7867	8.5	15 22.68	2.7999	0.0006	13 46 50.8	11.169	0.334	71.1	238 292	13 4368
*7868	9.0	15 24.09	2.7922	0.0006	14 9 13.7	11.171	0.333	90.5	786 787	[14 4267]
7869	7.2[5]	15 27.84	2.7808	0.0005	14 42 34.2	11.175	0.332	71.1	236 293	14 4268
7870	7.8[6]	15 33.61	2.8155	0.0008	13 1 34.1*	11.182	0.336	77.4	220 246 788	12 4300
7871	7.7	20 15 38.26	+2.8647	−0.0013	+10 35 45.0	+11.188	+0.342	80.5	200 788	10 4259
7872[7]	8.9	15 39.52	2.8552	0.0012	11 3 57.3*	11.189	0.341	70.2	5 Beob.	11 4234
7873	8.8	15 44.01	2.7757	0.0004	14 57 58.0	11.195	0.331	80.8	230 294 786 787	14 4269
7874	8.6	15 47.95	2.7744	0.0004	15 1 54.8	11.200	0.331	77.6	230 294 788	14 4270
7875	8.4	15 50.01	2.8103	0.0007	13 17 28.8	11.202	0.335	71.1	238 292	13 4369
7876	9.0	20 15 54.08	+2.8074	−0.0007	+13 26 2.1	+11.207	+0.335	71.1	238 292	13 4370
7877	8.8	15 58.93	2.7721	0.0004	15 8 57.7	11.213	0.330	71.1	230 294	15 4140
7878	7.8[8]	16 4.40	2.8124	0.0008	13 11 46.0	11.220	0.335	70.8	220 246	13 4371
7879	8.7	16 5.41	2.8561	0.0012	11 2 16.4	11.221	0.340	70.2	130 205 209	10 4261
7880	9.1	16 18.15*	2.8511	0.0012	11 17 41.1*	11.236	0.340	82.2	211 R	[11 4238]
7881	8.4	20 16 29.77	+2.7857	−0.0005	+14 30 49.5	+11.250	+0.332	71.1	236 293	14 4272
7882	8.3	16 47.60	2.8509	0.0012	11 19 3.2	11.272	0.339	70.1	133 211	11 4243
7883	7.3	16 49.93	2.8363	0.0010	12 2 42.8	11.274	0.337	70.1	135 213	11 4244
7884	8.0	16 51.56	2.8182	0.0008	12 56 34.1	11.277	0.335	70.7	215 220 244 246	12 4307
*7885	8.7	16 56.71	2.8183	0.0008	12 56 14.5	11.283	0.335	70.7	215 220 244 246	12 4308
7886	6.6[9]	20 17 2.54	+2.7936	−0.0006	+14 9 7.2	+11.290	+0.332	71.1	233 291	14 4275
7887	8.7	17 4.45	2.7799	0.0004	14 49 10.7	11.292	0.330	71.1	236 293	14 4276
7888	9.0	17 15.35	2.8651	0.0013	10 37 27.7	11.305	0.340	70.0	127 200	10 4263
7889	7.8	17 17.78	2.8639	0.0013	10 41 8.3	11.308	0.340	70.2	130 205 209	10 4264
7890	8.6	17 18.02	2.8439	0.0011	11 41 10.2	11.308	0.338	70.1	133 211	11 4248
7891	8.8	20 17 23.16	+2.8290	−0.0009	+12 25 30.7	+11.314	+0.336	70.1	135 213	12 4311
7892	9.0	17 30.65	2.8645	0.0013	10 39 43.6	11.324	0.340	70.2	130 205 209	10 4268
7893	7.5[10]	17 32.12	2.7774	0.0004	14 57 43.2	11.325	0.329	71.1	230 294	14 4278
7894	8.8	17 44.91	2.8053	0.0007	13 36 37.5	11.341	0.333	71.1	238 292	13 4375
7895	8.7	18 14.85	2.8618	0.0013	10 49 10.3	11.377	0.339	70.2	130 205 209	10 4270
7896	8.7	20 18 29.71	+2.8019	−0.0006	+13 48 22.1	+11.395	+0.331	71.1	238 292	13 4380
7897	8.4	18 29.96	2.8262	0.0009	12 36 25.4	11.395	0.334	70.7	215 244	12 4318
7898	8.6	18 31.35	2.8422	0.0011	11 48 36.8	11.396	0.336	70.1	133 211	11 4250
7899	8.8	18 40.19	2.7985	0.0006	13 58 51.5	11.407	0.331	71.1	233 291	13 4384
7900	8.7	18 42.89	2.8156	0.0008	13 8 19.0	11.410	0.333	70.8	220 246	13 4385

[1] BD 6.2 [2] BD 6.6 [3] 7.0 7.7 6.8 6.8 [4] BD 8.0; Schätz. 8.8 8.7 [5] BD 6.5 [6] 8.2 8.1 7.2
[7] $10^m.5$ seq. 11^s 1'A. [8] BD 7.2 [9] BD 5.8 [10] BD 7.0

Nr.	Gr.	A.R. 1875	Praec.	Var. saec.	Decl. 1875	Praec.	Var. saec.	Ep.	Zonen	B. D.
7901	8.9	$20^{h}\ 18^{m}\ 45^{s}.44$	$+2^{s}.7804$	$-0^{s}.0004$	+14° 52′ 3″.1	+11″.414	+0″.328	70.1	230 294	14° 4283
7902	9.1	18 47.46	2.8254	0.0009	12 39 20.0	11.416	0.334	80.6	215 244 786 787	12 4319
7903	8.8	18 49.41	2.8611	0.0013	10 52 22.9	11.418	0.338	70.1	130 209	10 4274
7904	8.7	18 59.01	2.7888	0.0005	14 27 58.9	11.430	0.329	71.3	233 291 293	— —
7905	8.7	19 0.16	2.7889	0.0005	14 27 54.0	11.431	0.329	71.3	233 291 293	14 4284
7906	8.6	20 19 4.60	+2.8357	−0.0010	+12 9 20.9	+11.436	+0.335	70.6	135 213	12 4321
*7907	9.1	19 9.42	2.7893	0.0005	14 27 1.2	11.442	0.329	71.1	236 293	[14 4286]
7908	7.5	19 9.88*	2.8191	0.0008	12 58 53.4	11.443	0.333	80.6	220 246 786 787	12 4322
7909	8.7	19 14.69	2.8120	0.0007	13 20 21.5	11.448	0.332	71.1	238 292	13 4387
7910	8.8	19 29.43	2.8479	0.0011	11 33 34.8	11.466	0.336	70.1	133 211	11 4254
7911	8.9	20 19 29.61	+2.8152	−0.0008	+13 11 22.1	+11.466	+0.332	70.8	220 246	13 4389
7912	8.4	19 31.58	2.7902	0.0005	14 25 19.4	11.469	0.329	70.1	236 293	14 4289
7913	8.5	19 41.79	2.8457	0.0011	11 40 39.3	11.481	0.335	70.1	135 213	11 4256
7914	8.8	20 2.39	2.8443	0.0011	11 45 27.7	11.505	0.335	70.1	133 211	11 4258
7915	9.1[1]	20 4.00	2.8770	0.0015	10 6 44.9	11.508	0.339	86.1	527 663 669	[10 4280]
7916	7.1[2]	20 20 10.20	+2.8093	−0.0007	+13 30 19.1	+11.515	+0.330	70.8	220 246	13 4390
7917	7.9[3]	20 10.66	2.7884	0.0005	14 32 8.3	11.516	0.328	71.1	236 293	14 4293
7918	8.7	20 40.87	2.8629	0.0013	10 50 38.4	11.551	0.336	82.3	5 Beob.	10 4283
7919	8.6	20 46.81	2.8689	0.0014	10 32 35.1	11.558	0.337	70.0	127 200	10 4284
7920	8.8	20 49.78	2.8427	0.0010	11 51 53.1	11.562	0.334	70.1	135 213	11 4261
7921	8.2	20 20 56.40	+2.8388	−0.0010	+12 4 1.8	+11.570	+0.333	70.1	135 213	12 4331
7922	8.9	20 59.50	2.8629	0.0013	10 51 13.6	11.574	0.336	70.1	130 209	10 4287
7923	8.9	20 59.98	2.8563	0.0012	11 11 15.6	11.574	0.335	70.1	133 211	11 4263
7924	8.6	21 7.49	2.8612	0.0013	10 56 43.9	11.583	0.336	70.1	130 209	10 4290
7925	8.7	21 9.99	2.7911	0.0005	14 26 46.4	11.586	0.327	90.5	786 787	14 4298
7926	8.5	20 21 13.75	+2.8060	−0.0006	+13 42 47.0	+11.591	+0.329	71.1	238 292	13 4394
7927	8.7	21 21.26	2.8216	0.0008	12 56 34.8	11.600	0.331	70.7	215 244	12 4337
7928	9.0	21 23.29	2.8265	0.0009	12 41 51.9	11.602	0.331	70.7	215 244	12 4340
7929	8.8	21 23.38	2.8301	0.0009	12 31 0.4	11.602	0.332	70.1	135 213	12 4338
7930	9.1	21 32.80	2.7839	0.0004	14 49 10.5	11.613	0.326	71.1	230 294	[14 4301]
7931	8.7	20 21 34.13	+2.8159	−0.0007	+13 14 1.6	+11.615	+0.330	70.8	220 246	13 4396
7932	8.4	21 35.81	2.8329	0.0009	12 23 15.8	11.617	0.332	70.4	135 213 215 244	12 4341
7933	8.9	21 41.86	2.7844	0.0004	14 47 57.5	11.624	0.326	71.1	230 294	14 4302
7934	8.8	21 42.78	2.7909	0.0005	14 28 55.2	11.625	0.327	71.1	233 236 291 293	14 4303
7935	8.8	21 43.20	2.8651	0.0013	10 46 0.6	11.626	0.335	70.1	130 209	10 4295
7936	8.8	20 21 47.59	+2.8560	−0.0012	+11 13 40.0	+11.631	+0.334	70.1	133 211	11 4267
7937	7.9	21 53.36	2.7999	0.0006	14 2 40.7	11.638	0.327	71.1	238 292	13 4400
7938	8.1	22 1.12	2.7901	0.0005	14 31 58.7	11.647	0.326	71.1	233 236 291 293	14 4304
7939	9.0	22 8.22	2.8103	0.0007	13 32 13.8	11.655	0.328	70.8	220 246	13 4402
7940	8.6	22 8.87	2.8335	0.0009	12 22 42.3	11.656	0.331	70.6	213 215 244	12 4344
7941	7.8	20 22 29.67	+2.8549	−0.0012	+11 18 26.2	+11.681	+0.333	70.1	133 211	11 4273
7942[4]	8.9	22 34.40	2.7956	0.0005	14 17 7.0	11.686	0.326	71.1	233 291	14 4308
7943	8.2	22 38.52	2.8695	0.0013	10 34 24.4	11.691	0.335	70.0	127 200	10 4296
7944	8.5	22 52.12	2.8482	0.0011	11 39 51.2	11.707	0.332	70.1	135 213	11 4276
7945	8.9[5]	22 54.71	2.8563	0.0012	11 15 7.4	11.710	0.333	70.1	133 211	11 4277
7946	7.2	20 23 14.21	+2.8365	−0.0009	+12 15 58.6	+11.734	+0.330	70.7	215 244	12 4348
7947	8.9	23 32.54	2.8760	0.0014	10 16 7.1	11.755	0.335	84.6	515 521	[10 4299]
7948	8.7	23 39.34	2.7898	0.0004	14 37 12.0	11.763	0.324	71.1	230 294	14 4313
7949	8.7	23 54.29	2.8306	0.0009	12 35 25.5	11.781	0.329	70.7	215 244	12 4352
7950	8.8[6]	24 11.01	2.8321	0.0009	12 31 24.1	11.801	0.329	70.7	215 244	12 4353

[1] 9.0 9.6 8.7 [2] 7.7 6.5; BD 6.5; röthlich [3] BD 7.3 [4] $9^{m}.5$ seq. 4^{s} 2′B.; $9^{m}.5$ praec. 8^{s} 1′B.
[5] BD 9.4 [6] BD 8.3

Nr.	Gr.	A.R. 1875	Praec.	Var. saec.	Decl. 1875	Praec.	Var. saec.	Ep.	Zonen	B.D.
7951	8.9	20^h 24^m $12^s.16$	$+2^s.8003$	$-0^s.0005$	+14° 7' 9".1	$+11^s.802$	$+0^s.325$	71.1	233 291	[14° 4316]
7952	6.3[1]	24 18.81	2.8724	0.0014	10 28 41.9	11.810	0.333	70.0	127 200	10 4303
7953	8.8	24 19.91*	2.7913	0.0004	14 34 25.0	11.811	0.324	80.8	236 293 786 787	14 4317
7954	8.8	24 22.69	2.8000	0.0005	14 8 46.4	11.814	0.325	82.7	291 R	[14 4318]
7955	9.2	24 25.66	2.8207	0.0007	13 6 31.3	11.818	0.327	82.7	292 R	[13 4413]
7956	8.7	20 24 27.38	+2.8001	−0.0005	+14 8 34.0	+11.820	+0.325	71.1	233 291	14 4319
7957	8.7	24 28.27	2.7896	0.0004	14 39 55.7	11.821	0.323	71.1	230 294	14 4320
7958	8.0	24 41.54	2.8151	0.0007	13 23 59.0	11.837	0.326	70.8	220 246	13 4415
*7959	8.9	24 44.88*	2.8102	0.0006	13 39 5.4*	11.840	0.326	80.8	233 291 786 787	13 4416
7960	8.9	24 45.83	2.8214	0.0008	13 5 12.1	11.842	0.327	71.1	238 292	13 4417
7961	8.8[2]	20 24 46.69	+2.8256	−0.0008	+12 52 35.7	+11.843	+0.327	70.8	220 246	12 4358
7962	8.2	24 46.73	2.7999	0.0005	14 10 1.3	11.843	0.324	71.1	236 293	14 4323
7963	8.2[3]	24 48.41	2.8493	0.0011	11 40 22.3	11.845	0.330	70.1	133 211	11 4289
*7964	8.7	24 56.27	2.8160	0.0007	13 21 54.4	11.854	0.326	71.1	238 292	13 4418
7965	8.5	24 59.43	2.8711	0.0013	10 34 7.4	11.858	0.332	70.0	127 200	10 4306
7966	8.5	20 25 0.01	+2.7826	−0.0003	+15 2 19.0	+11.858	+0.322	80.8	230 294 786 787	14 4325
7967	7.7	25 13.98	2.8659	0.0013	10 50 23.8	11.874	0.332	70.1	130 209	} 10 4307
7968	7.6	25 14.98	2.8659	0.0013	10 50 26.6	11.876	0.332	70.1	130 209	}
7969	9.0	25 18.51	2.8780	0.0014	10 13 16.9	11.880	0.333	85.4	527 576 581 586	[10 4308]
7970	8.9	25 34.69	2.8250	0.0008	12 56 18.2	11.899	0.326	70.8	220 246	12 4364
7971	8.3	20 25 35.77*	+2.8231	−0.0008	+13 1 58.5	+11.900	+0.326	80.6	220 246 786 787	12 4365
7972	8.6	25 40.40	2.8804	0.0015	10 6 40.6	11.906	0.333	77.6	127 200 527 586	10 4311
7973	8.6	25 45.64	2.7983	0.0005	14 17 11.8	11.912	0.323	71.3	233 291 293	14 4331
7974	9.0[4]	26 3.81	2.7821	0.0003	15 6 45.4	11.933	0.321	71.1	230 294	[15 4184]
7975	8.7	26 8.18	2.7986	0.0005	14 17 21.9	11.938	0.323	71.0	233 236 291	14 4334
7976	8.8	20 26 10.11	+2.8686	−0.0013	+10 44 2.5	+11.940	+0.331	70.1	130 209	10 4315
7977	8.2	26 11.09	2.8073	0.0006	13 51 20.6	11.942	0.324	71.1	238 292	13 4428
7978	8.8	26 11.62	2.8795	0.0014	10 10 22.8	11.942	0.332	85.2	527 586	[10 4314]
7979[5]	8.0	26 18.14	2.7894	0.0004	14 45 38.5	11.950	0.321	71.1	236 293	14 4335
7980	8.7	26 21.43	2.7887	0.0004	14 47 40.9	11.954	0.321	70.1	236 293	14 4336
7981	9.3	20 26 25.10	+2.8600	−0.0012	+11 11 14.2	+11.958	+0.330	70.2	133 209 211	11 4298
7982	8.6	26 28.29	2.8556	0.0011	11 24 55.8	11.962	0.329	70.1	133 211	11 4299
7983	9.0	26 35.61	2.8769	0.0014	10 19 21.0	11.970	0.331	70.0	127 200	10 4317
7984	8.5	26 53.61	2.7834	0.0003	15 5 9.7	11.992	0.320	80.8	230 294 786 787	15 4190
7985	8.6	26 56.53	2.8516	0.0011	11 38 3.6	11.995	0.328	70.1	133 211	11 4301
7986	9.1	20 26 59.54	+2.8687	−0.0013	+10 45 36.3	+11.998	+0.330	81.7	130 R	[10 4320]
7987[6]	8.6	27 3.21	2.8147	0.0006	13 31 17.1	12.003	0.324	70.8	220 246	13 4435
7988	8.6	27 10.30	2.8383	0.0009	12 19 26.1	12.011	0.326	70.1	135 213	12 4372
7989	8.9	27 12.97	2.8185	0.0007	13 19 56.8	12.014	0.324	71.1	238 292	13 4437
7990	**4.0**	**27 14.47**	**2.8665**	**0.0013**	**10 52 46.6**	**12.016**	**0.330**		**Fund. Cat.**	**10 4321**
7991	8.7	20 27 32.49	+2.7860	−0.0003	+14 59 3.9	+12.037	+0.320	71.1	230 294	14 4340
7992	8.9	27 39.05	2.8256	0.0008	12 59 36.0	12.045	0.324	70.8	220 246	12 4376
7993	9.1[7]	27 49.41	2.8136	0.0006	13 36 24.6	12.057	0.323	83.2	292 R	— —
7994	8.9	27 50.16	2.8185	0.0007	13 21 37.2	12.058	0.323	70.8	220 246	13 4439
7995	8.6	27 50.51*	2.8093	0.0006	13 49 39.2	12.058	0.322	80.8	233 291 786 787	13 4440
7996	8.7	20 27 52.05	+2.7900	−0.0003	+14 47 59.7	+12.060	+0.320	71.1	233 291	14 4341
7997	8.9	27 52.37	2.8127	0.0006	13 39 32.9	12.060	0.322	80.8	238 292 786 787	13 4441
7998	9.2	27 57.12	2.7872	0.0003	14 56 49.2	12.065	0.319	82.7	293 R	[14 4342]
7999	8.5	27 59.45	2.8541	0.0011	11 32 51.4	12.068	0.327	70.1	133 211	11 4310
8000	8.2	28 0.63	2.8516	0.0011	11 40 30.6	12.069	0.327	70.1	133 211	11 4311

[1] BD 5.8 [2] BD 8.3 [3] Nur Z. 133; BD 8.9 [4] BD 9.5 [5] 11^m 30^s A.; 10^m praec. 11^s 1".2 A.
[6] $9^m.2$ praec. 2^s 75" B. [7] 8.7 9.6

Nr.	Gr.	A.R. 1875	Praec.	Var. saec.	Decl. 1875	Praec.	Var. saec.	Ep.	Zonen	B. D.
8001	5.5[1]	20h 28m 2s.23	+2s.8336	−0s.0008	+12° 35′ 59″.7	+12″.072	+0″.325	70.7	215 244	12° 4378
8002	8.2	28 8.21	2.8004	0.0005	14 17 13.5	12.078	0.321	71.1	233 291	14 4343
8003	8.7	28 14.96	2.7878	0.0003	14 55 37.3	12.086	0.319	71.1	236 293	14 4345
8004	8.6	28 19.43	2.8256	0.0007	13 1 4.8	12.092	0.323	70.8	220 246	12 4382
8005	8.2	28 28.04	2.8673	0.0013	10 53 0.2*	12.102	0.328	80.3	130 209 786 787	10 4325
8006	8.9[2]	20 28 44.92	+2.8125	−0.0006	+13 42 17.1	+12.121	+0.321	71.1	238 292	[13 4448]
8007	8.9	28 49.98	2.7875	0.0003	14 58 10.5	12.127	0.318	77.6	230 294 786	14 4348
8008	8.7	28 54.48	2.7982	0.0004	14 26 8.3	12.132	0.320	71.1	236 293	14 4349
8009	8.0[3]	28 56.04	2.8258	0.0007	13 2 12.3	12.134	0.323	70.7	215 244	12 4383
8010	8.5	28 56.13	2.8671	0.0012	10 54 30.1	12.134	0.328	70.1	130 209	10 4326
8011	8.7	20 29 4.91	+2.8146	−0.0006	+13 36 53.1	+12.144	+0.321	70.8	220 246	13 4450
8012	8.5	29 14.69	2.7876	0.0003	14 58 59.4	12.156	0.318	80.8	230 294 787 788	14 4352
8013	8.3	29 20.93	2.8785	0.0014	10 19 43.6	12.163	0.328	70.0	127 200	10 4328
8014	8.6	29 21.21	2.8445	0.0010	12 5 25.4	12.163	0.325	70.1	135 213	12 4389
8015	8.5	29 27.34	2.8674	0.0013	10 54 47.5	12.170	0.327	70.1	130 209	10 4330
8016	4.5[4]	20 29 27.83	+2.8025	−0.0005	+14 14 39.2	+12.171	+0.319	71.1	233 291	14 4353
8017	8.8	29 30.33	2.8346	0.0008	12 36 30.5	12.174	0.323	77.3	215 244 786	12 4390
8018	8.9[5]	29 32.02	2.8595	0.0011	11 19 27.5	12.176	0.326	82.2	211 R	[11 4318]
8019	8.6	29 35.89	2.8137	0.0006	13 40 47.3	12.180	0.321	71.1	238 292	13 4456
8020	8.1	29 53.02	2.7892	0.0003	14 56 11.9	12.200	0.317	71.1	230 294	14 4355
8021	9.0	20 30 3.69	+2.8405	−0.0009	+12 19 28.5	+12.213	+0.323	70.7	215 244	12 4392
8022	8.5	30 14.50	2.8608	0.0012	11 16 57.6	12.225	0.325	70.1	133 211	11 4322
8023	8.9	30 34.10	2.8409	0.0009	12 19 27.6	12.248	0.323	70.7	215 244	12 4393
8024	8.9	30 38.04	2.8638	0.0012	11 8 28.7	12.252	0.325	90.5	786 787	11 4326
8025	9.0	30 43.50	2.7915	0.0003	14 51 41.4	12.259	0.317	71.1	236 293	14 4358
8026	8.4	20 30 45.99	+2.8048	−0.0005	+14 11 8.3	+12.261	+0.318	71.1	233 291	14 4359
8027	8.7	30 47.56	2.7897	0.0003	14 57 8.2	12.263	0.317	80.8	230 294 786 787	14 4360
8028	8.6	30 48.38	2.8165	0.0006	13 35 23.7	12.264	0.320	71.1	238 292	13 4465
8029	8.5	30 55.01	2.8030	0.0004	14 17 4.3	12.272	0.318	71.1	233 236 291 293	14 4362
8030	8.3	30 57.38	2.8028	0.0004	14 17 49.5	12.275	0.318	71.1	233 236 291 293	14 4363
8031	8.6	20 30 59.03	+2.8029	−0.0004	+14 17 40.2	+12.276	+0.318	81.0	291 788	14 4364
8032	8.0	31 1.73	2.8550	0.0011	11 36 58.8	12.280	0.324	70.1	133 211	11 4331
8033	8.5[6]	31 13.53	2.8006	0.0004	14 25 9.7	12.293	0.317	71.1	236 293	14 4367
8034	8.8	31 13.79	2.8278	0.0007	13 1 42.9	12.294	0.320	75.9	220 246 292 787	[12 4396]
*8035	9.1	31 16.68	2.8802	0.0014	10 18 20.9	12.297	0.327	79.9	200 515 521	[10 4335]
8036	8.7	20 31 17.99	+2.8402	−0.0009	+12 23 40.5	+12.298	+0.322	70.7	215 244	12 4397
8037	8.8	31 20.57	2.8313	0.0008	12 51 10.6	12.301	0.321	90.5	786 788	12 4398
8038	8.7[7]	31 22.67	2.8589	0.0011	11 25 27.9	12.304	0.324	70.1	133 211	11 4334
8039	8.9	31 38.77	2.8026	0.0004	14 20 13.2	12.322	0.317	80.8	230 294 786 788	14 4368
8040	8.7	31 39.49	2.8362	0.0008	12 36 46.4	12.323	0.321	70.7	215 244	12 4402
8041	**3.3**	**20 31 41.25**	**+2.8061**	**−0.0005**	**+14 9 41.1**	**+12.325**	**+0.318**		**Fund. Cat.**	**14 4369**
8042	8.7	31 46.60	2.8481	0.0010	12 0 12.5	12.331	0.322	70.1	135 213	11 4335
8043	6.0[8]	31 50.28	2.8684	0.0012	10 56 32.4	12.335	0.324	70.1	130 209	10 4339
8044	8.8	31 55.09	2.8287	0.0007	13 0 51.5	12.341	0.320	70.8	220 246	[12 4403]
8045	8.5	32 0.47	2.8189	0.0006	13 31 23.4	12.347	0.319	71.1	238 292	13 4470
8046	7.6	20 32 4.16	+2.8357	−0.0008	+12 39 22.7	+12.351	+0.320	71.1	220 292	12 4405
8047	8.6	32 13.30	2.8389	0.0008	12 29 41.9	12.362	0.321	70.7	215 244	12 4406
8048	8.6	32 15.03	2.8812	0.0014	10 17 14.9	12.364	0.325	77.3	127 200 515 521	10 4340
8049	8.1	32 26.03*	2.8315	0.0007	12 53 28.7	12.376	0.320	77.6	220 292 786	12 4408
8050	8.8	32 30.19	2.8352	0.0008	12 42 1.7	12.381	0.320	70.7	215 244 246	12 4409

[1] 6.0 5.0; BD 6.0 [2] BD 9.4 [3] BD 7.2; Schätz. 8.0 8.0 [4] 5.0 4.0 [5] Nur Z. 211; BD 9.4
[6] BD 8.0 [7] BD 9.2 [8] BD 5.0

Nr.	Gr.	A.R. 1875	Praec.	Var. saec.	Decl. 1875	Praec.	Var. saec.	Ep.	Zonen	B. D.
8051	5.9[1]	$20^h\ 32^m\ 50^s.03$	$+2^s.8321$	$-0^s.0007$	+12° 52' 38".8	+12".404	+0".319	80.6	220 246 786 787	12° 4411
8052	8.8	32 50.24	2.8235	0.0006	13 19 23.5	12.404	0.318	71.1	238 292	13 4474
8053	8.7	32 51.90*	2.7964	0.0003	14 42 46.5	12.406	0.315	80.8	230 294 787 788	14 4371
8054	8.9	32 57.84	2.8202	0.0006	13 29 44.6	12.413	0.318	71.1	238 292	13 4475
8055	8.3	33 0.38	2.7993	0.0003	14 34 9.9	12.416	0.315	71.1	236 293	14 4374
8056	8.6	20 33 3.35	+2.8539	-0.0010	+11 44 51.4	+12.419	+0.321	70.1	133 211	11 4339
8057	9.1	33 11.71	2.8080	0.0004	14 8 9.3	12.429	0.316	71.1	233 291	14 4375
*8058	8.5	33 13.37	2.8770	0.0013	10 32 25.5	12.431	0.324	70.0	127 200	10 4349
8059	8.7	33 21.99	2.7904	0.0002	15 2 40.2	12.441	0.314	80.8	230 294 787 788	14 4377
8060	8.5	33 26.57	2.8065	0.0004	14 13 30.7	12.446	0.315	71.1	233 291	14 4379
8061	8.3	20 33 35.93	+2.8322	-0.0007	+12 54 7.2	+12.457	+0.318	70.7	215 244	12 4415
8062	8.2	33 45.77	2.8113	0.0005	13 59 23.6	12.468	0.316	71.1	238 292	13 4478
8063	7.1	33 52.34	2.8724	0.0013	10 48 21.5	12.475	0.323	70.1	130 209	10 4351
8064	8.7	33 54.62	2.8121	0.0005	13 57 28.9	12.478	0.316	71.1	233 238 291 292	13 4479
8065	9.0	33 54.90	2.8422	0.0009	12 23 41.6	12.478	0.319	70.8	220 246	12 4417
8066	8.7	20 33 56.24	+2.8359	-0.0008	+12 43 27.0	+12.480	+0.318	70.7	215 244	12 4418
8067	7.7[2]	33 58.36	2.8310	0.0007	12 58 47.7	12.482	0.318	70.8	220 246	12 4419
8068	8.4	33 58.82	2.8333	0.0007	12 51 54.0	12.483	0.318	70.7	215 244	12 4421
8069	8.0[3]	34 9.48	2.8854	0.0014	10 7 53.4	12.495	0.324	88.6	668 670 786 787	10 4354
8070	8.7	34 25.18	2.8479	0.0009	12 7 15.0	12.513	0.319	80.3	135 213 787 788	12 4422
8071	7.1	20 34 45.98*	+2.7887	-0.0002	+15 11 58.3	+12.537	+0.312	77.6	230 294 788	15 4227
8072[4]	9.1	34 46.16*	2.8055	0.0004	14 20 13.9	12.537	0.314	77.6	236 293 786	14 4388
8073	8.1[5]	34 51.04	2.8105	0.0004	14 5 3.4	12.542	0.314	71.1	233 291	14 4389
*8074	9.0	34 54.50	2.8858	0.0014	10 7 55.3	12.546	0.323	87.6	515 788	} 10 4357
*8075	8.9	34 54.53	2.8858	0.0014	10 7 59.2	12.546	0.323	77.1	127 515	}
8076	8.8	20 34 58.89	+2.8213	-0.0006	+13 31 50.0	+12.551	+0.315	71.1	238 292	13 4480
8077	8.8	35 5.25	2.8629	0.0011	11 21 23.9	12.558	0.320	70.1	133 211	11 4350
8078	8.9	35 10.85	2.8396	0.0008	12 35 10.4	12.565	0.317	70.7	215 244	[12 4427]
8079	8.6	35 16.44	2.8468	0.0009	12 12 36.2	12.571	0.318	70.7	215 244	12 4428
8080	8.7	35 18.90	2.8070	0.0004	14 17 7.0	12.574	0.313	71.1	233 291	14 4391
8081	8.6	20 35 20.15	+2.7935	-0.0002	+14 58 53.0	+12.575	+0.312	71.1	230 294	14 4392
8082	8.6	35 21.07	2.8500	0.0009	12 2 56.4	12.576	0.318	70.1	135 213	11 4352
8083	6.9[6]	35 25.14	2.8100	0.0004	14 8 21.1	12.581	0.314	77.6	236 293 787	14 4393
8084	8.1	35 43.04	2.8678	0.0012	11 7 19.6	12.601	0.320	70.1	130 209	11 4355
8085	8.3	35 43.41	2.7947	0.0002	14 56 28.7	12.602	0.312	80.8	230 294 786 788	14 4395
8086	6.9	20 35 44.45	+2.8252	-0.0006	+13 21 50.9	+12.603	+0.315	71.1	238 292	13 4487
*8087	7.9	35 49.48	2.8498	0.0009	12 4 30.3	12.609	0.318	70.1	135 213	12 4431
8088	8.5	35 58.97	2.8412	0.0008	12 32 16.2	12.619	0.316	82.8	246 R	12 4432
8089	8.4[7]	36 1.86*	2.8258	0.0006	13 20 42.9	12.623	0.315	79.1	238 292 R	13 4489
8090	8.1[8]	36 2.09	2.8158	0.0005	13 51 57.0	12.623	0.314	71.1	233 291	13 4491
8091	8.8	20 36 15.32	+2.8337	-0.0007	+12 56 26.5	+12.638	+0.315	70.8	220 246	12 4435
8092	8.8	36 17.45	2.8824	0.0014	10 21 54.2	12.640	0.321	70.0	127 200	10 4359
8093	8.1[9]	36 23.96	2.8482	0.0009	12 11 13.2	12.648	0.317	70.1	135 213	12 4437
8094	8.6	36 34.77	2.8521	0.0009	11 59 17.0	12.660	0.317	70.1	135 213	11 4360
8095	8.9	36 34.89	2.8457	0.0009	12 19 37.5	12.660	0.316	80.6	215 246 786 788	12 4439
*8096	8.4	20 36 37.79	+2.8465	-0.0009	+12 16 58.0	+12.663	+0.316	80.6	215 246 786 787	12 4440
*8097	8.4	36 38.42	2.8465	0.0009	12 16 57.1	12.664	0.316	77.3	215 246 787	12 4441
8098	8.6	36 41.28	2.8303	0.0006	13 8 19.0	12.667	0.314	71.1	220 292	13 4494
8099	8.7[10]	36 54.10	2.8019	0.0003	14 37 47.7	12.682	0.311	71.1	236 293	14 4398
8100	9.0	36 58.69	2.8421	0.0008	12 32 0.4	12.687	0.315	71.0	215 292	12 4442

[1] Röthlich [2] BD 7.2 [3] 7.5 7.8 8.2 8.7 [4] $9^m.4$ seq. 7^s in par. [5] BD 7.5 [6] BD 6.0; Schätz. 7.0 6.7 6.9
[7] Z. 238 $9^m.0$ 4^s 190° [8] BD 7.5; Schätz. 8.3 8.0 [9] BD 7.4; Schätz. 8.0 8.2 [10] BD 9.4; Schätz. 8.7 8.8

Nr.	Gr.	A.R. 1875	Praec.	Var. saec.	Decl. 1875	Praec.	Var. saec.	Ep.	Zonen	B.D.
8101	8.8[1]	20h 37m 6s.66	+2s.8647	−0s.0011	+11° 20′ 22″.2	+12″.696	+0″.318	82.2	211 R	[11° 4362]
8102	9.0	37 12.92	2.8655	0.0011	11 17 53.0	12.703	0.318	80.0	133 787	11 4363
8103	8.4	37 30.81	2.8002	0.0003	14 44 50.7	12.723	0.310	71.1	230 294	14 4402
8104	**4.0**	**37 37.40**	**2.8026**	**0.0003**	**14 37 38.4**	**12.731**	**0.310**		**Fund. Cat.**	**14 4403**
8105	8.6	37 50.66	2.7996	0.0002	14 47 48.2	12.746	0.310	71.3	236 293 294	14 4405
8106	8.5[2]	20 38 17.45	+2.8086	−0.0003	+14 21 3.6	+12.776	+0.310	71.1	233 291	14 4407
8107	7.5	38 44.38	2.8327	0.0006	13 6 15.3	12.806	0.312	70.8	220 246	13 4506
8108	8.8	38 48.97*	2.7924	0.0001	15 13 12.5	12.811	0.308	80.8	230 294 786 787	15 4240
8109	8.6	38 50.37	2.8626	0.0010	11 31 13.2	12.813	0.316	70.1	133 211	11 4367
8110	6.7[3]	38 57.53	2.8563	0.0009	11 51 37.9	12.821	0.315	70.1	135 213	11 4368
8111	8.8	20 39 2.48	+2.8449	−0.0008	+12 28 31.3	+12.826	+0.313	70.7	215 244	12 4451
8112	9.0	39 3.83	2.8010	0.0002	14 47 4.6	12.828	0.308	80.8	230 294 786 787	14 4409
8113	8.2	39 4.35	2.8487	0.0008	12 16 28.2	12.828	0.314	70.4	135 213 215 244	12 4452
8114	8.2	39 6.80	2.8492	0.0008	12 14 59.0	12.831	0.314	70.4	135 213 215 244	12 4453
8115	8.2	39 8.31	2.8664	0.0011	11 19 38.4	12.833	0.316	70.1	133 211	11 4369
8116	8.6	20 39 9.51	+2.8654	−0.0011	+11 22 57.0	+12.834	+0.315	70.1	133 211	11 4370
8117	8.9	39 10.32	2.8622	0.0010	11 33 22.1	12.835	0.315	70.1	135 213	11 4371
8118	8.8	39 13.78	2.8886	0.0014	10 8 9.8	12.839	0.318	77.6	127 200 527 586	10 4368
8119	9.0[4]	39 14.04	2.8320	0.0006	13 9 56.2	12.839	0.312	82.6	5 Beob.	13 4508
8120	8.3	39 33.92	2.8734	0.0012	10 58 16.1	12.861	0.316	70.1	130 209	10 4371
8121	8.3[5]	20 39 36.72	+2.8694	−0.0011	+11 11 21.4	+12.865	+0.315	70.1	133 211	11 4374
8122	8.1	40 20.50	2.8004	0.0002	14 53 5.9	12.914	0.307	71.1	236 293	14 4413
8123	8.8	40 29.02	2.7995	0.0002	14 56 11.3	12.923	0.307	80.8	230 294 786 787	14 4414
8124	8.7	40 29.11	2.8781	0.0012	10 45 6.0	12.923	0.315	70.1	130 209	10 4377
8125	8.1	40 34.25	2.8519	0.0009	12 9 58.4	12.929	0.312	70.1	135 213	12 4457
8126	9.0	20 40 42.27*	+2.8430	−0.0007	+12 38 42.4	+12.938	+0.311	82.3	244 R	[12 4458]
8127	9.0	40 43.33	2.8051	0.0002	14 39 26.9	12.939	0.307	80.8	230 294 786 787	14 4416
8128	8.8	40 51.55	2.8049	0.0002	14 40 25.7	12.948	0.307	71.1	230 294	[14 4418]
8129	9.0	40 51.90	2.8432	0.0007	12 38 39.8	12.949	0.311	70.7	215 244	[12 4460]
8130	7.9[6]	41 13.25	2.8129	0.0003	14 16 22.5	12.972	0.307	71.1	233 291	14 4419
8131	8.8	20 41 18.62	+2.8321	−0.0006	+13 15 36.4	+12.978	+0.309	80.6	220 246 786 787	13 4517
8132	9.0	41 26.06	2.8852	0.0013	10 24 11.5	12.987	0.315	70.0	127 200	10 4380
8133	8.7	41 34.47	2.8080	0.0002	14 33 0.2	12.996	0.306	71.1	236 293	14 4420
8134	8.7	41 40.47	2.8441	0.0007	12 38 4.0	13.003	0.310	80.5	215 788	12 4464
8135	8.0[7]	41 41.91	2.8461	0.0007	12 31 35.0	13.004	0.310	70.7	215 244	12 4465
8136	9.2	20 41 44.59	+2.8443	−0.0007	+12 37 29.0	+13.007	+0.310	90.5	786 788	— —
8137	8.5	41 46.28	2.8344	0.0006	13 9 32.0*	13.009	0.309	77.4	220 246 788	13 4519
8138	8.7	41 47.92	2.8176	0.0004	14 2 59.6	13.011	0.307	71.1	238 292	13 4520
8139	8.7	41 52.21	2.8917	0.0014	10 4 1.4	13.016	0.315	79.9	6 Beob.	10 4381
8140	8.6	41 54.28	2.8190	0.0004	13 59 8.4	13.018	0.307	71.1	233 238 291 292	13 4521
8141	8.4	20 41 55.63	+2.8247	−0.0005	+13 40 42.1	+13.019	+0.308	71.1	240 292	13 4522
8142	8.8	41 58.14	2.8194	0.0004	13 57 47.2	13.022	0.307	71.3	233 291 292	13 4523
8143	9.0	42 2.45	2.8732	0.0011	11 4 39.7	13.027	0.313	70.1	130 209	11 4385
8144	8.8	42 3.94	2.8529	0.0008	12 10 45.8	13.029	0.311	70.1	135 213	12 4466
8145	8.9	42 23.38	2.8139	0.0003	14 16 48.4	13.050	0.306	71.1	233 291	14 4422
8146	8.1	20 42 25.23	+2.8001	−0.0001	+15 0 35.6	+13.052	+0.304	71.1	230 294	14 4423
8147	8.9	42 52.80	2.8319	0.0005	13 20 42.3	13.083	0.307	71.1	238 292	13 4525
8148	8.0[8]	42 54.60	2.8679	0.0010	11 24 15.4	13.085	0.311	70.1	133 211	11 4389
8149	8.6	42 57.05*	2.8093	0.0002	14 33 4.8	13.087	0.305	80.8	236 293 786 787	14 4427
8150	8.8	42 59.42	2.8356	0.0006	13 8 55.4	13.090	0.308	70.8	220 246	13 4526

[1] Nur Z. 211; BD 9.5 [2] BD 9.0 [3] BD 6.1 [4] 10m.5 0s.6 A. [5] BD 7.8 [6] BD 7.3
[7] BD 7.3; Schätz. 8.0 8.1 [8] BD 7.5

Nr.	Gr.	A.R. 1875	Praec.	Var. saec.	Decl. 1875	Praec.	Var. saec.	Ep.	Zonen	B. D.
8151	8.7	20ʰ 43ᵐ 5ˢ.30	+2ˢ.8159	−0ˢ.0003	+14° 12′ 28″.1	+13″.096	+0″.305	71.1	233 291	14° 4429
8152	8.7	43 6.15	2.8063	0.0002	14 43 0.1	13.097	0.304	71.1	236 293	14 4430
8153	8.8	43 8.08	2.8045	0.0002	14 48 43.5	13.100	0.304	71.1	236 293	14 4431
8154	8.3	43 13.16	2.8203	0.0004	13 58 42.5	13.105	0.306	71.1	238 292	13 4529
8155	9.0	43 18.57	2.8774	0.0012	10 53 58.5*	13.111	0.312	80.3	130 209 787 788	10 4384
8156	8.9	20 43 22.43	+2.8766	−0.0011	+10 56 41.1	+13.115	+0.312	70.1	130 209	[10 4385]
8157	7.2[1]	43 22.54	2.8174	0.0003	14 8 36.7	13.116	0.305	77.6	233 291 788	14 4433
8158	9.0	43 28.79	2.8017	0.0001	14 58 45.6	13.123	0.303	80.8	230 294 786 788	14 4434
8159	8.7	43 35.69	2.8473	0.0007	12 32 53.9	13.130	0.308	70.1	135 213	12 4471
8160	6.4[2]	43 40.36	2.8560	0.0008	12 4 43.4	13.135	0.309	70.1	135 213	12 4472
8161	7.7	20 43 44.58	+2.8298	−0.0005	+13 29 49.7	+13.140	+0.306	71.0	238 240 292	13 4531
8162	7.9[3]	43 46.71	2.8753	0.0011	11 1 55.0	13.142	0.311	70.1	130 209	10 4388
*8163	8.7	43 58.09	2.8493	0.0007	12 27 18.5	13.155	0.308	70.7	215 244	12 4474
8164	8.1	44 0.18	2.8377	0.0006	13 5 16.7	13.157	0.307	70.8	220 246	13 4532
8165	8.3	44 0.88	2.8680	0.0010	11 26 35.6	13.158	0.310	70.1	133 211	11 4394
8166	8.9	20 44 11.32	+2.8366	−0.0005	+13 9 17.3	+13.169	+0.306	71.1	238 292	13 4535
8167	8.5[4]	44 13.89	2.8649	0.0010	11 37 10.1	13.172	0.309	70.1	133 211	11 4397
8168	7.5	44 14.22	2.8425	0.0006	12 50 7.0	13.173	0.307	70.8	220 246	12 4477
8169	8.5[5]	44 17.45	2.8042	0.0001	14 53 34.6	13.176	0.303	71.1	230 294	14 4439
8170	8.8	44 19.45	2.8159	0.0003	14 16 21.6	13.178	0.304	71.1	236 293	14 4440
8171	8.9	20 44 31.51	+2.8286	−0.0004	+13 36 0.9	+13.192	+0.305	71.1	238 292	13 4536
8172	8.4	44 46.18	2.8310	0.0004	13 29 5.3	13.208	0.305	71.1	240 293	13 4538
8173	8.6	44 48.43	2.8215	0.0003	13 59 53.7	13.210	0.304	71.1	233 291	13 4539
8174	8.0[6]	44 51.07	2.8565	0.0008	12 6 29.9	13.213	0.308	70.1	135 213	12 4478
8175	8.7	44 59.64	2.8277	0.0004	13 40 17.8	13.222	0.304	71.1	238 292	13 4541
8176	8.8	20 45 6.24	+2.8190	−0.0003	+14 8 52.1	+13.230	+0.303	71.1	233 291	14 4443
8177	8.7	45 9.72	2.8475	0.0007	12 36 39.4	13.233	0.306	70.7	215 244	12 4480
8178	8.5	45 11.71	2.8170	0.0002	14 15 25.2	13.236	0.303	71.1	236 293	14 4446
8179	8.8	45 28.28	2.8166	0.0002	14 17 31.0	13.254	0.303	71.1	236 293	14 4449
8180	8.5	45 34.92	2.8831	0.0012	10 40 36.7	13.261	0.310	70.1	130 209	10 4394
8181	8.7	20 45 36.02	+2.8816	−0.0012	+10 45 43.5	+13.262	+0.310	70.1	130 209	10 4395
8182	8.6	45 43.85	2.8775	0.0011	10 59 41.6	13.271	0.309	70.1	130 209	10 4396
8183	8.1	45 44.76	2.8671	0.0010	11 34 9.0	13.272	0.308	70.1	133 211	11 4405
8184	8.5	45 49.59*	2.8392	0.0005	13 5 32.3	13.277	0.305	80.6	220 246 786 787	13 4547
8185	8.0[7]	45 54.31	2.8327	0.0005	13 27 3.3	13.282	0.304	71.1	238 292	13 4548
8186	8.7	20 45 54.51	+2.8069	−0.0001	+14 50 17.5	+13.282	+0.301	71.1	230 294	14 4451
8187	8.7	45 57.85	2.8631	0.0009	11 47 51.4	13.286	0.307	70.2	135 211 213	11 4406
8188	9.0	45 59.96	2.8255	0.0003	13 50 32.1	13.288	0.303	71.1	233 291	[13 4549]
8189	9.0	46 2.92	2.8639	0.0009	11 45 22.7	13.291	0.307	83.5	133 786 787	11 4407[8]
8190	8.6	46 18.89	2.8911	0.0013	10 15 48.2	13.309	0.310	77.3	127 200 515 521	10 4397
8191	8.6	20 46 20.52	+2.8265	−0.0003	+13 48 28.9	+13.311	+0.303	71.1	233 291	13 4553
8192	8.4	46 29.95	2.8112	0.0001	14 38 11.2	13.321	0.301	71.1	230 294	14 4456
8193	8.5	46 30.91	2.8121	0.0002	14 35 20.9	13.322	0.301	71.1	236 293	14 4457
8194	8.8	46 33.20	2.8608	0.0008	11 56 49.6	13.325	0.306	70.1	135 213	11 4409
8195	8.6	46 35.91	2.8358	0.0005	13 19 0.0	13.328	0.303	70.8	220 246	13 4555
8196	8.6	20 46 36.73	+2.8466	−0.0006	+12 43 40.8	+13.329	+0.304	70.7	215 244	12 4486
8197	9.0	46 52.76	2.8182	0.0002	14 16 52.7	13.346	0.301	80.8	233 291 786 787	14 4458
8198	8.4	46 56.85	2.8871	0.0012	10 30 39.5	13.350	0.308	70.0	127 200	10 4401
8199	9.2	47 0.47	2.8069	0.0001	14 53 57.5	13.354	0.300	82.7	293 R	[14 4460]
8200	8.8	47 3.54	2.8377	0.0005	13 14 2.0	13.358	0.303	70.8	220 246	13 4557

[1] 9ᵐ.5 seq. 0ˢ.2 0′.6 B. [2] BD 5.5 [3] BD 7.2 [4] BD 7.8 [5] BD 9.0 [6] BD 8.5 [7] BD 7.3
[8] L = BD +5ˢ.2 −1′

Nr.	Gr.	A.R. 1875	Praec.	Var. saec.	Decl. 1875	Praec	Var saec.	Ep.	Zonen	B. D.
8201	8.9	$20^h\ 47^m\ 14^s.67$	$+2^s.8325$	$-0^s.0004$	+13° 31′ 37″.7	$+13^s.370$	$+0^s.302$	71.1	238 292	13° 4560
8202	8.5	47 17.48	2.8541	0.0007	12 21 0.1	13.373	0.304	70.7	215 244	12 4487
8203	8.9	47 18.51	2.8682	0.0009	11 34 27.4	13.374	0.306	70.1	133 211	11 4412
8204	8.5	47 20.34	2.8061	0.0000	14 57 38.4	13.376	0.299	71.1	230 294	14 4461
8205	8.9	47 27.26	2.8500	0.0007	12 34 50.6	13.383	0.304	70.7	215 244	12 4488
8206	8.4	20 47 30.29	+2.8591	−0.0008	+12 5 9.7	+13.387	+0.305	70.1	135 213	12 4490
8207	8.5	47 41.76	2.8747	0.0010	11 14 1.5	13.399	0.306	70.1	133 211	11 4415
8208	8.9	48 1.59	2.8079	0.0001	14 54 6.6	13.421	0.299	71.1	236 293	14 4465
*8209	8.8	48 6.86	2.8498	0.0006	12 37 26.9	13.426	0.303	70.7	215 244	} 12 4494
*8210	8.8	48 7.19*	2.8497	0.0006	12 37 52.9*	13.426	0.303	82.3	244 R	
8211	8.5	20 48 20.42	+2.8865	−0.0012	+10 36 9.5	+13.441	+0.307	70.0	127 200	10 4403
8212	7.9	48 27.02	2.8686	0.0009	11 36 1.1	13.448	0.305	70.1	133 211	11 4420
8213	7.8	48 34.70	2.8801	0.0011	10 58 4.0	13.456	0.306	70.1	130 209	10 4404
8214	8.9	48 37.23	2.8810	0.0011	10 55 24.5	13.459	0.306	70.1	130 209	10 4405
8215	8.7	48 39.05	2.8310	0.0003	13 40 57.2	13.461	0.300	71.1	238 292	13 4565
8216	8.8	20 48 51.87	+2.8356	−0.0004	+13 26 29.0	+13.475	+0.300	70.8	220 246	13 4567
8217	8.6	48 56.19	2.8339	0.0004	13 32 17.8	13.480	0.300	71.1	238 292	13 4568
8218	8.6	49 5.88	2.8495	0.0006	12 41 17.3	13.490	0.302	70.8	220 246	12 4499
8219	8.8	49 10.80	2.8839	0.0011	10 47 6.0	13.495	0.305	70.1	130 209	10 4409
8220	8.8	49 12.72	2.8941	0.0013	10 12 42.2	13.497	0.306	77.6	127 200 527 586	10 4407
8221	8.8	20 49 16.15	+2.8835	−0.0011	+10 48 30.4	+13.501	+0.305	70.1	130 209	10 4410
8222	8.8	49 18.42	2.8938	0.0013	10 13 50.6	13.504	0.306	77.6	127 200 527 586	[10 4411]
8223	8.7	49 20.54	2.8557	0.0007	12 21 26.9	13.506	0.302	70.7	215 244	12 4500
8224	9.0	49 26.57	2.8289	0.0003	13 50 23.0	13.513	0.299	80.8	233 291 786 787	} 13 4570
*8225	9.1	49 28.13	2.8289	0.0003	13 50 29.3	13.514	0.299	71.1	233 291	
8226	8.7	20 49 37.57	+2.8321	−0.0003	+13 40 14.5	+13.524	+0.299	71.1	238 292	13 4571
8227	8.7	49 37.79	2.8818	0.0011	10 55 12.2	13.525	0.304	80.3	130 209 786 787	10 4413
8228	6.1[1]	49 40.71	2.8608	0.0008	12 5 28.8	13.528	0.302	70.6	213 215 244	12 4501
8229	5.6	49 41.51	2.8399	0.0005	13 14 44.3	13.529	0.300	70.8	220 246	13 4572
8230	8.6	49 54.36	2.8913	0.0012	10 24 0.3	13.542	0.305	70.0	127 200	10 4414
8231	8.8	20 50 0.65	+2.8600	−0.0007	+12 9 3.0	+13.549	+0.302	70.7	215 244	12 4502
8232	8.0[2]	50 1.76	2.8373	0.0004	13 24 25.1	13.550	0.299	84.2	292 786 787	13 4575
8233	8.8	50 4.46	2.8779	0.0010	11 9 13.4*	13.553	0.303	80.3	130 209 787 788	11 4427
8234	8.6	50 6.56	2.8486	0.0006	12 47 13.3	13.556	0.300	80.6	220 246 786 788	12 4503
8235	9.3	50 7.56	2.8778	0.0010	11 9 53.3	13.556	0.303	92.3	787 788 R	[11 4428][3]
8236	7.9	20 50 10.71	+2.8099	−0.0000	+14 54 53.3	+13.560	+0.296	71.1	230 294	14 4475
8237	8.8	50 15.74	2.8591	0.0007	12 12 49.2	13.565	0.301	70.6	213 215 244	12 4504
8238	7.6[4]	50 32.59	2.8208	0.0001	14 20 16.0	13.584	0.297	71.1	236 293	14 4478
8239	7.9[5]	50 37.95	2.8233	0.0002	14 12 18.4	13.589	0.297	71.1	233 291	14 4479
8240	8.3	50 42.72	2.8740	0.0009	11 24 18.4	13.594	0.302	70.1	133 211	11 4429
8241*	8.5	20 50 46.78	+2.8541	−0.0006	+12 30 51.6	+13.599	+0.300	77.3	215 244 786	12 4507
8242	8.7	50 54.69	2.8903	0.0012	10 29 49.3	13.607	0.304	76.9	130 209 788	10 4418
8243	8.8	50 55.30	2.8608	0.0007	12 9 2.5	13.608	0.301	70.6	213 215 244	12 4508
8244	9.0	50 55.72	2.8928	0.0012	10 21 22.4	13.608	0.304	70.0	127 200	10 4419
8245	8.6	50 56.99	2.8589	0.0007	12 15 32.5	13.610	0.300	70.7	213 244	12 4509
8246	8.7	20 51 17.84	+2.8870	−0.0011	+10 41 48.1	+13.632	+0.303	76.9	130 209 788	10 4421
8247	9.0	51 18.18	2.8667	0.0008	11 50 22.5	13.632	0.301	70.6	213 215	11 4433
8248	9.3	51 20.94	2.8158	0.0000	14 39 30.7	13.635	0.295	82.7	294 R	[14 4483]
8249	8.5	51 23.06	2.8200	0.0001	14 25 47.0	13.638	0.296	71.1	236 293	14 4485
8250	8.7	51 23.22	2.8213	0.0001	14 21 35.2	13.638	0.296	71.1	233 236 291 293	14 4484

[1] 6.5 6.7 5.0 [2] BD 8.6 [3] L = BD −10ˢ [4] BD 7.0 [5] BD 7.2

Nr.	Gr.	A.R. 1875	Praec.	Var. saec.	Decl. 1875	Praec.	Var. saec.	Ep.	Zonen	B.D.
8251	8.8	20h 51m 29s.88	+2s.8305	−0s.0002	+13° 51′ 30″.2	+13″.645	+0″.297	84.2	292 787 788	13° 4582
8252	8.8	51 35.59	2.8756	−0.0009	11 21 5.3	13.651	0.301	70.1	133 211	11 4434
8253	8.7	51 44.07	2.8382	−0.0004	13 26 51.6	13.660	0.297	82.3	238 R	[13 4584]
8254	8.5[1]	52 4.76	2.8634	−0.0007	12 3 36.7	13.682	0.299	70.1	135 213	11 4436
8255	8.5	52 10.73	2.8972	−0.0013	10 9 24.6	13.688	0.303	77.6	127 200 527 586	10 4423
8256	8.7	20 52 13.60	+2.8769	−0.0009	+11 18 31.8	+13.691	+0.301	70.1	133 211	11 4437
8257	6.3[2]	52 24.66	2.8938	−0.0012	10 21 29.2	13.703	0.302	70.1	130 209	10 4425
8258	8.9	52 36.62	2.8693	−0.0008	11 45 22.0	13.716	0.299	70.1	135 213	11 4439
8259	8.6	52 37.46	2.8224	−0.0001	14 22 4.6	13.717	0.294	71.1	233 291	14 4491
8260	8.1[3]	52 46.72	2.8211	−0.0001	14 26 57.0	13.727	0.294	71.1	236 293	14 4493
8261	8.9	20 52 49.59	+2.8175	0.0000	+14 39 1.5*	+13.730	+0.294	80.8	230 294 786 787	14 4494
8262	8.7	52 51.90	2.8327	−0.0002	13 48 47.2	13.732	0.295	80.8	240 292 786 787	13 4591
8263	8.7	52 54.52	2.8351	−0.0003	13 40 50.4	13.735	0.295	70.8	220 246	13 4590
8264	8.6	53 9.17	2.8301	−0.0002	13 58 26.2	13.751	0.294	71.1	233 291	13 4592
8265	8.8	53 21.71	2.8801	−0.0010	11 10 45.9	13.764	0.299	70.1	133 211	11 4446
8266	8.8[4]	20 53 22.58	+2.8105	+0.0001	+15 4 1.9	+13.765	+0.292	82.7	294 R	[14 4499]
8267	7.8	53 25.08	2.8101	+0.0001	15 5 18.1	13.767	0.292	71.1	230 294	15 4304
8268	8.9	53 36.81	2.8163	0.0000	14 45 42.4	13.780	0.292	80.8	236 293 786 787	14 4500
8269	8.7	53 53.13	2.8384	−0.0003	13 32 53.5	13.797	0.294	70.8	220 246	13 4596
8270	8.9	54 14.67	2.8132	+0.0001	14 58 15.9*	13.820	0.291	80.8	230 294 786 788	14 4504
8271	8.7	20 54 46.62	+2.8409	−0.0003	+13 27 38.7	+13.854	+0.294	70.8	220 246	13 4597
8272	8.4	54 48.98	2.8583	−0.0006	12 28 56.9	13.856	0.295	71.0	229 244 296	12 4518
8273	9.9[5]	54 55.49	2.8587	−0.0006	12 27 53.3	13.863	0.295	82.7	296 R	— —
8274	8.8	54 57.06	2.8292	−0.0001	14 7 15.4	13.865	0.292	90.5	786 787	14 4506
*8275	8.9	55 0.99	2.8577	−0.0006	12 31 27.4	13.869	0.295	71.0	229 244 296	12 4519
8276	8.4	20 55 1.15	+2.8213	0.0000	+14 34 5.7	+13.869	+0.291	71.1	236 293	14 4507
8277	7.8	55 10.21	2.8765	−0.0008	11 27 55.9	13.879	0.297	70.2	133 211 215	11 4452
8278	9.0	55 24.98	2.8286	−0.0001	14 10 52.5	13.894	0.291	90.5	786 787	14 4511
8279	8.0[6]	55 25.58	2.8130	+0.0001	15 3 1.5	13.894	0.290	77.6	230 294 788	14 4512
8280	8.7	55 26.84*	2.8980	−0.0012	10 14 49.8	13.896	0.299	77.6	127 200 527 586	10 4440
8281	8.8	20 55 45.23	+2.8839	−0.0010	+11 4 5.9	+13.915	+0.297	70.1	130 209	10 4443
8282	8.8	55 46.08	2.8998	−0.0012	10 9 12.7	13.916	0.298	85.2	527 586	[10 4442]
8283	7.9	56 1.70	2.8532	−0.0004	12 50 4.0	13.933	0.293	70.8	220 246	12 4525
8284	8.9	56 4.82	2.9005	−0.0012	10 7 32.0	13.936	0.298	85.2	527 586	[10 4444]
8285	8.9	56 5.02	2.8310	−0.0001	14 5 1.7*	13.936	0.291	80.8	233 291 786 787	[14 4514]
8286	8.9	20 56 7.33	+2.8307	−0.0001	+14 6 23.3	+13.939	+0.291	80.8	233 291 786 787	14 4515
8287	8.4	56 16.49	2.8336	−0.0001	13 56 55.2	13.948	0.291	71.1	233 291	13 4600
8288	8.7	56 17.56	2.8148	+0.0001	15 0 6.2	13.949	0.289	71.1	230 294	14 4516
8289	8.9	56 20.43	2.8403	−0.0002	13 34 41.7	13.952	0.291	71.1	240 292	13 4601
8290	9.0	56 21.82	2.8640	−0.0006	12 14 5.4	13.954	0.294	77.4	229 244 788	12 4526
8291	9.1	20 56 22.74	+2.8649	−0.0006	+12 11 8.0	+13.955	+0.294	81.1	296 788	— —
8292	8.8	56 23.10	2.8653	−0.0006	12 9 38.9	13.955	0.294	76.9	135 213 788	12 4527
8293	8.9	56 23.11	2.9009	−0.0012	10 7 12.6	13.955	0.298	78.8	127 200 527 788	10 4445
8294	8.6	56 31.47	2.8664	−0.0006	12 6 31.6	13.964	0.294	70.1	135 213	12 4529
8295	8.8	56 39.52	2.8677	−0.0007	12 2 23.1	13.972	0.294	70.1	135 213	11 4456
8296	7.3	20 56 39.93	+2.8829	−0.0009	+11 9 55.6*	+13.973	+0.296	70.1	133 211	11 4457
8297	8.9	56 42.12	2.8614	−0.0006	12 23 57.1	13.975	0.293	71.0	229 244 296	12 4530
8298	8.1	56 46.28	2.8896	−0.0010	10 47 16.7	13.979	0.296	70.1	130 209	10 4449
8299	9.0	56 50.22	2.8993	−0.0012	10 13 38.3	13.984	0.297	85.2	527 586	[10 4450]
8300	8.3	56 58.42	2.8606	−0.0005	12 27 35.1	13.992	0.293	71.0	229 244 296	12 4532

[1] BD 9.0 [2] BD 5.2 [3] BD 7.5 [4] Nur Z. 294; BD 9.4 [5] 9.3 10.5 [6] Z. 788 röthlich

Nr.	Gr.	A.R. 1875	Praec.	Var. saec.	Decl. 1875	Praec.	Var. saec.	Ep.	Zonen	B.D.
8301	7.0[1]	20h 57m 7s.92	+2s.8294	0s.0000	+14° 14′ 14″.5	+14″.002	+0″.289	71.1	236 293	14° 4518
8302	9.3	57 8.16	2.8826	−0.0009	11 12 21.5	14.002	0.295	82.2	215 R	[11 4459]
8303	8.6	57 12.61	2.8424	−0.0002	13 30 17.1	14.007	0.291	70.8	220 246	13 4603
8304	9.0	57 14.34	2.8323	−0.0001	14 4 47.8	14.009	0.290	71.1	233 291	14 4519
8305	8.9	57 21.71	2.8603	−0.0005	12 29 57.7	14.016	0.292	71.2	244 296	[12 4536]
8306	8.9	20 57 30.63	+2.8605	−0.0005	+12 29 34.9	+14.025	+0.292	71.0	229 244 296	12 4537
8307	8.6	57 33.48	2.8187	+0.0001	14 51 50.8	14.028	0.288	71.1	230 294	14 4520
8308	8.7	57 45.28	2.8776	−0.0008	11 31 31.8	14.041	0.293	70.1	133 211	11 4463
8309	9.3	57 45.47	2.8848	−0.0009	11 6 33.3	14.041	0.294	82.2	209 R	[11 4464]
8310[2]	8.4	57 46.05	2.8161	+0.0002	15 1 21.8	14.042	0.287	71.1	236 293	14 4522
8311	8.5	20 58 5.39	+2.8822	−0.0009	+11 16 24.3*	+14.062	+0.294	75.3	133 211 215 786	11 4465
8312	7.7	58 9.24	2.8368	−0.0001	13 52 42.5	14.066	0.289	71.1	238 292	13 4607
8313	8.2	58 9.99	2.8665	−0.0006	12 11 2.3	14.067	0.292	70.1	135 213	12 4538
8314	9.1	58 18.56	2.8854	−0.0009	11 5 59.0	14.075	0.294	70.1	130 209	[11 4466]
8315	8.7	58 24.36	2.8307	0.0000	14 14 15.3	14.082	0.287	71.1	233 291	14 4525
8316	8.0	20 58 37.87	+2.8782	−0.0008	+11 31 45.7	+14.096	+0.292	70.2	133 211 215	11 4468
8317	7.7	58 54.05	2.8712	−0.0006	11 56 57.3	14.112	0.291	70.1	135 213	11 4470
8318	8.5	58 54.52	2.8858	−0.0009	11 6 18.3	14.113	0.293	80.3	130 209 786 787	11 4469
8319	9.2	58 56.56	2.8379	−0.0001	13 51 46.0	14.115	0.288	82.7	292 R	— —
*8320	8.7	59 3.56	2.8665	−0.0006	12 13 33.4	14.122	0.291	70.1	135 213	12 4541
8321	8.9	20 59 4.67	+2.8761	−0.0007	+11 40 25.2	+14.123	+0.292	70.1	133 211	11 4471
8322	8.7[3]	59 22.39	2.8265	+0.0001	14 31 58.2	14.142	0.286	71.1	236 293	14 4528
8323	8.9[4]	59 32.95	2.8374	−0.0001	13 55 35.2	14.153	0.287	71.1	233 291	[13 4613]
8324	6.7	59 54.99	2.8218	+0.0002	14 49 53.7	14.175	0.285	71.1	230 294	14 4530
8325	9.0	21 0 9.71	2.8767	−0.0007	11 41 44.2	14.191	0.290	82.2	215 R	[11 4473]
*8326	9.0	21 0 12.36	+2.8596	−0.0004	+12 41 16.1	+14.193	+0.288	70.8	220 246	— —
8327	9.0	0 13.68	2.8395	−0.0001	13 50 38.1	14.195	0.286	71.1	238 292	[13 4616]
8328	8.8	0 14.34	2.8597	−0.0004	12 40 58.8	14.195	0.288	70.9	5 Beob.	12 4544
8329	8.7	0 23.09*	2.9011	−0.0011	10 16 47.3	14.204	0.293	77.6	130 209 527 586	10 4462
8330	8.8	0 24.01	2.8396	−0.0001	13 51 1.4	14.205	0.286	80.8	238 292 786 787	13 4617
8331	8.6	21 0 28.04	+2.8610	−0.0004	+12 37 8.6	+14.209	+0.288	71.0	229 244 296	12 4545
8332	9.0	0 28.72	2.8829	−0.0008	11 20 47.6	14.210	0.290	70.1	133 211	11 4475
8333	8.4[5]	0 28.77	2.8604	−0.0004	12 39 11.5	14.210	0.288	71.0	229 244 296	12 4546
8334	8.9	0 36.58	2.8839	−0.0008	11 17 39.3	14.218	0.290	70.1	133 211	11 4478
8335	8.8	0 41.83	2.8624	−0.0004	12 33 6.1	14.224	0.288	70.7	5 Beob.	12 4547
8336	9.2[6]	21 0 42.65	+2.8778	−0.0007	+11 39 35.8	+14.224	+0.290	93.8	R	[11 4481]
8337	8.4	1 10.47	2.8387	0.0000	13 56 42.3	14.253	0.285	71.3	7 Beob.	13 4619
8338	8.5[7]	1 17.71	2.8221	+0.0002	14 53 57.5	14.260	0.283	71.1	236 257 293	14 4537
8339	8.6	1 23.84	2.8309	+0.0001	14 24 14.8	14.268	0.284	71.0	233 236 257 291	14 4538
8340	8.9	1 36.63	2.8598	−0.0004	12 45 3.0	14.280	0.287	71.2	229 296	12 4548
8341	7.3[8]	21 1 41.03	+2.8180	+0.0003	+15 9 30.8	+14.284	+0.282	72.1	298 321	15 4340
8342	8.4	1 42.32	2.8410	0.0000	13 50 44.9	14.286	0.285	71.3	7 Beob.	13 4621
8343	8.8	1 56.39	2.8702	−0.0005	12 9 46.1	14.300	0.287	71.3	5 Beob.	12 4549
8344	8.8	2 1.18	2.8845	−0.0008	11 19 47.1	14.305	0.289	70.8	217 253	11 4486
8345	7.3[9]	2 2.90	2.8357	0.0000	14 10 15.0	14.307	0.284	70.8	236 257	14 4544
8346	8.4	21 2 4.85	+2.8621	−0.0004	+12 38 34.6	+14.309	+0.286	71.2	229 296	12 4550
8347	8.4	2 14.56	2.8258	+0.0002	14 44 57.9	14.319	0.282	70.8	236 257	14 4546
8348	8.2	2 16.80	2.8695	−0.0005	12 13 28.9	14.321	0.287	71.2	6 Beob.	12 4552
8349	8.5	2 25.80	2.8577	−0.0003	12 55 9.8	14.330	0.285	71.4	240 260 297 320	12 4553
8350	8.6	2 48.41	2.8879	−0.0008	11 10 1.3	14.353	0.288	70.8	217 253	11 4488

[1] 6.5 7.5; Z.293 roth [2] 10m.5 praec. 1s.0 30″B.; 11m praec. 1s.6 40″B. [3] BD 9.2 [4] BD 9.4
[5] BD 9.2 [6] Grösse nach BD [7] 10m praec. 0s.1 25″B. [8] BD 6.5 [9] 10m seq. 0s.1 35″A.

Nr.	Gr.	A.R. 1875	Praec.	Var. saec.	Decl. 1875	Praec.	Var. saec.	Ep.	Zonen	B. D.
8351[1]	8.6	21ʰ 2ᵐ 49ˢ.47	+2ˢ.8184	+0ˢ.0004	+15° 12' 30".9	+14".354	+0".281	81.3	298 321 792 795	15° 4347
8352	8.6	2 55.28	2.8593	−0.0003	12 51 16.6	14.360	0.285	71.0	227 229 296	12 4555
8353	8.9	2 59.09	2.8195	+0.0003	15 9 24.1	14.364	0.281	71.9	295 298 321	15 4349
8354	9.0	3 16.86	2.8866	−0.0008	11 16 12.6	14.382	0.287	71.3	5 Beob.	11 4490
8355	8.9	3 17.24	2.8917	−0.0009	10 58 5.0	14.383	0.288	70.8	217 253	10 4469
8356	9.0	21 3 49.08	+2.8978	−0.0010	+10 37 55.4	+14.415	+0.288	84.0	253 792 795	10 4474
8357	8.2	3 55.17	2.8984	−0.0010	10 36 1.1	14.421	0.287	75.6	207 217 242 792	10 4476
8358	9.1	4 9.09	2.8758	−0.0005	11 57 4.4	14.435	0.285	71.2	229 296	11 4494
8359	8.4	4 9.47	2.9047	−0.0011	10 13 52.5	14.435	0.288	82.2	6 Beob.	10 4478
8360	8.2	4 10.43	2.8742	−0.0005	12 2 54.6	14.436	0.285	71.2	229 296	11 4495
8361	9.1	21 4 12.26	+2.8773	−0.0006	+11 52 0.9	+14.438	+0.285	71.2	6 Beob.	11 4496
8362	8.7	4 12.68	2.8790	−0.0006	11 45 51.0	14.439	0.285	71.0	240 254 260 297	11 4497
8363[2]	9.0	4 33.40	2.8204	+0.0004	15 12 27.3	14.459	0.279	81.3	298 321 792 795	15 4357
8364	8.1	4 35.26	2.8285	+0.0003	14 44 40.7	14.461	0.280	70.8	236 257	14 4550
8365	8.6	5 3.46	2.8255	+0.0003	14 56 49.5	14.490	0.279	72.1	298 321	14 4552
8366	9.4	21 5 28.38	+2.8636	−0.0003	+12 44 35.3	+14.515	+0.282	83.7	297 R	— —
8367	9.4	5 32.15	2.8639	−0.0003	12 43 47.8	14.519	0.282	83.2	227 R	— —
8368	8.0	5 48.45	2.8690	−0.0004	12 26 27.4	14.535	0.282	71.2	229 296	12 4569
8369	8.4	6 2.80*	2.9079	−0.0011	10 7 35.9	14.550	0.285	77.9	207 242 527 586	10 4481
8370	8.5[3]	6 9.71	2.8394	+0.0002	14 12 25.3	14.557	0.279	70.8	236 257	14 4554
8371	8.8	21 6 9.83*	+2.8643	−0.0003	+12 44 17.3	+14.557	+0.281	71.3	5 Beob.	12 4570
8372	7.2	6 11.12	2.8890	−0.0007	11 16 13.4	14.558	0.283	70.8	224 254	11 4502
8373	8.8	6 11.71	2.8242	+0.0004	15 5 59.3	14.558	0.277	71.9	295 298 321	[15 4368]
8374	9.0	6 20.31	2.9011	−0.0009	10 33 4.8	14.567	0.285	80.7	217 253 792 795	10 4482
*8375	8.8	6 31.13	2.8430	+0.0001	14 1 12.3	14.578	0.278	71.3	5 Beob.	13 4638
8376	8.5	21 6 34.13*	+2.9075	−0.0010	+10 10 39.2	+14.581	+0.285	82.1	6 Beob.	10 4484
8377	8.6	6 54.82	2.8725	−0.0004	12 17 38.4	14.602	0.281	71.2	229 296	12 4572
8378	8.4	7 0.23	2.8255	+0.0004	15 4 29.4	14.607	0.276	71.9	295 298 321	14 4556
8379	8.6	7 4.59	2.8492	0.0000	13 41 22.4	14.611	0.278	71.2	6 Beob.	13 4640
8380	8.7	7 11.58	2.8899	−0.0007	11 15 53.6	14.619	0.282	70.8	224 254	11 4506
8381	8.0	21 7 12.43	+2.8729	−0.0004	+12 17 17.4	+14.619	+0.280	71.2	229 296	— —
8382	8.4	7 18.77	2.8994	−0.0009	10 41 53.6	14.626	0.283	70.8	217 253	10 4487
8383	8.9	7 21.76	2.8495	0.0000	13 41 9.5	14.629	0.278	71.4	227 240 297 320	[13 4641]
8384	8.8	7 24.77	2.8958	−0.0008	10 55 10.4	14.632	0.282	70.8	217 253	10 4488
8385	8.9	7 42.27	2.8804	−0.0005	11 51 50.1	14.649	0.280	70.8	224 254	11 4509
8386	9.0	21 7 44.90	+2.9074	−0.0010	+10 14 9.9	+14.652	+0.283	77.9	207 242 527 586	10 4490
8387	8.6	7 48.19	2.8508	0.0000	13 38 7.1*	14.655	0.277	71.3	5 Beob.	13 4643
8388	9.5	7 53.75	2.8923	−0.0007	11 9 27.0	14.660	0.281	93.9	R.	} 11 4510
*8389	8.6	7 54.80	2.8923	−0.0007	11 9 33.7	14.662	0.281	70.8	224 254	
*8390	9.0	7 56.07	2.9019	−0.0009	10 34 48.7	14.663	0.282	70.8	217 253	10 4491
8391	8.9	21 8 1.46	+2.8666	−0.0002	+12 42 45.2	+14.668	+0.279	84.2	297 792 795	12 4575
8392	8.6	8 3.26	2.8689	−0.0003	12 34 28.4	14.670	0.279	71.2	229 296	12 4576
8393	9.2	8 7.40	2.8553	0.0000	13 23 33.8	14.674	0.277	70.8	236 257	[13 4644]
8394	8.7	8 10.68	2.9006	−0.0009	10 40 10.5	14.677	0.282	70.8	217 253	10 4492
8395	8.3	8 11.20	2.8707	−0.0003	12 28 20.9	14.678	0.279	71.2	229 296	12 4578
8396	8.6	21 8 11.69	+2.8664	−0.0002	+12 43 47.3	+14.679	+0.278	71.2	6 Beob.	12 4577
8397	8.9	8 38.59	2.8568	0.0000	13 20 5.4	14.705	0.277	82.4	257 R	[13 4646]
8398	8.4	8 41.65	2.8519	+0.0001	13 37 32.3	14.708	0.276	71.7	260 320	13 4647
8399	9.2	8 47.68	2.8823	−0.0005	11 48 31.7	14.714	0.279	82.3	240 R	[11 4517]
8400	8.5	8 58.56	2.8673	−0.0002	12 43 29.5	14.725	0.278	80.9	229 296 792 795	12 4583

[1] 9ᵐ.6 praec. 1ˢ.5 1'.4 B. [2] 9ᵐ.6 praec. 1ˢ.8 1'.2 A. [3] BD 8.0

Nr.	Gr.	A.R. 1875	Praec.	Var. saec.	Decl. 1875	Praec.	Var. saec.	Ep.	Zonen	B.D.
8401	9.1	21h 8m 58s.77	+2s.8801	−0s.0004	+11° 56′ 58″.2	+14″.725	+0″.279	70.8	224 227 254	11° 4518
8402	8.9	9 8.16	2.8663	−0.0002	12 47 39.7	14.734	0.277	81.1	260 321 792 795	12 4585
8403	8.8	9 8.17	2.8675	−0.0002	12 43 16.4	14.734	0.277	80.9	229 296 792 795	12 4584
8404	9.0	9 15.67*	2.8324	+0.0004	14 49 18.8*	14.742	0.274	76.6	295 298 321 792	[14 4569]
8405	9.0	9 21.04*	2.9044	−0.0009	10 29 45.0	14.747	0.281	77.4	217 253 795	10 4494
8406	8.4	21 9 35.16	+2.9081	−0.0009	+10 16 34.5	+14.761	+0.281	76.5	5 Beob.	10 4496
8407	8.4	9 35.32	2.8568	0.0000	13 23 23.6	14.761	0.276	70.8	236 257	13 4650
8408	9.1	9 38.12	2.8805	−0.0004	11 57 43.9	14.764	0.278	82.3	227 R	[11 4521]
8409	8.9[1]	9 38.77	2.8654	−0.0001	12 52 47.8	14.765	0.276	71.7	260 297 320	12 4586
8410	8.1[2]	9 50.23	2.8972	−0.0007	10 57.38.5	14.776	0.279	70.8	217 253	10 4498
8411	8.5	21 9 51.43	+2.8332	+0.0004	+14 48 44.4	+14.777	+0.273	71.9	295 298 321	14 4571
8412	8.7[3]	9 55.55	2.8622	−0.0001	13 5 6.6	14.781	0.276	71.2	260 297	13 4651
8413	7.7[4]	9 58.27	2.9102	−0.0010	10 10 0.3*	14.784	0.280	76.5	5 Beob.	10 4499
8414	8.5[5]	10 4.32	2.9065	−0.0009	10 24 38.8	14.790	0.280	70.8	217 253	10 4500
8415	8.8	10 21.64	2.8516	+0.0001	13 45 2.0	14.807	0.274	90.6	792 795	13 4652
8416	8.5	21 10 26.45	+2.8535	+0.0001	+13 38 33.6	+14.812	+0.274	70.8	236 257	13 4653
8417	8.6	10 32.32	2.8843	−0.0004	11 47 9.4	14.817	0.277	70.8	224 254	11 4526
8418	9.0	10 37.58	2.8607	0.0000	13 13 0.8	14.823	0.275	70.8	236 257	13 4655
8419	8.7	10 38.30	2.8384	+0.0004	14 33 30.5	14.823	0.272	71.9	295 298 321	14 4575
8420	8.4	10 39.92	2.8597	0.0000	13 16 53.2	14.825	0.274	71.3	5 Beob.	13 4656
8421	8.6	21 10 47.19	+2.8840	−0.0004	+11 48 46.8	+14.832	+0.277	70.8	224 254	11 4528
8422	7.9	10 57.47	2.8575	+0.0001	13 25 54.2	14.842	0.274	71.7	260 297 320	13 4658
8423	8.9	11 7.37	2.9036	−0.0008	10 37 47.3	14.852	0.278	70.8	217 253	10 4503
8424	8.6	11 9.82	2.8970	−0.0007	11 2 16.3	14.854	0.277	70.8	217 253	10 4504
8425	8.6	11 19.43*	2.8960	−0.0006	11 6 35.8	14.864	0.277	80.7	224 254 792 795	11 4530
8426	8.9	21 11 20.88	+2.9107	−0.0009	+10 12 14.0	+14.865	+0.278	79.0	6 Beob.	10 4506
8427	8.7	11 32.42	2.8844	−0.0004	11 50 4.4	14.876	0.276	70.8	224 254	11 4531
8428	8.7[6]	11 53.56	2.8653	0.0000	13 0 56.6	14.897	0.273	71.0	227 229 240 296	12 4588
8429	8.1	11 56.95	2.8489	+0.0003	14 0 53.6	14.900	0.272	71.7	260 297 320	13 4664
8430	8.8	12 2.56	2.9036	−0.0008	10 40 47.8	14.906	0.277	84.0	217 792 795	10 4508
8431	8.8	21 12 10.40	+2.8799	−0.0003	+12 8 40.0	+14.913	+0.274	71.2	229 296	12 4590
8432	8.6	12 13.77	2.9048	−0.0008	10 36 51.9*	14.917	0.277	84.0	217 792 795	10 4509
8433	8.9	12 17.07	2.9099	−0.0009	10 17 55.3	14.920	0.277	85.2	527 586	[10 4511]
8434	9.0	12 22.79	2.9125	−0.0009	10 8 34.6	14.925	0.277	76.3 76.9	5 Beob.	10 4512
8435	9.0	12 28.98	2.8789	−0.0003	12 13 17.6	14.932	0.274	80.9	229 296 792 795	12 4591
8436	7.3[7]	21 12 32.45	+2.8981	−0.0006	+11 2 45.8	+14.935	+0.275	70.8	224 253 254	10 4514
8437	9.5[8]	12 47.23	2.8987	−0.0006	11 1 3.9	14.949	0.275	82.4	254 R	[10 4515]
8438	6.7[9]	12 48.81	2.9042	−0.0007	10 40 39.4	14.951	0.276	70.7	207 242(δ½) 250 253	10 4516
8439	8.3	12 51.15	2.8380	+0.0005	14 44 0.5	14.953	0.269	70.8	236 257	14 4582
8440	8.2	12 59.09	2.8660	0.0000	13 2 28.6	14.961	0.272	71.7	260 297 320	12 4592
8441	8.9[10]	21 13 16.72	+2.8700	−0.0001	+12 49 2.1	+14.978	+0.272	82.3	240 R	[12 4593]
8442	9.5[11]	13 35.13	2.9008	−0.0006	10 55 56.0	14.996	0.274	82.4	254 R	— —
8443	8.3	13 38.25	2.8538	+0.0003	13 49 35.9	14.999	0.269	71.7	260 297 320	13 4674
8444	8.8	13 42.43	2.8359	+0.0006	14 54 58.8	15.003	0.268	71.9	295 298 321	14 4585
8445[12]	8.8	13 44.45	2.8741	−0.0001	12 35 36.3	15.005	0.272	71.2	229 296	12 4596
8446	8.9	21 13 51.68	+2.8991	−0.0006	+11 3 9.5	+15.012	+0.274	70.8	217 253	10 4522
8447	8.8	13 58.76	2.9143	−0.0009	10 6 29.2	15.018	0.275	85.7	584 591	[10 4523]
8448	7.5	14 4.37	2.8770	−0.0002	12 26 6.0	15.024	0.271	71.2	229 296	12 4600
8449	8.7	14 10.22	2.8798	−0.0002	12 16 6.2	15.030	0.272	71.2	229 296	12 4601
8450	8.0	14 24.91	2.8905	−0.0004	11 36 52.1	15.044	0.272	70.8	224 254	11 4541

[1] BD 9.5 [2] BD 7.5 [3] BD 9.2 [4] 8.1 8.0 8.1 6.5 8.0 [5] BD 8.0 [6] BD 9.3 [7] 7.5 7.7 6.7
[8] 9.0 10.0 [9] Z. 253 roth [10] Nur Z. 240; BD 9.5 [11] 9.1 10.0; 10m.5 seq. 0s.5 1′.5 B.
[12] 9m.5 praec. 5s 45″ B.; 9m.2 praec. 8s 85″ A.

Nr.	Gr.	A.R. 1875	Praec.	Var. saec.	Decl. 1875	Praec.	Var. saec.	Ep.	Zonen	B.D.
8451	8.8	21h 14m 28s.27	+2s.8993	−0s.0006	+11° 4′ 20″.6*	+15″.047	+0″.273	70.8	217 253	10° 4525
8452	8.3	14 33.93	2.8741	−0.0001	12 38 22.2	15.052	0.270	71.2	229 296	12 4602
8453	8.5	14 35.58	2.8688	0.0000	12 58 4.7	15.054	0.270	79.2	5 Beob.	12 4603
8454	8.5	14 40.62	2.8454	+0.0005	14 24 27.2	15.059	0.268	71.9	295 298 321	14 4588
8455	9.1	14 41.84	2.8733	0.0000	12 42 3.6	15.060	0.270	71.2	229 296	12 4605
*8456	8.9	21 14 42.32	+2.8341	+0.0007	+15 5 50.7	+15.060	+0.266	71.6	295 298	15 4393
8457	8.3[1]	15 6.87	2.8553	+0.0003	13 49 49.1	15.084	0.268	70.8	227 257	13 4677
8458	8.9	15 11.79	2.8668	+0.0001	13 7 44.3	15.089	0.269	71.7	260 297 320	13 4680
8459	8.6[2]	15 14.53	2.8397	+0.0006	14 47 49.9	15.092	0.266	70.8	241 257	[14 4590]
8460	8.9	15 21.56	2.8752	−0.0001	12 37 21.1	15.098	0.269	71.2	229 296	12 4610
*8461	8.7	21 15 38.73	+2.8419	+0.0006	+14 41 18.9	+15.115	+0.266	71.9	295 298 321	14 4594
8462	8.9	15 49.19	2.9126	−0.0008	10 18 30.0	15.125	0.272	76.7 77.4	5 Beob.	10 4531
8463	8.9	16 20.30	2.8418	+0.0006	14 44 47.3*	15.155	0.265	82.3	241 R	[14 4596]
8464	8.5	16 22.24	2.8514	+0.0004	14 9 21.0	15.156	0.266	70.8	227 257	14 4597
8465	9.1	16 24.05	2.9112	−0.0008	10 25 24.0	15.158	0.271	70.7	207 242(δ½) 250	10 4533
8466	9.1	21 16 31.52	+2.8847	−0.0001	+12 5 55.1	+15.165	+0.269	70.8	224 254	[12 4612]
8467	8.5	16 41.99	2.8807	−0.0001	12 21 30.7	15.175	0.268	71.2	229 296	12 4614
8468	8.6	16 59.19	2.8416	+0.0006	14 48 10.5	15.192	0.264	71.9	295 298 321	14 4600
8469	8.7	17 20.27	2.8585	+0.0003	13 47 1.6	15.212	0.265	70.8	227 257	13 4689
8470	8.6	17 23.44	2.9024	−0.0005	11 1 54.1	15.215	0.269	70.8	217 253	10 4535
8471	8.8	21 17 31.01*	+2.8361	+0.0008	+15 10 31.0	+15.222	+0.263	76.6	295 298 321 792	15 4407
8472	7.3	17 37.48*	2.8631	+0.0003	13 30 56.7	15.228	0.265	71.7	260 297 320	13 4692
8473	8.4[3]	17 42.42	2.8434	+0.0007	14 44 27.3	15.233	0.263	71.9	295 298 321	14 4604
8474	8.2[4]	17 45.33	2.8510	+0.0005	14 16 37.5	15.235	0.264	70.8	227 257	14 4605
8475	8.8	17 46.32	2.8853	−0.0001	12 8 9.0	15.236	0.267	71.0	224 229 254 296	12 4617
8476	8.5	21 18 5.46	+2.9166	−0.0008	+10 10 0.2	+15.255	+0.270	76.5 76.9	5 Beob.	10 4537
8477	8.5	18 11.65	2.8866	−0.0002	12 4 53.1	15.260	0.267	71.2	229 296	12 4620
8478	9.1	18 12.18	2.8567	+0.0004	13 57 7.9	15.261	0.264	82.4	257 R	[13 4693]
8479	8.9	18 21.25	2.8752	+0.0001	12 48 28.4	15.269	0.265	71.7	260 320	12 4622
8480	7.7	18 42.55	2.8575	+0.0004	13 56 26.5	15.290	0.263	70.8	227 257	13 4694
8481	9.1	21 18 47.06	+2.8568	+0.0005	+13 59 24.0	+15.294	+0.263	70.8	227 257	[13 4695]
8482	7.9	18 47.13	2.8366	+0.0008	15 14 40.4	15.294	0.261	90.6	792 795	15 4411
8483[5]	8.9	18 51.51	2.8708	+0.0002	13 7 3.2	15.298	0.264	71.7	260 297 320	13 4696
8484	8.3	19 3.74	2.8782	0.0000	12 39 39.8	15.310	0.264	71.2	229 296	12 4624
8485	8.8	19 6.87	2.8570	+0.0005	14 0 7.7	15.313	0.262	70.8	227 257	13 4700
8486	10.4[6]	21 19 16.71	+2.8661	+0.0003	+13 26 23.2	+15.322	+0.263	82.4	260 R	[13 4701]
8487	8.1[7]	19 19.53	2.8749	+0.0001	12 53 24.0	15.324	0.264	90.6	792 795	12 4625
8488	8.7[8]	19 21.72	2.8787	0.0000	12 39 14.0	15.326	0.264	82.7	296 R	[12 4626]
8489	8.1	19 23.56	2.9077	−0.0005	10 48 30.4	15.328	0.267	70.8	217 253	10 4542
8490	8.7	19 23.56	2.8855	−0.0001	12 13 10.9	15.328	0.265	80.9	229 296 792 795	12 4627
8491	8.8	21 19 27.57	+2.9117	−0.0006	+10 33 1.2	+15.332	+0.267	70.8	217 253	10 4543
8492	8.5	19 27.83*	2.8585	+0.0005	13 55 53.5	15.332	0.262	80.7	227 257 792 795	13 4702
8493	8.0	19 28.79	2.9030	−0.0004	11 6 42.9	15.333	0.266	70.8	224 254	11 4559
8494	8.4	19 30.78	2.8415	+0.0008	14 59 33.9	15.335	0.260	71.6	241 295 298 321	14 4607
8495	7.6[9]	19 51.46	2.8405	+0.0008	15 4 46.3	15.355	0.260	71.6	241 295 298 321	14 4609
8496	8.9	21 19 58.76	+2.8592	+0.0005	+13 55 5.8	+15.361	+0.261	70.8	227 257	13 4704
8497	8.6	20 1.70	2.8849	0.0000	12 18 4.5	15.364	0.264	80.9	229 296 792 795	12 4629
8498	8.8[10]	20 2.80	2.8693	+0.0003	13 17 25.2	15.365	0.262	95.7	R(2)	13 4705
8499	8.7	20 3.82	2.8897	−0.0001	11 59 51.1	15.366	0.264	70.8	224 254	11 4563
8500	8.8[11]	20 10.33	2.8709	+0.0003	13 12 0.5	15.372	0.262	82.4	260 R	[13 4706]

[1] BD 9.0 [2] BD 9.1 [3] BD 9.0 [4] BD 9.0 [5] 9m.5 praec. 5s.5 35″B. [6] 9.4 11.5 [7] BD 8.7
[8] BD 9.2 [9] BD 6.8 [10] Grösse nach BD [11] Nur Z. 260; BD 9.4; 9m.5 praec. 12s in par.

Nr.	Gr.	A.R. 1875	Praec.	Var. saec.	Decl. 1875	Praec.	Var. saec.	Ep.	Zonen	B.D.
8501	9.0	21h 20m 12s.75	+2s.8406	+0s.0008	+15° 5' 59".9	+15".374	+0".260	71.6	241 295 298 321	15° 4415
8502	8.8	20 29.73	2.8953	−0.0002	11 39 51.5	15.390	0.264	70.8	224 254	11 4565
8503	7.6[1]	20 42.19	2.8722	+0.0002	13 8 53.2	15.402	0.262	71.5	257 260 297 320	13 4708
8504	7.1[2]	20 49.45	2.9194	−0.0007	10 7 38.8	15.409	0.266	76.5 76.9	5 Beob.	10 4547
8505	8.7	20 58.70	2.9148	−0.0006	10 25 55.3	15.417	0.265	70.7	207 242(δ½) 250	10 4549
8506	8.7	21 21 8.91	+2.8991	−0.0003	+11 27 29.0	+15.427	+0.264	70.8	224 254	11 4566
8507	8.8	21 15.62	2.8959	−0.0002	11 40 23.4	15.433	0.263	70.8	224 254	11 4567
8508	8.6	21 20.27	2.8662	+0.0004	13 34 20.6	15.437	0.260	71.7	260 297 320	13 4709
8509	8.9[3]	21 29.57	2.8895	−0.0001	12 5 51.2	15.446	0.262	71.2	229 296	12 4631
8510	9.0	21 59.63*	2.8732	+0.0003	13 10 11.5*	15.474	0.260	71.5	257 260 297 320	13 4714
8511	8.9	21 22 9.53	+2.8732	+0.0003	+13 11 2.5	+15.483	+0.260	71.7	5 Beob.	13 4716
8512	8.6	22 15.89	2.8434	+0.0009	15 4 53.4	15.489	0.257	71.3	241 295 298	14 4612
8513	6.7	22 47.88	2.9147	−0.0006	10 32 22.6	15.519	0.263	70.8	217 253	10 4554
8514	7.9	22 57.52	2.8844	+0.0001	12 30 52.6	15.528	0.260	71.2	229 296	12 4635
8515	9.1	23 8.39	2.8567	+0.0007	14 18 20.0	15.538	0.257	82.4	257 R	[14 4613]
8516	7.9	21 23 8.70	+2.9017	−0.0002	+11 24 35.6	+15.538	+0.261	70.8	224 254	11 4573
8517	8.9	23 31.01	2.9061	−0.0003	11 8 40.8	15.558	0.261	70.8	224 254	11 4575
8518	9.0	23 34.87	2.8875	+0.0001	12 21 33.7	15.562	0.259	71.7	260 297 320	[12 4637]
8519	9.3	23 35.13	2.8539	+0.0008	14 30 55.6	15.562	0.256	71.6	295 298	— —
8520	8.6	23 39.27	2.8945	−0.0001	11 54 14.7	15.566	0.259	71.2	229 296	11 4576
8521	8.3	21 23 40.70	+2.8717	+0.0004	+13 27 54.7	+15.567	+0.257	90.6	792 795	13 4721
8522	8.3	23 46.85	2.8819	+0.0003	12 44 1.9	15.573	0.258	71.2	229 296	12 4639
*8523	neb.	23 55.96	2.8992	−0.0001	11 37 13.2*	15.581	0.259	94.0	795 R(2)	11 4577
8524	7.7	24 7.12	2.8977	−0.0001	11 43 41.9	15.592	0.259	70.8	224 254	11 4578
8525	8.5	24 10.45*	2.8554	+0.0008	14 27 53.4*	15.594	0.255	76.1	241 295 298 792	14 4617
8526	8.7	21 24 24.11	+2.8579	+0.0007	+14 19 14.4	+15.607	+0.255	80.7	227 257 792 795	14 4618
8527	8.8	24 24.75	2.9189	−0.0006	10 21 8.3	15.608	0.261	70.7	207 242(δ½) 250	10 4560
8528	8.7	24 48.03	2.9130	−0.0004	10 45 40.5	15.629	0.259	70.8	217 253	10 4561
8529	8.3	24 54.60	2.8942	0.0000	12 0 25.4	15.635	0.258	80.9	229 296 792 795	11 4582
8530	8.2	24 57.95	2.9122	−0.0004	10 49 33.6	15.638	0.259	70.7	207 242(δ½) 250 253	10 4562
8531	8.8	21 24 59.02	+2.9105	−0.0003	+10 56 6.0	+15.639	+0.259	70.8	217 253	10 4563
8532	6.1	25 6.90*	2.9007	−0.0001	11 35 20.1*	15.646	0.258	80.7 84.0	224a 254 792 795	11 4583
8533	8.9	25 17.17	2.9118	−0.0004	10 51 57.3	15.656	0.259	77.4	217 253 795	10 4564
8534	8.7	25 17.91	2.8799	+0.0003	12 57 52.0*	15.656	0.256	76.4	260 297 320 792	12 4640
8535	8.8	25 27.01	2.9022	−0.0001	11 30 42.3*	15.665	0.257	70.8	224 254	11 4584
8536	9.1	21 25 30.39	+2.9119	−0.0004	+10 52 38.3	+15.668	+0.258	80.6	217 792	10 4566
8537[4]	8.9	25 33.25	2.9049	−0.0002	11 20 23.5	15.670	0.258	70.8	224 254	11 4585
8538	8.5	25 34.65	2.8895	+0.0001	12 21 30.7	15.672	0.256	71.2	229 296	12 4641
8539	8.4	25 38.12	2.8996	−0.0001	11 41 45.0*	15.675	0.257	71.8	5 Beob.	11 4587
8540	8.6[5]	25 42.88	2.8657	+0.0007	13 55 0.3	15.679	0.254	70.8	227 257	13 4727
8541	8.6[6]	21 25 49.87	+2.8899	+0.0001	+12 20 35.9	+15.685	+0.256	71.2	229 296	12 4644
8542	9.1	25 58.36	2.8901	+0.0001	12 20 26.3	15.693	0.256	86.1	229 R(2)	[12 4646]
8543	7.3	26 6.73	2.9202	−0.0005	10 21 34.8	15.701	0.258	70.7	207 242(δ½) 250	10 4570
8544	8.5	26 11.97	2.8678	+0.0006	13 48 57.0	15.705	0.253	71.9	260 297 320 321	13 4728
8545	8.9	26 15.58	2.8668	+0.0007	13 53 12.3	15.709	0.253	70.8	227 257	13 4729
8546	8.9	21 26 25.43	+2.8608	+0.0008	+14 17 11.1	+15.718	+0.252	71.3	241 295 298	14 4622
8547	8.6	26 26.72	2.8464	+0.0011	15 12 56.8	15.719	0.251	81.6	10 Beob.	15 4442
8548	7.8	26 28.90	2.9064	−0.0002	11 17 57.1	15.721	0.256	70.8	224 254	11 4591
8549	9.4	26 28.98	2.8466	+0.0011	15 12 33.0	15.721	0.251	82.7	298 R	— —
8550	8.7	26 41.15	2.9058	−0.0002	11 20 55.5	15.732	0.256	70.8	224 254	11 4593

[1] 7.0 8.7 — 7.0; BD 7.0 [2] 7.3 7.2 6.7 6.0 8.3 [3] BD 9.4 [4] 12m praec. 8s.0 5"A.
[5] BD 9.1 [6] BD 9.2

Nr.	Gr.	A.R. 1875	Praec.	Var. saec.	Decl. 1875	Praec.	Var. saec.	Ep.	Zonen	B.D.
8551	8.8	$21^h\ 26^m\ 54^s.70$	$+2^s.8603$	$+0^s.0008$	+14° 21' 14".8	+15".744	+0".252	85.7	576 589 590	[14° 4624]
8552	7.8[1]	26 56.71	2.8964	+0.0001	11 59 17.1	15.746	0.255	70.8	224 254	11 4596
8553	8.8	26 56.96	2.8641	+0.0008	14 6 40.6	15.746	0.252	70.8	227 257	14 4625
8554	8.9	26 57.01	2.8778	+0.0005	13 12 54.5*	15.746	0.253	72.2	297 320 321	[13 4734]
8555	8.6	27 1.05	2.8955	+0.0001	12 3 18.6	15.750	0.255	71.2	229 296	11 4597
8556	9.0	21 27 3.80*	+2.9241	−0.0006	+10 9 10.7	+15.752	+0.257	78.8 79.6	6 Beob.	10 4573
8557	9.0	27 36.85	2.8528	+0.0010	14 53 47.6	15.782	0.250	86.1	5 Beob.	[14 4626]
8558	8.7	27 38.80	2.9216	−0.0005	10 20 55.7	15.784	0.256	70.7	207 242(δ½) 250	10 4575
8559	8.6	27 41.97	2.8509	+0.0011	15 1 43.9*	15.787	0.250	76.1	241 295 298 792	14 4627
8560	8.0[2]	27 47.68*	2.9250	−0.0006	10 7 43.4	15.792	0.256	78.8 79.6	6 Beob.	10 4576
8561	8.4	21 27 54.05	+2.8495	+0.0011	+15 7 58.6	+15.798	+0.249	71.3	241 295 298	15 4447
8562	8.8	27 54.63	2.8783	+0.0005	13 15 2.1	15.798	0.252	72.0	260 320 321	13 4737
8563	8.7	28 2.79	2.9022	0.0000	11 40 24.0	15.805	0.254	70.8	224 254	11 4600
8564	8.8	28 7.06	2.8510	+0.0011	15 3 23.6	15.809	0.249	71.3	241 295 298	14 4630
8565	8.4	28 18.29	2.9141	−0.0003	10 53 35.1	15.819	0.254	70.8	217 253	10 4579
8566	8.1	21 28 21.40	+2.9020	0.0000	+11 42 24.1	+15.822	+0.253	70.8	224 254	11 4601
8567	8.5	28 24.53	2.8771	+0.0006	13 21 59.8*	15.825	0.251	71.9	260 297 320 321	13 4740
8568	8.3	28 28.46	2.9221	−0.0004	10 21 50.2	15.829	0.255	70.7	207 242(δ½) 250	10 4580
8569	8.8	28 35.68	2.8547	+0.0011	14 51 14.6	15.835	0.249	90.6	792 795	14 4634
8570	9.0	29 1.63	2.9186	−0.0003	10 38 2.8	15.858	0.254	90.6	792 795	10 4581
8571	8.3	21 29 12.56	+2.8550	+0.0011	+14 52 58.0	+15.868	+0.248	71.3	241 295 298	14 4635
8572	9.3[3]	29 15.83	2.8710	+0.0007	13 49 48.4*	15.871	0.249	85.7	5 Beob.	[13 4741]
8573	8.9	29 19.51	2.8607	+0.0010	14 31 3.6	15.874	0.248	70.8	227 257	— —
8574	8.8	29 30.28	2.8506	+0.0012	15 11 38.8	15.884	0.247	71.3	241 295 298	15 4453
8575	9.4	29 32.19	2.8714	+0.0008	13 49 29.3	15.885	0.249	85.7	576 589 590	— —
8576	8.9[4]	21 29 45.55	+2.9248	−0.0004	+10 15 12.0	+15.897	+0.253	85.2	527 586	[10 4583]
8577	7.0[5]	30 8.02	2.8615	+0.0010	14 31 36.9	15.917	0.247	70.8	227 257	14 4637
8578	8.9	30 10.56	2.8587	+0.0011	14 43 3.4	15.920	0.247	76.1	241 295 298 792	14 4638
8579	9.0	30 17.19	2.9154	−0.0002	10 55 38.7*	15.925	0.251	82.3	253 R	[10 4586]
8580	8.5	30 22.66	2.9146	−0.0002	10 59 10.0	15.930	0.251	70.8	217 253	10 4587
8581	9.0	21 30 22.66	+2.9100	−0.0001	+11 17 48.4	+15.930	+0.251	70.8	224 254	11 4609
8582	8.6	30 25.91	2.8558	+0.0012	14 55 34.5	15.933	0.246	71.3	241 295 298	14 4639
8583	8.1	30 37.41	2.8529	+0.0012	15 8 2.6	15.943	0.245	71.3	241 295 298	15 4462
8584	8.4	30 39.51	2.9101	0.0000	11 18 37.2	15.945	0.251	70.8	224 254	11 4612
8585	8.2	30 42.56	2.8648	+0.0010	14 21 17.0	15.948	0.246	70.8	227 257	14 4641
8586	11	21 30 52.73	+2.8838	+0.0006	+13 6 3.0	+15.957	+0.248	82.7	297 R	— —
8587	8.8[6]	30 55.67	2.8952	+0.0003	12 20 17.0	15.959	0.249	85.7	576 589 590	[12 4650]
8588	7.3	31 2.21	2.9126	−0.0001	11 9 33.3	15.965	0.250	70.8	224 254	11 4613
8589	8.9[7]	31 3.46	2.8873	+0.0005	12 52 30.8	15.966	0.248	82.3	229 R	[12 4651]
8590	9.5	31 9.82	2.8799	+0.0007	13 23 0.1	15.972	0.247	85.7	576 589 590	— —
8591	8.9	21 31 20.94	+2.8611	+0.0011	+14 39 3.4	+15.982	+0.245	71.2	227 257 295 298	14 4644
8592	9.3	31 21.04	2.8802	+0.0007	13 22 30.3	15.982	0.247	85.7	576 589 590	— —
8593	8.3	31 29.14	2.9208	−0.0003	10 37 36.2	15.989	0.250	70.7	207 242(δ½) 250	10 4589
8594	9.0	31 30.27	2.9183	−0.0002	10 48 3.4	15.990	0.250	70.8	217 253	10 4588
8595	9.4	31 34.50	2.9199	−0.0002	10 41 42.2	15.994	0.250	82.3	217 R	— —
8596[8]	9.2	21 31 39.13	+2.8877	+0.0005	+12 53 23.2	+15.998	+0.247	82.7	296 R	[12 4654]
8597	7.9[9]	31 43.96	2.8615	+0.0011	14 39 21.1	16.002	0.245	71.0	227 241 257 295	14 4647
8598	8.8[10]	31 45.59	2.9150	−0.0001	11 2 36.0	16.003	0.249	70.8	217 253	10 4590
8599	8.8	31 45.86	2.9286	−0.0004	10 6 32.9	16.004	0.251	85.2	527 586	— —
8600	8.3	31 48.27	2.8640	+0.0011	14 29 49.7	16.006	0.245	79.1	5 Beob.	14 4648

[1] BD 7.0 [2] 8.2 8.6 8.3 7.5 8.4 7.0 [3] 9.0 9.0 9.5 8.9 10.0 [4] BD 9.4 [5] BD 6.5
[6] BD 9.4 [7] Nur Z. 229; BD 9.4 [8] $9^m.5$ seq. 3^s $25''$A. [9] BD 7.0 [10] $11^m.5$ 27^s 243°

Nr.	Gr.	A.R. 1875	Praec.	Var. saec.	Decl. 1875	Praec.	Var. saec.	Ep.	Zonen	B. D.
8601	8.7	21h 31m 59s.52	+2s.8800	+0s.0007	+13° 26' 19".5	+16".016	+0".246	70.8	227 257	13° 4750
8602	8.9	32 6.86	2.9211	−0.0002	10 38 40.2	16.022	0.249	70.8	242(δ½) 250 253	10 4592
8603	9.0	32 6.87	2.8583	+0.0012	14 53 47.8	16.022	0.244	71.2	241 257 295 298	14 4649
8604	8.9	32 11.40	2.9209	−0.0002	10 39 51.1	16.026	0.249	70.7	207 242(δ½) 250 253	10 4593
8605	8.0	32 29.24	2.8852	+0.0006	13 7 19.3	16.042	0.246	71.9	260 297 320 321	13 4751
8606	8.6	21 32 30.01	+2.9064	+0.0001	+11 40 33.9	+16.042	+0.247	70.8	224 254	11 4619
8607	8.2	32 58.97	2.9155	0.0000	11 5 9.0	16.068	0.247	70.8	217 253	10 4595
8608	9.1	32 59.75	2.8829	+0.0007	13 19 9.0	16.068	0.245	90.6	792 795	13 4754
8609	9.0	33 1.76	2.8890	+0.0006	12 54 7.4	16.070	0.245	71.2	229 296	— —
8610	9.0	33 25.77*	2.9098	+0.0001	11 30 13.2	16.091	0.246	82.4	254 R	[11 4624]
8611	9.0	21 33 36.61	+2.8905	+0.0006	+12 50 48.5	+16.100	+0.244	84.2	296 792 795	12 4657
8612	9.5	33 39.82	2.8906	+0.0006	12 50 24.4	16.103	0.244	90.6	792 795	— —
8613	8.6	33 41.58	2.8733	+0.0010	14 1 3.2	16.105	0.243	70.8	227 257	13 4755
8614	8.9	33 45.85	2.9254	−0.0003	10 26 41.9	16.108	0.247	70.7	207 242(δ½) 250	10 4597
8615	8.6	33 54.60	2.8856	+0.0007	13 12 7.5	16.116	0.244	71.9	260 297 320 321	13 4756
*8616	9.5	21 33 55.69	+2.8755	+0.0009	+13 53 11.1	+16.117	+0.243	93.1	795 R	} 13 4757
*8617	9.0	33 55.85	2.8755	+0.0009	13 53 14.2	16.117	0.243	80.7	227 257 792 795	}
8618	8.7	33 56.48	2.8841	+0.0007	13 18 26.4	16.118	0.243	71.9	260 297 320 321	13 4758
8619[1]	8.8	34 1.55	2.9101	+0.0001	11 31 40.7	16.122	0.245	70.8	224 254	11 4626[2]
8620	9.1	34 2.17	2.8970	+0.0004	12 25 53.5	16.123	0.244	85.7	576 589 590	[12 4658]
8621	9.4	21 34 30.02	+2.9221	−0.0001	+10 43 17.6*	+16.147	+0.246	82.3	217 R	— —
8622	8.9	34 50.94	2.8844	+0.0008	13 21 8.8	16.165	0.242	71.9	260 297 320 321	13 4763
8623	8.7	34 56.63	2.9228	−0.0001	10 42 2.2	16.170	0.245	70.8	217 253	10 4599
8624	8.1	35 8.60	2.9176	0.0000	11 4 32.0	16.180	0.244	70.8	217 253	10 4600
8625	8.8	35 20.53	2.8922	+0.0006	12 51 9.8	16.190	0.242	71.7	260 297 320	12 4660[3]
8626	8.2	21 35 21.25	+2.9018	+0.0004	+12 11 19.3	+16.191	+0.243	71.2	229 296	12 4661
8627	8.7[4]	35 27.71	2.9105	+0.0002	11 35 31.4	16.196	0.243	85.7	576 589 590	[11 4632]
8628	8.2	35 38.36	2.8746	+0.0011	14 5 28.0	16.206	0.240	70.8	227 257	14 4658
8629	7.6	35 42.77	2.8690	+0.0012	14 28 33.4	16.209	0.239	71.3	241 295 298	14 4659
8630	8.4	35 54.31	2.9020	+0.0004	12 12 46.3	16.219	0.242	71.2	229 296	12 4663
8631	8.8	21 35 55.21	+2.8807	+0.0010	+13 41 19.2	+16.220	+0.240	71.7	260 297 320	13 4767
8632	8.1	36 0.67	2.8949	+0.0006	12 43 14.2	16.225	0.241	71.7	260 321	12 4664
8633	9.0	36 8.16	2.8956	+0.0006	12 40 51.4	16.231	0.241	71.4	229 260 296 321	12 4665
8634	8.8	36 10.50	2.9156	+0.0001	11 17 3.2	16.233	0.243	85.7	576 589 590	[11 4635]
8635	8.6	36 18.75	2.9206	0.0000	10 56 25.2	16.240	0.243	70.8	217 253	10 4603
8636	8.7	21 36 19.57	+2.9056	+0.0004	+11 59 51.7	+16.241	+0.242	70.8	224 254	11 4637
8637	8.8	36 26.06*	2.8632	+0.0014	14 56 12.7	16.247	0.238	76.1	241 295 298 792	14 4663
8638	6.0[5]	36 26.56	2.9304	−0.0002	10 15 19.0	16.247	0.244	77.1 77.8	5 Beob.	10 4604
8639	9.3	36 35.27	2.8938	+0.0007	12 50 23.9	16.254	0.240	85.7	576 590	[12 4668]
8640	9.4[6]	36 45.59	2.8966	+0.0006	12 39 15.2	16.263	0.240	82.7	297 R	[12 4669]
8641	9.3	21 36 54.11	+2.8939	+0.0007	+12 51 5.8*	+16.271	+0.240	89.1	589 590 R	— —
8642	8.8	36 59.55	2.8938	+0.0007	12 52 6.5*	16.275	0.240	81.3	5 Beob.	12 4670
8643	8.9	37 4.29	2.9267	−0.0001	10 33 21.2	16.279	0.242	70.7	207 217 253	10 4606
8644	8.1	37 14.38	2.9072	+0.0004	11 57 0.2	16.288	0.240	70.8	224 254	11 4641
8645	8.9	37 17.04	2.8956	+0.0007	12 45 52.6	16.290	0.239	71.7	260 320	12 4673
8646	8.9	21 37 19.01	+2.9048	+0.0004	+12 7 6.0	+16.292	+0.240	71.2	229 296	12 4672
8647	8.9	37 30.63	2.9095	+0.0003	11 48 20.9	16.302	0.240	77.4	224 254 795	11 4642
8648	9.1	37 40.39	2.9095	+0.0004	11 48 57.4	16.310	0.240	90.6	792 795	[11 4643]
8649	7.9	37 40.51	2.9276	−0.0001	10 31 48.9*	16.310	0.241	70.7	207 217 242(δ½) 250	10 4608
8650	9.0	37 46.89	2.9261	0.0000	10 38 37.3	16.315	0.241	70.8	217 253	10 4609

[1] 10m praec. 7s 10"B. [2] L = BD +3s.5 [3] L = BD +3s.4 [4] BD 9.4 [5] 6.7 6.3 6.0 5.5 5.5
[6] Grösse nach BD

Nr.	Gr.	A.R. 1875	Praec.	Var. saec.	Decl. 1875	Praec.	Var. saec.	Ep.	Zonen	B.D.
8651	8.5	$21^h\ 37^m\ 48^s.04$	$+2^s.8603$	$+0^s.0019$	+15° 15' 15".5*	+16".316	+0".235	76.1	241 295 298 792	15° 4482
8652	9.0	38 22.74	2.9204	+0.0001	11 5 35.4	16.346	0.240	70.8	217 253	11 4646
8653	6.3	38 29.59	2.8763	+0.0012	14 12 10.7	16.351	0.236	70.8	227 257	14 4668
8654	8.9	38 39.75	2.9012	+0.0006	12 28 13.1	16.360	0.238	80.9	229 296 792 795	12 4675
8655	8.4	38 51.11	2.9012	+0.0006	12 29 19.7	16.370	0.237	71.2	229 296	12 4677
8656	8.8[1]	21 38 55.90	+2.9339	−0.0002	+10 9 31.4	+16.374	+0.240	85.2	527 586	[10 4617]
*8657	9.1	38 56.68	2.9261	0.0000	10 43 19.9	16.374	0.239	70.8	217 253	[10 4616]
8658	8.7	39 1.33	2.9065	+0.0005	12 7 29.9	16.378	0.238	71.2	229 296	12 4678
8659	9.3	39 2.83*	2.8627	+0.0016	15 11 36.9	16.379	0.234	79.6	295 298 R	[15 4487]
8660	8.9	39 9.00	2.9259	0.0000	10 44 49.5	16.385	0.239	90.6	792 795	10 4618
8661	8.8	21 39 14.17	+2.8752	+0.0013	+14 20 47.0	+16.389	+0.234	70.8	227 257	14 4671
8662	8.8	39 41.62	2.9108	+0.0004	11 52 9.4	16.412	0.237	70.8	224 254	11 4652
8663	8.9	39 45.25	2.9279	0.0000	10 38 34.2	16.415	0.238	70.8	217 253	10 4620
8664	7.8	39 49.69	2.8639	+0.0016	15 10 58.4	16.419	0.233	71.3	241 295 298	15 4491
8665	8.4	39 49.99	2.9188	+0.0002	11 18 14.8	16.419	0.237	70.8	224 254	11 4653
8666	8.8	21 39 50.26	+2.8637	+0.0016	+15 11 56.8	+16.419	+0.233	81.1	295 298 792 795	15 4492
8667	8.1[2]	40 6.64	2.8887	+0.0010	13 27 59.3	16.433	0.234	71.3	227 257 260 320	13 4780
8668	8.8	40 34.46	2.8651	+0.0016	15 9 56.0	16.456	0.232	71.3	241 295 298	15 4497
8669	8.6	40 39.66	2.9008	+0.0008	12 38 57.6	16.461	0.234	80.9	229 296 792 795	12 4686
8670	9.1	40 42.37	2.9348	−0.0001	10 12 20.0	16.463	0.237	85.2	527 586	[10 4624]
8671	6.5[3]	21 40 44.17	+2.8940	+0.0009	+13 8 32.8	+16.464	+0.234	71.7	260 320	13 4781
8672	8.6	41 13.31	2.9310	0.0000	10 30 40.6	16.489	0.236	70.7	207 242(δ½) 250	10 4626
8673	8.5	41 19.61	2.9357	−0.0001	10 10 54.1*	16.494	0.236	76.5 77.1	5 Beob.	10 4627
8674	8.5	41 55.40	2.9224	+0.0003	11 11 14.5	16.523	0.234	80.7	224 254 792 795	11 4664
8675	8.0[4]	42 7.96	2.9307	+0.0001	10 35 51.5	16.534	0.235	80.7	217 253 792 795	10 4632
8676	8.9	21 42 34.89	+2.9339	0.0000	+10 23 28.3	+16.556	+0.234	85.7	576 589 590	[10 4635]
8677	8.8	42 42.09	2.9104	+0.0006	12 6 53.4	16.562	0.232	71.2	229 296	12 4691
8678	9.3	42 42.30	2.9374	−0.0001	10 8 31.2	16.562	0.234	85.2	527 586	[10 4636]
8679	9.1	42 59.19	2.8872	+0.0013	13 48 57.4	16.576	0.230	72.0	260 320 321	13 4783
8680	8.8	43 11.52*	2.8732	+0.0016	14 49 59.5	16.586	0.228	76.1	241 295 298 792	14 4676
8681	8.8	21 43 15.46	+2.8774	+0.0015	+14 32 34.6	+16.589	+0.229	70.8	227 257	14 4677
8682	7.0[5]	43 22.59*	2.8686	+0.0018	15 10 46.6	16.595	0.228	76.1	241 295 298 792	15 4505
8683	8.9	43 35.08	2.9383	0.0000	10 7 49.8	16.605	0.233	76.5 77.1	5 Beob.	10 4637
8684	8.4	43 45.01	2.8712	+0.0017	15 1 35.3	16.614	0.227	71.3	241 295 298	14 4679
8685	8.3	43 57.44	2.9374	0.0000	10 13 26.7	16.624	0.232	76.5 77.1	5 Beob.	10 4638
8686	8.0	21 44 11.22	+2.8698	+0.0018	+15 10 11.2*	+16.635	+0.227	76.1	241 295 298 792	15 4508
8687	8.6	44 22.78	2.9360	+0.0001	10 21 7.5	16.644	0.232	70.8	217 250 253	10 4640
8688[6]	8.9	44 27.09	2.8693	+0.0018	15 13 42.8	16.648	0.226	90.6	792 795	15 4509
8689	8.6	44 31.06	2.8991	+0.0011	13 5 6.2	16.651	0.228	71.2	229 296	12 4698
8690	9.2	44 34.09	2.8965	+0.0011	13 16 35.3	16.653	0.228	82.4	260 R	[13 4788]
8691	8.7	21 44 50.56	+2.8793	+0.0016	+14 32 58.6	+16.667	+0.226	71.4	227 257 320	14 4683
8692	8.7	44 51.79	2.8773	+0.0017	14 41 26.2	16.668	0.226	71.1	5 Beob.	14 4684
8693	6.3[7]	44 57.70	2.9138	+0.0007	12 2 29.9	16.673	0.229	70.8	224 254	11 4673
8694	8.5	45 11.00	2.9372	+0.0001	10 19 7.1	16.683	0.230	76.5 77.1	5 Beob.	10 4643
8695	9.2	45 11.51	2.8969	+0.0012	13 17 40.8	16.684	0.227	82.4	260 R	— —
8696	8.5	21 45 23.88	+2.8777	+0.0017	+14 42 42.0	+16.694	+0.225	90.6	792 795	14 4685
8697	9.0	45 31.14	2.8867	+0.0015	14 4 7.2	16.700	0.226	71.7	260 321	[13 4792]
8698	8.9	45 32.26	2.8795	+0.0017	14 35 45.9	16.701	0.225	71.5	6 Beob.	14 4687
8699	8.1[8]	45 37.07	2.9224	+0.0005	11 27 2.6	16.705	0.229	80.7	224 254 792 795	11 4677
8700	8.9	45 42.73	2.8980	+0.0012	13 15 30.2	16.709	0.227	72.6	320 321	13 4793

[1] BD 9.3 [2] BD 8.6; 10^m praec. $3^s.5$ 25"B. [3] BD 7.0 [4] BD 8.5 [5] BD 7.5 [6] $9^m.6$ seq. $2^s.5$ 1'B.
[7] BD 7.7; Z. 254 blau [8] BD 7.5

Nr.	Gr.	A.R. 1875	Praec.	Var. saec.	Decl. 1875	Praec.	Var. saec.	Ep.	Zonen	B.D.
8701	7.7[1]	21h 45m 44s.35	+2s.9352	+0s.0002	+10° 30' 17".7*	+16".710	+0".229	70.7	207 242(δ½) 250	10° 4645
8702	8.1	45 48.15	2.9130	0.0008	12 9 44.9	16.713	0.228	71.2	229 296	12 4704
8703	9.1	45 59.28	2.8802	0.0017	14 35 10.4	16.722	0.225	70.8	227 257	14 4688
8704	8.3	46 0.85	2.8880	0.0015	14 1 1.8	16.723	0.225	84.0	257 792 795	13 4797
8705	9.0[2]	46 8.08	2.8727	0.0019	15 8 28.3	16.729	0.224	82.7	298 R	[15 4517]
8706	8.5[3]	21 46 20.66	+2.9163	+0.0007	+11 57 35.3	+16.740	+0.227	70.8	224 254	11 4681
8707	8.5	46 46.54	2.9010	0.0012	13 7 42.7	16.760	0.225	71.7	260 321	13 4799
8708	7.9	46 46.80	2.9041	0.0011	12 54 9.9	16.761	0.225	71.7	260 320	12 4705
8709	8.9	46 49.44	2.9137	0.0008	12 11 10.1	16.763	0.226	80.9	229 296 792 795	12 4706
8710	8.9	47 3.97	2.9280	0.0005	11 8 23.2	16.774	0.227	70.8	217 253	11 4684
8711	7.8	21 47 19.02	+2.9294	+0.0004	+11 2 49.2	+16.786	+0.226	70.8	217 253	10 4651
8712	9.1	47 24.22	2.9008	0.0012	13 12 1.1	16.790	0.224	82.4	257 R	[13 4800]
8713	8.8	47 24.74	2.9067	0.0011	12 45 45.9	16.791	0.224	80.9	229 296 792 795	12 4708
8714	8.8	47 26.73	2.8749	0.0019	15 6 40.8	16.792	0.222	71.3	241 295 298	15 4521
8715	8.7	47 54.92	2.8989	0.0013	13 22 54.5	16.815	0.223	71.7	260 320	13 4801
8716	8.5	21 48 1.84	+2.9018	+0.0012	+13 10 33.3	+16.820	+0.223	70.8	227 257	13 4802
8717	8.4	48 5.05	2.9350	0.0003	10 40 40.7	16.823	0.226	70.8	217 253	10 4653
8718[4]	8.5	48 12.40	2.9048	0.0012	12 58 5.7	16.829	0.223	71.7	260 320	12 4710
8719	9.2	48 17.13	2.9415	0.0002	10 12 2.5	16.832	0.226	77.9	207 250 527 586	[10 4654]
8720	6.2[5]	48 17.40	2.9156	0.0009	12 9 43.3	16.833	0.224	71.2	229 296	12 4711
8721	8.6	21 48 31.72	+2.8921	+0.0015	+13 56 42.6	+16.844	+0.222	70.8	227 257	13 4804
8722	8.7	48 33.92	2.9398	0.0002	10 20 57.2	16.846	0.225	70.8	217 253	10 4655
8723	8.7	48 36.84	2.9421	0.0001	10 10 41.4*	16.848	0.226	82.1	6 Beob.	10 4656
8724	8.6[6]	48 38.41	2.9278	0.0006	11 15 56.8	16.849	0.224	70.8	224 254	11 4689
8725	8.6	48 41.84	2.8920	0.0016	13 58 6.0	16.852	0.221	70.8	227 257	13 4806
8726	8.7	21 48 45.37	+2.8788	+0.0019	+14 57 6.7	+16.855	+0.220	71.3	241 295 298	14 4691
8727	8.0	48 52.87	2.8832	0.0018	14 38 10.0	16.861	0.220	70.8	227 257	14 4692
8728	9.1	49 6.56	2.8978	0.0014	13 33 59.9	16.872	0.221	70.8	227 257	13 4807
8729	8.3	49 19.53	2.9379	0.0003	10 32 35.5	16.882	0.224	70.8	217 253	10 4657
8730	8.9	49 24.06	2.9167	0.0009	12 10 16.7	16.885	0.222	84.0	229 792 795	12 4719
*8731	8.3	21 49 24.41	+2.9413	+0.0002	+10 17 35.0*	+16.886	+0.224	78.0	217 253 527 586	10 4659
8732	8.3[7]	49 46.70	2.9029	0.0013	13 14 52.3	16.903	0.220	71.7	260 320	13 4809
8733	8.8	49 52.01	2.8793	0.0020	15 1 5.5	16.907	0.218	71.2	241 298	14 4697
8734	8.9[8]	50 20.51	2.9119	0.0011	12 36 30.6	16.930	0.220	71.2	229 296	[12 4721]
8735	9.0	50 21.17	2.9052	0.0013	13 7 16.8	16.930	0.220	71.7	260 320	[13 4810]
8736	7.9	21 50 25.42	+2.9191	+0.0009	+12 3 57.4	+16.933	+0.221	70.8	224 254	11 4695
8737	8.7	50 33.09	2.9053	0.0013	13 7 41.8	16.939	0.220	71.7	260 320	13 4811
8738	5.8	50 50.64	2.9271	0.0007	11 29 0.0	16.953	0.221	70.8	224 254	11 4696
8739[9]	8.8	50 55.53	2.9122	0.0012	12 38 20.8	16.957	0.219	71.2	229 296	12 4724[10]
8740	8.3	51 2.58	2.9440	0.0002	10 11 46.3	16.962	0.222	77.9	207 250 527 586	10 4661
8741	8.8	21 51 3.33	+2.9212	+0.0009	+11 57 36.3	+16.963	+0.220	70.8	224 254	11 4697
8742	8.8	51 6.24	2.9353	0.0005	10 52 19.4	16.965	0.221	70.8	217 253	10 4662
8743	7.3[11]	51 31.30	2.9295	0.0007	11 21 9.1	16.985	0.220	70.8	224 254	11 4700
8744	9.3	51 34.05*	2.9161	0.0011	12 23 33.2*	16.987	0.219	79.3	229 296 R	— —
8745	8.7[12]	51 34.21	2.9293	0.0007	11 22 15.8	16.987	0.220	70.8	224 254	[11 4701]
8746	8.9	21 51 50.03	+2.9167	+0.0011	+12 22 13.6	+16.999	+0.218	71.2	229 296	12 4726
8747	8.2	52 1.57	2.8994	0.0016	13 42 51.0	17.008	0.217	70.8	227 257	13 4814
8748	8.3	52 8.64	2.9101	0.0013	12 54 1.3	17.014	0.218	71.2	229 296	12 4727
8749	8.7	52 11.68	2.9207	0.0010	12 5 11.1	17.016	0.218	70.8	224 254	11 4702
8750	7.0[13]	52 24.04	2.9036	0.0015	13 25 41.6	17.026	0.216	70.8	227 257	13 4816

[1] 7.7 8.5 7.0 [2] Nur Z. 298; BD 9.5 [3] BD 8.0 [4] 9m.5 praec. 4s.0 10"A. [5] BD 6.8 [6] BD 9.1
[7] BD 7.8 [8] BD 9.4 [9] 12m praec. 6s 30"A.; 12m praec. 12s 1'.1 A. [10] L = BD +3s.6 —0'.8 [11] BD 8.5
[12] BD 9.3 [13] BD 6.5

Nr.	Gr.	A.R. 1875	Praec.	Var. saec.	Decl. 1875	Praec.	Var. saec.	Ep.	Zonen	B.D.
8751	7.8	21h 52m 32s.44	+2s.8869	+0s.0020	+14° 42' 37".7	+17".032	+0".215	71.2	241 298	14° 4705
8752	8.9	52 42.56	2.9428	0.0004	10 24 15.0	17.040	0.219	70.8	217 253	10 4666
8753	8.9	52 47.04	2.9083	0.0014	13 5 42.4	17.043	0.216	71.7	260 320	12 4728
8754	8.1	52 47.51	2.8906	0.0019	14 27 31.3	17.044	0.215	70.8	227 257	14 4706
8755	8.2[1]	52 52.75	2.9277	0.0009	11 35 49.2	17.048	0.218	70.8	224 254	11 4704
8756	9.0	21 52 54.86	+2.9338	+0.0007	+11 7 26.1	+17.049	+0.218	70.8	217 253	11 4705
8757	8.6[2]	52 56.03	2.9123	0.0013	12 48 1.2	17.050	0.216	71.2	229 296	12 4729
8758	9.2	53 10.68	2.9006	0.0017	13 43 48.0	17.061	0.215	82.4	257 R	[13 4817]
8759	8.8	53 11.03	2.9393	0.0005	10 43 0.5	17.062	0.218	70.8	217 253	10 4669
8760	8.6	53 24.58	2.8871	0.0021	14 47 13.7	17.072	0.214	71.2	241 298	14 4709
8761	8.2	21 53 29.32	+2.8835	+0.0022	+15 3 49.2	+17.076	+0.213	71.2	241 298	14 4710
8762	8.7	53 33.37	2.9006	0.0017	13 45 47.0	17.079	0.214	70.8	227 257	13 4818
8763	8.7	53 49.92	2.9099	0.0015	13 4 16.0	17.091	0.215	71.7	260 320	12 4732
8764	8.6	54 29.44	2.9279	0.0010	11 43 2.2	17.121	0.215	70.8	224 254	11 4709
8765	9.0	54 38.93	2.9080	0.0016	13 17 13.4	17.129	0.213	71.7	260 320	13 4822
8766	8.4	21 54 41.64	+2.8952	+0.0019	+14 17 22.2	+17.131	+0.212	70.8	227 257	14 4712
8767	9.3	54 43.05	2.9396	0.0006	10 48 15.0	17.132	0.215	70.8	217 253	[10 4671]
8768	9.0	54 49.49	2.8903	0.0021	14 40 56.5	17.137	0.212	84.2	298 R	— —
8769	9.0	54 51.11	2.9460	0.0004	10 18 4.5	17.138	0.216	71.7	207 327	[10 4672][3]
8770	8.6	54 52.07	2.9077	0.0016	13 19 53.0	17.139	0.213	71.4	257 260 320	13 4824
8771	8.1	21 54 52.69	+2.8906	+0.0021	+14 39 42.9	+17.139	+0.211	71.2	241 298	14 4713
8772	8.7	54 59.18	2.8918	0.0021	14 34 48.0	17.144	0.211	71.1	241 257 298	14 4714
8773	**5.8**	**55 0.01**	**2.9182**	**0.0013**	**12 31 18.4**	**17.145**	**0.213**		**Fund. Cat.**	**12 4737**
8774	9.0	55 10.47*	2.9403	0.0006	10 46 47.3*	17.153	0.215	82.3	253 R	[10 4673]
8775	9.6	55 12.18	2.9461	0.0005	10 19 31.0	17.154	0.215	85.2	527 586	[10 4674]
8776	9.0	21 55 20.03	+2.9079	+0.0016	+13 21 35.0	+17.160	+0.212	83.2	320 R	[13 4826]
8777	8.8	55 34.62	2.9061	0.0017	13 31 16.4	17.171	0.212	71.7	260 320	13 4828
8778	8.8	55 40.65	2.8849	0.0023	15 11 22.7	17.175	0.210	71.2	241 298	15 4545
8779	8.8	55 44.35	2.9405	0.0007	10 48 31.3	17.178	0.214	84.0	217 792 795	10 4675
8780	7.1[4]	55 53.00	2.9461	0.0005	10 22 20.1	17.185	0.214	71.7	207 327	10 4676
8781	9.1	21 55 55.33	+2.9441	+0.0006	+10 32 15.1	+17.186	+0.214	80.7	217 253 792 795	10 4677
8782	8.2	55 58.61	2.9388	0.0007	10 57 54.2	17.189	0.213	70.8	217 253	10 4678
8783	8.8	55 59.99	2.9110	0.0016	13 10 55.1	17.190	0.211	71.7	260 320	13 4830
8784	8.5	56 0.08	2.9246	0.0012	12 6 12.6	17.190	0.212	70.8	224 254	12 4741
8785	8.7[5]	56 1.47	2.9143	0.0015	12 55 14.1	17.191	0.211	71.2	229 296	12 4742
8786	8.7	21 56 3.77	+2.8895	+0.0022	+14 52 0.2	+17.193	+0.210	71.2	241 298	14 4717
8787	8.5	56 21.61	2.9416	0.0007	10 45 59.9	17.206	0.213	70.8	217 253	10 4679
8788[6]	8.7	56 45.76	2.9204	0.0014	12 30 19.0	17.224	0.211	80.9	229 296 792 795	12 4743
8789	9.1	56 47.00	2.9195	0.0014	12 34 33.2	17.225	0.211	71.7	260 320	12 4745
8790	9.0	56 47.55*	2.9163	0.0015	12 49 49.8	17.225	0.211	80.9	229 296 792 795	12 4744
8791	7.7	21 56 52.29	+2.9088	+0.0017	+13 26 11.9	+17.229	+0.210	70.8	227 257	13 4834
8792	7.5	56 54.13	2.8866	0.0024	15 10 47.2	17.230	0.208	71.2	241 298	15 4549
8793	8.9[7]	56 56.72	2.9050	0.0019	13 44 34.3	17.232	0.209	83.2	320 R	[13 4835]
8794	6.0	57 11.06	2.9422	0.0007	10 46 59.9	17.243	0.212	70.8	217 253	10 4681
8795	8.6	57 19.59	2.9049	0.0019	13 47 27.9	17.249	0.209	84.0	260 792 795	13 4836
8796	8.5	21 57 40.80	+2.9212	+0.0014	+12 31 15.1	+17.265	+0.209	71.2	229 296	12 4748
8797	8.8	57 50.86	2.9509	0.0005	10 7 31.5	17.273	0.211	81.5	7 Beob.	10 4682
8798	9.0	57 59.64	2.9507	0.0005	10 9 12.4	17.279	0.211	79.9	5 Beob.	10 4684
8799	8.8[8]	58 9.91	2.9091	0.0018	13 32 8.5	17.287	0.208	70.8	227 257	[13 4839]
*8800	7.2	58 18.01	2.9154	0.0016	13 2 39.1	17.293	0.208	71.7	260 320	12 4751

[1] BD 8.7; Schätz. 8.3 8.2 [2] BD 9.1 [3] L = BD +3s.3 [4] 6.5 7.8; BD 6.5 [5] BD 9.3 [6] 9m.7 seq. 2s 1'.3B.
[7] Nur Z. 320; BD 9.5 [8] BD 9.4

Nr.	Gr.	A.R. 1875	Praec.	Var. saec.	Decl. 1875	Praec.	Var. saec.	Ep.	Zonen	B.D.
8801	8.6	21h 58m 21s.38	+2s.9132	+0s.0017	+13° 13' 12".7	+17".295	+0".208	71.7	260 320	13° 4840
8802	8.6	58 25.19	2.9510	0.0005	10 9 41.0	17.298	0.210	76.4	207 327 586	10 4686
8803	8.6	58 26.45	2.8876	0.0025	15 16 0.0	17.299	0.206	77.6	241 298 795	[15 4556]
8804	9.0	58 28.89	2.8874	0.0025	15 17 18.1	17.301	0.206	81.1	298 792	15 4557
8805	8.0	58 29.18	2.8879	0.0025	15 15 17.2	17.301	0.206	77.6	241 298 795	15 4558
8806	8.8	21 58 29.77	+2.9100	+0.0018	+13 29 31.2	+17.301	+0.207	84.0	257 792 795	13 4841
8807	8.9[1]	58 34.83	2.9284	0.0013	12 1 18.9	17.305	0.208	70.8	224 254	[11 4723]
8808	9.1	58 38.15	2.9307	0.0012	11 50 11.3	17.307	0.208	82.7	296 R	— —
8809	9.0	58 38.39	2.8912	0.0024	15 0 12.6	17.308	0.206	71.2	241 298	14 4727
8810	9.0	58 44.99	2.9478	0.0006	10 27 6.7	17.313	0.209	82.3	253 R	[10 4690]
8811	9.1	21 58 58.59	+2.9480	+0.0007	+10 26 53.7	+17.323	+0.209	70.8	217 253	[10 4691]
8812	6.8	59 0.71	2.9017	0.0021	14 12 37.4	17.324	0.206	70.8	227 257	14 4730
8813	7.7	59 5.71	2.9292	0.0013	11 59 56.8	17.328	0.208	70.8	224 254	11 4724
8814	8.0[2]	59 10.80	2.9060	0.0020	13 52 49.8	17.332	0.206	70.8	227 257	13 4842
8815	8.6	59 21.54	2.9180	0.0016	12 55 43.4	17.339	0.206	71.7	260 320	12 4753
8816	8.9	21 59 24.29	+2.9488	+0.0007	+10 25 11.5	+17.341	+0.209	70.8	217 253	10 4692
8817	8.5	59 43.94	2.9306	0.0013	11 56 16.0	17.356	0.207	70.8	224 254	11 4726
8818	8.8	59 49.81	2.9033	0.0021	14 10 4.9	17.360	0.205	70.8	227 257	14 4732
8819	8.9	59 52.44	2.9131	0.0019	13 22 48.5	17.362	0.205	81.1	260 320 792 795	13 4846
8820	8.9	22 0 3.63	2.9009	0.0022	14 22 50.7	17.370	0.204	71.2	241 298	14 4734
8821	8.4	22 0 9.44	+2.9027	+0.0022	+14 15 1.0	+17.374	+0.204	70.8	227 257	14 4735
8822	8.8	0 12.41	2.8918	0.0025	15 7 44.4	17.377	0.203	71.2	241 298	15 4566
8823	8.7	0 27.11	2.9382	0.0011	11 22 46.5	17.387	0.206	70.8	224 254	11 4727
8824	7.0	0 27.23	2.9326	0.0013	11 50 11.0	17.387	0.206	80.9	229 296 792 795	11 4729
8825	8.7	0 30.93	2.9357	0.0012	11 35 18.6	17.390	0.206	70.8	224 254	11 4728
8826	7.9	22 0 55.00	+2.9413	+0.0010	+11 9 35.4	+17.408	+0.205	70.8	217 218 247 253	11 4730
8827	9.0	0 58.24	2.9505	0.0007	10 23 45.0	17.410	0.206	71.1	138 207 327	10 4695
8828	8.5	1 7.35	2.9266	0.0015	12 23 34.5	17.416	0.204	71.5	221 229 296 327	12 4758
8829	9.2	1 26.28	2.9132	0.0020	13 31 33.1	17.430	0.203	72.1	260 320 328	[13 4850]
8830	8.1[3]	1 29.66	2.9540	0.0006	10 8 39.6	17.432	0.206	75.9	6 Beob.	10 4696
8831	8.0[4]	22 1 51.81	+2.9266	+0.0016	+12 27 32.6	+17.448	+0.203	71.5	221 229 296 327	12 4760
8832	8.8	2 4.96	2.9144	0.0020	13 29 30.1*	17.458	0.202	72.0	5 Beob.	13 4852
8833	8.6	2 15.78	2.9415	0.0011	11 15 24.0	17.466	0.203	70.8	218 247	11 4734
8834	8.7	2 21.67	2.9340	0.0014	11 53 24.5	17.470	0.203	71.8	221 260 320 328	11 4735
8835	8.6	2 24.70	2.9033	0.0024	14 25 55.9	17.472	0.200	71.8	231 331	14 4741
8836	8.7	22 2 25.40	+2.9377	+0.0012	+11 35 2.8	+17.473	+0.203	71.6	5 Beob.	11 4736
8837	8.6	2 35.68	2.9285	0.0016	12 22 11.5	17.480	0.202	71.8	241 328	12 4764
8838	9.1	2 38.06	2.9375	0.0013	11 37 31.4	17.482	0.202	71.8	241 327	11 4737
8839	8.9	2 47.50	2.9340	0.0014	11 55 43.2	17.488	0.202	71.9	260 328	11 4738
8840	8.6	3 10.07	2.9209	0.0019	13 3 40.8	17.504	0.200	71.8	234 241 324 328	12 4766
8841	8.5	22 3 11.79	+2.9295	+0.0016	+12 20 49.5	+17.506	+0.201	71.8	221 327	12 4767
8842	8.9[5]	3 42.20	2.9361	0.0014	11 49 59.8	17.527	0.201	70.8	218 247	11 4741
8843	9.1	3 45.65	2.8971	0.0027	15 5 45.8	17.530	0.198	82.3	231 R	[15 4582]
8844	8.7	3 50.71*	2.9204	0.0020	13 10 4.5	17.533	0.199	71.8	6 Beob.	13 4857
8845	8.9	4 7.13	2.9368	0.0014	11 49 2.7	17.545	0.200	71.4	218 221 327	11 4743
8846[6]	9.0	22 4 9.18	+2.9097	+0.0023	+14 5 42.2	+17.546	+0.198	70.8	237 262	14 4744
8847[7]	8.2	4 15.38	2.9213	0.0020	13 8 19.7	17.551	0.199	71.8	6 Beob.	13 4860
8848	7.2[8]	4 17.89	2.9108	0.0023	14 1 1.1	17.553	0.198	70.8	237 262	13 4861
8849	7.0[9]	4 29.39	2.9466	0.0011	11 0 44.3	17.561	0.200	70.3	138 245	10 4701
8850	8.7	4 44.23	2.9195	0.0021	13 20 15.4	17.571	0.198	72.2	241 324 328	13 4862

[1] BD 9.4 [2] BD 7.2 [3] BD 7.6 [4] BD 7.5 [5] BD 9.5 [6] 9m.0 praec. 8s.5 15"B. [7] Z. 260 9m.0 seq. 1s 2'B.
[8] BD 6.2 [9] BD 6.0

Nr.	Gr.	A.R. 1875	Praec.	Var. saec.	Decl. 1875	Praec.	Var. saec.	Ep.	Zonen	B.D.
8851	8.1[1]	22h 4m 47s.89	+2s.8985	+0s.0027	+15° 5' 41".1	+17".574	+0".196	84.2	331 744 745	14° 4746
8852	9.1	5 18.57	2.9261	0.0019	12 49 47.8	17.595	0.197	72.2	241 324 328	12 4773
8853	8.9	5 21.02	2.9275	0.0018	12 43 7.7	17.597	0.197	72.1	260 320 331	12 4774
8854[2]	8.3	5 27.24	2.9067	0.0025	14 29 17.3	17.601	0.196	89.9	744 745	14 4748
8855	8.9[3]	5 38.05	2.9148	0.0023	13 49 27.3	17.609	0.196	71.3	237 241 262 331	13 4865
8856	8.6	22 5 56.65	+2.9422	+0.0014	+11 30 52.6	+17.622	+0.197	70.8	218 247	11 4750
8857	8.4	6 0.86	2.9467	0.0012	11 7 57.2	17.625	0.198	70.8	218 247	11 4751
8858	9.1	6 4.46	2.9274	0.0019	12 47 57.1	17.627	0.196	71.8	221 327	12 4776
8859	8.7	6 7.32	2.9266	0.0019	12 52 23.9	17.629	0.196	72.2	234 324 328	12 4779
8860	8.6[4]	6 29.77	2.9494	0.0012	10 56 45.1	17.645	0.197	80.3	218 247 744 745	10 4706
8861	8.6	22 6 39.88	+2.9223	+0.0021	+13 17 37.5	+17.652	+0.195	72.2	234 324 328	13 4869
8862	8.6	6 43.17	2.9515	0.0011	10 46 27.8	17.654	0.197	70.3	138 245	10 4707
8863	8.0	6 43.53	2.9095	0.0026	14 23 29.8*	17.654	0.194	71.8	231 331	14 4753
8864	8.3	7 7.06	2.9581	0.0009	10 13 53.1	17.671	0.196	77.8	138 245 527 586	10 4708
8865	9.3	7 10.51	2.9580	0.0009	10 14 39.1	17.673	0.196	85.2	527 586	— —
8866	8.9	22 7 16.17	+2.9590	+0.0009	+10 10 6.2	+17.677	+0.196	87.4	527 586 823	[10 4709]
8867	8.8[5]	7 17.34	2.9096	0.0026	14 26 54.8	17.678	0.193	89.9	744 745	14 4755
8868	8.3	7 18.09	2.9369	0.0017	12 6 13.3	17.678	0.195	71.8	221 327	12 4781
8869	8.9	7 36.90	2.9326	0.0019	12 30 29.5	17.691	0.194	72.2	234 324 328	12 4782
8870	8.5[6]	7 37.13	2.9005	0.0030	15 15 16.2	17.691	0.192	71.8	231 331	15 4598
8871	8.9	22 7 46.93	+2.9240	+0.0022	+13 15 44.6*	+17.698	+0.193	79.3	5 Beob.	13 4874
8872	8.5	7 47.02	2.9429	0.0015	11 37 32.1	17.698	0.194	71.8	221 327	11 4755
8873	8.9	7 48.67	2.9575	0.0010	10 20 37.6*	17.699	0.195	77.8	138 245 527 586	10 4710
8874	8.2	7 55.09	2.9439	0.0015	11 33 9.5	17.704	0.194	70.8	218 247	11 4756
8875	8.9	8 2.69	2.9572	0.0010	10 23 25.7	17.709	0.195	77.8	138 245 527 586	10 4711
8876	8.6	22 8 3.93	+2.9379	+0.0017	+12 5 9.2*	+17.710	+0.193	71.8	221 327	11 4757
8877	9.0	8 25.26	2.9143	0.0026	14 9 59.7	17.724	0.191	70.8	237 262	[14 4757]
8878	9.0	8 37.60	2.9423	0.0016	11 45 5.9	17.732	0.193	71.8	221 327	11 4761
8879	8.9	8 39.98	2.9506	0.0013	11 1 38.4	17.734	0.193	70.8	218 247	10 4714
8880	9.0	8 43.54	2.9027	0.0030	15 12 20.8	17.737	0.190	71.8	231 331	15 4600
8881	8.6	22 8 53.93	+2.9578	+0.0011	+10 24 32.6	+17.744	+0.193	70.3	138 245	10 4715
8882	8.7	9 0.98	2.9073	0.0029	14 50 41.4	17.748	0.190	71.8	231 331	14 4761
8883	8.9[7]	9 1.52	2.9152	0.0026	14 9 32.7	17.749	0.190	70.8	237 262	[14 4760]
8884	8.0	9 3.13	2.9444	0.0016	11 36 29.0	17.750	0.192	70.8	218 247	11 4762
8885	8.8	9 4.47	2.9602	0.0010	10 12 39.2	17.751	0.193	79.4	5 Beob.	10 4716
8886	8.8	22 9 11.47	+2.9600	+0.0010	+10 14 18.4	+17.756	+0.193	76.4	8 Beob.	10 4717
8887	9.1	9 20.86	2.9209	0.0024	13 42 16.2	17.762	0.190	89.9	744 745	13 4877
8888	8.6	9 25.66	2.9158	0.0026	14 9 19.2	17.765	0.190	70.8	237 262	14 4763
8889	8.8	9 36.75	2.9368	0.0019	12 20 13.5	17.773	0.191	71.8	221 327	[12 4790]
8890	8.5	9 45.41	2.9086	0.0029	14 49 9.5	17.779	0.189	71.8	231 331	14 4764
8891	9.2	22 9 47.72	+2.9301	+0.0021	+12 56 25.8	+17.780	+0.190	83.4	324 R	[12 4791]
8892	7.8	9 51.57	2.9505	0.0014	11 8 18.1	17.783	0.191	70.8	218 247	11 4765
8893	8.6	9 52.47	2.9502	0.0014	11 10 25.4	17.783	0.191	70.8	218 247	11 4766
8894	8.6[8]	9 53.17	2.9275	0.0023	13 10 55.6	17.784	0.190	89.9	744 745	13 4880
8895	8.2[9]	10 32.73	2.9383	0.0019	12 17 50.3	17.810	0.189	71.8	221 327	12 4793
8896	8.8	22 10 47.04	+2.9380	+0.0020	+12 20 41.1*	+17.820	+0.189	80.9	221 327 744 745	12 4794
8897	8.6	10 57.63	2.9315	0.0022	12 56 25.4	17.827	0.188	72.2	234 324 328	12 4796
8898	8.9	10 58.25	2.9579	0.0012	10 34 21.2	17.827	0.190	70.3	138 245	10 4721
8899	7.7[10]	11 0.27	2.9391	0.0018	12 16 18.6	17.829	0.189	71.8	221 327	12 4797
8900	7.8	11 12.10	2.9150	0.0028	14 25 31.0	17.837	0.187	70.8	237 262	14 4766

[1] 8.6 7.5 8.3 [2] 9m.1 praec. 8s 1'.4 B. [3] BD 9.5 [4] 8.8 8.9 8.0 8.6 [5] BD 9.5 [6] Nur Z. 231; BD 9.0 [7] BD 9.4 [8] BD 9.1 [9] BD 7.5 [10] BD 7.0

Nr.	Gr.	A.R. 1875	Praec.	Var. saec.	Decl. 1875	Praec.	Var. saec.	Ep.	Zonen	B.D.
8901	8.7	22h 11m 31s.75	+2s.9198	+0s.0027	+14° 2' 24".4	+17".850	+0".186	70.8	237 262	13° 4884
8902	8.8	11 33.87	2.9079	0.0031	15 5 52.5	17.851	0.186	71.8	231 331	14 4768
8903	8.8	11 41.59	2.9211	0.0026	13 57 6.6	17.856	0.186	70.8	237 262	13 4885
8904	8.6	11 55.26	2.9454	0.0018	11 47 58.7	17.865	0.187	71.8	221 327	11 4771
8905	7.5[1]	11 57.19	2.9284	0.0024	13 19 34.7	17.867	0.186	70.8	237 262	13 4887
8906	9.0	22 12 5.77	+2.9534	+0.0015	+11 5 4.9	+17.872	+0.188	70.8	218 247	10 4724
8907	8.7	12 7.29	2.9332	0.0022	12 54 40.7	17.873	0.186	71.8	234 328	12 4800
8908	8.6	12 11.52	2.9325	0.0023	12 59 2.9	17.876	0.186	72.2	234 324 328	12 4801
8909	8.7	12 13.59	2.9287	0.0024	13 19 52.5	17.877	0.186	70.8	237 262	13 4888
8910	8.5	12 33.25	2.9566	0.0014	10 50 23.1	17.890	0.187	70.3	138 245	10 4726
8911	8.6	22 12 36.41	+2.9404	+0.0020	+12 18 45.3	+17.892	+0.186	71.8	221 327	12 4803
8912	9.1	13 2.17	2.9376	0.0022	12 37 12.3	17.909	0.185	89.9	744 745	12 4805
8913	8.4	13 16.07	2.9464	0.0019	11 50 13.3	17.919	0.185	71.8	221 327	11 4776
8914	8.3[2]	13 17.21	2.9287	0.0025	13 26 38.2	17.919	0.184	71.8	234 328	13 4892
8915	7.5[3]	13 19.40	2.9123	0.0031	14 55 12.2	17.921	0.183	80.9	231 331 744 745	14 4772
8916	8.7	22 13 28.93	+2.9230	+0.0027	+13 59 1.2	+17.927	+0.183	70.8	237 262	13 4893
8917	8.8[4]	13 43.60	2.9477	0.0019	11 45 48.2	17.937	0.185	70.8	218 247	11 4778
8918	7.9[5]	13 46.79	2.9471	0.0019	11 49 29.9	17.939	0.184	71.8	221 327	11 4779
8919	8.9	13 50.15	2.9098	0.0033	15 12 43.2	17.941	0.182	71.8	231 331	15 4622
8920	9.3	13 50.29	2.9302	0.0025	13 22 41.0	17.941	0.183	89.9	744 745	13 4894
8921	8.5	22 13 55.77	+2.9214	+0.0029	+14 11 8.6	+17.944	+0.182	80.4	237 262 744 745	14 4775
8922	8.8	14 6.43	2.9278	0.0026	13 37 21.7	17.951	0.183	71.8	234 328	13 4895
8923	8.7	14 8.38	2.9187	0.0030	14 26 58.1	17.953	0.182	71.8	231 331	14 4776
8924	8.1	14 10.53	2.9628	0.0013	10 24 41.2	17.954	0.185	70.8	218 247	10 4731
8925	8.6	14 12.61	2.9650	0.0012	10 12 49.6	17.955	0.185	76.2	138 245 734	10 4732
8926	8.9	22 14 30.34	+2.9512	+0.0018	+11 31 4.9	+17.967	+0.183	70.8	218 247	11 4782
8927	7.3[6]	14 35.60	2.9308	0.0026	13 24 18.5	17.970	0.182	71.8	234 328	13 4896
8928	8.5	15 0.22	2.9651	0.0013	10 15 58.0	17.986	0.184	76.2	138 245 734	10 4735
8929	**4.8**	**15 21.94**	**2.9515**	**0.0019**	**11 34 33.5**	**18.000**	**0.182**		**Fund. Cat.**	**11 4784**
8930	7.6[7]	15 22.67	2.9281	0.0028	13 44 30.7	18.001	0.180	70.8	237 262	13 4898
8931	8.1	22 15 22.70	+2.9224	+0.0030	+14 16 2.1	+18.001	+0.180	70.8	237 262	14 4782
8932	8.7	15 23.76	2.9617	0.0015	10 37 36.0	18.001	0.183	70.3	138 245	10 4736
8933	8.6	15 24.01	2.9581	0.0016	10 57 36.4	18.002	0.182	70.8	218 247	10 4737
8934	8.6	15 43.81	2.9189	0.0031	14 37 25.7	18.014	0.179	80.9	231 331 744 745	14 4785
8935	9.0	15 44.89*	2.9190	0.0031	14 37 22.7	18.015	0.179	89.9	744 745	— —
8936	7.5[8]	22 16 0.41	+2.9150	+0.0033	+15 1 19.3	+18.025	+0.179	71.8	231 331	14 4786
8937	9.6	16 5.98	2.9590	0.0016	10 56 54.8	18.029	0.181	82.3	221 R	— —
*8938	8.7	16 7.00	2.9642	0.0014	10 27 5.3	18.029	0.182	70.3	138 245	10 4739
8939	9.3	16 18.64	2.9267	0.0029	13 58 55.2	18.037	0.179	82.4	262 R	[13 4901]
8940	8.5[9]	16 24.67*	2.9595	0.0016	10 55 32.5	18.040	0.181	78.8	5 Beob.	10 4740
8941	8.8	22 16 40.16	+2.9271	+0.0029	+13 59 19.2	+18.050	+0.178	70.8	237 262	13 4903
8942	8.4	16 56.84	2.9471	0.0022	12 9 1.9	18.061	0.179	71.8	221 327	12 4817
8943	8.9	16 58.48	2.9555	0.0019	11 21 32.8	18.062	0.180	70.8	218 247	11 4788
8944	8.8	17 0.81	2.9361	0.0026	13 11 37.2	18.063	0.178	71.8	234 328	13 4906
8945	8.7	17 18.35	2.9428	0.0024	12 35 33.1*	18.074	0.178	80.9	234 328 744 745	12 4818
8946	8.7	22 17 22.64	+2.9368	+0.0026	+13 10 21.6	+18.077	+0.178	71.8	234 328	13 4907
8947	8.2	17 30.40	2.9652	0.0015	10 29 20.6	18.082	0.179	70.3	138 245	10 4743
8948	7.7[10]	17 54.88	2.9217	0.0033	14 38 58.8	18.097	0.176	71.8	231 331	14 4790
8949	8.9	18 13.85	2.9576	0.0019	11 17 7.6	18.109	0.177	82.4	5 Beob.	11 4791
8950	9.1[11]	18 17.38	2.9517	0.0021	11 51 41.2	18.112	0.177	71.8	221 327	11 4792

[1] BD 6.8 [2] BD 7.5 [3] 7.5 8.3 7.3 7.1; BD 7.0 [4] BD 9.3 [5] 7.5 8.4 [6] BD 6.5 [7] BD 7.0
[8] BD 7.0 [9] 8.6 8.9 8.7 7.9 8.3 [10] BD 7.0 [11] Z. 221 9m.7 20s 240°

Nr.	Gr.	A.R. 1875	Praec.	Var. saec.	Decl. 1875	Praec.	Var. saec.	Ep.	Zonen	B.D.
8951	8.2	22h 18m 22.31s	+2.9264s	+0.0031s	+14° 15' 43.8"	+18.115"	+0.175"	70.8	237 262	14° 4792
8952	9.2	18 31.10	2.9379	0.0027	13 11 53.3	18.120	0.176	90.8	797 798 799	13 4911
8953	8.9	18 41.10	2.9310	0.0030	13 52 8.0	18.126	0.175	80.8	237 262 798 799	13 4912
8954	8.8	19 2.49	2.9337	0.0029	13 39 48.0	18.140	0.175	71.8	234 328	13 4913
8955	8.5	19 8.95	2.9626	0.0018	10 53 37.9	18.144	0.176	70.3	138 245	10 4744
8956	8.5	22 19 38.01	+2.9463	+0.0025	+12 31 23.7	+18.162	+0.174	71.8	221 327	12 4820
8957	9.6	19 53.63	2.9490	0.0024	12 17 39.5	18.171	0.174	89.9	744 745	— —
8958	8.7	19 54.95	2.9694	0.0016	10 18 38.7	18.172	0.175	87.1	671 672 732	[10 4747]
8959	8.5	20 10.31	2.9715	0.0015	10 7 27.2	18.182	0.175	78.0	138 245 589 590	10 4751
8960	8.9	20 12.16	2.9693	0.0016	10 20 43.2	18.183	0.175	87.1	671 672 732	[10 4750]
8961	8.7	22 20 16.17	+2.9633	+0.0018	+10 56 27.3	+18.185	+0.174	70.8	218 247	10 4753
8962	8.4	20 16.24	2.9653	0.0018	10 44 43.9	18.185	0.175	70.8	218 247	10 4752
8963	8.9	20 24.54	2.9193	0.0036	15 12 4.2	18.190	0.171	71.8	231 331	15 4649
8964	8.7	20 40.97	2.9302	0.0032	14 12 7.7	18.201	0.172	70.8	237 262	14 4798
8965	8.6	20 56.69	2.9670	0.0017	10 38 48.1	18.210	0.173	70.3	138 245	10 4754
8966	8.6	22 21 0.96	+2.9276	+0.0034	+14 29 42.3	+18.213	+0.171	80.9	231 331 744 745	14 4800
*8967	...[1]	21 5.79	2.9274	0.0034	14 30 59.0	18.216	0.171	77.8	231 331 745	14 4801
8968	8.9	21 14.70	2.9687	0.0017	10 30 23.7	18.221	0.173	70.8	218 247	10 4756
8969	8.8	21 15.43	2.9610	0.0020	11 16 11.6	18.222	0.173	70.8	218 247	11 4799
8970	9.2	21 46.79	2.9353	0.0031	13 50 36.7	18.241	0.170	82.4	262 R	[13 4922]
8971	7.6	22 21 55.63	+2.9582	+0.0022	+11 36 41.4	+18.246	+0.171	70.8	218 247	11 4804
8972	8.8	21 59.05	2.9508	0.0025	12 21 17.9	18.248	0.171	71.8	221 327	12 4825
8973	8.9	21 59.43	2.9369	0.0031	13 42 46.9	18.248	0.170	70.8	237 262	13 4923
8974	8.7	22 33.87	2.9476	0.0027	12 43 53.7	18.269	0.169	71.8	234 328	12 4827
8975	8.6[2]	22 40.96	2.9367	0.0032	13 49 35.0	18.273	0.169	89.9	744 745	13 4925
8976	8.6	22 22 52.49	+2.9383	+0.0031	+13 41 37.5	+18.280	+0.168	70.8	237 262	13 4926
8977	8.6	23 17.20	2.9329	0.0034	14 16 20.0	18.295	0.167	70.8	237 262	14 4806
8978	8.9	23 31.61	2.9699	0.0019	10 36 27.8	18.304	0.169	70.3	138 245	10 4760
8979	9.3[3]	23 35.68	2.9735	0.0017	10 15 5.4	18.306	0.169	85.2	527 586	[10 4762]
8980	8.2	24 15.49	2.9591	0.0024	11 46 51.0	18.330	0.167	71.8	221 327	11 4813
8981	8.6	22 24 23.64	+2.9463	+0.0030	+13 5 5.2	+18.335	+0.166	80.9	221 327 744 745	12 4831
8982	8.5[4]	24 25.62*	2.9645	0.0022	11 15 10.7	18.336	0.167	80.5	218 247 744 797	11 4816
8983	8.8	24 26.28	2.9631	0.0022	11 23 44.7	18.336	0.167	70.8	218 247	11 4815
8984	9.0	24 26.28	2.9404	0.0032	13 41 22.0	18.336	0.166	89.9	744 745	13 4929
8985	8.5	24 30.34	2.9714	0.0019	10 33 6.9	18.338	0.168	70.3	138 245	10 4764
8986	9.0	22 24 31.03	+2.9613	+0.0023	+11 35 0.8	+18.339	+0.167	82.3	218 R	[11 4817]
8987	8.9	24 54.26	2.9477	0.0030	13 0 35.5	18.352	0.165	71.8	234 328	12 4832
8988	8.8	24 56.25	2.9724	0.0018	10 29 52.1	18.354	0.167	70.3	138 245	10 4766
8989	8.6[5]	25 2.55	2.9259	0.0039	15 12 35.2	18.357	0.164	71.8	231 331	15 4661
8990	8.6	25 3.35	2.9298	0.0037	14 49 32.2	18.358	0.164	71.8	231 331	14 4811
8991	8.8[6]	22 25 12.62	+2.9493	+0.0029	+12 53 5.7	+18.363	+0.165	85.8	327 744 745 797	12 4833
8992	9.0	25 26.28*	2.9493	0.0029	12 54 43.0	18.371	0.165	79.0	5 Beob.	12 4834
8993	8.3[7]	25 32.51	2.9766	0.0017	10 7 18.9	18.375	0.166	77.8	138 245 527 586	10 4769
8994	8.2	25 39.12	2.9540	0.0028	12 27 40.2	18.379	0.164	71.8	221 327	12 4835
8995	8.9	25 45.27	2.9442	0.0032	13 28 16.2*	18.382	0.164	81.3	234 328 798 799	13 4934
8996	8.3	22 26 2.80	+2.9276	+0.0039	+15 10 58.6	+18.393	+0.162	71.8	231 331	15 4665
8997	8.1	26 8.56*	2.9630	0.0024	11 35 56.5	18.396	0.164	82.6	5 Beob.	11 4823
8998	7.4	26 28.71	2.9556	0.0028	12 24 3.4	18.408	0.163	71.8	221 327	12 4838
8999	8.0[8]	26 40.37	2.9282	0.0040	15 13 10.6	18.414	0.161	71.8	231 331	15 4670
9000	8.2	26 41.98	2.9446	0.0033	13 33 29.1	18.415	0.162	70.8	237 262	13 4936

[1] Dpl. 8.4 8.7; med. [2] BD 9.2 [3] 9.8 8.9 [4] BD 9.2 [5] BD 8.0 [6] BD 9.5 [7] BD 7.8
[8] 8.7 7.3; BD 6.6

Nr.	Gr.	A.R. 1875	Praec.	Var. saec.	Decl. 1875	Praec.	Var. saec.	Ep.	Zonen	B.D.
9001	8.9[1]	22h 26m 47s.82	+2s.9662	+0s.0023	+11° 20′ 23″.3	+18″.419	+0″.163	90.7	797 798	11° 4824
9002	9.2	26 52.19	2.9659	0.0023	11 22 34.1*	18.421	0.163	80.5	218 247 745 798	[11 4825]
9003	9.3	27 7.35	2.9659	0.0024	11 24 8.9	18.430	0.163	83.4	327 R	— —
9004	8.9	27 25.51	2.9537	0.0030	12 42 46.9	18.440	0.162	83.4	328 R	[12 4839]
9005	8.8	27 37.28	2.9660	0.0024	11 27 22.2	18.447	0.162	70.8	218 247	11 4826
9006	8.7	22 27 50.42	+2.9737	+0.0021	+10 39 48.5	+18.455	+0.162	70.3	138 245	10 4774
9007	8.9[2]	27 52.74	2.9665	0.0024	11 25 28.2	18.456	0.161	71.8	221 327	11 4828
9008	8.4	28 14.65	2.9384	0.0037	14 24 23.5	18.468	0.159	70.8	237 262	14 4819
9009	7.8	28 15.62	2.9542	0.0030	12 45 56.8	18.469	0.160	71.8	234 328	12 4843
9010	8.9	28 23.88	2.9597	0.0028	12 12 12.2	18.474	0.160	71.8	221 327	12 4844
9011	8.1	22 28 25.51	+2.9323	+0.0040	+15 3 15.4	+18.475	+0.158	71.8	231 331	14 4820
9012	8.9	28 42.54	2.9346	0.0040	14 51 40.6	18.484	0.158	71.8	231 331	14 4823
9013	8.1[3]	28 57.07*	2.9694	0.0024	11 14 47.8*	18.492	0.160	80.3	218 247 744 745	11 4831
9014	8.2[4]	29 3.86	2.9438	0.0036	13 57 53.6	18.496	0.158	70.8	237 262	13 4944
9015	9.1[5]	29 32.24	2.9461	0.0035	13 46 54.8	18.512	0.157	70.8	237 262	13 4947
9016	8.8	22 29 33.48	+2.9491	+0.0034	+13 28 36.0	+18.513	+0.157	70.8	237 262	13 4948
9017	8.8[6]	29 38.40	2.9501	0.0034	13 22 25.7	18.516	0.157	89.9	744 745	13 4950
9018	8.8	29 51.46	2.9562	0.0031	12 45 20.8	18.523	0.157	71.8	234 328	12 4848
9019	8.8[7]	29 58.86	2.9704	0.0025	11 15 3.4	18.527	0.158	70.8	218 247	11 4835
9020	8.9	29 59.26	2.9429	0.0037	14 11 11.1	18.527	0.156	70.8	237 262	14 4825
9021	8.3[8]	22 30 6.46	+2.9641	+0.0028	+11 56 37.6*	+18.531	+0.157	80.9	221 327 744 745	11 4836
9022	9.1	30 12.40	2.9702	0.0025	11 18 27.0	18.535	0.157	70.8	218 247	11 4837
9023	8.8	30 14.55	2.9444	0.0037	14 3 45.1	18.536	0.156	70.8	237 262	13 4953
9024	6.6[9]	30 24.56	2.9728	0.0024	11 2 56.3	18.541	0.157	70.8	218 247	10 4781
9025	8.2	30 28.00	2.9564	0.0032	12 49 4.5	18.543	0.156	71.8	234 328	12 4849
9026	7.9[10]	22 30 31.44	+2.9594	+0.0030	+12 30 28.7	+18.545	+0.156	71.8	221 327	12 4850
9027	7.8[11]	30 42.79	2.9758	0.0023	10 45 15.0	18.552	0.157	70.3	138 245	10 4782
9028	8.7	30 52.94	2.9566	0.0032	12 51 7.7	18.557	0.156	71.8	234 328	12 4852
9029	8.8	30 53.83	2.9371	0.0041	14 55 36.4	18.558	0.154	71.8	231 331	14 4829
9030	7.2	30 54.14	2.9652	0.0028	11 55 47.7	18.558	0.156	71.8	221 327	11 4838
9031	8.6	22 31 7.71	+2.9541	+0.0034	+13 9 29.8	+18.565	+0.155	80.9	234 328 744 745	13 4955
9032	8.9	31 41.17	2.9506	0.0036	13 36 10.4	18.584	0.154	70.8	237 262	13 4957
9033	8.9	31 42.48	2.9758	0.0024	10 52 8.7	18.584	0.155	80.1	138 245 744 745	10 4786
9034	8.2	31 43.73	2.9438	0.0039	14 20 36.4	18.585	0.153	71.8	231 331	14 4834
*9035	9.7	31 44.68	2.9757	0.0024	10 52 59.4	18.586	0.155	90.3	745 797	— —
9036	9.0	22 31 46.45	+2.9551	+0.0034	+13 7 45.0	+18.587	+0.154	83.2	5 Beob.	13 4958
9037	8.8	31 48.98	2.9589	0.0032	12 43 28.6	18.588	0.154	71.8	221 327	12 4859
9038	8.7[12]	31 49.02	2.9573	0.0033	12 53 51.9	18.588	0.154	71.8	234 328	12 4858
9039	8.8	31 53.51	2.9573	0.0033	12 54 41.2	18.590	0.154	71.8	234 328	12 4860
9040	8.9	32 3.93	2.9611	0.0031	12 31 14.8	18.596	0.154	71.8	221 327	12 4861
9041	8.4	22 32 8.42	+2.9614	+0.0031	+12 29 49.4	+18.599	+0.153	71.8	221 327	12 4862
9042	9.5	32 17.15*	2.9833	0.0021	10 6 12.6	18.603	0.155	88.5	5 Beob.	10 4789
9043	8.8	32 21.13	2.9521	0.0036	13 32 20.5	18.606	0.153	71.5	237 262 328	13 4960
9044	8.6	32 42.48*	2.9509	0.0037	13 43 8.5	18.617	0.152	80.4	237 262 744 745	13 4963
9045	8.7	33 4.71	2.9417	0.0042	14 46 10.0	18.629	0.151	71.8	231 331	14 4836
9046	8.8	22 33 4.74	+2.9424	+0.0041	+14 41 50.8	+18.629	+0.151	71.8	231 331	14 4837
9047	8.4[13]	33 17.73	2.9667	0.0030	12 3 30.3	18.636	0.152	83.2	5 Beob.	11 4849
9048	8.7[14]	33 18.05*	2.9673	0.0030	12 0 9.3	18.636	0.152	83.2	5 Beob.	11 4850
9049	8.8	33 34.47	2.9736	0.0027	11 19 44.5	18.645	0.152	70.8	218 247	11 4852
9050	8.5	33 53.61	2.9498	0.0039	14 0 49.6	18.655	0.150	70.8	237 262	13 4969

[1] BD 9.5 [2] BD 9.4 [3] 8.4 8.6 7.2 8.2; BD 8.6 [4] BD 7.0; Schätz. 8.0 8.5 [5] 10m 25″ 165°; 9m.5 seq. 6s.5 1′.8 B.
[6] BD 9.3 [7] BD 9.3 [8] BD 9.1 [9] BD 7.2 [10] BD 7.2 [11] 8.6 7.0; BD 8.8 [12] BD 9.2
[13] BD 8.9 [14] Z. 797 röthlich, Z. 799 orange gegen praec.

Nr.	Gr.	A.R. 1875	Praec.	Var. saec.	Decl. 1875	Praec.	Var. saec.	Ep.	Zonen	B.D.
9051	8.7	22h 34m 2s.68	+2s.9467	+0s.0041	+14° 22′ 46″.6	+18″.660	+0″.149	70.8	237 262	14° 4839
9052	9.0	34 24.30	2.9433	0.0043	14 48 28.1	18.672	0.149	71.8	231 331	14 4840
9053	8.9	34 25.67	2.9449	0.0042	14 38 7.7	18.673	0.149	71.8	231 331	14 4841
9054	6.1	34 40.99	2.9520	0.0039	13 53 31.2	18.681	0.149	70.8	237 262	13 4971
9055	9.0	34 53.09	2.9636	0.0033	12 37 7.9	18.687	0.149	71.8	234 328	12 4869
9056	8.3[1]	22 34 58.89	+2.9439	+0.0043	+14 50 3.0	+18.690	+0.148	71.8	231 331	14 4845
9057	8.7	35 3.72	2.9524	0.0039	13 53 40.9	18.693	0.148	70.8	237 262	13 4973
*9058	8.6	35 6.13	2.9647	0.0033	12 31 31.9	18.694	0.149	71.8	221 327	12 4870
9059	**3.3**	**35 13.70**	**2.9855**	**0.0023**	**10 10 45.4**	**18.698**	**0.149**		**Fund. Cat.**	**10 4797**
9060	8.8	35 14.31	2.9794	0.0026	10 52 20.8	18.698	0.149	70.8	218 247	[10 4796]
9061	8.8	22 35 25.92	+2.9800	+0.0026	+10 49 34.1	+18.704	+0.149	70.8	218 247	10 4798
9062	8.3	35 33.43	2.9706	0.0031	11 55 19.1	18.708	0.148	70.8	218 247	11 4859
9063	6.4	35 47.07	2.9537	0.0039	13 51 50.1	18.715	0.147	70.8	237 262	13 4974
9064	8.5	35 49.83	2.9475	0.0042	14 34 4.5	18.717	0.146	71.8	231 331	14 4851
9065	7.9	35 54.68	2.9839	0.0024	10 25 57.9	18.719	0.148	70.3	138 245	10 4800
9066	8.7	22 36 5.08	+2.9527	+0.0040	+14 1 18.3	+18.725	+0.146	89.9	744 745	13 4975
9067	8.7	36 6.39	2.9627	0.0035	12 53 41.1	18.726	0.147	71.8	234 328	12 4873
9068	9.2	36 10.25	2.9689	0.0032	12 11 32.8	18.728	0.147	71.8	221 327	[12 4874]
9069	8.1	36 29.07	2.9589	0.0038	13 22 51.4	18.737	0.146	71.8	234 328	13 4977
9070	8.8	36 33.73	2.9863	0.0024	10 13 38.3	18.740	0.147	77.8	138 245 530 597	10 4803
9071	8.7	22 36 49.93	+2.9698	+0.0032	+12 10 51.9	+18.748	+0.146	71.8	221 327	12 4875
9072	8.4	36 51.91	2.9530	0.0041	14 6 16.7	18.749	0.145	70.8	237 262	14 4853
9073	7.4[2]	37 29.07	2.9867	0.0024	10 17 23.9	18.768	0.145	79.4	5 Beob.	10 4805
9074	9.0	38 0.12	2.9551	0.0041	14 2 39.1	18.784	0.143	70.8	237 262	13 4981
9075	8.6	38 0.30	2.9567	0.0041	13 52 3.0	18.784	0.143	70.8	237 262	13 4982
9076	8.0	22 38 16.61	+2.9642	+0.0037	+13 1 47.1	+18.793	+0.143	82.8	5 Beob.	12 4879
9077	9.2[3]	38 18.47	2.9642	0.0037	13 2 1.7	18.794	0.143	90.2	744 745 797	— —
9078	8.2[4]	38 19.06	2.9591	0.0040	13 38 5.9	18.794	0.142	70.8	237 262	13 4983
9079	8.5	38 28.64	2.9630	0.0038	13 12 22.8	18.799	0.142	71.8	234 328	13 4984
9080	8.9	38 33.75	2.9527	0.0043	14 24 37.7	18.801	0.142	71.8	231 331	14 4859
9081	8.5	22 38 34.67	+2.9677	+0.0036	+12 40 3.0	+18.802	+0.143	71.8	221 327	12 4880
9082	9.0	38 45.44	2.9868	0.0026	10 25 55.4	18.807	0.143	70.3	138 245	10 4810
9083	8.3	38 49.00	2.9617	0.0039	13 24 40.2	18.809	0.142	80.9	234 328 744 745	13 4986
9084	7.9	38 57.51	2.9820	0.0028	11 1 49.8	18.813	0.143	70.8	218 247	10 4811
9085	9.1	39 14.26	2.9864	0.0026	10 32 27.0*	18.822	0.142	82.3	245 R	[10 4812]
9086	9.0	22 39 30.40	+2.9484	+0.0047	+15 4 4.3	+18.830	+0.140	71.8	231 331	14 4863
9087	7.8	39 40.22	2.9868	0.0027	10 32 36.5	18.835	0.141	70.3	138 245	10 4815
9088	9.1	40 5.52	2.9584	0.0042	13 59 51.3	18.848	0.139	70.8	237 262	13 4987
9089	8.8	40 13.09	2.9829	0.0029	11 4 47.8	18.851	0.140	70.3	138 245	10 4819
9090	8.7	40 24.48	2.9711	0.0036	12 32 6.8	18.857	0.139	71.8	221 327	12 4884
9091	4.7	22 40 26.83	+2.9794	+0.0032	+11 31 57.8	+18.858	+0.140	70.8	218 247	11 4875
9092	8.8	40 27.77	2.9751	0.0034	12 3 18.7	18.859	0.140	70.8	218 247	11 4874
9093	8.0[5]	40 35.32	2.9562	0.0044	14 20 15.3	18.862	0.138	70.8	237 262	14 4866
9094	8.7	40 40.50	2.9546	0.0045	14 32 8.3	18.865	0.138	71.8	231 331	14 4867
9095	9.0	40 46.02	2.9873	0.0028	10 36 59.5	18.868	0.140	70.3	138 245	10 4821
9096	8.3	22 40 54.33	+2.9576	+0.0044	+14 13 23.6	+18.872	+0.138	70.8	237 262	14 4868
9097	8.9[6]	41 1.01	2.9841	0.0030	11 2 45.7	18.875	0.139	70.8	218 247	10 4823
9098	8.5	41 5.66	2.9852	0.0029	10 55 11.0	18.877	0.139	71.5	221 247 327	10 4824
9099	7.1	41 10.90	2.9643	0.0041	13 27 56.2	18.880	0.138	71.8	234 328	13 4989
9100	8.6	41 41.38	2.9744	0.0036	12 19 6.3	18.895	0.137	80.9	221 327 744 745	12 4888

[1] BD 7.5 [2] 7.0 7.2 6.0 8.6 8.0 [3] 8.0 9.7 10.0 [4] BD 7.5 [5] BD 7.5 [6] BD 9.4

Nr.	Gr.	A.R. 1875	Praec.	Var. saec.	Decl. 1875	Praec.	Var. saec.	Ep.	Zonen	B. D.
9101	8.2	22h 41m 54s.26	+2s.9744	+0s.0036	+12° 21' 4".5	+18".901	+0".137	71.8	221 327	12° 4889
9102	9.0	42 5.61	2.9601	0.0044	14 7 32.0	18.907	0.136	71.8	231 331	14 4872
9103	8.7	42 8.55*	2.9920	0.0027	10 12 34.4	18.908	0.137	77.8	138 245 530 597	10 4827
9104	8.6	42 19.69	2.9680	0.0040	13 11 56.9	18.914	0.136	71.8	234 328	13 4991
9105	9.0[1]	42 26.91	2.9696	0.0039	13 1 29.7*	18.917	0.136	80.9	234 328 744 745	12 4891
9106	8.9	22 42 30.78	+2.9685	+0.0040	+13 9 51.8	+18.919	+0.136	71.8	234 328	13 4992
9107	8.8	42 35.80	2.9648	0.0042	13 37 42.4	18.921	0.135	70.8	237 262	13 4993
9108	8.9	42 47.93	2.9851	0.0031	11 8 56.7	18.927	0.136	70.8	218 247	11 4886
9109	8.7	43 5.38	2.9791	0.0035	11 56 33.7	18.936	0.135	70.8	218 247	11 4887
9110	8.4	43 7.32	2.9575	0.0047	14 37 0.5	18.937	0.134	71.8	231 331	14 4876
9111	8.7	22 44 3.27	+2.9786	+0.0036	+12 8 45.5	+18.963	+0.133	71.8	221 327	12 4894
9112	9.0	44 11.68	2.9893	0.0031	10 49 11.0	18.967	0.133	70.3	138 245	10 4833
9113[2]	9.2	44 13.24	2.9651	0.0044	13 52 7.4	18.968	0.132	71.8	237 331	13 5000[3]
9114	8.9	44 31.30	2.9900	0.0030	10 45 46.2	18.976	0.133	70.3	138 245	10 4835
9115	8.8	44 40.42	2.9687	0.0043	13 29 13.0	18.981	0.132	71.8	234 328	13 5004
9116	8.4	22 45 11.08	+2.9709	+0.0042	+13 18 1.1	+18.995	+0.131	71.8	234 328	13 5006
9117	7.1	45 35.35	2.9626	0.0048	14 25 22.1	19.006	0.130	70.8	237 262	14 4879
9118	9.1	45 44.13	2.9760	0.0040	12 44 3.2	19.011	0.130	71.8	221 327	[12 4897]
9119	9.0	46 8.27	2.9690	0.0045	13 42 22.2	19.022	0.129	70.8	237 262	13 5010
9120	7.6	46 11.51	2.9571	0.0052	15 13 10.6	19.023	0.128	71.8	231 331	15 4719
9121	9.0	22 46 22.71	+2.9761	+0.0041	+12 49 32.6	+19.028	+0.129	71.8	234 328	12 4899
9122	8.8	46 25.97	2.9770	0.0040	12 43 41.4	19.030	0.129	71.8	221 327	12 4900
9123	8.9	46 43.54	2.9705	0.0045	13 36 34.0	19.038	0.128	71.8	234 328	13 5012
9124	8.3	47 14.57	2.9598	0.0052	15 4 42.8	19.052	0.127	71.8	231 331	14 4886
9125	8.7	47 35.05	2.9768	0.0042	12 56 6.3	19.061	0.127	71.8	221 327	12 4904
9126	9.3	22 47 50.80	+2.9865	+0.0037	+11 41 37.9	+19.069	+0.127	83.4	328 R	— —
9127	9.3	47 54.19	2.9652	0.0050	14 30 20.1	19.070	0.126	83.4	331 R	[14 4889]
9128	8.5	47 56.02	2.9768	0.0043	12 59 53.1	19.071	0.126	89.9	744 745	12 4905
9129	8.5	47 56.85	2.9716	0.0046	13 41 14.1	19.071	0.126	71.8	234 328	13 5018
9130	9.3	48 4.93	2.9978	0.0030	10 13 18.3	19.075	0.127	81.9	138 R	[10 4843]
9131	8.5	22 48 22.04	+2.9980	+0.0030	+10 13 59.0	+19.083	+0.126	77.8	138 245 530 597	10 4844
9132	8.6[4]	48 28.26	2.9938	0.0033	10 49 27.4	19.085	0.126	70.3	138 245	10 4845
9133	9.0	48 36.55	2.9661	0.0050	14 31 29.6	19.089	0.125	70.8	237 262	}14 4892
9134	9.1	48 37.70	2.9660	0.0050	14 32 4.5	19.090	0.124	82.3	237 R	
9135	9.0[5]	48 37.94	2.9834	0.0039	12 14 29.0	19.090	0.125	71.8	221 327	[12 4907]
9136	8.5	22 48 39.10	+2.9668	+0.0050	+14 26 32.5	+19.090	+0.124	71.8	237 331	14 4893
9137	8.3[6]	48 40.61	2.9649	0.0051	14 41 50.2	19.091	0.124	71.8	231 331	14 4894
9138	8.9	48 55.95	2.9629	0.0052	14 59 57.7*	19.098	0.124	80.9	231 331 744 745	14 4895
9139	8.8	49 17.21	2.9842	0.0040	12 14 22.4	19.107	0.124	71.8	221 327	12 4909
9140	8.5	49 31.71	2.9630	0.0053	15 6 43.5	19.114	0.123	71.8	231 331	15 4729
9141	8.5	22 49 59.14	+2.9776	+0.0045	+13 14 37.8	+19.126	+0.122	71.8	234 328	13 5020
9142	8.6	50 4.23	2.9814	0.0043	12 44 24.8	19.128	0.122	71.8	221 327	12 4912
9143	8.0	50 10.63	2.9842	0.0041	12 23 17.9	19.131	0.122	71.8	221 327	12 4914
9144	9.0	50 12.10	2.9777	0.0045	13 16 5.2	19.131	0.122	71.8	234 328	13 5022
9145	8.6	50 29.37	2.9941	0.0035	11 4 12.3	19.139	0.122	89.9	744 745	10 4852
9146	8.6	22 50 32.18	+2.9799	+0.0044	+13 1 25.7	+19.140	+0.122	71.8	221 327	12 4916
9147	7.1	50 36.47	2.9934	0.0036	11 10 52.1	19.142	0.122	70.8	218 247	11 4904
9148	8.5	50 44.48	2.9862	0.0041	12 11 41.0	19.146	0.121	71.8	221 327	12 4917
9149	8.0[7]	50 47.95	2.9749	0.0048	13 45 5.3	19.147	0.121	70.8	237 262	13 5024
9150	8.2[8]	50 55.29	2.9781	0.0046	13 20 47.0	19.150	0.121	71.8	234 328	13 5025

[1] BD 9.5 [2] 10m.5 seq. 6s 1'.5 A. [3] L = BD −3s.3 [4] BD 8.0 [5] BD 9.5 [6] BD 8.8
[7] BD 7.5 [8] BD 7.5

Nr.	Gr.	A.R. 1875	Praec.	Var. saec.	Decl. 1875	Praec.	Var. saec.	Ep.	Zonen	B.D.
9151	7.8[1]	22h 50m 55s.40	+2s.9985	+0s.0033	+10° 31' 39".5	+19".150	+0".122	70.3	138 245	10° 4853
9152	8.1	50 59.95	2.9678	0.0053	14 45 23.6	19.152	0.120	71.8	231 331	14 4902
9153	8.8	51 26.50	2.9979	0.0034	10 40 55.8	19.164	0.121	82.2	5 Beob.	10 4854
9154	8.7	51 41.13	2.9658	0.0055	15 9 55.8	19.170	0.119	71.8	231 331	15 4734
9155	7.9	51 42.50	2.9820	0.0045	12 56 30.7	19.170	0.120	71.8	221 327	12 4919
9156	8.8	22 51 47.41	+2.9718	+0.0051	+14 22 0.7	+19.173	+0.119	71.8	231 331	14 4904
9157	9.0	51 53.46	2.9742	0.0050	14 3 35.8	19.175	0.119	70.8	237 262	13 5027
9158	8.6	51 54.40	2.9704	0.0052	14 34 54.6	19.176	0.119	71.8	231 331	14 4905
9159	8.2	52 0.72	2.9744	0.0050	14 3 20.5	19.178	0.119	70.8	237 262	13 5028
9160	8.0[2]	52 5.14	2.9991	0.0034	10 37 0.7	19.180	0.120	70.3	138 245	10 4856
9161	8.2[3]	22 52 18.12	+2.9939	+0.0038	+11 23 2.2	+19.186	+0.119	70.8	218 247	11 4910
9162	8.3[4]	52 19.98	2.9941	0.0038	11 21 42.0	19.187	0.119	70.8	218 247	11 4911
9163	8.7	52 22.16	2.9798	0.0047	13 22 37.8	19.187	0.118	71.8	234 328	13 5029
9164	8.7	52 28.69	2.9827	0.0045	12 59 7.5	19.190	0.118	80.9	221 327 744 748	12 4921
9165	8.7	52 40.74	2.9677	0.0055	15 6 50.7	19.195	0.117	71.8	231 331	15 4737
•9166	6.2	22 52 56.65	+2.9969	+0.0037	+11 3 39.4	+19.202	+0.118	70.3	138 245	10 4859
9167	8.5	53 2.03	2.9937	0.0039	11 31 43.4	19.204	0.118	70.8	218 247	11 4913
9168	8.7	53 21.66	2.9838	0.0046	12 59 30.0	19.212	0.117	80.9	221 327 744 748	12 4924
9169	8.4	53 26.88	2.9857	0.0045	12 44 25.9	19.215	0.117	83.0	5 Beob.	12 4925
9170	7.8	53 38.89	2.9828	0.0047	13 11 29.3	19.220	0.116	71.8	234 328	13 5033
9171	9.1	22 53 40.79	+2.9993	+0.0036	+10 49 2.8	+19.220	+0.117	70.3	138 245	10 4861
9172	8.9	53 47.94	2.9857	0.0045	12 47 58.1	19.223	0.116	71.8	221 327	12 4926
9173	8.9	53 49.63	3.0019	0.0034	10 28 1.6	19.224	0.117	70.3	138 245	10 4862
9174	7.9	53 56.31	2.9827	0.0047	13 15 14.6	19.227	0.115	71.8	234 328	13 5034
9175	8.7	54 2.28	2.9945	0.0040	11 34 11.1	19.229	0.116	70.8	218 247	11 4914
9176	8.9	22 54 2.63	+2.9779	+0.0051	+13 57 31.1	+19.230	+0.115	70.8	237 262	13 5035
9177	9.0	54 4.66	2.9804	0.0049	13 37 3.9	19.230	0.115	71.8	234 328	13 5036
9178	8.0	54 5.84	2.9824	0.0048	13 19 50.5	19.231	0.115	82.8	5 Beob.	13 5037
9179	7.2[5]	54 18.57	2.9864	0.0046	12 47 55.7	19.236	0.115	71.8	221 327	12 4928
9180	8.8	54 19.14	2.9763	0.0052	14 14 43.1	19.236	0.114	70.8	237 262	14 4910
9181	8.8	22 54 35.07	+2.9718	+0.0056	+14 56 17.0	+19.243	+0.114	71.8	231 331	14 4911
9182	8.3	54 38.83	2.9714	0.0056	15 0 22.7	19.244	0.114	71.8	231 331	14 4912
9183	8.3	54 45.17	2.9968	0.0039	11 21 27.1	19.247	0.115	70.8	218 247	11 4918
9184	8.7	54 45.35	2.9784	0.0052	14 2 11.5	19.247	0.114	70.8	237 262	13 5039
9185[6]	7.5	55 9.00	2.9778	0.0053	14 11 59.3	19.257	0.113	80.4	237 262 744 748	14 4916
9186	8.3	22 55 31.98	+2.9794	+0.0052	+14 2 53.2	+19.266	+0.112	90.5	744 797 798 799	13 5041
9187	9.1	55 40.96	2.9747	0.0056	14 45 13.2	19.270	0.112	71.8	231 331	14 4919
9188	8.9	55 46.86	3.0025	0.0036	10 41 2.7	19.272	0.113	70.5	138 218 245 247	10 4866
9189	9.1	55 48.14	2.9793	0.0053	14 6 54.7	19.273	0.112	70.8	237 262	14 4920
9190	8.8	55 57.49	2.9948	0.0042	11 51 53.2	19.276	0.112	70.8	218 247	11 4921
9191	8.8	22 56 19.93	+2.9728	+0.0058	+15 10 25.0	+19.285	+0.111	71.8	231 331	15 4750
9192	9.0	56 38.35	2.9772	0.0055	14 35 49.6	19.293	0.110	71.8	231 331	14 4924
9193	9.1	56 55.37	3.0037	0.0037	10 41 12.0	19.299	0.111	89.9	744 748	10 4870
9194	8.9	57 16.68	2.9821	0.0053	14 0 43.7	19.308	0.109	70.8	237 262	13 5049
9195	8.0	57 29.92	3.0009	0.0040	11 12 39.7	19.313	0.110	70.8	218 247	11 4926
9196	8.7	22 57 37.79	+3.0061	+0.0036	+10 25 17.4	+19.316	+0.110	70.3	138 245	10 4873
9197	8.9	57 42.12	2.9745	0.0059	15 13 58.7	19.318	0.108	71.8	231 331	15 4755
9198	8.8	57 43.95	2.9748	0.0059	15 12 2.6	19.319	0.108	71.8	231 331	15 4756
9199	8.3	57 56.75	2.9952	0.0045	12 9 24.5	19.324	0.109	71.8	221 327	12 4932
9200	7.8	58 3.75	3.0061	0.0037	10 29 53.6	19.326	0.109	70.3	138 245	10 4874

[1] 7.0 8.7; BD 8.7 [2] BD 8.5 [3] BD 8.9 [4] BD 8.8 [5] BD 7.7 [6] 9m.5 seq. 14s.5 0'.2 A.

Nr.	Gr.	A.R. 1875	Praec.	Var. saec.	Decl. 1875	Praec.	Var. saec.	Ep.	Zonen	B.D.
9201	8.7	22^h 58^m 15^s.79	+2^s.9849	+0^s.0053	+13° 47′ 14″.6	+19″.331	+0″.108	71.8	234 328	13° 5051
9202	**2.0**	**58 32.12**	**2.9804**	**0.0056**	**14 31 58.9**	**19.337**	**0.107**		**Fund. Cat.**	**14 4926**
9203	8.9	59 0.13	3.0088	0.0036	10 13 40.5	19.348	0.107	77.8	138 245 530 597	10 4877
9204	7.6[1]	59 14.06	2.9864	0.0053	13 46 26.2	19.353	0.106	71.8	234 328	13 5053
9205	7.0[2]	59 19.49	2.9832	0.0056	14 17 5.0	19.355	0.106	70.8	237 262	14 4929
9206	8.4	22 59 20.10	+3.0069	+0.0038	+10 35 1.8	+19.356	+0.106	70.5	138 218 245 247	10 4881
*9207	10.1[3]	59 20.52	2.9856	0.0054	13 54 20.8*	19.356	0.106	84.5	327 748 797	} 13 5055
*9208	10.4	59 20.91	2.9856	0.0054	13 54 49.1	19.356	0.106	90.5	748 797 799	}
9209	8.8[4]	59 21.25	2.9847	0.0055	14 2 49.9	19.356	0.106	70.8	237 262	13 5054
9210	8.8[5]	59 31.47	3.0070	0.0038	10 35 43.1	19.360	0.106	70.5	138 218 247	10 4882
9211	8.8[6]	22 59 55.36	+2.9984	+0.0045	+12 1 45.2	+19.369	+0.105	83.4	327 R	[11 4930]
9212	8.3[7]	23 0 41.75	2.9998	0.0045	11 56 51.6	19.387	0.104	80.3	218 247 744 745	11 4932
9213	9.0[8]	0 57.89	2.9997	0.0046	12 1 4.4*	19.393	0.103	71.8	221 327	[11 4935]
9214	8.8	1 4.08	2.9837	0.0058	14 35 45.4	19.395	0.102	71.8	231 261 322 331	14 4932
9215	8.6	1 13.43	3.0055	0.0042	11 7 51.0	19.398	0.103	70.6	141 218 247 256	11 4938
9216	8.8	23 1 13.66	+3.0019	+0.0045	+11 43 29.6	+19.398	+0.103	70.8	6 Beob.	11 4939
9217	8.9	1 24.06	3.0099	0.0038	10 26 35.8	19.402	0.103	70.4	136 138 245 256	10 4885
9218	7.9	1 32.87*	3.0006	0.0046	11 59 51.4	19.406	0.102	71.1	7 Beob.	11 4940
9219	9.0	2 7.12	2.9986	0.0049	12 25 59.8	19.418	0.101	70.4	143 255	12 4939
9220	7.9[9]	2 13.19	2.9949	0.0052	13 3 13.8	19.420	0.101	71.3	221 239 258 327	12 4940
9221	9.2	23 2 23.04	+2.9952	+0.0052	+13 2 43.4	+19.424	+0.100	71.3	221 239 258 327	12 4941
9222	8.6[10]	2 28.95	2.9841	0.0060	14 52 14.3	19.426	0.100	71.8	261 322	[14 4935]
9223	8.0[11]	2 30.64	3.0120	0.0038	10 16 55.4	19.427	0.101	77.8	136 256 530 597	10 4887
9224	8.7	2 41.51	2.9844	0.0061	14 52 1.9	19.431	0.099	71.8	261 322	14 4936
9225	8.7	2 49.97	3.0023	0.0047	11 57 50.5	19.434	0.100	70.4	141 256	11 4943
9226	8.7	23 3 0.03	+3.0064	+0.0044	+11 18 31.5	+19.437	+0.100	70.4	141 256	11 4945
9227	8.7	3 26.56	2.9876	0.0059	14 31 40.3	19.447	0.098	71.8	261 322	14 4937
9228	8.7	3 38.52	3.0086	0.0043	11 4 3.7	19.451	0.098	70.4	141 256	10 4891
9229	9.2	3 41.39	2.9927	0.0056	13 45 6.8	19.452	0.098	89.9	744 745	— —
9230	6.9[12]	3 43.59*	2.9927	0.0056	13 45 6.7	19.453	0.098	80.4	239 258 744 745	13 5059
9231	9.0	23 3 54.55	+3.0091	+0.0043	+11 2 0.1	+19.457	+0.098	80.1	136 256 744 745	10 4892
9232	7.9[13]	4 11.45	3.0146	0.0039	10 8 18.5	19.463	0.098	77.8	136 251 530 597	10 4894
9233	9.1	5 8.16	2.9983	0.0054	13 7 33.8	19.482	0.095	70.8	239 258	13 5064
9234	8.8	5 44.72	2.9976	0.0055	13 23 23.8	19.495	0.094	89.9	744 745	13 5066
9235	8.7	5 48.88	2.9876	0.0064	15 7 8.0	19.496	0.094	89.9	744 745	15 4777
9236	8.5	23 5 49.66	+2.9905	+0.0062	+14 38 5.0	+19.497	+0.094	71.8	261 322	14 4942
9237	8.9	6 0.56	2.9918	0.0061	14 27 13.2	19.500	0.094	89.9	745 748	14 4943
9238	8.4	6 3.17	3.0107	0.0045	11 10 15.0	19.501	0.094	70.4	141 256	11 4951
9239	8.9	6 11.62	3.0106	0.0045	11 12 55.8	19.504	0.094	70.4	141 256	11 4952
9240	8.3	6 19.34	3.0160	0.0041	10 16 26.2	19.507	0.094	77.8	136 251 530 597	10 4899
9241	8.9	23 6 21.34	+2.9950	+0.0059	+13 59 25.6	+19.507	+0.093	70.8	239 258	13 5070
9242	8.9	6 37.80	3.0073	0.0049	11 52 44.6	19.513	0.093	70.4	143 255	} 11 4955
9243	9.0	6 38.32	3.0074	0.0049	11 52 18.4	19.513	0.093	82.4	255 R	}
9244	8.6	6 52.68	3.0110	0.0046	11 16 18.6	19.518	0.093	70.4	141 256	11 4957
*9245	6.8[14]	7 9.22	3.0162	0.0042	10 23 6.6	19.523	0.092	70.2	136 141 251	10 4902
9246	8.5[15]	23 7 21.03	+2.9927	+0.0063	+14 38 14.2	+19.527	+0.091	71.8	261 322	14 4949
9247	8.4	7 21.49	3.0048	0.0052	12 29 10.1	19.528	0.091	80.1	143 255 744 745	12 4951
9248	7.8	7 33.50	2.9927	0.0063	14 41 23.9	19.531	0.091	71.8	261 322	14 4952
9249	8.7	7 34.61	3.0141	0.0044	10 51 42.5	19.532	0.091	70.4	136 251	10 4903
9250	8.7	7 41.94	3.0173	0.0041	10 17 49.2	19.534	0.091	79.8	7 Beob.	10 4904

[1] BD 8.1 [2] BD 7.6 [3] 9.6 10.5 10.2; 9^m.4 praec. 7^s 2″.6 B. [4] BD 9.3 [5] BD 9.5 [6] Nur Z. 327; BD 9.4
[7] BD 8.8 [8] BD 9.5 [9] 7.3 8.0 8.0 8.3; BD 8.4 [10] BD 9.2 [11] BD 7.0 [12] BD 7.7
[13] 8.2 7.2 8.3 7.9 [14] 7.5 7.0 6.0; BD 6.2 [15] BD 9.0

Nr.	Gr.	A.R. 1875	Praec.	Var. saec.	Decl. 1875	Praec.	Var. saec.	Ep.	Zonen	B. D.
9251	8.8	23h 7m 46s.93	+2s.9968	+0s.0060	+14° 1' 6".9	+19".536	+0".090	70.8	239 258	13° 5074
9252	9.2	7 55.00*	3.0023	0.0055	13 3 57.4	19.539	0.090	78.8	143 255 R	[12 4952]
9253	8.5	8 18.54	2.9947	0.0063	14 31 52.1	19.546	0.089	71.8	261 322	14 4953
9254	8.5	8 19.88	3.0083	0.0051	12 4 31.4	19.547	0.090	70.4	141 256	11 4962
9255	8.2	8 25.02*	3.0031	0.0055	13 2 32.1	19.548	0.089	80.1	143 255 744 745	12 4954
9256[1]	9.3	23 8 27.23	+3.0060	+0.0053	+12 31 37.0	+19.549	+0.089	90.1	744 745 748 797	12 4955
9257	8.8	8 44.63	3.0006	0.0058	13 35 23.1	19.555	0.089	70.8	239 258	13 5077
9258	8.7	8 49.53	3.0020	0.0057	13 20 30.3	19.556	0.089	70.8	239 258	13 5078[2]
9259	8.8	8 50.29	3.0080	0.0052	12 15 14.7	19.557	0.089	70.4	143 255	12 4956
9260	8.2[3]	9 1.44	3.0109	0.0049	11 45 21.0	19.560	0.089	70.4	141 256	11 4966
9261	9.1	23 9 7.41	+3.0155	+0.0045	+10 55 12.2	+19.562	+0.089	70.4	136 251	10 4906
9262	8.9	9 27.09	2.9974	0.0062	14 20 34.1	19.568	0.087	71.8	261 322	14 4959
9263	8.7	9 32.69	2.9971	0.0063	14 26 6.0	19.570	0.087	71.8	261 322	14 4961
9264	8.6	9 40.23	3.0100	0.0051	12 3 41.9	19.573	0.087	83.2	143 744 745	11 4967
9265	8.8	9 45.62	3.0150	0.0047	11 8 36.5	19.574	0.087	70.4	141 256	11 4968
9266	8.8	23 10 20.16	+3.0111	+0.0051	+11 59 54.1	+19.585	+0.086	80.2	141 256 745 748	11 4971
9267	8.8	10 29.49	3.0026	0.0060	13 39 28.7	19.588	0.085	70.8	239 258	13 5084
9268	8.4	11 4.44	3.0016	0.0062	14 0 44.9	19.599	0.084	80.4	239 258 744 745	13 5086
9269	8.5	11 31.58	3.0076	0.0057	12 57 40.7	19.607	0.084	70.4	143 255	12 4963
9270	8.6	11 42.90	2.9985	0.0066	14 46 51.2	19.611	0.083	71.8	261 322	14 4966
9271	8.5	23 11 51.74	+3.0026	+0.0062	+14 1 44.9	+19.614	+0.083	70.8	239 258	13 5089
9272	8.4	11 54.25	2.9980	0.0067	14 55 14.2	19.614	0.083	71.8	261 322	14 4967
9273	9.0	11 57.63	3.0095	0.0056	12 42 48.0	19.615	0.083	90.2	745 748 797	12 4966
9274	8.4	12 6.63	3.0161	0.0050	11 26 17.0	19.618	0.083	70.4	141 256	11 4977
9275	8.8	12 14.45	3.0080	0.0058	13 4 2.9	19.620	0.082	70.4	143 255	12 4968
9276	9.2	23 12 44.29	+3.0034	+0.0063	+14 6 34.9	+19.629	+0.081	89.9	744 745	[14 4970]
9277	8.4[4]	12 47.41	3.0034	0.0064	14 7 21.4	19.630	0.081	82.4	5 Beob.	14 4971
9278	8.7	12 55.16	3.0203	0.0047	10 46 55.7	19.633	0.082	70.4	136 251	10 4913
9279	8.7	12 58.73	3.0197	0.0048	10 54 43.2	19.634	0.081	70.4	136 251	10 4914
9280	9.0	13 11.22	3.0154	0.0052	11 49 39.5	19.637	0.081	82.4	256 R	[11 4981]
9281	8.7[5]	23 13 53.44	+3.0209	+0.0048	+10 52 1.0	+19.650	+0.080	70.4	136 251	10 4918
9282	9.0	13 57.47	3.0161	0.0053	11 52 45.3	19.651	0.079	70.4	141 256	11 4983
9283	8.6[6]	14 14.71	3.0126	0.0057	12 40 54.8	19.656	0.079	80.1	143 255 744 745	12 4973
9284	7.5[7]	14 28.87	3.0047	0.0066	14 21 52.4	19.660	0.078	80.9	261 322 744 745	14 4974
9285	8.4	14 41.02	3.0086	0.0062	13 37 48.7	19.664	0.078	70.8	239 258	13 5096
9286	8.6	23 15 4.60	+3.0182	+0.0053	+11 43 54.8	+19.670	+0.077	70.4	141 256	11 4985
9287	8.4	15 21.63	3.0149	0.0057	12 30 9.6	19.675	0.077	80.1	143 255 744 745	12 4974
9288	8.8	15 51.39	3.0247	0.0048	10 31 42.4	19.683	0.076	70.4	136 251	[10 4923]
9289	8.9	16 1.90	3.0164	0.0057	12 21 42.9	19.686	0.075	70.4	143 255	12 4975
9290	8.3	16 21.71	3.0253	0.0048	10 30 49.9	19.692	0.075	70.4	136 251	10 4926
9291	9.0	23 16 23.31	+3.0207	+0.0053	+11 30 44.8	+19.692	+0.075	70.4	141 256	11 4992
9292	8.4	16 31.04	3.0061	0.0069	14 41 19.2	19.694	0.074	71.8	261 322	14 4979
9293	9.3	16 44.67	3.0131	0.0062	13 15 39.5	19.698	0.074	89.9	744 745	13 5101
9294	8.9	16 45.65	3.0148	0.0060	12 53 34.3	19.698	0.074	82.4	5 Beob.	12 4977
9295	5.6[8]	16 46.34	3.0206	0.0054	11 37 43.3	19.699	0.074	70.4	141 256	11 4993
9296	8.6	23 16 55.38	+3.0203	+0.0054	+11 45 7.4	+19.701	+0.074	70.4	143 255	11 4994
9297	9.0	17 5.82	3.0261	0.0048	10 29 52.4	19.704	0.074	70.4	136 251	10 4928
9298	9.0	17 17.76	3.0045	0.0072	15 17 7.2	19.707	0.073	71.8	261 322	15 4817
9299	8.9[9]	17 19.01	3.0115	0.0065	13 47 38.2	19.707	0.073	70.8	239 258	[13 5104]
9300	9.2	17 27.91	3.0116	0.0065	13 49 0.0	19.710	0.073	82.4	258 R	— —

[1] Dpl. (9m.6 10m.5 25" 125°) praec. 6s.4 1'.3 A. [2] L = BD +3s.7 [3] BD 7.7 [4] 8.7 8.9 7.8 8.1 8.5; BD 9.0
[5] BD 9.2 [6] BD 9.1 [7] 7.5 8.5 7.1 7.0 [8] 6.3 5.0; röthlich [9] BD 9.5

Nr.	Gr.	A.R. 1875	Praec.	Var. saec.	Decl. 1875	Praec.	Var. saec.	Ep.	Zonen	B. D.
9301	8.9	23h 17m 40s.57	+3s.0216	+0s.0054	+11° 39' 13".9	+19".713	+0".072	70.4	141 256	11° 4998
9302	8.8[1]	17 45.42	3.0269	0.0048	10 28 32.3	19.715	0.073	70.4	136 251	10 4931
9303	8.9	17 50.95	3.0083	0.0069	14 39 42.1	19.716	0.072	71.8	261 322	14 4986
9304	9.0	18 1.72	3.0274	0.0048	10 26 10.1	19.719	0.072	70.4	136 251	10 4932
9305	7.9	18 6.70	3.0126	0.0065	13 47 36.9	19.720	0.071	70.8	239 258	13 5105
9306	9.4	23 18 50.67	+3.0276	+0.0050	+10 35 44.4	+19.732	+0.070	89.9	745 748	10 4934
9307	8.8	18 59.10	3.0073	0.0073	15 15 52.1	19.734	0.070	71.8	261 322	15 4822
9308	8.1	19 8.35	3.0087	0.0072	15 0 8.1	19.736	0.069	71.8	261 322	14 4990
9309	8.7	19 10.58	3.0183	0.0061	12 49 2.9	19.737	0.070	70.4	143 255	12 4982
9310	9.2	20 21.96	3.0203	0.0061	12 43 42.5	19.755	0.067	90.5	748 797 798	12 4985
*9311	9.0	23 20 22.42	+3.0129	+0.0070	+14 27 31.4	+19.755	+0.067	71.8	261 322	14 4993
9312	9.2	20 24.33	3.0289	0.0051	10 40 54.7	19.756	0.067	90.5	748 797 798	10 4935
9313	8.8	20 44.97	3.0304	0.0050	10 24 27.1	19.761	0.067	70.4	136 251	10 4936
9314	8.3	20 45.79	3.0221	0.0060	12 25 29.8	19.761	0.067	70.4	143 255	12 4986
9315	9.0	21 2.80	3.0273	0.0054	11 14 52.5	19.765	0.066	70.4	141 256	11 5004
*9316	7.7	23 21 36.54	+3.0311	+0.0051	+10 26 55.1	+19.774	+0.065	70.4	136 251	10 4938
9317	8.4	21 45.96	3.0220	0.0062	12 44 44.3	19.776	0.065	70.4	143 255	12 4989
9318	8.8	22 3.83	3.0186	0.0067	13 40 30.8	19.780	0.064	70.8	239 258	13 5115
9319	8.9	22 21.76	3.0287	0.0055	11 15 26.9	19.784	0.064	76.9	141 256 748	11 5007
9320	8.7	22 26.47	3.0305	0.0053	10 49 26.1	19.786	0.064	70.4	136 251	10 4939
9321	8.7	23 22 26.66	+3.0221	+0.0064	+12 57 4.2	+19.786	+0.063	70.4	143 255	12 4992
9322	8.9	22 32.62	3.0217	0.0064	13 5 7.4	19.787	0.063	70.8	239 258	12 4993
9323	8.8	22 33.11	3.0159	0.0072	14 31 10.3	19.787	0.063	71.8	261 322	14 4998
9324[2]	8.7	22 43.60	3.0234	0.0063	12 42 19.8	19.789	0.063	82.4	5 Beob.	12 4994
9325	8.9	22 44.07	3.0165	0.0072	14 26 49.0	19.790	0.063	71.8	261 322	14 4999
9326	8.8	23 22 49.41	+3.0279	+0.0057	+11 35 44.6	+19.791	+0.063	70.4	141 256	11 5008
9327	**5.0**	**22 50.04**	**3.0261**	**0.0060**	**12 4 15.5**	**19.791**	**0.063**		**Fund. Cat.**	**11 5009**
9328	8.6	22 56.03	3.0198	0.0068	13 42 1.3	19.793	0.062	70.8	239 258	13 5117
9329	8.6[3]	23 4.63	3.0336	0.0050	10 13 24.6	19.795	0.063	87.3 87.1	672δ 676 732	[10 4941]
9330	8.5	23 26.37	3.0297	0.0056	11 20 12.8	19.800	0.062	70.4	141 256	11 5010
9331	8.6	23 23 30.64	+3.0225	+0.0066	+13 11 57.2	+19.801	+0.061	70.8	239 258	13 5120
9332	8.5	23 32.77	3.0311	0.0055	10 59 24.1	19.801	0.062	70.4	141 256	10 4942
9333	9.2	23 42.43	3.0274	0.0060	12 0 10.8	19.803	0.061	82.4	255 R	[11 5012]
9334	8.8	23 47.06	3.0213	0.0068	13 36 49.3	19.804	0.061	70.8	239 258	13 5121
9335	9.0	23 52.89	3.0227	0.0066	13 17 16.5	19.806	0.061	70.8	239 258	13 5122
9336	9.0	23 24 13.39	+3.0348	+0.0051	+10 13 16.5	+19.810	+0.060	82.4	251 R	[10 4943]
9337	8.8	24 21.10*	3.0283	0.0060	11 58 40.5	19.812	0.060	80.4	143 255 748 802	11 5015
9338	8.1[4]	25 1.45	3.0357	0.0051	10 11 48.2	19.821	0.059	80.2	5 Beob.	10 4945
9339	8.7	25 23.30	3.0234	0.0069	13 38 45.4	19.826	0.058	70.8	239 258	13 5129
9340	9.1	25 45.47	3.0270	0.0065	12 48 6.3	19.831	0.057	70.4	143 255	12 4999
9341	8.6	23 25 48.47	+3.0342	+0.0055	+10 49 38.0	+19.831	+0.057	70.4	136 141 251 256	10 4947
9342	8.7	25 56.66	3.0219	0.0073	14 16 46.2	19.833	0.057	71.8	261 322	14 5006
9343	8.4	26 1.46*	3.0357	0.0054	10 29 18.0	19.834	0.057	70.4	136 256	10 4948
9344	8.3	26 15.02	3.0366	0.0053	10 17 15.7	19.837	0.056	81.3	6 Beob.	10 4949
9345	8.8	26 21.73	3.0261	0.0068	13 17 11.0	19.839	0.056	70.8	239 258	13 5130
9346	8.8	23 26 31.67	+3.0208	+0.0076	+14 48 1.5	+19.841	+0.056	71.8	261 322	14 5007
9347	8.8	26 37.17	3.0352	0.0055	10 49 11.2	19.842	0.056	85.6	256 748 802 805	10 4950
9348	9.1	26 53.53*	3.0287	0.0065	12 44 26.1	19.845	0.055	80.4	143 255 748 802	12 5003
9349	8.6[5]	27 12.27	3.0292	0.0066	12 43 59.1	19.849	0.055	70.4	143 255	12 5004
9350	8.6	27 49.66	3.0376	0.0055	10 29 28.4	19.857	0.053	70.4	141 256	10 4953

[1] BD 9.3 [2] 9m.5 praec. 12s 2'.5 B. [3] BD 9.1 [4] 7.7 8.6 8.5 7.7 8.2 [5] BD 9.1

Nr.	Gr.	A.R. 1875	Praec.	Var. saec.	Decl. 1875	Praec.	Var. saec.	Ep.	Zonen	B.D.
9351	8.4	23h 28m 1s.52	+3s.0338	+0s.0061	+11° 40' 38".1	+19".859	+0".053	70.4	141 256	11° 5020
9352	9.1	28 11.92	3.0217	0.0079	15 16 39.3	19.861	0.052	71.8	261 322	15 4846
9353[1]	9.3	28 21.81	3.0352	0.0060	11 23 5.8*	19.863	0.052	92.2	748 806 R	11 5021
9354	8.5	28 23.74	3.0336	0.0062	11 51 37.9	19.864	0.052	70.4	141 256	11 5022
9355	8.9	28 36.24	3.0227	0.0079	15 11 7.2	19.866	0.052	71.8	261 322	15 4849
9356	8.7	23 28 38.00	+3.0335	+0.0063	+11 59 18.5*	+19.867	+0.052	70.4	141 256	11 5025
9357	8.7	28 39.09	3.0282	0.0071	13 34 49.0	19.867	0.052	70.8	239 258	13 5137
9358	8.6	28 40.00	3.0276	0.0072	13 45 14.4*	19.867	0.052	80.6	239 258 748 805	13 5138
9359	7.5	28 51.42	3.0338	0.0063	11 58 21.7	19.869	0.051	70.4	141 256	11 5026
9360	7.1	28 55.58	3.0395	0.0054	10 16 4.8	19.870	0.051	81.3	6 Beob.	10 4958
9361	8.8[2]	23 28 58.41	+3.0260	+0.0075	+14 21 50.8	+19.871	+0.051	71.8	261 322	14 5010
9362	7.7	29 17.95	3.0280	0.0073	13 54 8.8	19.875	0.050	70.8	239 258	13 5140
9363	8.6	29 25.01	3.0400	0.0055	10 17 4.3	19.876	0.051	81.3	6 Beob.	10 4959
9364	8.9	29 27.90	3.0395	0.0055	10 27 16.3	19.877	0.050	70.4	136 251	10 4960
9365	8.8	29 33.31	3.0295	0.0071	13 33 58.1	19.878	0.050	70.8	239 258	13 5142
9366[3]	8.9	23 29 34.96	+3.0360	+0.0061	+11 34 13.4	+19.878	+0.050	70.4	141 256	11 5028
9367	9.2	29 40.97	3.0272	0.0076	14 19 30.1	19.879	0.050	90.9	802 805	14 5013
9368	8.4	29 41.86	3.0250	0.0079	15 0 8.9	19.879	0.050	71.8	261 322	14 5014
9369	8.8	29 51.60	3.0328	0.0067	12 41 14.5	19.881	0.049	70.4	143 255	12 5006
9370	8.7	29 52.51	3.0278	0.0075	14 13 42.0	19.881	0.049	71.8	261 322	14 5015
9371	8.8	23 30 34.23	+3.0300	+0.0074	+13 50 46.6	+19.889	+0.048	70.8	239 258	13 5143
9372	8.8	30 36.32	3.0261	0.0080	15 6 37.3	19.889	0.048	90.9	802 805	14 5016
•9373	7.9	30 37.44	3.0411	0.0055	10 19 23.6	19.890	0.048	80.4	5 Beob.	10 4963
9374	8.7	30 38.97	3.0334	0.0068	12 48 33.0	19.890	0.048	70.4	143 255	12 5007
9375	9.0	30 47.41	3.0394	0.0059	10 56 2.9	19.892	0.048	70.4	136 141 251 256	10 4964
9376	8.4	23 30 48.75	+3.0306	+0.0073	+13 45 42.3	+19.892	+0.048	80.8	239 258 802 806	13 5144
9377	8.4	30 49.70	3.0296	0.0075	14 5 15.9	19.892	0.048	71.5	258 261 322	13 5145
9378	8.9	31 10.25	3.0286	0.0078	14 34 17.3	19.896	0.047	72.2	261 322 338	14 5017
9379	9.0	31 25.45	3.0329	0.0072	13 19 21.5*	19.899	0.047	70.8	239 258	13 5146
9380	9.1	31 34.59	3.0404	0.0059	10 54 3.4	19.900	0.046	70.4	141 256	10 4969
9381	8.1[4]	23 31 41.80	+3.0367	+0.0066	+12 11 17.0	+19.902	+0.046	70.4	143 255	12 5008
9382	8.7	31 43.25	3.0412	0.0058	10 40 51.5	19.902	0.046	70.4	136 251	10 4970
9383	9.0	31 57.66	3.0383	0.0064	11 45 20.8	19.904	0.046	70.4	141 256	11 5035
9384	8.9	32 18.59	3.0328	0.0074	13 45 34.8	19.908	0.045	70.8	239 258	13 5147
9385	8.8	32 22.14	3.0298	0.0080	14 46 56.6	19.909	0.045	72.2	261 322 338	14 5020
9386	8.9	23 32 25.20	+3.0405	+0.0061	+11 10 55.8	+19.909	+0.045	70.4	141 256	11 5037
9387	7.5	32 33.17	3.0397	0.0063	11 30 8.7	19.911	0.044	70.6	143 255 256	11 5038
9388	9.0	32 46.42	3.0295	0.0082	15 5 41.0	19.913	0.044	72.2	261 322 338	14 5023
9389	9.0	32 59.73	3.0415	0.0061	11 4 55.9	19.915	0.044	70.4	141 256	10 4972
9390	8.7	33 2.25	3.0437	0.0057	10 19 8.3	19.916	0.044	79.1	136 251 735 736	10 4973
9391	8.8	23 33 9.31	+3.0393	+0.0065	+11 54 59.5	+19.917	+0.043	70.4	143 255	11 5039
9392	8.9	33 9.79	3.0301	0.0082	15 6 16.9	19.917	0.043	72.2	261 322 338	14 5025
9393	9.3	33 22.08	3.0418	0.0061	11 6 23.9	19.919	0.043	81.9	141 R	[10 4975]
9394	9.0	33 32.83	3.0444	0.0057	10 14 9.0	19.921	0.043	82.1	5 Beob.	10 4976
9395	7.9	33 42.43	3.0337	0.0077	14 7 3.9	19.922	0.042	77.5	239 258 802	14 5028
9396	8.9	23 33 48.45	+3.0325	+0.0080	+14 37 18.9	+19.923	+0.042	72.2	261 322 338	14 5029
9397	8.7	33 59.31	3.0451	0.0057	10 9 28.2	19.925	0.042	77.2	136 251 805	10 4978
9398	8.9	34 11.39	3.0367	0.0073	13 18 13.1	19.927	0.041	70.8	239 258	13 5153
9399	9.0	34 17.07	3.0362	0.0074	13 32 58.0	19.928	0.041	70.8	239 258	13 5154
9400	8.5	34 27.39	3.0372	0.0073	13 15 41.6	19.930	0.041	70.8	239 258	13 5155

[1] 10m.0 seq. 14s in par. [2] [7.0] 8.8; BD 8.9 [3] 11m praec. 6s in par. [4] BD 8.7

Nr.	Gr.	A.R. 1875	Praec.	Var. saec.	Decl. 1875	Praec.	Var. saec.	Ep.	Zonen	B.D.
9401	8.5	23h 34m 32s.78	+3s.0359	+0s.0076	+13° 46′ 20″.1	+19″.931	+0″.041	72.4	261 322 336 338	13° 5156
*9402[1]	8.4	34 59.94	3.0357	0.0078	14 4 44.6	19.935	0.040	70.8	239 258	13 5158
9403	8.8	35 0.23	3.0362	0.0077	13 54 59.7	19.935	0.040	70.8	239 258	13 5157
9404	9.0	35 0.35*	3.0325	0.0084	15 17 13.9	19.935	0.040	76.8	261 322 336 802	15 4867
9405	9.0	35 15.72	3.0360	0.0078	14 8 22.0	19.938	0.039	72.4	261 322 336 338	14 5035
9406	8.3	23 35 39.75	+3.0420	+0.0068	+12 3 2.9	+19.941	+0.038	70.4	141 256	11 5044
9407[2]	9.3	36 8.23	3.0464	0.0060	10 33 2.1	19.946	0.038	84.2	251 802 805	10 4980
9408	8.8	36 27.07	3.0415	0.0071	12 37 42.8	19.948	0.037	70.4	143 255	12 5016
9409	8.9	36 29.05	3.0455	0.0063	11 3 33.4	19.949	0.037	70.4	141 256	[10 4981]
9410	8.2	36 44.07	3.0456	0.0063	11 8 28.8	19.951	0.036	84.2	258 802 805	11 5045
9411	8.5	23 36 48.95	+3.0379	+0.0080	+14 15 52.2	+19.952	+0.036	72.4	261 322 336 338	14 5040
9412	8.7	37 5.95	3.0465	0.0062	10 54 32.0	19.954	0.036	70.4	141 256	10 4982
9413	9.1	37 13.48	3.0475	0.0061	10 32 40.0	19.955	0.036	83.9	136 802 805	10 4983
9414	9.0	37 19.31	3.0363	0.0085	15 12 44.7	19.956	0.035	72.4	261 322 336 338	15 4874
9415	9.1	37 36.22	3.0456	0.0066	11 31 40.3	19.959	0.035	90.9	802 805	11 5047
9416	8.9	23 37 43.43	+3.0481	+0.0061	+10 32 5.2*	+19.960	+0.035	83.9	136 802 807	10 4985
9417	9.1	37 45.24	3.0443	0.0069	12 9 55.9	19.960	0.035	70.4	143 255	12 5019
9418	9.1	37 52.86	3.0383	0.0083	14 46 18.4	19.961	0.034	83.5	338 R	— —
9419	8.8	37 55.21	3.0384	0.0083	14 44 46.7	19.961	0.034	72.4	261 322 336 338	14 5043
9420	9.0	38 15.33	3.0422	0.0076	13 21 33.3	19.964	0.034	70.8	239 258	13 5160
9421	8.9	23 38 20.54*	+3.0422	+0.0076	+13 24 36.8	+19.965	+0.033	80.8	239 258 802 805	13 5161
9422	8.8	38 21.41	3.0470	0.0065	11 18 7.5	19.965	0.033	70.4	141 256	11 5049
9423	8.8	38 30.60	3.0439	0.0073	12 45 26.7	19.966	0.033	70.4	143 255	12 5021
9424	8.1[3]	38 51.66	3.0407	0.0082	14 21 0.0	19.969	0.032	72.4	261 322 336 338	14 5045
9425	8.2	39 5.46	3.0419	0.0080	13 58 55.5	19.971	0.032	70.8	239 258	13 5165
*9426	8.7	23 39 10.84	+3.0472	+0.0068	+11 40 50.8	+19.972	+0.032	70.4	141 256	11 5051
9427	7.0	39 16.21	3.0456	0.0072	12 27 33.1	19.972	0.032	70.4	143 255	12 5022
9428	8.7	39 18.41	3.0421	0.0080	14 2 8.9	19.973	0.031	70.8	239 258	13 5167
9429	9.6	39 25.93	3.0438	0.0077	13 20 35.3	19.974	0.031	90.9	802 805	13 5168[4]
9430	8.7	39 49.76	3.0425	0.0081	14 11 11.4	19.977	0.030	72.4	261 322 336 338	14 5051
9431	9.0[5]	23 39 52.44	+3.0426	+0.0081	+14 12 12.4	+19.977	+0.030	72.4	261 322 336 338	14 5052
9432	7.8	39 56.37	3.0507	0.0062	10 26 12.8	19.977	0.030	70.4	136 251	10 4989
9433	8.9	39 57.54	3.0430	0.0081	14 3 6.3	19.978	0.030	70.8	239 258	13 5169
9434	9.0	39 58.17	3.0412	0.0085	14 54 28.4	19.978	0.030	83.5	340 R	[14 5053]
9435	8.8	40 8.44	3.0476	0.0070	12 0 12.6	19.979	0.030	70.4	141 256	11 5054
9436	9.2	23 40 11.89	+3.0489	+0.0067	+11 24 59.4	+19.979	+0.030	90.9	806 807	11 5055
*9437	9.7	40 12.01	3.0450	0.0077	13 18 20.5*	19.979	0.030	90.9	802 805	— —
9438	8.6	40 12.36	3.0432	0.0081	14 8 51.9	19.979	0.030	70.8	239 258	14 5054
*9439	9.7	40 13.22*	3.0449	0.0077	13 20 21.2*	19.980	0.030	90.9	802 805	13 5170
9440	8.9	40 21.78	3.0462	0.0074	12 48 9.5	19.981	0.030	70.4	143 255	12 5023
9441	8.9	23 40 28.06	+3.0421	+0.0085	+14 49 50.5	+19.981	+0.029	72.4	261 322 336 338	14 5055
9442	8.6	40 47.69	3.0423	0.0086	14 57 22.7	19.984	0.029	72.4	261 322 338 340	14 5056
9443	8.7	41 21.06	3.0517	0.0064	10 43 7.2	19.988	0.028	70.4	136 251	10 4991
9444	8.6	41 30.00	3.0483	0.0074	12 31 40.3	19.989	0.027	70.4	143 255	12 5024
9445	8.9	41 48.42	3.0435	0.0088	15 9 35.2	19.991	0.027	72.4	261 322 323 340	15 4886
9446	8.7	23 41 51.61	+3.0434	+0.0088	+15 14 35.7	+19.991	+0.027	76.0	5 Beob.	15 4887
9447	8.8	41 51.90	3.0445	0.0085	14 41 40.5	19.991	0.027	72.4	261 322 336 338	14 5057
9448	9.0	41 55.33	3.0500	0.0071	11 53 56.3	19.992	0.027	70.4	141 256	11 5057
9449	8.3	42 3.82	3.0454	0.0084	14 22 35.9	19.993	0.026	71.9	263 336	14 5058
9450	9.5	42 10.40	3.0456	0.0084	14 22 34.4	19.994	0.026	90.9	802 805	14 5060

[1] 9m.5 praec. 2s 3′ B.
[2] 9m.7 praec. 12s.5 0′.1 A.
[3] 7.8 8.8 7.7 8.2
[4] BD gibt, in Uebereinstimmung mit R 11528, α 5s kleiner
[5] BD 9.5

Nr.	Gr.	A.R. 1875	Praec.	Var. saec.	Decl. 1875	Praec.	Var. saec.	Ep.	Zonen	B.D.
9451	8.5	23h 42m 32s.59	+3s.0507	+0s.0071	+11° 56′ 16″.3	+19″.996	+0″.025	70.4	141 256	11° 5059
9452	8.8	42 40.93	3.0527	0.0066	10 57 11.2	19.997	0.025	70.4	136 251	10 4993
9453	9.1	42 45.75	3.0519	0.0069	11 26 11.3	19.998	0.025	90.9	802 805	11 5060
9454	8.8	43 20.64	3.0543	0.0064	10 28 45.5	20.001	0.024	70.4	136 251	10 4996
9455	8.8	43 35.19	3.0535	0.0067	11 3 16.6	20.003	0.023	70.4	136 251	10 4998
9456	8.7	23 43 48.88	+3.0511	+0.0076	+12 37 13.6	+20.004	+0.023	80.6	143 255 802 805	12 5027
9457	9.1	43 50.77	3.0544	0.0066	10 44 10.8*	20.004	0.023	90.9	802 805	10 5000
9458	8.5	43 58.63	3.0486	0.0084	14 10 41.0	20.005	0.023	70.8	239 258	14 5064
9459	8.9	44 45.55	3.0533	0.0073	12 0 22.6	20.010	0.021	82.4	256 R	[11 5065]
9460	9.2	44 55.78	3.0513	0.0081	13 25 9.9	20.011	0.021	82.4	258 R	13 5177[1]
9461	8.5	23 45 1.10	+3.0520	+0.0079	+13 4 16.1	+20.011	+0.021	70.4	143 255	12 5033
9462	10.6	45 5.81*	3.0525	0.0077	12 47 4.6*	20.012	0.020	96.1	R(6)	— —
9463	9.3	45 7.61	3.0521	0.0079	13 3 24.1	20.012	0.020	81.9	143 R	— —
9464	8.8	45 39.26	3.0542	0.0074	12 10 37.4	20.015	0.019	70.4	143 255	12 5034
9465	9.2	45 49.20	3.0525	0.0081	13 24 8.0	20.016	0.019	84.2	239 802 805	13 5179
9466	9.0	23 45 57.66	+3.0547	+0.0074	+12 4 38.6	+20.017	+0.019	70.4	141 256	11 5067
9467	8.5	46 6.70	3.0548	0.0075	12 10 42.4	20.017	0.018	80.6	143 255 802 805	12 5036
9468	5.1[2]	46 14.59	3.0577	0.0065	10 15 6.8	20.018	0.018	82.7	6 Beob.	10 5004
9469	8.7	46 33.03	3.0544	0.0078	12 47 2.5	20.020	0.017	70.4	143 255	12 5037
9470	7.5[3]	46 35.65	3.0567	0.0070	11 13 52.2	20.020	0.017	80.6 83.9	141 256a 802 805	⎫ 11 5068
9471	6.9[4]	23 46 36.93	+3.0567	+0.0070	+11 13 47.5	+20.020	+0.017	80.6 84.2	141a 256 802 805	⎭
9472	8.8	46 41.15	3.0557	0.0074	11 59 36.3	20.020	0.017	70.4	141 256	11 5069
9473	8.3	47 2.03	3.0550	0.0079	12 51 57.7	20.022	0.017	70.8	239 258	12 5039
9474	8.9	47 15.21	3.0563	0.0075	12 5 56.0	20.023	0.016	70.4	143 255	11 5070
9475	8.8	47 17.88	3.0561	0.0076	12 17 18.3	20.023	0.016	70.4	143 255	12 5040
9476	9.0	23 47 21.54	+3.0549	+0.0081	+13 15 32.8	+20.024	+0.016	90.9	802 805	13 5182
9477	8.4	47 26.85	3.0529	0.0090	14 47 11.9	20.024	0.016	72.2	263 323 338	14 5069
9478	9.2	47 30.18	3.0568	0.0074	11 56 40.1	20.024	0.016	77.2	141 256 806	11 5071
9479	8.1	47 33.05	3.0577	0.0071	11 18 19.0	20.025	0.016	70.6	143 255 256	11 5072
9480	8.7[5]	47 44.03	3.0528	0.0092	15 12 21.9	20.026	0.015	72.2	263 323 338	15 4903
9481	8.8	23 47 50.87*	+3.0572	+0.0075	+11 57 17.6	+20.026	+0.015	74.5	5 Beob.	11 5074
9482	8.9	47 54.35	3.0553	0.0083	13 28 3.4	20.026	0.015	70.8	239 258	13 5184
9483	8.7	48 11.44	3.0552	0.0085	13 54 14.0	20.028	0.014	80.9	239 258 805 806	13 5185
9484	9.2	48 22.77	3.0586	0.0072	11 22 38.3	20.028	0.014	81.9	141 R	[11 5075]
9485	8.3	48 28.96	3.0573	0.0078	12 31 14.2	20.029	0.014	70.4	143 255	12 5043
9486	9.1	23 48 38.38	+3.0589	+0.0072	+11 22 2.2	+20.030	+0.013	81.9	141 R	[11 5076]
9487	8.7	48 39.99	3.0554	0.0088	14 15 4.5	20.030	0.013	70.8	239 258	14 5071
9488	7.8[6]	49 31.19	3.0564	0.0090	14 32 4.6	20.033	0.012	72.2	263 323 338	14 5074
9489	8.9	49 38.50	3.0603	0.0072	11 10 18.0	20.034	0.012	90.9	802 805	11 5078
9490	8.0	49 41.49	3.0571	0.0088	14 8 42.1	20.034	0.011	70.8	239 258	14 5075
9491	8.2	23 49 58.89	+3.0617	+0.0067	+10 13 34.9	+20.035	+0.011	78.8 80.4	5 Beob.	10 5007
9492	9.0	50 0.49	3.0597	0.0077	12 5 53.0	20.035	0.011	86.2	255 R(2)	[11 5079]
9493	8.7	50 3.17	3.0614	0.0069	10 35 45.6	20.035	0.011	70.4	136 251	10 5008
9494	8.3	50 17.89	3.0601	0.0077	12 7 30.3	20.036	0.010	70.4	141 143 255 256	12 5046
9495	8.6	50 23.69	3.0602	0.0077	12 7 23.6[7]	20.037	0.010	70.4	141 143 255 256	12 5047
9496	8.5	23 50 36.40	+3.0621	+0.0069	+10 31 23.1	+20.037	+0.010	80.6	136 251 802 805	10 5010
9497	9.0	50 44.79	3.0623	0.0068	10 25 59.0*	20.038	0.009	80.6	136 251 802 805	10 5011
9498	9.3	50 45.39	3.0607	0.0077	12 6 29.1	20.038	0.009	90.9	802 806	11 5080
9499	8.4[8]	50 51.88	3.0580	0.0093	14 54 51.1	20.038	0.009	72.2	263 323 338	14 5077
9500	8.8	50 53.13	3.0615	0.0073	11 22 51.7	20.038	0.009	70.4	141 256	11 5081[9]

[1] L = BD +3s.1 [2] 5.0 4.5 6.3 5.7 4.8 4.6; BD 6.0 [3] 8.0 8.0 7.5 6.7; Z. 141 bläulich
[4] 7.5 6.7 7.1 6.4; Z. 141 bläulich [5] BD 8.2 [6] BD 7.2 [7] Z. 256 Mikr. 47r.0 56r.8 corr. in 47r.0 46r.8
[8] BD 7.9 [9] L = BD +3s.2

Nr.	Gr.	A.R. 1875	Praec.	Var. saec.	Decl. 1875	Praec.	Var. saec.	Ep.	Zonen	B.D.
9501	8.3	23h 50m 53s.89	+3s.0605	+0s.0080	+12° 31' 7".6	+20".038	+0".009	70.8	239 255 258	12° 5048
9502	9.0	51 22.42	3.0590	0.0092	14 46 39.9	20.040	0.008	72.4	263 322 323 338	14 5078
9503	6.6	51 22.68	3.0627	0.0071	10 46 43.3	20.040	0.008	80.6	141 256 802 805	10 5013
9504	9.0	51 35.84	3.0589	0.0095	15 15 31.3	20.041	0.008	72.4	263 322 323 338	15 4915
9505	9.0[1]	51 35.87	3.0602	0.0087	13 50 55.3	20.041	0.008	70.8	239 258	13 5189
9506	8.4[2]	23 51 36.09	+3.0614	+0.0080	+12 29 12.4	+20.041	+0.008	70.4	143 255	12 5049
9507	9.0[3]	51 40.85	3.0629	0.0071	10 52 17.1	20.041	0.008	70.4	141 256	10 5014
9508	8.8	51 41.41	3.0615	0.0080	12 29 17.7	20.041	0.008	77.2	143 255 805	12 5051
9509	8.8	51 45.76	3.0635	0.0068	10 18 21.0*	20.041	0.007	80.4	5 Beob.	10 5015
9510	8.0	52 3.22	3.0614	0.0084	13 7 34.4	20.042	0.007	70.4	143 255	12 5053
9511	8.8	23 52 29.25	+3.0604	+0.0095	+15 8 28.2	+20.043	+0.006	72.2	263 323 338	15 4916
9512	9.1	52 46.09	3.0634	0.0077	11 50 7.7	20.044	0.005	70.4	141 256	11 5083
9513	8.9[4]	52 53.25	3.0623	0.0086	13 31 2.7	20.045	0.005	70.8	239 258	13 5192
9514	9.1	52 59.32	3.0624	0.0086	13 29 9.1	20.045	0.005	80.8	239 258 802 805	13 5193
9515	8.2[5]	53 21.37	3.0649	0.0071	10 39 52.4	20.046	0.004	70.4	136 251	10 5016
9516	6.9	23 53 24.20	+3.0651	+0.0071	+10 34 36.8	+20.046	+0.004	70.4	136 251	10 5017
9517	8.8[6]	53 27.26	3.0620	0.0095	15 5 12.2	20.046	0.004	90.9	802 805	14 5080
9518	7.6	53 27.68	3.0648	0.0073	10 58 38.0	20.046	0.004	70.4	141 256	10 5018
9519	8.5	53 51.73	3.0641	0.0083	12 45 54.5	20.047	0.003	70.4	143 255	12 5055
9520	7.5	53 53.78	3.0643	0.0082	12 36 55.7	20.047	0.003	70.4	143 255	12 5056
9521	8.1[7]	23 54 0.69	+3.0651	+0.0076	+11 34 13.4	+20.047	+0.003	70.4	141 256	11 5085
9522	8.9	54 18.22	3.0637	0.0092	14 20 34.5	20.048	0.002	72.2	263 323 338	14 5082
9523	9.0	54 54.32	3.0665	0.0073	10 51 50.8	20.049	0.001	70.3	136 251	10 5020
9524	8.0	55 13.88	3.0653	0.0090	13 56 8.4	20.050	0.001	70.8	239 258	13 5196
9525	8.5	55 30.96	3.0653	0.0095	14 49 56.1	20.050	0.000	72.2	263 323 338	14 5084
9526	8.6	23 55 32.49	+3.0667	+0.0079	+11 57 34.6	+20.050	0.000	70.4	141 256	11 5087
9527	9.0[8]	55 56.26	3.0667	0.0087	13 13 24.1	20.051	−0.001	70.6	143 239 255 258	13 5198
9528	8.4	55 57.59	3.0679	0.0071	10 18 41.1	20.051	0.001	83.9	7 Beob.	10 5022
9529	8.8	56 3.94	3.0663	0.0093	14 26 12.8	20.051	0.001	72.2	263 323 338	14 5087
9530	8.8	56 7.71	3.0663	0.0094	14 38 20.8	20.051	0.001	72.2	263 323 338	14 5088
9531	8.8	23 56 17.42	+3.0683	+0.0071	+10 12 41.5	+20.052	−0.001	83.9	7 Beob.	10 5023
9532	8.2	56 18.74	3.0672	0.0087	13 14 3.0	20.052	0.001	70.5	143 239 258	13 5200
9533	7.7[9]	57 6.44	3.0688	0.0079	11 39 38.5	20.053	0.003	70.4	141 256	11 5090
9534	8.0	57 18.08	3.0687	0.0084	12 40 9.2	20.053	0.003	70.4	143 255	12 5059
9535	7.0	57 31.15	3.0687	0.0090	13 40 59.7	20.053	0.004	70.8	239 258	13 5201
9536	7.7[10]	23 57 35.83	+3.0694	+0.0078	+11 27 0.4	+20.053	−0.004	70.4	141 256	11 5092
9537	8.6	57 46.58	3.0698	0.0073	10 34 5.3	20.053	0.004	70.4	136 251	10 5024
9538	8.5	57 51.28	3.0693	0.0089	13 23 10.8	20.053	0.004	70.8	239 258	13 5202
9539	8.3	57 54.35	3.0696	0.0083	12 15 27.2	20.053	0.004	70.4	143 255	12 5061
9540	8.8	58 4.72	3.0692	0.0098	15 4 23.2	20.054	0.005	72.4	263 322 323 338	14 5092
9541	8.7[11]	23 58 4.93	+3.0702	+0.0073	+10 25 36.2	+20.054	−0.005	70.4	136 251	10 5025
9542	7.6	58 16.69	3.0697	0.0094	14 16 13.3	20.054	0.005	70.8	239 258	14 5094
9543	8.7	58 45.61	3.0705	0.0088	13 14 11.6	20.054	0.006	70.8	239 258	13 5203
9544	5.8	59 16.99	3.0713	0.0086	12 42 0.6	20.054	0.007	70.4	143 255	12 5063
9545	7.8[12]	59 28.33	3.0716	0.0081	11 49 56.3	20.054	0.007	70.4	141 256	11 5097
9546	8.4	23 59 34.63	+3.0717	+0.0083	+12 10 42.6	+20.054	−0.008	80.6	143 255 802 805	12 5064
9547	9.1	59 35.96	3.0717	0.0083	12 7 26.0	20.054	0.008	82.4	255 R	— —

[1] 9m.4 praec. 0s.1 40"B. [2] BD 9.1 [3] BD 8.5 [4] BD 9.5 [5] BD 8.7 [6] BD 9.5 [7] BD 7.6 [8] BD 9.5 [9] BD 7.0 [10] BD 7.0 [11] BD 9.3 [12] 7.0 8.7; BD 8.3

Anhang I.

1. Zonen-Nummern für die mehr als viermal beobachteten Sterne.

Nr.	Zonen	Nr.	Zonen
16	263 323 325 338 339	754	56 272 342 746 748
84	219 333 533 600 825	760	56 272 342 746 748
140	55 263 323* 325 338	771	1 269 270 326 688 690
141	55 263 323* 325 338	791	1 269 270 326 685 687
181	55 263 323* 325 337	807	1 269 270 326 688 690
235	677 678 798 799 801 806	834	1 269 270 326 688 690
270	330 337 339 798 799	877	1 269 270 326 685 687
299	55 60 63 325 339	890	1 269 270 326 342 688 690
306	53 67 219 333 677 678 679 680 801 806	893	1 252 269 270 326 342 685 687
308	67 677 678 679 680 801 803 806	895	1 252 269 270 326 342
311	60 62 63 243 248 339	900	252 269 270 326 342
315	64 259 339 807 808	905	1 252 269 270 326 342
320	679 680 803 807 808	907	1 252 269 270 326
333	64 243 248 259 339	908	1 72 252 265 270 326
336	64 259 339 747 750	910	72 269 342 685 687
339	53 67 596 602 679 680 749 803	911	1 252 269 270 326 342
340	53 67 679 680 803 808 811	916	1 72 265 269 270 342 685* 687
359	64 137 259 747 749	922	56 76 267 746 748
369	64 137 259 808 812	923	269 270 326 746a 748 753
374	64 137 259 803 808 811	924	72 252 265 269 270 326
381	64 137 259 747 749 750	933	65 76 267 746 748 753
407	62 248 749a 750 803 811	937	1 54 68 269 270 326 685 687
408	537 542 803 809 825	962	54 68 746 748 751
410	53 72 537 542 811	972	54 68 746 748 751
419	62 248 747 749 750	978	80 144 746 748 751
421	537 542 803 809 811	994	684 686 746 748 751
425	537 542 803 809 811	1088	54 68 685 686 687
438	53 67 602 682 683	1090	54 68 685 686 687
451	64 259 749 809 811	1103	54 68 685 687 751 813
454	64 137 259 750 812	1106	80 144 815 817 818
521	53 67 332 682 683	1117	694 695 816 817 818
535	53 67 332 679 680	1122	80 144 813 815 816
536	53 67 332 680 684 686	1152	80 144 751 814 815
551	63 340 747 803 809	1208	61 78 89 140 154
587	64 259 747 803 809	1211	54 59 68 86 303 334 548 550
589	53 67 332 679 680 747 749	1235	59 86 303 334 548 550
608	62 248 747 749 803	1237	88 89 140 151 154
612	62 248 749 803 809	1253	83 149 153 747 750
617	53 67 332 596 602	1274	89 140 154 747 750
620	60 137 746 747 749	1309	59 86 303 334 439 692
631	1 53 67 252 326 332	1330	59 86 303 334 548 550
632	53 67 72 252 265 269 326 332	1386	59 86 303 334 439 441
633	56 63 76 340 341	1410	59 86 303 334 696 697
666	1 269 270 326 679 680	1424	89 142 154 747 755
674	76 267 340 746 748	1431	89 142 154 747 750 754
691	1 269 270 326 684 686	1446	86 303 334 694 695
740	72 265 746 748 753	1447	86 303 334 694 695
744	252 269 270 326 332	1461	89 142 154 747 814

Nr.	Zonen
1479	83 153 814 815 817
1495	89 142 154 750 754
1498	334 439 441 747 756
1500	89 142 154 750 754
1520	83 153 747 750 754
1535	70 264 274 755 756
1543	266 273 747 754 755
1547	57 70 439 441 548
1553	57 70 439 441 754 756
1667	57 439 441 548 550 754 756
1716	266 273 754 756δ 757
1717	57 73 264 274 757a
1726	266 273 754 756δ 757
1739	77 155 754 756δ 757
1839	77 155 264 266 273 274
1867	57 70 439 441 829
1885	157 278 300 754 756
1919	57 70 264 274 612 613
1924	70 612 613 756 757
1963	278 280 300 306 757
2028	142 157 278 283 308 309 751 760
2029	278 285 300 751 760
2035	142 157 278 283 300 308 309
2108	2 69 699 701 751 758
2202	2 69 703 705 706
2235	4 79 159 273 302
2241	4 273 302 758 759
2307	4 79 273 302 612 613
2421	2 4 159 703 704 705
2432	2 69 624 751 759
2441	425 614 616 624 751 758
2447	2 69 425 624 751 759
2523	2 69 614 616 709
2620	2 4 69 79 159
2674	285 309 751 754 758
2675	285 309 751 754 758
2689	285 309 751 758 760
2698	84 299 740 754 758
2717	271 301 751 754 758
2728	2 69 71 145 612 708
2756	148a 164 741 752 757
2764	148a 164 741 752 757
2835	75δ* 147 740 752 757
2873	148a 164 741 752 757
2878	75δ* 147 148a 741 757 762
2891	148a 164 740 757 762
2903	148a 164 741 752 757
2905	66 75δ* 147 148a 164 741
2916	148a 164 741 752 757
2923	75δ* 147 741 752 757
2926	75δ* 147 741 752 757
2930	75δ* 147 741 762 763
2937	148a 164 741 752 762
2942	148a 164 741 762 765
2944	148a 164 740 752 763 764
2952	66 148a 164 741 752 757
2955	75δ* 147 741 762 763
2964	148a 164 741 752 757
2966	66 75δ* 147 741 829
2984	148a 164 741 752 757
2985	75δ* 147 148a 164 741 752 757
2998	75δ* 147 164 741 752
2999	148a 164 762 764 765
3024	75δ* 147 740 752 757
3030	148a 164 741 757 765
3033	148a 164 741 752 757
3036	71 145 429 453 756
3041	71 145 429 453 759 765
3048	75δ* 147 740 752 757δ 758
3052	148a 164 741 757δ 762 764
3059	75δ* 147 740 752 757δ 758
3062	75δ* 147 740 752 762 763
3065	148a 164 757δ 758 765
3072	75δ* 147 757δ 762 765
3076	75δ* 147 740 752 757δ 758
3083	71 93 145 741 756
3091	75δ* 147 740 752 757δ 758
3098	75δ* 147 752 757δ 758
3102	148a 164 752 757δ 758
3105	75δ* 147 740 757δ 758 762
3107	75δ* 147 740 757δ 758 762
3118	148a 164 752 763 764
3124	74 93 741 756 759
3127	75δ* 147 752 757δ 758
3132	148a 164 741 752 757δ 758
3135	147 148a 757δ 758 762
3137	75δ* 147 148a 164 752 757δ 762
3143	75δ* 147 752 757δ 758
3150	148a 164 752 757δ 758
3152	148a 164 741 752 757δ 758
3162	75δ* 147 740 752 757δ 758
3166	75δ* 147 740 752 757δ 758
3171	75δ* 147 740 762 764
3180	75δ* 147 740 752 757δ 758
3182	75δ* 147 752 757δ 758
3185	75δ* 147 740 752 762
3193	148a 164 752 757δ 758
3197	148a 164 741 752 762
3206	148a 164 752 757δ 758
3212	75δ* 147 752 757δ 758
3214	148a 164 741 752 757δ 758
3217	75δ* 147 148a 164 757δ 762 764
3228	148a 164 741 752 758
3230	74 93 145 756 759
3234	148a 164 752 757δ 758
3239	148a 164 757δ 758 762
3253	74 93 145 429 453 756
3288	7 8 286 307 312
3304	3 11 311 429 453
3308	7 17 307 313 740
3313	5 12 17 307 314
3318	5 7 17 307 313 314 740
3319	7 12 17 307 313 314 740
3322	3 11 311 429 453

Nr.	Zonen
3330	3 5 11 12 311 314 758
3361	5 12 314 429 433
3362	5 12 314 429 433
3393	3 11 311 564 630
3397	3 11 311 429 433 630 830
3401	3 11 311 429 433
3475	3 11 311 429 433
3476	5 12 314 429 433
3483	3 11 311 429 433
3488	3 11 311 433 710 713
3517	5 12 314 429 433
3519	3 11 311 429 433
3539	3 11 311 429 433
3544	3 11 311 429 433
3575	3 11 311 429 433
3585	18 21 156 158 758 761
3608	7 12 17 307 313 314
3625	3 5 11 12 311 314
3642	7 8 307 312 313
3656	5 11 12 311 314 429 433
3658	3 11 12 311 314 429 433
3722	4 82 160 445 458
3829	82 160 445 458 831
3832	82 160 632 714 715
3837	82 160 632 752 760
3951	9 15(a[illegible]) 19 762 764
3956	9 15 19 714 715
3968	6 13 445 458 762 764
4048	6 13 445 458 762 764
4136	13 96 445 458 832
4157	6 13 762 766 767
4480	24 96 464 465 766 767
4553	10 14 35 430 450
4602	10 14 35 455 636 637
4620	10 14 35 368 455 769
4756	455 638 639 768 769
4757	14 35 455 638 639 768 769 833
4805	102* 106 770 774 779
4809	38 104* 368 455 777 778
4823	38 104* 368 455 777 778
4832	38 104* 368 455 777 778
4851	38 104* 368 455 777 778
4860	38 104* 368 455 777 778
4863	38 104* 467 636 637 777 778
4864	38 104* 367 467 777 778
4868	372 460 636 637 833
4873	38 104* 372 460 777 778
4902	38 104* 370 457 777 778
4970	102* 106 770 773 776
4983	38 104* 375 378 777 778
4986	38 104* 372 460 777 778
4990	40 108 770 773 776
4991	38 104* 372 460 777 778
4992	102* 106 770 773 776
4993	102* 106 770 773 776
5003	40 108 776 777 778 779
5005	40 108 770 773 776

Nr.	Zonen
5009	38 104* 375 378 777 778
5017	102* 106 742 770 773 776
5024	30 38 42 743 769
5039	36 113δ* 114 742 769 771
5040	36 114 742 771 773 776
5046	36 113δ* 742 769 771
5053	36 113δ* 742 769 771
5055	36 113δ* 742 769 771
5064	36 113δ* 742 769 771
5072	36 113δ* 742 769 771
5074	36 113δ* 742 769 773
5082	36 113δ* 742 769 771
5086	36 113δ* 742 769 771
5095	36 113δ* 742 769 771
5098	36 113δ* 742 773 776
5101	36 113δ* 742 769 771
5106	36 113δ* 742 769 771
5110	36 113δ* 742 769 771
5111	36 113δ* 742 769 773
5112	36 113δ* 742 771 773
5118	113δ* 742 769 771 776
5127	34 112 769 771 776
5131	28 375 378 769 771
5133	36 113δ* 742 769 771
5134	36 113δ* 742 769 773 776
5135	36 113δ* 742 769 773
5138	36 113δ* 742 769 771
5153	36 113δ* 742 769 773
5154	36 113δ* 742 769 771
5165	36 113δ* 742 769 771
5167	36 113δ* 742 769 771
5168	36 113δ* 742 773 776
5171	30 42 743 771 776
5182	36 112 113δ* 742 769 771
5187	36 113δ* 742 771 776
5197	36 113δ* 742 771 773
5204	30 42 743 771 773
5227	36 113δ* 742 771 773
5232	36 113δ* 742 771 773
5233	36 113δ* 743 771 776
5236	36 113δ* 742 773 776
5247	36 113δ* 742 771 773
5252	36 113δ* 742 773 776
5256	36 113δ* 742 773 776
5257	36 113δ* 742 771 776
5274	36 113δ* 742 771 773
5280	36 113δ* 742 771 773
5287	30 42 743 771 773
5289	36 113δ* 742 771 773
5290	34 36 112 113δ* 742
5299	36 113δ* 742 771 773
5302	30 37 42 115 743
5303	30 39 42 116 173 743
5308	26 28 30 37 39 42 115 116 173 743
5309	36 113δ* 171 182 742
5310	30 39 42 116 169 175 743
5321	37 115 471 473 770 777

Nr.	Zonen
5334	37 115 473 640 641
5512	39 116 169 173 770
5520	39 116 169 173 770
5594	37 115 473 642 645 770 775
5601	39 52 116 169 173 315 316 319
5605	41 116 169 173 175
5608	39 45 52 116 169 173 315 316 319
5616	39 45 52 116 169 173 315a 319
5618	39 45 52 116 169 173 315a 319
5628	45 52 315 316 319
5630	45 52 315 316 319
5631	52 315 316 317 319
5633	45 46 52 183 315 317 319
5635	47 185 773δ 776 778
5637	44 50 479 567 773δ 776 778
5669	44a 50 773δ 775 776 778
5670	180 187 773δ 775 776 778
5672	180 187 773δ 776 778
5676	180 187 773δ 776 778
5679	180 187 773δ 776 778
5690	180 191 773δ 776 778
5694	44 50 473 642 645
5704	46 183 317 773δ 776 778
5707	479 567 773δ 776 778
5731	180 187 773δ 776 778
5748	180 187 773δ 776 778
5772	45 52 315 316 319
5824	45 52 315 316 319
5835	46 180 183 187 317
5836	45 52 315 316 319
5846	45 52 315 316 319
5848	45 52 315 316 319
5851	45 52 315 316 319
5855	47 183 185 189* 317
5860	45 52 315 316 319
5865	45 52 315 316 319
5872	45 52 315 316 319
5877	45 52 315 316 319
5885	45 52 315 316 319
5890	45 52 315 316 319
5891	45 52 315 316 319
5932	44 50 479 642 645
5937	45 52 315 318 319
5942	45 183 315 318 319
5948	44 50 478 646 726 834
5983	46 118δ* 179* 183 318
5986	177 189* 191 201 203
5990	174 498 505 777 780
5995	125* 197 783 785 787
5996	125* 197 783 785 787
5997	174 498 505 781 782
6000	125* 197 783 785 787
6002	125* 197 783 785 787
6012	125* 197 783 785 787
6024	118δ* 179* 783 785 787 788
6027	174 498 505 777 780
6032	125* 197 777 783 785 787 788
6045	125* 783 785 787 788
6048	125* 197 783δ 785 787 788
6050	174 777 780 783δ 787 788
6052	119 174 777 785 787 788
6054	125* 197 783δ 785 787 788
6059	497 501 777 780 835
6069	125* 197 783δ 785 787 788
6073	125* 197 783δ 785 787 788
6075	125* 197 783δ 785 787 788
6085	125* 197 785 787 788
6087	125* 197 783 785 788
6097	125* 197 783 785 788
6098	125* 197 785 787 788
6108	125* 197 777 780 785 787
6121	121 176 498 505 777 780
6143	118δ* 123 125* 179* 195 197
6212	118δ* 179* 781 782 785
6214	121 176 777 780 783
6295	118δ* 179* 777 781 782
6325	118δ* 179* 777 780 785
6328	118δ* 179* 781 782 783
6330	118δ* 179* 777 780 781 782
6425	118δ* 121 176 179* 184
6429	123 195 206 789 791
6431	118δ* 179* 184 786 787
6440	118δ* 179* 184 786 787
6471	48 51 650 651 729
6480	48 51 650 651 729 784
6484	48 727 730 788 791
6552	48 51 511 570 571 572 784 788
6575	132 134* 199 206 790
6679	48 51 571 572 573
6763	186 188 212 214 788
6775	129 134* 199 208 789
6813	49 117δ* 126 184 786
6825	48 51 511 570 573 835
6829	117δ* 184 786 787 793
6884	48 51 511 570 784 788
6892	48 51 571 573 793 794
6957	188 190 210 212 784 788
6976	117δ* 184 786 787 791 794
7044	117δ* 132 184 202 206
7045	132 204 206 785 794
7047	117δ* 132 184 202 206
7049	128 134* 192 199 222
7050	225 782 783 793 794
7056	48 51 120 196 511 570 577 585
7072	122 198 202 577 585
7075	226 288 782 783 793
7083	128 194 204 206 223
7084	120 196 511 570 663
7104	120 196 511 570 662 663
7109	122 198 585 782 783 793
7118	122 198 782 783 793
7126	120 196 571 573 579 588 662 663
7127	226 288 782 783 793
7148	122 198 577 662 663 782 783 793

Nr.	Zonen
7157	194 223 782 783 793
7190	120 196 511 573 662 663
7209	228 289 782 783 793
7210	226 288 782 783 793
7219	124 204 216 785 794
7236	226 288 782 783 793
7254	226 288 782 783 793
7269	122 198 782 783 793
7271	128 202 785 794 795
7272	128 202 204 785 794 795
7279	228 289 782 783 793
7282	122 198 782 783 793
7285	122 198 782 783 793
7315	122 198 782 783 793
7326	122 198 782 783 793
7335	122 198 782 783 793
7340	225 287 782 783 793
7342	122 198 782 783 793
7360	194 223 782 783 793
7399	225 287 782 783 793
7458	120 122 196 198 575 583 649 662 663 667
7463	122 649 662 663 667 782 783
7515	120 196 575 662 663 669
7622	198 577 585 782 783
7634	225 287 792δ 793 796
7705	122 198 792δ 793 796
7710	192 194 215 222 223
7711	120 127 196 200 576 581 592
7715	120 127 196 200 576 581 592
7720	122 130 198 205 209
7725	124 133 135 204 211 213 222
7735	192 213 215 222 244 246
7749	576 581 592 786 787
7758	230 294 786 787 788
7764	233 238 240 291 292
7767	240 292 293 786 787
7804	127 200 576 581 592
7815	127 200 576 581 592
7852	130 133 205 209 211
7872	130 133 205 209 211
7918	130 209 786 787 788
8119	220 246 786 787 788
8139	127 200 515 521 527 586
8328	220 229 244 246 296
8335	135 213 229 244 296
8337	227 233 240 260 291 297 320
8342	227 238 240 260 292 297 320
8343	240 254 260 297 320
8348	227 240 254 260 297 320
8354	240 254 260 297 320
8359	217 253 527 586 792 795
8361	227 240 254 260 297 320
8371	227 240 260 297 320
8375	227 240 260 297 320
8376	207 242 527 586 792 795
8379	236 240 257 260 297 320
8387	227 240 260 297 320
8396	227 229 240 260 296 320
8406	207 242 250 527 586
8413	207 242 250 527 586
8420	236 257 260 297 320
8426	207 242 250 527 586 822
8434	207 242(δ½) 250 525 526
8453	260 297 320 792 795
8462	207 242(δ½) 250 584 591
8476	207 242(δ½) 250 527 586
8504	207 242(δ½) 250 527 586
8511	257 260 297 320 321
8539	260 296 297 320 321
8547	241 295 298 576 584 589 590 591 668 670
8556	207 242(δ½) 250 527 586 792
8557	576 589 590 668 670
8560	207 242(δ½) 250 527 586 792
8572	576 584 589 590 591
8600	241 295 298 792 795
8638	207 242(δ½) 250 668 670
8642	260 320 589 590 822
8673	207 242(δ½) 250 527 586
8683	207 242(δ½) 250 527 586
8685	207 242(δ½) 250 527 586
8692	227 241 257 295 298
8694	207 242(δ½) 250 527 586
8698	227 241 257 298 320 321
8723	207 250 527 586 792 795
8797	207 327 527 530 582 586 597
8798	207 327 527 582 586
8830	207 218 247 327 527 586
8832	234 241 320 324 328
8836	234 241 247 324 327
8844	234 241 260 320 324 328
8847	234 241 260 320 324 328
8871	234 324 328 744 745
8885	138 245 530 582 597
8886	138 221 245 247 327 530 582 597
8940	221 247 327 744 745
8949	218 247 744 745 797
8992	221 234 328 745 797
8997	218 247 744 797 798
9036	234 328 797 798 799
9042	527 586 797 798 799
9047	221 327 797 798 799
9048	221 327 797 798 799
9073	138 245 530 582 597
9076	234 328 744 745 797
9153	138 245 744 748 797
9169	221 327 748 797 798
9178	234 328 744 748 797
9216	218 239 247 255 256 258
9218	218 221 239 247 255 258 327
9250	141 251 256 597 674 675 733
9277	239 258 744 745 797
9294	143 255 748 797 798
9324	143 255 748 797 798
9338	136 256 597 675 733

Nr.	Zonen
9344	136 256 597 672 676 732
9360	136 251 597 672 676 732
9363	136 251 597 672 676 732
9373	136 251 672 676 732
9394	136 251 736 802 805
9446	261 322 323 340 802

Nr.	Zonen
9468	136 251 677 678 801 806
9481	141 143 256 258 802
9491	136 251 672δ 676 732
9509	136 251 672 676 732
9528	141 256 677 678 801 804 806
9531	136 251 677 678 801 804 806

Die mit * bezeichneten Bestimmungen haben halbes Gewicht erhalten.

2. Einzelwerthe zu den im Catalog mit * bezeichneten Mitteln.

Rectascensionen.

Nr.	A.R. 1875.0							
	s	s	s	s	s	s	s	s
35	14.76	14.49	14.57					
37	1.63	2.09	2.24					
119	48.61	48.44*	48.33					
261	4.77	4.73	4.87	5.08				
315	54.93	54.81	54.56	54.75	54.83			
322	8.30	8.20	8.51					
342	37.36	37.51	37.72	37.65				
408	44.57	44.34	44.57	44.74	44.55			
454	9.55	9.70	9.32	9.57	9.49			
468	59.09	60.05						
489	39.93	39.68						
505	9.81	10.33						
587	0.26	0.32	0.55	0.58	0.50			
610	17.39	17.60	17.70					
620	36.49	36.70	36.52	36.43	36.49			
633	59.69	59.31	59.53	59.36	59.42			
648	47.51	47.82	47.73					
649	3.45	3.75	3.87					
652	56.72	56.90	56.56					
667	6.29	6.56						
669	41.90	42.24	42.30					
721	46.81	46.53	46.82	46.83				
740	27.74	27.46	27.75	27.71	27.72			
756	31.03	31.07	30.82					
760	52.97	53.06	53.02	53.09	53.26			
773	27.21	27.29	27.34	27.51				
803	8.92	9.17	9.14					
811	28.63	28.95	29.00					
823	1.31	1.57	1.54					
834	40.33	40.45	40.21	40.33	40.53	40.54		
890	18.45	18.48	18.40	18.45	18.42	18.65	18.56	
893	49.38	49.23	49.38	49.31	49.13	49.36	49.27	49.19
907	30.32	30.08	30.32	30.06	30.24			
916	17.30	17.04	17.13	17.19	17.00	17.08	17.12	17.10
937	39.20	39.16	38.92	39.11	39.03	39.04	39.04	39.03
940	58.62	58.34						
947	3.47	3.17						
948	23.56	23.28	23.73	23.80				

Nr.	A.R. 1875.0					
	s	s	s	s	s	s
958	8.88	8.57				
972	4.90	4.65	4.72	4.74	4.82	
977	35.06	34.97	34.81			
978	43.16	42.97	43.07	43.24	43.28	
984	12.59	12.30				
1007	12.31	12.62	12.53			
1076	40.04	39.78	39.89	39.93		
1189	10.68	10.35	10.43	10.51		
1202	15.33	15.61				
1223	37.25	37.53				
1242	19.06	19.14	19.55	19.55		
1274	0.88	0.96	0.93	1.13	1.10	
1286	17.84	18.10				
1300	2.79	3.04				
1306	49.96	50.08	50.18	50.27		
1350	34.24	34.34	34.66	34.63		
1352	58.54	58.39	58.23	58.45		
1362	23.26	23.29	23.09	23.38		
1363	28.14	28.12	27.87	27.93		
1364	32.56	32.74	32.37	32.62		
1369	23.34	23.60				
1402	27.58	27.88	27.69			
1404	37.81	38.10				
1409	53.56	53.84				
1411	29.01	29.20	29.11	28.85		
1412	42.10	42.35				
1415	47.89	48.15	47.91	47.90		
1424	6.59	6.63	6.46	6.66	6.73	
1495	46.86	47.03	46.78	46.96	46.93	
1535	4.16	3.92	4.05	4.18	4.00	
1553	40.63	40.88	40.78	40.81	40.84	40.78
1560	2.30	2.02	2.10			
1580	52.06	52.33	52.18	52.18		
1590	38.21	38.52				
1591	49.62	49.47	49.58	49.36		
1614	5.96	6.23				
1618	2.57	2.64	2.76	2.48		
1651	16.35	16.51	16.25	16.22		

Nr.	A.R. 1875.0					
	s	s	s	s	s	s
1665	50.37	50.65	50.42	50.43		
1670	21.06	21.24	21.36	21.54		
1686	52.14	52.44	52.28			
1751	34.00	33.97	34.26	34.15		
1766	24.71	24.90	24.74	24.63		
1803	47.62	47.97				
1855	31.90	32.20				
1867	3.82	3.86	3.55	3.70	3.75	
1885	54.54	54.67	54.69	55.14	55.13	
1897	44.63	44.81	44.56			
2007	31.97	32.26	32.17	32.17		
2019	24.87	25.15	24.95			
2031	21.71	21.80	21.66	21.96		
2037	43.09	43.35	43.03	43.14		
2052	14.60	14.36	14.62	14.56		
2054	24.09	24.22	23.97	24.13		
2068	20.26	20.46	20.11			
2108	25.45	25.76	25.54	25.60	25.62	25.60
2134	14.76	14.51				
2241	24.54	24.68	24.38	24.57	24.59	
2298	57.83	57.65	57.92	57.86		
2303	23.98	23.83	23.81	23.67		
2320	17.79	17.53	17.65	17.68		
2327	44.66	44.65	44.71	44.42		
2352	23.07	22.87	23.12	23.08		
2380	36.96	36.65	36.72	36.71		
2387	54.98	54.68	54.92	54.86		
2395	38.07*	38.30	38.39	38.27		
2418	26.73	26.47				
2441	45.21	45.32	45.25	45.03	45.25	45.25
2523	14.49	14.55	14.78	14.54	14.43	
2639	38.63	38.32	38.49	38.58		
2652	13.28	12.96				
2764	27.55	27.77	27.71	27.80	27.81	
2802	40.76	41.05				
2812	8.04	7.76				
2850	60.17	59.90				
2856	19.91	19.64				
2878	54.69	54.55	54.55	54.42	54.54	
2883	46.75	46.50	46.42			
2888	60.07	59.82	59.87			
2889	3.61	3.42	3.33			
2897	15.42	15.02				
2903	24.71	24.87	24.74	24.66	24.57	
2926	23.78	23.78	23.62	23.45		
2987	46.16	46.41	46.24			
2996	11.84	12.13	11.94	11.98		
3032	21.72	21.56	21.47			
3054	40.47	40.19	40.37	40.35		
3081	14.62	14.34				
3104	49.55	49.69	49.83			
3153	9.11	8.86	8.83			
3189	39.72	39.52	39.24	39.25		
3271	44.49	44.46	44.27	44.19		
3273	25.39	25.15	25.12			
3288	17.56	17.49	17.20	17.36	17.29	
3311	51.77	51.50	51.63	51.44		

Nr.	A.R. 1875.0						
	s	s	s	s	s	s	s
3329	24.08	24.09	23.84				
3397	21.08	21.07	21.16	21.37	21.11	21.06	20.97
3448	9.18	9.32	9.06				
3487	31.34	31.06	31.15				
3517	54.16	54.28	54.01	54.12	53.96		
3525	22.76	22.48					
3553	5.85	5.97	5.70	5.84			
3575	36.00	35.75	35.94	35.95	35.81		
3593	6.12	5.86					
3607	52.21	52.36	52.41	52.54			
3608	59.48	59.67	59.68	59.42	59.44	59.59	
3625	43.80	43.64	43.54	43.77	43.64	43.77	
3628	20.45	20.73					
3635	57.00	56.70	56.87				
3656	19.92	20.04	20.15	20.02	20.14	20.04	19.84
3658	26.52	26.39	26.59	26.47	26.65	26.43	26.40
3727	29.22	29.44	29.29	29.18			
3732	8.83	9.09					
3745	30.20	30.56	30.30	30.37			
3748	56.34	56.83	56.68	56.68			
3768	36.25	36.06	35.95	36.10			
3770	52.31	52.62					
3779	2.09	1.90	1.85	1.77			
3857	24.86	24.60					
3881	3.10	3.35					
3886	6.47	6.29	6.24	6.17			
3889	38.61	38.88	38.77	38.68			
3894	43.54	43.39	43.26	43.27			
3926	41.76	41.57	41.53	41.47			
3951	10.43	10.01:*	10.34	10.11	10.17		
4022	50.70	50.60	50.53	50.42			
4048	33.56	33.74	33.48	33.46	33.50	33.43	
4080	17.05	17.21	16.91	16.89			
4081	36.69	36.84	36.44	36.45			
4093	14.91	14.64	14.68				
4130	32.77	32.68	32.88	32.62			
4148	6.80	6.98	6.59	6.58			
4157	2.26	2.39	2.01	2.01	2.06		
4164	13.56	13.49	13.29				
4193	54.86	55.02	55.17	55.28			
4202	52.10	52.01	51.76	51.81			
4206	17.42	17.10	17.26	17.14			
4213	50.71	50.45					
4223	31.19	31.46					
4308	38.42	38.68					
4439	14.39	14.44	14.12	14.12			
4462	31.53	31.78					
4499	23.16	23.46					
4506	36.73	36.58	36.38	36.53			
4512	32.69	32.90	33.24	33.03			
4515	50.19	50.49					
4533	3.49	3.09					
4565	34.61	34.45	34.46	34.36			
4572	42.95	43.15	43.51				
4577	51.36	51.57	51.87				
4589	57.90	57.70	57.52	57.47			
4600	29.51	29.62	29.80				

Nr.	A.R. 1875.0						
	s	s	s	s	s	s	s
4618	41.22	41.09	40.98	40.88			
4619	42.39	42.12	42.09	42.12			
4623	14.76	14.55	14.46	14.48			
4636	31.15	30.93	31.02	30.81			
4644	26.43	26.04					
4658	21.95	21.47					
4699	41.95	42.03	41.93	41.77			
4703	26.10	25.86	25.79	25.83			
4711	33.27	33.37	33.54	33.43			
4741	43.45	43.13	43.38	43.31			
4756	15.88	15.92	16.07	15.81	15.80		
4782	59.68	59.82*	60.01	59.89			
4788	10.52	10.55*	9.81	9.80			
4809	34.38	34.47*	34.06	34.09	33.92	33.94	
4830	37.74*	37.87	37.93	38.05			
4845	33.08	33.37					
4851	56.44	56.61*	56.26	56.44	56.42	56.43	
4853	19.09*	19.03	18.82	18.81			
4858	56.89	57.22	56.81	56.87			
4860	5.89	5.95*	5.49	5.58	5.44	5.49	
4863	7.36	7.49*	7.38	7.41	7.21	7.22	7.30
4868	4.85	4.83	4.94	4.82	5.15		
4878	13.01*	13.10	13.21	13.28			
4886	7.87*	8.16	7.99	7.94			
4896	0.71*	1.06	1.12				
4902	59.72	59.90*	59.57	59.65	59.67	59.71	
4905	38.95	39.14	38.88	38.87			
4912	49.46*	49.73	49.69	49.67			
4919	39.86	40.10*	39.85	39.83			
4924	3.39	3.59*	3.30	3.29			
4953	52.38*	52.69	52.46	52.48			
4964	59.37	59.55*	59.66	59.67			
4970	48.63*	48.67	48.26	48.26	48.24		
4971	54.28*	54.58	54.53	54.47			
4973	46.15*	46.44	46.22	46.30			
4975	2.90	3.18*	2.97	3.02			
4980	42.99*	43.29	43.37	43.23			
4981	11.49	11.68*	11.41	11.45			
4986	55.76	55.99*	55.60	55.76	55.74	55.74	
4990	10.37	10.64	10.38	10.56	10.54		
4991	16.01	16.25*	15.92	16.05	16.07	16.07	
4993	21.69*	21.94	21.76	21.80	21.81		
4996	24.12	24.09*	23.82	23.85			
5000	5.67*	5.93	5.88	5.96			
5005	50.80	51.00	50.65	50.72	50.68		
5009	52.20	52.49*	52.16	52.23	52.17	52.11	
5010	56.64	56.92*	56.53	56.47			
5013	39.62	39.77*	39.49	39.50			
5015	1.33	1.48*	1.15	1.22			
5021	37.29	37.12	37.36	37.46			
5025	40.48	40.37	40.48	40.62			
5026	42.26*	41.97	41.94	42.13			
5055	35.48	35.28	35.20	35.37			
5062	36.46	36.71	36.31	36.43			
5081	44.59	44.44	44.34	44.44			
5093	56.57	56.72	56.47	56.65			
5132	41.16	41.39	40.91	41.08			

Nr.	A.R. 1875.0							
	s	s	s	s	s	s	s	s
5137	26.73	26.66	26.74	26.91				
5156	43.84	44.09	43.98	43.99				
5161	21.80	21.72	21.48					
5182	34.35	34.61	33.89	33.80	33.95			
5185	48.48	48.83	48.51	48.59				
5197	29.44	29.11	29.24	29.15				
5208	8.06	8.27	8.34	8.32				
5264	21.59	21.64	21.39					
5266	26.65	26.37						
5303	21.60	21.56	21.47	21.64	21.46	21.21		
5321	39.35	39.59	39.31	39.27	39.41	39.42		
5349	11.72	11.47	11.59					
5369	31.83	32.09						
5376	27.49	27.21	27.34					
5383	29.85	29.60						
5390	25.04	25.33	25.19	25.17				
5435	56.89	56.58	56.70	56.60				
5470	10.50	10.23						
5550	53.45	53.73						
5552	4.92::*	5.36						
5618	21.41	21.07	21.36	21.26	21.23	21.28	21.18	21.21
5633	13.88	14.11	14.18	13.94	13.93	13.90	13.94	
5654	20.59	20.88	20.72	20.71				
5704	12.72	12.51	12.48	12.61	12.47			
5741	54.06	54.33						
5750	7.13	6.86						
5751	8.28	8.23	8.03					
5780	37.31	36.90						
5824	20.49	20.74	20.68	20.75	20.58			
5833	40.42	40.77	40.49	40.41				
5901	26.14	25.89*	26.08	26.01				
5931	4.42	4.71	4.41	4.51				
5932	15.45	15.71	15.46	15.34	15.39			
5947	33.11	33.02	32.86					
5955	30.00	29.81*	29.73					
5965	51.48	51.20*	51.44					
5975	40.46	40.59	40.47	40.34				
6042	39.15	38.89	39.01					
6059	55.99	56.10	55.78	55.82	55.88			
6254	54.52	54.38	54.30	54.26				
6258	5.95	5.47	5.84	5.78				
6267	16.04	16.24	15.93	15.94				
6287	43.15	43.42	43.35	43.37				
6386	1.35*	1.49	1.61					
6575	58.14	57.86*	57.98	58.03	58.01			
6599	20.69	20.40	20.68					
6625	31.84	31.57	31.64					
6724	19.09	18.84	18.98	19.00				
6821	8.13	8.00	8.21	8.27				
6892	18.84	18.66	18.87	18.87	18.93	18.91		
6933	41.86	41.61	41.66	41.83				
6995	13.97*	14.25	14.14	14.07				
7148	45.55	45.70	45.77	45.65	45.77	45.70	45.82	45.82
7219	59.99	60.26	60.39	60.26	60.29			
7245	26.02	26.44	26.46	26.47				
7254	15.67	15.47	15.41	15.58	15.50			
7294	6.06	5.74	5.66					

Nr.	A.R. 1875.0						
	s	s	s	s	s	s	s
7327	9.90	9.53					
7364	45.90	46.13	46.08	46.22			
7381	33.10	33.09	33.31	33.36			
7515	2.34	2.19	2.51	2.47	2.47	2.55	
7570	14.85	14.72	14.99	14.75			
7573	22.49	22.69	22.74	22.64			
7577	50.11	49.82	49.90	49.99			
7653	59.23	59.17	58.96				
7677	16.27	16.05	15.99	16.02			
7725	53.77	53.98	53.70	53.77	53.74	53.81	53.73
7726	8.73	8.47	8.77	8.82			
7767	4.13	4.28	4.26	4.43	4.31		
7812	47.81	47.47	47.72	47.64			
7857	28.49	28.34	28.65	28.57			
7880	18.30	18.00					
7908	9.90	9.71	9.99	9.94			
7953	19.94	19.74	20.02	19.93			
7959	44.89	44.71	45.02	44.91			
7971	35.93	35.66	35.73	35.77			
7995	50.55	50.37	50.65	50.49			
8049	25.95	25.92	26.22				
8053	51.97	51.72	51.97	51.93			
8071	46.04	45.82	46.08				
8072	46.29	45.89	46.31				
8089	1.90	1.64	2.03				
8108	49.07	48.73	49.10	48.97			
8126	42.41	42.13					
8149	57.09	56.88	57.13	57.10			
8184	49.69	49.44	49.66	49.59			
8210	7.05	7.34					
8280	26.85	26.58	26.94	27.00			
8329	23.10	22.89	23.16	23.23			
8369	2.77	2.62	2.89	2.94			
8371	9.72	9.86	9.95	9.68	9.92		
8376	34.19	33.95	34.13	34.21	34.13	34.19	
8404	15.49	15.77	15.74	15.69			
8405	20.90	21.16	21.06				
8425	19.38	19.28	19.50	19.56			
8471	30.81	30.94	31.18	31.10			

Nr.	A.R. 1875.0						
	s	s	s	s	s	s	s
8472	37.48	37.61	37.35				
8492	27.95	27.62	27.85	27.91			
8510	59.63	59.74	59.49	59.67			
8525	10.55	10.25	10.42	10.59			
8532	6.74	6.90	6.97	6.99			
8556	3.83	3.62	3.94	3.88	3.74	3.78	
8560	47.78	47.48	47.73	47.65	47.72	47.72	
8610	25.92	25.63					
8637	26.12	25.87	26.12	26.12			
8659	2.69	3.05	2.74				
8680	11.59	11.38	11.47	11.63			
8682	22.67	22.43	22.56	22.71			
8744	34.08	34.17	33.91				
8774	10.65	10.29					
8790	47.55	47.38	47.60	47.67			
8844	50.54	50.81	50.73	50.74	50.67	50.76	
8935	44.77	45.02					
8940	24.71	24.49	24.70	24.69	24.74		
8982	25.64	25.45	25.71	25.68			
8992	26.43	26.33	26.33	26.13	26.19		
8997	8.53	8.36	8.60	8.58	8.71		
9013	57.36	57.21	56.87	56.85			
9042	17.33	17.14	17.03	17.06	17.20		
9044	42.33	42.47	42.62	42.50			
9048	18.08	17.88	18.07	18.13	18.11		
9103	8.48	8.45	8.58	8.70			
9218	32.87	33.07	32.94	32.74	32.76	32.87	32.84
9230	43.74	43.59	43.57	43.47			
9252	55.19	54.94	54.88				
9255	25.09	24.84	25.10	25.05			
9337	21.23	20.88	21.14	21.15			
9343	1.32	1.60					
9348	53.69	53.51	53.54	53.40			
9404	0.32	0.53	0.23	0.31			
9421	20.71	20.48	20.45	20.51			
9439	13.10	13.35					
9462	5.66	5.79	—	5.80	5.92	5.88	
9481	51.01	50.96	50.75	50.84	50.81		

Declinationen.

Nr.	Decl. 1875.0			
	″	″	″	″
15	27.8	30.8	27.5	27.2
25	17.6	21.5	18.2	16.0
48	21.9	18.7	17.7	
136	50.0	46.8	47.7	48.9
162	9.9	13.5*	10.3	
169	51.0	53.8*	49.4	
220	57.1	60.1*	57.4	
261	1.2	3.4	4.1	0.7
262	39.2	40.8	39.1	37.6
272	30.0	27.2	26.9	30.0
286	11.8	13.2*	12.8	15.2

Nr.	Decl. 1875.0					
	″	″	″	″	″	″
302	59.4*	58.7	62.4			
313	43.1	45.7	42.3			
315	46.9	48.3	50.4	47.6	49.5	
324	53.0	50.4				
332	24.5	28.3				
336	57.9	60.9	60.2	59.2	60.9	
356	13.0	15.9	16.0			
369	33.0	36.0	33.1	32.8	32.8	
374	20.4	21.2	22.9	21.4	22.3	23.5
396	5.3	8.5	8.6			
405	51.6	53.4	54.7	52.1		

Nr.	Decl. 1875.0							
	″	″	″	″	″	″	″	″
408	20.5	18.5	20.8	21.6	21.0			
439	45.8	48.7	49.6					
446	58.2	60.7						
447	23.5	19.5	18.2	19.7				
449	11.0	14.9	12.5					
460	48.1	51.1	51.8	50.0				
468	39.8	33.2						
481	34.8	31.8	31.7	32.0				
499	27.8	31.4	29.6	27.6				
518	29.1	26.0	26.2	27.2				
522	23.2	25.0	26.6					
550	12.5	16.4	17.2					
561	29.6	31.5	32.7	32.4				
578	46.8	42.3						
587	27.3	29.6	31.2	31.2	32.5			
608	8.1	4.8	3.5	4.7	4.7			
620	15.1	14.3	17.7	15.5	16.1			
651	37.5	39.1	35.3	37.6				
661	12.2	15.6	15.0					
665	17.4	15.8	14.2					
689	24.1	23.9	29.7	28.3				
690	30.2	30.1	34.1	33.0				
707	53.4	49.4	48.0					
721	32.8	35.0	32.2	30.9				
756	23.1	19.9	22.6					
811	17.9	14.9	13.0					
820	20.4	25.2	21.1	19.4				
821	27.1	30.1	28.4	30.5				
825	57.7	60.4						
893	7.8	4.3	5.5	4.6	6.7	5.7	5.1	5.3
922	16.8	19.2	15.6	17.8	17.1			
923	42.4	43.9	45.2	45.5	45.8			
932	48.8	50.3	53.6	51.2				
933	50.6	52.5	49.1	51.7	51.2	51.4		
935	5.8	1.9	1.7					
948	42.1	43.5	41.2	40.4				
949	40.2	36.9	37.7					
955	5.6	8.2						
972	56.2	60.0	58.2	56.8	57.8			
978	5.2	4.4	3.6	2.0	2.0			
1088	52.2	53.9	52.8	51.4	50.9			
1099	38.1	39.4	41.6	40.2				
1103	49.2	52.1	48.3	49.1	49.6	48.6		
1104	23.3	26.4	25.2	25.1				
1115	16.9	14.4	13.2					
1118	50.2	53.4	51.9	52.3				
1150	2.8	5.9	3.2	3.6				
1158	15.3	14.0	12.4	11.9				
1164	57.4	60.4	58.1	57.7				
1166	12.7	16.1	14.2	14.8				
1197	55.1	53.5	52.1					
1200	45.6	48.0	43.4	43.8				
1254	32.7	31.3	35.0	33.1				
1274	44.2	47.6	45.7	45.8	46.7			
1294	39.3	35.6						
1309	39.5	40.8	41.6	41.2	42.7	42.5		
1348	29.4	32.6	30.7	29.9				

Nr.	Decl. 1875.0							
	″	″	″	″	″	″	″	″
1350	43.1	45.6	41.6	41.7				
1352	23.0	23.9	25.4	21.8				
1362	26.4	29.7	28.6	27.2				
1387	42.6	45.6	44.9					
1392	18.2	19.1	18.3	15.1				
1424	33.5	35.3	36.3	32.8	34.0			
1431	18.8	21.1	22.5	21.3	20.2	20.4		
1462	53.4	55.0	56.4	53.9				
1484	17.1	20.6	20.5	19.1				
1500	46.7	48.1	51.1	46.3	46.1			
1502	45.1	48.6	46.3	45.4				
1512	8.1	6.8	8.8	10.4				
1521	19.8	23.3	20.2	21.0				
1526	5.1	8.6	5.6	5.4				
1543	18.5	20.0	16.9	17.7	19.3			
1580	9.6	12.5	9.9	9.8				
1601	37.8	40.7	40.8	40.8				
1636	53.1	50.2						
1665	33.5	34.6	32.1	35.4				
1692	14.1	10.0	12.3					
1717	20.8	19.2	17.7	19.7				
1855	59.1	61.8						
1866	5.6	4.4	6.4	7.4				
1878	36.2	33.0	34.9					
1885	8.4	8.4	7.7	0.6	0.8			
1929	42.9	40.0	39.0	39.1				
1934	45.7	40.8						
1937	53.2	49.9	49.0	49.2				
1950	7.2	10.6	9.8					
1957	13.4	10.0						
1969	54.1	51.6						
1971	47.4	50.8	50.7					
2015	13.6	16.4	14.2					
2027	32.9	34.2	36.0	34.6				
2035	9.6	11.8	9.3	9.4	7.3	9.4	9.1	
2068	39.7	37.6	41.8					
2101	20.2	17.6						
2130	14.4	17.2	14.1	14.4				
2172	15.7	13.1						
2192	16.8	12.0						
2253	37.7	40.7	38.8	37.5				
2266	12.7	10.2						
2342	56.9	53.9	55.8	57.1				
2393	3.5	0.8	3.8	3.6				
2453	33.0	30.5						
2481	19.0	15.8	17.1	19.7				
2499	30.4	27.8						
2516	17.0	13.9	16.1	15.2				
2554	12.0	8.5	11.0					
2591	47.2	50.8						
2594	42.3	44.9						
2609	29.2	25.5	28.6					
2610	37.3	33.7	36.0					
2622	8.9	6.4	5.3					
2674	48.7	45.1	47.9	47.7	47.3			
2683	24.5	21.5						
2689	34.7	31.7	33.5	33.2	34.0			

Nr.	Decl. 1875.0							
	″	″	″	″	″	″	″	″
2693	10.1	7.3	9.5	11.0				
2718	53.4	50.9						
2728	9.6	11.5	11.5	12.7	10.1	8.6		
2732	20.6	23.9						
2751	32.4	35.6						
2773	40.6	37.9						
2818	60.0	56.4	57.7	57.3				
2829	9.8	12.1	9.0					
2899	27.4	25.1	24.0	25.2				
2925	23.1	20.0	20.7	20.7				
2961	6.8	9.2	5.8	6.7				
2996	40.6	37.4	37.8					
3029	42.9	39.8	40.9	41.6				
3036	2.6	4.6	1.5	2.3	2.7			
3041	35.9	39.5	36.8	37.8	37.2	37.8		
3046	43.7	45.7	43.3	42.6				
3054	44.7	41.4	42.2	41.2				
3064	40.5	37.3	38.8	38.9				
3083	42.8	41.7	45.5	38.9	42.4			
3109	55.0	52.4						
3131	27.3	24.9	26.3	24.0				
3140	22.3	20.9	19.0	19.4				
3155	41.3	38.6	39.3	38.2				
3168	22.2	19.2	19.8	19.6				
3186	58.8	56.0	56.6	55.3				
3189	22.2	19.9	19.0	18.5				
3194	52.5	55.1	50.8	51.9				
3215	47.7*	51.5	48.5	49.2				
3221	30.5	26.6	27.6	26.9				
3222	6.5	9.9	7.6	6.9				
3239	42.2	38.2	38.9	38.2				
3253	53.3	49.7	52.6	51.5	50.5	50.4		
3268	5.7	3.2	2.0	3.0				
3271	51.3	48.1	45.8	48.8				
3288	49.2	45.3	47.0	46.9	45.8			
3300	9.5	6.4	5.3	6.5				
3308	15.0	12.0	12.9	14.2	11.9			
3325	25.3	28.3	27.0					
3329	31.6	28.3	30.5					
3330	55.6	52.5	54.0	55.2	54.5	55.4	53.5	
3333	10.3	8.7	7.1	8.5				
3345	42.5	38.9						
3358	61.0	58.6	56.8					
3397	37.5	40.6	39.7	38.5	39.4	37.5	38.5	
3399	30.0	27.5						
3406	23.7	21.1						
3437	35.3	32.8						
3494	48.6	45.6	36.7	37.1				
3532	51.9	52.4	49.3	50.5				
3533	55.2	54.3	50.8					
3539	39.3	38.7	37.6	39.9	40.7			
3542	42.4	39.7	38.5	40.2				
3568	43.6	46.7						
3585	57.9	58.1	59.0	56.7	59.0	60.1		
3634	24.6	24.9	22.2	26.1				
3658	16.5	17.6	18.7	18.4	17.3	17.7	19.7	
3670	18.9	22.2	21.0	22.2				
3683	53.8	56.1	52.4	54.8				
3698	13.4	11.2	8.4	7.3				
3737	46.6	43.2	44.4	44.7				
3744	5.7	4.2	3.8	2.1				
3766	41.7	37.2	37.7	36.4				
3805	38.3	35.2	36.3					
3888	49.5	47.0						
3895	13.8	16.7						
3903	4.7	2.2						
3926	16.4	12.7	12.7	12.0				
3947	58.0	61.6	59.8	59.7				
3966	26.8	23.3						
4044	55.9	52.9	53.0	51.2				
4080	10.9	12.7	9.3	9.2				
4129	3.8	5.7	5.1	6.8				
4136	38.2	38.2	37.3	35.4	33.8			
4148	31.8	32.1	35.1	35.9				
4164	4.3	2.3	5.8					
4193	54.9	54.7	49.8	49.5				
4224	32.0	28.6						
4230	25.4	29.6						
4336	37.6	40.3	42.0	41.3				
4371	50.8	53.3						
4410	14.2	16.5	17.6	15.9				
4417	55.8	53.2						
4434	26.9	24.4						
4471	10.2	13.4	13.5	12.5				
4478	19.3	22.8	23.0	20.7				
4480	15.5	12.4	14.0	12.9	13.0	12.4		
4495	59.7	56.7	58.8	60.0				
4512	44.5	46.9	38.8	39.4				
4518	49.7	44.2	44.0					
4572	42.1	45.8	46.6					
4618	46.0	49.2	45.5	46.8				
4739	49.9:	52.5						
4757	27.2	24.3	26.0	27.2	23.8	28.7	26.4	24.6
4782	29.7	30.4*	26.3	25.7				
4788	54.7	54.2*	59.0	58.9				
4809	38.8	39.4*	41.4	42.6	43.3	43.9		
4821	42.3	41.8*	39.1	39.6				
4846	45.2*	42.5	40.0	39.8				
4853	54.1*	51.9	41.1	40.8				
4861	37.7*	36.5	36.1	34.5				
4877	32.8*	28.7	30.1	29.6				
4878	13.4*	10.9	10.5	10.0				
4884	55.5	58.2*	55.2	55.5				
4891	45.1*	41.9	42.2	42.0				
4907	9.8*	6.8	9.2	9.7				
4912	5.1*	1.9	2.7	2.8				
4934	45.8*	45.4	44.1	41.9				
4938	50.6*	47.6	48.6	48.2				
4964	16.3	17.5*	12.1	12.6				
5000	26.5*	24.4	24.4	23.4				
5003	59.4	58.9	52.9	52.6	53.3	52.5		
5006	4.0*	1.1	0.1					
5017	29.1*	26.1	24.0	25.5	25.8	25.4		
5019	1.1	2.0	4.0	0.2				

Nr.	Decl. 1875.0						
	″	″	″	″	″	″	″
5055	24.4	23.4*	25.8	27.1	26.4		
5056	25.2	26.2	23.0	23.0			
5062	28.4	31.4	31.6	30.5			
5085	1.9	4.4					
5099	5.1	3.1	2.1				
5105	55.4	56.7	52.8				
5132	28.8	28.6	31.5	31.7			
5137	15.5	15.5	7.4	7.5			
5150	49.7	51.8	46.9	46.8			
5157	24.7	22.9	21.0				
5160	18.9	21.8	19.7	18.4			
5165	35.8	33.6*	32.0	32.5	32.8		
5167	44.8	42.5*	44.1	45.3	45.8		
5173	29.2	26.6					
5197	58.8	56.4*	53.1	53.5	54.2		
5204	41.1	41.8	38.5	39.7	40.6		
5218	31.8	33.0	29.5				
5221	56.6	57.4	53.2				
5227	48.3	46.8*	44.6	47.0	46.3		
5273	57.5	58.0	54.4	56.1			
5287	59.5	62.9	60.6	61.7	61.4		
5289	62.1	59.7*	55.9	56.2	57.6		
5302	44.1	44.1	43.6	46.6	43.3		
5304	39.6	38.4	37.6	41.3			
5309	24.6	21.3*	25.9	23.7	22.4		
5311	43.8	41.2	40.5	45.4			
5314	48.5	46.0	46.5	50.2			
5329	2.5	5.6	3.0	2.1			
5332	44.4	47.6	45.7	46.2			
5416	33.0	35.6					
5420	50.0	54.8	49.5	51.4			
5434	53.6	58.1	59.0				
5482	18.8	15.7	17.8	16.5			
5498	37.9	41.1	37.3	39.0			
5511	48.4	50.9					
5515	60.0	59.2	58.9	56.6			
5547	39.1	42.4	37.5	39.1			
5551	43.9	46.7					
5552	27.9::*	24.4					
5565	30.9	27.9	28.7	30.0			
5628	25.5	26.4	22.3	24.1			
5631	9.9	11.8	10.8	12.5	8.9		
5633	12.5	11.4	10.0	10.2	14.8	13.4	11.1
5641	40.9	37.9	40.9				
5672	40.5	44.7	40.8	39.9	40.5		
5700	25.1	19.6					
5751	34.6	39.1	37.0				
5773	19.9	22.9	22.9				
5817	14.9	18.3	15.4	14.0			
5823	56.3	53.5	50.2	49.9			
5911	44.5	47.1	47.9				
5918	47.0	43.9*					
5955	48.8	47.4*	44.9				
5983	38.6	37.1*	40.6*	38.3	40.0		
5986	31.0	29.5*	31.6	32.0	32.8		
6024	58.0*	59.8*	61.8	59.9	60.7	60.6	
6048	30.0*	28.6	28.4	26.8	27.5	27.7	

Nr.	Decl. 1875.0							
	″	″	″	″	″	″	″	″
6078	44.0*	46.1*	46.5	47.0				
6104	49.8*	52.9*	52.7	53.6				
6119	48.8*	53.2*	51.6	51.8				
6147	53.7*	50.3	52.8	53.2				
6176	2.5*	6.1*	4.0	4.5				
6182	59.5*	62.5*	61.8	62.4				
6189	49.0*	52.1	52.7					
6209	50.8*	53.8*	54.0	52.6				
6218	49.6	46.7	50.3	49.4				
6220	61.7*	58.5	59.6	59.5				
6244	43.1*	40.0	42.6	41.9				
6265	28.9	31.4						
6270	35.5*	32.9	36.0	35.7				
6271	0.6*	1.5*	7.4	5.6				
6298	22.8*	20.1						
6311	42.5	39.5	40.0	39.3				
6319	30.4	37.5	39.4	37.7				
6321	54.1	56.8						
6353	35.7	32.1	33.1					
6394	8.8	5.6	6.5	8.2				
6420	32.4	36.1	35.0	37.9				
6448	38.9*	36.4*	35.0	37.6				
6457	12.5	10.0						
6502	59.5	56.9						
6509	29.3	26.2	28.7	27.3				
6514	44.5	41.9						
6552	41.6	43.3	38.5	37.7	38.8	37.8	37.4	37.3
6586	11.6	9.1						
6634	18.7*	15.1	17.2	16.6				
6640	8.5*	11.6	11.7	10.4				
6668	46.8*	48.1	45.4	44.8				
6680	46.1*	45.0	42.5	41.8				
6716	12.4*	13.6	10.5	9.7				
6762	62.2	59.5	60.5	58.9				
6767	7.7	4.6	6.6	6.7				
6769	32.5	29.0						
6801	13.6	10.6						
6809	52.1	48.7	50.3	49.4				
6838	17.1	14.1	14.9	14.2				
6847	34.7	32.2						
6864	24.0	21.5						
6867	30.0	27.1						
6901	19.6*	19.6	22.6	21.7				
6957	11.5	8.8	10.1	11.5	12.3	11.0		
6961	30.6	31.7	29.4	32.4				
7015	44.3	47.4	45.0	44.8				
7045	46.0	43.2	44.7	42.4	43.7			
7049	49.0	52.3*	50.8	49.5	51.1			
7069	29.9	31.7	33.0	32.6				
7077	0.9	3.5	4.0	3.6				
7205	28.2	26.0	25.2	26.6				
7219	52.4	49.5	48.7	46.5	47.5			
7280	53.4	49.8	51.3					
7282	37.1	33.9	35.9	34.6	35.7			
7299	30.8	29.0	30.6	33.1				
7300	40.7	37.5	38.7	39.6				
7312	30.9	27.3	26.3					

Nr.	Decl. 1875.0					
	″	″	″	″	″	″
7317	49.3	50.2	50.5	52.5		
7323	42.6	39.5	41.3			
7360	36.2	32.8	32.7	33.0	34.5	
7450	33.8	30.2				
7483	3.3	5.8				
7524	31.7	28.4	26.2	27.9		
7540	55.6	58.7	58.9	57.0		
7551	12.4	18.0	17.3			
7570	19.3	17.7	16.1	18.1		
7573	57.2	55.6	54.2	55.5		
7583	35.3	32.3	33.6	32.0		
7609	33.4	30.2	31.1	30.5		
7636	5.8	2.4	3.9	3.6		
7647	45.3	44.2	46.5	47.7		
7664	62.3	59.4				
7679	16.1	19.8	19.0	18.1		
7697	32.7	35.6	36.4	34.7		
7718	20.4	17.8				
7720	47.6	44.8	45.5	45.7	44.4	
7726	60.5	58.4	57.0	58.6		
7747	19.7	17.2				
7764	52.3	52.4	49.5	51.0	52.5	
7858	35.1	32.6				
7870	35.8	32.6	33.8			
7872	57.6	59.1	55.5	55.7	58.6	
7880	44.1	38.1				
7959	6.7	3.7	5.8	5.3		
8005	61.0	57.9	60.7	61.3		
8137	32.0	33.9	30.0			
8155	60.2	56.6	59.2	58.2		
8210	54.5	51.4				
8233	14.3	11.0	14.6	13.8		
8261	62.6	59.4	62.7	61.4		
8270	17.8	14.4	15.5	15.8		
8285	1.9	4.0	0.7	0.4		
8296	56.9	54.3				
8311	26.2	23.5	22.9	24.6		
8387	8.9	5.9	6.9	6.1	7.9	
8404	17.8	17.6	20.8	19.1		
8413	62.3	58.7	59.0	61.1	60.4	
8432	53.4	51.8	50.4			
8451	21.9	19.3				
8463	45.7	49.0				
8510	11.0	10.5	10.9	13.5		
8523	14.4	13.6	11.7			
8525	53.1	52.0	53.1	55.6		
8534	52.2	50.0	53.2	52.8		
8535	43.9	40.8				
8539	45.3	44.7	42.8	45.2	47.2	
8554	52.2	54.7	56.7			
8559	41.5	43.9	45.3	45.0		
8567	59.1	58.3	61.4	60.4		
8572	47.4	48.6	51.0	48.3	46.8	
8579	37.5	40.0				
8621	16.3	18.9				
8641	8.0	3.8	5.5			
8642	6.2	6.8	7.7	4.6	7.2	
8649	50.0	49.6	46.6*	48.4		
8651	13.2	16.1	15.7	17.2		
8673	54.0	52.1*	53.8	55.2	54.3	
8686	8.7	11.5	12.1	12.6		
8701	18.9	15.9*	17.5			
8723	43.9	40.4	41.2	41.4	41.4	40.4
8731	37.3	35.0	34.1	33.7		
8744	31.2	35.0	33.5			
8774	48.6	46.0				
8832	32.7	29.0	30.0	29.5	29.4	
8863	31.1	28.6				
8871	45.6	42.1	43.6	46.3	45.5	
8873	39.0	39.1	36.8	35.5		
8876	10.5	8.0				
8896	41.1	39.4	42.4	41.5		
8945	32.1	31.9	33.4	34.9		
8995	17.7	14.7	16.2	16.4		
9002	34.1	32.8	33.7	35.9		
9013	51.4	49.9	44.5	45.7		
9021	40.8	36.0	36.8	36.7		
9085	29.2	24.8				
9105	30.3	27.5	29.7	31.3		
9138	58.9	55.4	57.1	59.3		
9207	22.6	18.1	21.7			
9213	5.7	3.2				
9353	7.6	4.2	5.6			
9356	19.8	17.2				
9358	15.0	12.3	15.5	14.7		
9379	22.8	20.3				
9416	7.2	3.8	4.7			
9437	19.2	21.9				
9439	20.0	22.5				
9457	12.2	9.5				
9462	3.4	6.3	5.1	3.9	3.2	5.5
9497	60.3	57.1	59.0	59.8		
9509	23.3	21.0	20.2	19.0	21.5	

Die mit * bezeichneten Rectascensionen und Declinationen haben halbes Gewicht erhalten.

Anhang II.

Refractor-Messungen von Begleitern von Catalogsternen und Bemerkungen zu den im Catalog mit * bezeichneten Nummern.

Nr. 128, 129 R. 1895 Jan. 17 $9^m.3$ $9^m.3$ $6''.66$ $64^\circ.98$; schwierige Messung, schlechte Bilder.

» 145 R. 1892 Nov. 5 10^m $58''.43$ $10^\circ.17$

» 193 R. 1892 Nov. 5 11^m $21''.01$ $316^\circ.70$, schwierige Messung.

» 263 R. 1892 Nov. 5 $8^m.5$ $9^m.0$ $52''.21$ $4^\circ.04$

» 284 Dreifacher Stern; R. 1892 Nov. 5 10^m $5''.76$ $316^\circ.59$ und 10^m $8''.88$ $58^\circ.20$.

» 287 R. 1892 Nov. 5 $8^m.5$ $9^m.0$ $6''.74$ $197^\circ.28$

» 368, 369 R. 1892 Nov. 19 ($8^m.6$) 10^m $31''.43$ $189^\circ.22$
1895 Jan. 22 9.2 9.5 31.50 191.00

» 376 R. 1892 Nov. 19 10^m $55''.28$ $98^\circ.24$

» 417 R. 1892 Nov. 19 10^m $73''.97$ $40^\circ.92$

» 424 R. 1892 Nov. 19 $8^m.7$ $102''.27$ $321^\circ.45$

» 426 R. 1892 Nov. 19 $9^m.0$ $8''.77$ $282^\circ.27$

» 444 R. 1895 Jan. 22 $9^m.0$ $9^m.0$ $3''.08$ $72^\circ.51$, nicht scharf zu trennen. Z. 249 nicht doppelt gesehen; Z. 809 seq. registrirt, mit $-0^s.10$ auf die Mitte reducirt; Z. 812 enger dpl.?

» 456 R. 1892 Nov. 19 10^m $7''.97$ $98^\circ.83$

» 458 R. 1892 $8^m.0$ $14''.77$ $77^\circ.42$. Am Mer.-Kr. Begleiter geschätzt 8.7 8.6; BD gibt nur einen Stern $6^m.8$ an.

» 468 R. 1892 Nov. 17: sehr matt, Durchmesser etwa $30''$; 1895 Feb. 10: kein Nebel zu sehen; 1895 Feb. 15: äusserst schwacher Nebel von $2'$—$3'$ Durchmesser. Beob. ganz unsicher im dunkeln Felde mit kurz aufblitzenden Fäden.

» 513 Z. 62 und 248 dpl.?; R. 1892 Nov. 24 kein Begleiter zu sehen.

» 529 R. 1892 Nov. 24 $9^m.0$ $9^m.1$ $29''.18$ $45^\circ.36$

» 558, 559 Mitte: $1^h45^m24^s.20$ $+10^\circ11'30''.9$ 1870.3 Z. 53 67 332

» 578, 579 R. 1895 Feb. 15 $9^m.0$ $11^m.0$ $27''.47$ $309^\circ.74$; schwächste Fädenbeleuchtung, ganz unsicher.

» 584 R. 1895 Jan. 22 $9^m.3$ $10^m.5$ $18''.33$ $257^\circ.29$, ganz unsichere Messung bei schwächster Feldbeleuchtung. Z. 137 schwacher Com.; Z. 749 »nicht dpl.«; Z. 803 $10^m.5$ $15''$ 270°; Z. 809 auch im dunkeln Felde kein Begleiter sichtbar.

» 609 R. 1892 Nov. 24 $8^m.0$ $9^m.0$ $31''.52$ $133^\circ.37$

» 623 Z. 62 feiner dpl.?; R. 1892 Nov. 24: vielleicht dpl., nicht zu trennen; 1892 Dec. 21 kein Begleiter zu sehen.

» 627 R. 1895 Jan. 22 $11^m.5$ $30''$ 150°, Com. im dunkeln Felde eben noch sichtbar, nicht zu messen; Z. 803 11^m $30''$ 150°; Com. auch in Z. 809 gesehen.

» 629 R. 1892 Nov. 24 $8^m.5$ 11^m $5''.29$ $185^\circ.45$. Nur in Z. 137 Begleiter bemerkt und 9.3 geschätzt.

» 644 R. 1893 Dec. 6 $8^m.0$ $8^m.1$ $5''.69$ $243^\circ.09$. Z. 76 und 340 seq. beobachtet und mit $-0^s.17$ $-1''.2$ auf med. reducirt.

» 646, 647 R. 1895 Jan. 22 $9^m.0$ $9^m.6$ $39''.81$ $320^\circ.25$

» 672 Z. 340 in 0^s länglich, dpl.?; R. 1892 Dec. 21 kein Begleiter zu sehen.

» 690 R. 1895 März 4 $8^m.7$ $9^m.0$ $34''.51$ $260^\circ.00$

» 695 R. 1893 Dec. 22 $8^m.5$ $2''.71$ $69^\circ.35$. Nur Z. 269 dpl.?, sonst nicht getrennt gesehen.

» 706 Z. 340 $9^m.7$ $17''$ 355°; R. 1893 Dec. 6 kein Begleiter gesehen.

» 767 R. 1895 März 5 $9^m.4$ $9^m.4$ $3''.48$ $57^\circ.02$; nur Z. 748 die Bemerkung: enger dpl., PW. 70°.

» 768, 769 R. 1895 März 8 $7^m.5$ $9^m.5$ $6''.71$ $72^\circ.18$

» 773 R. 1892 Nov. 26 $2^h32^m27^s.47$ $+10^\circ\ 7'50''.6$, Anschluss an Nr. 791.

» 779 Der Buchstabe K in BD gehört zu $12^\circ373$, nicht zu $12^\circ372$.

» 781, 782 R. 1895 März 8 $9^m.2$ $9^m.5$ $22''.55$ $311^\circ.84$

» 784 R. 1893 Dec. 22 $9^m.0$ $9^m.2$ $3''.52$ $215^\circ.34$. Nur Z. 270 der Vermerk $2''$ 230°?

» 827, 828 R. 1895 März 7 $8^m.9$ $9^m.0$ $30''.64$ $0^\circ.52$

» 850, 851 Mitte: $2^h46^m\ 7^s.42$ $+10^\circ\ 9'19''.3$ 1870.7 Z. 1 269 270 326. R. 1893 Dec. 22 $9^m.0$ $9^m.1$ $6''.83$ $109^\circ.41$.

» 853, 854 R. 1895 März 9 $9^m.3$ $10^m.5$ $10''.16$ $347^\circ.78$; helle Fäden, ganz unsicher.

» 881, 882 R. 1893 Dec. 22 $9^m.5$ $24''.25$ $89^\circ.53$

» 891, 892 Z. 76 $8^m.7$ $8^m.8$ $2^h53^m27^s.09$ $+14^\circ\ 1'58''.0$ α med., δ bor.; $5''$ 170°
» 267 $8^m.5$ 2 53. 27.17 14 1 54.5 dpl. ($3''$ 150°)?

» 902 R. 1893 Dec. 22 $8^m.6$ $20''.04$ $200^\circ.64$; Com. in Z. 269 326 geschätzt 8.7 8.9. BD $10^\circ402$ zu lesen $2^h53^m56^s.8$ statt 52^m.

» 1035 R. 1895 März 8 $7^m.5$ $9^m.5$ $18''.27$ $248^\circ.51$

» 1112 R. 1893 Dec. 22 $10^m.5$ $12''.33$ $194^\circ.53$; Z. 61 78 Com. geschätzt 9.3 9.2.

» 1207 R. 1893 Dec. 22 9^m $3''.95$ $222^\circ.76$; sehr verwaschen.

» 1255 R. 1895 April 1 $4^h11^m53^s.70$ $+13^\circ53'20''.4$, Anschluss an Nr. 1261, mit Berücksichtigung der EB. des Vergleichsterns.

Nr. 1261 R. 1895 April 1 $4^h12^m42^s.19$ $+13°58'31''.7$, Anschluss an Nr. 1255. Der Stern hat wahrscheinlich grössere E.B.:

$4^h12^m41^s.84$	$+13°58'49''.4$	1822.96	Weisse 4^h218	$+0''.004$ $-0''.27$
41.95	35.6	1869.72	Leipzig M.Kr.	
42.04	35.5	$18^{70.46}_{72.97}$	Glasgow 1031	
42.19	31.7	1895.25	Leipzig Refr.	

» 1376 R. 1893 Jan. 29 10^m $15''.28$ $62°.86$; Com. in beiden Zonen $9^m.3$ geschätzt.

» 1387 R. 1893 Jan. 23 $4^h42^m0^s.83$ $+10°9'44''.3$, Anschluss an Nr. 1386.

» 1434 R. 1893 Jan. 29 $9^m.0$ $9^m.5$ $4''.02$ $234°.29$; ausserdem Z. 142: $8^m.8$ dpl.? $4^h51^m15^s.40$ $+13°45'36''.9$ 1869.9.

» 1439, 1441 R. 1893 Jan. 29 $7^m.0$ $9^m.0$ $54''.41$ $88°.00$. Nr. 1441 ist wahrscheinlich identisch mit 14° 797 und BD -10^s zu corrigiren; die angegebene RA. gründet sich nur auf einmalige Beobachtung, bei welcher wohl ein Zähl- oder Schreibfehler vorgekommen ist. In der BD-Position findet sich kein Stern am Himmel.

» 1447 R. 1893 Jan. 29 10^m $24''.66$ $240°.19$. Z. 86 303 334 Com. geschätzt 9.5 9.3 9.1.

» 1475 R. 1893 Dec. 22 $9^m.2$ $9^m.5$ $4''.59$ $82°.25$

» 1525 R. 1895 April 10 $9^m.0$ $5^h2^m1^s.33$ $+12°48'3''.6$, Anschluss an Nr. 1526.

» 1661 R. 1893 Dec. 22 $9^m.0$ $9^m.5$ $7''.07$ $248°.11$

» 1725 R. 1895 April 17 $9^m.0$ $9^m.4$ $30''.49$ $158°.76$

» 1750 Z. 157 $9^m.5$ $5''$ $230°$; R. 1893 Dec. 22 kein Begleiter gesehen.

» 1795 R. 1895 April 17 $7^m.5$ $9^m.8$ $20''.43$ $213°.89$; dieser Begleiter in Z. 57 und 70 notirt. In Z. 754 nur der Vermerk »sehr enger Duplex«; am Refractor ist aber kein näherer Begleiter zu sehen gewesen.

» 1800 R. 1893 Dec. 22 $9^m.0$ $41''.78$ $310°.37$

» 1841 Z. 70 $9^m.0$ $35''$ $0°$; R. 1893 Dec. 22 kein Begleiter gesehen.

» 1845 R. 1893 Dec. 22 $9^m.1$ $35''.39$ $357°.25$

» 1870 Z. 441 $10^m.0$ $2''$ $180°$; R. 1895 April 17 kein Begleiter gesehen.

» 1885, 1886 R. 1893 Dec. 30 — $8^m.5$ $6''.26$ $343°.70$
1895 Apr. 16 $7^m.5$ 9.0 7.07 335.71
1895 Apr. 19 7.5 9.0 7.03 339.96
Wegen der EB. von Nr. 1885 sind die relativen Coordinaten rasch veränderlich.

» 1896 R. 1893 Dec. 30 $9^m.3$ $21''.94$ $13°.83$, Sterne sehr schwach.

» 1899 R. 1895 Apr. 16 $5^h49^m54^s$ $+12°21'8''.7$ Anschluss an Nr. 1905.

» 1970 R. 1895 März 30 $5^h56^m33^s.82$ $+14°21'21''.2$ Anschluss an Nr. 1963.

» 1993 R. 1893 Dec. 30 $9^m.0$ $37''.29$ $187°.12$. Z. 280 306 Com. geschätzt 8.2 8.5.

» 2006, 2007 R. 1895 April 10 $8^m.0$ $9^m.0$ $22''.79$ $250°.04$, unsicher wegen sehr verwaschener und unruhiger Bilder. Nach Z. 57 70 Com. 8.5 8.2 und blau.

» 2022 Z. 57 wahrscheinlich länglich; R. 1893 Dec. 30 nicht mit Sicherheit wahrzunehmen ob länglich.

» 2035 Vierfacher Stern; R. 1893 Dec. 30: $8^m.5$ $2''.71$ $108°.04$, $9^m.0$ $28''.38$ $120°.34$, $9^m.2$ praec. $0^s.2$ $45''$A. Ausserdem folgt ein Stern 10^m $5^s35''$ südl. — Der Catalogort bezieht sich auf die Mitte der beiden engsten Componenten; Z. 283 und 300 praec. beobachtet und mit $+0^s.18$ $-0''.9$ auf die Mitte reducirt. Der Stern gehört mit Nr. 2028, 2029, 2030, 2032 einem Sternhaufen an.

» 2040 R. 1894 Jan. 13 $8^m.5$ $8^m.7$ $28''.19$ $352°.81$

» 2070 Z. 299 δ unsicher, vielleicht $1''$ nördlicher.

» 2089 R. 1893 März 12 $6^h5^m54^s.59$ $+14°20'34''.6$, Anschluss an Nr. 2103.

» 2095 Der Stern hat stärkere E.B.:

$6^h6^m15^s.99$	$+10°40'25''.6$	1797.01	Lalande 11803-4	$+0^s.005$ $-0''.32$
16.34	40 2.2	1869.15	Leipzig M.Kr.	
16.50	39 55.0	1893.10	Leipzig Refr.	

» 2112 R. 1894 Jan. 13 $8^m.0$ $8^m.1$ $6''.10$ $262°.10$

» 2126 R. 1894 Jan. 13 $8^m.3$ $8^m.5$ $5''.63$ $57°.55$; Com. orange.

» 2178 R. 1894 Jan. 13 12^m $10''$ $265°$; Com. in Z. 84 und 299 beidemal 9.2 geschätzt.

» 2197 R. 1894 Jan. 21 $6^h15^m1^s.09$ $+11°1'38''.1$, Anschluss an Nr. 2219.

» 2197, 2198 Mitte: $6^h15^m1^s.18$ $+11°1'39''.2$ Z. 58

» 2235 R. 1894 Jan. 13 $10^m.5$ $20''.40$ $249°.39$; Com. in Z. 79 273 302 geschätzt 9.5 9.0 9.3.

» 2252 Hellster eines grossen Sternhaufens.

» 2277 Z. 283 $9^m.5$ $10''$ $280°$; Z. 308 $9^m.0$ $5''$ $280°$; R. 1894 Jan. 13 kein Begleiter gesehen.

» 2321 Z. 304 $9^m.2$ $1''.5$ $120°$; R. 1894 Jan. 13 kein Begleiter gesehen.

» 2350 Z. 309 dpl. $1''$ $320°$?; R. 1894 Jan. 13 $8^m.0$ $8^m.1$ $2''.38$ $332°.21$.

» 2389 R. 1894 Jan. 13 $10^m.0$ $11''.23$ $22°.19$; Com. in beiden Zonen 9.2 geschätzt.

» 2405 Z. 79 fehlt die Grössenschätzung, Z. 159 gibt 5.0. Unter diesen Umständen ist im Catalog die mit BD gut stimmende Grösse nach Z. 4 angesetzt.

» 2462 R. 1893 März 4 10^m $175°$ (geschätzt), $\Delta\delta = 11''.4$.

» 2488 R. 1894 Jan. 13 $8^m.7$ $10^m.5$ $5''.86$ $349°.54$

» 2575 R. 1894 Jan. 13 $8^m.5$ $6''.10$ $160°.89$

» 2720 Z. 299 $9^m.7$ $22''$ $60°$; R. 1894 Jan. 25 12^m $25''$ $58°$, nicht gut messbar.

» 2788 Z. 163 $10^m.0$ $10''$ $240°$; R. 1893 März 27 kein Begleiter gesehen.

» 2829 R. 1895 Apr. 25 $7^h11^m39^s.34$ $+10°55'10''.4$, Anschluss an Nr. 2839.

Nr. 2842 R. 1893 März 27 9^m5 10^m0 4^s15 350°95. Z. 152 kein Vermerk wegen Duplicität, Z. 279 »duplex?«; demnach ist in beiden Fällen unzweifelhaft die Mitte beobachtet worden.

» 2885, 2886 R. 1893 März 27 9^m0 19^s93 326°38; Com. in Z. 74 93 geschätzt 8.3 8.9.

» 2911 R. 1893 März 27 10^m0 11^s36 197°71; Com. in den Zonen geschätzt 9.3 9.3 9.3 8.5.

» 2912, 2913 Mitte: 8^m9 8^m9 $7^h19^m6^s22$ +15° 5′$13''5$ Z. 162

» 2939 R. 1895 Mai 2 8^m5 8^m7 4^s76 339°79

» 2947 R. 1893 März 27 9^m5 7^s30 47°45

» 2984 R. 1895 Mai 2 8^m0 8^m8 2^s11 107°16

» 3013 R. 1893 März 25 10^m5 $+0^s47$ $-3''0$

» 3046 R. 1895 Mai 6 9^m0 9^m0 1^s34 174°31; nur in Z. 453 getrennt gesehen.

» 3177 R. 1893 März 27 10^m0 9^s11 327°28; Com. in Z. 279 geschätzt 9.0, in Z. 152 »duplex?« notirt.

» 3229 R. 1895 Mai 1 $7^h56^m39^s41$ +11° 50′ $0''3$, Anschluss an Nr. 3225.

» 3307 R. 1893 März 28 11^m5 $15''$ 354°, zu schwach zum Messen; Com. in Z. 314 geschätzt 9.5, in den beiden anderen Zonen nichts von einem Begleiter angegeben.

» 3322 R. 1893 März 28 10^m 6^s33 180°17; Z. 11 311 429 453 Com. 9.3 9.2 9.2 9.0 geschätzt, Z. 429 als grün bezeichnet.

» 3464 R. 1893 März 28 9^m5 10^s62 116°49

» 3507 R. 1893 März 28 9^m5 10^m0 14^s71 27°14; in den Zonen 9.4 und 9.1 geschätzt.

» 3518 R. 1893 März 28 10^m5 5^s76 312°28, schwierige Messung.

» 3537, 3538 R. 1893 März 28 8^m0 8^m1 12^s67 353°92
1895 Mai 6 8.0 8.1 12.94 352.86

» 3562 Etwa 100 Sterne zu sehen, 20 Sterne 9^m—10^m; BD gibt an neb.

» 3615 R. 1893 März 28 11^m $25''$ 128°, zu schwach zum Messen; Com. in Z. 156 geschätzt 9.8.

» 3689 R. 1893 April 5 9^m5 10^m0 9^s95 92°46; Com. in Z. 23 95 geschätzt 9.5 9.3.

» 3698 EB. in $\delta = -0''26$:

$9^h9^m14^s70$	+14° 39′ $27''6$	1823.20	Weisse 9^h 154
14.77	18.5	1838.—	Rümker 2802
14.57	14.3	1862.20	Schjellerup 3403-4
14.82	12.3	1869.65	Leipzig
14.81	7.8	1890.08	Leipzig

» 3771, 3772 R. 1893 April 5 8^m0 8^m0 14^s34 63°07
1895 Mai 13 7.5 7.5 14.48 63.78

» 3917 R. 1893 April 7 $9^h53^m30^s70$ +12°42′$52''9$, Anschluss an Nr. 3923.

» 3981 Z. 13 dpl.? (3″ 240°); R. 1893 April 5 kein Begleiter gesehen.

» 4038 R. 1893 April 5 10^m5 15^s48 246°99, schwierige Messung; Com. in Z. 101 103 geschätzt 9.5 9.4.

» 4055 Z. 99 länglich in PW. 170°?; R. 1893 April 5 kein Begleiter gesehen.

» 4096 Runder schwacher Nebel von 40″ Durchmesser.

» 4109 Nebel von 2′ Durchmesser mit heller Verdichtung.

» 4110 R. 1895 Mai 28 8^m5 seq. 1^s7 30″B.; von diesem Begleiter sind 2 Zonenbeobachtungen vorhanden, bei denen die Declination aber nur auf Schätzung beruht:

Z. 91	9^m0	$10^h40^m24^s85$	+13° 41′ 42″	1869.2
» 99	9.0	24.92	49	1869.3

» 4117 R. 1895 Mai 28 9^m0 9^m0 36^s80 231°14

» 4126, 4127 R. 1895 Mai 28 8^m8 8^m8 17^s66 93°43

» 4163 R. 1893 April 5 10^m0 19^s20 353°08; Begl. in den Zonen 9.5 9.3 geschätzt.

» 4177 R. 1893 April 5 9^m5 11^s52 268°37

» 4193 Der Stern hat stärkere EB. Dieselbe wird bestätigt durch die Refractorbeobachtung 1895 Mai 21 $10^h59^m55^s49$ +14°56′$45''7$, Anschluss an Nr. 4183.

» 4200 R. 1893 April 5 9^m2 7^s54 287°28. In Z. 9 für RA. praec. beobachtet, mit $+0^s24$ auf die Mitte reducirt.

» 4260 Schwacher verwaschener Nebel. Ein Stern 10^m0 geht 4^s 2′ südl. voran.

» 4266 R. 1893 April 10 11^m5 20″ 215°, zu schwach zum Messen; Begleiter nur in Z. 98 notirt und dort 9.8 geschätzt.

» 4270 Schwacher Nebel, in PW. 150° etwa 1′ lang.

» 4291 R. 1893 April 7 $11^h19^m53^s19$ +10° 3′$21''4$, Anschluss an Nr. 4295.

» 4343 Auf diesen Stern soll nach dem BD-Verzeichniss ein Stern »S«, 12°2354 9^m5, 2^s8 $2'2$ südl. folgen. An diesem Ort ist am Himmel kein Stern vorhanden und auch in den Durchmusterungszonen nichts beobachtet. Die Eintragung ist durch Uebersehen des von Struve bereits in der Einleitung zu den Pos. med., p. CI berichtigten Fehlers von 10′ in der Declination von Pos. med. Nr. 1333 und den fernern Zufall verursacht, dass, als der vermeintlich Struve'sche Stern wegen seines Fehlens in den Zonen am 14. Mai 1886 am Heliometer nachgesehen wurde, für einen Stern schw. 9-10^m die Coordinaten $11^h29^m12^s$ +12°$56'5$ f. 1855 gefunden wurden, hierbei aber offenbar wieder ein Ablesefehler von 10′ vorgekommen ist.

» 4344 Diess ist der Struve'sche Stern Pos. med. 1333, und in BD bei 13°2435 das Zeichen S zuzusetzen. Die Struve'sche Berichtigung Intr. p. CI wegen des Ablesungsfehlers von 10′ ist aber noch nicht vollständig, sondern noch a. a. O., sowie im Specialcatalog p. 182 und im Generalcatalog bei Nr. 1333, die Rectascension -2^s zu corrigiren; Nachrechnung aus Obs. Dorp. Vol. VIII gibt aus der einzigen Beobachtung 1831 April 27 mit der dort aufgeführten vorläufigen Uhrcorrection RA. 1830.0 = $11^h27^m52^s44$ statt 54^s51 der Pos. med.

» 4442 Z. 107 feiner Begleiter? $5''$ 230°; R. 1893 April 10 kein Begleiter gesehen.

Nr. 4445 Z. 111 kein Vermerk wegen Farbe; Z. 168 roth; R. 1893 April 10 ziemlich weiss, etwas gelblich.

» 4521, 4523 In BD fehlt der Buchstabe S.

R. 1893 April 14 — $9^m.0$ $26''.37$ $64^\circ.86$
1895 Mai 28 $8^m.7$ 8.7 26.34 64.59

» 4572 Nebel von etwa 1' Durchmesser, ziemlich hell.

» 4577 Möglicherweise Kern vorhanden; schwächer als $13^\circ 2531$.

» 4609 R. 1893 April 14 $9^m.1$ $21''.48$ $85^\circ.29$

» 4618 R. 1894 Mai 6 $8^m.9$ $9^m.0$ $2''.75$ $238^\circ.20$; in Z. 768 und 770 praec. beobachtet und mit $+0^s.16$ $-1''.5$ auf med. reducirt.

» 4636 R. 1894 Mai 6 $9^m.2$ $10^m.5$ $8''.07$ $324^\circ.64$

» 4640 R. 1894 Mai 6 $8^m.5$ $9^m.7$ $7''.80$ $189^\circ.42$

» 4721 R. 1893 April 14 $9^m.0$ $29''.18$ $207^\circ.52$, Hauptstern weiss, Begleiter bläulich; am Mer.-Kreis der Hauptstern beidemal roth geschätzt, Begleiter in Z. 20 sehr blau, in Z. 29 sehr grün angegeben.

» 4726 Z. 35 $9^m.8$ $20''$ 190°; am Refr. 1893 April 14 und 17 kein Begleiter gesehen.

» 4739 R. 1893 April 12 $12^h54^m9^s.36$ $+10^\circ 49' 51''.4$, Anschluss an Nr. 4744.

» 4740 R. 1893 April 14 $9^m.2$ $27''.04$ $187^\circ.39$

» 4751 R. 1893 April 14 $9^m.5$ $2''.91$ $262^\circ.19$. Nur Z. 27 dpl.?

» 4756, 4757 R. 1894 Mai 6 $9^m.0$ $9^m.1$ $9''.08$ $151^\circ.54$

» 4807 Z. 100 feiner Begleiter? $9^m.5$ $5''$ 220°; R. 1893 April 17 kein Begleiter gesehen.

» 4851 R. 1894 Mai 9 $8^m.0$ $10^m.5$ $27''.14$ $250^\circ.05$

» 4973 R. 1894 Mai 9 $10^m.0$ $21''.17$ $158^\circ.96$

» 5070 Die Position ist durch eine spätere Schätzung der relativen Lage gegen $11^\circ 2660$ am Refractor controlirt worden.

» 5097 R. 1894 Mai 9 $9^m.5$ $4''.89$ $200^\circ.78$

» 5102 R. 1894 Mai 15 12^m praec. 3^s $5''$A., nicht messbar; dieser Begleiter in Z. 776 geschätzt 10.0.

» 5103 R. 1893 April 24 $7^m.4$ $7^m.5$ $9''.12$ $335^\circ.43$; Begleiter Z. 32 43 geschätzt 8.1 8.3.

» 5130 In Z. 34 für die Grösse in unzweideutiger Weise $5^m.0$ notirt; vorläufig für einen Schreibfehler angesehen.

» 5155 R. 1893 April 24 $9^m.0$ $9^m.5$ $14''.04$ $174^\circ.27$

» 5161 R. 1893 April 24 $9^m.0$ $10^m.0$ $26''.41$ $357^\circ.98$

» 5183 Z. 375 länglich, gelb; Z. 378 länglich in 210°; R. 1894 Mai 15 $9^m.0$ $9^m.2$ $0''.5$ $26^\circ.22$, Distanz geschätzt, nicht messbar.

» 5229 R. 1893 April 24 $8^m.0$ $9^m.5$ $8''.00$ $227^\circ.93$

» 5320 In Z. 41 175 geschätzt 8.0 8.0, BD gibt an 6.5, R. 1893 April 25 ebenfalls 6.5.

» 5341 Z. 182 $8^m.8$ $2''$ 10°; R. 1897 Aug. 11 $9^m.0$ $9^m.5$ $4''.99$ $13^\circ.69$.

» 5358 R. 1893 April 25 $7^m.0$ $8^m.0$ $13''.41$ $171^\circ.63$

» 5374 R. 1893 April 25 $9^m.0$ $9^m.8$ $24''.63$ $352^\circ.09$

» 5387 R. 1893 April 25 $9^m.0$ $10^m.0$ $11''.83$ $96^\circ.64$

» 5458 R. 1893 April 25 $9^m.5$ $15''.58$ $261^\circ.05$

» 5519 R. 1893 April 25 $9^m.0$ $9^m.2$ $15''.35$ $235^\circ.46$

» 5537, 5538 R. 1893 Juni 3 $9^m.0$ $14''.58$ $93^\circ.77$

» 5545 R. 1893 Juni 2 $7^m.5$ $7^m.7$ $2''.95$ $261^\circ.68$

» 5566 R. 1893 Juni 3 $8^m.5$ $8^m.6$ $6''.10$ $327^\circ.38$

» 5567 4^s folgt ein weiter Doppelstern, dessen beide Componenten 1893 Mai 12 am Refractor angeschlossen wurden:

$9^m.5$ $15^h54^m28^s.55$ $+14^\circ 32'$ $3''.0$
10.0 15 54 29.05 +14 32 17.6

» 5570 R. 1893 Juni 3 $9^m.5$ $15''.48$ $312^\circ.12$

» 5642 R. 1893 Juni 3 $9^m.3$ $7''.47$ $147^\circ.57$

» 5649 Z. 187 Mitte beobachtet; Z. 180 kein Vermerk, es ist angenommen, dass diese Beobachtung sich ebenfalls auf die Mitte bezieht, da unter dieser Annahme die beiden Oerter sehr gut stimmen:

Z. 180 $16^h7^m28^s.82$ $+13^\circ 51' 46''.1$
» 187 28.79 46.3

R. 1893 Juni 3 $6^m.0$ $6^m.1$ $4''.05$ $334^\circ.95$.

» 5708 Schwacher Begleiter, am Refractor 1893 Juni 7 angeschlossen: $9^m.7$ $16^h16^m32^s.46$ $+14^\circ 51' 43''.2$.

» 5718 Begleiter, in beiden Zonen $9^m.0$ geschätzt, am Refractor 1893 Juni 7 angeschlossen: $8^m.8$ $16^h18^m9^s.50$ $+13^\circ 10' 27''.1$.

» 5722 Der Ort ist durch Schätzungen am Refractor gesichert.

» 5755 R. 1893 Juni 3 $9^m.5$ $13''.77$ $21^\circ.62$

» 5773, 5774 1894 Juni 23 $9^m.3$ $9^m.6$ $19''.40$ $215^\circ.94$, Sterne sehr schwach, Cirri.

» 5802, 5803 R. 1893 Juni 3 $9^m.2$ $9^m.3$ $24''.89$ $311^\circ.94$

» 5823

$16^h36^m3^s.32$	$+13^\circ 24' 18''.8$	1794.4	Lal. 30400	EB. — $-0^s.29$
3.02	24 1.7	1844	Rümker 5508	
3.03	23 58.8	1858.4	Paris 21007	
3.04	23 54.9	1869.5	Leipzig	
3.05	23 50.0	1890.4	Leipzig	

» 5827, 5828 R. 1894 Juni 23 $8^m.5$ $8^m.7$ $12''.91$ $335^\circ.23$

» 5981 Z. 46 feiner dupl.?; R. 1893 Juni 9 11^m $10''$ 250°, nicht zu messen.

» 6137 R. 1894 Juni 23 $9^m.1$ $9^m.3$ $2''.31$ $53^\circ.72$; am Mer.-Kr. nicht getrennt gesehen, nur Z. 781 »länglich« vermerkt.

Nr.	
Nr. 6138	R. 1893 Juni 9 $9^m.5$ 22″.22 334°.88
» 6159	R. 1894 Juni 23 $10^m.0$ 22″.28 73°.08
» 6169	Wohl veränderlich; BD 7.0, P 7-8, Lal 8, K 7, Berl. Karte 7, Zonen 8.2 8.0, R. 1893 Juni 9 6.0 orange; Z. 195 roth.
» 6250	R. 1893 Juni 9 $8^m.9$ $9^m.5$ 7″.64 184°.75
» 6257	R. 1893 Juni 9 $8^m.3$ 7″.03 105°.05
» 6301	R. 1894 Juni 28 $17^h47^m18^s.45$ +11°56′16″.5, Anschluss an Nr. 6297.
» 6319	$17^h49^m10^s.76$ +10°36′23″.3 1823.6 Weisse 17^h 983 10.47 30.4 1870.4 Leipzig 10.51 38.2 1890.5 Leipzig } EB. — +0″.20
» 6348	BD 6.5; Schätz. 7.7 8.0, R. 1893 Juni 9 6.5 blau.
» 6349	R. 1894 Juni 23 $10^m.3$ 15″.81 80°.66; $10^m.5$ seq. $4^s.5$ 30″B.; $11^m.0$ seq. 6^s 1′.3 B.
» 6426	R. 1893 Juli 3 $9^m.2$ $9^m.3$ 3″.58 307°.98
» 6571	R. 1894 Aug. 24 $9^m.3$ $9^m.5$ 2″.14 142°.66
» 6670	R. 1893 Juni 14 $9^m.5$ 6″.70 7°.76
» 6740	R. 1893 Juni 14 $10^m.0$ 18″.09 197°.91
» 6767, 6768	R. 1894 Aug. 31 $9^m.3$ $10^m.0$ 31″.37 4°.44 1894 Sept. 11 30.78 — 1895 Aug. 18 9.0 9.5 30.97 1.89
» 6768, 6769	R. 1895 Aug. 18 $9^m.5$ $10^m.0$ 8″.87 153°.51
» 6824	R. 1893 Juni 14 $9^m.5$ 27″.66 322°.43
» 6831	R. 1893 Juni 14 $9^m.2$ 32″.26 49°.79
» 6861	R. 1893 Juni 14 $6^m.5$ $7^m.0$ 3″.72 178°.83
» 6871	Sternhaufen von 10′ Durchm.; etwa 30 Sterne.
» 6886, 6887	R. 1894 Sept. 11 $8^m.8$ $10^m.5$ 16″.69 182°.51
» 6891	R. 1894 Sept. 11 $10^m.0$ 2″.46 218°.42
» 6909	R. 1894 Sept. 2 $9^m.7$ seq. $0^s.5$ 2′.4 A.; $9^m.5$ praec. $0^s.7$ 1′.0 B. (11° 3655); $9^m.3$ seq. $2^s.31$ 16″.0 B. (11° 3657), scharfe Messung.
» 6922	R. 1893 Juni 14 $9^m.0$ 38″.76 55°.38
» 6940	Z. 129 $8^m.8$ $18^h52^m50^s.39$ +12°31′27″.3 $9^m.3$ 4″ 240° » 199 8.7 50.28 26.9 9.0 4″ 240°. Diese Oerter beziehen sich unzweideutig auf den Hauptstern. Ausserdem finden sich noch die beiden Bestimmungen: Z. 134 $8^m.6$ $18^h52^m50^s.36$ +12°31′26″.7 » 208 8.7 50.28 27.0 duplex? Es ist angenommen worden, dass diese sich auf die Mitte beziehen. Dieselben sind mit den am Refractor 1893 Juni 14 bestimmten relativen Coordinaten: $9^m.0$ 4″.42 229°.88 auf den Hauptstern reducirt worden.
» 6941	R. 1893 Juli 4 $9^m.5$ 16″.86 318°.44
» 6944	R. 1893 Juli 4 $9^m.5$ 16″.44 261°.92
» 6981	R. 1893 Juli 4 $10^m.0$ 14″.71 88°.47
» 7001	Naher Begleiter, in den Zonen geschätzt 9.1 9.0 9.2, am Refractor 1893 Juni 22 angeschlossen: $18^h57^m36^s.34$ +14°59′9″.0.
» 7008	R. 1893 Juli 4 $9^m.5$ 5″.53 157°.96. Nur Z. 126 bemerkt »duplex«?
» 7011	R. 1893 Juli 4 $8^m.8$ $9^m.0$ 6″.63 310°.74. — Z. 214 $8^m.7$ $8^m.8$ $18^h58^m22^s.02$ +14°36′0″.7 Mitte beobachtet.
» 7097	R. 1893 Juli 5 11^m 20″ 220°, zu schwach zum Messen; Com. Z. 287 288 geschätzt 9.7 9.5.
» 7125	R. 1893 Oct. 5 $19^h8^m51^s.48$ +14°43′2″.3, Anschluss an Nr. 7115.
» 7139	R. 1893 Juli 4 $9^m.5$ 8″.78 349°.08
» 7209	R. 1894 Oct. 7 $11^m.0$ praec. 9^s in par. In Z. 782 783 793 der Begleiter geschätzt 9.5 9.2 9.2.
» 7235	R. 1893 Juli 5 $9^m.5$ 13″.84 122°.10
» 7246	R. 1893 Juli 5 $10^m.0$ 22″.81 244°.38
» 7247	R. 1893 Juli 5 $9^m.5$ 10″.52 189°.38
» 7251	R. 1894 Oct. 7 $8^m.5$ $10^m.5$ 19″.30 303°.78
» 7271, 7272	R. 1894 Oct. 7 $9^m.4$ $9^m.5$ 22″.78 162°.73
» 7330	R. 1893 Oct. 9 10^m praec. $1^s.26$ 57″.2 B.
» 7331	R. 1893 Juli 20 $10^m.0$ 27″.84 311°.76; Begleiter in den Zonen 9.1 9.3 geschätzt.
» 7410	R. 1893 Juli 20 11^m 30″ 220°, zu schwach zum Messen.
» 7471	R. 1893 Juli 4 $9^m.5$ 8″.58 302°.86
» 7496, 7497	Mitte: $7^m.0$ $19^h43^m27^s.96$ +14°9′43″.7 1870.7 Z. 226 8.6 27.99 42.7 1871.5 » 290
» 7535	R. 1893 Juli 20 $10^m.0$ 12″.12 236°.98
» 7545	R. 1894 Oct. 11 9^m 2″.65 329°.48. — Nur in Z. 783 findet sich ein Vermerk über den Begleiter ($9^m.1$ 2″ 320°), wahrscheinlich bezieht sich aber auch in den anderen Zonen die Position auf den hellen Hauptstern, der jedenfalls den nahen schwachen Begleiter überstrahlt hat. Die Einzelbeobachtungen sind: $19^h48^m17^s.86$ +14°58′3″.6 Z. 228 17.91 4.9 » 289 17.79 4.0 » 782 17.97 3.9 » 783
» 7590	R. 1894 Sept. 20 $19^h52^m32^s.95$ +12°44′14″.8, Anschluss an Nr. 7592.

Nr. 7600, 7601 R. 1894 Oct. 27 $9^m.2$ $10^m.0$ 37".36 5°.39

» 7605 R. 1894 Sept. 20 $19^h54^m7^s.13$ +10°50'42".5, Anschluss an Nr. 7606.

» 7629, 7630 Mitte: $8^m.2$ $8^m.4$ $19^h55^m28^s.89$ +10°24'14".9 1870.5 Z. 198

» 7650 R. 1893 Sept. 28 $9^m.2$ 28".71 110°.77

» 7651 R. 1894 Sept. 20 $19^h56^m58^s.38$ +14°24'40".8 Anschluss an Nr. 7671
1894 Sept. 20 58.34 45.5 » » » 7672
1896 Aug. 27 — 45.8 » » » 7674

» 7661 R. 1893 Sept. 28 $10^m.0$ 22".04 214°.19

» 7665 R. 1894 Oct. 27 $9^m.2$ $9^m.4$ 6".50 115°.93

» 7669 R. 1893 Sept. 28 $9^m.5$ 25".93 222°.52

» 7704 In Z. 223 ist noch ein Nachbarstern beobachtet: $9^m.0$ $20^h0^m28^s.14$ +13°24'14".4 1870.7. Auf diesen beziehen sich die Vermerke: Z. 782 $10^m.5$ 40" 240°, Z. 783 11^m 70" 240°; 1894 Sept. 20 war er am Refractor nicht sichtbar.

» 7711 R. 1893 Oct. 27 $9^m.5$ 26".74 319°.48

» 7724 R. 1893 Oct. 27 $10^m.0$ 17".56 255°.26

» 7777 R. 1893 Oct. 27 10^m 23".08 261°.71

» 7868 R. 1895 Sept. 21 $9^m.1$ $9^m.6$ 42".87 289°.81; sehr schwach, Dunst.

» 7885 R. 1893 Oct. 23 11^m 17" 0°, schwer messbar; sehr sternreiche Gegend, im Gesichtsfelde von 15' Durchm. etwa 20 Sterne 11. Grösse. Z. 244 ist der Begleiter 9.5 geschätzt.

» 7907 R. 1893 Oct. 20 $20^h19^m9^s.64$ +14°27'0".8, Anschluss an Nr. 7912.

» 7959 Z. 786 und 787 geben ohne Zweifel den Ort des Hauptsterns, Z. 291 fehlt jede Bemerkung wegen eines Begleiters, Z. 233 ist angegeben »duplex? $9^m.3$ 3" 300°«. Nach den Beobachtungen am Refractor muss der Begleiter sehr schwach sein und ist daher wohl die Annahme gerechtfertigt, dass sich alle Beobachtungen auf den Hauptstern beziehen.
R. 1894 Dec. 12 kein Begleiter; 1895 Sept. 21 Begleiter nicht zu erkennen, sicher schwächer als 10^m und sehr nahe; 1895 Sept. 23 $9^m.0$ $10^m.5$ 5".49 281°.39, kaum zu messen.

» 7964 R. 1893 Nov. 7 $9^m.0$ 6".67 169°.93

» 8035 R. 1893 Nov. 1 $20^h31^m16^s.61$ +10°18'20".7, Anschluss an Nr. 8048.

» 8058 R. 1893 Nov. 7 $9^m.2$ 5".66 264°.21. Z. 127 duplex?, Z. 200 $9^m.3$ 5" 270°. Es ist angenommen, dass beide Mal der Hauptstern beobachtet ist.

» 8074, 8075 Mitte: $8^m.9$ $8^m.9$ $20^h34^m54^s.50$ +10°7'56".1 1870.5 Z. 200. — R. 1895 Aug. 28 $9^m.1$ $9^m.1$ 5".39 64°.68.

» 8087 R. 1893 Nov. 7 10^m 12".40 2°.04

» 8096, 8097 R. 1895 Aug. 28 $8^m.2$ $8^m.4$ 8".67 87°.33

» 8163 R. 1893 Nov. 7 $9^m.5$ 9".45 248°.43

» 8209, 8210 R. 1893 Nov. 7 $9^m.0$ 25".44 195°.88

» 8225 R. 1893 Oct. 25 $9^m.5$ $20^h49^m27^s.99$ +13°50'29".3, Anschluss an Nr. 8224.

» 8241 R. 1895 Aug. 28 $8^m.5$ $9^m.0$ 6".00 219°.66

» 8275 R. 1893 Oct. 25 12^m 10" 230°. — Z. 244 dpl.?, Z. 296 Com. $9^m.2$, Z. 229 kein Begleiter notirt.

» 8320 R. 1893 Nov. 7 $9^m.5$ 15".38 280°.03

» 8326 R. 1893 Oct. 25 $9^m.5$ $21^h0^m12^s.42$ +12°41'16".0, Anschluss an Nr. 8328.

» 8375 R. 1893 Nov. 13 11^m 10" 170°; nur Z. 240 »duplex?«.

» 8389 R. 1893 Nov. 21 $9^m.0$ $21^h7^m54^s.72$ +11°9'33".5, Anschluss an Nr. 8380.

» 8390 R. 1893 Nov. 13 $9^m.3$ $9^m.5$ 16".66 356°.12

» 8456 R. 1893 Nov. 13 $9^m.5$ 24".89 21°.73

» 8461 R. 1893 Nov. 13 $10^m.5$ 30" 3°; Com. in Z. 298 321 geschätzt 9.5 9.8.

» 8523 Z. 795 Verdichtung $9^m.5$; R. 1895 Sept. 23 heller Sternhaufen, zum Theil auflösbar, Durchm. 2'.

» 8616, 8617 R. 1895 Sept. 23 $9^m.1$ $9^m.6$ 4".62 223°.23

» 8617 R. 1895 Sept. 23 $21^h33^m55^s.85$ +13°53'13".7, Anschluss an Nr. 8613.

» 8657 R. 1893 Nov. 10 $21^h38^m56^s.71$ +10°43'18".7, Anschluss an Nr. 8660.

» 8731 Z. 586 duplex?; R. 1895 Sept. 25 vielleicht länglich in PW. 40°.

» 8800 R. 1893 Nov. 13 $7^m.0$ $7^m.3$ 2".91 81°.46. Schwierige Messung, Bilder sehr unruhig und verwaschen. Der Catalogort bezieht sich auf den vorangehenden Stern.

» 8938 R. 1893 Dec. 6 $9^m.5$ 12".83 281°.97

» 8967 R. 1893 Dec. 6 $8^m.5$ $8^m.6$ 3".35 284°.29

» 9035 R. 1895 Oct. 7 +10°52'59".1, Anschluss an Nr. 9033.

» 9058 R. 1893 Dec. 6 $9^m.5$ 4".79 148°.49

» 9166 R. 1893 Dec. 6 8^m 0".97 224°.11; Z. 138 dpl.? Wahrscheinlich ist in beiden Zonen die Mitte beobachtet.

» 9207, 9208 R. 1895 Oct. 7 $9^m.8$ $10^m.0$ 28".68 185°.87; schwierig, ganz unsicher.

» 9245 R. 1893 Dec. 15 $7^m.0$ 10^m 33".94 359°.39; Com. in den Zonen geschätzt 9.5 9.0 9.2.

» 9311 Z. 322 dpl.? ($9^m.7$ 2" 250°); R. 1893 Dec. 15 kein Begleiter gesehen.

» 9316 R. 1893 Dec. 15 10^m 7".74 280°.55; Com. Z. 136 251 geschätzt 9.2 9.0.

» 9373 Z. 136 länglich in PW. 60°, dpl.?; R. 1893 Dec. 21 kein Begleiter gesehen.

» 9402 R. 1893 Dec. 22 12^m 20" 340°, Com. sicher nicht heller, Dec. 21 überhaupt kein Begleiter gesehen. Z. 258 10.0 geschätzt; Z. 239 kein Vermerk über Begleiter.

» 9426 R. 1893 Dec. 22 10^m 4".96 95°.72, Dec. 21 nur sehr schwacher Begleiter vermuthet. Z. 141 dpl.?

Nr. 9437	R. 1896 Oct. 5	$9^m.5$	$23^h40^m11^s.91$	$+13°18'20''.2$	Anschluss	an	Nr. 9439
	Nov. 14	—	12.20	19.8	»	»	» 9420
	14	—	12.25	22.3	»	»	» 9429
» 9439	R. 1895 Nov. 14	$9^m.7$	$23^h40^m13^s.46$	$+13°20'21''.8$	Anschluss	an	Nr. 9429
	14	—	—	21.7	»	»	» 9429
	1896 Nov. 14	—	13.35	21.7	»	»	» 9420
	14	—	13.47	24.4	»	»	» 9429

Sämmtliche Angaben beziehen sich auf den Aequator und das Aequinoctium 1875.0; die aus älteren Catalogen entnommenen Zahlen sind ohne weitere Reductionen angesetzt.

Anhang III.

Nicht in den Catalog aufgenommene Beobachtungen.

Die ausserhalb des Programms mitbeobachteten Sterne sind in den Catalog nur soweit aufgenommen worden, als ihre Oerter genügend gesichert erschienen, ohne dass besonderes Gewicht darauf gelegt wurde diese Sicherung durchweg herbeizuführen. In Folge dessen blieb eine Anzahl von vorläufig nicht controlirten Ortsangaben übrig, die nachstehend zusammengestellt sind. Die hierbei vorkommenden Refractorpositionen rühren in der Hauptsache daher, dass der Beobachter bei der Aufklärung von Zweifeln häufig alle an der betreffenden Stelle des Himmels sichtbaren Objecte bestimmt hat.

Ferner blieb bei der Zusammenstellung des Catalogs eine Anzahl von Beobachtungen übrig, die aller Wahrscheinlichkeit nach durch, vorläufig nicht aufgeklärte, Versehen entstellt sind. Auch diese Angaben sind hier mit aufgenommen worden, weil in dem einen oder andern Falle die Zukunft vielleicht eine Richtigstellung herbeiführen könnte.

Für einige Sterne sind die Grössen nicht beobachtet, und eingeklammert diejenigen der B. D. hinzugesetzt.

Endlich ist zu erwähnen, dass auch die nachstehenden Örter dem System des Catalogs angehören.

Nr.	Gr.	A.R. 1875	Decl. 1875	Ep.	Zone	B.D.	Bemerkungen
1	10.0	$0^h\ 34^m\ 57^s.26$	$+14°\ 59'\ 0''.1$	92.8	R	— —	Anschluss an Nr. 165.
2	12	1 3 15.43	+13 43 5	92.9	R	— —	Anschluss an Nr. 325.
3	11	1 3 55.76	+13 43 5	92.9	R	— —	Anschluss an Nr. 325.
4	9.7	1 4 17.22	+14 26 16.5	89.9	747	14° 179	Der stärkere Unterschied der Declinationen wird
	10	17.41	20.5	90.9	808		durch die Schwäche des Objects genügend erklärt.
5	9.5	1 5 43.77	+10 10 17.4	85.9	602	— —	
6	9.5	1 42 42.39	+13 35 9.6	89.9	747	13 282	
7	9.2	2 24 19.43	+11 40 17.6	89.9	746	11 350	
8	(9.5)	4 41 33.54	+10 41 42.1	93.1	R	10 638	Anschluss an Nr. 1385.
9	9.1	5 1 46.09	+13 46 53.8	90.1	756	13 814	
10	9.3	5 30 21.69	+10 57 0.2	90.1	754	— —	
11	9.5	5 31 [15.0]	+12 45 29.0	90.1	756	12 842	
12	(9.5)	5 36 14.58	+14 26 4.6	93.1	R	14 994	Anschluss an Nr. 1767.
13	9.2	5 46 58.22	+10 12 48.7	84.1	441	10 921	
14	—	5 47 17.46	+13 27 46.4	93.1	R	13 1023	Beide angeschlossen an Nr. 1848.
15	—	5 47 20.44	+13 28 4.7	93.1	R		
16	9.5	5 47 44.08	+13 26 38.2	70.2	157	13 1028	
17	(9.5)	5 50 0.40	+13 59 56.8	93.1	R	13 1048	10^m seq. 8^s $0'.6$ B. — Anschluss an Nr. 1885, dessen EB. (jährl. $+0^s.032$ $-0''.50$) in Rechnung gezogen wurde.
18	9.1	5 53 25.35	+10 13 16.8	86.1	612	10 966	
19	9.1	6 0 25.82	+11 29 41.4	69.0	69	11 1029	
	—	25.64	47.4	93.1	R		Anschluss an Nr. 2033.
20	9.4	6 5 5.33	+12 7 33.7	72.1	302	12 1058	Der Unterschied von $10''$ ist nicht aufzuklären.
	—	5.21	23.8	93.1	R		Anschluss an Nr. 2094.
21	9.0	6 17 20.92	+11 32 24.9	72.1	299	— —	
22	(9.2)	6 17 25.76	+11 31 31.5	93.2	R	11 1156	Anschluss an Nr. 2227.
23	10.0	6 18 33.44	+13 17 22.6	94.0	R	13 1239	11^m praec. $2^s.0$ $3'$ B. — Anschluss an Nr. 2255.
24	9.0	6 26 16.50	+10 4 3.0	86.1	613	10 1173	
25	8.7	6 26 18.83	+10 2 47.8	87.1	703	10 1174	
26	8.7	6 27 14.57	+10 1 50.5	86.1	612	10 1182	
27	9.1	6 34 57.80	+10 8 41.0	86.2	624	10 1230	
28	8.4	6 41 25.56	+10 37 24.4	68.1	4	10 1271	Wahrscheinlich $+1'$ zu corr. — BD $9^m.3$.
	—	25.51	38 21.1	93.1	R		Anschluss an Nr. 2502.
29	8.9	6 43 17.21	+10 7 10.5	86.1	616	10 1290	
30	8.9	6 44 33.06	+10 10 42.9	87.2	709	10 1296	
31	9.0	6 46 3.63	+10 10 18.5	87.2	709	— —	

Nr.	Gr.	A.R. 1875	Decl. 1875	Ep.	Zone	B.D.	Bemerkungen
32	8.9?	6^h 47^m $17^s.04$	+14° 17' 40".7	72.1	305	— —	Die naheliegende Vermuthung, dass dieser Stern mit Cat. Nr. 2567 identisch sein könnte, indem andere Fäden anzunehmen wären, ist ausgeschlossen.
33	(9.4)	6 47 17.79	+14 19 46.5	93.2	R	14° 1480	Anschluss an Nr. 2581.
34	9.0?	7 3 4.63	+11 22 20.0	93.2	R	11 1478	Anschluss an Nr. 2748.
35	8.9	7 3 35.60	+12 43 7.5	70.2	164	12 1448	Wahrscheinlich +2' zu corr.
	—	35.55	45 8.0	93.2	R		Anschluss an Nr. 2743.
36	9.0	7 18 11.38	+14 22 32.5	71.2	279	14 1660	Wahrscheinlich +1' zu corr. — BD $9^m.5$.
	—	11.24	23 29.6	93.2	R		Anschluss an Nr. 2911.
37	9.5	7 26 29.19	+12 9 37.7	88.2	740	12 1591	
38	9.7	7 26 31.81	+12 6 7.9	88.2	740	12 1592	
39	9.8	7 53 27.89	+12 2 22.0	88.2	740	12 1739	
40	8.9	7 58 12.58	+11 36 31.7	88.2	740	11 1746	
41	9.4	8 1 36.70	+15 2 19.5	90.1	758	— —	
42	8.7	8 2 19.14	+13 13 50.5	90.1	764	13 1846	
43	9.1	8 34 33.17	+10 12 7.5	84.1	429	— —	
44	9.3	8 38 22.74	+13 42.8	70.1	156	— —	Begleiter zu Cat. Nr. 3526, gesichert durch den Vermerk Z. 18.
45	9.2	8 56 14.76	+11 33 28.5	68.2	7	— —	Vielleicht −10' zu corr., dann eine Beob. von Nr. 46.
46	(9.5)	8 56 15.02	+11 23 26.4	93.2	R	11 1967	Anschluss an Nr. 3641.
47	(9.2)	9 8 17.09	+14 41 4.7	93.3	R	14 2054	Anschluss an Nr. 3698, dessen EB. in Decl. (jährl. −0".25) in Rechnung gezogen wurde.
48	9.6	9 40 48.79	+ 9 58 58.6	84.2	458	10 2053	
49	9.2	9 48 40.01	+10 40 47.4	90.1	760	— —	
50	8.7	9 51 9.23	+ 9 57 28.3	84.2	458	10 2080	
51	9.7	9 53 4.00	+13 6 6.5	90.0	752	— —	
52	9.5	10 22 10.93	+10 6 57.4	84.2	458	10 2156	
53	9.0	10 30 21.28	+10 0 37.9	84.2	458	10 2175	
54	9.3	11 29 49.87	+12 49 22.1	90.2	767	12 2350	
55	9.0	11 33 50.99	+10 12 28.5	69.2	96	10 2321	Wegen eines zu spät entdeckten Fehlers nicht in den Catalog aufgenommen. Anschluss an Nr. 4360.
	9.1	50.78	27.5	93.3	R		
56	10.0	12 3 56.53	+10 8 53.1	84.2	455	10 2384	
57	8.8	13 35 44.11	+10 33 32.9	69.3	104(½)	10 2579	Wahrscheinlich +30" zu corr.
	—	43.74	34 0.5	93.3	R		Anschluss an Nr. 4898.
	—	43.95	34 0.5	96.5	R		Anschluss an Nr. 4898.
	—	43.97	34 0.6	96.5	R		Anschluss an Nr. 4919.
58	9.5	13 35 51.11	+ 9 58 4.2	84.2	457	10 2581	
59	10.0	14 3 23.47	+14 20 46.6	88.4	742	14 2706	Unsicher.
60	8.8	14 6 32.69	+14 23 14.6	88.4	742	14 2712	
61	10.0	14 6 36.15	+14 22 36.4	88.4	742	14 2713	
62	8.9	14 8 29.59	+10 42 31.8	88.4	743	10 2652	In BD fälschlich mit B bezeichnet.
63	9.5	14 24 59.61	+11 17 35.5	88.4	743	11 2686	
64	9.6	14 42 26.59	+11 5 37.4	88.4	743	11 2725	
65	8.9	14 44 52.77	+13 59 13.0	88.4	742	14 2795	
66	8.7	14 51 7.75	+10 58 15.5	88.4	743	11 2745	
67	10.0	14 51 28.95	+15 3 54.1	88.4	742	15 2797	
68	8.9	14 54 16.57	+11 31 21.0	88.4	743	11 2751	
69	9.7	14 54 27.00	+14 25 16.8	88.4	742	14 2817	
70	9.0	14 54 40.42	+11 27 43.6	88.4	743	11 2754	
71	9.2	16 23 21.84	+13 32 44.5	90.4	778	13 3157	
72	9.6	16 55 38.83	+10 0 49.3	84.4	479	10 3122	
73	9.2	17 6 31.08	+12 15 5.4	90.4	777	12 3164	
74	10.0	17 47 20.60	+12 3 17.3	94.5	R	12 3317	11^m seq. 14^s $2^s.4$ A. — Anschluss an Nr. 6297.
75	(9.5)	18 3 43.21	+10 5 3.5	93.4	R	— —	Anschluss an Nr. 6459.
76	9.3	18 3 49.59	+10 3 31.3	68.5	51	10 3408	
77	(9.5)	18 4 7.73	+10 38 32.9	93.5	R	10 3413	Anschluss an Nr. 6455.
78	(9.1)	18 13 49.01	+10 39 9.3	93.4	R	10 3474	Anschluss an Nr. 6536.
79	9.4	18 44 11.41	+12 27 53.9	90.5	789	12 3673	
80	9.5	18 44 24.54	+11 12 19.7	90.6	793	— —	

Nr.	Gr.	A.R. 1875	Decl. 1875	Ep.	Zone	B. D.	Bemerkungen
81	9.5	$18^h\ 44^m\ 26^s.86$	+11° 11′ 1″.9	90.6	793	— —	
82	8.8	18 45 37.08	+10 10 2.8	84.6	511	— —	Gehört zum Sternhaufen *h* 2020 (Nr. 54 in Vogel's Ausmessung).
83	(9.5)	18 52 3.25	+12 31 26.1	93.5	R	12° 3733	Anschluss an Nr. 6940.
84	9.3	18 52 3.72	+12 29 0.3	69.6	134(?)	— —	Ort zweifelhaft, im Orig. Minute der Kreisabl. geändert.
85	11	18 53 22.27	+12 54 20.3	93.8	R	12 3746	Anschluss an Nr. 6962.
86	9.0	18 53 40.75	+12 54 36.5	70.6	208	— —	Begleiter $9^m.2$.
	An diesem Ort im Refractor 1893 Juni 22 kein Object gesehen. Vermuthlich sind die beobachteten Fäden andere als bei der Reduction angenommen (im Beobachtungsbuche fehlt überhaupt eine darauf bezügliche Angabe) und ausserdem ist wahrscheinlich die Kreisablesung um —10′ zu corrigiren. Der richtig gestellte Ort würde dann sein:						
	9.0	18 53 20.87	+12 44 36.1	70.6	208	12 3745	
87	(9.5)	19 6 3.30	+11 59 35.8	93.8	R	11 3765	Anschluss an Nr. 7107.
88	9.5	19 7 31.94	+10 3 48.8	86.7	663	10 3831	
89	9.6	19 9 50.57	+10 21 19.0	85.7	585	10 3842	
90	8.7	19 10 6.12	+10 24 6.2	85.7	585	10 3844	
91	9.2	19 13 27.16	+10 28 40.9	85.6	577	10 3860	
92	9.0	19 15 10.55	+10 25 2.3	85.6	577	10 3868	
93	8.9	19 20 48.99	+10 18 34.2	86.8	667	10 3897	
94	8.9	19 23 5.30	+10 18 16.7	86.8	667	10 3915	
95	(9.5)	19 53 59.04	+10 15 42.4	93.8	R	10 4130	Anschluss an Nr. 7593.
96	9.5	19 57 [2.2]	+12 16 55.2	90.6	792	— —	Bei Cat. Nr. 7656 angemerkt.
97	10.0	19 57 8.94	+10 8 22.2	84.6	521	— —	
98	9.3	20 10 19.34	+11 28 23.6	90.5	786	11 4195	
99	9.2	20 11 32.41	+10 4 52.3	85.8	592	10 4235	
100	9.3	20 11 44.27	+10 9 49.9	85.8	592	10 4236	
101	10	20 18 59.03	+14 23 46.8	93.8	R	— —	Anschluss an Nr. 7912.
102	10.5	20 19 28.38	+14 25 40.0	93.8	R	— —	Anschluss an Nr. 7912.
103	9.3	20 28 47.33	+10 54 33.7	90.5	787	— —	$8^m.0$ seq. 7^s in par. (Cat. Nr. 8010).
104	9.1	20 32 21.36	+10 20 17.3	84.6	521	— —	
105	9.3	20 37 14.08	+12 17 6.2	70.8	244	— —	
106	9.5	20 41 41.66	+10 4 23.2	85.7	586	— —	
107	10	20 47 32.20	+12 8 30.2	93.8	R	12 4491	Anschluss an Nr. 8206.
108	9.6	20 50 24.20	+11 9 0.7	95.7	R	— —	Anschluss an Nr. 8233.
109	9.4	20 51 34.39	+10 11 11.5	85.7	586	10 4422	
110	9.3	20 55 27.46	+10 7 30.1	85.7	586	— —	Die nahe liegende Vermuthung, dass der Stern identisch mit Cat. Nr. 8284 und andere Fäden anzunehmen wären, ist ausgeschlossen.
111	9.5	21 0 34.24	+10 17 24.5	85.7	586	— —	
112	8.9	21 0 37.37	+11 41 36.5	70.6	215	11 4477	
113	9.5	21 4 23.35	+10 9 48.7	85.7	586	— —	
114	8.9	21 6 2.74	+10 10 43.8	85.7	586	10 4480	
115	(9.4)	21 14 36.98	+14 43 24.9	93.9	R	14 4587	Anschluss an Nr. 8461.
116	9.1	21 15 51.41	+15 12 8.2	70.8	241	15 4397	
117	8.9	21 29 2.72	+13 49 23.9	85.7	590	— —	
118	9.2	21 36 52.11	+11 48 8.5	90.6	792	11 4639	
119	9.3	21 40 52.82	+12 46 32.1	90.6	795	12 4687	
120	9.1	21 49 26.11	+12 9 19.4	90.6	795	12 4720	
121	9.4	21 56 59.96	+10 9 16.2	84.7	527	10 4680	
122	9.6	22 4 54.62	+10 12 49.4	85.7	586	— —	
123	9.5	22 6 7.65	+10 15 27.6	85.7	586	— —	
124	9.0	23 44 38.39	+12 31 16.5	90.9	807	12 5030	
125	9.5	23 51 41.06	+10 15 40.9	86.8	676	— —	

Berichtigungen zum Catalog.

Nr. 16 Bem.[3] st. BD $+6^{s}$ l. L = BD $+6^{s}$

» 27 Bem.[5] st. BD $+4^{s}$ l. L = BD $+4^{s}$

» 577 * bei Nr. zu streichen.

» 579 Bei Nr. * zuzusetzen.

» 1052 Bem.[2] st. BD $+3^{s}.5$ l. L = BD $+3^{s}.5$

» 1813 RA. st. $12^{s}.63$ l. $12^{s}.36$

» 1835 Z. st. 274*a* l. 274

» 2350 st. $8^{m}.3$ $13^{s}.56$ $44''.0$ 1871.2 Z. 285 l. $8^{m}.0$ $13^{s}.59$ $42''.8$ 1871.7 Z. 285 309

» 3004 st. $8^{m}.7$ $42^{s}.95$ $28''.1$ 1890.1 l. $8^{m}.6$ $42^{s}.96$ $28''.3$ 1889.5; unter Z. 740 zuzufügen.

» 3121 st. $12^{s}.98$ $13''.8$ 1890.1 l. $13^{s}.04$ $13''.7$ 1889.5; unter Z. 740 zuzufügen.

» 3277 Z. st. 314*a* l. 314

» 3289 st. $29^{s}.22$ $12''.1$ 1882.7 l. $29^{s}.19$ $12''.4$ 1884.6; unter Z. 740 zuzufügen; Bem.[4] fällt fort.

» 3578 Decl. st. $15''.2$ l. $5''.2$

» 3698 st. $14^{s}.80$ $9''.7$* 1883.1 l. $14^{s}.81$ $10''.1$* 1879.9; unter Z. 161 zuzufügen.

» 3788 Z. st. 160*a* l. 160

» 4080 st. $17^{s}.05$* $10''.9$* 1875.5 l. $17^{s}.01$* $10''.5$* 1879.2; unter Z. 762 zuzufügen.

» 4360 Decl. st. $37''.3$ l. $36''.7$

» 4394 Z. st. 111*a* l. 111

» 4577 Z. st. 768*a* l. 768

» 4985 Var. saec. st. $+0''.290$ l. $+0''.209$

» 5285 Bei Bem. fehlt die Ziffer [4].

» 5383 Ep. st. 70.4 70.4 l. 70.4

» 5487 st. $30''.0$ 1881.4 l. $29''.9$ 1882.4; unter Z. 473 zuzufügen.

» 5628 Zu Decl. als Bem. zuzufügen Z. 316 [$19''.2$]

» 6019 Praec. st. $+2^{s}.8091$ l. $+2^{s}.8099$

» 6052 Decl. * zu streichen und hierfür Bem. zuzusetzen Z. 174 [$18''.3$]

» 6301 Praec. st. $-1''.168$ l. $-1''.110$

» 6825 st. $13''.8$ 1879.9 5 Beob. l. $13''.5$ 1880.8 6 Beob.

» 6966 st. $8^{m}.9$ $48^{s}.79$ $14''.1$ 1880.5 1878.3 l. $8^{m}.8$ $48^{s}.78$ $14''.2$ 1883.8 1881.8; unter Z. 787 zuzufügen.

» 7963 Bem.[8] st. Z. 135 l. Z. 211

» 8241 * hat vor Nr. zu stehen.

» 8509 Bem.[8] fällt fort.

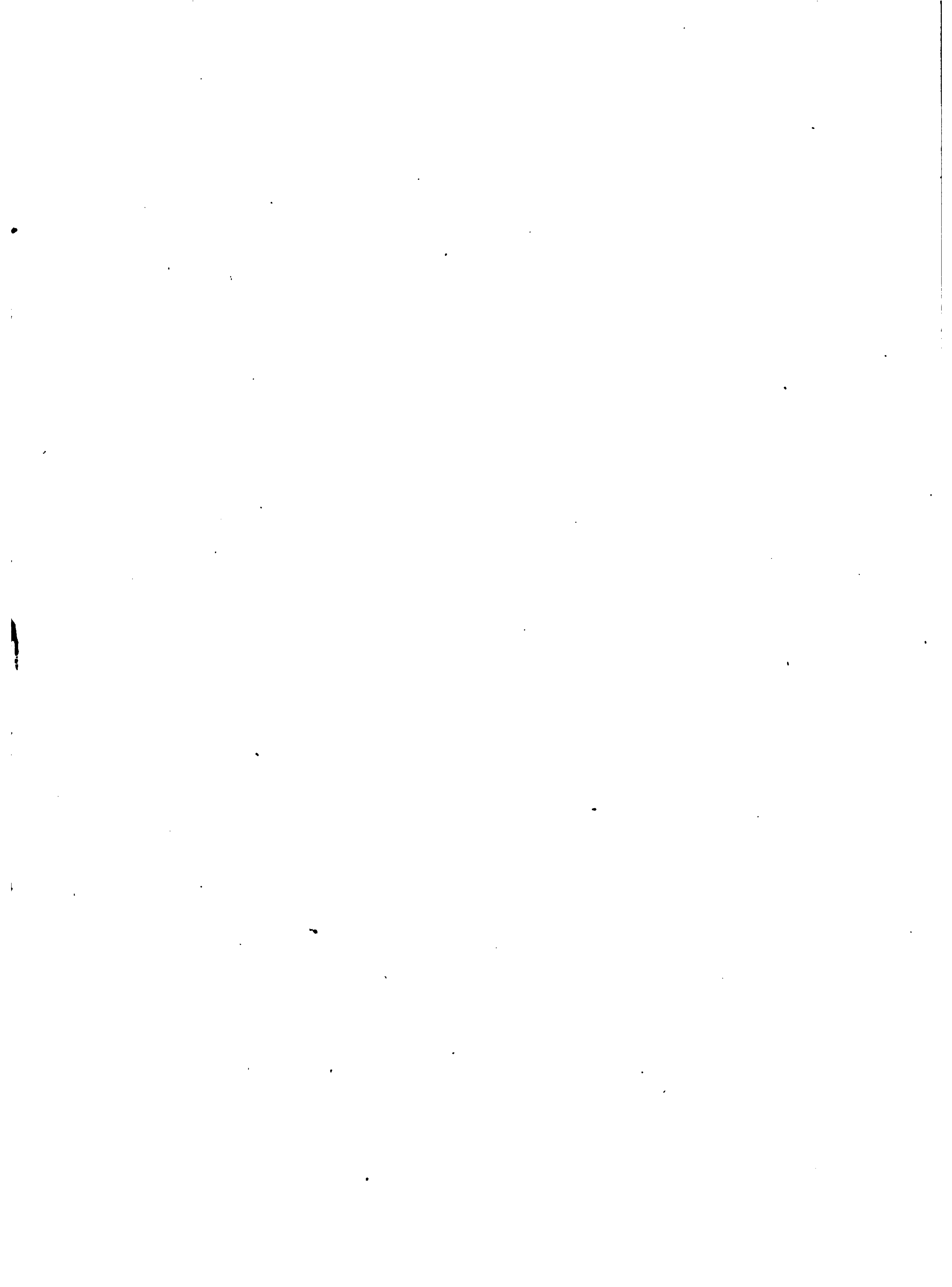
» 8532 Decl. * zu streichen und dafür Bem. zuzufügen Z. 224 [$26''.3$]; unter Z. st. 224*a* l. 224

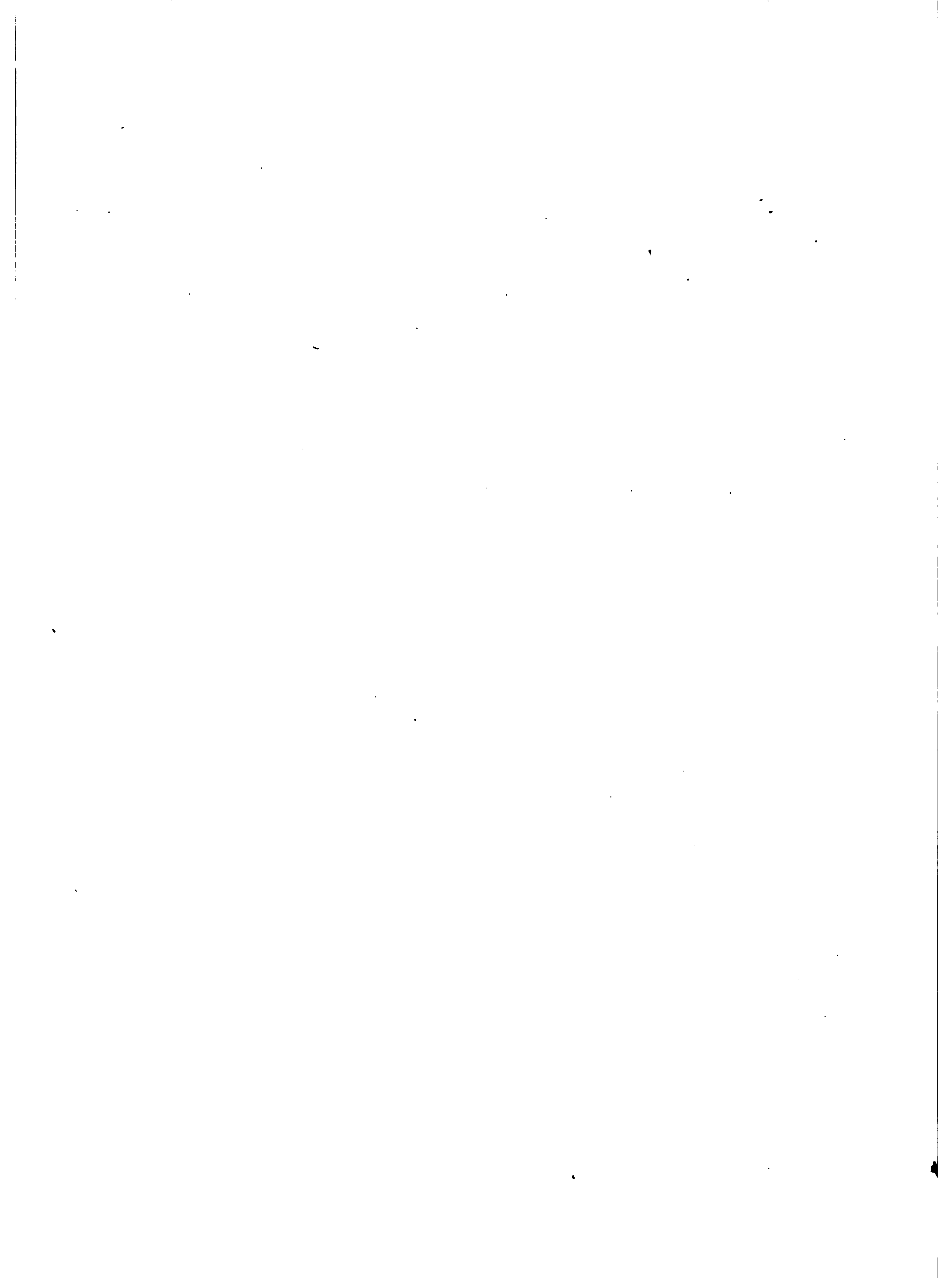
» 9130 st. $9^{m}.3$ $4^{s}.93$ $18''.3$ 1881.9 l. $9^{m}.2$ $4^{s}.95$ $18''.1$ 1883.2; unter Z. 597 zuzufügen.

» 9151 Bem.[1] st. 7.0 8.7 l. 8.7 7.0

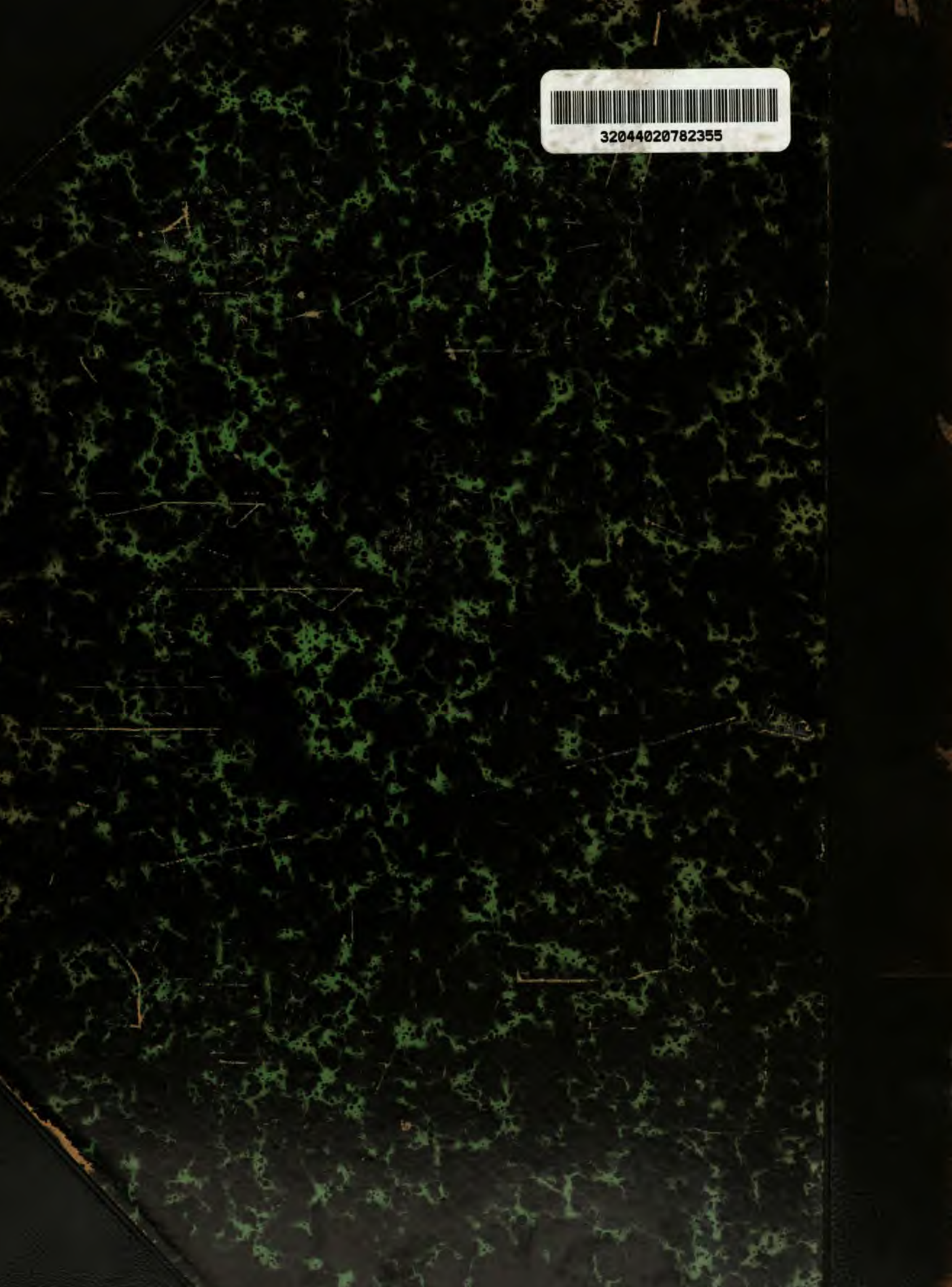
Die Sterne Nr. 5014, 5162, 5211, 8803, 8804 sind nördlich von $+15° 10'.0$ (1855.0), liegen also ausserhalb des Leipziger Beobachtungsprogramms. Die BD-Nr. ist daher bei Nr. 8804, ebenso wie es bei den vier anderen Sternen geschehen ist, in Klammern einzuschliessen.

Berlin, gedruckt in der Reichsdruckerei.








32044020782355